ANCIENT NEAR EASTERN STUDIES

SUPPLEMENT 56

FOUILLES DE TEL YARMOUTH (1980-2009)

Rapport final

Volume 1

LES FOUILLES SUR L'ACROPOLE

par

Michaël JASMIN et Pierre DE MIROSCHEDJI



PEETERS

2020

ANCIENT NEAR EASTERN STUDIES

SUPPLEMENT 56

ANCIENT NEAR EASTERN STUDIES

SUPPLEMENT 56

FOUILLES DE TEL YARMOUTH (1980-2009)

Rapport final

Volume 1

LES FOUILLES SUR L'ACROPOLE

par

Michaël JASMIN and Pierre DE MIROSCHEDJI

avec la collaboration de

Daniella E. BAR-YOSEF MAYER, Elisabetta BOARETTO, Baruch BRANDL, Simon J. M. DAVIS, Yuval GOREN, Linda HERVEUX, Steven A. ROSEN, Sariel SHALEV, Sana SHILSTEIN, Karin SOWADA et Jacob VARDI

PEETERS
LEUVEN – PARIS – BRISTOL, CT.
2020

The research and compilation of the manuscript for this volume of the final publication of the excavations at Tel Yarmuth were made possible through a generous grant from the Shelby White – Leon Levy Program for Archaeological Publications.

Series Editors: Claudia Sagona and Andrew Jamieson

A catalogue record for this book is available from the Library of Congress.

ISBN 978-90-429-3996-7
eISBN 978-90-429-3997-4
D/2020/0602/85

Copyright by
Peeters Publishers

© Peeters, Bondgenotenlaan 153, B-3000 Leuven, Belgium

All rights reserved. No part of this book may be reproduced or translated in any form, by print, photoprint, microfilm, microfiche or any other means without written permission from the publisher

PRINTED IN BELGIUM

Peeters N.V., Warotstraat 50, B-3020 Herent

TABLE DES MATIÈRES

Liste des contributeurs. xi

Liste des figures xiii

Liste des tableaux xxiii

Liste des abréviations usuelles xxv

Liste des conventions graphiques appliquées dans les plans et les coupes xxvii

Avant-Propos (*Pierre de Miroschedji*) xxix

Liste des participants aux fouilles sur l'acropole, à l'étude du matériel et à la préparation de la publication xxxii

Chapitre 1. Introduction générale (*Pierre de Miroschedji et Michaël Jasmin*) 1

1.1 Le site 1
1.1.1 Localisation 1
1.1.2 Topographie 3
1.2 L'acropole de Yarmouth 8
1.2.1 Recherches anciennes 8
1.2.2 Les prospections de surface en 1986 11
1.3 Les fouilles sur l'acropole 17
1.3.1 Le sondage 1 17
1.3.2 Le sondage 2 20
1.4 Le système d'enregistrement. 21
1.5 Bibliographie des fouilles sur l'acropole 21

Première partie :

STRATIGRAPHIE ET ARCHITECTURE

Chapitre 2. Le Sondage 1 de l'acropole (*Pierre de Miroschedji*) 29

2.1 La séquence stratigraphique 29
2.2 Les phases 30
2.2.1 Phase Acr-1 (BA II) : premier glacis 30
2.2.2 Phase Acr-2 (BA II) : second glacis 33
2.2.3 Phase Acr-3 (BA II-III) : construction de la muraille M.1108 33
2.2.4 Phase Acr-4 (BA III) : utilisation de la muraille M.1108. 33
2.2.5 Phase Acr-5 (du Bronze ancien à l'époque perse) : érosion de la pente. 36
2.2.6 Phase Acr-6 (période romano-byzantine) : aménagement de la pente . 37
2.3 Interprétation de la séquence 37

Chapitre 3. Le Sondage 2 de l'acropole (*Michaël Jasmin et Pierre de Miroschedji*) . . 43

3.1 Remarques préliminaires 43
3.2 La séquence stratigraphique 50
3.3 Niveaux Acr-IX à Acr-VII (Bronze ancien II–III) 55
3.3.1 Niveau Acr-IX (BA II) : L.2315 et L.1198-4 et 5 58
3.3.2 Niveau Acr-VIII (BA IIIA) : L.1198-3 à 1 et L.1197 59
3.3.3 Niveau Acr-VII (BA IIIB) : L.1191 62
3.4 Niveau Acr-VI (du Bronze ancien III au Bronze récent IIB) 63
3.4.1 Couche 1173-5 67
3.4.2 Couche 1173-4 68
3.4.3 Couches 1173-3 à 1, L.2314 et L.2309B 68
3.5 Niveau Acr-V (Bronze récent III / Fer IA) 69
3.5.1 Niveau Acr-VB 69
3.5.2 Niveau Acr-VA 74
3.6 Niveau Acr-IV (Fer IB) 76
3.6.1 Le palier inférieur en BB 116 76
3.6.2 Le palier supérieur en BC 116 78
3.7 Niveau Acr-III (Fer IB) 80
3.7.1 La terrasse inférieure en BA–BB 116 84
3.7.2 La terrasse supérieure en BC–BD 116 86
3.8 Niveau Acr-II (du Fer II à l'époque perse) 89
3.8.1 Le niveau Acr-IIB 91
3.8.2 Le niveau Acr-IIA en BB 116 94
3.8.3 Une autre interprétation de la chrono-stratigraphie du niveau Acr-II *(P. de Miroschedji)* 95
3.9 Niveau Acr-I (hellénistique, romain ancien, romano-byzantin) 96
3.9.1 Niveau Acr-IC 96
3.9.2 Niveau Acr-IB 98
3.9.3 Niveau Acr-IA 103
3.9.4 Autres vestiges contemporains des niveaux Acr-IB–IA sur l'acropole et ses abords 109

DEUXIEME PARTIE :

LA POTERIE

Chapitre 4. La poterie du Bronze ancien II–III (Phases Acr-1 à 4 et niveaux Acr-IX à VII) (*Pierre de Miroschedji*) 117

4.1 Niveau Acr-IX (Bronze ancien II) 117
4.2 Niveaux Acr-VIII et Acr-VII (Bronze ancien III) 121
4.3 Remarques sur la poterie du Bronze ancien provenant du locus 1173 (niveau Acr-VII) 122
4.4 Conclusion 123

Chapitre 5. La poterie du niveau Acr-VIB : Bronze moyen II (*c.* XVIIe-XVIe siècles) *(Michaël Jasmin)* 145

Chapitre 6. Introduction à la poterie des niveaux du Bronze récent II à l'âge du Fer I (niveaux Acr-VI à Acr-III) *(Michaël Jasmin)* 153

6.1 Typologie générale 153
6.2 Composition des assemblages 155
6.3 Aspects technologiques 165

Chapitre 7. La poterie du niveau Acr-VIA : Bronze récent IIB (XIIIe siècle) *(Michaël Jasmin)* 169
7.1 La céramique de tradition locale 170
7.2 Les céramiques importées 178
7.3 Conclusion 179

Chapitre 8. La poterie du niveau Acr-V : Bronze récent III/Fer IA (milieu du XIIe siècle) *(Michaël Jasmin)* 195
8.1 La céramique de tradition locale 195
8.2 La céramique non locale 210
8.3 Conclusion 211

Chapitre 9. La poterie du niveau Acr-IV : Fer IB (fin du XIIe siècle) *(Michaël Jasmin)* 239
9.1 La céramique de tradition locale 239
9.2 La céramique philistine 245
9.3 Conclusion 247

Chapitre 10. La poterie du niveau Acr-III : Fer IB (XIe siècle) *(Michaël Jasmin)* . 263
10.1 La céramique de tradition locale 263
10.2 La céramique philistine 284
10.3 Conclusion 286

Chapitre 11. La poterie du niveau Acr-II : du Fer II à l'époque perse (X^e^–IVe siècles av. n. è.) *(Michaël Jasmin)* 317
11.1 La poterie du niveau Acr-IIB 317
11.1.1 La céramique de tradition locale 317
11.1.2 La céramique philistine 320
11.2 La poterie du niveau Acr-IIA 322
11.3 Conclusion 324

Chapitre 12. La poterie des dernières périodes d'occupation de l'acropole : Phase Acr-6 et niveau Acr-I (*c.* IVe siècle av.– *c.* IVe siècle de notre ère) *(Michaël Jasmin)* 345
12.1 Inventaire typologique 345
12.2 Conclusion 347

TROISIÈME PARTIE :

LE MOBILIER NON CÉRAMIQUE

CHAPITRE 13. The Chipped Stone Assemblage from the acropolis of Tel Yarmuth *(Steven A. Rosen and Jacob Vardi)* 357

13.1 Introduction. 357
13.2 Raw Materials 357
13.3 Waste Assemblage and Technology 358
13.4 Tools 359
13.5 Summary 363

CHAPITRE 14. Les objets en métal *(Pierre de Miroschedji et Michaël Jasmin, avec une contribution de Sariel Shalev et Sana Shilstein)* 365

14.1 Catalogue *(M. Jasmin et P. de Miroschedji)* 365
14.1.1 Objets en alliage de cuivre 365
14.1.2 Objets en fer 371
14.2 Analyses of the Yarmuth metals *(S. Shalev and S. Shilstein)* 373

CHAPITRE 15. Objets divers *(Pierre de Miroschedji et Michaël Jasmin)* 377

15.1 Objets en terre crue 377
15.2 Objets en terre cuite 378
15.3 Objets en pierre 384
15.4 Objets en matières organiques 398

CHAPITRE 16. Un sceau du Bronze ancien *(Pierre de Miroschedji)* 407

16.1 Description 407
16.2 Commentaire 407
16.3 Datation. 412
16.4 Conclusion 412

CHAPITRE 17. Aegyptiaca from the acropolis of Tel Yarmuth *(Karin Sowada)* . . . 415

17.1 Fragment of Offering Table C.9516.1 416
17.2 Palette Fragment C.9597-1 417

CHAPITRE 18. A Late Ramesside Scarab from the acropolis of Tel Yarmuth *(Baruch Brandl)* 421

18.1 Description 421
18.2 Discussion. 423
18.3 Conclusion 426

Chapitre 19. A Hoard of Egyptian Bronzes Discovered in the Lower City of Tel Yarmuth *(Baruch Brandl and Pierre de Miroschedji, with a contribution by Sariel Shalev)* 431

19.1 Archaeological context *(P. de Miroschedji)* 431
19.2 Catalogue *(B. Brandl)* 438
19.3 Analysis of the metals (*S. Shalev)* 468
19.4 Discussion *(B. Brandl and P. de Miroschedji)* 473

Quatrième partie :

ÉTUDES DIVERSES

Chapitre 20. Notes on the Animal Remains from the acropolis of Tel Yarmuth *(Simon J. M. Davis)* 485

Chapitre 21. Mollusc Shells from the acropolis of Tel Yarmuth *(Daniella E. Bar-Yosef Mayer)* 489

Chapitre 22. Les restes archéobotaniques de l'acropole de Tel Yarmouth *(Linda Herveux)* 493
22.1 Résultats. 493
22.2 Discussion. 497

Chapitre 23. The Radiocarbon Samples from the acropolis of Tel Yarmuth *(Elisabetta Boaretto)* 503

23.1 The Samples 503
23.2 Discussion 505

Chapitre 24. Conclusion générale : Synthèse chronologique, culturelle et historique *(Michaël Jasmin et Pierre de Miroschedji)* 509

24.1 Histoire de l'occupation de l'acropole de Tel Yarmouth *(M. Jasmin et P. de Miroschedji)*. 509
24.1.1 Le Bronze ancien (niveaux Acr-IX–VII). 510
24.1.2 Le hiatus Bronze ancien–Bronze moyen 510
24.1.3 Le Bronze moyen II (niveau Acr-VIB) 511
24.1.4 Le Bronze récent IIB (niveau Acr-VIA) 512
24.1.5 Le Fer I (niveaux Acr-V à Acr-III) 513
24.1.5.1 Caractères généraux du Fer I à Tel Yarmouth. 514
24.1.5.2 Le niveau Acr-V. 519
24.1.5.3 Le niveau Acr-IV 520

24.1.5.4 Le niveau Acr-III 521
24.1.5.5 Excursus : Tel Yarmouth et Khirbet Qeiyafa 522
24.1.6 Du Fer II à l'époque perse (niveau Acr-II) 528
24.1.7 De l'époque hellénistique à l'époque romano-byzantine (niveau Acr-I) 531
24.2 Tel Yarmouth et la Bible *(P. de Miroschedji)* 534
24.2.1 La permanence du toponyme 534
24.2.2 Les mentions bibliques de Yarmouth 537

APPENDICES

Appendice 1 : Petrographic study of Philistine Ware Sherds from the acropolis of Tel Yarmuth *(Yuval Goren)* 553

Appendice 2 : Liste des loci 557

1.1 Loci du Sondage 1 557
1.2 Loci du Sondage 2 558

Appendice 3 : Liste du mobilier archéologique illustré 567

3.1 Sondage 1 567
3.2 Sondage 2 567

ENGLISH SUMMARY

1. General Introduction 569
2. Sounding 1 571
3. Sounding 2 572
24. General Conclusion: Chronological, Cultural and Historical Syntheses . . . 576

LISTE DES CONTRIBUTEURS

Daniella E. Bar-Yosef Mayer, The Steinhardt Museum of Natural History and Institute of Archaeology, Tel Aviv University

Elisabetta Boaretto, D-REAMS Radiocarbon Dating Laboratory, Weizmann Institute of Science, Rehovot, Israel

Baruch Brandl, Archives and Library Director, Israel Antiquities Authority, Jerusalem

Simon J. M. Davis, Instituto Português de Arqueologia, Lisbon

Yuval Goren, Université Ben-Gourion du Néguev, Beer Sheva

Linda Herveux, Centre national de la recherche scientifique (UMR 5133, Laboratoire Archéorient de Jalès)

Michaël Jasmin, chercheur associé, Centre national de la recherche scientifique, UMR 7041 et 8167

Pierre de Miroschedji, Centre national de la recherche scientifique (UMR 7041)

Steven A. Rosen, Université Ben-Gourion du Néguev, Beer Sheva

Sariel Shalev, Université de Haifa

Sana Shilstein, Département de Physique, Weizmann Institute of Science, Rehovot, Israel

Karin Sowada, Macquarie University, Sydney, Australia

Jacob Vardi, Israel Antiquities Authority

LISTE DES FIGURES

Chapitre 1

Fig. 1.1. Carte de la Palestine, avec la localisation des principaux sites du Bronze récent et de l'âge du Fer 2
Fig. 1.2. Carte des environs de Tel Yarmouth (Khirbet el-Yarmūk) dressée en 1873 par le *Survey of Western Palestine* 4
Fig. 1.3. Carte archéologique des environs de Tel Yarmouth (état 2010), avec l'emplacement des principaux sites mentionnés dans ce livre 5
Fig. 1.4. Vue aérienne de Tel Yarmouth et de ses environs, vers le sud-ouest . 6
Fig. 1.5. Vue aérienne de Tel Yarmouth, vers le nord-est 6
Fig. 1.6. Vue aérienne de Tel Yarmouth et ses environs, vers le nord-ouest . . 7
Fig. 1.7. Vue du nahal Yarmouth (wadi en-Nabi Bulus) en direction du nord-ouest 7
Fig. 1.8. Vue de Tel Yarmouth, vers le sud-est 8
Fig. 1.9. Vue aérienne de Tel Yarmouth, vers le sud-est, avec l'emplacement des principaux chantiers 9
Fig. 1.10. Plan topographique de Tel Yarmouth 9
Fig. 1.11. Plan topographique de l'acropole. 12
Fig. 1.12. Vue aérienne de l'acropole, vers le nord-nord-est 13
Fig. 1.13. Vue aérienne de l'acropole, vers le nord-est 13
Fig. 1.14. Vue aérienne de l'acropole, vers l'ouest-sud-ouest 14
Fig. 1.15. L'abri sous roche n°1 14
Fig. 1.16. L'abri sous roche n°2 15
Fig. 1.17. L'abri sous roche n°3 15
Fig. 1.18. La carrière au sud-est de l'acropole 16
Fig. 1.19. La carrière au sud-est de l'acropole : détail, vers le sud-est 16
Fig. 1.20. Coupe schématique illustrant la relation des deux sondages fouillés sur l'acropole 19

Chapitre 2

Fig. 2.1. Coupe stratigraphique nord-ouest (A–A') du Sondage 1 de l'acropole 30
Fig. 2.2. Sondage 1 de l'acropole, plans des vestiges des Phases 1-3, 4 et 6 . . 31
Fig. 2.3. Carré AS 116, à la fin des fouilles, vue vers le sud-ouest. 32
Fig. 2.4. Carré AR 116, la muraille 1108 en cours de fouille, vue vers l'est . . 34
Fig. 2.5. Carré AR 116, la face extérieure de la muraille 1108 en fin de fouille, vue vers le nord-est. 34
Fig. 2.6. Carré AR 116, vers le nord-est. Fondation de la muraille 1108 . . . 34
Fig. 2.7. Carré AS 116, vers le sud-ouest 35

Fig. 2.8. Carré AS 116, vue partielle de la coupe nord-ouest du sondage . . . 36
Fig. 2.9. Carré AS 116, vers le nord, vue partielle des coupes nord-ouest et nord-est du sondage 36
Fig. 2.10. Coupes à travers les fortifications du Bronze ancien à Tel Yarmouth : comparaison entre le Sondage 1 de l'acropole et les chantiers A et D de la ville basse 39

Chapitre 3

Fig. 3.1. Vue d'ensemble du sondage 2 de l'acropole à la fin de la campagne de 1996, vers le nord-est 44
Fig. 3.2. Vue d'ensemble du sondage 2 de l'acropole à la fin de la campagne de 1997, vers le nord-est 45
Fig. 3.3. Emplacement des coupes du Sondage 2 de l'acropole 46
Fig. 3.4./ Dépliant 1* Sondage 2, coupe longitudinale sud-est (A–A' : voir **Fig. 3.3**) 47
Fig. 3.5. Vue partielle de la coupe sud-est (A–A') (carrés BA-BB 116) 48
Fig. 3.6./ Dépliant 2* Sondage 2, coupe longitudinale nord-ouest (B–B' : voir **Fig. 3.3**) . . 49
Fig. 3.7. Vue partielle de la coupe nord-ouest B–B' (carrés BA-BB 116) . . . 50
Fig. 3.8. Vue partielle de la coupe nord-ouest B–B' (carrés BB-BC 116) . . . 50
Fig. 3.9. Sondage 2, coupe transversale en AZ 116 (C–C' : voir **Fig. 3.3**) . . 51
Fig. 3.10. Détail de la coupe transversale C–C' (carré AZ 116) 52
Fig. 3.11. Sondage 2, coupe transversale en BB 116 (D_1–D_1' et D_2–D_2': voir **Fig. 3.3**) 53
Fig. 3.12. Vue de la coupe transversale D_1–D_1'/D_2–D_2' (carré BB 116) 54
Fig. 3.13. Vestiges des niveaux Acr-VII à Acr-IX dans la coupe A–A' et en plan 56-57
Fig. 3.14. Carrés AZ 116, vers le nord-est. État final de la fouille 58
Fig. 3.15. Carré AZ 116, vestiges des niveaux Acr-VIII et IX, vers le sud-est. . 59
Fig. 3.16. Carré AZ 116, vestiges des niveaux Acr-VIII et IX, vers le nord-est . 60
Fig. 3.17. Même état des lieux que sur la **Fig. 3.16**, vue vers le nord-ouest . . 60
Fig. 3.18. Carré AZ 116, vestiges des niveaux Acr-I et Acr-VIII-IX, vue vers le nord-est 61
Fig. 3.19. Même état des lieux que sur la **Fig. 3.18**, vue vers le nord-ouest . . 61
Fig. 3.20. Fragment de paroi de four du niveau Acr-VII 62
Fig. 3.21. Vestiges du niveau Acr-VI dans la coupe A–A' et en plan 64
Fig. 3.22. Carrés BA-BB 116, vestiges des niveaux Acr-VI et VII, vers le sud-ouest 65
Fig. 3.23. Carrés BA-BB 116, vestiges des niveaux Acr-VI et VII, vers le nord-est 65
Fig. 3.24. Carrés BA-BB 116, le sondage 1173, vers le nord-est 66
Fig. 3.25. Carrés BA-BB 116, le sondage 1173, vers le nord-ouest 67

* En fin de volume.

Fig. 3.26. Carré BB 116, la coupe sud-est du sondage 1173 68
Fig. 3.27. Fragment de paroi de four du niveau Acr-VI 69
Fig. 3.28. Vestiges du niveau Acr-V dans la coupe A–A' et en plan 70
Fig. 3.29. Carré BB 116, vue partielle du niveau Acr-V, vers le sud-est 71
Fig. 3.30. Carré BA 116, niveau Acr-V, l'espace L.2310 et le *tabūn* S.2313, vers le nord-est 72
Fig. 3.31. E.2310 : détail du *tabūn* S.2313. Vue vers le nord-est 73
Fig. 3.32. Carré BA 116, vestiges des niveaux Acr-V et Acr-IV, vers le nord-est 75
Fig. 3.33. Vestiges du niveau Acr-IV dans la coupe A–A' et en plan 77
Fig. 3.34. Détail de la coupe transversale D_1–D_1' en BA 116 montrant la succession des couches du niveau Acr-I au niveau Acr-V 78
Fig. 3.35. Carré BA 116, vestiges des niveaux Acr-V et Acr-IV, vers le nord-ouest 79
Fig. 3.36. Carré BB 116, vestiges des niveaux Acr-V à Acr-III, vers le nord . . 79
Fig. 3.37. Carré BB 116, vestiges des niveaux Acr-VI à Acr-II, vers l'est 79
Fig. 3.38. Carré BC 116, vers le sud-est : les fours S.1155 et S.1156 du niveau Acr-IV 80
Fig. 3.39. Carré BC 116, vers le nord-est : les fours S.1155 et S.1156 du niveau Acr-IV 80
Fig. 3.40. Vestiges du niveau Acr-III dans la coupe A–A' et en plan 81
Fig. 3.41. Carrés BB-BD 116, vers le nord-est : vue d'ensemble des vestiges du niveau Acr-III 82
Fig. 3.42. Carrés BB-BC 116, vers le nord-ouest : vestiges du niveau Acr-III sur la terrasse supérieure 83
Fig. 3.43. Carré BB 116, niveau Acr-III : L.1149 vers le nord-est avec les jarres *in situ* 84
Fig. 3.44. Carré BB 116, niveau Acr-III : L.1149 vers le nord-est après l'enlèvement des jarres et de l'éboulis S.1147 84
Fig. 3.45. Carré BB 116, niveau Acr-III, L.1149 : le cratère A.10863-1 *in situ*. 85
Fig. 3.46. Carré BB 116, niveau Acr-III, L.1149, détail de la coupe sud-est : trois vases emboîtés (marmite, bol, cruchette) *in situ* 85
Fig. 3.47. Une partie des poteries mises au jour dans l'espace L.1149 85
Fig. 3.48. Brique crue complète du niveau Acr-III 86
Fig. 3.49. Fragment de paroi de four du niveau Acr-III 87
Fig. 3.50. Carré BC 116, niveau Acr-III : la couche de destruction de L.1130, vers le nord-ouest 87
Fig. 3.51. Poteries complètes trouvées sur le sol de L.1130 88
Fig. 3.52. Détail de la couche de destruction de L.1130, vers le nord-est : la jarre 9608-7 écrasée sur une poutre calcinée 89
Fig. 3.53. Vestiges du niveau Acr-II dans la coupe A–A' et en plan 90
Fig. 3.54. Carré BD 116, niveau Acr-II, vers le sud-est : l'angle des murs M.2316 et M.2317 91
Fig. 3.55. Carré BD 116, niveau Acr-II, vers le nord-ouest : l'angle des murs M.2316 et M.2317. 91

Fig. 3.56. Carré BB 116, niveau Acr-II, vers le nord-est : le sol chaulé 1140 associé à M.1118B 93
Fig. 3.57. Détail de la maçonnerie de M.1118B : réemploi d'une base de colonne typique du BA III 93
Fig. 3.58. Carré BB 116, détail de la coupe sud-est A–A' : couches du niveau Acr-II (L.1140, L.1119) recoupées par les couches d'érosion du niveau Acr-I 94
Fig. 3.59. Vestiges des niveaux Acr-IC-IB dans la coupe A–A' et en plan . . . 97
Fig. 3.60. Carré AZ 116, niveau Acr-IB, vers le nord-est : E1179 99
Fig. 3.61. Carré AZ 116, niveau Acr-IB : le mur de terrasse M1167, vers le sud-est 100
Fig. 3.62. Carré AZ 116, niveau Acr-IB, vers le nord-est : M1178 contre lequel s'appuie la margelle 1193 de la citerne 2301 101
Fig. 3.63. Carré AZ 116, niveau Acr-IB, vers le sud-est : vue de la margelle 1193 102
Fig. 3.64. Carré AZ 116, niveau Acr-IB, vers le nord-est : blocage de l'ouverture de la citerne 2301 102
Fig. 3.65. Vestiges du niveau Acr-IA dans la coupe A–A' et en plan 104-105
Fig. 3.66. Carré BB 116, niveau Acr-IA2, vers le nord-est : le mur de terrasse M.1118A 106
Fig. 3.67. Carré AZ 116, niveau Acr-IA2, vers le nord-est : les murs de terrasse M.1167A1 et M.1176 107
Fig. 3.68. Carré AZ 116, niveau Acr-IA2, vers l'est : disposition des murs de terrasse M.1167A1 et M.1176 107
Fig. 3.69. Carré BA 116, niveau Acr-IA1, vers l'est : les murs de terrasse M.1157 et M.1158-1159 108
Fig. 3.70. Carré BA 116, niveau Acr-IA1, vers l'est : les murs de terrasse M.1158-1159 108
Fig. 3.71. Détail du mur de terrasse M.1158 formé de blocs de réemploi . . . 108
Fig. 3.72. Ouverture quadrangulaire de la citerne n° 4 au sud-est de l'acropole 110
Fig. 3.73. Ouverture circulaire de la citerne n° 5 au sud-est de l'acropole . . . 110
Fig. 3.74. Ouverture circulaire de la citerne n° 6 au sud-est de l'acropole, avec un reste de sa margelle 110
Fig. 3.75. Ouverture circulaire de la citerne n° 7 au sud-est de l'acropole . . . 110
Fig. 3.76. Puits d'accès de la tombe n° 1 au sud-est de l'acropole. Vue vers l'est 111
Fig. 3.77. Puits d'accès de la tombe n° 2 au sud-est de l'acropole. Vue vers le nord 111

Chapitre 4

Fig. 4.1. Sondage 1 de l'acropole : tessons trouvés dans le glacis 1123 118
Fig. 4.2. Sondage 2 de l'acropole, niveau Acr-VIII : tessons du locus 1198 . . 119
Fig. 4.3. Sondage 1, poterie des Phases 1 (BA II) et 4 (BA IIIA) : L.1110-1111, 1123, 1131 127
Fig. 4.4. Sondage 1, poterie des Phases 4 et 5 (BA IIIA) : L.1106, 1109 . . . 129
Fig. 4.5. Sondage 2, poterie du niveau Acr-IX (BA II) : L.1198-6 et L.2315 . 131

Fig. 4.6. Sondage 2, poterie du niveau Acr-IX (BA II) : L.1198-5 et 4 133
Fig. 4.7. Sondage 2, poterie du niveau Acr-VIII (BA III) : L.1198-3, 2 et 1 (1–14,16) et L.2304 (15) 135
Fig. 4.8. Sondage 2, poterie du niveau Acr-VIII (BA III) : L.1197 137
Fig. 4.9. Sondage 2, poterie du niveau Acr-VII (BA III) : L.1191. 139
Fig. 4.10. Sondage 2, poterie du niveau Acr-VII (BA II-III) : L.1173-5 141
Fig. 4.11. Sondage 2, poterie du niveau Acr-VII (BA III) : L.1173-4 et 3 . . . 143

Chapitre 5

Fig. 5.1. Sondage 2, poterie du niveau Acr-VIB : L.1173 149
Fig. 5.2. Sondage 2, poterie du niveau Acr-VIB : L.2309 et L.2314 151

Chapitre 6

Fig. 6.1. Niveaux Acr-VIA à Acr-III : typologie des petits bols (BL 1) 156
Fig. 6.2. Niveaux Acr-VIA à Acr-III : typologie des bols moyens (BL 2) et des grands bols (BL 3) 157
Fig. 6.3. Niveaux Acr-VIA à Acr-III : typologie des cratères (KR). 158
Fig. 6.4. Niveaux Acr-VIA à Acr-III : typologie des marmites (CP) 159
Fig. 6.5. Niveaux Acr-VIA à Acr-III : typologie des jarres (JR) selon la taille . 160
Fig. 6.6. Niveaux Acr-VIA à Acr-III : typologie des cols de jarre (JR 1, 2 et 3) 161
Fig. 6.7. Niveaux Acr-VIA à Acr-III : typologie des cruches (JG) 162
Fig. 6.8. Niveaux Acr-VA à Acr-III : typologie des cruchettes (JT), des calices (CL) et des gobelets (GB) 163
Fig. 6.9. Niveaux Acr-VIA à Acr-III : typologie des flasques (FL), des pyxides (PX) et des lampes (LP) 164
Fig. 6.10. Détails des surfaces et coupes de poteries des niveaux Acr-VIA à Acr. II 167

Chapitre 7

Fig. 7.1. Fréquences des catégories de formes de poterie du niveau Acr-VIA . 169
Fig. 7.2. Tessons chypriotes, mycéniens et tessons peints divers. 178
Fig. 7.3. Sondage 2, poterie du niveau Acr-VIA (BR IIB) : L.2314 183
Fig. 7.4. Sondage 2, poterie du niveau Acr-VIA (BR IIB) : L.2309B 185
Fig. 7.5. Sondage 2, poterie du niveau Acr-VIA (BR IIB) : L.2309B 187
Fig. 7.6. Sondage 2, poterie du niveau Acr-VIA (BR IIB) : L.1173-2 189
Fig. 7.7. Sondage 2, poterie du niveau Acr-VIA (BR IIB) : L.1173, 1179, 1180, 1191 191
Fig. 7.8. Sondage 2, poterie du niveau Acr-VIA (BR IIB) : L.1173 193

Chapitre 8

Fig. 8.1. Fréquences des catégories de formes de poterie du niveau Acr-V . . 195
Fig. 8.2. Petit bol BL 1A.1b 196
Fig. 8.3. Fond de jarre JR 2 205

Fig. 8.4. Fragment de cruche biconique à anse 206
Fig. 8.5. Cruche-marmite JG 4 207
Fig. 8.6. Sondage 2, poterie des niveaux Acr-VB (L.2310) et Acr-VA (L.1186) (BR III/Fer IA) 219
Fig. 8.7. Sondage 2, poterie du niveau Acr-VA (BR III/Fer IA) : L.1186 . . . 221
Fig. 8.8. Sondage 2, poterie du niveau Acr-VA (BR III/Fer IA) : L.1186 . . . 223
Fig. 8.9. Sondage 2, poterie du niveau Acr-VA (BR III/Fer IA) : L.1186 . . . 225
Fig. 8.10. Sondage 2, poterie du niveau Acr-V (BR III/Fer IA) : L.2309A . . 227
Fig. 8.11. Sondage 2, poterie du niveau Acr-VA (BR III/Fer IA) : L.2312 . . . 231
Fig. 8.12. Sondage 2, poterie du niveau Acr-VA (BR III/Fer IA) : L.1152 et 1153 233
Fig. 8.13. Sondage 2, poterie du niveau Acr-VA (BR III/Fer IA) : L.1153 . . . 235

Chapitre 9

Fig. 9.1. Fréquences des catégories de formes de poterie du niveau Acr-IV . . 239
Fig. 9.2. Pyxide 244
Fig. 9.3. Tessons de plats à cuire 245
Fig. 9.4. Tessons philistins du niveau Acr-IV : L.1148 246
Fig. 9.5. Sondage 1, Phase 6, poterie du Fer I : L.1101, 1103 et 1105 253
Fig. 9.6. Sondage 2, poterie du niveau Acr-IV (Fer IB) : L.1148 255
Fig. 9.7. Sondage 2, poterie du niveau Acr-IV (Fer IB) : L.1148 et L.2338 . . 257
Fig. 9.8. Sondage 2, poterie du niveau Acr-IV (Fer IB) : L.1150 261

Chapitre 10

Fig. 10.1. Fréquences des catégories de formes de poterie du niveau Acr-III . . 263
Fig. 10.2. Petits bols 265
Fig. 10.3. Grand bol 266
Fig. 10.4. Marmite 269
Fig. 10.5. Petites jarres et jarres moyennes (L.1149) 272
Fig. 10.6. Jarres moyennes (L.1130) 273
Fig. 10.7. Grande jarre 274
Fig. 10.8. Cruche à haut col 276
Fig. 10.9. Cruchettes 280
Fig. 10.10. La lampe A.9609-2 recouverte par le petit bol A.9609-1 282
Fig. 10.11. Tessons philistins des niveaux Acr-III et Acr-II 284
Fig. 10.12. Sondage 2, poterie du niveau Acr-III (Fer IB) : L.1136 et L.1149 . . 291
Fig. 10.13. Sondage 2, poterie du niveau Acr-III (Fer IB) : L.1149 (suite) . . . 293
Fig. 10.14. Sondage 2, poterie du niveau Acr-III (Fer IB) : L.1149 (suite). Trois vases trouvés emboîtés 295
Fig. 10.15. Sondage 2, poterie du niveau Acr-III (Fer IB) : L.1149 (suite). Jarres 297
Fig. 10.16. Sondage 2, poterie du niveau Acr-III (Fer IB) : L.1149 (suite et fin). Jarres 299
Fig. 10.17. Sondage 2, poterie du niveau Acr-III (Fer IB) : L.1130 et L.1139 . . 301

Fig. 10.18. Sondage 2, poterie du niveau Acr-III (Fer IB) : L.1130 (suite) . . . 303
Fig. 10.19. Sondage 2, poterie du niveau Acr-III (Fer IB) : L.1130 (suite et fin), L.2334 307
Fig. 10.20. Sondage 2, poterie du niveau Acr-III (Fer IB) : L.1171 309
Fig. 10.21. Sondage 2, poterie du niveau Acr-III (Fer IB) : L.1171 (suite et fin) 313
Fig. 10.22. Sondage 2, poterie du niveau Acr-III (Fer IB) : L.1166 315

Chapitre 11

Fig. 11.1. Jarre sans col 322
Fig. 11.2. Fragment de lampe. 324
Fig. 11.3. Sondage 2, poterie du niveau Acr-IIB : L.2320-2 331
Fig. 11.4. Sondage 2, poterie du niveau Acr-IIB : L.2320-2 (suite et fin) 333
Fig. 11.5. Sondage 2, poterie du niveau Acr-IIB : L.2320-1 335
Fig. 11.6. Sondage 2, poterie du niveau Acr-IIB : L.2320-1 (suite et fin) 337
Fig. 11.7. Sondage 2, poterie philistine du niveau Acr-II (Fer IB–IIA) : L.1161 et L.2320. 339
Fig. 11.8. Sondage 2, poterie du niveau Acr-IIA (Fer IIB à Perse) : L.1119 . . 341

Chapitre 12

Fig. 12.1. Sondage 1, Phase 6, tessons d'époques hellénistique (?) et romaine ancienne 349
Fig. 12.2. Sondage 1, Phase 6, poterie romaine tardive/byzantine ancienne . . 350
Fig. 12.3. Sondage 2, poterie des niveaux Acr-IA2 (L.1175 : Romain) et Acr-IB (L.1179, L.1180 : Romain ancien). 353

Chapitre 13

Fig. 13.1. Large Geometric sickle segments from the Yarmuth acropolis 361
Fig. 13.2. Variability in edge retouch on Large Geometric sickle segments. . . 362

Chapitre 14

Fig. 14.1. Objets en alliage de cuivre 367
Fig. 14.2. Objets en fer 371

Chapitre 15

Fig. 15.1. Lentille de terre crue brûlée 377
Fig. 15.2. Fragment de lit votif (?) 378
Fig. 15.3. Poids de tisserand en terre cuite, fusaïoles en céramique, rondelles de céramique non perforée et à double perforations. 381
Fig. 15.4. Tesson d'écuelle retaillé pour servir de racloir 384
Fig. 15.5. Petits objets divers en pierre 385
Fig. 15.6. Fragments de vases en basalte 387

Fig. 15.7. Fusaïoles et poids de tisserands en pierre 387
Fig. 15.8. Mortiers 390
Fig. 15.9. Molettes et pilons 391
Fig. 15.10. Fragments de meule 394
Fig. 15.11. Objets divers en pierre 397
Fig. 15.12. Objets en os 398
Fig. 15.13. Pendentif aménagé dans un disque vertébral de requin 399

Chapitre 16

Fig. 16.1. Sceau à bélière en stéatite gris-beige C.9631 408
Fig. 16.2. Sceaux en calcaire du Bronze ancien I 410
Fig. 16.3. Sceaux et empreintes de sceau-cylindre 411

Chapitre 17

Fig. 17.1. Fragment of an offering table C.9516-1 416
Fig. 17.2. Fragment of a palette C.9597-1 418

Chapitre 18

Fig. 18.1. Late Ramesside Egyptian scarab H.10622-1 422

Chapitre 19

Fig. 19.1. General location of the hoard in the lower city 432
Fig. 19.2. Location of the hoard, on the edge of Hillock 4 433
Fig. 19.3. North-east section of square T 37 434
Fig. 19.4. The hoard in situ. View to northeast 434
Fig. 19.5. Sketch of the hoard in situ, showing the position of the various items 435
Fig. 19.6. The hoard in situ: detailed view to the southwest 435
Fig. 19.7. General view of the items composing the hoard, after restoration . . 437
Fig. 19.8. Fragment of a decorated bronze plaque with an Egyptian inscription (F.14836-1) 438
Fig. 19.9. Proposed reconstruction of the *naos* with the inscribed bronze plaque 441
Fig. 19.10. Proposed reconstruction of the complete inscribed bronze plaque of **Fig. 19.8** 442
Fig. 19.11. A socketed hoe blade (F.14836-2) 444
Fig. 19.12. A bronze fitting component (14836-3) 448
Fig. 19.13. Proposed reconstruction and suggested use of the bronze fitting component of **Fig. 19.12** and its stand 449
Fig. 19.14. Fragmentary bronze sheet 14836-10 with a semi-circular protrusion, before and after unfolding and cleaning 451
Fig. 19.15. The hieroglyphic signs *wḏḥw* (R3) and *ḥtp* [R4] 452
Fig. 19.16. Fragmentary bronze sheet 14836-7, before unfolding and cleaning . 452
Fig. 19.17. Fragmentary bronze sheet 14836-7, after unfolding and cleaning . . 453

Fig. 19.18. Fragmentary bronze sheet 14836-9, before and after unfolding and cleaning 454
Fig. 19.19. Fragmentary bronze sheet 14836-13, before unfolding and cleaning 455
Fig. 19.20. Fragmentary bronze sheet 14836-13, after unfolding and cleaning . 456
Fig. 19.21. Four fragmentary bronze sheets, before unfolding and cleaning . . . 458
Fig. 19.22. Four fragmentary bronze sheets, after unfolding and cleaning 459
Fig. 19.23. Reconstruction and suggested use as axle's cap of the four fragmentary bronze sheets of **Figs 19.21–19.22** 460
Fig. 19.24. Two fragmentary bronze sheets (14836-8+4), before unfolding and cleaning 462
Fig. 19.25. Fragmentary bronze sheets (14836-8+4), after unfolding and cleaning 463
Fig. 19.26. Fragmentary bronze sheet 14836-5, and suggested original shape . . 464
Fig. 19.27. Two fragmentary bronze sheets (14823-1 and 14836-6), before unfolding and cleaning 466
Fig. 19.28. Two fragmentary bronze sheets (14823-1 + 14836-6), after unfolding and cleaning 467
Fig. 19.29. Suggested reconstruction of the arrangement of the two fragmentary bronze sheets of **Fig. 19.28**. 468

Chapitre 20

Fig. 20.1. Deer antler 486
Fig. 20.2. Fragment of an antler 486

Chapitre 22

Fig. 22.1. Photo d'un charbon de chêne à feuillage caduc (*Quercus* f.c.). Coupe transversale, ×50 497
Fig. 22.2. Photo d'un charbon d'olivier (*Olea europaea*). Coupe transversale, ×50 497
Fig. 22.3. Planche herbier de l'aliboufier (*Styrax officinalis*) 498

Chapitre 23

Fig. 23.1. Probability distribution of the calibrated ranges of the dated samples 506

Chapitre 24

Fig. 24.1. Tel Yarmouth et les principaux sites voisins de l'âge de Fer (photo aérienne de 1977) 515
Fig. 24.2. Tel Yarmouth et les cités-états de la Shéphélah centrale du Bronze ancien à la fin du Fer IIB 515
Fig. 24.3. Tel Yarmouth et les cités-états hégémoniques en Shéphélah centrale du Bronze récent IIB à la fin du Fer IIB. 518
Fig. 24.4. Carte des sites du Fer I au sud-ouest d'Israël 518
Fig. 24.5. Tel Yarmouth, la Porte E de la ville du Bronze ancien : état des lieux en 1981, après la deuxième campagne de fouilles 539

Appendice 1

Fig. 1. Group Loess and Coastal Sand (Krater[?] 9618-8, see **Fig. 10.12:9**) 554
Fig. 2. Group Loess and Calcareous Sand (Krater 9653-1, see **Fig. 9.8:6**) . 555
Fig. 3. Group Terra Rossa (Jug[?] 9712-25, see **Fig. 10.20:15**) 555

LISTE DES TABLEAUX

Chapitre 1

Tableau 1.1. Tableau de l'occupation de Tel Yarmouth 18
Tableau 1.2. Liste des n° de licence par campagne de fouilles 21
Tableau 1.3. Liste des n° de locus et des n° d'opération attribués par campagne de fouilles 21

Chapitre 2

Tableau 2.1. Stratigraphie comparée des sondages 1 et 2 de l'acropole. 32

Chapitre 3

Tableau 3.1. Stratigraphie du Sondage 2 de l'acropole 55
Tableau 3.2. Niveaux Acr-IX à Acr-VII : fréquence des tessons par niveau et par locus 60

Chapitre 6

Tableau 6.1. Désignation en français et en anglais des catégories de formes de poterie du Bronze récent à l'âge du Fer et leurs abréviations 154
Tableau 6.2. Tableau de fréquence des catégories de formes de poterie des niveaux Acr-VI à Acr-III 165

Chapitre 13

Table 13.1. General lithic frequencies from the Tel Yarmuth acropolis 358
Table 13.2. Sickle segment metrics 359

Chapitre 14

Tableau 14.1. Répartition chronologique et typologique des objets métalliques. . 365
Table 14.2. Chemical composition of the metal objects from Tel Yarmuth acropolis 374

Chapitre 15

Tableau 15.1. Répartition des objets par matériaux et par fonctions 377
Tableau 15.2. Fusaïoles aménagées dans un tesson retaillé en rondelle et perforé . 379

Chapitre 19

Table 19.1. Chemical composition of the metal objects from the Tel Yarmuth hoard of Egyptian bronzes 469
Table 19.2. Same as Table 19.1, highlighting the cases when significant differences in the corrosion of a single object were detected. 470

Chapitre 20

Table 20.1. Counts of teeth and bones from the Tel Yarmuth acropolis soundings 485

Chapitre 21

Table 21.1. Mollusc shells from the Tel Yarmuth acropolis soundings 489

Chapitre 22

Tableau 22.1. Dénombrement des restes carpologiques 494
Tableau 22.2. Diagramme anthracologique, tous niveaux confondus 496
Tableau 22.3. Dénombrement des restes anthracologiques, par niveau 496
Tableau 22.4. Diagramme anthracologique, du Bronze ancien à l'époque perse . 500

Chapitre 23

Table 23.1. Archaeological context, botanical identification and expected age of the samples radiocarbon dated from Sounding 2 on the acropolis of Tel Yarmuth 504
Table 23.2. Wood charcoal samples measured by decay counting method by I. Carmi 504
Table 23.3. Short lived samples measured by AMS by E. Boaretto 505

Chapitre 24

Tableau 24.1. Stratigraphie relative des niveaux Acr.-VI à Acr-III 512
Tableau 24.2. Stratigraphie relative du niveau Acr.-II 529

Appendice 1

Table 1. Summary of the results 554

LISTE DES ABRÉVIATIONS USUELLES

Acr.1	Acropole, Sondage 1	h.s.	hors stratigraphie
Acr.2	Acropole, Sondage 2	Hell.	Hellénistique
anc.	ancien	int.	intérieur
BA	Bronze ancien	L.	Locus
BM	Bronze moyen	M.	Mur
BR	Bronze récent	min.	minéral
Byz.	Byzantin	Ph.	Phase
céram.	céramique	réc.	récent
comm.	commune	Rom.	Romain
dégr.	dégraissant	s.	siècle
eng.	engobe	S.	Structure
ext.	extérieur	surf.	surface
F.	Fosse	Tr.	Tranchée de fondation
gross.	grossier(ère)		

LISTE DES CONVENTIONS GRAPHIQUES APPLIQUÉES SUR LES PLANS ET LES COUPES

Sur les plans et les coupes :

Les n° de locus sont encadrés, soulignés, ou laissés sans marque distinctive selon la nature du locus :

1121	Locus (espace)
1108	Mur
2327	Structure quelconque

Indications des altitudes sur les plans :

Toutes les altitudes sont en mètres au-dessus du niveau de la mer. Elles sont indiquées selon les conventions graphiques suivantes :

393.36	altitude d'un point.
403.69	Sommet d'un mur ou d'une structure au point indiqué.
400.14	Base d'un mur ou d'une structure au point indiqué.
401.21 400.14	Sommet et base d'un mur ou d'une structure au point indiqué.

AVANT-PROPOS

Pierre DE MIROSCHEDJI

Dix-huit campagnes de fouilles ont eu lieu à Tel Yarmouth entre 1980 et 2009 sous les auspices du Centre national de la recherche scientifique (Centre de recherche français de Jérusalem et UMR 7041) et de l'Institut d'archéologie de l'Université hébraïque de Jérusalem. Le présent ouvrage constitue le premier volume de la publication finale de ces recherches. Les volumes suivants, en préparation, traiteront des découvertes dans la ville basse : palais, fortifications, quartiers d'habitation, poterie, mobilier divers (*artefacts* et *ecofacts*).

Ce rapport ne se situe donc pas dans la continuité de *Yarmouth 1*, qui était un rapport intérimaire détaillé sur les trois premières campagnes de fouilles publié en 1988. Initialement, on avait prévu de faire paraître régulièrement, toutes les trois campagnes, des rapports intérimaires de même format que *Yarmouth 1*. Il a fallu abandonner ce projet car il est vite apparu que cette formule comportait trop d'inconvénients ; en effet, la poursuite des fouilles a trop souvent rendu caduques les attributions stratigraphiques et les interprétations archéologiques de découvertes dont la nature et la signification ont changé avec la progression des travaux. De nombreux rapports préliminaires et des études diverses ont cependant été publiés dans l'intervalle, en sorte que l'essentiel des résultats des fouilles a été rendu public au fur et à mesure des découvertes.

La plupart de ces découvertes ont été faites dans les niveaux du Bronze ancien de la ville basse. Yarmouth était en effet au IIIe millénaire l'une des plus importantes cités-états du Levant méridional, qui a livré des restes d'architecture monumentale d'une exceptionnelle ampleur. Son âge d'or s'est achevé avec le BA III. Le site est ensuite resté déserté pendant de longs siècles. Quand il a été réoccupé, vers le milieu du IIe millénaire, ce fut seulement sur l'acropole, une petite colline entourée de versants raides qui domine le site au sud-est et qui en constitue le sommet naturellement fortifié. On savait, grâce aux prospections de surface réalisées par de nombreux chercheurs depuis le milieu du XIXe siècle, que cette colline, la *Khirbet el-Yarmūk* proprement dite, avait été le siège d'un établissement dont l'occupation s'était poursuivie jusqu'au début de l'époque byzantine et que beaucoup identifiaient avec la Yarmouth mentionnée dans la Bible, la ville de Piream, l'un des cinq rois cananéens vaincus par Josué à Gabaon et à Ayalon (Jos 10:3,5,23 ; 12:11 ; 15:35).

Comme les fouilles de Yarmouth ont été entreprises dans le cadre d'un programme de recherche sur l'urbanisation en Canaan au IVe et IIIe millénaires, et qu'elles se concentraient donc sur la ville basse où se trouvent les principaux vestiges de construction du Bronze ancien, l'exploration de l'acropole n'était pas un objectif immédiatement prioritaire. On a donc attendu la 5e campagne de fouilles en 1986 pour commencer des recherches sur la ville haute. Ce furent les premières fouilles jamais entreprises sur l'acropole, qui devaient régler définitivement la question débattue de l'occupation du site à la fin du Bronze récent, à l'époque supposée des « conquêtes » de Josué. Après une prospection systématique, deux

sondages furent ouverts dans le prolongement l'un de l'autre en bordure des deux terrasses étagées qui couronnent l'acropole. Les travaux ont été poursuivis, avec des interruptions, pendant six campagnes (1986-1987, 1989-1990, 1996-1997). Les fouilles des quatre premières campagnes furent supervisées par André Lemaire, assisté d'une petite équipe de fouilleurs. Celles des deux dernières campagnes furent dirigées par Michaël Jasmin, qui dut laborieusement remettre en forme le sondage principal (Sondage 2) dont les coupes s'étaient effondrées pendant la période d'interruption des fouilles entre 1990 et 1996. C'est lui qui a conduit ensuite l'étude stratigraphique, architecturale et archéologique des découvertes.

La finalité archéologique de ces deux sondages était ostensiblement modeste. Sachant que l'épaisseur des couches archéologiques serait considérable, il n'était pas question d'envisager de grands dégagements horizontaux ; il fallait se borner à des opérations de reconnaissance stratigraphique afin d'établir la séquence de l'occupation de l'acropole depuis la surface jusqu'au rocher. Les fouilles ont donc été arrêtées dans les deux sondages aussitôt que le rocher a été atteint et que la succession des niveaux a paru suffisamment établie.

L'apport de ces fouilles sur l'acropole est double. C'est, d'une part, l'établissement de la séquence d'occupation complète de Tel Yarmouth, et cela justifie que ce volume inaugure la publication finale des fouilles de ce site. C'est aussi, d'autre part, la révélation d'une occupation continue du site du BR II à la fin du Fer I, pendant ces époques cruciales pour la connaissance du processus d'émergence historique du royaume de Juda.

Les fouilles de Tel Yarmouth ont été subventionnées par la Commission consultative pour les recherches archéologiques françaises à l'étranger du Ministère des Affaires Européennes et Étrangères. Nous avons une très grande dette de reconnaissance envers les secrétaires généraux successifs de cette Commission, les regrettés Jean Pouilloux, Jean Leclant et Jean-François Jarrige, pour leurs encouragements et leur appui constants. Les fouilles ont bénéficié de l'aide matériel du Centre de recherche français à Jérusalem et de l'UMR 7041 du CNRS, ainsi que de la collaboration de leurs techniciens, en particulier le regretté Daniel Ladiray, qui a effectué de nombreux relevés de terrain. La préparation de la publication de ce rapport a été possible grâce à une généreuse subvention de la Fondation Shelby White–Leon Levy dans le cadre du Shelby White–Leon Levy Program for Archaeological Publications, et je tiens à remercier particulièrement les membres de son Comité qui ont soutenu ce projet.

Cet ouvrage est le résultat d'une entreprise collective. On trouvera ci-après la liste des participants aux fouilles de l'acropole et les noms de ceux qui ont contribué à la préparation du présent volume. À chacun d'eux les cosignataires de cet ouvrage adressent leur gratitude. Outre les chapitres que ces derniers ont rédigés seuls ou conjointement, ce rapport inclut des contributions majeures de Steven A. Rosen et Jacob Vardi (industrie lithique), Sariel Shalev (analyses métallurgiques), Baruch Brandl (scarabée et bronzes égyptiens), Karin Sowada (*aegyptiaca*), Simon J. M. Davis (faune), Yuval Goren (analyses pétrographiques de poteries philistines), Linda Herveux (flore), Daniella E. Bar-Yosef Mayer (malacologie) et Elisabetta Boaretto (datations radiocarbone). Nous les remercions tous chaleureusement de leur aide et de leur collaboration amicales. Nous ne saurions oublier tous ceux, collègues et amis, très nombreux, qui nous ont aidé en partageant leur expérience et leur savoir au cours de visites sur le terrain pendant les fouilles ou de discussions et d'échanges après les fouilles, particulièrement Yehuda Dagan, Israel Finkelstein, Seymour Gitin, Ann Killebrew, Sabine Kleiman, Amos Kloner, Oded Lipschits, Aren Maeir et Amihai Mazar.

Enfin, il m'est agréable de remercier M. Paul Peeters et les éditeurs de la collection des *Ancient Near Eastern Studies*, le regretté Antonio Sagona et Claudia Sagona, ainsi que Andrew Jamieson et Abby Robinson, qui ont accepté d'accueillir ce volume et les suivants dans cette belle collection des éditions Peeters.

LISTE DES PARTICIPANTS AUX FOUILLES SUR L'ACROPOLE, À L'ÉTUDE DU MATÉRIEL ET À LA PRÉPARATION DE LA PUBLICATION

Directeur des fouilles : Pierre de Miroschedji.

Chef du chantier sur l'acropole : André Lemaire (1986–1990), Michaël Jasmin (1996–1997).

Assistants : Brigitte Ouahnouna (1989–1990), Christian Lawniczak (1996–1997), Viviane Laut (1997).

Relevés d'architecture : Philippe Henault (1986), Michel Prioton (1987), Daniel Ladiray* (1989), Hélène Tavernier (1990), Estelle Comte (1996–1997), É. Tessoneyre (topographie, 1996).

Relevé des coupes stratigraphiques : Michaël Jasmin, André Lemaire, Pierre de Miroschedji.

Dessins d'objets : Bernadette Gillain (1988), Jeannette van der Post (1989, 1992), Daniel Ladiray* (1994–1995, 1996, 1998), Marie Dubit (1997), Sylvie Éliès (2000–2001), Yulia Rudman (2009-2012).

D.A.O. : Marjolaine Barazani*, Hélène David-Cuny.

Restauration des poteries : Sophie Duberson (1990), Gabriel Gilboa (1994-2000).

Photographies de chantier : Pierre de Miroschedji.

Photographies aériennes : Dubi Tal (Albatross, Tel Aviv).

Photographies d'objets : Marjolaine Barazani*, Ilan Sztulman, André Pelle**.

Traitement des photographies, numérisation : Marjolaine Barazani*.

* Centre national de la Recherche Scientifique, Centre de recherche français à Jérusalem
** Centre national de la Recherche Scientifique (UMR 7041)

CHAPITRE 1

INTRODUCTION GÉNÉRALE

Pierre de MIROSCHEDJI et Michaël JASMIN

1.1. LE SITE

1.1.1. Localisation

Tel Yarmouth se trouve à vol d'oiseau à 34 km de la côte méditerranéenne et à 25 km à l'ouest-sud-ouest de Jérusalem[1], dans une région de basses collines qui forment le piémont des monts de Judée et que la Bible appelle la Shéphélah, le bas de pays de la Judée (**Fig. 1.1**). C'est une région fertile, où alternent les fonds de vallée propres à l'agriculture et des basses collines couvertes de garrigue propices à l'horticulture et à l'élevage[2]. Elle est entrecoupée de voies de passage transversales (est-ouest) qui mettent la montagne de Judée en communication avec la plaine côtière ; elles y rejoignent la *via maris*, qui longe le littoral méditerranéen et qui relie la Palestine à l'Égypte et à la Syrie. Dans la Shéphélah centrale, ces voies de passage transversales sont, au nord la vallée du Soreq (Wadi es-Surar), au sud la vallée de la Elah (nahal ha-Elah = Wadi es-Sunt, la vallée du Térébinthe de la Bible) empruntée par la voie romaine qui conduit à Jérusalem (**Figs 1.2–1.4**). La région est en outre parcourue du nord au sud par deux grandes failles qui sont des voies de passage intérieures longitudinales entre la plaine du Sharon au nord et le Néguev septentrional au sud. Tel Yarmouth est au point de rencontre de ces routes naturelles : le modeste nahal Yarmouth (Wadi en-Nabi Bulus), où abondent les sources, borde le site au nord (**Fig. 1.5**), et la vallée de la Elah est à 2 km au sud (**Fig. 1.4**) ; une trouée longitudinale nord-sud à seulement 1,5 km à l'ouest du site est suivie par la route moderne de Beth Shemesh à Gat Govrin (**Figs 1.6–1.7**), et une autre à moins de 3,5 km à l'est par le nahal Zanoah (Wadi en-Najil).

Tel Yarmouth est situé au cœur d'une région riche en vestiges archéologiques. Des prospections archéologiques et environnementales systématiques accompagnées de quelques fouilles de sauvetage ont été menées entre 1989 et 2000 entre Beth Shemesh et Tel Yarmouth dans le cadre du *Ramat Beth Shemesh Regional Project*[3]. Ces recherches intensives ont été réalisées en prévision du plan d'aménagement urbain de Ramat Beth Shemesh, une agglomération satellite de la ville de Beth Shemesh qui, à terme, englobera Tel Yarmouth. Le site, qui était resté dans un splendide isolement jusqu'au début des années 2000 (**voir Figs 1.7, 24.1**),

[1] Coordonnées géographiques de l'ensemble du site : 31°42'28"/45"N–34°58'8"/32.5"E ; ITM (*Israel Transverse Mercator* ou « New Israel Grid ») : 197150/197780E–623930/624450N ; ICS (Israeli Cassini Soldner ou « Old Israel Grid » : 147200/780E–123930/124450N. Coordonnées géographiques de l'acropole seule : 31°42'28"/32"N–34°58'27.5"/32.5" ; ITM : 197610/197780E–623920/624115N.

[2] Goldberg 1988 ; Nodet 1988a ; Dagan 2011a.

[3] Dagan 2010, 2011a.

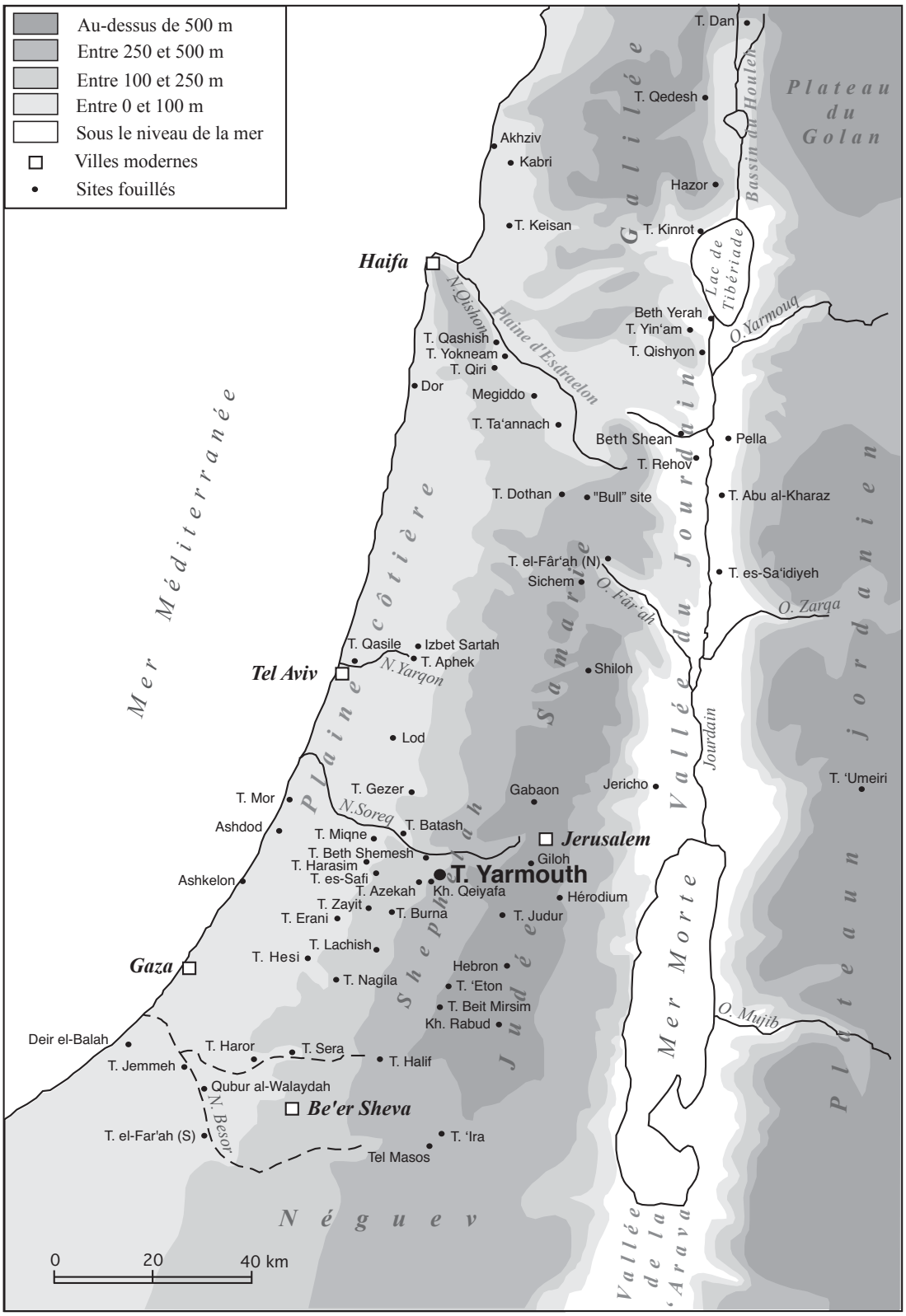


Fig. 1.1. Carte de la Palestine, avec la localisation des principaux sites du Bronze récent et de l'âge du Fer.

est désormais peu à peu entouré de quartiers d'habitations qui, à partir du versant nord du nahal Yarmouth (**Fig. 1.5**), ont déjà gagné (2014) les collines à l'est du site, et qui, bientôt (2015 et années suivantes), vont couvrir les collines au sud et à l'ouest. À partir de 2007, le développement des travaux de construction aux alentours du site a donné lieu à de très nombreuses fouilles de sauvetage, poursuivies jusqu'à présent, en sorte que cette région de la haute Shéphélah est aujourd'hui exceptionnellement bien connue[4].

Ces prospections et ces fouilles ont permis d'établir des cartes archéologiques des environs de Tel Yarmouth pour toutes les époques depuis le Chalcolithique jusqu'à l'époque moderne[5]. Pour s'en tenir au Bronze récent et à l'âge du Fer, qui sont les époques concernées principalement par ce rapport, les sites les plus proches ayant connu des occupations relativement continues à mettre en parallèle avec celles de Yarmouth sont de petites tailles, de l'ordre d'un hectare (**Fig. 1.3**). Trois sites se distinguent : Khirbet el-'Alya et Tel Zanoah situés au nord-est de Tel Yarmouth, respectivement à 1,4 et 2,6 km, Khirbet Qeiyafa à 2,3 km au sud-ouest[6] et enfin Tel Socoh à un peu plus de 3 km au sud dans la vallée de la Elah[7]. Les sites de taille moyenne (quelques hectares) les plus proches sont Tel Azekah[8] et Tel Bet-Shemesh[9], respectivement à 3,8 km au sud-ouest et à 4,5 km au nord. Le site de taille équivalente à celui de Yarmouth le plus proche est Tell es-Safi (Tel Safit), situé à vol d'oiseau à 12 km à l'ouest et placé stratégiquement à la jonction de la basse Shéphélah et de la Plaine côtière, en bordure de la vallée de la Elah[10] (**Figs 1.1, 24.4**).

1.1.2. Topographie[11]

De plan vaguement triangulaire avec une longueur maximale de 640 m et une largeur maximale de 400 m, Tel Yarmouth couvre une superficie de près de 18 hectares[12]. Le site comprend deux entités topographiques distinctes : l'acropole, qui occupe le sommet du triangle, et la ville basse (**Figs 1.8–1.10**). Cette dernière constitue la plus grande partie du site avec une superficie de plus de 16,5 hectares. Barrée de grandes terrasses qui s'étagent sur les flancs de la colline, elle est bordée par la ligne des fortifications du Bronze ancien. L'acropole domine la ville basse au sud-est et son sommet culmine à 405,40 m d'altitude, soit environ 100 m au dessus du point le plus bas du site. Depuis son sommet, on embrasse un vaste panorama, qui englobe les monts de Judée à l'est, l'ensemble de la Shéphélah au nord et au sud et jusqu'à la plaine côtière à l'ouest (**Figs 1.4–1.6**). Le sommet du tell surmonte le fond du nahal Yarmouth (wadi en-Nabi Bulus) qui borde le site au nord (**Figs 1.6–1.7**)

[4] Les rapports préliminaires de ces fouilles de sauvetage sont publiés régulièrement depuis 2007 dans *Hadashot Arkheologiyot*, sous les rubriques « Bet Shemesh »,« Ramat Bet Shemesh », « nahal Yarmut », et sont accessibles en ligne à http ://www.hadashot-esi.org.il/reports_list_eng.aspx

[5] Dagan 2010.

[6] Garfinkel and Ganor 2009 ; Garfinkel *et al.* 2014, 2016.

[7] Hasel *et al.* 2017.

[8] Lipschits *et al.* 2017.

[9] Grant 1934 ; Grant and Wright 1938 ; Bunimovitz and Lederman 2016.

[10] Maeir 2012.

[11] Voir aussi Miroschedji 1988, pp. 23–24.

[12] Dans toutes nos publications antérieures, la superficie du site était donnée à 16 hectares. Un nouveau calcul réalisé par Hai Ashkenazi à l'aide du logiciel « arcGIS » de ESRI indique une superficie de 179286 m^2.

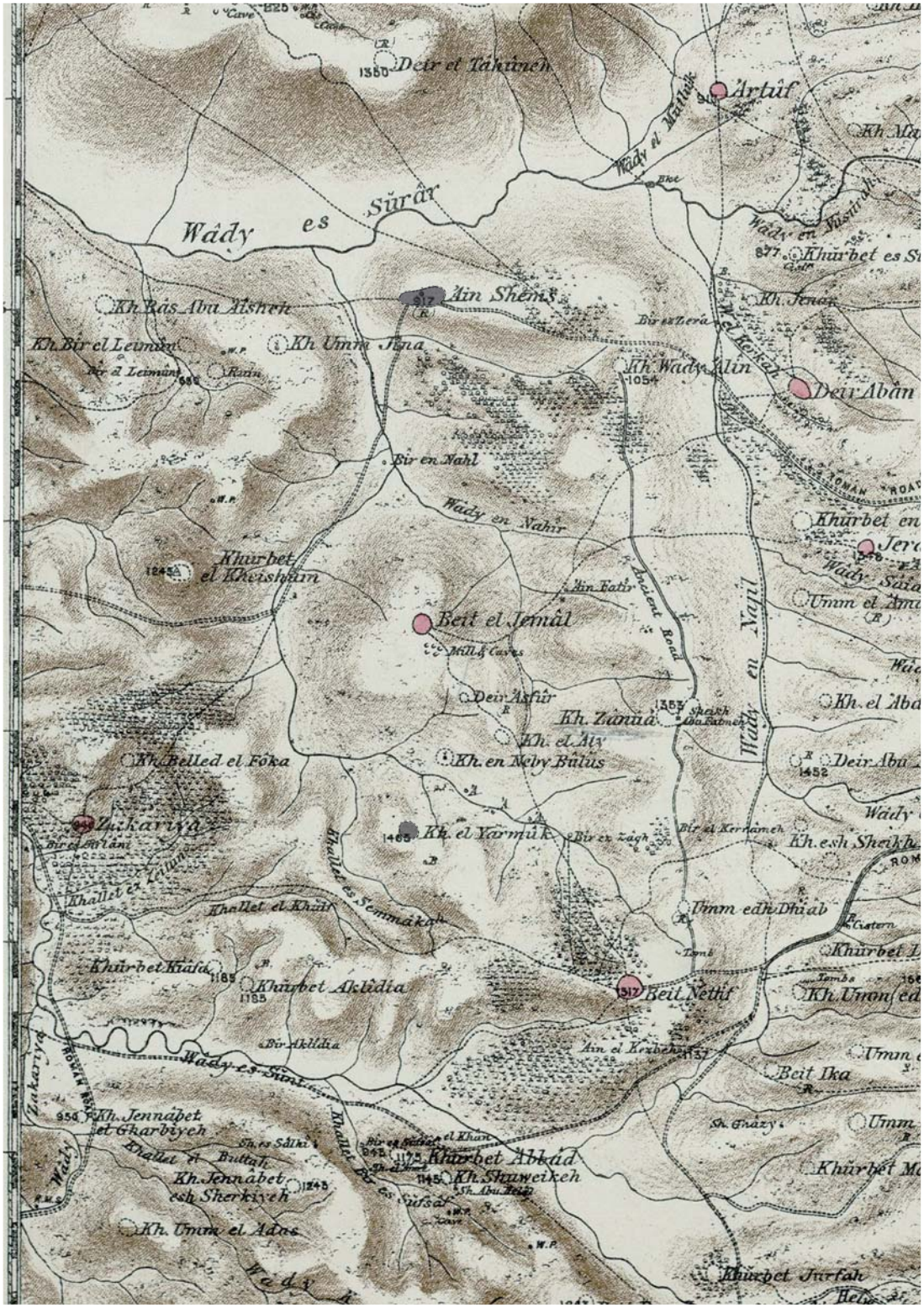


Fig. 1.2. Carte des environs de Tel Yarmouth (Khirbet el-Yarmūk) dressée en 1873 par le *Survey of Western Palestine* (Conder and Kitchener 1880 : *Sheet* XVII, détail).

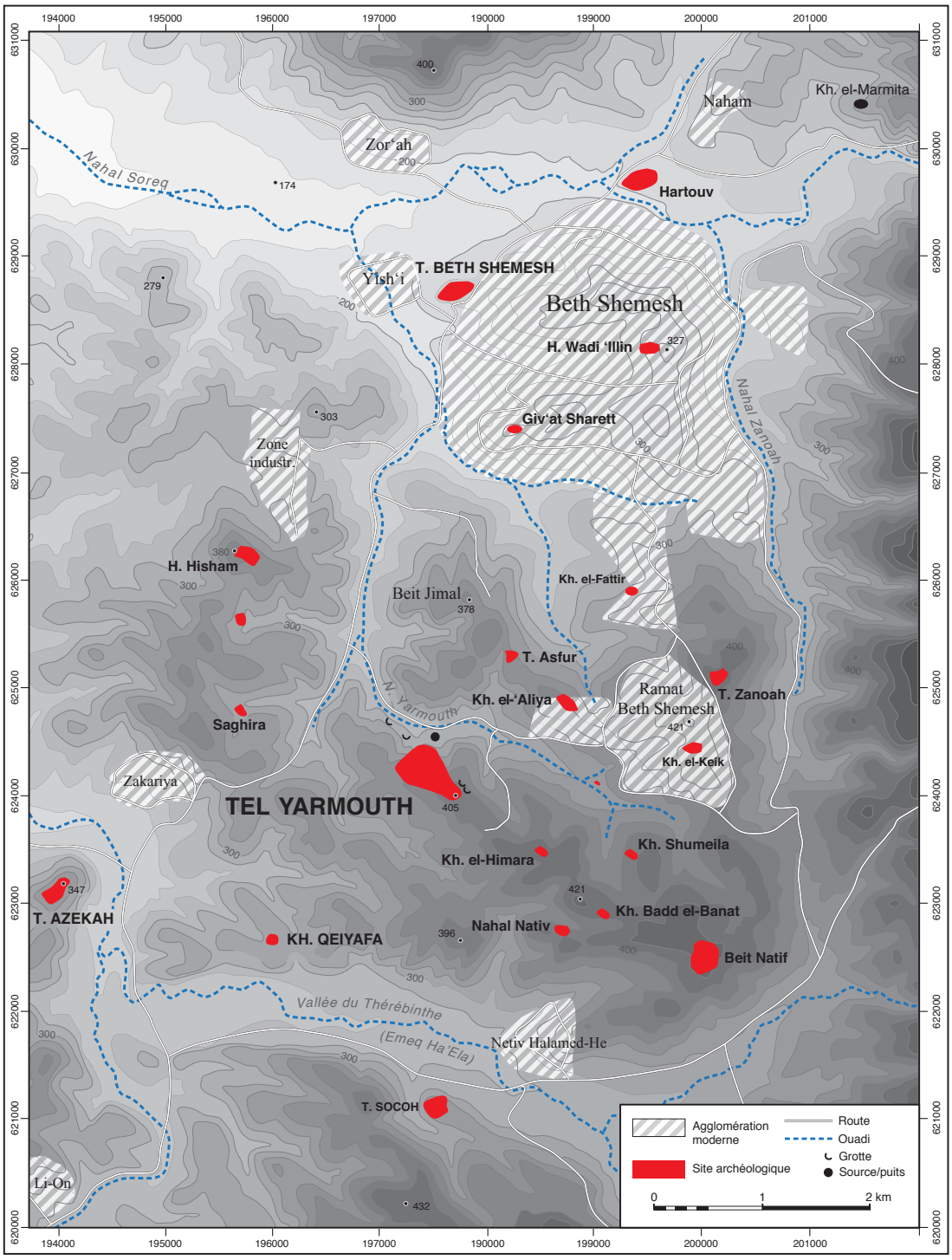


Fig. 1.3. Carte archéologique des environs de Tel Yarmouth (état 2010), avec l'emplacement des principaux sites mentionnés dans ce livre.



Fig. 1.4. Vue aérienne de Tel Yarmouth et de ses environs, vers le sud-ouest. Photo prise en 1999. Au premier plan, Tel Yarmouth. À l'arrière plan, la vallée de la Elah (« vallée du Térébinthe ») avec, en bordure nord, Khirbet Qeiyafa et, en bordure sud, Tel Socoh et Tel Azekah.



Fig. 1.5. Vue aérienne de Tel Yarmouth, vers le nord-est. Photo prise en 1999. Tel Yarmouth est au premier plan. Au centre, le nahal Yarmuth. En arrière, sur la colline à gauche, le monastère de Beit Jimal et, à droite, l'agglomération de Ramat Beth Shemesh, alors en construction. À l'arrière plan, on distingue l'agglomération de Beth Shemesh.

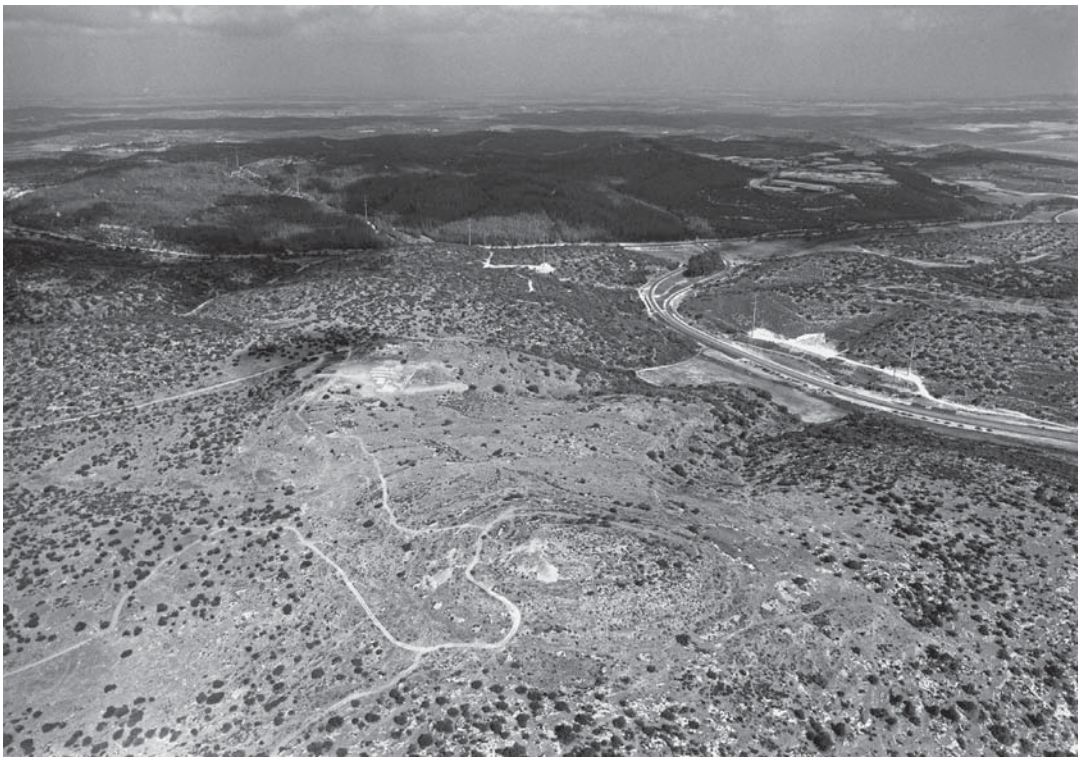


Fig. 1.6. Vue aérienne de Tel Yarmouth et ses environs, vers le nord-ouest. Photo prise en 1999. Au premier plan, Tel Yarmouth. À droite, le nahal Yarmouth. En arrière, la route Beth Shemesh – Beth Govrin, qui suit une ligne de faille longitudinale traversant la Shéphélah du nord au sud. À l'arrière plan, les basses collines de la Shéphélah et, au-delà, la plaine côtière en direction de Tel Aviv.



Fig. 1.7. Vue du nahal Yarmouth en direction du nord-ouest.
Photo prise en 1980.



Fig. 1.8. Vue de Tel Yarmouth, vers le sud-est.

d'environ 125 m et les grandes vallées voisines (le nahal ha-Elah, au pied de Tel Azekah, 3 km au sud-ouest, et le nahal Soreq, près de Beth Shemesh, 5 km au nord) de près de 150 m.

L'acropole se compose de deux terrasses superposées (**Figs 1.8–1.14**). Délimitée par la courbe de niveau des 395 m, la terrasse inférieure dessine un ovale d'une superficie de près d'un hectare et demi. La terrasse supérieure, de forme rectangulaire, bien marquée vers le sud-ouest, couvre une superficie plus réduite de l'ordre d'un demi-hectare, avec des côtés de près de 50 m de long qui suivent la courbe de niveau des 404,00 m.

1.2. L'ACROPOLE DE YARMOUTH

1.2.1. Recherches anciennes

Grâce aux indications topographiques de l'*Onomasticon* d'Eusèbe de Césarée[13], Yarmouth figure sous le nom de « *Ierimoth* » sur une série de cartes de la Terre Sainte compilées depuis la Renaissance jusqu'au XVIIIe siècle avec une précision cartographique très approximative[14].

[13] Eusèbe, *Onomasticon*, 106 : 9/106 : 24 : voir Thomsen 1907, pp. 71–72, désormais remplacé par Freeman-Grenville *et al.* 2003, pp. 61–62 et par Notley and Safrai 2005, pp. 102–105, 182 ; voir aussi Tsafrir *et al.* 1994. Pour une discussion des indications topographiques d'Eusèbe, voir Nodet 1988b et ci-dessous §§ 1.2.2, 3.9.3, et surtout §§ 24.7.3 et 24.2.1.

[14] Nebenzahl 1986, pls 38 (« *Ierimoth* »), 42 (*idem*), 54 (« *Jerimuth* »). Ces documents anciens n'ont aucune précision cartographique et reposent sur une compilation des données géographiques de l'Ancien Testament, de l'*Onomasticon* et des renseignements topographiques glanés dans les récits de voyageurs médiévaux.



Fig. 1.9. Vue aérienne de Tel Yarmouth en 1999, vers le sud-est, avec l'emplacement des principaux chantiers.

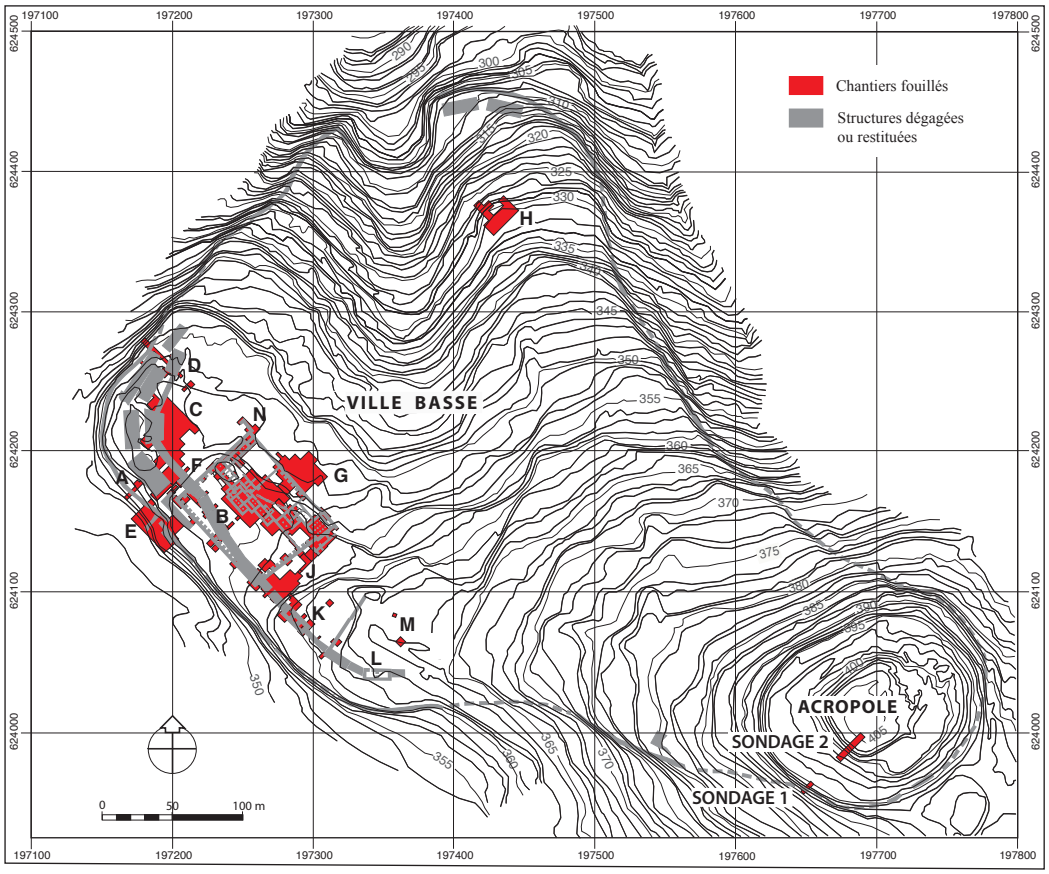


Fig. 1.10. Plan topographique de Tel Yarmouth, avec l'emplacement des chantiers fouillés de 1980 à 2009.

Son emplacement exact a été reconnu par E. Robinson et E. Smith en 1838[15], puis par C. W. M. Van de Velde en 1852[16], mais ni l'un ni l'autre ne l'ont visité. Robinson et Smith mentionnent le site sous le nom de *Khirbet el-Yarmūk*, tandis que Van de Velde est le seul à le désigner du nom qui lui a été communiqué par ses guides autochtones, « Tell Ermûd » ou « Tell-ʻArmuth », preuve que le nom de l'établissement ancien avait été conservé jusqu'au milieu du XIXe siècle (voir ci-dessous § 24.2.1). T. Tobler fut en 1857 le premier visiteur de la Khirbet el-Yarmouk, toponyme qui désigne uniquement l'acropole[17]. Il en a laissé une description remarquablement détaillée, repérant le quadrilatère qui marque le sommet de la colline et signalant les restes de construction visibles en surface, les citernes creusées en plusieurs endroits et les grottes sur son flanc nord. Le visiteur suivant fut V. Guérin en 1863[18]. Ce dernier n'a pas identifié non plus l'établissement du Bronze ancien, développé sur les terrasses de la ville basse en contrebas de l'acropole, bien qu'il ait noté ici et là, en gravissant la pente, « des débris d'habitations renversées et d'innombrables petits fragments de poterie de tous côtés épars sur le sol ». Il s'est borné à signaler, sans les décrire, les ruines de la Khirbet el-Yarmouk, a conclu qu'elles marquent l'emplacement du village de *Ierimuta/ Iermochos* mentionné par Eusèbe et en a déduit, à la suite de Robinson et Smith et de Tobler, que « le Khirbet Yarmouk est l'antique İarmouth ».

Le site a été par la suite régulièrement visité par plusieurs générations d'explorateurs, de chercheurs et d'archéologues[19]. Mais jusqu'en 1960, ces recherches n'ont concerné que l'acropole – la Khirbet el-Yarmouk *stricto sensu* –, seule connue alors comme site archéologique ; c'est elle seulement qui apparaît sur les cartes antérieures à cette date, en particulier celle du *Survey of Western Palestine*[20], la première à recenser systématiquement tous les sites anciens répertoriés jusqu'en 1880 (*cf.* **Fig. 1.2**). Ce n'est qu'à la suite des prospections archéologiques de surface d'A. Druks en 1960[21] que l'extension complète du site fut constatée et les limites de la ville basse clairement identifiée à l'aide de photographies aériennes. L'appellation « Khirbet el-Yarmouk », reprise dans certaines publications archéologiques, en particulier allemandes et italiennes, pour désigner l'ensemble du site, ne doit donc, en toute rigueur, s'appliquer qu'à l'acropole *seulement* – l'acropole et la ville basse réunies constituant

[15] Robinson and Smith 1841, p. 344. Sur les recherches de Robinson et Smith, voir Silberman 1982, pp. 37–47, 52. Un détail de la carte établie pour Robinson et Smith par H. Kiepert où figure Yarmouth et sa région est reproduit par Maeir 2012, p. 90 et, à plus grande échelle, par Hasel *et al.* 2017, fig. 1.28 ; cette carte comporte plusieurs erreurs, corrigées sur celle du *Survey of Western Palestine,* et mentionne des toponymes qui ne s'y retrouvent pas.

[16] Van de Velde 1854, p. 193 (« Tell-Ermûd ») ; 1858, pp. 115–116, 324 (« Tell-ʻArmuth »).

[17] Tobler 1859, pp. 120–121.

[18] Guérin 1869, pp. 371–374. Pour une discussion détaillée de l'identification de Khirbet el-Yarmouk avec Tel Yarmouth, voir ci-dessous § 24.2.

[19] Pour le XIXe siècle : seul J. L. Porter (1880, p. 215) signale le site, qu'il a aperçu de loin en chemin de Tel Azekah à Tel Beth Shemesh en 1857 ; les autres voyageurs qui ont traversé la région dans les années 1860–70 ont suivi la vallée de la Elah sans signaler Tel Yarmouth (Newman 1854, pp. 255–256 ; Furrer 1865, pp. 106–107 ; Thomson 1880, pp. 227–230 ; Geikie 1888, pp. 74–75). Pour le XXe siècle avant les premières fouilles, citons Tonneau 1929, p. 426 ; Garstang 1931, pp. 171–172 ; Albright 1942, pp. 36–37 et n. 30 ; Richardson 1968 ; voir aussi un résumé des recherches dans Dagan 2011b.

[20] Conder and Kitchener 1880, Sheet XVII ; 1883, p. 128. Sur les travaux du *Survey of Western Palestine*, voir Silberman 1982, pp. 115–124 ; Moscrop 2000, pp. 95–128.

[21] Druks 1963, pp. 20–21.

Tel Yarmouth *stricto sensu*, un toponyme inconnu avant 1960, sauf dans la relation du voyage de C.W.M. Van de Velde en 1852.

À la suite de la découverte de la ville basse une campagne de fouilles fut organisée en 1970 sous la direction d'A. Ben-Tor au nom de l'Université Hébraïque de Jérusalem[22]. Ce furent les premières fouilles archéologiques menées sur le site. Elles n'ont concerné que la ville basse mais furent accompagnées à nouveau de collectes de tessons sur l'acropole[23]. La séquence d'occupation du site fut ainsi établie dans ses grandes lignes : il apparut qu'après son abandon à la fin du BA III, la ville basse n'a plus jamais été réoccupée, sauf la construction de murs de terrasses agricoles byzantins et plus recents. L'occupation du site postérieure au Bronze ancien est restée limitée à la ville haute.

Concernant la séquence archéologique de l'acropole proprement dite, les prospections d'A. Ben-Tor, comme celles qui les avaient précédées, ont livré une quantité limitée d'informations. Elles visaient principalement à vérifier l'identification du site avec la Yarmouth biblique[24], mais n'ont pas permis de confirmer son occupation à la fin du Bronze récent, à l'époque supposée de la conquête de Josué. Il apparaissait clairement que cette problématique ne pouvait être résolue qu'à la faveur de fouilles systématiques[25].

Reprise en 1980 sous la direction de P. de Miroschedji au nom du Centre de recherche français de Jérusalem (CNRS et Ministère des Affaires étrangères), les fouilles de Tel Yarmouth ont d'abord concerné exclusivement les niveaux du Bronze ancien dans la ville basse. À partir de 1986 il a été décidé d'étendre les fouilles à l'acropole afin d'établir la séquence d'occupation du site après le Bronze ancien et de répondre aux questions historiques et archéologiques en suspens, en particulier celle de son identification biblique.

1.2.2. Les prospections de surface en 1986

Au préalable, une prospection systématique de la ville haute a été conduite par A. Lemaire pendant la campagne de 1986. Elle a permis de procéder à un relevé détaillé des vestiges archéologiques visibles en surface et donné lieu à des observations importantes qui ont orienté la suite des travaux (**Fig. 1.11**) :

- La terrasse inférieure, d'une superficie d'environ un hectare et demi, est bordée par un talus assez raide dont le sommet suit à peu près la courbe de niveau de 395 m (**Figs 1.12–1.13**). Au nord, à l'ouest et au sud-ouest, sa largeur est de 25 à 40 m et sa déclivité d'environ 5 m. Au nord-est et à l'est, en revanche, elle n'a qu'une douzaine de mètres de largeur, en sorte qu'elle est réduite à une forte pente en continuité avec la terrasse supérieure.
- La terrasse supérieure culmine à 405,40 m (**Figs 1.8**, **1.12–1.13**). Son sommet, à peine bombé, forme, *grosso modo*, un quadrilatère d'une cinquantaine de mètres de côté dont le bord suit la courbe de niveau de 404,00 m et domine, au nord-ouest et au sud-ouest,

[22] Ben-Tor 1975.
[23] Ben-Tor 1975, pp. 57, 73.
[24] Garstang 1931, pp. 171–172 ; Albright 1942, p. 36 n. 30 ; Richardson 1968, p. 12 ; Ben-Tor 1975, pp. 57, 73, 75 ; Thompson 1979, p. 359 (n° 1412.07).
[25] Miroschedji 1988, p. 24.

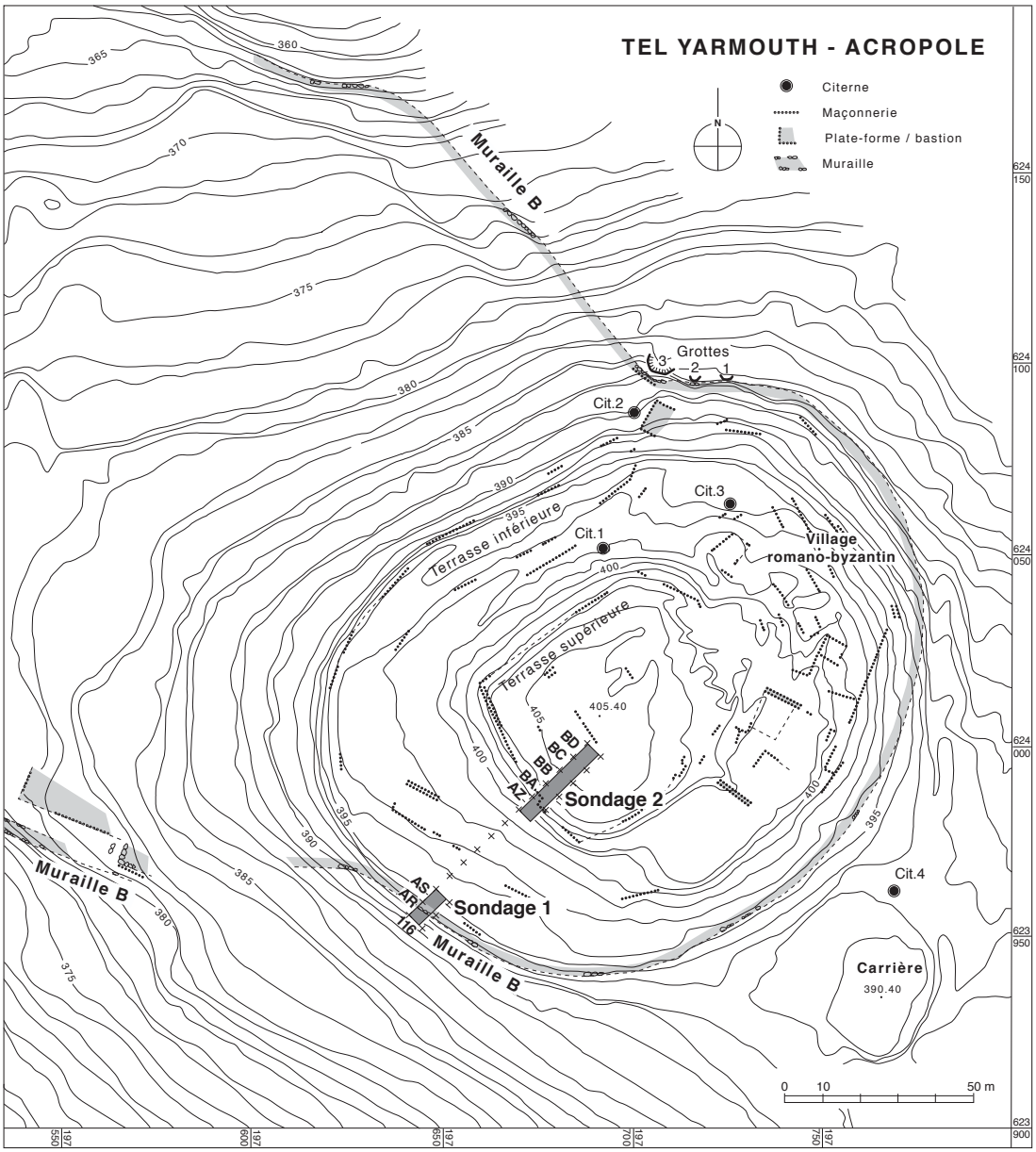


Fig. 1.11. Plan topographique de l'acropole de Tel Yarmouth avec l'emplacement des sondages fouillés et celui des principaux vestiges visibles en surface.

une pente raide de 4 à 5 m de hauteur. Sur ces deux côtés, la terrasse est bordée par un mur, bien visible en surface sur une grande partie de son tracé. Les fouilles du Sondage 2 dans les carrés AZ et BA 116 ont montré qu'il s'agit du mur de terrasse 1167 du niveau Acr-IA qui dessine un décrochement orthogonal à la jonction de ces deux carrés (ci-dessous, § 3.9.4.1).

- Sur le bord de chacune des terrasses, on note les restes de trous de combattants et de tranchées datant apparemment de la guerre de 1948.
- Le versant oriental de l'acropole, surtout dans son quart nord-est, est couvert d'éboulis provenant de nombreux murs dont le tracé est visible en surface et qui représentent



Fig. 1.12. Vue aérienne de l'acropole, vers le nord-nord-est.
Noter le contour des deux terrasses superposées.



Fig. 1.13. Vue aérienne de l'acropole, vers le nord-est.

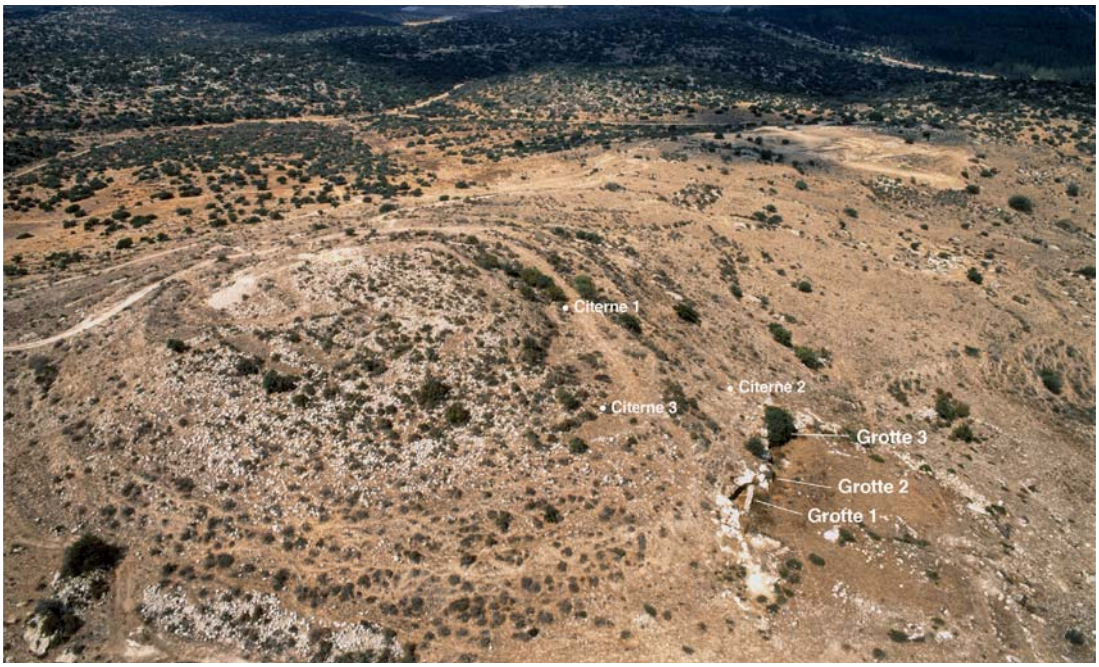


Fig. 1.14. Vue aérienne de l'acropole, vers l'ouest-sud-ouest.
Noter, en bas à droite, l'emplacement des trois abris sous roche (« grottes »).

les vestiges de la dernière occupation de cette partie du site (niveau Acr-I) (**Figs 1.11–1.14**).

- Sur la pente septentrionale, on note l'existence de trois citernes (Citernes 1 à 3 : **Figs 1.11–1.12**, **1.14** et ci-dessous, § 3.9.4.2) et, le long de l'escarpe rocheuse qui limite la colline, celle de trois grottes (Grottes 1 à 3 : **Figs 1.11–1.12**, **1.14–1.17**).
- A en juger par la topographie, il semble que l'accès à l'acropole se faisait à partir du sud-est, où la pente se rattache par un ensellement à la colline voisine par où il est possible de rejoindre facilement à la fois le nahal Yarmouth (wadi en-Nabi Bulus) au nord et la vallée de la Elah à quelques kilomètres au sud. Cet accès se reconnaît en surface à un passage assez large entre des vestiges de murs d'habitations. L'existence d'un autre accès est vraisemblable au nord-ouest, où une sorte de rampe s'élève du nord-ouest vers le sud-est.



Fig. 1.15. L'abri sous roche n°1 (voir **Fig. 1.11**).



Fig. 1.16. L'abri sous roche n°2 (voir **Fig. 1.11**) creusé sous la croûte de *nari*. Le muret au premier plan délimitait un enclos à bétail.

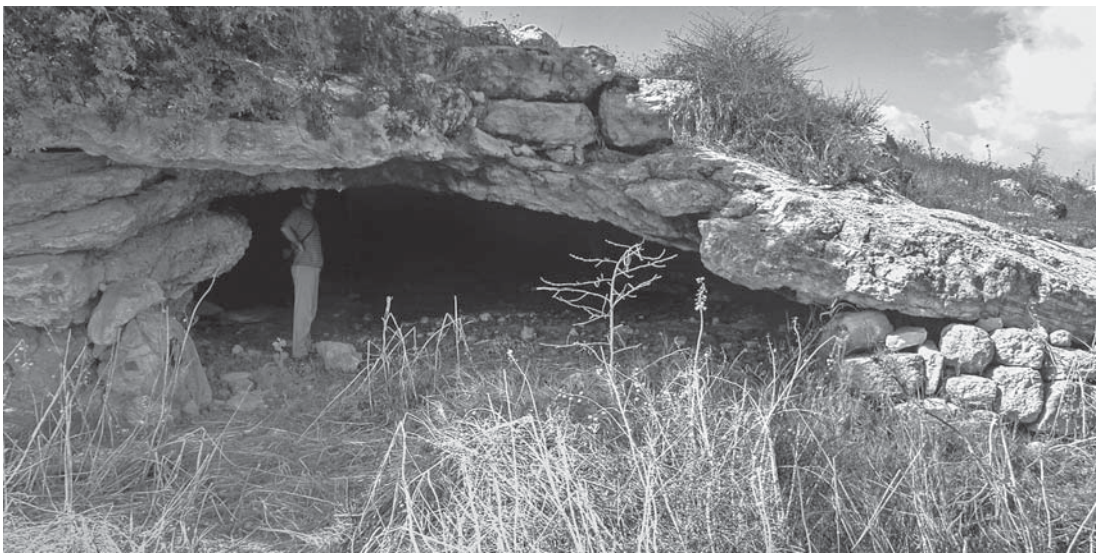


Fig. 1.17. L'abri sous roche n°3, le plus vaste des trois (voir **Fig. 1.11**). L'ouverture a été rétrécie, ou bouchée, par des murets de pierre. L'abri a été utilisé encore récemment par des bergers. Les gros blocs de pierre posés sur la surface rocheuse au dessus de l'abri sont des restes de la muraille extérieure (Muraille B) du Bronze ancien, construite avec des blocs cyclopéens.

- Au nord et au sud de l'acropole, le long du talus qui borde la terrasse inférieure, soit vers 386 m (au nord) et 394 m (au sud), on observe en surface l'affleurement d'un mur fait de très grosses pierres (mur « cyclopéen ») qui, au nord, longe une escarpe rocheuse qui surplombe la Grotte 3 (**Figs 1.11–1.12**, **1.17**) ; les fouilles du Sondage 1 ont montré qu'il s'agit de la Muraille B du Bronze ancien attestée sur presque tout le périmètre de la ville basse et dont on peut restituer le tracé sur le pourtour de l'acropole. Entre les Grottes 2 et 3, il existait probablement une autre grotte, dont la voûte s'est effondrée sous le poids de la Muraille B ; son emplacement est marqué aujourd'hui par une échancrure dans l'escarpe rocheuse, occupée par de gros blocs de pierre de la muraille qui surmontent des plaques de la table rocheuse enfoncée.
- Au pied de l'acropole au sud-est se trouve une dépression correspondant à une carrière (**Figs 1.11–1.12**, **1.18–1.19** et ci-dessous § 3.9.4.4).
- Sur la colline située immédiatement au sud-est de la carrière, on a repéré d'autres citernes (Citernes 4 à 7 : **Fig. 1.12** et ci-dessous § 3.9.4.2) ainsi que des sépultures hypogées, probablement des tombes à *kokhim* d'époque romaine (Tombes 1-2 : **Figs 1.11–1.12** et ci-dessous § 3.9.4.3).



Fig. 1.18. La carrière au sud-est de l'acropole (voir **Fig. 1.11**) : vue d'ensemble vers le sud-est.



Fig. 1.19. La carrière au sud-est de l'acropole (voir **Fig. 1.11**) : détail, vers le sud-est.

Les résultats de cette prospection de surface conduisirent à formuler deux séries d'hypothèses :

- Les murs ruinés apparents en surface, les tessons du début de notre ère et les trois citernes représentent très probablement les restes du village romano-byzantin qui occupait le sommet de l'acropole et son versant nord-est. Comme l'avait déjà vu V. Guérin[26], il s'agit vraisemblablement du village appelé Iermôchos mentionné dans l'*Onomasticon* d'Eusèbe de Césarée à 10 milles romains sur la route d'Eleutheropolis (Beth Govrin) à Aelia (Jérusalem), ce qui correspond bien aux données topographiques, la route d'Eleutheropolis à Aelia passant par la « Vallée du Térébinthe » (wadi es-Sunt/nahal ha-Elah) à 2 km au sud de l'acropole (voir la discussion, § 24.3).
- Les deux terrasses qui constituent l'acropole étant bordées l'une et l'autre par un mur, il était tentant de supposer que celui de la terrasse supérieure correspondait à l'enceinte d'un complexe fortifié et celui de la terrasse inférieure à un rempart, dont la datation restait à déterminer.

1.3. Les fouilles sur l'acropole

L'ouverture de deux sondages stratigraphiques fut décidée en 1986 à la suite des prospections de surface menées par A. Lemaire, avec pour objectif d'établir la séquence d'occupation complète du site. On savait par les fouilles que le site avait été abandonné vers la fin du BA III et par les prospections de surface qu'il avait été réoccupé bien plus tard, dans la seconde moitié du IIe millénaire, mais sur l'acropole seulement ; il restait à déterminer quand précisément cette réoccupation avait eu lieu et quelle en était la séquence jusqu'à l'abandon du site au début de l'époque byzantine. Laissant de côté la zone nord-est de l'acropole, où les ruines encore visibles d'un village romano-byzantin laissaient présager une épaisse accumulation de vestiges tardifs, on résolut d'implanter deux sondages sur son versant sud-ouest, l'un au bord de la terrasse inférieure (Sondage 1), l'autre au bord de la terrasse supérieure (Sondage 2) (**Figs 1.11–1.13**). Ces deux sondages sont situés dans le prolongement l'un de l'autre de manière à fournir une coupe stratigraphique de l'ensemble du versant sud-ouest de l'acropole (**Fig. 1.20** ; **Tableau 1.1**).

1.3.1. Le Sondage 1

Le Sondage 1 a été implanté au pied de la terrasse inférieure, de manière à recouper une brusque rupture de pente dont on supposait alors qu'elle marquait la présence d'un rempart de l'âge du Fer[27]. Le sondage couvre partiellement deux carrés : AR et AS 116. La pente est ici particulièrement forte, comprise entre 391,30 à 395,50 m d'altitude, soit une déclivité de plus de 4 m pour une distance d'une dizaine de mètres.

[26] Guérin 1869, pp. 371–374.
[27] Miroschedji 1988, p. 23.

PERIODES	STRATIGR. GÉNÉRALE périodes :	VILLE BASSE												ACROPOLE	
		Niveaux d'occupion, chantiers							Fortifications, chantiers					Sondage 1	Sondage 2
		B	C	G	H	Ja-b	K	M	A	Bf	D	E	Jc		
BYZANTINE	M	B-0	C-0	G-0	H-1	J-0	K-0	M-0		+	D-9*	E-5*		Acr.-6*	Acr.-IA
ROMAINE	L													Acr.-5*	Acr.-IB
HELLÉNISTIQUE	K														Acr.-IC
PERSE	J														Acr.-IIA
FER II	I														Acr.-IIB
FER I	H						A B A N D O N								Acr.-III Acr.-IV Acr.-V
BRONZE RÉCENT	G														Acr.-VIA
BRONZE MOYEN II	F														? Acr.-VIB
BRONZE INTERMÉDIAIRE														ABANDON	
BRONZE ANCIEN IIIC	E 2	B-1 B-2	C-1	G-1 ? G-2	H-2 ? H-3	J-1 J-2	K-1	M-1	A-7*	Bf-6*	D-8*	E-4* & 5*	Jc-4*		Acr.-VII
BRONZE ANCIEN IIIB	1	B-3	C-2	G-3	H-4	J-3	K-2	M-2	A-6*	Bf-5*	D-7*	E-3*		Acr. 4*	Acr.-VIII
BRONZE ANCIEN IIIA	D	B-4	C-3 C-4 C-5	G-4	H-5	J-4	Non fouillé	Non fouillé	A-5*	Bf-4*	D-6*	E-2*			
BRONZE ANCIEN II	C	B-5	C-6	G-5	Non fouillé	J-5			A-4* A-3* A-2* A-1*	Bf-3* Bf-2* Bf-1*	D-5* D-4* D-2* & 3* D-1*	E-1b* E-1a* E-0*	Jc-3* Jc-2* Jc-1*	Acr.-3* Acr.-2* Acr.-1*	Acr.-IX
		B-6	C-7 C-8	Rocher		Non fouillé			A-0*	Non fouillé	D-0*	Rocher	Non fouillé	Rocher	
BRONZE ANCIEN IB	B A	Rocher	C-9 Rocher						Rocher		Rocher				Rocher

Tableau 1.1. Tableau de l'occupation de Tel Yarmouth. Pour le détail de la séquence des sondages 1 et 2 de l'acropole, voir ci-dessous les **tableaux 2.1 et 3.1**.

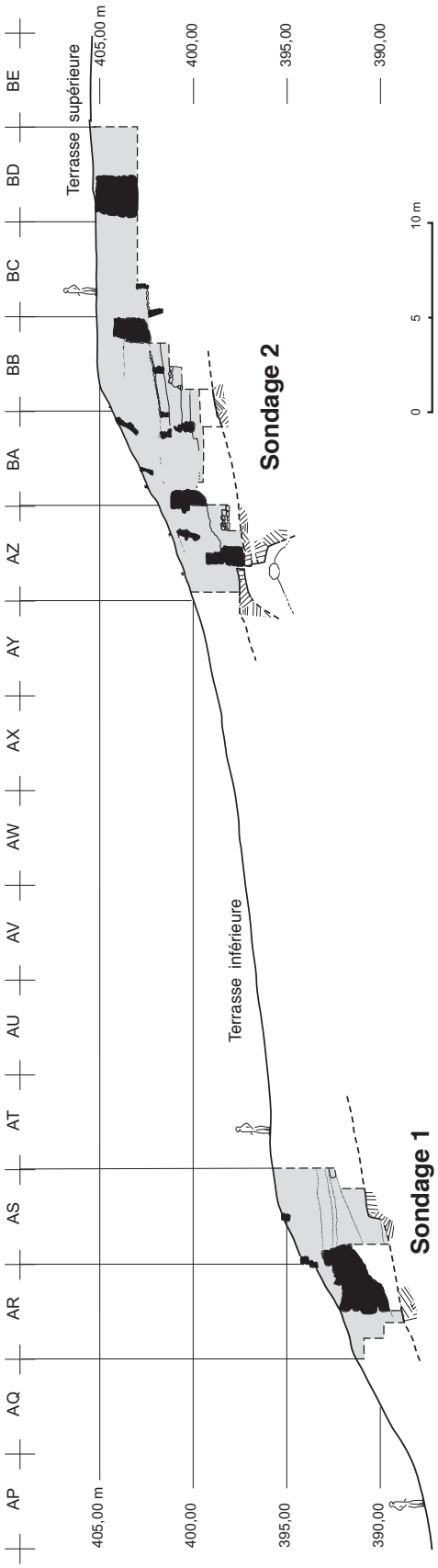


Fig. 1.20. Coupe schématique illustrant la relation des deux sondages fouillés sur l'acropole. Pour le détail de la stratigraphie des sondages, voir **Fig. 2.1** (Sondage 1) et **Fig. 3.6 et Dépliant 2** (Sondage 2).

Ce sondage a été fouillé en 1986 et 1987 sous la supervision d'André Lemaire. En 1986, les fouilles ont duré deux semaines avec l'aide de 3 volontaires ; elles ont porté sur une superficie de 20 m^2 et atteint une profondeur maximale de 2,60 m. En 1987, avec la même durée et le même effectif, la superficie du sondage a été portée à 27 m^2 et les fouilles ont atteint le rocher à une profondeur de 5,5 m sous la surface.

1.3.2. Le Sondage 2

L'ouverture du Sondage 2 a été décidée après que la fouille du Sondage 1 eût révélé la présence de structures du Bronze ancien proches de la surface. Il était clair, dès lors, que seule la partie la plus élevée du tell serait à même de livrer une séquence stratigraphique complète de l'occupation du site, en particulier pour les périodes postérieures au Bronze ancien. Aussi l'objectif principal de la fouille du Sondage 2 était-il d'atteindre le rocher afin d'illustrer, à l'aide d'échantillons de poterie représentatifs, l'ensemble de la séquence d'occupation de la ville haute.

Le Sondage 2 est situé sur la pente sud-ouest de la terrasse supérieure, dans l'alignement du Sondage 1, c'est-à-dire sur la ligne « 116 » du carroyage ; ainsi, les deux sondages pourraient être reliés dans l'éventualité d'une extension des fouilles. D'ici là, leur juxtaposition sur un même plan de coupe permet d'avoir une idée de la topographie, en particulier du profil des terrasses supérieure et inférieure, de la position du rocher et de celle des principales structures (**Fig. 1.20**). Les cinq carrés du sondage (AZ-BD 116) ont été implantés de manière à recouper à la fois la pente et le sommet de la terrasse supérieure. Les deux carrés situés sur la pente (AZ–BA 116) ont une dénivelée de 5 m, de la courbe niveau de 405 m à celle de 400 m, sur une distance d'un peu plus de 10 m.

À en juger d'après les altitudes auxquelles le rocher a été atteint dans les deux sondages et par le profil de la coupe générale de la **Fig. 1.20**, on peut estimer que l'épaisseur maximale des couches archéologiques sur le sommet de l'acropole est de l'ordre de 5-6 m. On notera que l'épaisseur des couches archéologiques s'amenuise vers l'aval, du Sondage 2 au Sondage 1. La muraille M.1108 du Sondage 1 en AR-AS 116 a contribué à retenir, pour l'essentiel, les couches du Bronze ancien, mais pas celles des époques postérieures.

Le Sondage 2 a été fouillé en 1987, 1989 et 1990 sous la supervision d'André Lemaire, puis, après cinq années d'interruption, en 1996 et 1997 sous celle de Michaël Jasmin[28]. En 1987, les fouilles couvraient le carré BB 116 et la moitié du carré BC 116 sur une largeur de 2,50 m. En 1989, le sondage a été élargi à 4 m. En 1990, il a été étendu au carré BA 116. En 1996, il a été prolongé vers le sud-ouest en AZ 116, et en 1997 vers le nord-ouest jusqu'au carré BD 116, jusqu'à atteindre une superficie totale de 96 m^2.

[28] Jasmin 1999, 2000, 2003, 2006a, 2006b.

1.4. Le système d'enregistrement

Les grands traits du système d'enregistrement en usage sur les fouilles de Tel Yarmouth ont été brièvement exposés dans un premier rapport en 1988[29]. Ils feront l'objet d'une présentation plus détaillée dans le prochain volume de la publication finale des fouilles.

Les **tableaux 1.2 et 1.3** ci-dessous donnent, respectivement, la liste des numéros de licence attribués par l'Autorité des Antiquités d'Israël (IAA) pour les six campagnes de fouilles au cours desquelles les sondages sur l'acropole ont été explorés, et la liste des numéros de locus et des numéros d'opération (« *Basket Nos* ») attribués lors de ces campagnes.

Année	N° de licence
1986	G.41-86
1987	G.28-87
1989	G.68-89
1990	G.67-90
1996	G.87-96
1997	G.75-97

Tableau 1.2. Liste des n° de licence par campagne de fouilles.

Année	N° de locus	N° d'opération
1986	1101–1111	9501–9524
1987	1112–1132	9525–9610
1989	1133–1156	9609b–9662
1990	1157–1174	9663–9735
1996	1175–1199	9736–9799, 10601–10714
1997	2301–2313	10715–10921

Tableau 1.3. Liste des n° de locus et des n° d'opération attribués par campagne de fouilles.

1.5. Bibliographie des fouilles sur l'acropole

1.5.1. Rapports de fouilles

Miroschedji, P. de, 1988.— "Tel Yarmut 1986," *Israel Exploration Journal* 38 : 84–88.
Miroschedji, P. de, 1988.— "Tel Yarmouth 1986-1987," *Revue Biblique* 95 : 217–225.
Miroschedji, P. de, 1988.— "Tel Yarmouth 1986-1987," *Hadashot Arheologiyot* 92 : 51–53 (en hébreu).
Miroschedji, P. de, 1988.— "Tel Yarmut 1987," *Israel Exploration Journal* 38 : 194–199.

[29] Miroschedji *et al.* 1988, pp. 28–29.

Miroschedji, P. de, 1988.— "Données nouvelles sur le Bronze ancien de Palestine : les fouilles récentes de Tel Yarmouth," *Comptes rendus de l'Académie des Inscriptions et Belles-Lettres*, janvier-mars 1988 : 186–211.
Miroschedji, P. de, 1989.— "Tel Yarmut, 1986/1987," *Excavations and Surveys in Israel* 7–8 (1988/89) : 184–187.
Miroschedji, P. de, 1991.— "Tel Yarmut 1989," *Israel Exploration Journal* 41 : 200–205.
Miroschedji, P. de, 1991.— "Tel Yarmuth 1989," *Hadashot Arkheologiyot* 97 (1991) : 76–78.
Miroschedji, P. de, 1991.— "Tel Yarmuth 1989," *Excavations and Surveys in Israel* 10 : 33–36 (en anglais).
Miroschedji, P. de, 1991.— "Tel Yarmut 1990," *Israel Exploration Journal* 41 : 286–293.
Miroschedji, P. de, 1993.— "Tel Yarmuth 1990," *Hadashot Arkheologiyot* 99 : 76–78.
Miroschedji, P. de, 1996.— "Tel Yarmouth 1996," *Orient Express* 1996 : 87–89.
Miroschedji, P. de, 1997.— "Tel Yarmut 1996," *Israel Exploration Journal* 47 : 127–136.
Miroschedji, P. de, 1998.— "Tel Yarmut 1996," *Hadashot Arkheologiyot* 108 : 151–54 (en hébreu).
Miroschedji, P. de, 1997.— "Tel Yarmouth 1997," *Orient Express* 1997 : 87–91.
Miroschedji, P. de, 1998.— "Tel Yarmut 1997," *Israel Exploration Journal* 48 : 136–144.
Miroschedji, P. de, 1999.— "Tel Yarmut 1997," *Hadashot Arkheologiyot* 109 : 126–129 (en hébreu), 82*–84* (en anglais).
Miroschedji, P. de, 2000.— "Fouilles de Tel Yarmouth : résultats des 11e, 12e et 13e campagnes de fouilles (1996–1999)," *Comptes rendus de l'Académie des Inscriptions et Belles-Lettres* avril-juin 2000 : 679–710.

1.5.2. Encyclopédies et dictionnaires

Miroschedji, P. de, 1993.— "Tel Jarmuth," in *New Encyclopedia of Archaeological Excavations in the Holy Land*, volume 2, edited by E. Stern, pp. 661–665. Jerusalem : Israel Exploration Society & Carta.
Miroschedji, P. de, 2005.— "Tel Yarmouth," in *Dictionnaire de l'Antiquité*, sous la direction de Jean Leclant, p. 2307. Paris : Presses Universitaires de France.
Miroschedji, P. de, 2008.— "Tel Jarmut," in *Encyclopedia of Archaeological Excavations in the Holy Land*, Vol. 5, *Supplementary volume*, edited by E. Stern, pp. 1792–1797. Jerusalem / Washington : Israel Exploration Society / Biblical Archaeology Society.

1.5.3. Études

Miroschedji, P. de, 2002.— "Glyptique du Bronze ancien à Tel Yarmouth," in *Aharon Kempinski Memorial Volume, Studies in Archaeology and Related Disciplines* (Beer-Sheva, Studies by the Department of Bible and Ancient Near East, volume XV), edited by E. D. Oren and S. Ahituv, pp. 301–318. Beer-Sheva : Ben-Gurion University of the Negev Press.
Jasmin, M., 2000.— "Les fouilles de l'acropole de Tel Yarmouth : la transition de l'âge du Bronze à l'âge du Fer," in *Proceedings of the First International Congress on the Archaeology of the Ancient Near East. Rome, May 18th-23rd 1998,* edited by P. Matthiae, A. Enea, L. Peyronel and F. Pinnock, pp. 685–697. Roma : Herder.

Jasmin, M., 2003.— "La transition du Bronze récent II au Fer I dans le sud de la Palestine : étude des processus," in *Proceedings of the 2nd International Congress on the Archaeology of the Ancient Near East. Copenhague (Danemark), 22-26 mai 2000,* edited by I. Thuesen, pp. 689-697. Winona Lake, IN : Eisenbrauns.
Jasmin, M., 2006.— *La transition du Bronze récent II au Fer I en Palestine méridionale.* BAR International Series 1495. Oxford : Archaeopress.
Jasmin, M., 2006.— "The Political Organization of the City-States in Southwestern Palestine in the Late Bronze Age IIB (13th century B.C.)," in *« I will speak the riddle of ancient times » (Ps 78 :2b). Archaeological and Historical Studies in Honor of Amihai Mazar on the occasion of his Sixtieth Birthday* , edited by A. Maeir and P. de Miroschedji, pp. 161–191. Winona Lake, IN : Eisenbrauns.

Références

Albright, W. F.
1942 "A Case of Lèse Majesté in Pre-Israelite Lachish, With Some Remarks on the Israelite Conquest," *Bulletin of the American Schools of Oriental Research* 87 : 32–38.
Ben-Tor, A.
1975 "The First Season of Excavations at Tell Yarmuth. 1970" (Qedem, Monographs of the Institute of Archeology 1), pp. 55–87. Jerusalem : The Hebrew University of Jerusalem.
Bunimovitz, S. and Lederman, Z., eds.
2016 *Tel Beth-Shemesh, A Border Community in Judah, Renewed Excavations 1990–2000 : The Iron Age.* 2 volumes. Tel Aviv University Sonia and Marco Nadler Institute of Archaeology Monograph Series No. 34. Tel Aviv : Emery and Claire Yass Publications in Archaeology.
Conder, C. R. and Kitchener, H. H.
1880 *Map of Western Palestine, in 26 Sheets*. London : The Committee of the Palestine Exploration Fund.
1883 *The Survey of Western Palestine, Memoirs on the Topography, Geography, Hydrography, and Archaeology,* Vol. III, *Sheets XVII-XXVI, Judæa*. London : The Committee of the Palestine Exploration Fund.
Dagan, Y., ed.
2010 *The Ramat Bet Shemesh Regional Project : The Gazetteer.* IAA Reports No. 46. Jerusalem : Israel Antiquities Authority.
2011a *The Ramat Bet Shemesh Regional Project : Landscapes of settlement : From the Paleolithic to the Ottoman Periods.* IAA Reports No. 47. Jerusalem : Israel Antiquities Authority.
2011b "History of Exploration and Archaeological Research," in Dagan 2011a : 13–20.
Druks, A.
1963 "Tel Yarmuth," *Hadashot Arkheologiyot* 5 : 20–21 (en hébreu).
Freeman-Grenville, G. S. P., Chapman III, R. L. and Taylor, J. E.
2003 *The Onomasticon by Eusebius of Caesarea*, *Palestine in the Fourth Century*. Jerusalem : Carta.
Furrer, K.
1865 *Wanderungen durch Palästina*. Zürich : Orell, Füßli und comp.
Garfinkel, Y. and Ganor, S., eds.
2009 *Khirbet Qeiyafa Vol. 1. Excavation Report 2007–2008*. Jerusalem : Israel Exploration Society and Institute of Archaeology, the Hebrew University of Jerusalem.

GARFINKEL, Y., GANOR, S. and HASEL, M. G., eds.
2014 *Khirbet Qeiyafa. 2, Excavation Report 2009–2013 : Stratigraphy and Architecture (Areas B, C, D, E)*, edited by M. G. Klingbeil. Jerusalem : Israel Exploration Society and the Khirbet Qeiyafa Expedition.
GARFINKEL, Y., KREIMERMAN, I. and ZILBERG, P.
2016 *Debating Khirbet Qeiyafa : A Fortified City in Judah from the Time of King David.* Jerusalem : Israel Exploration Society.
GARSTANG, J.
1931 *Joshua, Judges : The Foundations of Bible History.* London : Constable & Co.
GEIKIE, C.
1888 *The Holy Land and the Bible, A Book of Scripture Illustrations Gathered in Palestine*. New York : J. B. Alden.
GOLDBERG, P.
1988 "Environmental Setting of Tel Yarmuth," in Miroschedji 1988, pp. 105–112.
GRANT, E.
1934 *Rumeileh, Being Ain Shems Excavations (Palestine). Part III*. Haverford : Haverford College.
GRANT, E. and WRIGHT, G. E.
1938 *Ain Shems Excavations. Part IV (Pottery)*. Haverford : Haverford College.
GUÉRIN, V.
1869 *Description géographique, historique et archéologique de la Palestine, Judée,* Tome deuxième. Paris : Imprimerie nationale.
HASEL, M. G., GARFINKEL, Y. and WEISS, S., eds.
2017 *Socoh of the Judean Shephelah, The 2010 Survey*. Jerusalem : Southern Adventist University, and The Hebrew University of Jerusalem.
JASMIN, M.
1999 *L'étude de la transition du Bronze récent II au Fer I en Palestine méridionale*. Thèse de doctorat inédite. Université de Paris I Panthéon-Sorbonne.
2000 "Les fouilles de l'acropole de Tel Yarmouth : la transition de l'âge du Bronze à l'âge du Fer," in *Proceedings of the First International Congress on the Archaeology of the Ancient Near East. Rome, May 18th-23rd 1998*, edited by P. Matthiae, A. Enea, L. Peyronel and F. Pinnock, pp. 685–697. Roma : Herder.
2003 "La transition du Bronze récent II au Fer I dans le sud de la Palestine : étude des processus," in *Proceedings of the Second International Congress on the Archaeology of the Ancient Near East*, *Copenhagen, 2000*, edited by I. Thuesen, pp. 689–697. Winona Lake, IN : Eisenbrauns.
2006a *L'étude de la transition du Bronze récent II au Fer I en Palestine méridionale*. BAR International Series no. 1495. Oxford : Archaeopress.
2006b "The Political Organization of the City-States in Southwestern Palestine in the Late Bronze Age IIB (13th century B.C.)," in *"I will speak the riddle of ancient times" (Ps 78 :2b), Archaeological and Historical Studies in Honor of Amihai Mazar on the occasion of his Sixtieth Birthday*, edited by A. Maeir and P. de Miroschedji, pp. 161–191. Winona Lake, IN : Eisenbrauns.
LIPSCHITS, O., GADOT, Y. and OEMING, M.
2017 "Four Seasons of Excavations at Tel Azekah : The Expected and (Especially) Unexpected Results," in *The Shephelah during the Iron Age, Recent Archaeological Discoveries,* edited by O. Lipschits and A. M. Meir, pp. 1–25. Winona Lake, IN : Eisenbrauns.
MAEIR, A. M., ed.
2012 *Tell es-Safi/Gath I : The 1996–2005 Seasons* (Ägypten und Altes Testament, Band 69), 2 vols. Wiesbaden : Harrassowitz.
MIROSCHEDJI, P. de, éd.
1988 *Yarmouth 1, Rapport sur les trois premières campagnes de fouilles à Tel Yarmouth (Israel), 1980-1982*. Paris : Éditions Recherche sur les Civilisations.

MIROSCHEDJI, P. de
1988 "Tel Yarmouth et sa région, B. Le site," in Miroschedji, éd., 1988, pp. 23–24.
MOSCROP, J. J.
2000 *Measuring Jerusalem, the Palestine Exploration Fund and British Interests in the Holy Land*. London and New York : Leicester University Press.
NEBENZAHL, K.
1986 *Maps of the Holy Land, Images of* Terra Sancta *through Two Millennia*. New York : Cross River Press ; Tel Aviv : Steimatzky.
NEWMAN, J. P.
1864 *"From Dan to Beersheba," or the Land of Promise as It Now Appears, Including a Description of Boundaries, Topography, Agriculture, Antiquities, Cities and Present Inhabitants of that Wonderful Land*. New York : Harper and Brothers.
NODET, E.
1988a "Tel Yarmouth et sa région, A. La région," in Miroschedji, éd., 1988, pp. 21–22.
1988b "Le nom de Yarmouth," in Miroschedji, éd., 1988, pp. 97–104.
NOTLEY, S. R. and SAFRAI, Z.
2005 *Eusebius* Onomasticon*, The Place Names of Divine Scripture, A Triglott Edition with Notes and Commentaries*. Leiden, Boston : Brill.
PORTER, J. L.
1882 *The Giant Cities of Bashan and Syria's Holy Places*. London : T. Nelson and Sons.
RICHARDSON, H. N.
1968 "A Stamped Handle from Khirbet Yarmuk," *Bulletin of the American Schools of Oriental Research* 192 : 12–16.
ROBINSON, E. and SMITH, E.
1841 *Biblical Researches in Palestine, Mount Sinai and Arabia Petræa. A Journal of Travels in the Year 1838,* Volume II. Boston : Crocker and Brewster.
SILBERMAN, N. A.
1982 *Digging for God and Country, Explorations in the Holy Land, 1799–1917*. New York : Doubleday.
THOMPSON, T. L.
1979 *The Settlement of Palestine in the Bronze Age*. Wiesbaden : Harrassowitz.
THOMSEN, P.
1907 *Loca Sancta, Verzeichnis der im 1. bis 6. Jahrhundert n. Chr. erwähnten Ortschaften Palästinas.* Halle : R. Haupt (reéd. Hildesheim, 1966).
THOMSON, W. M.
1880 *The Land and the Book, or Biblical Illustrations Drawn from the Manners and Customs, the Scenes and Scenery, of the Holy Land. Vol. I. Southern Palestine and Jerusalem*. New York : Harper.
TOBLER, T.
1859 *Titus Toblers Dritte Wanderung nach Palästina im Jahre 1857. Ritt durch Philistäa, Fussreisen im Gebirge Judäas und Nachlese in Jerusalem*. Gotha : J. Perthes.
TONNEAU, R.
1929 "Chronique : Caravane biblique au pays de Samson," *Revue biblique* 38 : 421–431.
TSAFRIR, Y., DI SEGNI, L., GREEN, J., with contributions by ROLL, I. and TSUK, T.
1994 *Tabula Imperii Romani Iudaea-Palestina, Eretz Israel in the Hellenistic, Roman and Byzantine Periods, Maps and Gazetteer*. Jerusalem : The Israel Academy of Sciences and Humanities.
VAN DE VELDE, C. W. M.
1854 *Narrative of a Journey Through Syria and Palestine in 1851 and 1852*. Volume II. Edinburgh, London : Blackwood & Sons.
1858 *Memoir to Accompany the Map of the Holy Land*. Gotha : J. Perthes.

Première partie

STRATIGRAPHIE ET ARCHITECTURE

Chapitre 2

LE SONDAGE 1 DE L'ACROPOLE

Pierre de MIROSCHEDJI

Fouillé pendant les campagnes de 1986 et 1987, le Sondage 1 de l'acropole visait à vérifier si le bord de la terrasse inférieure de la colline recouvrait une muraille enserrant l'établissement de l'âge du Fer. Les fouilles ont en effet mis au jour une muraille épaisse, immédiatement sous les couches de surface, mais il s'est rapidement avéré qu'elle date du BA II-III et non pas du Fer II. Cette muraille correspond à la Muraille B identifiée dans les fouilles de la ville basse aux chantiers A, D et E[1].

2.1. La séquence stratigraphique

Le Sondage 1 de l'acropole 1 mesure 3 × 9 m, soit 27 m^2 (**Figs 2.1–2.2**). Le rocher a été atteint à une profondeur maximale de 5,5 m sous la surface. La fouille n'a pas révélé de niveau d'occupation au sens strict, mais plutôt des *phases de construction et d'utilisation*. Six phases ont été distinguées et désignées Acr-1 à Acr-6, de la plus ancienne à la plus récente[2].

Ces six phases témoignent de trois périodes d'utilisation de ce versant de l'acropole :

- La première, et principale, période remonte au BA II-III ; elle est représentée par les phases Acr-1 à Acr-4, auxquelles correspondent des couches bien stratifiées qui sont antérieures à ou contemporaines de la muraille M.1108.
- La deuxième période (phase Acr-5) correspond à une longue érosion du versant de la colline, marquée par des couches de terre remaniées renfermant des tessons dont les datations s'échelonnent entre le BR II et l'époque perse.
- La troisième période (phase Acr-6), enfin, date du début de notre ère, quand cette zone a été utilisée pour des jardins et des vergers aménagés sur des terrasses à la périphérie de l'établissement romano-byzantin qui occupait le sommet de l'acropole.

Les séquences stratigraphiques des Sondages 1 et 2 de l'acropole étant de nature très différente, il n'est pas possible d'établir entre elles des corrélations précises. On peut cependant les relier chronologiquement (**Tableau 2.1**) : les phases Acr-1 à 4 du Sondage 1 sont contemporaines des niveaux Acr-IX à VII du Sondage 2 ; la phase Acr-5 couvre un laps de temps correspondant aux niveaux Acr-VI à II ; et la phase Acr-6, la plus récente, équivaut au niveau Acr-I, d'époque romano-byzantine.

[1] Sur la Muraille B, voir provisoirement Miroschedji 1988b, 1990, 2013 ; Nodet 1988.

[2] La numérotation est en chiffres arabes pour les phases de construction/utilisation du Sondage 1 de l'acropole et en chiffres romains pour les niveaux d'occupation du Sondage 2.



Fig. 2.1. Coupe stratigraphique nord-ouest (A–A') du Sondage 1 de l'acropole.

2.2. Les phases

2.2.1. Phase Acr-1 (Bronze ancien II) : premier glacis

Le rocher a été atteint dans les deux carrés du sondage, soit à l'extérieur et à l'intérieur de la ligne de la muraille M.1108 (**Fig. 2.1**), mais sur de toutes petites superficies (**Fig. 2.2**). Criblé d'anfractuosités profondes (**Fig. 2.6**), il est en pente marquée vers le sud-ouest et forme un ressaut de près de 0,7 m de hauteur en AS 116.

En AS 116, les fouilles ont traversé sur 2,50 m d'épaisseur une succession de couches inclinées faites de *terra rossa*, de *huwwar* et de pierraille, dont certaines sont recouvertes d'une couche d'enduit de chaux. Ces couches constituent ensemble un glacis de terre qui a été plusieurs fois surélevé (Phases 1–2) et ultérieurement entamé par la muraille 1108 (Phase Acr-3). On suppose que ce glacis est associé à une muraille située en amont, en dehors de la zone fouillée (ci-dessous, § 2.3.1). La couche initiale du glacis reposant sur le rocher est la couche 1124, recouverte d'une surface enduite et chaulée (**Fig. 2.3**) ; il n'en provient aucun tesson. Elle est surmontée par les couches du locus 1123 où l'on reconnaît

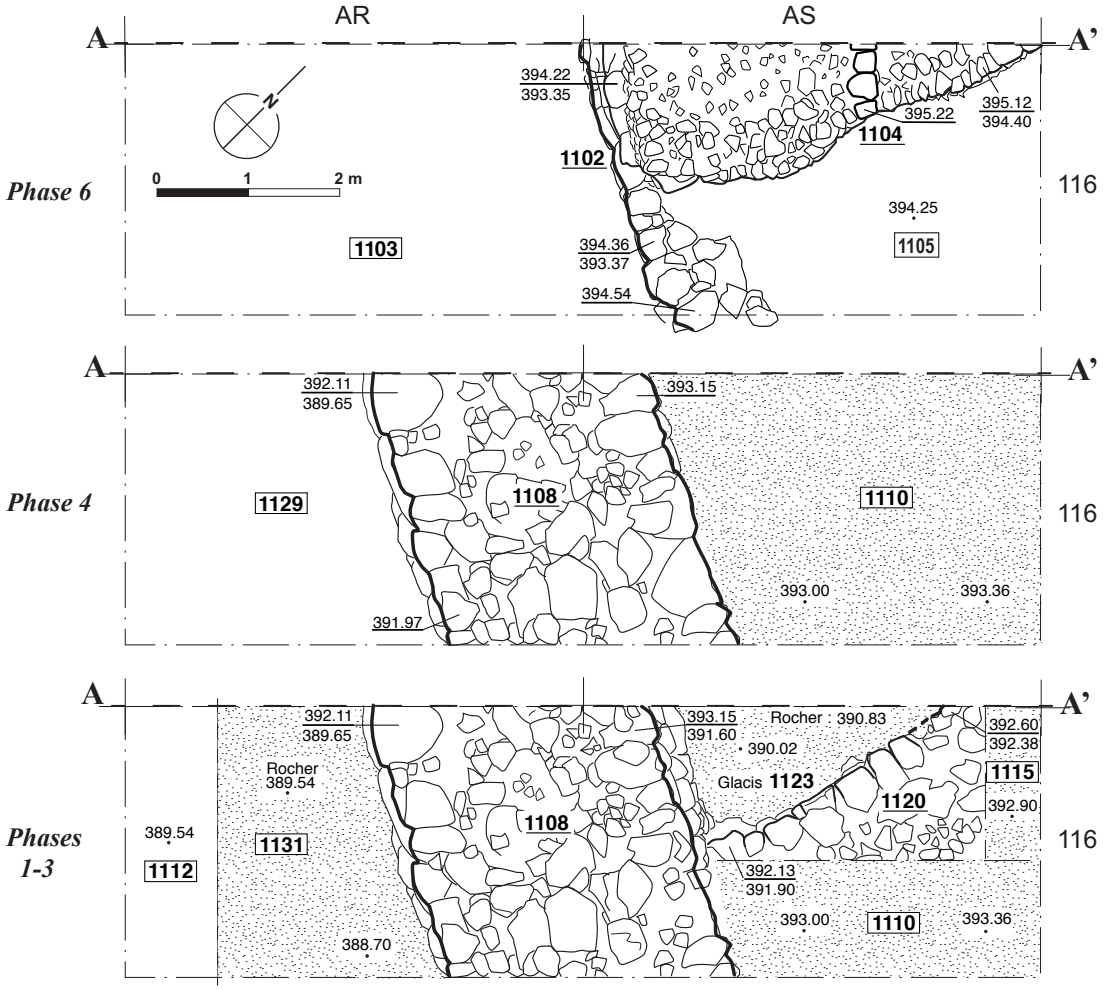


Fig. 2.2. Sondage 1 de l'acropole, plans des vestiges des Phases 1-3, 4 et 6.

à la base, sur une épaisseur maximum de 1,50 m, des couches de *huwwar* et, au-dessus, sur une épaisseur de 0,20 m à 0,75 m, des couches de cailloutis et de *terra rossa* recouvertes par une surface chaulée.

Les couches qui forment le glacis 1123 étaient pratiquement stériles et n'ont livré que 16 tessons, tous caractéristiques, par leur pâte et leur finition, de la poterie du BA II à Tel Yarmouth. Trois tessons correspondent à des formes connues et attestées aux niveaux B-V et B-IV du sondage B de la ville basse[3] :

– un bord de jarre sans col à fort épaississement intérieur (**Fig. 4.1:1** = **Fig. 4.3:10**) ;
– une anse-oreille horizontale fragmentaire du type « à festons espacés » (« *pushed-up* ») (**Fig. 4.1:2**)[4] ;
– une autre anse-oreille horizontale fragmentaire du type « festonné à bord pincé et replié » (« *pinch-lapped* ») (**Fig. 4.1:3**)[5].

[3] Voir Miroschedji 1988a, p. 33.
[4] *Cf.* Miroschedji 1988a, pl. 21 :25.
[5] *Cf.* Miroschedji 1988a, p. 22.

Périodes	Sondage 1 – Phases	Sondage 2 – Niveaux
Byzantine anc. / Romaine tardive Romaine (hérodienne) - Hellénistique	Acr-6	Acr-I
Perse - Fer II - Fer I - Bronze récent IIB (et Bronze moyen IIB-C)	Acr-5	Acr-VI à Acr-II
Bronze intermédiaire – BM I-IIA	A b a n d o n	
Bronze ancien IIIB	Non attesté (érodé)	Acr-VII
Bronze ancien IIIA	Acr-4	Acr-VIII
Bronze ancien II-III	Acr-3	Acr-IX
Bronze ancien II	Acr-2	
	Acr-1	

Tableau 2.1. Stratigraphie comparée des sondages 1 et 2 de l'acropole.



Fig. 2.3. Carré AS 116, à la fin des fouilles, vers le sud-ouest. L'échelle métrique repose sur le sol chaulé 1124. Noter la base intérieure de la Muraille 1108 ; au centre, le mur oblique M.1120. À gauche, un témoin conservé du sol chaulé 1110.

En AR 116, la surface chaulée de la couche 1124 n'a pas été identifiée au pied de la face externe de la muraille M.1108. La couche la plus ancienne, qui repose directement sur le rocher, est ici la couche 1131, épaisse de 0,35 à 0,70 m, formée d'un mélange d'argile et de chaux et en pente marquée vers l'extérieur, c'est-à-dire le sud-ouest (**Figs 2.5–2.6**). Cette couche ressemble aux couches inférieures du glacis 1123, et il est vraisemblable qu'elle en est le prolongement. Cette couche 1131 n'a livré que 18 tessons, dont deux seulement sont datables : un bord de jarre sans col en céramique très grossière, qui pourrait dater du BA II ou III (**Fig. 4.3:11**), et un tesson de panse de jarre en céramique commune très cuite recouvert d'un épais badigeon de chaux.

2.2.2. Phase Acr-2 (Bronze ancien II) : second glacis

La phase Acr-2 correspond à un deuxième état du glacis qui a été surélevé avec les couches 1121, elles-mêmes recouvertes d'une épaisse surface chaulée (**Fig. 2.1**). Celle-ci marque le dernier état du glacis. Ces couches étaient totalement stériles et n'ont livré aucun tesson. La date de leur mise en place ne peut être appréciée que par rapport à celle du glacis initial 1123 (BA II) et à celle de la couche sus-jacente 1115 (transition BA II–III).

La couche 1121 est en relation avec le mur oblique M.1120 qui a été édifié sur le sommet du glacis 1123 (**Fig. 2.3**). Ce mur n'est conservé que sur une seule assise de hauteur dans sa moitié nord, où il s'enfonce dans la berme, mais sur deux assises dans sa moitié sud, près de la muraille 1108 qui l'a partiellement recoupé. Seule la face ouest de ce mur a été dégagée et on ignore donc s'il s'agit d'un mur à deux parements ayant plus de 1,60 m d'épaisseur, ou bien d'un mur de terrasse à un seul parement.

2.2.3. Phase Acr-3 (Bronze ancien II–III) : construction de la muraille M.1108

La phase Acr-3 correspond à la construction de la muraille M.1108, qui a entaillé le glacis des phases 1 et 2 (**Figs 2.1–2.3**). Son épaisseur est de 3,20 m. Le sommet de la muraille est érodé obliquement, conformément à la pente, avec une différence de niveau de plus d'un mètre entre les faces interne et externe. La face externe à parement cyclopéen est conservée ici sur une hauteur maximum de 2,50 m et fondée sur la couche 1131 qui appartient au glacis initial (**Figs 2.4–2.6**). La face interne, en revanche, construite avec des pierres de dimensions modestes (**Figs 2.3**, **2.7**), ne subsiste que sur une hauteur de 1,65 m et repose sur le glacis 1121. Le dénivelé entre la base du parement externe et celle du parement interne est de presque 2 m. La base de la muraille est donc en biseau, c'est-à-dire qu'elle a été construite à la manière d'un mur de terrasse monumental (**Fig. 2.1**). En somme, elle se présente ici dans les mêmes conditions structurales que la Muraille B dans la ville basse ; nous reviendrons sur ce point ci-dessous (§ 2.3).

2.2.4. Phase Acr-4 (Bronze ancien III) : utilisation de la muraille M.1108

Durant la phase Acr-4, l'espace situé en AS 116 a été remblayé avec des couches de terre et de pierres (1115, 1111, 1110, 1109), recouvertes chacune par des sols, constitués d'une



Fig. 2.4.



Fig. 2.5.

Fig. 2.4. Carré AR 116, la face extérieure de la Muraille 1108 en cours de fouille, vue vers l'est. Noter la taille cyclopéenne de certains blocs. En haut, le mur de terrasse M.1102 de la phase Acr-6.

Fig. 2.5. Carré AR 116, la face extérieure de la Muraille 1108 en fin de fouille, vue vers le nord-est. L'échelle métrique repose sur le sommet de la couche 1131 et la jeune femme se tient sur un palier de fouille dans la couche 1131.



Fig. 2.6. Carré AR 116, vers le nord-est. Fondation de la Muraille 1108, après l'enlèvement du palier de fouille dans la moitié gauche de la photo **Fig. 2.5**. L'échelle métrique repose sur le sommet de la couche 1131. Noter les anfractuosités du rocher et la coupe de la couche 1131 sur laquelle est fondée la muraille.

épaisse couche de terre et de chaux, qui se raccordent à la face interne de la muraille (**Figs 2.1–2.2**, **2.7–2.9**).

Formée de trois lits de cailloutis, la couche 1115 semble être une couche de remblai destinée à établir une surface horizontale (**Fig. 2.7**). Elle n'a livré que 16 tessons de panse, dont aucun n'est datable précisément ; un fragment d'écuelle à engobe intérieur rouge lustré et un fragment de jarre sans col pourraient être attribués aussi bien au BA II qu'au BA III.

La couche 1111 marque la première utilisation de la muraille M.1108. On y a observé deux surfaces, l'une qui scelle la couche 1115, l'autre à mi-hauteur (**Figs 2.8–2.9**). Cette couche 1111 était riche en tessons : 1340 tessons y ont été recueillis sur une superficie de moins de 7 m^2. Il s'agit essentiellement de petits, voire de très petits tessons, parfois « roulés », qui suggèrent que cette zone servait alors de voie de passage. Hormis quelques rares exemplaires du BA II, les 118 tessons de formes identifiables trouvés dans cette couche datent exclusivement du BA III, apparemment de la première phase de cette époque (BA IIIA) (**Fig. 4.3:5–9**).



Fig. 2.7. Carré AS 116, vers le sud-ouest. À l'arrière-plan, la face interne de la Muraille M.1108, érodée à la fois vers le sud-est et le sud-ouest. Au premier plan, à droite, le sol 1115 ; à gauche, un témoin du sol chaulé 1110 (cf. **Fig. 2.3**).



Fig. 2.8.



Fig. 2.9.

Fig. 2.8. Carré AS 116, vue partielle de la coupe nord-ouest du sondage. Sous la terre de surface (1101) et les murets de terrasse de la Phase Acr-6 (M.1104), on distingue la couche 1106 (Phase Acr-5) et la succession des couches et sols de la Phase Acr-4 (de haut en bas : 1109, 1110, 1111 et 1115). L'échelle métrique repose sur la surface 1115. Au premier plan, témoin du sol chaulé 1110, également visible dans la coupe, où il correspond au sommet conservé de la muraille M.1108, visible à gauche.

Fig. 2.9. Carré AS 116, vers le nord, vue partielle des coupes nord-ouest et nord-est du sondage.

La surface chaulée 1110 (**Figs 2.7–2.9**) a livré 171 tessons, dont 16 de formes identifiables. Tous datent du BA III, peut-être de la première phase de cette époque (BA IIIA) (**Fig. 4.3:1–4**).

Enfin, la couche 1109 est marquée par une surface dure qui correspond au sommet conservé de la muraille M.1108 (**Fig. 2.8**). Elle a livré 755 tessons, tous du Bronze ancien, dont 73 sont de types identifiables. Ils relèvent apparemment du BA IIIA (**Fig. 4.4:10–18**). À l'exception de deux ou trois tessons, on note l'absence d'exemplaires caractéristiques du BA IIIB, probablement parce que les couches de cette époque ont été emportées par l'érosion après l'abandon du site à la fin du BA III. De cette couche provient aussi un fragment d'une table d'offrande égyptienne (Chapitre 17, § 17.1, **Fig. 17.1**), une petite scorie de cuivre (Chapitre 14, **Tableau 14.2**, n° 8), et peut-être aussi un bord de bol en basalte (Chapitre 15, § 15.3.2, **Fig. 15.6:1**).

En AR 116, à l'extérieur de la muraille 1108, le dépôt de la couche 1129 pourrait dater en partie de cette phase, et surtout de la suivante. Elle est formée d'une couche de terre assez meuble qui renferme de nombreuses pierres, dont certaines très grosses proviennent clairement de la destruction de la muraille. Cette couche n'a livré que 7 tessons, tous typiques du BA III.

2.2.5. Phase Acr-5 (du Bronze ancien à l'époque perse) : érosion de la pente

La phase Acr-5 correspond à une période d'abandon du site, marquée en stratigraphie par le dépôt de couches d'érosion : en AS 116, les couches 1106, accumulées sur une épaisseur

de près de 1,5 m ; et en AR 116, les couches 1107, au-dessus de l'arasement de la muraille, et 1112, en avant de celle-ci (**Figs 2.1**, **2.8–2.9**).

Les couches d'érosion 1106 contenaient un matériel abondant : on y a recueilli 2368 tessons, qui datent tous du Bronze ancien, sauf dans la partie supérieure de la couche, où environ 2 % des tessons sont de basse époque. Ce mobilier date du BA III, essentiellement de la première phase (BA IIIA) (**Fig. 4.4:1–9**), et ici encore on note l'absence de formes caractéristiques du BA IIIB. Cette couche marque donc principalement le lessivage des niveaux du Bronze ancien et, dans sa partie supérieure, celui de niveaux récents.

Quant aux couches 1107 et 1112 en AR 116, elles résultent de l'érosion de la pente et contenaient des tessons de toutes les époques, du BA III à l'époque perse. La couche 1107 n'a livré qu'une vingtaine de tessons, dont la moitié datent du Bronze ancien et le reste du Fer I–II. La couche 1112 renfermait moins de 10 % de tessons du Bronze ancien et aucun tesson romano-byzantin ; en revanche, elle a livré en quantités importantes des tessons du Bronze récent et du Fer I, avec notamment des formes caractéristiques du BR IIB telles que des jarres à fond très épais et des cruches à décor peint.

2.2.6. Phase Acr-6 (période romano-byzantine) : aménagement de la pente par des murs de terrasse

La phase Acr-6 équivaut au dernier état de l'aménagement de la terrasse inférieure de l'acropole, marquée par l'installation de murs de terrasse parallèles à la pente et visibles en surface (M.1102, M.1104) (**Figs 2.1–2.2**, **2.4**, **2.8–2.9**). Ces murs à parement unique constituent la limite de la terrasse inférieure de l'acropole qu'ils bordent sur une partie de sa périphérie (*cf.* **Fig. 1.20**). Ils appartenaient à l'établissement villageois qui occupait le sommet de l'acropole à l'époque du niveau Acr-I (voir ci-dessous, § 3.9). Ils sont associés à des remblais récents (1101 et 1105 en AS 116 ; 1103 en AR 116) qui ont livré principalement des tessons romains tardifs et byzantins anciens (**Fig. 12.2**), ainsi que quelques tessons d'époque hellénistique (**Fig. 12.1**) et de l'âge du Fer IB (**Fig. 9.5**).

2.3. Interprétation de la séquence

L'observation la plus importante faite dans le Sondage 1 concerne les fortifications du Bronze ancien qui englobent l'acropole et la ville basse. Le tracé de la muraille M.1108, caractérisée par son parement extérieur en appareil cyclopéen, est jalonné de gros blocs qui affleurent en surface sur le versant sud-est de l'acropole, et surtout sur son versant nord, où deux assises de très grosses pierres reposent sur le rocher au-dessus de l'abri sous roche n° 3 (**Fig. 1.17**). Or cette muraille M.1108 présente les mêmes caractéristiques que la Muraille B dégagée aux chantiers A et D de la ville basse, où il s'agit de la seconde enceinte de la ville, édifiée à la fin du BA II pour doubler l'enceinte initiale (Muraille A) (**Fig. 2.10**)[6]. Dans la ville basse, comme sur l'acropole, elle a été bâtie, du moins à l'origine, comme un mur de

[6] Sur la séquence des fortifications dans la ville basse, voir Miroschedji 1988b ; 1990, pp. 57*–59* ; 2018.

terrasse monumental, avec un parement extérieur construit en appareil cyclopéen, une face intérieure formée de pierres de dimensions relativement modestes, et une base en biseau qui a profondément recoupée un glacis de terre du BA II en relation avec la muraille initiale (Muraille A), située très en retrait.

Ces similitudes structurales laissent peu de doute sur l'identification archéologique de cette muraille M.1108 de l'acropole : il s'agit de la Muraille B qui entoure la totalité du site, acropole et ville basse. Signalons, cependant, quelques différences, mais qui ne paraissent guère signifiantes :

– Aux chantiers A et D, la Muraille B a connu deux états : d'abord mur de soutènement monumental, à parement extérieur cyclopéen, à base biseautée et à parement intérieur fait de pierres moyennes sur une faible hauteur (Muraille B_1) ; puis, dans un deuxième état, après la construction à l'aide d'une tranchée de fondation d'un nouveau mur juste au-dessus du précédent (Muraille B_2), mur *stricto sensu*, à deux parements (*free-standing*

Description de la Figure 2.10

A. Coupe des fortifications dans le Sondage 1 de l'acropole (cf. **Fig. 2.1***).*

1. Premier glacis.
2. Second glacis.
3. Construction de la Muraille 1108.
4. Utilisation de la Muraille 1108 : accumulation de couches contre sa face interne.
5. Érosion de la pente, postérieure au Bronze ancien.
6. Aménagement de la pente par des murs de terrasse (époque romano-byzantine).

B. Coupe des fortifications dans la ville basse, chantier D (d'après Miroschedji 1990, ill. 9).

1. Restes de l'occupation en établissement ouvert antérieure aux fortifications.
2. Muraille A.
3. Glacis de terre adossé à la Muraille A.
4. Restes de l'occupation du BA II contre la face interne de la Muraille A.
5. Muraille B_1, dont la tranchée de fondation entame le glacis de terre [3].
6. Restes de l'occupation du BA III contre la face interne de la Muraille A.
7. Couches de remblai alternant avec des surfaces plâtrées accumulées contre la Muraille B_1.
8. Muraille B_2, construite avec une tranchée de fondation qui entame les couches [7] de la phase précédente.
9. Fosse de pillage de la Muraille A (seconde moitié du BA III).

C. Coupe des fortifications dans la ville basse, chantier A (d'après Miroschedji 1990, ill. 5).

Phase 1 des fortifications :

1. Restes de l'occupation en établissement ouvert antérieure aux fortifications.
2. Muraille A.
3. « Tour » intérieure construite avec la Muraille A.
4. Contrefort de pierre en forme de glacis adossé à la Muraille A.
5. Couches de terre à surface plâtrée accumulées en avant de la Muraille A.

Phase 2 des fortifications :

6. Muraille B_1, dont la tranchée de fondation recoupe les couches [5] précédentes.
7. Terrassements de pierre et de terre établis entre les deux murailles.
8. Couches de terre accumulées entre les deux murailles sur les terrassements [7].
9. Muraille B_2, dont la tranchée de fondation recoupe les couches [8] précédentes.

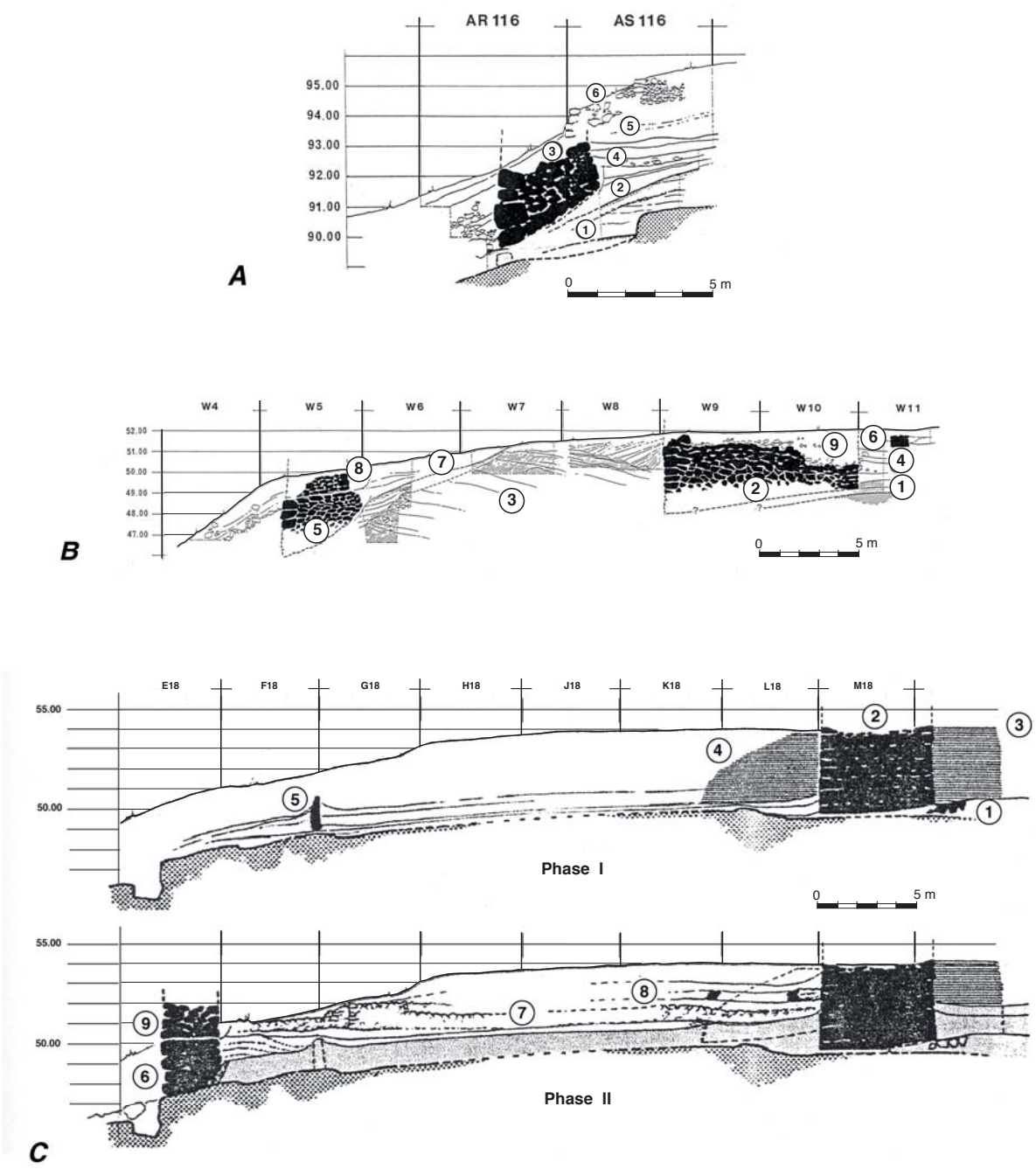


Fig. 2.10. Coupes schématiques des fortifications du Bronze ancien à Tel Yarmouth : comparaison entre la coupe du Sondage 1 de l'acropole (*A*) et celles des chantiers A et D de la ville basse (*C, B*).

wall) (**Fig. 2.10: B**, n° 8 ; **C**, n° 9). Cette succession ne s'observe pas sur l'acropole, mais il est fort possible que le mur du deuxième état (Muraille B_2) y a été emporté par l'érosion et que seule subsiste l'infrastructure du premier état (M1108 = Muraille B_1), comme c'est d'ailleurs aussi le cas au chantier A de la ville basse dans le carré E 18[7].

– La différence d'épaisseur entre la muraille M.1108 (3,20 m) et la muraille B_1 dans la ville basse ne semble pas avoir de signification puisque l'épaisseur de cette dernière oscille entre 2,60 m et 3,00 m au chantier A, voire 3,60 m au chantier D. Elle indique simplement qu'en dépit de similitudes structurales, les constructeurs ont donné à la Muraille B une épaisseur variable selon les endroits, vraisemblablement en fonction de contraintes locales.
– De même, la différence du mode de fondation dépend aussi de situations locales. Au chantier A, le parement extérieur de la Muraille B est fondé sur le rocher (**Fig. 2.10: C**), alors que celui de la muraille M.1108 n'atteint pas le rocher, du moins dans les limites étroites où sa base a été exposée en AR 116 ; mais on constate que sur le versant ouest de l'acropole, la même muraille repose bien sur la roche mère (**Fig. 1.17**).

Outre les considérations structurales évoquées ci-dessus, une autre raison pour identifier la muraille M.1108 avec la Muraille B découle de sa position : elle recoupe en effet le glacis 1123-1121 du BA II. Or dans la ville basse, la Muraille B entame aussi un glacis de terre appuyé contre la face externe de la muraille initiale du BA II (**Fig. 2.10: B-C**). De cette similitude on déduit que le glacis 1123-1121 ne pouvait pas exister isolément et qu'il s'appuie donc lui aussi contre une muraille intérieure, correspondant à la Muraille A. Certes, celle-ci n'a pas été localisée. Si notre hypothèse est correcte, elle devrait se trouver en AT–AV 116, donc plus proche de M.1108 qu'elle ne l'est dans la ville basse. En effet, l'intervalle entre les Murailles A et B est variable aussi dans la ville basse : il est de plus de 30 m au chantier A, mais de 15 m seulement au chantier D (**Fig. 2.10: B–C**) ; il est donc possible qu'il soit encore réduit sur l'acropole, d'autant plus que celle-ci a une faible superficie. Quoi qu'il en soit, nous n'avons pas cherché à vérifier ce point, car ce n'était pas l'objectif des fouilles en 1987 ; l'identification de la muraille M.1108 avec la Muraille B nous a paru répondre à l'interrogation première qui avait justifié l'ouverture du Sondage 1, à savoir déterminer la présence d'un rempart délimitant la terrasse inférieure de l'acropole. Les résultats des fouilles en 2007 dans la ville basse ont d'ailleurs conforté notre hypothèse puisqu'elles suggèrent que la Muraille A se dirige bien vers l'acropole, apparemment en direction d'un point situé en retrait de la muraille 1108[8].

En somme, les données stratigraphiques du Sondage 1 confirment dans une large mesure la séquence de construction des fortifications telle qu'elle a été observée dans les différents chantiers de la ville basse. Elles impliquent que le programme de construction des enceintes fortifiées successives a été mené à chaque étape sur une très grande échelle, qui a pu concerner toute la périphérie du site, sur une distance d'environ 1,8 km. Ce sont là des travaux d'une ampleur remarquable, qui exigent une planification complexe et la mobilisation d'une main-d'œuvre considérable.

[7] *Cf.* Miroschedji 1988b, pl. 14, coupe E–E'.
[8] Voir Miroschedji 2013, p. 768 et fig. 1.

RÉFÉRENCES

MIROSCHEDJI, P. de

1988a "Les niveaux d'occupation," in *Yarmouth 1, Rapport sur les trois premières campagnes de fouilles à Tel Yarmouth (Israël), 1980-1982,* édité par P. de Miroschedji, pp. 31–44. Paris : Éditions Recherche sur les Civilisations.

1988b "Les fortifications," in *Yarmouth 1, Rapport sur les trois premières campagnes de fouilles à Tel Yarmouth (Israël), 1980-1982,* édité par P. de Miroschedji, pp. 45–59. Paris : Éditions Recherche sur les Civilisations.

1990 "The Early Bronze Age Fortification System at Tel Yarmuth, an Interim Statement," *Eretz–Israel* 20 (Ruth Amiran Volume) : 48*–61*.

2013 "Fouilles de Tel Yarmouth : résultats des travaux de 2003 à 2009 (14e–18e campagnes)," *Comptes rendus de l'Académie des Inscriptions et Belles-Lettres* 2013 (avril-juin) : 759–796.

2018 "The Early Bronze Age Fortifications at Tel Yarmut – An Update," *Eretz-Israel* 33 (Stager Volume) : 142*–162*.

NODET, E.

1988 "La Porte Ouest (chantier E)," in *Yarmouth 1, Rapport sur les trois premières campagnes de fouilles à Tel Yarmouth (Israël), 1980-1982,* édité par P. de Miroschedji, pp. 61–68. Paris : Éditions Recherche sur les Civilisations.

CHAPITRE 3

LE SONDAGE 2 DE L'ACROPOLE

Michaël JASMIN et Pierre de MIROSCHEDJI

L'objectif des fouilles du Sondage 2 était d'obtenir, par une tranchée stratigraphique implantée au bord de la terrasse supérieure de l'acropole, un aperçu de la séquence d'occupation dans cette partie haute du site. Les fouilles ont débuté en 1987, alors que se déroulait la deuxième et dernière campagne de fouilles dans le Sondage 1 en contrebas, et se sont poursuivies pendant cinq campagnes, en 1987, 1989, 1990, puis, après une longue interruption, en 1996 et 1997. Le sondage a connu des agrandissements successifs (ci-dessus, § 1.3.2) pour atteindre finalement une longueur de 25 m, soit cinq carrés consécutifs répartis depuis la partie sommitale du tell (carré BD 116) jusqu'au carré AZ 116 sur la pente en aval (**Figs 3.1–3.2**). La tranchée couvre ainsi une superficie de 96 m^2. Le rocher a été atteint en deux points, en AZ 116 et en BB 116, à une profondeur, respectivement, de 6,40 m et 4,30 m sous la surface (**Figs 3.4**, **3.6**). Dès lors, les objectifs du sondage ont été considérés comme atteints et les fouilles ont été arrêtées.

3.1. REMARQUES PRÉLIMINAIRES

La stratigraphie du sondage est illustrée par quatre coupes dont l'emplacement et la relation avec les principales structures sont indiqués sur la **Fig. 3.3**. Des deux coupes latérales du sondage, A–A' (**Figs 3.4–3.5 ; Dépliant 1**) et B–B' (**Figs 3.6–3.8 ; Dépliant 2**), la coupe sud-est (A–A') s'est avérée la plus complète ; aussi a-t-elle été choisie comme coupe de référence pour les illustrations de la stratigraphie et des structures des niveaux Acr-IX à Acr-I. En conséquence, les plans des vestiges des niveaux successifs du sondage sont tous orientés en fonction d'elle, c'est-à-dire vers le sud-est (**Figs 3.13**, **3.21**, **3.28**, **3.33**, **3.40**, **3.53**, **3.59**, **3.65**). Deux coupes transversales ont en outre été établies. L'une, C–C' (**Figs 3.9–3.10**, **3.16**), placée à l'aplomb d'un mur de terrasse romain du niveau Acr-IB (M.1167B), traverse les couches du Bronze ancien jusqu'au rocher (niveaux Acr-VII à Acr-IX). L'autre, D–D' (**Figs 3.11–3.12**), s'inscrit sur deux plans différents : la partie haute (D_1–D_1') est à l'aplomb d'un mur de terrasse du niveau Acr-II (M.1118B) et recoupe les vestiges des niveaux Acr-III à Acr-V (**Fig. 3.34**) ; sa partie basse (D_2–D_2'), décalée de 2 m vers le sud-ouest, est à l'aplomb de la face sud-ouest d'un mur du niveau Acr-V (M.1151) et expose l'ensemble des couches du niveau Acr-VI jusqu'au rocher (**Figs 3.23–3.24**).

La stratigraphie illustrée par ces quatre coupes révèle une succession de neuf niveaux archéologiques, numérotés en chiffres romains, Acr-I à Acr-IX, depuis la période romano-byzantine (niveau Acr-I, dont des murs de terrasse sont apparents en surface) jusqu'à la première occupation attestée dans cette partie du site au BA II (niveau Acr-IX, sur le rocher)



Fig. 3.1. Vue d'ensemble du Sondage 2 de l'acropole à la fin de la campagne de 1996, vers le nord-est. Dans la partie haute du sondage : le mur de terrasse M.1118B (niveau Acr-IIA) construit sur les murs à un seul parement du niveau Acr-III. Dans la partie inférieure : les murs romains (niveau Acr-I) établis directement sur les niveaux du Bronze ancien (niveaux Acr-VII à Acr-IX).



Fig. 3.2. Vue d'ensemble du Sondage 2 de l'acropole à la fin de la campagne de 1997, vers le nord-est. À l'arrière-plan, le mur M.2316 du niveau Acr-IIB reposant sur les structures du niveau Acr-III. Au premier plan, les niveaux du Bronze ancien (Acr-VII à Acr-IX) sont exposés jusqu'au rocher.

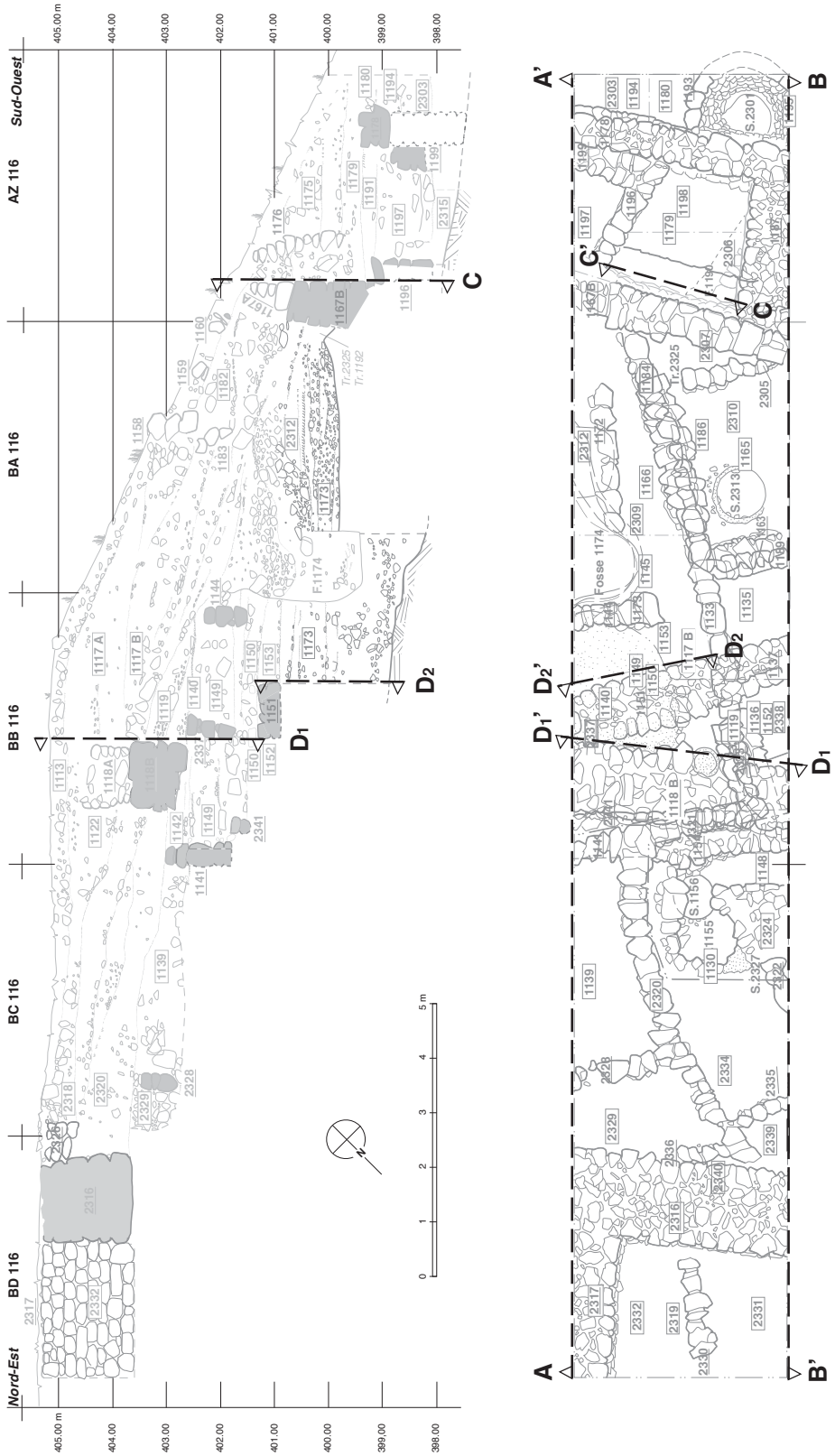


Fig. 3.3. Emplacement des coupes du Sondage 2 de l'acropole. Coupe A–A' = **Fig. 3.4 et Dépliant 1**. Coupe B–B' = **Fig. 3.6 et Dépliant 2**. Coupe C–C' = **Fig. 3.9**. Coupe D_1–D_1' + D_2–D_2' = **Fig. 3.11**.

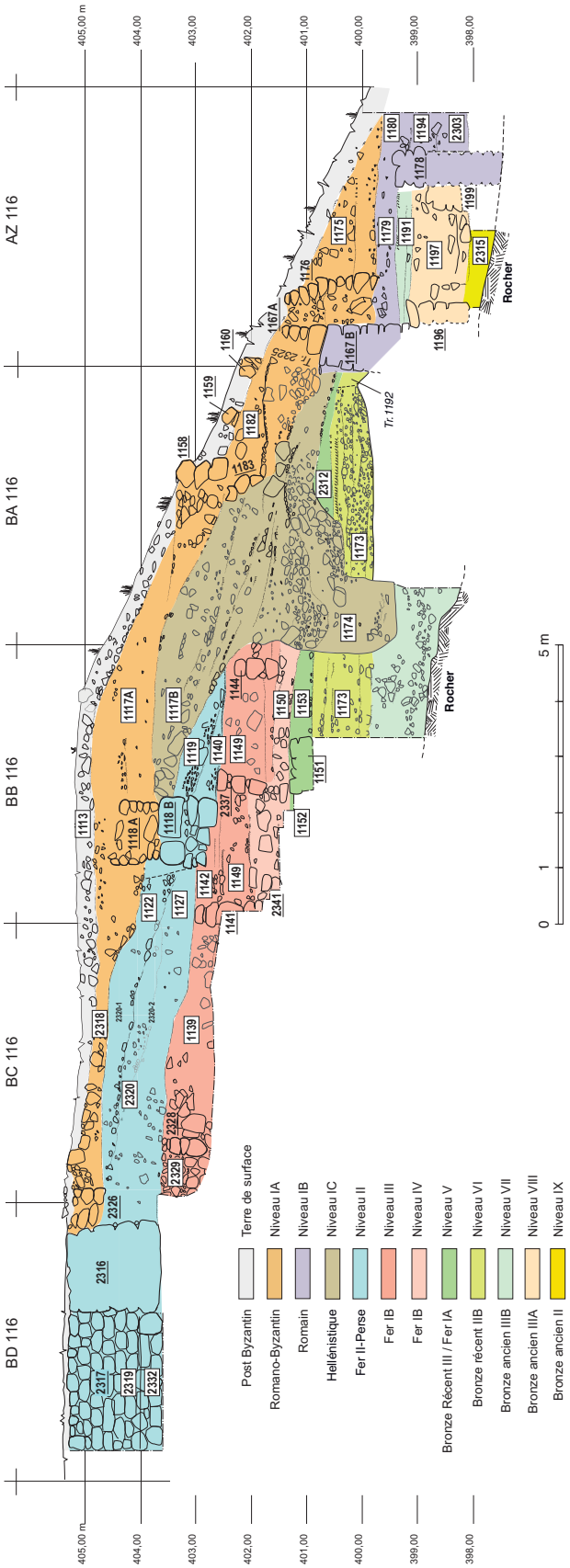


Fig. 3.4. Sondage 2, coupe longitudinale sud-est (A–A'). Voir **Dépliant 1**.

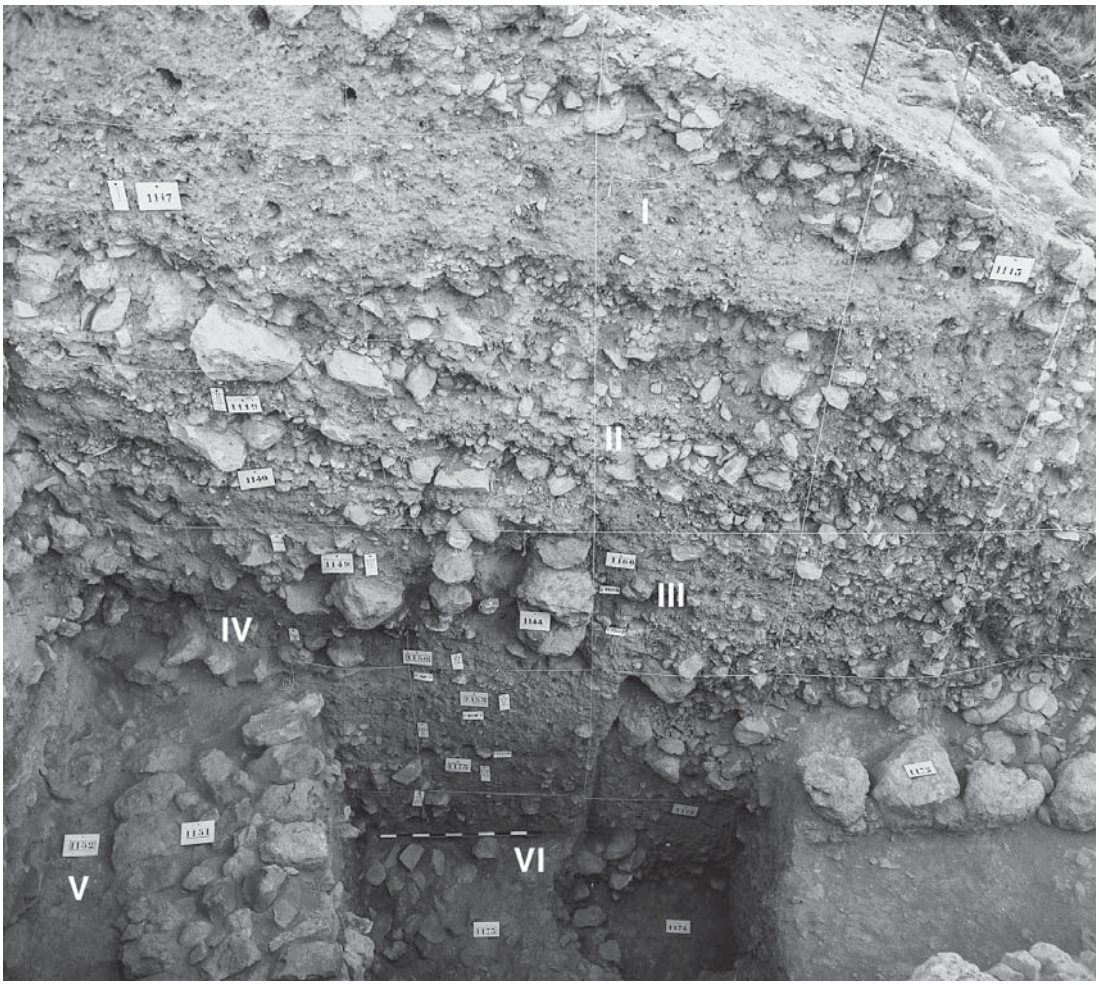


Fig. 3.5. Vue partielle de la coupe sud-est (A–A') (carrés BA-BB 116). Le sondage 1173 n'a pas encore atteint le rocher. Noter le pendage des couches d'érosion des niveaux supérieurs Acr-I et II. En bas à gauche, M.1151 du niveau Acr-V. À droite, M.1172 du niveau Acr-III.

(**Tableau 3.1**). Les niveaux dont les vestiges sont les mieux conservés sont les niveaux Acr-V à III, qui datent du dernier quart du IIe millénaire. Ils offrent une séquence continue de couches d'occupation bien stratifiées depuis le XIIe jusqu'à la fin du XIe siècle avant notre ère.

En raison de l'implantation du sondage sur une pente, les vestiges découverts sont assez mal conservés. Ils ont été soumis à une intense érosion, particulièrement pendant les périodes d'abandon du site. La pente a en outre été aménagée à l'aide de murs de terrasse pendant la plus grande partie de l'histoire de l'occupation de l'acropole ; aux époques tardives, ces murs de terrasse ont profondément entaillé les couches antérieures, allant jusqu'à mettre en contact, en bas du sondage, dans le carré AZ 116, des murs romains (niveau Acr-IB) et des murs du Bronze ancien (niveau Acr-VIII) (*cf.* **Figs 3.4**, **3.6** et **3.10**). Enfin, il existe de grandes fosses qui traversent plusieurs niveaux (*cf.* **Fig. 3.4**, F.1174 ; **Fig. 3.9**, F.1190). En conséquence, la stratigraphie est complexe, parfois difficile à démêler.

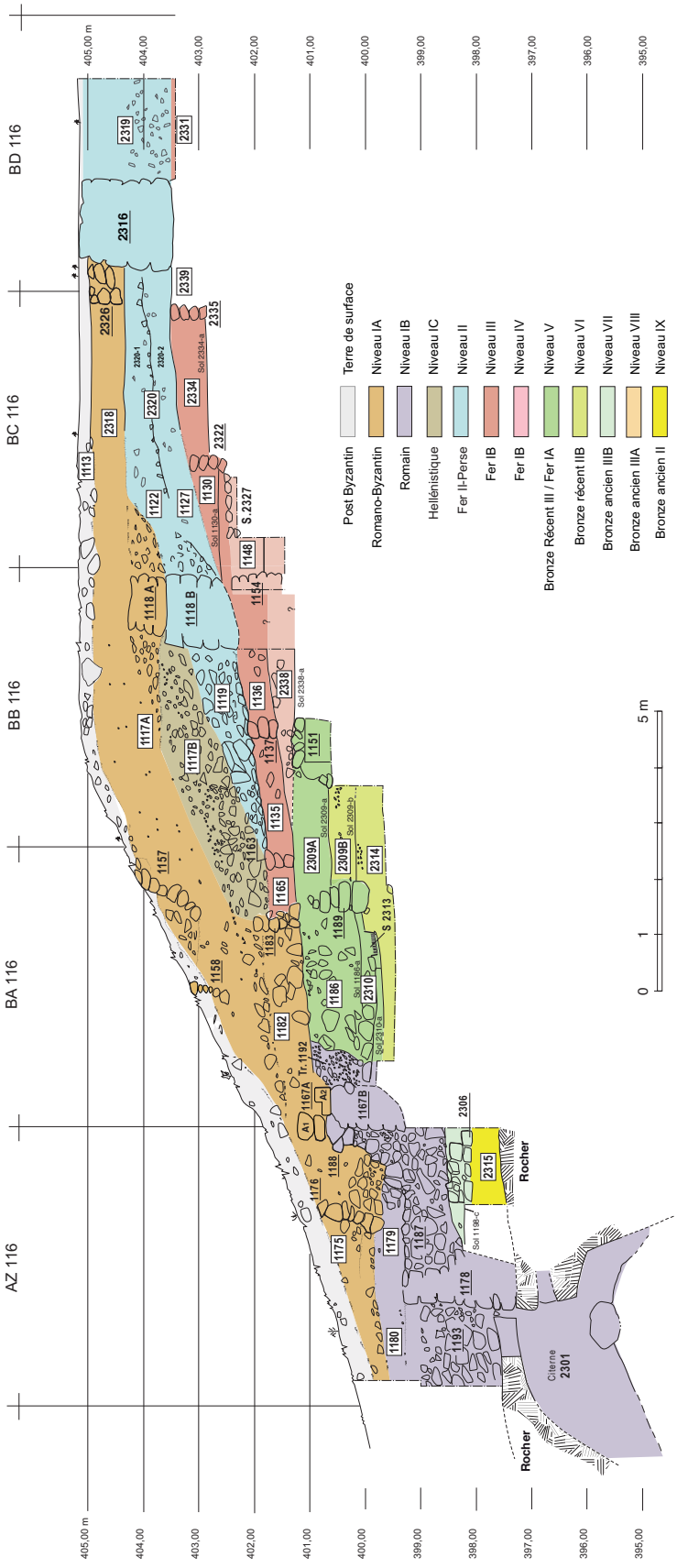


Fig. 3.6. Sondage 2, coupe longitudinale nord-ouest (B–B'). Voir **Dépliant 2.**



Fig. 3.7. Vue partielle de la coupe nord-ouest B–B' (carrés BA–BB 116). À l'extrême gauche, le mur de terrasse romain M.1167 du niveau Acr-I dont la tranchée de fondation recoupe les couches du niveau Acr-V.

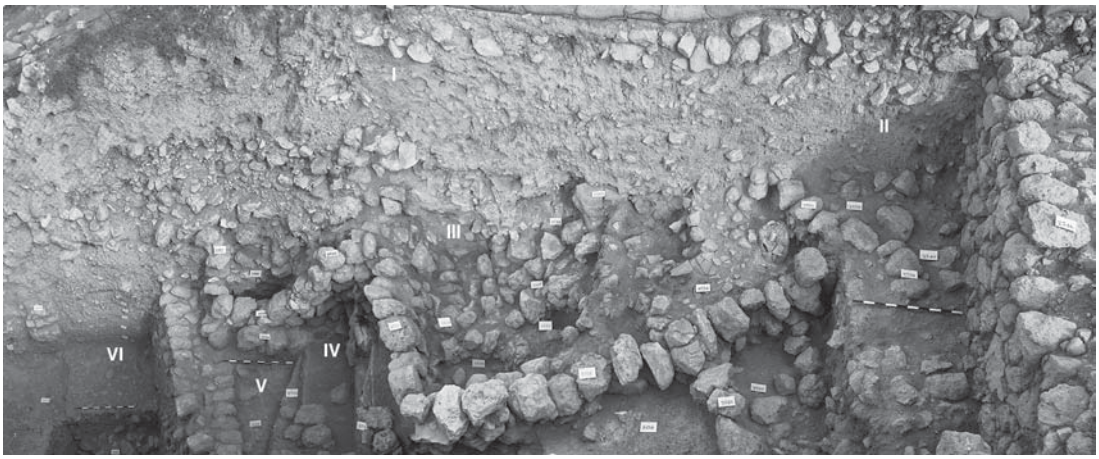


Fig. 3.8. Vue partielle de la coupe nord-ouest B–B' (carrés BB–BC 116).
Noter la succession rapide des vestiges de construction à partir du niveau Acr-V.

3.2. La séquence stratigraphique

En fonction de la stratification, du caractère des vestiges mis au jour et de la nature du matériel archéologique découvert, la séquence stratigraphique révèle quatre phases d'occupation principales séparées ou non par des interruptions (**Tableau 3.1**) :

- Niveaux Acr-IX à Acr-VII : Ces trois niveaux datent du BA II–III et témoignent d'une occupation continue, en grande partie contemporaine des phases 1 à 4 du Sondage 1 et des niveaux d'occupation du Bronze ancien dans la ville basse (voir § 2.1 et **Tableaux 1.1 et 2.1**). L'ensemble du site de Tel Yarmouth a ensuite été abandonné jusqu'à la réoccupation de l'acropole au BM II.

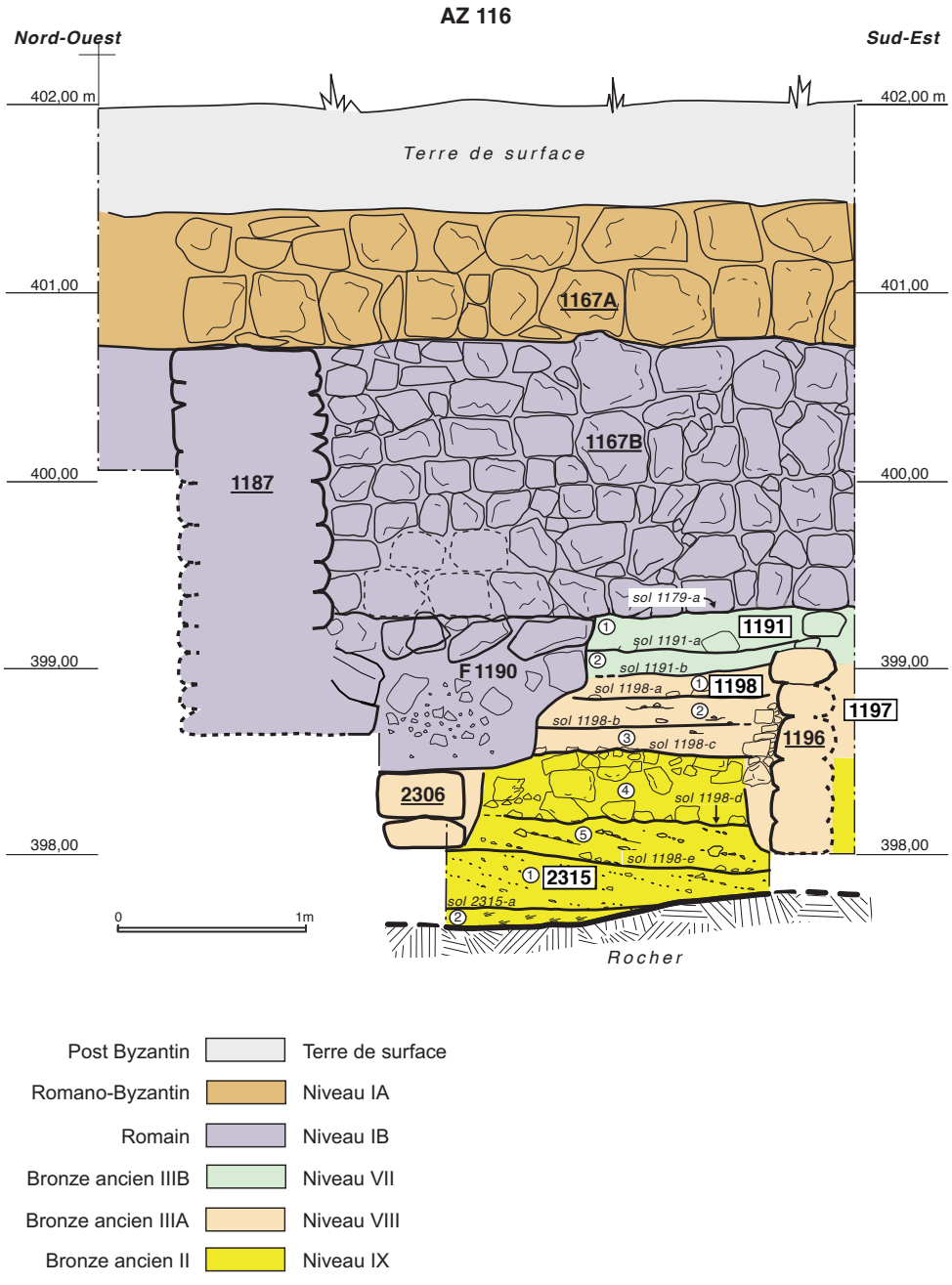


Fig. 3.9. Sondage 2, coupe transversale en AZ 116 (C–C').

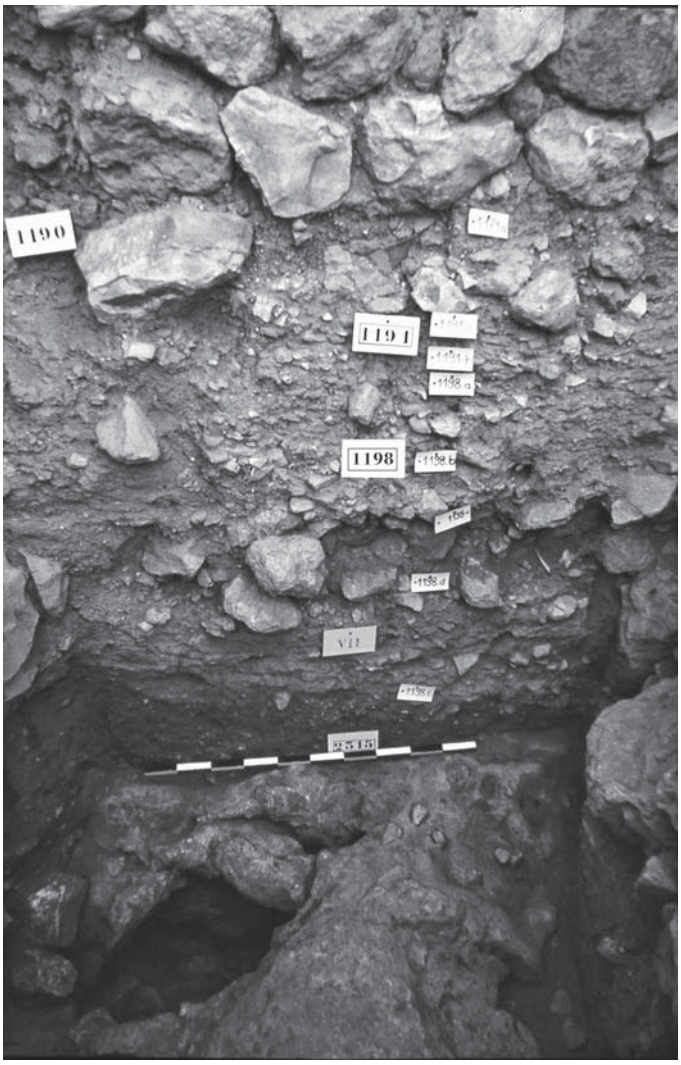


Fig. 3.10. Détail de la coupe transversale C–C' (carré AZ 116). Voir **Fig. 3.9**. Le mur M.1167 (niveau Acr-I) recouvrent directement la fosse F.1190 et les couches des niveaux Acr-VII à Acr-IX du Bronze ancien (L.1191, L.1198, L.2315). La plaquette « VII » se trouve sur la ligne de la surface 1198-e à partir de laquelle les murs du niveau Acr-VII (M.2306 à gauche, M.1196 à droite) ont été construits. La couche marquée « 1198-6 » relève en fait de L.2315 qui appartient au niveau Acr-IX. L'échelle métrique repose sur la roche mère dans laquelle on distingue une profonde anfractuosité.

- Niveaux Acr-VI à Acr-III : si l'on excepte les tessons, peu nombreux, du BM II (niveau VIB), ces quatre niveaux datent du dernier tiers du second millénaire et ont livré les vestiges les mieux conservés et le mobilier archéologique le plus abondant. Ils attestent une occupation continue, qui s'est poursuivie sur trois grandes périodes[1] : le BR IIB (XIIIe siècle : niveau Acr-VIA) ; le BR III / Fer IA, qui désigne une phase de transition entre le BR IIB et le Fer IB datée du milieu du XIIe siècle (niveau Acr-V) ; enfin le Fer IB qui couvre la fin du XIIe siècle (niveau Acr-IV) et l'ensemble du XIe siècle (niveau Acr-III).

[1] Ici et dans la suite de ce rapport, la définition du BR III/Fer IA est fondée sur la périodisation proposée par Mazar 1990a, pp. 290–291, 296. Cette phase correspond au BR IIIB d'Ussishkin 2004, p. 44, Table 2.1, et pp. 74–75. En termes de chronologie absolue, nous suivons la « chronologie conventionnelle modifiée » (*Modified Conventional Chronology*) défendue par Mazar 2005, 2011 (avec références), qui situe la transition Fer IB/Fer IIA vers 980 av. n. ère. Cette chronologie est confortée dans une large mesure par les datations ^{14}C de Khirbet Qeiyafa : voir Garfinkel 2017, pp. 28–30.

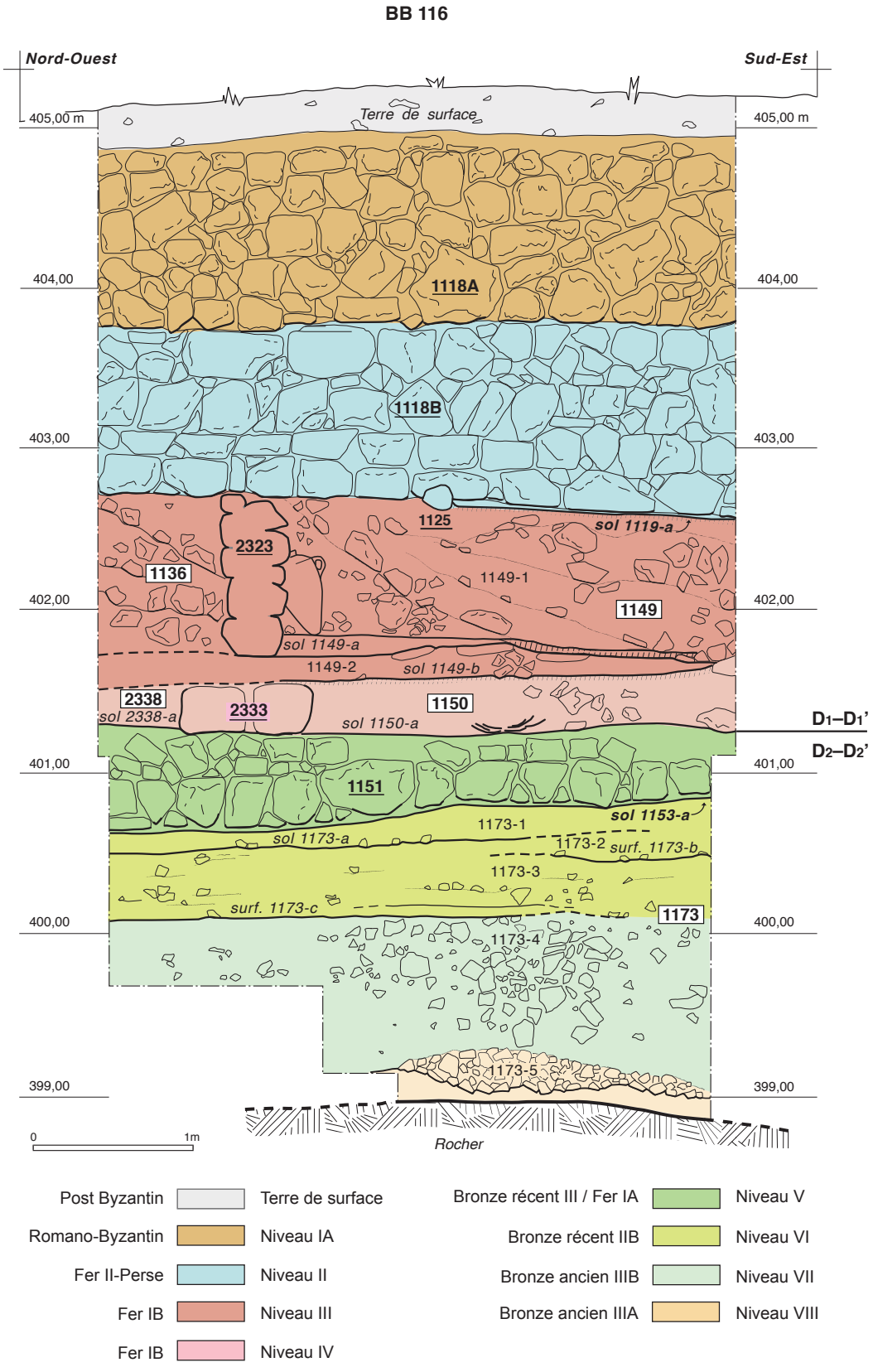


Fig. 3.11. Sondage 2, coupe transversale en BB 116 (D_1–D_1' et D_2–D_2' : voir **Fig. 3.3**).

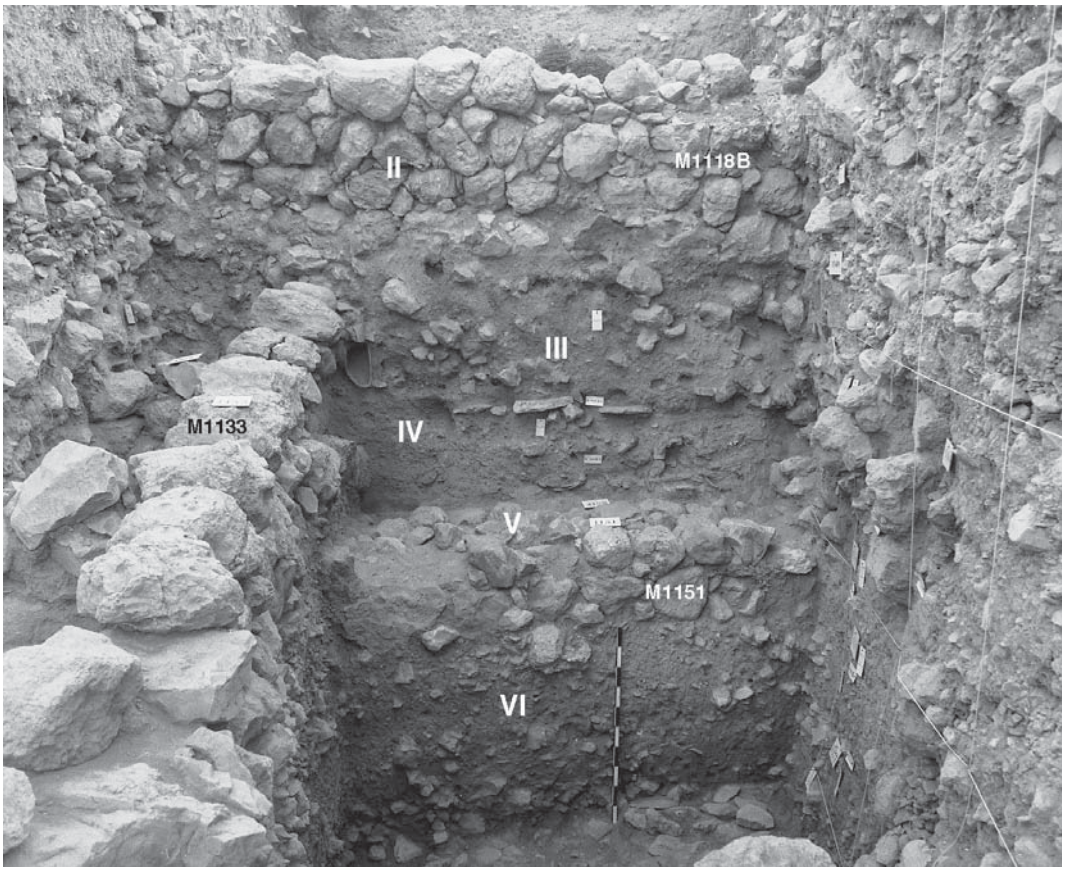


Fig. 3.12. Vue de la coupe transversale D_1–D_1'/D_2–D_2' (carré BB 116) illustrant la succession des niveaux Acr-II à Acr-VI. Voir **Figs 3.3 et 3.11**. La partie haute correspond à la coupe D_1–D_1', la partie basse (à l'aplomb du mur M.1151 du niveau Acr-V) à la coupe D_2–D_2'.

- Niveau Acr-II : du Fer IIA à l'époque perse.
- Niveau Acr-I : époques hellénistique, romaine (hérodienne) et romaine tardive/ byzantine ancienne.

La désertion de la ville haute et, partant, celle de l'ensemble du site, semble avoir été complète deux fois au cours du IIIe et IIe millénaires :

- pendant la période comprise entre la fin du BA III et le BM II, soit entre *c.* 2400 et *c.* 1600 avant notre ère ; les observations stratigraphiques des sondages de l'acropole confirment ainsi celles faites dans la ville basse, où l'établissement du BA III a été totalement abandonné à la fin de cette époque (*cf.* **Tableau 1.1**).
- entre le BM II et le BR II, entre *c.* 1500 et *c.* 1300.

Par ailleurs, l'occupation du site semble avoir été clairsemée au BM II, au Fer IIA–B, ainsi qu'à l'époque hellénistique.

On observe pour chacune de ces grandes périodes d'occupation une orientation particulière des murs, qui implique une continuité dans l'organisation de l'habitat. Ainsi, les murs des niveaux Acr-V à Acr-III présentent une même orientation, parallèle au sens de la pente (**Figs 3.28**, **3.33**, **3.40**), différente de celle des murs des niveaux antérieurs Acr-VIII–VII (**Fig. 3.13**) et des niveaux postérieurs Acr-II–I (**Figs 3.53**, **3.59**, **3.65**).

Périodes Yarmouth	Niveaux	Époques*	Datation*	Vestiges matériels
M	Acr-IA	Romain-Byzantin	IIIe – IVe siècle Abandon ?	Architecture et murs de terrasse
L	Acr-IB	Romain ancien	Ier s. av. – Ier s. ap. J.-C.	Architecture
K	Acr-IC	Hellénistique	IIIe – IIe siècle	Tessons
J	Acr-IIA	Perse	VIe-IVe siècle	Architecture
I		Fer IIC	VIIe siècle	Tessons
	Acr-IIB		Abandon ?	Tessons
		Fer IIA	Xe siècle	
H	Acr-III	Fer IB	Destruction XIe siècle	Architecture
	Acr-IV	Fer IB	Fin XIIe–début XIe siècle	Architecture
	Acr-V	BR III/Fer IA	XIIe siècle	Architecture
G	Acr-VIA	BR IIB Abandon ?	XIIIe siècle Abandon ?	Tessons /
F	Acr-VIB	BM IIB/C	XVIe siècle	Tessons
	Abandon			
E	Acr-VII	BA III	XXVIe - XXVe siècles	Architecture
D	Acr-VIII	BA III	XXVIIIe - XXVIIe siècles	Architecture
B-C	Acr-IX	BA II	XXXIe-XXIXe siècles	Architecture

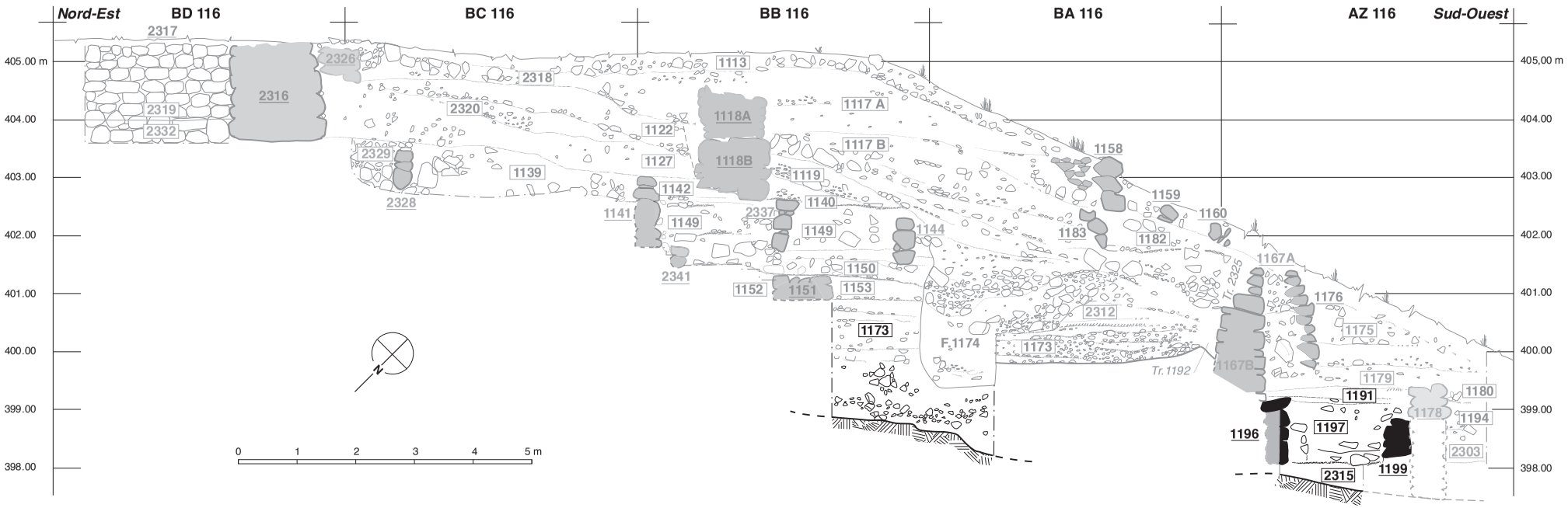
* Voir note 1.

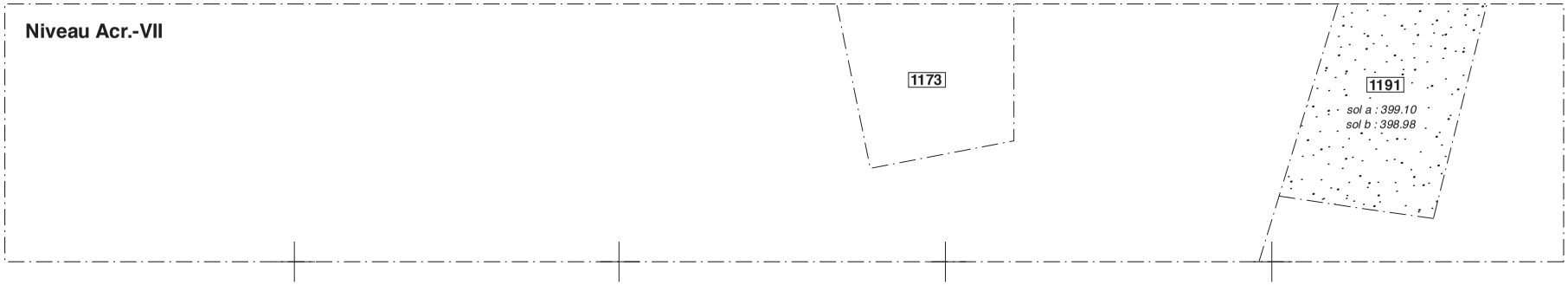
Tableau 3.1. Stratigraphie du Sondage 2 de l'acropole.

3.3. Niveaux Acr-IX à Acr-VII (Bronze ancien II–III)

Les vestiges des plus anciennes installations ont été mis au jour dans les deux zones du sondage où le rocher a été atteint : dans le carré AZ 116, où la stratigraphie est la plus cohérente et sert de référence (**Figs 3.4**, **3.9**) ; et dans les carrés BA–BB 116, où un petit sondage (1173) a révélé, au contact du rocher, des couches (1173-5 et 4) attribuées au niveau Acr-VII dont le matériel archéologique date principalement, mais pas uniquement, du Bronze ancien (**Figs 3.4**, **3.11**). L'exposé suivant ne concernera donc que les observations faites dans le carré AZ 116, qui sont les plus fiables.

Dans le carré AZ 116, les niveaux du Bronze ancien ont été atteints dans un espace d'à peine 8 m^2 compris entre trois murs romains du niveau Acr-I, à savoir M.1167B au nord-est, M.1187 au nord-ouest et M.1178 au sud-ouest (**Figs 3.13–3.14**). Dans ces limites étroites, les fouilles ont rencontré une situation stratigraphique complexe du fait de la forte pente de la colline en cet endroit ; de la présence d'une fosse (F1190) ; de recreusages effectués pour l'implantation de constructions romaines ; et enfin de l'imbrication des murs, dont la superposition n'a parfois été reconnue qu'*a posteriori* (d'où l'adjonction d'une lettre pour distinguer M.1187A et B), et dont quelques-uns ont en outre des tranchées de fondation (ainsi M.2306 et M.1196). On a distingué dans ce carré trois niveaux, Acr-IX, au contact du rocher, Acr-VIII et Acr-VII.


Nord-Est
BD 116
BC 116
BB 116
BA 116
AZ 116
Sud-Ouest
405.00 m
404.00
403.00
402.00
401.00
400.00
399.00
398.00
2317
2316
2326
2319
2332
2318
2320
2329
2328
1139
1113
1122
1127
1118A
1118B
1117 A
1117 B
1119
1142
1141
1149
1140
2337
1149
1144
2341
1150
1152
1151
1153
1173
F. 1174
2312
1173
1158
1159
1160
1182
1183
Tr. 2325
1167A
1176
1175
Tr. 1192
1167B
1179
1191
1180
1178
1194
1196
1197
2303
1199
2315
0
1
2
3
4
5 m


Niveau Acr.-VII
1173
1191
sol a : 399.10
sol b : 398.98

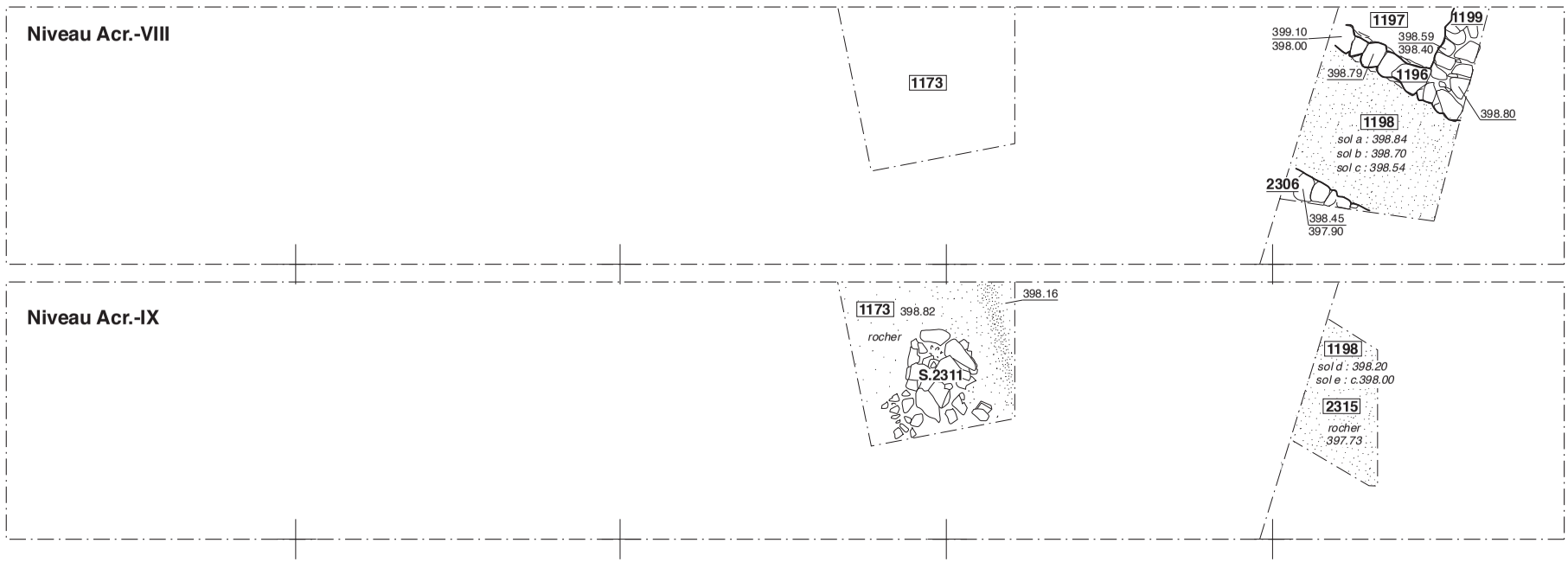


Fig. 3.13. Vestiges des niveaux Acr-VII à Acr-IX dans la coupe A–A' et en plan.



Fig. 3.14. Carré AZ 116, vers le nord-est. État final de la fouille. Les murs du niveau Acr-I (romain) encadrent et recouvrent directement les vestiges des niveaux Acr-VII à IX (Bronze ancien). Au centre de la photo, l'échelle métrique repose sur le rocher.

3.3.1. Niveau Acr-IX (Bronze ancien II) : L.2315 et L.1198-4 et 5

Reposant directement sur le rocher, le niveau Acr-IX est le plus ancien témoin de l'occupation de l'acropole de Tel Yarmouth. Il n'a été atteint que dans un étroit sondage creusé à partir de la surface 1198-d (**Figs 3.13–3.17**).

Le rocher a été dégagé à des altitudes comprises entre 397.73 m et 397.62 m, donc en pente sensible vers le nord-ouest. Il présente une surface inégale, avec de grandes anfractuosités, qui peuvent atteindre 0,50 m de profondeur (**Figs 3.10**, **3.14–3.15**), en partie comblées par de la terre rouge (*terra rossa*) vierge. Le rocher et la terre vierge ont la même apparence ici que dans tous les autres endroits de Tel Yarmouth où ils ont été atteints (chantiers A, B, C, D, E et G).

La couche la plus ancienne est la couche 2315 (=1198-6), qui recouvre le rocher et la terre vierge (**Figs 3.10**, **3.14–3.17**). Épaisse de *c.* 0,30 m, c'est une couche de terre brun clair avec des litages obliques de cailloutis. Elle pourrait avoir servi de remblai pour niveler la surface inégale du rocher. On y a reconnu un sol (2315-a). Cette couche a livré 432 tessons, tous de petites dimensions, dont 36 seulement sont identifiables. Tous ces tessons relèvent de la fin du BA I (?) et du début du BA II (**Fig. 4.5** ; **Tableau 3.2**).

Les deux couches sus-jacentes, 1198-5 et 1198-4, d'une épaisseur totale de *c.* 0,60 m, sont des couches de terre brune plus ou moins cendreuses qui reposent chacune sur une



Fig. 3.15. Carré AZ 116, vestiges des niveaux Acr-VIII et IX, vers le sud-est. Au premier plan et à droite, les murs M.1187 et M.1178 (niveau Acr-I). Au centre, l'espace L.1198 (niveau Acr-VIII). L'échelle métrique repose sur le sol 1198-d. Le sondage dans la moitié nord-est de L.1198 a mis au jour le rocher, avec une profonde anfractuosité.

surface bien caractérisée (respectivement les sols 1198-e et 1198-d). Aucun vestige de construction ne leur est associé, mais il est vraisemblable que l'espace dégagé ici se trouve au voisinage d'une habitation. De fait, le dernier sol d'utilisation de ce niveau est le sol 1198-d (**Figs 3.15, 3.18–3.19**) qui était jonché de tessons à plat et de pierres, ces dernières provenant peut-être de la destruction d'habitations situées en amont, en dehors du sondage. Ces deux couches et les sols correspondants ont livré 650 tessons, dont 75 identifiables, qui relèvent tous exclusivement du BA II (**Fig. 4.6** ; **Tableau 3.2**).

3.3.2. Niveau Acr-VIII (Bronze ancien IIIA) : L.1198-3 à 1 et L.1197

Les plus anciennes constructions repérées dans le sondage apparaissent au niveau Acr-VIII (**Figs 3.13–3.19**). Il s'agit des murs M.2306, M.1196 et M.1199, qui délimitent les espaces L.1198 (le seul visible dans la coupe **Fig. 3.9**) et L.1197 (**Fig. 3.4**). L'espace L.1198 a été détruit au sud-ouest par la tranchée de fondation de M.1178, un mur d'époque romaine du niveau Acr-IB basé sur le rocher (voir ci-dessous, § 3.9.2.2).



Fig. 3.16.



Fig. 3.17.

Fig. 3.16. Carré AZ 116, vestiges des niveaux Acr-VIII et IX, vers le nord-est. Au premier plan le mur 1178 est associé à gauche au mur 1187 du niveau Acr-IB. Ce dernier recouvre un éboulis qui surmonte M.2306, contemporain de M.1196 (à droite). L'échelle métrique repose sur une surface de terra rossa L.2315 (niveau Acr-IX du BA II) qui recouvre le rocher.

Fig. 3.17. Même état des lieux que sur la **Fig. 3.16**, mais vue vers le nord-ouest.

Niveaux	Loci	Total tessons / locus	Tessons gardés / locus	Total tessons / niveau	Total tessons gardés / niveau
Acr-VII	1191-1 + sol a	588	94	1357*	210*
	1191-2 + sol b	769	116		
Acr-VIII	1198-1 + sol a	939	158	1888	320
	1198 2 + sol b	603	107		
	1198-3 + sol c	137	16		
	1197	209	39		
Acr-IX	1198-4 + sol d	346	55	1087	116
	1198-5 + sol e	304	20		
	2315-1 + sol a	432	36		
	2315-2	5	5		

* Mélanges avec la poterie romaine du niveau Acr-IB.

Tableau 3.2. Niveaux Acr-IX à Acr-VII : fréquence des tessons par niveau et par locus. Les tessons gardés sont des tessons dont le type est identifiable en raison de leur forme, de leur finition ou de leur pâte.



Fig. 3.18.



Fig. 3.19.

Fig. 3.18. Carré AZ 116, vestiges des niveaux Acr-I et Acr-VIII–IX, vue vers le nord-est. Au premier plan à gauche, la citerne S.2301 et sa margelle M.1193 appuyée contre le mur M.1178 du niveau romain Acr-IB (*cf.* **Fig. 3.59**) ; ce dernier est lié au mur perpendiculaire M.1187 (à gauche, fondé sur un éboulis) et au mur de terrasse M.1167 (à l'arrière-plan). Au centre, l'espace L.1198 (niveau Acr-VIII–IX : *cf.* **Fig. 3.13**) délimité par deux murs obliques parallèles, M.1196 à droite et M.2306 à gauche, dont l'assise supérieure a été partiellement pillée par la fosse F.1190. L'échelle métrique repose sur le sol 1198-d. Les murs M.1196 et M.2306 étaient scellés par les sols de L.1191 du niveau Acr-VII, visibles en coupe sous M.1167 (*cf.* **Fig. 3.9**).

Fig. 3.19. Même état des lieux que sur la **Fig. 3.18**, mais vue vers le nord-ouest.

Les murs M.1199 et M.1196 ont été entièrement dégagés, contrairement à M.2306, dont on ne connaît que la face interne. Ce dernier a été profondément entamé sur une partie de sa longueur par la fosse F.1190 d'époque romaine (niveau Acr-IB : voir ci-dessous § 3.9.2.1), en sorte que dans la coupe transversale C–C' (**Fig. 3.9**) son arasement apparaît nettement plus bas que celui de M.1196. M.1196 et M.2306 ont été construits à l'aide d'une tranchée de fondation ; celles-ci entament les couches sous-jacentes du niveau Acr-IX (1198-4 et 1198-5) sur une profondeur maximale de 0,50 m et elles ont été trouvées remplies de terre cendreuse (*cf.* **Fig. 3.9** et **Figs 3.18–3.19**, où les tranchées de fondation recoupent le sol 1198-d). Alors que M.1199 est construit selon la manière habituelle au Bronze ancien, c'est-à-dire avec deux parements, M.1196 ne comporte qu'une seule rangée de pierres, comme les murs de l'âge du Fer (voir ci-dessous, niveaux Acr-V et Acr-III) ; c'était peut-être aussi le cas de M.2306, à en juger du moins par sa maçonnerie. Cette particularité de construction est très rare à Yarmouth au Bronze ancien, mais elle n'y est pas exceptionnelle : elle y est attestée au BA III notamment au chantier Ja, niveau J-3, où des murs constitués d'une seule rangée de pierres semblent délimiter des espaces de stockage ou d'activités artisanales[2].

Dans le locus L.1198, le premier sol du niveau Acr-VIII est le sol 1198-c, à 398,56 m, qui a fait l'objet de deux réfections (1198-b et 1198-a) (**Fig. 3.9**). Dans l'espace voisin, L.1197, la surface dégagée était trop étroite pour distinguer clairement des sols homologues,

[2] Miroschedji 2013, p. 779, fig. 14.

mais un sol a été observé vers 398,20 m, auquel on peut probablement rattacher deux fragments de meule, l'une active, l'autre dormante (**Fig. 15.10:2,4**). Ces deux loci 1197 et 1198 ont livré ensemble 1888 tessons, dont 320 tessons identifiables (**Tableau 3.2**), qui relèvent tous du BA IIIA (**Figs 4.7–4.8**). Un fragment de lit votif (?) a en outre été recueilli sur le sol 1198-a (**Fig. 15.2**).

3.3.3. Niveau Acr-VII (Bronze ancien IIIB) : L.1191

Aucune structure n'est associée au niveau Acr-VII, qui n'est représenté que par deux sols superposés, 1191-b et 1191-a (**Figs 3.9, 3.13–3.14, 3.16, 3.18**). Le sol 1191-a, à 399,10 m, passe sur l'arasement de M.1196 et M.1199 du niveau sous-jacent. L.1191 a livré 1357 tessons, dont 210 identifiables (**Tableau 3.2**) ; en excluant les tessons romains intrusifs du niveau Acr-IB (voir § 3.9.2), ils datent du BA IIIB (**Fig. 4.9**).

On a recueilli en outre sur le sol 1191-a plusieurs fragments de paroi de four (*tabūn*) qui méritent une mention (**Fig. 3.20**). D'abord parce que ces vestiges sont exceptionnels au



Fig. 3.20. Fragment de paroi de four du niveau Acr-VII, L.1191 (1. B.10625 ; 2. B.10618).

Bronze ancien à Yarmouth, où les foyers sont habituellement aménagés à l'aide de petits galets de basalte sans bordure construite. Ensuite parce que ces fragments ont des caractéristiques particulières de matière, de forme et de texture qui les distinguent des fragments de *tabūn* des niveaux supérieurs du Bronze récent (niveau Acr-VI : **Fig. 3.27**) et du Fer I (niveau Acr-III : **Fig. 3.49**). Ces fragments proviennent d'une structure circulaire à profil cintré. Ils n'ont, semble-t-il, pas été exposés à de très hautes températures. Très dense et très cuite, la pâte est de couleur rouge-brun foncé avec un gros dégraissant minéral, composé de gravier de ouadi, dont les particules peuvent atteindre 1 cm de longueur, auquel se mêlent de petites particules blanches. La pâte possède une apparence et une texture sableuses. La face extérieure, bien lissée, est de couleur brun foncé. La paroi était formée de petites plaques superposées, ou plutôt imbriquées puisqu'elles présentent chacune une surface longitudinale légèrement ondulée et une surface transversale alternativement un peu convexe et concave ; ces plaques mesurent en moyenne 2,5 cm d'épaisseur pour 3 cm de hauteur et leur longueur est inconnue (au minimum 8 cm). Les cassures des fragments suivent évidemment les lignes de jonction des plaques. Sur un fragment (**Fig. 3.20:1**), on remarque un petit rebord vers l'intérieur, qui pourrait marquer le bord d'une ouverture.

3.4. Niveau Acr-VI (du Bronze moyen II au Bronze récent IIB)

Dans le carré AZ 116, les vestiges d'époque romaine (niveau Acr-IB) recouvrent directement ceux du Bronze ancien qui renferment des restes de construction superposés sur trois niveaux (Acr-VII à Acr-IX) à partir du rocher (**Figs 3.4**, **3.6**, **3.9**). Au contraire, dans les carrés BA-BB 116 situés immédiatement en amont, le sondage 1173, creusé jusqu'au rocher à partir d'un sol du niveau Acr-V, n'a pas révélé de vestiges du Bronze ancien in situ : la couche 1173-5, qui est la couche inférieure du niveau Acr-VII, en contact du rocher, renfermait à la fois des tessons du BA III, du BM II et du BR IIB. Cette observation implique qu'après l'abandon de Tel Yarmouth à la fin du BA III (niveau Acr-VII), le site est resté déserté pendant de longs siècles.

Le niveau Acr-VI n'a été atteint qu'en BA–BB 116 (**Figs 3.4–3.6**, **3.11–3.12**, **3.21**). Il est représenté sur une épaisseur de 2 m à 2,40 m par cinq couches archéologiques traversées dans le sondage 1173. Il s'agit des couches 1173-1 à 5, associées à des surfaces mal définies (1173-a à d), dont aucune n'est en relation avec des structures ou des restes de construction. Ce niveau peut être daté, d'après ses tessons les plus tardifs, du BR IIB, mais ces couches ne constituent pas un ensemble homogène : l'abondance des tessons du Bronze ancien, en particulier du BA IIIB, dans les deux couches inférieures (1173-5 et 4), directement sur le rocher, où ils représentent jusqu'à 40 % du total, leur rareté dans la couche sus-jacente 1173-3 et leur quasi absence dans les couches supérieures (1173-2 et 1), qui n'ont guère livré que des tessons du Bronze récent, ainsi que la présence d'un petit nombre de tessons du Bronze moyen principalement dans les couches 1173-5 et 4, suggèrent que des vestiges du Bronze ancien et du Bronze moyen ont été perturbés à la fois par l'érosion et par des recreusages postérieurs, probablement au XIIIe siècle. De ce fait, il n'est pas pos-

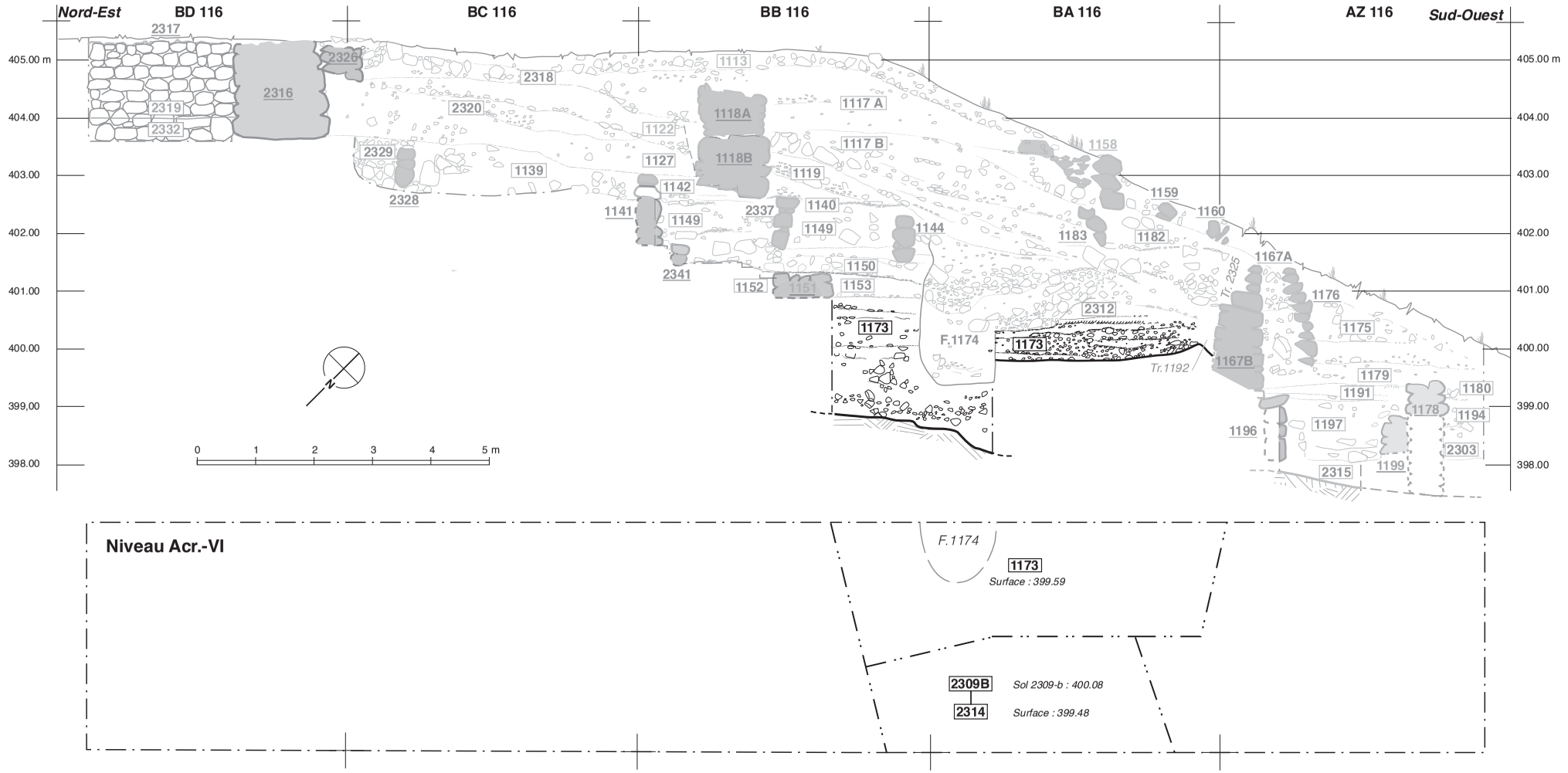


Fig. 3.21. Vestiges du niveau Acr-VI dans la coupe A–A' et en plan.



Fig. 3.22. Carrés BA–BB 116, vers le sud-ouest. Vue des niveaux Acr-VI et VII mis au jour entre le mur de terrasse M.1167 d'époque romaine (en haut) et le mur M.1151 du niveau Acr-V (en bas).



Fig. 3.23. Carrés BA–BB 116, vers le nord-est. Vestiges des niveaux Acr-VI et Acr-VII. L'échelle métrique repose sur une surface du niveau Acr-VI. M. Jasmin se tient sur le rocher sur lequel se trouve la structure 2311 du BA II–III (niveau Acr-VIII). À l'arrière-plan, M.1151 du niveau Acr-V.

sible de distinguer en fonction de la stratigraphie des niveaux d'occupation bien définis du BA III, du BM II et du BR IIB. En revanche, on peut clairement différencier en fonction de leur datation archéologique le mobilier de ces trois périodes. C'est de cette manière empirique que le mobilier archéologique du sondage 1173 a été rattaché au niveau Acr-VII pour le mobilier relevant du BA III (voir § 4.3), au niveau Acr-VIB pour celui du BM II (chap. 5) et au niveau Acr-VIA pour celui du BR IIB (chap. 7). Ces « niveaux » sont donc de pure convention et n'ont pas de réalité stratigraphique.

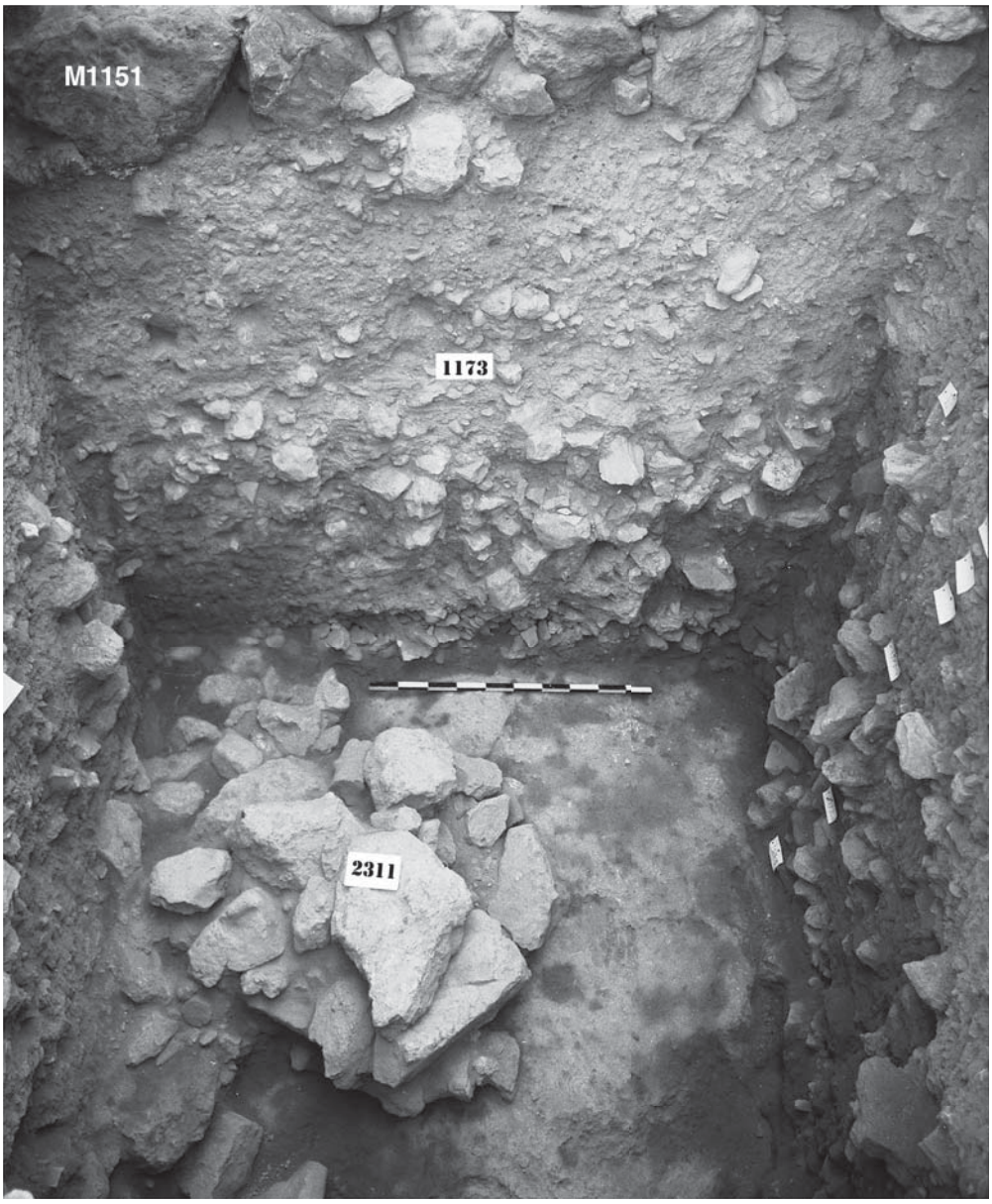


Fig. 3.24. Carrés BA–BB 116 : vue du sondage 1173, vers le nord-est, montrant l'accumulation des couches du niveau Acr-VI (L.1173) sous le mur M.1151 du niveau Acr-V. La structure 2311 est un amoncellement informe de pierres reposant directement sur le rocher.

3.4.1. Couche 1173-5

Le rocher a été atteint à 398,82 m dans la partie est du sondage 1173. D'abord en pente légère, il s'abaisse d'environ 0,40 m, à 398,14 m, près de la coupe sud-ouest. Sur le rocher repose une structure isolée et énigmatique (S.2311), de forme à peu près circulaire, d'environ 1 m de diamètre et 0,50 m de hauteur (398,71–398,91/399,25), formée d'un amoncellement désordonné de pierres (**Figs 3.24–3.25**). Elle est associée à des tessons datant principalement, mais pas exclusivement, du BA III. L'étroitesse du sondage ne permet pas de se prononcer sur la nature exacte de cette structure. Une couche de cailloutis (1173-5) de *c.* 0,20 m d'épaisseur recouvre l'ensemble de cette zone. Il est fort possible que la structure S.2311 date du Bronze ancien et qu'elle a été ultérieurement perturbée. En effet, sur les 83 tessons identifiables (sur un total de 555) trouvés dans la couche 1173-5, près de la moitié (35 tessons) datent du Bronze ancien, essentiellement du BA III (**Fig. 4.10:2–5**), mais aussi, pour quelques-uns, du BA II (*cf.* **Fig. 4.10:1**). Les tessons restants datent du Bronze moyen (*cf.* **Fig. 5.1:1,16**) et surtout du Bronze récent.



Fig. 3.25. Carrés BA–BB 116 : vue du sondage 1173, vers le nord-ouest, montrant les couches du niveau Acr-VI (L.1173) sous les murs M.1184 (à gauche) et M.1151 (à droite) du niveau Acr-V. Au fond du sondage, la structure 2311 sur le rocher.

3.4.2. Couche 1173-4

La couche 1173-4, qui atteint près d'un mètre d'épaisseur, se compose de plusieurs strates peu individualisées, qu'il n'a pas été possible de distinguer clairement. On y a recueilli 1580 tessons, dont 210 identifiables, parmi lesquels près de la moitié (95 tessons) datent du Bronze ancien, essentiellement du BA III (**Fig. 4.11:1–3,5–8**), le reste datant du BM II (**Fig. 5.1:2–5,7–10,13,18**) et surtout du BR II. Il est donc possible que cette couche marque la transition du niveau Acr-VII au niveau Acr-VI.

3.4.3. Couches 1173-3 à 1, L.2314 et L.2309B

Les couches 1173-3 à 1 datent principalement du BR II (**Figs 7.6–7.8**) mais renfermaient aussi quelques tessons du BM II (ces derniers en particulier dans la couche 1173-2 et sur la surface 1173-b), voire même du BA III (*cf.* **Fig. 4.11:4,9**).

En BA 116, au sud-ouest du sondage 1173, les fouilles ont dégagé, sous les numéros 2314 et 2309-2 (=L.2309B), plusieurs couches qui, du fait de la présence de la fosse F.1174, sont déconnectées des couches 1173-3 à 1. Cependant, elles s'y rattachent sûrement car



Fig. 3.26. Carré BB 116, vue de la coupe sud-est dans le sondage 1173. L'échelle métrique est posée sur une surface du niveau Acr-VI. À droite, le fond de la fosse circulaire 1174 du niveau Acr-IC.

elles ont la même apparence et ont livré elles aussi des tessons du BR II (**Figs 7.3–7.5**), auxquelles s'ajoutent quelques tessons du BM II (**Fig. 5.2**). On y a repéré des surfaces plus ou moins bien marquées et un sol (voir **Fig. 3.6** : sol 2309-b).

Les limites de la fosse F.1174 qui recoupe l'espace 1173 n'ont pu être précisément déterminées du fait qu'elle se trouve partiellement dans la coupe. D'après la poterie et la stratigraphie, elle relève du niveau Acr-IC, donc après l'époque perse.

Aucun mur ou structure n'ayant été dégagé, la nature de l'occupation dans cette partie du site depuis le BM II jusqu'à la fin du Bronze récent est difficile à évaluer. Il est vraisemblable que la zone d'occupation se limitait alors à la partie sommitale de la colline et à son versant nord-est, en sorte que les dépôts accumulés sur son flanc sud-ouest ont été détruits par l'érosion et par des aménagements postérieurs de cette zone. Un témoin indirect d'une occupation domestique est cependant indiqué par un reste de paroi de four dont la face intérieure légèrement concave, porte les traces de cuissons répétées (**Fig. 3.27**).

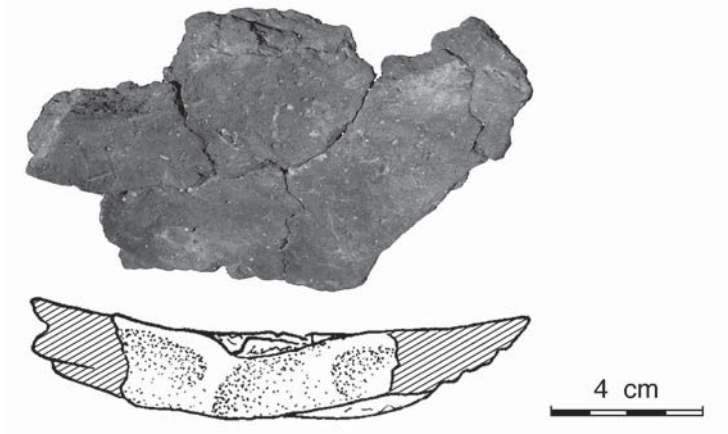


Fig. 3.27. Fragment de paroi de four du niveau Acr-VI, Loc. 1173 (B.10828).

3.5. Niveau Acr-V (Bronze récent III / Fer IA)

Le niveau Acr-V repose directement sur le sommet des couches du niveau Acr-VI. Il est marqué par plusieurs murs et des sols d'occupation correspondants. Ceux-ci étant installés sur une pente, il existe deux paliers situés à la jonction des carrés BA et BB 116, de part et d'autre du mur M.1189 (**Figs 3.6**, **3.28**) : en BA 116, les sols sont à une altitude de 399,78 m (L.2310) et 400,02 m (L.1186), alors qu'en BB 116 on les trouve à 400,95 m (L.1153) et 400,60 m (L.2309A). En fonction des structures et des sols, on peut distinguer deux sous-niveaux, Acr-VB et Acr-VA.

3.5.1. Niveau Acr-VB

À ce niveau Acr-VB correspondent les premières constructions mises au jour pour le BR III/Fer IA, installées sur le sommet des couches sans architecture du niveau Acr-VI (**Fig. 3.28**). Trois murs ont été dégagés : M.1184, M.1189 et M.2305. Ils délimitent deux

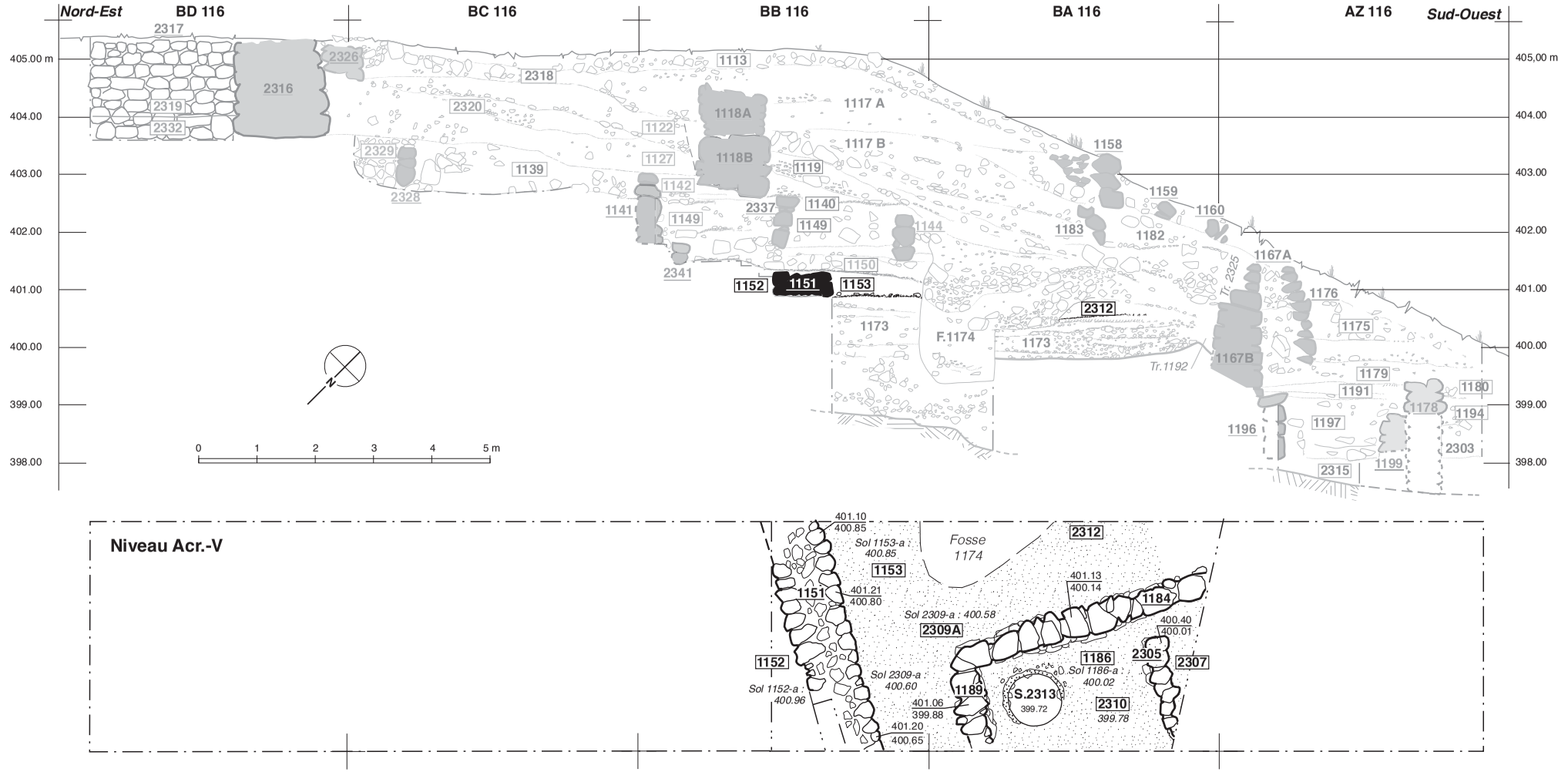


Fig. 3.28. Vestiges du niveau Acr-V dans la coupe A–A' et en plan.

espaces, L. 2310 au nord-ouest, et L. 2307 au sud-ouest, qui communiquent par une porte ménagée dans le mur 2305, tandis qu'un espace ouvert (L.2309A) s'étendait au sud-est et au nord-est. Ces murs sont tous construits de la même manière, avec une seule rangée de pierres, comme ceux des niveaux sus-jacents Acr-IV et Acr-III, et avec déjà la même orientation.

3.5.1.1. *L'espace L.2310*

L'espace principal de ce niveau, L.2310, est limité à l'est par le mur M.1184, au nord par le mur M.1189 et au sud par le mur M.2305 (**Figs 3.29–3.30** ; *cf.* **Fig. 8.6:6–11**). Orienté parallèlement à la pente, M.1184 est conservé sur six assises, soit 1,20 m de hauteur. Il est formé de grosses pierres disposées transversalement. Des restes d'un revêtement de pisé et de chaux ont été observés sur sa face ouest. M.1189 est un mur pauvrement construit avec des pierres de dimensions variées. Conservé sur cinq assises de hauteur, ce mur servait en même temps de muret de terrasse, comme l'indique la nette différence d'altitude des sols de part et d'autre du mur pendant les deux phases du niveau Acr-V (**Fig. 3.6**). Quant à M.2305, il s'agit d'un petit mur mal conservé qui clôt l'espace 2310 vers le sud. Il est construit avec des pierres de tailles moyennes, plus petites que celles utilisées pour le mur 1184. Il s'interrompt environ 0,40 m avant M.1184 pour ménager un étroit passage permettant d'accéder à l'espace L.2307.

L'espace L.2310 en bordure de la coupe a été dégagé sur une surface d'à peine 5 m^2. Le sol consiste en un radier assez épais, composé d'une terre très compacte liée à un cailloutis et à de petits tessons, en particulier de nombreuses bases de bol. En liaison avec ce sol se trouve un four circulaire (S.2313) d'un mètre de diamètre (**Fig. 3.30**).



Fig. 3.29. Carré BB 116, vue partielle du niveau Acr-V, vers le sud-est.
L'échelle métrique repose sur le sol de L.2310. À droite, M.1167 du niveau Acr-I.



Fig. 3.30. Carré BA 116, vue vers le nord-est de l'espace L.2310 du niveau Acr-V, avec le *tabūn* S.2313.

3.5.1.2. *Le four domestique (tabūn) S.2313*

Seule installation domestique de ce type retrouvée in situ, la structure S.2313 correspond à un four (*tabūn*) (**Figs 3.29–3.31**). L'épaisseur de la paroi conservée est de 1–1,5 cm. Sa face intérieure est lisse, peu cuite, de couleur beige, et présente des traces de dégraissant végétal bien visibles. La face extérieure n'a pas de surface bien définie. La fouille a permis de préciser la structure de la paroi, formée d'une couche de tessons de poterie recouverte sur ses deux faces par des couches de terre cuite. Ces dernières sont brunes et renferment un dégraissant végétal abondant, auquel s'ajoute un dégraissant minéral composé de grains d'environ 1 mm de diamètre. La paroi n'a pas été montée aux colombins car la terre cuite est friable et se décompose en de nombreux fragments.

Cette structure S.2313 est comparable au *tabūn* 1129 mis au jour à Gézer au niveau XIII, daté du XIIe siècle[3]. Conservé sur une hauteur d'une quinzaine de centimètres, ce dernier relève d'une méthode de construction particulière : de l'extérieur vers l'intérieur, on y a

[3] Dever *et al.* 1974, p. 53 et pl. 67B.

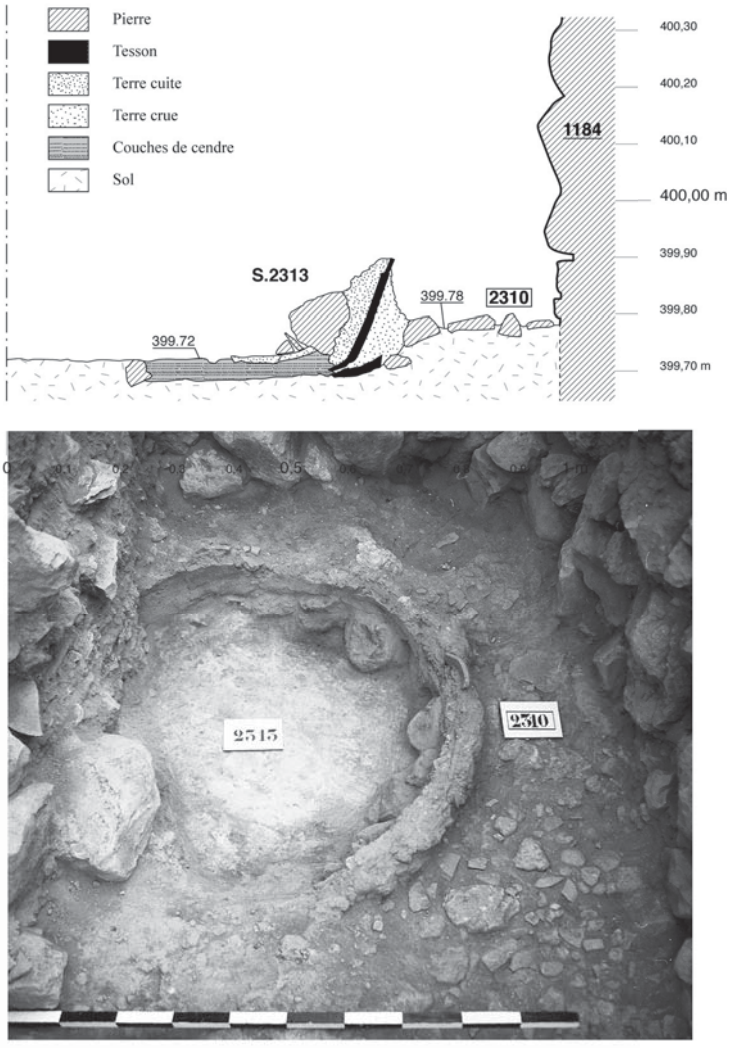


Fig. 3.31. Carré BA 116, E 2310 : détail du *tabūn* S.2313. Vue vers le nord-est.

observé successivement une enveloppe de terre crue friable de 2 à 3 cm d'épaisseur ; puis une enveloppe rigide composée de céramique cuite ; et enfin une troisième couche de terre cuite épaisse de 3 à 5 cm. De nombreuses pierres, carbonisées, étaient disposées contre cette couche afin de stabiliser l'ensemble et de contribuer au maintien de la chaleur. Des fours domestiques de ce type ont été découverts sur plusieurs sites de l'âge du Bronze et du Fer[4] ; ils sont restés en usage jusqu'à nos jours[5].

3.5.1.3. *Les espaces L.2307 et L.2309A*

La présence du *tabūn* S.2313 dans l'espace L.2310 suggère que ce dernier constituait la cour d'une habitation qui s'étendait en dehors de la zone fouillée, vers l'ouest et/ou le

[4] Pour un essai de restitution de ces fours domestiques, voir Humbert 1980, pp. 29–34.
[5] Pour une étude ethnographique de ces fours, voir Ebeling and Rogel 2015.

sud-ouest. De fait, cette cour L.2310 communiquait au sud-ouest avec l'espace L.2307 par une porte étroite ménagée à l'extrémité du mur M.2305 (**Fig. 3.29**). Au voisinage de cette porte et dans l'espace L.2307, on a relevé les restes d'un sol chaulé sur lequel reposaient quelques tessons. L'espace L.2307 a été presque complètement détruit par l'installation de la tranchée de fondation 1192 du mur M.1167 du niveau Acr-IB (§ 3.9.2.1).

Au sud-est et au nord-est des murs M.1184 et M.1189 s'étendait l'espace L.2309A, qui semble avoir été un espace ouvert (*cf.* **Fig. 8.10**). Dans cet espace perturbé par le creusement de la fosse F.1174 du niveau Acr-IC, on n'a observé que des surfaces mal caractérisées et, au voisinage de la coupe nord-ouest, un sol (2309-a).

À en juger par la stratification de la cour L.2310, la phase d'occupation correspondant au niveau Acr-VB semble avoir été assez brève : le four domestique S.2313 a bientôt cessé d'être utilisé ; il a été recouvert par un nouveau sol correspondant à l'espace L.1186, qui relève du niveau Acr-VA (**Fig. 3.6**).

3.5.2. Niveau Acr-VA

Le niveau Acr-VA est marqué par l'établissement de nouveaux sols et par la construction du mur M.1151.

3.5.2.1. *En BA 116 : L.1186, L.2307, L.2309A, L.2312*

Recouvrant L.2310 du niveau Acr-VB, L.1186 est l'espace principal du niveau Acr.-VA (**Fig. 3.28**). On y a observé une stratification de plus d'un mètre d'épaisseur. Le sol 1186-a, situé à une altitude de 400,02 m, était recouvert d'une terre noirâtre, puis d'une couche de cendres noires et blanches, qui marquent ensemble l'occupation de cet espace. On y a mis au jour un mobilier céramique in situ assez abondant (**Figs 8.6:1–5 ; 8.7–8.9**), notamment une petite cruche-marmite intacte (**Fig. 8.9:10**), ainsi que deux tessons retaillés à double perforations (**Fig. 15.3:8–9**) et un scarabée recueilli dans l'assise supérieure du mur M.1184 (Chapitre 18). Vers l'ouest du locus, on a trouvé un bois de cervidé (*Dama Mesopotamica*) intact (**Fig. 20.1**), probablement destiné à être débité pour la fabrication d'objets. La fonction de cet espace est incertaine : il peut s'agir encore d'un espace ouvert, comme précédemment, ou bien désormais d'une pièce fermée.

Les deux couches qui recouvrent le sol 1186-a sur au moins un mètre d'épaisseur signalent la destruction de ce niveau d'occupation (**Figs 3.6–3.7**) : il s'agit d'abord d'une couche de briques crue jaunâtres mêlées à quelques pierres et à des morceaux de charbon et de chaux, puis d'une couche de pierres éboulées de dimensions moyennes accumulées sur une épaisseur de près de 0,60 m dans une terre fine et légère. Ces couches de destruction ont principalement été observées dans l'espace L.1186. Il est possible qu'ailleurs elles ont disparu à la suite des recreusages postérieurs. En tout cas, elles n'impliquent pas *a priori* une destruction violente de l'ensemble du secteur.

Au sud-est du mur M.1184, l'espace L.2309A était probablement un espace ouvert, comme c'était le cas aux niveaux Acr-VB et Acr-VI. Les fouilles y ont dégagé des surfaces mal définies et un matériel peu abondant (**Fig. 8.10**). Cette zone a été perturbée par des

fosses. La fosse F.1174 a été creusée à partir du niveau Acr-IB et traverse les niveaux Acr-II à Acr-VI (**Fig. 3.59**). Repéré dans une zone très perturbée, l'espace L.2312 semble être contemporain du niveau Acr-V (*cf.* **Fig. 8.11**), bien qu'il soit situé plus bas que les autres sols de ce niveau.

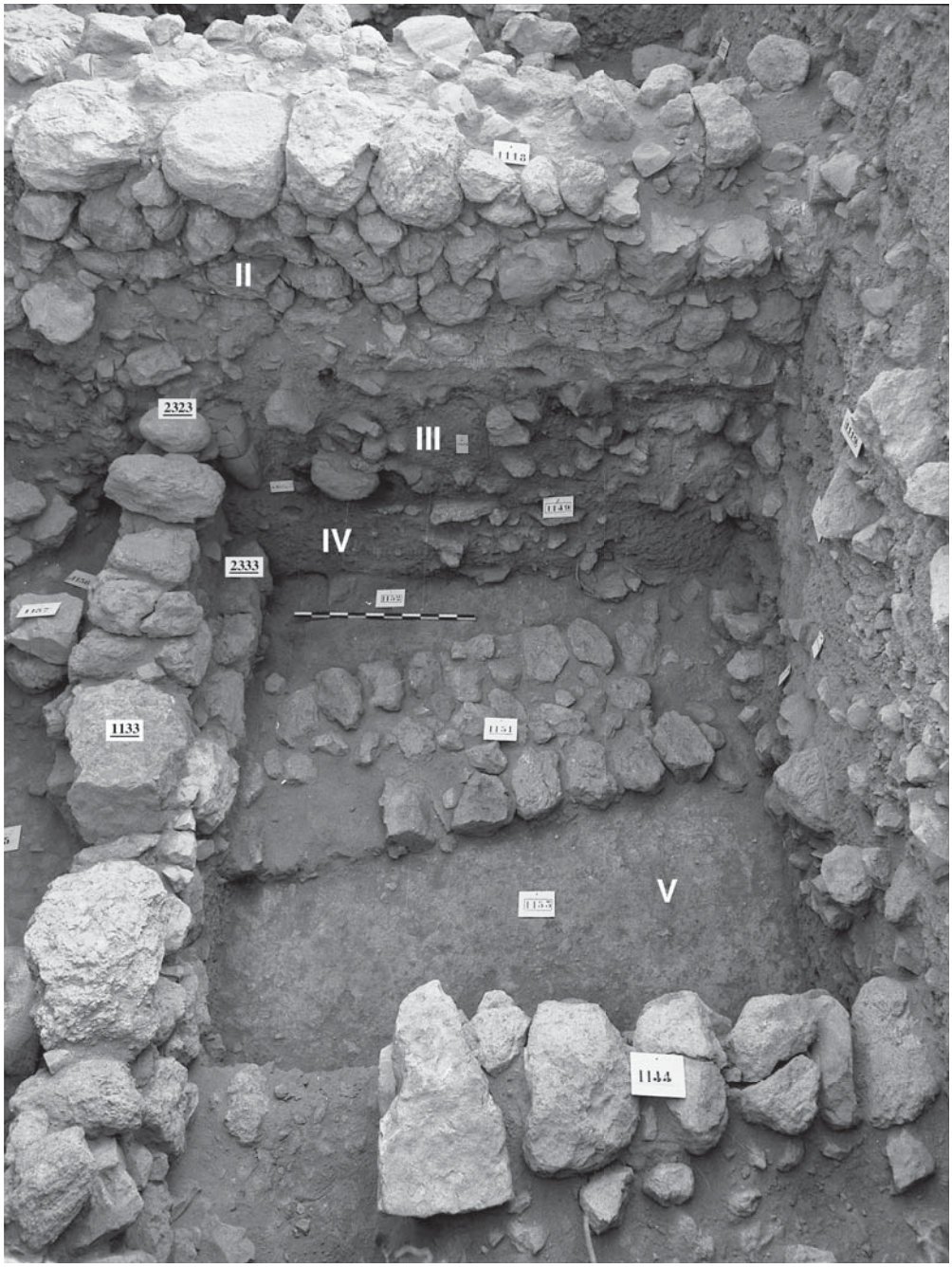


Fig. 3.32. Carré BA 116, vers le nord-est. M.1151 du niveau Acr-V et les espaces associés L.1152 et L.1153. M.2333 (à gauche) relève du niveau Acr-IV, M.1133 (à gauche, sur M.2333) et M.1144 (en bas) du niveau Acr-III. Comparer avec les **Figs 3.34–3.35**.

3.5.2.2. *En BB 116 : L.1152, L.1153*

En BB 116, le niveau Acr-VA est représenté par le mur M.1151 (**Fig. 3.32**). Dans cette zone, une seule phase du niveau Acr-V a pu être mise en évidence : M.1151 est fondé sur la surface 1153-a qui marque le sommet de la couche 1173-1 (**Figs 3.11–3.12**). Il est orienté en relation avec les autres structures de ce niveau. Il s'en distingue cependant par son mode de construction : d'une épaisseur de 1,10 m, il présente un double parement de grosses pierres et un remplissage de pierres petites et moyennes, au lieu d'une seule rangée de pierres comme les autres murs plus frustes dégagés à ce niveau. Il est conservé sur seulement deux assises. De part et d'autre de M1151, deux espaces ont été dégagés, L.1152 et L.1153 (celui-ci équivalent à 2309-1), qui ont livré peu de matériel (**Figs 8.12–8.13**).

3.6. Niveau Acr-IV (Fer IB)

Les vestiges du niveau Acr-IV, daté du Fer IB, ont été exhumés plus haut sur la pente, dans les carrés BB–BC 116 (**Figs 3.4**, **3.6**, **3.11** ; **3.33**). Ils sont répartis de part et d'autre d'un gros mur transversal, M.1154/M.2341, qui traverse le sondage à la jonction des carrés BB et BC 116. Ce mur sépare deux paliers d'altitudes différentes : le plus élevé au nord-est, en BC 116, avec des structures arasées à 402,63–402,27 m et des sols à 401,85 m ; le plus bas au sud-ouest, en BB 116, avec des structures arasées vers 401,72–401,60 m et des sols à 401,23–401,13 m.

3.6.1. Le palier inférieur en BB 116 : L.1150, L.2338

C'est dans cette zone que le niveau Acr-IV est stratigraphiquement le mieux isolé. La coupe D–D' (**Figs 3.11**, **3.34**) montre que le sol 1150-a du niveau Acr-IV recouvre l'arasement du mur M.1151 du niveau Acr-V. Ce sol est en relation avec le mur M.2333, conservé sur une seule assise et construit perpendiculairement au mur M.1151 qu'il surmonte directement (**Figs 3.32–3.35**). Ce mur M.2333 est recouvert à son tour par le sol 1149-b qui est le premier sol du niveau Acr-III. L'épaisseur du niveau Acr-IV est donc limitée ici à une trentaine de centimètres environ, ce qui implique que les vestiges de ce niveau ont été fortement biseautés par l'érosion.

Le plan de cette zone reste cependant confus parce que les structures sont mal conservées et enchevêtrées. Le mur M.2333 est construit avec un double parement de grosses pierres et un bourrage de petites pierres, comme le mur M.1151 du niveau Acr-V (**Fig. 3.36**). D'une épaisseur de 0,75 m, il n'est conservé que sur une longueur de sept pierres de parement (**Fig. 3.35**). Il recouvre perpendiculairement l'arasement du mur M.1151 du niveau Acr-V, dont il est séparé par endroit par une couche de *c.* 0,20 m d'épaisseur. Il est lui-même recouvert par les murs M.2321 et M.1133 du niveau Acr-III ; on observe, en particulier, que M.1133 repose directement sur M.2333 vers le sud-ouest, mais qu'il en est séparé au nord-est par une couche d'une vingtaine de centimètres d'épaisseur correspondant à la couche 1149-2 (**Fig. 3.11**).

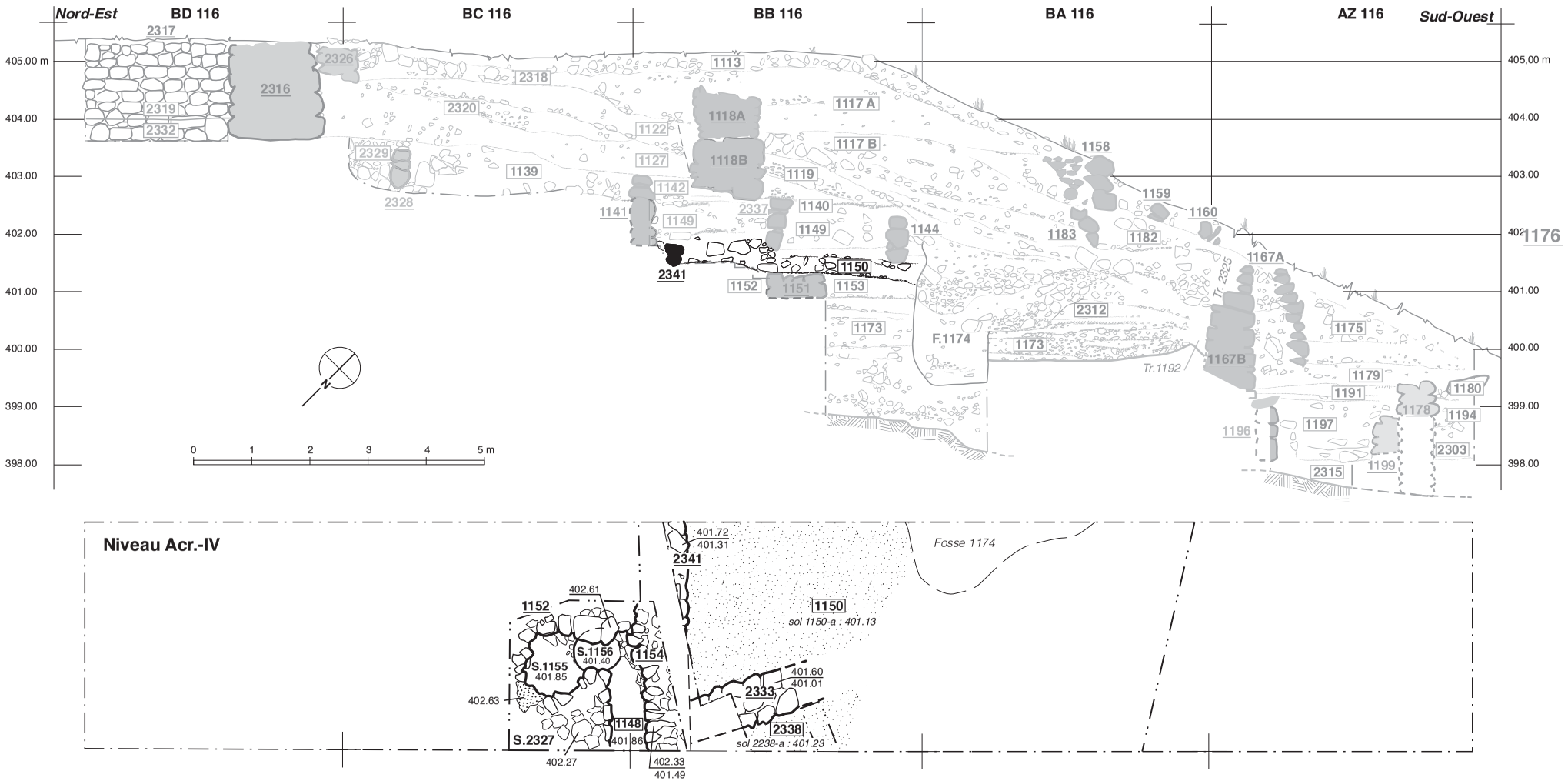


Fig. 3.33. Vestiges du niveau Acr-IV dans la coupe A–A' et en plan.

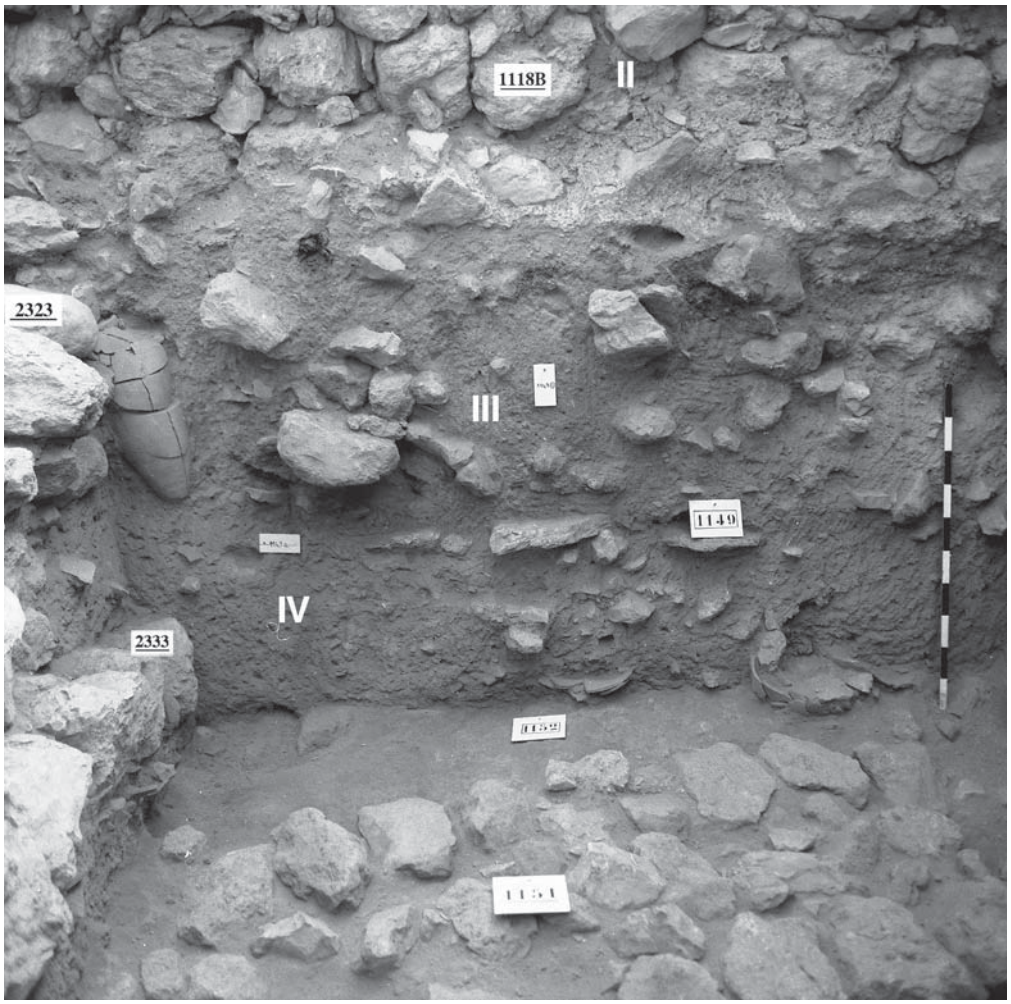


Fig. 3.34. Détail de la coupe transversale D–D' en BA 116 (*cf.* **Figs 3.3, 3.11**) montrant la succession des couches de la base du niveau Acr-II (M.1118B) au niveau Acr-V (L.1152, M.1151). À gauche, une jarre repose contre le mur M.1133 du niveau Acr-III (**Fig. 10.16:3** ; voir aussi **Fig. 3.43**).

Le mur M.2341 constitue probablement le parement sud-ouest du mur M.1154 partiellement dégagé en BC 116 (**Fig. 3.37**) ; les deux parements ont la même orientation et semblent donc bien appartenir à un même mur M.2341+M.1154 de *c.* 0,80 m d'épaisseur, recouvert par les murs M.1141, M.1138 et M.2321 du niveau Acr-III. Seules deux assises de M.2341 étaient conservées. Aucun sol n'a été dégagé directement en contact avec ce mur mais il n'est guère douteux que le sol 1150-a lui est associé.

Dans l'espace L.2338, une surface (2338-a) a pu être mise au jour, malgré l'étroitesse de la zone fouillée (*cf.* **Fig. 9.7:9–10**). Sa liaison avec le mur M.2333 est probable.

3.6.2. Le palier supérieur en BC 116 : S.2327, L.1148

En BC 116, la seule structure attribuée au niveau Acr-IV est une installation énigmatique, S.2327, dégagée en bordure du mur M.1154. Elle est formée d'un mur semi-circulaire M.1152 renfermant deux cavités circulaires accolées, S.1155 et S.1156 (**Figs 3.38–3.39**).



Fig. 3.35. Carré BA 116, vers le nord-ouest. M.1151 du niveau Acr-V est recouvert par le mur perpendiculaire M.2333 du niveau Acr-IV, lui-même surmonté de M.1133 du niveau Acr-III, qui suit le même tracé. Comparer avec la **Fig. 3.32**.



Fig. 3.36.

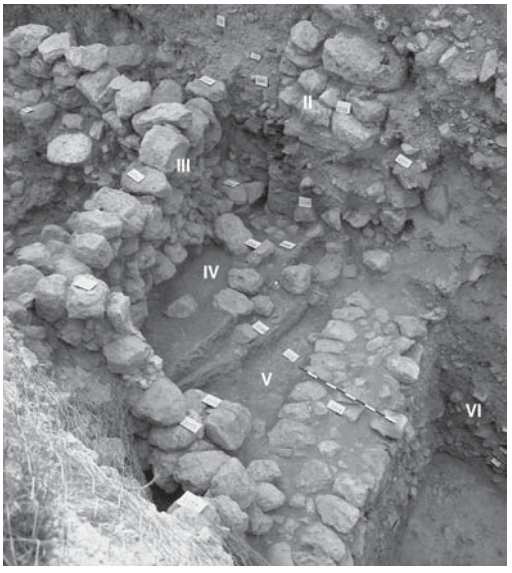


Fig. 3.37.

Fig. 3.36. Carré BB 116, vers le nord : vestiges des niveaux Acr-V à Acr-III.

Fig. 3.37. Carré BB 116, vers l'est : vestiges des niveaux Acr-VI à Acr-II. Noter la superposition des sols du niveau Acr-IV qui arasent M.1151 du niveau Acr-V.

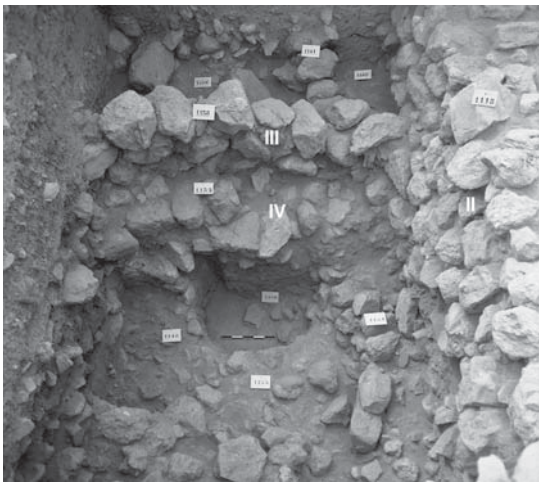


Fig. 3.38.

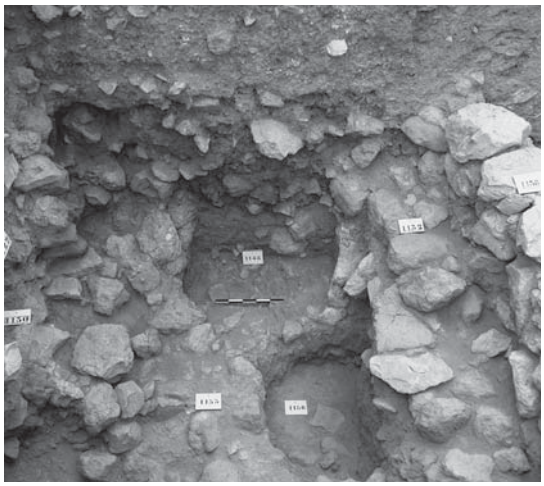


Fig. 3.39.

Fig. 3.38. Carré BC 116, vers le sud-est : les deux fours (S.1155 et S.1156) du niveau Acr-IV. L'échelle métrique repose dans le four 1156 bordée par M1154 (Acr-IV). En haut, M.1138 du niveau Acr-III. À droite, M.1118 du niveau Acr-II.

Fig. 3.39. Carré BC 116, vers le nord-est : les fours (S.1155 et S.1156) du niveau Acr-IV. L'échelle métrique repose dans le four S.1155.

La première mesurait environ un mètre de diamètre et subsistait sur une quarantaine de centimètres de profondeur, avec un fond plat à 401,85 m ; la seconde avait un diamètre de *c.* 0,80 m et une profondeur d'environ 0,80 m, avec un fond également plat situé à 401,40 m, soit 0,45 m plus bas que la cavité précédente. Des pierres plates engagées dans le mur M.1152 débordaient sur S.1156 qui devait donc être couverte. Ces deux cavités étaient bordées chacune de pierres calcinées de couleur blanche qui ont été soumises à une température élevée. Enfin, on a observé une sorte de couloir d'accès (L.1148) qui débouche sur la structure S.1156. L'ensemble de la structure S.2327 est interprété comme un four, dont l'organisation et la destination précises nous échappent cependant.

Aucune surface n'a pu être clairement reconnue en BC 116 en relation avec cette structure. Il est à noter que la céramique bichrome philistine, qui fait son apparition au niveau Acr-IV, est bien représentée dans le locus 1148 (**Figs 9.6–9.7:1–8**).

3.7. Niveau Acr-III (Fer IB)

Le niveau Acr-III, daté du Fer IB (XIe siècle), a révélé les vestiges de construction les mieux conservés et les plus cohérents de tous ceux mis au jour dans le Sondage 2 de l'acropole, en même temps qu'un mobilier archéologique abondant (**Figs 3.4**, **3.6**, **3.11**, **3.40**).

La transition entre les niveaux Acr-IV et Acr-III a été bien observée dans les carrés BC et BB 116, où l'on a constaté que des murs et des sols du niveau Acr-III sont établis directement sur des murs du niveau précédent. Ainsi le mur M.1133 repose directement sur M.2333 (**Fig. 3.35**) ou bien sur la couche 1149-2, qui est, en cet endroit, la première

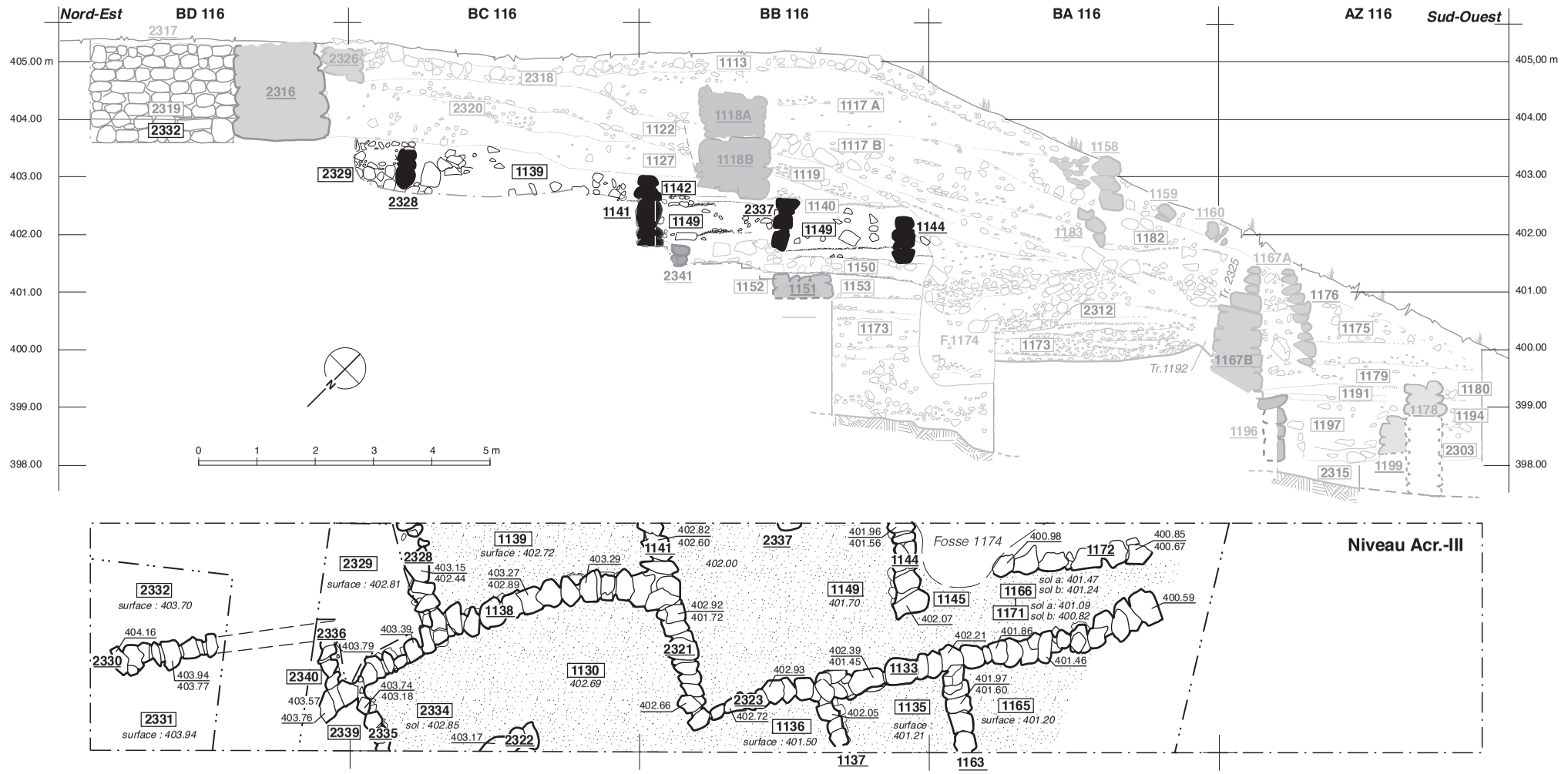


Fig. 3.40. Vestiges du niveau Acr-III dans la coupe A–A' et en plan.



Fig. 3.41. Carrés BB–BD 116, vers le nord-est : vue d'ensemble des vestiges du niveau Acr-III. Le mur transversal M.2321-1141 au premier plan sépare deux terrasses. Sur la terrasse supérieure, le mur oblique M.1138 détermine l'organisation des pièces. En haut (carré BD 116), l'angle des murs M.2316-M.2317 du niveau Acr-II.

couche d'occupation du niveau Acr-III (**Figs 3.11**, **3.34**) ; de même, les murs M.1141 et M.2321 recouvrent sans solution de continuité les murs M.2341 et M.1154, respectivement (**Figs 3.36–3.37**).

On note, par ailleurs, que les murs du niveau Acr-III ont la même orientation que ceux du niveau précédent, et qu'ils sont construits de la même manière, assez médiocre, avec une seule rangée de pierres. La continuité entre les deux niveaux est donc bien marquée.

Aucun plan complet de maison n'a été mis au jour. Les vestiges dégagés sont ceux d'habitations domestiques édifiées sur une pente aménagée en terrasses. On reconnaît deux longs murs longitudinaux, M.1138 et M.1133, qui suivent le sens de la pente, au long desquels se répartissent plusieurs espaces délimités par de petits murs transversaux (**Figs 3.41–3.42**), dont plusieurs (M.2328 ? M.1141, M.2337, M.1144) jouent le rôle de murets de terrasse (**Fig. 3.4**). Ainsi, en BC 116, les sols sont à 402,85/81 m (L.2329/L.2334) et 402,72/69 m (L.1139/L.1130) ; en BB 116, ils sont à 402,00 m (L.1449, zone NE), 401,70 m (L.1149 zone SO), soit presque un mètre plus bas, le mur M.1141/M.2321 assurant la transition entre les deux terrasses ; en BA 116, ils sont à 401,47 m. Dans les limites du sondage, on distingue ainsi, *grosso modo*, une terrasse supérieure en BC–BD 116, avec des sols situés vers 402,70/85 m et des espaces organisés en fonction du mur M.1138 ; et une terrasse inférieure en BA–BB 116, avec des sols vers 402,00/401,40 m et des espaces répartis à partir du mur M.1133.



Fig. 3.42. Carrés BB–BC 116, vers le nord-ouest : les vestiges du niveau Acr-III sur la terrasse supérieure. Au centre, dans L.2334, noter la jarre (=**Fig. 10.19:8**) appuyée contre M.2335. L'échelle métrique repose sur un palier correspondant à l'arasement des murs du niveau Acr-III et à la base de M.2316 du niveau Acr-II.

Les couches rattachées au niveau Acr-III ont une épaisseur moyenne d'un mètre environ. Il s'agit pour l'essentiel d'une couche de destruction – particulièrement brutale en BC 116, où l'on a relevé les traces d'un violent incendie –, en sorte qu'un mobilier abondant a été retrouvé in situ (**Figs 3.43–3.47**, **3.50–3.52**), dont près de 25 jarres de stockage entières, ainsi que des bols, cratères, marmites, cruches, cruchettes et lampes (**Figs 10.12–10.19**). Les perturbations causées par les occupations postérieures empêchent de percevoir une stratigraphie interne de ce niveau. On a certes observé en BB 116, dans l'espace L.1149, deux couches (1149-1 et 2) et deux sols (1149-a et b), mais le premier sol du niveau (1149-b) et la couche qui le recouvre (1149-2) semblent correspondre à un aménagement des ruines du niveau Acr-IV, marqué par la mise en place d'une couche de remblai pour l'installation du premier sol d'occupation de ce niveau (**Figs 3.11**, **3.34**). En revanche, dans la partie nord-est de BB 116, on a reconnu vers 402,70 m un sol (1142-a) qui pourrait signaler une occupation plus tardive de ce niveau (**Fig. 3.6**).

3.7.1. La terrasse inférieure en BA–BB 116 : L.1149, L.1166, L.1171

L'espace principal dans cette zone est L.1149, limité au nord-est par le mur M.2321 (liaisonné au mur M.1138) et son prolongement M.1141 ; au nord-ouest par le mur M.2323-M.1133 ; et au sud-est par le mur M.1144. Cet espace a été détruit par un incendie, en sorte que le sol 1149-a était recouvert d'une couche de cendres noires (**Figs 3.43–3.44**). Ayant servi de magasin, il a livré une grande quantité de vases complets (**Figs 3.47**, **10.12–10.16**) : deux rangées de jarres étaient appuyées contre M.1144 (**Figs 3.43**, **10.15–10.16**), près d'une cruchette et d'une cruche (**Fig. 10.13:1–2**) ; contre le mur 2337 se trouvaient un bol



Fig. 3.43.



Fig. 3.44.

Fig. 3.43. Carré BB 116, niveau Acr-III : vue de L.1149 vers le nord-est avec les jarres *in situ*. Deux rangées de jarres étaient appuyées contre M.1144. Une jarre était placée dans l'angle nord de la pièce. S.1147 est un reste d'éboulis de murs de ce niveau.

Fig. 3.44. Carré BB 116, niveau Acr-III : vue de L.1149 vers le nord-est après l'enlèvement des jarres et de l'éboulis S.1147.



Fig. 3.45.



Fig. 3.46.

Fig. 3.45. Carré BB 116, niveau Acr-III, L.1149 : le cratère A.10863-1 (**Fig. 10.13:10**) *in situ* dans l'angle nord de la pièce.

Fig. 3.46. Carré BB 116, niveau Acr-III, L.1149 : vue de détail de la coupe sud-est. Mise au jour dans la couche de destruction de L.1149 d'une marmite renfermant un bol qui contenait lui-même une cruchette (**Fig. 10.14**).



Fig. 3.47. Une partie des poteries mises au jour dans l'espace L.1149.

De gauche à droite, 1ère rangée : 9645-11 (**Fig. 10.15:2**) ; 9645-4 (**Fig. 10.13:2**) ; 9645-3 (**Fig. 10.13:1**) ; 9645-1 (**Fig. 10.12:2**).
2ème rangée : 9721-1 (**Fig. 10.15:1**) ; 9645-5 (**Fig. 10.15:4**) ; 9645-2 (**Fig. 10.15:5**) ; 9645-7 (**Fig. 10.15:9**).
3ème rangée : 9645-8 (**Fig. 10.15:7**). 9645-9 (**Fig. 10.15:3**). 9645-10 (**Fig. 10.15:6**) ; 9648-1 (**Fig. 10.15:8**).

(**Fig. 10.12:2**) et d'autres jarres écrasées ; une autre jarre reposait verticalement contre la face sud-est du mur 2321 (**Figs 3.34**, **10.16:3**), à côté d'un cratère (**Figs 3.45**, **10.13:10**) ; enfin, près du mur M.1141, on a recueilli trois vases emboîtés, à savoir une cruchette placée dans un bol, lui-même contenu dans une marmite (**Figs 3.46**, **10.14**).

L'espace L.1149 se prolongeait au sud-ouest par un espace étroit, L.1166, limité au nord-ouest par la suite du mur M.1133 et au sud-est par le mur M.1172, très mal conservé. Il a livré une poterie peu abondante (**Figs 10.20–10.21**), dont une grande jarre à quatre anses-annulaires appuyée contre la face sud-est de M.1133. L'espace L.1171 communiquait probablement au sud-est avec l'espace L.1166 (*cf.* **Fig. 10.22**), qui a été presque entièrement détruit pas la Fosse 1174.

Au nord-ouest du mur M.1133, on a reconnu deux murs perpendiculaires (M.1137, M.1163) séparant trois petits espaces (L.1136, L.1135 et L.1165), qui étaient presque dépourvus de matériel.

Vers le sud-ouest, les murs 1133 et 1172, ainsi que les sols correspondants, ont été détruits par la tranchée de fondation 1192 du mur M.1167B du niveau Acr-IB.

On signalera aussi la découverte sur le sol 1166-a d'une brique crue entière (**Fig. 3.48**), et celle d'un fragment de paroi de four (*tabūn*) (?) en terre cuite à gros dégraissant minéral (**Fig. 3.49**). Formé de colombins, ce dernier présente une section longitudinale fortement incurvée ; sur le bord supérieur, qui est lisse, on note la présence d'une échancrure.

3.7.2. La terrasse supérieure en BC–BD 116 : L.1130, L.1139, L.2329, L.2334, L.2339, L.2340

Les murs M.1141 et M.2321 font office de murs de terrasse et marquent la séparation entre les terrasses inférieure et supérieure. Le mur principal est ici M.1138, autour duquel se répartissent, à l'est les espaces L.1139 et L.2329 séparés par le mur M.2328, et à l'ouest l'espace L.1130-L.2334. On a observé en L.1130-2334 les indices d'une destruction violente accompagnée d'un incendie (**Fig. 3.50**) : nombreuses pierres éboulées, terre à brique pulvérulente, plusieurs poutres calcinées. Cette couche de destruction recouvrait de nombreux vases écrasés, principalement des jarres de stockage (**Figs 3.51**, **10.17–10.19**). Une ou plusieurs



Fig. 3.48. Brique crue complète du niveau Acr-III (L.1166-a).

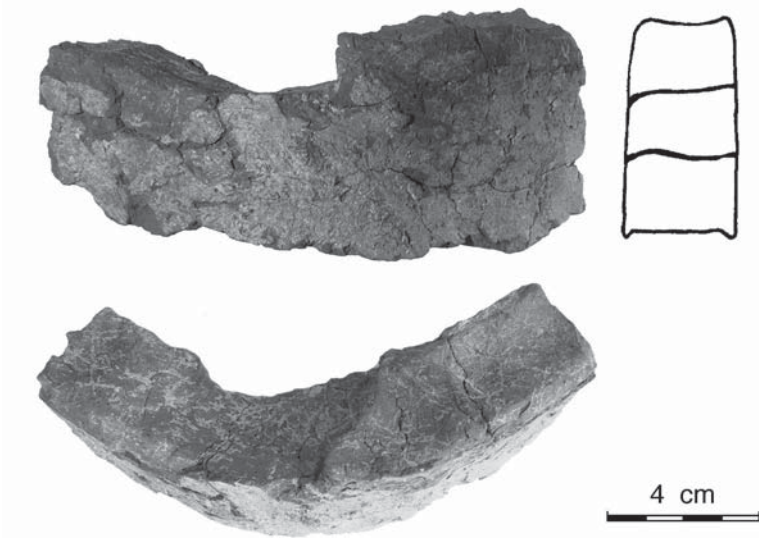


Fig. 3.49. Fragment de paroi de four (B.9719) du niveau Acr-III (Loc.1166-a).

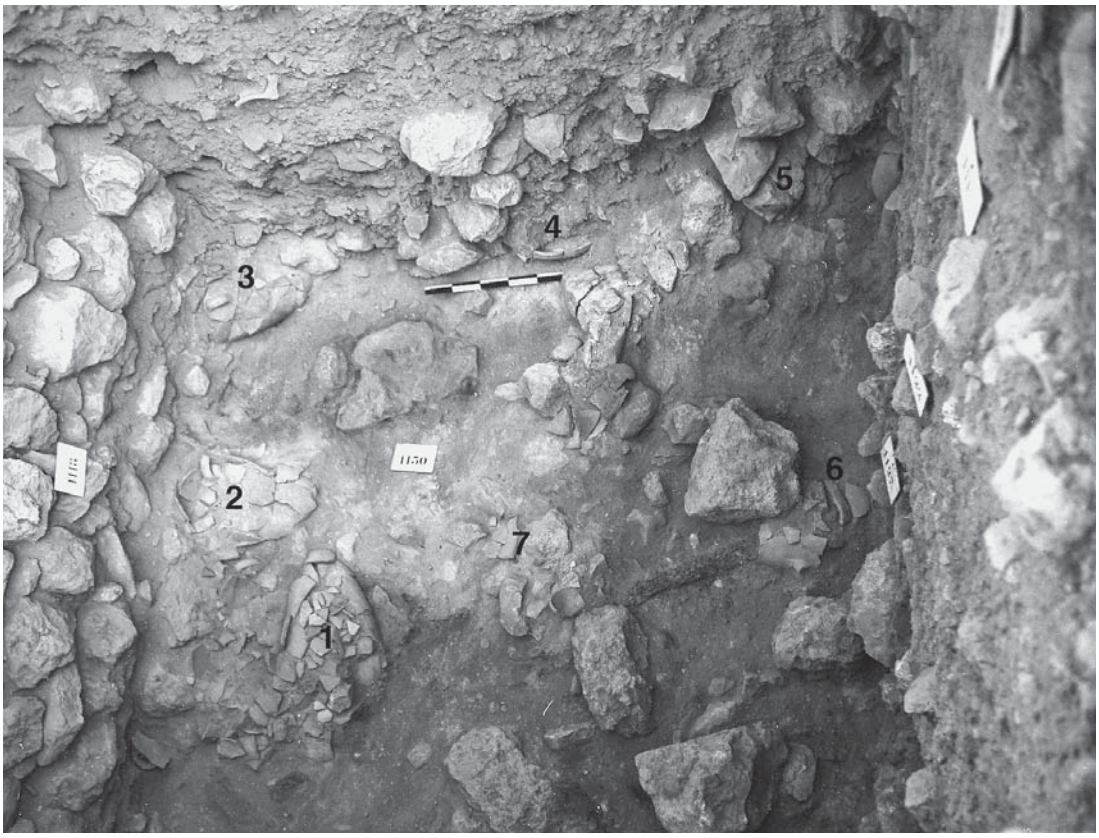


Fig. 3.50. Carré BC 116, niveau Acr-III : la couche de destruction de L.1130, vers le nord-ouest. À gauche, le mur M.1118B du niveau Acr-IIA.
1 : 9608-11 (**Fig. 10.19:4**). 2 : 9608-13 (**Fig. 10.19:2**). 3 : 9608-14 (**Fig. 10.19:1**). 4 : 9608-10 (**Fig. 10.17:15**). 5 : 9608-3 (**Fig. 10.19:6**). 6 : 9608-7 (**Fig. 10.19:3**). 7 : 9608-8 (**Fig. 10.19:7**).



Fig. 3.51. Poteries complètes trouvées sur le sol de L.1130.
De gauche à droite, 1ère rangée : 9608-10 (**Fig. 10.17:15**) ; 9609-1 (**Fig. 10.17:17**) ; 9609-2 (**Fig. 10.17:16**).
2ème rangée : 9608-8 (**Fig. 10.19:7**) ; 9608-3 (**Fig. 10.19:6**) ; 9608-13 (**Fig. 10.19:2**).
3ème rangée : 9608-11 (**Fig. 10.19:4**). 9608-7 (**Fig. 10.19:3**). 9608-14 (**Fig. 10.19:1**).

jarres se trouvaient probablement à l'origine sur le toit de la maison puisque l'une d'elles au moins a été trouvée *sur* un fragment de poutre calcinée (**Fig. 3.52**) ; on signalera, près de l'angle nord de cet espace, la découverte d'un bol associé à une lampe (**Fig. 10.17:16–17**), une association parfois interprétée comme un dépôt de fondation (voir ci-dessous, § 10.1.11.1). L.1130 est le seul espace de cette terrasse supérieure qui a livré un matériel céramique en quantité.

Au nord-est de L.1130, on a repéré deux autres espaces, L.2339 et L.2340, qui disparaissent sous le gros mur M.2316 du niveau Acr-II. Au nord-est de ce mur, en BD 116, la suite des structures du niveau Acr-III est apparue à des altitudes qui impliquent que la pente s'élève de façon régulière. Il s'agit d'un mur, M.2330, qui sépare deux espaces, L.2331 au nord-ouest et L.2332 au sud-est. Leur remplissage, en particulier celui de L.2332, formé de nombreuses pierres noyées dans une terre gris-jaune pulvérulente, correspond ici encore à une couche de destruction. Les fouilles sont restées ici inachevées et les sols de ces espaces n'ont pas été atteints.

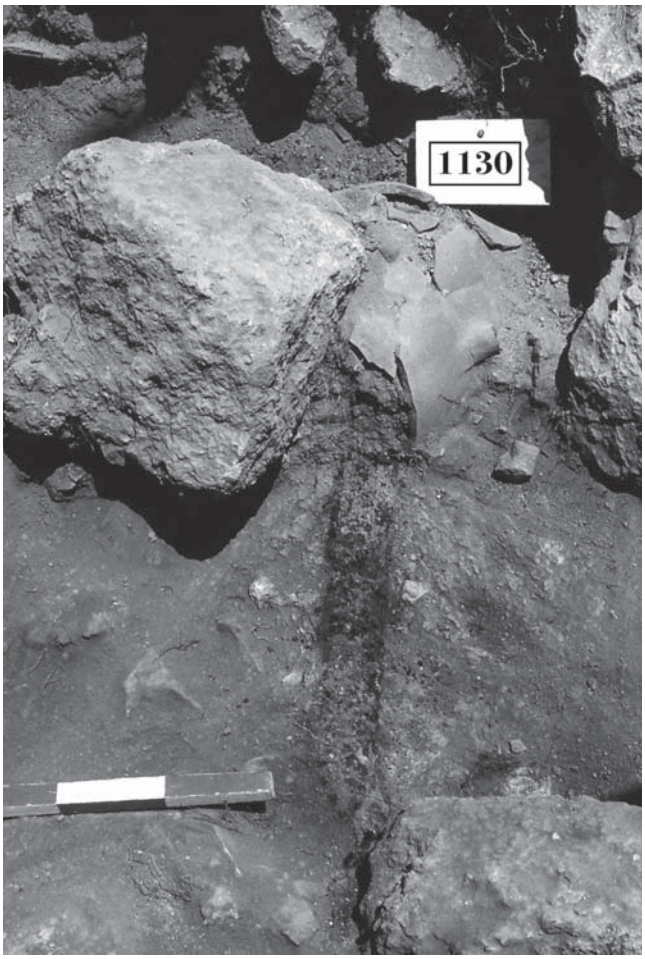


Fig. 3.52. Détail de la couche de destruction de L.1130, vers le nord-est : la jarre 9608-7 (**Fig 10.19:3**) écrasée sur une poutre calcinée.

3.8. Niveau Acr-II (du Fer II à l'époque Perse)

Les vestiges du niveau Acr-II ont été mis au jour dans les trois carrés BB, BC et BD 116 (**Figs 3.4**, **3.9**, **3.11**, **3.53**). Leur absence dans la partie basse de la pente, en BA et AZ 116, est due aux creusements de fosses et aux aménagements postérieurs qui ont profondément entamé et détruit les couches de ce niveau. La coupe A–A' (**Fig. 3.4**) indique que la rupture de pente en BB 116 marque globalement vers l'aval la limite de conservation des vestiges du niveau Acr-II.

Qu'il s'agisse d'espaces (L.1140 et L.2320) ou de murs (M.2316 et M.2317, M. 1118B), les couches et les structures du niveau Acr-II ont été établies immédiatement sur les ruines du niveau Acr-III. La fin de l'occupation du niveau Acr-III étant marquée dans cette zone par une destruction violente, cette transition directe entre les deux niveaux est d'autant plus remarquable que les murs du niveau Acr-II témoignent par leur épaisseur, la qualité de leur construction et leur orientation d'une organisation de l'espace entièrement nouvelle.

Le niveau Acr-II comprend deux phases, Acr-IIB et Acr-IIA.

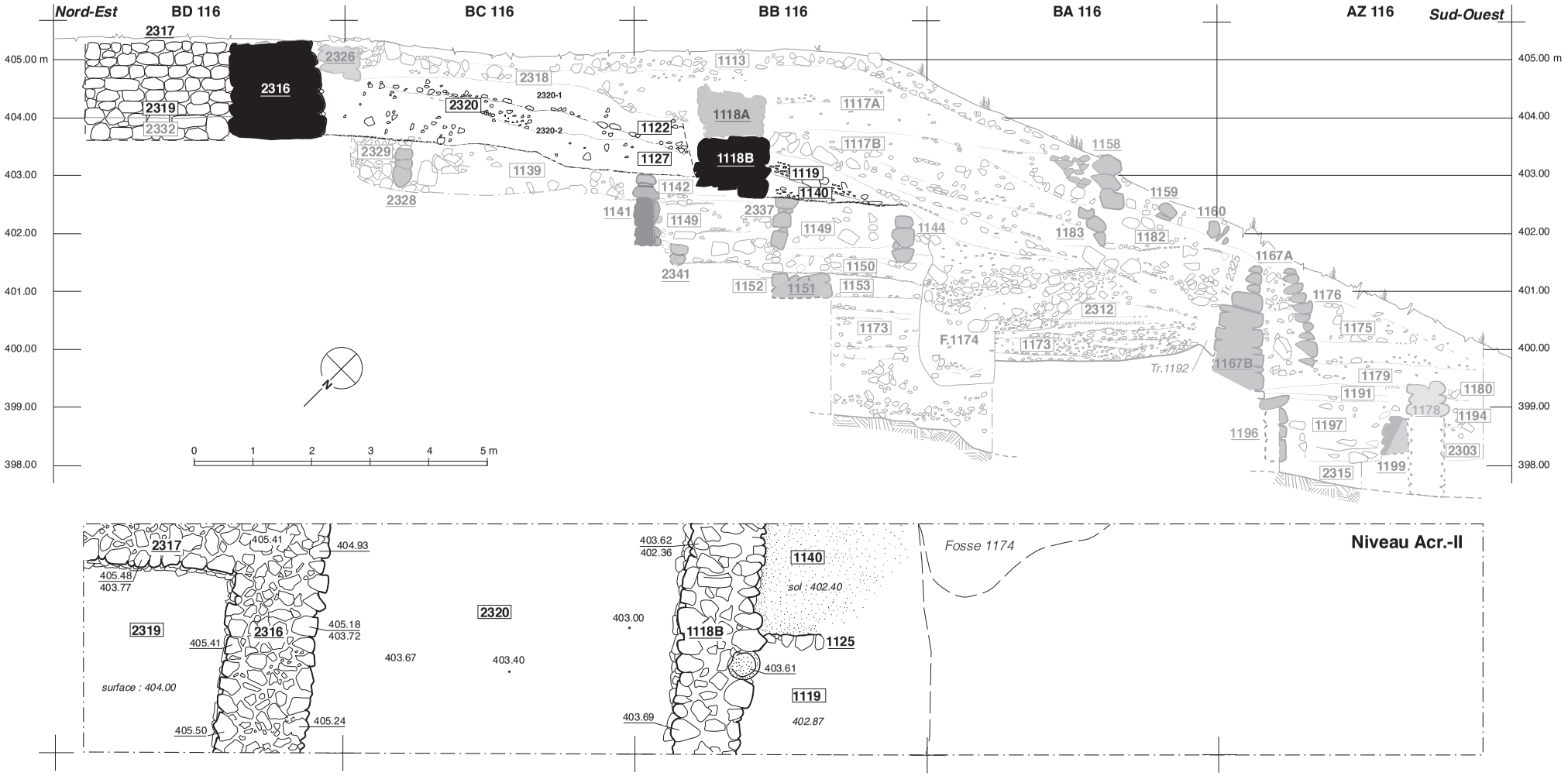


Fig. 3.53. Vestiges du niveau Acr-II dans la coupe A–A' et en plan.

3.8.1. Le niveau Acr-IIB

3.8.1.1. *En BD 116 : M.2316-M.2317 et L.2319*

En BD 116, deux murs perpendiculaires, M.2316 et M.2317, ont été dégagés immédiatement sous la terre de surface (**Figs 3.54–3.55**). Ce sont les murs les plus imposants exhumés dans les fouilles du Sondage 2 de l'acropole : conservés sur 1,50 à 1,70 m de hauteur, leur épaisseur est de 1,60 m pour M.2316, et d'au moins un mètre pour M.2317, qui n'a toutefois été que partiellement dégagé. L'espace L.2319 délimité par ces murs a été trouvé entièrement rempli, depuis la base des murs jusqu'à la terre de surface, d'une épaisse couche de terre et de grosses pierres (diamètre moyen : 0,30–0,40 m). Il s'agit d'une couche de remblai accumulée à partir d'une surface qui marque l'arasement du niveau Acr-III et à partir de laquelle les murs M.2316 et M.2317 ont été édifiés. Il est donc vraisemblable que ce qui a été dégagé de ces deux murs n'en constitue que les fondations, et que les sols associés, situés à l'origine à peu près au niveau de la surface actuelle, ont entièrement disparu.

En l'absence de sol, il est difficile de proposer une datation précise pour ces vestiges. Le remblai 2319 renfermait très peu de tessons, essentiellement du Fer IB, donc probablement « remontés » du niveau Acr-III sous-jacent. Quant aux murs M.2316 et M.2317, édifiés directement sur ceux du niveau Acr-III, leur position stratigraphique indique seulement qu'ils sont postérieurs au Fer IB et antérieurs à la période romano-byzantine puisque le mur de terrasse 2326, attribué à cette époque, a été plaqué contre la face externe du mur M.2316 (**Fig. 3.4** ; **Fig. 3.54**, en haut à droite). Comme rien, ni dans la stratigraphie ni dans les techniques de construction, ne suggère une datation à l'époque romaine, la datation la plus probable est le Fer IIA/B ou l'époque perse.



Fig. 3.54.



Fig. 3.55.

Fig. 3.54. Carré BD 116, niveau Acr-II, vers le sud-est : l'angle des murs M.2316 (à droite) et M.2317 (au fond). Sous les couches de remblai de l'espace L.2332, les fouilles ont atteint l'arasement du mur M.2330 du niveau Acr-III.

Fig. 3.55. Carré BD 116, niveau Acr-II, vers le nord-ouest : l'angle des murs M.2316 (à gauche) et M.2317 (au premier plan).

3.8.1.2. *En BC 116 : L.2320*

En BC 116, au sud-est de M.2316, la surface 2320-b scelle les vestiges du niveau Acr-III (en l'occurrence les murs M.1141, M.1138, M.2328, M.2335 et M.2336) et correspond à la surface à partir de laquelle les murs M.2316 et M.2317 ont été érigés (**Figs 3.4**, **3.6**, **3.53**). Sa consistance, la rareté du matériel et surtout l'absence de tessons à plat indiquent qu'il ne s'agit pas d'un sol d'occupation : c'est simplement la surface d'un espace ouvert qui s'étendait en avant de M.2316. Elle a été recouverte par deux couches (2320-2 et 2320-1) qui atteignent ensemble une épaisseur de 1,20 m et qui s'appuient contre la face extérieure de M.2316 ; il est difficile de déterminer si elles se sont accumulées pendant la période d'utilisation de ce mur, ou bien si elles résultent d'un remblaiement intentionnel ; la seconde possibilité est la plus vraisemblable en raison de l'absence de stratification à l'intérieur de ces couches. La couche inférieure (2320-2) renfermait des fragments de briques crues et se distingue par sa compacité de la couche sus-jacente (2320-1). Ces deux couches ont livré des tessons dont les datations s'échelonnent entre le Fer IB et la fin du Fer II (**Figs 11.3–11.7**).

3.8.1.3. *Interprétation des vestiges de construction du niveau Acr-IIB*

Comment interpréter les vestiges de la puissante construction mise au jour en BD 116 ? En raison de sa situation au point le plus élevé du tell et de son épaisseur, M.2316 pourrait appartenir au mur d'enceinte d'un complexe fortifié occupant tout ou partie de la terrasse supérieure de l'acropole, sur une superficie de 1500 à 2000 m^2 (*cf.* **Fig. 1.11**). Le mur perpendiculaire M.2317 se rattacherait à cette enceinte, qui abriterait les structures d'habitation de ce niveau. Comme l'épaisseur de ce mur n'est pas connue, il est également possible qu'il indique l'existence en cet endroit d'une tour quadrangulaire.

Dans cette hypothèse, on peut proposer un parallèle avec le site de Giloh, au sud de Jérusalem, où les fouilles ont mis au jour, parmi les ruines d'un village, deux structures originales susceptibles d'éclairer la fonction et la datation des restes de constructions exhumés au sommet de l'acropole[6] : il s'agit, d'une part, de ce qui semble être les fondations d'une tour du Fer I mesurant un peu plus de 11 m de large, d'autre part, d'une tour fortifiée de 11,15 m de côté et datée du Fer II. Cette dernière présente plusieurs similitudes avec les vestiges dégagés en BD 116. Construite à l'emplacement le plus élevé de Giloh, cette tour servait de point d'observation en cas d'attaque vers Jérusalem et se rattachait, semble-t-il, à un réseau de tours de guet, toutes construites en des emplacements topographiques similaires permettant un contact visuel les unes avec les autres ; on pouvait ainsi avec des feux faire passer des messages[7]. Dans l'hypothèse où les deux gros murs M.2316 et M.2317 appartiendraient à une tour, il pourrait s'agir d'une installation similaire à celle de Giloh. Le sommet de l'acropole de Yarmouth est, en effet, l'un des points les plus élevés de cette région, à partir duquel on peut apercevoir les principaux sites de la région : Tel Azekah, Tel Sokho, Khirbet el-'Alya et, en direction de la plaine côtière, Tell es-Safi.

[6] Mazar 1990b, pp. 96–101.
[7] Mazar 1990b, p. 96.



Fig. 3.56. Carré BB 116, niveau Acr-II, vers le nord-est : le sol chaulé 1140 associé à M.1118B (voir aussi **Fig. 3.34**).



Fig. 3.57. Détail de la maçonnerie de M.1118B : réemploi d'une base de colonne typique du BA III.

3.8.2. Le niveau Acr-IIA en BB 116

Le niveau Acr-IIA est représenté par le mur M.1118B et les espaces associés L.1140 et L.1119 au sud-est.

Le mur M.1118B est un mur de terrasse de 1,20 m d'épaisseur conservé sur 1 m de hauteur, qui recoupe au nord-est les couches de l'espace L.2320 (**Figs 3.4**, **3.6**, **3.11** ; **Figs 3.1**, **3.12**, **3.32**). Comme il est normal pour un mur de terrasse, sa base est irrégulière, biseautée vers l'aval, sa face intérieure (nord-est) est brute, et seule sa face extérieure (sud-ouest) possède un parement. Ce dernier réutilise une base de colonne avec un tore en faible relief (**Figs 3.32**, **3.56–3.57**), typique du BA III[8]. La construction de ce mur est postérieure à celle du mur M.2316, mais il est clair que les deux structures ont été utilisées ensemble, ce qui justifie leur rattachement à un même niveau Acr-II.

Cette conclusion est confortée par l'examen des couches associées à M.1118B (**Fig. 3.58**). Il s'agit d'abord du sol L.1140 : c'est un sol chaulé qui se rattache à la base de M.1118B, dont la face externe était elle-même recouverte d'un enduit de chaux (*cf.* **Figs 3.34**, **3.56**). Le soin apporté à la finition de ce mur suggère qu'il était en relation structurale avec M.2316. Le sol chaulé L.1140 scelle le niveau Acr-III (ici M.2337 et L.1149) ; il a été

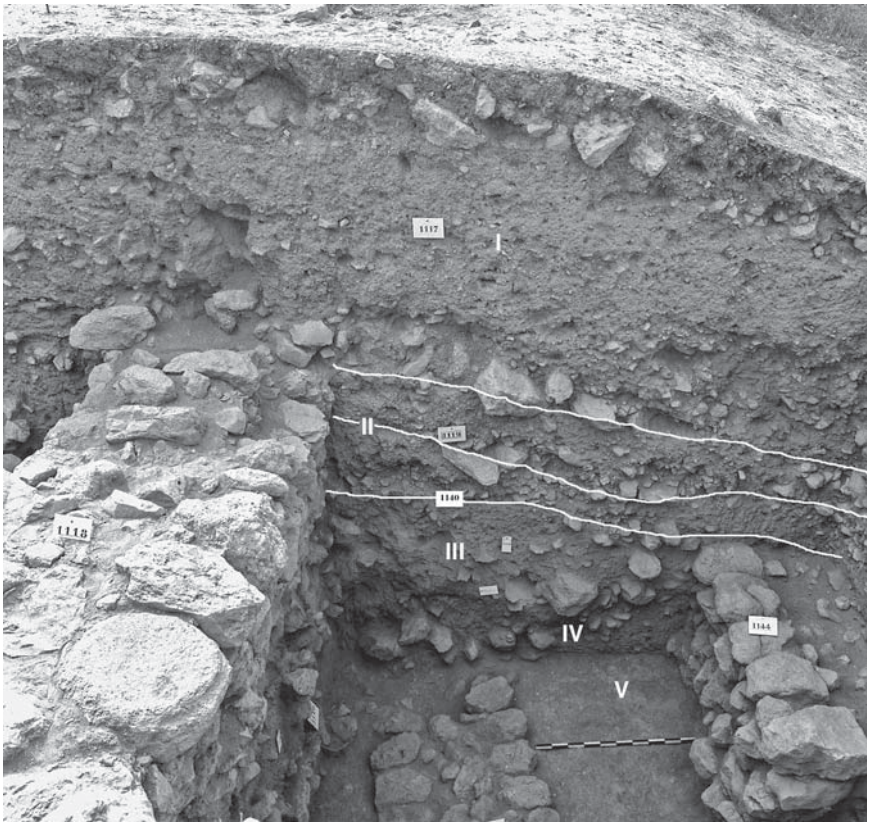


Fig. 3.58. Carré BB 116, détail de la coupe sud-est A–A'. Les couches du niveau Acr-IIB (L.1140, L.1119) recoupées par les couches d'érosion du niveau Acr-I (L.1117).

[8] *Cf.* Miroschedji 2003, figs 10, 14.

détruit par la Fosse F.1174 du niveau Acr-IC et par une forte érosion (*cf.* L.1117B), en sorte qu'il est conservé sur à peine 3,5 m^2 (**Fig. 3.56**). Ce sol est la seule surface qu'il a été possible d'isoler en relation avec un mur du niveau Acr-II. Ce sol et les couches L.1119 qui le recouvrent (*cf.* **Fig. 3.66**) ont livré un sceau en pierre à bélière, dont la datation au Bronze ancien est probable (**Fig. 16.1**), une fibule coudée à décor cannelé d'époque perse (**Fig. 14.1:6**), ainsi qu'une poterie relativement abondante, quoique mélangée, où dominent des tessons du Fer IIC et de l'époque perse (**Fig. 11.8**). On peut en déduire que les murs M.2316 et M.2317 datent du Fer II et qu'ils sont restés en usage à l'époque perse, qui serait l'époque de construction du mur M.1118B.

3.8.3. Une autre interprétation de la chrono-stratigraphie du niveau Acr-II *(P. de Miroschedji)*

Trois observations stratigraphiques conduisent à proposer une interprétation alternative à celle exposée ci-dessus par M. Jasmin de la chrono-stratigraphie du niveau Acr-II dans son ensemble :

1°) Le sol chaulé L.1140 au pied du mur M.1118B attribué au niveau Acr-IIA se raccordait sans solution de continuité à un enduit chaulé qui recouvrait la face externe de ce mur (*cf.* **Figs 3.34**, **3.56**). Une finition aussi soignée est inhabituelle pour un simple mur de terrasse tardivement ajouté en avant d'un bâtiment. Mais elle s'expliquerait si l'on admet que ce mur était lié dès l'origine au bâtiment dont les murs M.2316 et M.2317 sont les vestiges et qu'il bordait un espace aménagé (pièce ou terrasse).

2°) De fait, l'existence d'une tranchée de fondation du mur M.1118B est incertaine. Certes, les couches de l'espace L.2320 attribué au niveau Acr-IIB semblent avoir été perturbées au voisinage immédiat de la face nord-est de ce mur, mais cette situation peut s'expliquer autrement : il n'est pas rare, en effet, de trouver le long de la face d'un mur de pierre un ensemble de terriers qui ont l'apparence d'une tranchée de fondation. Dans ce cas, les couches du locus L.2320 seraient bien associées au mur M.1118B.

3°) Enfin, ces couches du L.2320 renfermaient une poterie qui date principalement du Fer IB–Fer IIA, avec quelques intrusions plus anciennes et quelques tessons qui paraissent plus récents, mais qui sont tous antérieurs au Fer IIC (voir § 11.1). Ce manque d'homogénéité indique qu'il faut les interpréter plutôt comme des couches de remblai.

En somme, il apparaît vraisemblable que les murs M.2316 + M.2317 et le mur M.1118B étaient en relation structurale et que l'espace intermédiaire a été comblé par un remblai (L.2320). Ces murs appartiendraient à un grand bâtiment entouré d'un mur de terrasse destiné à consolider une pente très raide et exposée à l'érosion. Ce bâtiment aurait été construit bien après l'oblitération des vestiges du niveau Acr-III car le changement d'orientation des murs d'un niveau à l'autre suppose a priori dans l'occupation de ce versant de l'acropole un hiatus durant le Fer IIA-IIB. Les sols intérieurs ayant disparu, la datation de ce bâtiment demeure incertaine : sa date de construction est postérieure au matériel le plus récent des couches de remblai L.2320, soit le Fer IIB ; sa dernière période d'utilisation est donnée par le matériel le plus récent (poterie et fibule) recueilli dans les loci L.1140 et L.1119 en avant du mur M.1118B en BB 116 (**Figs 11.7**), soit l'époque perse.

À partir de cette conclusion, on peut formuler deux hypothèses :

1°) Les gros murs M.2316 et M.2317 suggèrent qu'un bâtiment de grandes dimensions couronnait l'acropole à l'époque du niveau Acr-II. Dès lors, une comparaison s'impose avec les forteresses et/ou fermes fortifiées qui existaient à l'époque perse, particulièrement sur des sommets de hautes collines en Judée et en Shéphélah, où elles formaient un réseau dense[9]. Elles ont été édifiées à l'époque perse ou, pour quelques-unes, à l'époque précédente (VIIIe-VIIe siècle), et sont souvent restées en usage à l'époque hellénistique. Ces bâtiments étaient pour la plupart de plan quadrangulaire, mesurant de 20 à 30 m de côté – ce qui est compatible avec l'espace disponible sur le sommet de l'acropole –, et comportaient souvent une série de pièces disposées le long du mur extérieur autour d'une cour centrale[10]. Il est fort possible qu'un bâtiment de ce genre occupait le sommet de l'acropole de Yarmouth au Fer IIC(?) et/ou à l'époque perse.

2°) Sa présence expliquerait la mention de Yarmouth dans la liste donnée dans le livre de Néhémie (11:29) des établissements de la Shéphélah où des Judéens s'installèrent après le retour d'Exil. On s'accorde à dater la compilation de cette liste de la seconde moitié du Ve siècle[11] (voir §§ 24.1.6.2, 24.2.2.1).

3.9. Niveau Acr-I (Hellénistique, Romain ancien, Romano-Byzantin)

Le niveau Acr-I couvre une période s'étalant sur plus de six siècles, entre la fin de la période perse et le début de la période byzantine, *grosso modo* entre la fin du IVe siècle avant notre ère et le IVe siècle de notre ère. Cette longue période est marquée par une succession de phases d'érosion, de creusement de fosses, de construction d'habitat puis d'aménagement de murs de terrasse. La stratigraphie permet d'y reconnaître trois périodes principales d'aménagement de la pente et d'occupation correspondant à trois sous-niveaux – Acr-IC, Acr-IB et Acr-IA, du plus ancien au plus récent –, qui sont eux-mêmes subdivisés en phases en fonction de la séquence des événements (**Figs 3.4**, **3.6**, **3.9**, **3.11** ; **Figs 3.59**, **3.65** ; **Tableau 3.1**).

3.9.1. Niveau Acr-IC

Ce sous-niveau est daté entre la fin de l'époque perse et le début de l'époque romaine. Il s'insère entre deux phases d'occupation de ce versant de l'acropole, celle du niveau Acr-II et celle du niveau Acr-IB, et correspond à une période d'abandon pendant laquelle ce secteur a été soumis à l'érosion et recreusé de fosses. Ses restes sont apparus dans les carrés BA–BC 116. On y reconnaît la séquence suivante (**Fig. 3.59**) :

[9] Voir Stern 2001, pp. 442–443 ; Mazar and Wachtel 2015 ; Faust 2018 (avec références).
[10] Pour quelques exemples de plans, voir Faust 2018, fig. 2.
[11] Les listes des livres d'Esdras et Néhémie sont discutées par Stern 2001, pp. 428–431.

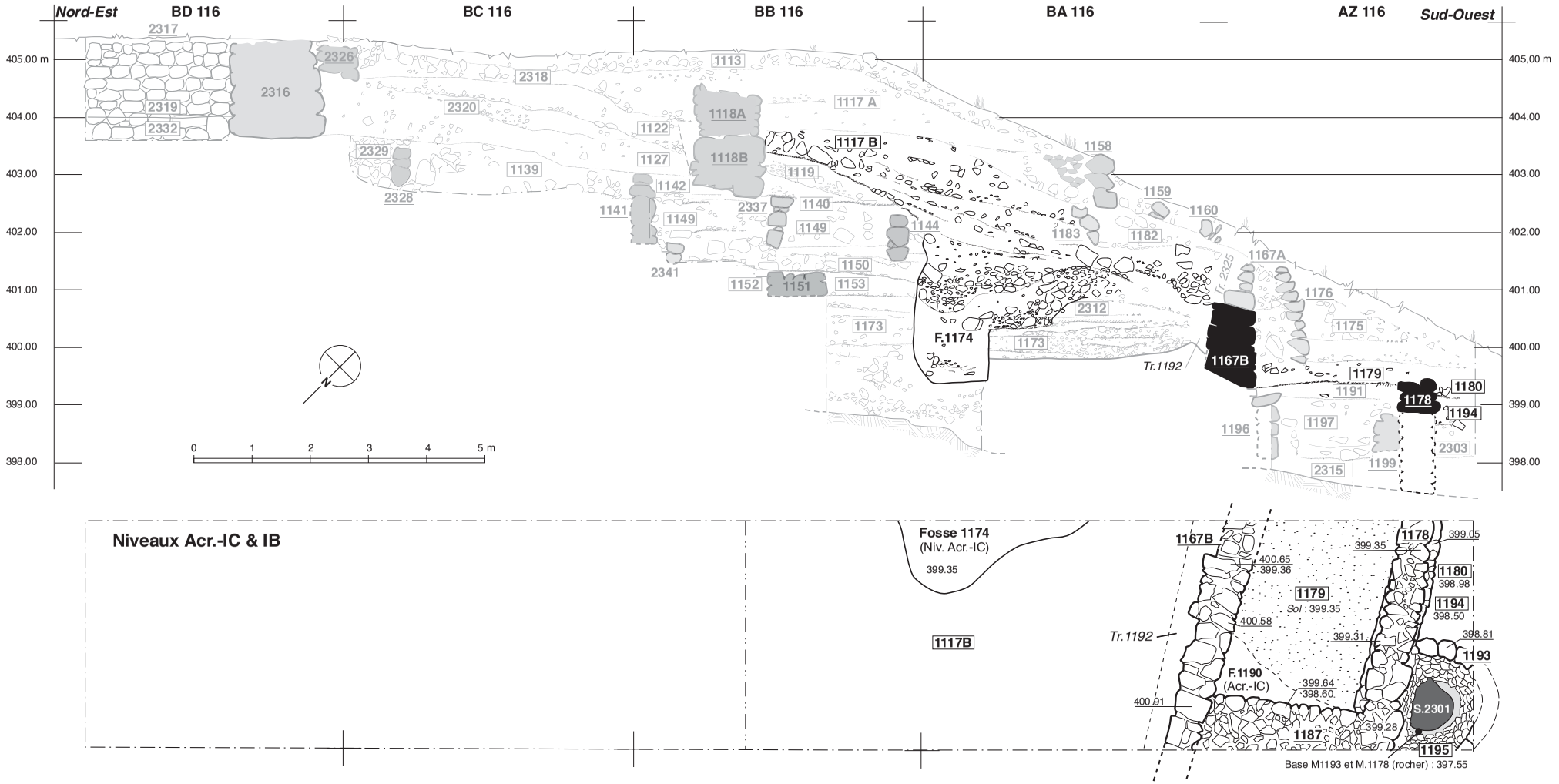


Fig. 3.59. Vestiges des niveaux Acr-IC et Acr-IB dans la coupe A–A' et en plan.

3.9.1.1. *Phase Acr-IC2 : Fosses 1174 et 1190*

La coupe stratigraphique (**Fig. 3.6**) indique que le creusement de la fosse F.1174 en BA 116 a eu lieu après le dépôt des couches d'abandon du niveau Acr-IIA (L.1119). La fosse a coupé le sol 1140 du niveau Acr-IIA ainsi que des structures des niveaux antérieurs Acr-III à Acr-VI (L.1145/1166, L.1150, L.1153 et L.1173 ; M.1172). Fortement mélangés, les tessons recueillis dans la fosse suggèrent qu'elle a été creusée avant l'époque romaine.

On peut considérer comme peu ou prou contemporaine la fosse F.1190 en AZ 116, sur laquelle le mur M.1167B a été ultérieurement construit (**Figs 3.9**, **3.58–3.60**). Cette fosse recoupe les couches des niveaux Acr-VII–VIII du BA III et entame le mur M.2306 sur au moins 3 assises (**Figs 3.16–3.19**). Ses limites ne sont pas connues puisqu'elle a été tranchée au nord-ouest par le mur M.1187. Elle contenait un matériel céramique mélangé, principalement d'époque romaine.

3.9.1.2. *Phase Acr-IC1 : Érosion postérieure au remplissage de la fosse 1174 et dépôt de la couche 1117B.*

En BB 116, au sud-ouest du mur M.1118B, la couche 1117B correspond à une succession de couches d'érosion en pendage marqué vers le sud-ouest qui recouvrent à la fois l'espace L.1119 et la fosse F.1174. Elle précède l'installation des structures d'habitat du niveau Acr-IB et celle des murs de terrasse du niveau Acr-IA.

3.9.2. Niveau Acr-IB

Il semble qu'à l'époque romaine ancienne, l'habitat s'était développé jusqu'à gagner le versant sud-ouest de l'acropole. Mais toute trace en a disparu dans les carrés BC–BA 116 ; les seuls vestiges qui en subsistent ont été mis au jour dans le carré AZ 116. On y a observé les témoins d'un important réaménagement de la pente de la colline, qui marque le niveau Acr-IB (**Fig. 3.59**). Tous les niveaux archéologiques antérieurs y ont été alors excavés pour permettre l'installation d'une habitation. En conséquence, les structures du niveau Acr-IB reposent directement sur celles du niveau Acr-VII du BA III (L.1191/L.1198) (**Figs 3.4**, **3.6**, **3.9**). La transition stratigraphique entre les deux niveaux est abrupte puisqu'il ne reste ici aucune trace des niveaux intermédiaires, mis à part des tessons recueillis en L.1179 et en L.1180 mélangés à des tessons d'époque romaine ; on notera, en particulier, la présence de quelques tessons du BR II, dont des importations chypriotes de type *White-Slip* II (**Fig. 7.7:17–18**).

L'habitat romain consiste en deux espaces, L.1179 et L.1180 (ce dernier renfermant la citerne S.2301), répartis sur deux terrasses étagées.

3.9.2.1. *La terrasse supérieure : L.1179*

La terrasse supérieure est représentée par l'espace L.1179, qui est limité au nord-est par le mur M.1167B, au nord-ouest par le mur M.1187 et au sud-ouest par le mur M.1178 (**Fig. 3.60**).

Le mur M.1167 a été construit en partie sur la fosse F.1190 ; des pierres ont été placées sur le sommet de la fosse afin de stabiliser l'assise inférieure du mur, comme l'indique la coupe transversale (**Figs 3.1, 3.9**). Ce mur a connu trois états successifs, dont le premier (M.1167B) relève du niveau Acr-IB et les deux autres du niveau sus-jacent Acr-IA. Soigneusement construit avec un double parement, M.1167B faisait en même temps office de mur de terrasse : la fouille en BA 116 a révélé une tranchée de fondation Tr.1192 profonde d'au moins 0,80 m (**Fig. 3.6**). Conservé sur une hauteur de 1,4 m (**Figs 3.14**, **3.16**, **3.61**), il se compose de grosses pierres allongées dont certaines occupaient toute la largeur du mur sur une hauteur d'une ou deux assises. L'une de ces pierres était un remploi : taillée avec une cavité centrale quadrangulaire, elle avait initialement servi à fixer une poutre. Cette pierre, dont quelques exemples semblables ont été observées en surface sur l'acropole, date certainement de la période romaine et fournit donc un *terminus post quem* pour la datation du mur.

À son extrémité nord-est, M.1167B bute contre le mur perpendiculaire M.1187 (**Figs 3.14**, **3.17**). De ce dernier on ne connaît que la face interne (sud-est) ; le remplissage visible suggère qu'il s'agissait d'un mur assez épais. Son sommet conservé se situe vers 400,80 m à sa jonction avec M.1167B, et vers 399,30 m à sa rencontre avec M.1178, soit une dénivellation



Fig. 3.60. Carré AZ 116, niveau Acr-IB, vers le nord-est : L.1179.
À l'arrière-plan, M1167B. Noter dans l'angle nord le contour de la fosse 1190.



Fig. 3.61. Carré AZ 116, niveau Acr-IB : le mur de terrasse M.1167, vers le sud-est. Noter au premier plan le réemploi d'un bloc aménagé.

de 1,50 m sur une distance de 4 m, qui indique l'importance de l'érosion postérieure qui a recoupé en biseau les structures de ce niveau Acr-IB.

Quant au mur M.1178 qui ferme au sud-ouest l'espace L.1179, il s'agit d'un mur bien construit, à double parement (**Figs 3.14**, **3.18**). Fondé sur le rocher, il a été construit à l'aide d'une tranchée de fondation pour constituer la terrasse inférieure à l'extrémité sud-ouest du sondage.

Le sol 1179, à une altitude de 399,35 m, est un sol bien défini (**Fig. 3.60**), clairement en relation stratigraphique avec les murs adjacents, notamment la base de M.1167B, et sur lequel on a recueilli des tessons d'époque romaine (**Fig. 12.3:7–9**), ainsi qu'un fragment d'une lame de fer (§ 14.1.2.1 : F.10609-1).

3.9.2.2. *La terrasse inférieure : L.1180, L.1194, L.2303(?) et S.2301*

Le mur M.1178 marque la transition entre la terrasse supérieure (L.1179) et la terrasse inférieure. Cette dernière est constituée, de bas en haut, par les espaces L.2303(?), L.1194, puis L.1180, qui ont été dégagés sur une très petite superficie au sud-ouest de M.1178.

On n'y a pas repéré de sol d'occupation bien défini : une surface en brique crue vers 398,98 m marque le sol de L.1180, au niveau de la base des deux assises supérieures de M.1178, qui sont en léger retrait ; il en provient une poterie d'époque hérodienne (**Fig. 12.3:10–16**). Une autre surface, vers 398,70 m, signale la transition avec le locus sous-jacent, L.2303, dont le statut stratigraphique n'a pas pu être déterminé en raison de l'étroitesse du sondage.

L'espace au sud-ouest de M.1178 est occupé en partie par la citerne S.2301 (**Figs 3.6**, **3.62–3.63**). Cette structure n'a pas été entièrement fouillée, mais suffisamment pour en préciser les caractéristiques. Son profil est en forme de cloche. La partie resserrée, correspondant à l'ouverture circulaire, mesure 0,8 m de diamètre et traverse, sur une épaisseur de *c.* 0,40 m, la couche de *nari*, c'est-à-dire la croûte indurée qui recouvre le calcaire tendre dans lequel la partie élargie de la citerne a été excavée[12]. Le fond de la citerne n'a pas été atteint. Le remplissage consiste en de la terre assez meuble[13].



Fig. 3.62. Carré AZ 116, niveau Acr-IB, vers le nord-est : M.1178 contre lequel s'appuie la margelle 1193 de la citerne 2301. L'ouverture de la citerne a été creusée à travers la couche de *nari*.

[12] Buchbinder 1969.

[13] A. Kloner, après avoir examiné l'intérieur de la citerne, a proposé une autre explication de cette structure souterraine. Il estime possible que des couloirs ont été creusés à partir du fond de la structure pour donner accès à une ou plusieurs pièces souterraines. Il compare cette installation aux systèmes souterrains qui, lors de la révolte de Bar-Khokhba, en 130–136 de notre ère, permettaient aux Juifs de se cacher à l'approche des troupes romaines. Sur ces installations juives de refuge aménagées à cette époque en Shéphélah, notamment à Tel Azekah et à Tel Maresha, voir Tepper et Shahar 1987 ; Zissu et Kloner 2013, 2015.



Fig. 3.63. Carré AZ 116, niveau Acr-IB, vers le sud-est : appuyée contre M.1178, la margelle 1193 a été construite directement à partir du rocher.

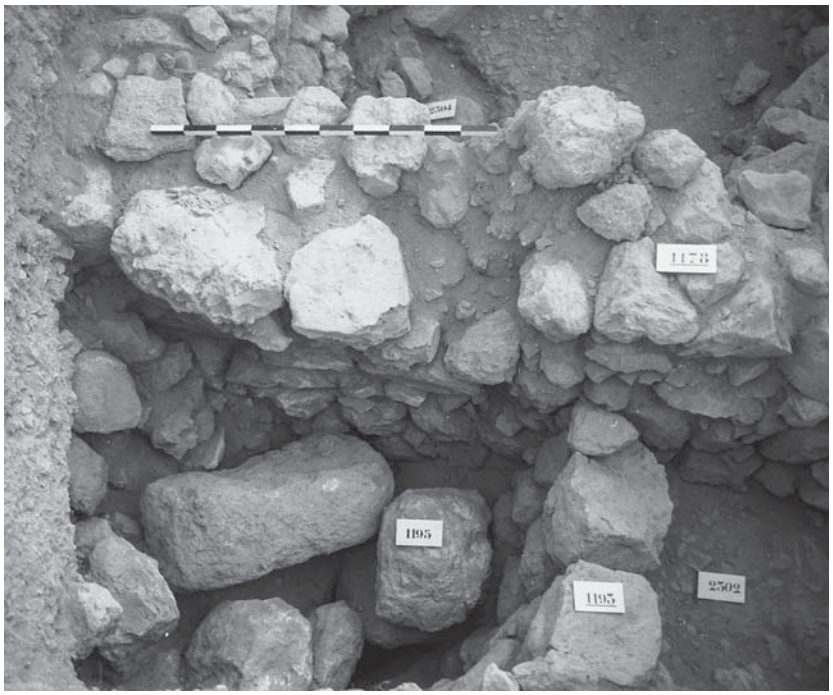


Fig. 3.64. Carré AZ 116, niveau Acr-IB, vers le nord-est : blocage de l'ouverture de la citerne 2301 avec de gros blocs de pierre.

L'ouverture de la citerne est entourée d'une margelle de pierre semi-circulaire, M.1193, partiellement dégagée, qui s'appuie contre M.1178 et dont la base repose elle aussi directement sur le rocher. Formée de pierres de dimensions moyennes, elle est conservée sur 1,4 m de hauteur et sa bordure mesure 1,60 m sur *c.* 1,40 m. Des restes de margelles comparables ont été observés en surface sur des citernes vraisemblablement contemporaines (ci-dessous, § 3.9.4.2, citernes n° 5 à 7). À la fin de l'utilisation de ce niveau (L.1180), le sol ne laissait probablement émerger que l'assise supérieure de cette margelle.

Après l'abandon de cet habitat, l'ouverture de la citerne a été intentionnellement condamnée à l'aide de trois gros blocs de pierre, sur lesquels se sont accumulés d'autres pierres, puis de la terre (**Fig. 3.64**). Ce remplissage constitue l'espace L.1195. Peu de matériel y a été trouvé, infiltré de la terre de surface.

3.9.3. Niveau Acr-IA

Au-dessus des vestiges arasés du niveau Acr-IB, et jusqu'à la surface du tell, les fouilles n'ont révélé aucune trace d'habitat, mais seulement des murs de terrasse superposés ou enchevêtrés (**Figs 3.4**, **3.6**, **3.65**). Échelonnée dans le temps sur deux à trois siècles, leur construction témoigne du souci constant de consolider le versant occidental de l'acropole à l'aide de terrassements successifs. On peut en déduire qu'au niveau Acr-IA l'habitat était concentré sur le sommet de l'acropole et son versant oriental, où l'on peut voir en surface un réseau dense d'habitations ruinées. Ces vestiges marquent une réoccupation du village après une phase d'abandon supposée entre les niveaux Acr-IB et IA. Le nouveau village correspond probablement à l'établissement d'époque romaine tardive et byzantine ancienne de *Iermochos* mentionné par Eusèbe de Césarée (voir ci-dessus §§ 1.2.1–1.2.2, et ci-dessous § 24.1.7.3).

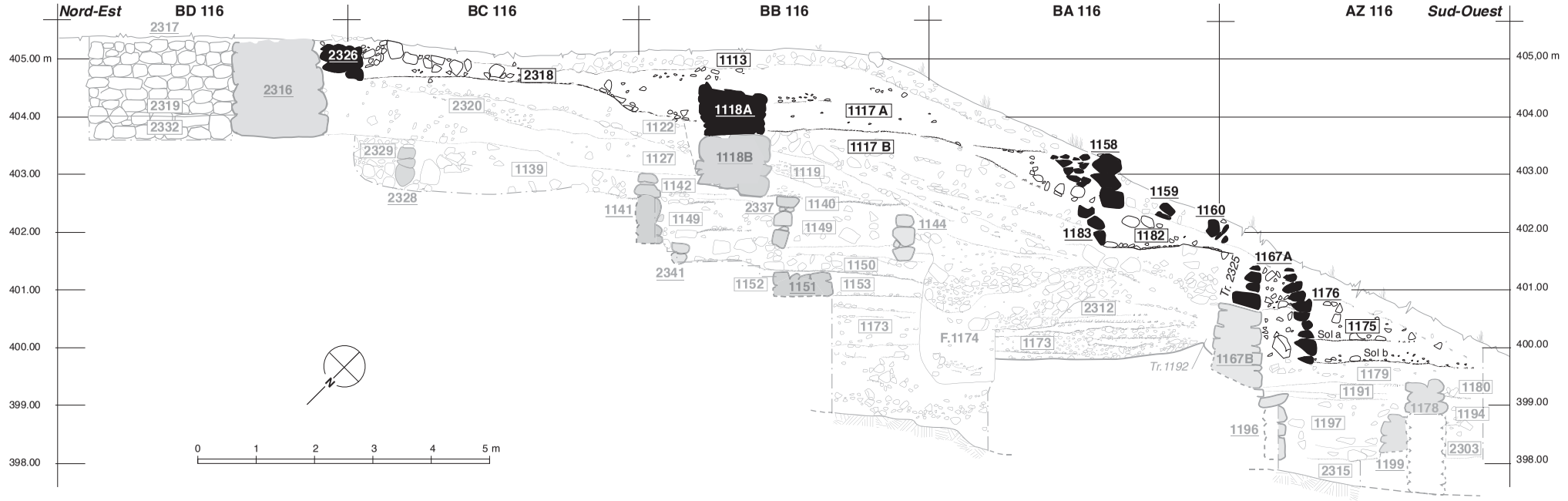
Parmi ces restes de murs de terrasse, on peut distinguer au moins trois phases de construction : Acr-IA3, IA2 et IA1 (de la plus ancienne à la plus récente).

3.9.3.1. *Phase Acr-IA3*

En BA 116, le mur M.1183 est un muret de terrasse oblique dont l'installation a entamé M.1133 du niveau Acr-III. Il se rattache à la surface L.1182-a recouverte de pierres éboulées. Les tessons recueillis sur cette surface sont mélangés et datent à la fois de l'époque romaine et du Fer I–II, voire même du BA III. Cette surface semble être en relation avec le mur M.1167A2.

En AZ 116, le mur M.1167A2, construit à l'aide d'une tranchée de fondation (Tr.2325), est en fait une reconstruction du mur M.1167B, mais avec pour unique fonction d'être un mur de terrasse.

Immédiatement au sud-ouest, le mur M.1185 est un autre mur de terrasse parallèle à M.1167A2, mais qui s'incurve vers l'ouest à son extrémité nord. Aucune surface en relation avec ce mur n'a été observée. M.1188 est l'extrémité d'un troisième mur de terrasse, également orienté vers l'ouest, qui s'intercale entre les deux murs précédents en s'appuyant contre M.1167A2.


Nord-Est
BD 116
BC 116
BB 116
BA 116
AZ 116
Sud-Ouest
405.00 m
404.00
403.00
402.00
401.00
400.00
399.00
398.00
2317
2316
2326
2318
1113
2319
2332
2320
1118A
1117 A
1122
1117 B
2329
1118B
1127
1139
1119
1158
1159
1160
1142
2328
1141
1149
2337
1140
1149
1144
1183
1182
1167A
1150
2341
1152
1151
1153
Tr. 2325
1176
2312
1175
1173
F.1174
1173
Sol a
Sol b
1167B
Tr.1192
1179
1191
1180
1178
1194
1196
1197
2303
2315
1199
0
1
2
3
4
5 m


Niveau Acr.-IA1
2326
Terre de surface
1113
403.15
1158
1159
402.50
402.10
402.20
401.80
1176
1160
403.63
402.06
401.80
1157
401.72
403.09
402.14
403.85
402.90
402.87

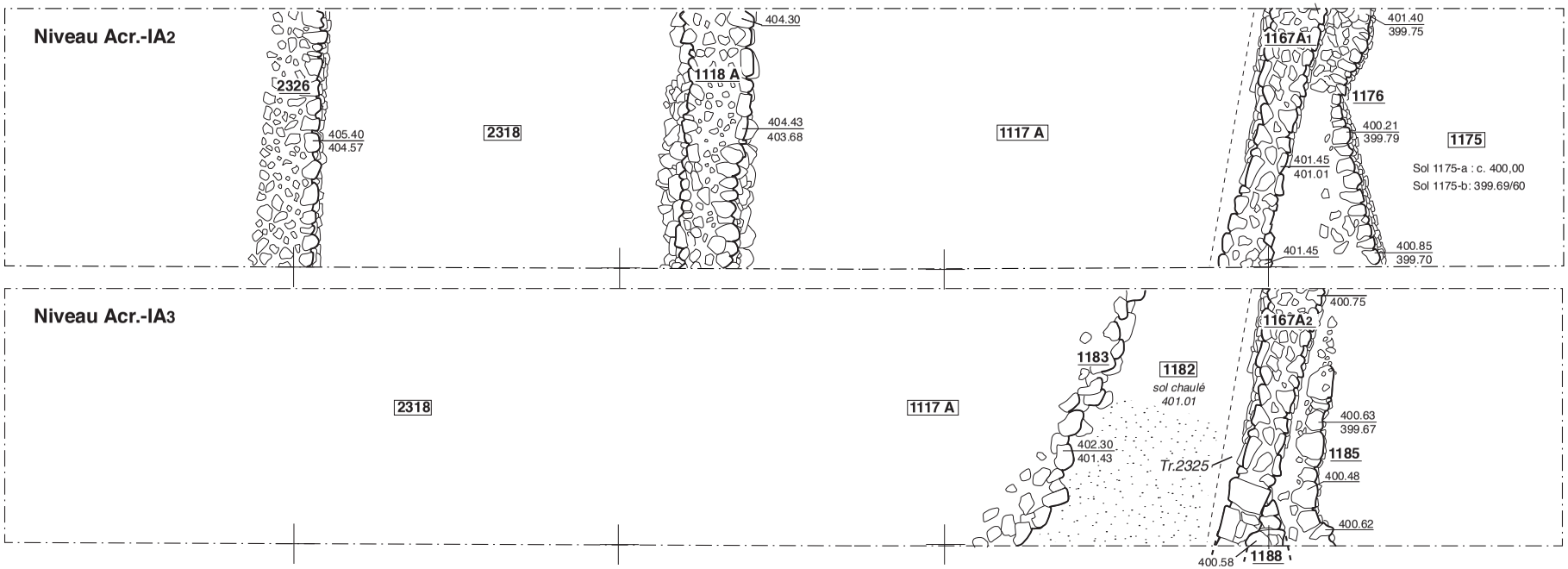


Fig. 3.65. Vestiges du niveau Acr-IA dans la coupe A–A' et en plan.



Fig. 3.66. Carré BB 116, niveau Acr-IA2, vers le nord-est : le mur de terrasse M.1118A, au-dessus du mur initial, M.1118B, ce dernier en relation avec l'espace L.1119.

3.9.3.2. *Phase Acr-IA2*

En BC 116, M.2326 est un mur de terrasse qui s'appuie contre la face externe du gros mur M.2316 du niveau Acr-II ; on peut en déduire que ce dernier n'était alors plus en usage. La couche 2318 qui lui est associée s'étend immédiatement sous la terre de surface, entre les murs de terrasse M.2326 et M.1118A. La surface 2318-a se compose d'une couche de terre plus foncée et compacte sur laquelle reposaient quelques tessons qui constituent un matériel hétérogène en raison de sa proximité avec la terre de surface.

En BB 116, le mur de terrasse M.1118A a été édifié directement sur le gros mur 1118B du niveau Acr-II (**Figs 3.56**, **3.66**), mais il est moins épais que ce dernier et construit avec des pierres moins grosses. Une surface mal définie, à la base de la couche L.1117A, relie la base de 1118A au sommet du mur M.1183.

En AZ 116, les murs de terrasse de la phase Acr-IA2 sont installés directement sur ceux de la phase précédente (**Figs 3.67–3.68**). M.1167A1 est une surélévation d'un mur de



Fig. 3.67.



Fig. 3.68.

Fig. 3.67. Carré AZ 116, niveau Acr-IA2, vers le nord-est : les murs de terrasse M.1167A1 et M.1176.
Fig. 3.68. Carré AZ 116, niveau Acr-IA2, vers le sud-est : disposition des murs de terrasse M.1167A1 et M.1176.

terrasse antérieur (M.1167A2), avec deux parements et un remplissage de petites pierres. Il est en relation avec le mur M.1176, qui est un nouveau mur de terrasse, au tracé sinueux, à la face externe bien construite conservée sur *c.* 1,50 m de hauteur, qui recouvre M.1185. M.1167A1 et M.1176 tendent à se rejoindre, et l'espace intermédiaire a été rempli d'un bourrage de petites pierres. Dans l'espace 1175, au sud-ouest de M.1176, on a repéré deux surfaces successives, 1175-b et 1175-a, marquée chacune par du cailloutis. La surface 1175-b correspond à la base de M.1176. Le matériel retrouvé sur le sol 1175-a est comparable à celui de la terre de surface par son manque d'homogénéité, et date principalement des périodes romaine tardive et byzantine ancienne (**Fig. 12.3:1–6**).

3.9.3.3. *Phase Acr-IA1*

C'est la dernière phase de construction des murs de terrasse dans ce secteur de l'acropole. Repérés en BA 116 seulement, les murs de terrasses M.1157 et M.1158, auxquels s'associent d'autres murets de soutènement (M.1159, M.1160), étaient en relation avec les autres murs de terrasses romano-byzantins de la phase Acr-IA2 précédente, et ont très probablement été utilisés en même temps qu'eux (**Figs 3.69–3.71**). Ils correspondent pratiquement à la terre de surface ; le matériel céramique y est donc très mélangé, avec cependant une majorité de tessons byzantins anciens.

Signalons, pour conclure, la structure S1114 (non illustrée), qui est la plus récente repérée dans ce sondage : il s'agit d'un trou individuel de combattant, mesurant 1,40 m × 0,90 m et datant probablement de la guerre de 1948, à en juger d'après les douilles de fusil qu'il contenait.



Fig. 3.69.



Fig. 3.70.

Fig. 3.69. Carré BA 116, niveau Acr-IA1, vers le sud-est : les murs de terrasse M.1157 et M.1158.
Fig. 3.70. Carré BA 116, niveau Acr-IA1, vers l'est : les murs de terrasse M.1158 et M.1159.



Fig. 3.71. Détail du mur de terrasse M.1158 formé de blocs de réemploi.

3.9.4. Autres vestiges contemporains des niveaux Acr-IB–IA sur l'acropole et ses abords

De nombreux vestiges d'occupation, dont la plupart sont probablement contemporains des niveaux Acr-IB et Acr-IA, sont visibles en surface sur la colline de l'acropole et sur la colline voisine au sud-est (**Figs 1.11–1.12**). Il s'agit de restes de construction, de murs de terrasse, de citerne, de tombes et d'une carrière.

3.9.4.1. *Restes de construction*

On a déjà signalé (§ 1.2.2) que le sommet de la colline est occupé par des vestiges d'habitation visibles en surface et qui relèvent de la dernière phase d'occupation du site (**Figs 1.11–1.14**).

La topographie de la partie haute de la colline est apparemment déterminée par le mur M.1118 (**Figs 3.4**, **3.6**), dont le tracé semble correspondre à celui de la courbe de niveau de 405 m (**Figs 1.11**, **1.20**). Mais la terrasse supérieure proprement dite est bordée par un mur de terrasse bien visible en surface, qui correspond au mur M.1167 attribué au niveau Acr-IA (**Figs 3.4**, **3.6**) ; ce mur a un tracé à peu près rectiligne le long des côtés sud-ouest, nord-est et sud-est de la colline, dont la plan apparaît ainsi quadrangulaire (**Figs 1.11**, **1.20**).

Quant à la terrasse inférieure, elle semble correspondre, du moins au sud-ouest, au tracé des murs de terrasse M.1102 et M.1104 en AS 116 (**Figs 1.20**, **2.1**).

En outre, des murs de terrasse agricole couvrent les pentes de la ville basse (**Fig. 1.9**). Là où ils ont été dégagés par les fouilles (chantiers B, H, J, K), ils ont livré de rares tessons d'époque romaine tardive ou byzantine ancienne (et aussi, au chantier J, d'époque mamelouke) qui impliquent que les pentes autour du village de l'acropole étaient cultivées à basse époque (niveau Acr-I) et que la topographie du site a été alors remodelée par de grandes terrasses agricoles, évidemment disposées en fonction de reliefs existants. On observera, sans pouvoir l'expliquer, que ces pentes n'ont pas livré de tessons du Bronze récent ou de l'âge du Fer, alors qu'il paraît raisonnable de supposer qu'elles étaient aussi cultivées à ces époques.

3.9.4.2. *Citernes*

Au total, sept citernes ont été repérées, trois sur la colline de l'acropole, et quatre à sa périphérie méridionale (**Figs 1.11–1.14**) :

- Citerne n° 1. L'ouverture de la citerne semble être effondrée et il en reste une fosse profonde d'environ 5 m dans le rocher. Elle est apparemment entourée d'un muret ruiné dont le tracé plus ou moins circulaire a un diamètre d'environ 5 m.
- Citerne n° 2. L'ouverture dans le rocher est aujourd'hui condamnée par des barres et un bidon métalliques. De contour irrégulier, elle donne sur la Grotte n° 3 dont la voûte s'est, semble-t-il, partiellement effondrée. Il est possible que cette grotte fût à l'origine une citerne dont une partie s'est éboulée.
- Citerne n° 3. L'ouverture carrée est aujourd'hui fermée par deux grosses pierres. Une auge en pierre placée juste à côté implique qu'elle a été utilisée pendant la dernière phase d'occupation de l'acropole.



Fig. 3.72.



Fig. 3.73.

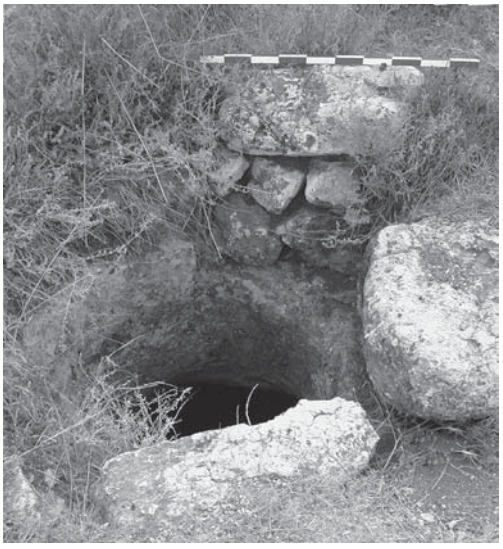


Fig. 3.74.



Fig. 3.75.

Fig. 3.72. Ouverture quadrangulaire de la citerne n° 4 au sud-est de l'acropole.
Fig. 3.73. Ouverture circulaire de la citerne n° 5 au sud-est de l'acropole.
Fig. 3.74. Ouverture circulaire de la citerne n° 6 au sud-est de l'acropole, avec un reste de sa margelle.
Fig. 3.75. Ouverture circulaire de la citerne n° 7 au sud-est de l'acropole.

- Citerne n° 4 (**Fig. 3.72**). Ouverture quadrangulaire dans la couche de *nari*[14].
- Citerne n° 5 (**Fig. 3.73**). Ouverture circulaire dans le rocher. Quelques pierres marquent les vestiges d'une margelle, probablement comparable à celle (M.1193) qui entoure l'ouverture de la citerne S.2301 du niveau Acr-IB (**Figs 3.59**, **3.62–3.64**).
- Citerne n° 6 (**Fig. 3.74**). Ouverture circulaire dans le rocher. Restes d'une margelle sur trois assises de hauteur.
- Citerne n° 7 (**Fig. 3.75**). Ouverture circulaire dans le rocher. Une pierre en place suggère l'existence d'une margelle disparue.

[14] Indiquée comme site n°189.2 par Dagan 2010, p. 151, avec une ouverture quadrangulaire de 0,73 × 0,74 m et une profondeur de 6 m.



Fig. 3.76.



Fig. 3.77.

Fig. 3.76. Puits d'accès de la tombe n° 1 au sud-est de l'acropole. Vue vers l'est.
Fig. 3.77. Puits d'accès de la tombe n° 2 au sud-est de l'acropole. Vue vers le nord.

3.9.4.3. *Tombes*

Deux tombes au moins ont été repérées au sud-est de l'acropole (**Figs. 1.12**, **3.76–3.77**). Elles n'ont été ni dégagées ni pénétrées. Vues de l'extérieur, il s'agit apparemment du type classique des sépultures hypogées de basse époque : elles se présentent sous la forme d'une fosse rectangulaire creusée dans le rocher, avec des ressauts latéraux pour supporter une dalle de fermeture ; cette fosse ouvre sur un escalier taillé dans la roche qui, par une petite ouverture rectangulaire, donne accès à la chambre funéraire. Ces sépultures sont probablement à rattacher à l'établissement romain du niveau Acr-IB.

3.9.4.4. *Carrière*

Entre la colline de l'acropole et celle qui s'étend immédiatement au sud-ouest se trouve une dépression qui correspond à une carrière (**Figs. 1.11–1.12**, **1.18–1.19**). D'une superficie d'au moins 1600 m^2, elle est bordée au nord-est, au sud-est et au sud-ouest par des fronts de taille qui atteignent jusqu'à 3 m de hauteur. Il est difficile de préciser la ou les périodes d'exploitation de cette carrière. A priori, on peut penser qu'elle l'a été depuis le Bronze ancien puisqu'il était plus expédient de se procurer des pierres de construction à l'endroit le plus élevé du site, plutôt que d'aller les chercher au-delà de la ville basse. Il est vraisemblable qu'elle a été utilisée pendant toutes les périodes d'occupation de l'acropole. De nombreuses traces d'enlèvement de pierres de construction montrent d'ailleurs que la colline voisine au sud-est a elle aussi servi de terrain d'exploitation.

Références

Buchbinder, B.
1969 *Geological Map of Hashephelah Region, Israel* (The Geological Survey of Israel, Report OD/1/68). Jerusalem : The Geological Survey of Israel.

Dagan, Y.
2010 *The Ramat Bet Shemesh Regional Project : The Gazetteer* (IAA Reports No. 46). Jerusalem : Israel Antiquities Authority.

Dever, W. G., Lance, H. D., Bullard, R. G., Cole, D. P. and Seger, J. D.
1974 *Gezer II : Report of the 1967–70 Seasons in Fields I and II* (Annual of the Hebrew Union College / Nelson Glueck School of Biblical Archaeology II). Jerusalem : HUC/NGSBA.

Ebeling, J. and Rogel, M.
2015 "The tabun and its misindentification in the archaeological record," *Levant* 47 : 328–349.

Faust, A.
2018 "Forts or agricultural estates? Persian period settlement in the territories of the former kingdom of Judah," *Palestine Exploration Quarterly* 150 : 34–59.

Garfinkel, Y.
2017 "Khirbet Qeiyafa in the Shephelah : Data and Interpretations," in *Khirbet Qeiyafa in the Shephelah, Papers Presented at a Colloquium of the Swiss Society for Ancient Near Eastern Studies Held at the University of Bern, September 6, 2014* (Orbis Biblicus et Orientalis 282), edited by S. Schroer and S. Münger, pp. 5–59. Fribourg CH : Academic Press.

Humbert, J.-B.
1980 "Les fouilles : objectifs, méthode, stratigraphie," in *Tell Keisan (1971-1976), une cité phénicienne en Galilée*, édité par J. Briend et J.-B. Humbert, pp. 13–36. Fribourg : Éditions universitaires / Göttingen : Vandenhoeck & Ruprecht / Paris : J. Gabalda.

Mazar, A.
1990a *Archaeology of the Land of the Bible, 10,000–586 B.C.E.* New York : Doubleday.
1990b "Iron Age I and II Towers at Giloh and the Israelite Settlement," *Israel Exploration Journal* 40 : 77–101.
2005 "The Debate over the Chronology of the Iron Age in the Southern Levant : Its history, the current situation, and a suggested resolution," in *The Bible and Radiocarbon Dating, Archaeology, Text and Science*, edited by T. E. Levy and T. Higham, pp. 15–30. London : Equinox.
2011 "The Iron Age Chronology Debate : Is the Gap Narrowing ? Another Viewpoint," *Near Eastern Archaeology* 74(2) : 105–110.

Mazar, A. and Wachtel, I.
2015 "Ḥurvat 'Eres : A Fourth-Century BCE Fortress West of Jerusalem," *Israel Exploration Journal* 65 : 214–244.

Miroschedji, P. de
2003 "The Late Early Bronze Age III Palace B1 at Tel Yarmuth : A Descriptive Summary," *Eretz-Israel* 27 (H. & M. Tadmor Volume) : 153*–170*.
2013 "Fouilles de Tel Yarmouth : résultats des travaux de 2003 à 2009 (14e–18e campagnes)," *Comptes rendus de l'Académie des Inscriptions et Belles-Lettres* 2013 (avril-juin) : 759–796.

Stern, E.
2001 *Archaeology of the Land of the Bible,* Vol. II*, The Assyrian, Babylonian, and Persian Periods (732–332 B.C.E.)*. New York, London, Toronto, Sydney, Auckland : Doubleday.

Tepper, Y. and Shahar, Y.
1987 "Hiding Complexes at Azekah," in *The Hiding Complexes in the Judean Shephelah*, edited by A. Kloner and Y. Tepper, pp. 171–185. Tel Aviv : Kibbutz Hameuchad (en hébreu).

USSISHKIN, D.
2004 *The Renewed Excavations at Lachish (1973–1994)*. Vol. I (Tel Aviv University Sonia and Marco Nadler Institute of Archaeology Monograph Series No. 22). Tel Aviv : Emery and Claire Yass Publications in Archaeology.
ZISSU, B. and KLONER, A.
2013 "The Subterranean Complexes of Maresha. An Urban Center from the Hellenistic Period in the Judean Foothills, Israel," *Opera Ipogea, Journal of Speleology in Artificial Cavities* 2 : 45–62.
2015 "Subterranean Complexes at Maresha and Additional Notes on the Judean Shephelah Hiding Complexes," *Palestine Exploration Quarterly* 147 : 96–111.

Deuxième partie

LA POTERIE

Compte tenu de la nature des vestiges mis au jour (restes de fortifications, couches de remblai et d'érosion), le Sondage 1 de l'acropole a livré un matériel archéologique relativement peu abondant : on y a exhumé 9136 tessons de poterie, dont près de 780 ont été conservés en raison de leurs caractéristiques typologiques, auxquels s'ajoute un petit nombre seulement d'objets non céramique. Ce matériel est trop restreint et provient de contextes archéologiques trop incertains pour permettre une étude typologique de la poterie des différentes phases d'occupation de l'acropole, mais il fournit cependant des indications intéressantes qui complètent les observations faites dans le Sondage 2, où le matériel archéologique était beaucoup plus abondant.

L'étude de la poterie concerne donc principalement celle exhumée dans les fouilles du Sondage 2, beaucoup plus abondante puisqu'on y a recueilli au total 53606 tessons, dont 6020 ont été conservés, parmi lesquels on compte 1471 formes identifiables (**Tableau 6.2**). Les ensembles les mieux représentés sont ceux des niveaux Acr-V à Acr-III, relativement bien isolés au point de vue stratigraphique. Leur abondance a permis d'en faire une étude chrono-typologique assez précise, susceptible d'éclairer les problématiques archéologiques et chronologiques, locales et régionales, de cette période charnière de la fin du IIe millénaire. La poterie des autres niveaux n'a pas pu faire l'objet d'une étude aussi poussée du fait de la faiblesse des échantillons (niveaux Acr-IX à VII) ou de leur moindre qualité stratigraphique (niveaux Acr-VI, Acr-II–I).

CHAPITRE 4

LA POTERIE DU BRONZE ANCIEN II–III
(Phases Acr-1 à 4, niveaux Acr-IX à VII)

Pierre de MIROSCHEDJI

La poterie du Bronze ancien découverte sur l'acropole est représentée seulement par des tessons ; aucune forme complète n'a pu être reconstituée. Elle provient de trois contextes distincts :

– Dans le Sondage 1, il s'agit d'un matériel peu abondant trouvé en relation avec les phases de construction et d'utilisation des fortifications (Phases Acr-1 à Acr-4) et avec l'épisode d'érosion qui a suivi le premier abandon du site (Phase Acr-5) ;
– Dans le Sondage 2, carré AZ 116, il s'agit d'une succession de sols et de structures qui constituent le cadre d'une stratigraphie cohérente où l'on a distingué trois niveaux (Acr-IX à VII) ;
– Enfin, dans les carrés BA–BB 116 du sondage 2, il s'agit d'un matériel essentiellement hors contexte puisqu'il provient de couches perturbées qui contiennent, en proportions il est vrai plus faibles, du matériel du Bronze moyen et récent.

Le **Tableau 2.1** présente les corrélations chrono-stratigraphiques entre les dépôts de ces trois contextes, organisées en fonction des trois niveaux, Acr-IX, Acr-VIII et Acr-VII, reconnus dans la stratigraphie du carré AZ 116 du Sondage 2. Ces trois niveaux correspondent aux trois périodes, BA II, BA IIIA et BA IIIB, reconnues dans les fouilles de la ville basse (*cf.* **Tableau 1.1**). Le **Tableau 3.2** indique la fréquence des tessons du Sondage 2 par locus et par niveau.

4.1. NIVEAU ACR–IX (BRONZE ANCIEN II)

4.1.1. Catégories de céramique

Les catégories de céramique du BA II attestées à Tel Yarmouth ont été décrites dans *Yarmouth 1*[1]. Elles feront l'objet d'une étude plus détaillée dans un prochain volume de la publication définitive des fouilles. Les catégories suivantes ont été reconnues dans les deux sondages sur l'acropole :

– *Céramique peinte*. Un tesson en céramique peinte en rouge sur fond blanc (**Fig. 4.5:5**).
– *Céramique dite « d'Abydos » à engobe rouge et décor incisé*. Cette catégorie de céramique, qui n'était pas attestée dans les fouilles de la ville basse, est représentée par un tesson

[1] Miroschedji 1988, pp. 70–73.

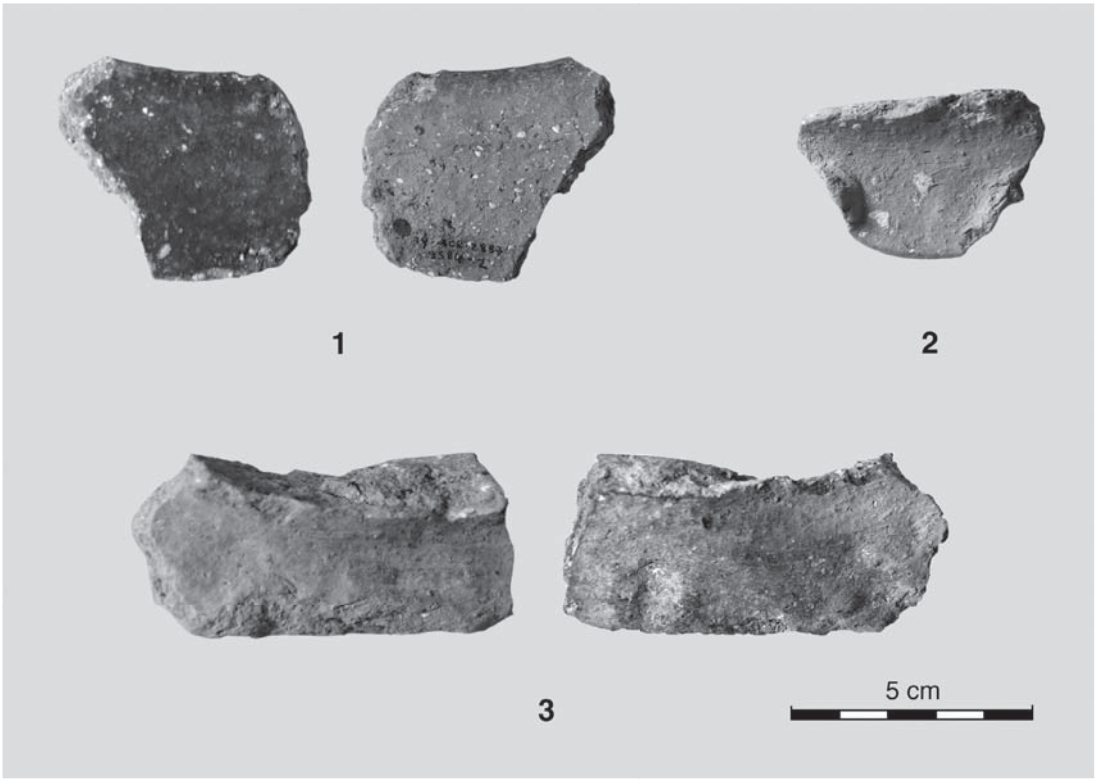


Fig. 4.1. Sondage Acropole 1 : tessons trouvés dans le glacis 1123 (Phase 1). 1. Bord de jarre sans col A.9584-2 (= **Fig. 4.3:10**). 2. Anse-oreille horizontale fragmentaire A.9584-1. 3. Anse-oreille horizontale fragmentaire A.9584-3.

provenant probablement de l'épaule d'une cruche ou d'une petite jarre (**Fig. 4.2:2** = **Fig. 4.6:3**). Il porte un décor incisé consistant en un triangle rempli d'un semis de points. Le vase dont il provient a certainement été importé à Yarmouth du nord de la Palestine, où ce genre de céramique est bien connu[2].

– *Céramique « métallique »*. Il s'agit de la variété *méridionale* de la céramique « métallique », mise en œuvre pour des bols carénés, parfois aussi pour des bols bas, et, exceptionnellement, pour des cruches[3]. Elle est représentée par un tesson à engobe rouge recueilli dans le locus 2315, pratiquement sur le rocher (**Fig. 4.5:2**). Ce type de bol est un fossile directeur du BA II, abondamment représenté dans les niveaux de cette époque fouillés dans la ville basse de Yarmouth[4], et bien attesté par ailleurs sur de nombreux sites contemporains du centre et du nord de la Palestine[5]. Cette catégorie de céramique est sans rapport avec la céramique « métallique » contemporaine qui caractérise les sites

[2] Amiran 1974.
[3] *Cf.* Miroschedji 1988, p. 71.
[4] *Cf.* Miroschedji 1988, p. 73.
[5] Ce type de bol a été appelé « *Aphek bowl* » par P. Beck (1985), bien qu'il fût connu antérieurement, et en abondance, sur de nombreux sites du BA II, notamment à Tell el-Fâr'ah et à Jéricho. P. Beck (1985, pp. 24–25) l'a considéré comme caractéristique du BA IB, à la suite, semble-t-il, d'une confusion dans l'interprétation de la stratigraphie de Tell el-Fâr'ah, où R. de Vaux qualifiait d'« Ancien Bronze I » deux niveaux qui sont *postérieurs* au Bronze ancien IB (appelé alors « Chalcolithique supérieur » par R. de Vaux) et qui marquent donc, en réalité, le début du Bronze ancien II. De fait, ces bols en céramique « métallique » (dans sa variété méridio-

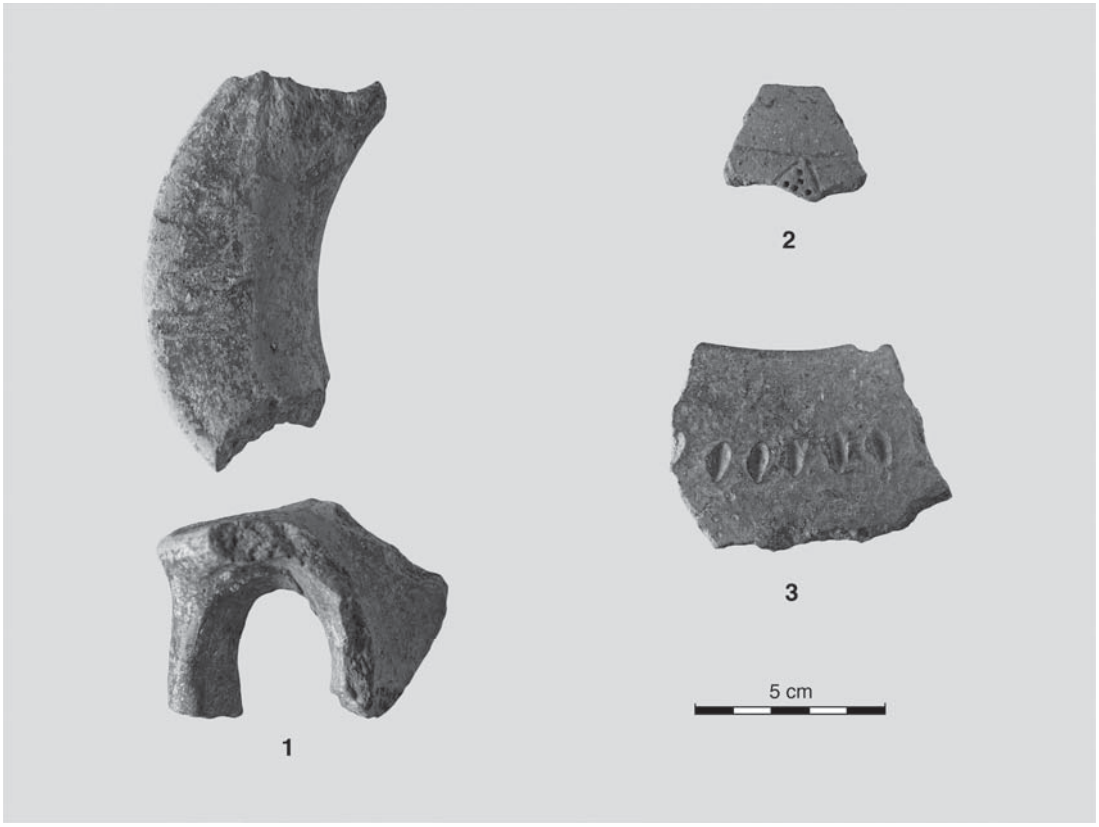


Fig. 4.2. Sondage 2 de l'acropole, niveau Acr-VIII : tessons du locus 1198. 1. Col de jarre à anse-pilier A.10641-1 (= **Fig. 4.6:6**). 2. Tesson d'une petite jarre ou cruche A.10747-1 (= **Fig. 4.6:3**). 3. Bord de jarre sans col A.10692-6 (= **Fig. 4.6 :8**).

du nord de la Palestine, dite « *North Canaanite Metallic Ware* » *(NCMW)*, et qui est mise en œuvre principalement pour des jarres, des pithoi et des bassins à surface peignée[6].

– *Céramique commune, grossière et très grossière*[7].

4.1.2. Catégories de formes

Les catégories de formes suivantes ont été identifiées aux niveaux Acr-IX et dans les couches correspondantes du Sondage 1 :

Bols.– On trouve essentiellement des bols hémisphériques grossiers (**Fig. 4.5:1**) et des bols carénés à engobe rouge sur les deux faces (**Fig. 4.5:2**).

Écuelles.– Une écuelle à lèvre plate à bourrelet intérieur (**Fig. 4.6:1** = **Fig. 15.4**), qui a fait l'objet d'une réparation, est remarquable par l'épaisseur de sa paroi et sa surface rouge soigneusement lustrée ; elle est sans équivalent connu.

nale) apparaissent dans des assemblages céramiques caractéristiques du BA II, qui sont à la fois différents de et postérieurs à ceux du BA IB *stricto sensu*.

[6] Greenberg and Porat 1996 ; Greenberg and Iserlis 2014, p. 59.

[7] Pour une description de ces catégories de céramique, voir Miroschedji 1988, pp. 71–72.

Plats.– Les plats carénés sont assez profonds et comportent un engobe rouge lustré sur les surfaces intérieure et extérieure (**Fig. 4.6:2**).

Jarres.– Quatre types de jarres sont attestés : de petites jarres à col à lèvre amincie, évasé (**Fig. 4.5:3**) ou droit (**Fig. 4.5:4**) ; une jarre à « anse-pilier » à engobe rouge lustré (**Fig. 4.2:1** = **Fig. 4.6:6**) qui porte, à l'endroit où la lèvre déborde sur l'anse, trois petites incisions irrégulières destinées à évoquer la rigole que l'on trouve sur les exemplaires les plus archaïques de cette catégorie de jarres ; des jarres de formes comparables sont attestées par ailleurs, mais avec une finition généralement moins soignée, par exemple à Tel Arad[8]. Le tesson à décor incisé **Fig. 4.2:2** (= **Fig. 4.6:3**), déjà mentionné ci-dessus, provient peut-être d'une petite jarre à engobe rouge. Le tesson à décor peint de bandes verticales rouge sur fond blanc (**Fig. 4.5:5**) provient d'une grande jarre à col à lèvre simple, d'un type courant au BA IB et II.

Pithoi.– Les cols de pithoi identifiés sont caractéristiques du BA II : le col est vertical ou évasé et la lèvre est moulurée (**Fig. 4.6:5**) ou en bourrelet arrondi (**Fig. 4.6:4**). La surface de ces jarres a en général été badigeonnée de chaux.

Bassins.– Un seul exemplaire (**Fig. 4.5:6**) à bord épaissi et lèvre biseautée, avec l'amorce d'un probable goulot.

Anses-oreilles horizontales.– Les anses-oreilles horizontales proviennent de jarres ou de bassins. Attestés par des tessons très fragmentaires, ils sont du type « à festons espacés » (« *pushed-up* ») (**Fig. 4.1:2**)[9] ou du type « festonné à bord pincé et replié » (« *pinch-lapped* ») (**Fig. 4.1:3**)[10].

Jarres sans col.– Les tessons les plus nombreux proviennent de jarres sans col à base plate utilisées comme marmites. Quelques bords ont une paroi mince et une lèvre amincie (**Fig. 4.6:7,11**). Les plus typiques ont une apparence grossière, avec un gros dégraissant minéral, et présentent une lèvre à bourrelet intérieur (**Figs 4.3:10** [= **4.1:1**] ; **4.5:7** ; **4.6:9–10**), ou bien une lèvre ronde avec un épaississement intérieur plus ou moins marqué (**Figs 4.5:8** ; **4.6:8**). De rares exemplaires ont une lèvre biseautée (**Figs 4.5:9** ; **4.6:12**). On n'a pas identifié de jarres sans col à large ouverture dont le bord comporte un bourrelet intérieur en fort relief, qui sont fréquentes au BA II dans la ville basse à Yarmouth[11]. Un bord de jarre sans col (**Fig. 4.6:8** = **4.2:3**) est décoré d'une ligne de courtes incisions verticales, un genre de décor attesté à Yarmouth au BA I et au début du BA II. Enfin, les « marques de poterie » apparaissent, comme d'ordinaire, sous le bord, en haut de l'épaule (**Fig. 4.6:9,11–12**)[12].

[8] Amiran *et al.* 1978, pls 38 et 104.
[9] *Cf.* Miroschedji 1988, pls 21:25, 24:21.
[10] *Cf. ibid.*, pl. 21:22.
[11] *Cf. ibid.*, pl. 22:5–6.
[12] *Cf. ibid.*, pls 24:18–19, 26:6–9.

4.2. Niveaux Acr–VIII et Acr-VII (Bronze ancien III)

Il y a une différence sensible entre la poterie du niveau Acr-IX et celle du niveau Acr-VIII : la transition d'un niveau à l'autre est marquée par la disparition des formes et des finitions caractéristiques du BA II et par l'apparition de celles typiques du BA III. La même observation a été faite partout ailleurs à Yarmouth où le passage d'une époque à l'autre a été observé[13].

Seules les catégories de céramique fine, commune, grossière et très grossière sont attestées aux niveaux Acr-VIII et VII[14]. On n'a recueilli aucun exemplaire de céramique peinte ou de céramique de Khirbet Kérak.

Bols.– Les bols sont principalement des bols hémisphériques à engobe rouge lustré à l'intérieur et à l'extérieur sous le bord (**Figs 4.4:1–2** ; **4.8:1**). De grands bols bas de profil semblable (**Fig. 4.8:2**) sont plus rares. On notera un bol à paroi verticale (**Fig. 4.7:1**) et un petit bol à bord mouluré (**Figs 4.4:10**). Les bols profonds en céramique commune, sans engobe, à surface parfois peignée au tour et badigeonnée d'un lait de chaux (**Figs 4.4:11** ; **4.9:4–5**), sont fréquents au BA IIIB.

Écuelles.– Les écuelles à lèvre moulurée (**Figs 4.3:5** ; **4.4:3** ; **4.7:2,4** ; **4.8:3**) sont caractéristiques du BA III. Elles ont en règle générale un engobe rouge lustré à l'intérieur et sur la lèvre, parfois avec un quadrillage décoratif.

Jattes.– Les jattes sont de grandes écuelles peu profondes dont le diamètre peut atteindre 40, voire 50 cm. Les exemplaires à paroi plus ou moins rectiligne et à lèvre interne à sommet arrondi (**Figs 4.3:1,8** ; **4.7:3**) sont une forme héritée de l'époque précédente et sont assez courantes. Les jattes les plus caractéristiques du BA III, plus particulièrement du BA IIIB, ont une lèvre épaisse à sommet plat ou concave, élargie vers l'intérieur (**Figs 4.7:6**) ou des deux côtés (**Figs 4.7:5** ; **4.9:6**) et un engobe rouge à lustrage décoratif à l'intérieur[15]. Également typiques du BA IIIB sont les jattes peu profondes à lèvre interne (**Fig. 4.8:4**).

Plats.– Les plats ont le profil caréné typique du Bronze ancien. Quelques-uns sont de petites dimensions (**Figs 4.3:6** ; **4.4:12**), la plupart sont de dimensions moyennes (**Figs 4.3:2,7** ; **4.4:4,13–14** ; **4.7:7–8**), mais on trouve aussi d'assez nombreux exemplaires de grandes ou très grandes dimensions, avec un diamètre supérieur à 50 cm (**Figs 4.9:8–9**) ; ces derniers sont caractéristiques du BA IIIB[16].

Plats-assiettes.– Le locus 1191 a livré en outre un fragment de plat-assiette en céramique grossière (**Fig. 4.9:7**), une forme caractéristique du BA IIIB[17].

[13] Miroschedji 1988, p. 76 ; 2000, p. 320.
[14] *Cf.* Miroschedji 1988, p. 77.
[15] Miroschedji 1988, pls 43:6–11, 45:7–8 ; 2000, fig. 18.5:12–14.
[16] Miroschedji 1988, p. 78 et pls 42:13–20, 45:13–16 ; 2000, fig. 18.5:15.
[17] Miroschedji 2000, fig. 18.8:12–13.

Pots.– Deux bords de pots ou petites jarres à col court et large ouverture (**Figs 4.4:6**; **4.7:11**).

Cruches.– Parmi les rares tessons de cruches (**Figs 4.4:5**; **4.7:9–10**; **4.8:5–7**), deux relèvent clairement du BA III (**4.7:9**; **4.8:5**). Celui de la **Fig. 4.8:5**, qui provient d'une cruche à base en bouton, d'un type rare à Yarmouth, a été réutilisé comme lampe.

Jarres.– Des jarres moyennes à col à lèvre moulurée, très fréquentes au BA III, sont représentées par quelques tessons (**Figs 4.7:12**; **4.9:1**).

Pithoi.– Quelques fragments de col proviennent de pithoi à col très évasé et lèvre en bandeau (**Figs 4.9:2**), caractéristiques du BA III, particulièrement de la seconde moitié de cette période[18].

Bassins.– Les bassins à goulot à lèvre interne et surface à peignage décoratif recouverte d'un badigeon de chaux sont attestés par plusieurs fragments (**Figs 4.4:16**; **4.7:14, 16**; **4.8:9**). Ils sont attestés en deux variantes, à paroi convexe (**Figs 4.4:16**; **4.7:16**)[19] ou à paroi rectiligne (**Fig. 4.7:14**)[20], et avec des tailles différentes, grandes (**Fig. 4.7:14**) ou petites (**Figs 4.7:16**). Ces vases sont l'un des fossiles directeurs du BA III. Une forme probablement apparentée, mais plus rare et héritée de l'époque précédente, est représentée par des tessons de grands bassins à bord rentrant et à lèvre moulurée (**Figs 4.3:9**; **4.4:15**; **4.7:15**).

Anses-oreilles horizontales.– Comme ailleurs à Yarmouth au BA III, seules les anses-oreilles horizontales ondulées sont attestées au niveau Acr-VII (**Fig. 4.4:7**).

Jarres sans col.– Les jarres sans col relèvent des types trouvés habituellement dans les contextes du BA III à Yarmouth, avec une lèvre arrondie ou amincie (**Figs 4.3:4**; **4.4:8–9,17–18**; **4.7:13**; **4.8:8**; **4.9:3**). Plusieurs portent une marque de poterie sous le bord (**Fig. 4.4:9,17**).

4.3. Remarques sur la poterie du Bronze ancien provenant du Locus 1173 (niveau Acr-VII)

On ne mentionnera ici que brièvement la poterie du Bronze ancien trouvée dans le sondage profond des carrés BA–BB 116, dans les couches 3 à 5 du locus 1173. Elle y est, au moins en partie, hors contexte puisqu'elle provient principalement de couches d'érosion. Les tessons du Bronze ancien y étaient mélangés à des tessons du Bronze moyen et du Bronze récent (voir ci-dessus, §§ 3.4.1–3). Cette poterie n'est toutefois pas sans intérêt parce que, à l'exception d'une écuelle du BA II (**Fig. 4.10:1**), elle date uniquement du BA III, principalement du BA IIIB. De ce fait, elle peut être rattachée au niveau Acr-VII.

[18] Miroschedji 1988, figs 18.6:10, 18.10:6.
[19] *Cf. ibid.*, pl. 35:7.
[20] *Cf.* Miroschedji 2000, figs 18.7:4, 18.10:4.

Les formes identifiées sont les suivantes :
– Jattes à engobe rouge lustré à lèvre épaisse à sommet plat ou concave, élargie vers l'intérieur (**Fig. 4.11:6**) ou des deux côtés (**Fig. 4.11:7**).
– Jatte en céramique grossière (**Figs 4.10:1 ; 4.11:5**).
– Plats carénés de dimensions moyennes (**Fig. 4.10:2**), ou de très grand diamètre (**Figs 4.10:3 ; 4.11:8–9**).
– Jarres moyennes à col à lèvre moulurée (**Fig. 4.10:4**).
– Pithoi à col évasé et lèvre moulurée (**Fig. 4.10:5**), un type bien attesté au BA II et au BA IIIA, ou bien à col très évasé et lèvre en bandeau (**Fig. 4.11:1–2**).
– Bassins à goulot dont la paroi convexe a fait l'objet d'un peignage décoratif avant d'être recouverte d'un badigeon de chaux (**Fig. 4.11:4**).
– Jarres sans col à bord arrondi (**Fig. 4.11:3**).

4.4. Conclusion

Bien que relativement restreint, l'échantillon de poterie du Bronze ancien recueilli dans les sondages 1 et 2 de l'acropole autorise quelques conclusions générales qui intéressent l'histoire de l'occupation du site de Tel Yarmouth. En effet, cet échantillon illustre la même séquence d'occupation :

- Quelques tessons recueillis dans des couches de remblai récentes (Fer II et postérieur) attestent d'une occupation de l'acropole dès *le BA IB*, dans le dernier tiers du IVe millénaire. Autrement dit, c'est l'ensemble du site qui, sur une superficie de près de 18 ha, a été occupé dès le BA IB (« Phase de Erani C/Hartouv »)[21]. Yarmouth compte ainsi parmi les plus grands sites connus au Levant méridional pour cette époque. Mais il est clair que l'occupation de cette époque devait être clairsemée, avec des habitations assez espacées les unes des autres, à l'image de ce qui a été observé dans les fouilles de Hartouv[22] – et c'est sans doute pourquoi les vestiges de construction en sont si élusifs sur l'acropole et la ville basse. La densification de l'habitat ne se serait produite qu'avec le commencement du BA II.
- *L'occupation du BA II* est représentée au Sondage 2 par le niveau Acr-IX, dépourvu de vestiges de construction. L'échantillon de poterie de ce niveau étant très faible, il est difficile de déceler de manière objective des différences susceptibles d'illustrer une évolution dans la poterie des différentes couches qui le composent. L'assemblage des couches inférieures (2315) (**Fig. 4.5**), recueilli directement sur le rocher, est d'apparence très archaïque et pourrait être daté de la fin du BA I s'il ne comprenait pas un bol caréné (**Fig. 4.5:2**), qui invite à le dater plutôt du début du BA II. Quant à celui des couches sus-jacentes (1198-5 et 4) (**Fig. 4.6**), il correspond au BA II « classique », tel qu'il a été identifié dans plusieurs chantiers de la ville basse[23]. Les formes caractéristiques sont des

[21] Sur la poterie de cette période, voir Yekutieli 2006.
[22] Mazar and Miroschedji 1996.
[23] Miroschedji 1988, pp. 70–76.

cols de pithos peu évasé dont la lèvre est soulignée par un bourrelet (**Fig. 4.6:4–5**), des jarres sans col en céramique grossière à bord épaissi (**Fig. 4.6:8–12**), un col de jarre à anse-pilier (**Fig. 4.6:6**) et un tesson en céramique dite « d'Abydos » à décor incisé (**Fig. 4.6:3**).

- Comme dans la ville basse, *la transition du BA II au BA III* est très marquée et correspond à celle du niveau Acr-IX (couches 1198-5 et 4) au niveau Acr-VIII (couches 1198-3 à 1). Cette transition correspond ici à l'apparition des premières constructions, mais cette observation est évidemment anecdotique puisque le sondage est si étroit qu'il ne permet pas de conclure à l'absence de vestiges de construction au niveau Acr-IX. D'une façon générale, la poterie du niveau Acr-VIII (**Figs 4.7–4.8**) est la même que celle mise au jour dans les niveaux de la ville basse attribués au BA IIIA, mais avec une moindre variété typologique puisque l'assemblage est comparativement très réduit. On y note la fréquence des grandes jattes à lèvre interne, celle des grands plats carénés, et surtout celle des bassins à goulot[24].
- *L'évolution du BA III* est perceptible à la fois dans la stratigraphie et dans la poterie : les couches du locus 1191, qui scellent les structures du niveau Acr-VIII et qui représentent le niveau Acr-VII, livrent une poterie d'apparence plus récente (**Fig. 4.9**) correspondant au BA IIIB dans la ville basse. On y remarque, en particulier, la présence de plats carénés et de jattes de très grand diamètre à engobe rouge à lustrage décoratif, qui sont les fossiles directeurs de cette phase récente du BA III[25]. La même remarque vaut pour la poterie du Bronze ancien recueillie en BA–BB 116 dans les couches profondes du sondage 1173 (**Figs 4.10–4.11**), car elle rassemble principalement ces formes « récentes ».

Références

Amiran, R.
1974 "The Painted Pottery Style of the Early Bronze II Period in Palestine," *Levant* 6 : 65–68.

Amiran, R., Paran, U., Shiloh, Y., Brown, R., Tsafrir, Y. and Ben-Tor, A.
1978 *Early Arad, The Chalcolithic Settlement and the Early Bronze Age City. I. First–Fifth Seasons of Excavations, 1962–1966*. Jerusalem : Israel Exploration Society.

Beck, P.
1985 "An Early Bronze Age 'Family' of Bowls from Tel Aphek," *Tel Aviv* 12 : 17–28.

Greenberg, R. and Iserlis, M.
2014 "The Early Bronze Age Pottery Industries," in *Bet Yerah, the Early Bronze Age Mound. Volume II. Urban Structure and Material Culture, 1933–1986 Excavations* (IAA Reports, No. 54), edited by R. Greenberg, pp. 53–149. Jerusalem : Israel Antiquities Authority.

Greenberg, R. and Porat, N.
1996 "A Third Millennium Levantine Pottery Production Center : Typology, Petrography and Provenience of the Metallic Ware of Northern Israel and Adjacent Region," *Bulletin of the American Schools of Oriental Research* 301 : 5–24.

[24] Miroschedji 1988, pp. 76–80 ; 2000, pp. 321–326.
[25] Miroschedji 1988, pp. 80–84 ; 2000, pp. 326–334.

MAZAR, A. and MIROSCHEDJI, P. de
1996 "Hartuv, An Aspect of the Early Bronze I Culture of Southern Israel," *Bulletin of the American Schools of Oriental Research* 302 : 1–40.

MIROSCHEDJI, P. de
1988 "Le matériel archéologique," in *Yarmouth 1, Rapport sur les trois premières campagnes de fouilles à Tel Yarmouth (Israël), 1980–1982*, édité par P. de Miroschedji, pp. 69–89. Paris : Éditions Recherche sur les Civilisations.
2000 "An EB III Pottery Sequence for Southern Israel," in *Ceramics and Change in the Early Bronze Age of the Southern Levant*, edited by G. Philip and D. Baird, pp. 315–345. Sheffield : Sheffield Academic Press.

YEKUTIELI, Y.
2006 "The Ceramics of Tel 'Erani, Layer C," *Journal of the Serbian Archaeological Society* 22 : 225–242.

Figure 4.3

N°	N° objet	Locus	Phase	Description	Comparaisons
1	A.9550-2	1110	4	Bord de jatte. Céram. comm. brune à gros dégr. min. et chamotte. Cœur gris foncé. Eng. rouge à lustrage continu à l'int. et sur le bord à l'ext.	• Yarmouth C-4 (BA IIIA) : Miroschedji 1988, pls 32:17, 37:8,13.
2	A.9522-4	1110	4	Bord de plat caréné. Céram. comm. assez fine rose à dégr. min. Eng. rouge lustré à l'int. et sur le bord à l'ext. Décor lustré à l'int.	• Yarmouth C-5 (BA IIIA) : Miroschedji 1988, pl. 30:11.
3	A.9522-5	1110	4	Bord de bassin. Céram. gross. à dégr. min. blanc et chamotte. Cœur gris clair. Surf. brun-rouge pâle à l'int. et à l'ext. Badigeon chaulé à l'ext.	• Yarmouth C-4 (BA IIIA) : Miroschedji 1988, pl. 35:6.
4	A.9522-3	1110	4	Bord de jarre sans col. Céram. gross. assez bien cuite. Cœur gris foncé. Surf. brun-rouge avec taches brun-gris à l'ext. près du bord.	
5	A.9554-18	1111	4	Bord de petite écuelle. Céram. comm. assez fine. Section grise. Surf. int. et ext. brun clair. Eng. brun-rouge à l'int. et sur le bord à l'ext. Lustrage décoratif à l'int. (traits parallèles serrés).	
6	A.9554-8	1111	4	Bord de plat caréné. Céram. comm. assez fine à dégr. min. fin et chamotte. Section grise. Surf. brun-rouge clair. Eng. rouge-orange à l'int. et jusque sur la carène à l'ext. Lustrage décoratif (croisillons) à l'int. Finition au tour de la paroi sous la carène.	
7	A.9551-2	1111	4	Bord de plat caréné. Céram. comm. brun pâle rosé à dégr. min. Eng. rouge lustré à l'int. et sur le bord. Décor lustré (lignes obliques) à l'int.	• Yarmouth C-4 (BA IIIA) : Miroschedji 1988, pl. 33:4,8.
8	A.9524-1	1111	4	Bord de jatte. Céram. brun pâle-rose assez gross. à dégr. min. Auto-eng. à l'ext. et à l'int., Lustrage décoratif à l'int. et continu sur la lèvre. Deux lignes d'impressions très légères sous la lèvre à l'int.	• Yarmouth C-4 (BA IIIA) : Miroschedji 1988, pls 32:17, 37:8,13.
9	A.9551-7	1111	4	Bord de bassin. Céram. gross. à dégr. min. et chamotte. Cœur gris. Surf. brun-rouge clair avec badigeon chaulé à l'ext.	• Yarmouth C-4 (BA IIIA) : Miroschedji 1988, pl. 35:1.
10	A.9584-2	1123	1	Bord de jarre sans col. Céram. très gross. à dégr. min. blanc. Section brun clair. Surf. brun-rouge à l'int. et gris foncé à l'ext. **Photo : Fig. 4.1:1.**	• Yarmouth Bs-4 (BA II) : Miroschedji 1988, pl. 22:12.
11	A.9607-1	1131	1	Bord de jarre sans col. Céram. très gross., brun-gris en section, brune en surface avec taches gris foncé sous le bord à l'ext.	

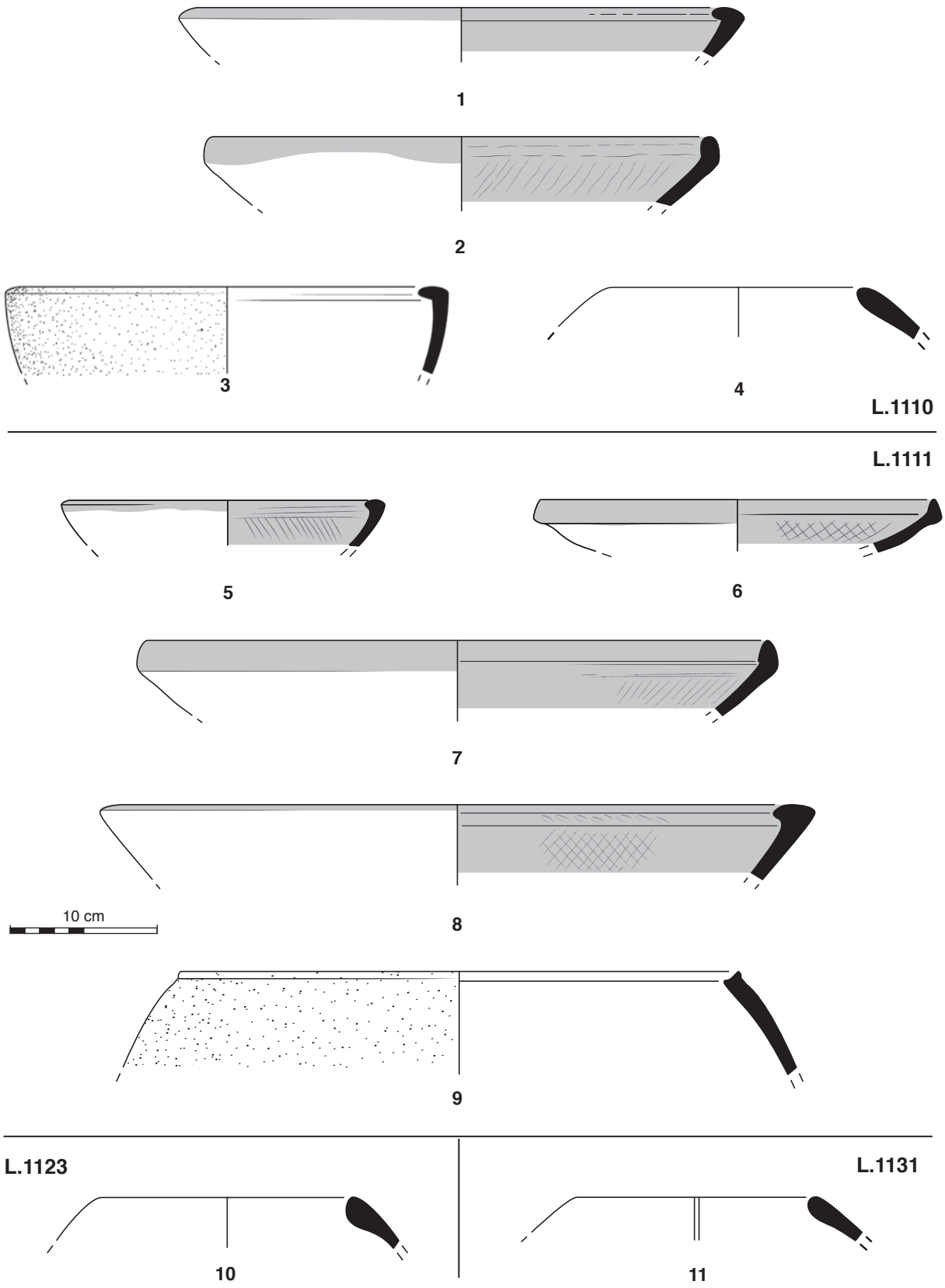


Fig. 4.3. Sondage 1, poterie des Phases 1 (BA II) et 4 (BA III) : L.1110-1111, 1123, 1131.

Figure 4.4

N°	N° objet	Locus	Phase	Description	Comparaisons
1	A.9511-7	1106	5	Bord de bol. Céram. assez fine brun pâle rosé à dégr. min. fin. Eng. rouge lustré à l'int. et à l'ext. sur le bord.	• Yarmouth C-5 (BA IIIA) : Miroschedji 1988, pls 30:2, 32:3.
2	A.9511-8	1106	5	Bord de bol. Céram. brun pâle assez fine à dégr. min. et chamotte. Surf. ext. brun-rose. Eng. rouge lustré à l'int. et sur le bord à l'ext. Décor lustré (lignes obliques) à l'int.	• Yarmouth C-4 (BA IIIA) : Miroschedji 1988, pl. 32:6.
3	A.9511-5	1106	5	Bord de petite écuelle. Céram. brun pâle assez fine à dégr. min. Surf. ext. brun très pâle avec des taches rouges. Eng. rouge lustré à l'int. et sur la lèvre.	• Yarmouth C-3 (BA IIIA) : Miroschedji 1988, pl. 37:2-3.
4	A.9511-13	1106	5	Bord de plat caréné. Céram. comm. rose à gros dégr. min. Eng. rouge à décor lustré à l'int. et sur le bord à l'ext. Bonne cuisson. Traces de réparation (perforation).	• Yarmouth C-4 (BA IIIA) : Miroschedji 1988, pl. 33:1.
5	A.9511-18	1106	5	Base d'une cruche ou petite jarre. Céram. comm. assez fine rouge pâle à dégr. min. et chamotte. Eng. rouge à l'ext. et sous la base, lustré vertic. à l'ext. Côtes de tournage à l'int.	• *Cf.* Yarmouth C-4 (BA IIIA) : Miroschedji 1988, pl. 34:5.
6	A.9511-6	1106	5	Bord de pot. Céram. comm. brun très pâle à dégr. min. abondant et chamotte. Auto-eng. à l'ext. Forte cuisson (Céram. «métallique»).	• Yarmouth C-5 (BA IIIA) : Miroschedji 1988, pl. 31:6.
7	A.9511-1	1106	5	Anse-oreille horizontale ondulée d'une jarre. Céram. comm. brun-rouge à dégr. min. abondant et chamotte. Surf. ext. à eng. brun clair à badigeon de chaux.	
8	A.9511-19	1106	5	Bord de jarre sans col. Céram. gross. brun très pâle à gros dégr. min. Surf. ext. brun très pâle avec des taches de suie.	• Yarmouth C-3 (BA IIIA) : Miroschedji 1988, pl. 39:9.
9	A.9512-1	1106, 1109	4	Bord de jarre sans col. Céram. très gross. brun foncé. Peignage superficiel à l'ext. Marque de potier sous le bord.	
10	A.9521-5	1109	4	Bord de bol. Céram. assez fine brun pâle-rose à dégr. min. Eng. rouge pâle lustré à l'int. et sur le bord à l'ext.	
11	A.9513-24	1109	4	Bord de bol. Céram. assez fine brun pâle à dégr. min. fin. Badigeon chaulé à l'ext.	• Yarmouth C-2 (BA IIIB) : Miroschedji 1988, pl. 45:3.
12	A.9513-18	1109	4	Bord de plat caréné. Céram. assez fine, brun clair à dégr. min. fin. Eng. brun-rouge lustré à l'int. et sur la lèvre.	

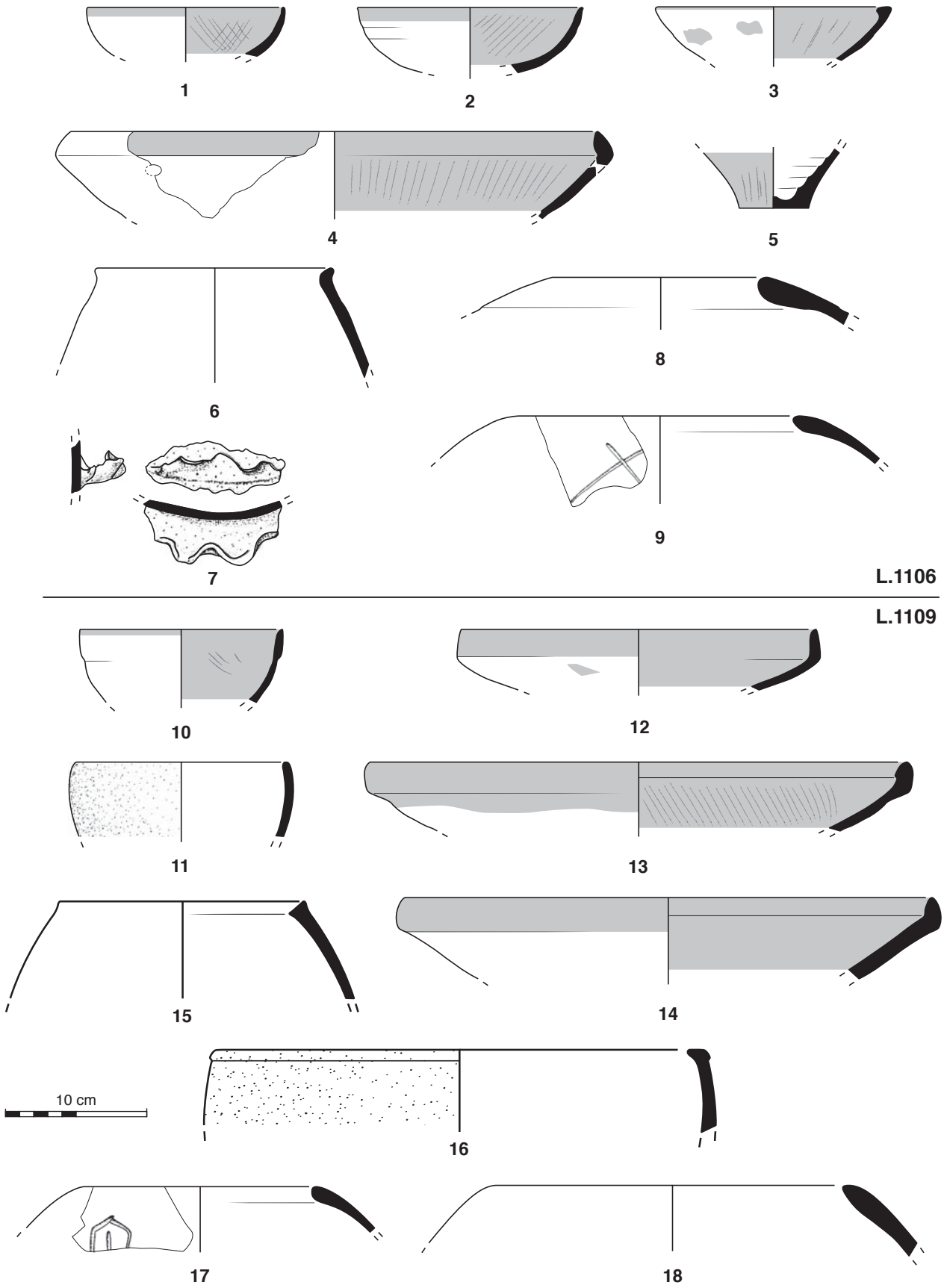


Fig. 4.4. Sondage 1, poterie des Phases 4 et 5 (BA IIIA) : L.1106 et L.1109.

N°	N° objet	Locus	Phase	Description	Comparaisons
13	A.9521-3	1109	4	Bord de plat caréné. Céram. comm. assez fine brun pâle à dégr. min. fin et chamotte. Cœur gris clair. Eng. rouge lustré à l'int. et à l'ext. jusqu'à la carène. Décor lustré (lignes obliques) à l'int.	
14	A.9513-17	1109	4	Bord de plat caréné. Céram. comm. brun-rouge à dégr. min. Eng. rouge à l'int. et sur le bord à l'ext.	• Yarmouth Bs-2B (BA IIIB) : Miroschedji 1988, pls 28:8, 33:10.
15	A.9513-6	1109	4	Bord de bassin. Céram. gross. à dégr. min. blanc et gris. Surf. int. et ext. brun clair avec taches gris foncé.	• *Cf.* Yarmouth Bs-3 (BA IIIA) : Miroschedji 1988, pl. 27:12.
16	A.9516-2	1109	4	Bord de bassin. Céram. comm. à dégr. min. et chamotte. Cœur gris clair. Surf. brun-rouge pâle à l'int. et à l'ext. Badigeon chaulé à l'ext.	• Yarmouth C-4 (BA IIIA) : Miroschedji 1988, pls 35:4, 40:8.
17	A.9513-1	1109	4	Bord de jarre sans col. Céram. très gross. avec taches brun-gris foncé. Marque de potier sous le bord.	
18	A.9513-13	1109	4	Bord de jarre sans col. Céram. très gross. brun pâle-rose à dégr. min. et chamotte.	

Figure 4.5

N°	N° objet	Locus	Description	Comparaisons
1	A.10753-2	2315-1	Bord de bol hémisphérique. Céram. comm. à dégr. min. Cœur gris. Surf. int. brun clair. Surf. ext. brun. Cuisson moyenne.	• Yarmouth Bs-4 (BA II) : Miroschedji 1988, pl. 21:2.
2	A.10784-7	2315-sol a+2	Bord de bol caréné. Céram. fine à dégr. min. fin blanc. Cœur gris. Surf. int. avec eng. brun-rouge sombre. Surf. ext. avec eng. marron-rouge, raclée sous la carène. Cuisson forte (son métallique).	• Yarmouth A-1 à A-3 (BA II) : Miroschedji 1988, pls 21:6, 23:7–15.
3	A.10784-4	2315-sol a+2	Bord de col de jarre. Céram. comm. assez fine à dégr. min. fin. Surf. brun-rouge clair à brun foncé par taches à l'int. et brun-beige à brun-gris pas taches à l'ext.	• Yarmouth Bs-4 (BA II) : Miroschedji 1988, pl. 21:12.
4	A.10758-1	2315-1	Bord de pot à lèvre sinueuse. Céram. comm. à dégr. min. commun. Cœur gris. Surf. int. et ext. beige. Fait à la main.	
5	A.10784-4	2315-sol a+2	Tesson de jarre à décor peint de bandes verticales gris sombre sur fond chaulé blanc-gris.	• Yarmouth A-1 (BA II) : Miroschedji 1988, pl. 24:20.
6	A.10758-4	2315-1	Bord de bassin ou de jarre sans col à large ouverture. Céram. gross. à dégr. min. et chamotte. Surf. brune à l'int. et brun-rouge clair à l'ext. Amorce d'un goulot (?).	• Yarmouth D-2 (BA II) : Miroschedji 1988, pl. 26:3.

N°	N° objet	Locus	Description	Comparaisons
7	A.10765-1	2315-1	Bord de jarre sans col avec lèvre à fort épaississement int. Céram. gross. à dégr. min. grossier. Pas de cœur. Surf. int. beige-jaune. Surf. ext. beige-gris sombre. Très cuit.	
8	A.10758-2	2315-1	Bord de jarre sans col. Céram. gross. à dégr. min. et chamotte. Surf. brune à l'int. et brune à brun-gris foncé par taches à l'ext.	• Yarmouth A-3 (BA II) : Miroschedji 1988, pl. 24:19.
9	A.10758-3	2315-1	Bord de jarre sans col. Céram. très gross. et dense à gros dégr. min. Surf. brun à gris foncé à l'int. et brun-rouge pâle à brun-gris foncé par taches à l'ext.	• Yarmouth Bs-4 (BA II) : Miroschedji 1988, pl. 22:8–10.

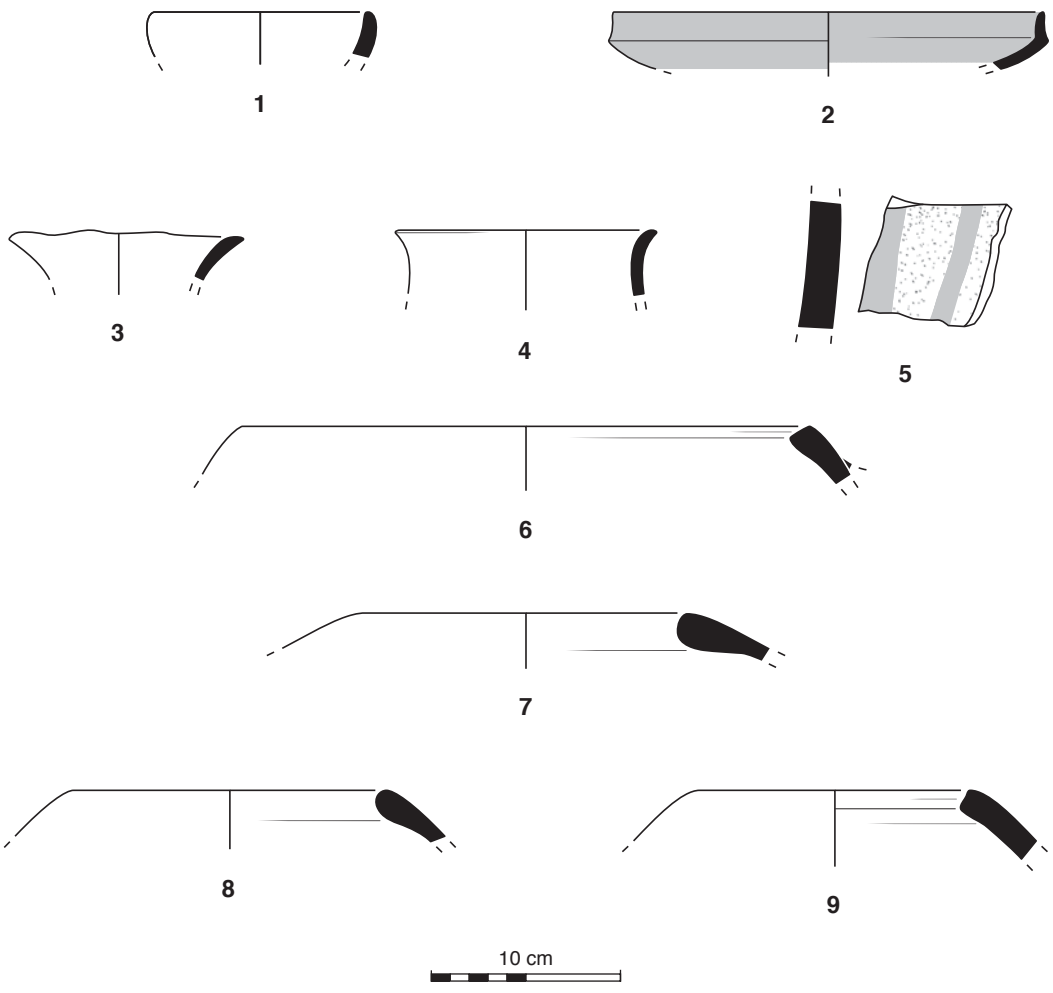


Fig. 4.5. Sondage 2, poterie du niveau Acr-IX (BA II) : L.1198-6 et L.2315.

Figure 4.6

N°	N° objet	Locus	Description	Comparaisons
1	A.10726-5	1198-4	Bord d'écuelle. Céram. gross. à dégr. min. + grosses particules de chamotte. Section gris sombre. Surf. brun-rose à l'ext. et brune à l'int. Eng. rouge lustré à l'int. et sur le bord à l'ext. Perforation de réparation, puis réutilisation comme racloir. **Voir § 15.1.2.6 et Photo : Fig. 15.4.**	
2	A.10735-2	1198-5	Bord de plat caréné. Céram. comm. à dégr. min. Cœur gris. Surf. brun-rouge. Eng. rouge lustré à l'int. et à l'ext. jusqu'à la carène.	• Yarmouth A-1 (BA II) : Miroschedji 1988, pl. 23:21.
3	A.10747-1	1198-5	Tesson d'une petite jarre ou cruche. Céram. comm. assez fine à dégr. min. blanc et gris. Surf. brun pâle à l'int. et à l'ext. Restes d'eng. rouge à l'ext. Décor incisé (triangle rempli d'un semis de points). **Photo : Fig. 4.2:2.**	
4	A.10741-2	1198-5	Bord de pithos à col évasé et lèvre à bourrelet. Céram. comm. à dégr. min. Surf. int. beige. Surf. ext. beige avec badigeon chaulé.	• Yarmouth Bs-4 (BA II) : Miroschedji 1988, pl. 21:18.
5	A.10735-3	1198-5	Bord de pithos à col évasé et lèvre moulurée. Céram. comm. à dégr. min. commun. Surf. int. beige. Surf. ext. beige avec badigeon chaulé.	• Yarmouth Bs-4 (BA II) : Miroschedji 1988, pl. 21:16.
6	A.10641-1	1198-1	Col de jarre à anse-pilier. Céram. comm. à dégr. min. Cœur gris foncé. Surf. brun-rouge pâle. Eng. rouge lustré à l'int. et à l'ext. Trois incisions parallèles irrégulières sur le bord au-dessus de l'anse-pilier. **Photo : Fig. 4.2:1.**	• Arad III (BA II) : Amiran *et al.* 1978, pls 38 et 104.
7	A.10723-4	1198-4	Bord de petit jarre sans col. Céram. comm. à dégr. min. et chamotte. Cœur gris. Surf. brun-rouge clair. Traces de badigeon chaulé à l'ext.	• Yarmouth Bs-4 (BA II) : Miroschedji 1988, pl. 22:3–4.
8	A.10692-6	1198-4	Bord de jarre sans col. Céram. très gross. à gros dégr. min. Cœur gris. Surf. brune. Ligne de petites incisions sous le bord. **Photo : Fig. 4.2:3.**	• Yarmouth A-3/A-4 (BA II) : Miroschedji 1988, pl. 24:15–16.
9	A.10726-1	1198-4	Bord de jarre sans col. Céram. comm. à gros dégr. min. et chamotte. Surf. brun-rouge pâle. Marque de potier incomplète sous le bord.	
10	A.10733-1	1198-4	Bord de jarre sans col. Céram. gross. à dégr. min. Surf. int. brune. Surf. ext. brun-beige.	
11	A.10726-2	1198-4	Bord de jarre sans col. Céram. très gross. à gros dégr. min. Cœur gris. Surf. brun-rouge clair. Marque de potier incomplète sous le bord.	• Yarmouth Bs-4 (BA II) : Miroschedji 1988, pl. 22:3–4.
12	A.10741-1	1198-5	Bord de jarre sans col à lèvre biseautée. Céram. gross. à dégr. min. Surf. int. brune. Surf. ext. brun-noir. Marque de potier fragmentaire sous le bord.	

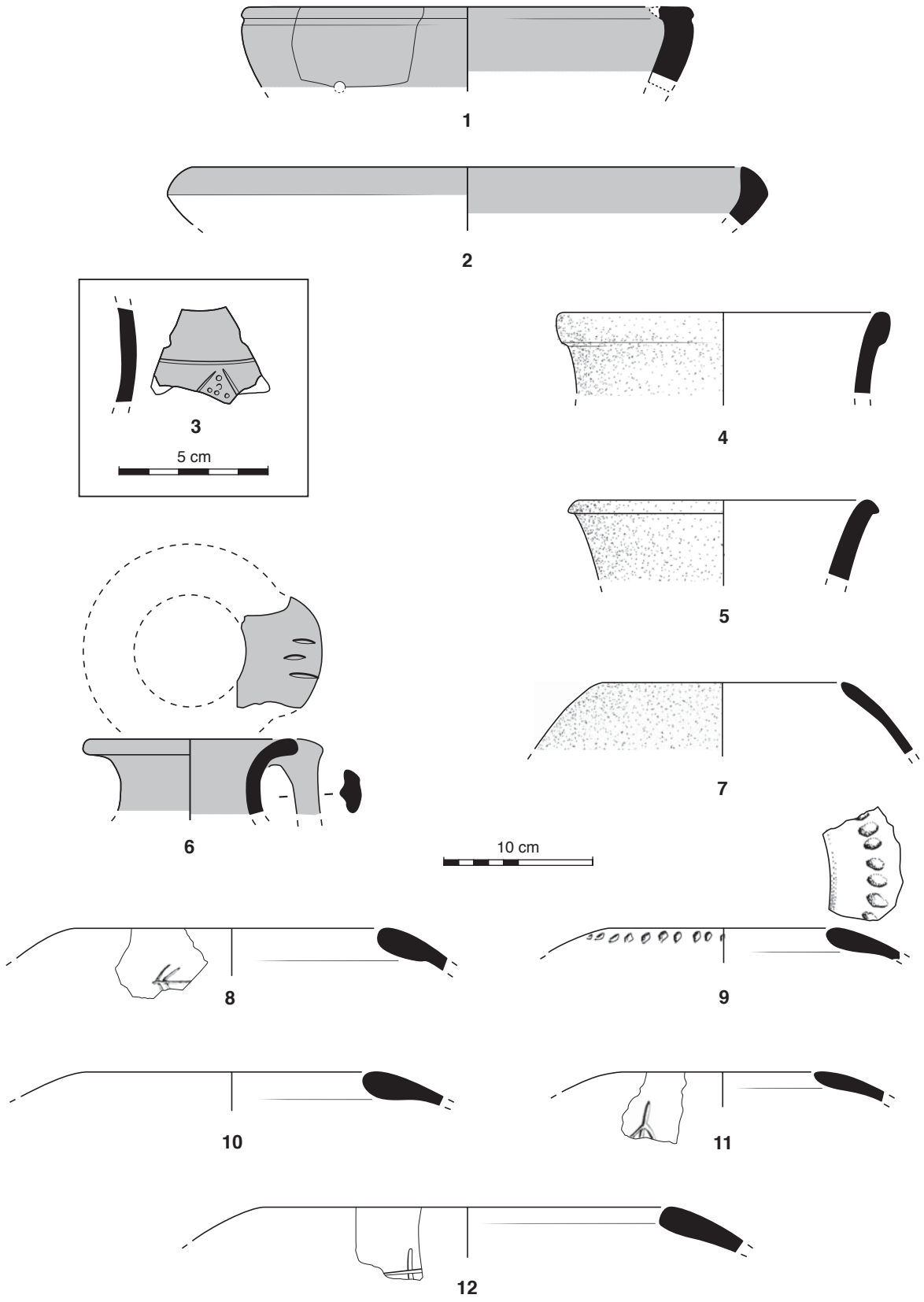


Fig. 4.6. Sondage 2, poterie du niveau Acr-IX (BA II) : L.1198-5 et 4.

Figure 4.7

N°	N° objet	Locus	Description	Comparaisons
1	A.10641-33	1198-1	Bord de bol hémisphérique. Céram. comm. à dégr. min. assez grossier. Cœur gris. Surf. int. et ext. brun-beige craquelée (forte cuisson).	
2	A.10641-19	1198-1	Bord de petite écuelle. Céram. comm. assez fine à dégr. min. fin et chamotte. Surf. brun clair. Eng. rouge-brun lustré à l'int. et sur la lèvre à l'ext.	• Yarmouth C-3 (BA IIIA) : Miroschedji 1988, pl. 37:10.
3	A.10634-1	1198-1	Bord de grande jatte. Céram. comm. assez gross. à dégr. min. et chamotte. Cœur gris. Surf. brun-beige. Eng. rouge lustré à l'int. et sur le bord à l'ext.	• Yarmouth Bs-2B (BA IIIB) : Miroschedji 1988, pls 28:6, 37:12–13.
4	A.10641-6	1198-1	Bord de jatte. Céram. comm. à gros dégr. min. et chamotte. Cœur gris clair. Surf. brun-beige. Eng. rouge lustré à l'int. et sous le bord à l'ext.	• *Cf.* Yarmouth C-4 (BA IIIA) : Miroschedji 1988, pl. 32:18.
5	A.10641-8	1198-1	Bord de jatte. Céram. comm. assez gross. à dégr. min. et chamotte. Cœur gris. Surf. brun clair à eng. rouge lustré à l'int. et sur le bord à l'ext. Forte cuisson.	• Yarmouth C-4 (BA IIIA) : Miroschedji 1988, pls 32:19, 43:6.
6	A.10634-9	1198-1	Bord de jatte. Céram. comm. à dégr. min. Cœur gris clair. Surf. brun très pâle à eng. rouge lustré à l'int. et sur le bord à l'ext.	• Yarmouth C-4 (BA IIIA) : Miroschedji 1988, pl. 32:14.
7	A.10641-4	1198-1	Bord de grand plat caréné. Céram. comm. à dégr. min. Cœur gris. Surf. brun-beige. Eng. rouge à l'int. et jusque sous la carène à l'ext. Lustrage décoratif à l'int. et continu sur le rebord int. et ext.	• Yarmouth Bs-3 (BA IIIA) : Miroschedji 1988, pls 27:6, 28:8.
8	A.10637-22	1198-a	Bord de grand plat caréné. Céram. comm. assez gross. à dégr. min. et chamotte. Cœur gris. Surf. brun-rouge clair. Eng. rouge lustré à l'int. et jusqu'à la carène à l'ext.	• Yarmouth C-3 (BA IIIA) : Miroschedji 1988, pl. 38:1.
9	A.10642-22	1198-2	Cruche fragmentaire. Céram. assez fine à dégr. min. Surf. int. beige. Surf. ext. avec eng. rouge lustré. Traces de pressions digitales à l'int.	• Yarmouth C-3 (BA IIIA) : Miroschedji 1988, pl. 38:16–17.
10	A.10637-9	1198-sol a	Base de cruche. Céram. comm. à dégr. min. fin. Surf. int. et ext. brun-beige. Eng. rouge-brun lustré à l'ext. Côtes de tournage sur le fond à l'int.	• *Cf.* Yarmouth C-2 (BA IIIB) : Miroschedji 1988, pl. 45:12.
11	A.10641-28	1198-1	Bord de pot. Céram. comm. à dégr. min. Section brune. Surf. brun-gris à brun-gris foncé. Badigeon chaulé à l'ext. (avec une coulée à l'int.)	• Yarmouth C-5 (BA IIIA) : Miroschedji 1988, pls 31:6, 36:9.
12	A.10695-2	1198-3	Bord de jarre. Céram. comm. à dégr. min. Cœur gris. Badigeon chaulé à l'ext. et sur le bord int.	• Ci-dessous, **Fig. 4.9:1**. • Yarmouth C-3 (BA IIIA) : Miroschedji 1988, pls 39:15, 41:7, 44:8.

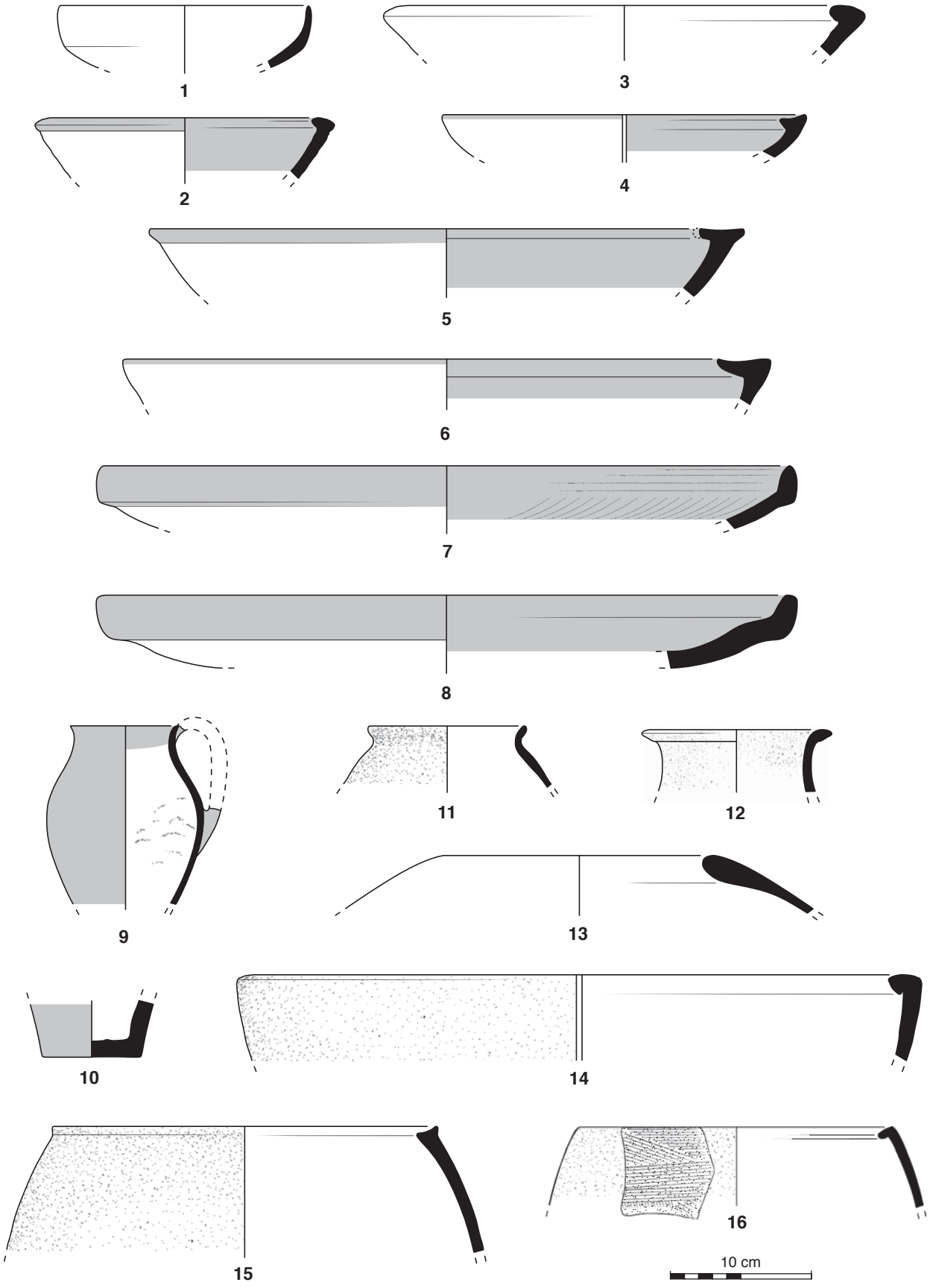


Fig. 4.7. Sondage 2, poterie du niveau Acr-VIII (BA III) : L.1198-3, 2 et 1 (1–14,16) et L.2304 (15).

N°	N° objet	Locus	Description	Comparaisons
13	A.10641-3	1198-1	Bord de jarre sans col. Céram. comm. à dégr. min. Surf. int. brun-rose-gris. Surf. ext. brun-gris sombre.	
14	A.10642-4	1198-2	Bord de bassin. Céram. gross. à gros dégr. min. et chamotte. Cœur gris. Surf. brun-beige à l'int. et rouge-brun clair à l'ext. Badigeon chaulé à l'ext. et sur le bord.	
15	A.10720-2	2304	Bord de petit bassin. Céram. comm. à dégr. min. et chamotte. Cœur gris foncé. Surf. brun-rouge clair avec badigeon chaulé à l'ext. Colombins apparents.	• Yarmouth C-4 (BA IIIA) : Miroschedji 1988, pl. 35:1.
16	A.10641-11	1198-1	Bord de petit bassin. Céram. comm. à dégr. min. et chamotte. Cœur gris clair. Surf. brun-rouge clair peignée avec badigeon chaulé à l'ext.	• *Cf.* Yarmouth Bs-3 et C-5 (BA IIIA) : Miroschedji 1988, pls 27:9 et 31:5.

Figure 4.8

N°	N° objet	Locus	Description	Comparaisons
1	A.10657-4	1197-1+ sol a	Bord de bol hémisphérique. Céram. comm. assez fine à dégr. min. Section brun pâle. Surf. int. et ext. brun-rouge pâle. Eng. rouge lustré à l'int. et sur le bord à l'ext.	• Yarmouth C5, C-4 et A-6/7 (BA IIIA et IIIB) : Miroschedji 1988, pls 30:2, 32:3, 42:1.
2	A.10657-7	1197-1+ sol a ?	Bol fragmentaire. Céram. comm. assez fine à dégr. min. Cœur gris. Surf. brun-rouge clair. Eng. rouge lustré à l'int. et sous le bord à l'ext. A servi de lampe (traces de suie sur le bord ébréché).	• Yarmouth Bs-2B (BA IIIB) : Miroschedji 1988, pl. 28:1.
3	A.10633-4	1197-1	Bord de petite écuelle. Céram. comm. à dégr. min. assez grossier. Section et surface brun-rouge pâle. Pas de trace d'eng.	• *Cf.* Yarmouth C-3 (BA IIIA) : Miroschedji 1988, pl. 37:9.
4	A.10648-1	1197-1	Bord de petite jatte. Céram. comm. à dégr. min. et chamotte. Cœur gris. Surf. rouge-brun clair. Eng. rouge à l'int. et sur la lèvre. Lustrage décoratif (quadrillage oblique) à l'int. et continu sur la lèvre.	• *Cf.* Yarmouth C-3 (BA IIIA) : Miroschedji 1988, pl. 37:12.
5	A.10633-1	1197-1	Fond de cruchette. Céram. comm. à dégr. min. Cœur gris foncé. Surf. int. et ext. brun-beige. Pas de trace d'eng. visible. A été réutilisé comme lampe (traces de suie sur le bord cassé).	
6	A.10638-2	1197-1	Fragment de col et anse de cruche. Céram. assez fine à dégr. min. fin. Section beige. Surf. int. et ext. beige. Traces d'eng. brun-rouge.	

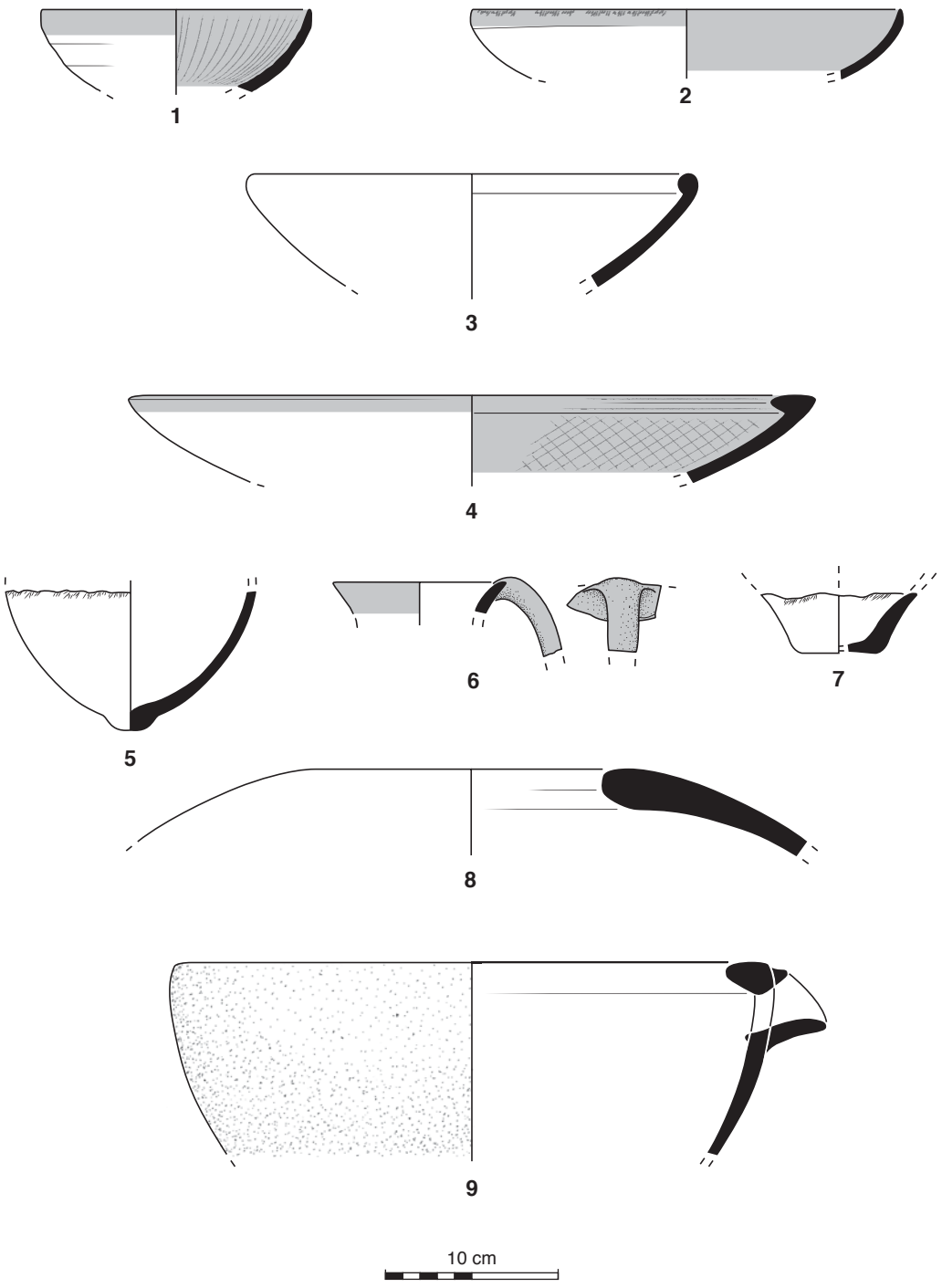


Fig. 4.8. Sondage 2, poterie du niveau Acr-VIII (BA III) : L.1197.

N°	N° objet	Locus	Description	Comparaisons
7	A.10648-2	1197-1	Céram. gross. rouge-brun à dégr. min. abondant. Section brune. Surf. rouge-brun. A servi de lampe (traces de suie sur le bord ébréché).	
8	A.10638-9	1197-1	Bord de jarre sans col. Céram. gross. à gros dégr. min. et chamotte. Cœur gris. Surf. brun-rouge clair avec taches gris foncé à l'ext.	
9	A.10638-1	1197-1	Bord de bassin à goulot. Céram. comm. assez gross. à dégr. min. et chamotte. Cœur gris. Surf. brun clair. Badigeon chaulé à l'ext.	• *Cf.* Yarmouth C-4 (BA IIIA) : Miroschedji 1988, pl. 35:3,7.

Figure 4.9

N°	N° objet	Locus	Description	Comparaisons
1	A.10623-1	1191-sol a	Col de jarre. Céram. comm. à dégr. min. et chamotte. Section gris clair. Surf. int. et ext. brun-rouge pâle. Auto-eng. à l'ext.	• Ci-dessus, **Fig. 4.7:12**. • Yarmouth Bs-2B et C-3 (BA IIIB et IIIA) : Miroschedji 1988, pl. 44:8 et pls 39:15, 41:7.
2	A.10623-18	1191-sol a	Bord de col de pithos. Céram. comm. à dégr. min. et chamotte. Section grise. Surf. int. et ext. beige. Traces de badigeon chaulé à l'ext.	• Yarmouth Bs-2B et C-3 (BA IIIB et IIIA) : Miroschedji 1988, pl. 29:5 et pls 39:17, 44:10.
3	A.10618-6	1191-1	Bord de jarre sans col. Céram. gross. à gros dégr. min. et chamotte. Surf. int. et ext. brun-rouge pâle lissées.	
4	A.10618-48	1191-1	Bord de bol profond. Céram. comm. à dégr. min. et chamotte. Section gris moyen. Surf. int. et ext. brun-clair avec traces de peignage fait à la tournette à l'ext. Traces de badigeon chaulé à l'ext.	• Yarmouth C-2 (BA IIIB) : Miroschedji 1988, pl. 45:2–3.
5	A.10631-24	1191-2	Bord de bol profond. Céram. comm. à dégr. min. Section gris foncé. Surf. int. et ext. gris-brun sombre. Très cuit.	• Yarmouth C-2 (BA IIIB) : Miroschedji 1988, pl. 45:2–3.
6	A.10618-4	1191-1	Bord de jatte. Céram. comm. à dégr. min. et chamotte. Cœur gris foncé. Surf. rouge-brun. Eng. rouge à l'int. et sur la lèvre. Lustrage décoratif à l'int. et continu sur la lèvre.	• Yarmouth A-6/7 (BA IIIB/C) : Miroschedji 1988, pl. 43:10.
7	A.10625-20	1191-2	Bord de plat-assiette. Céram. gross. à gros dégr. min. et chamotte. Cœur gris. Surf. brun clair.	• TY-G, niv. G-2 (BA IIIC), L.745, 8542-2 (inédit). • TY-H, niv. H-3 (BA IIIC), L.869, 6723-1 et 2 (inédits).
8	A.10623-2	1191-sol a	Bord de plat caréné. Céram. comm. à dégr. min. et chamotte. Cœur gris. Surf. brun-rouge pâle. Eng. rouge à l'int. et jusqu'à la carène à l'ext. Lustrage décoratif à l'int. et continu sur le rebord.	• Yarmouth A-6/7 (BA IIIB/C) : Miroschedji 1988, pl. 42:14.
9	A.10618-1	1191-1	Bord de grand plat caréné. Céram. comm. à dégr. min. et chamotte. Section grise. Surf. brun-beige. Eng. brun à l'int. et à l'ext. jusqu'à la carène. Lustrage décoratif à l'int. et horizontal à l'int. et à l'ext. du rebord.	• Yarmouth A-6/7 (BA IIIB/C) : Miroschedji 1988, pl. 42:13.

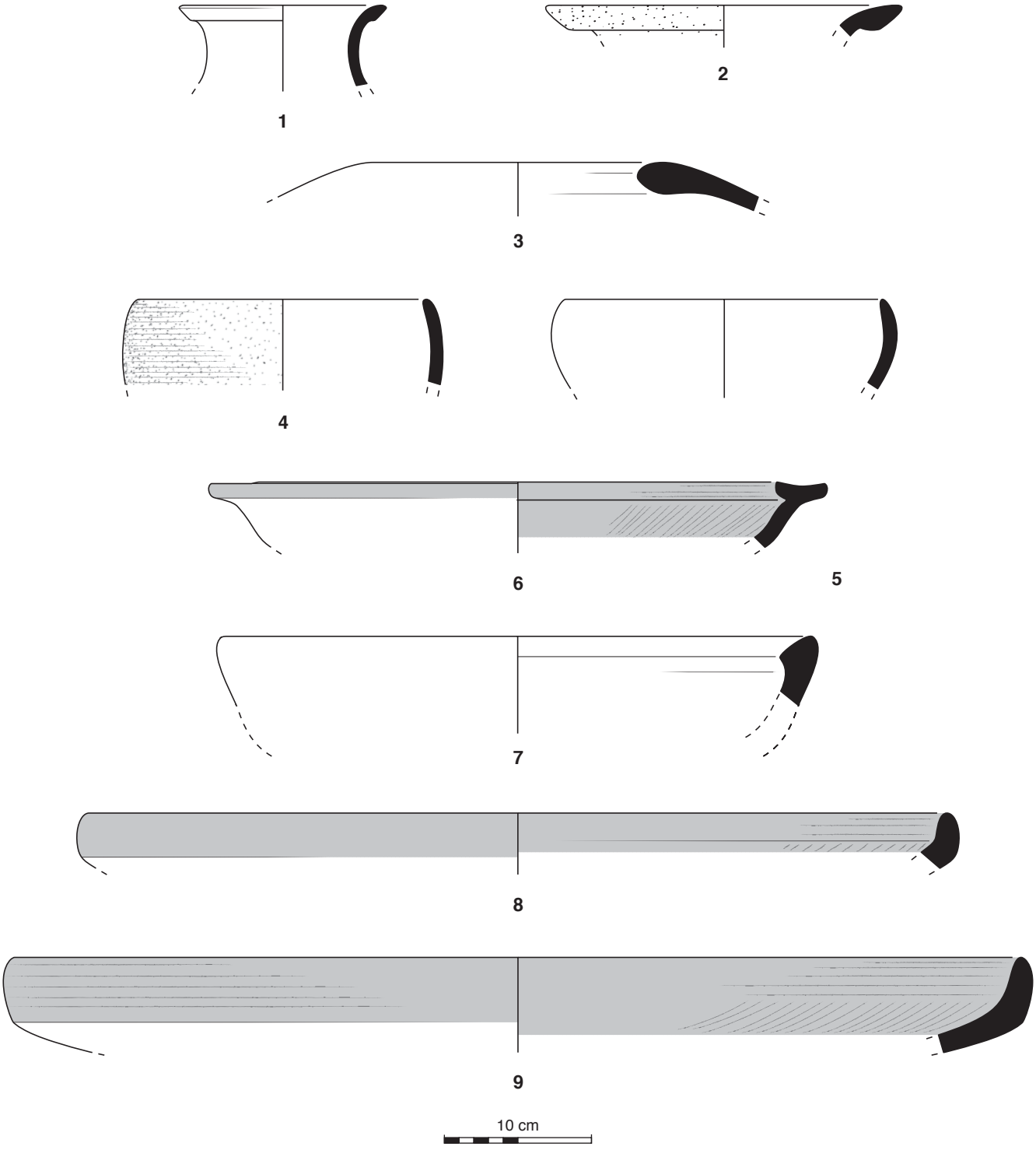


Fig. 4.9. Sondage 2, poterie du niveau Acr-VII (BA III) : L.1191.

Figure 4.10

N°	N° objet	Locus	Description	Comparaisons
1	A.10681-22	1173-5	Bord d'écuelle. Céram. gross. à dégr. min. Surf. beige. Eng. rouge à l'int. et sur la lèvre.	• Yarmouth C-5 (BA IIIA) : Miroschedji 1988, pl. 30:5.
2	A.10673-6	1173-5	Bord de petit plat caréné. Céram. comm. assez fine à dégr. min. fin. Cœur gris clair. Surf. brun-beige avec eng. rouge sombre. Lustrage continu à l'int. et sur le bord à l'ext.	• Yarmouth Bs-2B (BA IIIB) : Miroschedji 1988, pl. 28:7-8.
3	A.10681-1	1173-5	Bord de plat caréné. Céram. assez gross. à dégr. min. et chamotte. Section gris foncé. Surf. brun clair. Eng. rouge-orange. Lustrage oblique à l'int. et horizontal sur le rebord à l'int. et à l'ext.	• Yarmouth Bs-2B (BA IIIB) : Miroschedji 1988, pls 28:7–8 ; C-4 (BA IIIA) : *ibid.*, pls 33:5–7, 34:15 ; D-5 (BA III) : *ibid.*, pl 40:3 ; C-2 (BA IIIB) : *ibid.*, pl. 45:14.
4	A.10673-25	1173-5	Col de jarre. Céram. comm. à dégr. min. Cœur gris. Surf. int. brune. Surf. ext. rouge-brun.	
5	A.10681-5	1173-5	Col de pithos. Céram. comm. assez gross. à dégr. min. Cœur gris foncé. Surf. int. brun-beige. Surf. ext. brun clair avec badigeon chaulé.	• Yarmouth Bs-2B (BA IIIB) : Miroschedji 1988, pl. 29:4 ; C-4 (BA IIIA) : *ibid.*, pl. 36:11 ; A-6/7 (BA IIIB/C) : *ibid.*, pl. 44:9.

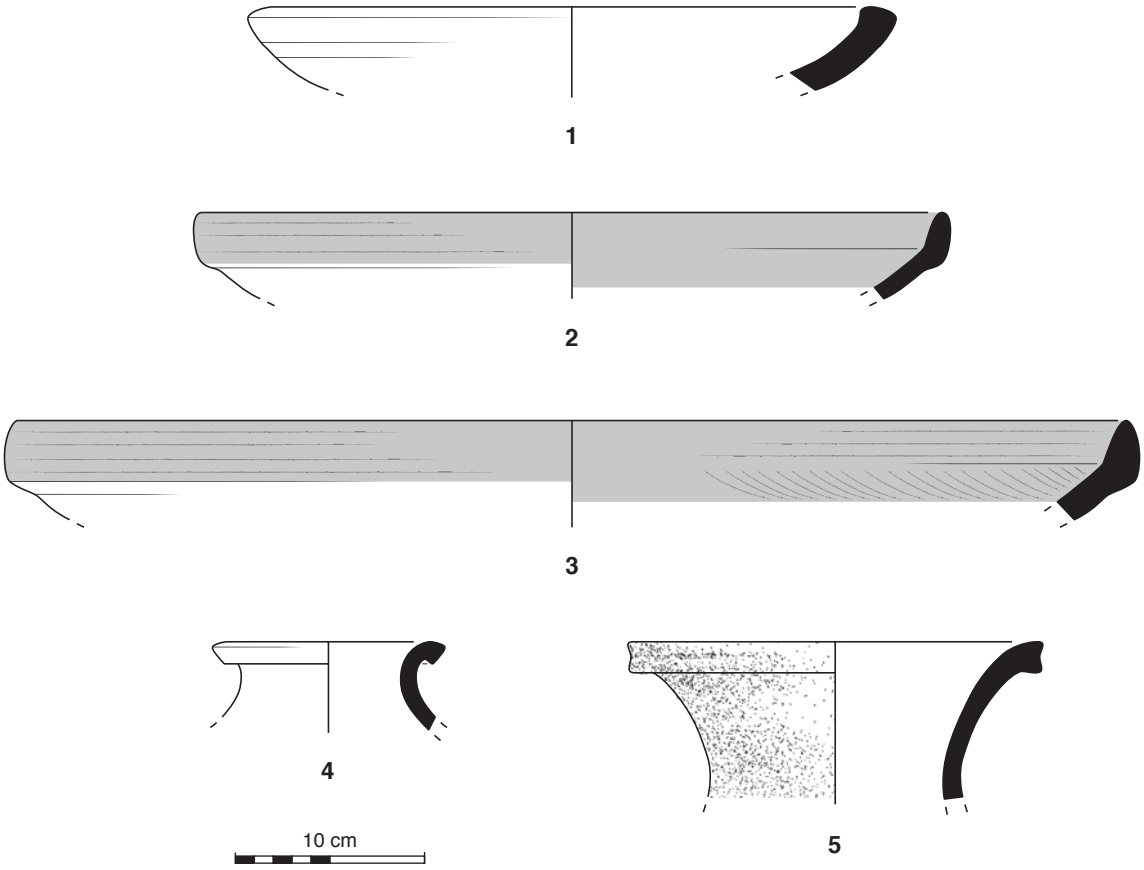


Fig. 4.10. Sondage 2, poterie du niveau Acr-VII (BA II [1] et BA III [2–5]) : L.1173-5.

Figure 4.11

N°	N° objet	Locus	Description	Comparaisons
1	A.10662-1	1173-4 & 5 ?	Bord de col de pithos. Céram. comm. à dégr. min., grise en section et brun clair en surface. Eng. beige avec badigeon chaulé à l'ext.	• Yarmouth A-6/7 (BA IIIB/C) : Miroschedji 1988, pl. 44:7.
2	A.10876-3	1173-3 & 4	Col de pithos. Céram. assez gross. à gros dégr. min. blanc. Section grise. Surf. brun-rouge avec badigeon chaulé à l'ext.	
3	A.10883-22	1173-4	Bord de jarre sans col. Céram. gross. à dégr. min. Cœur gris. Surf. int. et ext. brun-rouge avec taches gris foncé à l'ext.	
4	A.10833-1	1173-3	Bord de petit bassin. Céram. gross. à dégr. min. et chamotte. Section gris foncé. Surf. brun clair avec peignage croisé à l'ext.	• Yarmouth B-2B (BA IIIB) : Miroschedji 1988, pl. 29:1 ; C-4 (BA IIIA) : *ibid.*, pl. 35:7.
5	A.10652-15	1173-4	Bord d'écuelle. Céram. comm. à dégr. min. Section grise. Surf. int. et ext. brun-rouge avec auto-eng.	• Yarmouth B-2B (BA IIIB) : Miroschedji 1988, pl. 28:5 ; C-3B (BA IIIA) : *ibid.*, pl. 37:9.
6	A.10883-11	1173-4	Bord de jatte. Céram. comm. à dégr. min. Section grise. Surf. brun-gris à l'int. et brun-rouge clair à l'ext. Traces d'eng. rouge lustré à l'int., sur la lèvre et sur le haut de la paroi ext.	• Yarmouth A-6/7 (BA IIIB/C) : Miroschedji 1988, pl. 43:6-7.
7	A.10652-2	1173-4	Bord de jatte. Céram. comm. à dégr. min. Section grise. Surf. brun clair. Eng. rouge. Lustrage décoratif à l'int. et continu sur le bord.	• Yarmouth A-6/7 (BA IIIB/C) : Miroschedji 1988, pl. 43:8.
8	A.10899-4	1173-4	Bord de plat caréné. Céram. comm. assez fine à dégr. min. Section grise. Surf. brun clair. Eng. brun-rouge à l'int. et jusque sous la carène à l'ext. Lustrage décoratif à l'int. et continu sur le rebord int. et ext.	• Yarmouth B-3 (BA IIIA) : Miroschedji 1988, pl 27:6 ; B-2B (BA IIIB) : *ibid.*, pl. 28:7 ; C-4 (BA IIIA) : *ibid.*, pl. 34:15.
9	A.10860-2	1173-surf. b	Bord de plat caréné. Céram. comm. assez gross. à dégr. min. Section gris clair. Surf. brun clair à eng. rouge à l'int. et jusque sous la carène à l'ext. Lustrage décoratif à l'int. et continu sur le rebord à l'int. et à l'ext.	• Yarmouth C-5 (BA IIIA) : Miroschedji 1988, pl. 30:12.

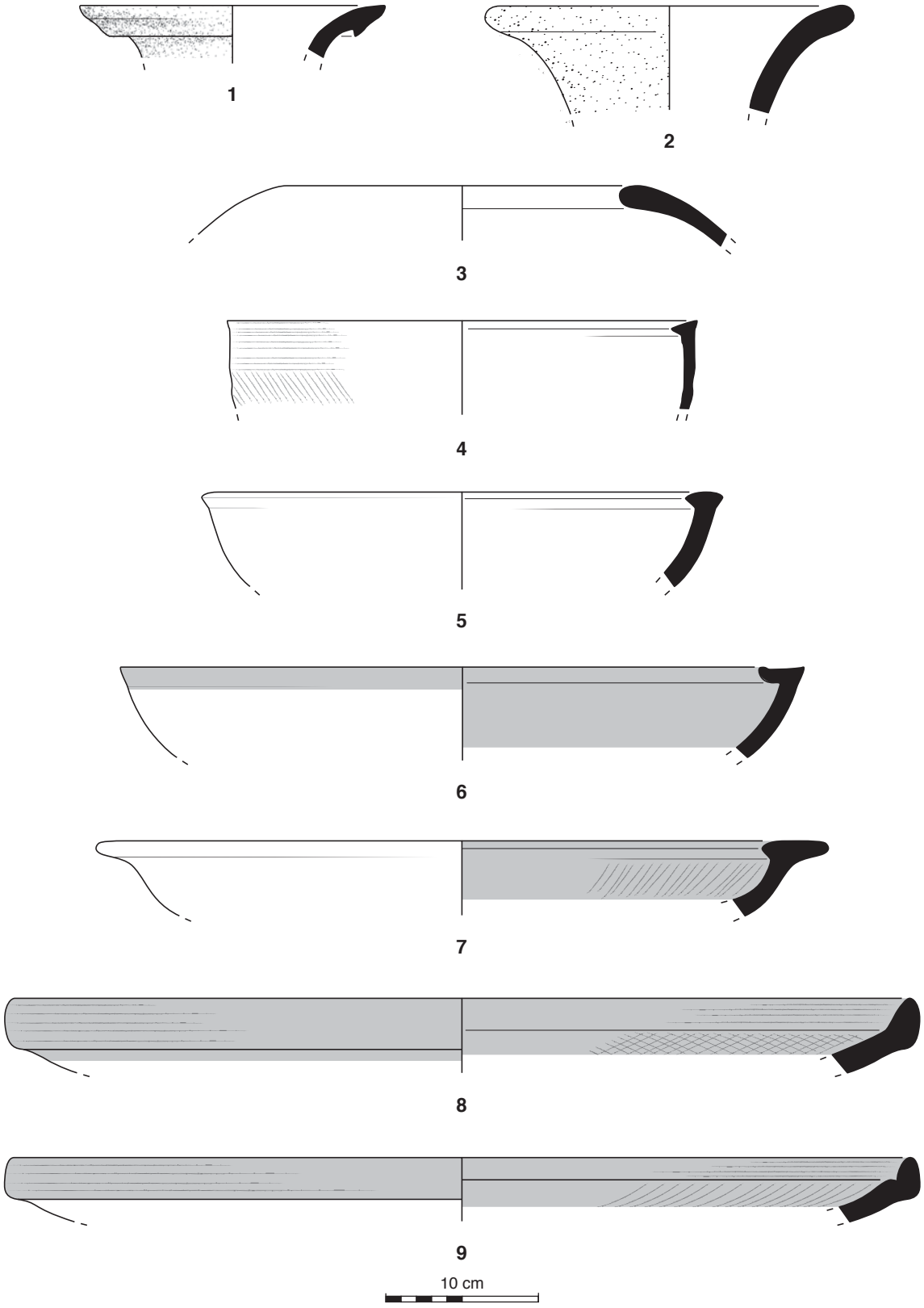


Fig. 4.11. Sondage 2, poterie du niveau Acr-VII (BA III) : L.1173-4 et 3.

CHAPITRE 5

LA POTERIE DU NIVEAU ACR-VIB
Bronze moyen II (XVIIe-XVIe siècles)

Michaël JASMIN

On a vu ci-dessus (§ 3.4), que les couches qui forment le niveau Acr-VI ne constituent pas un ensemble stratigraphique homogène puisqu'elles renferment un matériel archéologique qui relèvent de trois périodes distinctes sans relation avec des unités stratigraphiques clairement définies. Ce matériel se rattache majoritairement au Bronze récent, mais des tessons du Bronze ancien et du Bronze moyen ont également été exhumés. Ces derniers sont attribués par convention au niveau Acr-VIB. En dépit de leur petit nombre, ils indiquent sans équivoque que l'acropole de Yarmouth était habitée au Bronze moyen. Comme ils sont les témoins uniques de cette période d'occupation, ils méritent un traitement séparé.

Une trentaine de tessons seulement ont été identifiés comme relevant sûrement du BM II. Ils sont originaires de trois loci : 1173 (**Fig. 5.1**), 2309B et 2314 (**Fig. 5.2**). En 1173, on les a trouvés surtout dans les couches profondes (5 et 4) du sondage 1173, qui correspondent *a priori* à la transition du Bronze ancien au Bronze récent. Issus de couches d'érosion, ces tessons ne peuvent être rattachés à aucune structure architecturale, ni même à aucune couche précise. De ce fait, il est impossible de préciser la nature, la période et la durée de cette occupation de l'acropole au Bronze moyen.

Les catégories de formes suivantes sont représentées :

Bols – Les seuls bols identifiés sont des bols carénés de finition soignée, à surface brun-beige entièrement lustrée, avec une lèvre éversée et une carène plus ou moins nettement marquée (**Fig. 5.1:1–2**). Il s'agit d'un type de bol caractéristique de toutes les phases du BM II, particulièrement dans le sud d'Israël et en Shéphélah ; à Lachish, il est attesté dès le début de la période.

Cratères – Deux types sont représentés : l'un à petite lèvre éversée (**Fig. 5.1:3**), l'autre avec un bord court et deux(?) anses annulaires (**Fig. 5.1:4**).

Marmites – Relativement nombreuses, les marmites sont pour la plupart du type globulaire, avec un bord replié vers l'extérieur (« *rolled-back rim* ») pour former une lèvre de profils variés (**Fig. 5.1:6–8**) ; ces marmites sont caractéristiques de la période, attestées dans l'ensemble du Levant méridional[1], et bien représentées sur les sites de la Shéphélah (Tell es-Safi, Tel Nagila, Tel Lachish). Une variante est illustrée par une marmite dont la lèvre est repliée vers l'intérieur (**Fig. 5.1:9**). Ces marmites globulaires ont pour trait commun d'avoir fait l'objet d'une finition au tour. On signalera encore un exemplaire à lèvre

[1] Pour un commentaire sur ce type de marmite, voir Maeir 2007, p. 262.

triangulaire (**Fig. 5.1:5**) et un bord de marmite perforé et décoré d'un cordon appliqué à impressions digitales (**Fig. 5.1:10**). Ce dernier relève a priori d'un type de marmite entièrement façonnée à la main et bien attesté à cette époque, avec une paroi verticale ou peu évasée[2], mais, dans le cas présent, l'incurvation du bord semble indiquer qu'il s'agit d'une marmite avec un profil similaire à celui d'une jarre sans col.

Jarres – Les jarres à col sont les plus fréquentes dans cet échantillon. Dans leur majorité elles présentent un profil caractéristique avec une lèvre épaissie, faiblement vers l'intérieur et plus ou moins fortement vers l'extérieur (**Figs 5.1:13–18** ; **5.2:1–4**,7), qui se retrouve dans pratiquement tous les sites de cette époque au Levant méridional[3]. Les cols dont le diamètre est inférieur à *c.*15 cm proviennent de jarres moyennes à panse ovoïde allongée de 40 à 60 cm de hauteur (**Figs 5.1:13**,**17** ; **5.2:1–2**,**6**)[4]; l'une d'elles est remarquable par son engobe rouge (**Pl. 5.2:1**). Les cols dont le diamètre est supérieur à *c.*15 cm appartenaient à de grandes jarres ou pithoi, de formes comparables aux précédentes, qui pouvaient dépasser 75 cm de haut (**Pls 5.1:14–16**,**18** ; **5.2:3–4**,7)[5]. Signalons aussi un fragment de panse d'une jarre à décor peint avec un départ d'anse annulaire (**Fig. 5.2:5**), qui pourrait provenir d'un type de jarre ovoïde attesté notamment à Lachish P-4 avec un décor de bandes peintes horizontales.

Cruches – Il est difficile d'identifier sûrement des cruches à partir de tessons de bord de col car ces derniers ont des profils comparables à ceux de jarres petites ou moyennes. Les fragments de col des **Figs 5.1:13** et **5.2:6**, de même que les petites bases plates ou discoïdes de la **Fig. 5.1:11–12**, pourraient provenir de cruches ou de petites jarres.

RÉFÉRENCES

BECK, P.
2000 "Area A : Middle Bronze Age II Pottery," in *Aphek–Antipatris I : Excavation of Areas A and B – the 1972–1976 Seasons* (The Emery and Claire Yass Publications in Archaeology, Monograph Series No. 19), edited by M. Kochavi, P. Beck and E. Yadin, pp. 173–238. Tel Aviv : Tel Aviv University, The Sonia and Marco Nadler Institute of Archaeology.

DEVER, W. G. *et al.*
1986 *Gezer IV : The 1969–71 Seasons in Field VI, the "Acropolis"* (Annual of the Hebrew Union College / Nelson Glueck School of Biblical Archaeology). Jerusalem : HUC / NGSBA.

[2] Voir, entre autres, pour Lachish, Singer-Avitz 2004, figs 16.5:12–13, 16.9:15, qui remarque (p. 916), que la fréquence de ces types de marmite diminue au cours du Bronze moyen.

[3] Voir Maeir 2007, pp. 265–270.

[4] Voir en particulier les types SJ 21 et SJ 23 de Beth-Shean : Maeir 2007, pp. 265–266. Pour des exemples complets de Lachish, voir Singer-Avitz 2004, figs 16.17:4–7, *passim.*

[5] Voir le type PJ 23 de Beth-Shean dans Maeir 2007, pp. 267–270. Pour des exemples complets de Lachish, voir Singer-Avitz 2004, figs 16.14, 16.18, *passim.*

MAEIR, A. M.
2007 "The Middle Bronze Age Pottery," in *Excavations at Beth-Shean, 1989–1996*. Vol. II. *The Middle and Late Bronze Age Strata in Area R*, edited by A. Mazar and R. Mullins, pp. 241–389. Jerusalem : Israel Exploration Society and the Institute of Archaeology of the Hebrew University of Jerusalem.

SEGER, J.
1988 *Gezer V : The Field I Caves*, edited by J. D. Seger and H. D. Lance (Annual of the Hebrew Union College / Nelson Glueck School of Biblical Archaeology). Jerusalem : HUC / NGSBA.

SINGER-AVITZ, L.
2004 "The Middle Bronze Age Pottery from Areas D and P," in *The Renewed Excavations at Lachish (1973–1994)*. Vol. III (Tel Aviv University Sonia and Marco Nadler Institute of Archaeology Monograph Series No. 22), edited by D. Ussishkin, pp. 900–965. Tel Aviv : Tel Aviv University, Emery and Claire Yass Publications in Archaeology.

UZIEL, J., BEN-SHLOMO, D., ILAN, D., SHAI, I. and MAEIR, A. M.
2009 "Middle Bronze Age II Pottery Production in the Western Shephelah : Comparing Methods from Tel Nagila, Tell es-Safi/Gath and Tel Burna," *Leiden Journal of Pottery Studies* 25 : 141–162.

Figure 5.1

N°	N° objet	Locus	Description	Comparaisons
1	A.10673-16	1173-5	Bord de petit bol caréné. Céramique assez fine beige à dégr. min fin. Pas de cœur. Surface brun pâle à l'int et brun-beige lustrée à l'ext. Tourné.	• Lachish P-5 à P-3 (BM II) : Singer-Avitz 2004, figs 16.11:3–5, 16.15:9, 16.20:2, 16.23:1, 16.24:1–2, 16.25:2, 16.30:6–8, 16.33:2, 16.35:4. • Safi (BM IIB) : Uziel *et al.* 2009, fig. 5:13. • Nagila (BM II) : Uziel *et al.* 2009, figs 7:4, 8:6,9–12.
2	A.10646-1	1173-4	Bord de bol caréné. Céram. comm. à dégr. min. Pas de cœur. Surf. brun-beige à l'int et beige à l'ext. avec des traces de lustrage. Fait à la main. Cuisson moyenne.	• Lachish P-4 et P-3 (BM II) : Singer-Avitz 2004, figs 16.11:2, 16.25:3, 16.29:1, 16.32:16. • Nagila (BM II) : Uziel *et al.* 2009, fig. 7:7.
3	A.10891-6	1173-4	Bord de cratère. Céram. comm. à dégr. min. Pas de cœur. Surf. beige à l'int. et brun-beige à l'ext. Eng. rouge lustré sur la lèvre. Tourné. Cuisson moyenne.	
4	A.10652-17	1173-4	Bord de cratère. Céram. comm. à dégr. min. Cœur gris. Surf. brun-rouge clair. Cuisson moyenne.	
5	A.10891-22	1173-4	Bord de marmite. Céram. assez gross. à dégr. min. gross. Cœur gris sombre. Surf. beige clair à l'int. et brun-gris sombre à l'ext. Tourné. Très cuit.	• Lachish P-3 et P-4 (BM II) : Singer-Avitz 2004, figs 16.25:5, 16.34:6.
6	A.10801-13	1173-surf. b	Bord de marmite. Céram. assez gross. à dégr. min. Surf. brun-rouge. Tourné. Cuisson moyenne.	• Nagila (BM II) : Uziel *et al.* 2009, fig. 7:13,15–16. • Safi (BM IIB) : Uziel *et al.* 2009, fig. 5:19–23.
7	A.10883-9	1173-4	Bord de marmite. Céram. comm. à dégr. min. Surf. int. et ext. rouge. Lèvre repliée vers l'ext. Tourné. Très cuit.	• Beth-Shean R-3 (BM II) : Maeir 2007, pl. 29:13.
8	A.10883-13	1173-4	Bord de marmite. Céram. comm. à dégr. min. Surf. int. et ext. rouge-brun. Lèvre repliée vers l'ext. Tourné. Très cuit.	• Lachish P-6 (BM I) : Singer-Avitz 2004, fig. 16.9:12 ? • Beth-Shean R-5–R-4 (BM II) : Maeir 2007, pl. 4:11.
9	A.10876-7	1173-3/4	Bord de marmite. Céram. comm. à dégr. min. blanc (0,3-1 mm) et à dégr. végét. assez fin. Pas de cœur. Eng. beige clair à l'int. Surf. ext. grise. Finition au tour. Très cuit.	
10	A.10823-1	1173-4	Bord de marmite à cordon appliqué. Céram. grossière à gros dégr. min., brun-gris en section, beige avec taches grises à l'ext. Fait à la main. Bien cuit. Perforation.	
11	A.10770-3	1173-surf. b	Base de cruche. Céram. fine à dégr. min. Pas de cœur. Surf. beige clair. Lustrage vertical. Façonnage aux colombins et reprise au tour ? Bonne cuisson.	
12	A.10801-12	1173-surf. b	Base de cruche ou cratère. Céram. comm. à dégr. min. et végét. assez fin. Pas de cœur. Surf. int. brun-beige. Eng. beige à l'ext. Cuisson moyenne.	

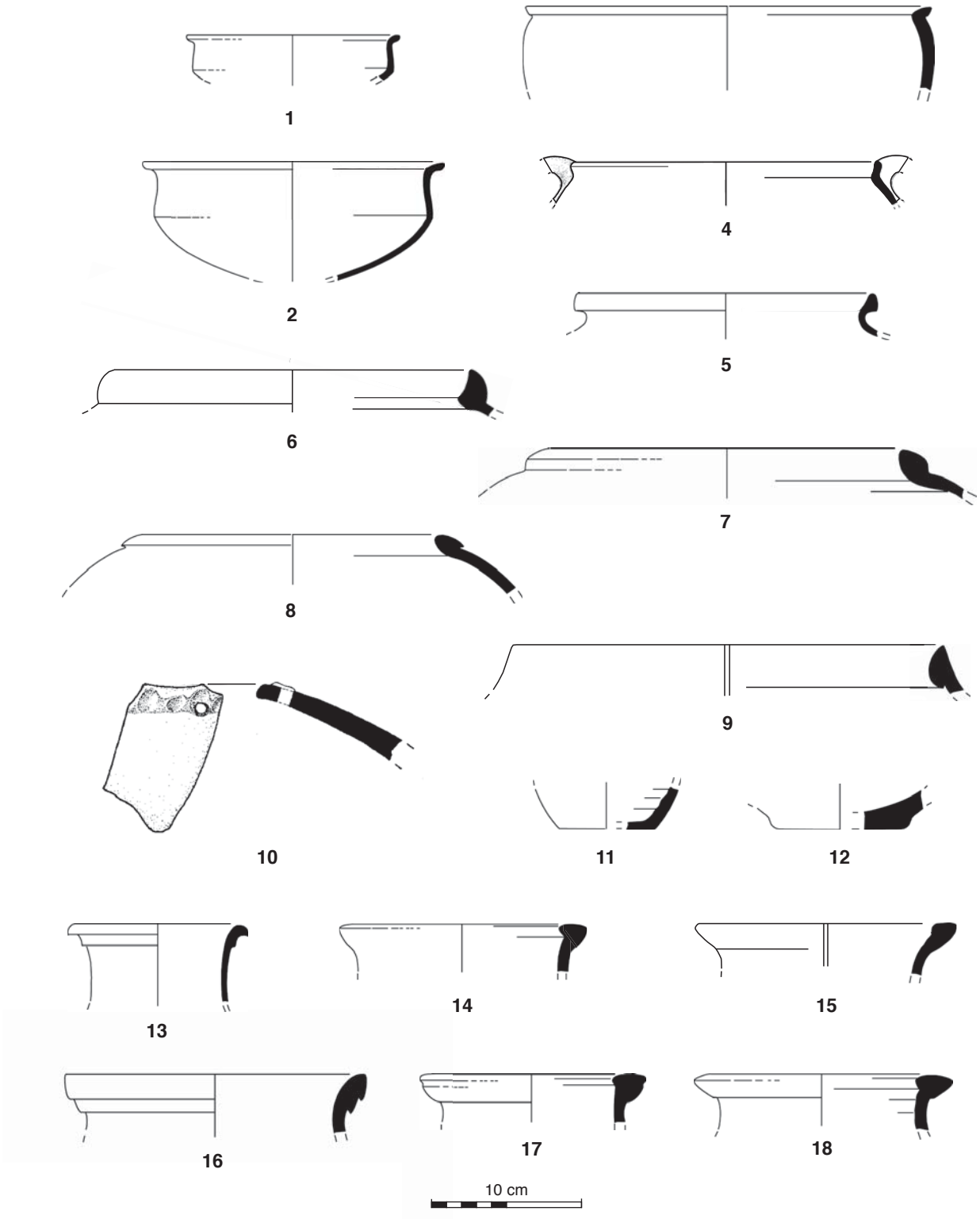


Fig. 5.1. Sondage 2, poterie du niveau Acr-VIB : L.1173.

N°	N° objet	Locus	Description	Comparaisons
13	A.10652-25	1173-4	Bord de jarre ou de grande cruche. Céram. comm. à dégr. min. assez gross. Pas de cœur. Surf. int. beige. Eng. beige clair à l'ext.	• Safi (BM II) : Uziel *et al.* 2009, fig. 6:1.
14	A.10740-5	1173-2	Bord de col de pithos. Céram. gross. à dégr. min. calcaire. Surf. brun-gris à l'int. et brun-beige à l'ext. Tourné ? Bien cuit.	• Lachish D et P-6 (BM I) : Singer-Avitz 2004, figs 16.2:9–11, 16.10:6.
15	A.10748-10	1173-2	Bord de col de pithos. Céram. assez fine à dégr. min. Cœur gris. Eng. brun beige à l'int. Tourné. Cuisson moyenne.	
16	A.10773-8	1173-5	Bord de col de pithos. Céram. comm. à dégr. min. assez fin. Pas de cœur. Surf. int. et ext. beige. Bonne cuisson.	
17	A.10791-4	1173-/	Bord de col de grande jarre. Céram. gross. à gros dégr. min. noir et blanc. Surf. brun beige. Tourné. Bonne cuisson.	• Gezer XVIII-XVI (BM II–BR II) : Dever 1986 *et al.*, pl. 9:2.
18	A.10658-1	1173-4	Bord de col de pithos. Céram. comm. à dégr. min. Pas de cœur. Surf. brun clair. Tourné. Bonne cuisson.	• Safi (BM II) : Uziel *et al.* 2009, fig. 6:3,5.

Figure 5.2

N°	N° objet	Locus	Description	Comparaisons
1	A.10832-7	2309-3	Bord de col de jarre. Céram. assez gross. à dégr. min. Eng. rouge à l'ext. et sur la lèvre à l'int.	• Aphek XVII (BM II) : Beck 2000, fig. 10.8:1,7.
2	A.10818-9	2309-3	Bord de col de jarre. Céram. gross. à dégr. min. (particules noires et blanches). Surf. brune à l'int et beige à l'ext. Cuisson moyenne.	• Aphek XIVa (BM II) : Beck 2000, fig. 10.13:28.
3	A.10717-8	2309B	Bord de col de grande jarre ou de pithos. Céram. gross. à dégr. min. Surf. brune à l'int. et brun clair à l'ext. Très cuit.	• Aphek XIVa (BM II) : Beck 2000, fig. 10.13:27. • Lachish D (BM I) : Singer-Avitz 2004, fig. 16.2:9.
4	A.10811-2	2309B	Bord de col de grande jarre ou de pithos. Céram. gross. à dégr. min. gross. Eng. beige clair à l'ext.	
5	A.10813-4	2314-2	Panse de jarre. Céram. comm. à dégr. min. Cœur gris sombre. Surf. int. grise. Surf. ext. brune. Décor de lignes peintes rouge lie-de-vin et blanches. Tourné. Très cuit.	• Lachish P-4 (BM II) : Singer-Avitz 2004, fig. 16.13:4 ?
6	A.10834-11	2314-2	Bord de col de jarre ou de cruche. Céram. fine à dégr. min. fin. Pas de cœur. Surf. int. beige. Surf. ext. peinte en brun-rouge. Tourné ? Bonne cuisson.	• Lachish P-4 (BM II) : Singer-Avitz 2004, fig. 16.21:1 ?
7	A.10834-5	2314-2	Bord de col de pithos. Céram. assez gross. à dégr. min. Surf. beige. Cuisson moyenne. Tourné ?	• Gezer XVIII-XVII (BM/BR I) : Seger 1988, pl. 32:25. • Aphek XIVa (BM II) : Beck 2000, fig. 10.14:12.

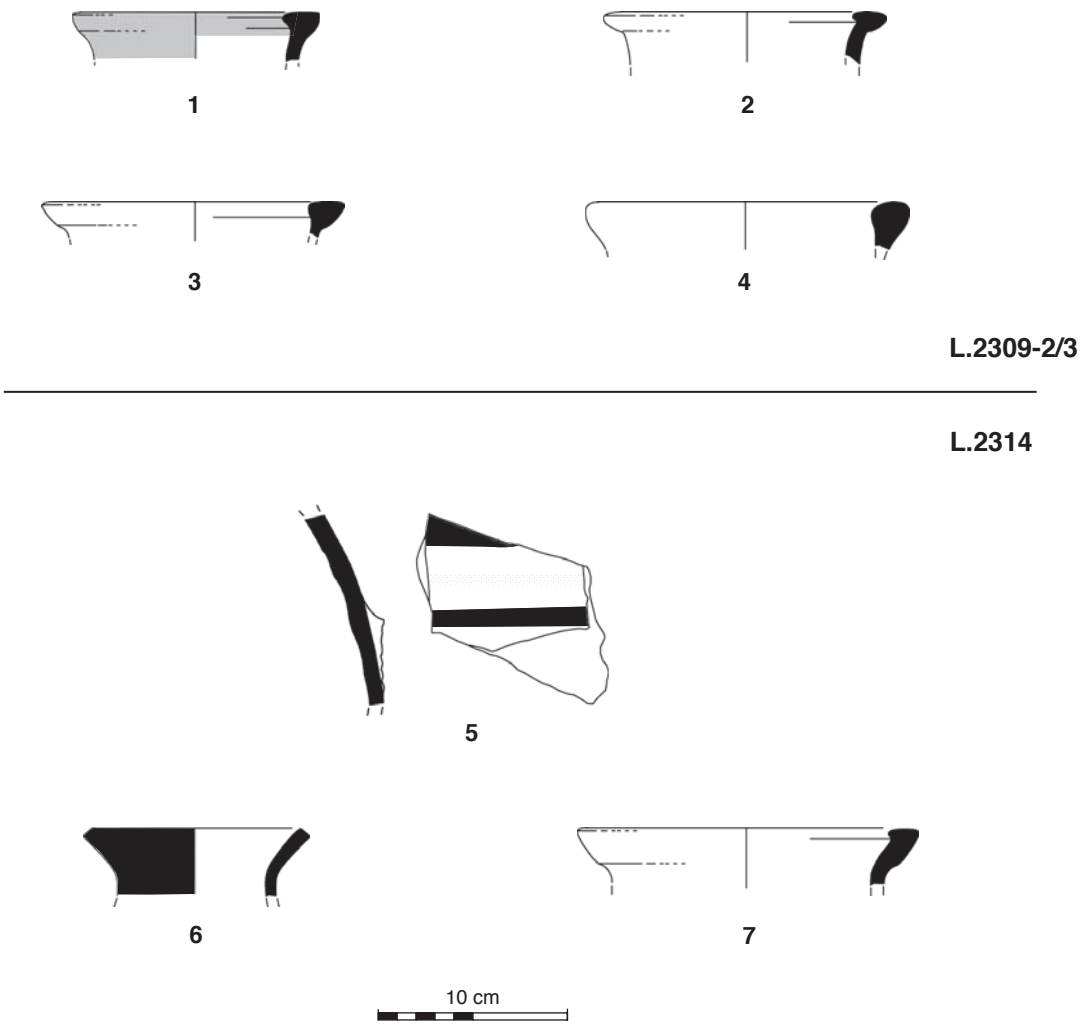


Fig. 5.2. Sondage 2, poterie du niveau Acr-VIB : L.2309 et L.2314.

CHAPITRE 6

INTRODUCTION À LA POTERIE DES NIVEAUX DU BRONZE RÉCENT II À L'ÂGE DU FER I (niveaux Acr-VI à Acr-III)

Michaël JASMIN

À partir du Bronze récent et jusqu'au Fer I, la poterie présente des caractères communs qui justifient sa description à l'aide d'une typologie unifiée. Celle-ci facilite les comparaisons typo-chronologiques et permet en outre de mieux saisir les développements socio-économiques et culturels marquant le passage du Bronze récent au Fer I. La typologie présentée ci-dessous s'appuie sur l'évolution d'une douzaine de catégories de formes de poterie attestées du niveau Acr-VIA au niveau Acr-III. Elle servira de guide pour l'analyse typologique de la poterie de ces niveaux aux chapitres suivants.

6.1. TYPOLOGIE GÉNÉRALE

Les tableaux typologiques des **Figs 6.1 à 6.9** ont été élaborés à partir de l'étude du matériel des niveaux Acr-VIA à Acr-III. Bien qu'ils ne concernent que Tel Yarmouth, ils permettent de rendre compte de la plupart des formes de poterie existantes au sein de la production céramique locale du sud de la Palestine du BR II au Fer I (XIIIe–XIe siècles). Ces tableaux sont organisés de telle sorte que chaque type peut admettre l'adjonction de sous-types nouveaux à partir de distinctions typologiques supplémentaires, tant pour le profil de la paroi que pour celui de la lèvre ; le corpus demeure donc essentiellement ouvert.

Ces tableaux sont fondés sur les catégories de formes suivantes : bols, cratères, marmites, jarres, cruches, cruchettes, calices, gobelets, flasques, pyxides et lampes. Ces catégories sont celles reconnues par A. Mazar dans les niveaux de l'âge du Fer à Tel Qasile[1], puis à Tel Batash[2] et à Tel Beth-Shean[3]. Elles sont aujourd'hui largement utilisées par les archéologues travaillant au sud Levant sur les âges du Bronze récent et du Fer. L'usage est désormais de désigner chaque catégorie de formes par l'abréviation de son nom anglais ; par souci d'uniformité, on a choisi de conserver ces abréviations dont la plupart, d'ailleurs, s'appliquent aussi en français. Le **tableau 6.1** ci-dessous donne la correspondance entre la désignation des catégories de formes en français et en anglais et leur abréviation usuelle.

[1] Mazar 1980, 1985.
[2] Mazar and Panitz-Cohen 2001 ; Panitz-Cohen and Mazar 2006.
[3] Mazar 2006 ; Mazar and Mullins 2007 ; Panitz-Cohen and Mazar 2009.

Catégorie de formes en français	Abréviations usuelles (Mazar 1980, 1985)	Catégorie de formes en anglais
Bol	BL	Bowl
Cratère	KR	Krater
Marmite	CP	Cooking Pot
Jarre	JR	Jar
Cruche	JG	Jug
Cruchette	JT	Juglet
Calice	CH	Chalice
Gobelet	GB	Goblet
Flasque	FL	Flask
Pyxide	PX	Pyxis
Lampe	LP	Lamp

Tableau 6.1. Désignation en français et en anglais des catégories de formes de poterie du Bronze récent à l'âge du Fer et leurs abréviations.

6.1.1. Les bols (BL)

Dans la catégorie des bols, une première distinction concerne la dimension : on distingue entre les petits bols (BL 1 : **Fig. 6.1**), dont le diamètre est généralement inférieur à *c*. 20 cm, les bols moyens (BL 2 : **Fig. 6.2**), avec un diamètre compris entre 17 et 25 cm, et les grands bols (BL 3 : **Fig. 6.2**), dont le diamètre est d'ordinaire supérieur à 30 cm. Le profil de la paroi constitue le second critère de distinction entre les divers types (ex. : 1A–1E) puisqu'il détermine la forme globale du récipient. Le troisième critère est le profil de la lèvre (ex. : 1A.1), qui sert à la définition des sous-types. Concernant les bases de bol, les planches typologiques présentent les trois types de bases habituellement rencontrés : annulaire, plate ou discoïde.

6.1.2. Les cratères (KR)

La dimension des cratères est relativement constante et s'apparente à celle des grands bols (**Fig. 6.3**). Le diamètre de l'ouverture, en revanche, évolue au cours des périodes concernées. La forme globale répond à deux grandes tendances, à carène plus ou moins marquée ou bien à paroi arrondie. Les anses sont fréquentes, voire constantes. La lèvre est un critère distinctif essentiel ; elle se décline essentiellement selon un profil en « T », ou bien carrée à sommet horizontal, ou encore à bourrelet interne.

6.1.3. Les marmites (CP)

Les marmites se caractérisent par une carène et une lèvre triangulaire, plus ou moins marquée (**Fig. 6.4**). Le profil de la lèvre introduit des distinctions typologiques et chronologiques en fonction de changements dans l'orientation du bord et l'épaisseur du bourrelet.

6.1.4. Les jarres (JR)

Étant donné que peu d'exemplaires complets nous sont parvenus, sauf pour le niveau Acr-III, la typologie des jarres repose essentiellement sur le profil du col. Les exemplaires complets permettent de distinguer trois tailles de jarres – grandes, moyennes et petites – dont la base est appointée ou arrondie (**Fig. 6.5**). Les modalités de jonction de l'épaule et de la panse (arrondie ou carénée) n'ont pas été prise en compte dans la typologie. Parmi les cols de jarre, les critères distinctifs retenus sont la hauteur (col court ou col haut), l'orientation (droit, évasé ou rentrant) et le profil de la lèvre (ronde, épaissie ou repliée en bandeau) (**Fig. 6.6**).

6.1.5. Les cruches (JG) et cruchettes (JT)

Sauf cas particulier (*e.g.,* Type JG 1), la rareté des cruches et des cruchettes complètes dans les niveaux Acr-VI à Acr-III limite la pertinence de la typologie, réduite dès lors à la description du profil du col et de la lèvre (**Figs 6.7–6.8**). Une première distinction concerne le diamètre du col, étroit (*c.* 6 cm) ou, plus couramment, large (jusqu'à *c.* 12 cm). Les autres critères distinctifs sont les mêmes que pour les cols de jarres, fondés sur le profil du col (droit, évasé ou rentrant) et celui de la lèvre (simple, épaissie, etc.). En revanche, les cruches philistines à anse de panier et bec verseur (Type JG 3 : voir § 11.1.2.3) et les cruches-marmites (Type JG 4 : voir § 8.1.5.1.4) sont des types bien définis qui se distinguent d'emblée par leur forme, leur pâte et le traitement de leur surface.

6.1.6. Les formes moins courantes : calices (CH), gobelets (GB), flasques (FL), pyxides (PX) et lampes (LP) (Figs 6.8–6.9)

Trop peu nombreuses, ces formes ne se prêtent guère à un classement typologique, à l'exception des calices et des gobelets, pour lesquels quelques variations de formes ont été observées dans les différents niveaux du Bronze récent et du Fer.

6.2. Composition des assemblages

Le **Tableau 6.2** illustre la fréquence relative des catégories de formes de poterie des niveaux Acr-VI à Acr-III. En dépit des changements typologiques, on constate une stabilité remarquable de la composition globale des assemblages du Bronze récent au Fer I. Quelques évolutions méritent cependant d'être signalées. Ainsi la fréquence des bols, élevée aux niveaux Acr-VI et Acr-V (46 % et 48 % respectivement), diminue un peu au niveau Acr-IV (40 %) et nettement au niveau Acr-III (28,6 %) ; cette diminution peut être considérée comme caractéristique du XIe siècle. Les pourcentages élevés des jarres dans les niveaux Acr-IV et Acr-III sont trompeurs car ils s'expliquent par le fait que la fouille a exhumé des pièces contenant de nombreuses jarres de stockage, en particulier au niveau Acr-III. La fréquence des cratères demeure stable, autour de 11 % du total, aux niveaux Acr-VI à Acr-IV, mais augmente nettement au niveau Acr-III. Celle des autres catégories de formes demeure

PETITS BOLS (*BL 1*)

1A. Petits bols hémisphériques

1A.1.a Lèvre simple — *1A.1.b Lèvre amincie*

1A.1. Paroi convexe

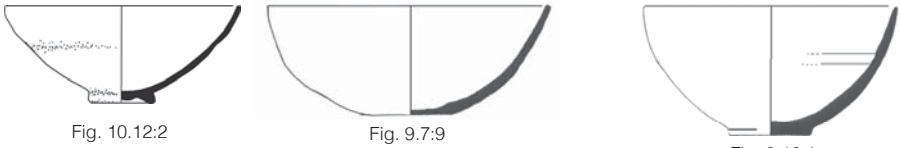


Fig. 10.12:2 — Fig. 9.7:9 — Fig. 8.12:1

1A.2.a Lèvre simple — *1A.2.b Lèvre amincie*

1A.2. Bord vertical



Fig. 8.13:4 — Fig. 8.6:1

1B. Petits bols à paroi évasée

1B.1 Lèvre simple — *1B.2 Lèvre épaissie*



Fig. 8.11:1 — Fig. 8.7:1 — Fig. 10.17:7

1C. Petits bols à paroi sub-carénée (en "S")

1C.1 Lèvre épaissie — *1C.2 Lèvre éversée*

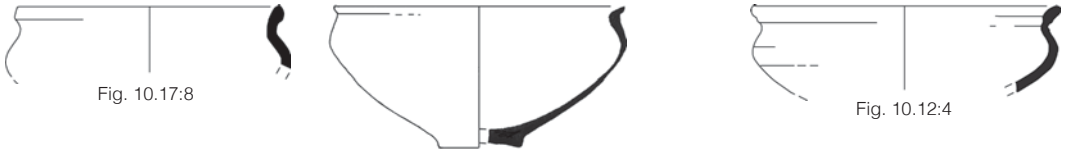


Fig. 10.17:8 — Fig. 10.14:2 — Fig. 10.12:4

1D. Petit bols à paroi sinueuse

1D.1 Lèvre simple — *1D.2 Lèvre éversée*



Fig. 9.7:3 — Fig. 10.12:3

1E. Petits bols à bord rentrant

1E.1 Lèvre simple — *1E.2 Lèvre épaissie*

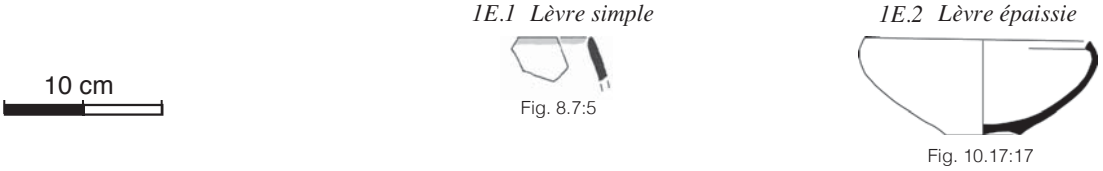


Fig. 8.7:5 — Fig. 10.17:17

Fig. 6.1. Niveaux Acr-VIA à Acr-III : typologie des petits bols (BL 1).

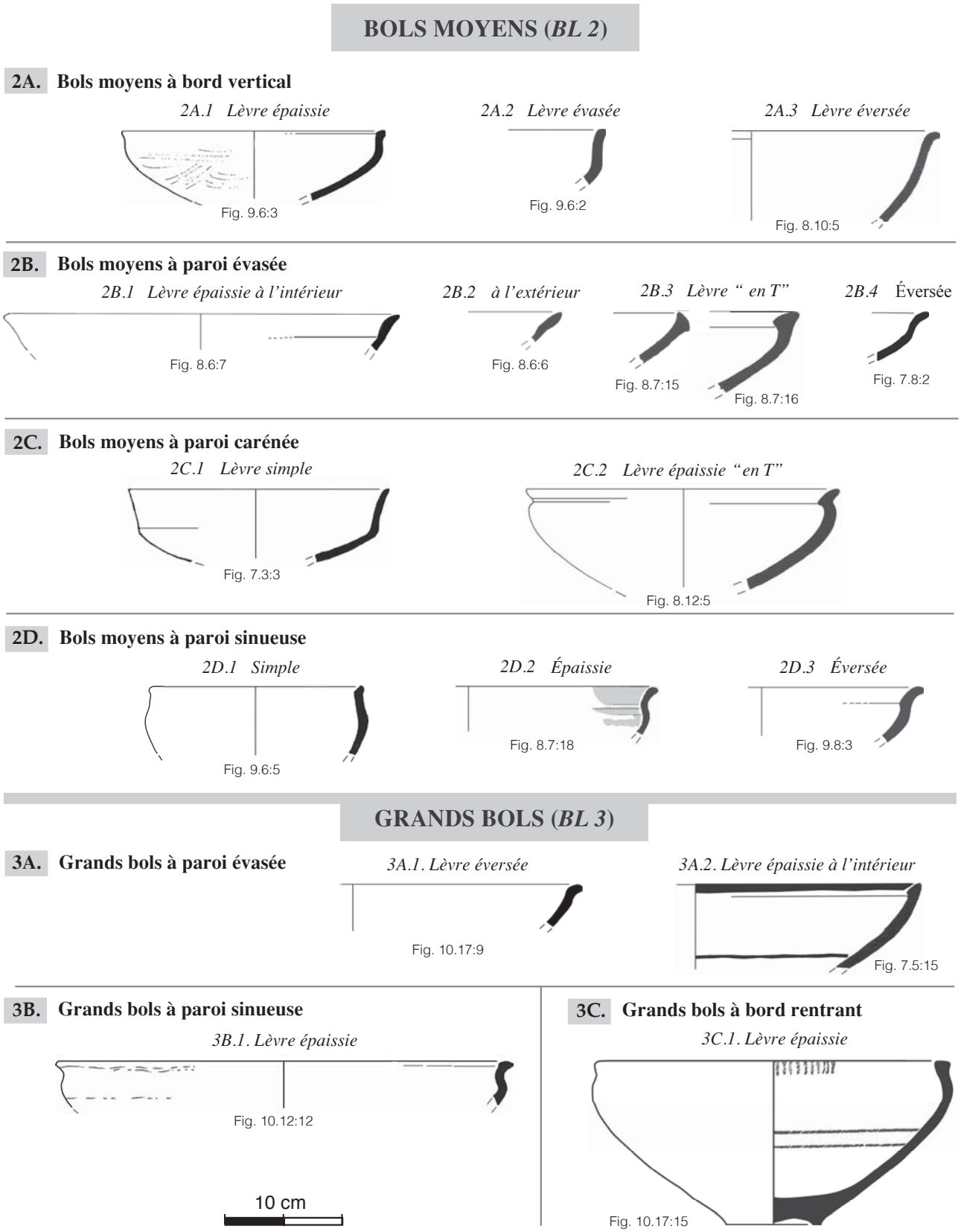


Fig. 6.2. Niveaux Acr-VIA à Acr-III : typologie des bols moyens (BL 2) et des grands bols (BL 3).

CRATÈRES (*KR*)

1. Cratères canaanéens

1A. À lèvre "en T"

1A.1.a à sommet convexe horizontal — *.b à sommet convexe oblique vers l'int.* — *.c à sommet convexe oblique vers l'ext.* — *.d à sommet concave*

1A.1 "T" marqué



Fig. 7.4:9 — Fig. 9.6:6 — Fig. 7.8:6 — Fig. 8.13:14

1A.2.a à sommet convexe horizontal — *.b oblique vers l'int.* — *.c oblique vers l'ext.*

1A.2 "T" peu marqué

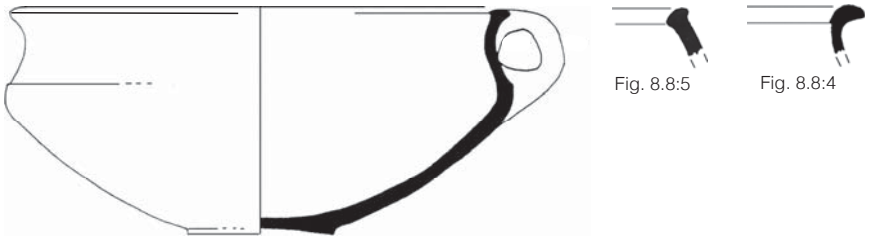


Fig. 8.8:5 — Fig. 8.8:4

Fig. 10.13:10

1B. À lèvre à sommet horizontal plat

1B.1 Bord vertical — *1B.2 Bord rentrant* — *1B.3 Bord évasé*



Fig. 7.6:6 — Fig. 7.3:6 — Fig. 7.6:5

1C. À lèvre à bourrelet interne

1C.1 Lèvre repliée à l'intérieur

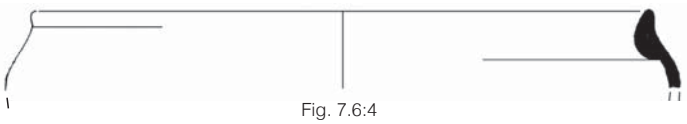


Fig. 7.6:4

1D. À lèvre ronde

1D.1 Lèvre simple

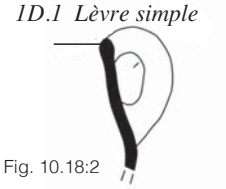


Fig. 10.18:2

1E. À bord rentrant

1E.1 Lèvre moulurée — *1E.2 Lèvre épaissie*

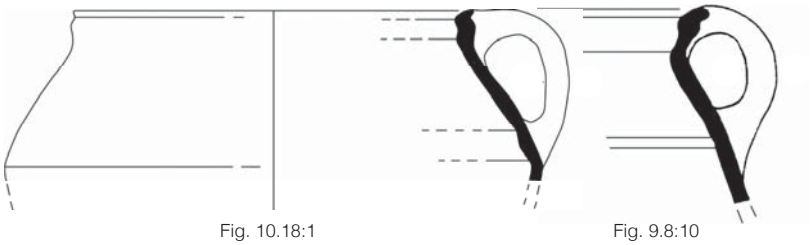


Fig. 10.18:1 — Fig. 9.8:10 — Fig. 9.8:9

2. Cratères philistins

2A. Lèvre débordante à sommet horizontal ou oblique vers l'intérieur

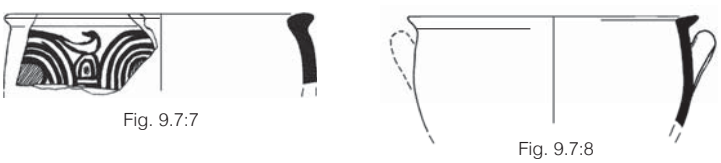


Fig. 9.7:7 — Fig. 9.7:8

10 cm

Fig. 6.3. Niveaux Acr-VIA à Acr-III : typologie des cratères (KR).

MARMITES (*CP*)

1. Bord très évasé

1A. Bourrelet triangulaire épais



Fig. 8.13:15

1B. Bourrelet triangulaire peu épais

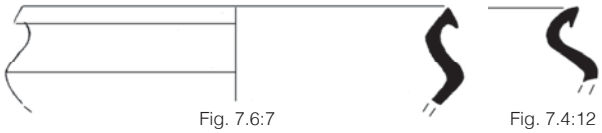


Fig. 7.6:7 Fig. 7.4:12

2. Bord peu évasé

2A. Bourrelet triangulaire épais



Fig. 10.18:4

2B Bourrelet triangulaire peu épais



Fig. 10.18:7

3. Bord vertical

3A. Bourrelet triangulaire court

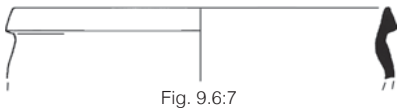


Fig. 9.6:7

3B. Bourrelet triangulaire épais



Fig. 9.6:9

3C. Bourrelet aplati



Fig. 10.18:3

4. Bord incurvé

4A. Bourrelet aplati



Fig. 10.20:11

10 cm

Fig. 6.4. Niveaux Acr-VIA à Acr-III : typologie des marmites (CP).

JARRES (*JR*)

1 Petites jarres

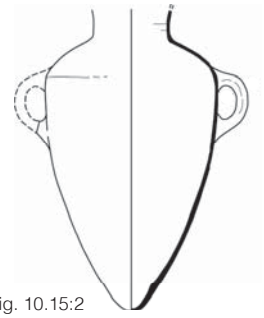


Fig. 10.15:2

2 Jarres moyennes

2A. Base appointée

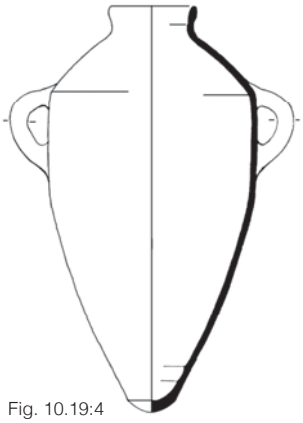


Fig. 10.19:4

2B. Base arrondie

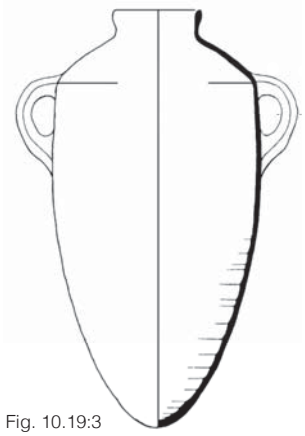


Fig. 10.19:3

3 Grandes jarres

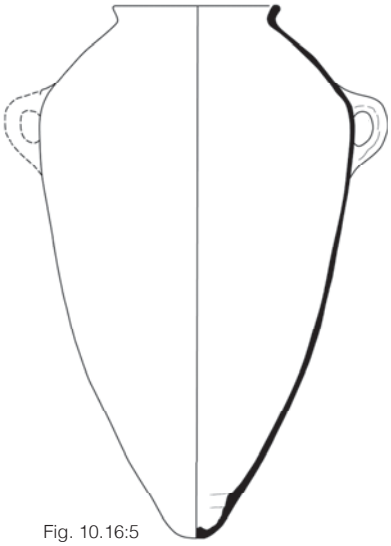


Fig. 10.16:5

20 cm

Fig. 6.5. Niveaux Acr-VIA à Acr-III : typologie des jarres (JR) selon la taille.

JARRES (*JR*)

JR 1 : petites jarres / JR 2 : jarres moyennes / JR 3 : grandes jarres

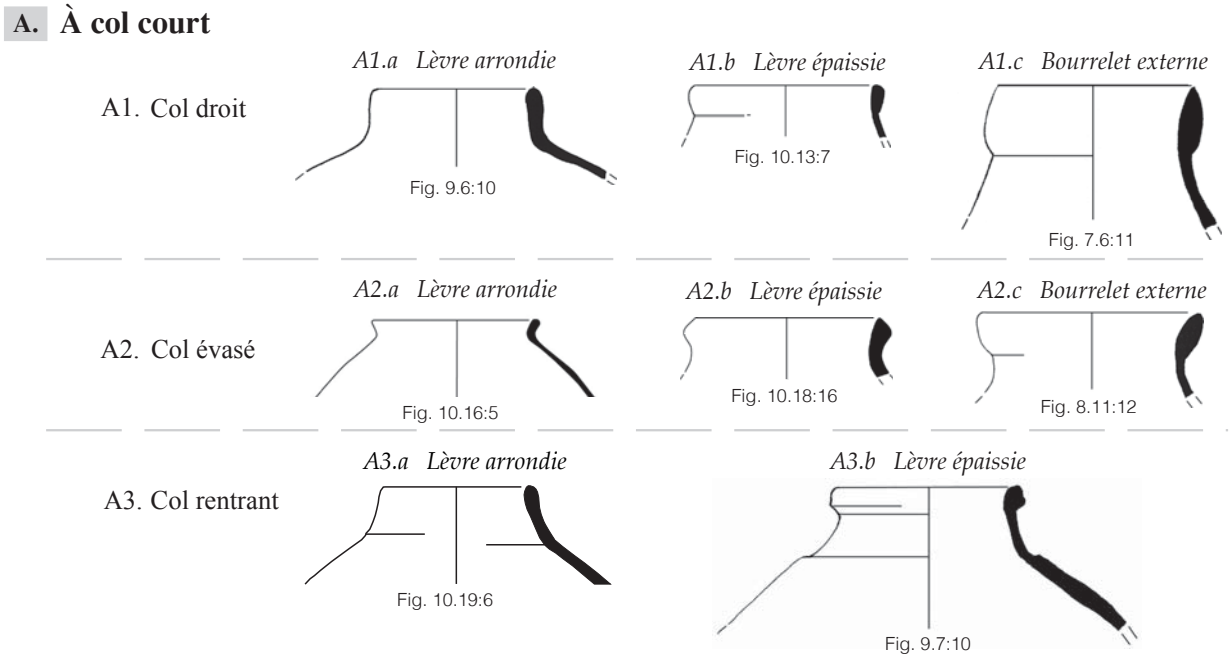


Fig. 6.6. Niveaux Acr-VIA à Acr-III : typologie des cols de jarre (JR 1, 2 et 3).

CRUCHES (*JG*)

1. Cruches à encolure étroite

1A. Haut col évasé, lèvre simple

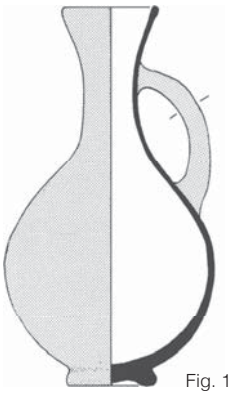


Fig. 10.13:2

2. Cruches à encolure large

2A. Col moyen droit

2A.1 Lèvre épaisse débordante



Fig. 10.18:17

2A.2 Lèvre épaissie



Fig. 8.9:1

2A.3 Lèvre épaissie en bourrelet



Fig. 10.13:6

2B. Col moyen évasé

2B.1 Lèvre simple

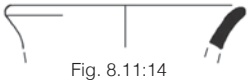


Fig. 8.11:14

2B.2 Lèvre épaissie et évasée

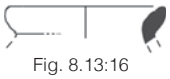


Fig. 8.13:16

2B.3 Lèvre épaissie à l'ext.



Fig. 7.5:2 Fig. 10.18:18

2B.4 Lèvre épaissie "en T"



Fig. 8.13:20

2C. Col court

2C.1 Lèvre simple



Fig. 10.13:4

2C.2 Lèvre épaissie à l'ext.

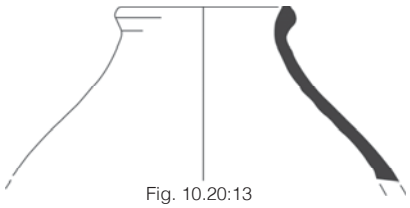
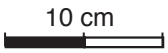


Fig. 10.20:13

3. Cruches philistines à anse de panier et bec-verseur à filtre



10 cm



Fig. 11.7:6

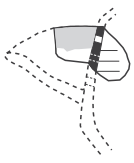


Fig. 11.7:7

4. Cruches-marmites



Fig. 8.9:10

Fig. 6.7. Niveaux Acr-VIA à Acr-III : typologie des cruches (JG).

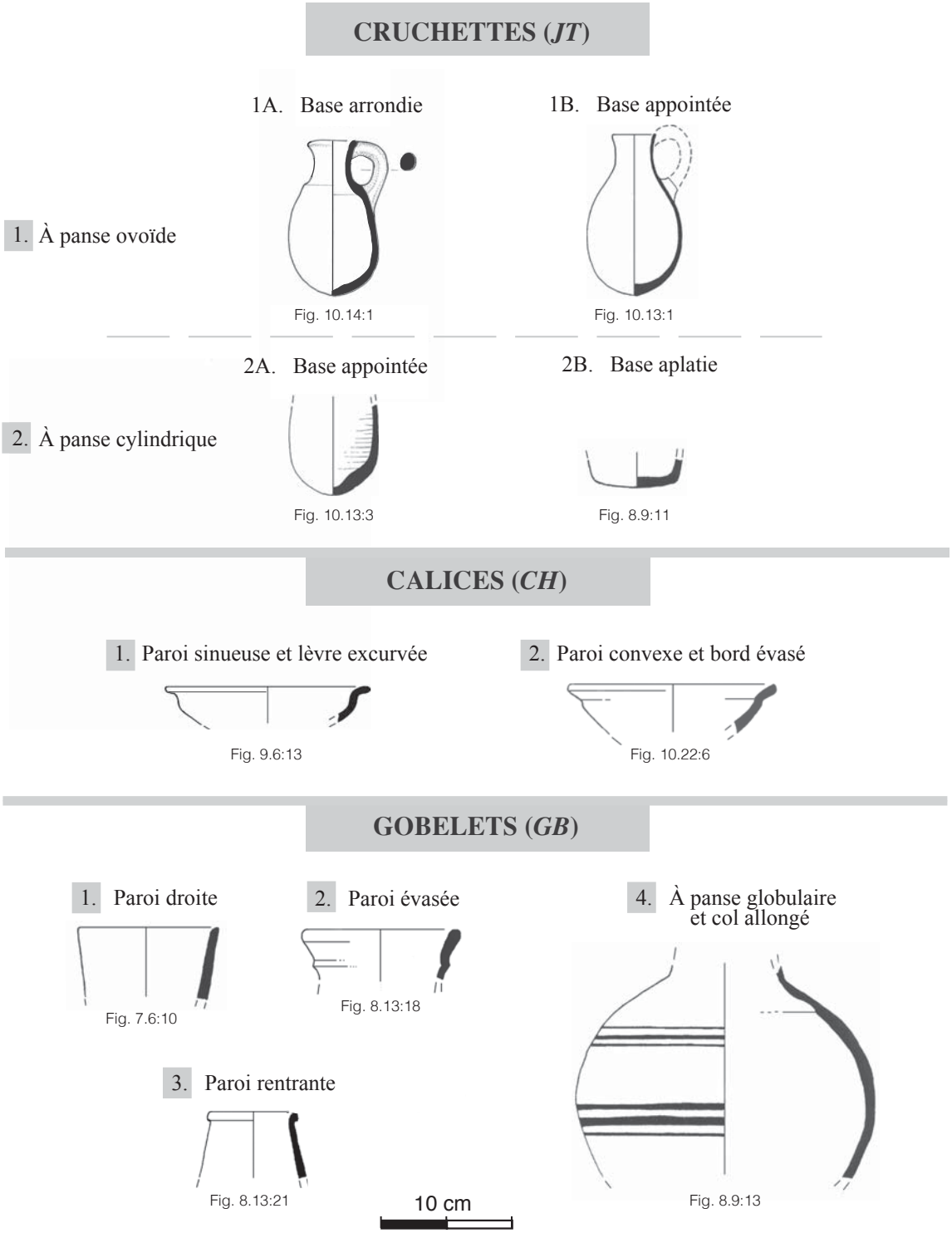


Fig. 6.8. Niveaux Acr-VIA à Acr-III : typologie des cruchettes (JT), des calices (CH) et des gobelets (GB).

FLASQUES (*FL*)

Panse lentiforme, col de profil indéterminé

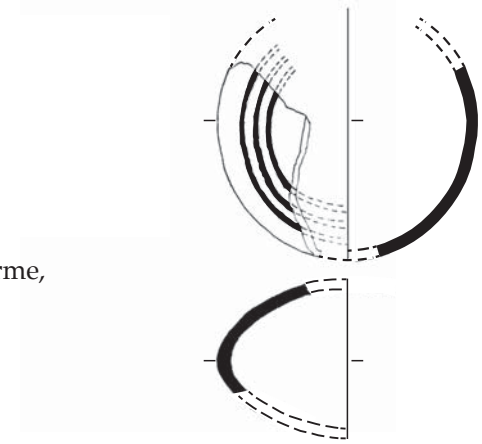


Fig. 8.9:9

PYXIDES (*PX*)

Base arrondie, col évasé



Fig. 9.6:14

LAMPES (*LP*)

Base arrondie, lèvre "en T"



Fig. 10.17:16

10 cm

Fig. 6.9. Niveaux Acr-VIA à Acr-III : typologie des flasques (FL), des pyxides (PX) et des lampes (LP).

Catégorie de formes / niveau	BL	KR	CP	JR	JG	JT	CH	GB	FL	PX	LP	Total
Niveau Acr-VIA	195 *46%*	48 *11,3%*	31 *7,3%*	93 *22%*	38 *9%*	6 *1,4%*	2 *0,4%*	1 *0,2%*	1 *0,2%*	0 *0%*	7 *1,6%*	422 *99,9%*
Niveau Acr-V	187 *48%*	43 *11%*	48 *12,4%*	56 *14,4%*	35 *9%*	8 *2%*	2 *0,5%*	3 *0,8%*	2 *0,5%*	0 *0%*	4 *1%*	388 *99,6%*
Niveau Acr-IV	64 *40%*	18 *11,1%*	19 *11,7%*	46 ? *28%**	9 *5,5%*	2 *1,2%*	3 *1,8%*	0 *0%*	0 *0%*	1 *0,6%*	0 *0%*	162 *99,9%*
Niveau Acr-III	143 *28,6%*	86 *17,2%*	33 *6,6%*	165 *33%**	38 *7,6%*	12 *2,4%*	9 *1,8%*	0 *0%*	5 *1%*	0 *0%*	8 *1,6%*	499 *99,8%*

* Ces pourcentages très élevés pour les jarres des niveaux IV et III s'expliquent par la découverte de pièces de stockage.

Tableau 6.2. Tableau de fréquence des catégories de formes de poterie des niveaux Acr-VIA à Acr-III.

assez constante, avec des variations faibles et peu significatives. Cette stabilité dans la composition des assemblages est l'expression de fortes continuités dans les modes d'utilisation des catégories de formes de poterie au cours des XIIIe–XIe siècles.

6.3. Aspects technologiques

6.3.1. Dégraissants

Les éléments non plastiques utilisés dans la fabrication des poteries des niveaux Acr-VI à Acr-II sont peu variés. En revanche, leurs mélanges sont d'une grande diversité d'un niveau à l'autre et d'une catégorie de formes à l'autre. Toutefois, il est souvent malaisé de distinguer entre les éléments non plastiques présents naturellement dans la pâte et ceux ajoutés lors de la fabrication des vases. Les distinctions faites ci-dessous reposent principalement sur une étude macroscopique de la pâte des tessons.

• *Dégraissants minéraux*

Les éléments minéraux représentent la grande majorité des dégraissants utilisés et se distinguent aisément les uns des autres :

– Les *grains de calcaire* ou carbonate de calcium constituent le dégraissant le plus fréquent (**Fig. 6.10:1–10**). Il est blanc, opaque, d'aspect crayeux, se rayant facilement, d'une taille variant de 0,5 à 4 mm, plus communément de 1 à 2 mm.
– Les *cailloux* sont des éléments opaques, durs, non rayables à l'ongle, de couleur marron-noir, aux angles saillants, dont la taille varie entre 0,5 et 5 mm, généralement entre 1 et 2 mm (**Fig. 6.10:7**).
– On trouve également de *fins minéraux blancs*, souvent présents en nombre important dans la pâte et d'une taille nettement inférieure à celles des cailloux habituels (**Fig. 6.10:11**).

Figure 6.10

N°	N° objet	Locus	Niveau	Description
1	A.10795-4	1173	VI	Tesson de jarre.
2	A.9661-2	1153	V	Tesson de cratère KR 1A.2a (**Fig. 8.12:10**).
3	A.10643-3	1186	V	Tesson de jarre.
4	A.10679-1	1086-a	V	Tesson de bol BL 2B.3 (**Fig. 8.7:16**).
5	A.10679-8	1086-a	V	Tesson de bol BL 1B.1 (**Fig. 8.7:1**).
6	A.10697-11	2312	V	Tesson de marmite CP 1B (**Fig. 8.11:11**).
7	A.9651-3	1148	IV	Tesson de bol BL 2A.2 (**Fig. 9.6:3**).
8	A.9639-7	1148	IV	Tesson de cratère philistin KR 2A (**Fig. 9.7:8**).
9	A.9610-4	1127	III	Tesson de cratère KR 1E.1 (**Fig. 10.18:1**).
10	A.10831-10	2320-2	IIB	Tesson de bol BL 2D.2 (**Fig. 11.2:9**).
11	A.9576-20	1119	IIA	Tesson de jarre sans col (**Fig. 11.7:9**).

Les grains de calcaire et les cailloux, ainsi que les fins minéraux blancs forment la base des dégraissants les plus couramment employés pour réduire la plasticité de la pâte argileuse. S'y ajoutent quelques éléments moins fréquents :

– Les *graviers* apparaissent sous une forme opaque, arrondie, dure, de couleur gris-noir, d'une taille entre 1 et 2 mm. Leur aspect aux angles roulés trahit leur origine, issue des ouadis.
– Le *sable*, sous forme de grains de couleur jaune-beige de 0,3 à 0,5 mm d'épaisseur, est l'un des plus petits dégraissants utilisés.
– Le *quartz*, souvent de petite taille, entre 0,3 et 1 mm, est transparent, dur, aux angles saillants et rarement rencontré seul.

• *Dégraissants organiques*

L'utilisation d'un dégraissant végétal (paille) est attestée à chaque niveau mais son emploi est rare et ne concerne que quelques tessons. Il est toutefois régulièrement utilisé pour les anses de jarres, faites à la main.

• *Dégraissants anthropiques*

La chamotte, sous forme de petites inclusions de couleur brun très pâle, est peu utilisée dans les poteries de ces périodes.

6.3.2. Fabrication

L'analyse des macro-traces permet de déterminer, dans de nombreux cas, les modalités de fabrication des poteries. Il est alors possible de distinguer entre des poteries montées aux colombins sans ou avec finition au tour (« *wheel finishing* »), ou bien montées aux colombins et façonnées au tour (« *wheel-shaping* »), ou encore montées entièrement au tour rapide (« *wheel throwing* »)[4].

[4] Voir Courty and Roux 1995 ; Roux 1994, 2009 ; Roux and Miroschedji 2009.

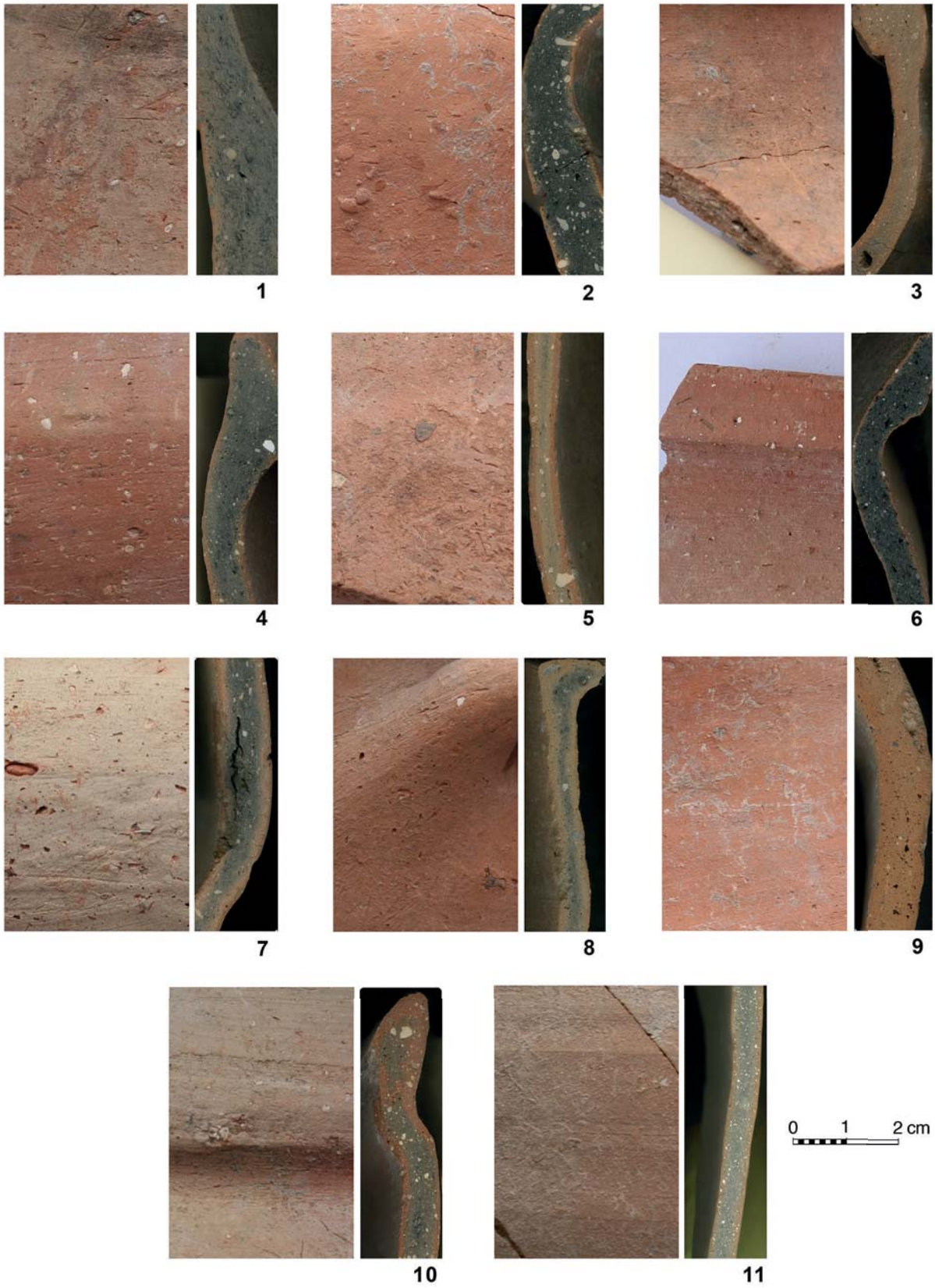


Fig. 6.10. Détails des surfaces et coupes de poteries des niveaux Acr-VIA à Acr. II.

RÉFÉRENCES

COURTY, M.-A. and ROUX, V.
1995 "Identification of Wheel Throwing on the Basis of Ceramic Surface Features and Microfabrics," *Journal of Archaeological Science* 22 : 17–50.

MAZAR, A.
1980 *Excavations at Tel Qasile.* Part One. *The Philistine Sanctuary : architecture and cult objects* (Qedem, Monographs of the Institute of Archaeology 12). Jerusalem : Institute of Archaeology, Hebrew University of Jerusalem.
1985 *Excavations at Tel Qasile.* Part Two. *The Philistine Sanctuary : various finds, the pottery, conclusions, appendices* (Qedem, Monographs of the Institute of Archaeology 20). Jerusalem : Institute of Archaeology, Hebrew University of Jerusalem.
2006 *Excavations at Tel Beth-Shean 1989–1996.* Vol. I. *From the Late Bronze Age IIB to the Medieval Period*. Jerusalem : The Israel Exploration Society ; The Institute of Archaeology, The Hebrew University of Jerusalem.

MAZAR, A. and MULLINS, R., eds.
2007 *Excavations at Tel Beth-Shean 1989–1996. Volume II, The Middle and Late Bronze Age Strata in Area R*. Jerusalem : The Israel Exploration Society ; The Institute of Archaeology, The Hebrew University of Jerusalem.

MAZAR, A. and PANITZ-COHEN, N.
2001 *Timnah (Tel Batash) II. The Finds from the First Millennium BCE* (Qedem, Monographs of the Institute of Archaeology 42). Jerusalem : Institute of Archaeology, Hebrew University of Jerusalem.

PANITZ-COHEN, N. and MAZAR, A., eds.
2006 *Timnah (Tel Batash) III. The Finds from the Second Millennium BCE* (Qedem, Monographs of the Institute of Archaeology 45). Jerusalem : Institute of Archaeology, Hebrew University of Jerusalem.
2009 *Excavations at Tel Beth-Shean 1989–1996. Volume III. The 13th–11th Century BCE Strata in Areas N and S.* Jerusalem : The Israel Exploration Society ; The Institute of Archaeology, The Hebrew University of Jerusalem.

ROUX, V.
1994 "La technique du tournage : définition et reconnaissance par les macrotraces," in *Terre cuite et société : la céramique, document technique, économique, culturel*, édité par D. Binder et J. Courtin, pp. 45–58. Juan-les-Pins : APDCA.
2009 "Le tour au Bronze moyen II au Levant sud : étude technologique des céramiques de Beth-Shean," *The Arkeotek Journal* 3 (n° 4), www.thearkeotekjournal.org www.thearkeotekjournal.org/e_article/index.php?id_article=12

ROUX, V. and MIROSCHEDJI, P. de
2009 "Revisiting the History of the Potter's Wheel in the Southern Levant," *Levant* 41 : 155–173.

CHAPITRE 7

LA POTERIE DU NIVEAU ACR-VIA : Bronze récent IIB (XIIIe siècle)

Michaël JASMIN

Si l'on excepte les tessons peu nombreux du Bronze ancien et du Bronze moyen découverts au niveau Acr-VI, celui-ci a livré en grande majorité de la poterie du Bronze récent II. Celle-ci est rattachée, par convention, au niveau Acr-VIA (voir § 3.4). La définition stratigraphique des couches de ce niveau étant incertaine du fait de l'absence de restes de constructions et d'espaces clos déterminés, il est parfois malaisé de faire la part entre la poterie provenant de couche cohérente au point de vue stratigraphique et celle issue de couches d'érosion. Cette question se pose plus particulièrement au sujet de la céramique importée, dont la quantité relative peut surprendre dans un petit site comme Tel Yarmouth, isolé et éloigné de la côte ; bien que fragmentaire, ce matériel est le témoin d'une vaisselle fine et variée dans ses formes, presque luxueuse.

Parmi les catégories de formes identifiées au niveau Acr-VI (voir **Tableau 6.2** et **Fig. 7.1**), les bols sont de loin les plus nombreux (46 %), devant les jarres (22 %), les cratères (11,3 %), les cruches (9 %) et les marmites (7,3 %). Les autres formes sont comparativement rares.

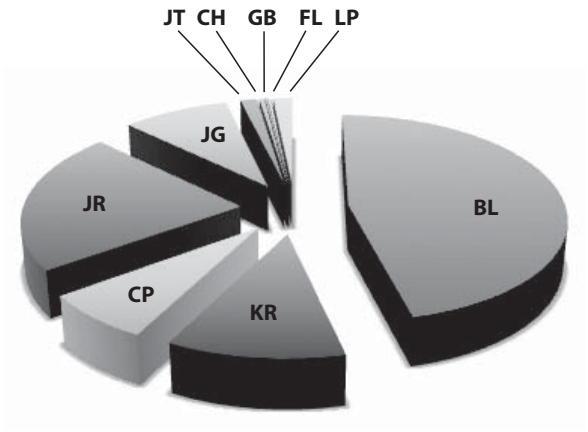


Fig. 7.1. Fréquences des catégories de formes de poterie du niveau Acr-VIA (*cf.* **Tableau 6.2**).

7.1. La céramique de tradition locale

7.1.1. Bols

7.1.1.1. *Typologie*

Les bols présentent une assez grande variété de profils, mais trois types principaux dominent, qui constituent ensemble près des trois-quarts des formes rencontrées : les petits bols hémisphériques à bord vertical et lèvre simple (BL 1A.2a), les bols moyens à paroi évasée et à lèvre à épaississement intérieur (BL 2B.1) et les bols à paroi subcarénée « en S » (BL 1C). À ces groupes s'ajoutent d'autres types (BL 2B.4, BL 2A.2, BL 2A.3), moins fréquents, mais dont l'intérêt typo-chronologique ne doit pas être sous-estimée. Sur vingt-six bases identifiées comme provenant de bols, dix-neuf (73 %) sont discoïdes (**Fig. 7.7:9**), cinq (20 %) sont annulaires (**Fig. 7.4:6**) et deux présentent un profil mixte, avec un anneau en faible relief associé à un fond convexe en contact avec la surface (**Fig. 7.4:10-11**).

BL 1A.2a : Petits bols hémisphériques à bord vertical et à lèvre simple

C'est la forme de bol la plus courante, qui représente jusqu'au tiers du total des bols (**Fig. 7.3:1?–2**). Le profil de la lèvre est invariable et seules des formes complètes permettent d'établir des distinctions typologiques à partir de l'orientation du bord, plus ou moins évasé, du profil de la paroi, plus ou moins arrondie, et de la forme de la base, annulaire, discoïde ou, plus rarement, plate.

Des bols comparables à celui de la **Fig. 7.3:1** sont attestés au Bronze récent dans des sites proches de Tel Yarmouth, tels que Tel Gezer XVI, Tel Harasim V et Tell Beit Mirsim C. Ce bol possédait peut-être une base à pied, à en juger par un exemplaire comparable de Shiloh.

BL 1C et BL 2C.1 : Bols petits et moyens carénés

Les bols carénés dans la tradition du BM II sont toujours présents à la fin du Bronze récent. Celui de la **Fig. 7.3:3** avec une carène marquée est comparable à des exemplaires de Tel Gezer au BR I–II et de Tel Azekah au BR III/Fer IA. La carène peut être légère et la lèvre amincie (**Fig. 7.5:14**). D'autres bols à carène peu marquée et à paroi quasi sinueuse (**Fig. 7.7:1**) annoncent les bols à paroi sinueuse du Fer I.

BL 2A.2 : Petits bols à paroi verticale et lèvre évasée avec un épaississement intérieur

Ce type de bol (**Fig. 7.6:2**) est attesté à Tel Gezer à la fin du XIIIe et au début du XIIe siècle, en même temps que des bols du type BL 2B.4 à paroi épaisse (**Fig. 7.8:1**)[1]. La paroi de ces bols est souvent plus épaisse qu'à l'époque précédente (*cf.* **Fig. 7.7:2–3**).

[1] Dever *et al.* 1974, pl. 26:25 ; Dever *et al.* 1986, pl. 20:11.

BL 2A.3 : Bols moyens à bord vertical et à lèvre éversée

Les bols de ce type sont courants au niveau Acr-VI, où ils représentent près du tiers des bols moyens. La forme habituelle présente une lèvre plus ou moins nettement éversée, généralement à l'horizontale (**Fig. 7.4:2–4**). Une tombe du BR II à Tell Judur au nord de Hébron renfermait un bol de profil similaire. Le bol de la **Fig. 7.4:3**, avec une paroi épaisse et un diamètre relativement étroit, comporte une anse-tenon horizontale de type « *knob-handle* », dont on connaît des équivalents à Lachish VII et à Khirbet Rabud, et que l'on retrouve au Fer I à Tel Qasile X–XI. La lèvre peut présenter une variante avec un sommet en oblique vers l'intérieur et une forme quelque peu « en T » (**Fig. 7.7: 4,7**).

BL 2B.1 : Bols moyens à paroi évasée et à lèvre à épaississement intérieur

Ce type représente lui aussi près d'un tiers des profils de bol. Dans la majorité des cas, l'extrémité de la lèvre est arrondie (**Fig. 7.4:1**) ou amincie (**Fig. 7.6:3**). Le profil du bol est plus ou moins évasé. Les variations sont nombreuses mais l'épaississement intérieur de la lèvre est un détail morphologique qui se retrouvera au niveau Acr-V. Ce profil suggère une datation vers la fin du BR IIB et caractérise la phase de transition du Bronze récent au Fer I. Le sommet peut aussi être presque plat (**Fig. 7.6:1**) et, dans ce cas, le profil est proche du sous-type décrit ci après.

BL 2B.4 : Bols moyens à paroi évasée et lèvre éversée

La paroi peut être fine (**Fig. 7.8:2**) ou plus épaisse (**Fig. 7.8:1**).

BL 3A.2 : Grands bols à lèvre épaissie à l'intérieur

Ce type de bol est peu fréquent mais semble caractéristique du niveau Acr-VI (**Fig. 7.5:15**). C'est ce que suggère la présence de bols analogues dans le mobilier funéraire de tombes bien datées de la fin du BR IIB à Khirbet Rabud et à Tell Judur, l'un et l'autre dans les monts de Judée, au sud-est de Tel Yarmouth. Le bol de Tell Judur, en particulier, présente un profil et un décor intérieur identiques. Ce type de bol semble donc bien attesté à la fin du XIIIe siècle dans les hautes collines de Shéphélah et de Judée.

7.1.1.2. *Technologie*

Dégraissants.– Les éléments non plastiques consistent principalement en du carbonate de calcium (31 %) et des cailloux (29,7 %) (cf. **Fig. 6.10:1**). Le mélange des deux est courant (26,4 %). D'autres éléments s'y ajoutent parfois : des graviers (4,7 %), des éléments organiques (2,7 %) ou, dans 5,4 % des cas, du sable, du quartz ou du coquillage.

Modes de façonnage.– La quasi-totalité des bols (99,9 %) ont été façonnés au tour, soit au tour rapide, soit montés aux colombins et mis en forme à la tournette (« wheel-shaped »). C'est aussi le cas dans la même région à la même époque à Tel Batash[2].

[2] Panitz-Cohen 2009, pp. 215–216.

Traitement des surfaces et décors peints.– Près du quart des bols (24 %) ont été recouverts d'un engobe. Les décors peints sont rares, limités le plus souvent à une bande de peinture soulignant le bord interne et/ou externe (**Figs 7.3:2** ; **7.5:15** ; **7.6:3** ; **7.7:5**). Les motifs décoratifs plus élaborés sont exceptionnels : petits traits sur la lèvre (**Fig. 7.6:1**) ou motif indistinct à l'intérieur du bol (**Fig. 7.7:8**).

Modalités de cuisson.– L'examen des coupes des tessons renseigne sur les conditions de cuisson de la partie supérieure du bol : 35 % ne possèdent pas de cœur, 21 % présentent un cœur gris clair, 31 % un cœur gris moyen et 13 % un cœur gris foncé. Les cuissons plutôt oxydantes sont un peu plus fréquentes (56 %) que les cuissons réductrices (44 %).

Qualité de la céramique.– À partir de la nature et de la taille du dégraissant, de la finesse de la pâte, du caractère de la cuisson et de l'aspect de la surface, on peut distinguer empiriquement parmi les bols cinq catégories de céramique : « commune » dans 65 % des cas, « plutôt fine » (22 %) et « plutôt grossière » (11 %), les catégories « grossière » et « fine » étant comparativement rares (respectivement 0,06 % et 1,8 %). Cela suggère une standardisation des bols avec une tendance vers la production de catégories plutôt fines.

7.1.2. Cratères

7.1.2.1. Typologie

Les cratères constituent 11,3 % de l'ensemble des formes (**Tableau 6.2 et Fig. 7.1**). Trois types sont attestés :

KR 1A. Cratères à lèvre « en T »

Ces cratères sont fréquents à ce niveau. Le profil « en T » de la lèvre est plus ou moins net (**Figs 7.4:8–9**, **7.8:5**), mais la projection extérieure est toujours bien marquée. Le sommet de la lèvre est horizontal (**Fig. 7.4:9**), rarement oblique vers l'extérieur (**Fig. 7.8:6**). La présence d'une anse annulaire est attestée (**Fig. 7.4:8**). La classification du tesson de la **Fig. 7.4:7** parmi les cratères est incertaine en raison de son faible diamètre, qui l'apparente plutôt à une cruche ; l'anse est décorée de trois rainures incisées avant cuisson et des traces de peinture brun-marron sont visibles à l'extérieur de ce vase de fabrication assurément locale. Le cratère **Fig. 7.7:15** (= **Fig. 6.11:10**) n'a guère de parallèle, au point de vue de la forme, que dans une tombe de Tell Judur datée du BR II.

KR 1B.1 à 3 : Cratères à lèvre carrée à sommet horizontal plat

Ce type de cratère est bien représenté au niveau Acr-VI. La lèvre horizontale est généralement à sommet plat, parfois un peu convexe. La partie du bord située au dessus de la carène est plus ou moins haute (**Figs 7.3:6** ; **7.6:5**) et épaissie (**Figs 7.6:6**). Des variantes existent également en fonction de l'orientation de la lèvre, verticale (**Fig. 7.6:6**), légèrement évasée (**Fig. 7.6:5**) ou rentrante (**Fig. 7.3:6**). Khirbet Rabud LB1 et le niveau VII de Lachish, daté du XIIIe siècle, ont livré des cratères de profils similaires, et la tombe de Tell Judur un cratère à bord vertical comparable à celui de la **Fig. 7.6:5**.

KR 1C.1 : Cratères à lèvre à bourrelet interne

Ces cratères à bord rentrant et à lèvre repliée formant un bourrelet interne (**Fig. 7.6:4**) sont très caractéristiques de cette période. On les trouve sur plusieurs sites dans des contextes stratifiés du XIIIe siècle : ainsi au niveau VII de Lachish, à Tell Beit Mirsim et à Gerar, site satellite de Tel 'Aroer. Cette forme n'est plus attestée à Yarmouth dans les niveaux postérieurs au niveau Acr-VI.

Les bases

Neuf bases seulement ont été identifiées, dont cinq discoïdes et quatre annulaires (**Fig. 7.4:10–11**).

7.1.2.2. *Technologie*

Dégraissants.– Les dégraissants employés pour la fabrication des cratères sont différents de ceux des bols : les grains de calcaire sont moins utilisés (13 %), de même que les cailloux (22,5 %) ; en revanche, ces deux éléments sont couramment employés en combinaison (45 %). Les graviers associés à du calcaire ou à des cailloux sont plus fréquents (13 %). Il y a donc un emploi spécifique des dégraissants pour les cratères.

Modes de façonnage.– La majorité des cratères ont été montés aux colombins avec finition au tour (« wheel-shaped »). Quelques cas isolés et moins assurés présentent d'autres techniques, à la main ou aux colombins uniquement.

Traitement des surfaces.– Environ 30 % des cratères sont engobés. Les décors peints sont quasiment absents (9,4 %).

Modalités de cuisson.– Près de 66 % des cratères présentent une tranche avec un cœur gris clair ou gris, 25 % environ un cœur gris foncé (25 %). L'absence de cœur est rare (9,3 %). La cuisson est donc plus couramment réductrice et moins bien contrôlée.

Qualité de la céramique.– La qualité des cratères tend à se rapprocher de celle des bols et relèvent des catégories « commune » (59,4 %) et « plutôt fine » (21,9 %). Près d'un tiers des cratères (28 %) appartient aux catégories « plutôt fine » et « fine », preuve du soin dont ils ont fait l'objet.

7.1.3. Marmites

En raison de leur utilisation domestique, les marmites ont une durée de vie plus courte que les autres vases ; elles connaissent donc des changements typologiques plus rapides et constituent ainsi de bons marqueurs typo-chronologiques[3].

[3] Wood 1990, p. 86.

7.1.3.1. *Typologie*

CP 1A-B : Marmites à bord très évasé

La caractéristique principale des marmites du Bronze récent réside dans l'orientation du bord, qui est nettement évasé. Les principales variations concernent le profil de la lèvre proprement dite, dont le bourrelet externe, court et triangulaire, est concave (**Fig. 7.3**:7) ou rectiligne (**Figs 7.4**:**12** ; 7.**6**:7–**8**), avec généralement un sommet anguleux (**Figs 7.4**:**12**–**13** ; 7.**6**:7–**8**). Les bords faiblement évasés sont peu fréquents et la majorité sont très évasés (**Fig. 7.4**:**12**). L'intérieur de la lèvre présente couramment une surface plane (**Figs 7.3**:7 ; **7.4**:**13** ; 7.**6**:7–**8** ; 7.**8**:7), plus rarement convexe (**Fig. 7.4**:**12**). La carène est souvent marquée (**Figs 7.4**:**12** ; 7.**6**:7).

CP 2 : Marmites à bord peu évasé

On distingue deux sous-types :

- CP 2A. À lèvre à bourrelet triangulaire marqué (**Fig. 7.7**:**11**). Les marmites de ce sous-type se distinguent par un bord peu évasé, voire sub-vertical, un bourrelet externe à sommet arrondi et concave sur sa bordure extérieure. Ce profil annonce des évolutions propres au Fer I.
- CP 2B. À lèvre à bourrelet peu marqué (**Fig. 7.7**:**10**). La lèvre comporte un bourrelet allongé, faiblement marqué et de profil convexe aplati. Ce sous-type est rare au niveau Acr-VI.

7.1.3.2. *Technologie*

Dégraissants.– L'emploi unique de dégraissants à base de grains de calcaire (9 %) ou de cailloux (13,6 %) est minoritaire, leur emploi conjoint étant plus fréquent (32 %). L'ajout de gravier de ouadis associé à du calcaire, des cailloux, ou aux deux, est une pratique courante (27,2 %) pour les marmites. Par ses qualités de résistance thermique, ce dégraissant se prête particulièrement bien à cet emploi car il possède une dureté que n'ont pas les grains de calcaire ni même les cailloux. Un autre dégraissant de cailloux blancs, de petites dimensions, seuls ou mélangés à du calcaire ou des graviers, se trouve en quantité notable (18 %).

Modes de façonnage.– Le façonnage au tour est la technique la plus employée pour les marmites (95,7 %). Les traces d'un montage aux colombins n'ont été observées que sur un seul exemplaire.

Modalités de cuisson.– Un nombre important de marmites (60 %) ont subi une oxydation incomplète et présentent en section un cœur gris ou gris foncé.

Qualité de la céramique.– Les marmites du niveau Acr-VI sont de qualité très médiocre et relèvent en majorité des catégories « grossières » (8,7 %) et « plutôt grossières » (52,2 %). Seules 39,1 % sont d'une qualité « commune ».

7.1.4. Jarres

7.1.4.1. *Typologie*

Comme aucune jarre n'a été retrouvée complète, leur typologie ne peut être établie qu'à partir du profil du col.

JR A1.c : Jarre à col court vertical à lèvre repliée formant un bourrelet

Les jarres de ce type sont les plus courantes au niveau Acr-VI. L'évasement de la lèvre est plus ou moins prononcé (**Figs 7.5:3** ; 7.7:**12**) et le bourrelet plus ou moins allongé (**Figs 7.6:11** ; 7.7:**12**). Le col de jarre de la **Fig. 7.6:11**, avec une lèvre en bourrelet en forme d'amande, est caractéristique à ce niveau.

JR A1.b : Jarre à col court vertical à lèvre repliée en bourrelet court

Le bourrelet court est arrondi (**Fig. 7.3:8**). Une variante présente une lèvre triangulaire à sommet horizontal plat (**Fig. 7.5:4**).

JR B1 : Jarre à haut col droit

Ce type est caractérisé par un col allongé et une paroi peu épaisse terminée par une lèvre triangulaire (**Fig. 7.3:10**) ou un bourrelet concave (**Fig. 7.5:12**). Dans les deux cas, il s'agit d'une forme qui n'est plus attestée après le niveau Acr-VI. Un vase similaire provient de Megiddo VIB.

Les bases

Les fonds de jarre du niveau Acr-VI sont caractéristiques du Bronze récent (**Figs 7.5:8–10** ; **7.7:13** ; **7.8:9**). On signalera les fonds épais où la jonction de la base et du bas de la panse est marquée par un angle (**Fig. 7.5:10**), qui appartiennent à des jarres de stockage[4]. Les fonds larges à paroi épaisse (**Fig. 7.5:8**) sont peu fréquents à Yarmouth, mais bien attestés pour les jarres de stockage contemporaines[5]. Le fond de jarre de la **Fig. 7.5:9** appartient à une jarre de plus petite dimension, peut-être de forme ovoïde.

7.1.4.2. *Technologie*

Dégraissants.– Les dégraissants de cailloux sont courants (27,8 %), souvent associés à du calcaire (29,6 %). Les grains de calcaire sont utilisés seuls dans 11,1 % des cas, de même que le gravier mélangé à d'autres minéraux (11,1 %). D'autres éléments assez variés se rencontrent dans la pâte des jarres : des éléments organiques (3,7 %), des particules de quartz, des grains blancs, du sable, de la chamotte (16,7 %).

Modes de façonnage.– L'examen des cols de jarre indique que le montage aux colombins avec mise en forme à la tournette (« wheel-shaping ») est la principale technique de façonnage utilisée (90,5 %). Quelques cols suggèrent un montage aux colombins avec une finition

[4] *Cf.* Killebrew 2007, p. 167, figs 1:2 (Family 11), 3:14.
[5] Killebrew 2007, fig. 4:3.

ultérieure à la tournette (« wheel-finishing »). Toutefois, il importe de remarquer qu'il est souvent malaisé par le seul examen des macro-traces de déterminer précisément la technique de façonnage employée[6].

Modalités de cuisson.– On note une certaine homogénéité dans les modes de cuisson (réductrice, oxydante ou moyenne).

Qualité de la céramique.– Les jarres du niveau Acr-VI relèvent essentiellement de la catégorie « commune » (68,9 %).

7.1.5. Cruches

7.1.5.1. *Typologie*

JG 2B.3 : Cruche à col évasé avec une lèvre épaissie en bourrelet

Le col nettement évasé se termine par une lèvre épaissie à bourrelet interne (**Fig. 7.5:1**) ou externe (**Fig. 7.5:2**).

JG 2A.1 : Cruche à col droit à lèvre épaissie débordante

Ce type peu courant de col de cruche (**Fig. 7.6:9**), caractérisé par un léger décrochement vers l'extérieur au niveau de la lèvre, est attesté à Tel Qasile XII, en contexte contemporain. Un profil comparable (**Fig. 7.3:9**), mais avec un diamètre de 12 cm, suggère qu'il pourrait s'agir dans ce cas d'un bord de col de jarre.

JG 1A : Cruche à col étroit

Cette cruche à lèvre simple et verticale (**Fig. 7.5**:7) est unique à ce niveau. Un vase similaire provient du mobilier d'une tombe du BR II à Jérusalem.

Les bases

Il est malaisé d'identifier les bases de cruche, qui ne se distinguent guère des bases de bols. Le fragment de la **Fig. 7.5:11** provient peut-être d'une cruche à base discoïde.

7.1.5.2. *Technologie*

Dégraissants.– Les grains de calcaire (24 %), les cailloux (32 %) et les deux associés (20 %) forment la base des dégraissants utilisés. On observe aussi des dégraissants organiques avec une fréquence accrue (12 %).

Modes de façonnage.– Le tournage est attesté pour 84,4 % des tessons de cruche. Rares sont les cruches façonnées à la main (9,4 %) et aux colombins seulement (6,2 %).

[6] Panitz-Cohen (2009, p. 218) fait état de la même difficulté à propos des jarres contemporaines de Tel Batash.

Traitement des surfaces.– 12,5 % des tessons de cruches sont engobés et 34,4 % portent un motif peint.

Modalités de cuisson.– Les cuissons sont dans des proportions équivalentes oxydantes et réductrices, puisque 34,4 % des tessons ne présentent pas de cœur, et 37,5 % ont un cœur gris. Toutefois, la moitié environ des poteries semblent plutôt mal cuites.

Qualité de la céramique.– Bien que généralement d'une qualité « commune » (71,9 %), on constate qu'une partie non négligeable des cruches se rattache aux catégories « plutôt fine » (15,6 %) et « fine » (6,25 %). Conjuguée à la fréquence des décors peints, cette observation confirme que les cruches, comme les cratères, sont une production céramique soignée.

7.1.6. Cruchettes

Les caractéristiques typologiques des cruchettes sont difficiles à préciser du fait de leur rareté relative dans l'échantillon de poterie du niveau Acr-VI. Elles semblent avoir toutes été façonnées à la main.

On signalera un fond de cruchette (**Fig. 7.5:13**) fait à la main dont le bord a été retaillé afin de servir de petit récipient.

7.1.7. Calices

Très peu de bords de calice ont été reconnus dans ce niveau. Les quelques tessons identifiés ont une lèvre éversée (**Fig.** 7.4:5) et relèvent du type CH 1. Cet exemple correspond à un calice de petite taille, au profil peu sinueux.

7.1.8. Gobelets

Le fragment de bord de la **Fig. 7.6:10** pourrait provenir d'un gobelet de type GB 1. Un autre exemple de gobelet à lèvre fine et allongée, légèrement épaissie vers son sommet (**Fig.** 7.3:4), présente sous le bord un motif peint caractéristique du Bronze récent, qui apparaît souvent à l'intérieur de bols, mais disposé verticalement.

7.1.9. Autres formes

Aucun tesson de flasque ou de pyxide n'a été identifié à niveau. Quant aux lampes, les tessons retrouvés sont trop fragmentaires pour que l'on puisse en préciser les caractéristiques.

7.1.10. Tessons peints

On signalera encore deux tessons peints en céramique locale : un bord de cratère décoré de lignes peintes obliques parallèles (**Fig. 7.7:15 = Fig. 7.2:9**) et un fragment d'épaule d'une cruche (?) décorée de végétaux (?) (**Fig. 7.7:19 = Fig. 7.2.10**), pour lesquels nous n'avons pas trouvé de parallèles.

7.2. Les céramiques importées

Malgré la faible extension de la zone fouillée, ce niveau a livré les différentes catégories de céramiques importées – chypriotes, mycéniennes, syriennes – rencontrées habituellement sur les sites de cette époque. On notera que des tessons relevant de ces catégories de céramiques importées du BR IIB ont également été retrouvés dans les niveaux plus récents, en particulier au niveau Acr-IB, où ils ont certainement été « remontés ».

7.2.1. Importations chypriotes

La plupart des tessons de céramique chypriote importée relèvent de la catégorie « *White Slip II, Dotted-Row Style* » (**Fig. 7.2:1–3** = **Figs 7.3:5** et **7.7:17–18**). Quelques tessons appartenant à la catégorie « *Base-Ring II* » sont également présents (**Fig. 7.7:16** = **Fig. 7.2:4**).

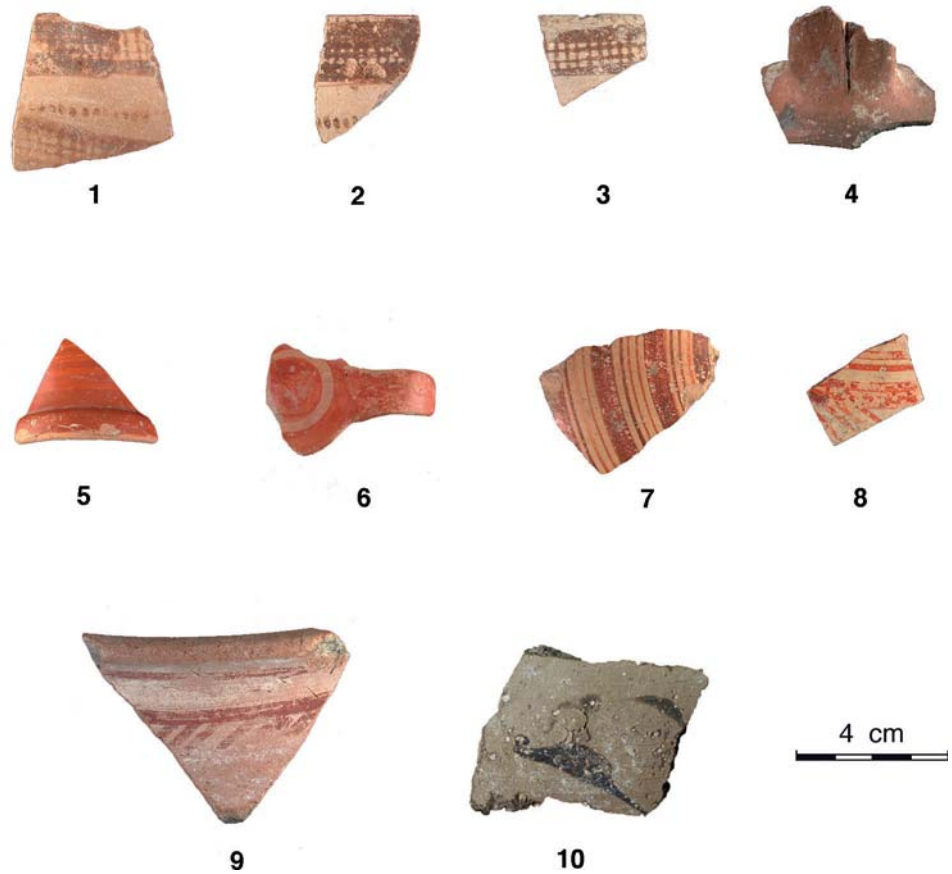


Fig. 7.2. Tessons chypriotes (1–4), mycéniens (5–8) et tessons peints divers (9–10).
1. A.9716-1 (**Fig. 10.20 :18**). 2. A.10739-11 (**Fig. 7.3 :5**). 3. A.9786-8 (**Fig. 7.7 :18**). 4. A.10860-1 (**Fig. 7.7 :16**). 5. A.10717-2 (**Fig. 7.5 :17**). 6. A.10724-1 (**Fig. 7.5 :16**). 7. A.10702-1 (**Fig. 7.5 :6**). 8. A.10686-1 (**Fig. 8.10 :9**). 9. A.10876-1 (**Fig. 7.7 :15**). 10. A.10625-1 (**Fig. 7.7 :19**).

7.2.2. Importations mycéniennes

Toutes les céramiques mycéniennes importées relèvent de la catégorie « Mycénienne IIIB », comme sur les sites contemporains du Levant méridional. Les formes se limitent à des cruches (**Fig. 7.2:5–6** = **Fig. 7.5:16–17**) et des flasques (**Fig. 7.2:7** = **Fig. 7.5:6** ; **Fig. 7.7:14**), qui sont les formes les plus courantes dans cette catégorie de céramique[7].

7.2.3. Importation syrienne

Il s'agit d'une base de bouteille à peinture rouge (« *Red Lustrous Syrian Bottle* ») (**Fig. 7.8:8**). Ce vase originaire de Syrie du nord est un cas unique à Yarmouth.

7.3. Conclusion

La position stratigraphique des couches ayant livré de la poterie du Bronze récent sous le niveau Acr-V daté du XIIe siècle, ainsi que la présence de céramiques importées bien datées par ailleurs, indiquent que le niveau Acr-VI relève du BR IIB et qu'il pourrait remonter à la fin du XIIIe siècle - début du XIIe siècle (**Tableau 24.1**).

Le répertoire typologique, les techniques de fabrication, la nature et la couleur des pâtes, les dégraissants utilisés sont autant d'éléments qui signalent que la poterie de ce niveau est ancrée dans une tradition céramique cananéenne de la fin du Bronze récent. Il s'agit plus précisément d'une production régionale caractéristique du sud de la Palestine. Plusieurs parallèles avec le mobilier de sites du BR II des monts de Judée, en particulier pour des bols (**Figs 7.4:4** ; **7.5:15**), des cratères (**Figs 7.6:6** ; **7.7:15**) ou des marmites (**Fig. 7.6:7**) découverts à Khirbet Rabud et à Tell Judur, confirment que l'assemblage céramique de Yarmouth au BR II se rattache à une tradition culturelle des monts de Judée caractérisée par des traits typologiques distinctifs.

Les catégories de céramiques y sont peu variées, à la différence de ce que l'on observe au Bronze moyen ou au BR I. Les poteries sont de qualité moyenne et reflètent une production standardisée avec un maîtrise technique amoindrie par rapport au Bronze moyen. On constate une quasi-absence de céramiques fines dans le répertoire, des décors peu nombreux et peu variés, rarement appliqués sur des poteries de qualité. Enfin, on note également l'absence d'influences culturelles extérieures : des catégories de céramiques étrangères (chypriote, mycénienne) s'ajoutent au matériel local cananéen, mais sans s'y mélanger, et sans faire l'objet d'imitation locale.

[7] Leonard 1994, pp. 6–10.

Références

Amiran, R.
1960 "A Late Bronze Age II Pottery Group from a Tomb in Jerusalem," *Eretz Israel* 6 : 27* (résumé anglais), 25–37 (en hébreu).

Ben-Arieh, S.
1981 "Tell Judur," *Eretz-Israel* 15 (Aharoni Memorial Volume) : 81* (résumé anglais), 115–128 (en hébreu).

Briend, J. et Humbert, J.-B.
1980 *Tell Keisan (1971-1976), une cité phénicienne en Galilée*. Fribourg, Suisse : Éditions universitaires / Göttingen : Vandenhoeck & Ruprecht / Paris : Gabalda.

Dever, W. G., Lance, H. D., Bullard, R. G., Cole, D. P. and Seger, J. D.
1974 *Gezer II: Report of the 1967–70 Seasons in Fields I and II* (Annual of the Hebrew Union College / Nelson Glueck School of Biblical Archaeology). Jerusalem : HUC / NGSBA.

Dever, W. G. *et al.*
1986 *Gezer IV: The 1969–71 Seasons in Field VI, the « Acropolis »* (Annual of the Hebrew Union College / Nelson Glueck School of Biblical Archaeology). Jerusalem : HUC / NGSBA.

Dothan, M.
1971 *Ashdod II–III. The Second and Third Seasons of Excavations. 1963, 1965* (*'Atiqot* IX–X). Jerusalem : Department of Antiquities and Museums.

Finkelstein, I., Bunimovitz, S. and Lederman, Z., eds.
1993 *Shiloh. The Archaeology of a Biblical Site* (Monographs of the Institute of Archaeology n°10). Tel Aviv : Tel Aviv University.

Fritz, V. and Kempinski, A.
1983 *Ergebnisse der Ausgrabungen auf der Ḫirbet el-Msas (Tel Masos)* (Abhandlungen des Deutschen Palästina-Vereins). Wiesbaden : Harrassowitz.

Gazit, D. and Gophna, R.
1993 "An Unfortified LB Age Site at Gerar : Survey Finds," *'Atiqot* XXII : 15–19 (en hébreu), 152 (résumé en anglais).

Giv'on, S.
1996 *The Sixth Excavation Season at Tel Harasim (Nahal Barkai) 1995. Preliminary Report 6.* Tel Aviv, 1996. Rapport inédit.

Greenberg, R.
1987 "New Light on the Early Iron Age at Tell Beit Mirsim," *Bulletin of the American Schools of Oriental Research* 265 : 55–80.

Killebrew, A.
2007 "The Canaanite Storage Jar Revisited," in *Up to the Gates of Ekron, Essays on the Archaeology and History of the Eastern Mediterranean in Honor of Seymour Gitin*, edited by S. W. Crawford, pp. 166–188. Jerusalem : The W. F. Albright Institute of Archaeological Research, the Israel Exploration Society.

Kleiman, S., Gadot, Y. and Lipschits, O.
2016 "A Snapshot of the Destruction Layer of *Tell Zakarīyel*/Azekah Seen Against the Backdrop of the Final Days of the Late Bronze Age." *Zeitschrift des Deutschen Palästina-Vereins* 132(2) : 105–133.

Kochavi, M.
1974 "Khirbet Rabud = Debir," *Tel Aviv* 1 : 2–33.

Leonard Jr., A.
1994 *Late Bronze Age Aegean Pottery from Syria-Palestine* (Studies in Mediterranean Archaeology 64). Jonsered : P. Åströms.

Loud, G.
1948 *Megiddo II. Seasons of 1935–39* (Oriental Institute Publications 62). Chicago. Illinois : The University of Chicago Press.

MAZAR, A.
1985 *Excavations at Tel Qasile.* Part Two. *The Philistine Sanctuary: Various Finds, the Pottery, Conclusions, Appendices* (Qedem, Monographs of the Institute of Archaeology 20). Jerusalem : Institute of Archaeology, Hebrew University of Jerusalem.

PANITZ-COHEN, N.
2009 "Technological Change and Continuity in the Organization of Ceramic Production at Tel Batash in the Second Millennium BCE," in *Techniques and People, Anthropological Perspectives on Technology in the Archaeology of the Proto-Historic and Early Historic Periods in the Southern Levant* (Mémoires et Travaux du Centre de Recherche Français à Jérusalem 9), edited by S. A. Rosen and V. Roux, pp. 213–231. Paris : De Boccard.

SEGER, J. D.
1988 *Gezer V: The Field I Caves*, edited by J. D. Seger and H. D. Lance (Annual of the Hebrew Union College / Nelson Glueck School of Biblical Archaeology). Jerusalem : HUC / NGSBA.

SINGER-AVITZ, L.
2004 "The Middle Bronze Age Pottery from Areas D and P," in *The Renewed Excavations at Lachish (1973–1994)*. Vol. III (Tel Aviv University Sonia and Marco Nadler Institute of Archaeology Monograph Series No. 22), edited by D. Ussishkin, pp. 900–965. Tel Aviv : Tel Aviv University, Emery and Claire Yass Publications in Archaeology.

WOOD, B. G.
1990 *The Sociology of Pottery in Ancient Palestine: the Ceramic Industry and the Diffusion of Ceramic Style in the Bronze and Iron Ages* (Journal for the Study of the Old Testament. Supplement Series 103, Monographs 4, JSOT/ASOR). Sheffield : Sheffield Academic Press.

YANNAI, E.
2004 "The Late Bronze Age from Area S," in *The Renewed Excavations at Lachish (1973–1994)*. Vol. III, Chapter 19 (Tel Aviv University Sonia and Marco Nadler Institute of Archaeology Monograph Series No. 22), edited by D. Ussishkin, pp. 1032–1046. Tel Aviv : Emery and Claire Yass Publications in Archaeology.

Figure 7.3

N°	Type	N° objet	Locus	Description	Comparaisons
1	BL 1A.2a	A.10829-8	2314-2	Bord de bol. Céram. assez fine à dégr. min. Cœur gris sombre. Surf. noire. Tourné. Trop cuit.	• Gezer XVI (BR IIA) : Dever *et al.* 1986, pl. 10:15. • Beit Mirsim C (BR II) : Greenberg 1987, fig. 4:1. • Harasim V (BR II) : Giv'on 1996, pl. VI:6. • *Cf.* Shiloh VI (BR) : Finkelstein *et al.* 1993, pl. 6.33.
2	BL 1A.2a	A.10829-1	2314-2	Bord de bol. Céram. comm. à dégr. min. Cœur gris. Surf. brun clair. Ligne peinte sur la lèvre. Tourné. Cuisson moyenne.	• Keisan 9a-b (Fer I) : Briend et Humbert 1980, pl. 66:4a.
3	BL 2C.1	A.10744-3	2314-1	Bord de bol. Céram. assez grossière à dégr. min. Cœur gris. Eng. beige à l'ext. et sur la lèvre à l'int. Tourné. Cuisson moyenne.	• Azekah (BR III/Fer IA) : Kleiman *et al.* 2016, p. 113 et fig. 4:4. • Gezer XVII-XVI (BR I-II) : Seger 1988, pl. 7:25.
4	GB	A.10729-1	2314-1	Bord de gobelet ? Céram. assez fine à dégr. min. Eng. rouge clair à l'ext. Décor peint (une ligne horizontale ondulée brun-rouge entre deux lignes droites brun foncé/noir). Tourné. Bonne cuisson.	
5	BL	A.10739-11	2314-1	Bord de bol chypriote en céramique « *White-Slip II* » (« *dotted-row style* »). Céram. fine à dégr. min. Pas de cœur. Surf. beige avec décor peint brun. Fait à la main. Bonne cuisson. **Photo : Fig. 7.2:2.**	• Ashdod XVII (BR II) : Dothan 1971, pl. 34:19.
6	KR 1B.2	A.10729-6	2314-1	Bord de cratère. Céram. comm. à dégr. min. Cœur gris. Eng. ext. beige clair, gris au dessus de la carène à l'ext. Tourné.	• Lachish VII (BR II) : Yannai 2004, fig.19.24:3.
7	CP 1A	A.10739-10	2314-1	Bord de marmite. Céram. assez grossière à dégr. min. Cœur gris sombre. Surf. brun sombre. Tourné. Très cuit.	*Cf.* **Fig. 7.8 :7.**
8	JR A1.b	A.10739-7	2314-1	Bord de col de jarre. Céram. assez grossière à dégr. min. Cœur gris. Surf. beige-brun. Tourné. Cuisson moyenne.	• Gezer XIV (BR III) : Dever *et al.* 1986, pl. 16:18.
9	JR A1.b	A.10834-3	2314-2	Bord de jarre. Céram. comm. à dégr. min. Cœur gris léger. Surf. beige. Tourné. Cuisson moyenne.	• Qasile XII (Fer I) : Mazar 1985, fig. 15:6.
10	JR B1	A.10771-2	2314-2	Bord de col de jarre. Céram. comm. à dégr. min. Cœur gris léger. Surf. beige clair. Tourné. Cuisson moyenne.	• Megiddo VII (BR II) : Loud 1948, pl. 71:1.



Fig. 7.3. Sondage 2, poterie du niveau Acr-VIA (BR IIB) : L.2314.

Figure 7.4

N°	Type	N° objet	Locus	Description	Comparaisons
1	BL 2B.1	A.10702-11	2309B	Bord de bol. Céram. comm. à dégr. min. Cœur gris. Surf. beige. Tourné.	
2	BL 2A.3	A.10702-5	2309B	Bord de bol. Céram. comm. à dégr. min. Cœur gris sombre. Surf. beige. Bande peinte brun-rouge sur la lèvre. Tourné.	• *Cf.* Azekah (BR III/Fer IA) : Kleiman *et al.* 2016, fig. 4:3.
3	BL 2A.3	A.10702-19	2309B	Bord de bol à anse verticale de type « *knob-handle* ». Céram. comm. à dégr. min. et végét. Cœur gris. Surf. beige. Bande peinte rouge sur la lèvre. Tourné.	• Lachish VII (BR II) : Yannai 2004: fig. 19.13:22. • Kh. Rabud LB1 (BR II) : Kochavi 1974, fig. 5:8. • T. Qasile X–XI (Fer I) : Mazar 1985, p. 43 et fig. 33:35.
4	BL 2A.3	A.10703-1	2309B	Bord de bol. Céram. assez grossière à dégr. min. Cœur gris sombre. Eng. beige clair à l'int. et à l'ext. Tourné.	• Judur (BR II) : Ben-Arieh 1981, pl. 1:22.
5	CH 1	A.10702-7	2309B	Bord de calice. Céram. assez fine à dégr. min. Pas de cœur. Surf. beige. Tourné.	
6	BL	A.10702-9	2309B	Base annulaire de bol. Céram. assez fine à dégr. min. Cœur gris sombre. Surf. brune. Tourné.	
7	KR 1A.1a	A.10702-2	2309B	Bord de cratère (?) à anse annulaire verticale fragm. avec trois incisions longitudinales. Céram. assez fine à dégr. min. Cœur gris sombre. Surf. beige soigneusement lustrée. Peinture marron sur le bord.	
8	KR 1A.1a	A.10702-12	2309B	Bord de cratère à anse annulaire. Céram. comm. à dégr. min. Cœur gris sombre. Eng. beige-vert à l'int. et sur l'anse. Tourné.	• Gezer XVII-XVI (BR I-II) : Seger 1988, pl. 9:13.
9	KR 1A.1a	A.10703-3	2309B	Bord de cratère. Céram. comm. à dégr. min. Cœur gris sombre. Surf. beige. Tourné.	
10	KR	A.10703-12	2309B	Base annulaire de cratère. Céram. assez fine à dégr. min. Cœur gris. Surf. brun clair. Tourné.	• Gezer XVI-XV (BR IIA-B) : Dever *et al.* 1986, pl. 12:3.
11	KR	A.10703-14	2309B	Base annulaire de cratère. Céram. assez gross. à dégr. min. Cœur gris sombre. Surf. brun clair. Tourné.	• Gezer XIV (BR III) : Dever *et al.* 1974, pl. 25:11. • Gezer XVI (BR IIA) : Dever *et al.* 1986, pl. 10:16.
12	CP 1B	A.10702-6	2309B	Bord de marmite. Céram. comm. à dégr. min. Cœur gris sombre. Surf. brun sombre à l'ext. Tourné.	• Gezer XVII-XVI (BR I-II) : Seger 1988, pl. 7:6.
13	CP 1B	A.10702-17	2309B	Bord de marmite. Céram. comm. à dégr. min. Cœur gris. Surf. brun-rouge à l'ext. Tourné.	

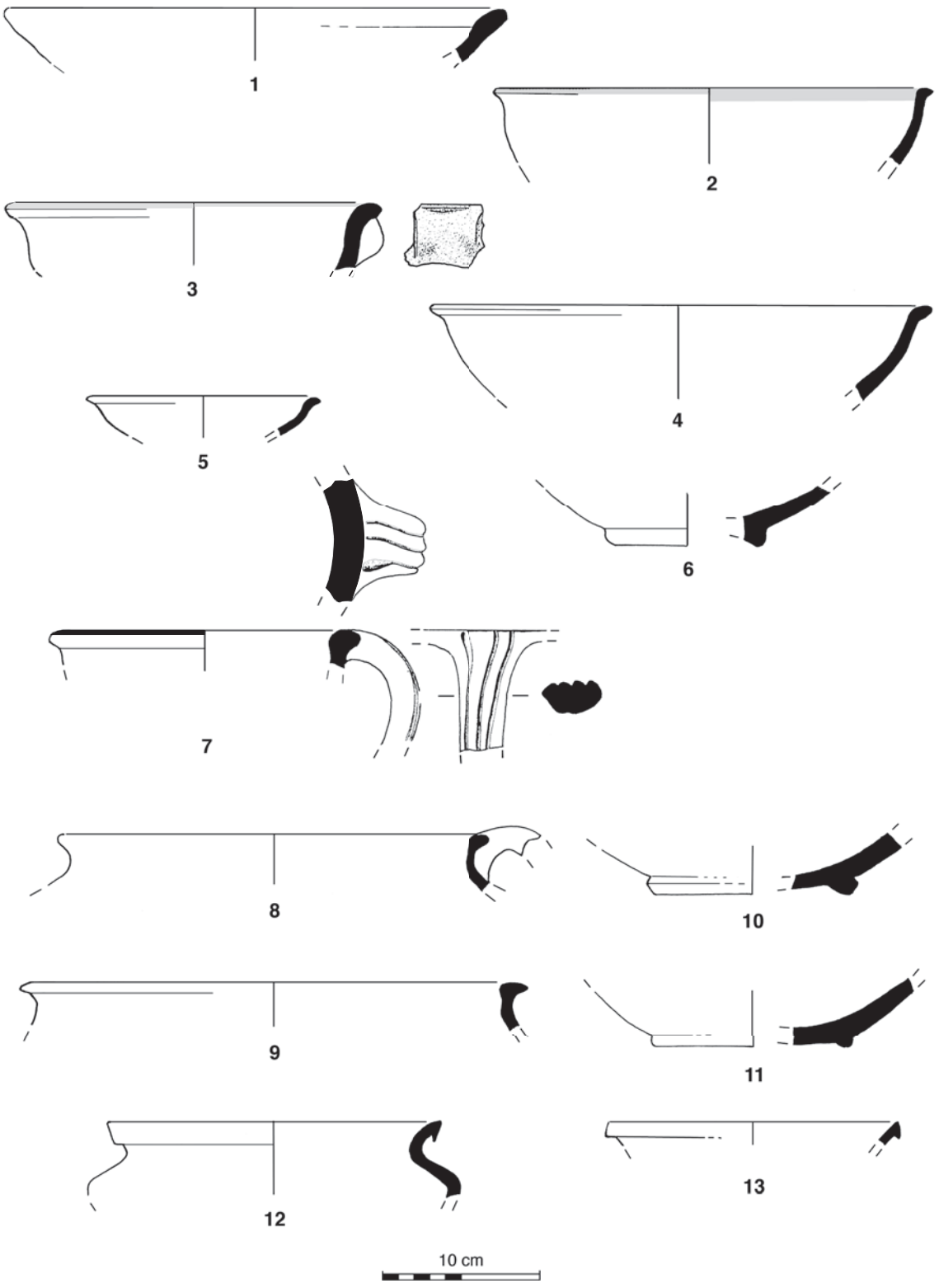


Fig. 7.4. Sondage 2, poterie du niveau Acr-VIA (BR IIB) : L.2309B.

Figure 7.5

N°	Type	N° objet	Locus	Description	Comparaisons
1	JG 2B.3	A.10703-2	2309B	Bord de col de cruche. Céram. comm. à dégr. min. Cœur gris sombre. Surf. beige. Tourné.	
2	JG 2B.3	A.10702-14	2309B	Bord de col de cruche. Céram. assez fine à dégr. min. Pas de cœur. Eng. beige pâle à l'ext. Tourné.	• Beit Mirsim B1 (BR III) : Greenberg 1987, fig. 6:8.
3	JR A1.c	A.10702-8	2309B	Bord de jarre. Céram. comm. à dégr. min. Pas de cœur. Eng. beige clair à l'ext. Tourné.	
4	JR A1.b	A.10702-13	2309B	Bord de jarre. Céram. comm. à dégr. min. Cœur gris sombre. Eng. beige à l'int. Tourné.	
5	JR	A.10702-3	2309B	Tesson de panse de jarre avec départ d'anse. Céram. comm. à dégr. min. Cœur gris léger. Eng. beige clair à l'ext. Bande brun-rouge peinte sous l'anse. Tourné.	
6	FL	A.10702-1	2309B	Panse de gourde mycénienne. Céram. fine à dégr. min. Pas de cœur. Décor peint à l'ext. de cercles concentriques orange sur fond beige crème. Mycénien IIIB ou IIIA ? Fait à la main. **Photo : Fig.** 7.2:7.	
7	JG 1A	A.10703-10	2309B	Bord de col de cruche. Céram. comm. à dégr. min. Pas de cœur. Surf. beige. Tourné.	• Jérusalem (BR II) : Amiran 1960, pl. 3:40.
8	JR	A.10702-10	2309B	Base de jarre. Céram. comm. à dégr. min. Cœur gris sombre. Surf. brun-rouge. Tourné.	
9	JG	A.10703-13	2309B	Base de jarre. Céram. comm. à dégr. min. Cœur gris sombre. Eng. beige clair à l'ext. Tourné.	• Gezer XIV-XIII (BR III-Fer IB) : Dever *et al.* 1986, pl. 17:13.
10	JR	A.10703-17	2309B	Base de jarre. Céram. comm. à dégr. min. Cœur gris sombre. Surf. brun-beige à l'ext. Tourné.	• Gezer XVI (BR IIA) : Dever *et al.* 1986, pl. 11:12.
11	JG	A.10703-16	2309B	Base discoïde de cruche. Céram. comm. à dégr. min. Cœur gris sombre. Surf. beige. Tourné.	
12	JR B1	A.10800-1	2309B	Bord de jarre ou cruche ? Céram. comm. à dégr. min. Cœur gris léger. Surf. brun-rouge. Bien cuit. Tourné.	• Megiddo VIB (BR II/Fer I) : Loud 1948, pl. 73:11. • Lachish VII (BR II) : Yannai 2004, fig. 19.18:13.
13	JT	A.10724-2	2309B	Fond de cruchette retaillée. Céram. comm. à dégr. min. Cœur gris léger. Surf. brun. Fait à la main. Cuisson moyenne.	
14	BL 2C.1	A.10728-2	2309B	Bord de bol. Céram. fine à dégr. min. Cœur gris léger. Surf. brun-rose. Tourné. Bien cuite.	• Gezer XVII-XVI (BR I-II) : Seger 1988, pl. 7:26.
15	BL 3A.2	A.10800-3	2309B	Bord de bol. Céram. comm. à dégr. min. Cœur gris. Surf. beige. Sommet de la lèvre peint en marron-rouge, ligne peinte à l'int. Tourné. Cuisson moyenne.	• Kh. Rabud (tombes BR II) : Kochavi 1974, fig. 9:16. • T. Judur (BR II) : Ben-Arieh 1981, pl. 2:1.

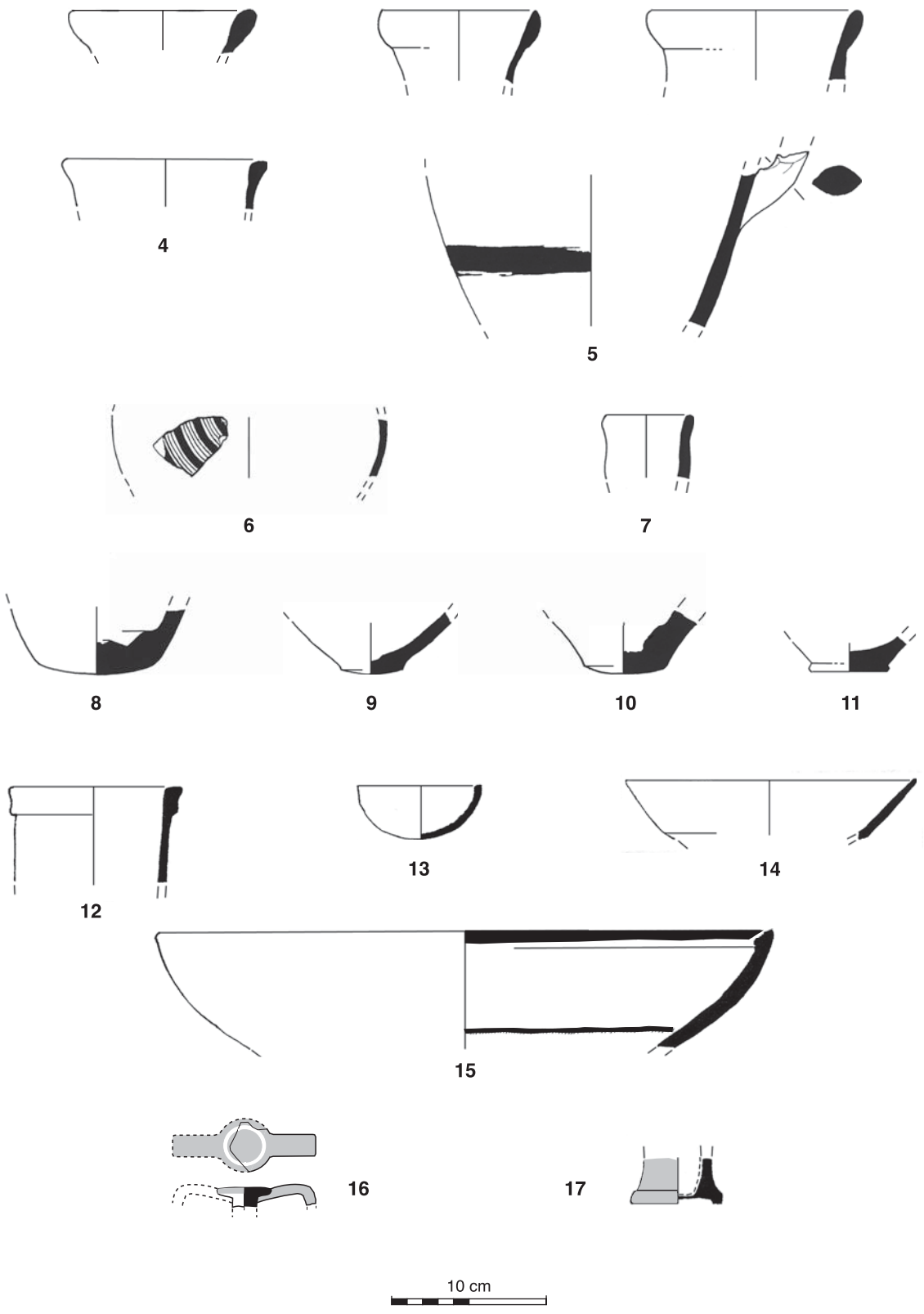


Fig. 7.5. Sondage 2, poterie du niveau Acr-VIA (BR IIB) : L.2309B.

N°	Type	N° objet	Locus	Description	Comparaisons
16	JG	A.10724-1	2309B	Fragment d'un vase à étrier mycénien. Céramique fine à dégr. min. très fin. Pas de cœur. Surf. brun clair à l'int., orange-rouge à l'ext. Très bonne cuisson. Fait à la main. **Photo : Fig. 7.2:6.**	
17	JG	A.10717-2	2309B	Base de cruche mycénienne. Céramique fine à dégr. min. très fin. Pas de cœur. Surf. beige clair à l'int., rouge-orange à l'ext. Très bonne cuisson. Fait à la main. **Photo : Fig. 7.2:5.**	

Figure 7.6

N°	Type	N° objet	Locus	Description	Comparaisons
1	BL 2B.1	A.10743-3	1173-2	Bord de bol. Céram. assez fine à dégr. min. Pas de cœur. Surf. brun clair. Décor peint sur la lèvre de traits blancs et noirs alternés. Tourné. Cuisson bonne.	• Gezer XIV-XIII (BR III-Fer IB) : Dever *et al.* 1974, pl. 26:25.
2	BL 2A.2	A.10740-2	1173-2	Bord de bol. Céram. assez fine à dégr. min. Cœur gris léger. Surf. beige. Tourné. Cuisson bonne.	
3	BL 2B.1	A.10756-10	1173-2	Bord de bol. Céram. comm. à dégr. min. Pas de cœur. Surf. brun clair. Peinture brun-rouge sur la lèvre. Tourné.	• Ashdod XVIII (BR I) : Dothan 1971, pl. 31:4.
4	KR 1C.1	A.10763-3	1173-2	Bord de cratère. Céram. assez fine à dégr. min. et végét. Cœur gris léger. Eng. beige clair à l'int. et à l'ext. Tourné.	• Gerar (BR II) : Gazit and Gophna 1993, fig. 2:4. • T. Beit Mirsim : Greenberg 1987, pl. 4:17.
5	KR 1B.3	A.10722-3	1173-2	Bord de cratère. Céram. comm. à dégr. min. Cœur gris léger. Surf. brun clair. Tourné. Cuisson moyenne.	• Tell Judur (BR II) : Ben-Arieh 1981, pl. 2:6.
6	KR 1B.1	A.10756-14	1173-2	Bord de cratère. Céram. comm. à dégr. min. Cœur gris. Surf. brune. Tourné.	• Kh. Rabud LB1 (BR II) : Kochavi 1974, fig. 5:2. • Judur (BR II) : Ben-Arieh 1981, pl. 2:6.
7	CP 1B	A.10795-1	1173-2	Bord de marmite. Céram. assez grossière à dégr. min. Pas de cœur. Surf. brun sombre à l'ext. Tourné.	• Judur (BR II) : Ben-Arieh 1981, pl. 3:5.
8	CP 1B	A.10722-5	1173-2	Bord de marmite. Céram. assez grossière à dégr. min. Cœur gris léger. Surf. brun sombre. Tourné.	
9	JG 2A.1	A.10756-8	1173-2	Bord de cruche. Céram. assez fine à dégr. min. Pas de cœur. Surf. beige. Tourné. Cuisson assez bonne.	• Masos I (Fer I) : Fritz and Kempinski 1983, pl. 132:17.
10	GB 1	A.10730-3	1173-2	Bord de gobelet. Céram. comm. à dégr. min. Cœur gris. Surf. brune. Tourné. Cuisson moyenne.	• Masos III (BR III) : Fritz and Kempinski 1983, pl. 131:16.
11	JR A1.c	A.10770-9	1173-surf. b	Bord de col de jarre. Céram. comm. à dégr. min. Cœur gris léger. Surf. brune. Tourné. Cuisson moyenne.	• Beit Mirsim B1 (BR III) : Greenberg 1987, pl. 5:7.

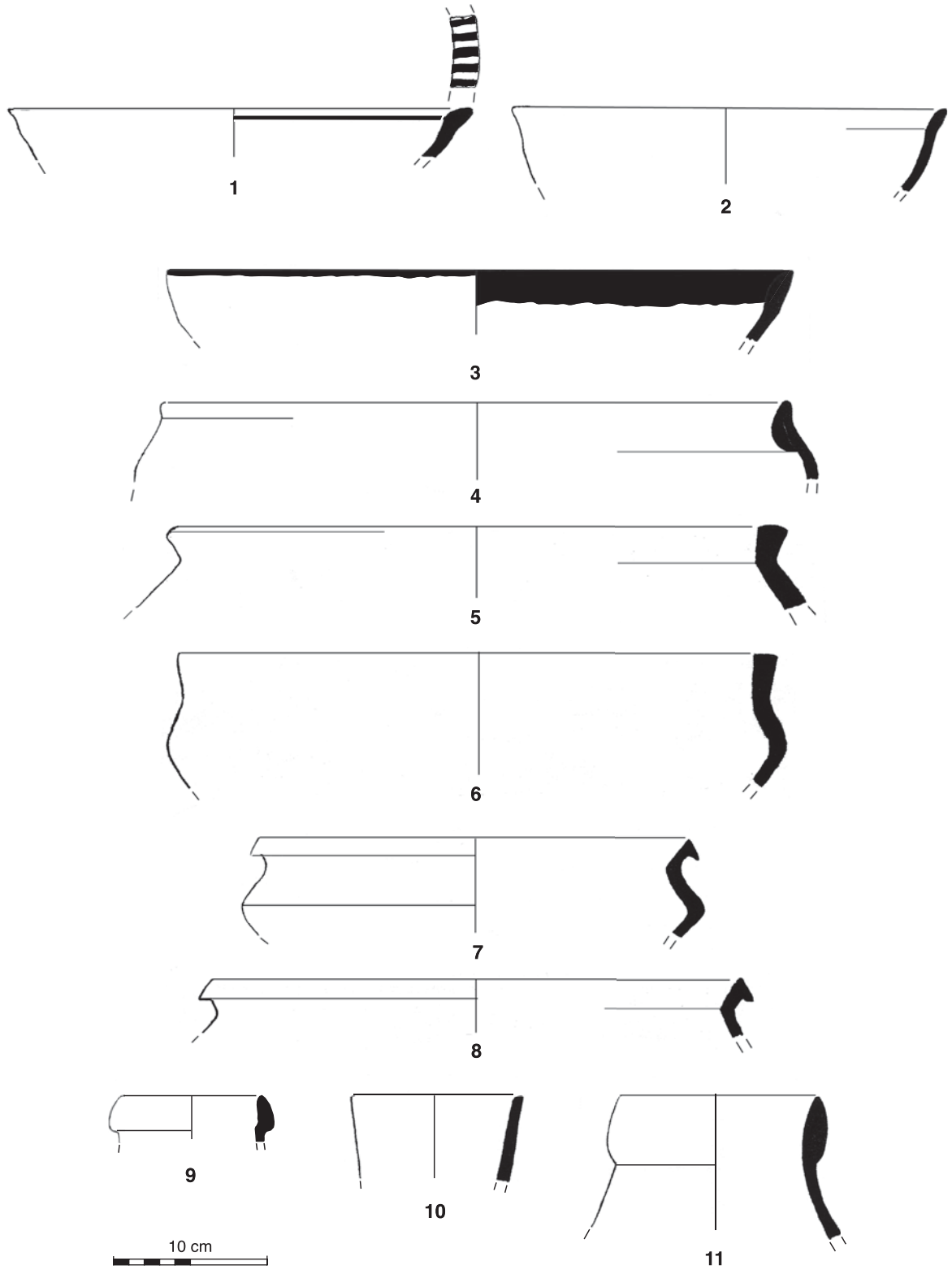


Fig. 7.6. Sondage 2, poterie du niveau Acr-VIA (BR IIB) : L.1173-2.

Figure 7.7

N°	Type	N° objet	Locus	Description	Comparaisons
1	BL 2A.2	A.10711-4	1173-sol a	Bord de bol Céram. comm. à dégr. min. Cœur gris léger. Surf. beige. Tourné.	
2	BL 2A.2	A.10707-8	1173-1 = sol a	Bord de bol. Céram. comm. à dégr. min. Pas de cœur. Surf. beige. Tourné.	• Gezer XIV (BR III) : Dever *et al.* 1986, pl. 16:26.
3	BL 2A.2	A.10688-5	1173-1	Bord de bol. Céram. comm. à dégr. min. Cœur gris. Surf. brun-gris. Tourné.	• Gezer XIV-XIII (BR III-Fer IB) : Dever *et al.* 1974, pl. 26:11. • Gezer XIII (Fer IB) : Dever *et al.* 1986, pl. 24:19. • Beit Mirsim B1 (BR III) : Greenberg 1987, fig. 4:17.
4	BL 2A.3	A.10688-2	1173-1	Bord de bol. Céram. assez fine à dégr. min. Pas de cœur. Surf. beige. Tourné.	• Gezer XV-XIV (BR IIB-III) : Dever *et al.* 1986, pl. 13:20. • Beit Mirsim B1 (BR III) : Greenberg 1987, fig. 5:12.
5	BL 2A.1	A.10707-05	1173-1 + sol a	Bord de bol. Céram. comm. à dégr. min. Cœur gris sombre. Eng. beige clair à l'int. et à l'ext. Bande peinte rouge. Tourné.	
6	BL 2A.3	A.10653-11	1173-sol a	Bord de bol. Céram. assez fine à dégr. min. Cœur gris. Surf. beige. Tourné. Bonne cuisson.	
7	BL 3	A.10707-3	1173-1 + sol a	Bord de bol. Céram. assez fine à dégr. min. Pas de cœur. Eng. brun avec traces de lustrage. Tourné.	• Gezer XII (Fer IB) : Dever *et al.* 1974, pl. 28:10. • Beit Mirsim B2 (Fer IB) : Greenberg 1987, fig. 10:16.
8	KR	A.10711-1	1173-sol a	Tesson de cratère. Céram. assez fine à dégr. min. Cœur gris léger. Eng. lustré brun sur les deux faces. Deux traits noirs peints à l'int. Tourné.	
9	KR	A.10688-6	1173-1	Base discoïde de cratère (?). Céram. comm. à dégr. min. Cœur gris léger. Eng. beige à l'ext. sur la base. Tourné.	• Gezer XIV (BR III) : Dever *et al.* 1974, pl. 25:12.
10	CP 2B	A.10688-1	1171-1	Bord de marmite. Céram. comm. à dégr. min. Cœur gris sombre. Surf. brun sombre à l'ext. Tourné.	• Beit Mirsim B1 (BR III) : Greenberg 1987, fig. 5:4.
11	CP 2A	A.10707-6	1173-1 + sol a	Bord de marmite. Céram. assez gross. à dégr. min. Pas de cœur. Surf. rouge sombre. Tourné.	
12	JR A1.c	A.10707-4	1173-1 + sol a	Bord de jarre. Céram. assez fine à dégr. min. Pas de cœur. Surf. brun clair. Tourné.	
13	JR	A.10707-2	1173-1 + sol a	Base de jarre. Céram. assez fine à dégr. min. fin. Pas de cœur. Surf. beige. Tourné.	
14	FL ?	A.10653-1	1173-sol a (1153)	Panse de gourde (?) mycénienne. Céram. fine à dégr. min. très fin. Pas de cœur. Peinture brun-rouge sur un fond beige clair. Fait à la main.	

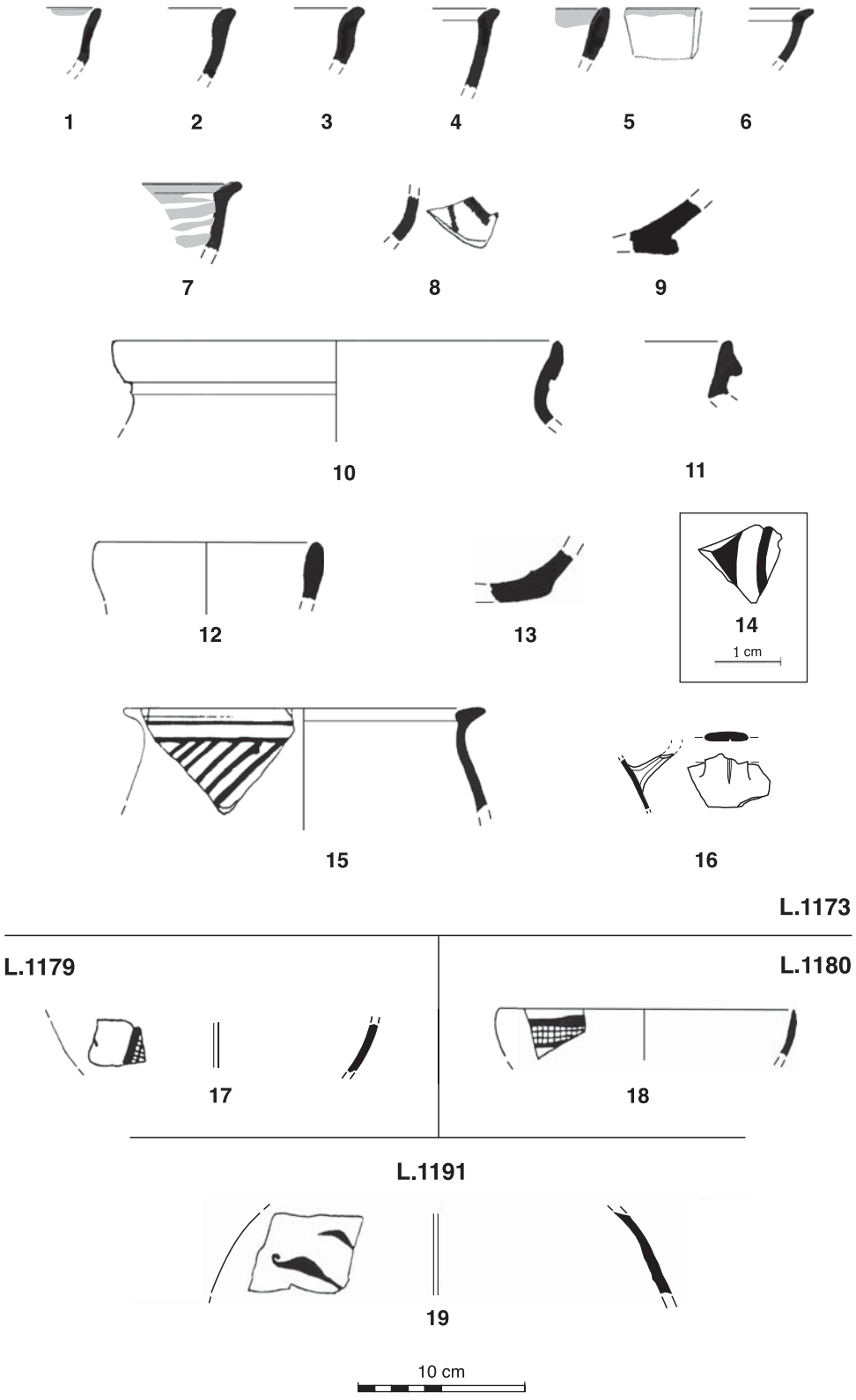


Fig. 7.7. Sondage 2, poterie du niveau Acr-VIA (BR IIB) : L.1173, 1179, 1180, 1191.

N°	Type	N° objet	Locus	Description	Comparaisons
15	KR 1A.1b	A.10876-1	1173-3/4	Bord de cratère. Céram. assez fine à dégr. min. Cœur gris. Peinture rouge sur fond blanc. Traces de colombin avec reprise au tour. Cuisson moyenne. **Photo : Fig. 7.2:9.**	• Judur (BR II) : Ben-Arieh 1981, pl. 3:VI.
16	JG	A.10860-1	1173-surf. b	Anse de cruche de type « *Base-Ring II* » chypriote. Céram. fine à dégr. min. Cœur gris. Surf. rouge-gris à l'ext. Bonne cuisson. Fait à la main. **Photo : Fig. 7.2:4.**	
17	BL	A.9772-1	1179-1 (h.s.= Acr-IB2)	Fragment de bol (« milk-bowl ») chypriote en céramique « *White Slip II* » (« *dotted row-style* »). Céram. fine à dégr. min. Cœur gris. Surf. beige. Peinture rouge-brun sur fond blanc-gris à l'int. et à l'ext. Fait à la main.	
18	BL	A.9786-8	1180-1 (h.s.= Acr-IB2)	Bord de bol (« *milk-bowl* ») chypriote en céramique « *White Slip II* » (« *dotted row-style* »). Céram. fine à dégr. min. Cœur gris. Eng. beige clair sur les deux faces. Peinture rouge à l'ext. Fait à la main. **Photo : Fig. 7.2:3.**	
19	JG	A.10625-1	1191-2 (h.s.= Acr-IB2)	Panse de cruche. Céram. comm. brune à dégr. min. Cœur gris léger. Eng. ext. brun-beige. Surf. ext. peignée au tour. Façonnage au colombin. Peinture brun foncé (motif floral). Tourné ? **Photo : Fig. 7.2:10.**	

Figure 7.8

N°	Type	N° objet	Locus	Description	Comparaisons
1	BL 2B.4	A.9728-21	1174 + 1173-1	Bord de bol. Céram. assez fine à dégr. min. Section grise. Surface brun-rouge clair à l'int. et brun clair à l'ext. Traces de peinture sur le bord et à l'int. Tourné. Bien cuit.	• Gezer XIII (Fer IB) : Dever *et al.* 1986, pl. 20:9,11.
2	BL 2B.4	A.9726-20	1173-1 + sol a	Bord de bol. Céram. comm. à dégr. min. mêlé de chamotte. Surf. int. gris clair lustrée verticalement. Surf. ext. brun clair avec traces de chaux. Tourné. Cuisson moyenne.	
3	BL, CH ?	A.9728-15	1174 + 1173-1	Bord de calice ? Céram. comm. à dégr. min. Section grise. Surf. int. et ext. brun-rouge clair. Tourné. Assez bonne cuisson.	• Qasile VIII (Fer II) : Mazar 1985, fig. 55:18.

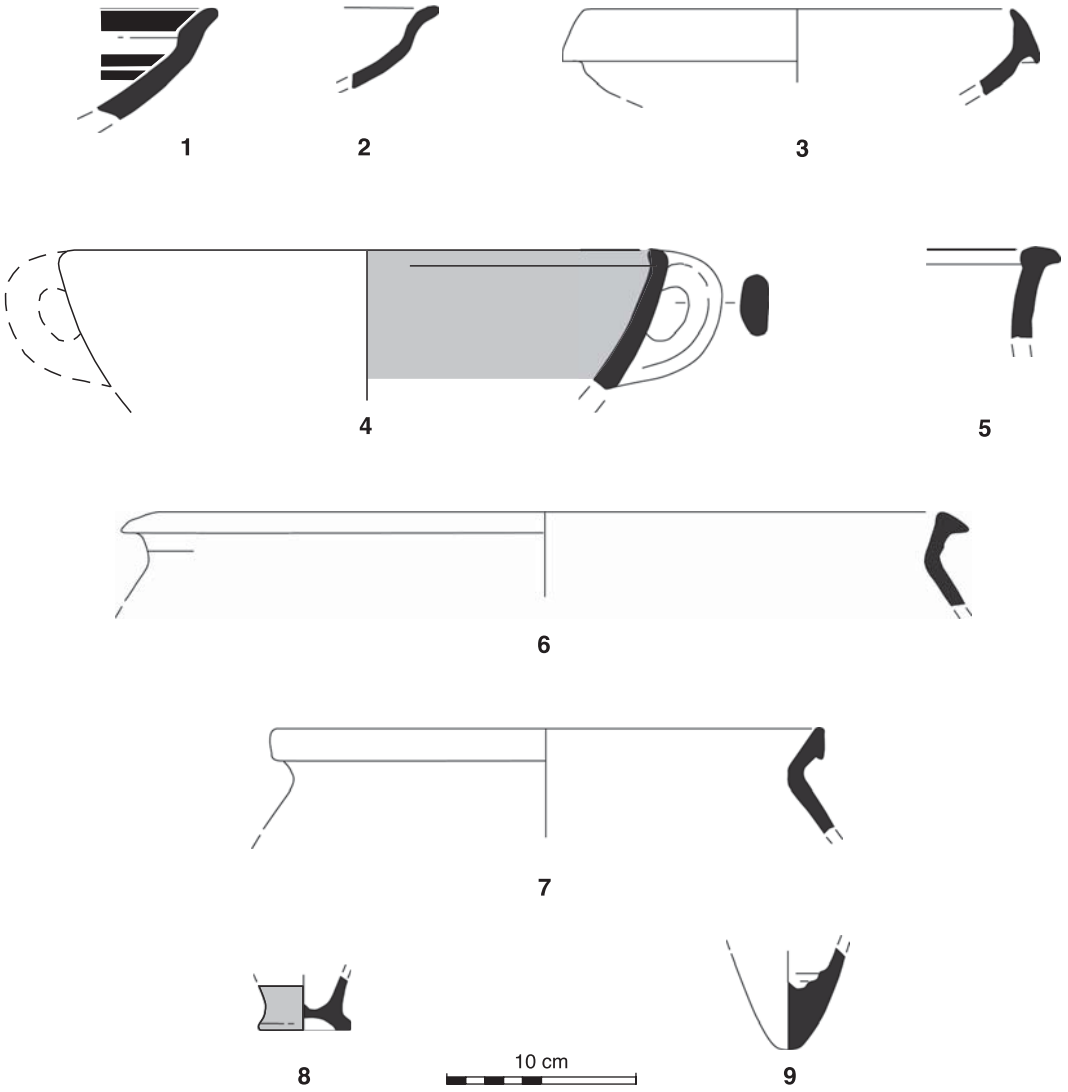


Fig. 7.8. Sondage 2, poterie du niveau Acr-VIA (BR IIB) : L.1173.

N°	Type	N° objet	Locus	Description	Comparaisons
4	KR 1D ?	A.9730-3	1174 + 1173-2	Bord de cratère. Céram. gross. à dégr. min. Section brun-clair. Surf. brun clair. Eng. rouge lustré à l'int. Cuisson moyenne.	• *Cf.* Lachish P-6 (BM II) : Singer-Avitz 2004, fig. 16.9:11.
5	KR 1A.1a	A.9726-7	1173-1 + sol a	Bord de cratère. Céram. gross. à dégr. min. mêlé de chamotte. Section gris clair. Surf. brun-rouge clair. Tourné. Cuisson moyenne.	• Gezer XIII (Fer IB) : Dever *et al.* 1986, pl. 25:11.
6	KR 1A.1c	A.9728-1	1174 + 1173-1	Bord de cratère. Céram. comm. à dégr. min. Section brun clair. Surf. rouge clair. Eng. brun clair. Tourné. Cuisson moyenne.	• Gezer XV-XIII (BR II-Fer I) : Dever *et al.* 1986, pls 13:12, 25:11.
7	CP 1B	A.9731-10	1174 + 1173-2	Bord de marmite. Céram. gross. à dégr. min. mêlé de chamotte. Section gris foncé. Surf. brune. Traces de suie sur la lèvre et à l'int. Tourné. Cuisson moyenne.	• Azekah (BR III/Fer IA) : Kleiman *et al.* 2016, fig. 5:3.
8	JG	A.9731-1	1174 + 1173-2	Base annulaire (*Red Lustrous Syrian Bottle*). Céram. assez fine à dégr. min. fin. Section brun-rouge. Surf. brun-rouge clair. Traces de peinture rouge. Traces de chaux à l'int. Bonne cuisson.	
9	JT	A.9733-7	Fosse 1174 ?	Base de cruchette à fond pointu. Céram. comm. à dégr. min. mêlé de chamotte. Section grise. Surf. brun-gris. Eng. brun-rouge clair. Cuisson moyenne.	

CHAPITRE 8

LA POTERIE DU NIVEAU ACR-V : Bronze récent III/Fer IA (milieu du XIIe siècle)

Michaël JASMIN

Le matériel céramique du niveau Acr-V, pour lequel ont été distinguées deux phases, VA et VB, est stratigraphiquement bien isolé puisqu'il provient de sols (L.1153, L.1186, L.2309 et L.2312) associés à des murs.

8.1. LA CÉRAMIQUE DE TRADITION LOCALE

L'assemblage des formes de poterie du niveau Acr-V (voir **Tableau 6.2 et Fig. 8.1**) est dominé par les bols (48 %), les jarres (14,4 %) et les marmites (12,4 %), qui représentent ensemble près des trois-quarts des formes répertoriées. Deux autres catégories de formes sont fréquentes : les cratères (11 %) et les cruches (9 %). Les autres catégories sont peu représentées : calices (0,5 %), gobelets (0,8 %), cruchettes (2 %), flasques (0,5 %), lampes (1 %).

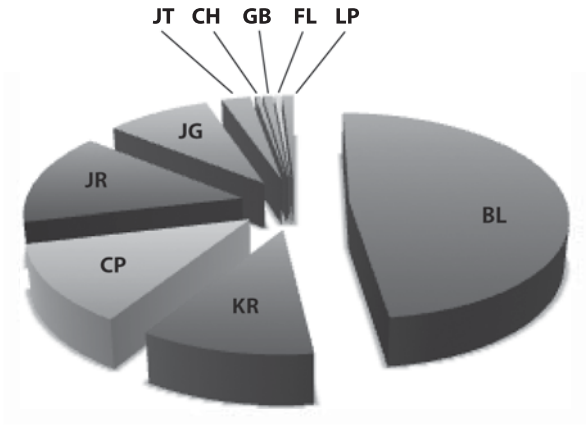


Fig. 8.1. Fréquences des catégories de formes de poterie du niveau Acr-V (*cf.* **Tableau 6.2**).

8.1.1. Bols

8.1.1.1. *Typologie*

Sur un échantillon de 114 bols de profil identifiable au niveau Acr-V, 45 % sont des petits bols, avec un diamètre compris entre 12 et 18 cm. Les bols moyens, dont le diamètre

oscille entre 22 et 26 cm, représentent 28 % de l'ensemble, et les grands bols, dont le diamètre dépasse 30 cm, à peine 11 %. Les parois sont généralement peu épaisses – sauf pour quelques exemplaires, tels que les bols à lèvre « en T » (**Figs 8.7:16** ; **8.12:5**) ou celui de la **Fig. 8.11:7.** Près de 90 % des bols ont une base discoïde, à peine 10 % une base annulaire. Une variante de base discoïde est caractérisée par un fond concave (**Fig. 8.7:20**).

Les types suivants sont attestés à ce niveau :



Fig. 8.2. Petit bol BL 1A.1b (A.10915-1, **Fig. 8.12:1**).

8.1.1.1.1. Petits bols

• BL 1A.1a–b : Petits bols hémisphérique à paroi arrondie

Les petits bols hémisphériques à paroi arrondie constituent le groupe le plus nombreux, qui représente près de 30 % de l'ensemble. On distingue deux variantes, selon le profil de la lèvre, arrondie (BL 1A.1a : **Figs 8.10:2** ; **8.13:3**) ou amincie (BL 1A.1b : **Figs 8.10:3–4**, **8.12 1–2** [= **Fig. 8.2**]). D'un diamètre inférieur à 20 cm, cette forme simple, attestée avec peu de variations dans chaque niveau, n'a guère de valeur chronologique. Au point de vue morphologique, ces bols sont souvent proches du type 1A.2a décrit ci-après

• BL 1A.2a–b : Petits bols hémisphériques à bord vertical

Ce type est moins fréquent que le précédent. Le profil de la paroi est incurvé, en sorte que le bord est vertical avec une lèvre simple (BL 1A.2a **: Fig. 8.13:4**), ou un peu amincie (BL 1A.2b **: Fig. 8.6:1**).

• BL 1B.1 : Petit bol à paroi évasée et lèvre simple

Les bols bas à paroi évasée et à lèvre simple (**Fig. 8.11:1**), d'un diamètre d'une vingtaine de centimètres, poursuivent une tradition qui remonte au Bronze moyen et sont très fréquents au BR II[1]. En revanche, ils sont rares au BR III, de même que les exemplaires plus profonds (**Fig. 8.7:1**).

[1] Greenberg 1987, pp. 63–64.

• BL 1E.1-2. : Petits bols à bord rentrant

C'est une forme rare à cette époque. La lèvre peut être simple (**Fig. 8.7:5**) ou épaissie et excurvée (**Fig. 8.7:17**).

8.1.1.1.2. Bols moyens et grands bols

• BL 2A.3 : Bols moyens à bord vertical et à lèvre éversée

Ce type de bol est le plus fréquent après les petits bols à lèvre simple (BL 1A.1a, BL 1A.2a et BL 1B.1) et représente entre le quart et le tiers du total des bols attestés à ce niveau (**Figs 8.7:6–8** ; **8.10:1,5–8** ; **8.12:6–7**). Il est proche du type à paroi sinueuse (BL 2D) mais s'en distingue par une paroi peu galbée et une lèvre éversée à l'horizontal. Le profil de la lèvre présente une certaine homogénéité morphologique, indépendamment de la dimension des bols.

• BL 2B.1 : Bols moyens à paroi évasée et à lèvre épaissie à l'intérieur

L'épaississement interne de la lèvre peut prendre différents aspects suivant l'inclinaison du bord (**Figs 8.6:7** ; **8.7:12** ; **8.11:2,4,6** ; **8.13:6–7,9**). Très caractéristiques sont les exemplaires dont la lèvre est soulignée à l'intérieur par un renflement ou un léger bourrelet (**Fig. 8.6:7**), qui peut donner au bol un profil presque sinueux. À Gézer, ces bols sont typiques de la phase de transition Bronze récent-Fer I, dans la première moitié du XIIe siècle[2].

• BL 2B.2 : Bols moyens à paroi évasée et à lèvre épaissie à l'extérieur

Les bols à lèvre épaissie vers l'extérieur sont peu fréquents. Le bourrelet peut être peu marqué (**Fig. 8.6:6**), ou bien anguleux (**Fig. 8.13:5**). On peut rattacher à ce groupe des petits bols de profil presque caréné (**Fig. 8.7:13–14**), dont l'un comporte une anse-tenon ; rare à cette époque, ce mode de préhension est attesté notamment à Tel Qasile à la fin du XIIe siècle[3].

• BL 2B.3 : Bols moyens à lèvre en forme de « T »

Ces bols ont une paroi généralement plus épaisse que celle des autres bols (**Figs 8.7:15–16** ; **8.10:10–11** ; **8.12:3**). La lèvre présente un épaississement plus ou moins marqué, parfois nettement en forme de « T », avec un sommet oblique vers l'intérieur (**Figs 8.7:16** ; **8.10:11**) ou l'extérieur (**Figs 8.7:15**), ou bien horizontal (**Fig. 8.10:10** ; **8.12:3**). Des bols de profils comparables existent dans les assemblages de sites plus au nord, tel que Izbet Sartah.

• BL 2D 2–3 : Bols à paroi sinueuse et à lèvre éversée

Les bols dont la paroi sinueuse affecte un profil « en S » (« *cyma profile* ») se développent durant cette phase pour atteindre une fréquence considérable au cours du Fer I (**Figs 8.7:2–3,9–11,18** ; **8.11:3,5,7**). Cette sinuosité du profil des bols est apparue au terme d'une

[2] Dever *et al.* 1986, p. 57.
[3] Mazar 1985, p. 37.

évolution dont le point de départ se situe au Bronze moyen[4], et dont on peut suivre les étapes au cours du Bronze récent ; il s'agit donc d'un marqueur typo-chronologique significatif. Les bols carénés du Bronze récent poursuivent la tradition de leurs antécédents du Bronze moyen (*cf.* **Fig. 5.1:1**), mais avec un profil quelque peu modifié. Au cours du XIIe siècle, le profil caréné est progressivement remplacé par un profil sinueux, qui aboutit à une forme nouvelle. Les étapes de cette évolution se traduisent par le passage d'une carène marquée et assez basse au Bronze moyen à un profil d'abord peu sinueux et situé près du bord au XIIe siècle, puis fortement sinueux au XIe siècle, comme l'attestent certains bols du niveau Acr-III (*cf.* **Figs 10.12:4 ; 10.17:6 ; 10.20:10**).

Le diamètre de ces bols varie entre 20 et 30 cm. La sinuosité du profil est tantôt très peu marquée, comme sur le bol de la **Fig. 8.7:2**, dont la finesse anticipe les formes de la fin du XIIe siècle, tantôt nettement accentuée, d'une manière qui préfigure les évolutions de la fin du XIIe siècle et du XIe siècle (**Fig. 8.7:11,18**).

- Autres formes

  Les autres types de bols trouvés à ce niveau sont comparativement rares :
  – Un bol à lèvre horizontale plate (**Fig. 8.13:8**) est proche des bols de type BL 2A.3, mais son profil est nettement plus évasé.
  – Un bol à paroi épaisse et à lèvre « en T » oblique vers l'intérieur (**Fig. 8.12:5**) rappelle les bols du type BL 2B.3, mais s'en distingue par un profil plus galbé. Un bol comparable a été trouvé dans un contexte contemporain à Tell Beit Mirsim B1.

8.1.1.2. *Technologie*

Dégraissants.– L'étude de 160 tessons de bols permet de noter des préférences marquées dans l'emploi du dégraissant. Les mêmes dégraissants minéraux qu'au niveau précédent sont utilisés. Le calcaire comme dégraissant unique est attesté dans 38 % des cas, les cailloux dans 21,4 % et le mélange des deux, dans des proportions variées, dans 35,7 % des cas. L'usage de sable se retrouve pour 3,5 % des bols. L'emploi d'un dégraissant uniquement organique n'a pu être établi que pour deux tessons (1,4 %). Pour une vingtaine d'entre eux le dégraissant était difficilement déterminable, trop fin ou simplement non identifié. Concernant les dimensions du dégraissant, celui-ci mesure généralement de 0,5 à 2 mm, dont une majorité avec une taille proche de 1 mm.

Modes de façonnage.– Le tournage est utilisé dans 90 % des cas. Environ 10 % des bols semblent avoir été montés seulement à la main.

Décor.– Sur un échantillon représentatif de 130 tessons de bol, on constate que 33 % d'entre eux portent les traces d'un engobe, qui peut se trouver à l'extérieur (25 %), à l'intérieur (35 %) ou bien sur les deux faces (40 %). Seuls 6 % des bols portent un décor, limité le plus souvent à une ou quelques bandes peintes, généralement sur le sommet de la lèvre du côté intérieur (**Fig. 8.7:5,10**), ou bien simplement une ligne peinte à l'intérieur sous

[4] Dever *et al.* 1986, p. 78.

la lèvre (**Fig. 8.12:3**). Les motifs restent dans la tradition de ceux du Bronze récent avec, en particulier, un motif de palmier à l'intérieur du bol (**Fig. 8.7:19**).

Cuisson.– 37 % des tessons ne possèdent pas de cœur, 26 % ont un cœur légèrement gris, 22 % un cœur gris et 15 % un cœur gris foncé. La cuisson semble être oxydante dans 63 % des cas.

Qualité de la céramique en rapport avec le traitement des surfaces.– La majorité (50,3 %) des bols relèvent de la catégorie des céramiques « communes », avec un dégraissant mesurant entre 1 et 3 mm. Parmi eux, 27 % possèdent un engobe et 6,7 % un décor, soit un tiers avec un traitement de la surface. Les céramiques « plutôt grossières » (25,5 %) ont un dégraissant mesurant de 1 et 3–4 mm. Pour 29 % d'entre elles, le dégraissant est constitué de grains de calcaire et visible sur les deux faces, ce qui donne à ces poteries un aspect caractéristique pour ce niveau. 34 % ont un engobe. Quant aux céramiques « grossières » (3,3 %), elles renferment le plus souvent un gros dégraissant, de 1 à 7 mm, parfois visible sur les deux faces en résultat d'une cuisson mal contrôlée. Les céramiques appartenant à la catégorie « plutôt fine » (18 %) ont un dégraissant entre 0,5 et 1mm ; 44,5 % ont un engobe et 11 % un décor, soit plus de la moitié avec un traitement de la surface. Les céramiques de la catégorie « fine » (2,7 % des bols), ont un dégraissant dont le diamètre est inférieur à 0,5 mm.

On constate qu'il n'y a pas de relation directe entre le traitement des surfaces et la qualité médiocre d'une céramique résultant de l'utilisation d'un dégraissant grossier et d'une cuisson moyennement maîtrisée. En effet, le traitement des surfaces n'est pas réservé aux céramiques de qualité, mais concerne l'ensemble des bols. On note toutefois qu'une proportion plus importante de poteries de la catégorie « plutôt fine » ont bénéficié d'un traitement de leur surface.

8.1.2. Cratères

8.1.2.1. *Typologie*

Vingt-trois bords de cratères ont été identifiés. 65 % d'entre eux mesurent entre 22 et 28 cm de diamètre, 22 % entre 30 et 34 cm, et seulement 9 % plus de 40 cm. La taille moyenne des cratères coïncide donc globalement avec celle des grands bols (entre 20 et 30 cm). De fait, les morphologies des cratères et des bols sont parfois proches, ce qui suggère des utilisations complémentaires.

Deux caractéristiques définissent les cratères : une panse carénée dont le diamètre est supérieur à celui de l'ouverture et une paroi plus épaisse que celle des bols. La présence d'anses annulaires verticales reliant le bord à la carène est un élément courant (**Figs 8.11:8** ; **8.12:10** ; **8.13:10**,**12**). Le profil de la paroi présente généralement une carène peu marquée (**Figs 8.10:12** ; **8.12:10** ; **8.13:10**) et celui de la lèvre est majoritairement en forme de « T ». Ce profil de la lèvre est souvent considéré comme un élément caractéristique du Fer I[5]. Les variations morphologiques concernent l'orientation du bord, qui est vertical ou

[5] Dever *et al.* 1986, p. 77.

rentrant ; l'inclinaison du sommet de la lèvre, qui est horizontal, oblique vers l'intérieur ou vers l'extérieur ; enfin, l'épaisseur de la lèvre, qui est variable selon que le « T » est marqué ou non. Ces variations définissent les types suivants :

8.1.2.1.1. Cratères à lèvre « en T » marqué

Les cratères à lèvre « en T » marqué ou épaissi sont les plus courants au niveau Acr-V. On distingue deux variantes :

- KR 1A.1a : Cratères à lèvre « en T » marqué à sommet horizontal

  Le sommet horizontal de la lèvre est plus ou moins convexe (**Figs 8.10:14** ; **8.13:10**).

- KR 1A.1b : Cratères à lèvre « en T » marqué à sommet oblique vers l'intérieur

  C'est le sous-type le plus fréquent (**Figs 8.6:2,8** ; **8.10:12** ; **8.13:11**). La carène est plus ou moins marquée. Le bord rétréci de la **Fig. 8.6:8** est un cas isolé, dont la classification comme cratère est d'ailleurs incertaine. Le cratère de la **Fig. 8.6:2** se distingue par un engobe brun-rouge lustré qui l'apparente à la catégorie des cratères à engobe rouge lustré (« *Red-Slip Burnished* »), généralement considérée comme chronologiquement postérieure[6]. Un autre cratère de ce niveau (**Fig. 8.8:5**) comporte aussi un engobe rouge lustré.

8.1.2.1.2. Cratères à lèvre « en T » peu marqué

On reconnaît trois sous-types :

- KR 1A.2a: Cratères à lèvre « en T » peu marqué et à sommet horizontal

  C'est une forme courante au niveau Acr-V (**Figs 8.12:10** ; **8.13:10**). La lèvre « en T » peu marqué a un sommet convexe.

- KR 1A.2b : Cratères à lèvre « en T » peu marqué à sommet oblique vers l'intérieur

  Forme peu fréquente (**Fig. 8.8:5**). Le sommet de la lèvre est arrondi, proche de l'exemple précédent, et la carène est peu marquée.

- KR 1A.2c :Cratères à lèvre « en T » peu marqué à sommet oblique vers l'extérieur

  Ce sous-type est rare. La lèvre peut être légèrement (**Fig. 8.10:13**) ou nettement oblique vers l'extérieur (**Fig. 8.8:4**).

8.1.2.1.3. Cratère à lèvre autre qu'en forme de « T »

Forme rare, avec un engobe interne et externe (**Fig. 8.13:14**).

[6] Greenberg 1987, p. 69.

8.1.2.1.4. Les bases

Les bases de cratère, à la différence des bols, présentent des profils nettement distincts (**Figs 8.6:3** ; **8.8:6,8–9** ; **8.11:9** ; **8.13:13**). Leur épaisseur est variable, plus grande que celle des bols, mais dépasse rarement 2 à 3 cm (**Fig. 8.8:8**). Leur diamètre est compris entre 10 et 14 cm. Les bases annulaires représentent entre les deux-tiers et les trois-quarts des bases de cratère, alors qu'elles sont rares parmi les bols ; l'anneau est soit nettement (**Figs 8.11:9** ; **8.13:13**), soit peu marqué (**Fig. 8.6:3**). Une variante des bases annulaires, moins fréquente, est caractérisée par un anneau associé à un fond convexe dont la partie centrale est en contact avec la surface (**Fig. 8.8:6,9**). Près du quart des bases sont discoïdes (**Fig. 8.8:8**).

8.1.2.2. *Technologie*

Dégraissants.– Un dégraissant unique de grains de calcaire est observé dans 39 % des cas, de cailloux dans 15 %, l'usage des deux dégraissants combinés dans 36 % des cas. Pour 10 % des tessons, un élément organique est associé aux grains de calcaire ou aux cailloux. Les dégraissants utilisés présentent des similitudes marquées avec ceux des bols, dans leur type et leur fréquence, surtout pour le calcaire et son association avec des cailloux.

Modes de façonnage.– 85 % des cratères présentent des traces de tournage, qui impliquent un montage aux colombins avec mise en forme au tour. 12 % ont pu être montés à la main et 3 % révèlent l'usage seul de colombins.

Traitement de la surface.– Parmi les tessons de cratère, 38,2 % possèdent un engobe et 17,5 % un décor. L'engobe apparaît en proportions équivalentes sur l'extérieur, l'intérieur ou les deux faces des cratères. Pour les décors peints, la continuité des traditions du Bronze récent est illustrée par le motif de palmier sur le sommet de la paroi au-dessus de la carène du cratère de la **Fig. 8.6:4**. Des lignes parallèles rouges à l'intérieur du cratère sont également caractéristiques (**Fig. 8.8:7**). Les cratères à engobe rouge lustré sur les deux faces sont rares (**Figs 8.6:2** ; **8.8:5**).

Cuisson.– Parmi les cratères, 23,5 % n'ont pas de cœur, 32,5 % ont un cœur gris léger, 26,5 % un cœur gris et 17,5 % un cœur gris foncé.

Qualité de la céramique.– Une majorité des cratères se répartissent entre les catégories « plutôt grossière » (32,3 %) et « commune » (38,2 %). 14,7 % relèvent de la catégorie « grossière » et autant de la catégorie « plutôt fine ». Aucun cratère n'appartient aux céramiques « fines ». Des éléments intéressants se dégagent de cette répartition, en particulier au sein des deux groupes principaux. Les poteries « plutôt grossières » possèdent un engobe dans sept cas sur onze, ainsi qu'un dégraissant visible sur les deux faces dans six cas. Pour le groupe des céramiques « communes », un traitement de la surface existe dans sept cas (six avec un engobe, et un avec un décor). Seul un exemplaire possède un dégraissant visible sur les deux faces. Il apparaît donc que l'application d'un engobe concerne dans des proportions équivalentes ces deux groupes. On constate également le nombre important de cratères

présentant un dégraissant (surtout des grains de calcaire) très visible sur les deux faces ; il s'agit soit d'un effet « décoratif » voulu, soit d'un indice du peu d'attention porté à l'aspect des poteries, et du résultat d'un mode de cuisson plutôt mal maîtrisé. La surface est souvent craquelée suite à la cuisson, aux endroits où le dégraissant est proche de la surface, le rendant ainsi apparent.

8.1.3. Marmites

8.1.3.1. *Typologie*

Les marmites forment une catégorie relativement homogène et caractéristique. Elles apparaissent avec deux dimensions principales : un diamètre de l'ouverture compris entre 24 et 28 cm (52 % du total), ou bien égal ou supérieur à 30 cm (34 %). Leur fond est arrondi et leur panse fortement carénée. Quant au bord, il est tantôt évasé, suivant une tradition héritée du Bronze récent, tantôt vertical, suivant une tendance qui s'accentuera au cours du Fer I, avec le passage d'un bord vertical à un bord rentrant. Globalement, le passage du bord très évasé, caractéristique du XIIIe siècle, à un bord incurvé, caractéristique du Fer IB, s'effectue au cours des XIIe–XIe siècles. Les marmites du niveau Acr-V illustrent une phase transitoire, marquée par une moindre fréquence des marmites à bord très évasé, un développement des marmites à bord peu évasé ou à bord vertical, alors que les marmites à bord incurvé ne sont pas encore apparues.

L'orientation générale du bord est ainsi le critère principal pour le classement typologique des marmites. D'autres critères s'y ajoutent, tels que le profil de la lèvre (à bourrelet concave, convexe, plat), sa hauteur (courte, allongée), son épaisseur (faible ou marquée) ou la forme du bord intérieur de la lèvre (concave, convexe, plat).

8.1.3.1.1. Marmites à bord très évasé (CP 1)

Ce type est celui qui s'inscrit le plus distinctement dans la tradition cananéenne du Bronze récent. Il demeure aussi le plus courant parmi les marmites du niveau Acr-V. On distingue deux variantes :

- CP 1A : Marmites à bord très évasé et à lèvre en bourrelet triangulaire épais

Le bord est fortement évasé avec un bourrelet triangulaire en fort relief de section convexe (**Fig. 8.12:8**), concave (**Fig. 8.13:15**) ou plus rarement rectiligne (**Fig. 8.11:10**).

- CP 1B : Marmites à bord très évasé et à lèvre en bourrelet triangulaire peu épais

Le bord très évasé s'achève par une lèvre à bourrelet plus ou moins marquée (**Figs 8.6:9** ; **8.11:11**).

8.1.3.1.2. Marmites à bord peu évasé (CP 2)

Ce sous-type marque la transition entre les marmites à bord très évasé du Bronze récent et celles à bord vertical du Fer I. Le plus souvent, le bourrelet est de profil convexe

(**Figs 8.8:1** ; **8.10:15**), rectiligne (**Fig. 8.10:16**) ou, plus rarement, sinueux (**Fig. 8.8:3**). Dans quelques cas, le profil interne du bord est concave (**Figs 8.8:3** ; **8.10:15**).

8.1.3.1.3. Marmites à bord vertical (CP 3)

On distingue :

• CP 3A : Marmite à bord vertical et à lèvre à bourrelet triangulaire court

Ce profil de lèvre, triangulaire et court, est un élément marqueur du début du Fer I, caractéristique de la phase de transition du Bronze récent au Fer I (**Fig. 8.8:2**).

• CP 3C : Marmite à bord vertical et à lèvre à bourrelet aplati

Il s'agit d'une variante rare (**Fig. 8.12:9**). La disparition du bourrelet ou son aplatissement sont plutôt spécifiques du Fer IB. Des traces d'engobe sont visibles sous la lèvre.

8.1.3.2. *Technologie*

Dégraissants.– Sur les 43 échantillons de marmite recensés, les cailloux sont le dégraissant le plus largement utilisé. Dans près de la moitié des cas, il s'agit de cailloux blancs, un genre de dégraissant qui n'est pas attesté pour les bols et les cratères. Les cailloux blancs sont utilisés seuls dans 37 % des cas, parfois mélangés à des grains de calcaire (9 %), rarement à d'autres cailloux (4,5 %). Quant aux cailloux ordinaires, semblables à ceux l'on trouve habituellement dans les bols et les cratères, ils sont présents dans 46 % des marmites, seuls (18,5 %) ou bien mélangés à des grains de calcaire moins nombreux (18,5 %) ou encore à des graviers (9 %). Les grains de calcaire ne sont jamais utilisés comme dégraissant unique.

Cuisson.– 25,6 % ne possèdent pas de cœur, 9,3 % un cœur légèrement gris, 30,2 % un cœur gris, et 34,9 % un cœur gris foncé. La cuisson est donc ici nettement plus réductrice que pour les autres types céramiques.

Qualité de la céramique.– Près de 56 % des marmites sont en céramique commune, 30 % en céramique plutôt grossière et 14 % en céramique grossière.

8.1.4. Jarres

8.1.4.1. *Typologie*

L'élément morphologique le plus constant parmi les bords de jarre est un col court associé à un épaississement externe de la lèvre. Dans la grande majorité des cas (85 %), le diamètre du col est compris entre 8 et 12 cm. Toutefois, les variations de profil sont nombreuses. Faute de jarre complète, on suppose que leur forme globale n'a guère évolué du niveau Acr-VI au niveau Acr-V. Elles sont apparentées à celles des autres sites contemporains, bien que certains d'entre eux, tel que Beth-Shean[7], offrent une plus grande variété

[7] Yadin and Geva 1986, p. 61.

de formes. L'analyse du profil des cols et des bases suggère une continuité évidente avec le Bronze récent. La panse des jarres peut être allongée ou ovoïde ; à Gezer, les jarres ovoïdes possèdent des fonds plus arrondis, un trait morphologique qui, d'après W. G. Dever[8], annonce le Fer I.

8.1.4.1.1. Jarres à col court et droit

• JR A1.a/c : Col à lèvre arrondie ou à bourrelet externe

Ce type est relativement fréquent. Le bourrelet externe s'amincit à son sommet (**Fig. 8.9:5**). Le bourrelet peut être peu marqué (**Figs 8.10:18** ; **8.11:13**). Le col de la **Fig. 8.13:17** est une variante exceptionnelle, avec une lèvre au sommet en biseau vers l'intérieur, doublée d'un épaississement vers l'extérieur.

8.1.4.1.2. Jarres à col court évasé

• JR A2.c : Col à lèvre à bourrelet externe

Parmi les nombreuses variantes de ce type de col, on peut isoler un sous-type fréquemment rencontré au niveau Acr-V, caractérisé par un col nettement évasé et une lèvre en forme d'amande (**Fig. 8.11:12**), ou bien soulignée par un bourrelet extérieur marqué (**Fig. 8.6:10**). On trouve aussi des cols de profil légèrement évasé avec une lèvre à sommet arrondi (**Fig. 8.11:15**) ou avec une lèvre à bourrelet externe large et aplati (**Fig. 8.11:16**).

8.1.4.1.3. Jarres à col court rentrant

• JR A3.b : Col à lèvre épaissie

L'inclinaison du col vers l'intérieur est faible et le bourrelet externe bien marqué (**Fig. 8.9:6**). Ce type est rare.

8.1.4.1.4. Bases de jarres

Les bases de jarre renseignent assez bien sur les évolutions en cours au niveau Acr-V. Elles sont de deux types. Le premier et le plus courant, qui se rattache à la tradition du Bronze récent, est une base épaisse, formant un angle marqué avec le bas de la panse (**Fig. 8.9:7 = Fig. 8.3**). L'autre type de base est plus arrondi, avec une paroi moins épaisse. La forme des bases du Bronze récent est conservée dans son aspect extérieur, mais le fond est devenu moins lourd (**Fig. 8.9:8**), se rapprochant des bases du Fer I, plus arrondies et moins épaisses. Des exemples provenant de Gezer éclairent également cette évolution[9].

[8] Dever *et al.* 1974, p. 51.
[9] Dever *et al.* 1986, p. 83, pls 26:1–2,10; 28:1–2.

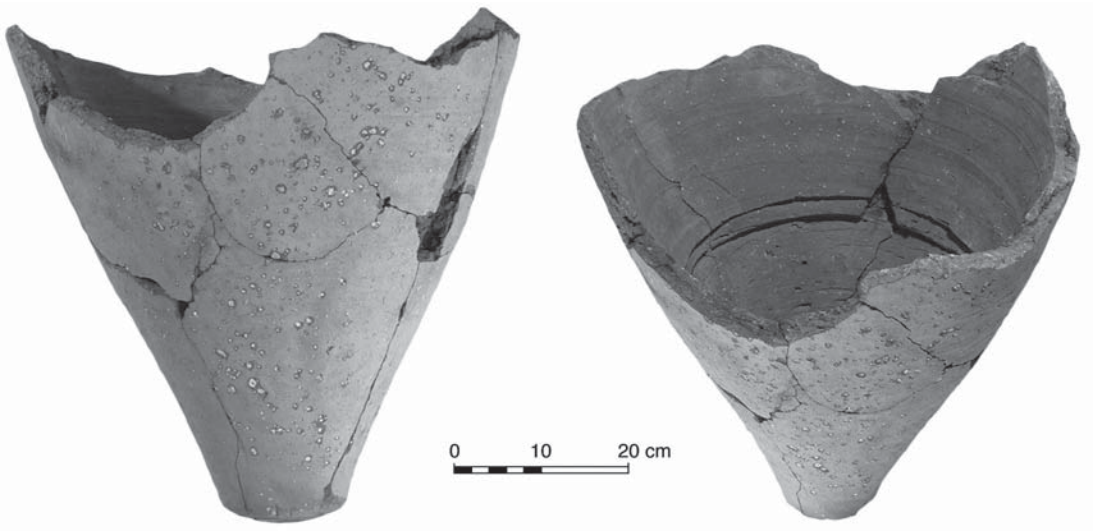


Fig. 8.3. Fond de jarre JR 2 (A.10670-10, **Fig. 8.9:**7).

8.1.4.2. *Technologie*

Dégraissants.– Les dégraissants utilisés dans la fabrication des jarres offrent une variété plus grande que pour les autres catégories de formes. Ce sont soit des grains de calcaire (25 %), soit des cailloux (27,8 %), soit encore une combinaison des deux (27,8 %). Mais l'on observe aussi l'emploi d'autres éléments tels que des graviers avec des cailloux (5,5 %), un dégraissant organique avec des cailloux (5,5 %), ou bien des cailloux blancs (8,4 %).

Modes de façonnage.– Il est souvent difficile, d'après les bords fragmentaires, de se prononcer sur le mode de façonnage de l'ensemble de la jarre. L'examen des bords indique généralement l'utilisation du tournage, probablement pour la mise en forme du col (« *wheel-coiling* »). Entre un quart et un tiers des tessons de panse portent des traces de montage aux colombins, parfois associé à l'utilisation du tour[10]. Parmi les quatre bases observées, on constate que deux présentent des traces de colombins, avec éventuellement une reprise au tour (« *wheel-finishing* »), l'une est montée « à la main » et une seule apparemment au tour (« *wheel-coiling* »?). Les anses sont faites à la main.

Traitement des surfaces.– Certaines jarres (14 %) possèdent un engobe beige clair (**Fig. 8.9:** 7) et quelques-unes portent des traces de peinture (4,6 %).

Cuisson.– 38 % des jarres n'ont pas de cœur, 19 % ont un cœur gris léger, 26 % un cœur gris, 17 % un cœur gris foncé. Une majorité de bords de jarre présente une cuisson oxydante, plutôt bonne. Toutefois pour 43 % d'entre elles, la cuisson est réductrice et donc moins bien contrôlée.

[10] Même observation dans les niveaux contemporains de Tel Batash, voir Panitz-Cohen 2009, p. 218.

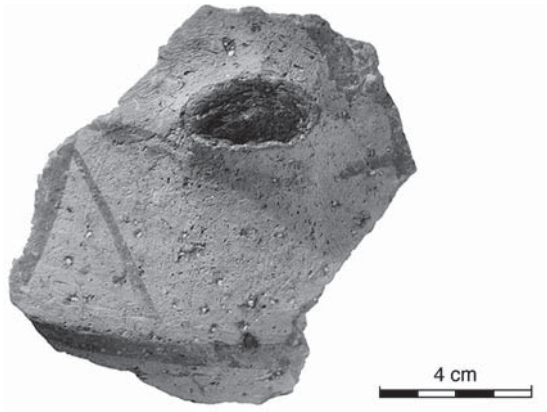


Fig. 8.4. Fragment de cruche biconique à anse (A.9661-1, **Fig. 8.12:11**).

Qualité de la céramique.– La grande majorité des jarres se répartissent entre les catégories « plutôt grossière » (23,2 %) et « commune » (65,1 %). Il s'agit là d'un indice de la qualité globale assez moyenne des jarres du niveau Acr-V.

8.1.5. Cruches

8.1.5.1. *Typologie*

Les cruches offrent un répertoire de formes assez varié. Tous les types de cruches recueillies à ce niveau sont caractérisées par un col large, de profil subvertical, évasé ou rentrant.

8.1.5.1.1. Cruches à col subvertical (JG 2A)

- À lèvre épaissie : JG 2A.2 (**Fig. 8.9:1**).
- À lèvre épaissie en bourrelet : JG 2A.3 (**Fig. 8.10:19**).
- Idem, avec carène sur le col : JG 2A.3 variante (**Fig. 8.10:20**).

8.1.5.1.2. Cruches à col évasé (JG 2B)

- À lèvre simple : JG 2B.1 (**Fig. 8.11:14**).
- À lèvre épaissie et évasér : JG 2B.2 (**Fig. 8.13:16, 19**).
- À lèvre épaissie à l'extérieur : JG 2B.3 (**Fig. 8.6:11**).
- À lèvre épaissie « en T » : JG 2B.4 (**Fig. 8.13:20**).

8.1.5.1.3. Cruche à panse biconique

Un tesson provient d'une cruche à panse biconique portant sous l'anse au-dessus de la carène un décor géométrique de rectangles barrés (?) peints en rouge sur un fond d'engobe blanc (**Fig. 8.12:11** = **Fig. 8.4**). Ce type de cruche peinte est connu en Palestine essentiellement en contexte du BR IIB[11] et, de fait, pourrait provenir du niveau Acr-VI sous-jacent.

[11] Panitz-Cohen 2006, pp. 106–107 (BV 1b), avec références.



Fig. 8.5. Cruche-marmite JG 4 (A.10656-1, **Fig. 8.9:10**).

8.1.5.1.4. Cruche-marmite (JG 4)

Ce vase exceptionnel (**Fig. 8.5** = **Fig. 8.9:10**), retrouvé intact sur le sol de l'espace L.1186, a la forme d'une cruchette, mais sa base, légèrement convexe, est inhabituelle pour un vase de cette catégorie, de même que sa pâte, qui est celle d'une marmite, et sa surface extérieure, qui présente des traces de feu. Il s'agit d'une cruche-marmite (« *Cooking Jug* »), un type de vase apparu au Levant sud au XIIe siècle et bien attesté dans des contextes philistins ou apparentés[12].

Cette cruche-marmite relève du type 3531 (« *Cooking jugs with tapered body, disk base and one handle* ») de Spagnoli[13], un type de vase de tradition égéenne que l'on retrouve couramment dans le corpus chypriote de la deuxième moitié du second millénaire. Des vases semblables sont bien attestés à la même époque en territoire philistin, en particulier à Ashdod XIII et à Tel Miqne, où les cruches-marmites ont cependant une panse plus globulaire que l'exemplaire de Yarmouth[14]. Elles se distinguent des poteries cananéennes contemporaines par l'absence de dégraissant à base de coquillage et de calcaire[15]. A. Killebrew estime qu'il s'agit d'une catégorie morpho-fonctionnelle entièrement nouvelle en Palestine, apparue vers le milieu du XIIe siècle en même temps que la céramique mycénienne IIIC:1b[16];

[12] Dothan *et al.* 2006, pp. 87–88 ; Ben-Shlomo *et al.* 2008 ; Ben-Shlomo 2011, pp. 276–277, 279.
[13] Spagnoli 2010, pp. 34, 50–51, pls 104–105.
[14] Dothan and Porat 1993, pls 17:4–5, 23:5–6, 34:2,7 ; Killebrew 1998a, pl. 12:15 ; Killebrew 2013, pp. 98–99 ; Dothan and Zukerman 2004, pp. 28–31 ; Dothan *et al.* 2006, pp. 87–88 et les références n. 104.
[15] Killebrew 1998a, p. 400.
[16] Killebrew 1998a, p. 397.

elle refléterait l'introduction de nouvelles pratiques alimentaires parmi les habitants de Tel Miqne, en lien avec un renouvellement de sa population[17].

En fonction de la fréquence de ces vases dans des sites du sud de la plaine côtière, Spagnoli avait conclu que leur diffusion s'était limitée à la sphère philistine[18]. Leur présence occasionnelle sur des sites de la Shéphélah, tels que Tell es-Safi A5[19], Tel Gezer XIII[20], Tel Batash V[21], Tel Beth-Shemesh III[22] et Tel Yarmouth, implique des échanges entre les territoires philistins et les régions limitrophes du piémont de la Judée, dont pourrait témoigner aussi le tesson de la **Fig. 8.7:5**. Toutefois, il convient de remarquer que des prototypes possibles de ces cruches sont attestés en Shéphélah dès le Bronze récent : ainsi, une cruche de forme apparentée, avec cependant une panse de profil plus trapu et une anse plus haute, figurait parmi le mobilier d'une tombe à Tel 'Eton[23] et un autre exemplaire, plus typique encore, dans une autre tombe du même site datée du Fer I[24]. On en a même signalé un exemplaire sur un site de Judée[25]. On ne saurait donc exclure la possibilité d'une origine locale pour ce type de cruche-marmite, même s'il est vraisemblable que l'exemplaire de Yarmouth résulte d'un échange avec un site philistin du sud de la plaine côtière. À cet égard, l'absence de céramique « Philistine 1 » au niveau Acr-V n'en est que plus remarquable (voir ci-dessous, §§ 8.2 et 24.1.5.1.2).

8.1.5.2. *Technologie*

Dégraissants.– Les grains de calcaire sont utilisés comme dégraissant dans 25 % des cruches, les cailloux dans 36 %, et l'association des deux dans 28 % des cas. Ces trois groupes totalisent près de 80 % des tessons de cruches. Les cailloux blancs peuvent être trouvés isolés (3,6 %) ou avec du calcaire (3,6 %). On note également la présence d'un élément organique avec des grains de calcaire (3,6 %).

Modes de façonnage.– Comme pour les jarres, l'emploi du tournage reste la principale technique employée (88 %), à laquelle s'ajoute un montage soit à la main (9 %), soit seulement aux colombins (3 %).

Traitement des surfaces.– Sur 33 fragments de cruche, sept sont recouverts d'un engobe beige clair, pour la plupart à l'extérieur (**Fig. 8.6:11**) ou sur la panse, éventuellement aussi à l'intérieur de la lèvre (**Fig. 8.13:16**). Sur 12 tessons on observe un décor peint. Le décor le plus fréquent (neuf tessons) consiste en des lignes rouges parallèles, plus ou moins épaisses, tracées sur la panse (**Fig. 8.6:5**) ou sur la lèvre (**Fig. 8.10:20**), parfois sur un engobe beige lustré (trois tessons). L'autre genre de décor peint comprend des motifs plus élaborés, dont

[17] Killebrew 1999, p. 90, fig. 3:4. Voir aussi Dothan *et al.* 2006, pp. 87–88 ; et surtout Ben-Shlomo *et al.* 2008, pp. 233–241 ; Maeir 2015.
[18] Spagnoli 2010, p. 51.
[19] Zukerman 2012, p. 288 ; Maeir 2017, pp. 142–143.
[20] Dever *et al.* 1986, p. 78, pls 19:11, 23:11.
[21] Panitz-Cohen 2006, pl. 66 :6.
[22] Grant and Wright 1938, pl. LXI:27–31.
[23] Tsaferis and Hess 1992, fig. 2:4.
[24] Edelstein and Aurant 1993, fig. 10:9.
[25] Eisenberg 2012, fig. 9:10.

le motif classique du palmier (**Fig. 8.9:4**), qui apparaît peut-être aussi sur un autre fragment de panse (**Fig. 8.9:3**). Une cruche biconique porte sous l'anse au-dessus de la carène un décor peint où l'on reconnaît des rectangles barrés peints en rouge sur un fond d'engobe blanc (**Fig. 8.12:11** = **Fig. 8.4**) ; ce motif s'inscrit dans la tradition cananéenne.

Modalités de cuisson.– Près de la moitié des cruches ne comportent pas de cœur et ont subi une cuisson oxydante. Six présentent un cœur gris clair, sept un cœur gris moyen et quatre un cœur gris foncé.

Qualité de la céramique.– Les cruches forment la catégorie de poterie la plus soignée : la plupart sont en céramique « commune » (54,5 %) et une forte proportion en céramique « plutôt fine » (21 %) et « fine » (10 %), ce que confirme le soin apporté à leur fabrication.

8.1.6. Cruchettes

JT 2B : Cruchette à base aplatie

Seuls huit fragments de cruchette ont été identifiés à ce niveau. Ils présentent un col plus ou moins évasé avec une ouverture de 6–7 cm de diamètre. Un seul fond aplati a été identifié (**Fig. 8.9:11**). Les dégraissants sont comparables à ceux des cruches, les parois sont fines, montées aux colombins avec ou sans reprise au tour, la cuisson a été dans la plupart des cas oxydante, et la majorité des vases sont en céramique commune ou assez fine.

8.1.7. Calices

CH 1 : Calice à paroi sinueuse et à lèvre éversée

Les rares calices identifiés à ce niveau relèvent du type CH 1, en céramique fine (**Fig. 8.12:4**).

8.1.8. Gobelets

Les gobelets sont rares au niveau Acr-V, comme d'ailleurs aussi sur d'autres sites en Shéphélah, tel que Tel Batash[26]. Ils sont caractéristiques de la fin du second millénaire (BR II et Fer I) et disparaissent au Fer II. Suivant le profil du col, on distingue les types suivants :

GB 1 : Gobelets à paroi droite

La paroi est un peu rentrante et la lèvre est simple (**Fig. 8.9:12**). Ce dernier trait, associé à un diamètre étroit, se rencontre très rarement dans d'autres formes de poterie, notamment les cruches, dont le col est généralement évasé. Une forme comparable est attestée à Tel Qasile X (Fer IB). Selon A. Mazar[27], le col allongé est caractéristique des XIIe–XIe siècles. La panse globulaire de l'exemplaire de la **Fig. 8.9:13** est également caractéristique des gobelets. Le décor consiste en des bandes horizontales parallèles peintes en rouge sur un engobe brun lustré. Les gobelets sont généralement issus de contextes cultuels, mais ceux du niveau Acr-V proviennent clairement d'un contexte domestique.

[26] Panitz-Cohen 2006, pp. 55–56.
[27] Mazar 1985, p. 51.

GB 2 : Gobelets à paroi évasée

Ce genre de col à nervure (**Fig. 8.13:18**) est bien attesté pour des gobelets du Fer I, notamment à Tel Qasile XI–X. Son diamètre, près de 10 cm, suggère cependant qu'il pourrait s'agir d'une cruche.

GB 3 : Gobelets à paroi rentrante

Il est possible que le tesson de la **Fig. 8.13:21** provienne d'un gobelet. La forme, rare, se distingue par une ouverture de faible diamètre associée à un bord rentrant. Un gobelet (ou une cruche ?) du BR IIB de Tel Yin'am présente un profil assez comparable.

8.1.9. Flasques

Un fragment de flasque de profil biconvexe aplati (**Fig. 8.9:9**) provient d'un vase de forme semblable à un exemplaire de Tel Qasile X. Il porte lui aussi un décor peint de cercles concentriques caractéristique des flasques du BR II.

8.1.10. Pyxides et lampes

Aucun tesson de pyxide n'a été identifié à ce niveau. Quant aux rares tessons de lampes, ils sont trop fragmentaires pour une identification typologique.

8.1.11. Céramique à engobe rouge lustré

On signalera la présence à ce niveau de quelques tessons en céramique rouge lustrée (**Figs 8.6:2** ; **8.8:5**). Ce genre de traitement de surface est attesté rarement à cette époque, par exemple à Tel Masos III[28] et à Gezer XIV[29], soit vers le milieu du XIIe siècle. Cette datation assez haute pour ce genre de finition, qui deviendra courante au Fer II, est confirmée par les découvertes de Tel Batash, qui suggèrent que cette technique s'est développée à partir de la fin du XIIe siècle[30].

8.2. La céramique non locale

Le niveau Acr-V n'a pas livré de poteries importées. Deux tessons, l'un chypriote (**Fig. 8.13:2**) et l'autre mycénien (**Fig. 8.10:9** = **Fig. 7.2:8**), retrouvés dans des couches de ce niveau, sont probablement intrusifs[31]. Il n'est toutefois pas exclu que de tels vases importés soient restés en usage à cette époque comme des reliques du siècle précédent.

[28] Fritz and Kempinski 1983, p. 74, pl. 131:11.
[29] Dever *et al.* 1974, p. 51.
[30] Mazar 1998, pp. 368, 377 ; Mazar and Panitz-Cohen 2001, pp. 144–150.
[31] Pour un cas similaire à Gezer, voir Dever *et al.* 1986, p. 77.

On soulignera aussi l'absence de vases en céramique monochrome dite « Philistine 1 » (appelée aussi céramique Mycénienne IIIC:1b ou « *White Painted Wheel-Made II* »), la diffusion de cette catégorie de céramique philistine apparaissant désormais, à la lumière des recherches récentes, comme strictement limitée aux principaux centres urbains de Philistie sur l'horizon du Fer IA[32].

8.3. Conclusion

Le contexte chronologique de la poterie du niveau Acr-V est clairement indiqué par une comparaison avec le mobilier des principaux sites du sud de la Palestine – Tel Gezer, Tel Batash, Tel Lachish, Tell Beit Mirsim ou Tel Sera –, soit après le XIIIe siècle et avant la fin du XIIe (**Tableau 24.1**). L'occupation de ce niveau fait donc suite à une période pendant laquelle Yarmouth avait profité, malgré son isolement relatif, des retombées d'un commerce international et d'échanges interrégionaux. Ce n'est plus le cas désormais, comme en témoigne l'absence d'influences culturelles non cananéennes sur la poterie. Quel a été l'impact sur la production céramique des changements socio-économiques et politiques survenus au début du XIIe siècle au Levant méridional en général, et en Shéphélah en particulier ? Une analyse détaillée de la poterie du niveau Acr-V contribue à mettre en évidence quelques évolutions techno-morphologiques significatives lors de la transition de l'âge du Bronze à celui du Fer. Elle conduit à distinguer, parmi les aspects typologiques, technologiques et stylistiques de ces assemblages, les éléments qui disparaissent, ceux qui demeurent inchangés, ceux qui évoluent, et enfin les nouveautés.

Disparitions

La disparition de la céramique chypriote et mycénienne importée est un premier trait distinctif de la poterie du niveau Acr-V. On observe aussi à ce niveau la disparition de certains types de poterie anciens relevant d'une tradition qui remonte au Bronze moyen. C'est le cas des bols carénés, déjà peu nombreux au niveau Acr-VI, et dont le niveau Acr-V n'a livré qu'une survivance (**Fig. 8.7:13**), ainsi que des bols peu profonds à lèvre simple et évasée, dont on ne connaît qu'un seul exemplaire à ce niveau (**Fig. 8.11:1**). Quant aux cratères de type KR 1B, qui étaient bien représentés au niveau Acr-VI (*cf.* **Figs 7.3:6** ; **7.6:5–6**), ils ne sont plus attestés au niveau Acr-V. En somme, le début du XIIe siècle a vu la disparition de formes de poterie parmi les plus caractéristiques du BR II.

Continuités

Toutefois, le poids des traditions se manifeste par des continuités évidentes entre les niveaux Acr-VI et V pour certaines catégories de formes, en particulier les bols et les cratères. Ainsi les bols du type 1A.2 (*cf.* **Fig. 7.3:2** [Acr-VI] et **Figs 8.6:1**, **8.10:3**, **8.12:2**, **8.13:4** [Acr-V]) et du type 2A.3 (*cf.* **Figs 7.4:2–4**, **7.7:4, 6–7** [Acr-VI] et **Figs 8.7:6–8**,

[32] Killebrew 1998a ; 1998b ; 2005, pp. 199–201 ; 2008, pp. 57–59 ; 2013. Dothan and Ben-Shlomo 2013. Dothan and Zukerman 2004 ; 2015.

8.10:1,5, **8.12:5**, **8.13:8** [Acr-V]), ainsi que les cratères à lèvre « en T » (*cf.* **Figs 7.4:8–9**, **7.8:6–7** [Acr-VI] et **Figs 8.6:2**, **8**, **8.8:4–5**, **8.10:14**, **8.13:10–11** [Acr-V]) sont caractéristiques aussi bien du BR II que du BR III / Fer IA. Les bases discoïdes pour les bols et les bases annulaires pour les cratères se retrouvent en proportions assez semblables dans les deux niveaux. Les continuités sont également sensibles pour les marmites, dont les types à bord évasé (CP 1A et 1B), caractéristiques du BR II, demeurent présents dans le répertoire du niveau Acr-V (*cf.* **Figs 7.4:12–13**, **7.6:7–8**, **7.8:7** [Acr-VI] et **Figs 8.11:10**, **8.12:8**, **8.13:15** [Acr-V]). Enfin, d'autres formes, il est vrai assez rares, ne présentent apparemment pas ou peu d'évolution, tels que les calices (**Fig. 8.12:4**) ou les flasques (**Fig. 8.9:9**).

Les continuités entre les deux niveaux sont remarquables aussi en ce qui concerne le traitement des surfaces, qu'il s'agisse d'engobe beige clair ou de décors peints, le plus souvent des lignes rouges ou noires et des motifs de palmier. On observe cependant au niveau Acr-V une plus grande proportion de poteries aux surfaces traitées, principalement les cratères (engobe et peinture) et les cruches (engobe), comme s'il s'agissait de pallier l'absence de céramiques peintes du BR II par un traitement plus soigné des surfaces des poteries locales.

Évolutions

On constate aussi au niveau Acr-V des évolutions typologiques significatives. Ainsi, les bols de type 3A.1, à paroi évasée et à lèvre épaissie vers l'intérieur (**Fig. 8.6:7**), apparaissent en nombre dans la première moitié du XIIe siècle. Le profil des bols à lèvre « en T » (type 2C.2), caractéristiques du niveau Acr-V (*cf.* **Figs 8.7:15–16** ; **8.10:11** ; **8.12:5**), pourrait avoir été inspiré par des cratères de l'époque précédente. Parmi les marmites, il semble que l'évolution typologique amorcée vers la fin du XIIIe siècle se poursuit puisque le type à bord peu évasé (CP 2A), apparu au niveau Acr-VI, est plus fréquent au niveau Acr-V (**Figs 8.8:1, 3 ; 8.10:16**). Enfin, on observe que les différences considérables qui existaient au niveau Acr-VI entre les bols et les cratères tendent à s'atténuer au niveau Acr-V, comme s'il s'agissait dorénavant de catégories de formes distinguées seulement par leur taille et leur décor.

Dans l'ensemble, la qualité du mobilier céramique semble connaître un certain appauvrissement. On observe une attention moindre apportée à la production des poteries à certaines étapes de la chaîne de fabrication, notamment dans l'utilisation de dégraissants ou lors de la cuisson, qui est moins bien contrôlée. En particulier, on note pour les bols, les cratères et les jarres une hausse significative de la présence de grains de calcaire comme dégraissant, avec pour corollaire une baisse notable de la qualité globale de ces vases ; dans le cas des cratères, ceux de catégories « grossière » et « plutôt grossière » représentent respectivement 14,7 % et 32,3 % du total, contre 3,1 % et 9,4 % au niveau Acr-VI. A priori, la fabrication des cratères du niveau Acr-V était soignée puisqu'ils comportent plus souvent qu'au niveau précédent un engobe beige clair et un décor peint ; mais l'abondance du dégraissant calcaire a entraîné lors de la cuisson une dilatation et un éclatement des grains de calcaire[33],

[33] Voir Méry 1994.

en sorte que la surface de ces vases est criblée de micro-cavités. Un tel effet est rarement recherché par les potiers ; or ceux du niveau Acr-V n'ont pas tenté d'y remédier par un changement de leurs pratiques.

Nouveautés

Peu de formes nouvelles ont été identifiées au niveau Acr-V. On peut citer la cruche-marmite de la **Fig. 8.9:10**, mais il s'agit d'un exemplaire unique. La présence de poteries à engobe rouge lustré (**Figs 8.6:2 ; 8.8:5**) est assurément une nouveauté, mais elles sont quantitativement négligeables, et ce genre de finition relève d'ailleurs d'une très ancienne tradition cananéenne, dont la résurgence au XIIe siècle reste mal comprise.

La distinction entre le BR II et le BR III / Fer IA ne reposent donc pas à Yarmouth sur des catégories de formes nouvelles, avec des assemblages distincts entre les deux périodes. Elle concerne des évolutions typologiques particulières. Ainsi, les bols à paroi sinueuse caractéristiques du BR III / Fer IA (BL 1D.2, BL 2A.3, BL 2D) constituent certes des sous-types bien représentés au niveau Acr-V (**Figs 8.7:2,9–11,18 ; 8.10:6–8 ; 8.12:6**), mais leurs antécédents sont à rechercher dans les formes locales (voir § 8.1.1.1.2) ; il ne s'agit donc pas d'une nouveauté à proprement parler. Les marmites offrent un cas comparable : on constate au niveau Acr-V la coexistence des trois sous-types couramment répertoriés – à bord très évasé (CP1) hérité du BR II, peu évasé (CP 2) du BR III / Fer IA, et vertical (CP 3) qui annonce le Fer IB ; ils marquent simplement une évolution formelle, mais celle-ci n'a pas été linéaire et sa signification chronologique ne doit donc pas être exagérée.

En somme, les variations typologiques observées au niveau Acr-V résultent d'évolutions puisant leurs origines dans les formes traditionnelles cananéennes. Ce ne sont pas des créations *ex-nihilo*. L'avènement du BR III / Fer IA ne peut se définir par la seule apparition de types céramiques nouveaux.

RÉFÉRENCES

AHARONI, Y.
1975 *Investigations at Lachish, the Sanctuary and the Residency (Lachish V)* (Tel Aviv University, Publications of the Institute of Archaeology No. 4). Tel Aviv : Gateway Publishers.

BEN-ARIEH, S., BEN-TOR, A. and GODOVITZ, S.
1993 "A Late Bronze Age Burial at Qubeibeh near Tel Lachish," *'Atiqot* XXII : 77–89.

BEN-SHLOMO, D.
2011 "Food preparation habits and cultural interaction during the Late Bronze and Iron Age in southern Israel," in *On Cooking Pots, Drinking Cups, Loomweights and Ethnicity in Bronze Age Cyprus and Neighbouring Regions: An International Archaeological Symposium held in Nicosia, November 6th–7th 2010*, edited by V. Karageorghis and O. Kouka, pp. 273–286. Nicosia: Levantis Foundation.

BEN-SHLOMO, D., SHAI, I., ZUKERMAN, A. and MAEIR, A. M.
2008 "Cooking Identities: Aegean-Style Cooking Jugs and Cultural Interaction in Iron Age Philistia and Neighboring Regions," *American Journal of Archaeology* 112 : 225–246.

BRIEND, J. et HUMBERT, J.-B.
1980 *Tell Keisan (1971-1976), une cité phénicienne en Galilée*. Fribourg, Suisse : Éditions universitaires / Göttingen : Vandenhoeck & Ruprecht / Paris : Gabalda.

BUNIMOVITZ, S. and LEDERMAN, Z.
2016 *Tel Beth-Shemesh, A Border Community in Judah, Renewed Excavations 1990-2000: The Iron Age.* 2 volumes (Tel Aviv University Sonia and Marco Nadler Institute of Archaeology Monograph Series No. 34). Tel Aviv : Emery and Claire Yass Publications in Archaeology.

DAGAN, Y.
2010 *The Ramat Bet Shemesh Regional Project: The Gazetteer* (IAA Reports No. 46). Jerusalem : Israel Antiquities Authority.

DEVER, W. G., LANCE, H. D., BULLARD, R. G., COLE, D. P. and SEGER, J. D.
1974 *Gezer II: Report of the 1967–70 Seasons in Fields I and II* (Annual of the Hebrew Union College / Nelson Glueck School of Biblical Archaeology). Jerusalem : HUC / NGSBA.

DEVER, W. G. *et al.*
1986 *Gezer IV: The 1969–71 Seasons in Field VI, the « Acropolis »* (Annual of the Hebrew Union College / Nelson Glueck School of Biblical Archaeology). Jerusalem : HUC / NGSBA.

DOTHAN, M. and PORAT, Y.
1993 *Ashdod V. Excavation of Area G. The Fourth–Sixth Seasons of Excavations 1968–1970*. ('Atiqot XXIII). Jerusalem : Israel Antiquities Authority.

DOTHAN, T. and BEN-SHLOMO, D.
2013 "Mycenaean IIIC:1 Pottery in Philistia: Four Decades of Research," in *The Philistines and Other "Sea Peoples" in Text and Archaeology* (Archaeology and Bible Studies No. 15), edited by A. E. Killebrew and G. Lehmann, pp. 29–36. Atlanta, GA : Society of Biblical Literature.

DOTHAN, T., GITIN, S. and ZUKERMAN, A.
2006 "The Pottery: Canaanite and Philistine Traditions and Cypriote and Aegean Imports," in *Tel Miqne-Ekron Excavations 1995–1996 Field INE East Slope Iron Age I (Early Philistine Period)* (Tel Miqne-Ekron Final Field Reports Series No. 8), edited by M. W. Meehl, T. Dothan and S. Gitin, pp. 71–175. Jerusalem : W. F. Albright Institute of Archaeological Research and Institute of Archaeology, Hebrew University of Jerusalem.

DOTHAN, T. and ZUKERMAN, S.
2004 "A Preliminary Study of the Mycenean IIIC:1 Pottery Assemblages from Tel Miqne-Ekron and Ashdod," *Bulletin of the American Schools of Oriental Research* 333 : 1–54.
2015 "Iron Age I: Philistia," in *The Ancient Pottery of Israel and Its Neighbors, from the Iron Age through the Hellenistic Period,* edited by S. Gitin, pp. 71–96. Jerusalem : Israel Exploration Society, W. F. Albright Institute of Archaeological Research, Israel Antiquities Authority and American Schools of Oriental Research.

EDELSTEIN, G. and AURANT, S.
1993 "The 'Philistine' Tomb at Tell 'Eitun," *'Atiqot* XXI : 23–41.

EISENBERG, E.
2012 "Khirbet Za'kuka," *'Atiqot* 71 : 1–20.

FINKELSTEIN, I.
1986 *Izbet Sartah. An Early Iron Age Site near Rosh Ha'ayin, Israel* (BAR International Series 299). Oxford : British Archaeological Reports.

FRITZ, V. and KEMPINSKI, A.
1983 *Ergebnisse der Ausgrabungen auf der Ḫirbet el-Msas (Tel Masos)* (Abhandlungen des Deutschen Palästina-Vereins). Wiesbaden : Harrassowitz.

GADOT Y., YASUR-LANDAU, A. and UZIEL, J.
2012 "The Late Bronze Age Pottery," in *Tell es-Safi/Gath I: The 1996–2005 Seasons* (Ägypten und Altes Testament, Band 69), edited by A. M. Maeir, pp. 241–265. Wiesbaden : Harrassowitz.

GIV'ON, S.
1996 *The Sixth Excavation Season at Tel Harasim (Nahal Barkai) 1995. Preliminary Report 6.* Tel Aviv, 1996. Rapport inédit.

GRANT, E.
1932 *Ain Shems Excavations (Palestine) 1928–1931*. Part II. Haverford : Haverford College.

GRANT, E. and WRIGHT, G. E.
1938 *Ain Shems Excavations.* Part IV *(Pottery)*. Haverford : Haverford College.

GREENBERG, R.
1987 "New Light on the Early Iron Age at Tell Beit Mirsim," *Bulletin of the American Schools of Oriental Research* 265 : 55–80.

KILLEBREW, A. E.
1998a "Ceramic Typology and Technology of Late Bronze II and Iron I Assemblages from Tel Miqne-Ekron: the Transition from Canaanite to Philistine Culture," in *Mediterranean Peoples in Transition. Thirteenth to Early Tenth centuries BCE*, edited by S. Gitin, A. Mazar and E. Stern, pp. 379–405. Jerusalem : Israel Exploration Society.
1998b "Mycenaean and Aegean-style pottery in Canaan during the 14th-12th centuries BC," in *The Aegean and the Orient in the second millenium, Proceedings of the 50th Anniversary Symposium, University of Cincinnati, 18–20 April 1997* (Aegeum 18), edited by E. H. Cline and D. Harris-Cline, pp. 159–169. Liège : Université de Liège.
1999 "Late Bronze and Iron I Cookings Pots in Canaan, A Typological, Technological, and Functional Study," in *Archaeology, History and Culture in Palestine and the Near East, Essays in the Memory of Albert E. Glock* (American Schools of Oriental Research Books Volume 3), edited by T. Kapitan, pp. 83–126. Atlanta, Georgia : Scholars Press.
2005 *Biblical Peoples and Ethnicity, An Archaeological Study of Egyptians, Canaanites, Philistines and Early Israel, 1300–1100 B.C.E.* (Archaeology and Biblical Studies No. 9). Atlanta, GA : Society of Biblical Literature.
2008 "Aegean-Style Pottery and Associated Assemblages in the Southern Levant: Chronological Implications Regarding the Transition from the Late Bronze II to Iron I and the Appearance of the Philistines," in *Israel in Transition : From Late Bronze II to Iron IIA (c. 1250–850 B.C.E.).* Vol. 1: *The Archaeology* (Library of Hebrew Bible/Old Testament Studies 491; European Seminar in Historical Methodology 7), edited by L. L. Grabbe, pp. 54–71. New York: T & T Clark.
2013 "Early Philistine Pottery Technology at Tel Miqne-Ekron: Implications for the Late Bronze–Early Iron Age Transition in the Eastern Mediterranean", in *The Philistines and Other "Sea Peoples" in Text and Archaeology* (Archaeology and Bible Studies No. 15), edited by A. E. Killebrew and G. Lehmann, pp. 77–129. Atlanta, GA : Society of Biblical Literature.

KLEIMAN, S., GADOT, Y. and LIPSCHITS, O.
2016 "A Snapshot of the Destruction Layer of *Tell Zakarīye*/Azekah Seen Against the Backdrop of the Final Days of the Late Bronze Age," *Zeitschrift des Deutschen Palästina-Vereins* 132(2) : 105–133.

KOCHAVI, M.
1974 "Khirbet Rabud = Debir," *Tel Aviv* 1 : 2–33.

LEHMANN, G., ROSEN, S. A., BERLEJUNG, A. and NIEMANN, H. M.
2009 "Ausgrabungen in *Qubūr el-Walēyide*, Israel, 2007–2008, Vorbericht," *Zeitschrift des Deutschen Palästina-Vereins* 125 : 1–28.

LIEBOWITZ, H. and DERING, J. P.
2003 *Tel Yin'am : The Late Bronze Age. Excavations at Tel Yin'am 1976–1989* (Studies in Archaeology 42). Austin : Texas Archaeology Research Laboratory, The University of Texas.

LOUD, G.
1948 *Megiddo II. Seasons of 1935–39* (Oriental Institute Publications 62). Chicago, Ill. : The University of Chicago Press.

MAEIR, A.
2015 "Philistine Foodways," in *Archaeology of Food : An Encyclopedi*a, edited by K. B. Metheny and M. C. Beaudry, pp. 402–404. Lanham : Rowman & Littlefield.
2017 "Philistine Gath after 20 Years: Regional perspectives on the Iron Age at Tell eṣ-Ṣafi/ Gath," in *The Shephelah during the Iron Age, Recent Archaeological Studies*, edited by O. Lipschits and A. M. Maeir, pp. 133–154. Winona Lake, IN: Eisenbrauns.

MAZAR, A.
1985 *Excavations at Tel Qasile.* Part Two. *The Philistine Sanctuary: Various Finds, the Pottery, Conclusions, Appendices* (Qedem, Monographs of the Institute of Archaeology 20). Jerusalem : Institute of Archaeology, Hebrew University of Jerusalem.
1998 "On the Appearance of Red Slip in the Iron Age I Period in Israel," in *Mediterranean Peoples in Transition, Thirteenth to Early Tenth centuries BCE*, edited by S. Gitin, A. Mazar and E. Stern, pp. 368–378. Jerusalem : Israel Exploration Society.
2015 "Iron Age I: Northern Coastal Plain, Galilee, Samaria, Jezreel Valley, Judah, and Negev," in *The Ancient Pottery of Israel and Its Neighbors, from the Iron Age through the Hellenistic Period,* edited by S. Gitin, pp. 5–70. Jerusalem : Israel Exploration Society, W. F. Albright Institute of Archaeological Research, Israel Antiquities Authority and American Schools of Oriental Research.

MAZAR, A. and PANITZ-COHEN, N.
2001 *Timnah (Tel Batash) II. The Finds from the First Millennium BCE* (Qedem, Monographs of the Institute of Archaeology 42). Jerusalem : Institute of Archaeology, Hebrew University of Jerusalem.

MÉRY, S.
1994 "La céramique, témoin de la dynamique culturelle en Arabie durant la Protohistoire," in *Terre cuite et société, La céramique, document technique, économique, culturel*, édité par D. Binder and J. Courtin, pp. 396–406. Juan-les-Pins : APDCA.

PANITZ-COHEN, N.
2006 "The Pottery of Strata XII–V at Tel Batash," in *Timnah (Tel Batash),* Vol. III. *The Finds from the Second Millenium BCE* (Qedem, Monographs of the Institute of Archaeology 45), edited by N. Panitz-Cohen and A. Mazar, pp. 9–150. Jerusalem : The Hebrew University of Jerusalem.
2009 "Technological Change and Continuity in the Organization of Ceramic Production at Tel Batash in the Second Millennium BCE," in *Techniques and People, Anthropological Perspectives on Technology in the Archaeology of the Proto–Historic and Early Historic Periods in the Southern Levant* (Mémoires et Travaux du Centre de Recherche Français à Jérusalem 9), edited by S. A. Rosen and V. Roux, pp. 213–231. Paris : De Boccard.

SEGER, J. D.
1988 *Gezer V: The Field I Caves*, edited by J. D. Seger and H. D. Lance (Annual of the Hebrew Union College / Nelson Glueck School of Biblical Archaeology). Jerusalem : HUC / NGSBA.

SPAGNOLI, F.
2010 *Cooking pots as an indicator of cultural relations between Levantine peoples in Late Bronze and Iron Ages: Origins, diffusion and typological development of cooking ware in Levantine and Cypriot repertoires (14th–7th centuries BC)* (Quaderni di Archeologia Fenicio-Punica IV). Roma : Missione Archeologica a Mozia.

TSAFERIS, V. and HESS, O.
1992 "A Late Bronze Age Tomb at Tell 'Eitun," *'Atiqot* XXI : 9–21.

YADIN, Y. and GEVA, H.
1986 *Investigations at Beth-Shan. The Early Iron Age Strata* (Qedem, Monographs of the Institute of Archaeology 23). Jerusalem : Institute of Archeology, Hebrew University of Jerusalem.

YANNAI, E.
2004 "The Late Bronze Age from Area S," in *The Renewed Excavations at Lachish (1973–1994)*. Vol. III (Tel Aviv University Sonia and Marco Nadler Institute of Archaeology Monograph Series No. 22), edited by D. Ussishkin, pp. 1032–1046. Tel Aviv : Emery and Claire Yass Publications in Archaeology.

ZUKERMAN, A.
2012 "Iron Age I and Early Iron Age IIA Pottery," in *Tell es-Safi/Gath I: The 1996–2005 Seasons*, Vol. I (Ägypten und Altes Testament, Band 69), edited by A. M. Maeir, pp. 265–311. Wiesbaden : Harrassowitz.

Figure 8.6

N°	Type	N° objet	Locus	Description	Comparaisons
1	BL 1A.2b	A.10687-2	1186-2	Bord de bol. Céram. assez fine à dégr. min. Cœur gris léger. Surf. beige. Tourné. Eng. beige clair.	
2	KR 1A.1b	A.10687-1	1186-2	Bord de cratère. Céram. comm. à dégr. min. Cœur gris léger. Eng. brun-rouge à l'int. et à l'ext., avec des taches grisâtres à l'ext. Lustrage horizont. irrégulier à l'int. et sur le bord (cf. « *Red-slip burnished* »). Tourné.	
3	KR	A.10687-16	1186-2	Base discoïde de cratère. Céram. comm. à dégr. min. Cœur gris. Surf. brun clair à l'ext. Tourné.	
4	KR	A.10687-4	1186-2	Tesson de panse de cratère ? Céram. comm. à dégr. min. Pas de cœur. Eng. brun lustré. Peinture (motif de palmier ?). Tourné.	• Azekah (BR III/Fer IA) : Kleiman *et al.* 2016, fig. 4:6.
5	JG	A.10687-5	1186-2	Tesson de panse de cruche. Céram. comm. à dégr. min. Cœur gris sombre. Surf. beige. Décor peint (deux bandes rouges encadrant une bande beige). Tourné.	
6	BL 2B.2	A.10709-3	2310-sol a	Bord de bol. Céram. assez fine à dégr. min. Pas de cœur. Eng. beige sur les deux faces, haut de la lèvre à l'int. peint avec une bande rouge. Tourné.	
7	BL 2B.1	A.10696-3	2310-1	Bord de bol. Céram. assez fine à dégr. min. Cœur gris sombre. Surf. brun clair à l'ext. Tourné.	• Gezer XIV-XIII (BR III-Fer IB) : Dever *et al.* 1986, pl. 17:21.
8	KR 1A.1b	A.10696-5	2310-1	Bord de cratère. Céram. assez fine à dégr. min. Pas de cœur. Eng. beige clair. Tourné.	• Gezer XII (Fer IB) : Dever *et al.* 1974, pl. 28:4.
9	CP 1B	A.10696-4	2310-1	Bord de marmite. Céram. comm. à dégr. min. Cœur gris sombre. Surf. rouge-brun. Tourné.	• Gezer XIII (Fer IB) : Dever *et al.* 1986, pl. 20:14. • Kh. Rabud LB1 (BR II) : Kochavi 1974, fig. 5:1. • Safi E4b (BR IIB) : Gadot *et al.* 2012, pl. 12.10:9.
10	JR A2.c	A.10705-1	2310-sol a	Bord de col de jarre. Céram. comm. à dégr. min. Cœur gris sombre. Surf. beige à l'int., brune à l'ext. Tourné.	
11	JG 2B.3	A.10709-2	2310-sol a	Bord de col de cruche. Céram. assez fine à dégr. min. Pas de cœur. Eng. beige clair à l'ext. Tourné.	

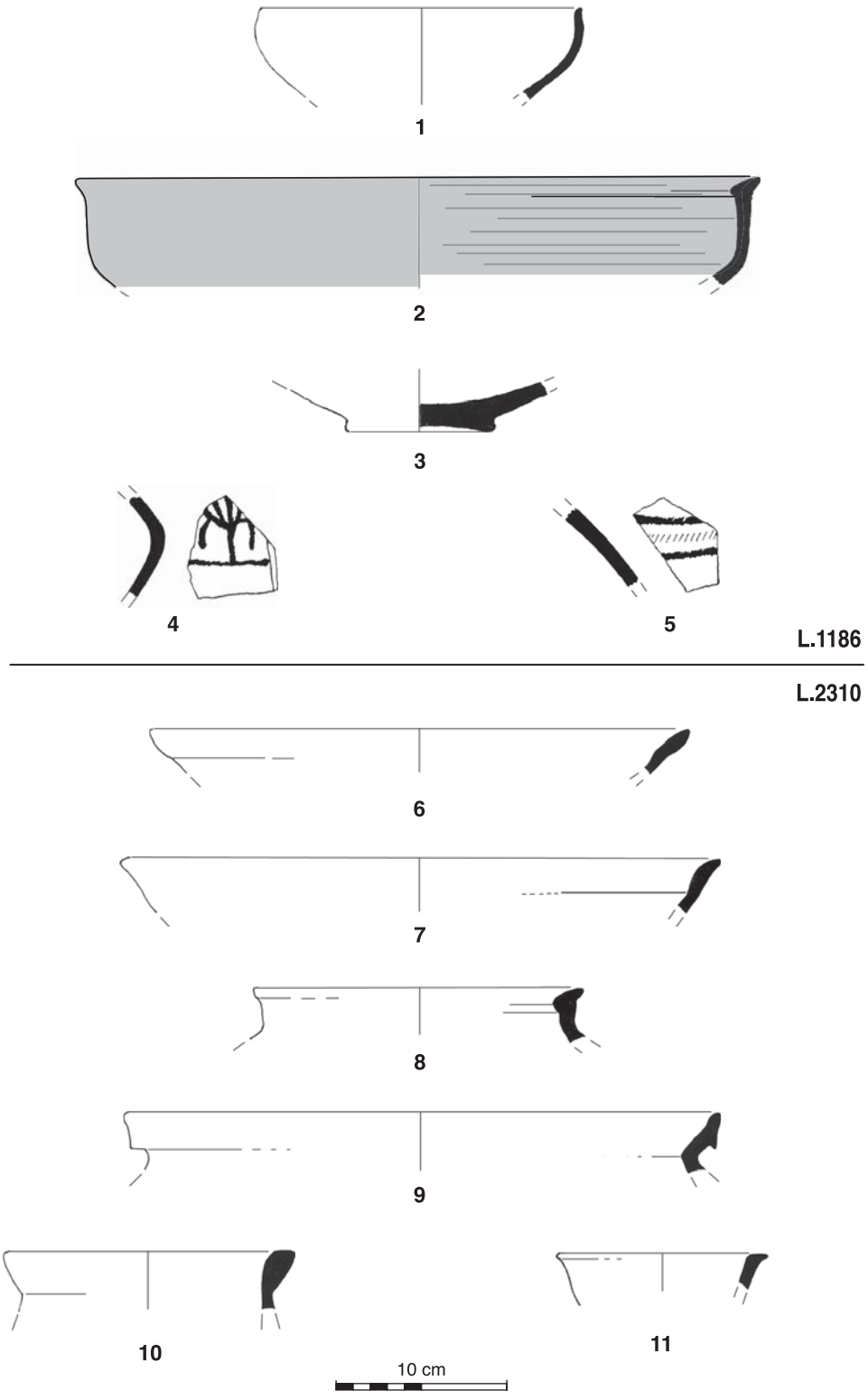


Fig. 8.6. Sondage 2, poterie des niveaux Acr-VB (L.2310) et Acr-VA (L.1186) (BR III/Fer IA).

Figure 8.7

N°	Type	N° objet	Locus	Description	Comparaisons
1	BL 1B.1	A.10679-8	1186-sol a	Bord de bol. Céram. comm. à dégr. min. Cœur gris léger. Surf. brun-rouge. Façonnage au colombin, reprise au tour. **Photo de la section : Fig. 6.10:5.**	• Gezer XIV-XIII (BR III-Fer IB) : Dever *et al.* 1986, pl. 18:16.
2	BL 2D.3	A.10679-10	1186-sol a	Bord de bol. Céram. grossière à dégr. min. Cœur gris léger. Surf. brun-rouge. Tourné.	
3	BL 2D.3	A.9796-16	1186-1	Bord de bol. Céram. assez fine à dégr. min. Cœur gris léger. Eng. beige clair. Tourné.	• Gezer XVI (BR IIA) : Dever *et al.* 1986, pl. 11:10. • 'Eton (BR II) : Tsaferis and Hess 1992, fig. 1:3.
4	BL 1A.2 ?	A.10659-3	1186-1	Bord de bol. Céram. comm. à dégr. min. Cœur gris léger. Décor lustré beige à l'ext. Tourné.	• Gezer XIV (BR III/Fer IA) : Dever *et al.* 1974, pl. 25:21.
5	BL 1E.1	A.10632-16	1186-1	Bord de bol. Céram. fine à dégr. min. Pas de cœur. Surf. brun clair. Bande de peinture brun-rouge sur la lèvre. Tourné. Bonne cuisson.	
6	BL 2A.3	A.10656-4	1186-1	Bord de bol. Céram. assez grossière à dégr. min. Cœur gris. Surf. beige. Tourné.	• Gezer XVI (BR II) : Seger 1988, pl. 10:23.
7	BL 2A.3	A.9796-13	1186-1	Bord de bol. Céram. comm. à dégr. min. Cœur gris sombre. Eng. beige clair à l'int. Tourné.	
8	BL 2A.3	A.10659-12	1186-1	Bord de bol. Céram. assez grossière à dégr. min. Pas de cœur. Eng. beige clair à l'int. et à l'ext. Tourné.	• Azekah (BR III/Fer IA) : Kleiman *et al.* 2016, fig. 4:3. • Kh. Rabud LB2 (BR II) : Kochavi 1974, fig. 4:21. • Gezer XIII (Fer IB) : Dever *et al.* 1986, pl. 21:9. • Gezer XVII-XVI (BR I-II) : Seger 1988, pl. 8:2. • Harasim V (BR II) : Giv'on 1991, pl. 1:5.
9	BL 2D.3	A.9796-4	1186-1	Bord de bol. Céram. comm. à dégr. min. pas de cœur. Surf. beige. Tourné.	• Gezer XIII (Fer IB) : Dever *et al.* 1986, pl. 20:11. • Harasim V (BR II) : Giv'on 1996, pl. 1:14. • Beit Mirsim B1 (BR III/Fer IA) : Greenberg 1987, fig. 6:4.
10	BL 2D.3	A.10656-6	1186-1	Bord de bol. Céram. comm. à dégr. min. Pas de cœur. Surf. brun-beige. Bande de peinture brun-rouge sur la lèvre. Tourné.	• Qasile XII (Fer I) : Mazar 1985, fig. 12:21.
11	BL 2D.3	A.10651-1	1186-1	Bord de bol. Céram. comm. à dégr. min. Pas de cœur. Surf. beige. Tourné.	• Gezer XVIII-XVI (BM II-BR II) : Dever *et al.* 1986, pl. 9:21. • Gezer XVII-XVI (BR I-II) : Seger 1988, pls 10:27, 31:9.
12	BL 2B.1	A.10679-5	1186-sol a	Bord de bol. Céram. grossière à dégr. min. Surface craquelée. Pas de cœur. Surf. beige. Tourné.	• Qasile XII (Fer I) : Mazar 1985, fig. 12:18,27.

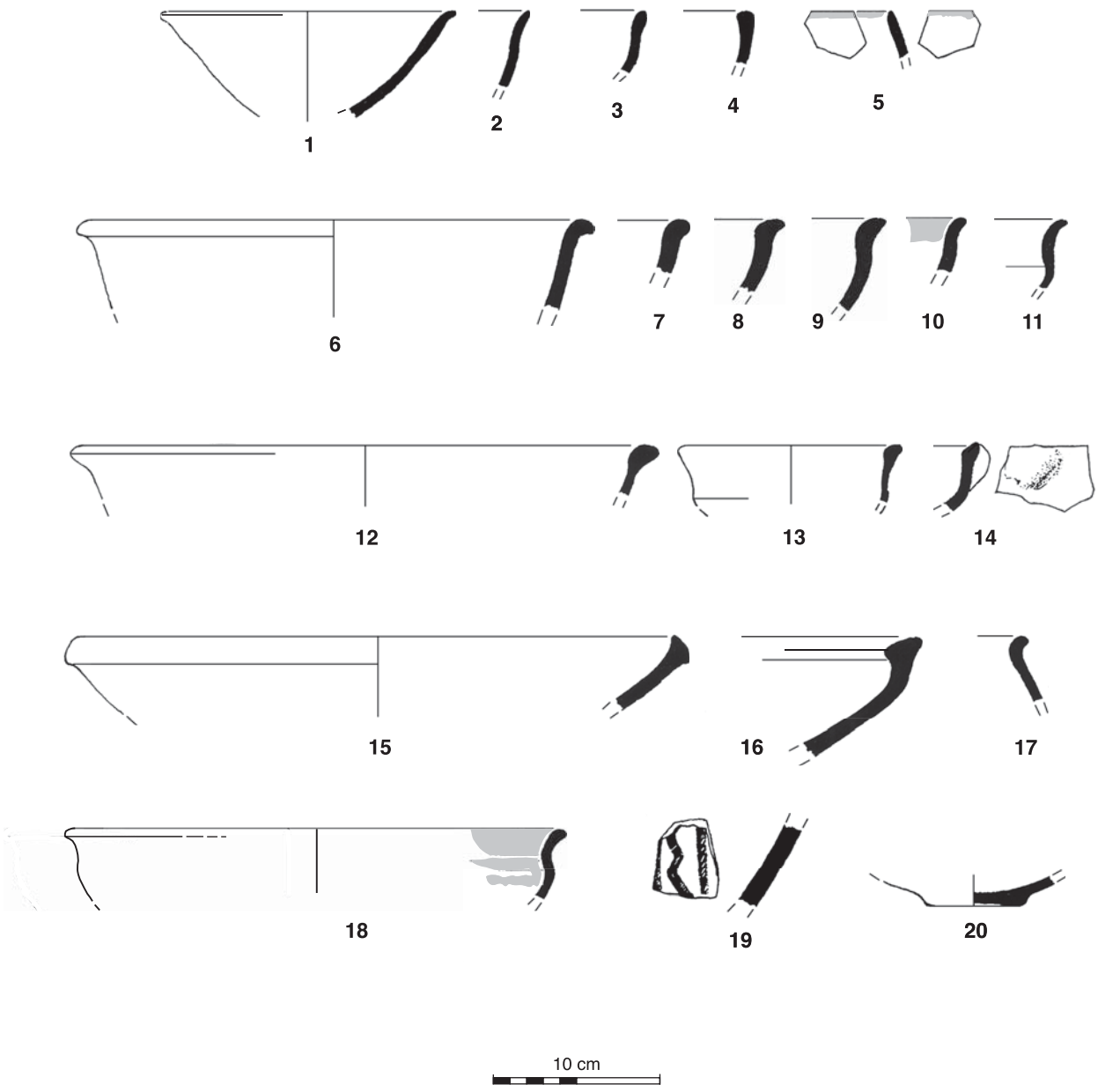


Fig. 8.7. Sondage 2, poterie du niveau Acr-VA (BR III/Fer IA) : L.1186 (suite).

N°	Type	N° objet	Locus	Description	Comparaisons
13	*Cf.* BL 2B.2	A.10651-13	1186-1	Bord de bol. Céram. grossière à dégr. min. Pas de cœur. Surf. brun sombre. Tourné. Très cuite.	
14	*Cf.* BL 2B.2	A.9796-10	1186-1	Bord de bol avec protubérance sous le bord. Céram. assez fine à dégr. min. Pas de cœur. Surf. beige. Tourné.	• Gezer XII (Fer IB) : Dever *et al.* 1974, pl. 28:31. • Gezer XV-XIV (BR IIB-III) : Dever *et al.* 1986, pl. 13:14. • Beit Mirsim C (BR II) : Greenberg 1987, fig. 4:3.
15	BL 2B.3	A.10645-1	1186-1	Bord de bol. Céram. comm. à dégr. min. Cœur gris. Bandes d'eng. beige lustré à l'ext. Tourné. Bien cuit.	• Beit Mirsim B1 (BR III/ Fer IA) : Greenberg 1987, fig. 4:16.
16	BL 2B.3	A.10679-1	1186- sol a	Bord de bol. Céram. comm. à dégr. min. Cœur gris sombre. Surf. brun-rouge. Tourné. **Photo de la section : Fig. 6.10:4.**	• Lachish VI (BR III) : Yannai 2004, fig.19.17:19.
17	*Cf.* BL 1E.1	A.10645-4	1186-1	Bord de bol. Céram. comm. à dégr. min. pas de cœur. Surf. beige. Tourné.	• Gezer XIV-XIII (BR III-Fer IB) : Dever *et al.* 1986, pl. 17:21.
18	BL 2D.2	A.10639-2	1186-1	Bord de bol. Céram. comm. à dégr. min. Cœur gris. Traces d'eng. brun-rouge à l'int. et à l'ext. Lignes peintes en brun à l'int. Tourné.	• Safi E4b (BR IIB) : Gadot *et al.* 2012, pl. 12.1:13.
19	BL	A.9796-8	1186-1	Tesson de bol. Céram. comm. à dégr. min. Pas de cœur. Peinture brune sur fond beige (une ligne ondulée entre deux lignes parallèles). Tourné.	• Azekah (BR III/Fer IA) : Kleiman *et al.* 2016, fig. 4:7.
20	BL	A.10659-8	1186-1	Base discoïde de bol. Céram. comm. à dégr. min. Cœur gris. Surf. beige clair. Eng. beige clair à l'int. Tourné.	• Gezer XIV (BR III/Fer IA) : Dever *et al.* 1986, pl. 14:13.

Figure 8.8

N°	Type	N° objet	Locus	Description	Comparaisons
1	CP 2A	A.10656-3	1186-1	Bord de marmite. Céram. assez grossière à dégr. min. Cœur gris. Surf. brun sombre. Tourné.	
2	CP 3A	A.9796-17	1186-1	Bord de marmite. Céram. comm. à dégr. min. Cœur gris sombre. Surf. rouge sombre. Tourné.	
3	CP 2A	A.10639-5	1186-1	Bord de marmite. Céram. assez grossière. à dégr. min. Cœur gris. Surf. brun sombre. Tourné. Bien cuit.	
4	KR 1A.2c	A.9796-7	1186-1	Bord de cratère. Céram. assez fine à dégr. min. Pas de cœur. Surf. brun-beige. Tourné.	• Gezer XIV (BR III/Fer IA) : Dever *et al.* 1974, pl. 25:29. • Beit Mirsim B1-B2 (BR III-Fer IB) : Greenberg 1987, fig. 8:12.

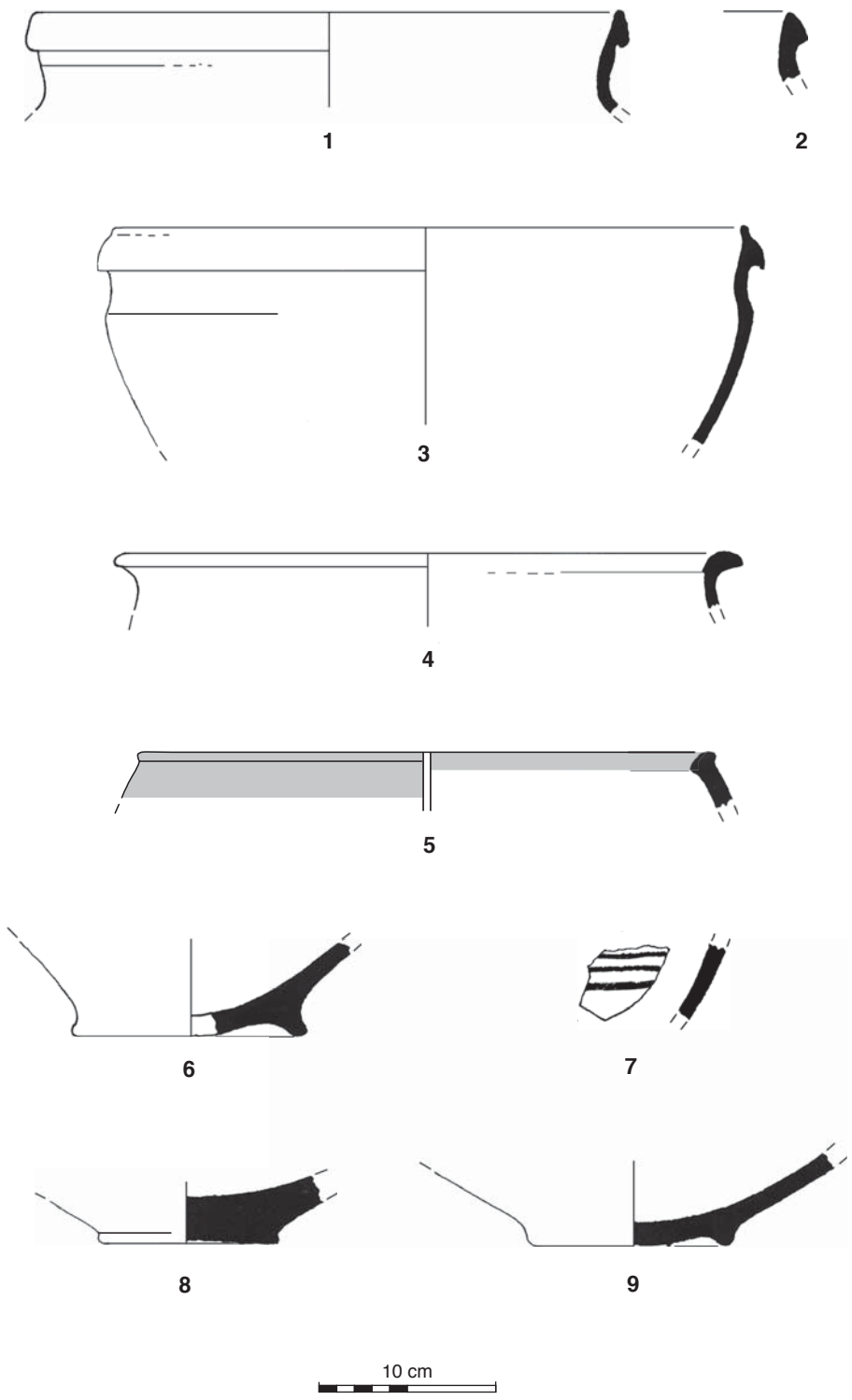


Fig. 8.8. Sondage 2, poterie du niveau Acr-VA (BR III/Fer IA) : L.1186 (suite).

N°	Type	N° objet	Locus	Description	Comparaisons
5	KR 1A.2b	A.9796-14	1186-1	Bord de cratère. Céram. assez fine à dégr. min. Pas de cœur. Surf. avec eng. rouge lustré (*cf. Red Slip Burnished*). Tourné.	• Qasile XII (Fer I) : Mazar 1985, fig. 12:11.
6	KR	A.10639-6	1186-1	Base annulaire de cratère. Céram. comm. à dégr. min. Cœur gris léger. Surf. brune. Tourné.	
7	KR	A.10679-7	1186-sol a	Tesson de cratère ou de bol. Céram. comm. à dégr. min. Cœur gris léger. Eng. brun lustré. Peinture rouge. Tourné.	• Azekah (BR III/Fer IA) : Kleiman *et al.* 2016, fig. 4:9.
8	KR	A.10659-1	1186-1	Base discoïde de cratère. Céram. grossière à dégr. min. Cœur gris léger. Surf. brune. Tourné.	• Lachish VII (BR II) : Yannai 2004, fig.19.30:10.
9	KR	A.10679-3	1186-sol a	Base annulaire de cratère. Céram. comm. à dégr. min. et végét. Cœur gris. Surf. brune. Tourné.	• Gezer XIV-XIII (BR III-Fer IB) : Dever *et al.* 1974, pls 25:11, 26:10. • Lachish VI (BR III) : Aharoni 1975, pl. 39:1.

Figure 8.9

N°	Type	N° objet	Locus	Description	Comparaisons
1	JG 2A.2	A.9796-9	1186-1	Bord de cruche. Céram. comm. à dégr. min. Cœur gris léger. Surf. brune. Tourné.	
2	JG 2A	A.10632-14	1186-1	Bord de cruche. Céram. assez fine à dégr. min. Pas de cœur. Peinture brune sur fond brun clair. Tourné. Cuisson bonne.	
3	JG	A.10659-2	1186-1	Tesson de panse de cruche. Céram. comm. à dégr. min. Cœur gris. Peinture rouge sur fond brun. Fait à la main.	
4	JG	A.10656-2	1186-1	Tesson de l'épaule d'une cruche. Céram. comm. à dégr. min. assez gross. Pas de cœur. Surf. brun clair à l'int. et brune à l'ext. Peinture noire (trois lignes horizont. surmontant un motif de palmier). Tourné. Cuisson moyenne.	• Lachish VI (BR III) : Aharoni 1975, pls 39:11, 40:3. • Kh. Rabud LB3 (BR II) : Kochavi 1974, fig. 4:16.
5	JR A1.b	A.9796-5	1186-1	Bord de jarre. Céram. comm. à dégr. min. Cœur gris sombre. Eng. beige clair à l'ext. Tourné.	• Gezer XV (BR IIB) : Dever *et al.* 1974, pl. 24:15. • Gezer XVI/XIII (BR IIA/Fer IB) : Dever *et al.* 1986, pls 11:6, 22:15.
6	JR A3.b	A.10643-3	1186-1	Bord de col de jarre. Céram. comm. à dégr. min blanc. Pas de cœur. Surf. brun-rouge clair. Surf. lissée. Tourné.	
7	JR	A.10670-10	1186-sol a	Base de jarre. Céram. assez grossière à dégr. min. Cœur gris sombre. Eng. beige clair à l'ext. Tourné. **Photo : Fig. 8.3.**	• Gezer XVI (BR IIA) : Dever *et al.* 1986, pl. 11:12. • Safi E4b (BR IIB) : Gadot *et al.* 2012, pl. 12.5:3.

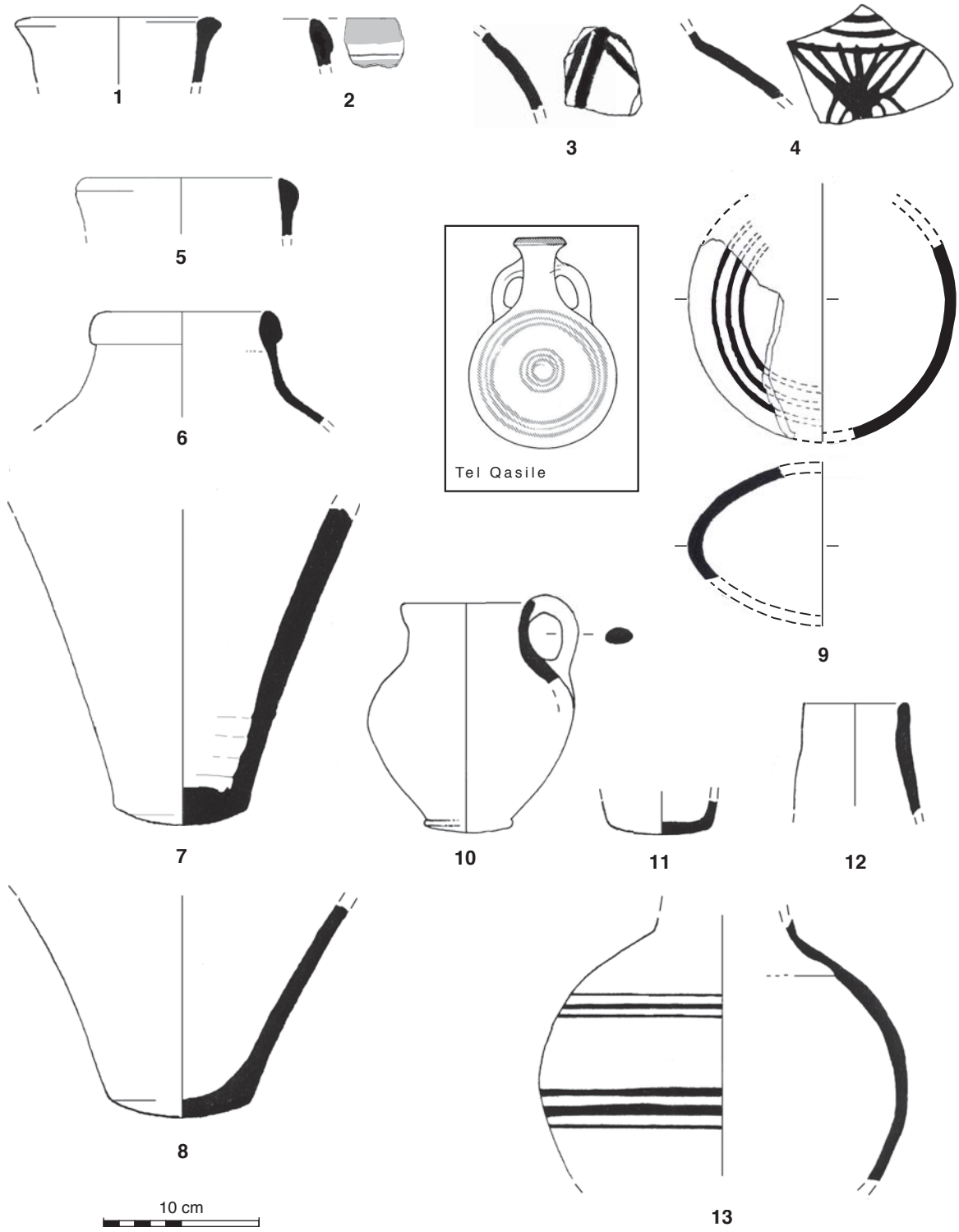


Fig. 8.9. Sondage 2, poterie du niveau Acr-VA (BR III/Fer IA) : L.1186 (suite et fin).

N°	Type	N° objet	Locus	Description	Comparaisons
8	JR	A.10651-3	1186-1	Base de jarre. Céram. comm. à dégr. min. Cœur gris. Surf. brun-rose. Tourné. Cuisson moyenne.	
9	FL	A.10645-11	1186-1	Panse de gourde. Céram. comm. à dégr. min. Cœur gris. Décor de cercles concentriques marron-rouge sur fond beige. Tourné. Cuisson moyenne.	• Qasile X (Fer I) : Mazar 1985, fig. 37:3 (illustré dans l'encadré avec l'aimable autorisation de l'auteur).
10	JG 4	A.10656-1	1186-1	Petite cruche-marmite ovoïde (« *cooking jug* ») complète. Céram. comm. assez gross. à gros dégr. min. et végét. (?). Cœur gris. Surf. brun sombre. Tourné. Cuisson moyenne. **Photo : Fig. 8.5.**	• Beth-Shemesh III : Grant 1932, pl. XXXIX: 49,52 ; Grant and Wright 1938, pl. XXXVIII: 22. • Ashdod XIIIb–XII (Fer IA–IB) : Dothan and Porat 1993, figs 17:4–5, 23:5, 34:2. • Qubeibeh (BR II) : Ben-Arieh *et al.* 1993, fig. 9:3-4. • 'Eton (BR II) : Tsaferis and Hess 1992, fig. 2:4. • 'Eton (Fer IB) : Edelstein and Aurant 1993, pl. 10:9. • Miqne VII-VI (Fer IA-IB) : Killebrew 1998a, figs 7:19, 10:13–14, 12:15 ; 1999, fig. 3:4.
11	JT 2B	A.10656-11	1186-1	Base de cruchette. Céram. comm. à dégr. min. et végét. Cœur gris. Surf. gris-brun. Tourné.	
12	GB 1	A.10670-1	1186-sol a	Bord de gobelet. Céram. assez grossière comm à dégr. min. Cœur gris léger. Eng. ext. beige clair. Tourné.	• Qasile X (Fer I) : Mazar 1985, fig. 40:13.
13	GB 4	A.10679-12	1186-sol a	Panse de gobelet. Céram. assez grossière à dégr. min. Cœur gris léger. Surf. int. gris foncé. Eng. lustré brun pâle avec bandes rouges horizont. peintes à l'ext. Tourné.	• *Cf.* Azekah (BR III/Fer IA) : Kleiman *et al.* 2016, fig. 5:8–9. • *Cf.* Qubur el-Waleyide (BR III/Fer IA) : Lehmann *et al.* 2009, Abb. 9:1.

Figure 8.10

N°	Type	N° objet	Locus	Description	Comparaisons
1	BL 2A.3	A.10686-4	2309A	Bord de bol. Céram. assez grossière à dégr. min. Cœur gris. Surf. brun-rouge. Tourné.	• Azekah (BR III/Fer IA) : Kleiman *et al.* 2016, fig. 4:3. • Gezer XIII (Fer IB) : Dever *et al.* 1974, pl. 27:4.
2	BL 1A.1a	A.10699-6	2309A sol a	Bord de bol. Céram. assez grossière à dégr. min. visible sur les deux faces. Cœur gris. Surf. brun clair. Tourné.	• Gezer XIII (Fer IB) : Dever *et al.* 1974, pl. 27:25 ; Dever *et al.* 1986, pl. 19:18. • Qubeibeh (BR II) : Ben-Arieh *et al.* 1993, pl. 7:12.
3	BL 1A.1b	10686-13	2309A	Bord de bol. Céram. assez grossière à dégr. min. Cœur gris. Surf. beige. Tourné.	• *Cf.* Azekah (BR III/Fer IA) : Kleiman *et al.* 2016, fig. 4:1.

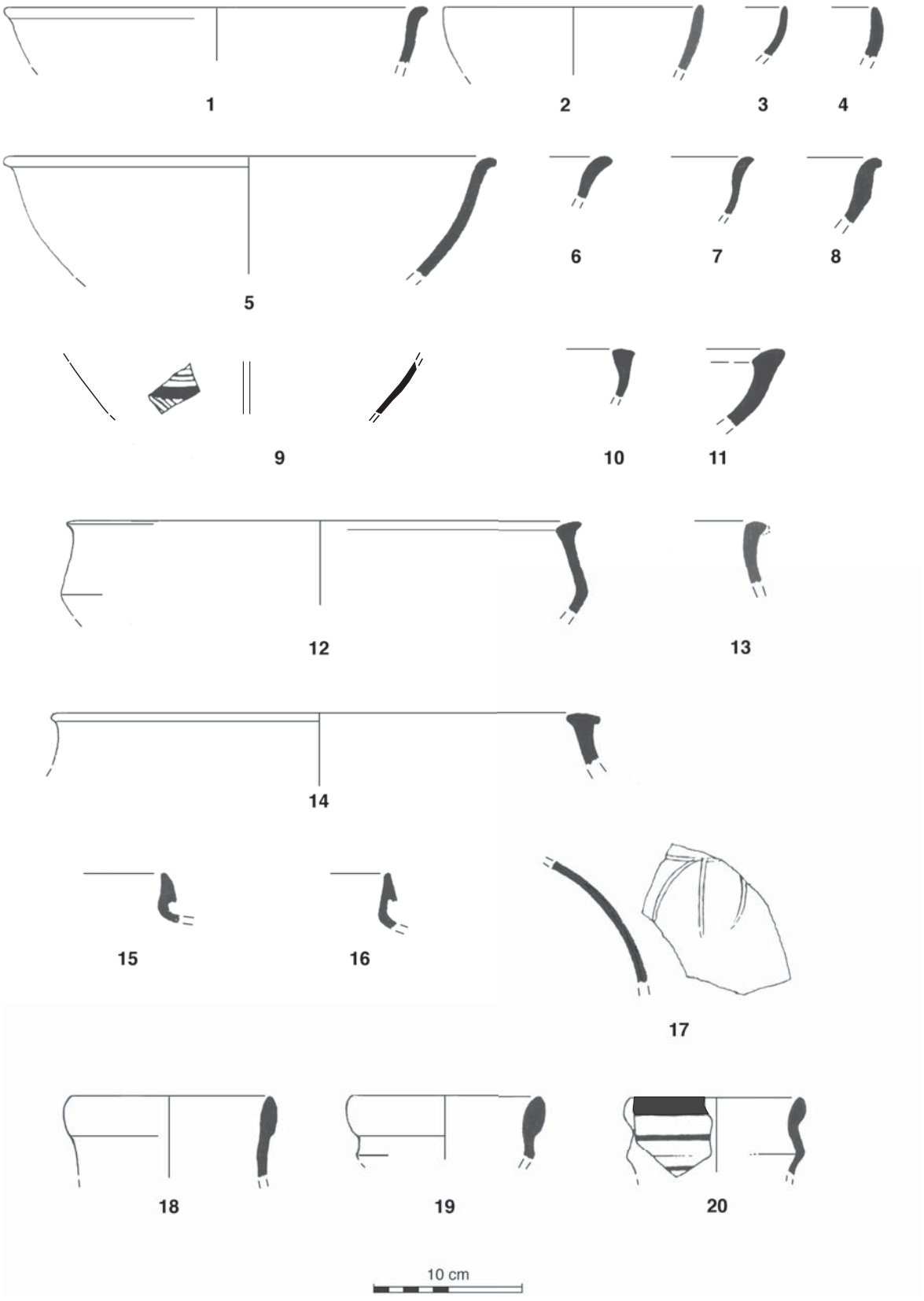


Fig. 8.10. Sondage 2, poterie du niveau Acr-V (BR III/Fer IA) : L.2309A.

N°	Type	N° objet	Locus	Description	Comparaisons
4	BL 1A.1b	A.10686-5	2309A	Bord de bol. Céram. comm. à dégr. min. Pas de cœur. Surf. beige. Tourné.	*Idem.*
5	BL 2A.3	A.10674-3	2309A	Bord de bol. Céram. assez grossière à dégr. min. Cœur gris. Eng. beige verdâtre à l'ext. Tourné.	• Gezer XIII (Fer IB) : Dever *et al.* 1974, pl. 27:4.
6	BL 2A.3	A.10699-3	2309A sol a	Bord de bol. Céram. assez fine à dégr. min. Cœur gris. Surf. beige-brun. Tourné.	
7	BL 2A.3	A.10686-10	2309A	Bord de bol. Céram. assez fine à dégr. min. Pas de cœur. Eng. beige clair à l'int. Tourné.	• Gezer XIV (BR III/Fer IA) : Dever *et al.* 1974, pl. 25:18.
8	BL 2A.3	A.10699-5	2309A sol a	Bord de bol. Céram. comm. à dégr. min. Cœur gris. Surf. brun clair. Peinture rouge sur le sommet de la lèvre. Tourné.	• Gezer XV-XIV/XIII (BR IIB-III/Fer IB) : Dever *et al.* 1986, pls 13:15, 26:4. • Masos I-III (BR II-Fer I) : Fritz and Kempinski 1983, pl. 138:4.
9	FL	A.10686-1	2309A	Panse de gourde mycénienne fragmentaire (Mycénien IIIB). Céram. fine à dégr. min. très fin. Pas de cœur. Décor de cercles concentriques ocre sur fond crème. Fait à la main. Bonne cuisson. **Photo : Fig. 7.2:8.**	
10	BL 2B.3	A.10686-12	2309A	Bord de bol. Céram. comm. à dégr. min. Pas de cœur. Eng. beige gris clair à l'ext. Tourné.	• Gezer XIII (Fer IB) : Dever *et al.* 1974, pl. 27:10.
11	BL 2B.3	A.10674-5	2309A	Bord de bol. Céram. assez fine à dégr. min. Cœur gris. Eng. beige clair à l'int. Tourné.	• Gezer XIV-XIII (BR III-Fer IB) : Dever *et al.* 1986, pl. 17:21. • Izbet Sartah III (BR III/Fer I) : Finkelstein 1986, pl. 11:19.
12	KR 1A.1b	A.10686-2	2309A	Bord de cratère. Céram. assez grossière à dégr. min. Cœur gris léger. Surf. brune. Tourné.	• Gezer XII (Fer IB) : Dever *et al.* 1974, pl. 28:4. • Safi E4b (BR IIB) : Gadot *et al.* 2012, pl. 12.4:14. • Kh. el-'Alya (BR II–Fer I) : Dagan 2010, fig. 247.3:5.
13	KR 1A.2c	A.10686-11	2309A	Bord de cratère. Céram. assez grossière à dégr. min. Cœur gris léger. Eng. beige-verdâtre à l'ext. Tourné.	• Beit Mirsim B1-B2 (BR III-Fer IB) : Greenberg 1987, fig. 8:12.
14	KR 1A.1a	A.10686-7	2309A	Bord de cratère. Céram. assez grossière à dégr. min. Cœur gris léger. Surf. brun clair. Tourné.	• 'Eton (Fer I) : Edelstein and Aurant 1993, fig. 11:17.
15	CP 2A	A.10686-17	2309A	Bord de marmite. Céram. comm. à dégr. min. Cœur gris sombre. Surf. brun-rouge et noir. Tourné.	

N°	Type	N° objet	Locus	Description	Comparaisons
16	CP 2A	A.10686-18	2309A	Bord de marmite. Céram. comm. à dégr. min. Cœur gris sombre. Surf. brun-rouge et noir. Tourné.	• Kh. Rabud LB2 (BR II) : Kochavi 1974, fig. 4:24. • Harasim V (BR II) : Giv'on 1996, pl. 5:5.
17	JR	A.10680-6	2309A	Tesson de panse de cruche. Céram. comm. à dégr. min. Surf. brun très pâle. Pas de cœur. Tournée. Marque de potier légèrement incisée.	
18	JR A1.c	A.10686-3	2309A	Bord de col de jarre. Céram. assez fine à dégr. min. Cœur gris léger. Surf. beige. Tourné.	• Gezer XIII (Fer IB) : Dever *et al.* 1974, pl. 30:26. • Beit Mirsim B2 (Fer IB) : Greenberg 1987, fig. 10:23.
19	JG 2A.3	A.10686-6	2309A	Bord de col de cruche. Céram. comm. à dégr. min. Cœur gris. Surf. brun-clair. Tourné.	• Gezer XIV (BR III) : Dever *et al.* 1986, pl. 16:3.
20	JG 2A.3	A.10674-1	2309A	Bord de col de cruche. Céram. fine à dégr. min. Pas de cœur. Surf. beige. Trois lignes horizontales peintes en rouge à l'ext. Tourné.	• Gezer XIII (Fer IB) : Dever *et al.* 1986, pls 20:8, 25:7. • *Cf.* Qasile XI-X (Fer I) : Mazar 1985, fig. 32:8.

Figure 8.11

N°	Type	N° objet	Locus	Description	Comparaisons
1	BL 1B.1	A.10697-3	2312	Bord de bol. Céram. comm. à dégr. min. Cœur gris léger. Eng. beige clair sur les deux faces. Tourné.	• Qubeibeh tombe (BR II) : Ben-Arieh *et al.* 1993, fig. 7:12.
2	BL 2B.1	A.10697-23	2312	Bord de bol. Céram. comm. à dégr. min. Cœur gris léger. Surf. brun clair. Tourné.	
3	BL 2D.3	A.10697-8	2312	Bord de bol. Céram. assez fine à dégr. min. Cœur gris léger. Surf. beige clair. Tourné.	
4	BL 2B.1	A.10697-24	2312	Bord de bol. Céram. assez fine à dégr. min. Pas de cœur. Eng. beige clair à l'int. Tourné.	
5	BL 2D.3	A.10697-2	2312	Bord de bol. Céram. comm. à dégr. min. Cœur gris sombre. Surf. brun-beige. Tourné.	• Gezer XIV (BR III/Fer IA) : Dever *et al.* 1974, pl. 25:19.
6	BL 2B.1	A.10697-1	2312	Bord de bol. Céram. comm. à dégr. min. Cœur gris. Surf. beige. Tourné.	• Gezer XIII (Fer IB) : Dever *et al.* 1986, pls 19:4, 21:9. • Beth-Shemesh 6-4 (Fer I) : Bunimovitz and Lederman 2016, p. 189 (*BL mdl*).
7	BL 2D.3	A.10697-6	2312	Bord de bol. Céram. comm. à dégr. min. Cœur gris sombre. Eng. beige clair à l'ext. Tourné.	
8	KR	A.10697-10	2312	Panse de cratère avec départ d'anse. Céram. comm. à dégr. min. Cœur gris. Eng. beige clair. Tourné.	
9	KR	A.10697-14	2312	Base annulaire de cratère. Céram. comm. à dégr. min. Cœur gris sombre. Surf. brun-beige. Tourné.	• Gezer XIV (BR III/Fer IA) : Dever *et al.* 1974, pl. 25:11. • Qasile XII (Fer I) : Mazar 1985, fig. 11:19.
10	CP 1A	A.10697-18	2312	Bord de marmite. Céram. comm. à dégr. min. Cœur gris léger. Surf. brune et rouge. Tourné.	• Gezer XIII (Fer IB) : Dever *et al.* 1986, pl. 20:14.
11	CP 1B	A.10697-11	2312	Bord de marmite. Céram. comm. à dégr. min. visible sur les deux faces. Cœur gris sombre. Surf. brun-rouge. Tourné. **Photo de la section : Fig. 6.10:6.**	
12	JR A2.c	A.10697-12	2312	Bord de jarre. Céram. comm. à dégr. min. Cœur gris léger. Surf. brun-rouge. Tourné.	• Gezer XIII (Fer IB) : Dever *et al.* 1986, pl. 21:1.
13	JR A1.c	A.10697-16	2312	Bord de jarre. Céram. assez fine à dégr. min. Pas de cœur. Surf. brun-clair. Tourné.	• Gezer XI (Fer IB) : Dever *et al.* 1974, pl. 30:23.
14	JG / JR 2B.1	A.10697-25	2312	Bord de cruche ou de jarre. Céram. comm. à dégr. min. Cœur gris léger. Surf. brune. Tourné.	

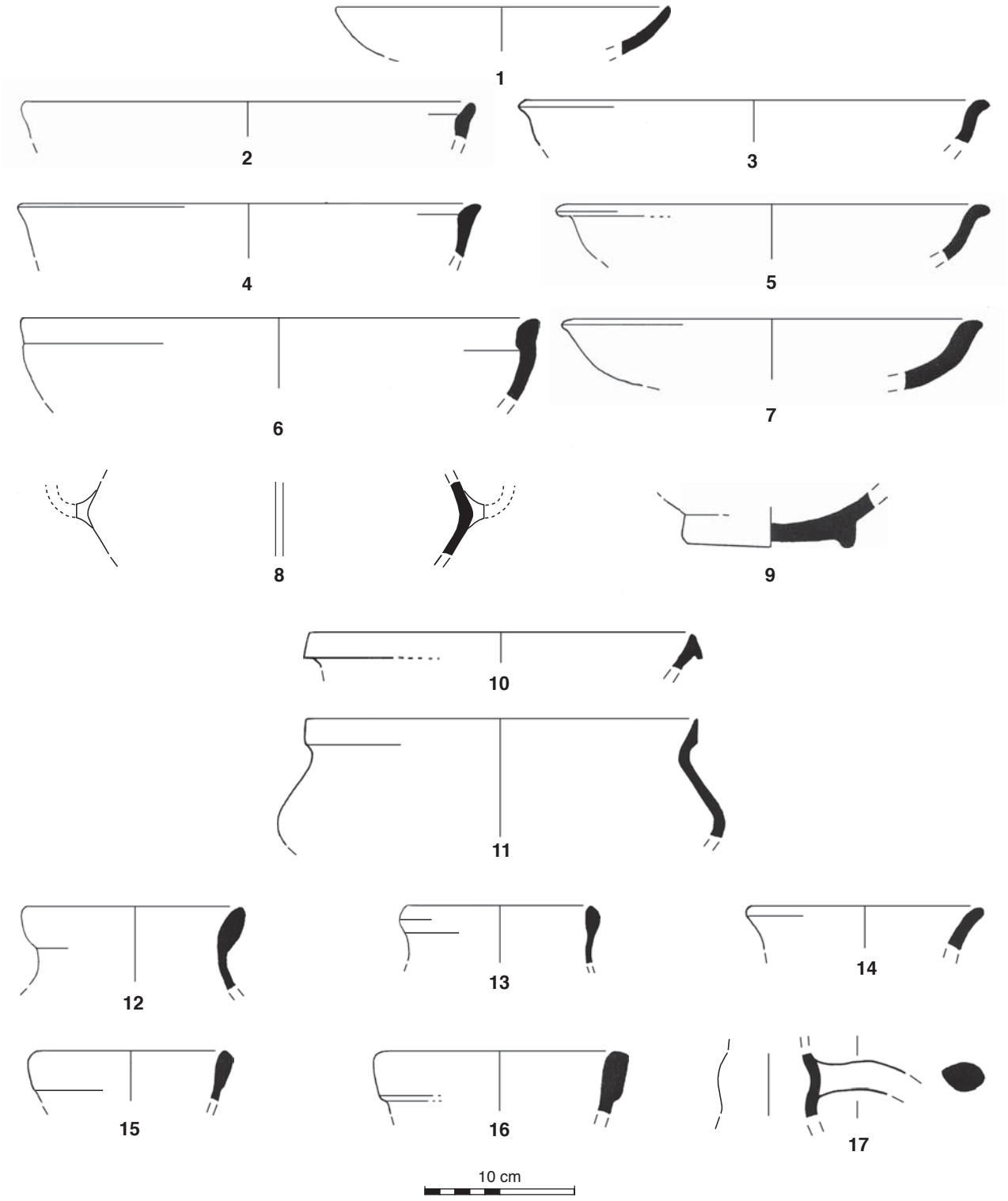


Fig. 8.11. Sondage 2, poterie du niveau Acr-VA (BR III/Fer IA) : L.2312.

N°	Type	N° objet	Locus	Description	Comparaisons
15	JR A2.c	A.10697-17	2312	Bord de jarre. Céram. comm. à dégr. min. visible sur les deux faces. Cœur gris. Surf. brun-clair. Tourné.	
16	JR A2.c	A.10697-26	2312	Bord de jarre. Céram. comm. à dégr. min. Cœur gris sombre. Eng. beige clair à l'ext. Tourné.	
17	JG	A.10697-33	2312	Anse de cruche avec col. Céram. comm. à dégr. min. Pas de cœur. Surf. beige clair. Fait à la main.	

Figure 8.12

N°	Type	N° objet	Locus	Description	Comparaisons
1	BL 1A.1b	A.10915-1	1152-sol a	Bol complet. Céram. assez grossière à dégr. min. Pas de cœur. Surf. brune. Tourné. Cuisson moyenne. **Photo : Fig. 8.2.**	• Gezer XIII (Fer IB) : Dever *et al.* 1986, pl. 23:21. • Beth-Shemesh 6 (Fer I : c.1150–1100 BCE) : Bunimovitz and Lederman 2016, fig. 6.72:3. • Safi (Fer I) : voir Zukerman 2012, p. 271 (avec réfs). • *Cf.* Qubur el-Waleyide (Br III/Fer IA) : Lehmann *et al.* 2009, Abb. 7:5.
2	BL 1A.1b	A.9657-17b	1153- /	Bord de bol. Céram. comm. à dégr. min. mêlé de chamotte. Section gris clair. Surf. brun-rouge clair. Tourné. Cuisson moyenne.	• Qasile XI (Fer I) : Mazar 1985, fig. 18:5.
3	BL 2B.3	A.9661-15	1153- /	Bord de bol. Céram. comm. à dégr. min. mêlé de chamotte. Section brun clair à gris. Surf. brun clair lissée à l'int. Tourné. Cuisson moyenne.	• Gezer XIV-XIII (BR III-Fer IB) : Dever *et al.* 1986, pl. 17:21,22. • Beth-Shemesh 6-4 (Fer I) : Bunimovitz and Lederman 2016, 189 (*BL opn*).
4	CH 1	A.9661-11	1153- /	Bord de calice. Céram. comm. à dégr. min. Section gris-noir. Surf. int. et ext. brun clair poli. Bande de peinture rouge à l'int. Tourné. Bien cuit.	• Gezer XIII (Fer IB) : Dever *et al.* 1986, pl. 24:4. • Safi E4b (BR II) : Gadot *et al.* 2012, pl. 12.3:1.
5	BL 2C.2	A.9657-6	1153- /	Bord de bol. Céram. gross. brun clair à gros dégr. min. mêlé de chamotte. Surf. brun-rouge clair lissée. Traces d'eng. rouge à l'int. Tourné. Cuisson moyenne.	• Beit Mirsim B1 (BR III/Fer IA) : Greenberg 1987, fig. 4:20.
6	BL 2A.3	A.9657-13	1153- /	Bord de bol. Céram. comm. à dégr. min. mêlé de chamotte. Section gris foncé. Surf. brun-rouge clair. Eng. beige à brun pâle lissé. Tourné. Cuisson moyenne.	• Gezer XIII (Fer IB) : Dever *et al.* 1986, pl. 24:4.

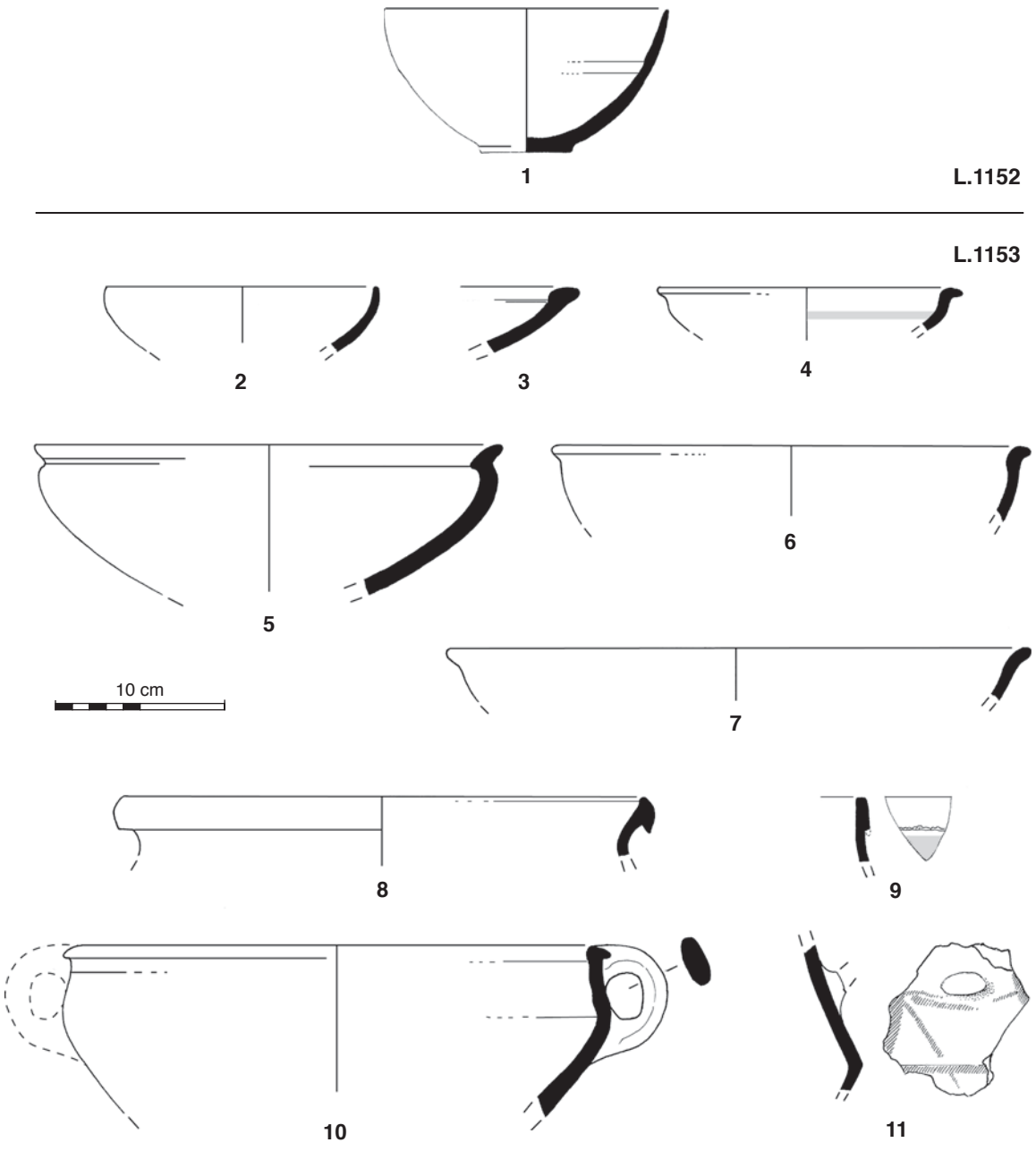


Fig. 8.12. Sondage 2, poterie du niveau Acr-VA (BR III/Fer IA) : L.1152 et 1153.

N°	Type	N° objet	Locus	Description	Comparaisons
7	BL 3A.1	A.9657-7	1153- /	Bord de bol. Céram. comm. à dégr. min. (particules jusqu'à 7 mm) mêlé de chamotte. Section gris foncé. Surf. brun-rouge clair. Eng. brun pâle. Tourné.	
8	CP 1A	A.9657-11	1153- /	Bord de marmite. Céram. très gross. à gros dégr. min. noir. Surf. rouge foncé. Eng. brun clair. Tourné.	• Qasile XII (Fer I) : Mazar 1985, fig. 17:26. • Gezer XIV-XIII (BR III-Fer IB) : Dever *et al.* 1986, pl. 18:19. • Safi E4b (BR IIB) : Gadot *et al.* 2012, pl. 12.8:13–18.
9	CP 3C	A.9714-13	1153-sol a	Bord de marmite. Céram. comm. à dégr. végét. mêlé de chamotte. Section gris clair. Surf. brun-rouge à l'int. Traces d'eng. rouge-foncé à l'ext. Tourné. Bien cuite.	• Gezer XII-XI (Fer IB) : Dever *et al.* 1974, pl. 29:4.
10	KR 1A.2a	A.9661-2	1153- /	Bord de cratère. Céram. gross. à dégr. min. mêlé de chamotte. Section gris foncé. Surf. brun-rouge clair. Taches grises à l'int. Tourné. Cuisson moyenne. **Photo de la section : Fig. 6.10:2.**	• Qasile XI (Fer I) : Mazar 1985, fig. 24:16. • Gezer XIII (Fer IB) : Dever *et al.* 1986, pl. 28:7. • Kh. el-'Alya (BR II–Fer I) : Dagan 2010, fig. 247.5:5.
11	JG	A.9661-1	1153- /	Fragment de panse de cruche biconique à anse. Céram. comm. à dégr. min. assez gros. Décor peint rouge sur fond d'eng. blanc. Tourné. Cuisson moyenne. **Photo : Fig. 8.4.**	• Megiddo VIIB (BR II) : Loud 1948, pls 63:3, 85:4. • Safi E4b (BR IIB) : Gadot *et al.* 2012, pl. 12.3. • Batash VIIA (BR IIB) : Panitz-Cohen 2006, pl. 54:1.

Figure 8.13

N°	Type	N° objet	Locus	Description	Comparaisons
1	BL 1A.1a	10644-11	1153-sol a	Bord de bol. Céram. assez grossière à dégr. min. assez gross. (jusqu'à 5 mm.). Cœur gris léger. Eng. beige clair à l'ext. Tourné.	• Gezer XV (BR IIB) : Dever *et al.* 1974, pl. 24:28. • Gezer XIII (Fer IB) : Dever *et al.* 1986, pl. 23:18.
2	BL	10675-17	1153-1	Tesson de bol chypriote en céramique *White Slip II*. Céram. assez fine à dégr. min. Cœur gris léger. Motif de trame peint à l'ext. en rouge sur fond beige. Fait à la main.	
3	BL 1A.1a	10675-3	1153-1	Bord de bol. Céram. comm. à dégr. min. Cœur gris léger. Surf. beige. Tourné.	
4	BL 1A.2a	10635-7	1153-1	Bord de bol. Céram. comm. à dégr. min. Cœur gris léger. Eng. beige à l'ext. Tourné.	
5	BL 2B.2	10635-5	1153-1	Bord de bol. Céram. assez fine à dégr. min. Pas de cœur. Surf. beige. Tourné.	• Beit Mirsim B1 (BR III/Fer IA) : Greenberg 1987, fig. 4:16.

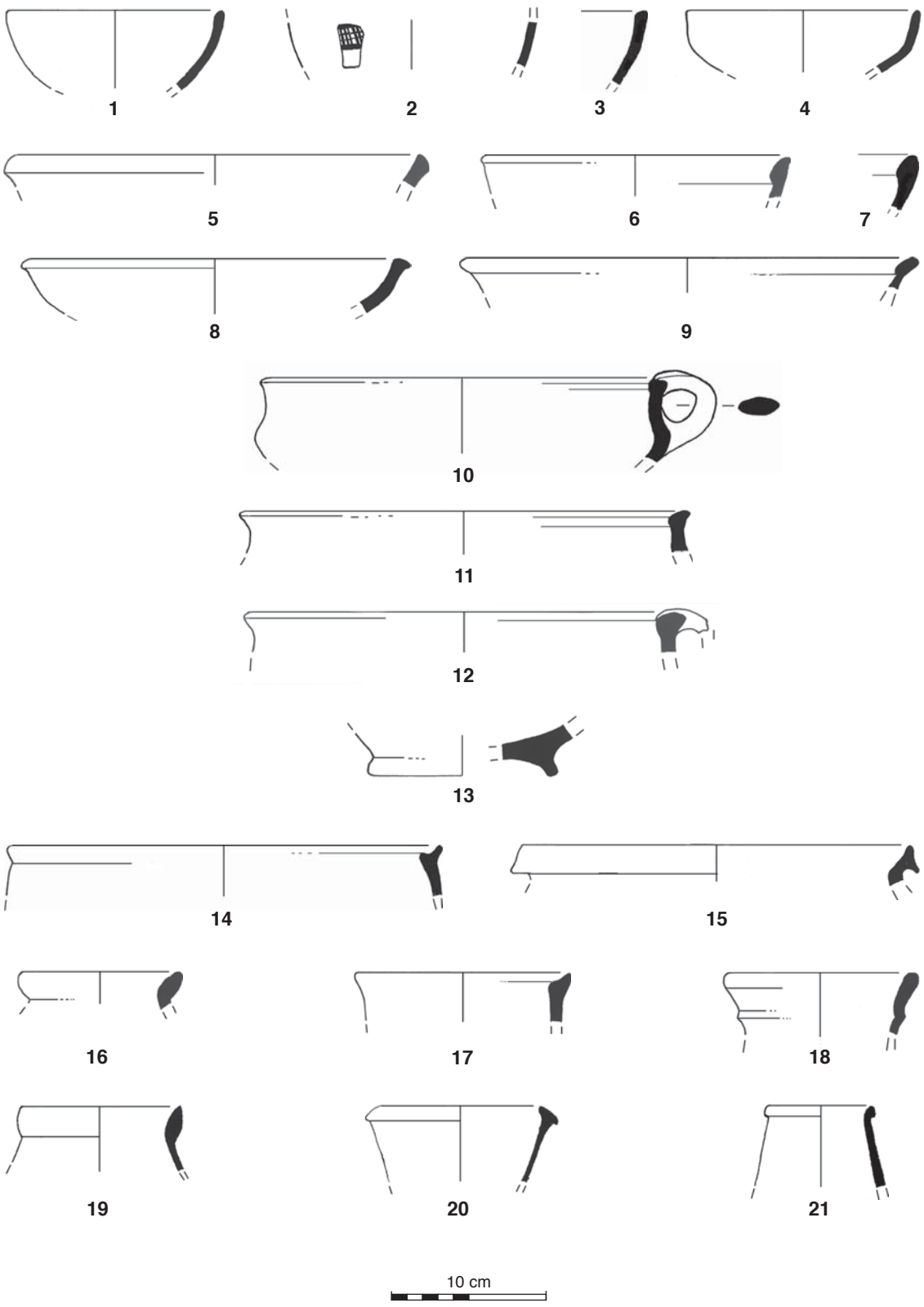


Fig. 8.13. Sondage 2, poterie du niveau Acr-VA (BR III/Fer IA) : L.1153 (suite et fin).

N°	Type	N° objet	Locus	Description	Comparaisons
6	BL 2B.1	10628-1	1153-sol a	Bord de bol. Céram. comm. à dégr. min. Cœur gris léger. Eng. int. et ext. beige. Tourné.	• Gezer XIII (Fer IB) : Dever *et al.* 1986, pl. 19:4. • Harasim V (BR II) : Giv'on 1996, pl. 1:15. • Beth-Shemesh 6-4 (Fer I) : Bunimovitz and Lederman 2016, 189 (*BL mld*).
7	BL 2B.1	10675-6	1153-1	Bord de bol. Céram. comm. à dégr. min. Cœur gris sombre. Eng. beige clair à l'ext. Traces de suie à l'int. Tourné.	
8	*Cf.* BL 2A.3	10635-1	1153-1	Bord de bol. Céram. assez grossière à dégr. min. Cœur gris sombre. Eng. beige clair à l'ext. Tourné.	• Gezer XIV-XIII (BR III-Fer IB) : Dever *et al.* 1986, pl. 17:21.
9	BL 2B.1	10640-2	1153-sol a	Bord de cratère. Céram. comm. à dégr. min. Cœur gris léger. Eng. beige clair à l'int. Tourné.	• Gezer XIII–XIV (Fer IB) : Dever *et al.* 1986, pls 19:21, 22:4. • Gezer XVII-XVI (BR I-II) : Seger 1988, pl. 7:1.
10	KR 1A.2a	10644-16	1153-sol a	Bord de cratère à anse. Céram. assez grossière à dégr. min. et végét. Cœur gris sombre. Eng. int. et ext. beige clair. Tourné.	• *Cf.* Azekah (BR III/Fer IA) : Kleiman *et al.* 2016, fig. 5:1.
11	KR 1A.1b	10644-7	1153-sol a	Bord de cratère. Céram. assez grossière à dégr. min. abondant. Cœur gris. Eng. beige à l'int. Tourné.	• Gezer XIII (Fer IB) : Dever *et al.* 1986, pl. 25:6.
12	KR 1A.2a	9792-4	1153-sol a	Bord de cratère. Céram. assez grossière à dégr. min. Cœur gris. Surf. beige clair. Tourné.	• Gezer XII-XI (Fer IB) : Dever *et al.* 1974, pl. 29:23. • Masos II-III (BR II–Fer I) : Fritz and Kempinski 1983, pl. 134:12. • Beth-Shemesh 6 (Fer I : *c.*1150–1100) : Bunimovitz and Lederman 2016, fig. 6.72:6.
13	KR	10644-15	1153-sol a	Base annulaire de cratère. Céram. comm. à dégr. min. Cœur gris sombre. Eng. ext. beige clair. Tourné.	• Gezer XIV-XIII (BR III–Fer IB) : Dever *et al.* 1986, pl. 17:3. • Beit Mirsim B2 (Fer IB) : Greenberg 1987, fig. 9:20. • Qasile XII (Fer I) : Mazar 1985, fig. 17:1.
14	KR 1A.1d	10665-2	1153-1	Bord de cratère. Céram. comm. à dégr. min. Cœur gris sombre. Eng. beige clair. Traces de lustrage à l'ext. Tourné.	
15	CP 1A	10640-3	1153-sol a	Bord de marmite. Céram. assez grossière à dégr. min. Cœur gris. Surf. rouge sombre. Tourné.	• Safi E4b (BR IIB) : Gadot *et al.* 2012, pl. 12.2:13.

N°	Type	N° objet	Locus	Description	Comparaisons
16	JG 2B.2	10644-12	1153-sol a	Bord de cruche. Céram. comm. à dégr. min. Cœur gris sombre. Eng. beige clair à l'int. Tourné.	• Kh. Rabud LB4 (BR II) : Kochavi 1974, fig. 4:11. • Gezer XIV-XIII (BR III–Fer IB) : Dever *et al.* 1986, pl. 17:12. • Beit Mirsim B1 (BR III/Fer IA) : Greenberg 1987, fig. 7:18.
17	JR A1	10644-5	1153-sol a	Bord de jarre. Céram. comm. à dégr. min. et végét.? Pas de cœur. Surf. brune. Tourné.	• Gezer XIII (Fer IB) : Dever *et al.* 1974, pl. 27:14.
18	GB 2	10665-4	1153-sol a	Bord de gobelet ou cruche. Céram. assez grossière à dégr. min. Cœur gris léger. Surf. beige. Tourné.	• Qasile XI-X (Fer I) : Mazar 1985, fig. 32:8. • Gezer XIII (Fer IB) : Dever *et al.* 1986, pl. 20:8. • Qubeibeh (BR II) : Ben-Arieh *et al.* 1993, fig. 8:16.
19	JG 2B.3	10769-3	1153-1	Bord de cruche. Céram. comm. à dégr. min. Pas de cœur. Surf. brun clair. Cuisson moyenne. Tourné.	
20	JG 2B.4	10769-11	1153-1	Bord de cruche. Céram. comm. à dégr. min. Pas de cœur. Eng. int. et ext. Cuisson moyenne. Tourné.	• Gezer XVIII-XVI (BM II–BR II) : Dever *et al.* 1986, pl. 9: 22. • Keisan 9c (Fer I) : Briend et Humbert 1980, pl. 75:4.
21	GB 3	10769-30	1153-1	Bord de gobelet ou de cruche. Céram. assez fine à dégr. min. Pas de cœur. Surf. brun clair. Tourné. Cuisson assez bonne.	• Gezer XII (Fer IB) : Dever *et al.* 1974, pl. 28:27. • Izbet Sartah I (BR III/Fer I) : Finkelstein 1986, pl. 8:16. • Yin'am (BR IIB) : Liebowitz and Dering 2003, fig. 14:4.

CHAPITRE 9

LA POTERIE DU NIVEAU ACR-IV : Fer IB (fin du XII[e] siècle)

Michaël JASMIN

Le niveau Acr-IV a livré un mobilier céramique moins abondant que les niveaux Acr-V ou Acr-III. La faible épaisseur des dépôts archéologiques, et donc aussi la durée d'occupation limitée de ce niveau, explique cette situation. Par ailleurs, contrairement au niveau Acr-III, le niveau Acr-IV n'a pas subi de destruction. Le matériel provient d'espaces domestiques vidés de leur contenu avant leur abandon et dont les murs ont été pillés pour construire ceux du niveau sus-jacent. Au point de vue de la poterie, ce niveau se caractérise par l'apparition de la poterie bichrome philistine. Celle-ci relève de la production locale mais se distingue de la céramique locale de tradition cananéenne par la technologie, la morphologie et le décor peint.

9.1. LA CÉRAMIQUE DE TRADITION LOCALE

L'assemblage des formes de poterie en céramique locale du niveau Acr-IV (voir **Tableau 6.2** et **Fig. 9.1**) est dominé par les bols (40 %) et les jarres (28 %), qui représentent ensemble près des deux-tiers des formes répertoriées. Trois autres catégories de formes sont fréquentes : les marmites (11,7 %), les cratères (11,1 %) et, dans une moindre mesure, les cruches (5,5 %). Les autres catégories sont comparativement peu représentées.

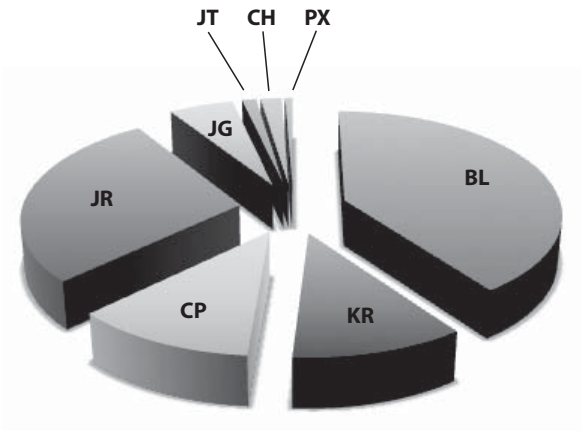


Fig. 9.1. Fréquences des catégories de formes de poterie du niveau Acr-IV (*cf.* **Tableau 6.2**).

9.1.1. Bols

9.1.1.1. *Typologie*

Dix-neuf tessons de bols seulement ont été mis au jour, en sorte qu'il est difficile de tirer de ce faible échantillon des conclusions assurées. Il semble cependant que les petits bols peu profonds communs au niveau précédent sont alors remplacés par des bols de type philistin. Les types suivants ont été identifiés :

9.1.1.1.1. Bols à bord vertical

- BL 1A.2a : Petits bols à bord vertical et à lèvre simple

  Ce type de bols (**Fig. 9.6:1**) reste relativement courant.

- BL 2A.1-2 : Bols moyens à bord vertical et à lèvre épaissie ou évasée

Ces bols (**Fig. 9.6:2–3**) semblent assez caractéristiques de ce niveau. Le bord au-dessus de la carène est à peu près vertical et se termine par une lèvre plus ou moins évasée. Ces caractères morphologiques les apparentent aux bols carénés du niveau Acr-VI (*cf.* **Fig. 7.3:3**), eux-mêmes dérivés des bols du Bronze moyen, mais la paroi est plutôt sinueuse que carénée.

- BL 2A.3 : À bord vertical et à lèvre éversée

Le bord est vertical et la lèvre éversée à l'horizontale (**Fig. 9.8:2**). Ce type de profil se trouvait déjà au niveau Acr-V (*cf.* **Figs 8.7:8** ; **8.10:5** ; **8.11:5**).

9.1.1.1.2. Bols à profil sinueux

- BL 1C.2 : Petits bols à paroi sinueuse et à lèvre éversée

  Ces bols à la sinuosité bien marquée sont encore peu nombreux (**Fig. 9.8:1**).

- BL 1D.1 et 2D.1 : Petits bols et bols moyens à profil sinueux et à lèvre simple

Ce profil (**Fig. 9.6:4–5**) apparaît surtout avec les bols philistins mais la céramique de tradition locale reprend cette forme caractéristique du Fer I, dont le plein développement s'effectue au Fer IB. La paroi, éventuellement subcarénée, peut être assez galbée, en sorte que le diamètre maximum du corps excède légèrement celui du bord (**Fig. 9.6:5**). La lèvre peut avoir un sommet arrondi ou aminci (**Fig. 9.6:5**), comme sur les bols en cloche philistins (**Fig. 9.7:1–5**). Un petit bol au profil subcaréné (**Fig. 9.6:4**) rappelle les bols à offrande de Tel Qasile XI. Ces types de bol à paroi sinueuse apparaissent à Tell Beit Mirsim dans le Silo 6 daté de la phase B1 et dans d'autres contextes domestiques[1]. On les trouve aussi dans des contextes funéraires, par exemple à Tel 'Eton[2].

- BL 2D.3 : Bols moyens à paroi sinueuse et lèvre éversée

Ce type de bols (**Fig. 9.8:3**) était déjà présent au niveau précédent (*cf.* **Figs 8.7:9–10** ; **8.10:6–8** ; **8.12:6**).

[1] Greenberg 1987, p. 65.
[2] Edelstein and Aurant 1993, fig. 11:7.

9.1.1.2. *Technologie*

Dégraissants.– La moitié des tessons de bols comportent un dégraissant de grains de calcaire. Les cailloux sont employés dans 27,8 % des cas, mais l'association des deux est rare, de même que l'emploi de graviers, seuls ou en association avec des grains de calcaire.

Modes de façonnage.– La pratique du tournage est la plus employée (84,2 %), toutefois le montage à la main se note dans 15,8 % des cas.

Modalités de cuisson.– Un tiers environ des tessons ne présentent pas de cœur, le reste ont un cœur gris moyen (36,8 %), gris clair (15,8 %) ou gris foncé (15,8 %).

Traitement des surfaces.– Plus de la moitié (52,6 %) des bols sont engobés, les décors peints n'apparaissent que sur 10,3 % d'entre eux.

Qualité de la céramique.– Bien que la majorité des bols relèvent de la catégorie « commune » (58 %), une proportion considérable d'entre eux sont de qualité « grossière » (10,5 %) et « plutôt grossière » (26,3 %), soit un peu plus du tiers. Seulement 5,2 % se rattachent à la catégorie « plutôt fine ». On notera, par comparaison, que les bols en céramique bichrome philistine sont tous de qualité « plutôt fine » ou « fine » : tout se passe comme si l'existence de la céramique philistine a entraîné une baisse dans la qualité de la poterie locale de tradition cananéenne, du moins pour les bols.

9.1.2. Cratères

La plupart des cratères présentent une lèvre oblique vers l'intérieur, quel qu'en soit le profil (**Figs 9.6:6** ; **9.8:9–10**). La carène est plus ou moins anguleuse (**Fig. 9.6:6**). Des anses annulaires à attaches verticales (**Fig. 9.8:10**) sont souvent présentes. Comme au niveau précédent, les cratères ont des bases annulaires. On observe les profils suivants :

9.1.2.1. *Cratères à bord vertical*

- KR 1A.1b : Cratères à lèvre « en T » marqué à sommet oblique vers l'intérieur

  C'est la forme la plus courante (**Fig. 9.6:6**).

9.1.2.2. *Cratères à bord rentrant*

- KR 1E.1 : Cratères à bord rentrant et lèvre moulurée (**Fig. 9.8:10**)
- KR 1E.2 : Cratères à bord rentrant et à lèvre épaissie (**Fig. 9.8:9**)

  Cette dernière forme est fréquente.

9.1.3. Marmites

La plupart des marmites du niveau Acr-IV ont un bord vertical (CP 3). Les distinctions typologiques sont fonction du profil, de l'épaisseur et de la hauteur du bourrelet qui souligne la lèvre.

• CP 3B : Lèvre en bourrelet triangulaire épais

Le bord vertical est un élément caractéristique du Fer I, mais le bourrelet triangulaire épais est un héritage du Bronze récent. On le retrouve au niveau Acr-IV sous la forme d'un bourrelet allongé (**Fig. 9.8:8**), ou bien avec un bourrelet triangulaire épais et une carène assez marquée (**Fig. 9.6:9**). Le profil du bord auquel se rattache le bourrelet est soit rectiligne (**Fig. 9.6:9**), soit, moins souvent, concave (**Fig. 9.8:8**).

• CP 3A : Bourrelet triangulaire court et peu marqué

Le bourrelet court et peu marqué présente un profil triangulaire (**Fig. 9.6:**7), éventuellement concave avec un sommet aminci (**Fig. 9.8:**7).

• CP 3C : Bourrelet triangulaire peu marqué

Le bourrelet peu marqué présente un profil concave à sommet arrondi (**Fig. 9.6:8**).

On notera que les marmites à bord rentrant n'ont pas encore fait leur apparition au niveau Acr-IV. Au niveau B1 de Tell Beit Mirsim on trouve encore quelques marmites à bord évasé, mais cette forme est alors en voie de disparition[3]. Ce n'est pas le cas à Yarmouth. En revanche, les marmites à bord rentrant, qui n'apparaissent à Yarmouth qu'au niveau Acr-III dans le courant du XIe siècle, sont déjà présentes dans les niveaux du XIIe siècle à Tell Beit Mirsim[4] et à Tel Masos[5]. Il s'agit alors d'une variation régionale très localisée, limitée à cette époque au sud de la Shéphélah et au nord du Negev.

9.1.4. Jarres

9.1.4.1. *Typologie*

• JR A1.a : Jarres à col court vertical

C'est le type courant (**Fig. 9.6:10**). Les jarres contemporaines de Tel Qasile XI sont du même type[6]. La lèvre peut être épaissie vers l'extérieur, comme c'est souvent le cas au niveau Acr-V. Un exemplaire de fond de jarre est à base arrondie (*cf.* les jarres de type JR 2). Les jarres à panse ovoïde du BR II restent fréquentes et sont, comme à Tel 'Eton, dans la continuité des traditions cananéennes[7].

• JR A3.b : Jarre à col court rentrant et à lèvre épaissie

Cet exemplaire est souligné par un léger ressaut à la base du col (**Fig. 9.7:10**). C'est la seule attestation à Yarmouth d'un exemple de « jarre à collier » (« *Collared-Rim Jar* ») typique du Fer I[8]. Avec ou sans « collier » à la base du col, ces jarres relèvent d'une même et unique tradition cananéenne locale. L'adjonction du « collier » n'est en fait qu'une variante occasionnelle que l'on peut trouver dans l'ensemble de la Palestine, bien qu'elle soit

[3] Greenberg 1987, p. 65, pl. 7:13-14.
[4] Greenberg 1987, p. 65, pl. 7:15.
[5] Fritz and Kempinski 1983, p. 74, pl. 131:14.
[6] Mazar 1985, p. 54.
[7] Edelstein and Aurant 1993, p. 25, pl. 10:1–3.
[8] Killebrew 2001, et *cf.* les remarques de Zukerman 2012, p. 292.

particulièrement fréquente à cette époque dans la région des hautes collines de Judée. Mais cette fréquence est variable même sur les sites judéens : ainsi, un seul exemplaire de jarre « à collier » a été exhumé au niveau B1 de Tell Beit Mirsim, daté de la première moitié du XIIe siècle[9], un ou deux tessons seulement en contexte du Fer à Tel 'Eton[10] et très peu d'exemplaires dans les niveaux contemporains de Tel Beth-Shemesh[11] et de Tell es-Safi[12]. Sa rareté à Yarmouth n'est donc pas singulière. La jarre de Yarmouth est de fabrication locale, comme sur les autres sites de la Shephelah et de sa périphérie.

9.1.4.2. *Technologie*

Dégraissants.– Le mode d'utilisation des dégraissants dans les jarres est comparable à celui des niveaux précédents. Des grains de calcaire se retrouvent seulement dans 20 % des jarres et les cailloux dans 10 % d'entre elles. L'association des deux concerne en revanche 50 % des jarres. Les graviers et le sable entrent tous deux pour 10 % dans la composition des jarres.

Modes de façonnage.– 90 % des jarres ont été montées aux colombins avec finition au tour et 10 % à la main.

Modalités de cuisson.– La cuisson des jarres semble avoir été plutôt oxydante : 30 % des tessons ne comportent pas de cœur, 30 % possèdent un cœur gris léger et 40 % un cœur gris.

Qualité de la céramique.– L'ensemble des tessons de jarres sont d'une qualité « commune » (60 %) et « plutôt grossière » (40 %).

9.1.5. Cruches

Les tessons de cruches n'autorisent guère une identification typologique précise. Des tessons de panse à décors peints indiquent une continuité des motifs caractéristiques du niveau précédent, en particulier les lignes rouges peintes.

9.1.6. Cruchettes et gobelets

Aucun tesson de cruchette ni de gobelet n'a pu être identifié avec certitude au niveau Acr-IV.

9.1.7. Calices

- CH 1 : à paroi sinueuse et à lèvre éversée

La lèvre éversée (**Fig. 9.6:13**) est une caractéristique des calices du Fer I, bien représentés sur de nombreux sites, par exemple à Tel Qasile XI et X[13].

[9] Greenberg 1987, p. 71.
[10] Faust 2017, p. 24 ; Faust *et al.* 2014, p. 56.
[11] Bunimovitz and Lederman 2016, pp. 200–202, 215 et 218, fig. 6.66.
[12] Zukerman 2012, pp. 292–294.
[13] Mazar 1985, pp. 48–49, type CH 2.

9.1.8. Flasques

• Fl 1 : Flasque à panse lentiforme

Alors que les flasques sont courantes au Fer I, en particulier à Tel Qasile, où elles apparaissent avec des profils variées[14], les niveaux plus ou moins contemporains de Yarmouth en ont livré peu d'exemplaires. Il est donc difficile d'établir des distinctions typologiques à partir d'un échantillon aussi limité. On note la présence au niveau Acr-IV de cols de flasque avec une ou deux anses partant du milieu du col et orientées vers le haut (**Fig. 9.8:4**). Des flasques similaires proviennent de Tel Qasile[15]. L'anse est située plus ou moins haut sur le col et le point d'attache y est d'épaisseur variable. La panse peut être peinte avec des cercles concentriques (**Fig. 9.8:5**), un décor classique au Fer I sur ce genre de vase[16], et attesté déjà au niveau précédent (**Fig. 8.9 :9**).

9.1.9. Pyxides

• PX 1 : à col évasé et à base arrondie

Cette pyxide complète (**Fig. 9.6:14** = **Fig. 9.2**) se distingue par un fond arrondi et un col évasé. Le décor se compose de lignes parallèles peintes sur le col et la panse avec un registre de traits verticaux sur le haut de la panse. Des pyxides comparables ont été trouvées notamment à Beth-Shean. La base arrondie de cette pyxide l'apparente au type *PX 1* défini par A. Mazar à Tel Qasile[17]. On connaît à Tel Masos au BR IIB une production d'imitation locale de pyxides mycéniennes[18]. Des pyxides de fabrication locale ont été trouvées à Tel 'Eton en contexte du Fer I[19]. On n'a pas identifié à Yarmouth de pyxide avec une base annulaire comme il en existe à Tel Qasile.



Fig. 9.2. Pyxide (A.9637-1, **Fig. 9.6:14**).

[14] Mazar 1985, p. 71.
[15] Mazar 1985, pp. 71–72 et pls 37, 50:10.
[16] Mazar 1985, p. 71, photos 73–74, pl. 37:2–9. À Tel Miqne, ce décor apparaît sur les flasques trouvées dans tous les niveaux du Fer I : voir Zukerman and Gitin 2016, figs 5.5:5, 5.34:2, 5.46:1–3,7, 5.62:12, 5.84:10 et 5.111:8.
[17] Mazar 1985, p. 77 et fig. 27:21.
[18] Fritz and Kempinski 1983, p. 75.
[19] Edelstein and Aurant 1993, p. 25, pl. 10:15.

9.1.10. Lampes

Aucun tesson de lampe n'a été identifié au niveau Acr-IV.

9.1.11. Divers

Les plaques à cuire (**Fig. 9.6:11–12** = **Fig. 9.3:1–2**) sont présentes à Yarmouth aux niveaux Acr-IV et Acr-III. Elles caractérisent surtout le Fer I–II[20], mais sont attestées à Gezer dès la fin du XIII[e] siècle.

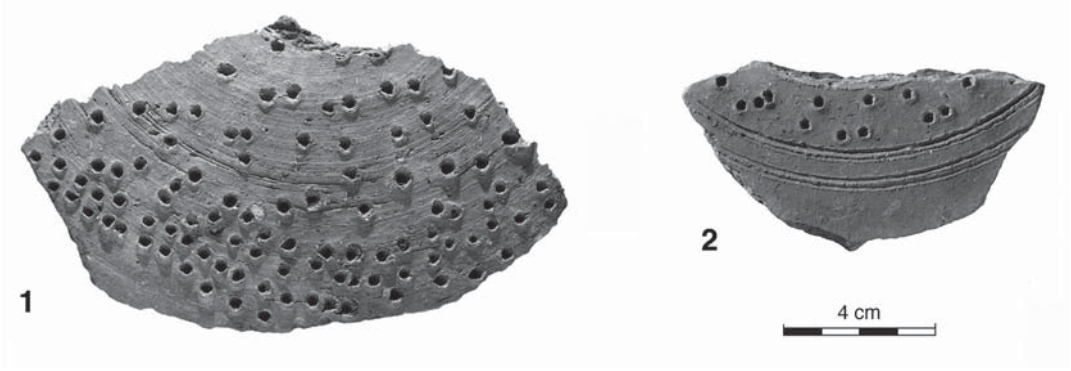


Fig. 9.3. Tessons de plats à cuire (1. A.9643-1, **Fig. 9.6:11** ; 2. A.9642-15, **Fig. 9.6:12**).

9.2. La céramique philistine

La céramique philistine fait son apparition au niveau Acr-IV. Elle relève uniquement de la variété bichrome, dite *Philistine 2*[21], et n'est représentée que par deux types de vases : des bols et des cratères, avec un profil caractéristique en forme de « cloche » (« *bell-shaped bowl* », « *bell-shaped krater* »). Il s'agit des deux types de vases les plus fréquents sur tous les sites du Fer IB où cette catégorie de céramique bichrome philistine a été mise au jour. Le décor peint en noir et rouge sur un fond d'engobe blanc ou beige ne présente qu'un petit nombre de motifs disposés en un seul registre horizontal, essentiellement des bandes parallèles, des spirales ou des demi-cercles concentriques, ces derniers pouvant flanquer un motif d'oiseau.

9.2.1. Typologie

9.2.1.1. *Bols*

- BL 1D.1 et 2 : Petits bols à paroi sinueuse

Ces bols présentent un profil sinueux en « S » caractéristique, avec une paroi verticale nettement galbée (**Fig. 9.4:2,4–5** ; **9.7:1–5**). La présence de deux anses annulaires à attaches

[20] Mazar 1985, p. 79 (avec références) ; 2015, p. 18.
[21] Sur la céramique philistine et son évolution, voir T. Dothan 1982 ; Mazar 1985, pp. 87–105 ; Killebrew 2013 ; Kang 2013, pp. 10–11 ; Dothan and Zukerman 2015, p. 71.



Fig. 9.4. Tessons philistins du niveau Acr-IV, L.1148.
1. A.9651-1 (**Fig. 9.7:7**). 2. A.9642-2 (**Fig. 9.7:1**). 3. A.9639-7 (**Fig. 9.7:8**).
4. A.9642-1 (**Fig. 9.7:3**). 5. A.9659-1 (**Fig. 9.7:2**).

horizontales est un élément caractéristique de cette catégorie de bols, dont le profil général est constant, avec pour seules variations le profil de la lèvre, amincie (**Fig. 9.7:2–3** = **Fig. 9.4:4–5**) ou ronde (**Fig. 9.7:1** = **Fig. 9.4:2**). Ces bols relèvent d'une production en céramique bichrome largement attestée au Fer I en territoire philistin et à sa périphérie (Ashdod XI, Tel 'Eton, Tel Qasile XII–X, Tel Beth-Shemesh 6–4, etc.)[22]. Certains bols n'ont aucune décoration (**Fig. 9.7:3** = **Fig. 9.4:4**), mais la plupart portent un décor de spirales (**Fig. 9.7:1–2**, **5** = **Fig. 9.4:2,5**), qui est souvent attesté par ailleurs, notamment à Tel Ashdod XII[23] et à Tell es-Safi[24].

9.2.1.2. *Cratères*

• KR 2.A : Cratère en forme de cloche

La forme « en cloche » des cratères est plus marquée que celle des bols, avec une paroi convexe plutôt que sinueuse (**Figs 9.7:7–8** [= **Fig. 9.4:1,3**] ; **9.8:6**). Ces vases comportent aussi généralement deux anses annulaires à attaches horizontales. La lèvre peut être « en T » avec un sommet convexe (**Figs 9.7:7** [=**Fig. 9.4:1**] ; **9.8:6**) ou un sommet rectiligne et oblique vers l'intérieur (**Fig. 9.7:8** = **Fig. 9.4:3**). Le cratère de la **Fig. 9.7:7** (= **Fig. 9.4:1**) porte un décor philistin caractéristique associant un oiseau à deux motifs géométriques[25].

[22] Références dans Panitz-Cohen 2006, pp. 47–49 (BL 8) ; Bunimovitz and Lederman 2016, pp. 208 et 209, fig. 6.61. Voir aussi Killebrew 2005, pp. 220–222, n. 78–82 (*Bowl AS 4*).
[23] Dothan and Freedman 1967, pl. 28:13–15 ; Dothan and Porat 1993, figs 26–27.
[24] Zukerman 2012, pp. 278–279.
[25] Sur le motif d'oiseau et sa signification possible sur les poteries philistines, voir Ben-Shlomo 2010, pp. 132–135, 180 ; Maeir and Shai 2015, p. 61 (avec les références).

La distribution des cratères en céramique bichrome philistine est la même que celle des bols, auxquels ils sont normalement associés sur de nombreux sites du Fer IB en territoire philistin et à sa périphérie orientale[26]. On y note en particulier le nombre limité de motifs utilisés par les potiers philistins et leur continuité pendant la durée de la période.

9.2.2. Technologie

Ces poteries utilisent un dégraissant assez fin, pouvant mesurer jusqu'à 0,5 mm d'épaisseur, le plus souvent du sable. La cuisson est plutôt bonne et la qualité de l'ensemble de cette catégorie s'apparente à de la céramique « plutôt fine » ou « fine ».

9.2.3. Provenance

On trouvera à l'Appendice 1 les résultats des analyses pétrographiques de six tessons philistins du niveau Acr-IV effectuées par Y. Goren. Ces tessons se rattachent à trois groupes pétrographiques distincts: un relève du groupe "*Loess and Coastal Sand*", ce qui suppose une origine au sud de la Plaine côtière, aux environs de Gaza et d'Ashkelon ; quatre appartiennent au groupe "*Loess and Calcareous Sand*" et proviennent d'une zone de la Shéphélah située au sud de la vallée de l'Ayalon, *grosso modo* entre Tel Gezer et Tell es-Safi/Gath (**Fig. 24.4**); et un seul se rapporte au groupe "*Terra Rossa*" originaire lui aussi de la haute Shéphélah (ou des collines judéennes). En somme, ces vases proviennent de territoires alors sous contrôle philistin et d'une zone limitrophe, et la variété de leurs origines souligne la diversité des échanges régionaux dont Tel Yarmouth bénéficiait.

9.3. Conclusion

9.3.1. Évaluation typologique

Parmi les formes de poterie anciennes qui disparaissent au niveau Acr-IV, plusieurs étaient caractéristiques du BR II, et pour certaines leur origine remontait même au Bronze moyen. C'est le cas des bols à lèvre éversée (BL 2B.4, **Fig. 7.8:1–2**), des bols à lèvre « en T » (BL 2B.3, **Fig. 8.10:10–11**) et des marmites à bord évasé (CP 1, *cf.* **Fig. 7.3:7**).

Les indices de continuité entre la poterie des niveaux Acr-IV et Acr-V sont cependant nombreux, comme l'indique la fréquence des petits bols ou des bols moyens à la lèvre évasée (**Fig. 9.6:2–5**), des cratères à lèvre « en T » à sommet oblique vers l'intérieur (**Fig. 9.6:6**) ou des calices à lèvre éversée (**Fig. 9.6:13**). Les pyxides à décor peint (**Fig. 9.6:14**) témoignent aussi de la persistance des traditions cananéennes.

[26] Voir Killebrew 2005, pp. 220–222, n. 83–86 (*Krater AS 5*) et *cf.* Mazar 1985, p. 103 (Tel Qasile XII–X) ; Bunimovitz and Lederman 2016, p. 208 et figs 6.61, 6.77:1–15 (Tel Beth Shemesh 6–4) ; Panitz-Cohen 2006, pp. 62–64 (KR 2) (Tel Batash V) ; Zukerman 2012, pp. 283–285 (Tell es-Safi/Gath E3, A5–A4) ; etc.

Les principales évolutions concernent quelques formes comme les marmites dont le bord tend vers la verticale avec un bourrelet plus ou moins allongé (**Figs 9.6:7–9** ; **9.8:7–8**). Les jarres à col court et droit deviennent caractéristiques (**Fig. 9.6 :10**).

Parmi les nouveautés de ce niveau, il convient d'insister sur l'apparition de la céramique bichrome philistine, une catégorie de poterie aux formes et aux techniques nouvelles, même si l'on peut trouver pour quelques détails morphologiques (le profil de la lèvre, celui de la paroi) des antécédents à l'époque précédente. Autre nouveauté notable : la fréquence des plaques à cuire à partir du niveau Acr-IV, que l'on retrouve sur d'autres sites, notamment à Tell Keisan[27].

9.3.2. Évaluation chronologique

Les traits caractéristiques de la poterie du niveau Acr-IV qui viennent d'être énumérés permettent de préciser la position chronologique de ce niveau. En dépit d'un conservatisme marqué avec l'époque précédente, en particulier le BR II, l'évolution morphologique des bols, des marmites et des jarres, la fréquence des plaques à cuire, et surtout la présence de la céramique bichrome philistine sont autant d'éléments probants qui permettent d'inscrire avec une certitude raisonnable l'assemblage céramique du niveau Acr-IV dans le Fer IB. L'absence de céramique à engobe rouge lustré ne contredit pas ce jugement, car elle s'explique probablement par la faiblesse de l'échantillon. Au vu de ces développements typologiques et des principales comparaisons proposées avec des sites contemporains, la datation qui paraît la plus vraisemblable pour ce niveau est la fin du XIIe – début du XIe siècle avant notre ère (**Tableau 24.1**). Cette datation, qui s'applique à un niveau dans lequel la céramique bichrome philistine fait son apparition, est un peu plus haute que la chronologie basse développée par I. Finkelstein[28] et correspond à la chronologie « moyenne » d'A. Mazar[29].

Références

Ben-Shlomo, D.
2010 *Philistine Iconography: A Wealth of Style and Symbolism* (Orbis Biblicus et Orientalis 241). Fribourg : Academic Press / Göttingen : Vandenhoeck & Ruprecht.

Briend, J. et Humbert, J.-B.
1980 *Tell Keisan (1971-1976), une cité phénicienne en Galilée*. Fribourg, Suisse : Éditions universitaires / Göttingen : Vandenhoeck & Ruprecht / Paris : Gabalda.

Bunimovitz, S. and Lederman, Z.
2016 *Tel Beth-Shemesh, A Border Community in Judah, Renewed Excavations 1990-2000: The Iron Age.* 2 volumes (Tel Aviv University Sonia and Marco Nadler Institute of Archaeology Monograph Series No. 34). Tel Aviv : Emery and Claire Yass Publications in Archaeology.

[27] Briend et Humbert 1980, pl. 77:9.
[28] Finkelstein 2005, p. 33 ; Dothan and Zuckerman 2015, pp. 71–73.
[29] Mazar 2015, pp. 5–7.

DAGAN, Y.
2010 *The Ramat Bet Shemesh Regional Project: The Gazetteer* (IAA Reports No. 46). Jerusalem : Israel Antiquities Authority.
DEVER, W. G. *et al.*
1986 *Gezer IV: The 1969–71 Seasons in Field VI, the « Acropolis »* (Annual of the Hebrew Union College / Nelson Glueck School of Biblical Archaeology). Jerusalem : HUC / NGSBA.
DOTHAN, M.
1971 *Ashdod II–III* (ʿAtiqot IX–X). Jerusalem : Department of Antiquities and Museums.
DOTHAN, M. and FREEDMAN, D. N.
1967 *Ashdod I. The First Season of Excavations, 1962* (ʿAtiqot VII). Jerusalem : Israel Antiquities Authority.
DOTHAN, M. and PORAT, Y.
1993 *Ashdod V. Excavation of Area G. The Fourth–Sixth Seasons of Excavations 1968–1970*. (ʿAtiqot XXIII). Jerusalem : Israel Antiquities Authority.
DOTHAN, T.
1982 *The Philistines and Their Material Culture*. New-Haven : Yale University Press.
DOTHAN, T. and ZUKERMAN, S.
2015 "Iron Age I: Philistia," in *The Ancient Pottery of Israel and Its Neighbors, from the Iron Age through the Hellenistic Period,* edited by S. Gitin, pp. 71–96. Jerusalem : Israel Exploration Society, W. F. Albright Institute of Archaeological Research, Israel Antiquities Authority and American Schools of Oriental Research.
EDELSTEIN, G. and AURANT, S.
1993 "The 'Philistine' Tomb at Tell 'Eitun," *ʿAtiqot* XXI : 23–41.
FAUST, A.
2017 "Tel 'Eton Excavations and the History of the Shephelah during the Iron Age," in *Le-maʿan Ziony: Essays in Honor of Ziony Levit*, edited by F. E. Greenspahn and G. A. Rendsburg, pp. 21–43. Eugene, Oregon: Cascade Books.
FAUST, A., KATZ, H., BEN-SHLOMO, D., SAPIR, Y. and EYALL, P.
2014 "*Tēl ʿĒṭōn/Tell ʿĒṭūn* and Its Interregional Contacts from the Late Bronze Age to the Persian-Hellenistic Period: Between Highlands and Lowlands," *Zeitschrift des Deutschen Palästina-Vereins* 130 : 43–76.
FINKELSTEIN, I.
2005 "A Low Chronology Update. Archaeology, History and Bible," in *The Bible and Radiocarbon Dating: Archaeology, Text and Science*, edited by T. E. Levy and T. Higham, pp. 31–42. London: Equinox.
FRITZ, V. and KEMPINSKI, A.
1983 *Ergebnisse der Ausgrabungen auf der Ḫirbet el-Msas (Tel Masos)* (Abhandlungen des Deutschen Palästina-Vereins). Wiesbaden : Harrassowitz.
GARFINKEL, Y. and GANOR, S.
2009 *Khirbet Qeiyafa.* Vol. 1. *Excavation Report 2007–2008*. Jerusalem: Israel Exploration Society and Institute of Archaeology, the Hebrew University of Jerusalem.
GAZIT, D.
1994 "En Sharuhen: An Iron Age I Site in Nahal Besor," *ʿAtiqot* XXV : 41*–45* (en hébreu).
GITIN, S.
1990 *Gezer III, A Ceramic Typology of the Late Iron II, Persian and Hellenistic Periods at Tell Gezer* (Annual of the Nelson Glueck School of Biblical Archaeology vol. III). Jerusalem : Hebrew Union College.
GRANT, E. and WRIGHT, G. E.
1938 *Ain Shems Excavations.* Part IV *(Pottery)*. Haverford : Haverford College.
GREENBERG, R.
1987 "New Light on the Early Iron Age at Tell Beit Mirsim," *Bulletin of the American Schools of Oriental Research* 265 : 55–80.

JACOBS, P. F. and SEGER, J. D.
2017 *Lahav VI, Excavations in Field I at Tell Halif, 1976–1999, The Early Bronze III to Late Arabic Strata*. Reports of the Lahav Research Project Excavations at Tell Halif, Israel, Vol. VI. Winona Lake, IN : Eisenbrauns.

KILLEBREW, A.
2001 "The Collared Pithos in Context: A Typological, Technological, and Functional Reassessment," in *Studies in the Archaeology of Israel and Neighboring Lands in Memory of Douglas L. Esse* (Studies in Ancient Oriental Civilization No. 59 / The American Schools of Oriental Research Books No. 5), edited by S. Wolff, pp. 377–398. Chicago, Ill. : The Oriental Institute of the University of Chicago.
2005 *Biblical Peoples and Ethnicity. An Archaeological Study of Egyptians, Canaanites, Philistines and Early Israel 1300–1100 BCE* (Society of Biblical Literature, Archaeology and Biblical Studies No. 9). Atlanta, GA : Society of Biblical Literature.
2013 "Early Philistine Pottery Technology at Tel Miqne-Ekron: Implications for the Late Bronze–Early Iron Age Transition in the Eastern Mediterranean," in *The Philistines and Other "Sea Peoples" in Text and Archaeology* (Archaeology and Bible Studies No. 15), edited by A. E. Killebrew and G. Lehmann, pp. 77–129. Atlanta, GA : Society of Biblical Literature.

KLEIMAN, S., GADOT, Y. and LIPSCHITS, O.
2016 "A Snapshot of the Destruction Layer of *Tell Zakarīyel*Azekah Seen Against the Backdrop of the Final Days of the Late Bronze Age." *Zeitschrift des Deutschen Palästina-Vereins* 132(2) : 105–133.

KOCHAVI, M.
1974 "Khirbet Rabud = Debir," *Tel Aviv* 1 : 2–33.

LEHMANN, G., ROSEN, S. A., BERLEJUNG, A. and NIEMANN, H. M.
2009 "Ausgrabungen in *Qubūr el-Walēyide*, Israel, 2007–2008, Vorbericht," *Zeitschrift des Deutschen Palästina-Vereins* 125 : 1–28.

LOUD, G.
1948 *Megiddo II. Seasons of 1935–39* (Oriental Institute Publications 62). Chicago. Ill. : The University of Chicago Press.

MAEIR, A. M. and SHAI, I.
2015 "The Origins of Late Philistine Decorated Ware: A Note," *Tel Aviv* 42 : 59–66.

MAZAR, A.
1981 "Giloh : An Early Israelite Settlement Site near Jerusalem." *Israel Exploration Journal* 31 : 1–36.
1985 *Excavations at Tel Qasile.* Part Two. *The Philistine Sanctuary: Various Finds, the Pottery, Conclusions, Appendices* (Qedem, Monographs of the Institute of Archaeology 20). Jerusalem : Institute of Archaeology, Hebrew University of Jerusalem.
2015 "Iron Age I: Northern Coastal Plain, Galilee, Samaria, Jezreel Valley, Judah, and Negev," in *The Ancient Pottery of Israel and Its Neighbors, from the Iron Age through the Hellenistic Period,* edited by S. Gitin, pp. 5–70. Jerusalem : Israel Exploration Society, W. F. Albright Institute of Archaeological Research, Israel Antiquities Authority and American Schools of Oriental Research.

PANITZ-COHEN, N.
2006 "The Pottery of Strata XII–V at Tel Batash," in *Timnah (Tel Batash),* Vol. III. *The Finds from the Second Millenium BCE* (Qedem, Monographs of the Institute of Archaeology 45), edited by N. Panitz-Cohen and A. Mazar, pp. 9–150. Jerusalem : The Hebrew University of Jerusalem.

TSAFERIS, V. and HESS, O.
1992 "A Late Bronze Age Tomb at Tell 'Eitun," *'Atiqot* XXI : 9–21.

USSISHKIN, D.
2004 "The Level VI Pottery from Areas D and GE," in *The Renewed Excavations at Lachish (1973–1994)*. Vol. III, Chapter 19 (Tel Aviv University Sonia and Marco Nadler Institute of Archaeology Monograph Series No. 22), edited by D. Ussishkin, pp. 1235–1242. Tel Aviv : Emery and Claire Yass Publications in Archaeology.

YADIN, Y. and GEVA, H.
1986 *Investigations at Beth-Shan. The Early Iron Age Strata* (Qedem, Monographs of the Institute of Archaeology 23). Jerusalem : Institute of Archeology, Hebrew University of Jerusalem.

ZUKERMAN, A.
2012 "Iron Age I and Early Iron Age IIA Pottery," in *Tell es-Safi/Gath I: The 1996–2005 Seasons*, Vol. I (Ägypten und Altes Testament, Band 69), edited by A. M. Maeir, pp. 265–311. Wiesbaden : Harrassowitz.

ZUKERMAN, A. and GITIN, S.
2016 "A Typological Analysis of the Iron Age I Ceramic Corpus from Strata VII–IV," in *Tel Miqne–Ekron Excavations 1985–1988, 1990, 1992–1995, Field IV Lower–The Elite Zone.* Part 1. *The Iron Age I Early Philistine City*, by T. Dothan, Y. Garfinkel and S. Gitin, pp. 127–416. Winona Lake, IN : Eisenbrauns.

Figure 9.5

N°	Type	N° objet	Locus	Description	Comparaisons
1	BL 2B	A.9501-2	1101– 1103	Bord de bol. Céram. fine à dégr. min. très fin. Eng. orange-rouge pâle.	• Gezer XII (Fer IA :12e s.) : Gitin 1990, pl. 2:2.
2	JR	A.9508-3	1105	Tesson de jarre avec départ d'anse annulaire. Céram. comm. à dégr. min. fin. Auto-eng. brun très pâle. Bandes peintes horizont. brun-rouge sous l'anse.	
3	BL 1D	A.9508-2	1105	Bord de bol philistin. Céram. assez fine à dégr. min. fin. Surf. brun très pâle avec décor peint brun sombre à l'ext.	
4	CP 1B	A.9514-5	1103	Bord de marmite. Céram. comm. à dégr. min. Traces de suie sur la lèvre et l'épaule. Surf. rose.	

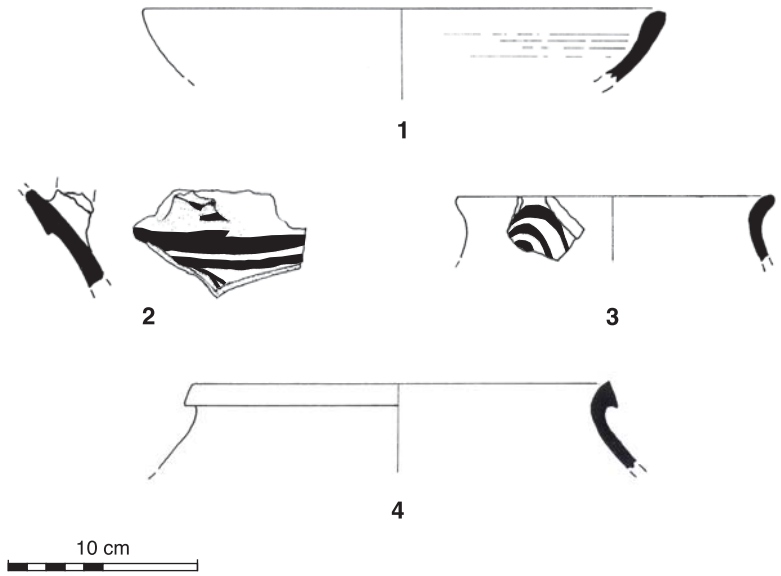


Fig. 9.5. Sondage 1, Phase 6, poterie du Fer I : L.1101, 1103 et 1105.

Figure 9.6

N°	Type	N° objet	Locus	Description	Comparaisons
1	BL 1A.2.a	A.9637-7	1148- /	Bord de bol. Céram. comm. à dégr. min. Section brune. Surf. int. et ext. brun clair. Tourné. Bonne cuisson.	• Kh. Qeiyafa (Fer IIA : 10e s.) : Garfinkel and Ganor 2009, fig. 6.3:8. • Azekah (BR III/Fer IA) : Kleiman *et al.* 2016, fig. 4:1. • Beth-Shemesh 6–4 (Fer I) : Bunimovitz and Lederman 2016, fig. 6.61: *Ph BL bell.* • Miqne V-IV (Fer IB–C, 1100–975) : Zukerman and Gitin 2016, pp. 131–132 (IBL 6).
2	BL 2A.1	A.9651-1	1148-1	Bord de bol. Céram. comm. à dégr. min. Section noire au centre, brune sur les bords. Surf. int. et ext. brun-rouge clair. Tourné. Cuisson moyenne.	• Kh. Qeiyafa (Fer IIA : 10e s.) : Garfinkel and Ganor 2009, fig. 6.3:11.
3	BL 2A.2	A.9651-3	1148-1	Bord de bol. Céram. comm. à dégr. min., avec de gros grains. Section gris-noir au centre. Int. brun pâle. Eng. gris-blanc à l'ext. Tourné. Cuisson moyenne. **Photo de la section : Fig. 6.10:7.**	• Kh. Qeiyafa (Fer IIA :10e s.) : Garfinkel and Ganor 2009, fig. 6.3:5. • Kh. el-'Alya (Fer I) : Dagan 2010, fig. 247.3:13.
4	BL 1D.1	A.9637-1b	1148- /	Bord de bol, type bol à offrande. Céram. comm. à dégr. végét. Section gris-brun. Int. brun clair. Eng. gris pâle à l'ext. Tourné. Cuisson moyenne.	• Qasile XI (Fer I) : Mazar 1985, fig. 19:32.
5	BL 2D.1	A.10809-4	1148-1	Bord de bol. Céram. comm. à dégr. min. Cœur gris sombre. Eng. beige-jaune à l'ext. Tourné. Bien cuit.	• Qasile XI-X (Fer I) : Mazar 1985, fig. 32:2. • 'En Sharuhen (Fer I) : Gazit 1994, pl. 3:17.
6	KR 1A.1.b	A.9642-7+3	1148- /	Bord de cratère. Céram. comm. à dégr. min. assez gross. Section gris-noir. Surf. int. et ext. brun clair. Tourné.	• *Cf.* Qasile X (Fer I/II) : Mazar 1985 : fig. 40:3-4 ?
7	CP 3A	A.9646-4	1148-sol a	Bord de marmite. Céram. comm. à dégr. min. blanc assez gross. Section: noir à l'int., brun à l'ext. Int. brun clair. Ext. brun foncé à violacé. Tourné. Cuisson moyenne.	• Gezer XIII (BR III) : Dever *et al.* 1986, pl. 24:19. • Beth-Shemesh 6-4 (Fer I) : Bunimovitz and Lederman 2016, p. 191 (*CP erct*). • Beit Mirsim (Fer IB) : Greenberg 1987, fig. 7:12. • Qubur el-Waleyide (Fer IA) : Lehmann *et al.* 2009, Abb. 8:3.
8	CP 3C	A.9637-22	1148- /	Bord de marmite. Céram. comm. à dégr. min. Section grise. Int. brun légèrement violacé. Ext. brun violacé. Tourné. Cuisson moyenne.	
9	CP 3B	A.10809-1	1148-1	Bord de marmite. Céram. assez grossière à dégr. min. (cailloux, craie, quartz). Cœur gris. Surf. brun sombre. Tourné. Très cuit.	

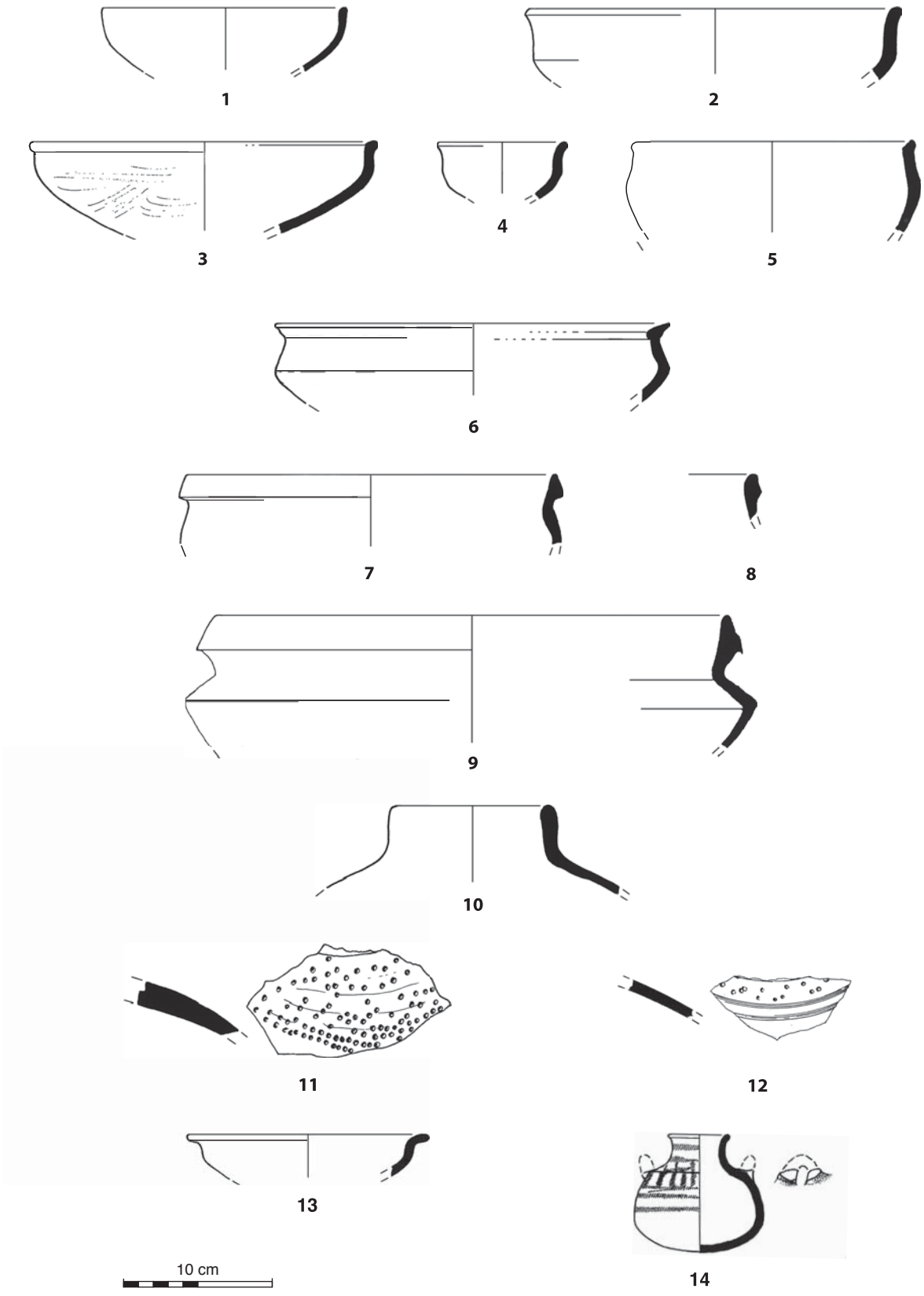


Fig. 9.6. Sondage 2, poterie du niveau Acr-IV (Fer IB) : L.1148.

N°	Type	N° objet	Locus	Description	Comparaisons
10	JR A1.a	A.9651-4	1148-1	Bord de col de jarre. Céram. comm. à dégr. min. Section brun-rouge. Surf. int. et ext. brun-rouge clair. Tourné. Cuisson moyenne.	• Qasile XI (Fer I) : Mazar 1985, fig. 30:4.
11		A.9643-1	1148- /	Fragment de plaque à cuire. Céram. gross. brun-pâle à gris foncé à dégr. min. Surf. recouverte d'impressions de points. **Photo : Fig. 9.3:1.**	• Gezer XIV (BR III) : Dever *et al.* 1986, pl. 16:23. • Beth-Shemesh III (Fer I) : Grant and Wright 1938, pl. XXXIX:16 ; Bunimovitz and Lederman 2016, fig. 6.73:8. • Kh. Qeiyafa (Fer IIA : 10e s.) : Garfinkel and Ganor 2009, figs 6.5:9, 6.13:1–2.
12		A.9642-15	1148- /	*Idem*. **Photo : Fig. 9.3:2.**	*Idem*.
13	CH 1	A.9637-12	1148- /	Bord de calice. Céram. assez gross. à gros dégr. min. Section brun-rouge. Int. et ext. brun-rouge. Tournée. Cuisson moyenne.	• Qasile XI-X (Fer I) : Mazar 1985, fig. 32:5.
14	PX 1	A.9637-1	1148- /	Pyxide complète. Céram. comm. à dégr. min. fin. Section grise. Surf. int. et ext. brun-rouge. Décor peint à l'ext. en rouge-brun sombre, assez effacé. Tourné. Cuisson moyenne. **Photo : Fig. 9.2.**	• Beth-Shean VIA (Fer I) : Yadin and Geva 1986, pl. 11:10. • 'Eton (BR II) : Tsaferis and Hess 1992, pl. 3:2. • Qasile XI (Fer I) : Mazar 1985, fig. 27:21. • Kh. Qeiyafa (Fer IIA : 10e s.) : Garfinkel and Ganor 2009, fig. 6.22:3. • Halif VIIB2 (Fer I) : Jacobs and Seger 2017, fig. 4.A.7:1. • Megiddo VIA (Fer IB récent) : Loud 1948, pl. 77:7.

Figure 9.7

N°	Type	N° objet	Locus	Description	Comparaisons
1	BL 1D.1	A.9642-2	1148- /	Bord de bol de type philistin. Céram. assez fine brun pâle rose à dégr. min. fin. Motifs peints en brun foncé sur fond blanc. Tourné. Cuisson assez bonne. **Photo : Fig. 9.4:2.**	• Beth-Shemesh 6–4 (Fer I) : Bunimovitz and Lederman 2016, fig. 6.77:1–3,5. • Safi E3/A5/A4 (Fer I) : Zukerman 2012, pls 13.2:10, 13.4:3, 13.8:8. • Miqne VI–V (Fer IB) : Zukerman and Gitin 2016, figs 5.27, 5.61, 5.67, 5.82. • Ashdod XI (Fer I) : Dothan 1971, pl. 2:5. • 'Eton, tombe Fer I : Edelstein and Aurant 1993, pl. 11:3. • Halif VIIA (Fer I) : Jacobs and Seger 2017, fig. 4.A.15:3. • Qubur el-Waleyide (Fer IB) : Lehmann *et al.* 2009, Abb. 11:4–5.

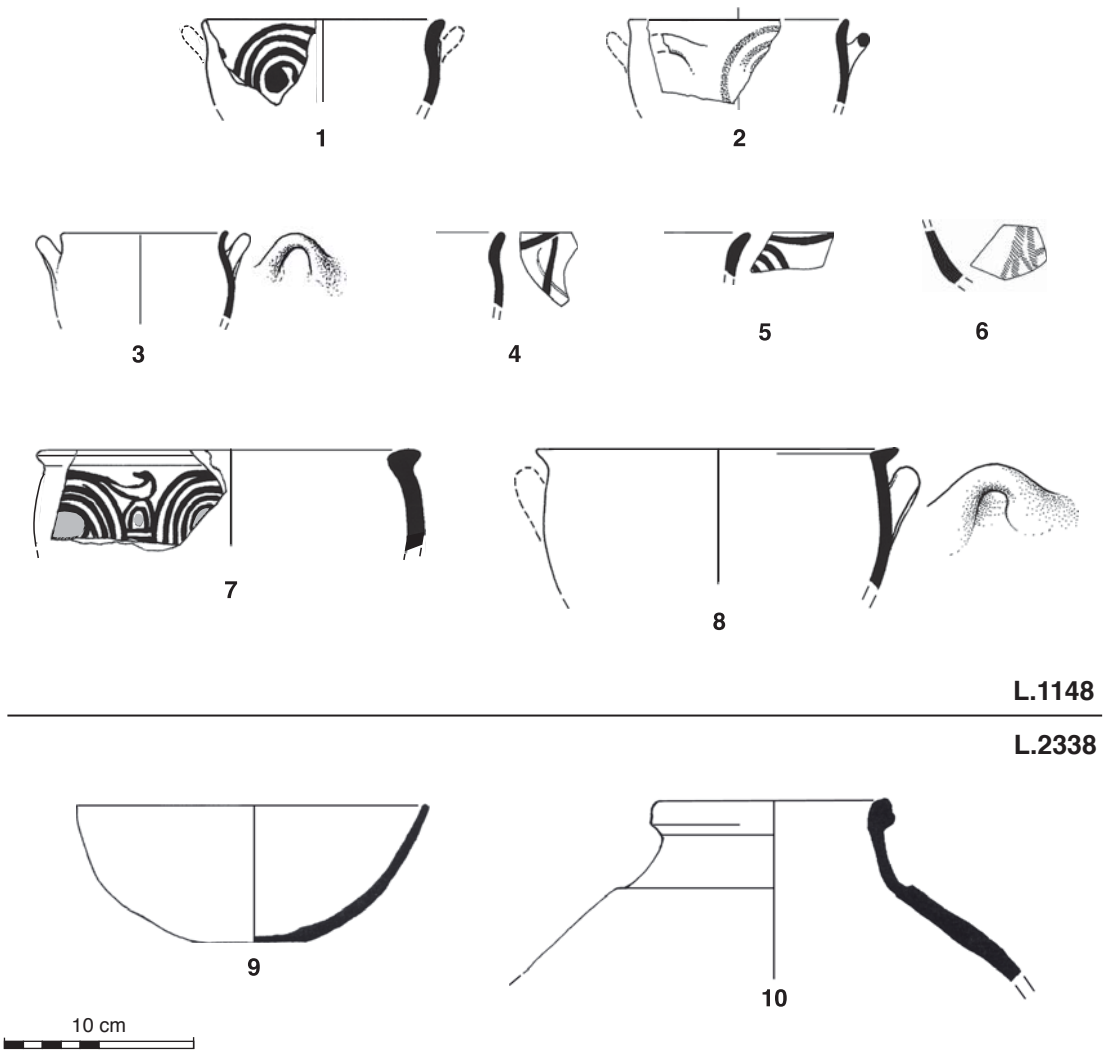


Fig. 9.7. Sondage 2, poterie du niveau Acr-IV (Fer IB) : L.1148 (suite et fin) et L.2338.

N°	Type	N° objet	Locus	Description	Comparaisons
2	BL 1D.1	A.9659-1	1148- /	Bord de bol de type philistin à décor peint. Céram. fine à dégr. min. fin. Section brun clair. Int. brun clair. Eng. blanc à l'ext. Peinture brun-rouge. Tourné. Bonne cuisson. Trace de feu à l'ext. **Analyse pétrographique : voir Appendice 1.** **Photo : Fig. 9.4:5.**	• Ashdod XI (Fer I) : *ibid.* • 'Eton (tombe Fer I) : *ibid.* • Halif VIIA (Fer I) : *ibid.* • Batash V (Fer I) : Panitz-Cohen 2006, figs 71:6, 75:4.
3	BL 1D.1	A.9642-1	1148- /	Bord de bol de type philistin. Céram. fine rose à dégr. min. très fin. Coeur gris. **Analyse pétrographique : voir Appendice 1.** **Photo : Fig. 9.4:4.**	• Gezer XIII (Fer IB) : Dever *et al.* 1986, pl. 25:21. • 'Eton (Fer I): Edelstein and Aurant 1993, pl. 11:2.
4	BL 1D.1	A.9642-17	1148- /	Bord de bol de type philistin. Céram. fine à dégr. min. fin. Section grise. Surf. int. et ext. brun-rouge clair. Décor ext. peint brun-rouge sombre. Tourné. Bonne cuisson.	• Gezer XIII (Fer IB) : Dever *et al.* 1986, pl. 21:19.
5	BL 1D.1	A.9637-13	1148- /	Bord de bol de type philistin. Céram. fine à dégr. min. Section brun clair. Surf. int. et ext. brun clair. Décor ext. peint en brun foncé. Début d'anse verticale ? Tourné. Bien cuit.	
6	BL 1D.1 ?	A.9643-17	1148- /	Céram. comm. à dégr. min. Section gris-noir. Int. beige. Eng. beige à l'ext., avec décor très effacé de bandes rouges se croisant en losanges. Tournée. Cuisson assez bonne.	
7	KR 2A	A.9651-1	1148-1	Bord de cratère de type philistin à décor peint. Céram. fine à dégr. min. fin. Section brun-rouge. Int. brun-rouge clair. Eng. blanc à l'ext. Décor de spirales en noir, l'int. des spirales et du dessin médian est rouge, ainsi que le dessous du col éversé. Tourné. Cuisson moyenne. **Analyse pétrographique : voir Appendice 1.** **Photo : Fig. 9.4:1.**	• Qasile XII (Fer I) : Mazar 1985, fig. 16:9.
8	KR 2A	A.9639-7	1148- /	Bord de cratère de type philistin. Céram. comm. à dégr. min. (dont quelques très gros grains). Section noire au centre, brune sur les bords. Int. et ext. brun-rouge clair. Tourné. Cuisson assez bonne. **Analyse pétrographique : voir Appendice 1.** **Photo : Fig. 9.4:3.** **Photo de la section : Fig. 6.10:8.**	• Qasile XII (Fer I) : Mazar 1985, fig. 13:22.

N°	Type	N° objet	Locus	Description	Comparaisons
9	BL 1A.1.a	A.10908-5	2338-2	Base et bord de bol. Céram. assez grossière à dégr. min. Cœur gris. Surf. brun sombre. Tourné. Cuisson moyenne.	• Kh. Rabud (tombes BR II) : Kochavi 1974, fig. 9:11.
10	JR A3.b	A.10908-1	2338-2	Col et épaule de jarre. Céram. comm. à dégr. min. Pas de cœur. Surf. brune. Tourné. Cuisson moyenne.	• Giloh (BR III/Fer I) : Mazar 1981, pl. 9:3.

Figure 9.8

N°	Type	N° objet	Locus	Description	Comparaisons
1	BL 1C.2	A.9724-4	1149-3 = 1150	Bord de bol. Céram. comm. à dégr. végét. Section gris-noir. Surf. int. et ext. violacé. Tourné. Cuisson médiocre.	• Beth Shemesh 6–4 (Fer IB) : Bunimovitz et Lederman 2016, fig. 6.40 (*BL cyma*). • *Cf.* Lachish VI (BR III) : Ussishkin 2004, fig. 20.35:12.
2	BL 2A.3	A.9655-4	1149-3 = 1150	Bord de bol. Céram. comm. à dégr. min. Couleur brun clair. Tourné. Cuisson moyenne.	• Beth Shemesh 6–4 (Fer IB) : Bunimovitz et Lederman 2016, fig. 6.40 (*BL car*). • Safi E3 (Fer I) : Zukerman 2012, pl. 13.2:6. • Lachish VI (BR III) : Ussishkin 2004, fig. 20.35:11.
3	BL 2D.3	A.9655-12	1149-3 = 1150	Bord de bol. Céram. comm. à dégr. min. brun-rouge clair. Tourné. Bien cuit.	• Gezer XIII (Fer IB) : Dever *et al.* 1986, pl. 29:5. • Miqne VIB (Fer IB) : Zukerman et Gitin 2016, fig. 5.24:6. • Lachish VI (BR III) : Ussishkin 2004, fig. 20.35:12.
4	FL	A.9655-11	1149-3 = 1150	Col de gourde. Céram. comm. à dégr. min. Section brun-rouge clair. Int. brun-rouge clair. Ext. brun-rouge pâle. Col tourné. Cuisson assez bonne.	
5	FL ?	A.9655-28	1149-3 = 1150	Panse de gourde ? Céram. comm. à dégr. min. Section grise sur la moitié interne, rouge-brun clair sur la moitié externe. Int. gris clair. Eng. gris-beige à l'ext. Lignes peintes rouge-brun foncé alternant avec des lignes noires. Tourné. Cuisson moyenne. **Analyse pétrographique : Appendice 1.**	• Qasile X (Fer I) : Mazar 1985, fig. 37:3. • Qubur el-Waleyide (Fer IB) : Lehmann *et al.* 2009, Abb. 12:8.
6	KR 2A	A.9653-1	1149-3 = 1150	Bord de cratère philistin. Céram. comm. à dégr. min. Décor peint marron sur fond d'eng. brun-beige. Tourné. Bien cuit. **Analyse pétrographique : Appendice 1.**	
7	CP 3A	A.10910-1	1149-3 = 1150	Bord de marmite. Céram. assez grossière à dégr. min. composé de cailloux variés. Cœur gris. Surf. brun-noir. Tourné.	Voir **Fig. 9.6**:7.
8	CP 3B	A.10911-4	1150 = 2344-1	Bord de marmite. Céram. comm. à dégr. min. Pas de cœur. Surf. brune. Tourné ? Cuisson moyenne.	• Halif VIIB (Fer I) : Jacobs et Seger 2017, fig. 4.A.9:6.
9	KR 1E.2	A.10911-1	1150 = 2344-1	Bord de cratère. Céram. comm. à dégr. min. Cœur gris. Surf. brune. Tourné. Assez bien cuit.	• Qasile XII (Fer I) : Mazar 1985, fig. 13:17.
10	KR 1E.1	A.10786-2	Nettoyage 1149/ 1150	Bord de cratère. Céram. comm. à dégr. min. et végét. Cœur gris. Surf. brune. Tourné. Cuisson moyenne.	• Kh. Qeiyafa (Fer IIA : 10e s.) : Garfinkel et Ganor 2009, fig. 6.6:1,4. • Miqne VIA (Fer IB) : Zukerman et Gitin 2016, fig. 5.42:7.

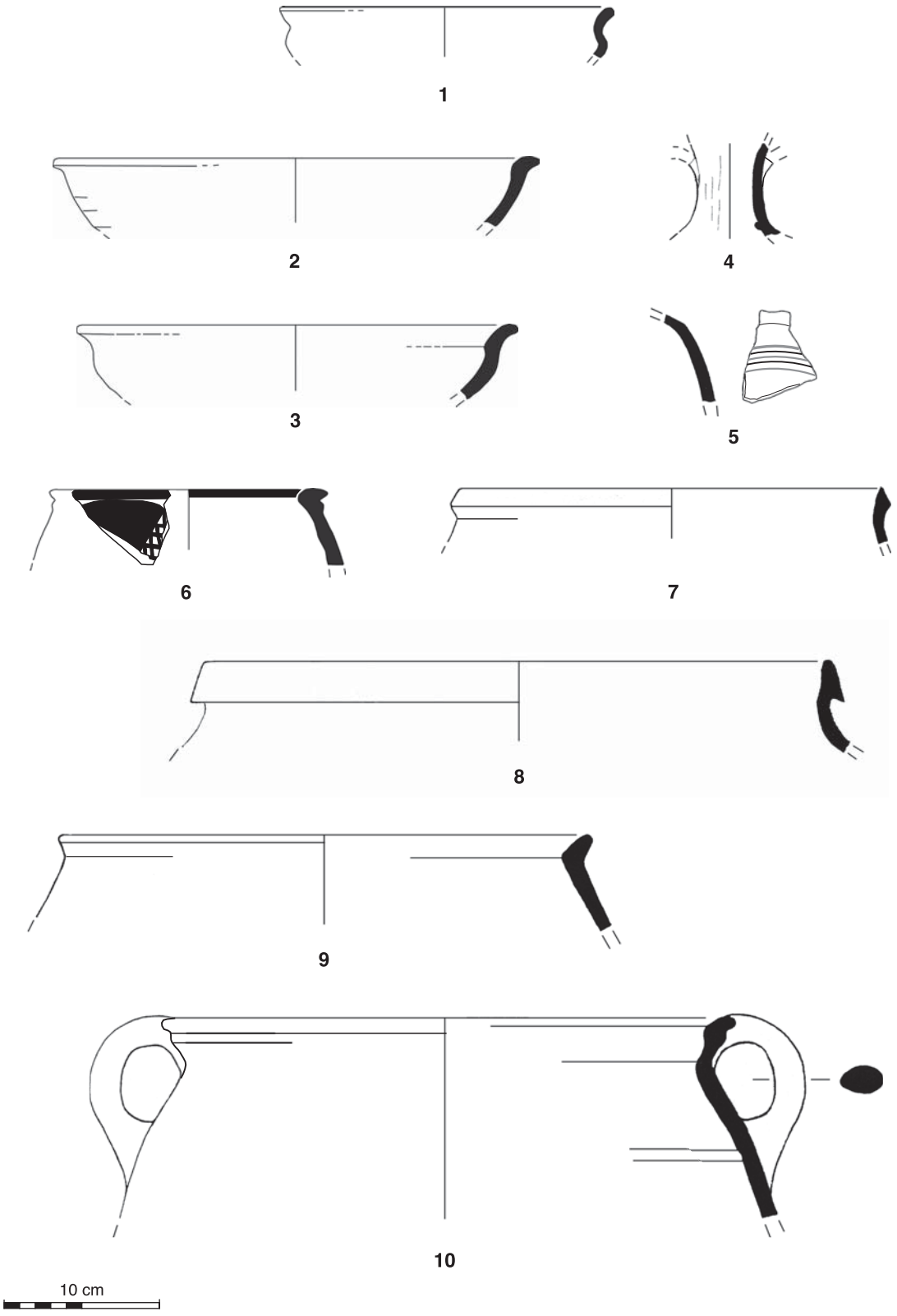


Fig. 9.8. Sondage 2, poterie du niveau Acr-IV (Fer IB) : L.1150.

CHAPITRE 10

LA POTERIE DU NIVEAU ACR-III : Fer IB (XIe siècle)

Michaël JASMIN

La fin de l'occupation du niveau Acr-III a été marquée par une violente destruction (voir § 3.7.2), en sorte qu'on y a trouvé un matériel *in situ* particulièrement abondant, comprenant de nombreuses formes complètes : près de 25 jarres entières, ainsi que l'ensemble des types composant le répertoire céramique de cette époque. On dispose ainsi d'une image assez complète de l'assemblage domestique d'un site villageois du début de l'âge du Fer. La partie la plus significative de cet abondant matériel provient de deux *loci*, 1130 et 1149, qui semblent avoir servi de pièces de stockage puisqu'elles renfermaient chacune près d'une dizaine de jarres complètes (**Figs 3.43**, **3.47**, **3.50–51**). Le niveau Acr-III a livré en outre de la céramique bichrome philistine correspondant à un stade avancé du développement de cette catégorie de céramique.

10.1. LA CÉRAMIQUE DE TRADITION LOCALE

Alors que la composition de l'assemblage des catégories de formes de poterie demeurait assez stable du niveau Acr-VI au niveau Acr-IV, celui du niveau Acr-III est sensiblement différent (voir **Tableau 6.2** et **Fig. 10.1**) : les bols sont toujours les plus nombreux, mais ne représentent plus que 28,6 % du total des formes identifiées ; les jarres sont encore plus nombreuses (33 %), mais cette abondance s'explique par la présence d'espaces de stockage.

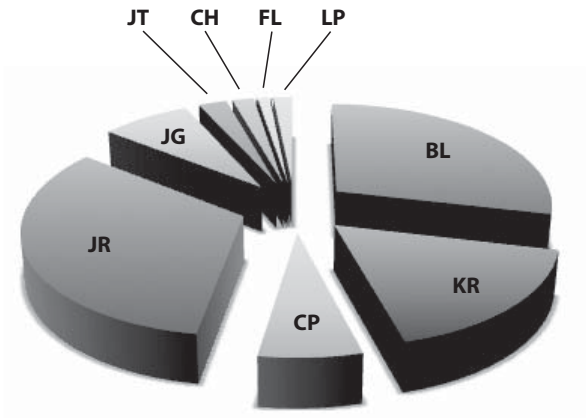


Fig. 10.1. Fréquences des catégories de formes de poterie du niveau Acr-III (*cf.* **Tableau 6.2**).

Les cratères constituent 17,2 % des formes répertoriées, devant les cruches (7,6 %) et les marmites (6,6 %). Comme précédemment, les autres catégories de formes sont rares : cruchettes (2,4 %), calices (1,8 %), flasques (1 %), lampes (1,6 %).

10.1.1. Bols

10.1.1.1. *Typologie*

On reconnaît cinq types principaux de bols (BL 1C.1–2, 1E.2, 2A.1, 3C), dont trois sont caractéristiques du Fer I :

10.1.1.1.1. Petits bols

- BL 1A.1a : À paroi convexe et lèvre simple

Ce type reste bien représenté. Un exemple caractéristique est illustré par le bol hémisphérique à lèvre amincie et base annulaire de la **Fig. 10.12:2** (= **Fig. 10.2:1**), mis au jour dans l'espace L.1149 (*cf.* **Fig. 3.47**).

- BL 1A.2a : À bord vertical et à lèvre simple

La paroi est verticale dans sa moitié supérieure (**Fig. 10.20:1**) ou seulement à son sommet (**Figs 10.12:1** ; **10.17:1**).

- BL 1A.2b : À bord vertical et à lèvre amincie

Ce bol (**Fig. 10.17:2**) est une variante du type précédent, attestée dès le niveau Acr-V.

- BL 1B.2 : À paroi évasée et à lèvre épaissie

Caractérisés par une lèvre épaissie en biseau oblique vers l'extérieur (**Fig. 10.17:7**), ces bols sont rares et on ne leur connaît guère de parallèles.

- BL 1C.1-2 : À paroi subcarénée (« en S »)

Ces bols sont généralement de petites dimensions et leur profil est caractéristique du Fer IB (**Figs 10.12:4** ; **10.14:2** [=**Fig. 10.2:2**] ; **10.17:6**,**8**). L'élément distinctif est la carène, développée au point que le diamètre du vase au niveau de la carène excède celui de l'ouverture. Ces bols résultent d'une évolution qui s'est poursuivie pendant toute la durée du Fer I.

- BL 1D.2 : À paroi sinueuse et à lèvre simple

Ces bols (**Fig. 10.12:3**) d'une variante des bols moyens de profil comparable (voir ci-dessous, type BL 2D.1).

- BL 1E.2 : À bord rentant et à lèvre épaissie

Les bols à lèvre repliée vers l'intérieur ne sont pas attestés avant le niveau Acr-III. L'exemple type est celui de la **Fig. 10.17:17** (= **Fig. 10.2:3**), qui a été trouvé associé à une lampe (**Fig. 10.17:16**), suivant une disposition qui a pu être interprétée comme un dépôt de fondation (voir ci-dessus, § 3.7.2, et la discussion ci-dessous, § 10.1.11.1). Ces bols peuvent être considérés comme caractéristiques du Fer IB. À Tel Masos, on les trouve dès



Fig. 10.2. Petits bols. 1. BL 1A.1.a (A.9645-1, **Fig. 10.12:2**). 2. BL 1C.1 (A.10914-5, **Fig. 10.14:2**). 3. BL 1E.2 (A.9609-1, **Fig. 10.17: 17**).

le début du Fer I[1]. A Tell Beit Mirsim, des bols à lèvre rentrante ont été mis au jour dans les Silos 1 et 6 du niveau B2[2], datés de la fin du XIIe et du début du XIe siècle.

10.1.1.1.2. Bols moyens

• BL 2A.1 : À bord vertical et à lèvre épaissie

Ce sous-type, déjà bien représenté au niveau Acr-IV, se retrouve soit avec un bord vertical et une lèvre simple (**Fig. 10.17:3**), soit avec une lèvre à bourrelet plus ou moins épaissi (**Fig. 10.17:10**,**13**). Le petit élément de préhension sur la lèvre du bol **Fig. 10.17:3** est bien attesté au Fer I, notamment à Tel 'Eton. Ce type de bol est attesté à Tel Masos avec des profils assez similaires en contexte du XIIe siècle[3]. Il en existe une variante avec une lèvre plus épaisse à sommet plat (**Fig. 10.12:7**) ; cet exemple présente une anse-tenon horizontale originale, attachée au bord et décorée d'impressions digitales.

• BL 2A.3 : À bord vertical et à lèvre éversée

Ce type de bol (**Fig. 10.12:5**) était déjà présent au niveaux Acr-V et IV (*cf.* **Figs 8.7:6–8** ; **8.10:5–8** ; **9.8:2**) et n'a guère évolué au cours du XIIe et du début du XIe siècle.

• BL 2B.1 : À paroi évasée et à lèvre épaissie vers l'intérieur

Ce type de bol (**Figs 10.17:4** ; **10.20:3**) relève principalement du Fer IB et possède de rares antécédents, notamment au niveau Acr-V (**Fig. 8.11:4**).

[1] Fritz and Kempinski 1983, p. 74.
[2] Greenberg 1987, figs 7:4, 9:16.
[3] Fritz and Kempinski 1983, pls 131:9, 133:17.

• BL 2B.3 : À paroi évasée et à lèvre épaissie en forme de « T »

Ce type est relativement fréquent au niveau Acr-III. Le sommet de la lèvre à profil « en T » peut être oblique vers l'intérieur (**Fig. 10.20:12**) ou vers l'extérieur (**Fig. 10.20:4**), ce dernier cas étant le plus courant. Les bols **Fig. 10.20:4** et **12** sont en céramique à engobe rouge lustré, mais il s'agit d'exceptions car la plupart des bols à lèvre « en T » sont en céramique commune.

• BL 2D.2 : À paroi sinueuse et lèvre épaissie

Ces bols sont désormais très fréquents avec une sinuosité du profil de la paroi plus affirmée qu'auparavant. Par sa forme, en particulier la carène et la lèvre, le bol de la **Fig. 10.14:2** (= **Fig. 10.2:2**) est comparable à un cratère.

• BL 2D.3 : Bols moyens à paroi sinueuse et lèvre éversée

Ces bols sont toujours présents, avec une paroi souvent très évasée (**Fig. 10.12:6**), davantage que celle des exemplaires antérieurs de forme comparable (*cf.* **Figs 8.7:9–10** ; **8.10:7–8** ; **8.12:6**).



Fig. 10.3. Grand bol BL 3C (A.9608-10, **Fig. 10.17:15**).

10.1.1.1.3. Grands bols

• BL 3A : À paroi évasée et lèvre éversée

Les grands bols à paroi très évasée ont une lèvre éversée (**Fig. 10.17:9**). Certains atteignent près de 40 cm de diamètre, alors que les plus grands bols du niveau Acr-V ne dépassaient guère 30 cm.

• BL 3B : À paroi sinueuse et lèvre épaissie

Ces grands bols (**Figs 10.12:12** ; **10.20:10**) ont un diamètre équivalent à ceux du type précédent et leur profil présente une sinuosité plus ou moins marquée ainsi qu'une lèvre épaissie et légèrement éversée.

• BL 3C : À bord rentrant et lèvre épaissie

Le grand bol de la **Fig. 10.17:15** (= **Fig. 10.3**), à la lèvre épaissie à sommet horizontal, est très caractéristique du Fer IB.

10.1.1.1.4. Les bases

Les bases sont toujours majoritairement (*c.* 80 %) discoïdes (**Fig. 10.20:1**), comme aux niveau Acr-V et Acr-IV. De 10 à 20 % des bols présentent une base annulaire (**Fig. 10.12:2**), souvent peu marquée (**Figs 10.14:2** ; **10.17:11**). On trouve en outre quelques rares exemples de bases annulaires où l'anneau est en faible relief et le fond convexe en contact avec la surface ; elles apparaissent notamment sur les bols **Fig. 10.17:15** et **17**, trouvés complets et *in situ*, en sorte que l'existence de cette variante est certaine.

10.1.1.2. *Technologie*

Dégraissants.– Le dégraissant généralement minéral comprend des grains de calcaire (18,8 %), des cailloux (25 %) ou un mélange des deux (40,6 %). Le calcaire seul est moins utilisé qu'aux niveaux VI et V. En revanche, la pratique du mélange des minéraux courants (calcaire et cailloux) se développe. Dans plusieurs cas, on note l'utilisation d'éléments non plastiques assez rarement employés précédemment pour les bols, comme du sable, de la chamotte, de la paille ou des coquillages (15,6 %), ces deux derniers étant ajoutés à des grains de calcaire et des cailloux.

Traitements des surfaces.– À cet égard, il y a peu d'évolution. 20,6 % des bols comportent un engobe, qui est moins souvent à dominante beige clair comme précédemment : il peut être blanc ou plus souvent rouge et lustré, à l'extérieur ou sur les deux faces (**Figs 10.17:3,15** ; **10.20:4,12**) ; toutefois, cette dernière catégorie d'engobe reste peu représentée au niveau Acr-III. On trouve également, sur plus de 20 % des bols, des décors peints dans la tradition du Bronze récent, sous forme d'une ligne soulignant la lèvre (**Figs 10.12:1** ; **10.20:9–10**) ou de lignes parallèles tracées sur la paroi (**Fig. 10.17:15**). Il existe encore des motifs peints de palmier à l'intérieur de bols (**Figs 10.17:13**? ; **10.20:17**), qui rappellent des exemples similaires des niveaux VII et VI de Lachish. En somme, la céramique locale peinte est moins abondante, mais n'a pas pour autant disparu.

Modalités de cuisson.– La moitié des tessons de bols présentent une section uniforme, sans cœur ; 29 % ont un cœur gris clair. 12 % ont un cœur gris et 9 % un cœur gris foncé. Ces proportions suggèrent que la cuisson est désormais mieux contrôlée qu'auparavant.

Qualité de la céramique.– Dans l'ensemble, les bols gagnent en qualité : la majorité (61,7 %) sont en céramique « commune » et un tiers sont de qualité « plutôt fine » (32,3 %) ; les bols d'apparence « grossière » et « plutôt grossière » sont peu nombreux. En comparaison des bols du niveau Acr-V, ceux du niveau Acr-III sont plus soignés.

10.1.2. Cratères

10.1.2.1. *Typologie*

Comme pour les bols, il est possible de déceler pour les cratères une homogénéité typologique. La majorité ont une lèvre à double épaississement, « en T », avec quelques variantes mineures. Les carènes sont rarement arrondies, plus souvent anguleuses. Les anses à attaches verticales sont tantôt uniques (**Figs 10.13:10** ; **10.18:1**), tantôt doubles (**Figs 10.12:13** ; **10.18: 2** ; **10.20:9**).

10.1.2.1.1. Cratères à lèvre « en T »

La majorité des cratères du niveau Acr-III présentent une lèvre « en T ».

- KR 1A.2a : Lèvre « en T » peu marqué à sommet horizontal

Ce type regroupe des cratères dont la lèvre forme un « T » peu marqué, c'est-à-dire que l'épaississement est peu développé à l'intérieur comme à l'extérieur (**Figs 10.13:10 ; 10.20:8**). Ce critère constitue un élément marqueur du Fer IB. La carène est généralement assez basse (**Fig. 10.13:10**).

- KR 1A.1b : Lèvre « en T » marqué à sommet oblique vers l'intérieur

Le sommet est nettement oblique vers l'intérieur et la lèvre fortement épaissie vers l'extérieur (**Fig. 10.12:10,13**). Exceptionnellement, l'épaississement intérieur est presque absent et le profil « en T » de la lèvre est peu marquée (**Fig. 10.20:9**).

- KR 1A.2c : Lèvre « en T » à sommet oblique vers l'extérieur

Ce sous-type est le moins fréquent (**Fig. 10.20 :7**).

10.1.2.1.2. À bord vertical

- KR 1D : À bord vertical et lèvre simple

Le bord au-dessus de la carène est vertical et la lèvre est simple (**Fig. 10.18:2**). Ce type de cratère est rare aux XIIe–XIe siècles.

10.1.2.1.3. À bord rentrant

- KR 1E.1 : À bord rentrant et à lèvre moulurée

Ce type (**Fig. 10.18:1**) est peu représenté au niveau Acr-III, et on ne lui connaît guère de parallèles sur d'autres sites contemporains.

10.1.2.1.4. Les bases

Les bases de cratères du niveau Acr-III sont souvent discoïdes (**Fig. 10.13:10**) et non plus annulaires comme au niveau Acr-V. Certaines ont un profil mixte, combinant un fond arrondi et un anneau peu développé (**Fig. 10.17:14**).

10.1.2.2. *Technologie*

Dégraissants.– On observe des changements sensibles dans les dégraissants utilisés pour la fabrication des cratères. L'utilisation d'un dégraissant de grains de calcaire mêlés à des cailloux est majoritaire (66,8 %). Les grains de calcaire ne sont plus utilisés seuls, alors que ce type de dégraissant a été utilisé au niveau Acr-V pour 39 % des cratères. L'usage d'un dégraissant unique de cailloux gris ou blancs, de graviers ou éléments organiques est désormais rare (8,3 % des cas pour chacun d'eux).

Traitement des surfaces.– L'usage d'un engobe, de couleur grisâtre et toujours appliqué à l'extérieur (**Fig. 10.18:2**), reste une pratique courante (41,7 %). Les décors peints sont rares (8,3 %) et apparaissent surtout sur le sommet de la lèvre (**Fig. 10.20:8**).

Modalités de cuisson.– À en juger par l'aspect des sections de tesson, un tiers des cratères ont été cuits en atmosphère plutôt oxydante (33,3 %), le reste en atmosphère plus ou moins réductrice.

Qualité de la céramique.– Près de 60 % des cratères relèvent de la catégorie « commune ». Le reste est « plutôt grossier » (25 %) ou « plutôt fin » (16,6 %).



Fig. 10.4. Marmite CP 1A (A.10914-1, **Fig. 10.14:3**).

10.1.3. Marmites

10.1.3.1. *Typologie*

• CP 1A : Marmites à bord très évasé et à lèvre en bourrelet triangulaire épais

Les marmites à bord très évasé (**Fig. 10.14:3** = **Fig. 10.4**), si fréquentes au BR II, sont rares au niveau Acr-III.

• CP 2A-B : Marmites à bord peu évasé et à lèvre en bourrelet

Il existe au niveau Acr-III une variété considérable de marmites à bord peu évasé et à lèvre en bourrelet triangulaire. Le bourrelet est communément allongé et plat, avec un sommet

anguleux (**Figs 10.13:8** ; **10.18:4**) ; il peut être plus court et triangulaire avec une épaisseur variable (**Fig. 10.22:1–2**). Certaines marmites possèdent une lèvre avec un bourrelet très peu marqué (**Fig. 10.18:7**) ; ce dernier profil est relativement courant au Fer I. Dans la majorité des cas, le bord présente à l'intérieur une faible concavité. Enfin le bord au-dessus de la carène est plus ou moins haut (*cf.* **Fig. 10.22:1–2**).

La réduction du diamètre de l'ouverture des marmites est peu sensible au niveau Acr-III (**Figs 10.13:9** ; **10.18:4**). À Tel Qasile on l'observe dès le niveau XI[4], et il deviendra caractéristique au Fer II.

• CP 3A-C : Marmites à bord vertical et à lèvre triangulaire

Les marmites à bord vertical, à concavité interne et à lèvre à bourrelet triangulaire sont caractéristiques du Fer IB. Le bourrelet peut être convexe (**Fig. 10.13:9**) ou concave dans sa partie supérieure. Le spécimen de la **Fig. 10.18:3** est un exemple rare, avec une lèvre à sommet horizontal plat soulignée par un bourrelet externe peu épais.

• CP 4 : Marmites à bord incurvé

Les marmites à bord incurvé (**Fig. 10.20:11**) présentent généralement une concavité plus marquée à l'intérieur et une lèvre à bourrelet externe allongé, au lieu d'un bourrelet triangulaire. C'est un indice probant pour une datation au Fer I, plus particulièrement à la seconde phase du Fer IB, vers le milieu du XI[e] siècle. Peu représentées à Yarmouth, les marmites de ce type se retrouvent à Tell Beit Mirsim dans des proportions importantes au niveau B2, ainsi qu'à Tel Masos, où elles sont assez nombreuses dès le niveau II.

10.1.3.2. *Technologie*

Dégraissants.– Les cailloux restent la base du dégraissant utilisé lors de la fabrication des marmites pour résister aux cuissons répétées. Ils sont soit utilisés seuls (40 %), soit avec du calcaire (10 %), du quartz (10 %) ou du sable (10 %). Le dégraissant composé uniquement de grains de calcaire est peu présent (10 %). De petits grains blancs se retrouvent dans 20 % des cas.

Modalités de cuisson.– Pour 60 % des tessons, aucun cœur n'est visible. On n'observe la présence d'un cœur gris moyen ou gris foncé que sur 30 % des tessons, contre 60 à 65 % aux niveaux Acr-VI et V. La cuisson des marmites du Fer IB semble ainsi avoir été conduite dans une atmosphère plus oxydante que pour leurs homologues du BR II–III.

Qualité de la céramique.– Aucun tesson de marmites du niveau Acr-III ne relève de la catégorie « grossière » ; environ 30 % sont « plutôt grossiers » et 70 % appartiennent à la catégorie « commune ».

[4] Mazar 1985, fig. 23:9–10, 14–16.

10.1.4. Jarres et pithoi

10.1.4.1. *Typologie*

Un bon échantillon de jarres a été exhumé lors des fouilles du niveau Acr-III, dont un grand nombre étaient complètes (**Figs 3.47, 3.51, 10.5–10.7 ; Figs 10.15–10.16, 10.19**). On possède ainsi un répertoire de formes représentatif, permettant une étude détaillée de ces vases de stockage si caractéristiques du XI[e] siècle attestés sur de nombreux sites du Fer IB au Levant sud.

Ces jarres se répartissent en trois groupes selon leurs dimensions (**Fig. 6.5**). Les *petites jarres* (JR 1), qui mesurent moins de 40 cm de haut, sont peu fréquentes (**Figs 10.15:1–2 ; 10.16:1**). Les *jarres moyennes* (JR 2), qui mesurant entre 50 et 60 cm de haut, représentent la majorité des vases de cette catégorie (**Figs 10.15:3–9 ; 10.16:2–4 ; 10.19**). Les *grandes jarres* (JR 3), enfin, atteignent près de 70 cm de hauteur (**Figs 10.16:5 ; 10.21**) et sont assimilables à des pithoi, c'est-à-dire à de grands vases de stockage dont l'emplacement était relativement fixe.

Les *jarres moyennes*, de loin les plus nombreuses, ont une forme standardisée caractéristique du Fer I[5]. Elles ont un col court généralement vertical (**Figs 10.15:4–5,7 ; 10.19:3,8**), parfois évasé (**Figs 10.18:10,18 ; 10.19:2,4,7**), rarement rentrant (**Fig. 10.19:6**), avec une lèvre plus ou moins épaissie et allongée (**Figs 10.18:10 ; 10.20:13**). La jonction entre la panse et l'épaule présente dans la grande majorité des cas une légère carène, quelquefois un contour arrondi (**Fig. 10.15:5–6**). Cet angle à la jonction de l'épaule et de la panse est un trait distinctif des jarres du Fer I. Une évolution typologique est en cours à cette période, avec l'épaule qui tend à devenir moins tombante et la panse plus allongée (*cf.* **Figs 10.15:7–8 ; 10.19:1,3,6**). La panse est ovoïde allongé, avec tantôt un profil renflé (**Figs 10.15:4–6 ; 10.16:4 ; 10.19:1–2**), tantôt cylindrique dans sa partie centrale (**Figs 10.15:4,7–8 ; 10.19:3–4**). La paroi s'épaissit souvent vers le fond (**Figs 10.15:6,9 ; 10.16:2–3,5 ; 10.19:1,7–8**). Caractéristiques du Fer I, les fonds sont soit arrondis (**Figs 10.15:9 ; 10.16:4, 10.19:2**), soit appointés (**Figs 10.15:6 ; 10.16:2–3 ; 10.19:4,7**), avec un contour qui rappelle celui des fonds de jarre du Bronze récent, mais sans l'épaisseur qui caractérise ces derniers[6]. De fait, les fonds épais du BR II ne se trouvent plus dans ce niveau, sauf une exception (**Fig. 10.18:19**), qui peut être un tesson intrusif ou bien un reste d'une jarre ancienne réutilisée. Ces jarres possèdent normalement deux grandes anses annulaires à attaches verticales, l'attache supérieure étant située au niveau de la carène ; on observe parfois une empreinte de doigt sur l'anse (**Figs 10.15:7 ; 10.21**)[7],

[5] Voir Tel Beth Shemesh 6–4 (Bunimovitz and Lederman 2016a, pp. 200–202), Tell es-Safi A6–A5 (Zukerman 2012, pls 13.9:12,15, 13.13:17), Tel Miqne VIB à VA (Zukerman and Gitin 2016, figs 5.27:11–16 ; 5.61 ; 5.67:5–6 ; 5.82), Tel Qasile X (Mazar 1985, pp. 54–56), etc. Pour des contextes du tout début du Fer IIA, voir Khirbet Qeiyafa IV (Kang and Garfinkel 2009, figs 6.23–6.24).

[6] On notera l'absence de fonds de jarre à étroite base plate, si fréquents sur le site voisin – mais probablement un peu plus récent– de Khirbet Qeiyafa IV : voir Kang and Garfinkel 2009, figs 23:1,3,4–5,10, 24:10.

[7] Le niveau Acr-III étant peu antérieur à l'occupation de Khirbet Qeiyafa (voir ci-dessous, § 24.2.), où les jarres à anses annulaires décorées d'une impression digitale sont particulièrement nombreuses, on hésite à voir dans ce détail un trait culturel proprement judéen, comme l'ont proposé les fouilleurs : voir Kang and Garfinkel 2015 ; Garfinkel 2017, pp. 156–158 et fig. 5.

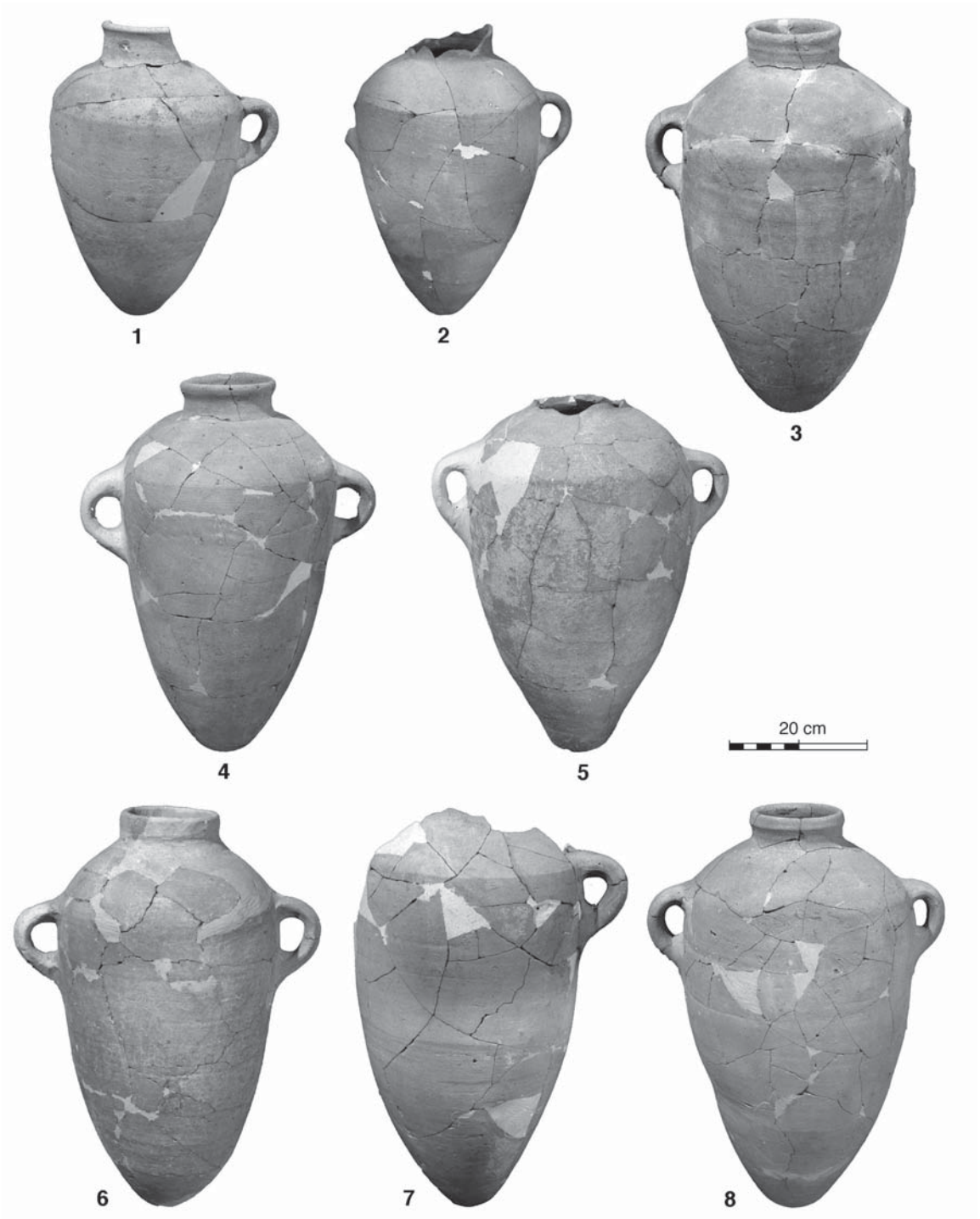


Fig. 10.5. Petites jarres et jarres moyennes (L.1149).
1. JR 1.A2 (A.9721-1, **Fig. 10.15:1**). 2. JR 1.A2 (A.9645-11, **Fig. 10.15:2**). 3. JR 2.A1 (A.9645-5, **Fig. 10.15:4**). 4. JR 2.A1 (A.9645-2, **Fig. 10.15:5**). 5. JR 2 (A.9645-10, **Fig. 10.15:6**). 6. JR 2.A3 (A.9645-8, **Fig. 10.15:7**). 7. JR 2 (A.9648-1, **Fig. 10.15:8**). 8. JR 2.A1 (A.9645-7, **Fig. 10.15:9**).



Fig. 10.6. Jarres moyennes (L.1130 et L.2334).
1. JR 2 (A.9608-14, **Fig. 10.19:1**). 2. JR 2.A2 (A.9608-13, **Fig. 10.19:2**). 3. JR 2.A1 (A.9608-7, **Fig. 10.19:3**). 4. JR 2.A1 (A.9608-11, **Fig. 10.19:4**). 5. JR 2.A3 (A.9608-3, **Fig. 10.19:6**). 6. JR 2.A2 (A.9608-8, **Fig. 10.19:7**). 7. JR 2.A1 (A.10919-1, **Fig. 10.19:8**).



Fig. 10.7. Grande jarre (JR 3, A.9720-1, **Fig. 10.21**).

et exceptionnellement une marque de potier qui consiste en une croix incisée après cuisson (**Fig. 10.19:8**)[8]. Une seule jarre est dotée de quatre anses (**Fig. 10.21**), mais il s'agit d'un pithos (voir ci-dessous).

Les *petites jarres* peuvent avoir un col cylindrique avec une ouverture relativement large (**Fig. 10.15:1–2**), ou bien un col comparable à celui des jarres moyennes (**Fig. 10.16:1**). Les exemplaires complets (**Fig. 10.15:1–2**) ont une panse ovoïde amincie avec un fond appointé. Des sites comme Tel Qasile[9] ou Tel Masos[10] ont livré des petites jarres identiques.

Quant aux *grandes jarres*, ou pithoi, elles possèdent un diamètre à l'épaule qui peut atteindre une quarantaine de centimètres. Rares au niveau Acr-III, ces grands vases de stockage sont bien représentés à Tel Masos, avec des dimensions souvent bien supérieures à ceux de Yarmouth, jusqu'à plus d'un mètre de haut[11]. Plus au nord, des sites comme Izbet Sartah ou Shiloh ont livré aussi des pithoi caractéristiques du Fer I, mais avec des profils plus allongés et étroits que ceux de Yarmouth[12]. Un pithos complet du niveau Acr-III a un

[8] Pour des marques de potier identiques du Fer I, voir Ben-Shlomo and Dothan 2017, p. 449 (Cat. No. 6.43).
[9] Mazar 1985, fig. 48.
[10] Fritz and Kempinski 1983, pl. 148:7–10.
[11] *Ibid.* pls 143:9, 155:3–4.
[12] Finkelstein 1986, pl. 9:1,3–4 ; Finkelstein *et al.* 1993, pls 6.49:3–4, 6.51:1,4,6.

col très court et une encolure de 21 cm (**Fig. 10.16:5**) ; des cols comparables existent par ailleurs à la même époque, notamment à Tel Masos II. Un pithos de Yarmouth est dotée de quatre anses au lieu de deux (**Fig. 10.21**), à l'instar de pithoi analogues découverts à Tel Masos II, où ils sont fréquents, ainsi qu'à Ashdod XIII, Tel Qasile XII–XI, Gezer 6A et Lachish VI ; le niveau III d'Izbet Sartah, dont la culture matérielle s'inscrit pourtant dans une tradition distincte de celle du sud de la Palestine, a livré aussi un pithos à quatre anses annulaires très comparable à celui de Yarmouth.

Le profil du col des jarres permet de distinguer les variantes suivantes (*cf.* **Fig. 6.6**) :

10.1.4.1.1. Col court vertical

- JR 2.A1.a : Lèvre simple

  Ce type de col est peu représenté à ce niveau (**Fig. 10.15:4**).

- JR 1/2.A1.b–c : Lèvre épaissie ou repliée en bandeau

  C'est le type de col de jarre le plus fréquent au niveau Acr-III. La lèvre épaissie affecte un profil « en amande », dont l'exemple le plus significatif est fourni par le col de la **Fig. 10.18:14**. On distingue plusieurs variantes: la lèvre peut être courte (**Figs 10.13:7** ; **10.15:5** ; **10.16:1** ; **10.18:13; 10.19:8**) ou allongée (**Fig. 10.19:3**), amincie à son sommet (**Figs 10.15:9** ; **10.16:4**), ou épaissie à l'extérieur et à l'intérieur (**Fig. 10.18:12,14**). Dans une variante de ce type, on observe à l'intérieur du col une sorte de bourrelet intérieur (**Fig. 10.18:15**).

10.1.4.1.2. Col court évasé

- JR 2/3.A2.a : À lèvre arrondie

  La lèvre arrondie, sans épaississement marqué, avec un col très court et évasé ne se retrouve que rarement dans ce niveau (**Fig. 10.16:5**). Ce profil semble réservé aux pithoi, comme c'est aussi le cas à Tel Masos[13].

- JR 2/3.A2.b–c : Lèvre épaissie ou repliée en bandeau

  Il s'agit d'une forme fréquente, pour laquelle la lèvre offre des différences suivant que l'épaississement est marqué (**Fig. 10.13:6 ; 10.19:2,7 ; 10.21**) ou non (**Fig. 10.19:3–4**). Le col peut être court (**Fig. 10.21**) ou allongé (**Fig. 10.22:3**). Ce sous-type avec un col évasé et une lèvre épaissie vers l'extérieur se retrouve à cette époque dans les hautes collines de Judée à Khirbet Rabud. Les variantes sont peu signifiantes et n'affectent pas la cohésion typologique de ces deux sous-types.

[13] Fritz and Kempinski 1983, pls 138:14, 140:12, 151:8.

10.1.4.1.3. Col court rentrant

• JR 2/3.A3.a : Col rentrant à lèvre arrondie

Le col court et rentrant avec une lèvre sans épaississement est rare au niveau Acr-III (**Figs 10.15:7 ?** ; **10.19:6**). C'est l'un des plus anciens exemples de ce type de col, qui se développera pleinement au Fer II, mais avec une panse nettement plus renflée[14].

10.1.4.2. *Technologie*

Dégraissants.– L'emploi de grains de calcaire mélangés à des cailloux est le type de dégraissants le plus fréquent, observés sur 35,3 % des jarres. Les dégraissants composés uniquement de grains de calcaire ou seulement de cailloux ont été mis en œuvre chacun pour près du quart des jarres. D'autres éléments moins fréquents sont également utilisés comme dégraissant : du gravier et du calcaire (5,9 %), du sable (5,9 %) et de la chamotte et des grains de calcaire (5,9 %).

Modes de façonnage.– Les macro-traces suggèrent que les techniques de fabrication sont plus diversifiées pour les jarres que pour les autres catégories de formes. L'usage du tournage au cours du façonnage demeure le principal mode de fabrication (61,1 %). Les traces de façonnage indiquent dans 5,6 % des cas un montage seul à la main, dans 22 % un montage aux colombins et dans 11,1 % des cas un montage aux colombins avec reprise au tour. Notons que la vitesse de rotation du tour a dû être assez élevée, au moins 100 tours par minute d'après V. Roux[15].



Fig. 10.8. Cruche à haut col JG 1A (A.9645-4, **Fig. 10.13:2**).

[14] *Cf.* Bunimovitz and Lederman 2016b, fig. 9.71 (avec références) ; Kochavi 1974, pl. 7:12–15, 17. La jarre de la **Fig. 10.19:6**, dont le contexte date incontestablement du Fer IB, invalide la remarque de L.Singer-Avitz (2010, p. 82, n. 7) sur une datation exclusivement au Fer II des jarres à col rentrant.

[15] Communication personnelle, août 2001. Voir aussi Panitz-Cohen 2009, p. 218.

Traitement des surfaces.– Quelques traces d'engobe ont été observées sur un nombre limité de tessons de panse ou de col (16,7 %).

Modalités de cuisson.– Près de 60 % des tessons n'ont pas de cœur et témoignent d'une cuisson oxydante. 17,6 % ont un cœur gris moyen. Les cœurs gris léger et gris foncé sont peu représentés (11,6 % pour chacun des deux), auxquels s'ajoutent 17,6 % de cœur gris moyen.

Qualité de la céramique.– Dans l'ensemble, la fabrication des jarres est plutôt soignée, avec 16,7 % de jarres « plutôt fines, » 66,6 % « communes » et 16,7 % seulement « plutôt grossières ».

10.1.5. Cruches

10.1.5.1. *Typologie*

La typologie des cruches est délicate à établir aussi bien en raison de la rareté relative de ces vases que du fait de leur grande variabilité morphologique – une observation formulée aussi à propos des cruches du Fer I par les fouilleurs de Tel Qasile[16] et de Beth-Shean[17]. Cette forte variabilité doit être soulignée car elle ne se retrouve pas pour d'autres catégories de vases, tels que les bols, les cratères ou les marmites, dont les formes sont relativement standardisées. Les tessons de bord de cruche ne permettent guère d'estimer avec assurance la forme générale du vase et chacun d'eux, ou presque, correspond à un type particulier. Aussi les distinctions morphologiques demeurent-elles empiriques, fondées sur la largeur de l'encolure, le profil du col et celui de la lèvre. La faiblesse de l'échantillon et l'état fragmentaire des tessons ne permettent pas de faire appel à des critères plus précis, tels que la forme de la panse ou le mode d'attache de l'anse, sur lesquels les fouilleurs de Beth-Shean ont fondé leur classement typologique[18].

Les cruches possèdent une anse annulaire joignant le bord du col à l'épaule (**Figs 10.13:4** ; **10.18:5–6**), exceptionnellement le milieu du col à l'épaule (**Fig 10.13:2** = **Fig. 10.8**).

10.1.5.1.1. Cruche à encolure étroite

- JG 1A : À haut col évasé

Une cruche complète de 25 cm de hauteur présente des caractéristiques remarquables (**Fig. 10.13:2** = **Figs 3.47**, **10.8**). Le haut col « en trompette » a un diamètre de 6,5 cm à l'ouverture et de 3,5 cm seulement à son milieu. L'attache supérieure de l'anse est située au milieu du col. La panse est ovoïde et la base annulaire. Le vase est recouvert d'un engobe rouge lustré.

[16] Mazar 1985, p. 61.
[17] Yadin and Geva 1986, p. 61.
[18] *Ibid.*, pp. 61–55.

L'association de ces traits morphologiques ne se retrouve pas dans le répertoire habituel des cruches cananéennes du Fer I. En outre, sa pâte à dégraissant minéral fin, proche de celle des céramiques philistines, et la bonne cuisson dont elle a bénéficié la distinguent aussi de la tradition cananéenne locale de la Shéphélah. L'ensemble de ces observations suggèrent que cette cruche n'est pas d'origine locale. De fait, les parallèles les plus proches de ce vase se trouvent dans des sites de la Plaine côtière : deux cruches presque identiques proviennent du niveau IVA de Tel Miqne, attribué par les fouilleurs au "Fer IC" et daté de *c.* 1050–975, soit de la fin du Fer IB classique ; d'autres cruches comparables ont été trouvées en bordure de la rivière Yarqon, à Tel Qasile X et dans une tombe du cimetière d'Azor. A. Mazar a signalé la ressemblance de ce type de vase avec des cruches phénicienne du Xe siècle[19].

La cruche de la **Fig. 10.13 :2** implique donc des relations, directes ou indirectes, avec la Plaine côtière, d'où étaient importées aussi les poteries bichromes philistines (§ 10.2).

10.1.5.1.2. Cruche à encolure large et col moyen

• JG 2A.1 : Col droit et lèvre épaissie et débordante

La particularité de ces cols est de présenter un léger ressaut à l'intérieur, au niveau de la lèvre qui est donc nettement en débord (**Fig. 10.18:5–6,17**). Des cruches dont le col présente un profil comparable sont attestées au Fer I sur d'autres sites, par exemple Gezer, et peuvent être considérées comme caractéristique de cette période. Notons qu'une forme apparentée a été trouvée au niveau Acr-VI (**Fig. 7.6:9**)

• JG 2A.2 : Col droit et lèvre épaissie

Ce profil (**Fig. 10.18:16**) est relativement courant.

• JG 2A3 : Col droit et lèvre épaissie en bourrelet

Ce type de cruche, dont le col possède une lèvre en bourrelet peu épais en forme d'amande (**Fig. 10.18:11**) ou bien en bourrelet marqué (**Fig. 10.13:6**), rappelle les jarres dont le col présente un profil comparable, mais la paroi est ici plus fine et le diamètre de l'encolure plus étroit.

• JG 2B.2 : Col droit et lèvre éversée

La lèvre est éversée et amincie (**Fig. 10.18:9**).

• JG 2B.3 : Col évasé et lèvre épaissie à l'extérieur

Cette forme est une variante du type précédent, mais avec un col évasé (**Fig. 10.18:18**).

• JG 2B.4 : Col moyen évasé à lèvre épaissie « en T »

Un exemplaire à engobe rouge foncé (**Fig. 10.20:5**).

[19] Mazar 1985, p. 63.

10.1.5.1.3. Cruche à encolure large et col court

Le statut typologique de ces cruches est incertain car le diamètre de l'encolure, celui (probable) de la panse et, d'une façon plus générale, la dimension du vase permettent de supposer qu'il s'agit en réalité de petites jarres (JR 1).

• JG 2C.1 : Col court évasé à lèvre simple

Dans l'hypothèse où ce vase (**Fig. 10.13:4**) aurait deux anses, il pourrait s'agir d'une amphore[20].

• JG 2C.2 : Col court évasé à lèvre épaissie

Le col très court et évasé possède une lèvre faiblement (**Fig. 10.18:10**) ou fortement épaissie (**Fig. 10.20:13**). Ce type n'est représenté que par un petit nombre d'exemplaires. On n'en connaît guère de parallèles ; on signalera cependant un vase de profil similaire à Tel Masos.

10.1.5.2. *Technologie*

Dégraissants.– Les dégraissants utilisés pour la fabrication des cruches sont comparables à ceux des jarres. On y observe les mêmes éléments non plastiques : des grains de calcaire dans 21,4 % des cas, des cailloux (21,4 %), un mélange des deux (35,7 %), du gravier associé à un autre minéral (7,2 %) et toujours, comme pour les jarres, du sable mélangé à des cailloux (7,2 %), ou encore de la chamotte avec du calcaire (7,2 %).

Modes de fabrication.– Le façonnage au tour est majoritaire dans 62,5 % des cas. Sur 25 % des tessons, les seules traces observées impliquent un montage à la main, ce qui pourrait s'expliquer par la taille réduite des vases. Le montage aux colombins, seul ou associé à une finition au tour, apparaît dans 12,5 % des cas.

Traitements des surfaces.– Les cruches ont fait l'objet d'une attention particulière pour le traitement des surfaces. La moitié ont soit un engobe (**Figs 10.18:5,9** ; **10.20:5**), soit un décor. Les décors peints sont moins fréquents sur les cruches du niveau Acr-III en céramique locale de tradition cananéenne, à la différence des cruches en céramique bichrome philistine du niveau Acr-IIB qui comportent des décors évolués (**Fig. 11.7:2,5–6**). Les engobes rouge-brun tendent à remplacer les engobes beige clair qui recouvraient fréquemment les cruches des niveaux précédents et qui sont désormais rares. L'usage des engobes rouge-brun est concomitant avec celui des engobes rouges lustrés. Le développement de l'usage de l'engobe, du lustrage de la surface et du décor peint a aussi été observé sur les cruches du niveau B2 de Tell Beit Mirsim[21], à peu près contemporain des niveaux Acr-IV et Acr-III de Yarmouth.

[20] *Cf.* Mazar 1985, pp. 59–61.
[21] Greenberg 1987, pp. 65, 67.

Modalités de cuisson.– 43,7 % des tessons de cruches ne présentent pas de cœur, 12,5 % ont un cœur gris léger, 31,3 % un cœur gris, et 12,5 % un cœur gris foncé. La cuisson oxydante apparaît donc la plus fréquente.

Qualité de la céramique.– Indice du soin apporté à leur fabrication, 25 % des cruches relèvent de la catégorie « plutôt fine » et 56,3 % de la catégorie « commune ». Seulement 18,7 % des cruches sont d'apparence « plutôt grossière ».



Fig. 10.9. Cruchettes. 1. JT 1B (A.9645-3, **Fig. 10.13:1**). 2. JT 1A (A.9694-1, **Fig. 10.22:7**). 3. JT 1A (A.10914-3, **Fig. 10.14:1**).

10.1.6. Cruchettes

10.1.6.1. *Typologie*

• JT 1 : Cruchettes à panse ovoïde

Les cruchettes les plus fréquentes relèvent du type JT 1 à panse ovoïde et à fond plus ou moins arrondi (**Figs 10.13:1** [= **Figs 3.47**, **10.9:1**] ; **10.14:1** [= **Fig. 10.9:3**] ; **10.22:7** [= **Fig. 10.9:2**]). L'encolure est étroite, le col évasé à lèvre amincie et l'anse relie le bord au haut de l'épaule. En céramique « commune » ou « plutôt fine », sans engobe ni décor peint, elles constituent une catégorie homogène, sans différences typologiques marquées.

• JT 2 : Cruchettes à panse cylindrique (**Figs 10.13:3**, **10.18:8**)

Les cruchettes de ce niveau présentent souvent une panse peu renflée, voire cylindrique, avec une base arrondie (**Fig. 10.18:8**) ou légèrement appointée (**Fig. 10.13:3**).

10.1.6.2. *Technologie*

Dégraissants.– L'élément sableux est le dégraissant utilisé de manière préférentielle pour la fabrication des cruchettes : pour 60 % d'entre elles, le dégraissant est constitué de sable utilisé seul ou associé à du quartz ou à des cailloux. Pour le reste, le dégraissant se compose de grains de calcaire utilisé seul (20 % des cas) ou avec des cailloux (20 %).

Modes de façonnage.– Les traces observées suggèrent que le façonnage au tour et le façonnage manuel ont été chacun mis en œuvre dans 40 % des cas, et le façonnage aux colombins avec reprise au tour dans 20 % des cas.

Modalités de cuisson.– L'absence de cœur est rencontrée dans 80 % des cas. 20 % des cruchettes ont un cœur gris léger. La cuisson est donc généralement oxydante.

Qualité de la céramique.– Environ 60 % des cruchettes relèvent de la céramique « plutôt fine » et 40 % sont « commune », preuve du soin apporté à leur fabrication.

10.1.7. Calices

Les calices des XIIe–XIe siècles ont ceci de caractéristique que le profil de leur bord est comparable à celui de leur base (*cf.* **Fig. 10.22:5–6**). Deux profils de bords se rencontrent à ce niveau, pour lesquels les niveaux X–XI de Tel Qasile offrent de nombreux parallèles :

- CH 1 : Paroi sinueuse et lèvre éversée

Le profil des calices de ce type (**Fig. 10.20:6**), de petit diamètre et peu profond, a des antécédents dès le niveau Acr-VI. La lèvre allongée et éversée à l'horizontale se retrouve couramment à Tel Qasile X[22].

- CH 2 : Paroi convexe et bord évasée

Ce type de calice est fréquent (**Figs 10.17:5** ; **10.22:6**). Il est caractéristique du Fer IB et se retrouve sur l'ensemble des sites de la région, notamment à Tel Qasile, en particulier au niveau XI.

10.1.8. Gobelets

Peu de gobelets ont été reconnus au niveau Acr-III. Leur identification est en effet rendue délicate par le fait que leurs bords fragmentaires peuvent être confondus avec ceux de cruches.

10.1.9. Flasque

- Fl 1 : Flasque à panse lentiforme

La rareté des flasques dans les niveaux du Fer I de Yarmouth a déjà été signalée ci-dessus (§ 9.1.8). Pour le niveau Acr-III, on signalera un exemplaire (**Fig. 10.20:16**) où l'anse attachée au milieu du col est orientée vers le bas.

10.1.10. Pyxides

Aucun tesson de pyxide n'a été identifié au niveau Acr-III.

[22] Mazar 1985, pp. 48–49.

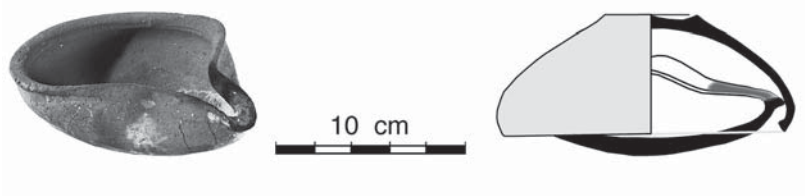


Fig. 10.10. À gauche, la lampe A.9609-2 (**Fig. 10.17:16**). À droite, la lampe recouverte par le petit bol A.9609-1 (**Fig. 10.17:17**), telle qu'elle a été mise au jour dans le locus 1130.

10.1.11. Lampes

Les lampes ont généralement un bord simple évasé ou aplati vers l'extérieur. La lampe de la **Fig. 10.17:16** (= **Fig. 10.10**) présente un profil inhabituel, avec une lèvre « en T » oblique vers l'intérieur. Des traces de suie sont visibles sur le bord de la lampe ainsi que sur le fond. La qualité médiocre des lampes se retrouve sur d'autres sites, comme à Tel 'Eton[23].

10.1.11.1. *Excursus : Un dépôt de fondation ?*

La lampe dont il vient d'être question a été trouvée associée au bol **Fig. 10.17:17** (ci-dessus § 10.1.1.1.1) ; ce dernier était renversé et recouvrait la lampe (**Fig. 10.10**). Les deux vases, l'un et l'autre complets, ont été exhumés en bordure de la coupe nord-ouest du carré BC 116, sur le sol 1130 (voir § 3.7.2), immédiatement à gauche du grand bol **Fig. 10.17:15** (= n° 4 sur la photo **Fig. 3.50**). Ils étaient donc en relation stratigraphique directe avec les nombreuses jarres qui jonchaient ce sol.

Cette association d'un bol et d'une lampe mis au jour dans un contexte du XIe siècle n'est pas sans évoquer un genre de dépôts de fondation identifié par S. Bunimovitz et O. Zimhoni[24]. Il s'agit de dépôts constitués d'une lampe et d'un bol (voire de plusieurs bols de tailles différentes) enterrés à proximité ou sous un mur, rarement dans une habitation domestique, le plus souvent dans un bâtiment public (fort ou « résidence de gouverneur ») lié à une présence ou une influence égyptienne. Ils ont été mis au jour sur plusieurs sites du sud de la Palestine (Shéphélah, plaine côtière, Néguev septentrional), dans des contextes datés du Bronze récent au Fer IB, entre le XIIIe et le XIe siècle. Fait significatif, les lampes ne présentent pas de traces de suie, preuve qu'elles n'ont pas été utilisées et que ces dépôts étaient constitués de poteries neuves. Les auteurs supposent que ces dépôts avaient un caractère cultuel.

En l'occurrence, malgré une similitude formelle, le rapprochement entre la lampe et le bol du locus 1130 de Yarmouth et les dépôts de fondation décrits par S. Bunimovitz et O. Zimhoni semble devoir être écarté. Ces deux vases, en effet, n'ont pas été trouvés sous un mur ou sous un sol, mais *sur* le sol 1130, ensemble avec un grand bol et d'autres poteries écrasées ; ils faisaient donc clairement partie du mobilier de cette pièce 1130 au moment

[23] Edelstein and Aurant 1993, p. 25, pl. 13:5–8.
[24] Bunimovitz and Zimhoni 1993, pp. 99–125 ; Bunimovitz and Lederman 2016a, pp. 215–223.

de la destruction de la maison. En outre, la lampe et le bol ont été utilisés, comme l'indiquent les traces de suie relevées sur l'un et l'autre, alors que dans le cas des dépôts de fondation évoqués par Bunimovitz et Zimhoni on a affaire à des vases neufs. L'association de la lampe et du bol du locus 1130 résulte donc plus probablement d'un mode de rangement pour deux vases qui ont pu être utilisés ensemble (comme le suggèrent les traces de suie constatées sur le bol), à l'instar, par exemple, des vases emboîtés du locus 1149 (*cf.* **Fig. 10.14** et **Fig. 3.46**).

10.1.12. Divers

Plusieurs plaques à cuire fragmentaires à décor incisé ont été retrouvées à ce niveau. Elles sont comparables à celles du niveau Acr-IV (**Fig. 9.6:11–12** = **Fig. 9.3**) et à leurs équivalents mis au jour sur plusieurs sites contemporains, notamment à Gezer[25].

10.1.13. La céramique à engobe rouge lustré

Peu de poteries à engobe rouge lustré ont été découvertes à Yarmouth (voir **Figs 10.13:2** ; **10.17:3** ; **10.20:4,12**), et cette relative rareté doit être expliquée. Selon W. G. Dever, la deuxième phase de la céramique bichrome philistine est contemporaine du développement de la céramique à engobe rouge lustré[26]. Ainsi, à Gezer cette dernière remplace la poterie philistine au niveau 9 du chantier II (= niveau XI dans la stratigraphie générale de Gezer), soit au XIe siècle. Toutefois, à Tell Beit Mirsim au début du XIe siècle, les poteries à engobe rouge lustré sont peu nombreuses[27] et, le plus souvent, seule la lèvre est ainsi décorée[28]. À Tel Masos, les poteries à engobe rouge lustré existent dès le niveau III (milieu du XIIe siècle), mais elles n'atteignent une fréquence importante qu'au niveau II (première moitié du XIe siècle)[29]. À Tel Qasile X enfin, les bols relevant de cette catégorie de céramique sont beaucoup plus courants qu'à Yarmouth.

En somme, il semble que l'on peut distinguer différentes zones de répartition de la poterie à engobe rouge lustré, qui est tantôt abondante, comme à Gezer, Tel Masos ou Tel Qasile, tantôt relativement rare, comme à Yarmouth et à Tell Beit Mirsim. Cette poterie apparaît sur les sites du sud de la Palestine généralement dès le milieu du XIIe siècle, mais pas d'une manière subite, comme c'est le cas pour la céramique philistine. Au contraire, elle se développe progressivement, d'abord essentiellement avec les bols et les cratères, et n'acquiert une place prépondérante qu'au Fer II. L'usage de l'engobe rouge lustré semble concerner d'une égale manière les différents types de poteries ; c'est donc un simple traitement des surfaces, dont l'apparition n'est pas liée à des évolutions typologiques précises, ce qui la distingue là aussi de la céramique philistine.

[25] Dever *et al.* 1986, pl. 16:23.
[26] Dever *et al.* 1974, p. 56.
[27] Greenberg 1987, fig. 10:16.
[28] Greenberg 1987, fig. 9.
[29] Fritz and Kempinski 1983, p. 76.



Fig. 10.11. Tessons philistins des niveaux Acr-III et Acr-II.
1. BL 1A.1, A.10808-1, L.2320 (**Fig. 11.7:2**). 2. JG 3, A.10831-1, L.2320 (**Fig. 11.7:6**).
3. JG, A.9672-1, L.1161 (**Fig. 11.7:5**). 4. JG 3, A.10831-5, L.2320 (**Fig. 11.7:7**).
5. KR 2A, A.9641-2, L.1149 (**Fig. 10.12:8**). 6. KR, A.9618-8, L.1136 (**Fig. 10.12:9**).
7. JG ? A.9650-1, L.1149 (**Fig. 10.13:5**).

10.2. La céramique philistine

Comme déjà au niveau précédent (§ 9.2), la céramique philistine (« *Philistine 2* ») est peu nombreuse au niveau Acr-III, comme aussi sur la plupart des sites contemporains de la Shéphélah[30]. Les bols, les cratères et les cruches sont les seules formes représentées.

[30] Ainsi à Tel ʻEton (Edelstein and Aurant 1993), à Tell Beit Mirsim (Greenberg 1987, fig. 7:5) et à Khirbet el-Rai (Garfinkel and Ganor 2017, fig. 10). En revanche elle est bien représentée à Tel Beth Shemesh 6–4 (Bunimovitz and Lederman 2016a, pp. 206–211).

10.2.1. Typologie

10.2.1.1. *Bols*

BL 1D.1 et 2 : Petit bol à paroi sinueuse

Ces bols du niveau Acr-III ont le profil en cloche classique des bols philistins, comme ceux du niveau Acr-IV, mais avec une sinuosité moins marquée (**Fig. 10.17:12**). Des bols similaires mais sans décor proviennent de Tel Masos[31]. Les lignes parallèles peintes en rouge et noir demeurent souvent, mais pas exclusivement, associées à la céramique bichrome philistine.

10.2.1.2. *Cratères*

- *KR 2 : Cratère en forme de cloche*

Les cratères en céramique bichrome philistine du niveau Acr-III (**Fig. 10.12:8–9,11** = **Fig. 10.11:5–6**) possèdent tous une forme « en cloche » plus ou moins marquée et sont comparables à ceux du niveau Acr-IV. La lèvre présente classiquement en bourrelet externe triangulaire (**Fig. 10.12:8**) ou légèrement « en T », convexe à son sommet (**Fig. 10.12:11**). Le décor comprend les motifs caractéristiques de spirales, simples ou remplies d'une croix de Malte (?), et de losanges rayés, éventuellement associés à des lignes peintes en noir ou en rouge sur un engobe blanc ou beige (**Figs 10.12:8–9** et **10.13:5** = **Fig. 10.11:5–7**)[32] ; toutefois, certains cratères ne portent pas de décor (**Fig. 10.12:11**). La céramique est de qualité plutôt fine, parfois commune, avec un dégraissant assez fin. Ces poteries ont subi dans leur majorité d'une bonne cuisson.

10.2.1.3. *Cruches*

Absentes du niveau précédent, peut-être en raison d'un échantillon réduit, les cruches sont représentées par quelques tessons. Deux tessons peints proviennent de cruches de forme indéterminée (**Fig. 10.20:14–15**) ; toutefois, la légère carène du tesson **Fig. 10.20:14** est à rapprocher de celle qui caractérise les cruches de type JG 3 à anse de panier et à bec verseur (voir ci-dessous § 11.1.2.3).

10.2.2. Technologie

Comme au niveau Acr-IV, la pâte et la technique de fabrication des poteries philistines bichromes du niveau Acr-III présentent des caractères spécifiques qui les distinguent clairement de la poterie locale. Toutefois, la nature du dégraissant utilisé, moins fin et parfois presque grossier, semble indiquer une baisse de qualité par rapport à leurs homologues du niveau précédent.

[31] Fritz and Kempinski 1983, pl. 134:2, 14.
[32] Sur ces motifs, voir Ben-Shlomo 2010, pp. 160–162.

10.2.3. Provenance

Cinq tessons en céramique bichrome philistine ont fait l'objet d'une analyse pétrographique par Y. Goren afin d'en déterminer l'origine (voir Appendice 1). Les résultats sont comparables à ceux du niveau Acr-IV (§ 9.2.3) et indiquent la même diversité d'origines régionales : deux tessons relèvent du groupe "*Loess and Coastal Sand*" du sud-ouest de la Plaine côtière (environs de Gaza et d'Ashkelon) (**Fig. 24.4**) ; un tesson appartient au groupe '*Loess and Calcareous Sand*" de Shéphélah ; et deux tessons sont du groupe "*Terra Rossa*" qui caractérise le nord de la Shépéhah. Ces poteries bichromes philistines ont donc toutes été importées de territoires philistins. Plusieurs pourraient être originaires d'une région limitrophe située à l'ouest de Yarmouth, où prospéraient des sites à poterie philistine tels que Tell es-Safi/Gath, Tel Miqne/Ekron ou Gezer, mais ces trois cités philistines n'étaient pas les fournisseurs exclusifs des poteries bichromes puisque Yarmouth en a aussi reçu d'établissements situés au sud du territoire philistin, parmi lesquels Ashdod, Ashkelon et Gaza étaient les principaux centres producteurs[33]. La même observation vaut pour plusieurs tessons en céramique « *Philistine 2* » de Tel Beth Shemesh 6–4 (Fer IB)[34] et en céramique dite « *Ashdod Ware* » de Khirbet Qeiyafa IV (début du Fer IIA)[35]. En tout état de cause, la présence de poteries philistines à Yarmouth implique des relations commerciales avec le cœur de la Philistie, et non un contrôle politique philistin – dont la culture matérielle de Yarmouth ne donne par ailleurs aucun témoignage en dehors de la poterie.

10.3. Conclusion

Les continuités typologiques des poteries locales et des poteries philistines du niveau Acr-III par rapport à celles des deux niveaux précédents sont sensibles. Parmi les poteries locales, elles s'observent particulièrement sur les bols de type BL 1A.2b, 2A.1, 2B.1, 2D.2 et 2D.3, les cratères de type KR 1A.1b, les marmites à bord vertical de type CP 3A–C et les jarres à col court vertical de type JR A1. Parmi les poteries philistines, les bols à paroi sinueuse et les cratères en forme de cloche se maintiennent sans changement morphologique notable. Ces formes caractéristiques du Fer I subsistent jusqu'à la fin de la période. On notera en outre que certaines traditions du BR II demeurent vivaces : ainsi, les profils de quelques cols de cruche (**Fig. 10.18:6,17**) ressemblent à leurs antécédents du BR II (**Figs 7.3:9** ; **7.6:9**) ; de même, les décors de palmier, fréquents au Bronze récent, se retrouvent encore à l'intérieur de bols ou de cratères (**Fig. 10.20:17**).

Ces continuités typologiques évidentes n'excluent pas des évolutions plus discrètes. Les bols à profil sinueux (BL 1C.1–2, 2D.2) développent une sinuosité plus marquée, les marmites à bord incurvé (CP 4) font leur apparition, les jarres acquièrent leur morphologie propre au Fer I (**Figs 10.15–10.16**, **10.19**), et la céramique bichrome philistine est caractéristique du Fer IB classique. La céramique à engobe rouge lustré est présente au niveau Acr-III mais en proportions limitées, sans commune mesure avec celle de sites tels que Tel Qasile. Au point de vue technologique, il semble que l'usage du tour tend à régresser et

[33] Killebrew 1998, pp. 397–398 ; 2005.
[34] Goren 2016.
[35] Ben Shlomo 2009.

que le montage aux colombins se développe, mais on constate en même temps que la proportion des poteries grossières diminue.

Enfin, on enregistre au niveau Acr-III l'apparition de quelques formes nouvelles, en particulier les bols de type BL 1E.2 (**Fig. 10.17:17**) et les cratères à bord rentrant de type KR 1E.1 (**Fig. 10.18:1**) ou à bord vertical proches du type KR 1A.2a (**Fig. 10.20:7**), auxquels s'ajoute la cruche de type JG 1A (**Fig. 10.13:2**).

L'ensemble de ces observations contribuent à dater l'occupation du niveau Acr-III au XIe siècle et au tout début du Xe siècle, soit dans la seconde moitié du Fer IB (**Tableau 24.1**), et à la situer nettement dans l'environnement culturel cananéen de la Shéphélah qui, à cette époque, poursuit encore une tradition ancrée dans le Bronze récent, voire même le Bronze moyen.

Références

Aharoni, Y.
1975 *Investigations at Lachish, the Sanctuary and the Residency (Lachish V)* (Tel Aviv University, Publications of the Institute of Archaeology No. 4). Tel Aviv : Gateway Publishers.

Albright, W. F.
1932 *The Excavations at Tell Beit Mirsim. Vol. I. The Pottery of the First Three Campaigns* (Annual of the American Schools of Oriental Research 12). Cambridge, MA : ASOR.

Amiran, R.
1970 *Ancient Pottery in the Holy Land.* Jérusalem : Masada.

Barako, T. J.
2008 "Amphoras Through the Ages," in *Ashkelon 1, Introduction and Overview (1985–2006)*, edited by L. E. Stager, J. D. Schloen and D. M. Master, pp. 429–461. Winona Lake, IN : Eisenbrauns.

Ben-Shlomo, D.
2005 "Material Culture," in *Ashdod VI, Excavation of Areas H and K (1968–1969)* (IAA Reports 24), edited by M. Dothan and D. Ben-Shlomo, pp. 63–246. Jerusalem : Israel Antiquities Authority.
2008 "The Cemetery of Azor and Early Iron Age Burial Practices," *Levant* 40 : 29–54.
2009 "Petrographic Analysis of Iron Age Pottery," in *Khirbet Qeiyafa*, Vol. 1, *Excavation report 2007–2008*, edited by Y. Garfinkel and S. Ganor, pp. 161–173. Jerusalem : Israel Exploration Society and Institute of Archaeology, The Hebrew University of Jerusalem.
2010 *Philistine Iconography : A Wealth of Style and Symbolism* (Orbis Biblicus et Orientalis 241). Fribourg : Academic Press / Göttingen : Vandenhoeck & Ruprecht.

Ben-Shlomo, D. and Dothan, T.
2017 "Iron Age I Ceramic Small Finds, Lithic Seals, and Clay Sealings," in *Tel Miqne–Ekron Excavations 1985–1988, 1990, 1992–1995, Field IV Lower–The Elite Zone.* Part 1. *The Iron Age I Early Philistine City*, edited by T. Dothan, Y. Garfinkel and S. Gitin, pp. 441–462. Winona Lake, IN : Eisenbrauns.

Bunimovitz, S. and Lederman, Z.
2016a "A Peasant Community on the Philistine Border, Levels 6–4: Iron I ca. 1150–950 BCE," in *Tel Beth-Shemesh, A Border Community in Judah, Renewed Excavations 1990–2000 : The Iron Age*. Vol. 1 (Tel Aviv University Sonia and Marco Nadler Institute of Archaeology Monograph Series No. 34), edited by S. Bunimovitz and Z. Lederman, pp. 159–245. Tel Aviv : Emery and Claire Yass Publications in Archaeology.
2016b "Royal Intervention: From Village to Administrative Center, Level 3: Iron IIA ca. 950–790 BCE," in *Tel Beth-Shemesh, A Border Community in Judah, Renewed Excavations 1990–2000 : The Iron Age*. Vol. 1 (Tel Aviv University Sonia and Marco Nadler Institute of Archaeology Monograph Series No. 34), edited by S. Bunimovitz and Z. Lederman, pp. 281–388. Tel Aviv : Emery and Claire Yass Publications in Archaeology.

BUNIMOVITZ, S. and ZIMHONI, O.
1993 "'Lamp and Bowl' Foundation Deposits in Canaan," *Israel Exploration Journal* 43 : 99–125.
DEVER, W. G., LANCE, H. D., BULLARD, R. G., COLE, D. P. and SEGER, J. D.
1974 *Gezer II: Report of the 1967–70 Seasons in Fields I and II* (Annual of the Hebrew Union College / Nelson Glueck School of Biblical Archaeology). Jerusalem : HUC / NGSBA.
DEVER, W. G. *et al.*
1986 *Gezer IV: The 1969–71 Seasons in Field VI, the « Acropolis »* (Annual of the Hebrew Union College / Nelson Glueck School of Biblical Archaeology). Jerusalem : HUC / NGSBA.
DAGAN, Y.
2010 *The Ramat Bet Shemesh Regional Project: The Gazetteer* (IAA Reports No. 46). Jerusalem : Israel Antiquities Authority.
DOTHAN, M.
1971 *Ashdod II–III* ('Atiqot IX–X). Jerusalem : Department of Antiquities and Museums.
DOTHAN, M. and PORAT, Y.
1993 *Ashdod V. Excavation of Area G. The Fourth–Sixth Seasons of Excavations 1968–1970*. ('Atiqot XXIII). Jerusalem : Israel Antiquities Authority.
DOTHAN, T. and ZUKERMAN, S.
2015 "Iron Age I: Philistia," in *The Ancient Pottery of Israel and Its Neighbors, from the Iron Age through the Hellenistic Period,* edited by S. Gitin, pp. 71–96. Jerusalem : Israel Exploration Society, W. F. Albright Institute of Archaeological Research, Israel Antiquities Authority and American Schools of Oriental Research.
EDELSTEIN, G. and AURANT, S.
1993 "The 'Philistine' Tomb at Tell 'Eitun," '*Atiqot* XXI : 23–41.
FINKELSTEIN, I.
1986 *Izbet Sartah. An Early Iron Age Site near Rosh Ha'ayin, Israel* (BAR International Series 299). Oxford : British Archaeological Reports.
1990 "Excavations at Khirbet ed-Dawwara: an Iron Age Site Northeast of Jerusalem," *Tel Aviv* 17 : 163–208.
FINKELSTEIN, I., BUNIMOVITZ, S. and LEDERMAN, Z.
1993 *Shiloh, The Archaeology of a Biblical Site* (Monographs of the Institute of Archaeology No. 10). Tel Aviv : Tel Aviv University.
FRITZ, V. and KEMPINSKI, A.
1983 *Ergebnisse der Ausgrabungen auf der Ḫirbet el-Msas (Tel Masos)* (Abhandlungen des Deutschen Palästina-Vereins). Wiesbaden : Harrassowitz.
GARFINKEL, Y.
2017 "The Ethnic Identification of Khirbet Qeiyafa: Why It Matters," in *The Wide Lens in Archaeology, Honoring Brian Hesse's Contributions to Anthropological Archaeology*, edited by J. Lev-Tov, P. Hesse and A. Gilbert, pp. 149–167. Atlanta : Lockwood Press.
GARFINKEL, Y. and GANOR, S.
2009 *Khirbet Qeiyafa.* Vol. 1. *Excavation Report 2007–2008*. Jerusalem: Israel Exploration Society and Institute of Archaeology, the Hebrew University of Jerusalem.
2017 "Khirbet el-Rai: an Iron Age Site in Judean Shephelah," *New Studies on Jerusalem* 22 : 53–66 (en hébreu).
GOREN, Y.
2016 "Petrographic Analysis of Selected 'Philistine Ware' Vessels", in *Tel Beth-Shemesh, A Border Community in Judah, Renewed Excavations 1990–2000: The Iron Age*. Vol. 1 (Tel Aviv University Sonia and Marco Nadler Institute of Archaeology Monograph Series No. 34), edited by S. Bunimovitz and Z. Lederman, p. 246. Tel Aviv : Emery and Claire Yass Publications in Archaeology.
GRANT, E.
1934 *Rumeileh, Being Ain Shems Excavations (Palestine)*. Part III. Haverford : Haverford College.
GRANT, E. and WRIGHT, G. E.
1938 *Ain Shems Excavations.* Part IV *(Pottery)*. Haverford : Haverford College
GREENBERG, R.
1987 "New Light on the Early Iron Age at Tell Beit Mirsim," *Bulletin of the American Schools of Oriental Research* 265 : 55–80.

JACOBS, P. F. and SEGER, J. D.
2017 *Lahav VI, Excavations in Field I at Tell Halif, 1976–1999, The Early Bronze III to Late Arabic Strata*. Reports of the Lahav Research Project Excavations at Tell Halif, Israel, Vol. VI. Winona Lake, IN : Eisenbrauns.
KANG, H.-G. and GARFINKEL, Y.
2009 "The Early Iron Age IIA Pottery," in *Khirbet Qeiyafa,* Vol. 1. *Excavation Report 2007–2008,* edited by Y. Garfinkel and S. Ganor, pp. 119–149. Jerusalem: Israel Exploration Society and Institute of Archaeology, the Hebrew University of Jerusalem.
2015 "Finger-impressed jar handles at Khirtbet Qeiyafa: New light on administration in the kingdom of Judah," *Levant* 47 : 186–205.
KILLEBREW, A.
1998 "Ceramic Typology and Technology of Late Bronze II and Iron I Assemblages from Tel Miqne-Ekron: the Transition from Canaanite to Philistine Culture," in *Mediterranean Peoples in Transition. Thirteenth to Early Tenth Centuries BCE*, edited by S. Gitin, A. Mazar and E. Stern, pp. 379–405. Jerusalem : Israel Exploration Society.
2005 *Biblical Peoples and Ethnicity. An Archaeological Study of Egyptians, Canaanites, Philistines and Early Israel 1300–1100 B.C.E.* (Society of Biblical Literature, Archaeology and Biblical Studies No. 9). Atlanta : SBL.
KLEIMAN, S., GADOT, Y. and LIPSCHITS, O.
2016 "A Snapshot of the Destruction Layer of Tell Zakarīye/Azekah Seen Against the Backdrop of the Final Days of the Late Bronze Age." *Zeitschrift des Deutschen Palästina-Vereins* 132(2) : 105–133.
KOCHAVI, M.
1974 "Khirbet Rabud = Debir," *Tel Aviv* 1 : 2–33.
LEHMANN, G., ROSEN, S. A., BERLEJUNG, A. and NIEMANN, H. M.
2009 "Ausgrabungen in *Qubūr el-Walēyide*, Israel, 2007–2008, Vorbericht," *Zeitschrift des Deutschen Palästina-Vereins* 125 : 1–28.
MAZAR, A.
1985 *Excavations at Tel Qasile.* Part Two. *The Philistine Sanctuary: Various Finds, the Pottery, Conclusions, Appendices* (Qedem, Monographs of the Institute of Archaeology 20). Jerusalem : Institute of Archaeology, Hebrew University of Jerusalem.
PANITZ-COHEN, N.
2009 "Technological Change and Continuity in the Organization of Ceramic Production at Tel Batash in the Second Millennium BCE," in *Techniques and People, Anthropological Perspectives on Technology in the Archaeology of the Proto-Historic and Early Historic Periods in the Southern Levant* (Mémoires et Travaux du Centre de Recherche Français à Jérusalem 9), edited by S. A. Rosen and V. Roux, pp. 213–231. Paris : De Boccard.
RAST, W.
1978 *Taanach I. Studies in the Iron Age Pottery*. Cambridge : American Schools or Oriental Research.
SINGER-AVITZ, L.
2010 "The Relative Chronology of Khirbet Qeiyafa," *Tel Aviv* 37 : 79–83.
USSISHKIN, D.
2004 "The Level VI Pottery from Areas D and GE," in *The Renewed Excavations at Lachish (1973–1994)*. Vol. III, Chapter 19 (Tel Aviv University Sonia and Marco Nadler Institute of Archaeology Monograph Series No. 22), edited by D. Ussishkin, pp. 1235–1242. Tel Aviv : Emery and Claire Yass Publications in Archaeology.
YADIN, Y. and GEVA, H.
1986 *Investigations at Beth-Shan. The Early Iron Age Strata* (Qedem, Monographs of the Institute of Archaeology 23). Jerusalem : Institute of Archeology, Hebrew University of Jerusalem.
ZUKERMAN, A.
2012 "Iron Age I and Early Iron Age IIA Pottery," in *Tell es-Safi/Gath I: The 1996–2005 Seasons*, Vol. I (Ägypten und Altes Testament, Band 69), edited by A. M. Maeir, pp. 265–311. Wiesbaden : Harrassowitz.
ZUKERMAN, A. and GITIN, S.
2016 "A Typological Analysis of the Iron Age I Ceramic Corpus from Strata VII–IV," in *Tel Miqne–Ekron Excavations 1985–1988, 1990, 1992–1995, Field IV Lower–The Elite Zone.* Part 1. *The Iron Age I Early Philistine City*, edited by T. Dothan, Y. Garfinkel and S. Gitin, pp. 127–416. Winona Lake, IN : Eisenbrauns.

Figure 10.12

N°	Type	N° objet	Locus	Description	Comparaisons
1	BL 1A.2.a	A.9647-1	1147 / 1149	Bord de bol. Céram. assez fine à dégr. min. fin. Section brune. Surf. brun-clair. Bande de peinture rouge sur bord. Tourné. Cuisson moyenne.	• Qasile XI (Fer I) : Mazar 1985, fig. 28:7.
2	BL 1A.1.a	A.9645-1	1149-sol a	Bol entier. Céram. fine à dégr. min. fin. Section brun-rouge. Surf. int. et ext. brun-rouge clair avec traces de feu sur un côté du bol. Tourné. Bien cuite. **Photos : Figs 3.47 et 10.2:1.**	• Qasile XI (Fer I) : Mazar 1985, fig. 27:1. • Azor cimetière (Fer IB) : Ben-Shlomo 2008, fig. 18:1. • Miqne VII–IV (Fer I) : Zukerman and Gitin 2016, pp. 129–130 (IBL 1). • Beth Shemesh 6–4 (Fer IB) : Bunimovitz and Lederman 2016a, figs 6.40, 6.43 (*BL rnd*). • Lachish VI (BR III/Fer IA) : Aharoni 1975, pl. 39:10. • Halif VIIA (Fer I) : Jacobs and Seger 2017, fig. 4.A.29.
3	BL 1D.2	A.9641-10	1149-1	Bord de bol. Céram. comm. à dégr. min. Surf. brun clair à l'int. et à l'ext. Tourné. Bien cuit.	
4	BL 1C.2	A.9635-7	1149-1	Bord de bol. Céram. comm. à dégr. min. Surf. brun clair. Tourné. Cuisson moyenne.	• Beth-Shemesh 6–4 (Fer IB) : Bunimovitz and Lederman 2016a, p. 189 (*BL cyma*). • Lachish VI (BR III/Fer IA) : Ussishkin 2004, fig. 20.35:12. • Halif VIIA (Fer I) : Jacobs and Seger 2017, fig. 4.A.17:4. • Kh. ed-Dawwara (Fer IB/IIA) : Finkelstein 1990, fig. 14:9.
5	BL 2A.3	A.9650-7	1149-2	Bord de bol. Céram. comm. à dégr. min. Section gris noir au centre. Surf. int. et ext. brun-rouge clair. Tourné. Cuisson assez bonne.	• Beth-Shemesh 6-4 (Fer IB) : Bunimovitz and Lederman 2016a, fig. 6.40 (*BL car*). • Gezer XIII (Fer IB) : Dever *et al.* 1986, pl. 24:4.
6	BL 2D.3	A.9633-2	1149-1	Bord de bol. Céram. comm. à dégr. min. constitué de gros grains. Section brun-rouge. Tourné. Cuisson moyenne.	• Beit Mirsim B1 (BR III/ Fer IA) : Greenberg 1987, fig. 6:4. • Kh. Qeiyafa (début Fer IIA : 10e s.) : Garfinkel and Ganor 2009, fig. 6.8:2.
7	*Cf.* BL 2A.1	A.9638-4	1149-1	Anse sur bord de bol ou de cratère, faite à la main et légèrement ondulée par pression digitales. Céram. comm. à dégr. min. et végét. Section brun-foncé. Couleur brun clair. Cuisson moyenne.	
8	KR 2A	A.9641-2	1149-1	Bord de cratère philistin. Céram. comm. à dégr. min. fin. Section rouge. Int. brun-rouge. Ext. recouvert d'un eng. blanc gris, ainsi que le bord. Décor peint en noir-brun foncé sur l'ext. Tourné. Cuisson moyenne. **Analyse pétrographique : Appendice 1. Photo : Fig. 10.11:5.**	• Qasile XII (Fer I) : Mazar 1985, fig. 16:21. • Ashdod XII (Fer I) : Ben-Shlomo 2005, fig. 3.19:1. • Qubur el-Waleyide (Fer IB) : Lehmann *et al.* 2009, Abb. 11:1.

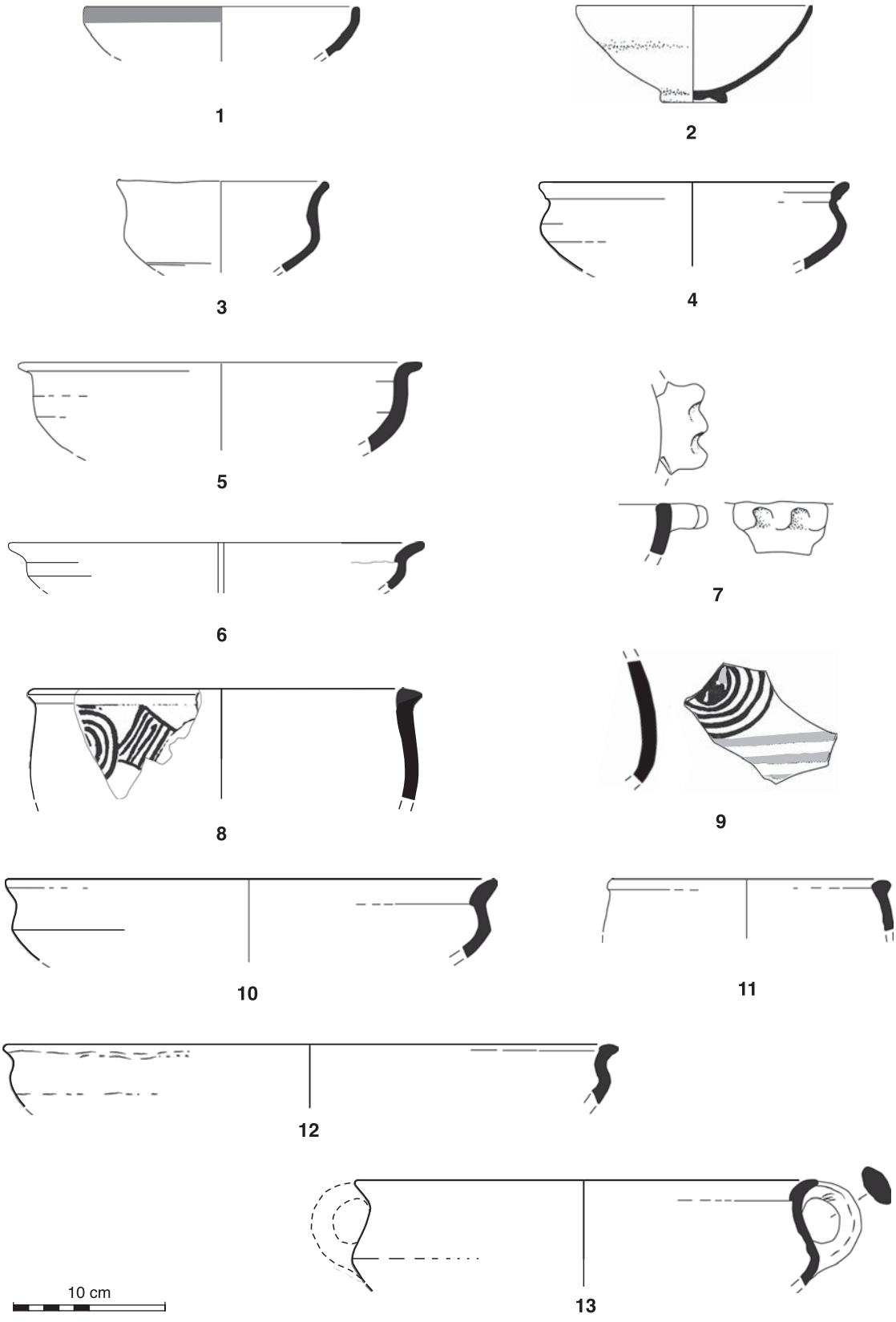


Fig. 10.12. Sondage 2, poterie du niveau Acr-III (Fer IB) : L.1136 et L.1149.

N°	Type	N° objet	Locus	Description	Comparaisons
9	KR	A.9618-8	1136- /	Panse de cratère philistin. Céram. comm. à dégr. min. Section brun-rouge clair. Int. et ext. brun-rouge clair. Décor peint : bandes rouge violacé et spirales en noir. Tourné. Assez bonne cuisson. **Analyse pétrographique : Appendice 1. Photo : Fig. 10.11:6.**	• Qasile XII (Fer I) : Mazar 1985, fig. 17:21. • Miqne VIA (Fer IB) : Zukerman and Gitin 2016 : fig. 5.54:8.
10	KR 1A.1.b	A.9649-8	1149-2	Bord de cratère. Céram. comm. à dégr. min. Surf. brun-rouge clair. Tourné. Cuisson moyenne.	• Kh. el-'Alya (Fer I) : Dagan 2010, fig. 247.5:2–3. • Gezer XIII (Fer IB) : Dever *et al.* 1986, pl. 25:6.
11	KR 1A.2.b	A.9635-4	1149-1	Bord de cratère philistin. Céram. assez fine à dégr. min. fin. Section gris-clair. Int. brun très pâle. Ext. recouvert d'un eng. gris très clair. Tourné. Bonne cuisson.	• Gezer XI (Fer IB) : Dever *et al.* 1974, pl. 30:12.
12	BL 3B	A.9641-15	1149-1	Bord de grand bol. Céram. comm. à dégr. min. Couleur brun clair. Tourné. Cuisson assez bonne.	• Beit Mirsim (Fer I) : Greenberg 1987, fig. 6:19–20. • *Cf.* Halif VIIA (Fer I) : Jacobs and Seger 2017, fig. 4.A.17:4.
13	KR 1A.1.b	A.9649-4	1149-2	Bord de cratère. Céram. comm. à dégr. min. Int. brun-rouge clair. Ext. recouvert irrégulièrement par un eng. gris clair. Tourné. Cuisson moyenne.	• Gezer XIII (Fer IB) : Dever *et al.* 1986, pl. 19:21. • Ashdod XII (Fer I) : Dothan and Porat 1993, fig. 33:15.

Figure 10.13

N°	Type	N° objet	Locus	Description	Comparaisons
1	JT 1B	A.9645-3	1149-sol a	Cruchette. Céram. assez fine à dégr. min. fin. Section rouge-brun clair. Surf. int. et ext. rouge-brun clair. Tournée. Cuisson moyenne. **Photos : Figs 3.47 et 10.9:1.**	• Qasile X (Fer I) : Mazar 1985, fig. 42:4.
2	JG 1A	A.9645-4	1149-sol a	Cruche. Céram. assez fine à dégr. min. fin. Section et int. brun-rouge très pâle. Ext. brun-rouge très pâle avec traces d'eng. rouge. Tourné. Bonne cuisson. **Photos : Figs 3.47 et 10.8.**	• Miqne IVA ("Fer IC", 1050–975) : Zukerman and Gitin 2016, p. 166 (IJUG 8) et fig. 5.110:4–5. • *Cf.* Qasile X (Fer I) : Mazar 1985, fig. 41:7. • *Cf.* Azor cimetière (Fer IB) : Ben-Shlomo 2008, fig. 18:6.
3	JT 2A	A.9641-1	1149-1	Base et panse de cruchette. Céram. comm. à dégr. végét. Section gris foncé. Surf. brun-rouge clair à l'int et brune à l'ext. Montage aux colombins avec reprise du façonnage au tour. Cuisson moyenne.	

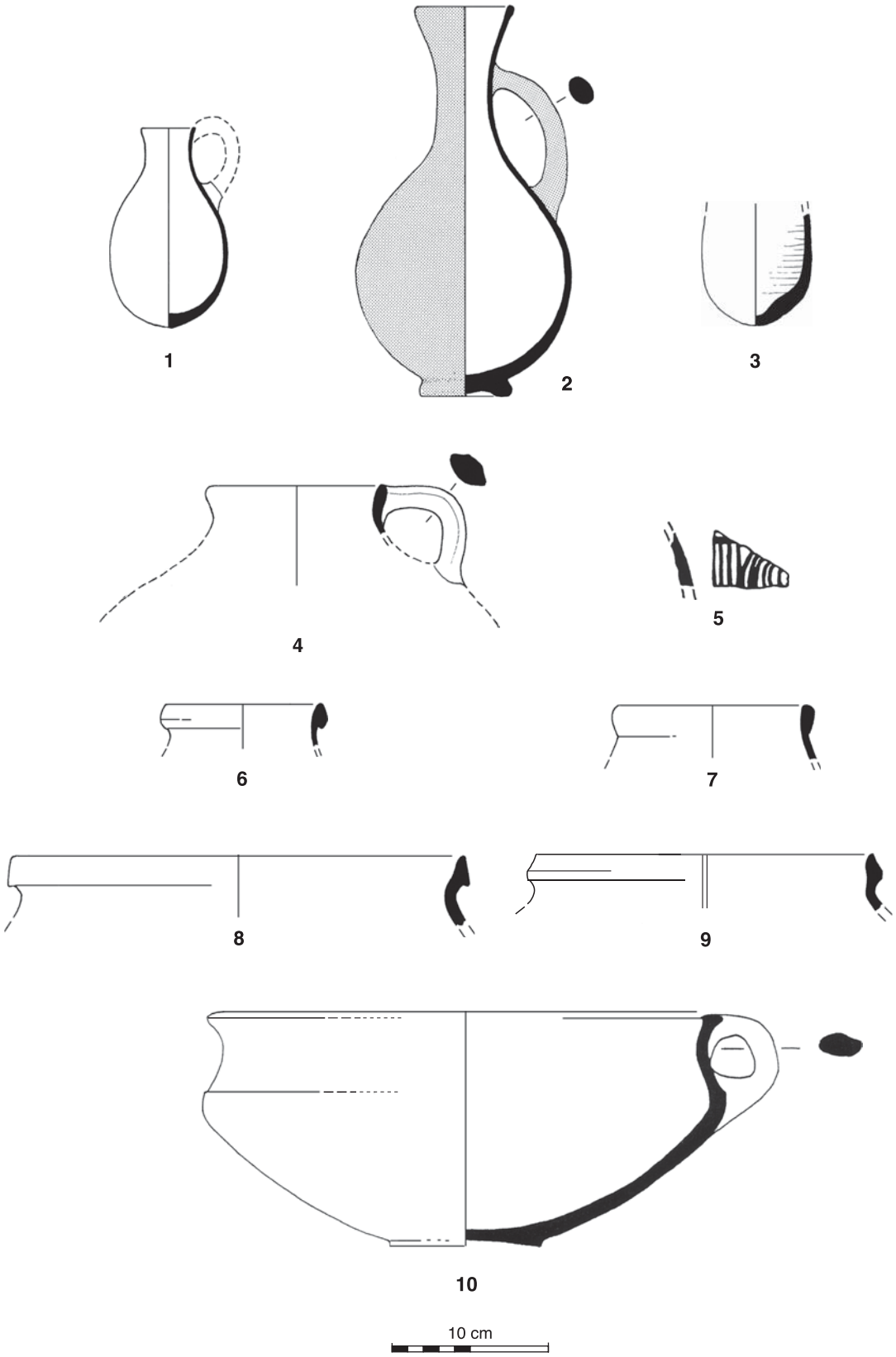


Fig. 10.13. Sondage 2, poterie du niveau Acr-III (Fer IB) : L.1149 (suite).

N°	Type	N° objet	Locus	Description	Comparaisons
4	JG 2C.1	A.9641-5	1149-1	Bord de cruche avec anse. Céram. comm. à dégr. min. Surf. brun clair. Tourné. Cuisson moyenne.	
5	JG ? KR ?	A.9650-1	1149-2	Tesson d'une cruche (ou d'un cratère ?) philistin. Céram. assez fine à dégr. min. Décor de cercles concentriques en noir (décor de spirale ?) et de lignes parallèles en rouge. Tourné. Bien cuit. **Photo : Fig. 10.11:7.**	
6	JR A2.c/ JG 2A.3	A.9645-12	1149-sol a	Bord de jarre ou de cruche. Céram. comm. à dégr. min. Section gris noir. Int. gris sombre. Eng. gris blanc à l'ext. Tourné. Cuisson moyenne.	
7	JR A1.b	A.9650-14	1149-2	Bord de jarre. Céram. comm. à dégr. min. Brun-rouge clair. Tourné. Cuisson moyenne.	
8	CP 2A	A.9648-5	1149-sol a	Bord de marmite. Céram. comm. à dégr. min. avec des grains de calcite. Section grise. Surf. int. et ext. brun-rouge foncé. Tourné. Cuisson moyenne.	
9	CP 3A	A.9641-12	1149-1	Bord de marmite. Céram. comm. à dégr. min. Couleur brun sombre, section gris-noir avec des grains de calcite. Tourné. Cuisson moyenne.	• Qasile XI (Fer I) : Mazar 1985, fig. 25:14.
10	KR 1A.2.a	A.10863-1	1149-1	Cratère complet. Dégr. min. crayeux. Traces de tournage au dessus de la carène. Cuisson assez bonne. **Photo *in situ* : Fig. 3.45.**	• Kh. el-'Alya (Fer I) : Dagan 2010, fig. 247.5:2–3. • Beth Shemesh 6–4 (Fer IB) : Bunimovitz and Lederman 2016a, fig. 6.40 (*KR ldg*). • Kh. Qeiyafa (début Fer IIA : 10e s.) : Garfinkel and Ganor 2009, fig. 6.6:1. • Beit Mirsim B2 (Fer I) : Greenberg 1987, fig. 9:20.

Figure 10.14

N°	Type	N° objet	Locus	Description	Comparaisons
1	JT 1A	A.10914-3	1149-sol a	Cruchette complète. Céram. assez fine à dégr. min. Pas de cœur. Surf. brun clair. Tourné. Bien cuit. Trouvée dans le bol 10914-5. **Photo : Fig. 10.9:3.**	• Qubur el-Waleyide (Fer IB) : Lehmann *et al.* 2009, Abb. 12:5–6.
2	BL 1C.1	A.10914-5	1149-sol a	Bol complet. Céram. comm. à dégr. min. et végét. Cœur gris léger. Surf. brun sombre. Tourné. Bien cuit. Trouvé dans la marmite 10914-1. **Photo : Fig. 10.2:2.**	

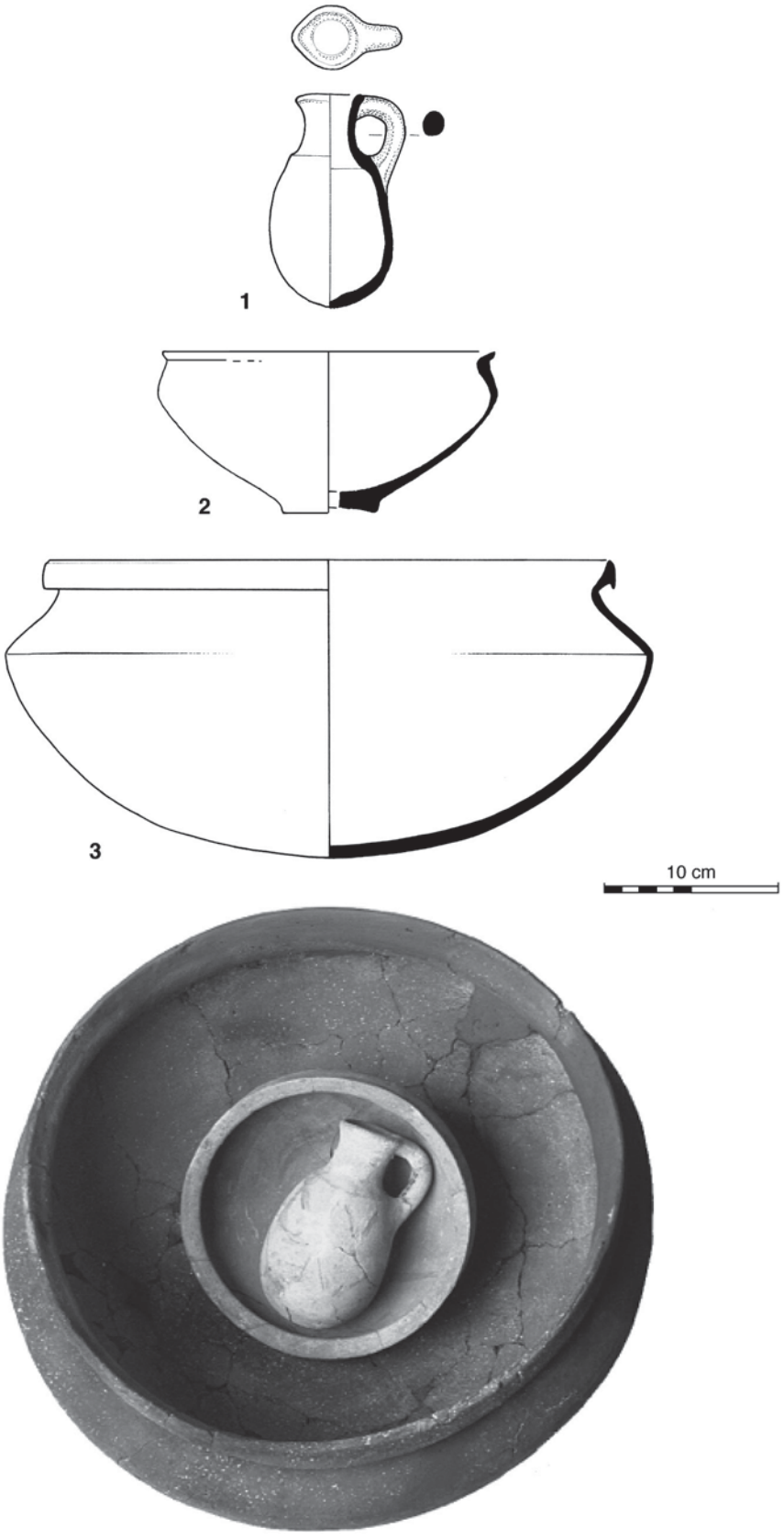


Fig. 10.14. Sondage 2, poterie du niveau Acr-III (Fer IB) : L.1149 (suite). Trois vases trouvés emboîtés (voir Fig. 3.46).

N°	Type	N° objet	Locus	Description	Comparaisons
3	CP 1A	A.10914-1	1149-sol a	Marmite complète qui contenait le bol 10914-5 et la cruchette 10914-4. Céram. assez gross. à dégr. min. calcaire abondant. Pas de cœur. Surf. int. brun-rouge et noir et surf. ext. brun-rouge foncé. Façonnage aux colombins avec reprise au tour. Très cuite. **Photo : Fig. 10.4.**	• Halif VIIIA (BR IIB) : Jacobs and Seger 2017, fig. 3.D.40:8.

Figure 10.15

N°	Type	N° objet	Locus	Description	Comparaisons
1	JR 1.A2.b	A.9721-1	1149-sol a	Petite jarre à deux anses complete. Céram. comm. à dégr. min. Surf. brun clair. Cuisson moyenne. **Photos : Figs 3.47** et **10.5:1.**	
2	JR 1.A2	A.9645-11	1149-sol a	Petite jarre à deux anses, dont une conservée. Céram. comm. à dégr. min. Surf. brun clair. Paroi fine (6 mm) et fond peu épais. Cuisson moyenne. **Photos : Figs 3.47** et **10.5:2.**	
3	JR 2	A.9645-9	1149-sol a	Jarre fragmentaire à deux anses, dont une conservée. Céram. comm. à dégr. min. Surf. brun clair. Cuisson moyenne. **Photo : Fig. 3.47.**	
4	JR 2.A1.a	A.9645-5	1149-sol a	Jarre à deux anses dont une conservée. Céram. comm. à dégr. min. Surf. brun clair. Tourné. Cuisson moyenne. **Photos : Figs 3.47** et **10.5:3.**	• Qasile XI (Fer I) : Mazar 1985, fig. 30:4.
5	JR 2.A1.c	A.9645-2	1149-sol a	Jarre à deux anses dont une conservée. Céram. comm. à dégr. min. Surf. brun clair. Tourné. Cuisson moyenne. **Photos : Figs 3.47** et **10.5:4.**	• Ashkelon XV (Fer I : 2e moitié 11e s.) : Barako 2008, p. 438.
6	JR 2	A.9645-10	1149-sol a	Jarre fragmentaire à deux anses. Céram. comm. à dégr. min. Surf. brun clair. Cuisson moyenne. **Photos : Figs 3.47** et **10.5:5.**	• Gezer XIII (Fer IB) : Dever *et al.* 1986, pl. 26:1.
7	JR 2.A3.a	A.9645-8	1149-sol a	Jarre à deux anses dont une conservée. Céram. comm. à dégr. min. Surf. brun clair. **Photos : Figs 3.47** et **10.5:6.**	
8	JR 2	A.9648-1	1149-sol a	Jarre fragmentaire à deux anses dont une conservée. Céram. comm. à dégr. min. Surf. brun clair. Cuisson moyenne. **Photos : Figs 3.47** et **10.5:7.**	
9	JR 2.A1.b	A.9645-7	1149-sol a	Jarre à deux anses verticales. Céram. comm. à dégr. min. Surf. brun clair. Tourné. Cuisson moyenne. **Photos : Figs 3.47** et **10.5:8.**	

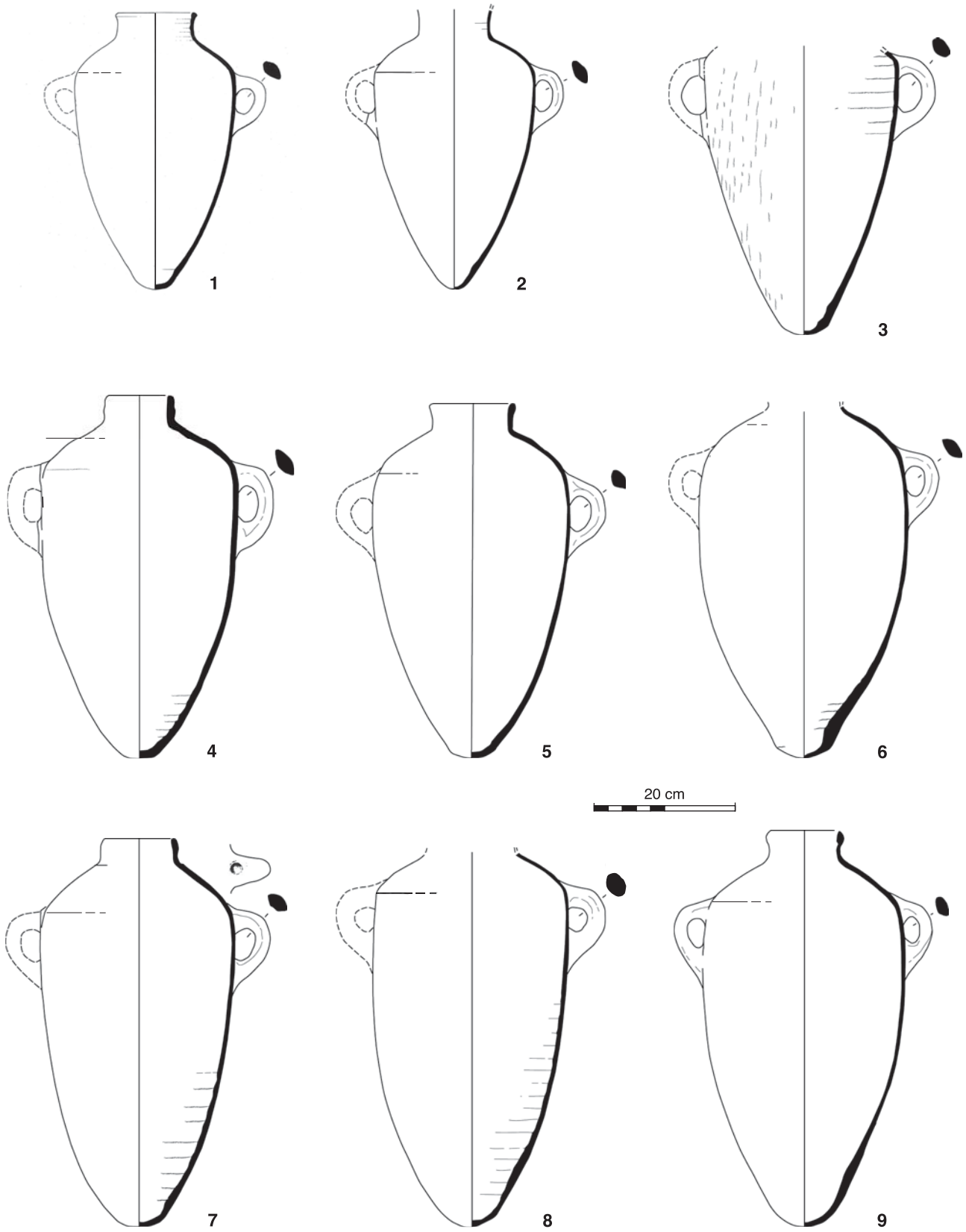


Fig. 10.15. Sondage 2, poterie du niveau Acr-III (Fer IB) : L.1149 (suite). Jarres.

Figure 10.16

N°	Type	N° objet	Locus	Description	Comparaisons
1	JR 1 A1.b	A.10859-1	1149-1	Col et épaule de jarre. Céram. comm. à dégr. min. calcaire. Pas de cœur. Surf. int et ext. beige. Façonnage aux colombins avec reprise au tour. Bonne cuisson.	
2	JR 2	A.10916-1	1149-sol a	Jarre fragmentaire. Céram. comm. à dégr. min. calcaire. Pas de cœur. Surf. int. et ext. beige. Façonnage aux colombins avec reprise au tour. Bonne cuisson.	
3	JR 2	A.10894-1	1149-sol a	Jarre fragmentaire. Céram. comm. à dégr. min. Pas de cœur. Surf. int. et ext. brun-rouge. Façonnage aux colombins avec reprise au tour. Bonne cuisson.	
4	JR 2.A1.b	A.9744-1	1149-sol a	Jarre complète. Céram. assez gross. à dégr. min. Pas de cœur. Surf. brun-rouge à l'int. et brun clair à l'ext. Façonnage aux colombins avec reprise au tour. Cuisson moyenne.	• Kh. Qeiyafa (début Fer IIA : 10e s.) : Garfinkel and Ganor 2009, fig. 6.23:1,4.
5	JR 3.A2.a	A.9645-6	1149-sol a	Grande jarre (pithos) à deux anses dont une conservée. Céram. comm. à dégr. min. Surf. brun clair. Façonnage aux colombins avec reprise au tour. Cuisson moyenne.	• Masos II (Fer I) : Fritz and Kempinski 1983, pls 143:9, 155:3-4. • Kh. Qeiyafa (début Fer IIA : 10e s.) : Garfinkel and Ganor 2009, fig. 6.23:6.

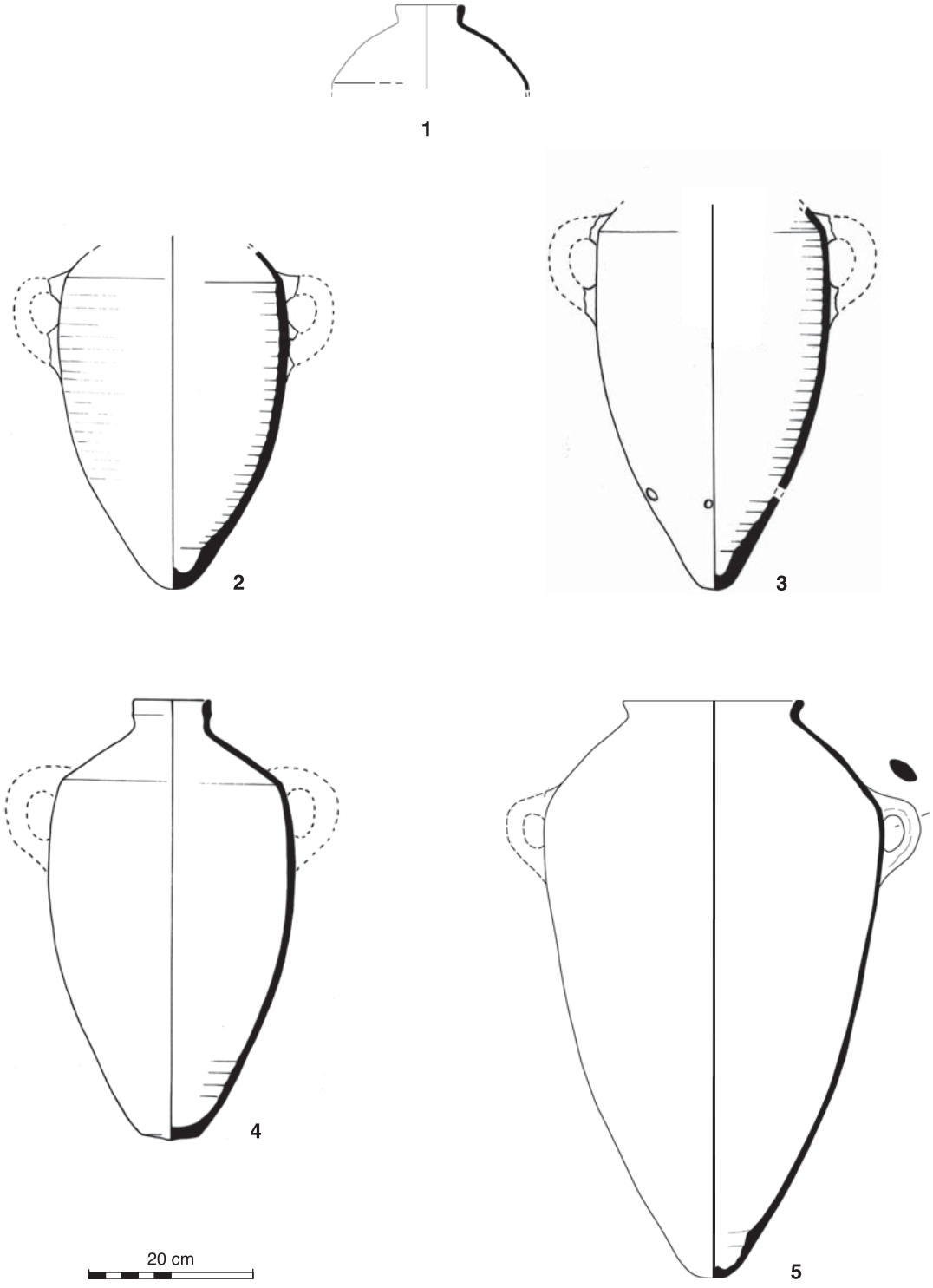


Fig. 10.16. Sondage 2, poterie du niveau Acr-III (Fer IB) : L.1149 (suite et fin). Jarres.

Figure 10.17

N°	Type	N° objet	Locus	Description	Comparaisons
1	BL 1A.2.a	A.9602-8	1130- /	Bord de bol. Céram. fine à dégr. min. Surf. brun pâle. Traces de lissage à l'ext.	
2	BL 1A.1.b	A.9608-4	1130- sol a	Bord de bol. Céram. assez fine à dégr. min. abondant et végét. Surf. rose.	
3	BL 2A.1	A.9626-8	1139- /	Bord de bol. Céram. comm. à dégr. min. Eng. rouge foncé à l'int. et à l'ext. (« *Red-slip burnished* »). Surf. lissée. Tourné. Cuisson moyenne.	• Qasile X (Fer I) : Mazar 1985, fig. 43:14. • *Cf.* 'Eton (Fer I) : Edelstein and Aurant 1993, pls 11–12.
4	BL 1B.2	A.9595-5	1130- /	Bord de bol. Céram. comm. à dégr. min. Eng. rouge pâle à l'int. Eng. beige à l'ext. Tourné. Bonne cuisson.	• Beit Mirsim B2 (Fer I) : Greenberg 1987, fig. 10:15.
5	CH 2	A.9602-7	1130- /	Bord de calice. Céram. comm. à dégr. min. fin. Surf. brun pâle. Traces de lissage interne et externe.	
6	BL 1C.2	A.9595-7	1130- /	Bord de bol. Céram. assez fine à dégr. min. Surf. brun clair. Tourné. Bien cuite.	• Beth Shemesh 6–4 (Fer IB) : Bunimovitz and Lederman 2016a, fig. 6.40 (*BL cyma*). • Gezer XIII (Fer IB) : Dever *et al.* 1986, pls 19:14, 29:6. • Qasile XII (Fer I) : Mazar 1985, fig. 16:20. • Masos II (Fer I) : Fritz and Kempinski 1983, pl. 136:11.
7	BL 1B.2	A.9595-14	1130- /	Bord de bol. Céram. comm. à dégr. min. Surf. brun pâle. Très cuite.	• Lachish VI (BR III/Fer IA) : Ussishkin 2004, fig. 20.36:4. • Qasile XI (Fer I) : Mazar 1985, fig. 27:16.
8	BL 1C.1	A.9626-1	1139- /	Bord de bol. Céram. comm. à dégr. min. et végét. Section brun-gris. Surf. brun-rouge clair. Tourné. Cuisson moyenne.	• Halif VIIA (Fer IB) : Jacobs and Seger 2017, figs 4.A.50:2, 52:2.
9	BL 3A.1	A.9608-5	1130- sol a	Bord de grand bol. Céram. comm. à dégr. min. Surf. brun pâle-rose avec des taches grises. Céram. carbonisée.	• Halif VIIA (Fer I) : Jacobs and Seger 2017, figs 4.A.50:2, 4.A.52:2.
10	BL 2A.1	A.9608-2	1130- sol a	Bord de bol. Céram. comm. à dégr. min. fin. Surf. brun très pâle.	
11	BL	A.9604-10	1130- /	Base de bol. Céram. assez gross. à dégr. min. et végét. Surf. brun très pâle.	
12	BL 1D.2	A.9608-3b	1130- sol a	Bord de bol philistin. Céram. comm. à dégr. min. fin. Section gris foncé. Int. brun foncé. Ext. brun-gris. Décor peint : deux bandes rouge violacé horizontales et une bande noire très effacée. Tourné. Cuisson moyenne. **Analyse pétrographique : voir Appendice 1.**	• Qasile XI (Fer I) : Mazar 1985, fig. 24:11. • Beth Shemesh 6–4 (Fer IB) : Bunimovitz and Lederman 2016a : fig. 6.77:6. • Qubur el-Waleyide (Fer IB) : Lehmann *et al.* 2009, Abb. 11:13. • Halif VIIB2 (Fer I) : Jacobs and Seger 2017, fig. 4.A.9:2.

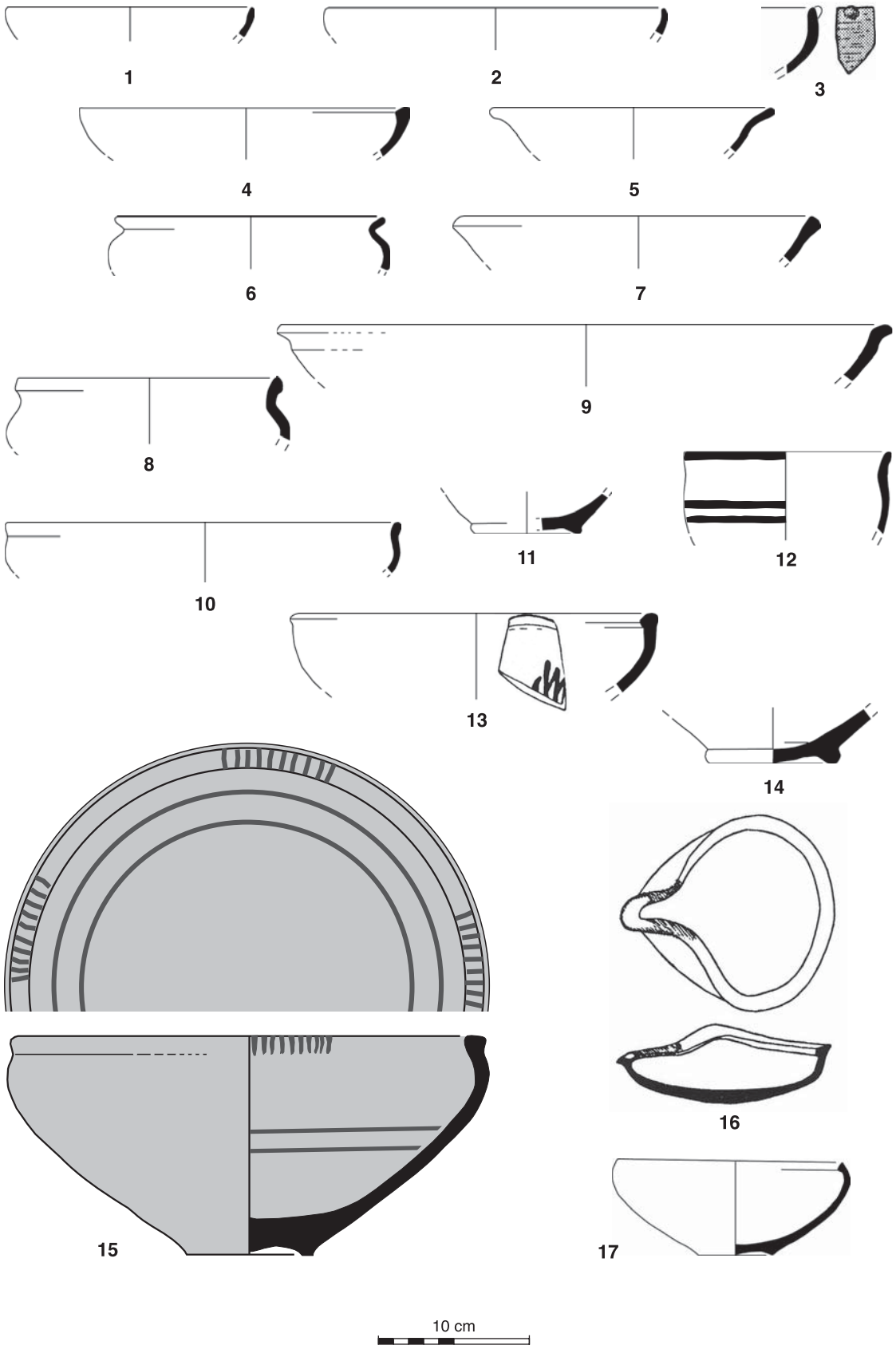


Fig. 10.17. Sondage 2, poterie du niveau Acr-III (Fer IB) : L.1130 et L.1139.

N°	Type	N° objet	Locus	Description	Comparaisons
13	BL 2A.1	A.9598-02	1130- /	Bord de bol. Céram. comm. à dégr. min. Section et surf. brun clair. Décor peint en brun-rouge sur la face interne. Tourné. Cuisson moyenne.	• Qasile XII (Fer I) : Mazar 1985, fig. 12:11. • Kh. Qeiyafa (début Fer IIA : 10e s.) : Garfinkel and Ganor 2009, fig. 6.3:23.
14	KR	A.9603-01	1130- /	Base de cratère. Céram. gross. à dégr. min. gross. Surf. brun pâle-gris, rose sous la base. Taches grises à l'int.	
15	BL 3C.1	A.9608-10	1130- /	Grand bol. Céram. comm. à dégr. min. fin. Eng. rouge à l'int. et à l'ext., décor peint brun-noir. **Photos : Figs 3.50–3.51** et **Fig. 10.3.**	• Qasile XI (Fer I) : Mazar 1985, fig. 18:10. • Azor cimetière (Fer IB) : Ben-Shlomo 2008, fig. 18:3. • Gezer XI (Fer IB) : Dever *et al.* 1974, pl. 30:11. • Lachish (BR) : Amiran 1970, pl. 48:12.
16	LP	A.9609-2	1130- /	Lampe. Céram. comm. à dégr. min. (calcite). Surf. rose. Suie sur le bord et taches grises à l'ext. Très cuite. **Photo : Fig. 10.10.**	• Beth-Shemesh III (Fer I) : Grant 1934, pl. XXIII. • Beth-Shemesh (Fer I) : Grant and Wright 1938, pl. LIX:16 ; Bunimovitz and Zimhoni 1993, fig. 9:3. • Kh. El-'Alya (Fer IB/IIA): Dagan 2010, fig. 247.6:9.
17	BL 1E.2	A.9609-1	1130- /	Bord de bol. Céram. comm. rose à gros dégr. min. (calcite). Traces de lissage à l'ext. Eng. à l'int.? Traces de suie au fond à l'int. et sur le bord à l'ext. **Photo : Fig. 10.2:3** (et *cf.* **Fig. 10.10**).	• Qasile X (Fer I) : Mazar 1985, fig. 39:4. • 'Eton (tombe Fer I) : Edelstein and Aurant 1993, pl. 11:8. • Beit Mirsim B2 (Fer I) : Greenberg 1987, pl. 9:16. • Kh. Qeiyafa (début Fer IIA : 10e s.) : Garfinkel and Ganor 2009, fig. 6.1:10.

Figure 10.18

N°	Type	N° objet	Locus	Description	Comparaisons
1	KR 1E.1	A.9610-4	1130- /	Bord de cratère. Céram. gross. à dégr. min. Surf. rose. Craquelures sur le sommet de l'anse. **Photo de la section : Fig. 6.10:9.**	• Qasile X (Fer I) : Mazar 1985, fig. 44:10.
2	KR 1D	A.9609-3	1130- /	Bord de cratère. Céram. comm. à dégr. végét. Section brun sombre à noir. Int. brun-rouge avec traces de feu. Ext. recouvert d'un eng. gris-blanc avec décor gris foncé (une surf. rectangulaire à gauche de l'anse, un trait à la naissance de l'anse et une bande sous l'anse). Traces de feu à droite de l'anse.	

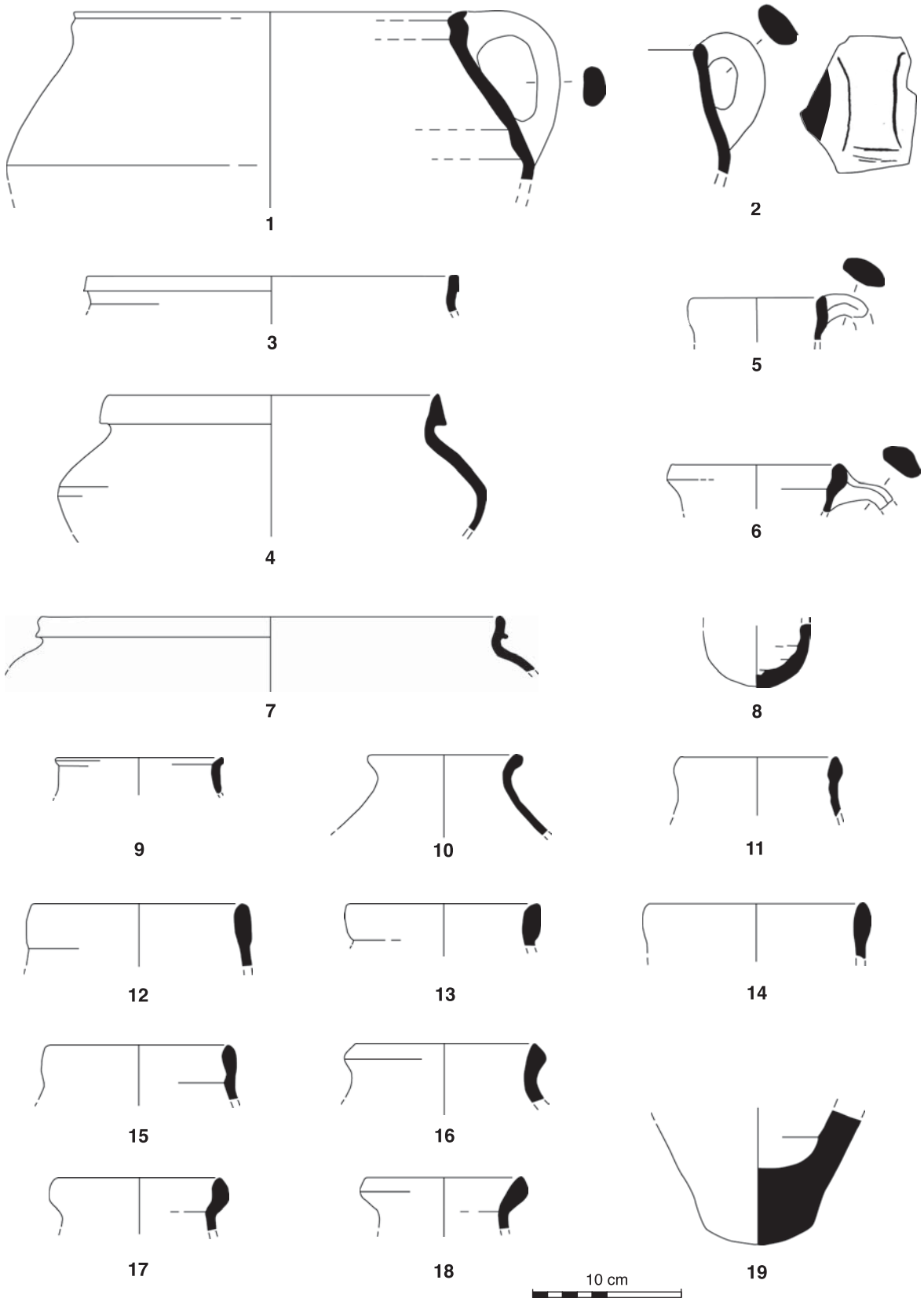


Fig. 10.18. Sondage 2, poterie du niveau Acr-III (Fer IB) : L.1130 (suite).

N°	Type	N° objet	Locus	Description	Comparaisons
3	CP 3C	A.9595-12	1130- /	Bord de marmite. Céram. comm. à dégr. min. Surf. brune. Taches gris-brun à l'ext.	
4	CP 2A	A.9609-1b	1130- /	Bord de marmite. Céram. comm. à gros dégr. min. Section noire à grise. Int. gris foncé presque noir. Ext. brun foncé avec des traces de feu. Tourné. Cuisson moyenne.	• Gezer XIV (BR III/Fer IA) : Dever *et al.* 1974, pl. 25:7. • Taanach IB (Fer I) : Rast 1978, pl. 17:11. • Qasile XI (Fer I) : Mazar 1985, fig. 25:14.
5	JG 2A.1	A.9610-3	1130- /	Col de cruche. Céram. comm. à dégr. min. Section grise. Eng. brun-rouge clair.	• Qasile XI (Fer I) : Mazar 1985, pl. 26:11.
6	JG 2A.1	A.9602-2	1130- /	Fragment d'anse et de bord de cruche. Céram. assez gross. à dégr. min. abondant. Cœur gris. Surf. brun pâle.	• Masos I (Fer I) : Fritz and Kempinski 1983, pl. 132:17. • Kh. Qeiyafa (début Fer IIA : 10e s.) : Garfinkel and Ganor 2009, fig. 6.17:7.
7	CP 2B	A.9599-4	1130- /	Bord de marmite. Céram. assez gross. à dégr. min. abondant et végét. Cœur gris. Surf. brun-rouge. Très cuite.	• Qasile X (Fer I) : Mazar 1985, fig. 44:11.
8	JT 2A	A.9608-3d	1130-sol a	Base de cruchette. Céram. comm. à dégr. min. Cœur et surf. brun clair. Tourné. Cuisson moyenne.	• Gezer XII (Fer IB) : Dever *et al.* 1974, pl. 28:29. • Kh. Qeiyafa (début Fer IIA : 10e s.) : Garfinkel and Ganor 2009, fig. 6.17:2.
9	JG 2B.2	A.9602-5	1130- /	Bord de cruche. Céram. assez fine à dégr. min. très fin. Surf. brun-gris. Restes d'eng. rouge à l'int. du bord.	
10	JG 2C.2	A.9604-11	1130- /	Bord de cruche. Céram. comm. à dégr. min. abondant et végét. Surf. brun pâle à gris. Céram. carbonisée en partie.	
11	JG 2A.3	A.9593-3	1130- /	Bord de cruche. Céram. comm. à dégr. min. assez fin. Section noire. Surf. noire. Tourné. Cuisson moyenne.	• Gezer VIII (Fer II) : Dever *et al.* 1974, pl. 31:2.
12	JR A1.b	A.9602-9	1130- /	Bord de col de jarre. Céram. comm. à dégr. min. et chamotte. Cœur gris. Surf. rose.	
13	JR A1.b	A.9595-13	1130- /	Bord de col de jarre. Céram. comm. à dégr. min. Section et surf. gris clair. Eng. beige à l'ext. sur la lèvre.	
14	JR A1.c	A.9608-1b	1130-sol a	Bord de col de petite jarre. Céram. assez gross. à dégr. min. et végét. Surf. brun pâle.	• Qasile X (Fer I) : Mazar 1985, fig. 43:20.
15	JR A1.b	A.9608-9	1130-sol a	Bord de col de jarre. Céram. comm. à gros dégr. min. et végét. Surf. rouge pâle à l'ext., gris-brun pâle à l'int.	

N°	Type	N° objet	Locus	Description	Comparaisons
16	JG 2A.2 / JR A2.b	A.9595-11	1130- /	Col de cruche ou de jarre. Céram. gross. à dégr. min. (quartz et calcaire) et végét. Surf. brun-gris. Très cuite.	• Qasile X (Fer I) : Mazar 1985, fig. 44:14. • Masos II (Fer I) : Fritz and Kempinski 1983, pls 134:5, 144:9.
17	JG 2A.1	A.9604-7	1130- /	Bord de cruche. Céram. comm. à dégr. min. fin. Surf. brun pâle-rose. Taches de suie sur la lèvre.	• Gezer XV-XIII (BR IIB-Fer I) : Dever *et al.* 1974, pls 24:17, 26:8. • Gezer XIV-XIII (BR III-Fer IB) : Dever *et al.* 1986, pls 17:1, 18:3.
18	JG 2B.3	A.9604-9	1130- /	Bord de petite cruche. Céram. comm. à dégr. min. Surf. brun pâle. Taches brun-gris en surf.	• Beit Mirsim B2 (Fer I) : Greenberg 1987, pl. 10:5.
19	JR	A.9599-1	1130- /	Base de jarre. Céram. très gross. grise, gris foncé par endroits. Finition gross.	

Figure 10.19

N°	Type	N° objet	Locus	Description	Comparaisons
1	JR 2	A.9608-14	1130-sol a	Jarre fragmentaire à deux anses. Céram. comm. à dégr. min. (calcite) abondant. Surf. brun pâle à brun-rouge. Taches gris-rouge à l'ext. **Photos : Figs 3.50-3.51** et **10.6:1.**	
2	JR 2.A2.c	A.9608-13	1130-sol a	Jarre à deux anses. Céram. comm. à gros dégr. min. (calcite) et végét. Taches grises de suie par endroits. **Photos : Figs 3.50-3.51** et **10.6:2.**	• Masos II (Fer I) : Fritz and Kempinski 1983, pl. 148:10.
3	JR 2.A1.b	A.9608-7	1130-sol a	Jarre à deux anses. Céram. assez gross. à dégr. min. et végét. Surf. brun pâle à orange (quelques tessons gris foncé). **Photos : Figs 3.50-3.51** et **10.6:3.**	• Qasile X (Fer I) : Mazar 1985, pls 34:19, 43:20.
4	JR 2.A1.b	A.9608-11	1130-sol a	Jarre à deux anses. Céram. assez gross. à dégr. min. (calcite) et végét. Surf. orange. Taches gris-brun à l'ext. **Photos : Figs 3.50-3.51** et **10.6:4.**	• Kh. Qeiyafa (début Fer IIA : 10e s.) : Garfinkel and Ganor 2009, fig. 6.23:8.
5	JR 2.A2.a	A.9608-15	1130-sol a	Jarre fragmentaire. Céram. comm. à dégr. min. Section grise. Int. gris (traces de feu ?). Ext. brun-rouge avec des traces de feu. Tourné. Cuisson moyenne.	• Qasile X (Fer I) : Mazar 1985, pl. 34:18.
6	JR 2.A3.a	A.9608-3	1130-sol a	Jarre à deux anses. Céram. comm. à dégr. min. Section grise. Surf. grise à l'int. et brun-rouge pâle avec traces de feu à l'ext. Tourné. Cuisson médiocre. **Photos : Figs 3.50-3.51** et **10.6:5.**	• Masos II (Fer I) : Fritz et Kempinski 1983, pl. 148:7. • Kh. Qeiyafa (début Fer IIA : 10e s.) : Garfinkel and Ganor 2009, fig. 6.24:9.
7	JR 2.A2.c	A.9608-8	1130-sol a	Jarre à deux anses. Céram. assez gross. à dégr. min. fin et végét. Surf. brun pâle à gris foncé (fragments carbonisés). **Photos : Figs 3.50-3.51** et **10.6:6.**	• Gezer XIII (Fer IB) : Dever *et al.* 1986, pl. 28:1.
8	JR 2.A1.b	A.10919-1	2334-sol a	Jarre à deux anses complète. Céram. comm. à dégr. min. calcaire. Pas de cœur. Surf. int. et ext. beige clair. Façonnage aux colombins avec reprise au tour. Bonne cuisson. **Photos : Fig. 10.6:7.**	• Qasile X (Fer IB : 11e s.) : Mazar 1985, fig. 48:10.

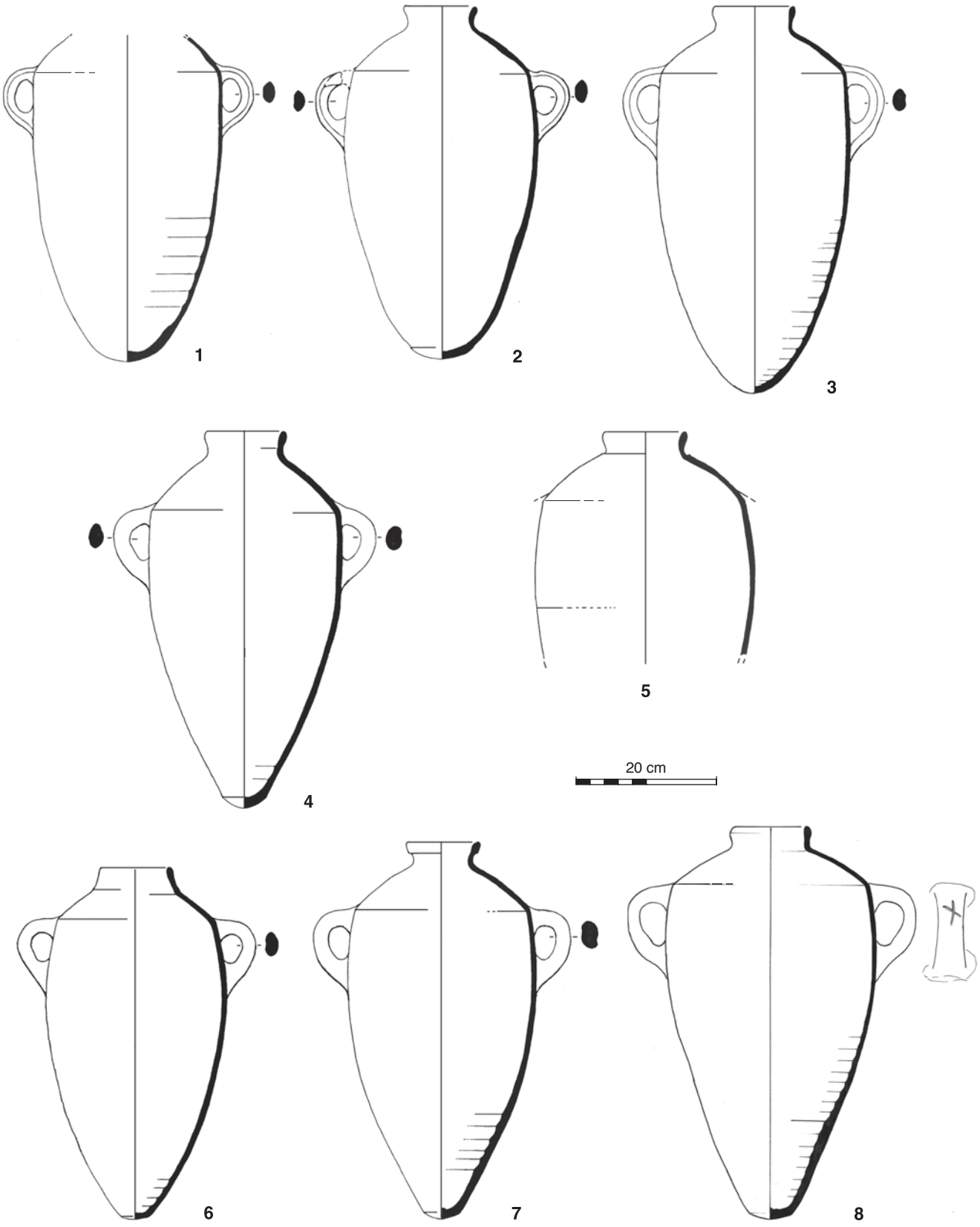


Fig. 10.19. Sondage 2, poterie du niveau Acr-III (Fer IB) : L.1130 (suite et fin), L.2334.

Figure 10.20

N°	Type	N° objet	Locus	Description	Comparaisons
1	BL 1A.2	A.9720-7	1171-sol b	Fragment de bol. Céram. comm. à gros dégr. min. blanc. Section brun-rouge. Int. et ext. brun-rouge clair. Tourné. Bonne cuisson.	
2	BL 1A.2.b	A.9722-7	1171-2	Bord de bol. Céram. comm. à dégr. min. assez gros. Cœur gris. Surf. brun-rouge clair. Tourné. Assez bonne cuisson.	
3	BL 2B.1	A.9710-5	1171- /	Bord de bol. Céram. comm. à dégr. min. Cœur gris. Int. brun pâle. Eng. gris blanc à l'ext. Tourné. Bonne cuisson.	
4	BL 2B.3	A.9706-12	1171-1	Bord de bol. Céram. comm. à dégr. min. assez fin. Cœur gris. Int. brun-rouge pâle. Eng. rouge lustré à l'ext. (*cf.* « *Red-slip burnished* »). Tourné. Bonne cuisson.	• Lachish V (Fer II) : Aharoni 1975, pl. 41:12.
5	JG 2B.4	A.9708-3	1171-sol a	Bord de cruche ? Céram. comm. à dégr. min. Section rouge. Int. rouge clair. Eng. rouge foncé à l'ext. Tourné. Cuisson moyenne. La pâte rappelle celle d'une marmite. Très cuit.	• Gezer XI (Fer IB) : Dever *et al.* 1974, pl. 30:20.
6	CH 1	A.9712-9	1171-sol a	Bord de calice. Céram. comm. à dégr. min. fin. Section brun-rouge. Surf. int. et ext. gris rouge à brun-rouge clair. Tourné. Cuisson moyenne.	
7	*Cf.* KR 1A.2.c	A.9706-14	1171-1	Bord de cratère. Céram. assez gross. à gros dégr. min. Cœur gris. Int. brun-rouge pâle. Eng. gris pâle à l'ext. Tourné. Cuisson médiocre.	• Qasile XI (Fer I) : Mazar 1985 fig. 29:25. • Gezer XIII (Fer IB) : Dever *et al.* 1986, pl. 25:2. • Miqne VIB (Fer IB) : Zukerman and Gitin 2016, fig. 5.25:3.
8	KR 1A.2.a	A.9713-8	1171-2	Bord de cratère. Céram. comm. à dégr. min. Cœur gris sombre. Surf. brun-rouge clair. Une bande de peinture rouge sur le bord. Tourné. Cuisson moyenne.	• Gezer XIII (Fer IB) : Dever *et al.* 1986, pl. 20:17.
9	KR 1A.1b	A.9710-2	1171- /	Bord de bol. Céram. comm. à dégr. min. Cœur gris sombre. Surf. gris-beige. Traces d'une bande de peinture rouge sur le bord. Restes d'une anse annulaire. Tourné. Cuisson moyenne.	• Kh. Rabud LB4 (BR II) : Kochavi 1974, fig. 11:17. • Qasile XII (Fer I) : Mazar 1985, fig. 12:19. • Gezer XIII (Fer IB) : Dever *et al.* 1986, pl. 29:6.

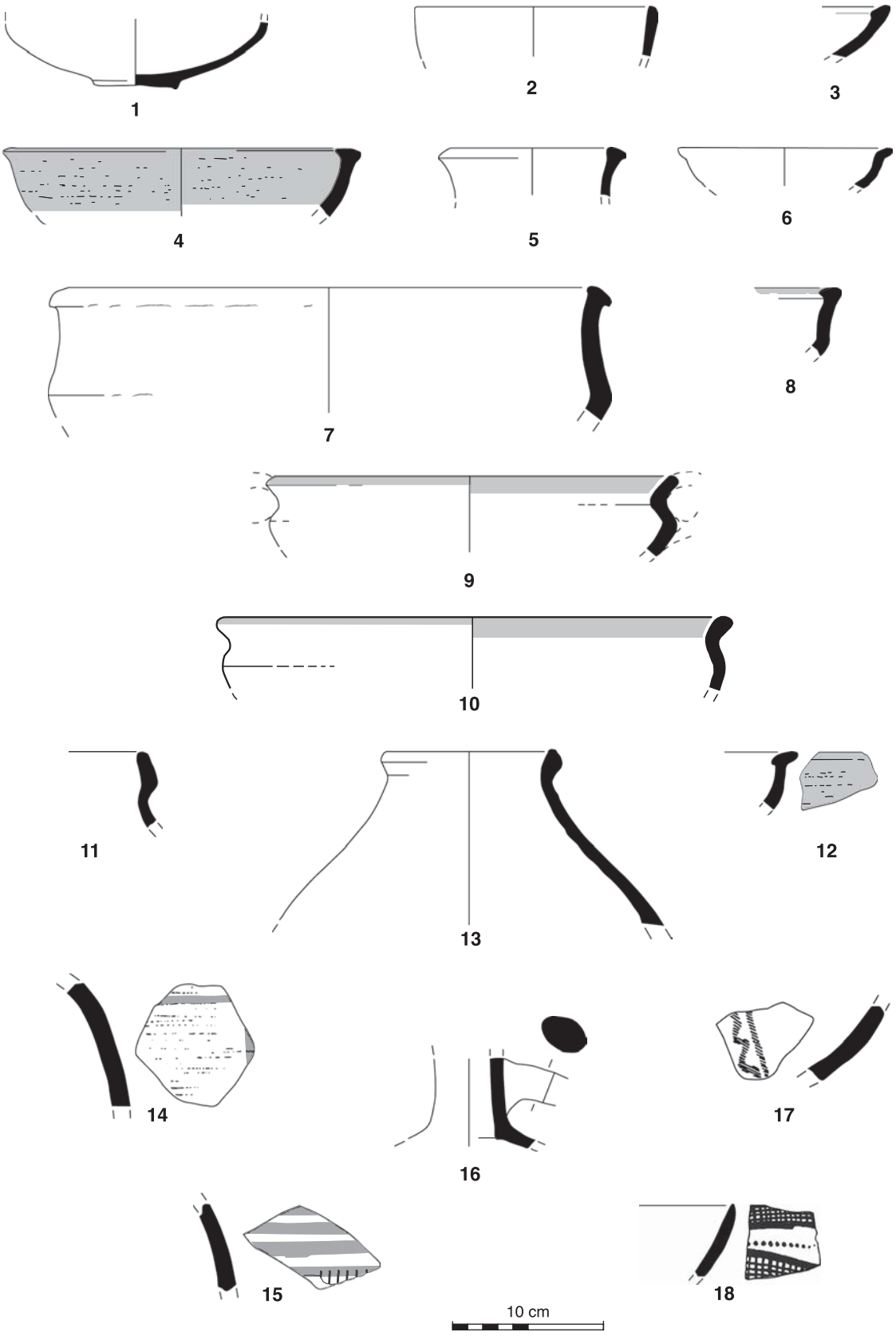


Fig. 10.20. Sondage 2, poterie du niveau Acr-III (Fer IB) : L.1171.

N°	Type	N° objet	Locus	Description	Comparaisons
10	BL 3B	A.9722-2	1171-2	Bord de bol. Céram. comm. à dégr.min. Section grise. Surf. int. et ext. brun-rouge clair. Sur le sommet de la lèvre, une bande de peinture brun violacé. Tourné. Bonne cuisson.	• Qasile XII (Fer I) : Mazar 1985, pl. 12:15. • Gezer XIV (Fer IB) : Dever *et al.* 1986, pl. 22:17.
11	CP 4A	A.9710-4	1171- /	Bord de marmite. Céram. comm. à dégr. min. Section gris à noir. Surf. brun-rouge. Tourné. Cuisson moyenne.	• T. Beit Mirsim B2 (Fer I) : Greenberg 1987, pls 8:21 ; 10:19-20,26. • Gezer XII (Fer IB) : Dever *et al.* 1974, pl. 28:10. • Masos II (Fer I) : Fritz et Kempinski 1983, pl. 136:13.
12	BL 2B.3	A.9712-2	1171- sol a	Bord de bol. Céram. comm. à dégr. min. assez gross. Section gris pâle. Surf. int. et ext. brun-rouge pâle lustré (*cf.* « *Red-slip burnished* »). Tourné. Bonne cuisson.	
13	JG 2C.2	A.9710-1	1171- /	Bord de cruche. Céram. comm. à dégr. min. Section grise. Surf. int. et ext. gris-rouge pâle. Tourné. Cuisson moyenne.	• Masos III (Fer I) : Fritz et Kempinski 1983, pl. 133:14.
14	JG	A.9716-2	1171-2	Fragment de panse de cruche philistine. Céram. comm. à dégr. min. (gros grains). Section brun clair. Int. brun noirci par le feu. Ext. brun clair lustré, avec décor peint d'une bande rouge violacé horizontale et une autre perpendiculaire. Tourné. Cuisson moyenne. **Analyse pétrographique : voir Appendice 1.**	
15	JG ?	A.9712-25	1171- sol a	Fragment de panse de cruche philistine. Céram. comm. à dégr. min. Section brun-rouge. Int. brun gris. Eng. beige clair à l'ext. Décor de bandes rouge-brun horizontales avec de petits traits verticaux noirs. Tourné. Cuisson moyenne. **Analyse pétrographique : voir Appendice 1.**	
16	FL	A.9716-3	1171-2	Fragment de col de gourde. Céram. assez fine à dégr. min. fin. Cœur gris. Int. brun-rouge pâle. Ext. gris-brun. Bonne cuisson.	

N°	Type	N° objet	Locus	Description	Comparaisons
17	BL	A.9715-5	1171-sol a	Fragment de paroi de bol. Céram. comm. à dégr. min. Cœur gris. Eng. brun-rouge clair à l'int. Ext. brun-gris clair. Décor de deux bandes rouges, l'une droite, l'autre ondulée. Tourné.	• Beit Mirsim : Albright 1932, pl. 20:9,13,19.
18	BL	A.9716-1	1171-2	Bord de bol chypriote en « *White slip II, dotted-row style* ». Céram. assez fine à dégr. min. fin, brun clair en section. Eng. brun pâle. Décor ext. brun-rouge foncé. Cuisson assez bonne. **Photo : Fig. 7.2:1.**	

Figure 10.21

N°	Type	N° objet	Locus	Description	Comparaisons
1	JR 3.A2.c	A.9720-1	1171-sol b	Grande jarre complète (pithos) à quatre anses. Céram. comm. brun pâle à dégr. min. Taches grises à l'ext. **Photo : Fig. 10.7.**	• Ashdod XIII (Fer IA) : Dothan 1971, pl. 83:2–3. • Qasile XII-XI (Fer I): Mazar 1985, fig. 26:14. • Gezer 6A (BR IIB : début 12e s.) : Dever *et al.* 1986, pls 26:3 ; 27:1-2. • Azekah (Fer IA) : Kleiman *et al.* 2016, fig. 6.4. • Lachish V (Fer I) : Aharoni 1975, pl. 40:12. • Halif VIIA (Fer I) : Jacobs and Seger 2017, figs 4.A.19–24. • Masos II (Fer I) : Fritz and Kempinski 1983, pl. 155:4. • Izbet Sartah III (BR III/Fer I) : Finkelstein 1986, pl. 9:2.

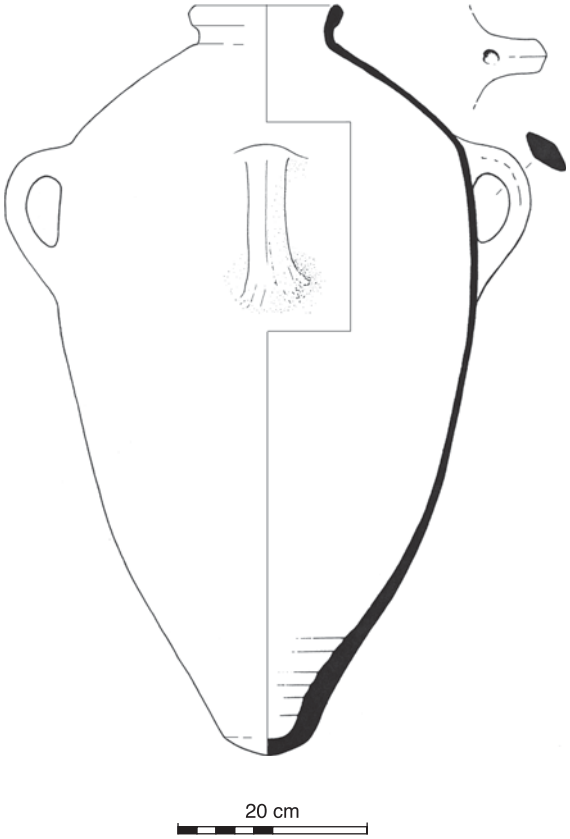


Fig. 10.21. Sondage 2, poterie du niveau Acr-III (Fer IB) : L.1171 (suite et fin).

Figure 10.22

N°	Type	N° objet	Locus	Description	Comparaisons
1	CP 2A	A.9701-4	1166-2	Bord de marmite. Céram. comm. à dégr. min. assez gross. Section rouge à cœur noir. Surf. brun-rouge à l'int. et brun-rouge avec eng. gris irrégulier à l'ext. Tourné. Cuisson médiocre.	• Gezer XIII (Fer IB) : Dever *et al.* 1986, pl. 24:19. • Masos II (Fer I) : Fritz and Kempinski 1983, pl. 156:9.
2	CP 2B	A.9711-2	1166-3	Bord de marmite. Céram. comm. à dégr. assez gross. Section grise. Surf. brun-rouge clair à l'int., brun-rouge avec taches noires à l'ext. Tourné. Cuisson moyenne.	
3	JR A2.c	A.9711-3	1166-3	Col de jarre. Céram. comm. à dégr. assez gross. Section grise. Surf. int. et ext. brun-rouge clair. Tourné. Cuisson moyenne.	• Kh. Rabud LB4 (BR II) : Kochavi 1974, fig. 4:11.
4	JR A1.c	A.9694-5	1166-1 + sol a	Bord de col de jarre. Céram. comm. à dégr. min. assez fin. Section rose. Eng. beige à l'int. et à l'ext. Tourné. Bonne cuisson.	
5	CH	A.9707-3	1166- /	Base de calice. Céram. comm. à dégr. min. Section noire. Surf. int. brun-rouge avec taches noires (cuisson irrégulière). Eng. brun-rouge clair à l'ext. Tourné. Cuisson moyenne.	• Lachish VI (BR III/Fer IA) : Aharoni 1975, pl. 42:15. • Qasile XI (Fer I) : Mazar 1985, fig. 26:9.
6	CH 2	A.9701-8	1166-2	Bord de calice. Céram. comm. à dégr. min. assez gross. Section gris-noir. Surf. brun-rouge clair à l'int. et gris-brun clair à l'ext. Trace de feu sur le bord. Tourné. Cuisson moyenne.	• Qasile XI (Fer I) : Mazar 1985, fig. 26:9. • Kh. Qeiyafa (début Fer IIA : 10e s.) : Garfinkel and Ganor 2009, fig. 6.8:2.
7	JT 1B	A.9694-1	1166-1 + sol a	Cruchette. Céram. comm. à dégr. min. Section grise. Surf. int. et ext. brun-rouge sombre. Tourné. Cuisson moyenne. **Photo : Fig. 10.9:2.**	• Qasile XI (Fer I) : Mazar 1985, fig. 20:10.

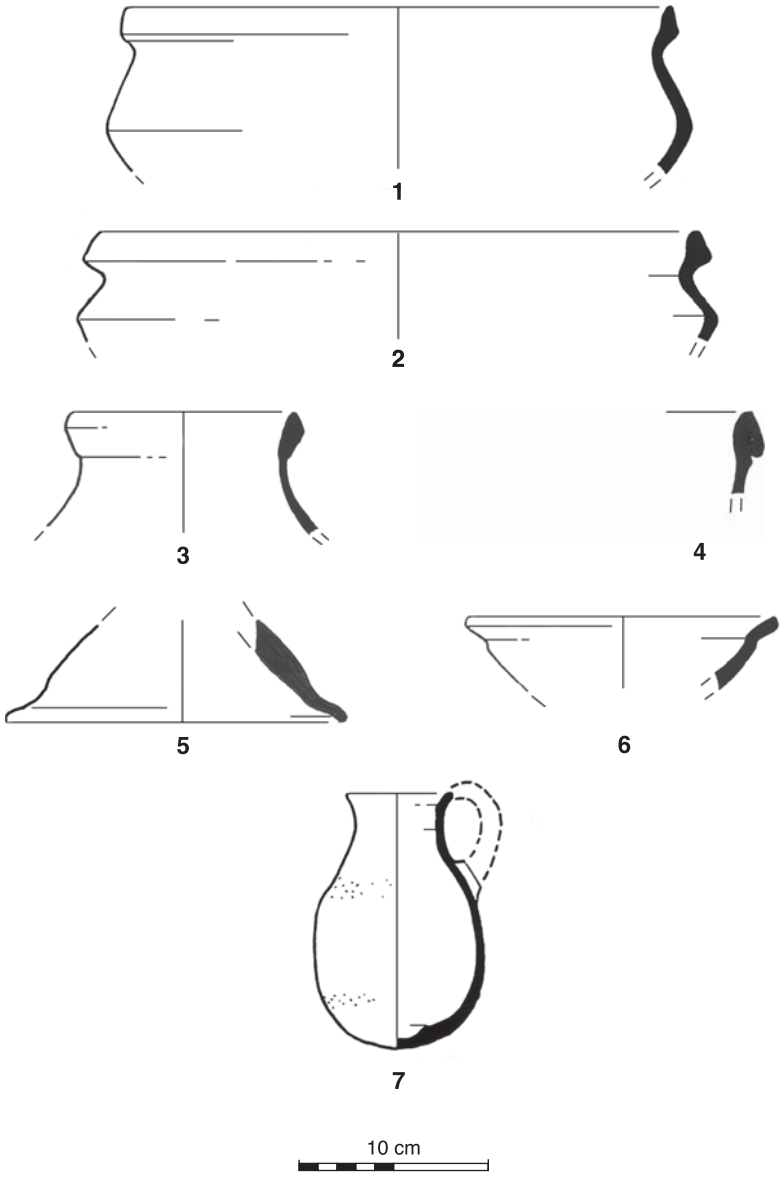


Fig. 10.22. Sondage 2, poterie du niveau Acr-III (Fer IB) : L.1166.

Chapitre 11

LA POTERIE DU NIVEAU ACR-II : DU FER II À L'ÉPOQUE PERSE (Xe–IVe siècles av. n. è.)

Michaël JASMIN

Les couches attribuées au niveau Acr-II ne sont pas des couches d'occupation *stricto sensu* (**Fig. 3.6** et § 3.8) : ce sont des couches de remblai et d'érosion qui renferment un mobilier peu homogène. En dépit de sa médiocre qualité stratigraphique, celui-ci est en quantité suffisante pour que l'on puisse cerner les limites chronologiques de ce niveau, qui couvre globalement les deux tiers du Ier millénaire avant notre ère et qui correspond principalement à deux périodes : la fin du Fer IB/Fer IIA(–B?) pour le sous-niveau Acr-IIB ; le Fer IIC et surtout la période perse pour le sous-niveau Acr-IIA (**Tableau 3.1**).

Au point de vue stratigraphique, la distinction entre ces deux sous-niveaux est déterminée par le mur 1118B (**Figs 3.4** et **3.53**). En BC–BD 116, les couches de remblai du sous-niveau Acr-IIB (L. 2320) ont, semble-t-il, été protégées de l'érosion du fait de la présence du mur M.1118B. En revanche, en BB 116, au sud-ouest du mur M.1118B, l'érosion et les aménagements de la pente intervenus à la période romaine ont détruit les vestiges du sous-niveau Acr-IIA dont ne subsistent en partie, dans les limites de l'espace fouillé, que la couche 1119 et le sol sous-jacent (L.1140).

11.1. La poterie du niveau Acr-IIB

La quantité de poterie recueillie dans les couches 2320-2 et 2320-1 du sous-niveau Acr-IIB en BC-BD 116 est insuffisante pour distinguer des catégories de céramique bien définies et pour établir une typologie précise, comme c'est le cas pour les niveaux antérieurs. En dépit d'évidentes intrusions, elle présente une certaine homogénéité, en particulier des similitudes marquées pour quelques types de bols, de cratères et de jarres. Elle compte quelques formes caractéristiques du Fer IB final et du Fer IIA, ainsi que quelques tessons de céramique bichrome philistine tardive. On notera également l'absence de poterie à engobe rouge lustré.

11.1.1. La céramique de tradition locale

11.1.1.1. *Bols*

Les bols les plus fréquents ont un profil caréné ou sinueux. Les premiers se rencontrent surtout dans la couche 2320-2 (**Fig. 11.3:3–5**) ; certains présentent une lèvre en « T » qui rappelle celle de cratères des niveau Acr-IV (**Fig. 9.6:6**) et Acr-III (**Figs 10.12:13** ; **10.13:10**) et dont on connaît des équivalents au Fer I/II à Qasile X. Les bols à profil sinueux (« *cyma*

profile ») sont bien représentés dans la couche 2320-1 (**Fig. 11.5**:**4–6**) ; ils poursuivent la tradition des bols du Fer IB des niveaux Acr-IV/III de Tel Yarmouth (**Figs 9.8**:**1** ; **10.12**:**4–5** ; **10.17**:**6**,**8**) et d'autres sites contemporains, notamment à Tell es-Safi[1].

Des formes plus rares sont illustrées par de petits bols à carène arrondie, bord vertical et lèvre ronde ou biseautée (**Fig. 11.3**:**1–2**) mis au jour dans la couche 2320-2 ; ils participent d'une tradition de la fin du Fer I représentée sur d'autres sites comme Tel Qasile ou Lachish et sont caractéristiques des XIe–Xe siècles (Khirbet Qeiyafa IV, Beth Shemesh 4), voire du IXe siècle[2].

On signalera encore de grands bols à paroi évasée avec une lèvre en amande et une petite carène (**Fig. 11.3**:**7**), ou bien à paroi épaisse terminée par une lèvre oblique vers l'extérieur (**Fig. 11.3**:**8**), qui sont des formes plus tardives pour lesquels ont connaît des parallèles datant du VIIIe siècle, notamment à Tel 'Eton. Plus rares sont les bols à paroi évasée et à lèvre simple (**Fig. 11.5**:**1**), ainsi que les bols à bord incurvé et lèvre arrondie (**Fig. 11.5**:**2**) ou à lèvre moulurée (**Fig. 11.5**:**3**) ; ces deux derniers types de bols ont des parallèles en Shéphélah (Gezer, Tel Batash), dans la plaine côtière (Qasile XI) ou au nord de la vallée du Jourdain (Beth-Shean) dans des contextes datés du Xe siècle avant notre ère.

Enfin, on notera que les bases de bol sont très majoritairement discoïdes (14 exemplaires sur 15 dans la couche 2320-2, 7 sur 8 dans la couche 2320-1).

11.1.1.2. *Cratères*

Un type de cratère à rebord sub-vertical et à lèvre « en T » (**Fig. 11.3**:**10**) relève d'une tradition du Fer IB (*cf.* **Figs 8.10**:**12** ; **8.12**:**10** ; **8.13**:**10–12** ; **10.20**:**7**) qui est encore attesté au Fer IIA à Tel Batash D–IVB et à Khirbet Qeiyafa IV[3]. Un cratère avec une lèvre à gros bourrelet externe (**Fig. 11.3**:**9**) a un profil comparable à celui de cratères trouvés dans des sites de la Shéphélah (Tel 'Eton, Lachish, Tel Batash) dans des contextes des Xe–IXe, voire VIIIe siècle avant notre ère. La couche 2320-1 a livré des cratères profil sinueux (**Fig. 11.5**:**10**) ou caréné (**Fig. 11.5**:**8–9**) qui sont proches morphologiquement de bols de ce même niveau Acr-IIB. Ces cratères ont souvent un grand diamètre (**Fig. 11.5**:**9–10**).

Signalons enfin que la grande majorité des bases sont discoïdes (**Fig. 11.6**:**13–14**).

11.1.1.3. *Marmites*

Dans l'ensemble les bords de marmites de ce locus ne présentent pas les profils caractéristiques de la fin du Fer I. La plupart ont un bord vertical ou légèrement évasé, avec le plus souvent une lèvre de section triangulaire plus ou moins épaisse, avec parfois un léger ressaut interne (**Figs 11.3**:**11–13** ; **11.5**:**11–13**). On note également la présence de marmites à ouverture relativement étroite (**Fig. 11.3**:**11**), dont on connaît une forme comparable datée du Xe siècle à Tel Batash.

[1] Zukerman 2012, p. 276, type 310.1.

[2] Sur ce type de bols, voir Bunimovitz and Lederman 2016a, p. 213 (BL rnd rs).

[3] Pour une discussion de ce type de cratère et sa datation controversée, voir Kang 2015, p. 40 ; Singer-Avitz 2010, pp. 80–81, 2016, p. 233.

11.1.1.4. *Jarres et pithoi*

Les jarres comportent surtout des cols verticaux à lèvre simple ou épaissie. L'épaississement de la lèvre est peu marqué, le plus souvent vers l'intérieur (**Figs 11.4**:**1** ; **11.6**:**3**,**5**), parfois vers l'extérieur (**Fig. 11.6**:**1**), ou bien la lèvre est arrondie (**Fig. 11.6**:**6**). Environ 30% des bords de jarres ont une lèvre épaissie en bourrelet ou en bandeau externe peu épais (**Figs 11.4**:**3–4** ; **11.6**:**4**,**7–8**). La majorité relèvent d'un horizon chronologique daté du Xe siècle avant notre ère sur des sites de Judée ou du nord du Néguev. En particulier, les lèvres épaissies vers l'intérieur (**Fig. 11.4**:**1** ; **11.6**:**3**,**5**) sont bien représentées en Shéphélah (Tel Batash, Lachish) dans des niveaux du Xe siècle. Le col à bord épaissi de la **Fig. 11.6**:**2** présente lui aussi des parallèles régionaux bien datés du Fer IIA (Tel Qasile, Tel Batash). On rencontre plus rarement des cols de profil un peu rentrant et à lèvre arrondie et épaissie, une forme classique du Fer IB (**Fig. 11.4**:**2**). Enfin, plusieurs cols de jarre courts et à lèvre épaisse et moulurée (**Fig. 11.4**:**5**), ou bien à large ouverture (**Fig. 11.4**:**9–10**), pourraient être intrusifs car ils évoquent des formes du Bronze moyen.

Les fonds de jarre ont un profil arrondi rappelant ceux du Fer IB du niveau Acr-III (**Fig. 11.4**:**11**, et *cf.* **Figs 10.15–10.16**, **10.19**). Comme c'était le cas au niveau Acr-III, on notera l'absence de fonds de jarre à étroite base plate, si fréquents à Khirbet Qeiyafa[4]. La couche 2320-1 a livré un fond de jarre épais et étroit (**Fig. 11.6**:**15**).

11.1.1.5. *Cruches*

Les cruches sont peu nombreuses dans le locus 2320. Plusieurs présentent un col court un peu évasé avec une lèvre épaissie et arrondi (**Fig. 11.4**:**7**). Les formes classiques à lèvre simple et droite sont rares. Un col de cruche légèrement évasé avec un renflement à mi-hauteur relève d'un type attesté sur plusieurs sites dans des contextes du VIIIe siècle (**Fig. 11.4**:**6**). On signalera encore une cruche à lèvre débordante marquée par un ressaut à l'intérieur (**Fig. 11.6**:**9**), qui pourrait dater du Xe–IXe siècle, ainsi qu'un bec trifolié de cruche ou de cruchette (**Fig. 11.6**:**12**). Toutes les bases de cruche identifiées sont annulaires (**Fig. 11.6**:**11**).

11.1.1.6. *Calices*

Les rares calices présents dans cette couche ont une paroi convexe avec une lèvre éversée (**Fig. 11.3**:**6**) et poursuivent la tradition des calices du Fer IB (*cf.* **Figs 9.6**:**13** ; **10.20**:**6**).

11.1.1.7. *Gobelets*

Un seul tesson de gobelet(?) a été identifié dans la couche 2320-2 (**Fig. 11.4**:**8**), tandis que deux fragments de hauts gobelets à paroi renflée proviennent de la couche 2320-1 (**Figs 11.5**:**7** ; **11.6**:**10**).

[4] Voir Kang and Garfinkel 2009a, figs 6.23:1,3,4–5,10 ; 6.24:10.

11.1.2. La céramique philistine

Six tessons en céramique philistine proviennent du niveau Acr-IIB : quatre ont été recueillis dans la couche 2320-2 (**Fig. 11.7:1,4,6–7**) et deux dans la couche 2320-1 (**Fig. 11.7:2–3**). Un septième tesson (**Fig. 11.7:5**), qui provient d'un contexte stratigraphique incertain (le sommet de la fosse 1174 du niveau Acr.1B), est rattaché au niveau Acr-II par commodité. Ces poteries relèvent principalement de la céramique philistine tardive (« *Philistine 3* » *et* « *Ashdod Ware* »)[5].

11.1.2.1. *Bols*

- *BL 1D.1/2D : Bols à paroi sinueuse*

Un bol philistin à paroi sinueuse (**Fig. 11.7:3**) est comparable à ceux des niveaux précédents (*cf.* **Fig. 9.7:1–3**), mais s'en distingue par des anses annulaires plaquées contre la paroi, presque vestigiales. Les anses de ce type apparaissent dans cette catégorie de céramique au cours du Fer IB, notamment à Ashdod[6], et caractérisent la variété tardive dite « *Philistine 3* » ou « *Philistine debased* ».

Un autre tesson provient d'un bol de profil incertain, probablement sinueux (**Fig. 11.7:1**). Il est décoré d'une bande peinte à la manière des poteries philistines de la phase ultime du développement de cette catégorie de céramique (*Philistine 3*).

- *Bol profond à paroi convexe*

Ce bol fragmentaire à paroi évasée et à lèvre amincie possédait une anse annulaire à attaches horizontales plaquée contre la paroi (**Fig. 11.7:2** = **Fig. 10.11:1**). Les lignes peintes horizontales à l'intérieur comme à l'extérieur sont typiques de la poterie philistine, mais la forme du bol, la position basse de l'anse et la répartition des lignes peintes constituent autant de critères indiquant un stade évolué et tardif de la production bichrome philistine. Enfin, l'engobe brun-rouge (mais non lustré) apparente ce bol à la céramique dite « *Ashdod Ware* » (voir ci-dessous). L'analyse pétrographique de ce bol indique qu'il est originaire de la Shéphélah, d'une région située au sud de la vallée d'Ayalon (voir Appendice 1).

11.1.2.2. *Cratères*

- *KR 2A : Cratère philistin*

Un fragment de cratère philistin à lèvre débordante à sommet convexe oblique vers l'intérieur (**Fig. 11.7:4**), relève de la poterie philistine tardive (« *Philistine 3* »).

[5] Dothan and Zukerman 2015. Pour l'« *Ashdod Ware* », voir ci-dessous.
[6] Dothan 1982, pl. 1:15–16 ; Dothan and Zukerman 2015.

11.1.2.3. Cruches

• *Base de cruche*

Base de cruche à décor de bandes peintes horizontales, brunes et rouge foncé en alternance, sur fond brun très pâle (**Fig. 11.7:5 = Fig. 10.11 :3**).

• *JG 3 : Cruche à anse de panier et bec-verseur*

Deux tessons (**Fig. 11.7:6–7**) proviennent de deux vases différents, mais de même forme générale, à savoir un type de cruche philistine (« *Strainer Jug* ») caractérisées par une panse à double carène plus ou moins marquée, un col moyen évasé à anse de panier, un bec verseur à filtre et une base annulaire. Ce type de cruche est attesté au Fer IB en céramique bichrome philistine, notamment à Ashdod[7] et à Tel Qasile[8], et en contexte de la fin du Fer IB et du début du Fer IIA en céramique philistine rouge peinte, dite « *Ashdod Ware* », notamment à Khirbet Qeiyafa IV, à Tell es-Safi A4 et à Tel Miqne IVA.

Le premier tesson, en céramique bichrome philistine, correspond à un col à anse de panier (**Fig. 11.7:6 = Fig. 10.11:2**). Le col possède une nervure horizontale en faible relief et une lèvre à épaississement interne et externe. Il porte un engobe beige rosé et un décor peint en rouge foncé. L'analyse pétrographique de ce fragment de cruche indique qu'il est aussi originaire de la Shéphélah au sud de la vallée d'Ayalon, comme le bol de la **Fig. 11.7:2** (voir Appendice 1).

Le second fragment appartient au bec verseur d'une cruche à décor peint en blanc sur un engobe rouge-brun (**Fig. 11.7:7 = Fig. 10.11:4**) ; c'est un vestige du point d'attache supérieur droit du bec verseur et il subsiste une perforation du filtre qui lui est associé. Il provient d'une cruche semblable à celle de Khirbet Qeiyafa IV (**Fig. 11.7** en bas), caractérisée par un engobe rouge-brun lustré à décor peint en noir et blanc. Cette catégorie de céramique rouge peinte relève de la « céramique d'Ashdod » (« *Ashdod Ware* ») définie naguère par M Dothan[9], et appelée désormais « *Late Philistine Decorated Ware (LPDW)* »[10], plus précisément d'une variété de cette céramique que les fouilleurs de Khirbet Qeiyafa ont appelé « *Ashdod Ware I* » ou « *Middle Philistine Decorated Ware (MPDW)* »[11]. Datée essentiellement du Xe siècle, soit de la première moitié du Fer IIA, mais apparue peut-être dès la fin du Fer IB (fin du XIe siècle)[12], et restée en usage au IXe siècle, cette catégorie de céramique philistine est représentée par un petit nombre de formes, notamment par des cruches à bec-verseur à filtre du type de la **Fig. 11.7**:7.

[7] Dothan 1982, pp. 191–196 (Type 17).

[8] Mazar 1985, pp. 64, 95, pl. 35:1 (« *Strainer Jug* » de type JG 6a).

[9] Dothan and Freedman 1967, pp. 130–132. Dothan 1982, pp. 191–198 ; Mazar 1985, pp. 103–105.

[10] Pour une description de cette céramique et de sa typologie, voir Ben-Shlomo *et al.* 2004 ; Shai *et al.* 2008 ; Maeir and Shai 2015 ; Cohen-Weinberger *et al.* 2017. T. Dothan and A. Zukerman (2015, pp. 71–72) classent cette céramique dans la catégorie « *Philistine 3* ».

[11] Voir Kang and Garfinkel 2009b, qui décrivent cette céramique et donnent la liste des sites où elle a été mise au jour, et surtout Kang 2013, qui propose une chronologie modifiée de son évolution : l'« *Ashdod Ware I* » ou « *Middle Philistine Decorated Ware (MPDW)* » précède immédiatement l'« *Ashdod Ware II* » ou « *Late Philistine Decorated Ware (LPDW)* ». Pour un commentaire sur cette séquence, voir Maeir and Shai 2015, p. 60.

[12] Voir Kang 2013, pp. 9–11, et *cf.* les références aux cruches de Tel Miqne IVA et de Tell es-Safi A4 citées avec la description de la **Fig. 11.7 :7**. Voir aussi **Tableau 24.1**.

11.2. La poterie du niveau Acr-IIA

L'échantillon présenté provient presque exclusivement du locus 1119/1140 en BB 116. Bien que la qualité stratigraphique de ce matériel soit médiocre, on peut cependant lui attribuer un cadre chrono-typologique.

Il se compose majoritairement d'une céramique commune assez fine, et ce pour l'ensemble des types. Cette céramique présente des surfaces bien lissées, de couleur jaune-beige, brun-rouge clair ou rouge orangé et renferme un dégraissant très fin et abondant, composé de tout petits grains blancs bien visibles en section et en surface. Ces caractéristiques distinguent la céramique du niveau Acr-IIA de celle des niveaux Acr-IIB et Acr-III.

11.2.1. Bols

Les bols du niveau Acr-IIA présentent une variété de profils, de pâtes et de traitement de surface qui dénotent d'emblée le caractère hétérogène et chronologiquement mélangé du matériel. Dans l'ensemble, leurs profils sont différents de ceux du niveau Acr-IIB. Le type classique de bol à lèvre simple est représenté (**Fig. 11.8:1**). D'autres bols à lèvre épaissie vers l'extérieur (**Fig. 11.8:3**) sont comparables à des bols du Fer II de Tel 'Eton et de Lachish IV–III. Les deux bols précités comportent un dégraissant assez grossier et un engobe gris-blanc qui les recouvre entièrement. Les bols bas et larges à lèvre débordante (**Fig. 11.8**:4) sont bien attestés au sud de la Palestine au VIIIe siècle, particulièrement à Lachish[13]. Les bols peu profonds à lèvre triangulaire épaissie vers l'intérieur et l'extérieur du type de la **Fig. 11.8:2** sont communs en Judée au Fer II[14]. Les bols de profil caréné du type de la **Fig. 11.8:6** ont des parallèles à Ashkelon au Fer IIC.

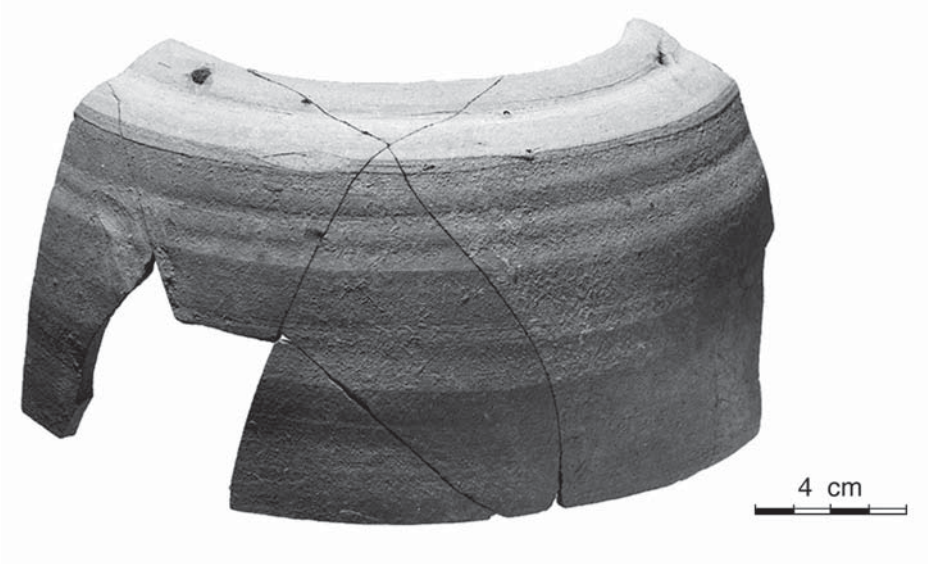


Fig. 11.1. Jarre sans col A.9576-20 (**Fig. 11.8:9**).

[13] Zimhoni 1985, pl. 6:6.
[14] Fantalkin 2001, p. 55, fig. 23:9,14.

11.2.2. Marmites

Les marmites sont très différentes de celles des niveaux précédents (**Fig. 11.8:16–17**). Les parois sont relativement fines et présentent un profil caractéristique du Fer II[15]: la panse est globulaire, le col plutôt court avec une ouverture réduite souvent à une douzaine de centimètres. Il s'y ajoute deux anses verticales reliant le bord du col à l'épaule (**Fig. 11.8:16**). Des marmites de profils comparables existent à la période perse, notamment à Gezer et à Lachish.

11.2.3. Jarres et pithoi

On trouve au niveau Acr-IIA des jarres à col et des jarres sans col. Toutes possèdent un dégraissant assez fin. Parmi les jarres à col, deux types sont attestés. Le premier, classique, comporte un col relativement court avec une lèvre à bourrelet externe (**Fig. 11.8: 10–12**). Le deuxième type, moins courant (**Fig. 11.8:13**), présente un col plus étroit et légèrement évasé terminé par une lèvre ronde et épaissie ; un léger ressaut marque la jonction du col et de l'épaule. Ces jarres ont des parallèles au niveau S-I de Lachish daté de l'époque perse.

La jarre sans col de la **Fig. 11.8:9** (= **Fig. 11.1**) présente un profil caractéristique avec un bord incurvé à l'horizontale et une lèvre arrondie. Ce type de vase est fréquent en Judée et à ses abords au 7e siècle[16]. Les deux perforations dans la lèvre ont pu être destinées à suspendre la jarre ou bien à attacher un couvercle.

11.2.4. Cruches et cruchettes

Un col fragmentaire avec un départ d'anse annulaire au milieu du col (**Fig. 11.8:14**) provient soit d'une cruche, soit d'une flasque.

11.2.5. Calices

Les calices du niveau Acr-IIA ont une lèvre horizontale large (**Fig. 11.8:7–8**), qui apparaît aussi sur leurs équivalents dans plusieurs sites en contextes du Fer IIB, et surtout IIC[17].

11.2.6. Lampe

Un fragment de lampe en céramique fine à engobe externe rouge (**Fig. 11.2 = Fig. 11.8:15**) relève d'une catégorie de lampes à bord rentrant (« *closed lamps* ») du type 1 d'E. Stern, particulièrement fréquente au IVe siècle [18]. Ces imitations locales de lampes attiques étaient encore en usage à l'époque hellénistique[19].

[15] Amiran 1970, p. 231, pl. 76.
[16] Sur ce type de jarre, voir Freud 2017. Voir aussi Mazar and Panitz-Cohen 2001, pp. 105–106 (Type SJ 10a) ; Gitin 2015, p. 349 et pl. 3.3.5:10–12.
[17] Voir déjà Amiran 1970, pl. 68:21.
[18] Stern 1982, p. 129 et fig. 204 (avec références) ; 2015, p. 577. Gitin 1990, p. 237 (Type 156).
[19] Sandhaus 2009, p. 219 et fig. 12.7:10. Geva 2003, pp. 141–142 et pl. 5.3:34. Ambar-Armon 2011.

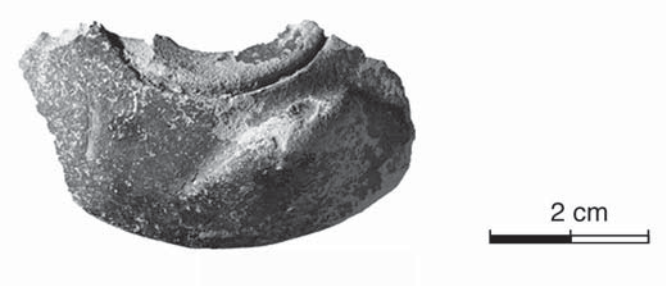


Fig. 11.2. Fragment de lampe A.9673-2 (**Fig. 11.8:15**).

11.3. Conclusion

En dépit du peu d'homogénéité du matériel archéologique recueilli dans les couches attribuées au niveau Acr-II, ses limites chronologiques peuvent être cernées avec une approximation satisfaisante. Le niveau Acr-II dans son ensemble s'intercale en effet entre le Fer IB du niveau Acr-III et l'époque hellénistique (**Tableaux 24.2–24.2**).

Il est cependant difficile d'isoler des périodes d'occupation précises car le versant sud-ouest de l'acropole où le Sondage 2 a été implanté n'a pas connu une occupation continue pendant la plus grande partie du Ier millénaire avant notre ère, entre le niveau Acr-III et le niveau Acr-IB. L'absence de vestiges de construction au niveau Acr-II – sauf les murs M.2316 et M.2317, dont ne subsistent que les fondations, et le mur de terrasse 1118B – montrent bien qu'il n'y avait pas alors d'occupation sur ce versant de l'acropole. En somme, la poterie découverte, en particulier celle du L.2320, provient d'un établissement installé en dehors des limites du sondage, probablement sur le sommet de la colline et sur ses versants nord-ouest et nord-est plus propices à l'habitat. De ce fait, la poterie du niveau Acr-II dans son ensemble n'offre pas une succession d'assemblages typologiques cohérents ; on pourrait être tenté d'en conclure que l'établissement installé sur l'acropole n'a pas connu d'occupation continue pendant la première moitié du Ier millénaire, mais plutôt une succession de phases d'abandon et de réoccupation. Mais cette impression est dissipée par l'existence de quelques formes de poterie dont les parallèles jalonnent la séquence Fer IB final–Fer IIC et l'époque perse. Il existe cependant une différence assez sensible entre les deux sous-niveaux Acr-IIB et Acr-IIA :

– Les parallèles proposés pour les poteries mises au jour dans les deux couches 2320-2 et 2320-1 qui définissent le niveau IIB suggèrent que ce niveau s'étend chronologiquement entre le Xe siècle et le VIIIe siècle avant notre ère. Nonobstant les tessons intrusifs du Bronze moyen et du Fer I, qui impliquent que ces deux couches sont principalement constituées de remblais, la majorité des tessons datent du Xe siècle et témoignent d'une forte continuité avec le niveau Acr-III, tandis qu'un petit nombre seulement peuvent être datés aux IXe–VIIIe siècle.
– Quant aux couches attribuées au niveau Acr-IIA, elles ont livré des tessons pour lesquels les comparaisons s'échelonnent entre le VIIIe et le Ve–IVe siècles, c'est-à-dire du Fer IIB à l'époque perse incluse. La datation relative de ces couches par le matériel le plus récent invite à dater ce niveau Acr-IIA de l'époque perse, ce qu'implique par

ailleurs la découverte d'une fibule triangulaire à décor cannelé caractéristique de cette époque (§ 14.1.1.4). Les implications archéologiques et bibliques de cette datation sont signalées aux §§ 3.8.3 et 24.2.2.

Références

Alexandre, Y.
2006 "Nahal Tut (Site VIII): A Fortified Storage Depot from the Late Fourth Century BCE," *'Atiqot* 52 : 131–195.

Ambar-Armon, E.
2011 "Oil Lamps from Khirbet er-Rasm," in *The Excavations of Khirbet er-Rasm, Israel, The Changing Face of the Countryside* (BAR International Series 2187), edited by A. Faust and A. Erlich, pp. 131–134. Oxford: Archaeopress.

Amiran, R.
1970 *Ancient Pottery of the Holy Land.* Jerusalem : Masada Press.

Aharoni, Y.
1964 *Excavation at Ramat Rahel, Seasons 1961 and 1962*. Roma: Centro di Studi Semitici, Istituto di Studi del Vicino Oriente, Universita' di Roma – The Hebrew University of Jerusalem.

Ayalon, E.
1985 "Trial Excavation of two Iron Age Strata at Tel 'Eton," *Tel Aviv* 12 : 54–62.

Ben-Arieh, S.
2004 *Bronze and Iron Age Tombs at Tell Beit Mirsim* (IAA Reports 23). Jerusalem : Israel Antiquities Authority.

Ben-Shlomo, D., Shai, I. and Maeir, A. M.
2004 "Late Philistine Decorated Ware ("Ashdod Ware") : Typology, Chronology and Production Centers," *Bulletin of the American Schools of Oriental Research* 335 : 1–35.

Bunimovitz, S. and Lederman, Z.
2016a "A Peasant Community on the Philistine Border, Levels 6–4: Iron I ca. 1150–950 BCE," in *Tel Beth-Shemesh, A Border Community in Judah, Renewed Excavations 1990–2000: The Iron Age*. Vol. 1 (Tel Aviv University Sonia and Marco Nadler Institute of Archaeology Monograph Series No. 34), edited by S. Bunimovitz and Z. Lederman, pp. 159–245. Tel Aviv : Emery and Claire Yass Publications in Archaeology.
2016b "Epilogue: Water Drawers and Vicious Neighbors. Level 1: Iron IIC ca. 650–635 BCE," *ibid.*, pp. 85–156.

Cohen-Weinberger, A., Szanton, N. and Uziel, J.
2017 "Ethnofabrics: Petrographic Analysis as a Tool for Illuminating Cultural Interactions and Trade Relations between Judah and Philistia during the Iron Age II," *Bulletin of the American Schools of Oriental Research* 377 : 1–20.

Dagan, Y.
2010 *The Ramat Bet Shemesh Regional Project: The Gazetteer* (IAA Reports No. 46). Jerusalem : Israel Antiquities Authority.

De Groot, A. and Bernick-Greenberg, H.
2012 "The Pottery of Strata 12–10 (Iron Age IIB)," in *Excavations at the City of David 1978-1985 Directed by Yigal Shiloh, Vol. VIIB: Area E: The Finds* (Qedem, Monographs of the Institute of Archaeology 54), edited by A. De Groot and H. Bernick-Greenberg, pp. 57–198. Jerusalem : The Hebrew University of Jerusalem.

Dever, W. G. *et al.*
1974 *Gezer II: Report of the 1967-70 Seasons in Fields I and II* (Annual of the Hebrew Union College / Nelson Glueck School of Biblical Archaeology). Jerusalem : HUC / NGSBA.

DOTHAN, M.
1971 *Ashdod II–III* (*'Atiqot* IX–X). Jerusalem : Department of Antiquities and Museums.
DOTHAN, M. and FREEDMAN, D. N.
1967 *Ashdod I. The First Season of Excavations 1962* (*'Atiqot* VII). Jerusalem : Department of Antiquities and Museums.
DOTHAN, T.
1982 *The Philistines and Their Material Culture*. New Haven and London : Yale University Press ; Jerusalem : Israel Exploration Society.
DOTHAN, T. and ZUKERMAN, S.
2015 "Iron Age I: Philistia," in *The Ancient Pottery of Israel and Its Neighbors, from the Iron Age through the Hellenistic Period,* edited by S. Gitin, pp. 71–96. Jerusalem : Israel Exploration Society, W. F. Albright Institute of Archaeological Research, Israel Antiquities Authority and American Schools of Oriental Research.
FANTALKIN, A.
2001 "Mezad Hashavyahu, Its Material Culture and Historical Background," *Tel Aviv* 28 : 3–165.
FANTALKIN, A. and TAL, O.
2004 "The Persian and Hellenistic Pottery of Level I," in *The Renewed Excavations at Lachish (1973–1994)*. Vol. IV (The Sonia and Marco Nadler Institute of Archaeology, Monograph Series No. 22), edited by D. Ussishkin, pp. 2174–2194. Tel Aviv : The Institute of Archaeology, Tel Aviv University.
FREUD, L.
1999 "The Iron Age," in *Tel 'Ira : A Stronghold in the Biblical Negev* (The Sonia and Marco Nadler Institute of Archaeology, Monograph Series No. 15), edited by Y. Beit-Arieh, pp. 189–289. Tel Aviv : The Institute of Archaeology, Tel Aviv University.
2017 "Production and Widespread Use of Holemouth Vessels in Jerusalem and Its Environs in the Iron Age II : Typology, Chronology and Distribution," in *New Studies in the Archaeology of Jerusalem and Its Region, Collected Papers*, Volume XI, edited by Y. Gadot, Y. Zelinger, K. Cytryn-Silverman and J. Uziel, pp. 93–110. Jerusalem : Tel Aviv University ; Israel Antiquities Authority ; The Hebrew University of Jerusalem. (en hébreu).
GARFINKEL, Y. and GANOR, S.
2009 *Khirbet Qeiyafa.* Vol. 1. *Excavation Report 2007–2008*. Jerusalem: Israel Exploration Society and Institute of Archaeology, The Hebrew University of Jerusalem.
GEVA, H.
2003 "Hellenistic Pottery from Areas W and X-2," in *Jewish Quarter Excavations in the Old City of Jerusalem conducted by Nahman Avigad, 1969–1982.* Vol. II: *The Finds from Areas A, W and X-2*, edited by H. Geva, pp. 113–191. Jerusalem: Israel Exploration Society and Institute of Archaeology, The Hebrew University of Jerusalem.
GITIN, S.
1990 *Gezer III, A Ceramic Typology of the Late Iron II, Persian and Hellenistic Periods at Tell Gezer* (Annual of the Nelson Glueck School of Biblical Archaeology, vol. III). Jerusalem : Hebrew Union College.
2015 "Iron IIA–B: Philistia," in *The Ancient Pottery of Israel and Its Neighbors, from the Iron Age through the Hellenistic Period*, edited by S. Gitin, pp. 257–280. Jerusalem : Israel Exploration Society, W. F. Albright Institute of Archaeological Research, Israel Antiquities Authority and American Schools of Oriental Research.
GREENHUT, Z. and DE GROOT, A.
2009 *Salvage Excavations at Tel Moẓa : The Bronze and Iron Age Settlements and Later Occupations* (IAA Reports 39). Jerusalem : Israel Antiquities Authority.
KANG, H.-G.
2013 "Ashdod Ware Found at Khirbet Qeiyafa and Its Implications for Understanding the Tradition of Philistine Decorated Pottery," *Mediterranean Review* 6 : 1–31.
2015 "The Dating of the Pottery Assemblage of Khirbet Qeiyafa: An Archaeological, Quantitative and Typological Discussion," *Israel Exploration Journal* 65 : 37–49.

KANG, H.-G., and GARFINKEL, Y.
2009a "The Early Iron Age IIA Pottery," in *Khirbet Qeiyafa,* Vol. 1. *Excavation Report 2007–2008,* edited by Y. Garfinkel and S. Ganor, pp. 119–149. Jerusalem: Israel Exploration Society and Institute of Archaeology, The Hebrew University of Jerusalem.
2009b "Ashdod Ware I: Middle Philistine Decorated Ware," *ibid.*, pp. 151–160.
MAEIR, A. M. and SHAI, I.
2015 "The Origins of Late Philistine Decorated Ware: A Note," *Tel Aviv* 42 : 59–66.
MAZAR, A.
1985 *Excavations at Tel Qasile.* Part Two. *The Philistine Sanctuary: Various Finds, the Pottery, Conclusions, Appendices* (Qedem, Monographs of the Institute of Archaeology 20). Jerusalem : Institute of Archaeology, Hebrew University of Jerusalem.
2006 "The Iron Age II Pottery from Areas S and P," in *Excavations at Tel Beth-Shean 1989–1996. Volume I, From the Late Bronze Age IIB to the Medieval Period,* edited by A. Mazar, pp. 313–467. Jerusalem : The Israel Exploration Society. The Institute of Archaeology, The Hebrew University of Jerusalem.
MAZAR, A. and PANITZ-COHEN, N.
2001 *Timnah (Tel Batash).* Vol. II. *The Finds from the First Millennium BCE* (Qedem, Monographs of the Institute of Archaeology 42). Jerusalem : The Hebrew University of Jerusalem.
MAZAR, A. and WACHTEL, I.
2015 "Ḥurvat 'Eres: A Fourth-Century BCE Fortress West of Jerusalem," *Israel Exploration Journal* 65 : 214–244.
ROLL, I. and TAL, O.
1999 *Apollonia-Arsuf, Final Report of the Excavations. Vol. I. The Persian and Hellenistic Periods* (Tel Aviv University Sonia and Marco Nadler Institute of Archaeology Monograph Series No. 16). Tel Aviv : Emery and Claire Yass Publications in Archaeology.
SANDHAUS, D.
2009 "Finds of the Hellenistic Period," in *Khirbet Qeiyafa,* Vol. 1. *Excavation Report 2007–2008,* edited by Y. Garfinkel and S. Ganor, pp. 209–230. Jerusalem: Israel Exploration Society and Institute of Archaeology, The Hebrew University of Jerusalem.
SANDHAUS, D. and KREIMERMAN, I.
2015 "The Late 4th/3rd Century BCE Transition in the Judean Hinterland in Light of the Pottery of Khirbet Qeiyafa," *Tel Aviv* 42 : 251–271.
SHAI, I., BEN-SHLOMO, D. and MAEIR, A. M.
2008 "The Philistine Material Culture in Process: The Late Philistine Decorated Ware ("Ashdod Ware") as a Case Study of Cultural Transformation," in *Proceedings of the 4th International Congress of the Archaeology of the Ancient Near East, 29 March–3 April 2004, Freie Universität Berlin,* Vol. II. *Social and Cultural Transformation: The Archaeology of Transitional Periods and Dark Ages. Excavation Reports*, edited by H. Kuehne, H. Czichon and F. Kreppner, pp. 235–244. Wiesbaden : Harrassowitz.
SHALEV, Y.
2018 "The Early Persian Pottery," in *The Summit of the City of David Excavations 2005–2008*, edited by E. Mazar, pp. 203–241. Jerusalem : Shoham.
SINGER-AVITZ, L.
2002 "Arad: The Iron Age Pottery Assemblages," *Tel Aviv* 29 : 110–214.
2010 "The Relative Chronology of Khirbet Qeiyafa," *Tel Aviv* 37 : 79–83.
2016 "Khirbet Qeiyafa: Late Iron Age I in Spite of It All – Once Again," *Israel Exploration Journal* 66 : 232–244.
STAGER, L. E., MASTER, D. M. and SCHLOEN, D.
2011 "Local Pottery," in *Ashkelon 3, The Seventh Century B.C.*, edited by L. E. Stager, D. M. Master and D. Schloen, pp. 71–96. Winona Lake, IN : Eisenbrauns.
STERN, E.
1982 *Material Culture of the Land of the Bible in the Persian Period, 538–332 B.C.* Warminster : Aris & Phillips / Jerusalem : Israel Exploration Society.

2015 "Persian Period," in *The Ancient Pottery of Israel and Its Neighbors, from the Iron Age through the Hellenistic Period*, edited by S. Gitin, pp. 565–617. Jerusalem : Israel Exploration Society, W. F. Albright Institute of Archaeological Research, Israel Antiquities Authority and American Schools of Oriental Research.

STERN, E. and MAGEN, Y.
1984 "A Pottery Group of the Persian Period from Qadum in Samaria," *Bulletin of the American Schools of Oriental Research* 253 : 9–27.

YEZERSKI, I.
2007 "Pottery of Stratum V," in *En-Gedi Excavations I, Final Report (1961-1965)*, edited by E. Stern. Jerusalem : Israel Exploration Society and Institute of Archaeology, Hebrew University of Jerusalem.

ZIMHONI, O.
1985 "The Iron Age Pottery of Tel 'Eton and Its Relation to the Lachish, Tell Beit Mirsim and Arad Assemblages," *Tel Aviv* 12 : 63–90.
2004a "The Pottery of Levels V and IV and Its Archaeological and Chronological Implications," in *The Renewed Excavations at Lachish (1973–1994)*. Vol. IV (Tel Aviv University Sonia and Marco Nadler Institute of Archaeology Monograph Series No. 22), edited by D. Ussishkin, pp. 1643–1788. Tel Aviv : Emery and Claire Yass Publications in Archaeology.
2004b "The Pottery of Levels III and II," *ibid.*, pp. 1789–1899.

ZUKERMAN, A.
2012 "Iron Age I and Early Iron Age IIA Pottery," in *Tell es-Safi/Gath I: The 1996–2005 Seasons*, Vol. I (Ägypten und Altes Testament, Band 69), edited by A. M. Maeir, pp. 265–311. Wiesbaden : Harrassowitz.

ZUKERMAN, A. and GITIN, S.
2016 "A Typological Analysis of the Iron Age I Ceramic Corpus from Strata VII–IV," in *Tel Miqne–Ekron Excavations 1985–1988, 1990, 1992–1995, Field IV Lower–The Elite Zone. Part 1. The Iron Age I Early Philistine City,* by T. Dothan, Y. Garfinkel and S. Gitin, pp. 127–416. Winona Lake, Indiana : Eisenbrauns.

Figure 11.3

N°	Type	N° objet	Locus	Description	Comparaisons
1	BL 1A.2.a	A.10831-3	2320-2	Bord de bol. Céram. assez fine à dégr. min. Pas de cœur. Surf. int. et ext. beige clair. Tourné. Cuisson assez bonne.	• Lachish S-IV (Fer IIA : 9e s.) : Zimhoni 2004a, pl. 25.17:2–3. • Kh. Qeiyafa IV (Fer IIA : 10e s.) : Kang and Garfinkel 2009a, fig. 6.3:8,10. • Kh. el-'Alya (Fer 1) : Dagan 2010, fig. 247.3:8.
2	*Cf.* BL 1A.2.a	A.10831-2	2320-2	Bord de bol. Céram. comm. à dégr. min. et végét. Cœur gris. Surf. brun-rose à l'int. et brun-beige à l'ext. Tourné. Cuisson moyenne.	• Qasile XII (Fer I : 11e s.) : Mazar 1985, pl. 11:2,4. • Kh. Qeiyafa IV (Fer IIA : 10e s.) : Kang and Garfinkel 2009a, fig. 6.1:7–8. • Beth-Shemesh 4 (fin Fer I–début Fer IIA) : Bunimovitz and Lederman 2016a, p. 189, fig. 640 (BL rnd rs).
3	*Cf.* KR 1A.1b	A.10815-26	2320-2	Bord de bol. Céram. comm. à dégr. min. Cœur gris épais. Surf. brun-beige à eng. beige. Tourné. Cuisson moyenne.	• Qasile X (Fer I/II) : Mazar 1985, fig. 39:20. • Kh. el-'Alya (Fer 1) : Dagan 2010, fig. 247.3:18.
4	*Cf.* KR 1A.1b	A.10815-3	2320-2	Bord de bol. Céram. comm. à dégr. min. Cœur gris. Surf. int. et ext. brun-rouge. Tourné. Cuisson moyenne.	• *Cf.* Qasile X (Fer I/II) : Mazar 1985, fig. 40:3-4 ?
5	*Cf.* KR 1A.1b	A.10831-21	2320-2	Bord de bol. Céram. assez fine à dégr. min. Cœur gris. Surf. beige à l'int. et brun-rouge à l'ext. Tourné. Bonne cuisson.	*Idem.*
6	CH 1	A.10887-7	2320-2	Bord de calice. Céram. assez fine à dégr. min. Cœur gris. Surf. int. et ext. brun-rouge. Tourné. Bonne cuisson.	
7	*Cf.* BL 2D.2	A.10831-10	2320-2	Bord de bol. Céram. comm. à dégr. min. assez gross. Cœur gris. Surf. brun-rose. Eng. beige à l'ext. Tourné. Cuisson moyenne. **Photo de la section : Fig. 6.10:10.**	
8	BL 2B.3	A.10792-5	2320-2	Bord de bol. Céram. assez gross. à dégr. min. Cœur gris. Surf. int. et ext. brun-rouge sombre. Tourné. Très cuit.	• 'Eton I (Fer II : *c.* 8e s.) : Zimhoni 1985, fig. 4:8.
9	KR	A.10887-1	2320-2	Bord de cratère. Céram. comm. à dégr. min. Cœur gris. Surf. int. et ext. brun-rouge. Tourné. Bonne cuisson.	• 'Eton I (Fer II : *c.* 8e s.) : Zimhoni 1985, fig. 5:10. • Lachish S-IV (Fer IIA : *c.* 9e s.) : Zimhoni 2004a, pl. 25.18:2. • Batash D-IVB (Fer II : 10e s.) : Mazar and Panitz-Cohen 2001, pls 1:5, 2:15–16.

N°	Type	N° objet	Locus	Description	Comparaisons
10	KR	A.10887-10	2320-2	Bord de cratère. Céram. comm. à dégr. min. Cœur gris sombre. Surf. int. et ext. brun-rouge. Tourné. Très cuit.	• Batash D-IVB (Fer II : 10e s.) : Mazar and Panitz-Cohen 2001, pls 3:2, 4:5. • Kh. Qeiyafa IV (Fer IIA : 10e s.) : Kang and Garfinkel 2009a, fig. 6.6:3,7.
11	CP? 3A	A.10815-22	2320-2	Bord de marmite. Céram. assez gross. à dégr. min. Pas de cœur. Surf. brun-rouge à l'int.et brun-rouge sombre à l'ext. Tourné. Très cuit.	• Batash D-IVB (Fer II : 10e s.) : Mazar and Panitz-Cohen 2001, pl. 5:3.
12	CP 3A	A.10825-27	2320-2	Bord de marmite. Céram. assez gross. à dégr. min. Cœur gris. Surf. brun-rose à l'int. et brun-rouge à l'ext. Tourné. Très cuit.	
13	*Cf.* CP 3C	A.10825-6	2320-2	Bord de marmite. Céram. assez gross. à dégr. min. Pas de cœur. Surf. int. et ext. brun-rouge. Tourné. Très cuit.	• Kh. Qeiyafa IV (Fer IIA : 10e s.) : Kang and Garfinkel 2009a, fig. 6.13.

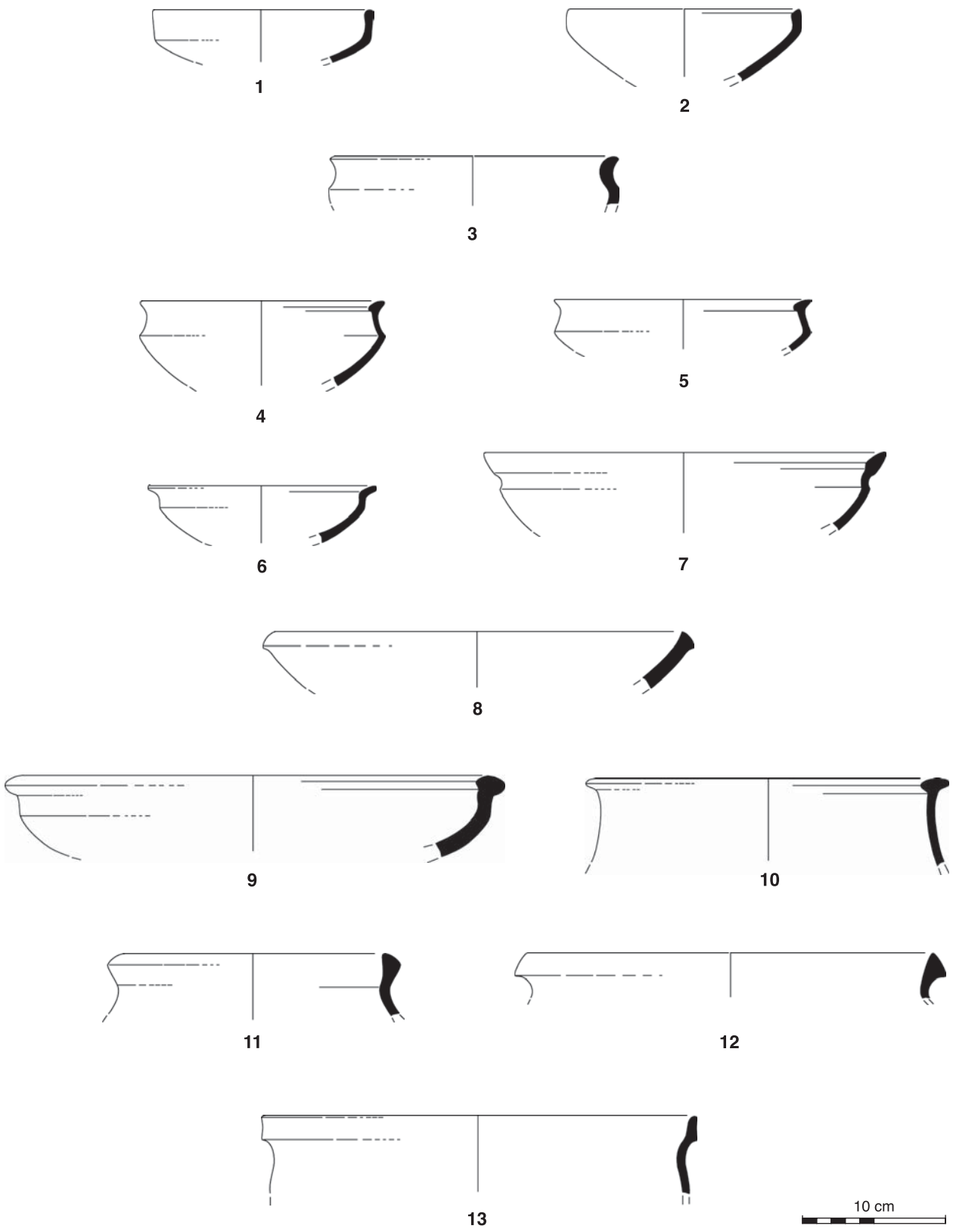


Fig. 11.3. Sondage 2, poterie du niveau Acr-IIB : L.2320-2.

Figure 11.4

N°	Type	N° objet	Locus	Description	Comparaisons
1	JR A3.a	A.10792-1	2320-2	Bord de col de jarre. Céram. comm. à dégr. min.. Pas de cœur. Surf. int. et ext. brun-rouge. Tourné. Cuisson moyenne.	• Batash D-IVB (Fer IIA : 10e s.) : Mazar and Panitz-Cohen 2001, pl. 5:2. • Lachish S-V (Fer IIA : *c.* 9e s.) : Zimhoni 2004a, pl. 25.15:13.
2	JR A3.a	A.10792-11	2320-2	Bord de col de jarre. Céram. assez gross. à dégr. min. assez gross. Pas de cœur. Surf. int. et ext. brun-rose. Tourné. Bonne cuisson.	• Batash H-IV (Fer IIA : 10e s.) : Mazar and Panitz-Cohen 2001, pl. 83:6.
3	JR A3	A.10825-2	2320-2	Bord de col de jarre. Céram. assez fine à dégr. min. Cœur gris. Surf. int. et ext. brun-rouge. Tourné. Bonne cuisson.	• Batash H-V (Fer IIA : 10e s.) : Mazar and Panitz-Cohen 2001, pls 81:17, 84:24.
4	JR	A.10825-3	2320-2	Bord de col de jarre. Céram. comm. à dégr. min. assez gross. Pas de cœur. Surf. int. beige. Surf. ext. recouverte d'un eng. beige clair. Tourné. Cuisson moyenne.	
5	JR	A.10887-6	2320-2	Bord de col de jarre. Céram. comm. à dégr. min. assez gross. Cœur gris. Surf. int. et ext. beige. Tourné. Cuisson moyenne.	
6	JG 2B.3 ?	A.10815-23	2320-2	Bord de col de cruche. Céram. assez fine à dégr. min. Cœur gris. Surf. int. et ext. brun-rose. Tourné. Bonne cuisson.	• 'Ira C-VIII (Fer II) : Freud 1999, pl. 6.66:16. • M. Hashavyahu (Fer III : 7e s.) : Fantalkin 2001, fig. 27. • Arad X (Fer IIB : 8e s.) : Singer-Avitz 2002, fig. 26:3. • Kh. Qeiyafa IV (Fer IIA : 10e s.) : Kang and Garfinkel 2009a, fig.6.17:7.
7	JG 2C	A.10815-11	2320-2	Bord de col de cruche. Céram. assez gross. à dégr. min. Pas de cœur. Surf. int. et ext. brun-rouge. Tourné. Très cuit.	
8	GB 1	A.10815-8	2320-2	Bord de gobelet ? Céram. comm. à dégr. min. Cœur gris. Surf. int. et ext. recouvertes d'un eng. beige clair. Tourné. Très cuit.	
9	PIT / JR	A.10831-7	2320-2	Bord de col de pithos/grande jarre. Céram. comm. à dégr. min. et végét. Cœur gris. Surf. int. beige. Surf. ext. brun-rose. Tourné. Cuisson moyenne.	
10	KR	A.10825-13	2320-2	Bord de jarre(?). Céram. comm. à dégr. min. Cœur gris épais. Surf. int. et ext. brun-gris. Tourné. Cuisson moyenne.	
11	JR	A.10831-15	2320-2	Fond de jarre. Céram. comm. à dégr. min. Surf. int. et ext. brun-beige. Colombins. Cuisson moyenne.	• Lachish GE-III (Fer IIB : *c.* 8e s.) : Zimhoni 2004b, pl. 26.6:3. • Kh. Qeiyafa IV (Fer IIA : 10e s.) : Kang and Garfinkel 2009a, fig. 6.24:11.

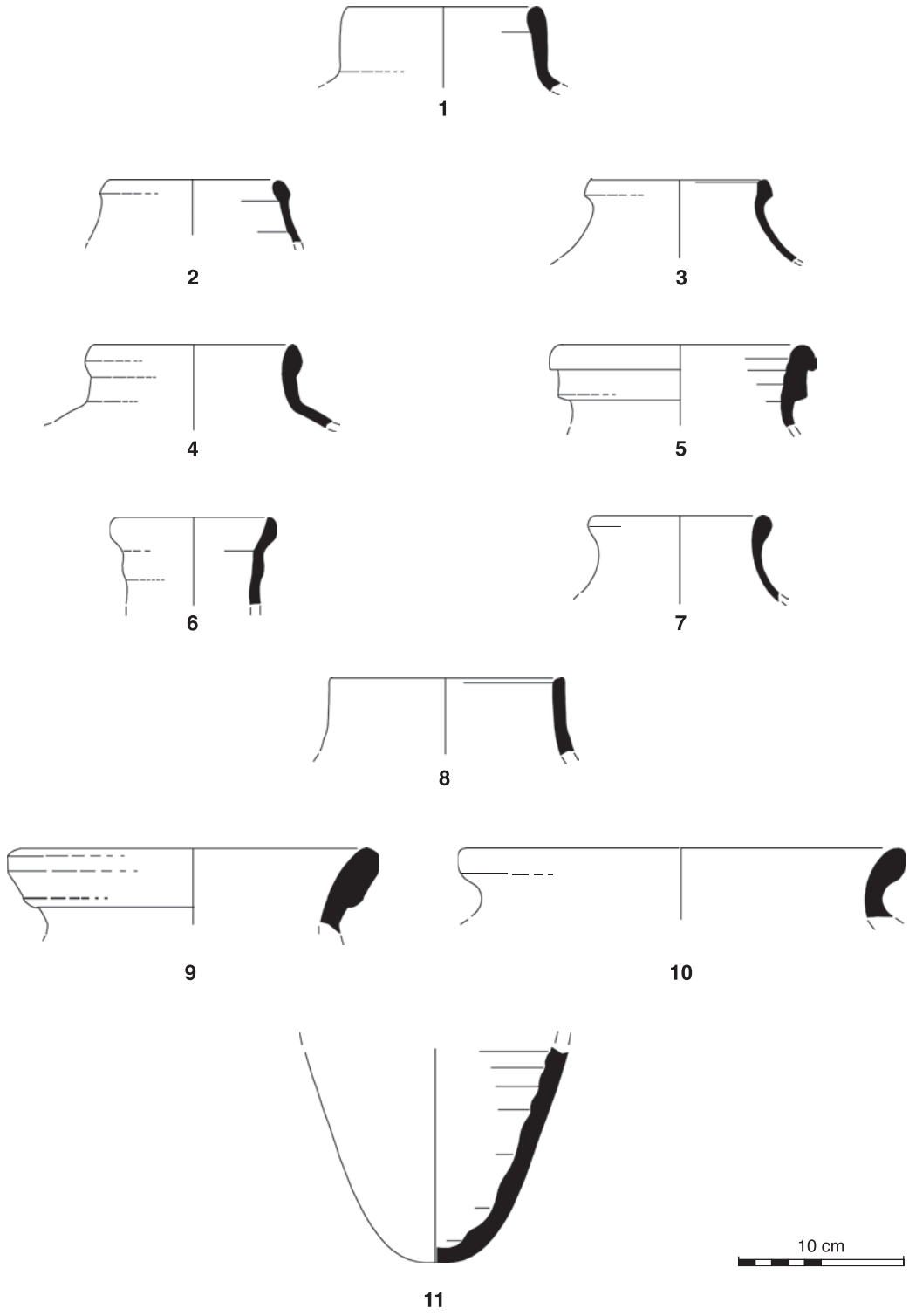


Fig. 11.4. Sondage 2, poterie du niveau Acr-IIB : L.2320-2 (suite et fin).

Figure 11.5

N°	Type	N° objet	Locus	Description	Comparaisons
1	BL 1B.1	A.10781-43	2320-1	Bord de bol. Céram. comm. à dégr. min. Pas de cœur. Surf. int. brun-beige. Surf. ext. brun-rouge. Tourné. Cuisson moyenne.	
2	BL	A.10879-4	2320-1	Bord de bol. Céram. comm. à dégr. min. Pas de cœur. Surf. int. et ext. brun-rouge. Tourné. Cuisson moyenne.	• Gezer VIIA (Fer IIA : fin 10e s.) : Gitin 1990, fig. 10:3. • Qasile XI (Fer IB) : Mazar 1985, figs 18:4, 22:3, 24:2. • Beth-Shean S-1 (Fer IIA, 10e s.) : Mazar 2006, pl. 6:8-9 (Type BL 53). • Batash D-IVB (Fer IIA : 10e s.) : Mazar and Panitz-Cohen 2001, pl. 2:9–10.
3	BL	A.10785-2	2320-1	Bord de bol. Céram. comm. à dégr. min. assez fin. Cœur gris. Surf. int. et ext. brun-rouge. Tourné. Cuisson assez bonne.	• Batash D-IVB (Fer IIA : 10e s.) : Mazar and Panitz-Cohen 2001, pl. 5:14.
4	BL 1C.2	A.10754-6	2320-1	Bord de bol. Céram. comm. à dégr. min. Cœur gris. Surf. int. et ext. brun-rose. Tourné. Cuisson moyenne.	• Safi A3 (Fer IB) : Zukerman 2012, pl. 13.10:10.
5	BL 2D.3	A.10879-17	2320-1	Bord de bol. Céram. assez gross. à dégr. min. Cœur gris sombre. Surf. int. et ext. brun-rose. Tourné. Cuisson moyenne.	
6	BL 2D.3	A.10785-3	2320-1	Bord de bol à paroi sinueuse. Céram. comm. à dégr. min. Cœur gris. Surf. beige. Tourné. Cuisson moyenne.	
7	GB 2	A.10808-2	2320-1	Bord de gobelet. Céram. comm. à dégr. min. Pas de cœur. Surf. int. et ext. brun-beige. Tourné. Cuisson moyenne.	
8	KR 1E.2	A.10767-18	2320-1	Bord de cratère ou bol. Céram. comm. à dégr. min. Pas de cœur. Surf. int. et ext. brun-rose. Tourné. Bien cuit.	
9	KR	A.10767-3	2320-1	Bord de cratère. Céram. comm. à dégr. min. assez gross. Cœur gris. Surf. int. et ext. brun-rouge. Tourné. Cuisson moyenne.	
10	KR	A.10874-1	2320-1	Bord de cratère. Céram. comm. à dégr. min. Cœur gris. Surf. int. et ext. brun-beige. Tourné. Cuisson moyenne.	
11	CP 3C	A.10781-28	2320-1	Bord de marmite. Céram. assez gross. à dégr. min. Cœur gris. Surf. int. et ext. brun-rouge. Tourné. Très cuit.	
12	CP 3A	A.10803-11	2320-1	Bord de marmite. Céram. assez gross. à dégr. min. Pas de cœur. Surf. brun-gris à l'int. et brun-rouge à l'ext. Tourné. Très cuit.	
13	CP 3B	A.10781-2	2320-1	Bord de marmite. Céram. assez gross. à dégr. min. Cœur gris. Surf. int. et ext. brun-rouge. Tourné. Très cuit.	

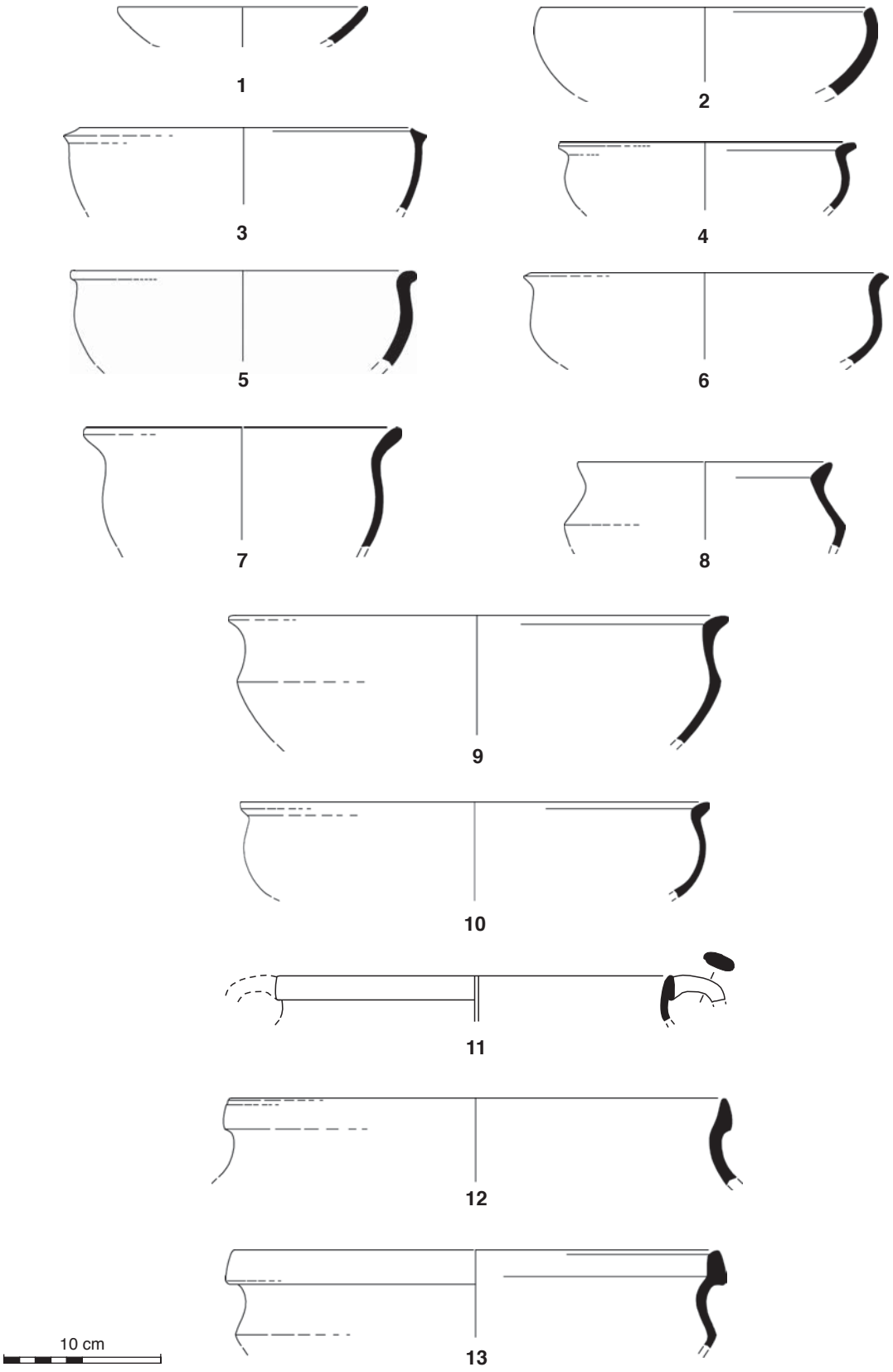


Fig. 11.5. Sondage 2, poterie du niveau Acr-IIB : L.2320-1.

Figure 11.6

N°	Type	N° objet	Locus	Description	Comparaisons
1	JR	A.10803-2	2320-1	Bord de col de jarre. Céram. comm. à dégr. min. Cœur gris. Surf. brun-rose à l'int. et brune à l'ext. Tourné. Cuisson moyenne.	
2	JR	A.10879-1	2320-1	Bord de col de jarre. Céram. comm. à dégr. min. Cœur gris. Surf. brune à l'int. et brun-rose à l'ext. Tourné. Très cuit.	• Qasile X (Fer I : 11e s.) : Mazar 1985, fig. 48:7. • Batash D-IVB (Fer II : 10e s.) : Mazar and Panitz-Cohen 2001, pl. 5:9.
3	JR A3.a	A.10874-4	2320-1	Bord de col de jarre. Céram. assez gross. à dégr. min. et végét. Cœur gris. Surf. brun-rose à l'int. et brun-rouge à l'ext. Tourné. Très cuit.	• Lachish S-IVB (Fer IIB : *c.* 8e s.) : Zimhoni 2004a, pl. 25.31:18.
4	JR A1.b	A.10808-9	2320-1	Bord de col de jarre. Céram. comm. à dégr. min. Pas de cœur. Surf. int. et ext. beige clair. Tourné. Cuisson moyenne.	
5	JR A1.a	A.10767-19	2320-1	Bord de col de jarre. Céram. comm. à dégr. min. assez gross. Cœur gris. Surf. int. et ext. brun-rouge. Tourné. Cuisson moyenne.	• Batash D-IVB (Fer II : 10e s.) : Mazar and Panitz-Cohen 2001, pl. 5:19.
6	JR A1.a	A.10797-4	2320-1	Bord de col de jarre. Céram. comm. à dégr. min. Pas de cœur. Surf. int. et ext. brun-rouge. Tourné. Cuisson moyenne.	
7	JR	A.10797-20	2320-1	Bord de col de jarre. Céram. comm. à dégr. min. Pas de cœur. Surf. int. et ext. beige-jaune. Tourné. Cuisson moyenne.	
8	JR A2.c	A.10781-27	2320-1	Bord de col de jarre. Céram. assez fine à dégr. min. Pas de cœur. Surf. brune à l'int. et brun-beige à l'ext. Tourné. Cuisson moyenne.	
9	JG 2A.1	A.10874-9	2320-1	Cruche fragmentaire. Céram. comm. à dégr. min. et végét. assez gross. Pas de cœur. Surf. brun-rose à l'int. et brun-beige l'ext. Tourné. Cuisson moyenne.	• 'Ira VII-VI (Fer II) : Freud 1999, fig. 6.103:4. • Kh. Qeiyafa IV (Fer IIA : 10e s.) : Kang and Garfinkel 2009a, fig. 6.17:7. • Cf. Beth-Shemesh 6-4 (Fer IB–début Fer IIA) : Bunimovitz and Lederman 2016a, p. 193, fig. 6.40 (JG pln).
10	CH	A.10781-1	2320-1	Pied de calice ? Céram. comm. à dégr. min. Pas de cœur. Surf. brun-gris à l'int. et brun-beige à l'ext. Tourné. Cuisson moyenne.	
11	JG	A.10781-24	2320-1	Base annulaire de cruche. Céram. assez fine à dégr. min. Pas de cœur. Surf. beige-gris à l'int. et beige à l'ext. Tourné. Cuisson moyenne.	

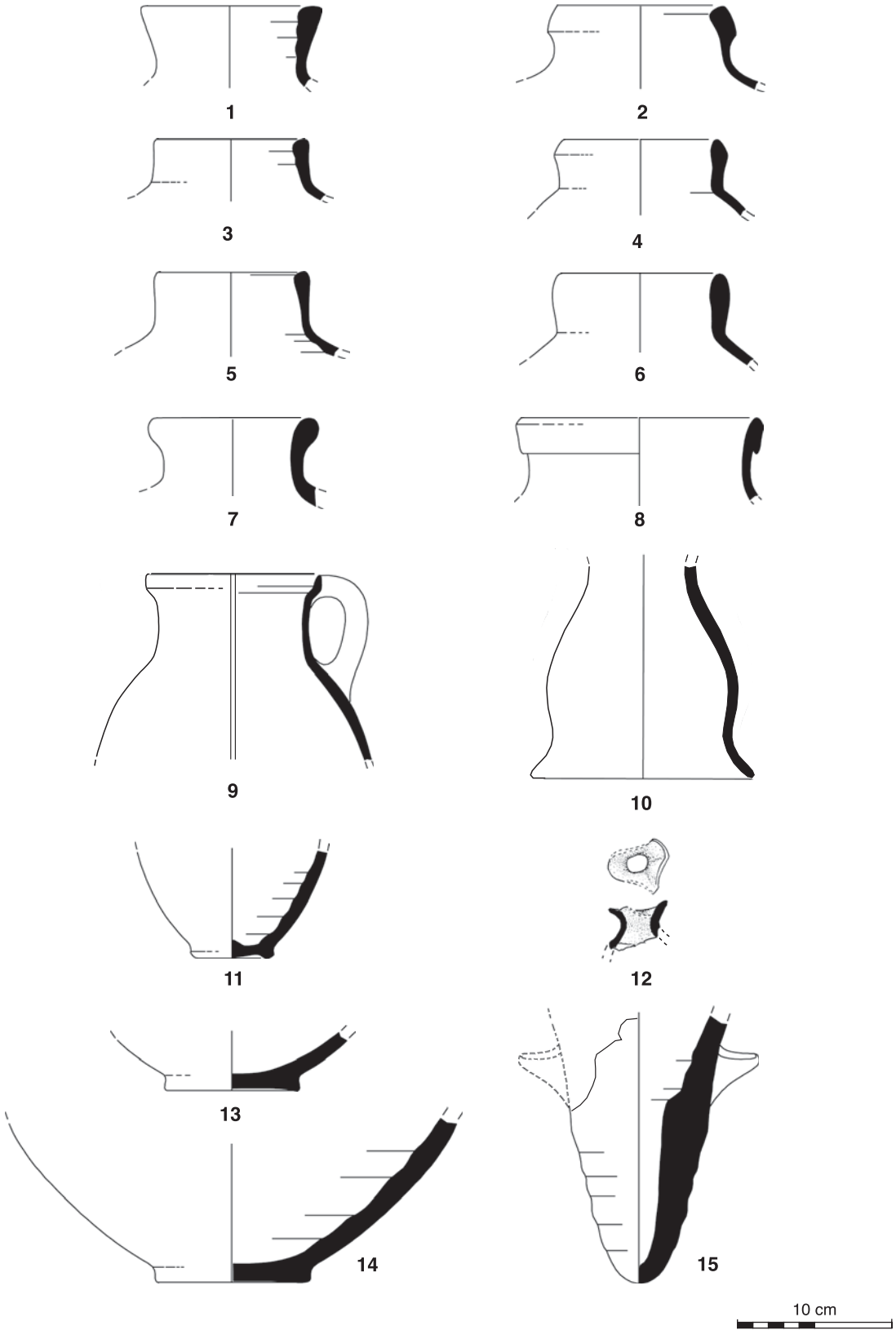


Fig. 11.6. Sondage 2, poterie du niveau Acr-IIB : L.2320-1 (suite et fin).

N°	Type	N° objet	Locus	Description	Comparaisons
12	JT	A.10803-14	2320-1	Goulot de cruchette(?) à ouverture trifoliée. Céram. comm. à dégr. végét. Cœur gris sombre. Surf. int. et ext. gris très foncé. Cuisson moyenne.	
13	KR	A.10767-10	2320-1	Base annulaire de cratère. Céram. comm. à dégr. min. et végét. Cœur gris. Surf. int. et ext. brune. Tourné. Cuisson moyenne.	• Kh. Qeiyafa IV (Fer IIA : 10e s.) : Kang and Garfinkel 2009a, fig. 6.6:8.
14	KR	A.10879-2	2320-1	Base discoïde d'un grand cratère. Céram. comm. à dégr. min. et végét. Pas de cœur. Surf. int. et ext. brun-rouge. Tourné. Cuisson moyenne.	
15	JR	A.10874-10	2320-1	Fond de jarre. Céram. comm. à dégr. min. assez fin. Pas de cœur. Surf. beige à l'int. et brun-beige à l'ext. Façonnage aux colombins. Cuisson moyenne.	

Figure 11.7

N°	Type	N° objet	Locus	Description	Comparaisons
1	BL	A.10815-4	2320-2	Bord de bol philistin. Céram. assez fine à dégr. min. assez fin. Cœur gris épais. Surf. int. brun-rouge. Surf. ext. brun-rose, lignes peintes en noir. Tourné. Bonne cuisson.	• Lachish S-IVA (Fer IIB : *c.* 8e s.) : Zimhoni 2004a, pl. 25.36:14.
2	BL	A.10808-1	2320-1	Bord de bol philistin. Céram. assez fine à dégr. fin avec fragments de craie (0,5-1 mm). Eng. brun-rouge à l'int. (et à l'ext. ?). Décor peint marron à l'int. et à l'ext. : bandes parallèles horizont. Cuisson moyenne. Tourné. **Analyse pétrographique : Appendice 1. Photo : Fig. 10.11:1.**	
3	BL 1D.1	A.10803-3	2320-1	Bord de bol philistin (« *Philistine 3* »). Céram. assez fine à dégr. min. Cœur gris. Surf. int. et ext. brun-beige. Tourné. Bonne cuisson.	• Batash D-IVB (Fer IIA : 10e s.) : Mazar and Panitz-Cohen 2001, pl. 2:10.
4	KR 2A	A.10885-13	2320-2	Bord de cratère philistin. Céram. comm. à dégr. min. Pas de cœur. Surf. brun-beige. Eng. beige clair à l'ext. Tourné. Très cuit.	• Qasile XII (Fer I : 11e s.) : Mazar 1985, pl. 13:23. • Batash D-IVB (Fer II : 10e s.) : Mazar and Panitz-Cohen 2001, pl. 4:3.

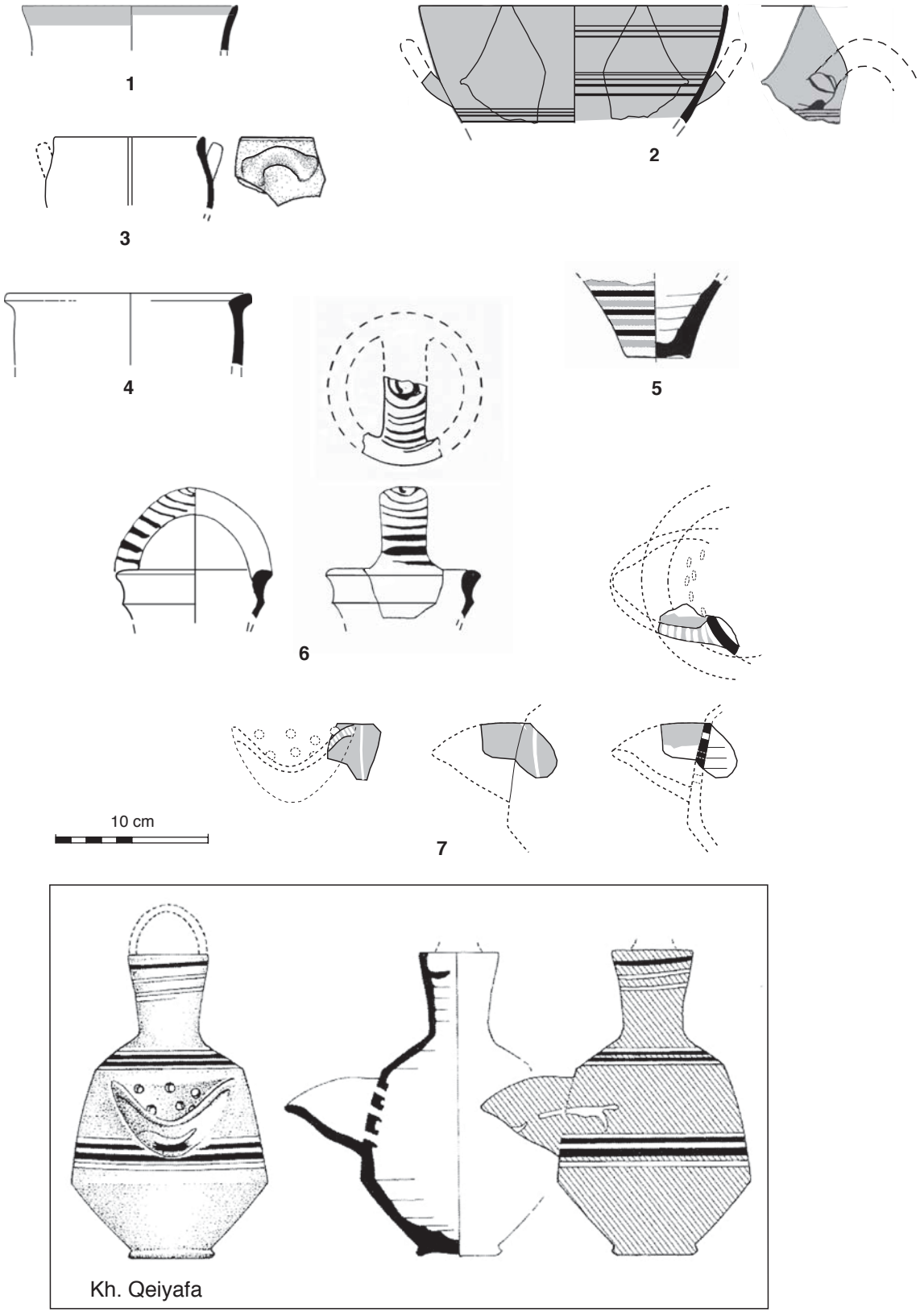


Fig. 11.7. Sondage 2, poterie philistine du niveau Acr-II (Fer IB–IIA) : L.1161 et L.2320.

N°	Type	N° objet	Locus	Description	Comparaisons
5	JG	A.9672-1	Fosse 1161= 1174 ?	Base de cruche à décor peint bichrome philistin. Céram. comm. à dégr min mêlé de chamotte. Section grise. Surface brun-clair. Eng. brun très pâle. Décor de bandes peintes horizontales, brunes et rouge foncé en alternance. Tourné. Bien cuit. **Photo : Fig. 10.11:3.**	• *Cf.* Safi (h.s.) : Zukerman 2012, pl. 13.21:1 ?
6	JG 3	A.10831-1	2320-2	Anse de cruche philistine. Céram. assez fine à dégr. min. fin. Eng. beige-crème avec peinture rouge et noire. Cuisson assez bonne. Tourné ? **Analyse pétrographique : voir Appendice 1.** **Photo : Fig. 10.11:2.**	• Qasile X (Fer I): Mazar 1985, pp. 64, 95 et pl. 35:1.
7	JG 3	A.10831-5	2320-2	Fragment du bec-verseur d'une cruche philistine en « *Ashdod Ware 1* ». Céram. fine à dégr. min. fin. Cœur gris. Surf. int. brune. Surf. ext. à eng. rouge-brun avec décor peint en blanc. Tourné. Bonne cuisson. **Photo : Fig. 10.11:4.**	• Miqne IVA ("Fer IC", 1050–975) : Zukerman and Gitin 2016, fig. 5.110:8–9. • Kh. Qeiyafa IV (Fer IIA) : Kang and Garfinkel 2009a, fig. 6.22 :1 (illustrée ici dans l'encadré avec l'aimable autorisation des auteurs). • Safi A4 (Fer IB/IIA) : Zukerman 2012, fig. 13.17:8. • Moza (Fer II) : Greenhut and De Groot 2009, fig. 3.16:8.

Figure 11.8

N°	Type	N° objet	Locus	Description	Comparaisons
1	BL 1A.2.a	A.9629-9	1119	Bord de bol. Céram. assez gross. à gros dégr. min. Section grise. Surf. int. et ext. rouge-brun à eng. gris-blanc. Tourné. Cuisson moyenne.	
2	BL	A.9629-51	1119	Bord de bol. Céram. comm. à dégr. min. assez gross. Section grise. Surf. int. et ext. brun-rouge clair. Tourné. Cuisson moyenne.	• 'Eton I (9e–8e s.) : Zimhoni 1985, fig. 4:10. • Batash D-III (Fer IIB : 8e s.) : Mazar and Panitz-Cohen 2001, pl. 22:15. • Beit Mirsim (Fer II) : Ben-Arieh 2004, pl. 2.80:7. • H. 'Eres (Perse : 4e s.) : Mazar and Wachtel 2015, fig. 12:7. • En-Gedi V (Fer IIC) : Yezerski 2007, pl. 1:24. • M. Hashavyahu (Fer IIB : 8^{e}–7^{e} s.) : Fantalkin 2001, fig. 23:9,14. • Beth-Shean P-7 (Fer IIB : 8^{e} s.) : Mazar 2006, pl. 27:10.

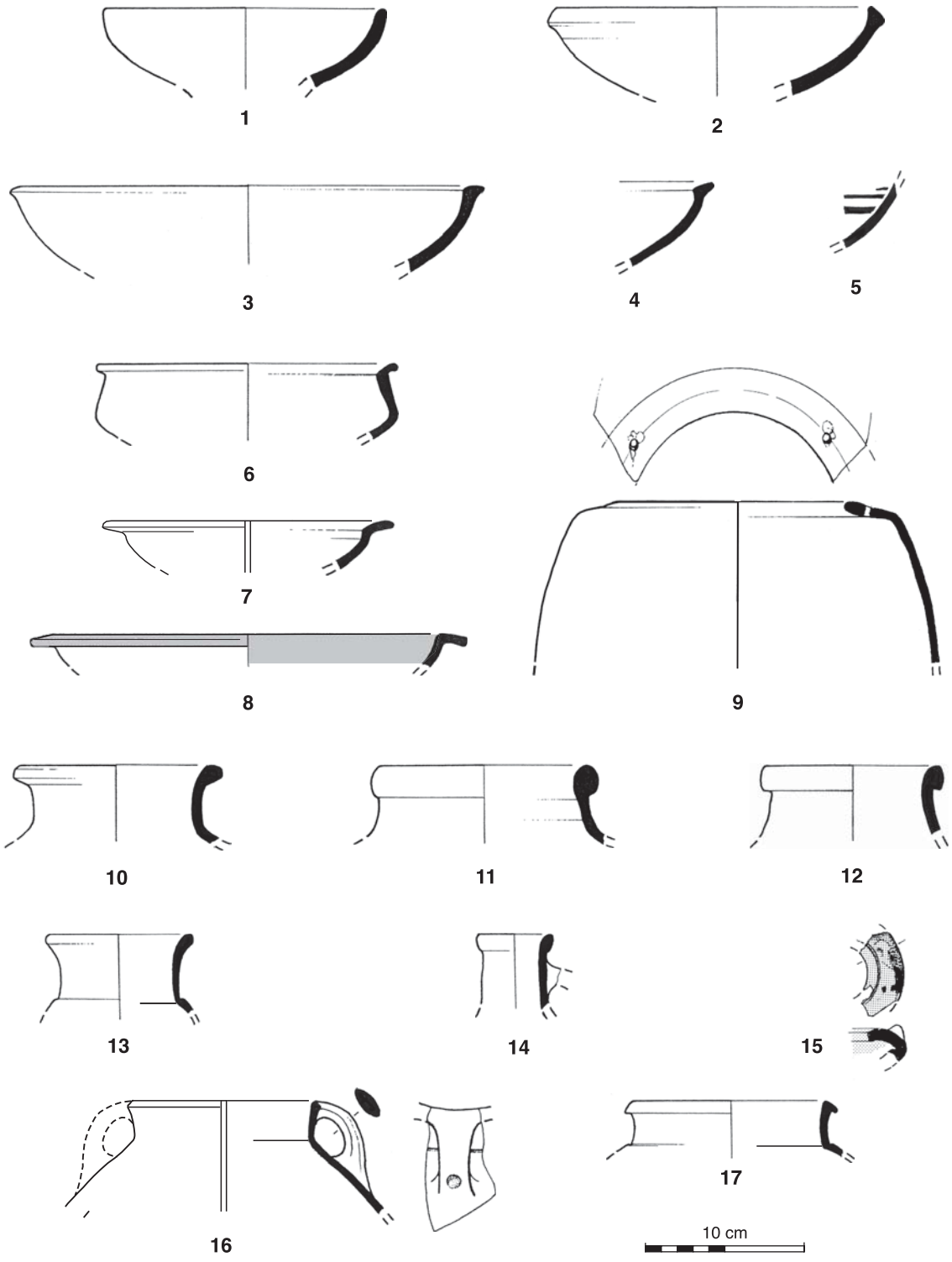


Fig. 11.8. Sondage 2, poterie du niveau Acr-IIA (Fer IIB à Perse) : L.1119.

N°	Type	N° objet	Locus	Description	Comparaisons
					• Nahal Tut (fin Perse–début Hell.) : Alexandre 2006, fig. 61:1. • Jérusalem cité de David G.9-3 (Perse : 5e s.) : Shalev 2018, fig. 4.6:2.
3	BL	A.9582-6	1119	Bord de bol. Céram. assez gross. à gros dégr. min. Section grise. Surf. int. et ext. grises avec eng. gris pâle. Tourné. Cuisson moyenne.	• 'Eton (Fer II) : Ayalon 1985, pls 1:5, 4:2. • Lachish IV–III (Fer II) : Zimhoni 2004a, pl. 25.52:19. • Gezer VI (Fer IIB) : Gitin 1990, pl. 20:13–18. • Jérusalem cité de David G.9-3 (Perse : 5e s.) : Shalev 2018, fig. 4.1:16. • Kh. Qeiyafa III (fin Perse–début Hell.) : Sandhaus 2009, fig. 12.1:12.
4	BL	A.9627-9	1119	Bord de bol. Céram. comm. à dégr. min. fin. Section rouge. Surf. int. et ext. rouge-brun. Tourné. Cuisson assez bonne.	• Lachish IV–III (Fer II) : Zimhoni 2004a, pl. 25.51:10.
5	BL	A.9629-4	1119	Tesson de bol. Céram. comm. à dégr. min. Surf. rouge-brun. Bandes de peinture noire à l'int. et à l'ext. Tourné. Cuisson moyenne.	• Ekron V (Fer IIA) : Dothan and Zukerman 2015, figs 12.2, 14 :4. • Safi A4 (Fer IB : 11e s.) : Zukerman 2012, fig. 13.8:6.
6	*Cf.* BL 1C.2	A.9627-20	1119	Bord de bol. Céram. comm. à dégr. min. mêlé de chamotte. Section gris foncé. Surf. brun clair. Traces de chaux à l'int. Tourné. Cuisson moyenne.	• Batash D-IVB (Fer II : 10e s.) : Mazar and Panitz-Cohen 2001, pl. 1:7. • Ashkelon (Fer IIC) : Stager *et al.* 2011, figs 5.21–5.23. • Kh. Qeiyafa III (fin Perse–début Hell.) : Sandhaus 2009, fig. 12.1:15.
7	CH 1	A.9629-58	1119	Bord de calice. Céram. assez fine à dégr. min. Surf. brun-rouge. Tourné. Cuisson assez bonne.	• Kh. Qeiyafa IV (Fer IIA : 10e s.) : Kang and Garfinkel 2009a, fig. 6.8:2,6. • Kh. Qeiyafa III (fin Perse–début Hell.) : Sandhaus 2009, fig. 12.1:7. • 'Ira 6 (Fer IIC) : Gitin 2015, pl. 3.4.1:17.
8	CH 1	A.9629-8	1119	Bord de calice. Céram. assez fine à dégr. min. Section grise. Surf. int. et ext. brun-rouge pâle. Traces de lustrage sur le bord. Tourné. Assez bonne cuisson.	• 'Ira B-VI (Fer II) : Freud 1999, fig. 6.61:1. • Gezer IV (Perse) : Gitin 1990, pl. 31:4. • Lachish IV–III (Fer II : 8e s.) : Zimhoni 2004a, pl. 25.52:12,20. • Ashdod A-6 (fin Fer II) : Dothan 1971, fig. 5:16. • Qasile X (Fer I) : Mazar 1985, fig. 40:9.

N°	Type	N° objet	Locus	Description	Comparaisons
					• Jérusalem Cité de David (Fer IIC) : De Groot and Bernick-Greenberg 2012, fig. 4.11:15. • Ashkelon (Fer IIC) : Stager *et al.* 2011, figs 5.5–5.7.
9	JR	A.9576-20	1119	Bord de jarre sans col. Céram. assez fine à dégr. min. Section grise. Surf. int. et ext. brun pâle. Bonne cuisson. Trous de réparation. **Photos : Figs 6.10:11 ; 11.1.**	• Beth-Shemesh 1 (Fer IIC) : Bunimovitz and Lederman 2016b, p. 136, fig. 5.72 (*HM flt-rim*). • Ramat Rahel VA (Fer IIC : 7e s.) : Aharoni 1964, pls 19:1–3; 21. • Jerusalem 10 (Fer IIC) : De Groot and Bernick-Greenberg 2012, fig. 4.11.27.
10	JR	A.9578-11	1119	Bord de col de jarre. Céram. comm. à dégr. min. fin. Section rouge-brun clair. Surf. int. et ext. rouges. Tourné. Bonne cuisson.	• Gezer VIII-VI (Fer II) : Dever *et al.* 1974, pl. 33:19. • Lachish S-1 (Perse) : Fantalkin and Tal 2004, fig. 30.6:21. • H. ʻEres (Perse : 4e s.) : Mazar and Wachtel 2015, fig. 14:5.
11	JR	A.9629-23	1119	Bord de col de jarre. Céram. comm. à dégr. min. fin. Cœur noir. Surf. int. et ext. brun-rouge très pâle. Tourné. Bonne cuisson.	• Gezer III (Hell. anc.) : Gitin 1990, pl. 32:4. • H. ʻEres (Perse : 4e s.) : Mazar and Wachtel 2015, fig. 14:18–22. • ʻIra M-V (Perse) : Freud 1999, fig. 6.107:1. • Nahal Tut (fin Perse–début Hell.) : Alexandre 2006, fig. 60:4,6,10,13. • Kh. Qeiyafa III (fin Perse–début Hell.) : Sandhaus and Kreimerman 2015, fig. 3:5.
12	JR	A.9631-7	1119, 1140	Bord de col de jarre. Céram. comm. à dégr. min. Section grise. Surf. int. et ext. brun-rouge très clair. Tourné. Cuisson moyenne.	• Lachish S-1 (Perse) : Fantalkin and Tal 2004, fig. 30.6:18. • Gezer IV (Perse) : Gitin 1990, pl. 29:10–11. • H. ʻEres (Perse : 4e s.) : Mazar and Wachtel 2015, fig. 14:9–11. • Apollonia-Arsuf (Perse) : Roll and Tal 1999, pl. 4.25:15. • Jérusalem cité de David G.9 (Perse : 5e s.) : Shalev 2018, figs 4.3:10–11, 4.6:7.
13	JR	A.9578-10	1119	Bord de col de petite jarre. Céram. comm. à dégr. min. Section grise. Surf. gris-rose pâle à l'int et beige clair à l'ext. beige. Tourné. Bonne cuisson.	• Lachish S-1 (Perse) : Fantalkin and Tal 2004, fig. 30.5:6. • H. ʻEres (Perse : 4e s.) : Mazar and Wachtel 2015, fig. 13:9.

N°	Type	N° objet	Locus	Description	Comparaisons
					• Samarie, Type G (5e-3e s.) : Stern 1982, p. 117, fig. 171.
14	JG	A.9576-6	1119	Bord de cruche. Céram. comm. à dégr. min. fin. Section brun pâle. Surf. int. et ext. brun clair. Tourné. Bonne cuisson.	• Lachish (Fer IIC) : Amiran 1970, pl. 95:14.
15	LP	A.9673-2	1119	Lampe fragmentaire. Céram très fine, rose en section et beige en surf. Eng. ext. rouge avec traces de peinture noire. Anse-oreillette vestigiale. **Photo : Fig. 11.2.**	*Cf.* Stern 1982, p. 129. • Gezer III (Perse) : Gitin 1990, pl. 31:25. • Gezer IIB (Perse–Hell. anc.) : Gitin 1990, pl. 47:14. • T. Michal (Perse) : Stern 2015, fig. 5.1.23:8–10. • Kh. Qeiyafa III (fin Perse–début Hell.) : Sandhaus 2009, fig. 12.7:10–11.
16	CP	A.9576-1	1119	Bord de marmite. Céram. comm. à dégr. min. fin. Section rouge-gris. Surf. brun-rouge. Eng. ext. brun-rouge. Empreinte de doigt sur l'anse. Tourné. Bonne cuisson.	• Gezer IV (Perse) : Gitin 1990, pl. 31:11–14. • Lachish S-1 (Perse) : Fantalkin and Tal 2004, fig. 30.6:10.
17	CP	A.9578-19	1119	Bord de marmite. Céram. comm. à dégr. min. Section gris-noir. Surf. int. et ext. gris violacé. Tourné. Cuisson moyenne.	• Gezer IV (Perse) : Gitin 1990, pl. 31:11–14. • Lachish (Perse): Fantalkin and Tal 2004, pl. 30.2:4. • H. 'Eres (Perse : 4e s.) : Mazar and Wachtel 2015, fig. 13:1–2. • Kh. Qeiyafa III (fin Perse–début Hell.) : Sandhaus and Kreimerman 2015, fig. 3:10. • Qadum (Perse) : Stern and Magen 1984, fig. 7:3. • Jérusalem cité de David G.9-3 (Perse : 5e s.) : Shalev 2018, fig. 4.2:11–12. • Nahal Tut (fin Perse–début Hell.) : Alexandre 2006, fig. 61:2.

CHAPITRE 12

LA POTERIE DES DERNIÈRES PÉRIODES D'OCCUPATION DE L'ACROPOLE : PHASE ACR-6 ET NIVEAU ACR-I
(*c.* IVe siècle avant – *c.* IVe siècle de notre ère)

Michaël JASMIN

La poterie des périodes d'occupation les plus récentes de Yarmouth a été mise au jour dans les deux sondages de l'acropole :

– Dans le Sondage 1, elle provient des couches supérieures 1105 et 1101 attribuées à la Phase Acr-6 (**Fig. 2.1**). Il s'agit de couches de remblai (1105) et d'érosion (1101) qui, de ce fait, contenaient des tessons de toutes les époques d'occupation de l'acropole, depuis le Bronze ancien jusqu'à l'époque romaine, en particulier le Bronze récent et le Fer I (cf. **Fig. 9.5**). La poterie d'époque hellénistique et romaine ancienne (**Fig. 12.1**) ainsi que celle d'époque romaine tardive/byzantine ancienne (**Fig. 12.2**) proviennent principalement de la couche superficielle[1].
– Dans le Sondage 2, le mobilier de basse époque a été mis au jour au niveau Acr-I, qui correspond en principe à une période s'étendant entre le IVe s. avant et le IVe s. de notre ère. Il provient de contextes stratigraphiques généralement incertains (voir ci-dessus § 3.9) : situés immédiatement sous la terre de surface et constitués de couches d'érosion et de remblais de terrasses agricoles, les loci d'époques récentes livrent en effet pour la plupart un matériel mélangé où se mêlent quelques tessons du Bronze ancien, une majorité de l'âge du Fer et une grande quantité des périodes romaine et romaine tardive/byzantine ancienne. Toutefois, quelques loci des niveaux Acr-IB et Acr-IA2 dégagés en AZ 116 – en l'occurrence les loci L.1179–1180 et L.1175 –, qui correspondent à des phases d'occupation bien caractérisées datables du Ier s. av.–Ier s. ap. J.-C, ont fourni une poterie plus homogène dans des contextes stratigraphiques mieux assurés (**Fig. 12.3**). C'est essentiellement ce matériel qui est décrit ci-dessous.

12.1. INVENTAIRE TYPOLOGIQUE

12.1.1. Bols

Les bols ne représentent qu'un faible pourcentage des formes recueillies. Leur taille est très variable mais nombre d'entre eux possèdent des profils caractéristiques de l'époque hérodienne, soit du début de notre ère, avec une lèvre externe horizontale épaissie à son

[1] Rappelons que la distinction entre la poterie d'époque romaine tardive et celle d'époque byzantine ancienne est délicate. Selon J. Magness (1992, p. 163), la désignation de « poterie romaine tardive » (*Late Roman*) peut s'appliquer aux IVe, V^e et début du VIe siècles de notre ère, et celle de poterie « byzantine » à la seconde moitié du VIe et au VIIe siècles.

extrémité (**Fig. 12.3:5–6**). D'autres bols à profil caréné recueillis dans la couche de surface du Sondage 1 (**Fig. 12.2**), pour lesquels il existe de nombreux parallèles, aussi bien dans le nord (Beth-Shean) que dans le Néguev (Tel 'Ira), sont datés de la fin de l'époque romaine et du début de l'époque byzantine.

12.1.2. Marmites et casseroles

Les marmites sont les formes les plus couramment rencontrées dans les couches de ce niveau. Elles ont une paroi fine et sont très cuites, de couleur rougeâtre et de sonorité métallique. Celles à col vertical plus ou moins allongé (**Fig. 12.3:13–14**) relèvent d'un type courant à panse globulaire[2]. Celles à col court très évasé (**Fig. 12.3:7,15**), appelées « *shallow cooking pot* » ou « casseroles », sont d'époque hérodienne (Ier s. av. – Ier s. ap. J.-C.)[3].

12.1.3. Jarres

Les jarres, dont ne subsistent que quelques bords, se répartissent principalement en deux grandes catégories, selon que le col est court et à lèvre moulurée (**Fig. 12.3:10–11**), ou bien haut et allongé (**Fig. 12.3:2–3, 8–9, 12–13**), souvent soulignée par un bandeau large (**Fig. 12.3:3, 9**), parfois avec lèvre épaissie (**Fig. 12.3:2, 12**). Ces bords sont caractéristiques de la période romaine[4]. Notons que la pâte des jarres, du fait de la cuisson, est de sonorité métallique, comme celles des marmites.

12.1.4. Cruche

Sur le sol 1175-b (niveau Acr-IA2) gisait le fragment d'un col de cruche haut et concave à bord en ressaut (**Fig. 12.3:1**), qui relève d'un type de cruche fréquent en Judée et au Néguev à l'époque hérodienne[5].

12.1.5. Lampes

On trouve au niveau Acr-IB des lampes en céramique commune à bec arqué caractéristique de l'époque romaine ancienne (**Fig. 12.3:4**)[6] ou en céramique fine à décor appliqué recouverte d'une peinture noire (**Fig. 12.3:16**). Cette dernière lampe relève d'un type courant à l'époque hérodienne en Judée, dans la plaine côtière et au Néguev, où elles étaient diffusées à partir d'un centre de production à Jérusalem[7].

[2] Lapp 1961, pp. 186–187, type 71.
[3] Lapp 1961, p. 190 (type 72.1) ; Taxel and Hershkovitz 2011, p. 351 (type 2).
[4] Voir, entre autres, Lapp 1961, pp. 144–153 (type 11) ; Mazar and Pinsky 2018, p. 137 (SJ2a–b).
[5] Fischer and Tal 2007, p. 228 (RJT2) ; Taxel and Hershkovitz 2011, p. 359 (type 1).
[6] Mazar and Pinsky 2018, p. 139 (Lp4).
[7] Barag and Hershkovitz 1994, pp. 64, 67–71, figs 18–19 ; Taxel and Hershkovitz 2011, p. 360 et fig. 6.26.

12.1.6. Flacons

On signalera séparément deux fragments de flacons mis au jour dans la couche de surface du Sondage 1 car il est possible qu'ils soient un peu plus anciens que le mobilier des niveaux Acr-IB–Acr-IA2 du Sondage 2 décrit ci-dessus.

Il s'agit d'abord du pied d'un flacon fusiforme (*unguentarium*) (**Fig. 12.1:2**), un genre de vase caractéristique de l'époque hellénistique, apparu vers la fin du IVe siècle et resté en usage jusqu'à la deuxième moitié du Ier siècle av. J.-C., c'est-à-dire pendant toute la durée de l'époque hellénistique[8]. Toutefois, ce genre de vase est encore attesté à l'époque hérodienne[9].

Un autre fragment de vase de même provenance (**Fig. 12.1:3**) ressemble beaucoup au précédent, mais il a la particularité de porter sur la base un décor gravé, à savoir une croix cantonnée de quatre points. Comme il est douteux qu'il s'agisse d'un sceau, il est tentant d'y voir aussi le pied d'un *unguentarium* ; toutefois, nous ne connaissons pas d'exemple où un vase de ce type porte un décor gravé sur la base.

12.2. Conclusion

La taille réduite de l'échantillon de poteries permet tout au plus d'orienter chronologiquement la datation relative des couches d'occupation les plus récentes de l'acropole. Mis à part les quelques tessons qui attestent une occupation aux époques hellénistique (**Fig. 12.1:1**?) et romaine ancienne (**Fig. 12.1:2–3**), la poterie recueillie sur les sols du niveau Acr-IB (sols 1179-a et 1180 : **Fig. 12.3:7–16**) et du sous-niveau Acr-IA2 (L. 1175 : **Fig. 12.3:1–6**), date essentiellement de l'époque hérodienne. Quant à la poterie romaine tardive et byzantine ancienne (**Fig. 12.2**), elle se trouve mélangée à des tessons plus anciens dans les couches superficielles du Sondage 2 (niveau Acr-IA2–1) et dans la couche de surface du Sondage 1 ; elle comprend d'ailleurs peu de formes identifiables.

Références

Bar-Nathan, R.
1981 "The Finds at Lower Herodium," in *Greater Herodium* (Qedem, Monographs of the Institute of Archaeology 13), edited by E. Netzer, pp. 54–78. Jerusalem : The Hebrew University of Jerusalem.

Barag, D. and Hershkovitz, M.
1994 "Lamps from Masada," in *Masada IV, The Yigael Yadin Excavations 1963–1965, Final Reports,* edited by J. Aviram, G. Foerster and E. Netzer, pp. 1–147. Jerusalem : Israel Exploration Society.

Berlin, A.
2015 "Hellenistic Period," in *The Ancient Pottery of Israel and Its Neighbors from the Iron Age through the Hellenistic Period,* Vol. 2, edited by S. Gitin, pp. 629–671. Jerusalem : Israel Exploration Society, W. F. Albright Institute of Archaeological Research, Israel Antiquities Authority, American Schools of Oriental Research.

[8] Berlin 2015, p. 639.
[9] Seligman 2006, fig. 19:21–22 et pp. 20, 58 (avec références).

FISCHER, M. and TAL, O.
2007 "Hellenistic and Roman Period Pottery," in *Ḥorvat 'Uza and Ḥorvat Radum, Two Fortresses in the Biblical Negev* (Tel Aviv University Sonia and Marco Nadler Institute of Archaeology Monograph Series No. 25), edited by I. Beit-Arieh, pp. 211–255. Tel Aviv : Emery and Clare Yass Publications in Archaeology.

GITIN, S.
1990 *Gezer III, A Ceramic Typology of the Late Iron II, Persian and Hellenistic Periods at Tell Gezer* (Annual of the Nelson Glueck School of Biblical Archaeology vol. III). Jerusalem : Hebrew Union College.

JOHNSON, B. L.
2006 "The Hellenistic to Early Islamic Period Pottery," in *Excavations at Tel Beth-Shean 1989–1996.* Vol. I. *From the Late Bronze Age IIB to the Medieval Period*, edited by A. Mazar, pp. 523–589. Jerusalem : The Israel Exploration Society ; The Institute of Archaeology, The Hebrew University of Jerusalem.

LAPP, P. W.
1961 *Palestinian Ceramic Chronology 200 B.C.–A.D. 70* (Publications of the Jerusalem School, Archaeology: Vol. III). New Haven : American Schools of Oriental Research.

MAGNESS, J.
1992 "The Late Roman and Byzantine Pottery from Areas H and K," in *Excavations at the City of David 1978–1985 directed by Yigal Shiloh. Volume III. Stratigraphical, Environmental, and Other Reports* (Qedem, Monographs of the Institute of Archaeology 33), edited by A. De Groot and D. T. Ariel, pp. 149–186. Jerusalem : The Hebrew University of Jerusalem.

MAZAR, E. and PINSKY, S.
2018 "The Herodian Pottery from Areas A–C2012 of the New Ophel Excavations," in *The Ophel Excavations to the South of the Temple Mount 2009–2013, Final Reports Volume II*, edited by E. Mazar, pp. 135–147. Jerusalem : Shoham.

NEGEV, A.
1986 *The Late Hellenistic and Early Roman Pottery of Nabatean Oboda* (Qedem, Monographs of the Institute of Archaeology 22). Jerusalem : The Hebrew University of Jerusalem.

SELIGMAN, J.
2006 "Jerusalem, Khirbat Ka'kul (Pisgat Ze'ev): Early Roman Farmsteads and a Medieval Village," *'Atiqot* 54 : 1–73.

TAXEL, I. and HERSHKOVITZ, M.
2011 "The Hellenistic and Early Roman Pottery," in *Tel 'Aroer, The Iron Age II Caravan Town and the Hellenistic–Early Roman Settlement* (Annual of the Nelson Glueck School of Biblical Archaeology, Hebrew Union College–Jewish Institute of Religion VIII), edited by Y. Thareani, pp. 343–368. Jerusalem : NGSBA/HUC–JIR.



Fig. 12.1. Sondage 1, Phase 6, tessons d'époques hellénistique (?) et romaine ancienne.

N°	N° objet	Locus	Description	Comparaisons
1	A.9500-4	Surf.	Base de plat à poisson ? Céram. comm. à dégr. min. fin. Eng. épais rouge lustré à l'int. et à l'ext.	Lapp 1961, pp. 214–216, type 253 (75 av.–20 ap. J.-C.). • Beth-Shean P-5 (Hell.) : Johnson 2006, fig. 15.1:10–12.
2	A.9529-1	1101, 1011	Pied de flacon fusiforme (*unguentarium*). Céram. comm. à dégr. min. Eng. brun-beige. Base détachée à la ficelle.	• Beth-Shean P-5 (Hell.–Rom. anc. : fin 4e–2e moitié du 1er s. av. J.-C.) : Johnson 2006, p. 536 et fig. 15.5:104–109. • 'Ira : Fischer and Tal 1999, fig. 6.133:10. • Gezer (Hell. réc.) : Gitin 1990, pl. 48:27. • Jérusalem-Kh. Ka'kul (1er s. av.–1er s. ap. J.-C.) : Seligman 2006, fig. 19:21–22.
3	A.9500-13	Surf.	Base à décor imprimé. Sceau ou pied d'*unguentarium* ? Céram. comm. à dégr. min. Surf. rose, traces d'eng. blanc.	

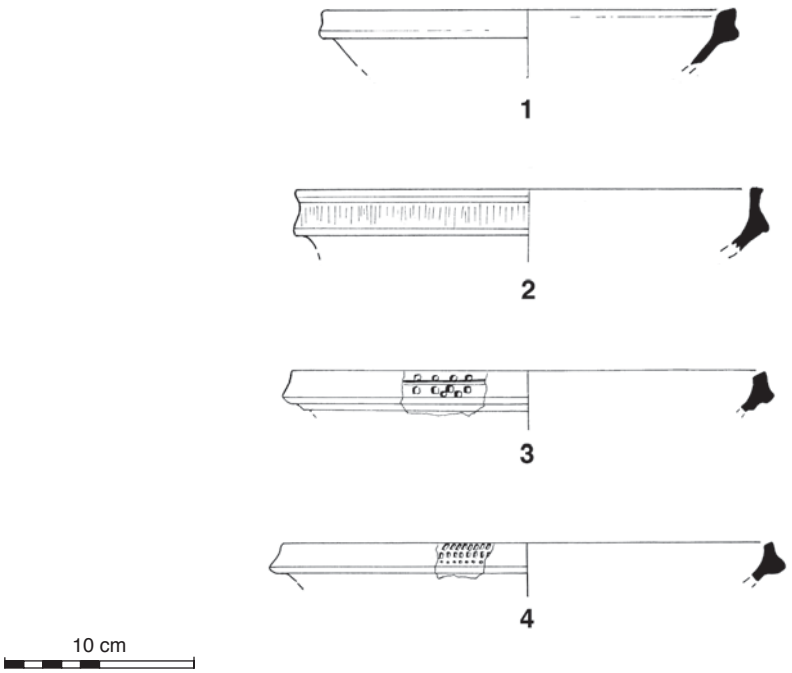


Fig. 12.2. Sondage 1, Phase 6, poterie romaine tardive/byzantine ancienne.

N°	N° objet	Locus	Description	Comparaisons
1	A.9500-7	Surf.	Bord de bol. Céram. fine rouge pâle. Eng. int. et ext. rouge-brun.	• Jérusalem cité de David (Rom.-Byz.) : Magness 1992, figs 6:13, 12:2. • 'Ira C-III–I (Rom.-Byz.) : Fischer and Tal 1999, fig. 6.129:6. • Beth-Shean (Byz) : Johnson 2006, fig. 15.8:159.
2	A.9500-12	Surf.	Bord de bol. Céram. assez fine à dégr. min. Surf. rouge-orange. Décor imprimé sous la lèvre.	• Jérusalem Cité de David (Rom.-Byz.) : Magness 1992, fig. 9:15. • 'Ira L-II (Byz) : Fischer and Tal 1999, fig. 6.148:4.
3	A.9500-2	Surf.	Bord de bol. Céram. fine à dégr. min. Eng. rouge-orange pâle. Décor d'impressions sur le bord.	• 'Ira C-III à I (Rom.-Byz.) : Fischer and Tal 1999, figs 6.131:2, 6.133:5. • Gezer I (Rom.-Byz.) : Gitin 1990, pl. 44:18.
4	A.9500-11	Surf.	Bord de bol. Céram. fine. à dégr. min. très fin. Eng. rouge à l'int. et à l'ext. Décor d'impressions autour du bord. Bien cuite.	• Beth-Shean (fin Rom.-Byz.) : Johnson 2006, figs 15.6:113–117, 15.8:163.

Figure 12.3

N°	N° objet	Locus	Description	Comparaisons
1	A.9759-16	1175-2 + sol b	Bord de col de cruche. Céram. fine à dégr. min. Pas de cœur. Surf. int. et ext. gris-brun foncé. Tourné. Très cuit.	Lapp 1961, p. 160, type 21.2 (50 av.–70 ap. J.-C). • H. 'Uza (Rom. anc.) : Fischer and Tal 2007, p. 228 (RJT 2). • 'Aroer (1er s. av.–1ère moitié du 2e s. ap. J.-C.) : Taxel and Hershkovitz 2011, p. 358 (Type 1) et pl. 258:1–6.
2	A.9759-14	1175-2 + sol b	Bord de col de jarre. Céram. assez fine à dégr. min. Cœur gris. Surf. int. et ext. brun-rouge. Tourné. Très cuit.	Lapp 1961, p. 152, type 11 (75 av.–70 ap. J.-C.).
3	A.9759-4	1175-2 + sol b	Bord de col de jarre. Céram. assez fine à dégr. min. Cœur gris. Surf. int. et ext. brun-rouge. Tourné. Très cuit.	Lapp 1961, p. 147, type 11.2 (50 av.–68 ap. J.-C.). • Jérusalem Ophel (1er s. av.–70 ap. J.-C.) : Mazar and Pinsky 2018, fig. A1:37 (SJ2a).
4	A.9764-2	1175-2	Lampe à huile fragmentaire. Céram. comm. à dégr. min. Pas de cœur. Surf. int. et ext. beige. Moulé. Très cuit.	Lapp 1961, p. 193, type 82 (75 av.–70 ap. J.-C.). • Jérusalem Ophel (1er s. av.–70 ap. J.-C.) : Mazar and Pinsky 2018, fig. A1:71–73 (Lp4). • 'Aroer (Fin 1er s. av.–1er s. ap. J.-C.) : Taxel and Hershkovitz 2011, p. 359 (Type 2a) et pl. 259:4–9.
5	A.9765-3	1175-2	Bord de bol. Céram. assez fine à dégr. min. Pas de cœur. Surf. beige à l'int. et brun clair à l'ext. Tourné. Très cuit.	• Jérusalem (Rom.-Byz.) : Magness 1992, fig. 8:4.
6	A.9755-14	1175-1 + sol a	Bord de bol. Céram. fine à dégr. min. Pas de cœur. Surf. int. et ext. brun-beige. Tourné. Bien cuit.	• Jérusalem (Rom.-Byz.) : Magness 1992, figs 5:17, 6:17–18. • Beth-Shean (Byz) : Johnson 2006, fig. 15.8:156.
7	A.10609-7	1179-sol a	Bord de marmite/casserole. Céram. comm. à dégr. min. assez fin. Cœur gris. Surf. int. et ext. rouge. Tourné. Très cuit.	• 'Aroer (fin 1er s. av.–fin 1er s. ap. J.-C.) : Taxel and Hershkovitz 2011, p. 351 (Type 2) et pl. 250:3.
8	A.10609-4	1179-sol a	Bord de marmite ou de jarre. Céram. assez fine à dégr. min. Pas de cœur. Surf. int. et ext. beige. Tourné. Très cuit.	• Jérusalem Ophel (1er s. av.–70 ap. J.-C.) : Mazar and Pinsky 2018, fig. A1:38–39 (SJ2b). • *Cf.* Jérusalem (Fin Byz.) : Magness 1992, fig. 6:3.
9	A.9777-7	1179-1	Bord de col de jarre. Céram. assez fine à dégr. min. Pas de cœur. Surf. gris-beige à l'int. et brun-rouge à l'ext. Tourné. Très cuit.	• Jérusalem Ophel (1er s. av.–70 ap. J.-C.): *ibid.* • Beth-Shean (Byz.) : Johnson 2006, fig.15.12:244.
10	A.9778-11	1180-1	Bord de col de jarre. Céram. assez fine à dégr. min. Pas de cœur. Surf. int. et ext. beige. Tourné. Très cuit.	• 'Ira C-III à I (Rom.-Byz.) : Fischer and Tal 1999, pl. 6.129:20.
11	A.9773-3	1180-1	Bord de jarre. Céram. comm. à dégr. min. Cœur gris. Surf. int. et ext. brun-rouge. Tourné. Très cuit.	• 'Aroer (1er s. av.–2e s. ap. J.-C.) : Taxel and Hershkovitz 2011, p. 350 (Type 5) et pl. 249:5–6 ?
12	A.9786-4	1180-1	Bord de col de jarre. Céram. comm. à dégr. min. Mince cœur gris. Surf. int. et ext. beige. Tourné. Très cuit.	• 'Ira B-V à III (Perse-Hell., Rom.) : Fischer and Tal 1999, pl. 6.128:13.

N°	N° objet	Locus	Description	Comparaisons
13	A.9778-4	1180-1	Bord de marmite. Céram. comm. à dégr. min. Cœur gris. Surf. int. rouge. Surf. ext. rouge sombre. Tourné. Très cuit.	• *Cf.* n° 8–9.
14	A.10624-11	1180-1	Bord de marmite. Céram. comm. à dégr. min. Cœur gris. Surf. int. et ext. rouge sombre. Tourné. Très cuit.	Lapp 1961, p. 153, type 13 (50 av.–68 ap. J.-C.).
15	A.9778-1	1180-1	Marmite/casserole fragmentaire. Céram. comm. à dégr. min. Pas de cœur. Surf. int. et ext. rouge. Tourné. Très cuit.	
16	A.10624-2	1180-1	Lampe à huile fragmentaire. Céram. fine à dégr. min. Pas de cœur. Surf. int. et ext. noire. Très cuit. Décor géométrique imprimé.	• Herodium : Bar-Nathan 1981, ill. 93:4. • Jérusalem : Barag and Hershkovitz 1994, figs 18–19 ; Taxel and Hershkovitz 2011, fig. 6.26. • H. ʻUza (fin 1er s. av.–1er s. ap. J.-C.) : Fischer and Tal 2007, p. 228 (RLP 1) et fig. 9.42. • Oboda : Negev 1986, p. 128, n°1117. • ʻAroer (1er s. ap. J.-C.) : Taxel and Hershkovitz 2011, p. 360 (Type 3) et pl. 260:2.

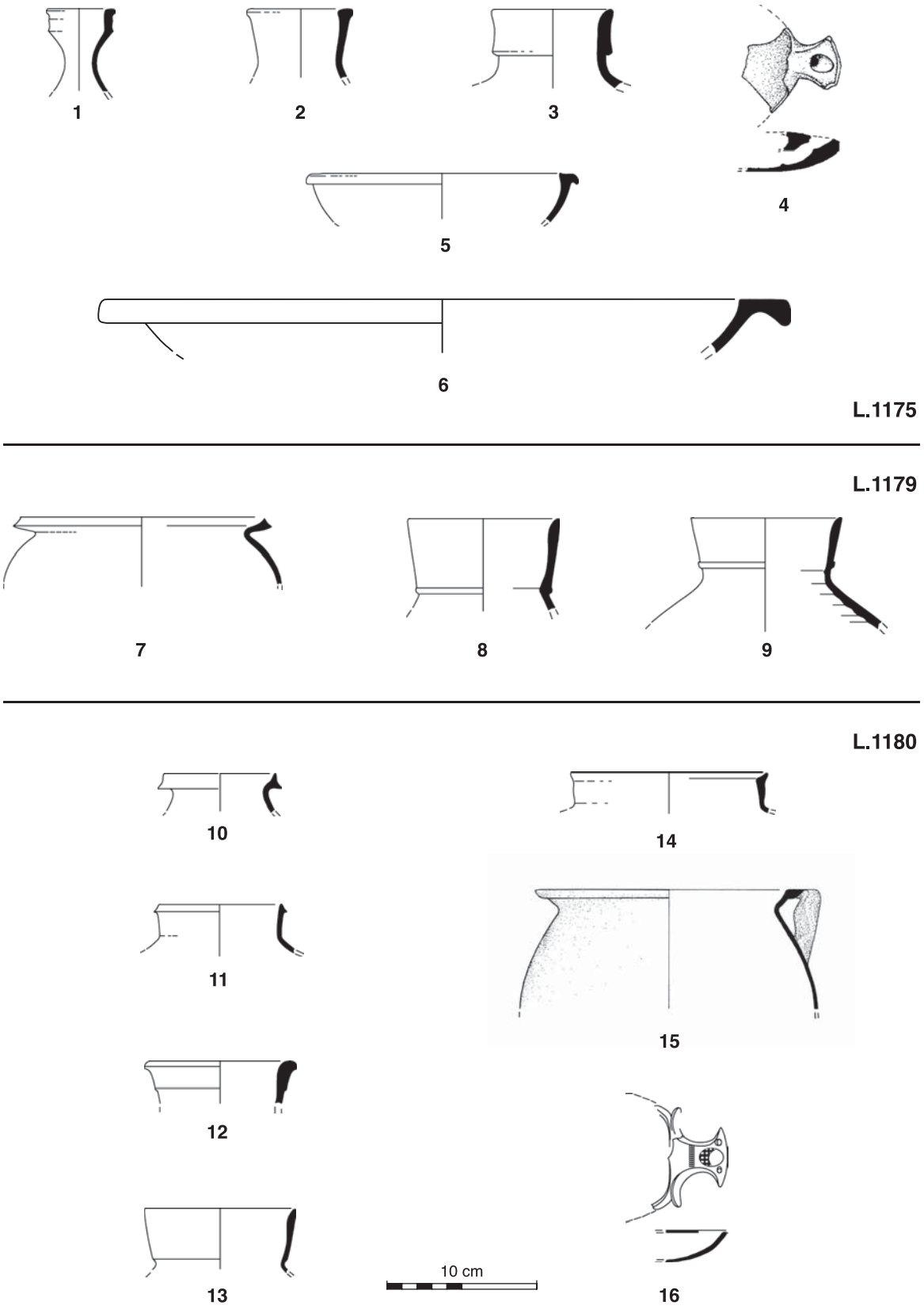


Fig. 12.3. Sondage 2, poterie des niveaux Acr-IA2 (L.1175 : Romain) et Acr-IB (L.1179, L.1180 : Romain ancien).

Troisième partie

LE MOBILIER NON CÉRAMIQUE

CHAPITRE 13

THE CHIPPED STONE ASSEMBLAGE FROM THE ACROPOLIS OF TEL YARMUTH[1]

Steve A. ROSEN
Ben-Gurion University of the Negev

and

Jacob VARDI
Israel Antiquities Authority

13.1. INTRODUCTION

The chipped stone assemblage from the acropolis Strata Acr-VI to II are attributed to the Late Bronze II through Iron Age II.[2] The assemblage is relatively small, comprised of 447 artefacts, of which 79 (17.7 per cent) are tools (**Table 13.1**). In spite of its small size, it appears to be a typical late second millennium BCE assemblage, dominated by sickle segments and sickle segments in preparation, with no other diagnostic elements.[3] Besides the documentation of the materials, the assemblage is of interest for the marked functional and typological contrasts it presents to the Early Bronze Age assemblages at the site.[4] The basic methods of analysis were presented by Rosen in 1997.[5]

13.2. RAW MATERIALS

A formal classification of the raw materials utilised in lithic production at Yarmuth, including the acropolis materials, based on texture and colour, would divide them into five categories: 1. hard limestone; 2. a whitish flint of medium grain; 3. a flint conglomerate with many impurities and internal fractures; 4. a fine-grained grey translucent flint; and 5. a fine-grained brown flint with chalky cortex (when present). In fact, these should probably be reduced to essentially two types, generally locally available flints used opportunistically for ad hoc production (materials 1 through 4) and the fine-grained brown flint, exploited for all types, but especially for sickle segments.[6] All raw materials are found locally, either in adjacent wadis or embedded in local limestone bedrock, but the larger size

[1] The lithic materials from the acropolis at Tel Yarmuth were initially analysed and written up in the late 1990s in the context of a larger report on the lithic assemblages of the site. Re-organisation of the publication project required separation of the Late Bronze and Iron Age acropolis materials from the rest of the assemblage, and rewriting. However, no re-analysis could be undertaken and the methods used reflect those of the 1990s. Updating the references without redoing the analysis seems a sterile exercise and we chose to leave the paper as it was originally submitted.

[2] Early Bronze Age materials from the acropolis will be published at a later date with the other Early Bronze Age materials.

[3] Rosen 1997, pp. 151–164, and references.

[4] Rosen 1988.

[5] See Rosen 1997.

[6] *Cf.* Hammond 1977.

of the brown nodules from which the fine-grain brown flint is derived, their homogeneity, and the general lack of faults within the material, make them more appropriate for the production of the relatively large blade-flakes which are the basis of large geometric sickle segments.

In addition to these different types, some pieces show colour change caused by burning or heating, probably not intentional. There is no evidence for deliberate heat treatment. Patination is also present on a few pieces, especially intrusive ones.

Waste		Tools		
Chip	72	Sickle	38	48.1%
Chunk	85	Ret. Blade	8	10.1%
Flake	136	Tab. scrapers	3	3.8%
Primary	47	Borers	2	2.5%
Plain blade	5	Notches/dent.	17	21.5%
Can. blade	2	Ret. Flakes	6	7.6%
Bladelet	0	Chopper	1	1.3%
CTE	6	Scrapers	4	5.1%
Cores	15			
Total waste	368	Total tools	79	100%
Percent waste	82.3%	Percent tools	17.7%	

Table 13.1. General lithic frequencies from the Yarmuth acropolis.

13.3. Waste Assemblage and Technology

The waste assemblage, not including debris (chunks and chips) is dominated by small, unstandardised flakes, reflecting production of ad hoc tools. The technology reflected here is not exclusive to the Late Bronze and Iron Ages and therefore it is not possible to ascertain how much of this material may be intrusive from earlier levels. Only five of the flakes, all on the same brown raw material indicated above, are of the appropriate size and shape to have served as blanks for Large Geometric sickle segments. The remaining flakes are too small and usually ill-shaped to have been converted to sickle segments. These remaining flakes were on a wide range of raw materials as well, including one on limestone.

The four plain blades are nondescript, and the two Canaanean blade segments are clearly intrusive from the Early Bronze Age strata. One fragment appears to be a cortical material.

Of the 15 cores in the acropolis assemblage, 14 are amorphous flake cores and one is a mixed flake-bladelet core, perhaps intrusive. Raw materials range over all the types indicated, but six are shades of opaque brown of medium to fine grain. The largest core, 10.53 cm in length, the only one large enough to have produced Large Geometric sickle blanks, was on a flawed black and white heterogeneous flint, a material on which no sickle segments were made. Average maximum of the cores is 5.3 ± 2.1 cm. Nine cores retain cortex, suggesting a generally low level of reduction.

Only six irregular core trimming elements were recovered, one crude core tablet and the others various forms of ridge blades and plunging flakes. No technological standardisation is reflected in these pieces and it is not clear that they were actually intended to renew or rejuvenate cores, as opposed to general ad hoc reduction and core rotation.

Given the ad hoc core technology combined with the size and nature of the flakes, and in spite of the small sample size, it is likely that the technologically contrasting Large Geometric sickle segments were manufactured either off-site or in a restricted location on-site, either way reflecting some kind of specialised manufacture. A similar picture is obtained at other sites.[7]

The relatively high proportion of primary flakes relative to simple flakes, almost 1:3, suggests a non-intensive mode of reduction, and more or less matches the relatively low total debitage to core ratio (13:1).

		Length	Width	Thickness
Large Geometric	avg.	4.32	3.26	0.82
	n	19	21	21
	s.d.	0.82	0.66	0.23
Large Geometric incomplete	avg.	5.16	3.7	0.7
	n	2	3	3
	s.d.		0.54	0.1
Backed Blade	avg.	3.75	1.67	0.5
	n	2	5	5
	s.d.		0.24	0.15
Canaanean	avg.		1.9	0.5
	n		1	1
Plain Blades	avg.	4.8	1.9	0.55
	n	1	2	2

Table 13.2. Sickle segment metrics. Note that fragments were not included here.

13.4. TOOLS

13.4.1. Sickle segments (38; 48.1 per cent) (Fig. 13.1)

The sickle segments, identifiable by the presence of edge lustre or gloss (especially **Figs. 13.1:8,10**; **13.2**),[8] combined with an appropriate morphology, comprise almost half of the tools. This is a typical frequency for the period and is probably somewhat of an underestimate of the true proportion given the non-diagnostic nature of most of the other tools, many of which are most certainly intrusive. This high frequency probably reflects

[7] For example, Coqueugniot 1991; Rosen 1997, pp. 11–12.
[8] See also, e.g., Curwen 1930; Witthoft 1967; Anderson 1980; Rosen 1997, pp. 55–58 for summary.

Fig. 13.1.

No.	Invent. No.	Locus	Stratum
1	D.9758-1	/	/
2	D.9796-1	1186-1	Acr-VA
3	D.9714-1	1153	Acr-VA
4	D.10707-2	1173-a	Acr-VIA
5	D.10754-1	2320-1	Acr-IIB
6	D.9726-1	1173-a	Acr-VIA
7	D.10717-1	2309B	Acr-VIA
8	D.10862-1	2319-3+2	Acr-IIB
9	D.9633-1	1149-1	Acr-III
10	D.10888-1	1149-2	Acr-III

both the general decline in the use of flint tools for other functions,[9] and the importance of agriculture in late second millennium BCE society.

Four types are present: 28 Large Geometrics (**Fig. 13.1**),[10] two of which are fragmentary and were not included in the metric study and three of which are unfinished and analysed separately; five backed blade sickle segments; two plain blade sickle segments; and three Canaanean sickle segments.[11] **Table 13.2** presents the metric attributes of the sickles by type. The fundamental differences between Large Geometric sickle segments and all the blade-based segments (Canaanean, plain, and backed) are obvious, even given the limitations of the sample size. Although the Canaanean blades are attributable typologically to the Early Bronze Age, and the others to a number of possible periods, they could all well have been collected and re-used during the Late Bronze and Iron Ages. In this context it is also important to note that virtually no Large Geometrics were recovered from clean Early Bronze Age contexts.

In terms of other attributes, as indicated above, all the sickle segments show edge gloss, but two of the Canaanean segments show gloss on both edges, indicating reversal in the haft, technologically not possible for backed blade sickles and Large Geometrics types due to the presence of backing. Gloss intensity varies, probably reflecting degree of usage. The unfinished pieces do not show gloss.

Twenty-two Large Geometric sickle segments are backed (e.g., **Fig. 13.1:1**,**4**,**6**,**10**), two are partially backed (e.g., **Fig. 13.1:3**,**8**,**9**) and four do not show backing (e.g., **Fig. 13.1:2**,**5**,**7**) (one is too fragmentary to ascertain). Most are backed with dorsal retouch, although a few pieces also show ventral and bifacial backing (e.g., **Fig. 13.1:10**), usually near the bulb of percussion. Three Large Geometrics show possible remnants of adhesive (e.g., **Fig. 13.1:9**). The backed blade sickles exhibit dorsal backing.

[9] For example, Rosen 1996; 1997, pp. 151–166.
[10] *Cf.* Waechter 1958; Crowfoot 1935.
[11] For example, Rosen 1997, pp. 44–55; Crowfoot 1935; Neuville 1934/5.

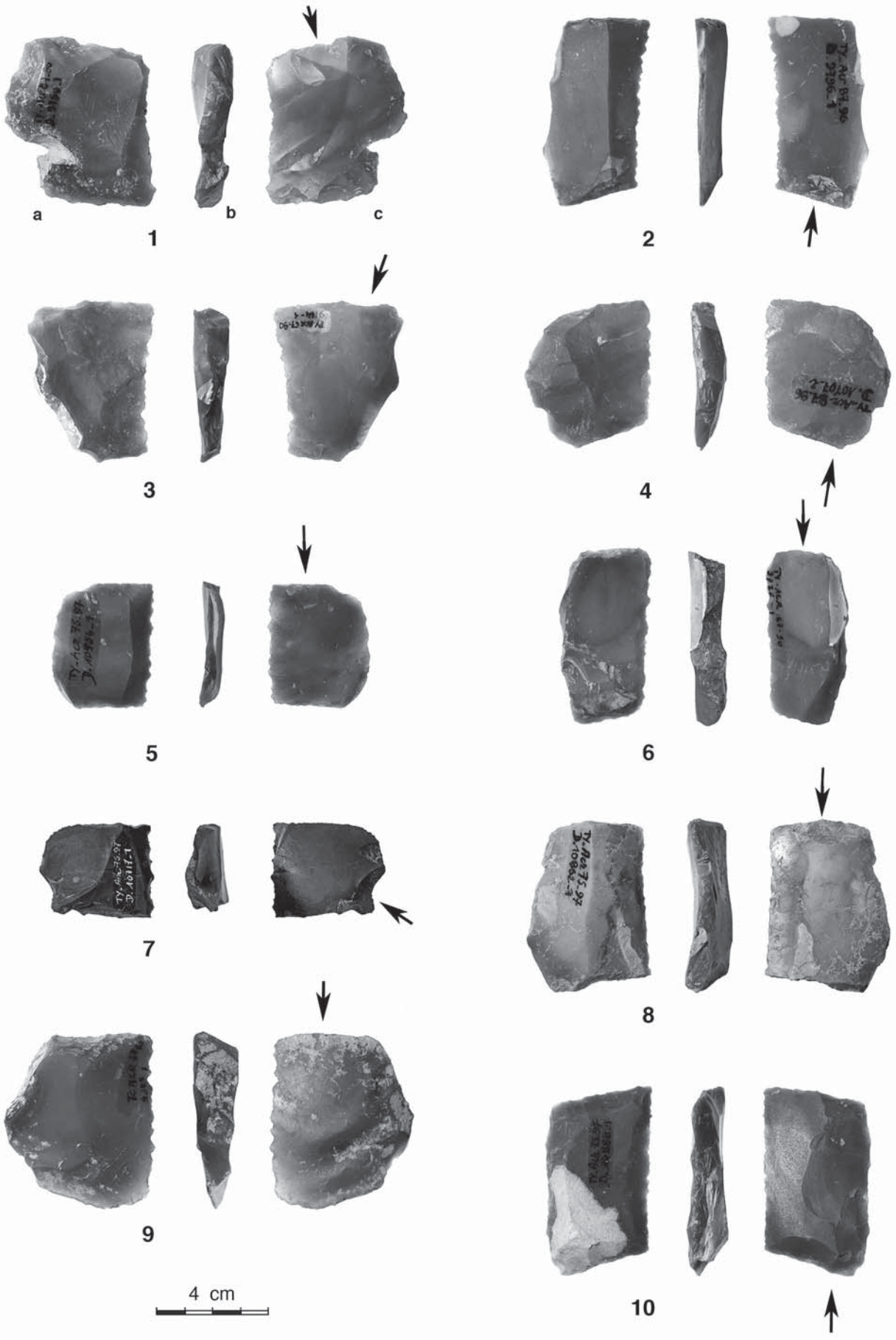


Fig. 13.1. Large Geometric sickle segments from the Tel Yarmuth acropolis. Note that segments have been aligned with cutting edge facing centre. Location of the bulb of percussion varies and is indicated by the arrow (also indicating axis of percussion).

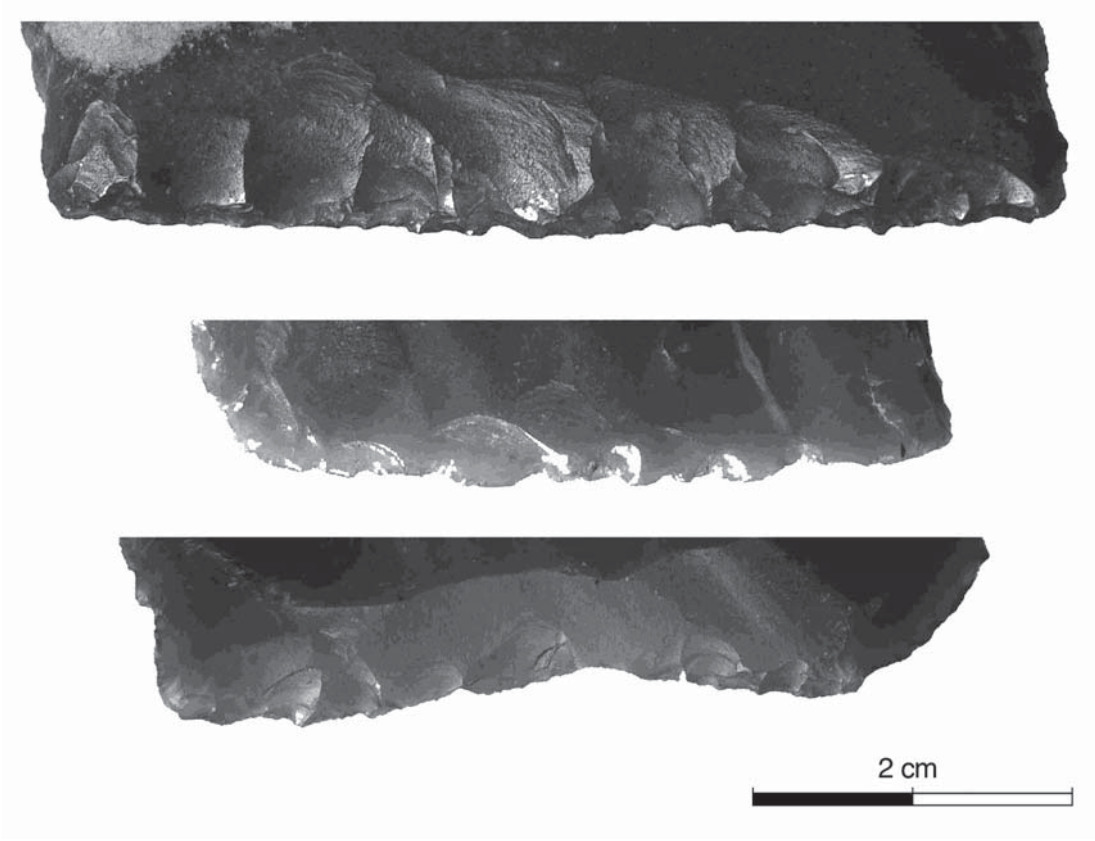


Fig. 13.2. Variability in edge retouch on Large Geometric sickle segments. Lower: Light serration or nibbling ; note non-continuity of retouch. Middle: Serration. Upper: Heavy serration.

Retouch on the Large Geometrics varies from light serration to heavy serration (**Fig. 13.2**), excepting the unfinished pieces which show either no retouch or edge damage. The backed blade and plain blade sickles also show varying degrees of serration. This is important since in earlier periods, for example, the Chalcolithic, when backed blade sickles were typical, retouch is of a lesser degree. This suggests that these pieces were indeed utilised, perhaps as ad hoc replacements, during the Iron Age. The Canaanean sickle segments show retouch varying from nibbling to serration, but none are as heavily retouched as the heavily serrated Large Geometric segments.

Shape is classified primarily according to the angle of the truncations relative to the working edge (backing is often irregular). Of the complete Large Geometrics, five are roughly rectangular in shape (e.g., **Fig. 13.1:5–8**) and five are trapezoidal (e.g., **Fig. 13.1:1–2,9**), 11 are parallelograms (e.g., **Fig. 13.1:4,10**), and two are triangular or sub-triangular (e.g., **Fig. 13.1:3**), shapes determined by angles of truncation and backing. Truncations are primarily dorsal, although ventral truncations also occur on the proximal end (e.g., **Fig. 13.1:1,4,9,10**). Only two segments retain the bulb of percussion, six are missing the bulb, and ten show bulbar thinning (e.g., **Fig. 13.1:4,10**).

The incomplete Large Geometrics show no retouch, no gloss, and are lacking one or more truncations. Notably, they are marginally larger on average (**Table 13.2**) than the finished pieces, probably reflecting the lesser degree of reduction.

13.4.2. Notches and denticulates (17; 21.5 per cent)

The group is divided equally between notches/denticulates on flakes and on chunks, indicating well the ad hoc nature of the category. Seven can be classified as flat notches, three as steep notches, two as flat denticulates (multiple notching) and five as steep denticulates.

13.4.3. Retouched blades (8; 10.1 per cent)

Five are simple retouched blades with a single nibbled edge. Two show backing. The single Canaanean blade shows a nibbled edge retouch and either was collected from elsewhere on the site during the late second millennium BCE or is intrusive.

13.4.4. Scrapers (4; 5.1 per cent)

All four scrapers are flat end scrapers on flakes.

13.4.5. Retouched flakes (6; 7.6 per cent)

Three are simple retouched flakes with minimal retouch along one edge. Two are backed flakes with abrupt retouch. The final piece is a retouched chunk.

13.4.6. Borers (2; 2.5 per cent)

The two borers show retouched points.

13.4.7. Chopper (1; 1.3 per cent)

The chopper is a cortex covered cobble worked on one edge.

13.4.8. Tabular Scrapers (3; 3.8 per cent)

Both tabular scrapers are fragments, intrusive from the Early Bronze Age layers.

The problem of intrusion of non-diagnostic elements was noted earlier. At sites with no underlying Early Bronze Age strata, the proportion of sickle segments in the tool assemblage tends to be higher than found at Yarmuth, and the presence of two fragmentary tabular scrapers confirms the presence of intrusive pieces. It is difficult to be more precise than this.

13.5. Summary

The small collection from the acropolis Sounding 2 at Tel Yarmuth is typical of the late second millennium BCE, the Late Bronze II–III and the Early Iron Age, before iron displaced flint sickles. The dominance of the sickle segments reflects both the importance of agriculture amongst the remaining lithic functions, and the decline of other uses of flint, the result of increasing use of metals. The technological and typological contrast in sickle segments between the acropolis materials and those of the rest of the Early Bronze Age site is also typical.

ACKNOWLEDGMENTS.– We are grateful to Pierre de Miroschedji and Michaël Jasmin for the opportunity to examine the materials from Yarmuth. Alter Fogel, of Ben-Gurion University, photographed the sickle segments.

REFERENCES

ANDERSON, P. C.
1980 "A Testimony of Prehistoric Tasks: Diagnostic Residues on Stone Tool Working Edges," *World Archaeology* 2: 181–194.

COQUEUGNIOT, E.
1991 "Outillage de pierre taillée au Bronze récent, Ras Shamra 1978–1988," in *Ras Shamra-Ougarit VI: Arts et industries de la pierre*, edited by M. Yon, pp. 127–204. Paris: Éditions Recherche sur les Civilisations.

CROWFOOT, J.
1935 "Notes on the Flint Implements from Jericho 1935," *Liverpool Annals of Archaeology and Anthropology* 22: 174–184.

CURWEN, E. C.
1930 "Prehistoric Flint Sickles," *Antiquity* 4: 179–186.

HAMMOND, W. M.
1977 *The Raw and the Chipped: An Analysis of Correlations between Raw Materials and Tools of a Lithic Industry from Tell el-Hesi, Israel*. Ann Arbor: University Microfilms.

NEUVILLE, R.
1934/5 "Les débuts de l'agriculture et la faucille préhistorique en Palestine," *Bulletin of the Jewish Palestine Exploration Society* 3: 17–42.

ROSEN, S. A.
1988 "Notes on the Flint Implements from Tel Yarmuth, 1980–1982," in *Yarmouth 1, Rapport sur les trois premières campagnes de fouilles à Tel Yarmouth (Israel), 1980-1982*, edited by P. de Miroschedji, pp. 135–142. Paris: Éditions Recherche sur les Civilisations.
1996 "The Decline and Fall of Flint," in *Stone Tools: Theoretical Insights in Human Prehistory,* edited by G. Odell, pp. 129–158. New York: Plenum.
1997 *Lithics After the Stone Age*. Walnut Creek: Altamira.

WAECHTER, J.
1958 "Flint Implements," in *Lachish IV*, edited by O. Tufnell, pp. 325–327. London: Oxford University Press.

WITTHOFT, J.
1967 "Glazed Polish on Flint Tools," *American Antiquity* 32: 383–389.

CHAPITRE 14

LES OBJETS EN MÉTAL

Pierre de MIROSCHEDJI et Michaël JASMIN

(avec une contribution de Sariel SHALEV et Sana SHILSHTEIN)

Au total, 15 objets ou fragments d'objet en métal ont été mis au jour dans les deux sondages de l'acropole, 10 en bronze ou alliage de cuivre et 5 en fer. Le **Tableau 14.1** en donne la répartition chronologique suivant la nature du métal et le type d'objet.

Époque	Sondage	Phase / Niveau	Matériau	Type d'objet
Bronze ancien IIIA	1	Phase 4	Cuivre	Scorie
Bronze récent II	2	Acr-VI	Bronze	Épingle
Fer IA		Acr-V	Bronze	Épingle
Fer IB	2	Acr-IV	Bronze	Épingle
		Acr-IV	Bronze	Épingle à œillet
		Acr-III ?	Bronze	Perle
		Acr-III	Bronze	Épingle
		Acr-III	Bronze	Épingle à œillet
		Acr-III	Bronze	Indéterminé
		Acr-III	Fer	Indéterminé
Fer IIC – Perse	2	Acr-IIA	Bronze	Fibule
	1	Phase 5	Fer	Couteau
Romain	2	Acr-IB	Fer	Couteau
	2	Acr-IB	Fer	Épingle
	2	Acr-IB	Fer	Clou

Tableau 14.1. Répartition chronologique et typologique des objets métalliques.

14.1. CATALOGUE

14.1.1. Objets en alliage de cuivre

Dix objets en alliage de cuivre – la plupart en bronze *stricto sensu* – proviennent des sondages de l'acropole, un seul du Bronze ancien, les autres des niveaux Acr-VI à Acr-II datés du Bronze récent à l'époque perse.

14.1.1.1. *Perle*

- *F.9739-1 : Perle allongée* (**Fig. 14.1:3**).

Dimensions : 3,5 × 0,8 cm ; diam. de la perforation : 0,2 cm.

Composition : Voir **Tableau 14.2**, n° 7.

Provenance : Sondage 2. Trouvée lors du nettoyage du locus 1136 au début de la campagne de 1996, après abandon du chantier depuis 1990, dans l'éboulis de la coupe nord-ouest, au niveau de L.1136 (coordonnées : NE: 3,50 m, SE: 0,45 m, H: 401,96 m). Peut donc avoir été *in situ* (= L.1136 du niveau Acr-III) ou être tombé avec l'éboulis et provenir d'une couche sus-jacente (L.1119 du niveau Acr-IIA ou L.1117B du niveau Acr-IC1).

Datation : Soit Fer IB (XIe s.), soit entre le Fer IIC et l'époque hellénistique (VIIe–IIIe s.).

Description : Objet en bronze de profil fusiforme bordé à chaque extrémité d'un anneau en relief de contour vaguement quadrangulaire. Le corps de l'objet présente un renflement plus accentué sur un côté.

Commentaire : Cet objet est identifié comme une perle, malgré ses grandes dimensions pour cette catégorie d'objet de parure. On n'en connaît pas de parallèle précis. Il existe bien des perles fusiformes avec un anneau en relief à chaque extrémité, mais elles sont en or ou en argent, fabriquées à l'aide d'un fil de métal, et, partant, de très petites dimensions (*c.*1,3 cm)[1]. Il est toutefois possible que la perle de Yarmouth soit un équivalent bon marché de ces perles en métaux précieux et que ses dimensions s'expliquent par la faible malléabilité du métal utilisé, qui se prête mal à la fabrication de petits objets. Le profil en fuseau est attesté depuis le BR I jusqu'à la fin du Fer II[2].

14.1.1.2. *Épingles*

- *F.9637-2 : Épingle coudée en bronze de section carrée* (**Fig. 14.1:2**).

Dimensions : L : 5,6 cm.

Composition : Voir **Tableau 14.2,** n° 2.

Provenance : Sondage 2, Niveau Acr-IV, L.1148-1, cote 402,69/65.

Datation : Fer IB (fin XIIe s.).

Commentaire : En raison de sa petite section, cet objet pourrait être l'ardillon d'une fibule, mais du fait de sa longueur, c'est plus probablement une épingle, d'un type courant au Bronze récent et à l'âge du Fer. De telles épingles étaient souvent coudées de manière à faciliter le maintien de deux pièces de vêtement.

Parallèles :

– Tell el-Fâr'ah VIIb (Fer IB, XIe s.) : Chambon 1984, pl. 72:6,11.

- *F.9701-1 : Épingle fragmentaire en bronze de section circulaire* (**Fig. 14.1:1**).

Dimensions : L : 4,5 cm ; D : 0,2 cm.

Composition : Voir **Tableau 14.2**, n° 3.

Provenance : Sondage 2, Niveau Acr-III, L.1166.

Datation : Fer IB (XIe s.).

[1] Golani 2013, pp. 187–188, fig. 28:25–26 (Type I.2).
[2] Nous remercions le Dr. Amir Golani pour ces informations.

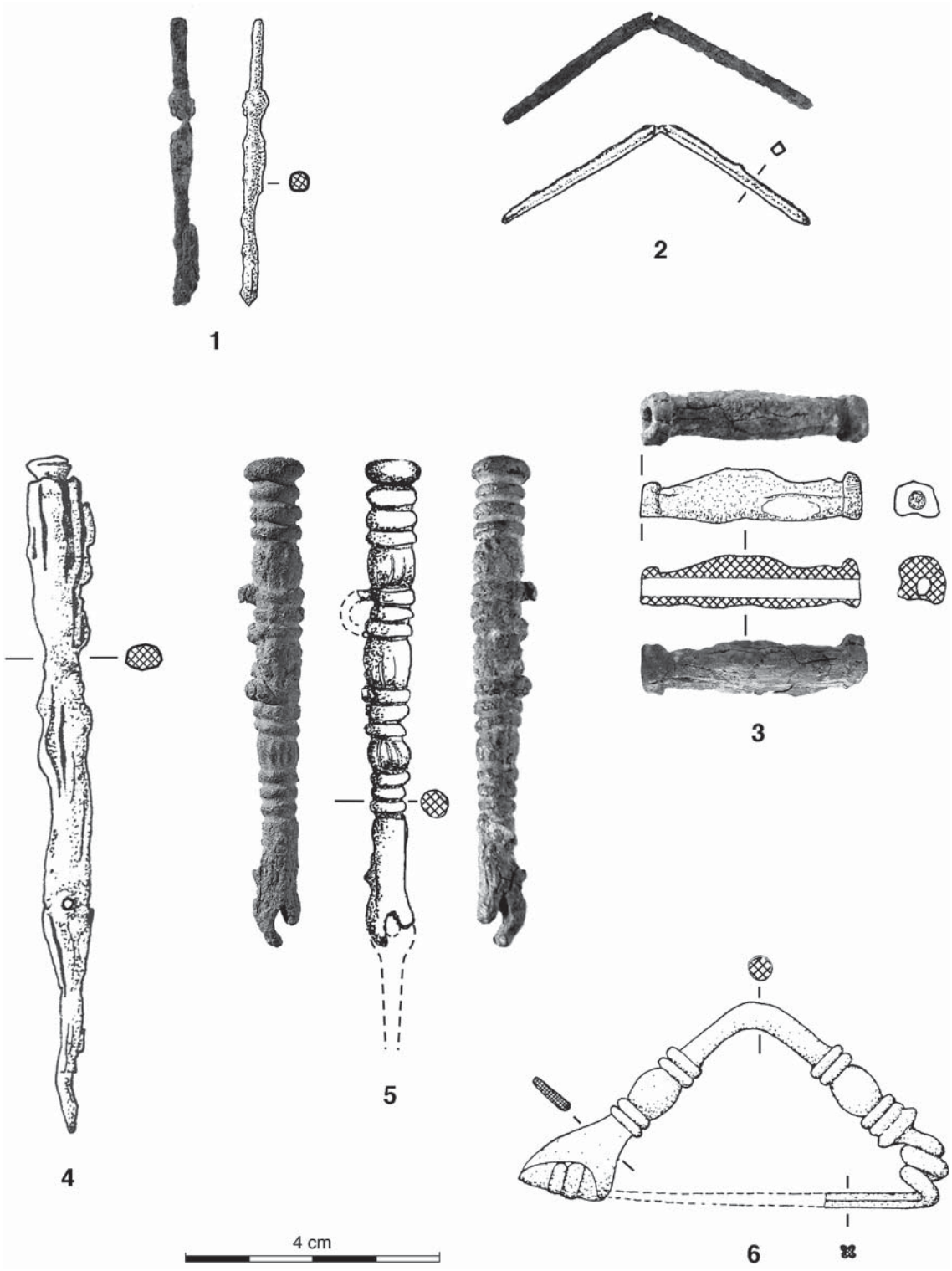


Fig. 14.1. Objets en alliage de cuivre. 1 : F.9701-1. 2 : 9637-2. 3 : F.9739-1. 4 : F.9650-1. 5 : F.9637-1. 6 : F.9576-1.

• *F.10707-1 : Épingle fragmentaire (coudée ?). Non illustrée.*

Dimensions : L : 2,3 cm ; D : 0,3 cm.

Composition : Voir **Tableau 14.2**, n° 4.

Provenance : Sondage 2, Niveau Acr-VI, L.1173, couche 1 + sol a, cote : 400,37/34 m.

Datation : BR IIB.

• *F.10709-1 : Épingle fragmentaire (2 fragments). Non illustrée.*

Dimensions : 2,5 × 0,3 × 0,2 cm.

Provenance : Sondage 2, Niveau Acr-V, L.2310, sol, cote : 399,78 m.

Datation : BR III / Fer IA (milieu XIIe s.).

14.1.1.3. *Épingles à œillet (« Toggle pins »)*

• *F.9637-1* (**Fig. 14.1:5**).

Dimensions : 7,5 × 0,8 cm.

Composition : Voir **Tableau 14.2**, n° 1.

Provenance : Sondage 2, Niveau Acr-IV, L.1148-1, cote 402,69/65 (scellé par le sol 1130 du niveau Acr-III).

Datation : Fer IB (fin XIIe s.).

Description : Épingle moulée. La tête est en forme de clou. Le décor est composé de quatre groupes de trois cannelures séparés chacun par un renflement bulbaire orné de striures verticales. L'épingle est brisée au niveau de l'œillet et il est probable que la pointe était relativement courte. Des excroissances au tiers supérieur du corps suggèrent un anneau latéral disparu, mais cette supposition est incertaine car les épingles de cette catégorie n'en possèdent jamais.

Commentaire : Les épingles à œillet sont attestées en Palestine dès le Bronze moyen, parfois avec une décoration moulurée proche de celle de l'épingle de Yarmouth[3]. Il existe toutefois des différences chronologiques sensibles dans les proportions relatives du corps et de la pointe. L'épingle en question relève du type 13 de Henschel-Simon[4], qui se distingue par une pointe courte relativement au corps et par un décor composé de cannelures alternant avec des bulbes. Les épingles de ce type sont caractéristiques du Fer I, qui est la datation attribuée au mobilier céramique du locus 1148 (voir **Figs 9.6–9.7**).

Parallèles : Des épingles identiques sont attestées sur le même horizon chronologique, notamment à :

– Baqah, Cave 4 (Fer IA) : McGovern et Brown 1986, fig. 86:32.
– Tell el-Fâr'ah (niveau VIIb, Fer IB, XIe–Xe s.) : Chambon 1984, pl. 72:22.

[3] *Cf.* Henschel-Simon 1937, pl. LXIX:84 ; Oren 1973, figs 25:20, 34:9d.
[4] Henschel-Simon 1937, pp. 172–174 et pl. LXXI:137–138.

• *F.9650-1* (**Fig. 14.1:4**).

Dimensions : L : 10,7 cm ; D max : 1 cm.

Composition : Voir **Tableau 14.2**, n° 6.

Provenance : Sondage 2, Niveau Acr-III, L.1149, couche 2 et sol b, cotes : 401,87/62.

Datation : Fer IB (XIe s.).

Description : Épingle à œillet très corrodée, dont l'apparence originelle est difficile à restituer. Tête en forme de clou. La pointe (intacte ?) est courte par rapport au corps de l'épingle où l'on remarque deux renflements.

Commentaire : La longueur du corps et la courte pointe sont caractéristiques des épingles à œillet de l'âge du Fer. Les deux renflements sur le corps pourraient correspondre à des bulbes comparables à ceux de l'exemplaire précédent, mais plus allongés, comme sur un exemplaire du Musée Rockefeller[5].

14.1.1.4. *Fibule*

• *F.9576-1 : Fibule triangulaire à décor cannelé* (**Fig. 14.1:6**).

Dimensions : Dim. 6,8 × 3,2 cm.

Provenance : Sondage 2, Niveau Acr-IIA, L.1119. Coordonnées : NE : 1,50 m ; SE : 1,60 m ; H : 403,00 m.

Datation : Fer IIC – époque perse (VIIe–IVe s.) : voir § 11.2.

Description : Fibule moulée. L'arc coudé et de section ronde est décoré sur chaque côté d'une paire d'anneaux encadrant une perle ovale. L'ardillon de section cruciforme est cassé et il n'en subsiste que le tiers. Il est attaché à l'arc par un ressort d'une spire et demie enroulé suivant un axe vertical – et non pas horizontal, comme c'est le cas habituellement. La gorge est en forme de main, avec de fines incisions pour évoquer les doigts.

Commentaire : Originaires du monde égéen via Chypre, les fibules apparaissent sur la côte levantine à la fin du Bronze récent, vers le XIIIe siècle, grâce au commerce mycénien[6]. Dans le courant du Fer I, elles ont remplacé les épingles à œillet comme élément de fixation des extrémités d'un vêtement. Aux premières fibules à arc semi-circulaire se sont bientôt ajoutées des fibules à arc coudé, puis à arc triangulaire (« *elbow* » ou « *'knee'-type fibulae* »).

La fibule dont il est question ici relève de cette dernière catégorie et correspond au type III.7 des fibules proche-orientales dans la typologie dressée par D. Stronach[7] et au groupe C1.4 de la classification de F. Pedde[8]. Ces fibules sont caractérisées par un arc de profil *grosso modo* triangulaire – dont le profil est parfois proche des fibules à arc dit « coudé », dont le sommet est un peu plus arrondi – qui porte une décoration moulurée de perles et d'anneaux. C'est le type de fibule le plus courant au Proche-Orient au cours des

[5] Henschel-Simon 1937, pl. LXXI:138.
[6] Stronach 1959, p. 181 ; Birmingham 1963, pp. 80, 109.
[7] Stronach 1959.
[8] Pedde 2000, 2001.

VIIIe–Ve siècles, dont l'usage a même persisté en Babylonie jusqu'au Ier siècle de notre ère. Originaire du Levant, où il apparaît au VIIIe siècle, il s'est répandu vers l'est à partir du dernier quart du VIIIe siècle à la suite des conquêtes assyriennes[9], et n'atteint la Babylonie, la Susiane et le plateau iranien qu'à l'époque achéménide[10]. Très populaire en Palestine, ce type de fibule est attesté sur de nombreux sites, particulièrement dans des contextes datés entre le VIIe et le IVe siècle[11]; cette fourchette chronologique correspond à celle assignée au locus 1119 et au niveau Acr-IIA en fonction de l'analyse de la poterie (voir § 11.3). Selon F. Pedde, qui se fonde sur une documentation élargie, les fibules de ce type sont apparues dans la seconde moitié du VIe siècle / début du Ve, et sont restées en usage jusqu'à la fin de l'époque achéménide[12].

La décoration moulurée de ces fibules est assez variée. Des fibules dont la décoration est identique à celle de l'exemplaire de Yarmouth, avec sur chaque côté de l'arc une seule perle insérée entre une paire d'anneaux, sont connues au Levant sud dans des contextes de l'époque perse à Tell Jemmeh, Tell el-Ajjul, Tel Megadim, Tel Keisan, Atlit, et Sahab[13].

Parallèles : Stronach[14] et Pedde[15] donnent des listes exhaustives des parallèles proche-orientaux jusqu'à la date de publication de leurs études. Parmi les découvertes récentes au Levant sud, on signalera notamment :

- Tel Megadim (Perse) : Stern 1973, p. 152, fig. 257 (identique).
- Tel Qashish II (Fer III–Perse): Ben-Tor et Bonfil 2003, p. 355, fig. 137:12 et photo 141 (sur chaque côté de l'arc, deux perles décorées bordées chacune par un anneau simple).
- Tel Lachish III (Fer II) : Sass 2004, fig. 28.20:5 = fig. 28.34 :2 (sur chaque côté de l'arc, une perle bordée par un anneau simple).
- Tel Hazor IV et Va (Fer IIB–C) : Spaer 2012, fig. 9.9:11–12 (perle unique sans anneaux latéraux, ou bien renflement oblong).
- Tel Keisan 3 et 2 (Perse et Hellénistique): Nodet 1980, p. 324 et pl. 100:1–10 (en particulier le n°3, hors stratigraphie).
- Azor cimetière : Ben-Shlomo 2012, fig. 5.24:5, avec références (perles jumelles décorées et bordées par trois anneaux).

14.1.1.5. *Divers*

- *F.9513-1 : Fragment de scorie. Non illustré.*

Dimensions : 1,8 × 1 × 1 cm.

Composition : Voir **Tableau 14.2**, n° 8.

[9] Stronach 1959, pp. 181, 193 ; Muscarella 1984, pp. 413–415.
[10] Miroschedji 1987, p. 30.
[11] Tufnell 1953, pp. 392–393 ; Stronach 1959, pp. 197–200 ; Maxwell-Hyslop 1971, p. 261.
[12] Pedde 2001, pp. 492–494.
[13] Références dans Stronach 1959, p. 199 et fig. 9:4–6 ; Pedde 2003, p. 87 et Abb. 3 ; et ci-dessous pour Tel Keisan.
[14] Stronach 1959, pp. 198–200.
[15] Pedde 2000, *passim*.

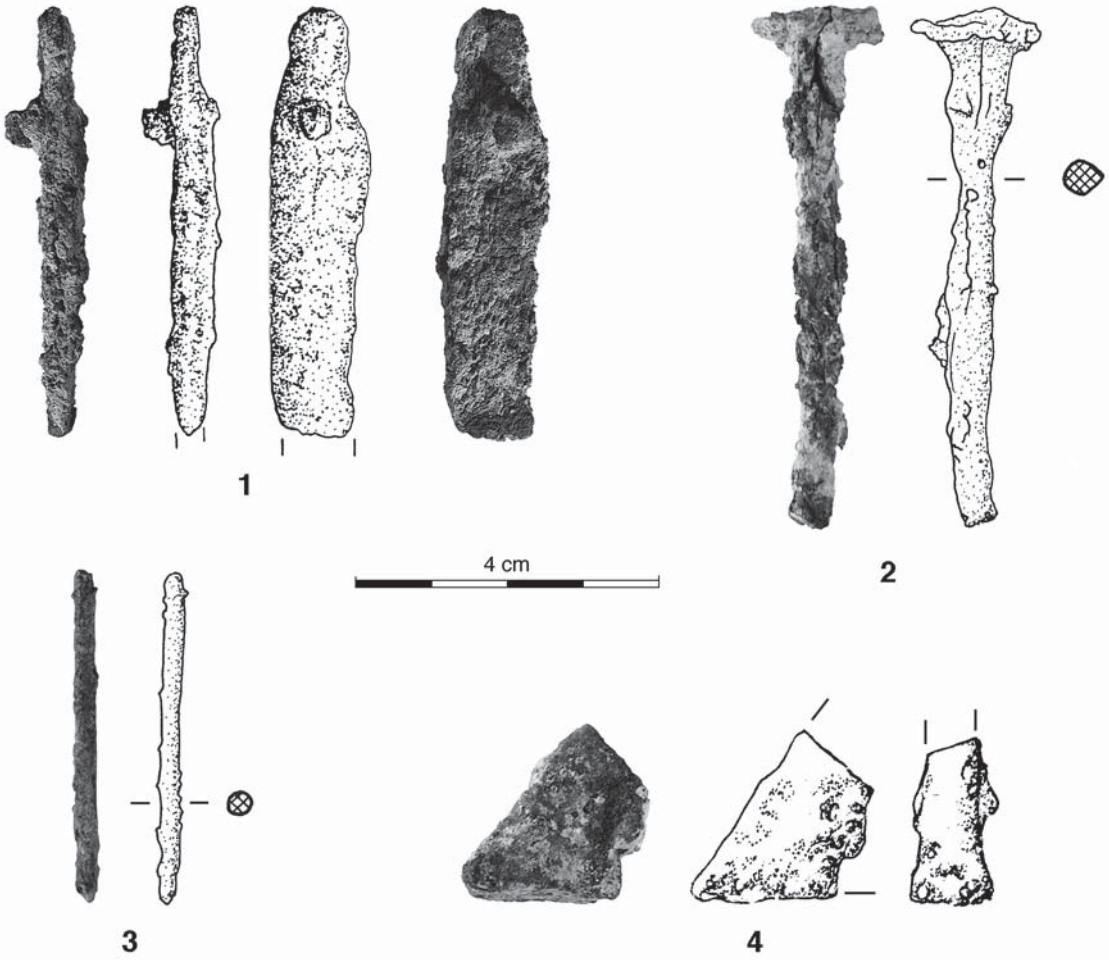


Fig. 14.2. Objets en fer. 1 : F.9510-1. 2 : F.9778-2. 3 : F.9778-1. 4 : F.9626-2.

Provenance : Sondage 1, Phase 4, L.1109, cotes : 393,67–393,43 (sol chaulé).

Datation : BA IIIA (*cf.* **Fig. 4.4:10–18**).

- *F.9586-1 : Fragment informe très corrodé. Non illustré.*

Dimensions : 3 × 2 × 1 cm.

Composition : Voir **Tableau 14.2**, n° 5.

Provenance : Sondage 2, Niveau Acr-IIB, L.1122 = 2320-1, cotes : 403,27/403,00 m.

Datation : Du Fer IB à l'époque perse (X^e^–IVe s.).

14.1.2. Objets en fer

Les objets en fer sont rares dans les sondages de l'acropole et proviennent tous de contextes postérieurs au Fer II. Six fragments d'objets en fer ont été mis au jour, qui appartenaient à quatre sortes d'objet différents :

14.1.2.1. *Couteaux*

• *F.9510-1 : Lame de couteau très corrodée avec un reste de rivet* (**Fig. 14.2:1**).

Dimensions : 5,7 × 1,3 × 0,6 cm. D. du rivet : 0,4/0,5 cm.

Composition : Voir **Tableau 14.2**, n° 9.

Provenance : Sondage 1, Phase 5, L.1106 (partie haute de la couche, entre 394,48 et 394,05 : voir ci-dessus, § 2.2.5).

Datation : Du Fer IB à l'époque perse.

Commentaire : Les couteaux en fer sont fréquents à partir du Fer IB, souvent avec les rivets d'attache du manche conservés, généralement au moins deux. Le fragment en question ne présente qu'un seul rivet et ne semble pas en avoir eu davantage, à moins de supposer que la languette était bien plus longue. Un exemplaire de Lachish[16] présente aussi un seul rivet. La principale période de production de ces outils est le Xe–VIIe siècles, pendant lesquels leur morphologie n'a guère évolué[17].

Parallèles : Mazar et Panitz-Cohen[18] donnent une liste complète des parallèles palestiniens de l'âge du Fer pour cette catégorie d'outils. Parmi les découvertes plus récentes au Levant sud, on signalera notamment :

– Ashkelon (Fer IIC, VIIe s.) : Aja 2011, p. 520.
– Tel Lachish III (Fer IIB, VIIIe s.) : Sass 2004, figs 28.13:8, 28.16:2.
– Khirbet Qeiyafa Fer IIA : Garfinkel 2009, pp. 190–193, fig. 9:37 (2 rivets).

• *F.10609-1 : Fragment d'une lame de couteau (?). Non illustré.*

Dimensions : 3,5 × 3 × 0,2 cm.

Composition : Voir **Tableau 14.2**, n° 11.

Provenance : Sondage 2, niveau Acr-IB, L.1179, sol à 399,35 (voir ci-dessus, § 3.9.2.1).

Datation : Époque romaine (voir **Fig. 12.3:7–9**).

14.1.2.2. *Épingle ou alène*

• *F.9778-1 : Épingle simple de section circulaire* (**Fig. 14.2:3**).

Dimensions : L : 4,3 cm ; D : 0,25 cm.

Composition : Voir **Tableau 14.2**, n° 10.

Provenance : Sondage 2, Niveau Acr-IB, L.1180.

Datation : Époque romaine.

[16] Sass 2004, fig. 28.16:2.
[17] Mazar and Panitz-Cohen 2001, p. 219.
[18] Mazar and Panitz-Cohen 2001, pp. 218–219.

14.1.2.3. Clou

• *F.9778-2* (**Fig. 14.2:2**).

Dimensions : L : 6,6 cm. D de la tige : 0,5–0,6 cm. Dim. de la tête : 1,7 × 1,3 cm.

Composition : Voir **Tableau 14.2**, n° 12.

Provenance : Même provenance que F.9778-1 ci-dessus.

Datation : Époque romaine.

Description : Grand clou de section circulaire. Pointe brisée.

Parallèles : Nombreux exemplaires sur des sites contemporains ou plus récents, dont :
– Ashkelon (Fer IIC, VIIe s.) : Aja 2011, pp. 528 (50), 530 (58), 531 (63).
– Tel Dothan (Fer II) : Sawicky 2005, p. 168, fig. 14:21.
– Horvat 'Uza III (Fer IIC, VIIe s.) : Freud 2007, fig. 10.7:16.

14.1.2.4. *Fragment d'objet indéterminé*

• *F.9626-2 : Fragment trapézoïdal d'une épaisse plaque de fer* (**Fig. 14.2:4**).

Dimensions : 2,8/1,75 × 1,9 × 1,4/1,0 cm.

Provenance : Sondage 2, Niveau Acr-III, L.1139, couche 1, entre 403,17 et 402,77 m.

Datation : Fer IB, XIe s.

14.2. Analyses of the Yarmuth metals (*S. Shalev and S. Shilstein*)

Twelve metal artefacts found in the excavations on the acropolis of Tel Yarmuth were analysed in the Analytical Laboratory of Archaeomaterials in the University of Haifa and in the Physics Department at the Weizmann Institute.

Non-destructive qualitative and quantitative compositional analyses were performed on the surface of the objects by X-ray Fluorescence Analyser. As presented in detail below (**Table 14.2**), seven of the twelve metals were found to be made of copper-based material, five were made of iron.

14.2.1. The copper-based metals[19]

The copper-based metals are better preserved then the iron ones and their compositional analyses, even when corroded metal is analysed, are more informative on the basic alloying

[19] The binary Cu-based alloys were analyzed with a voltage of 35 kV of the Rh tube and with additional filter of pure Al on the detector window (0.24 mm in thickness) the sensitivity for metals like Sn, Pb and As is in the range of 0.05-0.1 Wt per cent. The concentrations were calculated from the measured fluorescence intensities using as standards mixtures of metal oxides with definite concentrations ratios, relative accuracy of the concentration determination is about 5 per cent. For bronze alloys with 2-3 per cent Sn or more, the correction of the mutual attenuation of Pb and Sn lines was introduced. For high concentrations of about 20 per cent Sn, the relative accuracy is around 10-5 per cent, and the sensitivity limit for As could be up to 0.3 per cent. In some cases, when analysing relatively large objects, two or three different points were analysed; in these cases the results from each different point from the same object are given.

No.	Object No.	Acr. Sounding	Locus	Stratum / Phase	Period	Object	Composition					Comment
							Cu	As	Sn	Pb	Fr	
1	9637-1	2	1148	Acr.-IV	Iron IB (early)	Toggle pin decorated	≃ 90.0	0,31	8,6	0,24		Broken, corroded
1b	9637-1	2	*Id.*	*Id.*	*Id.*	*Id.*	≃ 90.0	0,24	8,9	0,24		(2nd point)
2	9637-2	2	1148	Acr.-IV	Iron IB (early)	Thin needle/pin	≃ 99.0	0,3	0,4	tr.		Square section bent and broken
2b	9637-2	2	*Id.*	*Id.*	*Id.*	*Id.*	≃ 97.0	0,8	1,5	0,3		(2nd point = corrosion)
3	9701-1	2	1166-2	Acr.-III	Iron IB (late)	Thin needle/pin	≃ 91.0	0,2	8,4	0,3		Round irregular section broken
4	10707-1	2	1173-1 +Floor a	Acr.-VIA	Late Bronze II	Broken ring	≃ 95.0		4,2			Broken, corroded
5	9586-1	2	2320-1	Acr.-IIB	Iron II to Persian	Metal remains	≃ 60.0		37	1,8		Totally corroded in slag-like matrix
6	9650-1	2	1149-2	Acr.-III	Iron IB (late)	Metal piece	≃ 94		6,2			Twisted plates; broken and corroded
7	9739-1	2	1136 or 1117B	Acr.-III or IIA	Iron IB (late) or post-Iron II	Pendant	≃ 92		8,5			Corroded
8	9513-1	1	1109	Ph. 4	Early Bronze IIIA	Small slag	5	Traces			1,1	Cu based
9	9510-1	1	1106	Ph. 5 (Late)	Iron IB to Persian	Iron knife					≃ 100.0	Broken, corroded
10	9778-1	2	1180-1	Acr. IB	Roman	Iron needle					≃ 100.0	Broken, corroded
11	10609-1	2	1179-Floor a	Acr. IB	Roman	Iron flat piece					≃ 100.0	Broken, corroded
12	9778-2	2	1180-1	Acr. IB	Roman	Iron nail					≃ 100.0	Broken, corroded

Table 14.2. Chemical composition of the metal objects from Tel Yarmuth acropolis.

compositional aspects. Seven objects (Nos 1–7 in **Table 14.2**) are made of tin bronze (Cu + Sn) in most cases with some traces of arsenic (As) and lead (Pb). In highly corroded objects the amounts of alloying material and traces of other elements could be totally distorted as in the case of object no. 5. All three pins and needles (Nos 1–3) are made of tin bronze with traces of lead and arsenic. The other tin bronze metals (Nos 4–7) do not show remains of lead and arsenic, although due to their corroded state, it does not mean that these elements were absent in the original metal composition.

14.2.2. The iron objects

All the iron objects (Nos 9–12 in **Table 14.2**) are totally corroded (mainly oxidised) and therefore retain only a Fe signal of its current mineral state. Therefore the *ca.* 100 per cent of iron in the table represent the original artificial state of the metal before deposition and corrosion. The typology of the iron objects show that they are mainly simple objects, broken and with most of the original parts missing.

Références

Aja, A. J.
2011 "Metal Weapons and Tools," in *Ashkelon 3, The Seventh Century B.C.,* edited by L. E. Stager, D. M. Master and J. D. Schloen, pp. 503–545. Winona Lake, IN : Eisenbrauns.

Ben-Shlomo, D.
2012 *The Azor Cemetery, Moshe Dothan's Excavations, 1958 and 1960* (IAA Reports No. 50). Jerusalem : Israel Antiquities Authority.

Ben-Tor, A. and Bonfil, R.
2003 "The Transitional Late Bronze/Iron Age to the Persian Period in Area A," in *Tel Qashish, A Village in the Jezreel Valley* (Qedem Report 5), edited by A. Ben-Tor, R. Bonfil and S. Zuckerman, pp. 331–361. Jerusalem : Institute of Archaeology, The Hebrew University of Jerusalem / Israel Exploration Society.

Birmingham, J.
1963 "The Development of the Fibula in Cyprus and the Levant," *Palestine Exploration Quarterly* 95 : 80–112.

Chambon, A.
1984 *Tell el-Fâr'ah I, l'âge du Fer*. Paris : Éditions Recherche sur les Civilisations.

Freud, L.
2007 "Miscellaneous Small Finds. I. The Iron Age," in *Horvat 'Uza and Horvat Radum, Two Fortresses in the Biblical Negev* (Tel Aviv University Sonia and Marco Nadler Institute of Archaeology Monograph Series No. 25), edited by I. Beit-Arieh, pp. 256–269. Tel Aviv : Emery and Claire Yass Publications in Archaeology.

Garfinkel, Y.
2009 "Stone and Metal Artifacts," in *Khirbet Qeiyafa. Vol. 1. Excavation Report 2007–2008,* edited by Y. Garfinkel and S. Ganor, pp. 175–194. Jerusalem: Israel Exploration Society and Institute of Archaeology, The Hebrew University of Jerusalem.

Golani, A.
2013 *Jewelry from the Iron Age II Levant* (Orbis Biblicus et Orientalis, Series Archaeologica 34). Fribourg: Academic Press / Göttingen: Vandenhoeck & Ruprecht.

HENSCHEL-SIMON, E.
1937 "The 'Toggle-Pins' of the Palestine Archaeological Museum," *Quarterly of the Palestine Department of Antiquities* VI : 169–209.
MAXWELL-HYSLOP, K. R.
1971 *Western Asiatic Jewellery c.3000–612 B.C.* London: Methuen & Co.
MAZAR, A. and PANITZ-COHEN, N.
2001 *Timnah (Tel Batash) II. The Finds from the First Millennium BCE,* 2 volumes (Qedem, Monographs of the Institute of Archaeology 42). Jerusalem : The Hebrew University of Jerusalem.
MCGOVERN, P. and BROWN, R.
1986 *The Late Bronze and Early Iron Ages of Central Transjordan : the Baq'ah Valley Project, 1977–1981*. Philadelphia : The University Museum.
MIROSCHEDJI, P. de
1987 "Fouilles du chantier Ville Royale II à Suse (1975–1977). II. Niveaux d'époques achéménide, séleucide, parthe et islamique," *Cahiers de la Délégation archéologique française en Iran* 15 : 11–145.
MUSCARELLA, O. W.
1984 "Fibulae and chronology, Marlik and Assur," *Journal of Field Archæology* 2 : 413–419.
NODET, É.
1980 "Objets en métal," in *Tell Keisan (1971-1976), une cité phénicienne en Galilée*, édité par J. Briend et J.-B. Humbert, pp. 323–326. Fribourg : Éditions universitaires / Göttingen : Vandenhoeck & Ruprecht / Paris : J. Gabalda.
OREN, E. D.
1973 *The Northern Cemetery of Beth-Shan*. Leiden : E. J. Brill.
PEDDE, F.
2000 *Vorderasiatische Fibeln, von der Levante bis Iran* (Abhandlungen der deutschen Orientgesellschaft, Band 24). Saarbrücken : Saarbrücker Druckerei und Verlag.
2001 "Development and Expansion of Near Eastern Fibulae in the Iron Age," in *Migration und Kulturtransfer, Der Wandel vorder- und zentralasiatischer Kulturen im Umbruch vom 2. zum 1. Vorchristlichen Jahrtausend, Akten des Internationalen Kolloquiums Berlin, 23. bis 26. November 1999*, edited by R. Eichmann and H. Parzinger, pp. 485–496. Bonn : R. Habelt.
2003 "Fibeln in Gräbern," *Altorientalische Forschungen* 30 : 85–92.
SASS, B.
2004 "Iron Age and Post Iron Age Artefacts, Section A: Vessels, Tools, Personal Ornaments and Figurative Art and Varia," in *The Renewed Excavations at Lachish (1973–1984)*, Vol. IV (Tel Aviv University Sonia and Marco Nadler Institute of Archaeology Monograph Series No. 22), edited by D. Ussishkin, pp. 1983–2057. Tel Aviv : Emery and Claire Yass Publications in Archaeology.
SAWICKY, B. A.
2005 "Metal Artifacts," In *Dothan I, Remains from the Tell (1953–1964),* edited by D. M. Master, J. M. Monson, E. H. E. Lass and G. A. Pierce, pp. 167–170. Winona Lake, IN : Eisenbrauns.
SPAER, M.
2012 "Personal Ornaments," in *Hazor VI, The 1990–2009 Excavations, The Iron Age,* edited by A. Ben-Tor, D. Ben-Ami and D. Sandhaus, pp. 506–529. Jerusalem : Israel Exploration Society / Institute of Archaeology, The Hebrew University of Jerusalem.
STERN, E.
1973 *Material Culture of the Land of the Bible in the Persian Period 538–332 B.C.* Warminster : Aris & Phillips / Jersualem : Israel Exploration Society.
STRONACH, D.
1959 "The Development of the Fibula in the Near East," *Iraq* 21 : 181–206.
TUFNELL, O.
1953 *Lachish III (Tell ed-Duweir), The Iron Age.* London-New York-Toronto : Oxford University Press.

CHAPITRE 15

OBJETS DIVERS

Pierre de MIROSCHEDJI et Michaël JASMIN

Le présent chapitre regroupe l'ensemble des objets en terre crue et cuite, en pierre et en matières organiques (os, coquillage, cartilage calcifié) trouvés dans les deux sondages de l'acropole. Ils sont classés selon leur matériau, mais le **Tableau 15.1** ci-dessous indique leur répartition fonctionnelle avec renvoi au paragraphe où ils sont décrits et discutés.

Catégories d'objet/matériaux	Terre crue § 15.1	Terre cuite § 15.2	Pierre § 15.3	Matières organiques § 15.4
Figurines		§ 15.2.1	§ 15.3.1	
Objets de parure				§ 15.4.3-4
Instruments de tissage		§ 15.2.2 à 5	§ 15.3.3	§ 15.4.1-2
Instruments de mouture			§ 15.3.4 à 6	
Objets divers ou d'usage indéfini	§ 15.1.1	§ 15.2.6-7	§ 15.3.1-2 § 15.3.7	

Tableau 15.1. Répartition des objets par matériaux et par fonctions.

15.1. OBJETS EN TERRE CRUE

15.1.1. Lentille de terre crue

B.9541-2 – Sondage 1, L.1106 – Phase 6 (**Fig. 15.1**).

Lentille de terre crue. Restes d'empreintes végétales et traces de brûlures superficielles. Diamètre : 2,3–2,5 cm, épaisseur : 1,3 cm.



Fig. 15.1. Lentille de terre crue brûlée B.9541-2.

15.2. Objets en terre cuite

15.2.1. Fragment de figurine animale ou de lit votif

G.10634-58 – Sondage 2, L.1198, couche 1 – Niveau Acr-VIII – Hauteur : 2,6 cm ; diamètre max. : 1,5 cm (**Fig. 15.2**).

Ce fragment de figurine en terre cuite brun-rose est d'identification incertaine. Il pourrait s'agir de la patte d'une figurine animale, comme on en connaît de nombreux exemplaires mis au jour dans les chantiers de la ville basse dans des contextes du BA II–III[1]. Toutefois, les dimensions de ce fragment impliquent que la figurine animale serait d'assez grandes dimensions, en tout cas nettement plus grande que les exemplaires connus. L'aspect de la cassure suggère une autre interprétation possible : il s'agirait du pied d'un lit votif, dont on connaît plus d'une vingtaine d'exemplaires complets ou fragmentaires, trouvés dans des contextes du BA II et surtout du BA III, y compris à Tel Yarmouth[2].

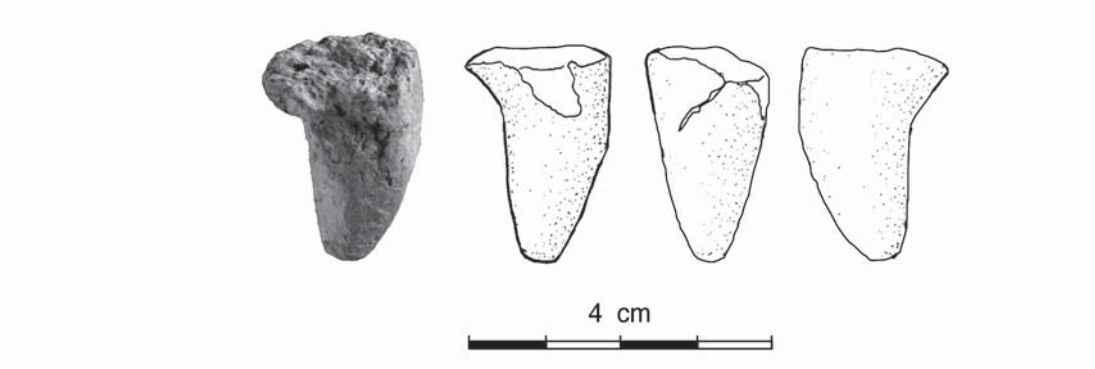


Fig. 15.2. Fragment de lit votif (?) G.10634-58.

15.2.2. Poids de tisserand

I.9582-1 – Sondage 2, L.1119 – Niveau Acr-IIA – Hauteur : 3,5 cm ; diamètre max. : 3,5 cm ; Poids : 33 gr (**Fig. 15.3:1**).

Les fouilles n'ont livré qu'un seul exemplaire de cette catégorie d'objets, généralement qualifiés de poids de tisserand, en dépit de leur faible poids. Il est de forme biconique, en terre cuite brun clair. Généralement, ces objets sont en terre crue et plutôt de forme sphérique au Fer II[3]. Les poids de forme biconique datent principalement des VIe–IVe siècles et sont attestés sur de nombreux sites.

[1] Voir provisoirement Miroschedji 1988, pl. XXII.
[2] De Crée 1987–88 ; Beck 1993 ; Shroer and Keel 2005, p. 306, no. 210 ; Miroschedji 2011, pp. 93*–95*.
[3] *Cf.* Sass 2000, fig. 12.16.

Quelques parallèles :

– Tel Beth-Shean (Fer IA) : Panitz-Cohen and Yahalom-Mack 2009, fig. 15.1:14.
– Jérusalem, Cité de David (Fer II) : Shamir 1996, p. 166, fig. 21:18.
– Tel Kadesh Barnea (Fer IIC) : Shamir 2007, fig. 16.20:1.
– Tel Lachish (Perse) : Sass 2004, fig. 28.11:24–25.
– Tel 'Ira (Perse–Hellénistique) : Ben-Dov 1999, p. 446 (avec références) et fig. 14.4:30–33,35–36 (Type B, typique de l'époque perse et hellénistique).
– Khirbet Burin (Perse) : Shamir and Ad 2014, fig. 4.
– Tel Keisan (Hellénistique) : Nodet 1980, p. 318 et pl. 97:3–5.

15.2.3. Fusaïoles aménagées dans un tesson retaillé en rondelle et perforé

Onze objets de cette catégorie ont été mis au jour dans les deux sondages, dont un (I.9539-1) dans un contexte du BA III, les autres dans des contextes du BR III, du Fer I ou postérieurs (**Tableau 15.2**).

N° de catal.	Sondage	Niveau / Phase	Locus - couche/sol	Objet	Dimensions (en cm)	Poids (en g)	Figure
I.9539-1	1	Ph. 5	1106-2	Tesson retaillé en rondelle et percé : fusaïole fragmentaire.	*c.* 6,3 ? D. perf.: 0,6	?	/
I.9551-1	1	Ph. 4	1111	Tesson retaillé en rondelle et percé : fusaïole complète.	Non mesuré	Non pesé	/
I.9560-1	2	IB_2-IIA	1117	*Idem.*	*Idem.*	*Idem.*	/
I.9636-1	2	III	1130,1139	*Idem.*	*Idem.*	*Idem.*	/
I.9642-1	2	IV	1148	*Idem.*	*Idem.*	*Idem.*	/
I.9715-1	2	III	1171-sol a	*Idem.*	6,2 × 5,8 × ? D. perf.: 0,7	27	**15.3:4**
I.10754-1	2	IIB	2320-1	*Idem.*	5,6 × 5 × 0,7 D. perf.: 0,4	34	**15.3:5**
I.10783-1	2	V	1152-1	*Idem.*	c. 6,3 ? D. perf.: 0,7	?	/
I.10785-1	2	IIB	2320-1	*Idem.*	7 × 6 × 0,6 D. perf.: 0,4	40	**15.3:3**
I.10809-1	2	IV	1148-1	*Idem.*	9,2 × 8 × 1 D. perf.: 0,5	96	**15.3:2**

Tableau 15.2. Fusaïoles aménagées dans un tesson retaillé en rondelle et perforé.

Ces objets ont été façonnés en une rondelle plus ou moins circulaire à partir d'un tesson provenant de la panse d'un vase de grand diamètre ; toutefois, le contour est souvent irrégulier. La perforation biconique, d'un diamètre compris entre 2 et 4 mm, est en principe parfaitement centrée.

Leur utilisation comme fusaïole est confirmée par l'expérimentation[4]. *A priori*, pourtant, seuls les exemplaires au contour circulaire régulier et à la perforation bien centrée ont pu servir de fusaïole[5]. En raison de leur faible poids (généralement moins de 40 g), ces objets sont bien adaptés au filage de la laine, alors que les fusaïoles en pierre, plus lourdes, sont plutôt destinées à filer le lin ou des fils de laine plus épais[6].

Ces fusaïoles sont fréquentes dès le Bronze ancien et attestées sur de nombreux sites jusqu'au moins la fin de l'âge du Fer[7]. Elles ont été exhumées à presque tous les niveaux des sondages de l'acropole ; dans la ville basse, elles sont assez nombreuses au BA II–III.

Quelques parallèles sur l'horizon des niveaux Acr-VI à Acr-II :

– Tel Safi (BA–Fer): Cassuto 2012, pp. 475–476.
– Tel Beth-Shean (MB IIB final, BR I–II) : Yahalom-Mack 2007b, fig. 12:2,4–5.
– Tel Kabri (BM–Fer II): Oren 2002, fig. 10.15:1–3,8–9.
– Tel Dan (BR I): Ben-Dov 2011, fig. 198:10–11.
– Tel Batash (BR IIA–Fer IA) : Yahalom-Mack 2006a, pp. 258–259.
– Tel Miqne (Fer IA) : Ben-Shlomo 2006, pp. 191–192.
– Tel Beth-Shemesh (Fer I–IIA) : Bunimovitz and Lederman 2016, fig. 16.7.
– Tel Gezer (Fer IB) : Dever *et al.* 1986, pls 58:5, 59:5.
– Tel Keisan (Fer I–II) : Nodet 1980, p. 317 et pl. 96:39–44.
– Tel Yoqneam (Fer I–Perse) : Ben-Ami 2005a, fig. III.23:11–12.
– Tel Beth-Shean (Fer IIA–B) : Yahalom-Mack and Mazar 2006, fig. 13.3:1–4.
– Tell el-Fâr'ah (Fer IIA, IIC) : Chambon 1984, pl. 77:3–5.
– Tel 'Ira (Fer II) : Ben-Dov 1999, figs 14.3, 14.4:9.
– Jérusalem, Cité de David (Fer) : Shamir 1996, fig. 22:4–10.
– Tel Kadesh Barnea (Fer II) : Gera 2007, fig. 13.2:1 ; Shamir 2007, fig. 16.21:1,4,6.
– Tel Lachish (Fer IIA–B) : Sass 2004, fig. 28.10:7–10.
– Tel Megiddo (Fer II) : Sass 2000, fig. 12.19:6–11 ; Sass and Cinamon 2006, fig. 18.23.

15.2.4. Tesson retaillé en rondelle à perforation incomplète

I.10764-1 – Sondage 2, L.2314-2 – Niveau Acr-VIB – Diamètre : 3,2 cm, épaisseur : 1 cm ; diamètre de l'amorce de perforation : 0,2 cm ; poids : 11 g (**Fig. 15.3:6**).

On signale ici séparément une rondelle de céramique avec une perforation incomplète. Des objets identiques ont été exhumés sur plusieurs sites, notamment dans des contextes du BA II–III à Tel Arad et à Tel Yarmouth[8] et sur des sites de l'âge du Fer. On les considère habituellement comme des fusaïoles en cours de fabrication, dont la perforation est demeu-

[4] Cassuto 2012, p. 475.
[5] Ainsi Sass and Cinamon (2006, fig. 18.43:844,847) excluent de ce groupe les exemplaires au contour trop irrégulier.
[6] Voir Breniquet 2008, pp. 119–121 ; Boertien 2013, p. 48.
[7] Voir Boertien 2013, pp. 46, 239–240.
[8] Miroschedji 1988, pl. 47:10.

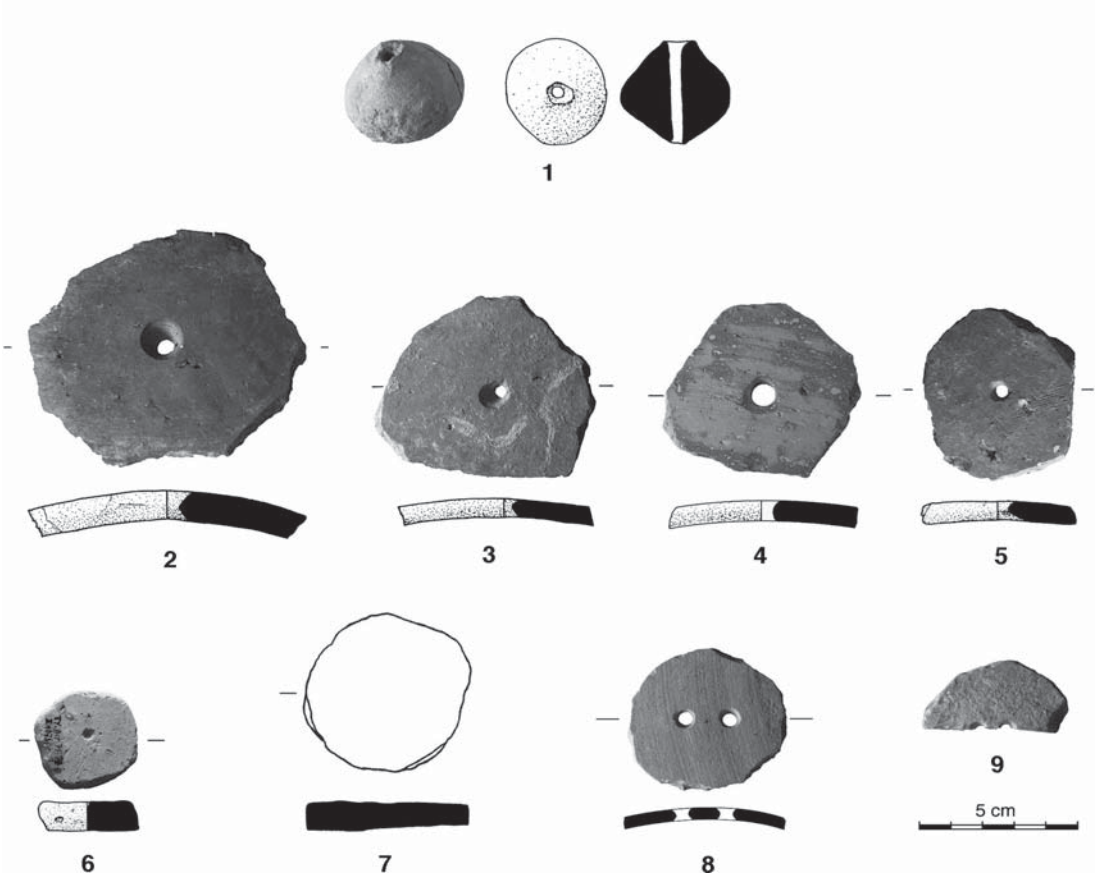


Fig. 15.3. Poids de tisserand en terre cuite (1), fusaïoles en céramique (2-6), rondelles de céramique non perforée (7) et à double perforations (8-9). 1 : I.9582-1. 2 : I.10809-1. 3 : I.10785-1. 4 : I.9715-1. 5 : I.10754-1. 6 : I.10764-1. 7 : I.9614-7. 8 : I.10670-1. 9 : I.9799-1.

rée inachevée, ou bien comme des ratés de fabrication, dont la perforation n'était pas assez bien centrée pour que l'objet après son achèvement soit utilisable comme fusaïole. On mentionnera aussi, parce qu'elle paraît plus vraisemblable, une supposition d'É. Nodet, pour qui ces objets ont pu être utilisés comme pivot destiné à maintenir en position verticale un foret actionné par un arc[9].

Parallèles :

– Tel Beth-Shean (MB IIB final) : Yahalom-Mack 2007b, fig. 12.1:1,3.
– Tel Megiddo (Fer II) : Sass 2000, fig. 12.19:12–14 ; Sass and Cinamon 2006, fig. 18.23:561.
– Kadesh Barnea (Fer II): Gera 2007, fig. 13.2:10, pl. 13.2:17.
– Tel Keisan (Fer) : Nodet 1980, pl. 97:22–23.

[9] Nodet 1980, p. 320 et pl. 97:22–23 ; Shamir 2003, p. 214 ; 2007, p. 265 ; Sass 2004, p. 2004. Voir aussi Miroschedji 1988, pl. 47:10, qualifié à tort de « fusaïole inachevée », car la petite cavité ne correspond pas à une amorce de perforation mais à un éclat.

15.2.5. Tesson retaillé en rondelle non perforée

J.9614-7 – Sondage 2, L.1117A – Niveau Acr-IA3 – Diamètre : 5,2 cm, épaisseur : 1 cm (**Fig. 15.3:7**).

Ces objets sont généralement identifiés comme des bouchons (« *lid* », « *stopper* »). Ils sont attestés dès le Bronze ancien, sont très fréquents à l'âge du Fer, et même extrêmement abondants sur certains sites ; ainsi, à Tel Miqne, on en a mis au jour des centaines[10].

Cette abondance contredit évidemment l'interprétation de ces objets comme bouchons puisque, comme l'ont justement observé N. Blockman et B. Sass[11], ces objets sont beaucoup plus nombreux que les vases à encolure étroite pour lesquels ils sont susceptibles d'avoir servi de bouchon. De fait, les vases à encolure étroite sont comparativement peu nombreux et ne peuvent expliquer les centaines de bouchons de cette sorte. Peut-être faudrait-il distinguer entre les grandes (diamètre supérieur à 3,5 cm) et les petites rondelles de céramique (diamètre entre 1,5 et 3 cm). Les premières peuvent être des tessons taillés en rondelle et destinés à devenir des fusaïoles, mais pas encore perforés ; les secondes sont précisément celles que l'on trouve parfois en grandes quantités et dont la fonction nous échappe.

Parallèle sur l'horizon des niveaux Acr-VI à Acr-II :

– Tel Megiddo (BR I–Fer II) : Blockman and Sass 2013, pp. 872–875.
– Tel Megiddo (Fer II) : Sass 2000, fig. 12.10:8–13 ; Sass and Cinamon 2006, fig. 18.14.
– Tel Ashdod (Fer I) : Ben-Shlomo 2005, pp. 164–165 (avec références).
– Tel Hazor (Fer II) : Ben-Tor 2012, fig. 15.1:1–11.
– Tel 'Ira (Fer II) : Ben-Dov 1999, figs 14.3, 14.4:11.
– Kadesh Barnea (Fer II) : Gera 2007, pl. 13.2:3–4,8–9,11–16,21–27.
– Tel Lachish (Fer IIA) : Sass 2004, fig. 28.2:20–25.

15.2.6. Tessons retaillés en rondelle à double perforation

I.10670-1 – Sondage 2, L.1186, sol a – Niveau Acr-VA – Diamètre : 5 cm ; épaisseur : 0,4 cm ; diamètre des perforations : 0,5 cm ; poids : 17 g (**Fig. 15.3:8**).

I.9799-1 – Sondage 2, L.1186, couche 5 – Niveau Acr-VA – Diamètre : 4,6 cm ; épaisseur : 0,4 cm; diamètre des perforations : ± 0,3 cm (**Fig. 15.3:9**).

Ces objets se différencient des fusaïoles décrites ci-dessus par la présence de deux perforations au lieu d'une. Ils sont attestés sur de nombreux sites à partir du Bronze moyen, et particulièrement à l'âge du Fer et à l'époque perse. Il en existe de rares équivalents en pierre[12].

[10] Ben-Shlomo 2005, pp. 164–165.
[11] Blockman and Sass 2013, p. 872.
[12] Ben-Ami 2005b, fig. V.8:20 (Tel Yoqneam) ; Sass 2004, figs 28.25:3 (Lachish) ; Hübner 1992, pp. 90–91 (avec références), Abb. 44–45.

Ces objets énigmatiques ont souvent été discutés[13]. Quatre interprétations ont été proposées :

– Bouton : Fondée sur une ressemblance formelle avec les boutons modernes, cette identification est évidemment à rejeter puisque ceux-ci n'existaient pas dans l'antiquité.
– Jouet : Proposée initialement par Petrie, cette explication a été reprise par G. Van Beek[14], qui y voit des « *'buzz' toys* » : l'extension brutale de deux ficelles enfilées dans les trous fait tourner le disque très rapidement dans un sens ou dans l'autre en provoquant un bruit caractéristique. Cet usage est attesté dans l'antiquité grecque et romaine[15].
– Tablette de tissage : O. Shamir[16] a proposé d'interpréter ces objets comme des instruments utilisés dans un mode particulier de tissage, dit « tissage à la tablette »[17]. D'après E. B. Andersson-Strand[18], cette identification est douteuse parce que dans ce mode de tissage les tablettes doivent être forcément polygonales – généralement carrées ou rectangulaires, mais pas circulaires. De fait, outre les rondelles à double perforations, il existe de vraies tablettes rectangulaires[19], et cette différence de forme implique probablement une différence de fonction, seules les tablettes rectangulaires devant être considérées comme certainement associées au « tissage à la tablette ».
– Bouchon : A. Gera[20] et A. Ben-Tor[21] considèrent ces objets comme des bouchons. Cette identification paraît la mieux appropriée à ces objets, pour deux raisons : d'une part, parce que les deux perforations permettent de ligaturer le bouchon sur l'ouverture du vase, puisque le seul poids du bouchon ne peut suffire à maintenir la fermeture ; d'autre part, et surtout, parce que la rareté relative de ces objets est en accord avec celle des vases à petite ouverture.

Parallèles :

– Tel Megiddo (BM II) : Sass and Cinamon 2006, fig. 18.43:846 (« bouton »).
– Tel Beth-Shean (BM IIB final–Fer IA) : Yahalom-Mack 2007b, p. 662, fig. 12.2.
– Tel Yoqneam (BR II) : Ben-Ami 2005b, fig. V.8:20 (en calcaire).
– Tell Jemmeh (BR II–Hellénistique) : Van Beek 1989, fig. 2 (avec nombreuses références) ; Ben-Shlomo and Gardiner 2014, pp. 833–834.
– Tel Miqne (Fer IA) : Ben-Shlomo 2006, p. 191 et fig. 5.1:7 (« bouton »).
– Tel Ashdod (Fer IB) : Ben-Shlomo 2005, p. 123, fig. 3.37:5.
– Tel Gezer (Fer IB) : Dever *et al.* 1986, pl. 61 :9 (la deuxième perforation est inachevée).

[13] Van Beek 1989, p. 53 ; Shamir 1996, p. 149 ; Yahalom-Mack 2007b, pp. 662–663 ; Ben-Tor 2012, p. 578.
[14] Van Beek 1989.
[15] Hübner 1992, p. 91.
[16] Shamir 1996, p. 149.
[17] Sur ce mode de tissage, voir Breniquet 2008, pp. 186–192 ; Boertien 2013, pp. 67–68.
[18] Communication personnelle à P. de Miroschedji.
[19] Voir Shamir 1996, fig. 22 :1 (Jérusalem Cité de David, niveau 10, Fer IIC) ; Cassuto 2012, p. 475 et pl. 19.7:8 (Tell es-Safi, chantier E, Bronze récent ?), avec références.
[20] Gera 2007, p. 214.
[21] Ben-Tor 2012, p. 578.

– Tel Beth-Shemesh (Fer I) : Bunimovitz and Lederman 2016, fig. 16.7.
– Tell el-Fâr'ah (Fer IIA–B) : Chambon 1984, pl. 77:1–2.
– Tel Lachish (Fer IIB) : Sass 2004, figs 28.25:1–2,4–6 (« boutons »), 28.25:3 (*id.*, en calcaire).
– Qadesh Barnea (Fer IIB) : Gera 2007, p. 214 et fig. 13.2:10 (« bouchon » ou « bouton »).
– Tel Hazor (Fer II) : Ben-Tor 2012, fig. 15.1:12–14 (« bouchon »).
– Tel 'Ira (Fer II) : Ben-Dov 1999, figs 14.3, 14.4:10 (« bouton »).
– Horvat 'Uza (Fer II) : Freud 2007, fig. 10.1:1–11 (« bouton »).
– Jerusalem (Fer) : Shamir 1996, fig. 22:2–3.
– Tel Kabri (hors stratigr.) : Oren 2002, p. 366 et fig. 10.13 (« *tablet* »).
– Tel Aro'er (Romain) : Taxel and Hershkovitz 2011, pl. 261:2 (« bouchon »).



Fig. 15.4. Tesson d'écuelle retaillé pour servir de racloir (A.10726-5, voir **Fig. 4.6:1**).

15.2.7. Tesson réutilisé : racloir

A.10726-5 – Sondage 2, L.1198, couche 4 – Niveau Acr-IX (**Figs 4.6:1 et 15.4**).

Bord d'écuelle à engobe rouge lustré, ayant fait l'objet d'une réparation, dont témoigne une perforation unilatérale au bord de la cassure, puis recyclée comme racloir après avoir été retaillé. La réutilisation de tessons comme polisssoir ou racloir est courante dès le Bronze ancien.

15.3. Objets en pierre

15.3.1. Petits objets divers

15.3.1.1. *Figurine*

G.10825-1 – Sondage 2, L.2320-2 – Niveau Acr-IIB – Dim. 3,5 × 1,5 cm (**Fig. 15.5:1**).

Il s'agit d'un bâtonnet de craie de 3,5 cm de haut et d'une épaisseur comprise entre 1 et 1,5 cm représentant un personnage aux traits frustes. Sous la base à peu près rectangulaire a été aménagée une petite cavité ovale de 3–4 mm de profondeur. Une seule face a fait

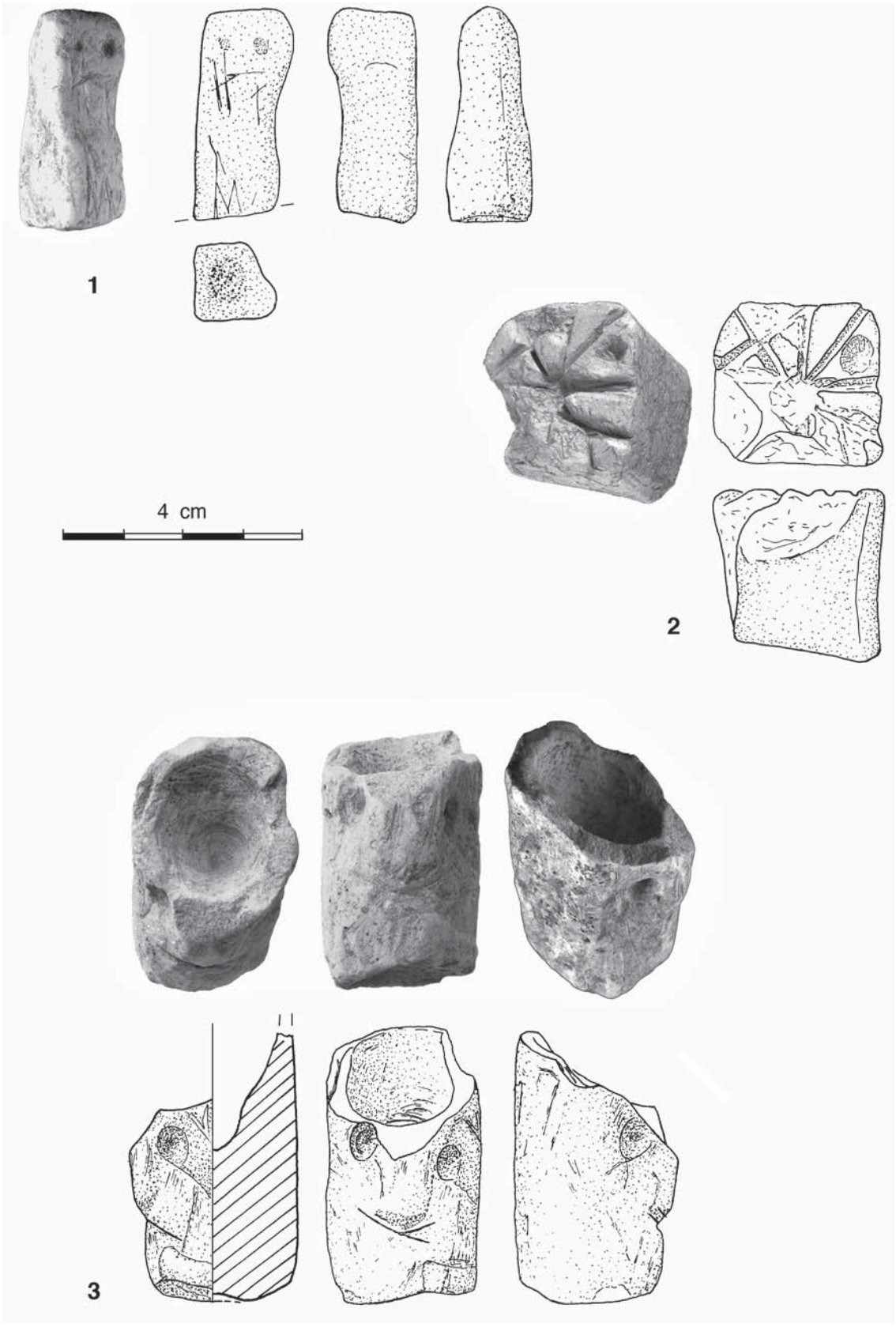


Fig. 15.5. Petits objets divers en pierre. 1 : G.10825-1. 2 : C.9788-1. 3 : C.10910-1.

l'objet d'un traitement dans le tiers supérieur : deux petites cavités pour les yeux et une incision horizontale de 7 mm de long figurant la bouche. Quelques incisions verticales sont visibles dans la partie inférieure : il s'agit de traits en dents de scie.

15.3.1.2. *Godet*

C.10910-1 – Sondage 2, L.1150, couche 1 – Niveau Acr-IV – Dim. 4,4 × 2,7 × 2,5 cm – 22 g (**Fig. 15.5:3**).

Ce morceau de craie avec une cavité conique taillé dans le sens de la longueur. Il est possible de discerner un visage avec deux yeux et une protubérance marquant le nez. Deux traits incisés pourraient indiquer la bouche.

15.3.1.3. *Sceau (?)*

C.9788-1 – Sondage 2, L.1176,1177 – Niveau Acr-IA2 – Dim. 2,6 × 2,8 × 2,5/2,9 cm – 27 g (**Pl. 15.5:2**).

Ce sceau byzantin taillé dans du calcaire présente un ensemble de lignes enchevêtrées. On discerne une ligne centrale, et trois traits qui viennent la traverser en son centre. Une ligne oblique barre l'un des angles du sceau et un creux est placé entre deux lignes.

15.3.2. Vases en pierre

C.9512-1 – Sondage 1, L.1109-1106 – Phase 4/5 – Dim. 9 × 9 × 2,5 cm (**Fig. 15.6:1**).

Bord de bol profond en basalte à grains fins. Trouvé dans les couches de remblai 1106/1109 dont la poterie date essentiellement du Bronze ancien III.

C.10920-1 – Sondage 2 – Surface (**Fig. 15.6:2**).

Base d'un bol en basalte à grains fins, ramassé en surface.

Ces deux fragments proviennent de vases en basalte de même type. Il s'agit d'un bol profond à base épaisse, à paroi verticale évasée vers le haut et à bord aminci, bien connu sur de nombreux sites du Bronze ancien IA et IB au Levant méridional[22]. Plusieurs fragments (inédits) ont été mise au jour à Tel Yarmouth dans des couches du Bronze ancien III aux chantiers B et G de la ville basse. Le fragment de la **Fig. 15.6:1** a donc été trouvé lui aussi hors contexte. Toutefois, sa découverte permet de supposer que l'acropole était occupée au Bronze ancien IB, alors que le mobilier mis au jour sur le rocher au fond du Sondage 2 (niveau Acr-IX) date du Bronze ancien II, quand ce type de vase en basalte n'était plus fabriqué.

[22] Braun 1990, fig. 2:4 (Type 1A).

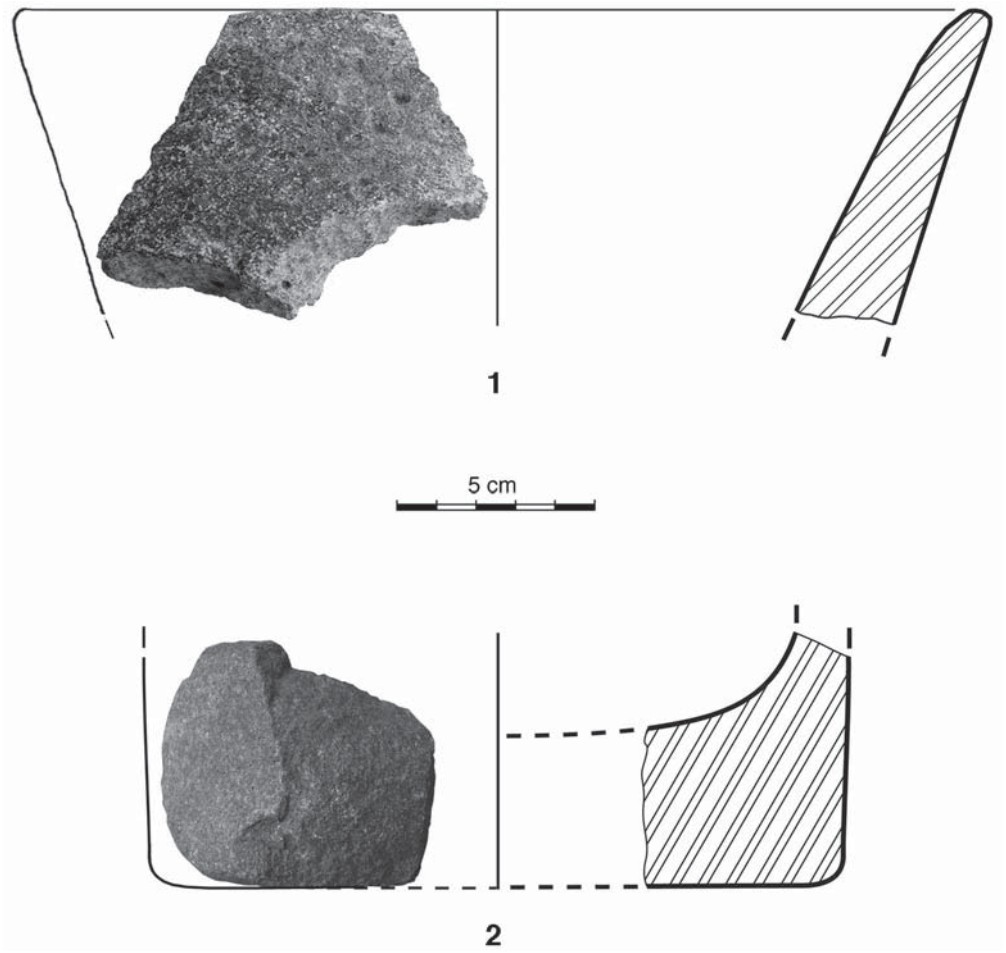


Fig. 15.6. Fragments de vases en basalte. 1 : C.9512-1. 2 : C.10920-1.

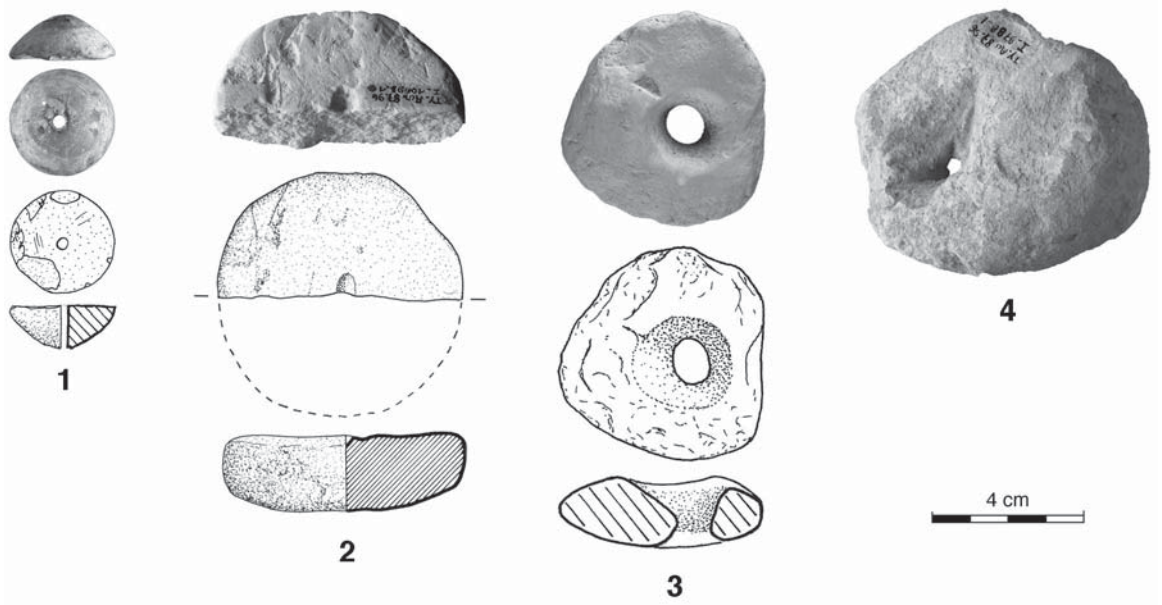


Fig. 15.7. Fusaïoles (1-2) et poids de tisserand (2-3) en pierre. 1 : J.10861-1. 2 : J.10693-1. 3 : C.10905-1. 4 : C.9788-1.

15.3.3. Fusaïoles et poids de tisserand

15.3.3.1. *Fusaïole conique*

J.10861-1 – Sondage 2, L.1152 – Niveau Acr-VA – Diam. : 2,7 cm ; hauteur : 1,1 cm ; diamètre de la perforation : 0,3 cm ; poids : 6 g (**Fig. 15.7:1**).

Ce type de fusaïole est bien attesté dans des contextes du Bronze récent et du Fer I. Le petit diamètre de la perforation et surtout son faible poids indique qu'elle était destinée à filer de la laine.

Parallèles :

– Tel Kabri (BM IIB) : Oren 2002, fig. 10.15:5–6.
– Tel Batash (BR IIA) : Yahalom-Mack 2006a, p. 260, photo 120.
– Tel Dan (BR II) : Ben-Dov 2011, p. 331 et fig. 198:1–4 (« *Dome-shaped whorls* »).
– Tel Beth-Shean (Fer IA) : Panitz-Cohen and Yahalom-Mack 2009, fig. 15.1:2–3,6–7.
– Tell Jemmeh (Fer IA–B) : Rowan 2014, fig. 23.4:c–f (« *Spindle-whorl* »).
– Tel Keisan (Fer I–II, Hellénistique) : Nodet 1980, p. 316 et pl. 96:3–10.
– Tell el-Fâr'ah (Fer IIA–B) : Chambon 1984, pl. 75:4,6.
– Tel Lachish (Fer IIA) : Sass 2004, fig. 28.10:1.
– Tell es-Safi (Fer IIA final) : Cassuto 2012, p. 474 (avec références), pl. 19.7:2–5.
– Tel Hazor (Fer II) : Cimadevilla 2012, fig. 12.2:4–6.
– Tel Megiddo (Fer II) : Sass 2000, fig. 12.17:15 ; Sass and Cinamon 2006, fig. 18.20:495–499.
– Tel 'Aroer (Romain) : Taxel 2011, pl. 265:7.

15.3.3.2. *Fusaïole plano-convexe (ou pivot de foret à arc ?)*

J.10693-1 – Sondage 2, L.2310 – Niveau Acr-VB – Diam. 6,4 cm ; épaisseur : 2 cm ; diamètre de l'amorce de perforation : 0,5 cm (**Fig. 15.7:2**).

Fragment de l'ébauche d'une fusaïole(?) en calcaire tendre, avec une amorce de perforation sur la face plane. L'identification comme fusaïole est incertaine : il pourrait s'agir aussi du pivot d'un foret à arc.

Parallèles :

– Tel Lachish (Fer IIA–IIC, Perse) : Sass 2004, figs 28.9:13–16, 28.10:11–12).
– Tel Hazor (Fer IIC) : Cimadevilla 2012, fig. 12.2:13 (« *spindle-whorl* »).

15.3.3.3. *Poids de tisserand (galets perforés)*

C.10905-1 – Sondage 2, L.2338 – Niveau Acr-IV – Diam. 6,4 cm ; épaisseur : 2 cm ; diam. perforation : 1,0 cm ; poids : 34 g (**Fig. 15.7:3**).

Galet de calcaire tendre. Perforation de profil biconique.

Parallèles :

– Tell Jemmeh (BM IIC, Fer IB–IIA) : Rowan 2014, fig. 23.4:h–l.
– Tel Megiddo (BR I–II) : Sass 2000, fig. 12.17:11.
– Tel Batash (Fer IB) : Yahalom-Mack 2006a, p. 257, photo 114 (« *ring* »).

C.9788-1 – Sondage 2, L.1176/1177 – Niveau Acr-1A2 – Diam. 7,6 cm ; épaisseur : 4,5 cm ; diam. perforation : 0,7 cm ; poids : 127 g (**Fig. 15.7:4**).

Galet de calcaire taillé de manière irrégulière avec perforation assez étroite.

Parallèles :

– Tel Batash (BM IIB) : Yahalom-Mack 2006a, p. 257, photo 115 (« *ring* »).
– Tell Jemmeh (BR II) : Rowan 2014, fig. 23.4:o.

15.3.4. Mortiers

La plupart des mortiers retrouvés sont en basalte, quelques-uns en calcaire, voire même en calcaire crayeux. Il s'agit de gros galets de rivière de contour généralement circulaire ou ovale de 13 à 20 cm de diamètre, dans lesquels une dépression circulaire a été creusée plus ou moins profondément.

C.9662-2 – Sondage 2, L.1148 – Niveau Acr-IV – Dim. : 12 × 8 × 5 cm (**Fig. 15.8 :3**).

Mortier fragmentaire en basalte à base ronde.

C.-9712-1 – Sondage 2, L.1171, sol a – Niveau Acr-III – Dim. : 13 × 13 × 5 cm (**Fig. 15.8 :4**).

Mortier fragmentaire en basalte à base ronde, contour ovale (?).

C.9712-2 – Sondage 2, L.1171, sol a – Niveau Acr-III – Diam. : 19 cm ; épaisseur : 5 cm (**Fig. 15.8 :5**).

Mortier fragmentaire circulaire en basalte.

C.9725-1 – Sondage 2, L.1153 – Niveau Acr-VA – Diam. : c.26 cm ; épaisseur : 7 cm (**Fig. 15.8:6**).

Mortier fragmentaire en calcaire circulaire grossièrement taillé.

C.10707-1 – Sondage 2, L.1173, sol a – Niveau Acr-VIA – Dim. 9,5 × 6 × 4 cm – 214 g (**Fig. 15.8:1**).

Mortier fragmentaire en craie.

C.10802-1 – Sondage 2, terre de surface – Dim. : 16,5 × 12,8 × 6,9 cm – 1040 g (**Fig. 15.8:2**).

Mortier fragmentaire en calcaire.

Les mortiers présentent une grande variété de formes. Les petits mortiers en basalte à base ronde et de contour plus ou moins circulaire (**Fig. 15.8:3–4**) sont connus au BM IIB à Beth-Shean R-3 et R-5[23], et au Fer I à Tell el-Fâr'ah VIIb[24].

[23] Yahalom-Mack 2007a, fig. 11.2.
[24] Chambon 1980, pl. 78:10–11.

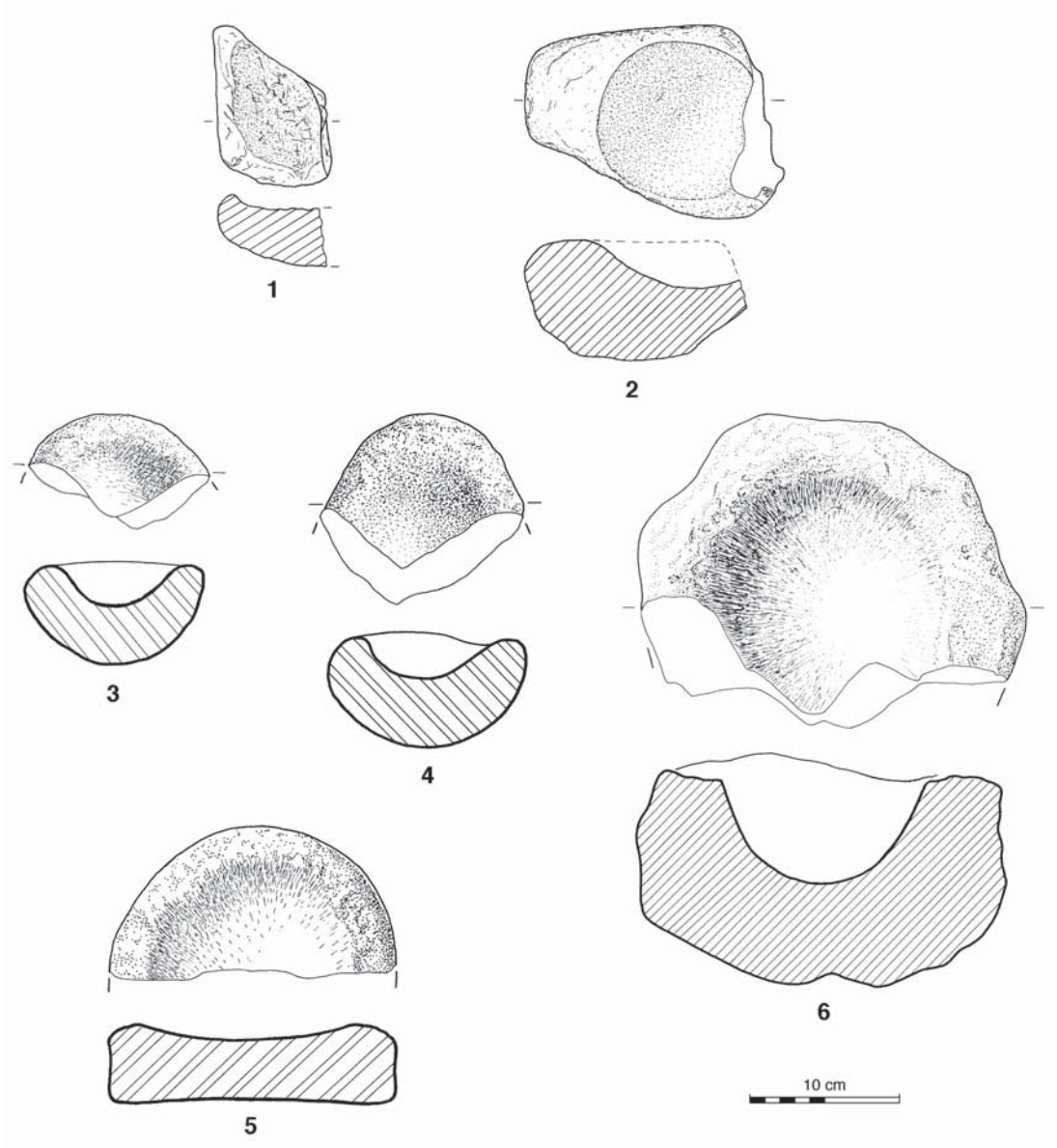


Fig. 15.8. Mortiers. 1 : C.10707-1. 2 : C.10802-1. 3 : C.9662-2. 4 : C.9712-1. 5 : C.9712-2. 6 : C.9725-1.

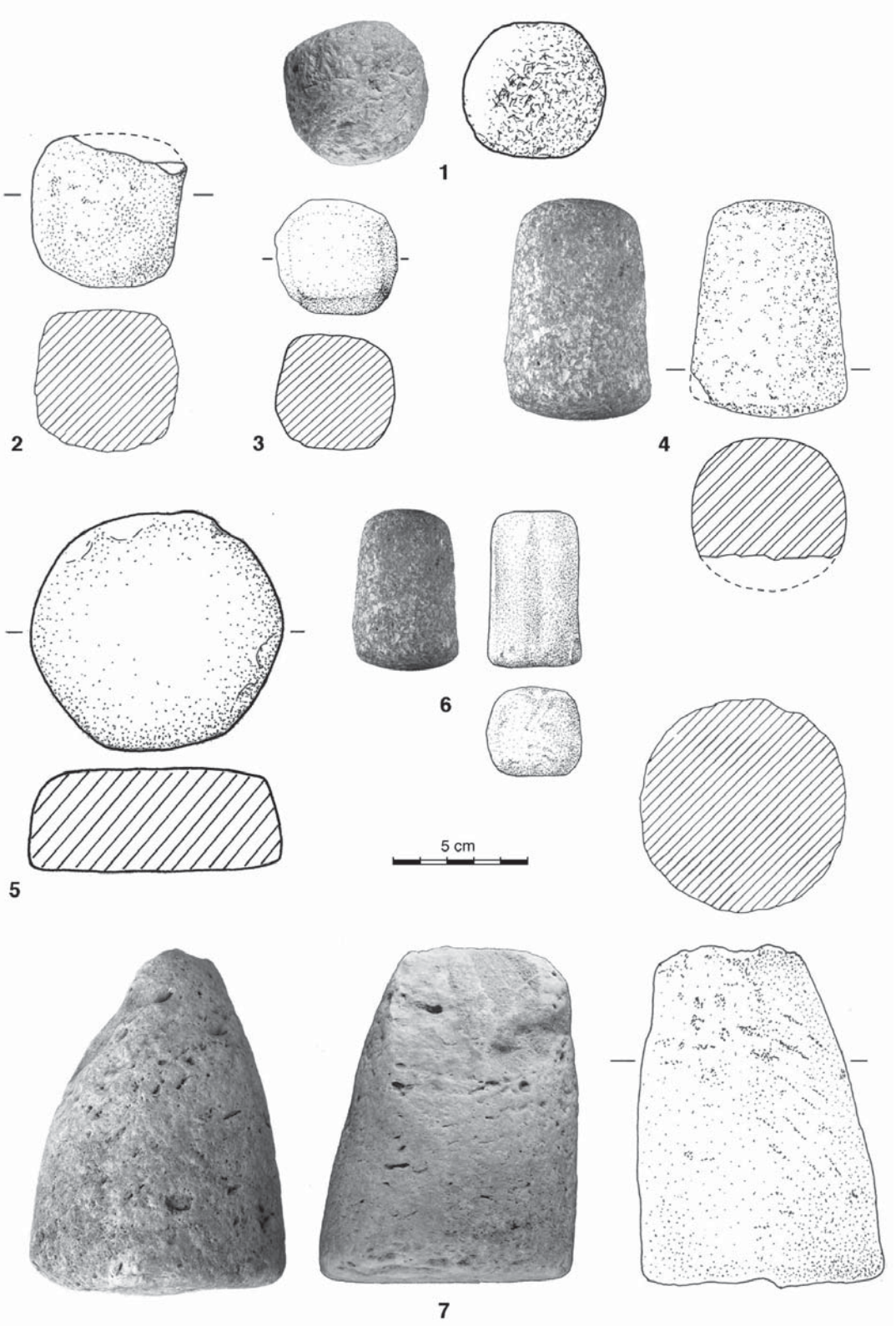


Fig. 15.9. Molettes et pilons. 1 : C.10715-1. 2 : C.9612-1. 3 : C.9571-1. 4 : C.9730-2. 5 : C.10808-1. 6 : C.9632-1. 7 : C.9637-1.

15.3.5. Molettes et pilons

15.3.5.1. *Molettes*

15.3.5.1.1. Molettes sphéroïdes

C.9612-1 – Sondage 2, L.1126 – Niveau Acr-III – Diamètre *c.*5,5 cm (**Fig. 15.9:2**).

C.9571-1 – Sondage 2, L.1122/1117A – Niveau Acr-IIB/ Acr-IA3 (**Fig. 15.9:3**).

C.10715-1 – Sondage 2, L.2310-sol a – Niveau Acr-VB – Dim. 5 × 4,9 × 4,7 cm – 170 g (**Fig. 15.9:1**).

Ces trois molettes relèvent d'une catégorie d'objets dont la forme générale est sphérique, mais avec des variations sensibles : outre les sphéroïdes plus ou moins parfaits, qui sont rares, on en trouve avec une, deux ou même quatre faces aplaties (dans ce dernier cas, il s'agit presque d'un cuboïde). Ils sont façonnés dans un calcaire d'apparence siliceuse, très dense, avec des dimensions qui oscillent entre 4,5 et 6,5 cm de diamètre. Dans les publications, ces objets sont désignés tantôt molette (« *hammerstone* », « *pounding stone* », « *upper grinding stone* », « *handstone* ») ou pilon (« *pestle* »), tantôt pierre de fronde (« *slingstone* », « *balistra* »). Quand une ou plusieurs faces aplaties de l'objet présentent un aspect piqueté (« *pecked hammerstone* »), ce qui est le cas de loin le plus fréquent, l'utilisation comme molette ou percuteur est probable. Quand on n'y observe aucune trace de percussion ou d'abrasion, on peut admettre qu'il s'agit de balle de fronde, surtout si le contexte se prête à cette interprétation, comme au voisinage des fortifications de Lachish à la fin du VIIIe siècle[25] ; ce n'est évidemment pas le cas pour les exemplaires de Yarmouth. Enfin, si les formes et les poids sont standardisés, il peut s'agit de poids ; cette possibilité pourrait s'appliquer à l'exemplaire C.10715-1 de la **Fig. 15.9:1** dont le poids de 170 g correspond à ¼ de mine[26].

Attestés dès le Bronze ancien[27], ces objets sont fréquents à toutes les époques jusqu'à l'époque perse.

Parallèles :

- Tel Beth-Shean (BM IIB final–BR I) : Yahalom-Mack 2007a, pp. 642–644.
- Tell Jemmeh (BM IIC) : Rowan 2014, p. 919 et fig. 23.2:d,g–h (« *handstones : cuboid abrader/rubber* »).
- Tel Yoqneam (BM IIC, BR II) : Ben-Ami 2005b, p. 368, fig. V.8:1–14 (« *weights* »).
- Tel Beth-Shean (Fer IA) : Yahalom-Mack and Panitz-Cohen 2009, fig. 14.4:1–9.
- Khirbet Qeiyafa (Fer IB) : Garfinkel 2009, pp. 183–185.
- Tel Qiri (Fer I) : Ben-Tor 1987, fig. 58:15–16,21–22.
- Tel Beth-Shemesh (Fer I–II) : Bunimovitz and Lederman 2016, fig. 16.3.
- Tel Megiddo (Fer I–II) : Sass 2000, figs 12.22:1–5, 12.24 (« *roughened cubes* », « *hammerstone /slingstone* »). Sass and Cinamon 2006, fig. 18.33:690–700 (« *slingstone* »).
- Tel Kadesh Barnea (Fer IIA) : Gera 2007, p. 223, fig. 13.3:125 (« *upper grinding stone* »).

[25] Voir Sass and Ussishkin 2004, pp. 1974–1982.
[26] *Cf.* Eran 1996, p. 213, table 7.
[27] Voir Rosen 1997, p. 101 ; et nombreux exemplaires inédits dans les chantiers de la ville basse à Yarmouth.

– Tel Beth-Shean (Fer IIB) : Yahalom-Mack and Mazar 2006, pp. 483–485.
– Tel Ashkelon (Fer IIC) : Rowan 2011, p. 557 (« *Handstone and abrader* », « *hammerstone* »).
– Tel Batash (Fer II) : Cohen-Weinberger 2001, p. 229, photo 163 (« *pounding stone* ») ; Yahalom-Mack 2006b, p. 268, photo 136 (« *pecked hammerstone* »).
– Tel 'Ira (Fer II) : Goldsmith *et al.* 1999, figs 14.24:14–16, 14.25:12–14.
– Tel Lachish (Fer II) : Sass and Ussishkin 2004, pp. 1974–1982.
– Horvat 'Uza (Fer II) : Freud 2007, fig. 10.11:15–25 (« *slingstone* »).
– Jérusalem, Cité de David (Fer) : Eran 1996, fig. 32:1.

15.3.5.1.2. Molette (?) discoïde

C.10808-1 – Sondage 2, L.2320, couche 1 – Niveau Acr-IIB – Dim. 9,5 × 8,8 × 4 cm – 535 g (**Fig. 15.9 :5**).

Ce galet retouché a probablement servi de molette.

Quelques parallèles :

– Tel Yoqneam (BR II) : Ben-Ami 2005b, photos V.5, fig. V.7: 8–12.
– Khirbet Qeiyafa (Fer IB/IIA) : Garfinkel 2009, fig. 9.4:7.
– Tel Yoqneam (Fer IB et post-Fer II) : Ben-Ami 2005a, fig. III.19:7–8.
– Tell Jemmeh (Fer IIB) : Rowan 2014, fig. 23.2:m.
– Tel Megiddo (Fer II ?) : Sass and Cinamon 2006, fig. 18.11:204 (« *Upper millstone* »).

15.3.5.2. *Pilons*

Les broyeurs possèdent le plus couramment une forme ovale, alors que les pilons adoptent des formes conoïdes ou cylindriques et sont en matériaux tels que le basalte ou le calcaire.

15.3.5.2.1. Pilons cylindriques

C.9730-2 – Sondage 2, L.1174 – Niveau Acr-IC2 – Dim. 8 × 5 × 3,5 cm – Poids 310 g (**Fig. 15.9:4**).

Pilon fragmentaire en basalte à grains fins, de forme cylindrique légèrement élargie vers le bas.

C.9632-1 – Sondage 2, L.1140, sol – Niveau Acr-IIA – Dim. 6,5 × 3 cm (**Fig. 15.9:6**).

Pilon cylindrique en grès à bords arrondis.

Parallèles :

– Tel Beth-Shean (BM) : Yahalom-Mack 2007a, pp. 648–649.
– Tel Yin'am (BR II) : Liebowitz 2003, p. 173, photos 7.17–19.
– Tell Jemmeh (BR II/Fer IA) : Rowan 2014, fig. 23.2:c.
– Tel Qiri (Fer I) : Ben-Tor 1987, fig. 58:17.
– Tel Shiloh (Fer I) : Brandl 1993, fig. 9.13:3.

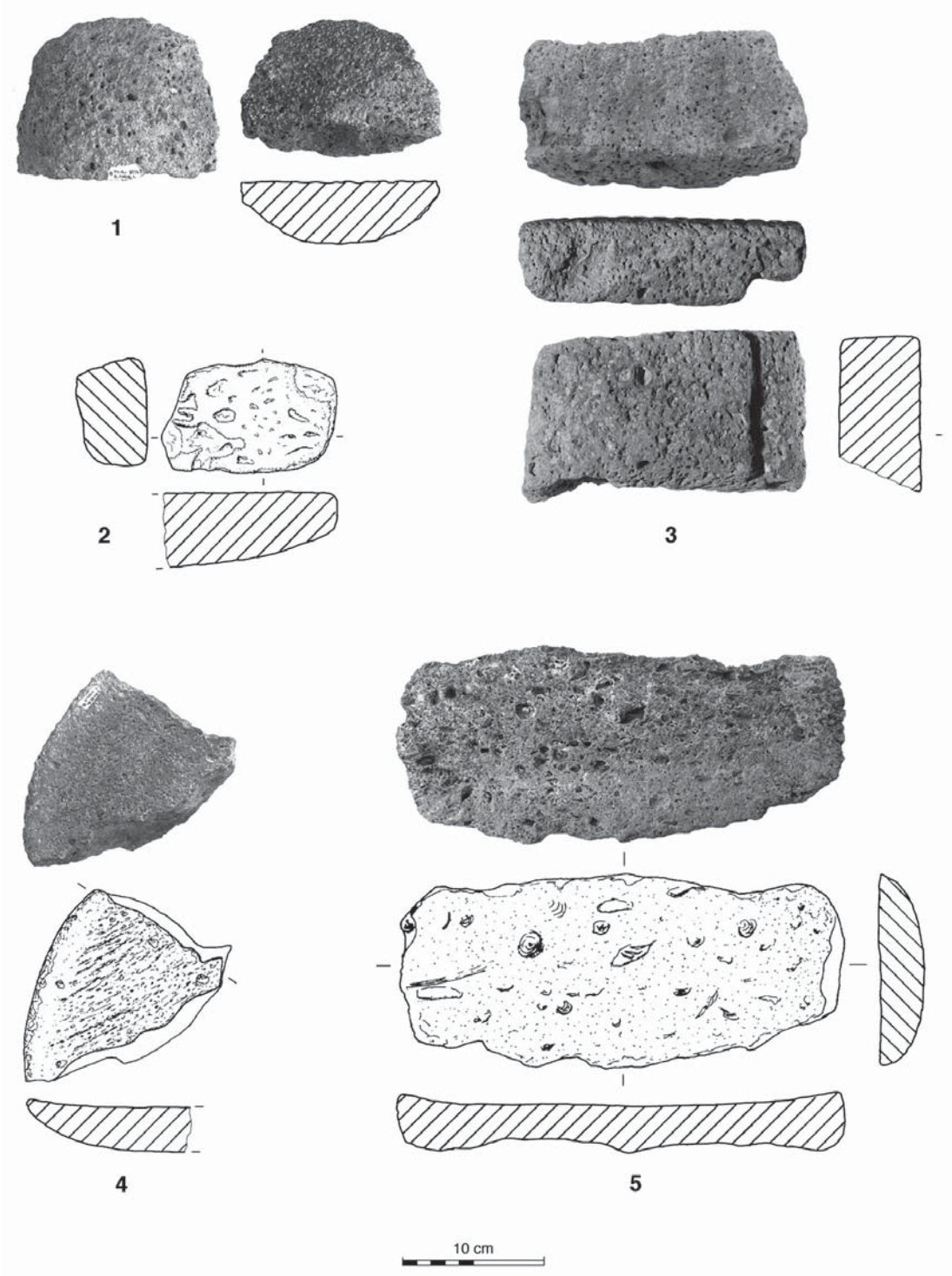


Fig. 15.10. Fragments de meule. 1 : C.10638-2. 2 : C.9793-1. 3 : C.10611-1. 4 : C.10654-1. 5 : C.10898-1.

– Tell el-Fâr'ah (Fer IIA) : Chambon 1984, pl. 77:10,13.
– Tel Ashkelon (Fer IIC) : Rowan 2011, p. 568 (n° 31).

15.3.5.2.1. Pilon tronconique

C.9637-1 – Sondage 2, L.1140, sol – Niveau Acr-IIA (**Fig. 15.9:7**).

Pilon presque complet en calcaire de profil tronconique d'un côté et trapézoïdale de l'autre, à base circulaire.

15.3.6. Meules

Tous les niveaux ont livré des meules, dont la grande majorité sont en basalte, sauf un exemplaire en *kurkar* provenant du niveau Acr-IV. Le niveau Acr-VII du Bronze ancien a livré le plus grand nombre de meules en basalte (9 meules actives, 4 meules dormantes).

15.3.6.1. *Meule active*

C.10638-2 – Sondage 2, L.1197, couche 1 – Niveau Acr-VIII – Dim. 15 × 11 × 4,5 cm – 930 g (**Fig. 15.10:1**).

Meule active fragmentaire en basalte, de section transversale plano-convexe.

15.3.6.2. *Meules dormantes*

C.09793-1 – Sondage 2, L.1186, couche 1 – Niveau Acr-VA – Dim. 13,3 × 8,6 × 5,5 cm – 970 g (**Fig. 15.10:2**).

Meule fragmentaire en *kurkar*. De forme allongée, la section longitudinale est plano-convexe.

C.10611-1 – Sondage 2, L.1179 – Niveau Acr-IB – Dim. 21 × 12 × 6,5 cm (**Fig. 15.10:3**).

Meule dormante fragmentaire en basalte, avec une surface plane et une base en ressaut. Profil inhabituel.

C.10654-1 – Sondage 2, L.1197-1 – Niveau Acr-VIII – Dim. 16,5 × 12,5 × 4 cm – 1200 g (**Fig. 15.10:4**).

Meule dormante fragmentaire en basalte à bord surélevé.

C.10898-1 – Sondage 2, L.2338 – Niveau Acr-III – Dim. 33 × 14,5 × 4 cm – *c.* 2,2 kg (**Fig. 15.10:5**).

Meule dormante complète en *kurkar*.

Les meules de la **Fig. 15.10:3,5** sont sans équivalent[28]. Celles de la **Fig. 15.10:2,4** relèvent du type des meules de forme oblongue (« *loaf-shaped basalt grinding stone* »).

Quelques parallèles :

– Tel Beth-Shean (BM IIB final–BR I) : Yahalom-Mack 2007a, p. 651. (Fer IA) : Yahalom-Mack and Panitz-Cohen 2009, pp. 729–773. (Fer IIB) : Yahalom-Mack and Mazar 2006, pp. 487–489.
– Tel Yoqneam (BR II) : Ben-Ami 2005b, p. 363, photo V.1 et fig. V.6:4–5.
– Tel Beth-Shemesh (Fer I–II) : Bunimovitz and Lederman 2016, fig. 16.2:1616.01.
– Tel Lachish (Fer IIB) : Sass 2004, fig. 28.7:2.
– Tel Megiddo (Fer IB) : Paice 2004, pl. 37:7 ; Sass 2000, figs 12.4–12.8 ; Sass and Cinamon 2006, figs 18.8–18.9.

15.3.7. Objets en pierre divers

15.3.7.1. *Palettes*

C.10815-1 – Sondage 2, L.2320, couche 1 – Niveau Acr-IIB – Dim. 13 × 11,5 × 6,2 cm – Poids : 1645 g (**Fig. 15.11:1**).

Gros galet de calcaire avec une surface légèrement concave.

C.9772-2 – Sondage 2, L.1179 – Niveau Acr-IB – Dim. : 7 × 5,4 × 2,7 cm (**Fig. 15.11:2**).

Petite palette en calcaire de contour rectangulaire à base plate et à surface légèrement concave.

C.10815-2 – Sondage 2, L.2320, couche 2 – Niveau Acr-IIB – 8,4 × 7,1 × 3,4 cm – Poids : 340 g (**Fig. 15.11:3**).

Palette fragmentaire en pierre brun-rouge à grains fins. Contour rectangulaire irrégulier, base plate. La surface de la palette est délimitée par un bord de 0,6 cm de large et 0,25 cm de relief.

15.3.7.2. *Objet d'usage indéterminé*

C.9754-1 – Sondage 2, Nettoyage (**Fig. 15.11:4**).

Pierre noire, de forte densité, d'aspect légèrement brillant, de forme cylindrique avec deux renflements bulbaires aux extrémités. Sa nature et son origine n'ont pas pu être déterminées.

[28] Voir cependant Rowan 2014, fig. 23.1 (Tell Jemmeh).

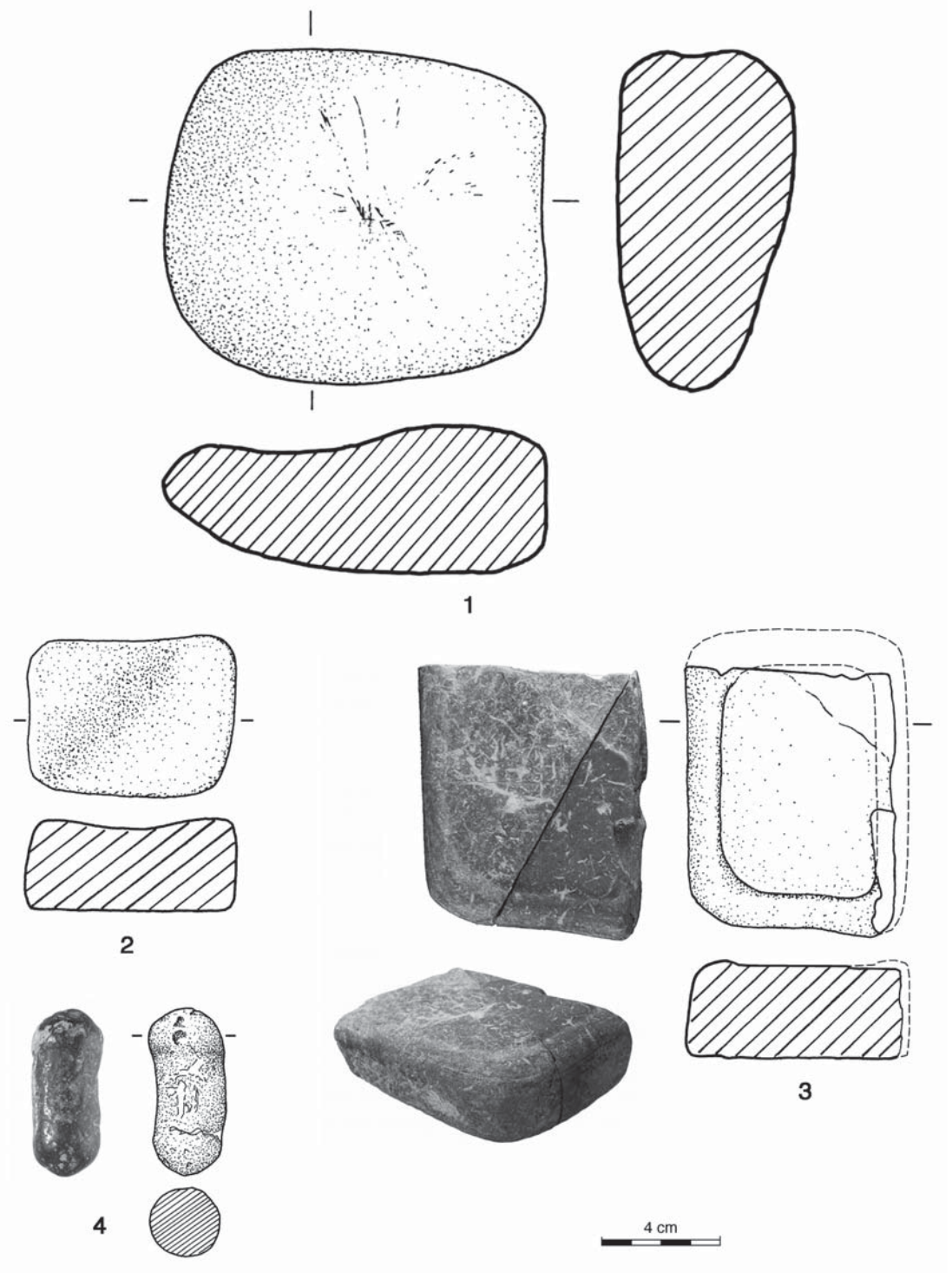


Fig. 15.11. Objets divers en pierre. 1 : C.10815-1. 2 : C.9772-2. 3 : C.10815-2. 4 : C.9754-1.

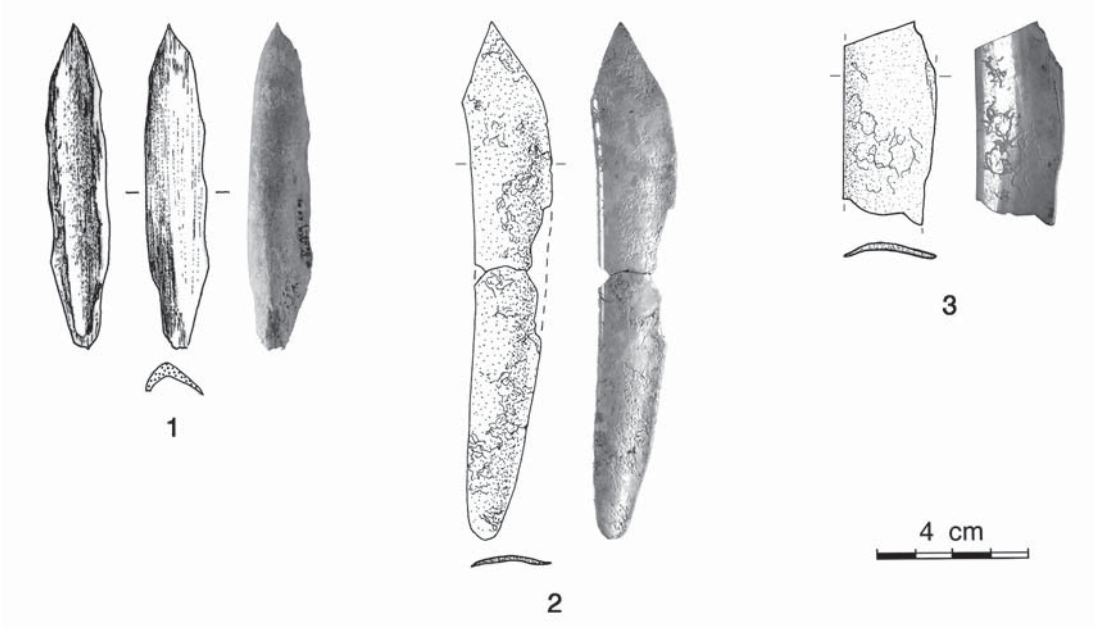


Fig. 15.12. Objets en os. 1. E.9658-1. 2. E.10609-1. 3. E.10612-1.

15.4. Objets en matières organiques

De rares objets en matières organiques ont été mis au jour.

15.4.1. Poinçon/perçoir en os

E.09658-1 – Sondage 2, L.1150, sol a – Niveau Acr-IV – Dim. : 8,5 × 1,6 cm (**Fig. 15.12:1**).

Une pointe en os provenant du sol 1150 est un fragment d'os long taillé en pointe. Ce type d'outil est courant depuis le Chalcolithique jusqu'à basse époque.

15.4.2. « Spatules » en os

E.10609-1 – Sondage 2, L.1179, sol a – Niveau Acr-IB – Dim. : 13,8 × 2,2 cm (**Fig. 15.12:2**).

Objet presque complet, en deux fragments. Taillé dans une côte dont la surface est soigneusement polie. Le dos est arrondi, le tranchant assez affûté et l'extrémité pointue.

E.10612-1 – Sondage 2, F.1190 – Niveau Acr-IC – Dim. : 5,4 × 2,4 cm (**Fig. 15.12:3**).

Le second objet est un fragment d'une « spatule » avec une section plate légèrement incurvée. Quelques légères rainures de façonnage sont visibles sur la face interne.

Caractérisés par leur section aplatie et leur surface soigneusement polie, ces objets sont bien attestés par ailleurs dans des contextes du Fer II ou plus récents. Généralement qualifiés de « spatules », ils sont liés aux activités textiles[29]. De fait, leur utilisation comme navette est

[29] Voir Boertien 2013, pp. 72–75.

possible, ce qui rendrait compte du poli observé sur l'ensemble de la surface. Toutefois, l'absence de chas près du talon de l'exemplaire de la **Fig. 15.12 :2** permet aussi d'envisager une utilisation comme lissoir, bien que le poli de la surface ne soit pas limité à la tête de l'objet, comme c'est le cas avec les lissoirs de bourrelier[30].

Quelques parallèles :

– Tel Lachish (Fer IA) : Sass 2004, fig. 28.12:5.
– Tel Aro'er (Fer II) : Taxel 2011, pl. 266:1.
– Tel Beth-Shean (Fer II) : Yahalom-Mack and Mazar 2006, p. 497 (avec références).
– Tel 'Ira (Fer II) : Goldsmith *et al.* 1999, figs 14.5–6.
– Tel Megiddo (Fer II) : Sass 2000, fig. 12.20:3 ; Sass and Cinamon 2006, fig. 18.29:648.
– Horvat 'Uza (Fer II) : Freud 2007, fig. 10.6:2.
– Tell er-Rumeith (Fer II) : Boertien 2013, p. 74, fig. 3.10 ; p. 245, fig. 9.16.
– Tel Qadesh Barnea (Fer IIB–C) : Gera 2007, fig. 15.5:22,31,38.

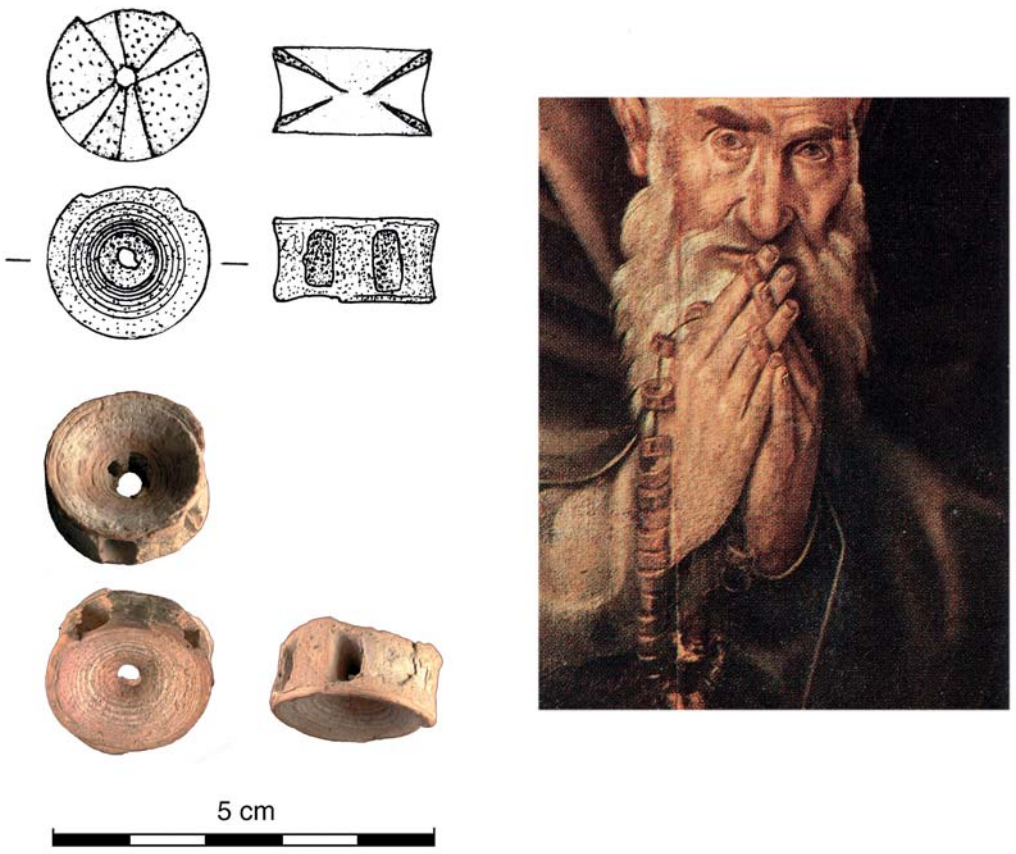


Fig. 15.13. À gauche, pendentif aménagé dans un disque vertébral de requin H.10796. À droite, détail du panneau des pêcheurs du polyptique de St Vincent-hors-les-murs attribué à Nuño Gonçalves (Lisbonne, Museu Nacional de Arte Antiga).

[30] *Cf.* Stordeur 1980, pl. III.

15.4.3. Perle ou pendentif en cartilage calcifié

H.10796-1 – Sondage 2 – Surface – Diamètre : 2,1 cm, hauteur : 1,1 cm (**Fig. 15.13**).

Il s'agit d'un disque vertébral calcifié de requin, perforé et utilisé comme perle ou pendentif. Une irrégularité dans le contour de la perforation indique l'usure causée par le fil de suspension. Cet objet a été trouvé en surface, mais il provient probablement d'un niveau de l'âge du Fer ou plus récent. Les disques vertébraux de requin sont attestés sur une vingtaine de sites, exceptionnellement dès le Chalcolithique récent, habituellement dans des contextes du Bronze moyen à l'époque byzantine. Quelques-uns ont été perforés et utilisés comme objet de parure. Cet usage est longtemps resté populaire : ainsi, sur l'un des panneaux du polyptyque de St Vincent-hors-les-murs attribué à Nuño Gonçalves, on peut voir un pêcheur prosterné tenant un rosaire constitué de disques vertébraux de requin identiques au spécimen de Yarmouth[31].

Quelques parallèles :

– Tel Aviv, rue Namir (Chalcolithique récent) : Lernau 2016, pp. 105–106 et fig. 83.7.
– Tel Kabri (BM et Fer II) : Lernau 2002, p. 415 et fig. 13.11.
– Tel Lachish (BM–Fer II) : Lernau and Golani 2004, pp. 2465–2466, fig. 33.29:6.
– Tel Megiddo (Fer II): Lernau 2000, p. 471 ; Lernau 2006, fig. 24.14.
– Tel Ashkelon (Fer IIC) : Lernau 2011, p. 647 (dont un exemplaire perforé).
– Jérusalem, Cité de David (Byzantin) : Lernau and Lernau 1992, p. 134 et pl. 11:44–45.
– Tel Ashdod (hors stratigraphie) : Maher 2005, p. 289, fig. 8.7.

15.4.4. Pendentifs en coquillage

D. Bar-Yosef Mayer signale ci-dessous (Chap. 21) deux spécimens de *C. pharaonis* and *T. gibbosula* artificiellement perforés qui ont probablement servi de perles ou de pendentifs.

Références

Ariel, D. T. and De Groot, A.
1996 *Excavations in the City of David 1978–1985,* Vol. IV (Qedem, Monographs of the Institute of Archaeology 35). Jerusalem : The Hebrew University of Jerusalem.

Beck, P.
1993 "Early Bronze Age "Bed-Models" Reconsidered," *Tel Aviv* 20 : 33–40

Ben-Ami, D.
2005a "Miscellaneous Small Objects," in *Yoqneam II, The Iron Age and the Persian Period, Final Report of the Archaeological Excavations (1977–1988)* (Qedem Reports 6), edited by A. Ben-Tor, A. Zarzecki-Peleg and S. Cohen-Anidjar, pp. 377–394. Jerusalem : Institute of Archaeology, The Hebrew University.

[31] Nous remercions Omri Lernau, qui nous a signalé ce détail du polyptique de Nuño Gonçalves.

2005b "Stone Objects," in *Yoqneam III, The Middle and Late Bronze Ages, Final Report of the Archaeological Excavations (1977–1988)* (Qedem Reports 7), edited by A. Ben-Tor, D. Ben-Ami and A. Livneh, pp. 363–369. Jerusalem : Institute of Archaeology, The Hebrew University.

BEN-DOV, R.

1999 "Loom Weights," in *Tel 'Ira, A Stronghold in the Biblical Negev* (Tel Aviv University Sonia and Marco Nadler Institute of Archaeology Monograph Series No. 15), edited by I. Beit-Arieh, pp. 445–449. Tel Aviv : Emery and Claire Yass Publications in Archaeology.

2011 "Whorls, Beads and Buttons," in *Dan III, Avraham Biran Excavations 1966–1999, The Late Bronze Age* (Annual of the Nelson Glueck School of Biblical Archaeology, Hebrew Union College-Jewish Institute of Religion No. IX), edited by R. Ben-Dov, pp. 331–334. Jerusalem : NGSBA, HUC-JIR.

BEN-SHLOMO, D.

2005 "Material Culture," in *Ashdod VI, The Excavations of Areas H and K (1968–1969)* (IAA Reports 24), edited by M. Dothan and D. Ben-Shlomo, pp. 63–246. Jerusalem : Israel Antiquities Authority.

2006 "Selected Objects," in *Tel Miqne Excavations 1995–1996, Field INE East Slope, Iron Age I (Early Philistine Period)* (Tel Miqne-Ekron Final Field Report Series No. 8), edited by M. W. Meehl, T. Dothan and S. Gitin, pp. 189–205. Jerusalem : W. F. Albright Institute of Archaeological Research and Institute of Archaeology, Hebrew University of Jerusalem.

BEN-SHLOMO, D. and GARDINER, R.

2014 "Worked Sherds," in *The Smithsonian Institution Excavation at Tell Jemmeh, Israel, 1970–1990* (Smithsonian Contributions to Anthropology No. 50), edited by D. Ben-Shlomo and G. W. Van Beek, pp. 828–837. Washington : Simthsonian Institution/ Scholarly Press.

BEN-TOR, A.

1987 "The Small Finds," in *Tell Qiri, A Village in the Jezreel Valley, Report of the Archaeological Excavations 1975–1977* (Qedem, Monographs of the Institute of Archaeology 24), edited by A. Ben-Tor and Y. Portugali, pp. 236–243. Jerusalem : The Hebrew University of Jerusalem.

2012 "Varia," in *Hazor VI, The 1990–2009 Excavations, The Iron Age,* edited by A. Ben-Tor, D. Ben-Ami and D. Sandhaus, pp. 578–585. Jerusalem : Israel Exploration Society and Institute of Archaeology, The Hebrew University of Jerusalem.

BLOCKMAN, N. and SASS, B.

2013 "The Small Finds," in *Megiddo V: The 2004–2008 Seasons*, Vol. III (Tel Aviv University Sonia and Marco Nadler Institute of Archaeology Monograph Series No. 31), edited by I. Finkelstein, D. Ussishkin and E. H. Cline, pp. 866–929. Tel Aviv : Emery and Claire Yass Publications in Archaeology.

BOERTIEN, J. H.

2013 *Unravelling the Fabric. Textile Production in Iron Age Transjordan*. Ph.D. Dissertation. Groningen : Groningen University.

BRANDL, B.

1993 "Clay, Bone, Metal and Stone Objects," in *Shiloh, The Archaeology of a Biblical Site* (Tel Aviv University Sonia and Marco Nadler Institute of Archaeology Monograph Series No. 10), edited by I. Finkelstein, S. Bunimovitz and Z. Lederman, pp. 223–262. Tel Aviv : Emery and Claire Yass Publications in Archaeology.

BRAUN, E.

1990 "Basalt Bowls of the EB I Horizon in the Southern Levant," *Paléorient* 16 : 87–95.

BRENIQUET, C.

2008 *Essai sur le tissage en Mésopotamie, des premières communautés sédentaires au milieu du IIIe millénaire avant J.-C.* (Travaux de la Maison René-Ginouvès 5). Paris : De Boccard.

BUNIMOVITZ, S. and LEDERMAN, Z.
2016 "Iron Age Artifacts," in *Tel Beth-Shemesh, A Border Community in Judah, Renewed Excavations 1990–2000: The Iron Age*, Vol. II (Sonia and Marco Nadler Institute of Archaeology Monograph Series No. 34), edited by S. Bunimovitz and Z. Lederman, pp. 560–601. Tel Aviv : Emery and Claire Yass Publications in Archaeology / Winona Lake, IN : Eisenbrauns.

CASSUTO, D.
2012 "Weaving Implements," in *Tell es-Safi/Gath I: The 1996–2005 Seasons,* edited by A. M. Maeir, pp. 467–479. Wiesbaden : Harrassowitz.

CHAMBON, A.
1984 *Tell el-Fâr'ah I, l'âge du Fer*. Paris: Éditions Recherche sur les Civilisations.

CIMADEVILLA, M.
2012 "Loom Weights and Spindle Whorls," in *Hazor VI, The 1990–2009 Excavations, The Iron Age,* edited by A. Ben-Tor, D. Ben-Ami and D. Sandhaus, pp. 559–563. Jerusalem : Israel Exploration Society and Institute of Archaeology, The Hebrew University of Jerusalem.

COHEN-WEINBERGER, A.
2001 "Ground Stone Objects," in *Timnah (Tel Batash) II. The Finds from the First Millennium BCE* (Qedem, Monographs of the Institute of Archaeology 45), edited by A. Mazar and N. Panitz-Cohen, pp. 225–237. Jerusalem : The Hebrew University of Jerusalem.

DE CRÉE, F.-J.
1987–88 "Votive Beds in the Rockefeller Museum, Jerusalem. A Case of Mesopotamian Influence in IIIrd Millennium Palestine ?" *Acta Archaeologica Lovaniensia* 26–27 : 109–112.

DEVER, W. G. *et al.*
1986 *Gezer IV: the 1969–71 Seasons in Field VI, the « Acropolis »* (Annual of the Hebrew Union College / Nelson Glueck School of Biblical Archaeology). Jerusalem : HUC / NGSBA.

ERAN, A.
1996 "Weights and Weighting in the City of David: The Early Weights from the Bronze Age to the Persian Period," in *Excavations in the City of David 1978–1985*, Vol. IV (Qedem, Monographs of the Institute of Archaeology 35), edited by D. T. Ariel and A. De Groot, pp. 204–256. Jerusalem : The Hebrew University of Jerusalem.

FREUD, L.
2007 "Miscellaneous Small Finds," in *Horvat 'Uza and Horvat Radum, Two Fortresses in the Biblical Negev* (Tel Aviv University Sonia and Marco Nadler Institute of Archaeology Monograph Series No. 25), edited by I. Beit-Arieh, pp. 256–269. Tel Aviv : Emery and Claire Yass Publications in Archaeology.

GARFINKEL, Y.
2009 "Stone and Metal Artifacts," in *Khirbet Qeiyafa.* Vol. 1. *Excavation Report 2007–2008,* edited by Y. Garfinkel and S. Ganor, pp. 175–194. Jerusalem : Institute of Archaeology, The Hebrew University of Jerusalem / Israel Exploration Society.

GERA, A.
2007 "The Small Finds," in *Excavations at Kadesh Barnea (Tell el-Qudeirat) 1976–1982.* Part 1 (IAA Reports 34/1), edited by R. Cohen and H. Bernick-Greenberg, pp. 211–235. Jerusalem : Israel Antiquities Authority.

GOLDSMITH, D., BEN-DOV, R. and KERTESZ, T.
1999 "Miscellaneous Finds," in *Tel 'Ira, A Stronghold in the Biblical Negev* (Tel Aviv University Sonia and Marco Nadler Institute of Archaeology Monograph Series No. 15), edited by I. Beit-Arieh, pp. 445–475. Tel Aviv : Emery and Claire Yass Publications in Archaeology.

HÜBNER, U.
1992 *Spiele und Spielzeug im antiken Palästina* (Orbis Biblicus et Orientalis 121). Freiburg Schweiz : Universitätsverlag / Göttingen : Vandenhoeck & Ruprecht.

LERNAU, H. and LERNAU, O.
1992 "Fish Remains," in *City of David Excavations, Final Report III* (Qedem, Monographs of the Institute of Archaeology 33), edited by A. De Groot and D. T. Ariel, pp. 131–148. Jerusalem : The Hebrew University of Jerusalem.

LERNAU, O.
2000 "Fish Bones," in *Megiddo III: The 1992–1996 Seasons,* Vol. II (Tel Aviv University Sonia and Marco Nadler Institute of Archaeology Monograph Series No. 18), edited by I. Finkelstein, D. Ussishkin and B. Halpern, pp. 463–477. Tel Aviv : Emery and Claire Yass Publications in Archaeology.
2002 "Fish Bones," in *Tel Kabri, The 1986–1993 Excavation Seasons by A. Kempinski* (Tel Aviv University Sonia and Marco Nadler Institute of Archaeology Monograph Series No. 20), edited by N. Scheftelowitz and R. Oren, pp. 409–427. Tel Aviv : Emery and Claire Yass Publications in Archaeology.
2006 "Fish Remains," in *Megiddo IV: The 1998–2002 Seasons*, Vol. II (Tel Aviv University Sonia and Marco Nadler Institute of Archaeology Monograph Series No. 24), edited by I. Finkelstein, D. Ussishkin and B. Halpern, pp. 474–496. Tel Aviv : Emery and Claire Yass Publications in Archaeology.
2011 "Fish Remains," in *Ashkelon 3, The Seventh Century B.C.,* edited by L. E. Stager, D. M. Master and J. D. Schloen, pp. 645–657. Winona Lake, IN : Eisenbrauns.
2016 "The Fish Remains, Area A1," pp. 102–107 in E. C. M. van den Brink *et al.*, "Late Chalcolithic Remains East of Namir Road, Tel Aviv," *Journal of the Israel Prehistoric Society* 46 : 20–121.

LERNAU, O. and GOLANI, D.
2004 "The Osteological Remains (Aquatic)," in *The Renewed Excavations at Lachish (1973–1984)*, Vol. V (Tel Aviv University Sonia and Marco Nadler Institute of Archaeology Monograph Series No. 22), edited by D. Ussishkin, pp. 2456–2489. Tel Aviv : Emery and Claire Yass Publications in Archaeology.

LIEBOWITZ, H. A.
2003 *Tel Yin'am: The Late Bronze Age. Excavations at Tel Yin'am 1976–1989* (Studies in Archaeology 42). Austin : Texas Archaeology Research Laboratory, The University of Texas.

MAHER, E. F.
2005 "The Faunal Remains," in *Ashdod VI, Excavation of Areas H and K (1968–1969)* (IAA Reports 24), edited by M. Dothan and D. Ben-Shlomo, pp. 283–290. Jerusalem : Israel Antiquities Authority.

MIROSCHEDJI, P. de
1988 *Yarmouth 1. Rapport sur les trois premières campagnes de fouilles à Tel Yarmouth (Israël) (1980–1982)*. Paris : Éditions Recherche sur les Civilisations.
2011 "At the Origin of Canaanite Cult and Religion: The Early Bronze Age Fertility Ritual in Palestine," *Eretz-Israel* 30 : 74*-103*.

NODET, É.
1980 "Fusaïoles et pesons," in *Tell Keisan (1971-1976), une cité phénicienne en Galilée,* édité par J. Briend et J.-B. Humbert, pp. 315–321. Fribourg : Éditions universitaires / Göttingen : Vandenhoeck & Ruprecht / Paris : J. Gabalda.

OREN, R.
2002 "Loom Weights and Spindle Whorls," in *Tel Kabri, The 1986–1993 Excavation Seasons by A. Kempinski* (Tel Aviv University Sonia and Marco Nadler Institute of Archaeology Monograph Series No. 20), edited by N. Scheftelowitz and R. Oren, pp. 363–372. Tel Aviv : Emery and Claire Yass Publications in Archaeology.

PAICE, P.
2004 "The Small Finds," in *Megiddo 3, Final Report on the Stratum VI Excavations* (Oriental Institute Publications 127), edited by T. P. Harrison, pp. 59–103. Chicago : The Oriental Institute of the University of Chicago.

PANITZ-COHEN, N. and YAHALOM-MACK, M.
2009 "Textile-Related Objects and Basket Imprints," in *Excavations at Tel Beth-Shean 1989–1996.* Vol. III, *The 13th–11th Century Strata in Areas N and S,* edited by N. Panitz-Cohen and A. Mazar, pp. 737–741. Jerusalem : The Israel Exploration Society ; The Institute of Archaeology, The Hebrew University of Jerusalem.

ROSEN, S. A.
1997 *Lithics after the Stone Age, A Handbook of Stone Tools from the Levant*. Walnut Creek-London-New Dehli : Altamira.

ROWAN, Y.
2011 "Ground Stone," in *Ashkelon 3, The Seventh Century B.C.,* edited by L. E. Stager, D. M. Master and J. D. Schloen, pp. 555–580. Winona Lake, IN : Eisenbrauns.
2014 "Stone Artefact Assemblage from Tell Jemmeh," in *The Smithsonian Institution Excavation at Tell Jemmeh, Israel, 1970–1990* (Smithsonian Contributions to Anthropology No. 50), edited by D. Ben-Shlomo and G. W. Van Beek, pp. 917–942. Washington : Simthsonian Institution / Scholarly Press.

SASS, B.
2000 "The Small Finds," in *Megiddo III: The 1992–1996 Seasons,* Vol. II (Tel Aviv University Sonia and Marco Nadler Institute of Archaeology Monograph Series No. 18), edited by I. Finkelstein, D. Ussishkin and B. Halpern, pp. 349–423. Tel Aviv : Emery and Claire Yass Publications in Archaeology.
2004 "Vessels, Tools, Personal Objects, Figurative Art and Varia," in *The Renewed Excavations at Lachish (1973–1994)*. Vol. IV (Tel Aviv University Sonia and Marco Nadler Institute of Archaeology Monograph Series No. 22), edited by D. Ussishkin, pp. 1983–2057. Tel Aviv : Emery and Claire Yass Publications in Archaeology.

SASS, B. and CINAMON, G.
2006 "The Small Finds," in *Megiddo IV: The 1998–2002 Seasons*, Vol. I (Tel Aviv University Sonia and Marco Nadler Institute of Archaeology Monograph Series No. 24), edited by I. Finkelstein, D. Ussishkin and B. Halpern, pp. 353–425. Tel Aviv : Emery and Claire Yass Publications in Archaeology.

SASS, B. and USSISHKIN, D.
2004 "Spears, Armour Scales and Slingstones," in *The Renewed Excavations at Lachish (1973–1984)*, Volume V (Tel Aviv University Sonia and Marco Nadler Institute of Archaeology Monograph Series No. 22), edited by D. Ussishkin, pp. 1970–1982. Tel Aviv : Emery and Claire Yass Publications in Archaeology.

SCHROER, S. and KEEL, O.
2005 *Die Ikonographie Palästinas/Israels und der Alter Orient: Eine Religionsgeschichte in Bildern, Band 1: Vom ausgehenden Mesolithikum bis zur Frühbronzezeit*. Fribourg : Academic Press.

SHAMIR, O.
1996 "Loomweights and Whorls," in *Excavations in the City of David 1978–1985*, Vol. IV (Qedem, Monographs of the Institute of Archaeology 35), edited by D. T. Ariel and A. De Groot, pp. 135–170. Jerusalem : The Hebrew University of Jerusalem.
2003 "Spindle Whorls," in *Salvage Excavations in the Early Bronze Age Site of Qiryat Ata* (IAA Report 18), edited by A. Golani, pp. 209–214. Jerusalem : Israel Antiquities Authority.
2007 "Textiles, Loom Weights and Spindle Whorls," in *Excavations at Kadesh Barnea (Tell el-Qudeirat) 1976–1982,* Part 1 (IAA Reports 34/1), edited by R. Cohen and H. Bernick-Greenberg, pp. 255–267. Jerusalem : Israel Antiquitues Authority.

SHAMIR, O. and ʻAD, U.
2014 "Loom Weights of the Persian Period from Khirbat Burin, Israel," *Archaeological Textile Review* 56 : 35–40.

STORDEUR, D.
1980 "Les derniers objets en os de l'Europe occidentale," in *Objets en os historiques et actuels* (Travaux de la Maison de l'Orient N° 1), édité par D. Stordeur, pp. 63–73. Lyon : Maison de l'Orient méditerranéen et Presses Universitaires de Lyon.

TAXEL, I.
2011 "Stone, Bone and Metal Objects," in *Tel ʻAroer, The Iron Age II Caravan Town and the Hellenistic-Early Roman Settlement* (Annual of the Nelson Glueck School of Biblical Archaeology, Hebrew Union College-Jewish Institute of Religion No. VIII), edited by Y. Thareani, pp. 379–385. Jerusalem : HUC-JIR / NGSBA.

TAXEL, I. and HERSHKOVITZ, M.
2011 "The Hellenistic and Early Roman Pottery," in *ibid.*, pp. 343–368.

VAN BEEK, G.
1989 "The Buzz: A Simple Toy from Antiquity," *Bulletin of the American Schools of Oriental Research* 275 : 53–58.

YAHALOM-MACK, N.
2006a "Various Small Objects," in *Timnah (Tel Batash) III: The Finds from the Second Millennium BCE* (Qedem, Monographs of the Institute of Archaeology 45), edited by N. Panitz-Cohen and A. Mazar, pp. 255–266. Jerusalem : The Hebrew University of Jerusalem.
2006b "The Groundstone Industry," in *ibid.*, pp. 267–274.
2007a "Groundstone Tools and Objects,' in *Excavations at Tel Beth-Shean 1989–1996,* Vol. II, *The Middle and Late Bronze Age Strata in Area R,* edited by A. Mazar and R. Mullins, pp. 639–660. Jerusalem : The Israel Exploration Society / The Institute of Archaeology, The Hebrew University of Jerusalem.
2007b "The Textile Industry," in *ibid.*, pp. 661–669.

YAHALOM-MACK, N. and MAZAR, A.
2006 "Various Finds from the Iron Age II Strata in Areas P and S," in *Excavations at Tel Beth-Shean 1989–1996,* Vol. I, *From the Late Bronze Age IIB to the Medieval Period,* edited by A. Mazar, pp. 468–504. Jerusalem : The Israel Exploration Society / The Institute of Archaeology, The Hebrew University of Jerusalem.

YAHALOM-MACK, N. and PANITZ-COHEN, N.
2009 "Groundstone Implements," in *Excavations at Tel Beth-Shean 1989–1996,* Vol. III, *The 13th–11th Century Strata in Areas N and S,* edited by N. Panitz-Cohen and A. Mazar, pp. 719–736. Jerusalem : The Israel Exploration Society / The Institute of Archaeology, The Hebrew University of Jerusalem.

Chapitre 16

UN SCEAU DU BRONZE ANCIEN (?) DE L'ACROPOLE DE TEL YARMOUTH*

Pierre de MIROSCHEDJI

Le sceau (C.9631-1 ; **Fig. 16.1**) a été découvert sur l'acropole de Yarmouth, dans le Sondage 2, carré BB 116, Niveau Acr-IIA, locus 1119, couche 1119-2, entre 402,37 m et 402,15 m d'altitude, soit juste au-dessus du sol 1140. Ce dernier est un sol chaulé en relation avec le mur de terrasse 1118B (**Fig. 3.4** et § 3.8.2). La couche 1119-2 qui le recouvre est un remblai accumulé en avant du mur de terrasse. On y a recueilli une poterie assez abondante mais mélangée, où dominent des tessons du Fer II et de l'époque perse (**Fig. 11.7**), ainsi qu'une fibule coudée à décor cannelé d'époque perse (**Fig. 14.1:6**). En somme, le contexte de cette découverte est incertain ; la seule conclusion assurée est que le sceau provient d'une couche remaniée dont le dépôt ne peut être antérieur à l'âge du Fer II.

16.1. Description

Il s'agit d'un sceau à bélière en stéatite gris-beige soigneusement poli. Taillé dans un grand galet, il est de contour légèrement trapézoïdal avec des angles arrondis et mesure 53 mm de hauteur, entre 45 et 56 mm de largeur et 29 mm d'épaisseur. La face est un peu bombée et porte un décor gravé à la bouterolle, chaque cavité mesurant environ 2 mm de profondeur ; quelques lignes incisées à peine visibles suggèrent que le dessin a d'abord été dessiné à la pointe, à moins qu'il ne s'agisse de rayures secondaires. Le dos du cachet est plat et comporte deux encoches latérales de *c.* 30 × 13 mm destinées à faciliter la préhension. Au sommet, on observe les restes d'une bélière de profil indéterminé, probablement semi-circulaire, aujourd'hui brisée ; ce qui subsiste de la perforation laisse supposer qu'elle était de faible diamètre.

16.2. Commentaire

Cet objet pose d'emblée plusieurs problèmes, en raison de sa forme, de son décor, et de sa datation.

* Le texte suivant reprend, avec quelques modifications et des mises à jour bibliographiques, celui publié dans Miroschedji 2002, pp. 309–314. Il est reproduit ici avec l'aimable autorisation des éditeurs. Pour des publications antérieures de cet objet, voir Miroschedji 1991, fig. 4 ; 1992, p. 35 ; 1993a : p. 664 ; 1997, fig. 8:4 ; Keel 1994, pp. 204–205 et Abb. 3 ; 1995, pp. 94–95, fig. 3. Voir aussi Keel 2017, pp. 30–31.

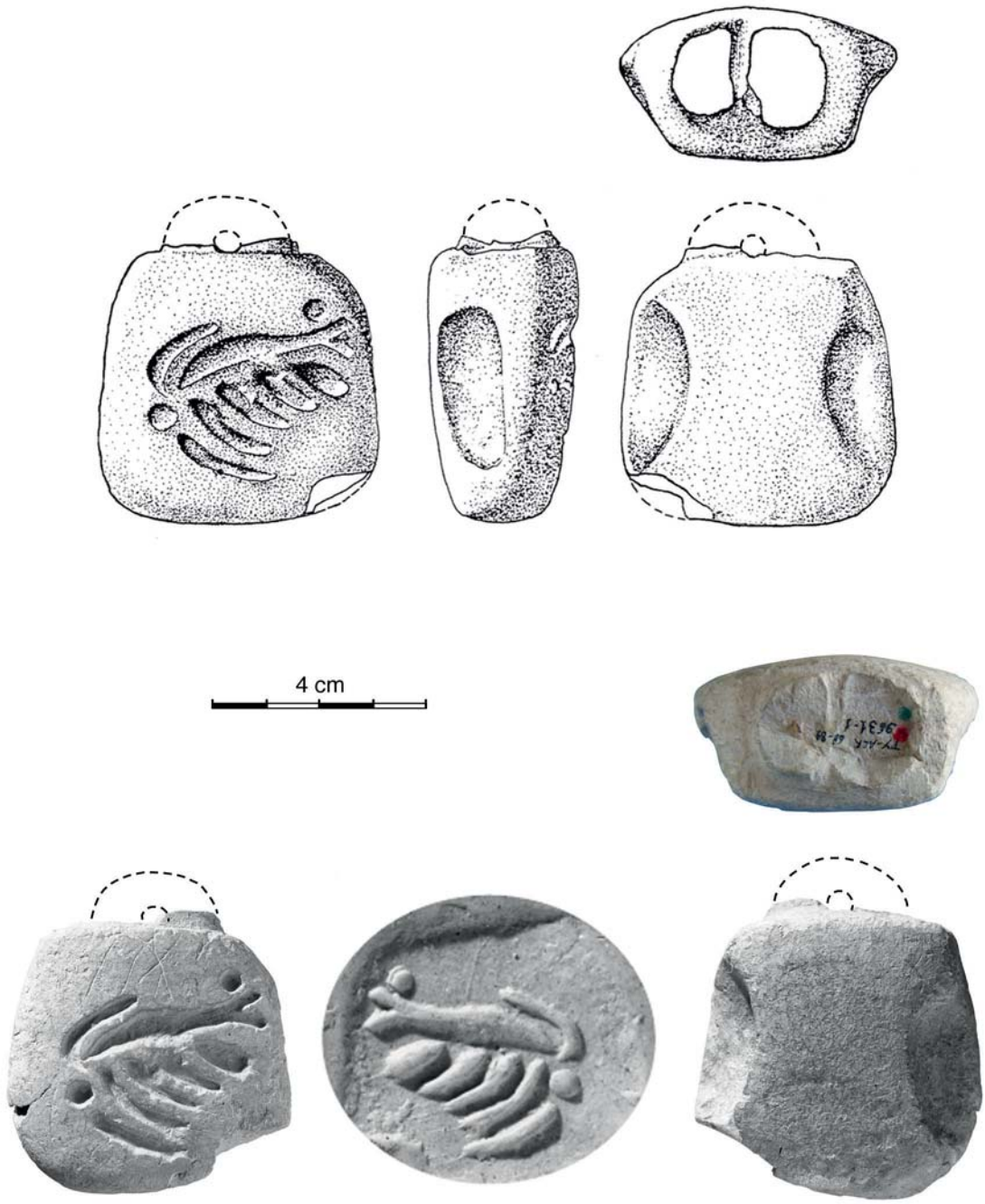


Fig. 16.1. Sceau à bélière en stéatite gris-beige C.9631.

Les sceaux en pierre ne sont pas rares en Palestine à partir du Chalcolithique moyen, comme en témoigne le catalogue dressé par H. Keel-Leu[1], mais aucun ne ressemble à celui de Yarmouth. En particulier, les sceaux attribués au Bronze ancien ont des formes – rectangulaires, losangiques ou ovalaires – et des décors – géométriques ou naturalistes – sensiblement différents[2]. Lorsque ces derniers sont dotés d'un moyen de préhension, il s'agit d'un bouton tronconique ou quadrangulaire[3], et quand ils possèdent une bélière, celle-ci est placée non pas sur le côté, mais sur le dos du sceau tabulaire, et son profil est plus ou moins anguleux ; c'est le cas sur les exemplaires de Tel Kitan (**Fig. 16.2:3**) et de Tel Qashish (**Fig. 16.2:1**), datés l'un et l'autre du BA I, sur celui de Tel Dan, découvert dans le remblai du rempart du Bronze moyen et daté par comparaison de la même époque (**Fig. 16.2:2**), et peut-être aussi sur celui de Beth-Shean, daté de la fin du Bronze ancien, mais dont la bélière est brisée[4]. Le sceau de Yarmouth demeure donc unique par sa forme et par ses détails typologiques.

Le contexte stratigraphique de sa découverte n'aide guère, on l'a vu, à préciser sa datation. Seul l'analyse du décor pourrait nous y aider ; or ce décor est lui-même sans parallèle précis. Initialement, je n'avais pas su l'identifier, suggérant simplement d'y voir un « capridé » ou un « poisson très stylisé », en supposant implicitement que la tête se trouve à gauche[5]. Je me range désormais à l'avis d'O. Keel, qui a proposé d'y voir un lion rugissant[6]: la tête de l'animal serait à droite, gueule ouverte, dans le prolongement du corps ; ce dernier serait marqué par une épaisse ligne horizontale à l'extrémité gauche de laquelle se rattacherait la queue, fortement recourbée vers la droite ; quatre traits obliques indiqueraient les pattes de l'animal. O. Keel suppose que la cupule au dessus de la tête correspond aux oreilles, mais il ne donne pas d'explication pour le cinquième trait, parallèle aux pattes, placé à gauche derrière l'animal, ni pour la cupule qui le surmonte.

O. Keel a proposé deux parallèles à cette représentation très stylisée du lion rugissant : un sceau de la collection de l'Université de Fribourg (**Fig. 16.3:2**) et un sceau d'Arslantepe daté de l'époque d'Uruk tardive[7]. Ces deux sceaux datent du IVe millénaire et O. Keel en conclut que le sceau de Yarmouth en est « une copie provinciale », en sorte que sa datation au BA I est la plus probable. Aux exemples cités par O. Keel, on peut ajouter un sceau de Tépé Jaffarabad en Susiane (**Fig. 16.3:1**) et un sceau d'origine inconnue (Syrie du nord ou Anatolie méridionale) conservé à l'Institut biblique de l'Université de Fribourg (**Fig. 16.3:3**), qui sont un peu plus anciens puisqu'on peut les dater de l'époque d'Obeid récent (fin du Ve–première moitié du IVe millénaire).

Les sceaux qui viennent d'être cités et celui de Yarmouth ont en commun une représentation caractéristique du lion (ou du quadrupède) : celui-ci est figuré en course (ou bondissant) avec les quatre pattes, non pas en extension comme il est habituel, mais orientées

[1] Keel-Leu 1989. Il convient d'y ajouter désormais la riche collection des sceaux de ha-Gosherim : voir Keel 1993, pp. 512–531.
[2] Voir Miroschedji 1997, pp. 195, 197.
[3] Beck 1984, pp. 98–100, n° 2–3 = Keel-Leu 1989, pp. 20–21, n° 23–24.
[4] Keel 1995, p. 96 et pl. I:1.
[5] Miroschedji 1991, p. 205 ; 1992, p. 36.
[6] Keel 1995, pp. 94–95.
[7] Wickede 1990, fig. 379.

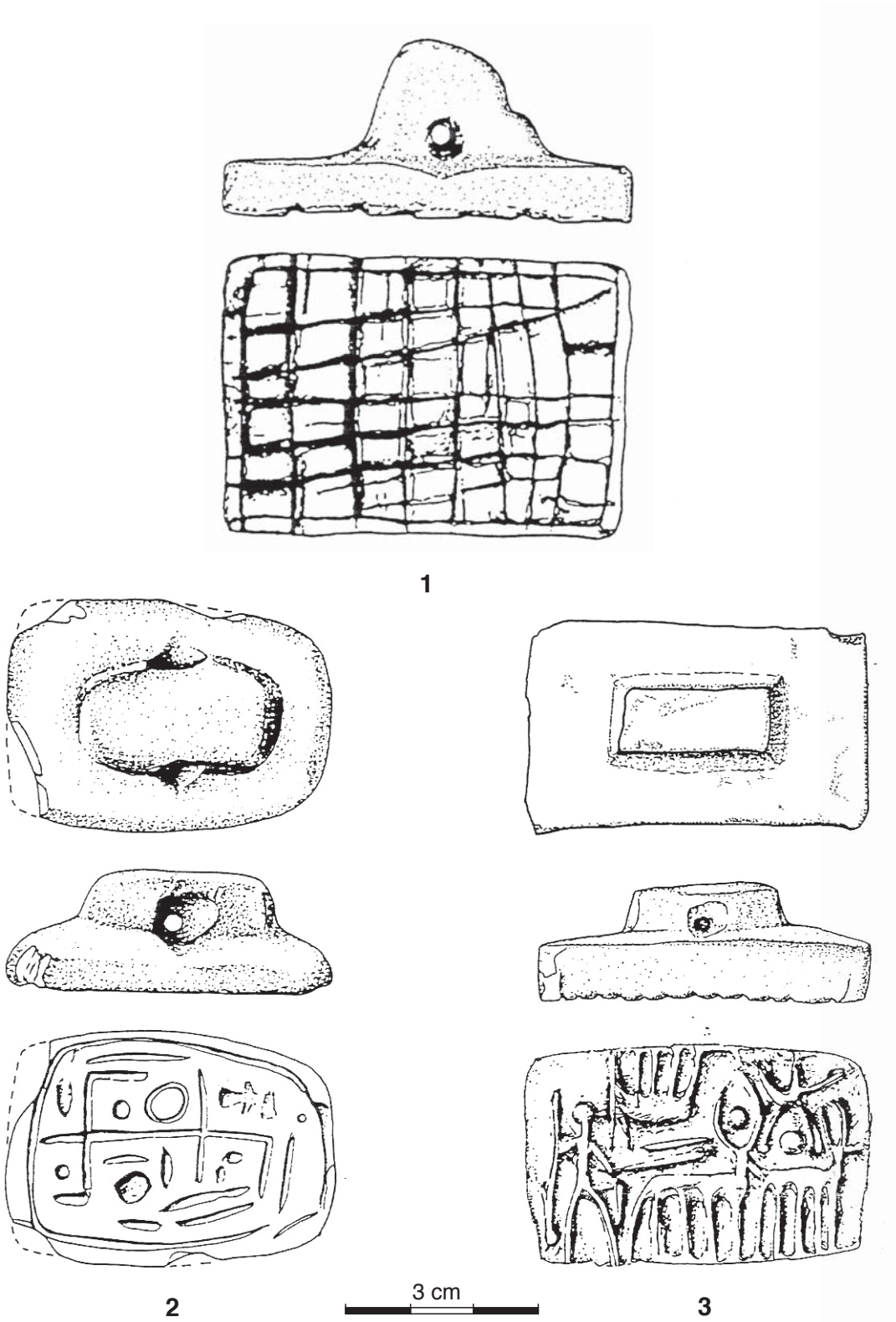


Fig. 16.2. Sceaux en calcaire du Bronze ancien I. 1. Tel Qashish (Ben-Tor 1994, fig. 21). 2. Tel Dan (Biran 1994, fig. 16). 3. Tel Kitan (Eisenberg 1992, fig. 1).

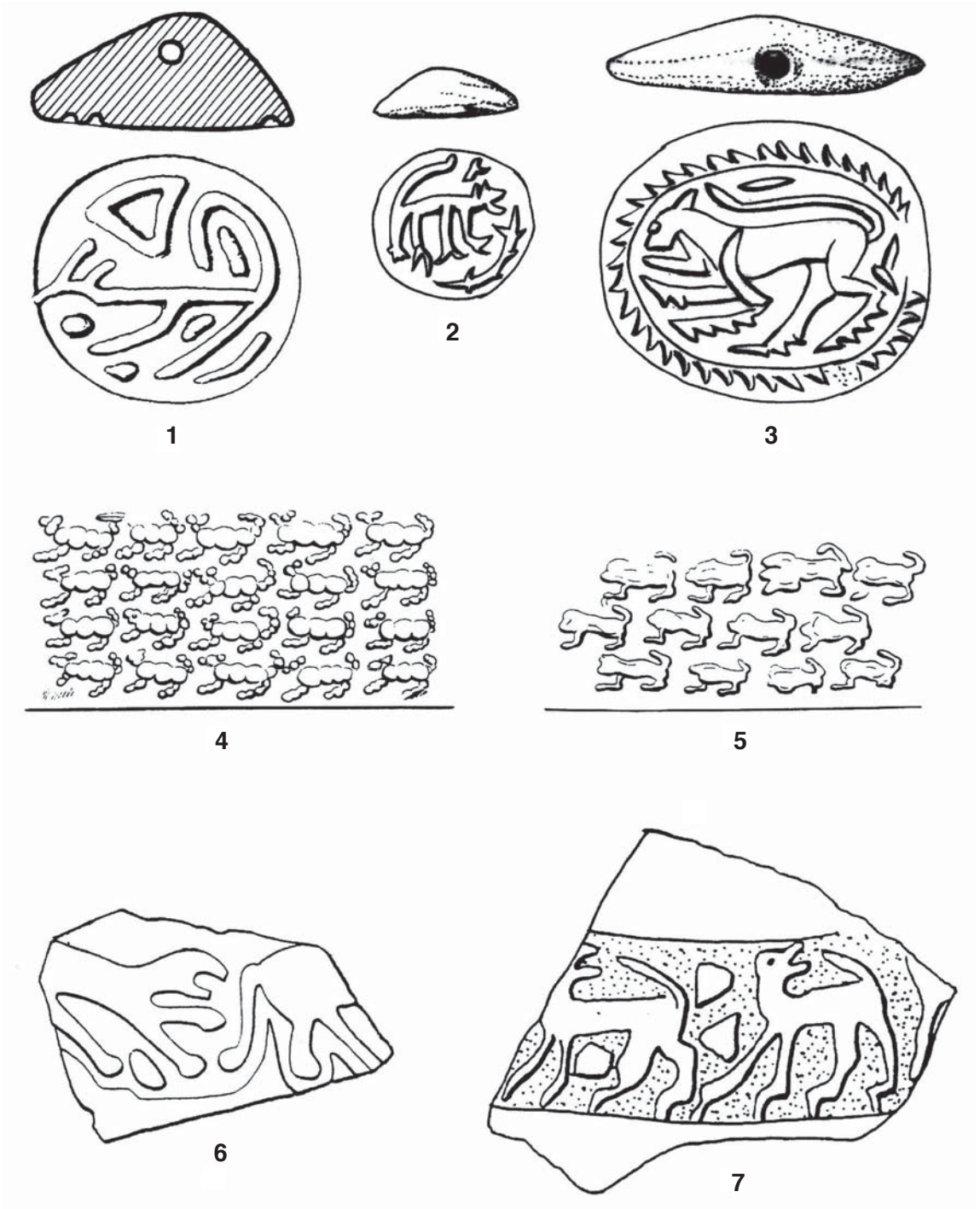


Fig. 16.3. Sceaux et empreintes de sceau-cylindre. 1 : Sceau de Tépé Jaffarabad (Dollfus 1971, fig. 23:1) ; 2 : Sceau d'Iran occidental (Keel-Leu 1991, n° 23) ; 3 : Sceau de Syrie du nord ou d'Anatolie méridionale (Keel-Leu 1991, n° 32) ; 4 : Sceau-cylindre de Tello (Amiet 1980, fig. 297) ; 5 : Sceau-cylindre à glaçure bleue acheté à Louxor (Amiet 1980, pl. 21bis:N) ; 6 : Empreinte de sceau-cylindre sur poterie de Byblos, première installation urbaine (Dunand 1945, fig. 22:a) ; 7 : Empreinte de sceau-cylindre sur poterie de Hama (Ingholt 1940, pl. XIV = Mazzoni 1992, p. 153 et Tav. XXXIV:B104).

toutes ensembles vers l'avant. Cette représentation particulière du lion s'explique en partie par la forme circulaire des sceaux. Elle est rarement attestée à l'époque d'Uruk : outre les deux sceaux cités par O. Keel, on peut signaler un sceau-cylindre de Tello en basse Mésopotamie (**Fig. 16.3:4**) et un autre à glaçure bleue d'inspiration mésopotamienne acquis à Louxor en Égypte, sur lequel la stylisation des lions est cependant un peu différente (**Fig. 16.3:5**). Ces diverses comparaisons sont plus ou moins probantes ; elles suggèrent en tout cas qu'il faut probablement chercher l'origine de ce type de représentation au IVe millénaire en Mésopotamie ou à sa périphérie.

De fait, le meilleur parallèle pour le lion du sceau de Yarmouth figure sur une empreinte sur jarre de la première installation urbaine de Byblos, contemporaine du BA II–III de Palestine (**Fig. 16.3:6**) : elle représente un lion bondissant vers un quadrupède (capridé ou bovidé), les quatre pattes (dont trois seulement sont visibles) en avant et la gueule ouverte ; seuls sont conservés l'arrière-train de l'animal attaqué et l'avant-train du lion : on ignore donc si ce dernier avait la queue recourbée vers l'avant – ce qui est probable puisque c'est le cas sur la plupart des autres représentations giblites contemporaines du lion[8]. On peut rapprocher de cette image celle d'une empreinte de Hama, probablement un peu plus tardive (fin BA III – BA IVA), qui représente un lion aux longs membres grêles, dont la tête est cependant tournée vers l'arrière (**Fig. 16.3:7**). D'ailleurs, d'une manière générale, cette façon de représenter les pattes de l'animal sous la forme de quatre traits parallèles est bien attestée dans la glyptique populaire syrienne du Bronze ancien[9].

16.3. Datation

À partir de ces comparaisons, on peut raisonnablement conclure que la stylisation particulière du corps du lion sur le sceau de Yarmouth rappelle une tradition bien attestée en Syro-Phénicie entre la seconde moitié du IVe millénaire et le troisième quart du IIIe millénaire. Les ressemblances les plus marquées doivent probablement être cherchées dans la Byblos de la première installation urbaine, en sorte qu'une datation de ce sceau vers la fin du BA I et le début du BA II est vraisemblable.

16.4. Conclusion

Le décor de ce sceau s'inspire, on l'a vu, d'une iconographie dont l'origine ultime est mésopotamienne. Cette remarque vaut pour une grande partie de la production sigillographique palestinienne du Bronze ancien, pour laquelle on a souvent relevé des ressemblances plus ou moins étroites avec la glyptique mésopotamienne des époques d'Uruk et de Jemdet-Nasr[10].

[8] *Cf.* Dunand 1945, figs 21:a–b,d, 22:b,d,e ; exceptions : figs 21:f et 22:f.
[9] Mazzoni 1992, tav. XLIV:1–6,10–11, XLV:2–3.
[10] Ben-Tor 1978, pp. 76–78 ; Teissier 1987.

Toutefois, dans le domaine de la glyptique comme dans celui des têtes de taureau sculptés[11], il ne faut pas conclure de ressemblances qui, à première vue, peuvent parfois paraître étroites, à une dérivation directe de la Mésopotamie du IVe et du début du IIIe millénaire. La datation nettement plus récente de la grande majorité des sceaux-cylindres palestiniens et l'originalité de beaucoup d'aspects de leur répertoire montrent assez que les prototypes mésopotamiens furent des inspirateurs lointains, et surtout indirects : arrivés au Levant vers le milieu du IVe millénaire à la faveur de la création des établissements urukiens du moyen-Euphrate[12], ces modèles ont probablement été conservés en Syrie par quelques écoles de graveurs ; ils ont finalement contribué à l'élaboration d'un fonds de traditions iconographiques et stylistiques proprement levantines où les graveurs giblites et palestiniens ont puisé librement au BA II–III, longtemps après la disparition de la glyptique archaïque mésopotamienne.

RÉFÉRENCES

AMIET, P.
1980 *La glyptique mésopotamienne archaïque*. 2e édition. Paris : Éditions du CNRS.

AKKERMANS, P. M. M. G. and SCHWARTZ, G. M.
2003 *The Archaeology of Syria, From Complex Hunter-Gatherers to Early Urban Societies (ca. 16000–300 BC).* Cambridge : University Press.

BECK, P.
1984 "The Seals and Stamps of Early Arad," *Tel Aviv* 11 : 97–114.

BEN-TOR, A.
1978 *Cylinder Seals of Third Millenium Palestine* (Bulletin of the American Schools of Oriental Research Supplement 22). Cambridge : American Schools of Oriental Research.
1994 "Early Bronze Age Cylinder-Seal Impressions and a Stamp Seal from Tel Qashish," *Bulletin of the American Schools of Oriental Research* 295 : 15–29.

BIRAN, A.
1994 *Biblical Dan*. Jerusalem : Israel Exploration Society, Hebrew Union College-Jewish Institute of Religion.

DOLLFUS, G.
1971 "Les fouilles à Djaffarabad de 1969 à 1971," *Cahiers de la Délégation archéologique française en Iran* 1 : 17–162.

DUNAND, M.
1945 *Biblia Grammata. Documents et recherches sur le développement de l'écriture en Phénicie*. Beyrouth : République Libanaise, Ministère de l'Éducation Nationale.

EISENBERG, E.
1992 "An EB I Stamp Seal from Tel Kitan," *Eretz Israel* 23 : 5–8 (en hébreu) et 144*–145* (résumé en anglais).

INGHOLT, H.
1940 *Rapport préliminaire sur sept campagnes de fouilles à Hama en Syrie (1932–1938)*. Copenhagen : Munksgaard.

KEEL, O.
1993 *Corpus des Stempelsiegel-Amulette aus Palästina/Israel, Von den Anfängen bis zur Perserzeit, Katalog* Band IV*: Von Tel Gamma bis Chirbet Husche* (Orbis Biblicus et Orientalis,

[11] Miroschedji 1993b.
[12] Sürenhagen 1986 ; Akkermans and Schwartz 2003, pp. 181–210.

Series Archaeologica 33). Fribourg : Academic Press / Göttingen : Vandenhoeck & Ruprecht.

1994 *Studien zu den Stempelsiegeln aus Palästina/Israel*, Band IV. Freiburg Schweiz : Universitätsverlag / Göttingen : Vandenhoeck & Ruprecht.

1995 "Stamp Seals — Local Problems of Palestinian Workshops in the Second Millennium and Some Remarks on the Preceding and Succeeding Periods," in *Seals and Sealings in the Ancient Near East, Proceedings of the Symposium Held on September 2, 1993, Jerusalem, Israel,* edited by J. G. Westenholz, pp. 93–142. Jerusalem : Bible Lands Museum.

2017 *Corpus des Stempelsiegel-Amulette aus Palästina/Israel, Von den Anfängen bis zur Perserzeit, Katalog* Band V*: Von Tel el-'Idham bis Tel Kitan* (Orbis Biblicus et Orientalis, Series Archaeologica 35). Fribourg : Academic Press / Göttingen : Vandenhoeck & Ruprecht.

KEEL-LEU, H.

1989 "Die frühesten Stempelsiegel Palästinas, Von den Anfängen bis zum Ende des 3. Jahrtausends," in *Studien zu den Stempelsiegeln aus Palästina/Israel*, Band 2 (Orbis Biblicus et Orientalis 88), edited by O. Keel, H. Keel-Leu and S. Schroer, pp. 3–38. Freiburg : Universitätsverlag / Göttingen : Vandenhoeck & Ruprecht.

1991 *Vorderasiatische Stempelsiegel. Die Sammlung des Biblischen Instituts der Universität Freiburg Schweiz* (Orbis Biblicus et Orientalis 110). Freiburg Schweiz: Universitätsverlag / Göttingen : Vandenhoeck & Ruprecht.

MAZZONI, S.

1992 *Le impronte su giara eblaite e siriane nel Bronzo Antico. Materiali e studi archaeologici di Ebla I*. Roma : Missione Archeologica Italiana in Siria, Università degli Studi di Roma "La Sapienza".

MIROSCHEDJI, P. de

1991 "Notes & News : Tel Yarmut, 1989," *Israel Exploration Journal* 41 : 200–205.

1992 "Tel Yarmuth 1989," *Excavations & Surveys in Israel* 10 : 33–36.

1993a "Tel Jarmuth," in *The New Encyclopedia of Archaeological Excavations in the Holy Land*, Vol. 2, edited by E. Stern, pp. 661–665. Jerusalem : Israel Exploration Society & Carta.

1993b "Note sur les têtes de taureau en os, en ivoire et en pierre du Bronze ancien de Palestine," in *Studies in the Archaeology and History of Ancient Israel in Honor of Moshe Dothan,* edited by M. Heltzer, A. Segal and D. Kaufman, pp. 29*–40*. Haifa : Haifa University Press.

1997 "La glyptique palestinienne du Bronze ancien," in *De Chypre à la Bactriane, les sceaux du Proche-Orient ancien*, édité par A. Caubet, pp. 169–227. Paris : Réunion des Musées Nationaux.

2002 "Glyptique du Bronze ancien à Tel Yarmouth," in *Aharon Kempinski Memorial Volume, Studies in Archaeology and Related Disciplines* (Beer-Sheva, Studies by the Department of Bible and Ancient Near East, Vol. XV), edited by E. D. Oren and S. Ahituv, pp. 301–318. Beer-Sheva : Ben-Gurion University of the Negev Press.

SÜRENHAGEN, D.

1986 "The Dry Farming Belt: The Uruk Period and Subsequent Developments," in *The Origin of Cities in Dry-Farming Syria and Mesopotamia in the Third Millennium B.C.,* edited by H. Weiss, pp. 7–43. Guilford, Connecticut : Four Quarters Publishing Co.

TEISSIER, B.

1987 "Glyptic Evidence for a Connection Between Iran, Syro-Palestine and Egypt in the Fourth and Third Millennia," *Iran* 25 : 27–53.

WICKEDE, A. VON

1990 *Prähistorische Stempelglyptik in Vorderasien* (Münchener Universitäts-Schriften Philosophische Fakultät 12. Münchener vorderasiatischen Studien herausgegeben von Barthel Hrouda, Band VI). München : Profil Verlag.

CHAPITRE 17

AEGYPTIACA FROM THE ACROPOLIS OF TEL YARMUTH

Karin SOWADA
Macquarie University, Sydney, Australia

Over the course of many season's excavations at Tel Yarmuth, a small amount of Egyptian material has been discovered scattered through the EB II and EB III levels. This material fits a pattern of Egyptian exotic imports in Syria/Palestine known from sites such as Ebla, Byblos, Ai, Bab edh-Dhra and elsewhere during these periods.

The presence of this aegyptiaca in the Levant can be understood as representing a change in Egypt's relations with the region at the advent of the EB II.[1] By this time, the physical Egyptian presence in the southern Levant which had dominated the EB IB at sites like Nahal Tillah, Ein Besor, Lod, Tel Erani and Tell es-Sakan had withdrawn. By the EB II–Early Dynastic Period, the relationship transfigured into one based on reciprocal contact with local elites, the exchange of exotic raw materials, and the full-flowering of the seaborne 'Byblos run' up the Levantine coast to obtain commodities, including coniferous timbers for monumental construction projects.[2] This activity continued during the Old Kingdom, reaching a high point in the 4th Dynasty, with ebbs, flows and changes in emphasis on the part of the Egyptian state thereafter.

Aegyptiaca from the southern Levant which survives in the archaeological record is primarily manufactured goods of durable materials such as palettes, stone vessel fragments, seals and items of personal ornamentation made of non-local stones. There was also an exchange in Red Sea shells and probably also raw stones.[3] Little inscribed Egyptian material has been found in-context in the region, although it is known further north from Byblos and Ebla. Very little Egyptian pottery has been found.

Some aegyptiaca from Tel Yarmuth was published in *Yarmouth 1*, in later preliminary reports and specific object studies.[4] Two pieces of aegyptiaca from Sondage 1 on the acropolis were examined by the author and are described here.[5] They fit the pattern outlined above, but it should be noted that the pieces, as with all the Tel Yarmuth aegyptiaca, are very fragmentary and represent secondary depositional activity. This is particularly true of the offering table C.9516-1, as only a small piece now remains of what was once a substantial object.

[1] Sowada 2009.
[2] Sowada 2009, pp. 28–53.
[3] Sowada 2009, p. 203.
[4] Miroschedji 1988, p. 88, pl. 48:9,11–12; Sowada 2000. For a full list of all the published and hitherto unpublished Egyptian material from Tel Yarmuth and references, see Sowada 2009, pp. 48–50, 104–110.
[5] My sincere thanks to Dr Pierre de Miroschedji for inviting me to examine this material during a study season at Tel Yarmuth in 1996 and for allowing me to publish it.

Given the importance of Tel Yarmuth as the major regional urban centre of the EB III, it seems likely that its elites had contact with Egypt, through Egyptian state emissaries. Exotic items (in a more complete state) may have found their way to Yarmuth as gift exchange or trade items.[6]

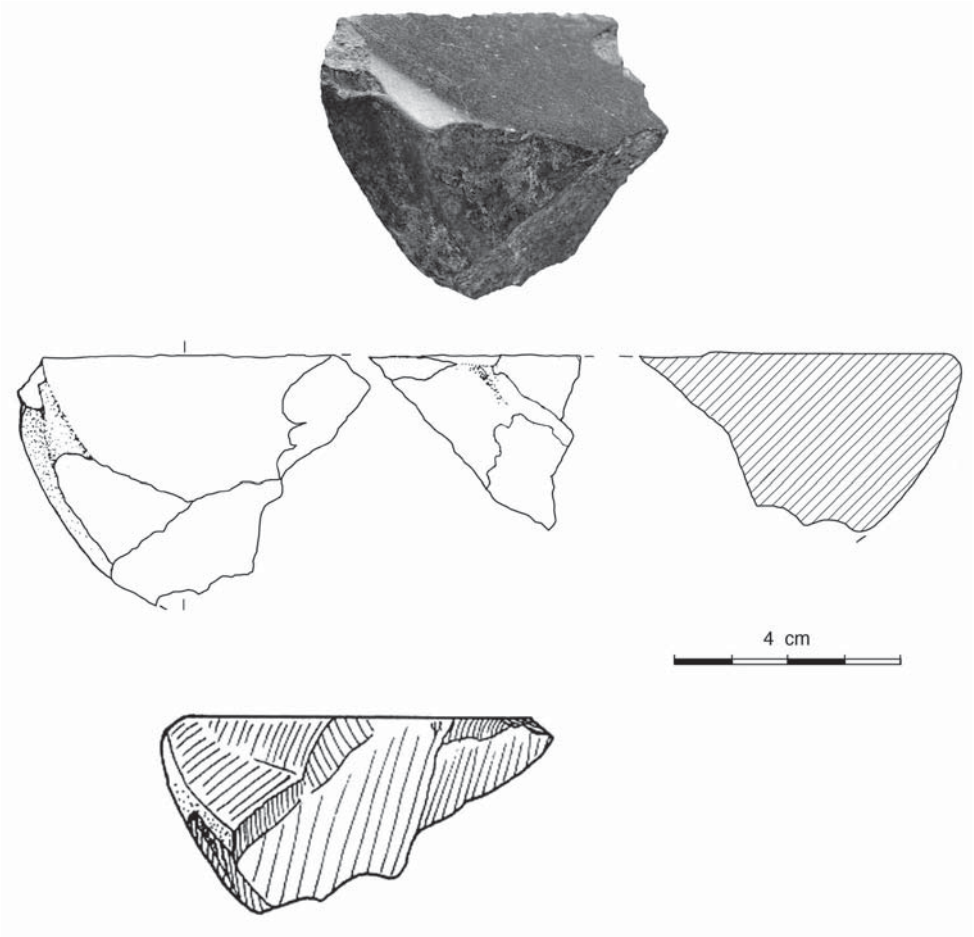


Fig. 17.1. Fragment of an offering table C.9516-1.

17.1. Fragment of offering table C.9516-1 (**Fig. 17.1**)

Description: Fragment from the edge of a circular offering table or disk of fine, densely crystalline green-black gabbro.[7] The upper side is flat and highly polished to a glossy finish, the underside is buffed to a dull sheen but less well-finished. One side is broken with a straight, serrated edge. Ht 3.3 cm, L. 6.4 cm, Max. W. 4.2 cm

[6] Bevan 2007, pp. 76–79; Sowada 2009, pp. 210–244.

[7] The stone of C.9516-1 was identified by Dr A. Shimron, Geological Survey of Israel, Report 14/7/97. I would like to thank Dr Shimron for his work in identifying this and the other stone fragments from Tel Yarmuth.

Provenance: Acropolis Sondage 1, Phase 4, Locus 1109, absolute height 396.20 m (see § 2.2.4). Found associated with EB IIIA pottery (**Fig. 4.4:10–18**) in a secure deposit, which sealed a plaster floor (Locus 1110). Locus 1109 is regarded as floor material.

Date of context: EB IIIA.

Date of object: 2nd Dynasty to early 4th Dynasty, but 1st Dynasty date also possible.

Previous publication: Sowada 2009, pp. 107–108, no. 131, fig. 21, pl. 15.

Comment: The fragment bears one flat, smooth, highly polished (almost glossy) face, with a sharp, slightly serrated straight edge on one side, suggesting re-use as a tool. The underside is pock-marked and less well-finished. The outer edge has a slight curve, but it is so shallow that the complete object was evidently very large. The diameter could not be determined. It is thus a very small piece of a substantial stone object, probably an offering table; if the whole object was brought to the site, no other pieces have been found at Tel Yarmuth.

'Offering table' is a wide term covering inscribed rectangular slabs to stemmed circular tables. Related to these are large, flat unstemmed table tops and platters, also known from 3rd millennium BC Egyptian tombs.[8] A number of inscribed travertine examples with profiles similar to C.9516-1 dating to the Old Kingdom were found at Byblos.[9] In the Early Dynastic Period and the Old Kingdom, such objects are usually made of travertine or, less often, limestone. Only a very few examples in schist, gneiss and porphyry occur.[10] Gabbro was more commonly used for stone vessels in the 4th Dynasty, which may point to a similar date of production for C.9516-1.[11]

17.2. Palette fragment C.9597-1 (**Fig. 17.2**)

Description: Thick, roughly rectangular fragment of an olive-green schist or siltstone palette. Broken around all the edges. L. 9.3 cm, W. 7.8 cm, Th. 1.2 cm.

Provenance: Acropolis Sondage 1, Locus 1112+1129, absolute height: *c.* 390.50–390.00 m, Phase Acr-4 + Acr-5 (see **Fig. 2.1** and §§ 2.2.4–5). The context was an erosion fill outside the city wall. It was not reliable and its EBA date is questionable, although the deposit contained mostly EB III ceramic sherds (P. de Miroschedji, pers. comm.).

[8] See Aston 1994, p. 132, no. 110, dating to 1st–4th Dynasty. For stemmed tables, see El-Khouli 1978, pp. 692–706, pls 123–126, n. 5358–5406 (mainly 2nd–3rd Dynasty), 5427 (1st Dynasty), 5441 (3rd Dynasty), 5449–5456 (mainly 2nd–3rd Dynasty), 5459 (1st Dynasty), 5463 (3rd Dynasty). For table-tops, see El-Khouli 1978, pp. 707–711, pl. 127, n. 5470–5491 (primarily 2nd Dynasty) and 5508 (3rd Dynasty). None of these are gabbro. For 4th Dynasty–early 5th Dynasty stemmed tables, see Reisner 1942, pp. 496–497, fig. 304c, Tomb G 4631, Reg. 14-1-44; Reisner 1931, pp. 175ff., fig. 43.14.

[9] Nelson 1934, pp. 20, 22, n. 5023, 5023a, 5031 and 5037 (inspected by the author at the Museum of the American University of Beirut in 1996; my thanks to Dr Leila Badre for making this material available). See the inscribed travertine example from the reign of Pepy I or II from the Phase KIV elite residence or 'palace' at Byblos in Dunand 1958, p. 929, fig. 1044; Sowada 2009, p. 132, n. 158 and references.

[10] For stemmed tables, see El-Khouli 1978, p. 699, pl. 125, n. 5436, 5438, 5440 in schist (1st Dynasty); p. 702, pl. 125, n. 5441 in porphyry (3rd Dynasty); p. 708, pl. 127, n. 5482 in diorite and porphyry (1st Dynasty).

[11] Aston 1994, p. 13.

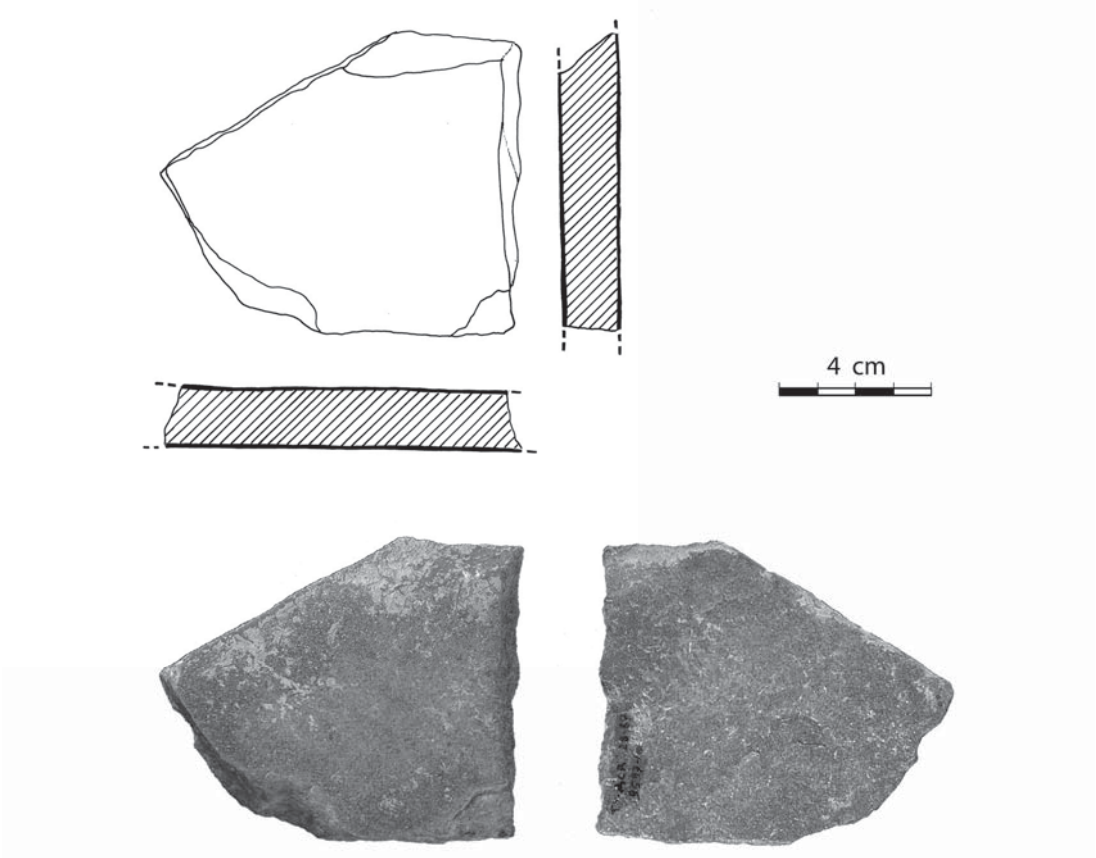


Fig. 17.2. Fragment of a palette C.9597-1.

Date of context: EB III (?).

Date of object: Early Dynastic Period.

Previous publications: Sowada 2000, p. 1531, no. 11, fig. 2a; 2009, p. 105, no. 125, fig. 19.

Comment: This large, thick palette fragment is related to another rectangular palette from Tel Yarmuth (C.12276-1) in shape and material.[12] Unfortunately, all the edges are broken on C.9597-1, so the finish around the perimeter is lost.

Square or rectangular siltstone palettes are more common in the late Predynastic (Naqada IIIB) and Early Dynastic Period, but the absence of edges on C.9597-1 makes more precise dating difficult. This example is noticeably thicker than typical Naqada IIIB square palettes which feature incised lines around the edge,[13] suggesting a later date for C.9597-1. Plain rectangular palettes are known from Early Dynastic tombs at Saqqara and this may be a related type.[14] Palettes are also known from the Old Kingdom but the typology, stone types and specific dating is little understood.[15]

[12] Sowada 2009, p. 104, no. 124, fig. 19, pl. 14 and references.

[13] Kroeper 1996, pp. 74–79, 81–83, figs 3–5,8.

[14] Emery 1958, p. 83, pl. 101:b. A palette from a Saqqara tomb dated to Horus Aha has curved sides and surfaces and is made of "greenish schist": see Emery 1939, pp. 65–66, fig. 49:4; Kroeper 1996, pp. 79–81, fig. 8, no. 322–1430.

[15] Sowada 2009, pp. 226–230 and references.

References

ASTON, B. G.
1994 *Ancient Egyptian Stone Vessels. Materials and Forms* (Studien zur Archäologie und Geschichte Altägyptens 5). Heidelberg: Heidelberger Orientverlag.

BEVAN, A.
2007 *Stone Vessels and Values in the Bronze Age Mediterranean*. Cambridge / New York: Cambridge University Press.

DUNAND, M.
1958 *Fouilles de Byblos 1933-38*, tome II. Paris: Gabalda.

EMERY, W. B.
1939 *Excavations at Saqqara 1937–1939. Hor-Aha.* Cairo: Service des Antiquités.
1958 *Great Tombs of the First Dynasty*, III. London: Egypt Exploration Society.

EL-KHOULI, A.
1978 *Egyptian Stone Vessels. Predynastic Period to Dynasty III*, 3 vols. Mainz: Ph. v. Zabern.

KROEPER, K.
1996 "Minshat Abu Omar: Burials with Palettes," in *Aspects of Early Egypt,* edited by J. Spencer, pp. 70–92. London: British Museum Press.

MIROSCHEDJI, P. de
1988 *Yarmouth 1. Rapport sur les trois premières campagnes de fouilles à Tel Yarmouth (Israël) (1980–1982).* Paris: Éditions Recherche sur les Civilisations.

NELSON, H.
1934 "Fragments of Old Egyptian Stone Vases from Byblos," *Berytus* 1: 19–22.

REISNER, G. A.
1931 *Mycerinus*. Cambridge, MA: Harvard University Press.
1942 *The History of the Giza Necropolis*, I. Cambridge, MA: Harvard University Press.

SOWADA, K. N.
2000 "Egyptian Palettes in EB II and EB III Canaan," in *Proceedings of the First International Congress on the Archaeology of the Ancient Near East. Rome, May 18th-23rd 1998,* edited by P. Matthiae, A. Enea, L. Peyronel and F. Pinnock, pp. 1527–1536. Roma: Herder.
2009 *Egypt in the Eastern Mediterranean during the Old Kingdom. An Archaeological Perspective* (Orbis Biblicus et Orientalis 237). Fribourg: Academic Press / Göttingen: Vandenhoeck & Ruprecht.

CHAPITRE 18

A LATE RAMESSIDE SCARAB FROM THE ACROPOLIS OF TEL YARMUTH

Baruch BRANDL
Israel Antiquities Authority, Jerusalem

The scarab published in this chapter (**Fig. 18.1**) was discovered in 1996 during the eleventh season of excavations at Tel Yarmuth directed by Prof. Pierre de Miroschedji. It was found in the excavations of Sounding 2 on the acropolis, on the upper layer of the remnant of Wall 1184, a stone wall located in Square BA 116 and attributed to Stratum Acr-VB. This wall is dated by the related Locus 1186 floor *a*, the floor of a courtyard which has yielded a rich sample of pottery ascribed to the Late Bronze III/Iron IA period, and dated to the mid-12th century BCE (see above, Chapter 3, § 3.5.2.1; Chapter 8, **Figs 8.6–8.9**).

In the following study, scarab shape details follow the classification of A. Rowe.[1] The Egyptian hieroglyphic signs are referred to [in square brackets] as they appear in Gardiner's sign-list.[2] An attempt has been made to list a large number of excavated parallels from Canaanite and Egyptian sites as a basis for future studies. Parallels from collections are cited only when they are essential to the discussion.

18.1. DESCRIPTION

Inventory No.: Yarmuth Expedition No.: H.10622-1; Israel Antiquities Authority No.: 99-1451.

Material: Glazed steatite, traces of green glaze all over the scarab.[3]

Dimensions: Length 18.5 mm, Width 14 mm, Height 8 mm.

Method of manufacture: Carving, abrading, drilling, incising and glazing.

Workmanship: Mediocre.

Technical details: Perforated, drilled from both sides. Linear, and hollowed-out engraving with hatching.

Preservation: Almost complete, with two small fractions: one at the beetle's right plate, and the other on its left hindleg.

[1] Rowe 1936, pls 32–35 = Keel 1995, ills 44, 46, 67. For diagrams showing the parts of the beetle, see Rowe 1936, pl. 23, and Keel 1995, p. 20, fig. 1. The latter is the most detailed, with the terms given in four languages: German, English, French and Italian. For a diagram showing the parts of the scarab, see Schulz 2007, p. 3.

[2] Gardiner 1973, with additional information published in Allen 2000, pp. 423–452.

[3] For the methods of glazing steatite objects in ancient Egypt, see Tite and Bimson 1989.

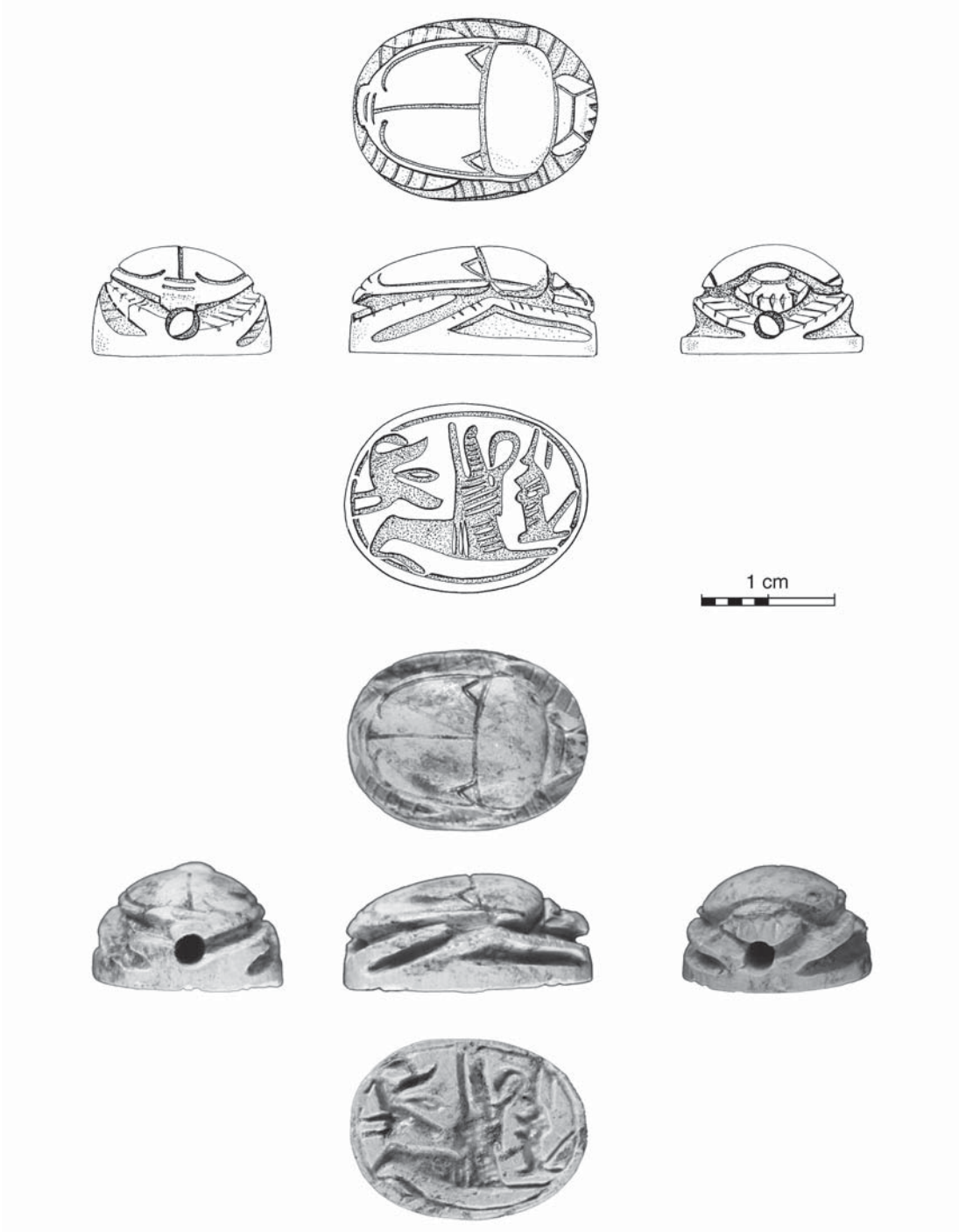


Fig. 18.1. Late Ramesside Egyptian scarab H.10622-1.

Scarab shape: Rowe's classification feature HC 9 (12th–*c.* 25th Dyn. or later), EP 33 (Hyksos–22nd Dyn.), Side 27 (*c.* 13th –25th Dyn.).

Base design: Three Egyptian symbols, all facing to the right, are framed inside a horizontal oval. In the centre is a sphinx *couchant*,[4] above its back is a winged *uraeus*,[5] while in front of it and above its forelegs is a seated figure, most probably the ideogram of *M3ʿt* "the goddess of Truth" [C 10].[6]

The sphinx has a lion's body and a human head with a pronounced beard. Since this hybrid creature is wearing the *sḫmty* or "Double Crown of Egypt" [S 5],[7] it is clear that it represents a royal sphinx with a pharaoh's head.

The winged *uraeus* has a tail that is curved upwards. It holds or protects between its wings what looks to be the phonogram *r* that serves also as the ideogram for "mouth" [D 21],[8] instead of the hieroglyphic sign *šnw* that is a rounded cartouche [V 9].[9] According to some scholars, the protective winged *uraeus* could be identified as *W3ḏ(y)t* "Edjo", the goddess of Buto.[10]

The *M3ʿt* figure misses the characteristic sign *ʿnḫ* "live" [S 34][11] above its knees, but has the diagnostic feather on its head. This absence points to a late date for the manufacture of the scarab (see below, §18.2.4).

The forerunner of such a scene, where the sphinx is wearing a different head-dress, appears already in the 18th Dynasty.[12]

18.2. Discussion

18.2.1. Parallels

Parallels of the Tel Yarmuth scarab were found in Egypt, and its provinces in Nubia and Canaan. In Egypt similar scarabs were excavated in four sites: Tell el-Yahudiyeh,[13] Thebes West, in the Ramesseum,[14] Tell er-Retabeh,[15] and Rifeh.[16] One parallel is known from Nubia: it was found in Pit-Grave 803 of Cemetery 98 near Dakka, on the west bank of the Nile and opposite of the Kuban Fort.[17] In Canaan such scarabs were found in three sites:

[4] Coche-Zivie 1984, cols 1140–1143.
[5] Martin 1986.
[6] See also Keel 1995, p. 171, § 456.
[7] Strauss 1980, col. 813; Keel 1995, p. 172, § 461.
[8] Keel 1995, p. 172, § 461.
[9] Keel 1995, p. 173, § 462.
[10] Ions 1968, pp. 60–61.
[11] Keel 1995, p. 169, § 448.
[12] Brandl 2006, pp. 223–224 (No. 9, Face B).
[13] Griffith 1890, p. 47, pl. 16:4.
[14] Quibell 1898, p. 20, pl. 30:35 (= UC 29212).
[15] Petrie and Garrow Duncan 1906, p. 32, pl. 33:14.
[16] Petrie 1907, pl. 23:27.
[17] Firth 1915, p. 155, pl. 41:37, Plan 1.

Tell el-Farʿah (South) Cemetery 900;[18] Megiddo Area AA, Stratum VIIB;[19] and Tel Dothan Tomb 2.[20]

This combination of symbols has two close variants where the *Mɜʿt* figure is replaced by another symbol:

– In the first variant, it is replaced by the hieroglyphic sign *wsr* "powerful" [F 12]. Only one scarab of this variant is known from Canaan: it was found in Tomb 922 at Tell el-Farʿah (South).[21]
– In the second variant it is replaced by the ideogram representing the sun-god *Rʿ* "Ra" [C 2]. At least five scarabs of this variant were found in Canaan: at Tell el-Farʿah (South) Cemeteries 100 and 900;[22] at Beth Shemesh in Tomb 1(11);[23] at Megiddo;[24] at Tel Harasim (Kh. Abu el-Quhuf);[25] and most probably also at Tel Ashdod.[26]

By chance, a parallel of the Tel Yarmuth scarab was found with representatives of both variants in the same context in Tomb 922 at Tell el-Farʿah (South).[27]

A special phenomenon, observed only on the Tel Yarmuth scarab and on a variant scarab from Cemetery 100 at Tell el-Farʿah (South), is the absence from the crown's front of the erected *ỉʿrt* ("*uraeus*") or cobra [I 12] – the symbol of kingship.[28] The appearance of the *uraeus* on the royal crown was so significant that special names were given to those cobras: *mḥnyt* "the Coiling One",[29] and *ỉmt-ḫɜt.f* "She who is on his front".[30] This absence points to a late date for the manufacture of the scarabs, which share many common details in their appearance and iconography (see below, §18.2.4).

18.2.2. Typology: a Design Scarab

In the addition by Keel to Tufnell's typology of design, this scarab belongs to the group of "Heraldic Beasts, *Menschenköpfiger* (or Human-headed) Sphinx" (9 F1).[31] In a much older typology, the scarab belongs to the general group of seals and scarabs bearing

[18] Starkey and Harding 1932, pp. 23–24, pls 50:52 (Tomb 922) and 52:141 (Tomb 934) = Giveon 1985, pp. 42–43 (No. 61), 33–34 (No. 34) = Keel 2010b, pp. 238–239 (No. 492), 272–273 (No. 571), respectively.

[19] Loud 1948, p. 165, pls 152:175 and 158:175.

[20] Keel 2010a, pp. 500–501 (No. 25).

[21] Starkey and Harding 1932, p. 23, pl. 50:55 = Giveon 1985, pp. 42–43, No. 60 (erroneously identified as a seated god) = Keel 2010b, pp. 240–241 (No. 495).

[22] Petrie 1930, pl. 43:527 (Cemetery 100) = Hölbl 1986, p. 242 n. 624 = Keel 2010b, pp. 186–187 (No. 368); Starkey and Harding 1932, p. 23, pl. 50:54 (Tomb 922) = Giveon 1985, pp. 42–43 (No. 62) = Keel 2010b, pp. 238–239 (No. 494).

[23] Grant 1929, p. 190 (No. 461); 1932, p. 88 (No. 15), pl. 51:15 = Rowe 1936, No. 560 = Keel 2010a, pp. 266–267 (No. 115).

[24] Lamon and Shipton 1939, pl. 69:69.

[25] Karon 1985, No. 13 = Keel 2013, pp. 558–559 (No. 12).

[26] Keel 1997, pp. 674–675 (No. 34).

[27] Starkey and Harding 1932, p. 23, pl. 50:52,54–55 = Giveon 1985, pp. 42–43 (Nos. 61–62 and 60 respectively) = Keel 2010b, pp. 238–239 (Nos. 492, 494), 240–241 (No. 495).

[28] Lurker 1982, p. 125.

[29] Gardiner 1973, p. 570.

[30] Faulkner 1962, p. 19.

[31] Keel 1995, pp. 161, 198–199, § 547.

"Names and Figures of Gods, &c.".[32] According to Hornung and Staehelin, this combination could be read as a cryptogram of the name Amun-Re,[33] a suggestion that has been widely rejected.[34]

18.2.3. Origin

Egyptian. In spite of the fact that some Ramesside scarabs of mediocre workmanship were locally manufactured in Canaan,[35] this scarab, due to the quality of its glazing, seems to originate from Egypt.

18.2.4. Date

Various dates of manufacture between the 19th and the 20th Dynasty have been suggested for the parallels of the Yarmuth scarab cited above.[36] These dates were suggested on the basis of the following criteria: typological feature of the scarab's shape, style of the motifs, archaeological context, and excavator's general observations.

19th Dynasty

Typological feature of the scarab's shape: The parallel scarab from Megiddo has Head and *Clypeus* No. 15 of Rowe's typology,[37] which is dated exclusively to the 19th Dynasty by the author of this chapter.[38]

Style of the motifs: The Tell er-Retabeh parallel was attributed, together with five additional scarabs, to Ramesses II.[39] The Nubian parallel, from Grave 803 in Cemetery 98, was found with six scarabs and scaraboids that seem to belong to the 19th Dynasty.[40] The parallel scarabs from Tombs 922 and 934 at Tell el-Farʿah (South) were re-dated by R. Giveon on the basis of their style to the 19th Dynasty.[41] Finally, according to Keel, the sphinx on the scarabs is wearing the "Double Crown of Egypt" during the 19th Dynasty.[42]

Archaeological context: On the basis of the finds, Tomb 922 at Tell el-Farʿah (South) seems to date to the 19th Dynasty – despite its original attribution in the register of Cemetery 900 to the 19th–20th Dynasty.[43] The parallel scarab from Megiddo was found in Provenience N=2131 of Area AA, Stratum VIIB, attached to the gatehouse dated to the 19th Dynasty.[44]

[32] Compare with Newberry 1906, pl. 41.
[33] Hornung and Staehelin 1976, No. 322.
[34] On the Cryptogram Method and its rejection, see Brandl 1982, pp. 377–379.
[35] Brandl 1982, pp. 381–382 n. 54; 1999.
[36] Except for the scarab from Rifeh, whose context is unclear, see Petrie 1907, pl. 23:27.
[37] Loud 1948, pl. 158:175.
[38] Brandl 2003, pp. 255–257.
[39] Petrie and Garrow Duncan 1906, p. 32, pl. 33:12–17.
[40] Firth 1915, p. 155 and pl. 41:33–34,37–38,47,60 and 77.
[41] Giveon 1985, pp. 42–43 (No. 61), 32–33 (No. 34), respectively.
[42] Keel 1995, p. 199, § 547.
[43] Starkey and Harding 1932, pl. 91.
[44] Loud 1948, fig. 383.

19th–20th Dynasties

Excavator's general observations: Tomb 922 at Tell el-Farʿah (South) was ascribed in the register of Cemetery 900 to the 19th–20th Dynasties.[45] Tomb 934 at the same cemetery was dated by scarabs bearing names of pharaohs of the 19th and 20th Dynasties.[46] Concerning the parallel from Thebes West (the Ramesseum), it could date to the 19th–20th Dynasties since the excavator found there scarabs of Ramesses II, plaques from Ramesses IV, and evidence for restorations during the days of Ramesses III.[47]

20th Dynasty

Excavator's general observations: Tumuli III and IV in the Desert Cemetery of Tell el-Yehudiyeh were dated, as well as the entire cemetery, to the 20th Dynasty due to the appearance of scarabs with the names of the pharaohs Sethnakt, Ramesses III and Ramesses VI.[48]

Proposed dating

From the discussion above, it is clear that the manufacture of this group of scarabs started during the 19th Dynasty,[49] and continued into the 20th Dynasty.

If our suggestion that the Tel Yarmuth scarab is an Egyptian product is correct, then the above-mentioned absences of both the *ʿnḫ* sign from the *M3ʿt* figure and the erect cobra from the crown may be strong indications in favour of its attribution to the Late Ramesside Dynasty. On this basis, and considering that the time span of activity in Canaan of the 20th Dynasty is limited to the reigns of Sethnakt to Ramesses IV, the scarab could be dated to the first half of the twelfth century BCE.

Given its archaeological context (Stratum Acr-V, that is, Late Bronze III/Iron IA, dated to the mid-12th century BCE), the Tel Yarmuth scarab seems therefore to have been found in a context contemporary to its production period.

18.3. Conclusion

The Tel Yarmuth scarab discussed above is a significant contribution in three respects:

1. It joins up with other components of material culture for a dating of Stratum Acr-V of Sounding 2 on the acropolis to the Late Bronze Age III/Iron IA period.

2. It is perhaps the best candidate among its group to be considered as a product of the 20th, or the Late Ramesside Dynasty.

3. The late date of the scarab's manufacture enables us to add Tel Yarmuth to the map that shows the shrinking territory of the Egyptian Province of "Canaan".[50]

[45] Starkey and Harding 1932, pl. 91.

[46] Starkey and Harding 1932, pp. 24–25, pl. 52:117–130. See also Brandl 2004, p. 62 (Ramesses III: Nos. 05-07, Ramesses IV: No. 02), pls 2:f, 3:g–h, 5:f.

[47] Quibell 1898, pp. 7, 20, and pl. 30:19,23–24.

[48] Griffith 1890, pp. 42, 47.

[49] *Contra* Hall 1913, nos. 1861–62, who dated such scarabs to the 18th–19th Dynasties.

[50] See map in Bietak 1991, p. 48, ill. 3.

ACKNOWLEDGMENTS. I wish to thank Prof. Pierre de Miroschedji and Dr. Michaël Jasmin for inviting me to study and publish the scarab from Tel Yarmuth. Mariana Salzberger photographed the object while Carmen Hersch drew it, both under my guidance.

REFERENCES

ALLEN, J. P.
2000 *Middle Egyptian*: *An Introduction to the Language and Culture of Hieroglyphs*. Cambridge: Cambridge University Press.

BIETAK, M.
1991 "Zur Landnahme Palästinas durch die Seevölker und zum Ende der ägyptischen Provinz Kanaan," *Mitteilungen des Deutschen Archäologischen Instituts, Abteilung Kairo* 47: 35–50.

BRANDL, B.
1982 "The Tel Masos Scarab: A Suggestion for a New Method for the Interpretation of Royal Scarabs," *Scripta Hierosolymitana* 28: 371–405.
1999 "Two Ramesside Scarabs from Jatt (Tel Gat Carmel)," *'Atiqot* 37: 17*–22*.
2003 "The Cape Gelidonya Shipwreck Scarabs Reconsidered," in *The Synchronisation of Civilisations in the Eastern Mediterranean in the Second Millennium B.C., Proceedings of the SCIEM 2000 - Euro Conference, Haindorf, 2nd of May – 7th of May 2001,* edited by M. Bietak and E. Czerny, pp. 249–261. Wien: Österreichische Akademie der Wissenschaften.
2004 "Scarabs and Plaques bearing Royal Names of the Early 20th Egyptian Dynasty Excavated in Canaan – from Sethnakht to Ramesses IV," in *Scarabs of the Second Millennium BC from Egypt, Nubia, Crete, and the Levant: Chronological and Historical Implications. Papers of a Symposium, Vienna 10th–13th of January 2002* (Contributions to the Chronology of the Eastern Mediterranean, vol. VIII), edited by M. Bietak and E. Czerny, pp. 57–71. Wien: Österreichische Akademie der Wissenschaften.
2006 "Canaanite and Egyptian Seals and Sealings," in *Timnah (Tel Batash)* III: *The Finds from the Second Millennium BCE* (Qedem 45), edited by N. Panitz-Cohen and A. Mazar, pp. 213–233. Jerusalem: The Hebrew University of Jerusalem.

COCHE-ZIVIE, C. M.
1984 "Sphinx," in *Lexikon der Ägyptologie,* Band V, edited by W. Helck and W. Westendorf, cols 1139–1147. Wiesbaden: Harrassowitz.

FAULKNER, R. O.
1962 *A Concise Dictionary of Middle Egyptian* (Reprinted 1972). Oxford: The Griffith Institute.

FIRTH, C. M.
1915 *The Archaeological Survey of Nubia: Report for 1909–1910*. Cairo: Government Press.

GARDINER, A.
1973 *Egyptian Grammar* (3rd rev. ed.). Oxford: The Griffith Institute.

GIVEON, R.
1985 *Egyptian Scarabs from Western Asia from the Collections of the British Museum* (Orbis Biblicus et Orientalis, Series Archaeologica 3). Freiburg: Universitätsverlag / Göttingen: Vandenhoeck & Ruprecht.

GRANT, E.
1929 *Beth Shemesh (Palestine). Progress of The Haverford Archaeological Expedition*. Haverford, Pennsylvania: Haverford College.
1932 *Ain Shems Excavations (Palestine) 1928-1929-1930-1931,* II (Biblical and Kindered Studies No. 4). Haverford, Pennsylvania: Haverford College.

GRIFFITH, F. L.
1890 *The Antiquities of Tell el-Yahûdîyeh, and Miscellaneous Work in Lower Egypt during the years 1887–1888* (Egypt Exploration Fund Memoir 7). London: Kegan Paul, Trench, Trübner & Co.

HALL, H. R.
1913 *Catalogue of Egyptian Scarabs, Etc., in the British Museum*. Vol. I: *Royal Scarabs.* London: Trustees of the British Museum.

HÖLBL, G.
1986 *Ägyptisches Kulturgut im phönikischen und punischen Sardinien* I–II (Études Préliminaires aux Religions Orientales dans l'Empire Romain 102). Leiden: Brill.

HORNUNG, E. and STAEHELIN, E.
1976 *Skarabäen und andere Siegelamulette aus Basler Sammlungen* (Ägyptische Denkmäler in der Schweiz 1). Mainz: von Zabern.

IONS, V.
1968 *Egyptian Mythology* (2nd edition, 3rd impression 1975). London-New York-Sydney-Toronto: Hamlyn.

KARON, E.
1985 *Scarabs from Kh. Abu el-Quhuf (Tel haHarasim) from the collection of the Shephela Museum* (Presented to a seminar given by Prof. R. Giveon). Kefar-Menahem.

KEEL, O.
1995 *Corpus der Stempelsiegel-Amulette aus Palästina/Israel*: *Von den Anfängen bis zur Perserzeit, Einleitung* (Orbis Biblicus et Orientalis, Series Archaeologica 10). Freiburg, Switzerland: Universitätsverlag / Göttingen: Vandenhoeck & Ruprecht.
1997 *Corpus der Stempelsiegel-Amulette aus Palästina/Israel. Von den Anfängen bis zur Perserzeit. Katalog* Band I: *Von Tell Abu Farağ bis 'Atlit* (Orbis Biblicus et Orientalis, Series Archaeologica 13). Freiburg, Switzerland: Universitätsverlag / Göttingen: Vandenhoeck & Ruprecht.
2010a *Corpus der Stempelsiegel-Amulette aus Palästina/Israel. Von den Anfängen bis zur Perserzeit. Katalog* Band II: *Von Bahan bis Tel Eton* (Orbis Biblicus et Orientalis, Series Archaeologica 29). Freiburg, Switzerland: Universitätsverlag / Göttingen: Vandenhoeck & Ruprecht.
2010b *Corpus der Stempelsiegel-Amulette aus Palästina/Israel. Von den Anfängen bis zur Perserzeit. Katalog* Band III: *Von Tell el-Far'a Nord bis Tell el-Fir* (Orbis Biblicus et Orientalis, Series Archaeologica 31). Freiburg, Switzerland: Universitätsverlag / Göttingen: Vandenhoeck & Ruprecht.
2013 *Corpus der Stempelsiegel-Amulette aus Palästina/Israel. Von den Anfängen bis zur Perserzeit. Katalog* Band IV: *Von Tel Gamma bis Chirbet Husche* (Orbis Biblicus et Orientalis, Series Archaeologica 33). Freiburg, Switzerland: Universitätsverlag / Göttingen: Vandenhoeck & Ruprecht.

LAMON, R. S. and SHIPTON, G. M.
1939 *Megiddo* I: *Seasons of 1925–34 Strata I–V* (Oriental Institute Publications 42). Chicago: The University of Chicago Press.

LOUD, G.
1948 *Megiddo* II: *Seasons of 1935–39* (Oriental Institute Publications 62). Chicago: The University of Chicago Press.

LURKER, M.
1982 *The Gods and Symbols of Ancient Egypt* (First Paperback Edition, reprinted 1995). London: Thames and Hudson.

MARTIN, K.
1986 "Uräus," in *Lexikon der Ägyptologie,* Band VI, edited by W. Helck and W. Westendorf, cols 864–868. Wiesbaden: Harrassowitz.

NEWBERRY, P. E.
1906 *Scarabs: An Introduction to the Study of Egyptian Seals and Signet Rings*. London: Constable and Co.

PETRIE, W. M. F.
1907 *Gizeh and Rifeh* (Publications of the Egyptian Research Account and British School of Archaeology in Egypt 13). London: Quaritch.
1930 *Beth Pelet* I: *Tell Fara* (Publications of the Egyptian Research Account and British School of Archaeology in Egypt 48). London: Quaritch.
PETRIE, W. M. F. and GARROW DUNCAN, J.
1906 *Hyksos and Israelite Cities* (Publications of the Egyptian Research Account and British School of Archaeology in Egypt 12). London: University College and Quaritch.
QUIBELL, J. E.
1898 *The Ramesseum* (Publications of the Egyptian Research Account and British School of Archaeology in Egypt 2). London: Quaritch.
ROWE, A.
1936 *A Catalogue of Egyptian Scarabs, Scaraboids, Seals and Amulets in the Palestine Archaeological Museum*. Cairo: Imprimerie de l'Institut Français d'Archéologie Orientale.
SCHULZ, R.
2007 *Khepereru – Scarabs*: *Scarabs, Scaraboids, and Plaques from Egypt and the Ancient Near East in the Walters Art Museum Baltimore*. Oakville, CT: Halgo, Inc.
STARKEY, J. L. and HARDING, G. L.
1932 "Beth-Pelet Cemetery," in *Beth-Pelet* II (Publications of the Egyptian Research Account and British School of Archaeology in Egypt 52), edited by E. Macdonald, J. L. Starkey and G. L. Harding. London: Quaritch.
STRAUSS, C.
1980 "Kronen," in *Lexikon der Ägyptologie,* Band III, edited by W. Helck and W. Westendorf, cols 811–816. Wiesbaden: Harrassowitz.
TITE, M. S. and BIMSON, M.
1989 "Glazed steatite: an investigation of the methods of glazing used in ancient Egypt," *World Archaeology* 21: 87–100.

CHAPITRE 19

A HOARD OF EGYPTIAN BRONZES DISCOVERED IN THE LOWER CITY OF TEL YARMUTH

Baruch BRANDL
Israel Antiquities Authority

and

Pierre de MIROSCHEDJI
Centre National de la Recherche Scientifique

with a contribution by Sariel SHALEV
University of Haifa

In addition to their ruined dwellings, the inhabitants of the Iron Age village located on the acropolis of Yarmuth have left an unexpected testimony of their existence. It is a hoard of Egyptian bronzes discovered in 1996 in Area B of the lower city.[1] This hoard deserves to be published in this final report on the excavation of the acropolis, instead of the subsequent final report on the excavations of Area B in the lower city, because of the 13th–early 12th century date of all the objects it is composed of, and especially because of the context of its finding, above the ruins of the last Early Bronze Age occupation. Hence this hoard was hidden there at a time when the lower city was no more inhabited, while the nearby acropolis was thriving.

19.1. ARCHAEOLOGICAL CONTEXT *(P. de Miroschedji)*

19.1.1. Location of the hoard

The hoard (Locus 2018) was uncovered during the 11th season of excavation in Area B (Sub-Area Bb), in square T 37, at a depth of less than 0.30 m below the surface, immediately underneath topsoil (**Figs 19.1–19.4**). It was found buried at the southern edge of a thick layer of stones covering a small hillock ("Hillock 4" on the plans of **Figs 19.1–19.2**), above the ruins of Room 2015 of Late Early Bronze Age III Palace B1.[2] The northeastern section of Square T 37 clearly shows the position of the hoard among the stones forming Hillock 4 and above the destruction layer resulting from the collapse of the walls of Room 2015 (**Fig. 19.3**).

Dated to the last phase of the Early Bronze III, Palace B1 is more or less contemporary with Stratum Acr-VII on the acropolis. It represents the last archaeological testimony of an occupation in this part of the lower city – and, possibly, of the lower city in general,

[1] For preliminary reports, see Miroschedji 1997, pp. 132–133; 2000, pp. 707–710.
[2] On Palace B1, see Miroschedji 2000, pp. 689–697; 2003; 2013, pp. 785–790.

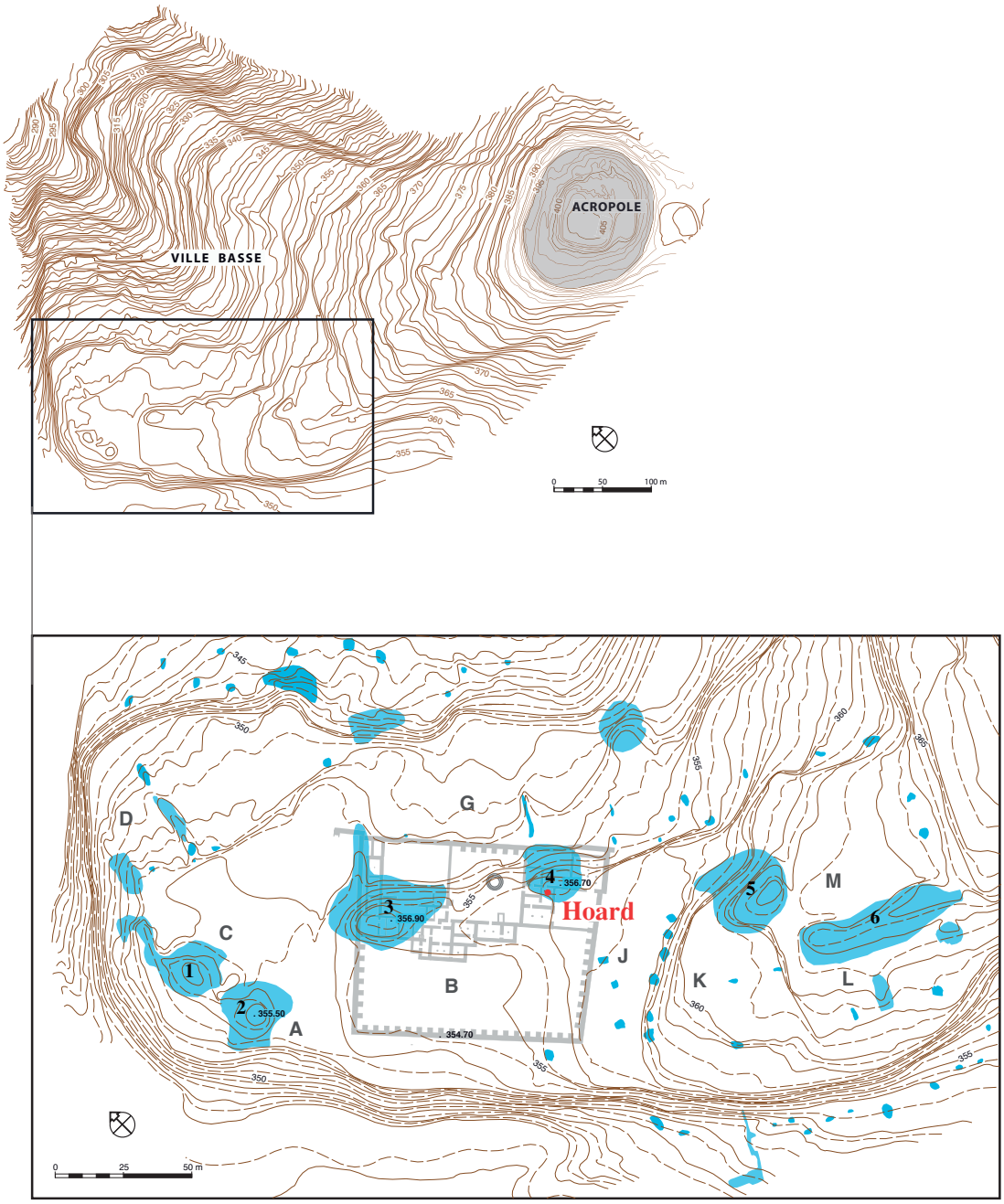


Fig. 19.1. General location of the hoard in the lower city. Heaps of stones are shown in blue. Note the difference between the large heaps (numbered 1 to 6), corresponding to ruined Early Bronze Age structures, and the small rounded heaps, resulting from the cleaning of fields.

since there is no certain evidence of a later occupation elsewhere on the lower city.[3] Therefore, since the hoard cannot be related to any post-Early Bronze Age occupation in the lower city, it must have been hidden by an inhabitant of a nearby settlement, most probably the village which existed then on top of the acropolis, whose occupation resumed in the Middle Bronze Age IIB after centuries of abandonment since the end of the Early Bronze Age (see above, Chapter 3, § 3.4 and **Table 1.1**).

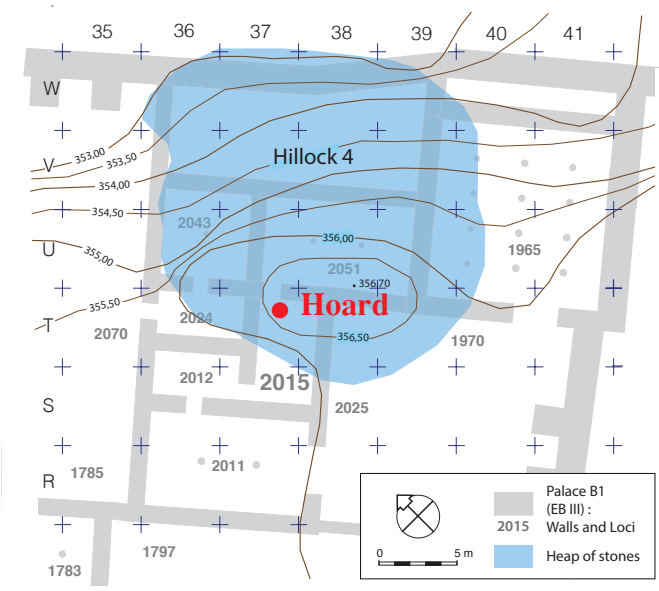


Fig. 19.2. Location of the hoard, on the edge of Hillock 4.
Note the relationship between the hillock and the underlying walls of Palace B1.

19.1.2. Context of the hoard

To assess the archaeological context of the hoard and to define the time of its burying, it is important to determine the sequence of events leading to the formation of the modern topography of Area Bb. In this part of the lower city, there is a large number of small heaps of stones, not exceeding 2 m in diameter and 1 m in height, and a few hillocks, reaching 20 to 30 m in diameter and 2.5 m in height, whose surface is covered with stones (**Fig. 19.1**). The former result from stone clearing operations carried out on a limited surface, in order to facilitate the ploughing of a field. They date presumably to Byzantine and post-Byzantine times, when the slopes of Tel Yarmuth were occupied by fields cultivated by the inhabitants of the village on the acropolis, or of the nearby village of Beit Nattif.

[3] There are archaeological remains (pottery sherds and agricultural terraces) dating to later periods in the lower city (especially Late Roman-Early Byzantine and Mameluke), but these are testimonies only of *human presence* during these periods. There are no remains of *human occupation* dating to periods later than the end of the EB III.

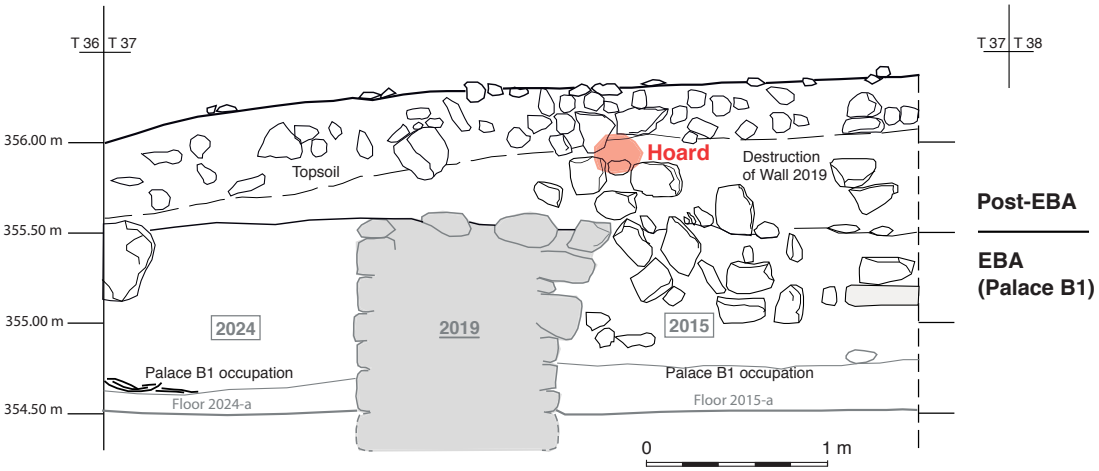


Fig. 19.3. North-east section of square T 37, about one meter away from the hoard. Note the destruction of Wall 2019 and the concentration of stones in the top soil of the hillock. The hoard was found at the junction of these two elements.



Fig. 19.4. The hoard *in situ*. View to northeast.

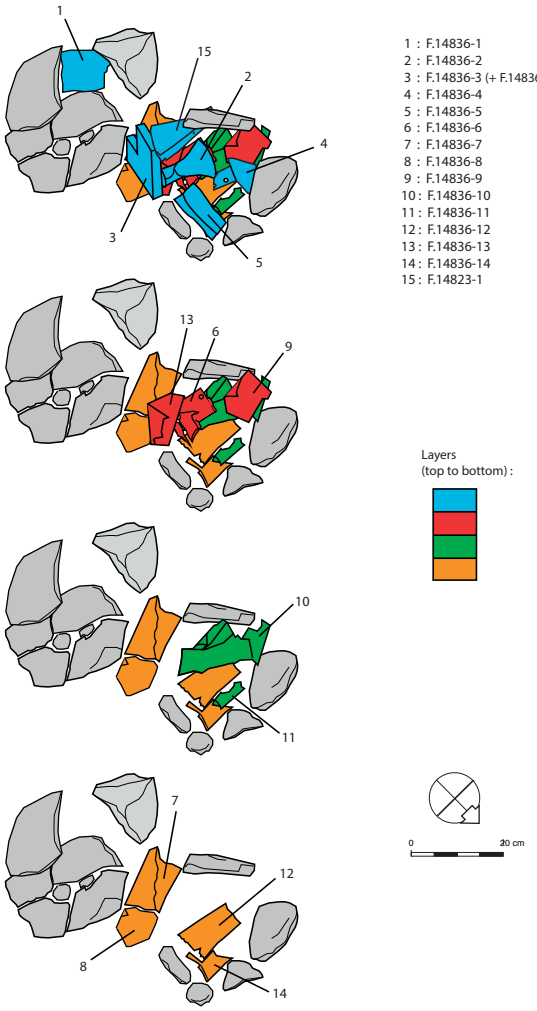


Fig. 19.5. Sketch of the hoard *in situ*, showing the position of the various items. They were stacked in four layers whose superposition is shown here in blue, red, green and orange, from top to bottom.



Fig. 19.6. The hoard *in situ*: detailed view to the southwest.

The hillocks are of a different nature. They are so large that their formation cannot be explained by periodic agricultural stone clearing operations, even carried out over many generations. Present evidence suggests that they actually indicate the location of a prominent ruin of the Early Bronze Age settlement. Hence, Hillock No. 1 and 2 (**Fig. 19.1**) cover two large platforms belonging to the third and last phase of the Early Bronze fortifications.[4] Similarly, Hillock No. 6 extends along a huge wall in Area M dated to the Early Bronze II, while Hillock No. 5 may cover the ruin of a large Early Bronze Age building. In the case of Hillocks No. 3 and 4, located in Area B within the limits of Palace B1, the situation is even more definite: they correspond to the ruins of the only two sectors of Palace B1 which had presumably an upper storey, as testified by the presence of the base of a staircase found in Room 2015 (almost underneath the spot where the hoard was uncovered) and by the fact that in both hillocks the stone bases of the walls of the palace are much higher than anywhere else (up to 3 m above floors in Hillock 3, and up to c. 2 m in Hillock 4). Both hillocks, therefore, were formed by the *in situ* ruins of the palace. Admittedly, their stone cover may have been augmented in the course of time by clearing of the nearby fields, but this process may have added relatively few stones, especially when considering that most of the area to the southwest of Hillock 4 corresponds to an open courtyard or to walls whose stone bases were preserved practically to their original height.

These remarks imply that the hoard could have been buried during an extended time span: since Hillock 4 results from the destruction of Palace B1 and was already formed in the second millennium BCE, the hoard could have been hidden any time during the late occupation of the acropolis, that is, between the Late Bronze II (Stratum Acr-VI) and the Late Roman-Early Byzantine period (Stratum Acr-I).

19.1.3. Organisation of the hoard

The hoard is composed of 16 objects and fragments of objects in bronze (**Fig. 19.7**), of which 15 where found grouped together in a heap which covered about 30 cm in diameter and 25 cm high, while another item, a fragment of a inscribed plaque (**Fig. 19.8**), was found separately at the same level some 20 cm to the south (**Figs 19.5–19.6**); subsequently, during the cleaning process in the laboratory, an additional item (F.14836-15) was found folded and stacked within another object (see below, and **Fig. 19.21:4**). Most of the items comprising the hoard are thin sheets of bronze which have been cut and tightly folded in order to minimise their size.

It is clear that the hoard had been deliberately hidden in a heap of stones, in such a way that it was invisible on the surface, but could nevertheless be easily spotted by the person who had buried it (**Figs 19.4, 19.6**). Since the position of each item was carefully registered during the excavation, it can be established that the various items composing the hoard had been piled up *grosso modo* in four layers (**Fig. 19.5**):

– The bottom layer consisted of four items: F.14836-7 (**Fig. 19.16**), F.14836-8 (**Fig. 19.24**, top), F.14836-12 (**Fig. 19.21:2**) and F.14836-14 (**Fig. 19.21:3**).

[4] See Miroschedji 1990, pp. 59*–60*.

– The second layer comprised two items: F.14836-10 (**Fig. 19.14**, top left) and F.14836-11 (**Fig. 19.21:1**).
– The third layer had three items: F.14836-13 (**Fig. 19.19**), F.14836-6 (**Fig. 19.27**, right) and F.14836-9 (**Fig. 19.18**).
– The top layer was composed of six items: F.14823-1 (**Fig. 19.27**, left), F.14836-3 (**Fig. 19.12**), F.14836-2 (**Fig. 19.11**), F.14836-4 (**Fig. 19.24**, bottom), F.14836-5 (**Fig. 19.26**) and, *c.* 20 cm to the south, F.14836-1 (**Fig. 19.8**).

Among the items matching together (see below), some were found in close proximity, for example, F.14823-1 + F.14836-6 were found respectively in the top layer and in the third layer underneath, almost one above the other; also F.14836-11+12+14 were piled together in the second and in the bottom layer underneath. However, F.14836-4+8 appeared respectively in the top and in the bottom layers.

The grouping of these objects and the fact that the sheets of bronze were tightly folded suggest that they were piled up in a bag in which they had been carried from the place where they were obtained to the spot where they were hidden. Found separate but at close proximity, the fragmentary bronze plaque (**Fig. 19.8**) may have fallen aside when the bag and its contents were buried between the stones.

Further interpretation of this discovery must await a complete description of its contents.



Fig. 19.7. General view of the items composing the hoard, after unfolding and cleaning.

19.2. Catalogue *(B. Brandl)*[5]

Soon after their discovery, the 15 original bronze items comprising the hoard were sent to the Chemistry Laboratory of the Israel Museum, Jerusalem (IMJ Lab), where they were partially cleaned and given an IMJ laboratory number in addition to the excavation number given in the field by the Yarmuth Expedition (MATY). After that treatment, they were

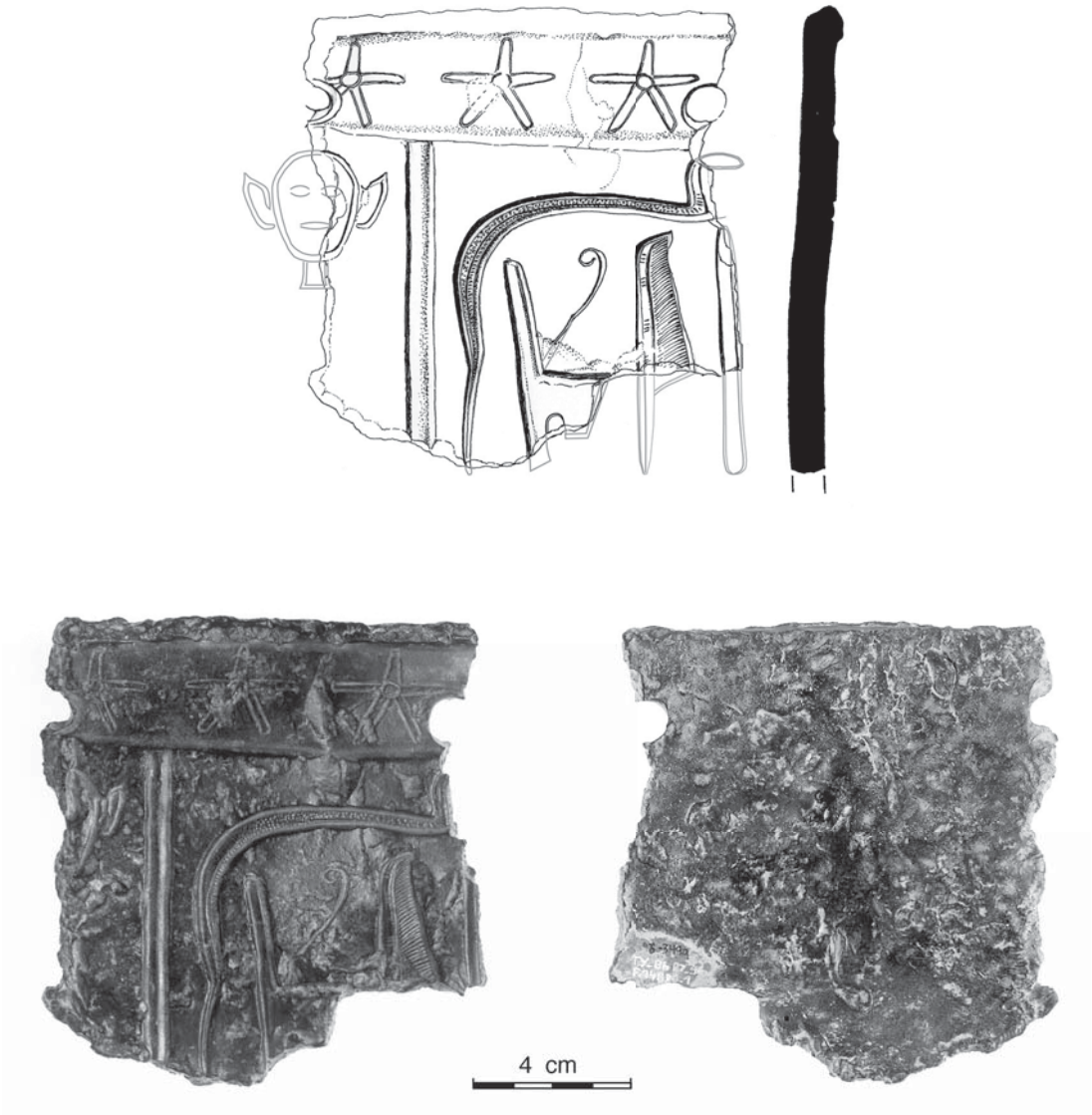


Fig. 19.8. Fragment of a decorated bronze plaque with an Egyptian inscription (F.14836-1).

[5] Note the following abbreviations used in the catalogue:
– For the inventory numbers: MATY = Mission archéologique de Tel Yarmouth; IMJ = Israel Museum Jerusalem; IAA = Israel Antiquities Authority.
– For the measurements: D = diameter; H = height; L = length; T = thickness; W = width.
The Egyptian hieroglyphic signs are referred to in square brackets following Gardiner's (1973) Sign-list.

transferred to the Israel Antiquities Authority (IAA), where each item received an IAA number. In a later stage it was decided to unfold the folded items which were then sent back to the IMJ laboratory. Since the objects had remained close to the surface, in a well-drained environment, they were generally in a good state of preservation. In the laboratory, each piece was cleaned mechanically to remove the white incrustation and the folded pieces were opened. It is in the course of this process that the small thin disk F.14836-15 (**Fig. 19.22:4**) was discovered, folded and stacked within the "fitting component" F.14836-3 (see **Fig. 19.21:4**).

Once the folded pieces were opened, several matches between them were noted. As a result, the original total of 16 items is now reduced to eight separate pieces, most of them fragmentary (**Fig. 19.7**).

19.2.1. Fragment of a decorated plaque with an Egyptian inscription (Fig. 19.8)

Inventory Nos: MATY F.14836-1; IMJ Lab. 16697; IAA 1996-3499.

Dimensions: W 11.9+ cm; H 12.4+ cm; T 0.9 cm. Weight: 960 gr.

Method of manufacture: Casting in a clay mould most probably in the "lost wax" technique.

Workmanship: Excellent, as testified by the quality of the hieroglyphic signs, where the most delicate details are observed.

Technical details: Remains of two perforations with a diameter of 1.0 cm, through which nails had fastened the plaque to a wooden background.

Preservation: Broken, chisel marks all around the edge of the surviving fragment. Due to its hieroglyphic formula it is identified as the upper right fragment of a large horizontal rectangular plaque (see below, "Reconstruction of the plaque").

Metal analysis: See below, § 19.3.2, and **Table 19.1**, no. 1.

Description

Part of a narrow horizontal decorated strip at the top, and two vertical columns – occupied by a hieroglyphic inscription – hanging below it. The height of the horizontal strip is 3.6 cm, while the width of the vertical columns is c. 8 cm.

The horizontal strip is occupied with three *sbꜣ*–signs, five-pointed 'stars' [N14] arranged in one line. The complete strip however contained more such stars in the same line, and it is clear that it was actually shaped as the hieroglyphic sign *pt* "sky" [N1].[6]

Separated by a vertical line, the two vertical columns contain the remains of five incomplete hieroglyphic signs finely engraved with a workmanship of exceptional quality. Despite their condition, these signs can be clearly identified and reconstructed due to their typical grouping:

[6] Many such depictions of 'sky' have been found *inter alia* at the mortuary temple of Queen Hatshepsut at Deir el-Bahri – see, for example, Naville 1895, pls 2, 3, 9 and 12.

– The right column – which is the first to be read due to the orientation of the hieroglyphs – contains a formula made of four signs, most of them to be read phonetically: a cobra in repose *ḏ* [I10], a walking-stick *md(w)* [S43], a flowering reed *j* [M19] and the "Red Crown of Lower Egypt" *n* [S3].[7] This group of four signs is a well-known Heading formula – *ḏd mdw ỉn* "words spoken by" – that appears "at the beginning of all divine speeches on temple and tomb walls (…) serving much the same purpose as our inverted commas".[8]
– The left column contains the right half of "face" *ḥr* [D2], which is – given the reading orientation of the entire inscription – the first hieroglyphic sign in its column. There is a possibility that to its left was depicted the sign for 'heart' *ỉb* [F34], the combined reading of those two hieroglyphic signs being *ḥry-ỉb* "…who is at (a town), localising deities worshipped away from their home".[9] Such a combination of hieroglyphic signs following the Heading formula *ḏd mdw ỉn* appear, *inter alia*, on two registers in the Ptah chapel of the temple of Seti I at Abydos,[10] and in the Nubian temples of Ramesses II at Abu Simbel and Amara West.[11]

Typology

The original plaque was most probably attached to the door of a wooden shrine, or *naos* (**Fig. 19.9**). This suggestion is based on the following observations:
– The complete plaque was (most probably) heavy and attached by (relatively) thick nails through its casted perforations to a massive wooden background.
– This wooden background was of a considerable size as indicated by the average height of the hieroglyphic signs in the Heading formula (c. 6.1 cm).
– The starry sky depiction on top and the religious formula suggest that the plaque was originally attached to a wooden furniture of cultic nature – a shrine or *naos*. Indeed, an ebony shrine from the mortuary temple of Hatshepsut at Deir el-Bahri bears three 'sky' depictions on the inner face of its left door.[12]

The separate manufacture of such a plaque might have been the easiest alternative to the laborious shipping of a complete engraved wooden shrine from Egypt to Canaan. Moreover, it would nicely fit a shrine constructed in Canaan in wood originating from Phoenicia.

Origin

This plaque has been brought from Egypt to Canaan to be used at an Egyptian cultic center – most probably an Egyptian temple.

[7] The use of this hieroglyph [S3] instead of the regular ripple of water [N35] is rare before the 18th Dynasty: see Gardiner 1973, p. 504; see also Erman and Grapow 1982, p. 625, *ḏd*. Therefore it will be used (below) as a *terminus post quem* for dating the plaque.
[8] Gardiner 1973, p. 230. See also Hannig 1997, p. 1018; Allen 2000, p. 165, § 14.9.
[9] Gardiner 1973, p. 582.
[10] See Calverley and Gardiner 1935, pl. 23 (under the bark, on the left side); Kákosy 1980, p. 50, fig. 3.
[11] Kitchen 1979, p. 147 line 14, and p. 322 line 9, respectively.
[12] Naville 1897, pp. 1 and 4, pls 26 and 29 = Roeder 1914, pp. 9–11, pls 3, 72–73, No. 70001b.

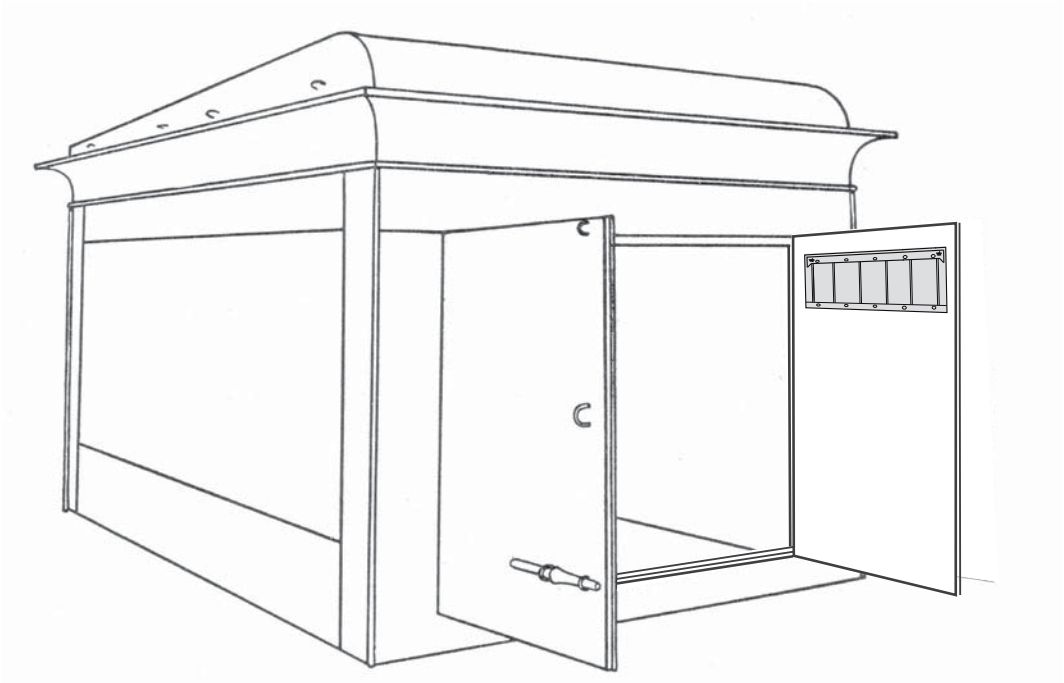


Fig. 19.9. Proposed reconstruction of the *naos* with the inscribed bronze plaque.

Date

The *terminus post quem* of the plaque is the very end of the 18th Dynasty, especially during the days of Tutankhamen, as suggested by the Heading formula with the 'Red Crown' replacing the usual ripple of water (see above, n. 7). This formula appears on two of the four shrines in Tutankhamen's tomb, that is, on the third register on the right and the first register on the left of the Exterior Left Panel of Shrine II;[13] and on the left and right sides of the Interior Left Panel of Shrine I.[14] Two such formulas also appear in antithetic position on each of the external walls of his shrine-shaped Alabaster Canopic Chest.[15] An earlier and isolated appearance already during the last decade of Amenhotep III is observed in his mortuary temple at Kom el-Hetan on the Southern Stele in the Peristyle Court.[16]

This version of Heading formula, however, is more common during both Ramesside dynasties, of which only a few dated examples are mentioned here:

– During the 19th Dynasty, it is attested for the reigns of:
  - Seti I: In the Ptah chapel of his temple at Abydos (see above, n. 10).
  - Ramesses II: In the temples at Ehnasya,[17] and in the Nubian temples at Abu Simbel and Amara West.[18]
  - Merenptah: Rock shrine in Wadi Silsila.[19]

[13] Piankoff and Rambova 1955, pp. 122–123, fig. 41, pl. 47 and pl. 49, respectively.
[14] Piankoff and Rambova 1955, p. 144 and p. 145, fig. 47.
[15] Carter 1933, pp. 48–49, pl. 10; Piankoff and Rambova 1955, pls 10–11.
[16] Haeny 1981, Falttafel 5:b, beginning of line 14.
[17] Petrie 1905, p. 22, pl. 22.
[18] Kitchen 1979, p. 147 line 14, and p. 322 line 9, respectively.
[19] Kitchen 1982, p. 75 line 12.

– During the 20th Dynasty, it is known for:
  • Ramesses III: In his mortuary temple at Medinet Habu.[20]
  • Ramesses IV: In his father's mortuary temple at Medinet Habu.[21]
  • Ramesses V: In the Theban Tomb No. 148 of Amenemopet the Third Prophet of Amun.[22]

Reconstruction of the plaque

In spite of its fragmentary condition, there are enough details on this fragment to support the reconstruction of the complete plaque (**Fig. 19.10**). This reconstruction is based on the following assumptions.
Height: The suggestion given above that the top of the second column may be reconstructed as *ḥry-ỉb* indicates that the complete plaque was horizontal rather than vertical, since under the Heading formula *ḏd mdw ỉn* one would expect to find *only* the name of a deity, sometimes with one of its epithets. Good parallels for this observation are the two registers from the Ptah chapel in the temple of Seti I at Abydos (see above, n. 10), where the height of the names of Ptah and of Sekhmet is almost equal to that of the Heading formulas. Names of deities followed by an epithet are found in Ramesses II Nubian temples at Abu Simbel and Amara West.[23] Therefore, the height of the columns can be calculated as being that of the Heading Formula plus an equivalent height for the missing name of the deity. To this one

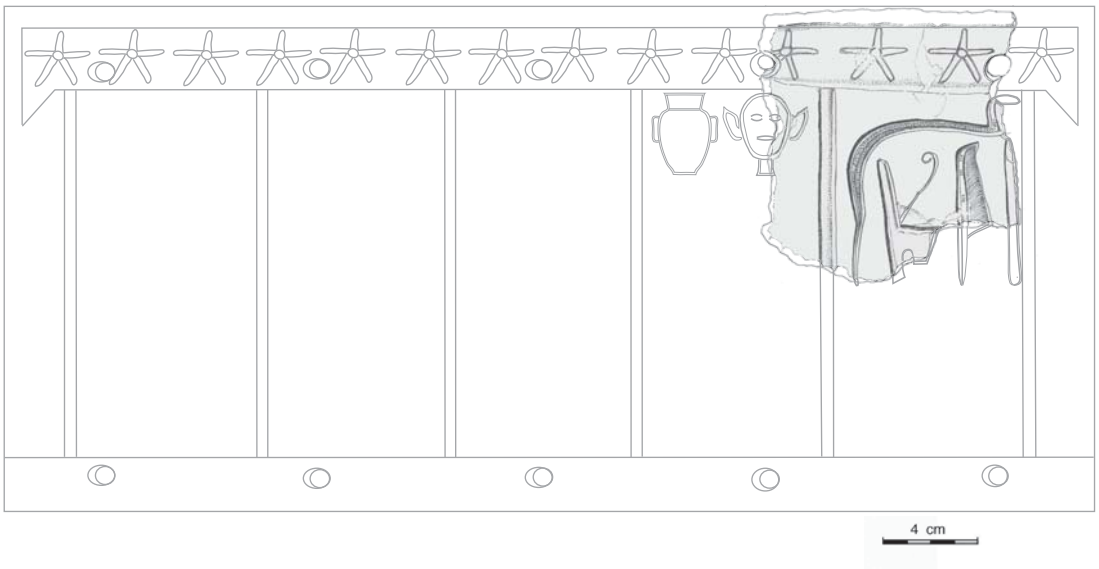


Fig. 19.10. Proposed reconstruction of the complete inscribed bronze plaque.

[20] Kitchen 1983a, p. 9 line 13, p. 85 line 6, and p. 312 line 12.
[21] Kitchen 1983b, p. 53 line 15.
[22] Kitchen 1983b, p. 233 line 10.
[23] Kitchen 1979, p. 147 line 14 and p. 322 line 9, respectively.

should add the height of a bottom row of perforations, presumably symmetric to the upper row. Hence, the total height of the plaque can be estimated at 20.6 cm.

Width: The width of the plaque can be deduced from several observations:

– The right end of the 'sky' strip must be close to the right side of the right column since the latter starts with the Heading formula. In this case, one can reconstruct the right end of the 'sky' strip by adding one additional five-pointed star to the right.
– That reconstruction indicates also the distance from the right perforation to the right edge of the plaque. The same distance can be assumed for the left side of the complete plaque on the basis of an expected symmetry.
– The fact that the interval between the two remaining perforations is larger than the width of the inscribed column implies that there were more inscribed columns than intervals between perforations. Assuming that all the columns had the same width (which is usually the case in a columned inscription) and that the perforations were regularly spaced, it follows that the original plaque had five inscribed columns and four intervals between perforations.
– On the basis of the plaque's identification as a decoration of the inner side of a door of a *naos*, it is clear that it could not contain a duplication of the number of columns (that is, ten inscribed columns), since then it would be too wide.

From the above, it can be deduced that the "sky" strip contained altogether 14 stars, that is, 3 stars within an interval between two perforations × 4 intervals, plus one star at each end of the strip. The total width of the plaque can therefore be estimated at 44.6 cm.

Weight: Hence, the complete plaque may have been 44.6 cm wide and 20.6 cm high = 918.76 cm^2 (6.2 times the size of the surviving fragment of 11.9 × 12.4 cm = 147.56 cm^2) and its original weight about 6 kilograms (6.2 × 0.96 kg).

Although impressive, this plaque is far from being the largest casted product made in Egypt. The wall painting in the 18th Dynasty tomb of Rekhmire illustrates the casting of the two door wings of the temple of Amun at Thebes, which must have been of very large size.[24]

19.2.2. Socketed hoe blade (Fig. 19.11)

Inventory Nos: MATY 14836-2; IMJ Lab. 16691; IAA 1996-3500.

Dimensions: L 11.7 cm; W 10.3 cm; D of the socket 3.9 / 4.3 cm; T 0.15 / 0.3 cm.

Method of manufacture: Casting in open mould, bending of two short 'wings' into the shape of a socket into which a wooden handle was inserted. Sharpening and hardening of the active edge by hammering after reheating.

Workmanship: Good.

Technical details: The 'wings' are overlapping and one is thinner on its edge.

[24] Pusch 2000, p. 221 and p. 226, fig. 4 [upper right corner].

Preservation: Complete, but with a crack in one of the socket's 'wings' and another crack on the active edge.

Metal analysis: See below, § 19.3.2, and **Table 19.1**, no. 10.

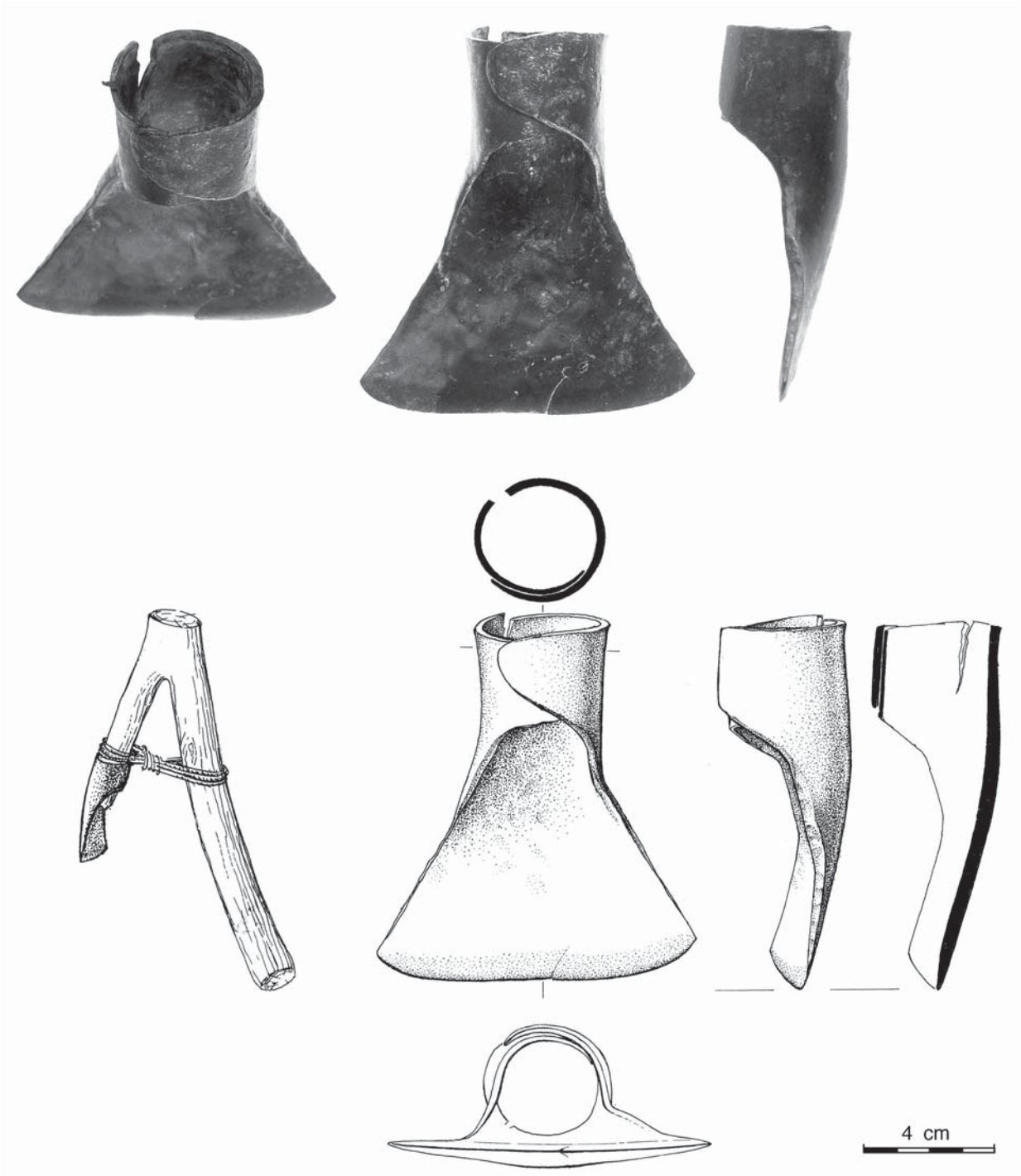


Fig. 19.11. A socketed hoe blade (F.14836-2).

Typology

The hoe blade belongs to a general type of hoe in which the active edge is wider than the socket, and, more specifically, to a shorter sub-type in which the width of the active edge almost equals the length of the blade. This sub-type is attested among the Egyptian hoe blades described by Petrie.[25] The Tel Yarmuth specimen, however, is the first of its kind to be excavated in Canaan.

Function

The inclusion by Petrie of the shorter sub-type among the general category of hoe implies that it was classified as a garden or field implement. However, the publishers of the Tell el-Amarna specimens identified their tools as adzes, that is, as carpenters' tools.[26] A new suggestion will be proposed in the summary section below (§ 19.4).

Origin

Petrie's suggestion that "the source of this type might well have been Egypt" [27] may not apply exclusively to the longer sub-type which he discussed, but rather specifically to the short sub-type to which the Tel Yarmuth item belongs.

Distribution

Long hoe blades were found at Riqqeh[28] and Tell el-Amarna.[29] Short hoe blades, more comparable to the Yarmuth specimen, were found *inter alia* at Meydum,[30] Sedment,[31] Matmar[32] and Tell Basta.[33]

Date

On the whole, cast bronze hoe blades are known in Egypt from the New Kingdom.[34] To define more precisely their dating, the long and the short hoe blades should be considered in turn:

[25] Petrie (1917, p. 18–19, pls 19–20) classified among Type J a variety of types of hoe blade. The general type of socketed hoe to which the Yarmuth specimen belongs includes only items J 39–44, J 47–49 and 52. Among these, the longer sub-type is represented only by items J 39 and J 49, while the shorter sub-type, comparable to the hoe blade from Yarmuth, is represented by items J 40–44, J 47–48 and J 52.

[26] Frankfort and Pendlebury 1933, pp. 36–37, pls 33:4 [bottom row] and 47:1 [on left]. Lacovara 1999.

[27] Petrie 1917, p. 19, § 45.

[28] Engelbach *et al.* 1915, p. 15, pls 9:6 and 10:6 = Petrie 1917, p. 19, pl. 20:39.

[29] Frankfort and Pendlebury 1933, pp. 36–37, pls 33:4 [bottom row] and 47:1 [on left].

[30] Wainwright 1912, p. 28, pl. 22:12 [on left] = Petrie 1917, p. 19, pl. 20:41–42. Petrie referred to it as coming from Gerzeh following Wainwright's words in the first page of that report (Petrie, Wainwright and Mackay 1912, p. 1).

[31] Petrie and Brunton 1924, pp. 8, 16, pls 13:13, 22:7. The hoe blade from Sedment is the only one of its sub-type still attached to its wooden handle. There are two versions about its material: on page 8 it is said to be copper, while on page 16 the option of bronze is given as well.

[32] Brunton 1948, p. 70, pl. 64:195.

[33] El-Sawi 1979, p. 14, fig. 11: [No. 1527]. It was published originally as the blade of an axe.

[34] Scheel 1989, p. 56.

The long hoe blades

The first well dated long hoe blade is the one from Riqqeh which was found in a deposit of metal tools and weapons, including a spearhead with the cartouche of Ramesses II.[35] Six long hoe blades – identified as adzes by the excavators – were discovered at Tell el-Amarna, all of them in contexts of the 18th Dynasty.[36] Therefore, it seems that the span of the long sub-type is from the Amarna Period into the early Ramesside Period.

The short hoe blades

Unfortunately the dating of most of the short hoe blades excavated in Egypt is less straightforward:

– Concerning the Meydum hoe blades, their stylistic dating to the 22nd Dynasty was a baseless speculation[37] which was, however, accepted without reservation by other scholars.[38]
– The hoe blade from Tomb 658 at Sedment was dated to the 9th Dynasty on the basis of a pottery vessel that was found with it;[39] this vessel, however, probably dates to the New Kingdom.
– Since he had accepted the date given to the Meydum hoe blade, Brunton ascribed the same date to a hoe blade found in the temple area ("Area 1000") at Matmar.[40] However, this area is actually very disturbed and contained also remains of the 18th and 19th Dynasties.[41] Therefore, the hoe blade from that site, which was "found in the general rubbish or in the filling of the granaries", should be considered among "a few [finds] which may have come from the temple and are therefore of Ramesside date. Most of them were numbered 1000." [42]
– Finally, the hoe blade from Tell Basta was found during the 1968 season in the debris near two New Kingdom anthropoid coffins in 'Site No. 1' and was dated accordingly.[43]

This confused situation could be solved on the basis of miniature model tools of short hoe blades found in well-dated contexts. Model tools of this sub-type were found in the foundation deposits of three Early Ramesside mortuary temples: 1. In Deposit 2 of the

[35] Engelbach *et al.* 1915, p. 15, pls 9:8 and 10.8 = Petrie 1917, pp. 19, 32, pl. 40:169 (in the text Petrie has referred erroneously to no. 178 as the one with the cartouche).
[36] Frankfort and Pendlebury 1933, pp. 36–37, pls 33:4 [bottom row], 47:1 [on left].
[37] Wainwright 1912, p. 28.
[38] See Petrie 1917, p. 19; Brunton 1948, p. 70.
[39] Petrie and Brunton 1924, p. 8. In the text the vessel is identified as Type 90, whereas on the pottery plate it is completely different, the only one with a flat base, and named Type 93 (*ibid.*, pl. 35:93). Unfortunately, or perhaps reasonably, Tomb 658 is missing from the "Register of graves, Ist-IXth Dynasties" (*ibid.*, pl. 36 [bottom]), while pottery Type 93 is not discussed in the chapter "The classification of the pottery" (*ibid.*, pp. 8–9).
[40] Brunton 1948, p. 70, pl. 64:195.
[41] *Ibid.*, pp. 3–4, 58–59, 64–65 and 67.
[42] *Ibid.*, p. 67.
[43] El-Sawi 1979, pp. 13–14, fig. 11 [No. 1527]. Note that the hoe was not an isolated find. Therefore, the same New Kingdom date could also be ascribed to the other small finds from the same location that were dated to the period between the 12th and the 17th Dynasties (El-Sawi 1979, pp. 13–14, Nos 1523–1526).

temple of Seti I at Abydos.[44] 2. In Deposits 1 and 4–7 of the temple of Siptah at Thebes.[45] 3. In Deposit 7 of the temple of Tausret, also at Thebes.[46] Two foundation deposits in the rear wall of the Temple of Khonsu in Karnak, founded by Ramesses III, contain also such miniature model tools.[47]

It can therefore be concluded that the span of the short sub-type was limited to the time of the 19th Dynasty, with a possible continuation into the days of Ramesses III of the 20th Dynasty.

19.2.3. Fitting component (Fig. 19.12)

Inventory Nos: MATY F.14836-3; IMJ Lab. 16692; IAA 1996-3501.

Dimensions: H 14 cm; L of openings – large 8.4, narrow 2.6 cm; W 2.6 cm; T 0.2 cm.

Method of manufacture: Casting in a close mould in "lost wax" technique and around a core made of clay.

Workmanship: Good.

Technical details: Spillover of metal during casting into cracks in the clay core. A folded disc-shaped thin sheet (F14836-15 = **Fig. 19.22:4**), which is part of a wheeled furniture's axle's cap, was found inside (see below, § 19.2.5, and **Fig. 19.21:4**).

Preservation: Complete.

Metal analysis: See below, § 19.3.2, and **Table 19.1**, no. 16.

Description

The fitting component has an exceptional shape, and to our best knowledge is without parallel published to date. It looks like a hollow box in the shape of a flag whose "pole" is square in section and open at both ends, while the "flag" is open only on its upper curved side.

Typology

Due to its thickness and shape, this object is neither a hinge corner of a door, nor a corner piece for a couch or a bed.[48] Two aspects of this object may hint to its identification: 1. The fact that the wide opening at the top had never received a wooden element, as shown by the spillover of the metal that was made during the casting and left inside untouched. 2. The curved profile of this opening.

By taking these two aspects in consideration, it can be suggested that the component actually rested on its narrow square opening, while the wide curved opening at the top was intended to support – in a free manner – an object with a concave base.

[44] Weinstein 1973, p. 233 n. 14 and 16, p. 253.
[45] Petrie 1897, p. 16, pl. 18:52 = 1917, p. 19, pl. 20:47–48 = Weinstein 1973, p. 233 n. 16, p. 267.
[46] Petrie 1897, pp. 14–15, pl. 16:28–30 = Weinstein 1973, p. 233 n. 16, p. 269 n. 121.
[47] Chevrier 1927, pp. 147–148, fig. 7 [second row, on the left] = Weinstein 1973, p. 233 n. 16, p. 272.
[48] *Cf.* Petrie 1927, p. 50 Nos 57–62 and 80–81, pls 44:57–62 and 45:80–81, respectively.

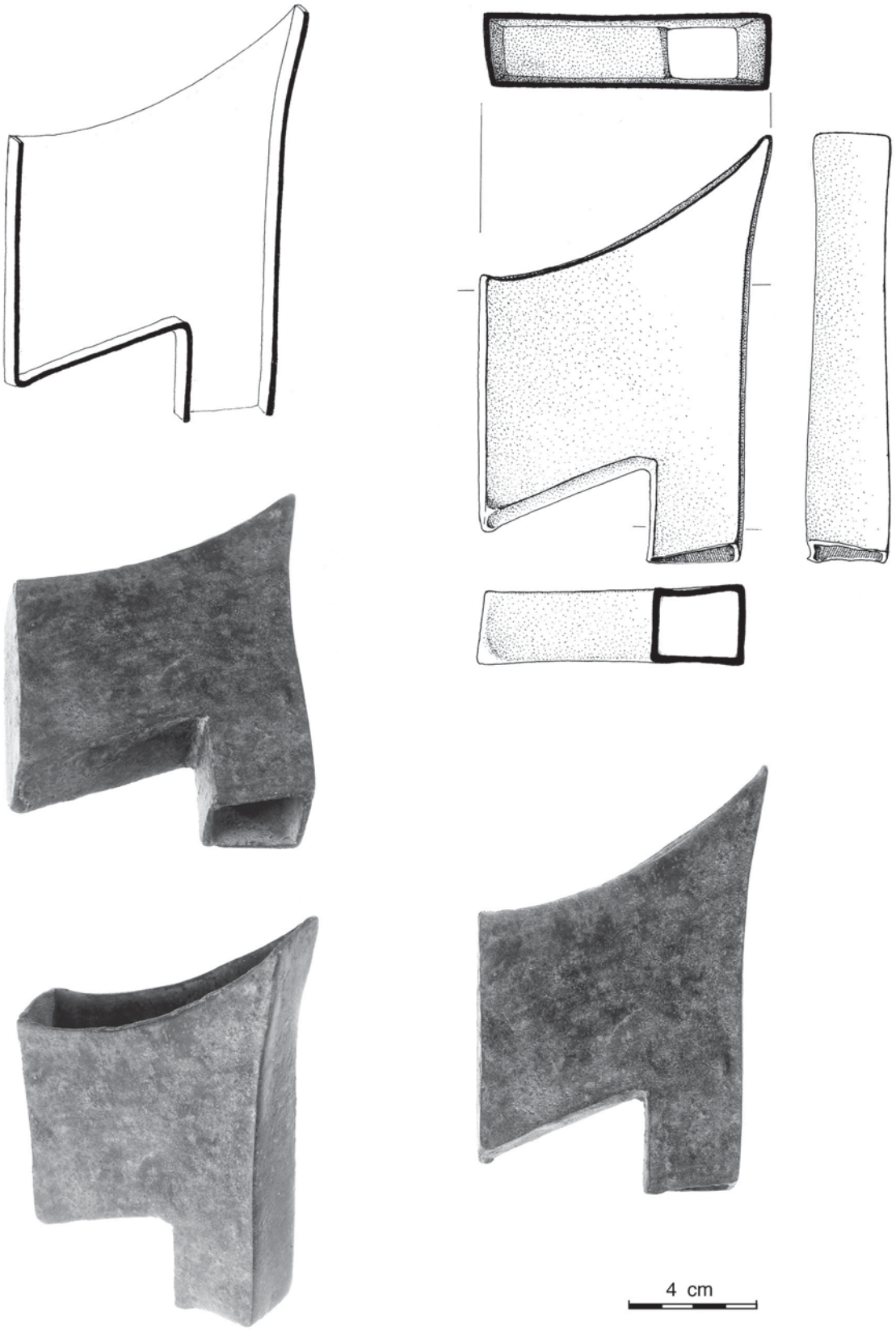


Fig. 19.12. A bronze fitting component (F.14836-3).

Reconstruction of the complete supporting object (**Fig. 19.13**)

If such was the case, it is clear that at least three, possibly four such fitting components were needed to support such an object. Moreover, since those components could not stand freely because their tops were not soldered to the supported object, each of them had to be attached to the legs of a wooden tripod or tetrapod stand. Presumably, the top of each wooden leg of the stand was fitted into the square opening at the base of a component. Additional wooden horizontal elements would connect and hold together the legs of the stand. In this way, the object with the concave base could be lifted from its supporting furniture, and the fitting components would be kept in position. The object supported by this stand, probably also made of metal, may have been a cauldron with a maximal diameter of 28–30 cm, comparable to Ramesside examples attested in Egypt.[49]

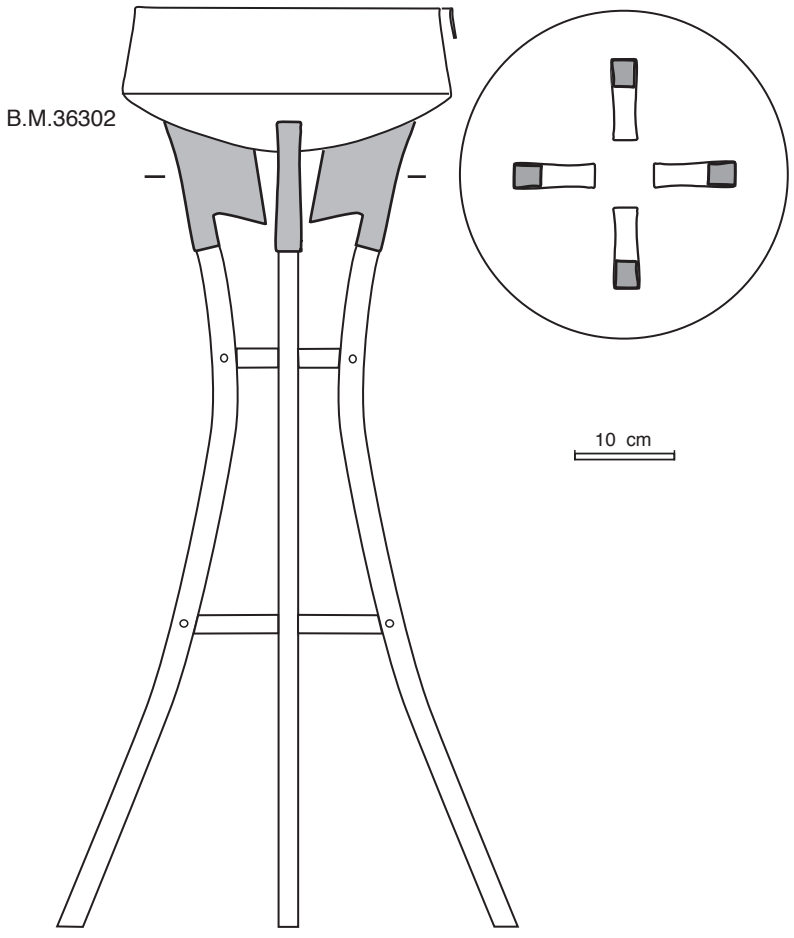


Fig. 19.13. Proposed reconstruction of the bronze fitting component of Fig. 19.12 and its stand, assuming that it had originally four legs. Left: Side view. Right: View from underneath.

[49] Radwan 1983, pp. 100–101 and 106, pls 52:291–293 and 53:294–295 ["*Kochkessel*"].

Origin

Egyptian, on the basis of the casting technology attested by 18th Dynasty hinges from Gurob in Egypt[50] and by 19th Dynasty hinge corners for doors from Jaffa and Gaza in Canaan.[51]

Actual Egyptian bronze casting installations dated to the 19th Dynasty were excavated at Qantir.[52]

19.2.4. Offering table (Figs 19.14–19.20)

Four fragments are ascribed to this object on the basis of their common thickness and their metallurgical analysis. They are:

19.2.4.1. *Fragment of a plate with a semi-circular protrusion* (**Fig. 19.14**)

Inventory Nos: MATY F.14836-10; IMJ Lab. 16741; IAA 1996-3508.

Dimensions: Folded = 20 × 13 cm. Open = L 48 cm; W of base 5.3 cm; H of wall 4 cm; D of circular extension 7.5 cm; T 0.1/0.15 cm.

Method of manufacture: Cold work or hammering.

Workmanship: Good.

Technical details: Nine perforations on the lower edge of the hanging wall.

Preservation: Fragmentary.

Metal analysis: See below, § 19.3.2, and **Table 19.1**, no. 6.

Description

A fragment of a plate bordered by a shallow hanging wall along one of its long edges, with a semi-circular protrusion at the center of that edge. The lower part of the wall is perforated, most probably for nails that attached the metallic plate to the wooden plate of a furniture.

Typology

This fragment belongs to the central part of the front of an *ḥtp*-shaped [R4] metallic casing of an offering table made of wood (**Fig. 19.15**).[53]

[50] Petrie 1891, p. 19, pl. 20:10.
[51] Shalev and Northover 1988–89, pp. 199–200, 202, fig. 3:3–4, respectively, with previous bibliography.
[52] Rehren and Pusch 2012.
[53] For a general discussion concerning the various types and raw materials of offering tables, see Bolshakov 2001.

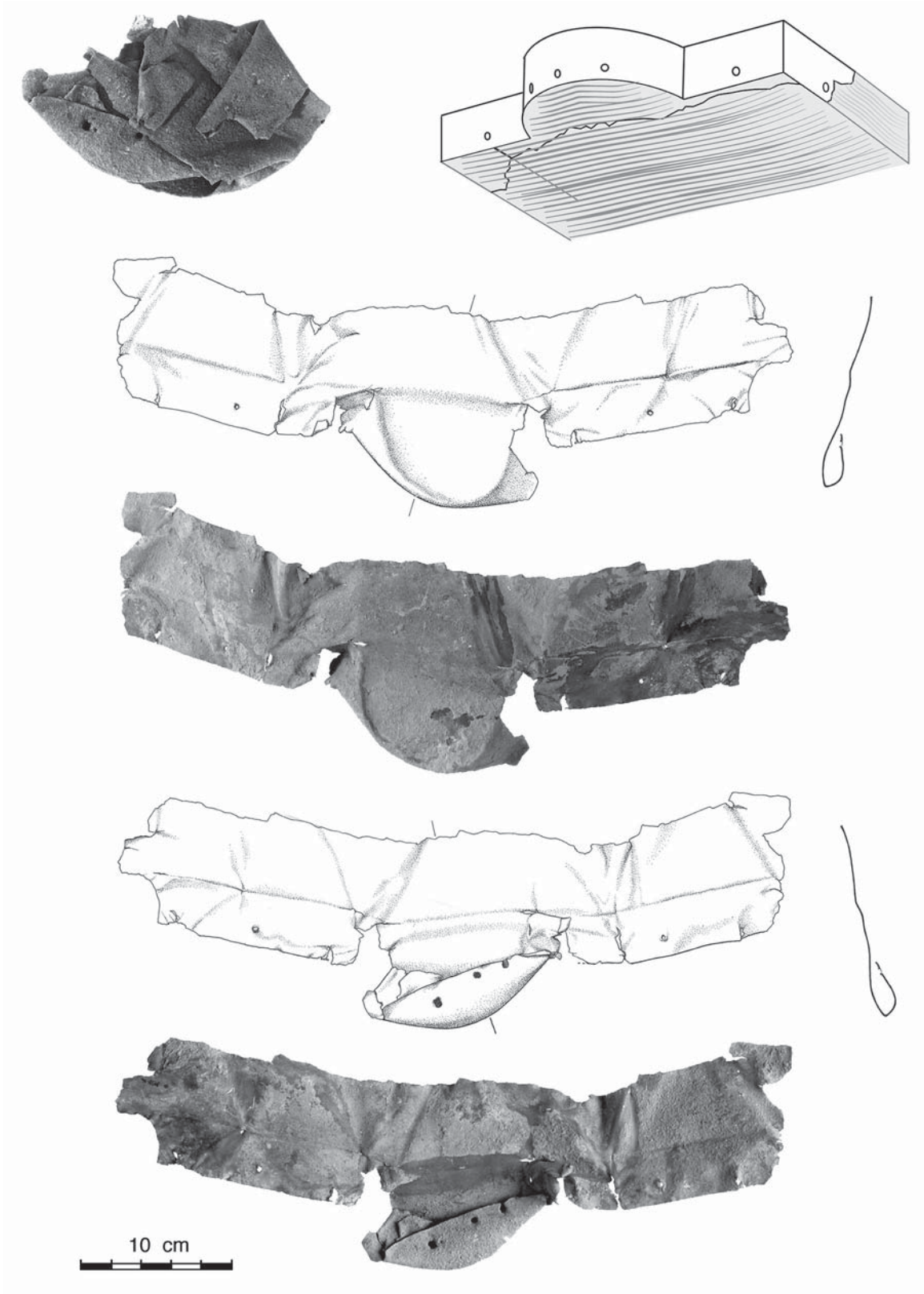


Fig. 19.14. Fragmentary bronze sheet 14836-10 with a semi-circular protrusion, before and after unfolding and cleaning.

Very few metallic offering tables were found, all from the 6th Dynasty.[54] They were made entirely of metal as there are no perforations along their side walls.

Strangely enough, metallic offering tables are not included in books devoted to that kind of cultic object, where only those made in stone or clay are described.[55] This is even more surprising when considering the Egyptian name of this category of cultic furniture: since the Middle Kingdom, the determinative (or classifier) for 'offering table' was *wḏḥw*, which has the shape of a four-legged table with a libation vase and two loaves on top of it [R3] (**Fig. 19.15**).



Fig. 19.15. The hieroglyphic signs *wḏḥw* [R3] and *ḥtp* [R4].



Fig. 19.16. Fragmentary bronze sheet 14836-7, before unfolding and cleaning.

[54] Radwan 1983, pp. 61–62, pls 30:153B and 31:155A, and a variant on pls C:160 and 32:160.
[55] See, for example, Hölzl 2002.

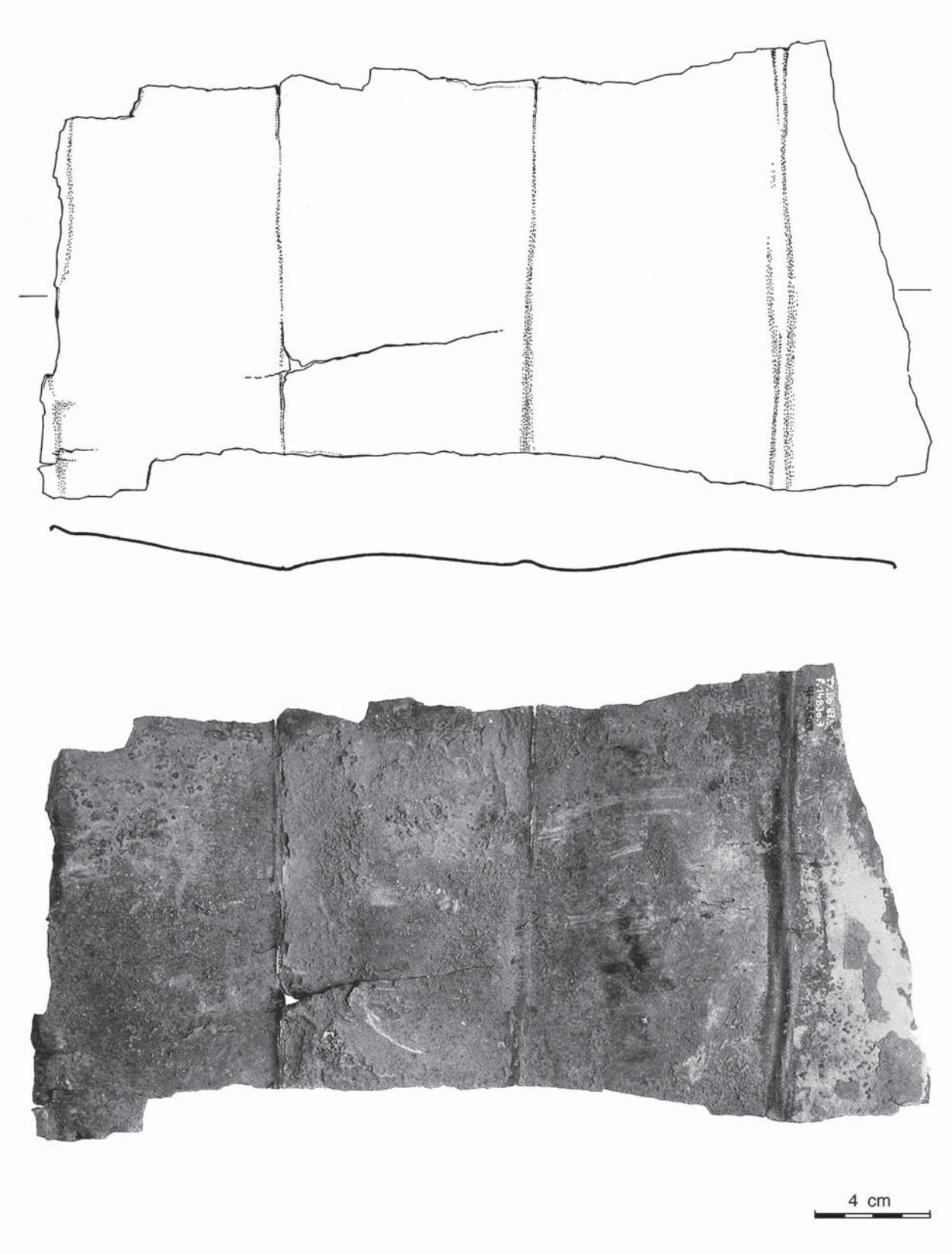


Fig. 19.17. Fragmentary bronze sheet 14836-7, after unfolding and cleaning.

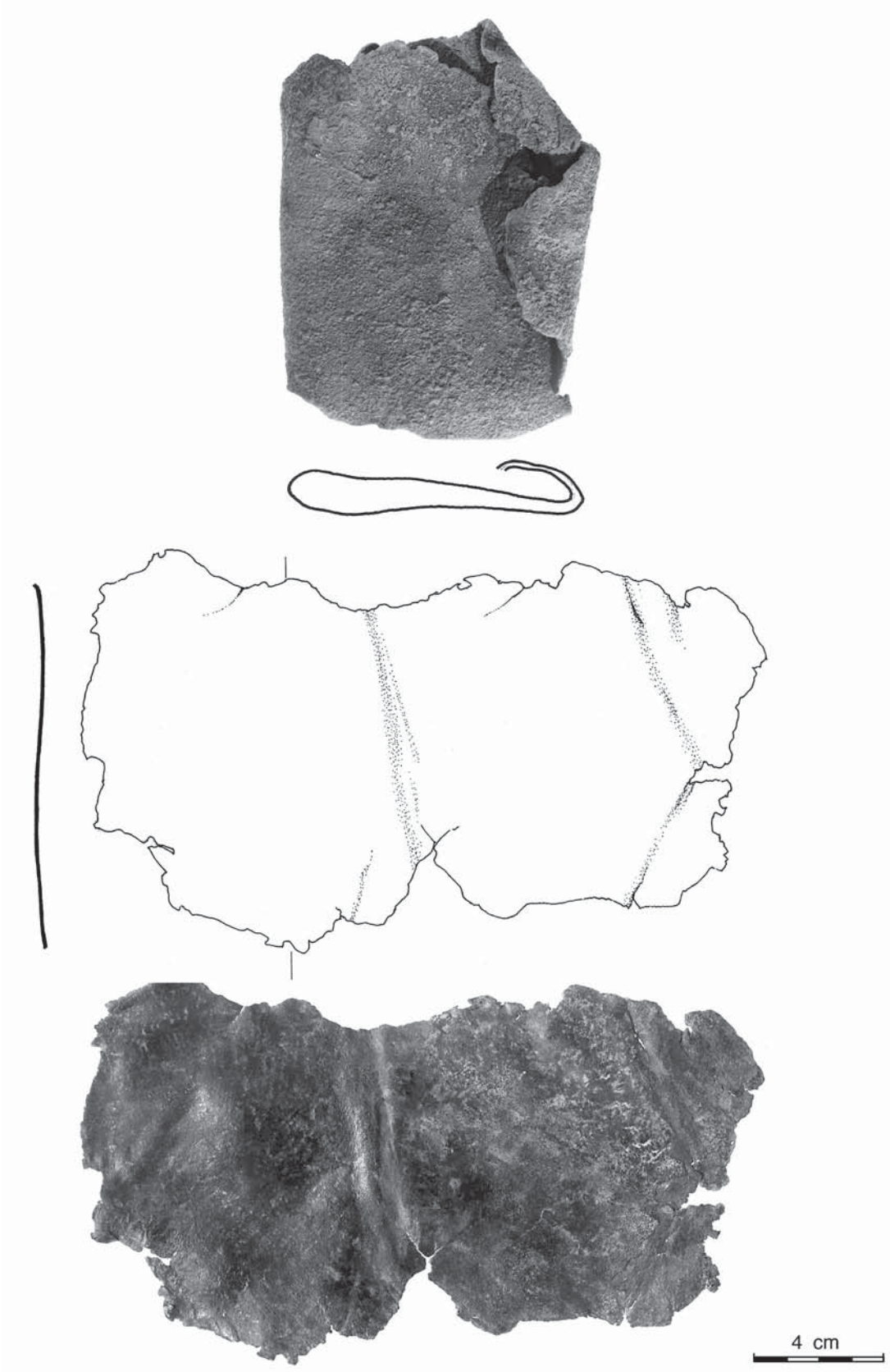


Fig. 19.18. Fragmentary bronze sheet F.14836-9, before and after unfolding and cleaning.

19.2.4.2. *Edgeless sheet* (**Figs 19.16–19.17**)

Inventory Nos: MATY F.14836-7; IMJ Lab. 16849; IAA 1996-3505.
Dimensions: Folded = 16 × 9 cm. Open = L 31 cm; W 16 cm; T 0.15 cm.
Description: Edgeless sheet.
Metal analysis: See below, § 19.3.2, and **Table 19.1**, no. 7.

19.2.4.3. *Edgeless sheet* (**Fig. 19.18**)

Inventory Nos: MATY F.14836-9; IMJ Lab. 16696; IAA 1996-3507.
Dimensions: Folded = 13 × 9 cm. Open = L 22 cm; W 12.5 cm; T 0.1 cm.
Description: Edgeless sheet.
Metal analysis: See below, § 19.3.2, and **Table 19.1**, no. 5.

19.2.4.4. *Edgeless sheet* (**Figs 19.19–19.20**)

Inventory Nos: MATY F.14836-13; IMJ Lab. 16851; IAA 1996-3511.
Dimensions: Folded = 17.5 × 12 cm. Open = L 22 cm; W 20 cm; T 0.15 cm.
Description: Edgeless sheet.
Metal analysis: See below, § 19.3.2, and **Table 19.1**, no. 4.

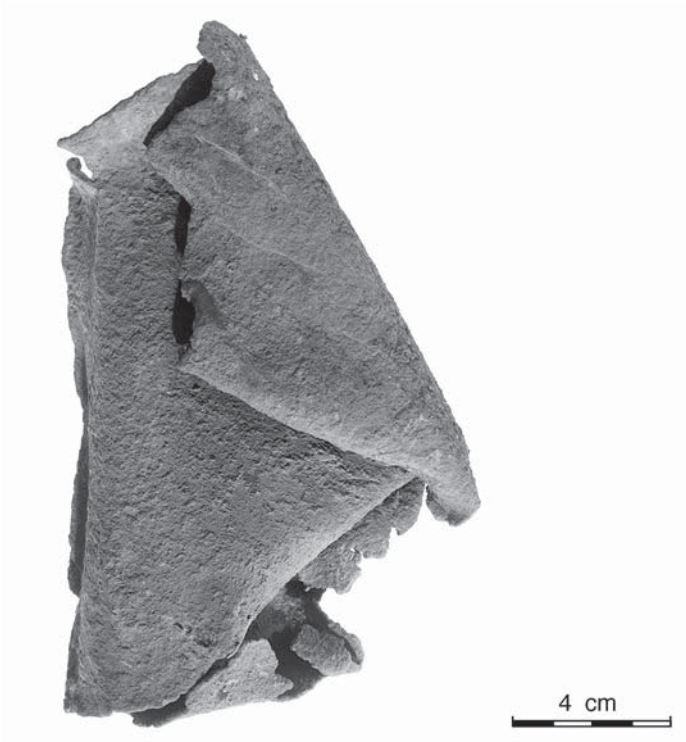


Fig. 19.19. Fragmentary bronze sheet F.14836-13, before unfolding and cleaning.



Fig. 19.20. Fragmentary bronze sheet F.14836-13, after unfolding and cleaning.

19.2.5. Axle's cap of a wheeled furniture? (Figs 19.21–19.23)

After unfolding and cleaning, four fragments turned out to belong to this object on the basis of metallurgical analysis and physical observations: the first three fragments (**Figs 19.21:1–3, 19.22:1–3** top) actually match together, while the attribution of the fourth fragment (a small disk: see **Figs 19.21:4** and **19.22:4**) to this group is based on its shape, size and similarity in thickness. The four fragments are:

1. MATY F.14836-11; IMJ Lab. 16743; IAA 1996-3509 (**Figs 19.21:1, 19.22:1**).
2. MATY F.14836-12; IMJ Lab. 16853; IAA 1996-3510 (**Figs 19.21:2, 19.22:2**).
3. MATY F.14836-14; IMJ Lab. 16852; IAA 1996-3512 (**Figs 19.21:3a–b, 19.22:3a–b**).
4. MATY F.14836-15; IMJ Lab. *cf.* 16692; IAA 1996-3501/1 (**Figs 19.21:4**, **19.22:4**).

Dimensions: Folded: 8 × 3.5 / 13.3 × 8 / 13 × 8 / 7 × 3.5 cm, respectively. Open: L of upper circumference 39.25 cm; H of wall: existing 14.2 cm, estimated 19.5 cm; H of the rim 1.2 cm; D at the rim: 12.5 cm, at the lower part: 8.9 cm; D of the base fragment: 7 cm; T: 0.075-0.1 cm.

Method of manufacture: Cold work or hammering.

Workmanship: Good.

Technical details: The rim is folded towards the inside.

Preservation: Broken. Part of the folded rim, as well as the lower part, are missing.

Metal analysis: See below, § 19.3.2, and **Table 19.1**, nos 11–14.

Description

An almost complete conical object, whose lower part of the body is missing, but whose discoid base was found separately, tightly folded and stacked within the above discussed Fitting component (§ 19.2.3). The rim is folded on the inside on a height of 1.2 cm. On the basis of the angle of the wall and the diameter of the base, the height of the missing lower part of the object's wall is estimated at 5.3 cm.

Typology

Although an identification of this object as a metallic goblet seems straightforward, two observations militate against it: 1. The fact that the rim is folded on the inside, while on metallic containers, for example on the drop-shaped metallic vessels of the New Kingdom, it is always folded toward the outside.[56] 2. The fact that precisely its lower part is missing.

Actually, to the best of our knowledge, the only object that can be compared to the one from Yarmuth is a conical bronze object discovered at Qantir that was identified as a chariots' nave cap.[57] The dimensions of the Qantir object are close to those of its Yarmuth

[56] *Cf.* Radwan 1983, pp. 126–127, 129–130, pl. 65:354–355,357–359.
[57] Pusch 1993, p. 132, ills 130, 138. Herold 2004, pp. 130–131, ill. 10 [bottom]; 2006, p. 382 n. 973, p. 383, ill. 34. This identification was accepted by the excavators and publishers of the Qantir object following

counterpart (H 19 cm; D upper 14 cm, D lower 9.5 cm).[58] It is, however, open at both ends. According to its publishers, it protected the wheel's nave from the linchpin that was crossing the chariot's axle.[59]

Since the Tel Yarmuth cap is closed at its narrow end, it could not cover the edge of the nave in the way suggested for the cap from Qantir. It seems rather that it covered the end of the axle. In this case, a linchpin may have crossed the cap through two openings set on opposite sides of the lower part of the wall. When the cap was violently ripped off from the axle, the linchpin was pulled horizontally; as a result, the lower (or external) part of the cap

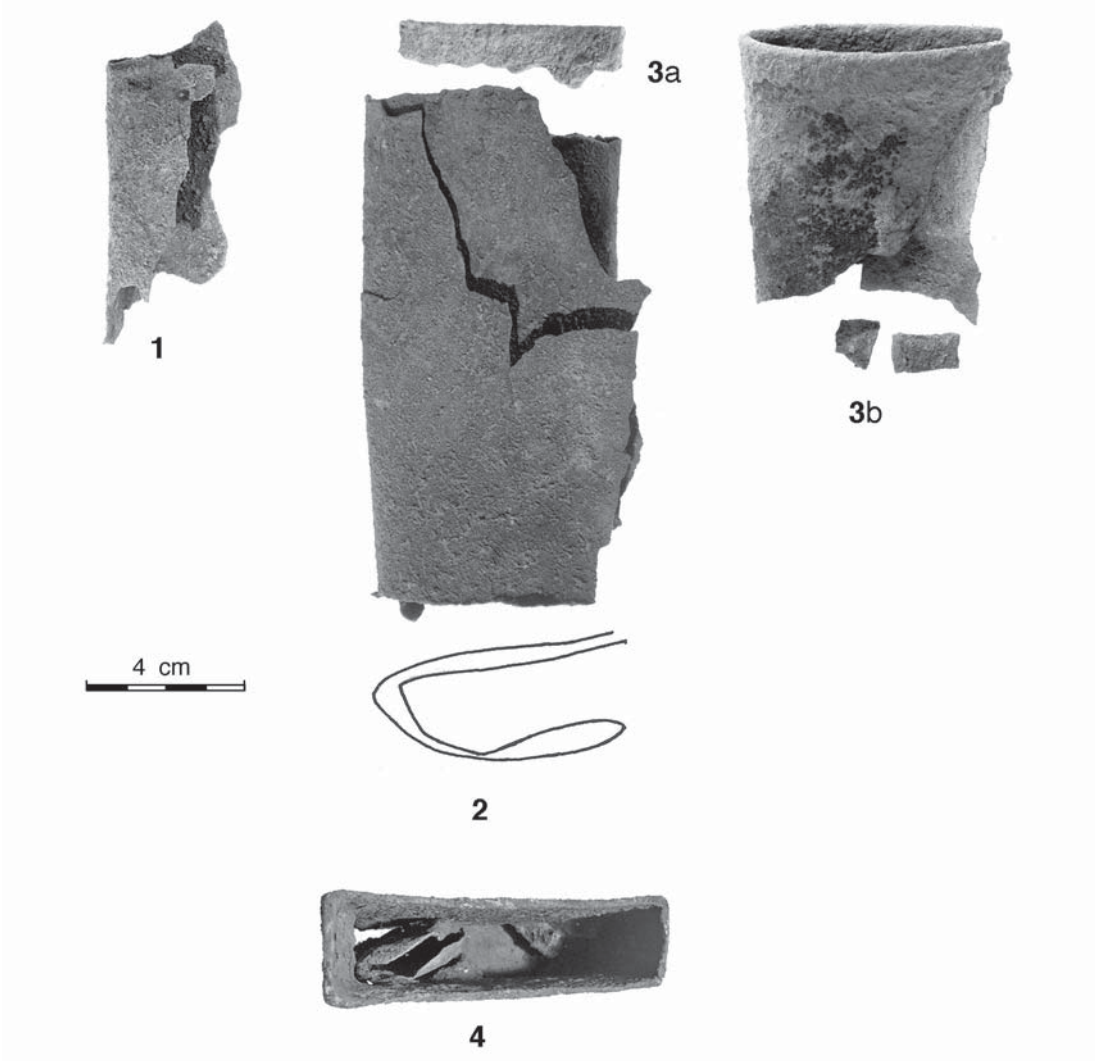


Fig. 19.21. Four fragmentary bronze sheets, before unfolding and cleaning. 1. F.14836-11. 2. F.14836-12. 3a–b. F.14836-14. 4. The circular piece F.14836-15 was found folded within item F.14836-3 (see **Fig. 19.12**).

our suggestion. Informed by us about the find from the Tel Yarmuth hoard, they have endorsed our proposal about the possible identical technical function and referred to it in their later publications.

[58] Based on the scale attached in Herold 2004, p. 131, ill. 10.

[59] Pusch 1993, p. 132, ill. 129; Herold 2006, p. 383, ill. 34.

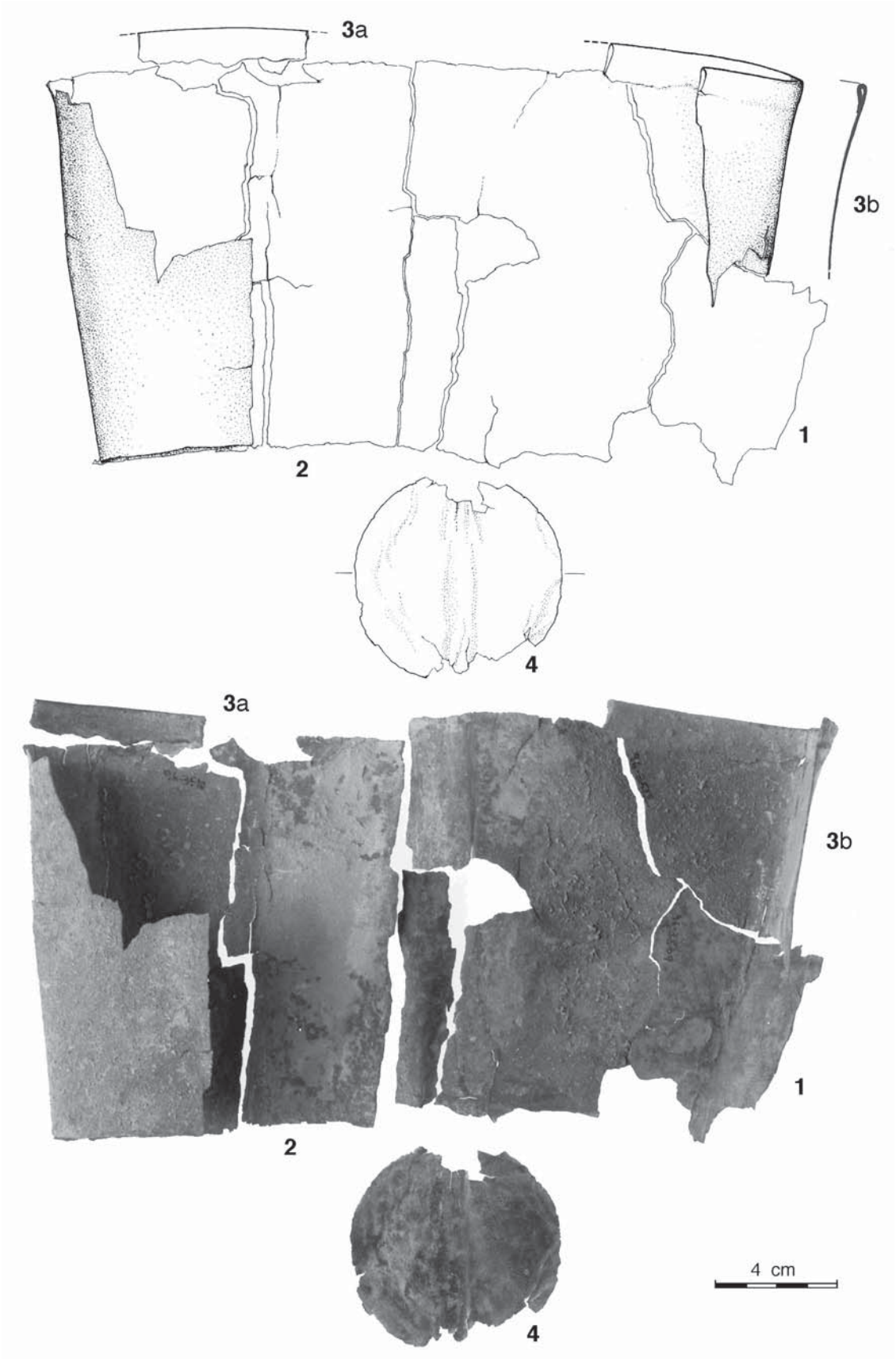


Fig. 19.22. Four fragmentary bronze sheets, after unfolding and cleaning.
1-3. F.14836-11 + 12 + 14. 4. Circular piece F.14836-15.

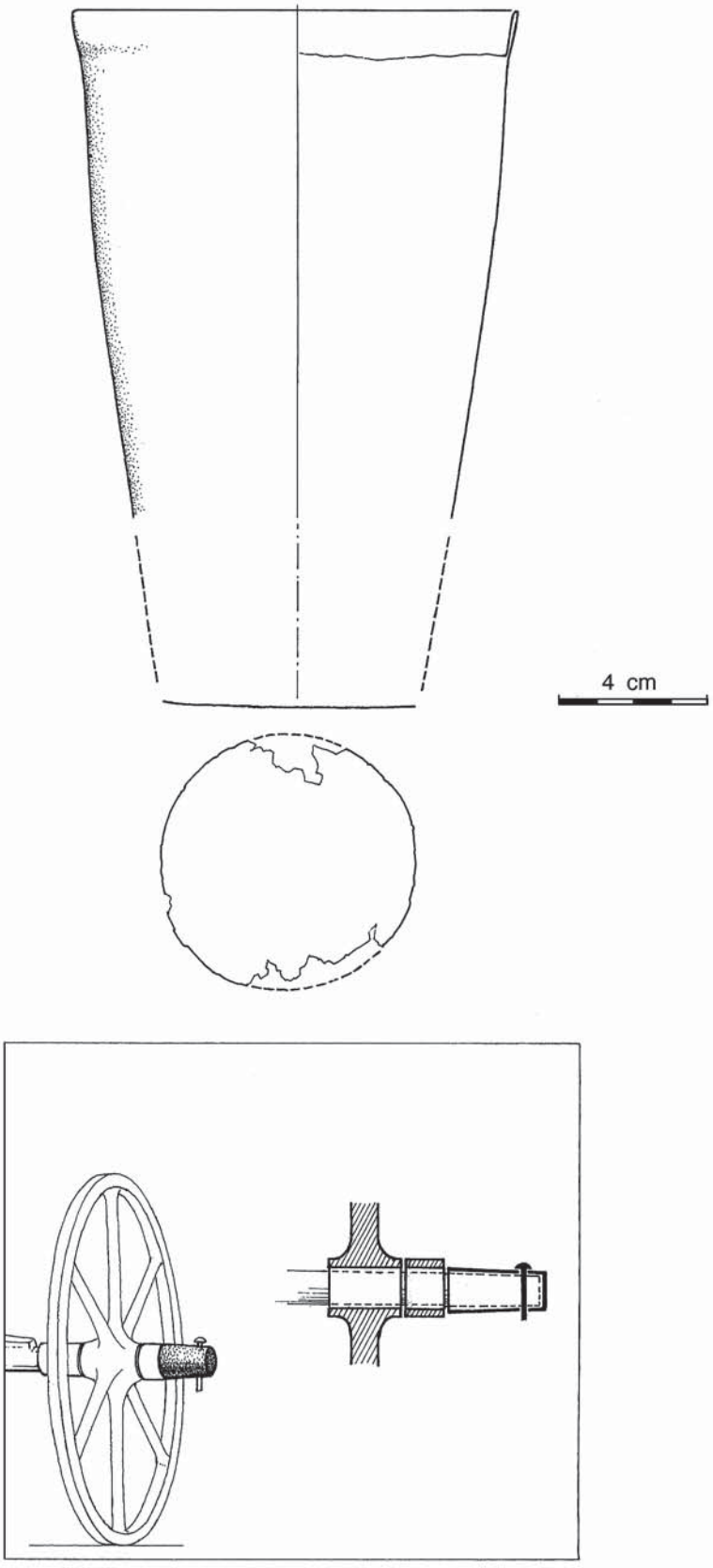


Fig. 19.23. Reconstruction and suggested use as axle's cap of the four fragmentary bronze sheets of **Figs 19.21–19.22**.

was torn away from the upper (or inner) part. This would explain why it is now separated and why the holes for the linchpin are no more visible. In the proposed reconstruction of **Fig. 19.23**, it is further suggested to add a wooden ring between the wheel and the metallic cap in order to minimise the wear of the wooden wheel. Following the example of the cap from Qantir, this reconstruction refers to a chariot's wheel, but it is actually more likely that it was the axle cap of a wheeled furniture rather than that of a chariot, especially when considering its relative thinness.

19.2.6. Fragment of a composite sculpture? (Figs 19.24–19.25)

This object is composed of two fragmentary bronze sheets matching together.

Inventory Nos:

1. MATY 14836-4; IMJ Lab. 16693; IAA 1996-3502 (**Figs 19.24–19.25** [bottom]).

2. MATY 14836-8; IMJ Lab. 16695; IAA 1996-3506 (**Figs 19.24–19.25** [top]).

Dimensions: Folded: 13 × 9 cm and 14 × 10.5 cm, respectively. Open and combined: H 30 cm; W 16.4 cm; T 0.05 cm.

Method of manufacture: Cold work or hammering.

Workmanship: Good.

Technical details: Three perforations along the only existing edge placed at wide and regular intervals; 12 to 15 perforations placed very close to one another and at irregular intervals.

Preservation: Fragmentary.

Metal analysis: See below, § 19.3.2, and **Table 19.1**, nos 8–9.

Description

The combined sheet has only one clear edge located at the bottom, and two groups of perforations. The different intervals between the two groups of perforations may hint to a composite metallic object. It seems that the perforations along the straight edge were for nails, while the closer ones were for rivets.

Typology

The edge at the bottom marks apparently the base of the metallic sheet that was attached by nails to a wooden platform of some kind. On the other hand, the closer perforations may have been riveted to another sheet in order to create a tridimensional metallic object. In this context, it is worth noting that a similar arrangement of metallic sheets is attested on a falcon's sculpture from Hierakonpolis[60] that was re-dated to the 18th Dynasty.[61]

[60] Eckmann 2007, p. 112, fig. 153.
[61] Rössler-Köhler 1978.

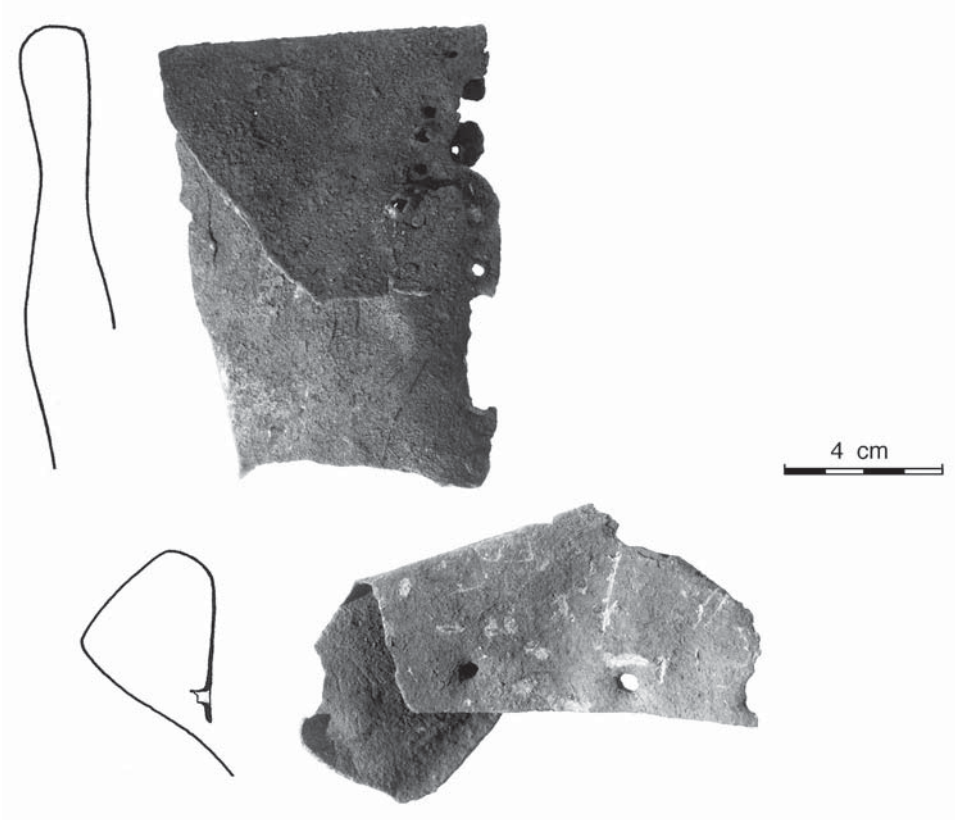


Fig. 19.24. Two fragmentary bronze sheets, before unfolding and cleaning (F.14836-8 [top] and F.14836-4 [bottom]).

19.2.7. Fragment of a composite sculpture? (Fig. 19.26)

Inventory Nos: MATY F.14836-5; IMJ Lab. 16694; IAA 1996-3503.

Dimensions: Folded: 12 × 6 cm. Open: H 12–12.3 cm; W on top: 12.8 cm, at base line: 15.3 cm; T 0.1 cm.

Method of manufacture: Cold work or hammering.

Workmanship: Good.

Technical details: Three perforations in a row and parallel to the base-line, with hints for at least one additional perforation on each side, indicate that the sheet was attached with nails to the squarish edge of a wooden plank or rod. No traces of rivet perforations are seen on the surviving fragment.

Preservation: Broken. The fact that the inner side of the perforations for nail appear on the outer face of the folded sheet fragment indicates that the original fragment has been turned over around a metallic rod or a wooden plank, in such a way that it was given a U-shaped profile and that its outer face became its inner face.

Metal analysis: See below, § 19.3.2, and **Table 19.1**, no. 15.

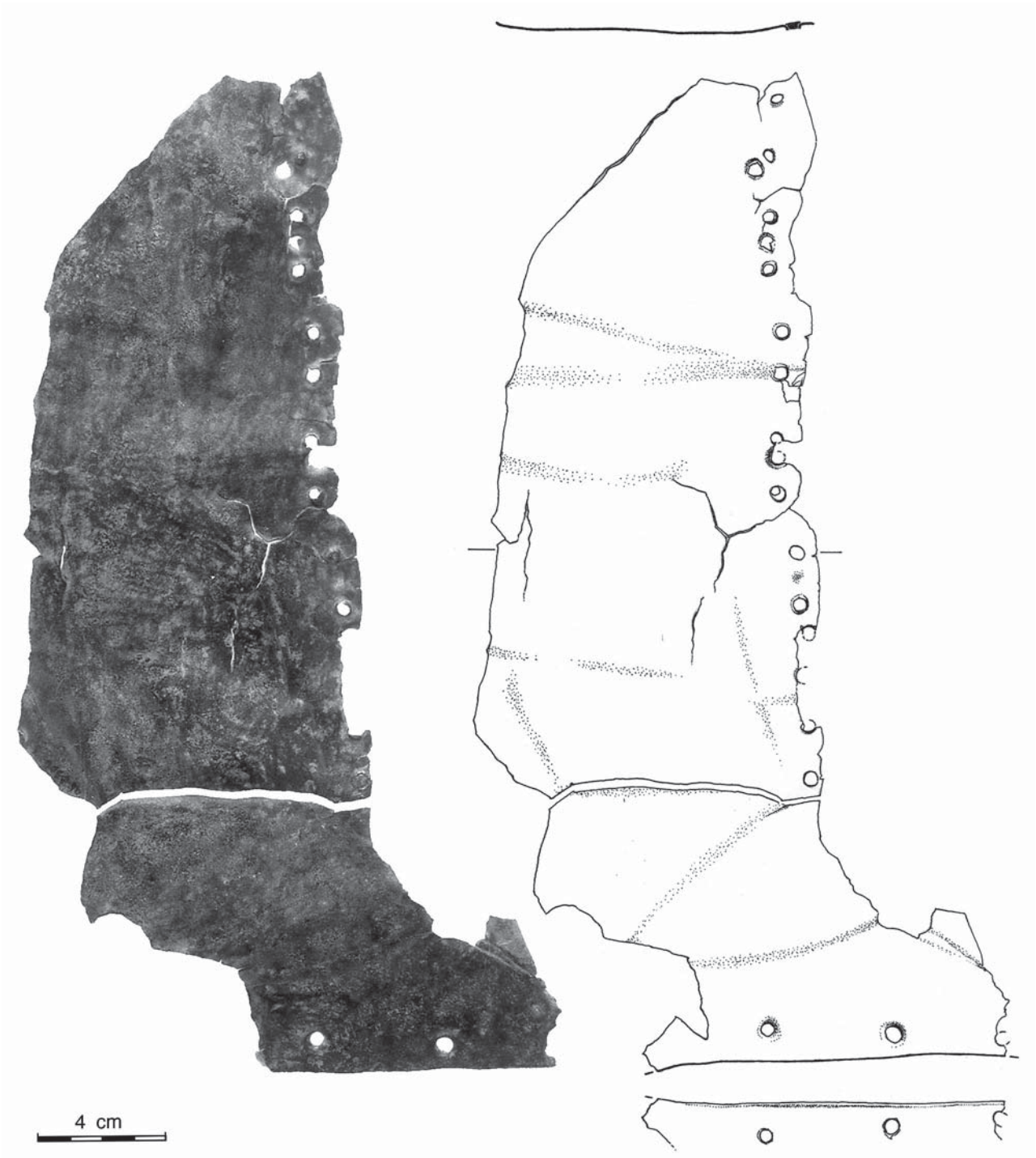


Fig. 19.25. Two fragmentary bronze sheets, after unfolding and cleaning (F.14836-8 [top] and F.14836-4 [bottom]).

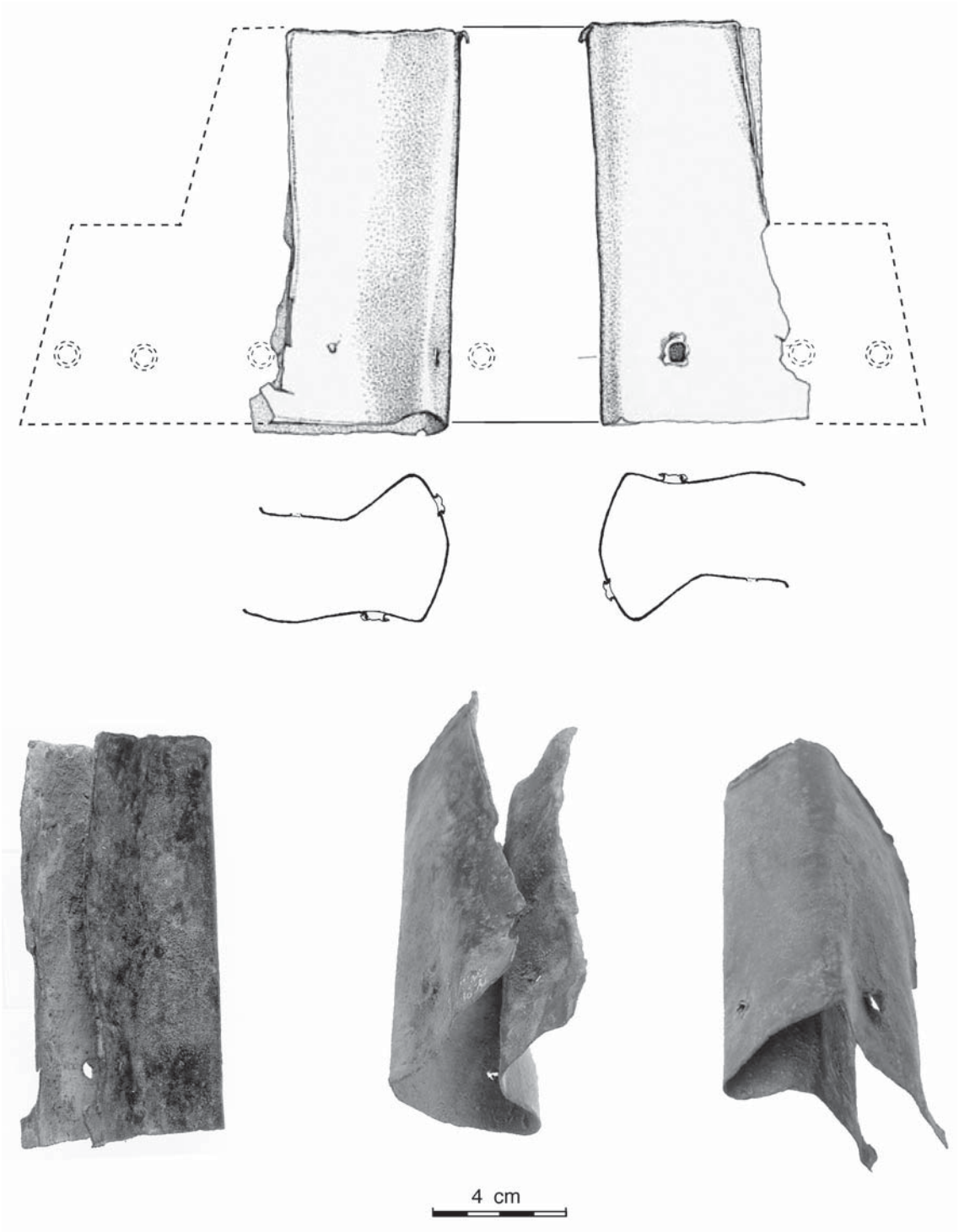


Fig. 19.26. Fragmentary bronze sheet F.14836-5, and suggested original shape.

Description

A trapezoidal fragment of a metal sheet that has lost its entire left side and the lower part of its right side. Its top and base lines are straight, while the upper part of its right side is diagonal. Hence it is possible that the lower part of the original object was actually wider than its upper part, forming two small projections in opposite directions. On the drawing of **Fig. 19.26**, the missing projection on the right side is reconstructed with an additional perforation on the right, while the outline of the missing left side is based on the assumption of a symmetry between both sides of the object.

Typology

This fragment could belong to the lower frontal part of a sculpture in the round made of wood covered with bronze sheets attached to it by nails, as in the case, for example, of the above-mentioned falcon's sculpture from Hierakonpolis.

19.2.8. A composite riveted object (stand?) (Figs 19.27–19.29)

Two bronze sheets fragments may be ascribed to this object. Both fragments have equidistant perforations along its only straight edge. They were apparently attached to one another by nails and fixed together on a wooden plank.

1. *Inventory Nos*: MATY No. 14823-1; IMJ Lab. No. 16740; IAA No.1996-3498 (**Figs 19.27** [left]–**19.28** [top left and bottom right]).

Dimensions: Folded: 18 × 10 cm. Open: L 27 cm; W 19 cm; T 0.05 cm.

Method of manufacture: Cold work or hammering.

Workmanship: Good.

Technical details: Three small additional fragments are still attached on its "corners" by rivets.

Preservation: Fragmentary.

Metal analysis: See below, § 19.3.2, and **Table 19.1**, no. 3.

Description

A "trapezoidal" sheet with two surviving edges: one of the shorter sides ends with a folded straight strip, while the lower edge is curved like an arch. The edge of that curve was created by an additional sheet fragment attached with two lines of rivets. This curve of the lower edge is intentional since it has also a folded rim. This curve suggests that the complete object had a rounded empty area with a diameter of *c.* 22 cm. Along the straight folded strip (**Fig. 19.28** [bottom right]) are five perforations randomly distributed as on the next fragment.

2. *Inventory Nos:* MATY 14836-6; IMJ Lab. 16850; IAA 1996-3504 (**Figs 19.27** [right]–**19.28** [top right and bottom left]).

Dimensions: Folded: 13 × 12.5 cm. Open: L 24.7 cm; W 17.7 cm; T 0.05 cm.

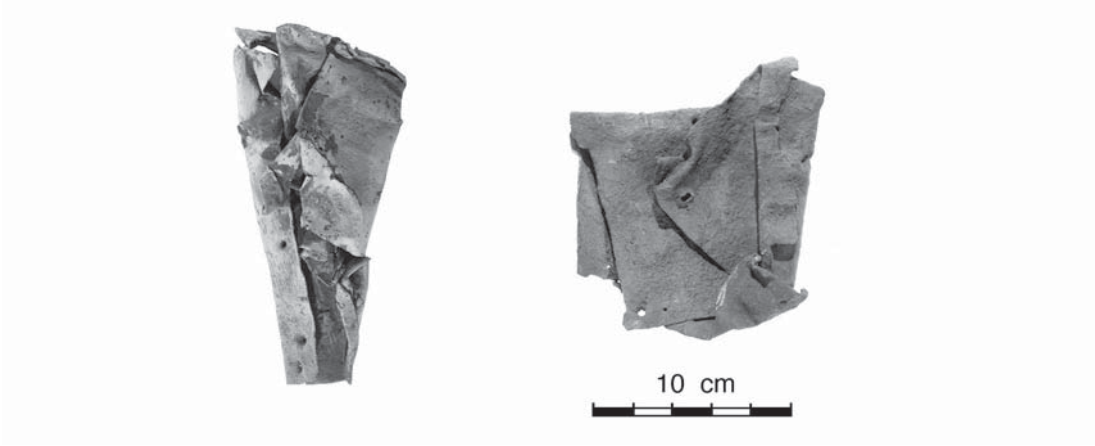


Fig. 19.27. Two fragmentary bronze sheets, before unfolding and cleaning (F.14823-1 [left] and F.14836-6 [right]).

Method of manufacture: Cold work or hammering.

Workmanship: Good.

Technical details: The sheet has altogether twelve perforations, eight large and four small, including five irregularly distributed along the straight edge and eight randomly spread over its surface.

Preservation: Fragmentary.

Metal analysis: See below, § 19.3.2, and **Table 19.1**, no. 2.

Description

A trapezoidal sheet with one edge. Twelve small identical circles with a diameter of 1.4 cm are spread along the lines of folding of the sheet. It seems that they were made by hammering with a chisel with a rounded section during the folding operation of this fragment. Along the straight edge are five perforations randomly distributed; they are exactly at the same position as the five perforations appearing on the edge of the previous fragment.

Typology of the composite object

The two fragments belong to one single composite object. The first one, with a curved edge and folded strip, may have been the upper face of this composite object. The second one may have been an adjacent vertical side, since it seems that they were both connected by nails and attached together to a wooden plank at an angle of 90° from one another. **Fig. 19.29** illustrates this arrangement of the two fragmentary bronze sheets and suggests a possible reconstruction of the original object. If so, it is conceivable that the rounded opening in the upper surface – that has survived with a curvilinear outline on one fragment – supported a metallic vessel in the way attested by a 6th Dynasty offering table from Abydos,[62] or by a Third Intermediate Period stand for *ḥs*-vessels [W14] from Deir el-Bahri.[63]

[62] Radwan 1983, p. 62, pls C:160 and 32:160.
[63] Radwan 1983, p. 174, pls 87, 89.

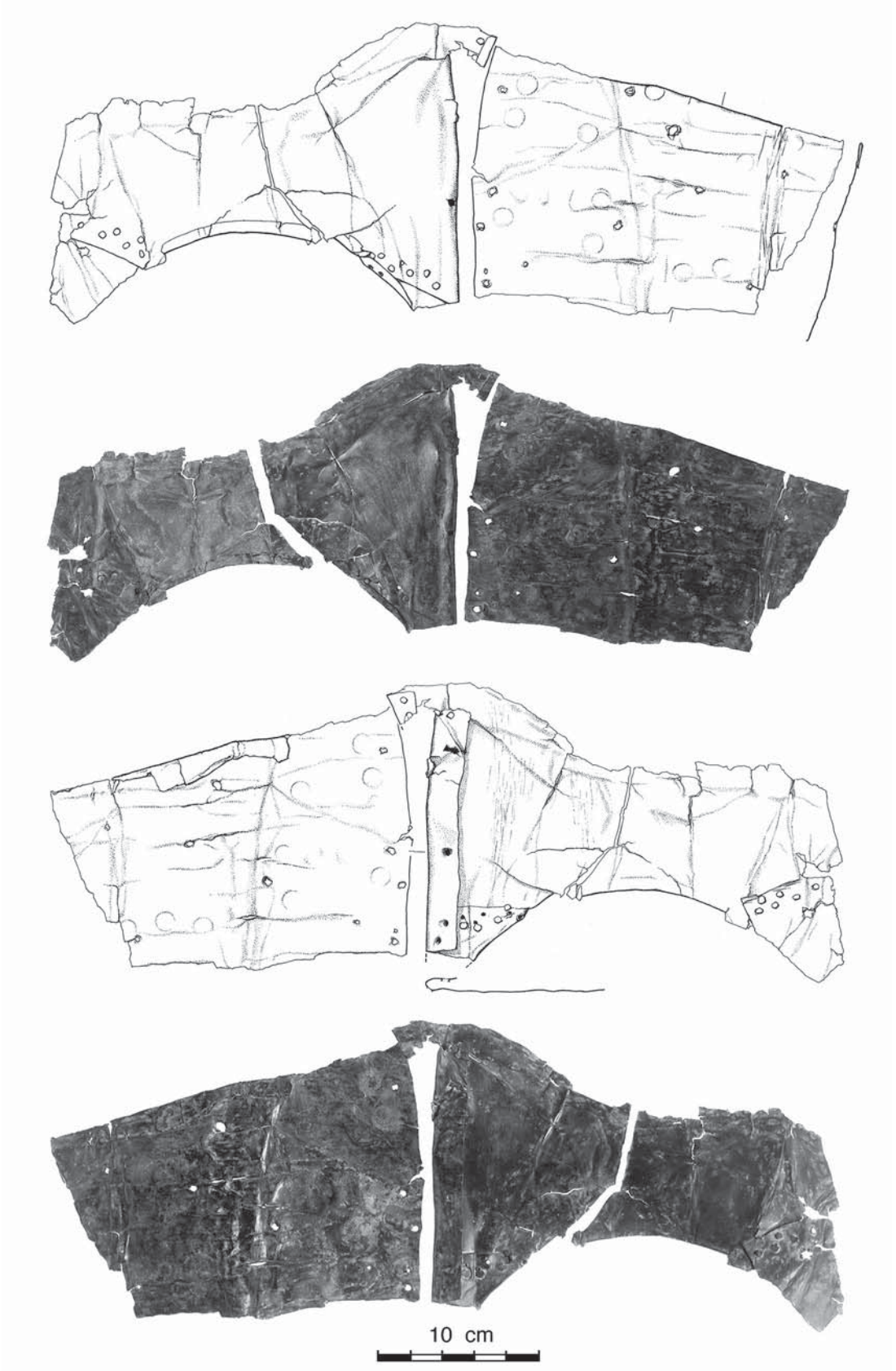


Fig. 19.28. Fragmentary bronze sheets F.14823-1 (top left and bottom right) and F.14836-6 (top right and bottom left), after unfolding and cleaning.

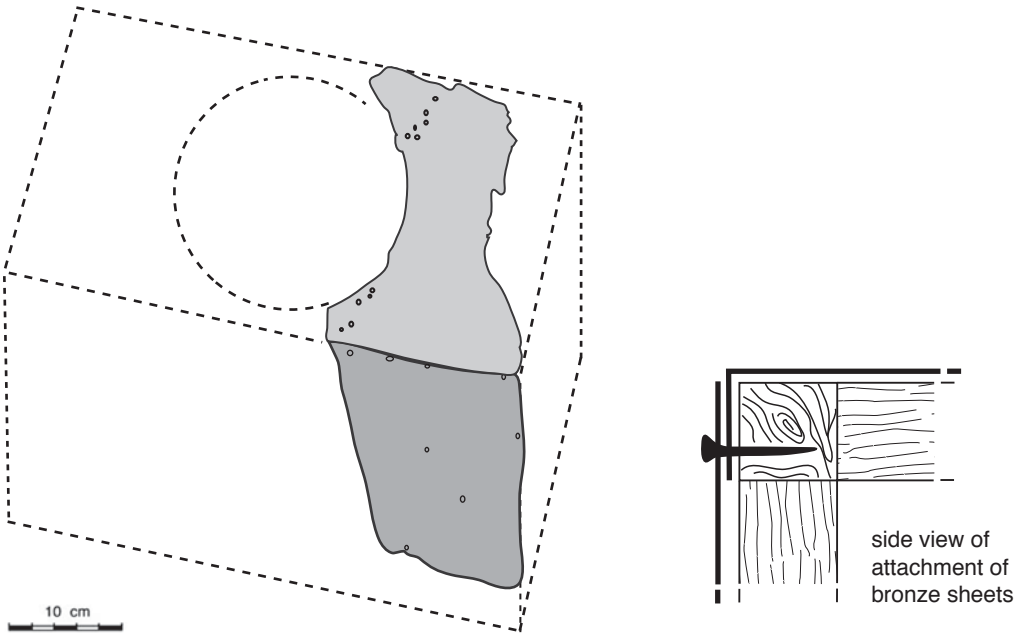


Fig. 19.29. Suggested reconstruction of the arrangement of the two fragmentary bronze sheets of **Fig. 19.28**.

19.3. Analysis of the metals *(S. Shalev)*

19.3.1. Analytical process

The surface metal composition of the objects comprising the hoard from Tel Yarmuth was analysed with a NITON portable ED-XRF. The goal was to perform non-destructive surface analyses without any penetration or further cleaning of the artefact's surface in order to reveal some of the original remaining solid metal. Therefore, we prepared a protocol for trying to reach results that would reflect as close as possible the original metal by analysing the cleaned or un-cleaned original surface which is now, after being left for several thousands of years in the ground, fully or partially corroded.

Due to these sampling restrictions, the following analytical protocol was applied: each metal piece was analysed in at least four, and in most cases six different points on its surface. If all the results were relatively similar (that is, not more than 10 per cent difference), the mean value was retained. If the analyses made at different points gave results with significant differences (of more than 10 per cent), it was assumed that these differences are caused mainly by the different state of corrosion on the surface of the object. In such cases, we selected the results that have the lowest values of iron as reflecting at best the original metal content. The detailed results for each of the pieces of metal analysed are presented in **Table 19.1**. **Table 19.2** lists the cases when significant differences in the corrosion of a single object were detected. In these cases, we used the iron values as markers of more intensive

No.	Inv. No	Object	Surface Condition	Analysis No.	Cu	Sn	As	Sb	Pb	Ni	Fe	Au	Ag	Zn	Bi	Co
1	F.14836-1	Inscribed plaque Fig. 19.8	Treated corrosion/cleaned	2337	96,312	2,737	0,375	0,019	0,025	0,021	0,411	< Lod	< Lod	0,028	< Lod	0,022
2	F.14836-6	Riveted object Figs 19.27–28	Treated corrosion	1849	98,428	0,682	0,467	0,02	0,039	0,03	0,251	< Lod	< Lod	0,077	< Lod	< Lod
3	F.14823-1	Same Figs 19.27–28, top left	Treated corrosion	1853	92,878	5,625	0,545	0,03	0,456	0,03	0,345	0,051	< Lod	0,038	< Lod	< Lod
4	F.14836-13	Edgeless sheet Figs 19.19–20	Clean	1861	96,953	2,551	0,223	< Lod	< Lod	< Lod	0,248	< Lod	< Lod	< Lod	< Lod	< Lod
5	F.14836-9	Same Fig. 19.18	Treated corrosion	1862	94,001	5,059	0,129	< Lod	< Lod	0,031	0,725	< Lod	< Lod	< Lod	< Lod	< Lod
6	F.14836-10	Offering table Fig. 19.14	Corrosion	1868	94,884	4,324	0,257	0,017	0,149	0,022	0,311	< Lod	< Lod	< Lod	< Lod	< Lod
7	F.14836-7	Edgeless sheet Fig. 19.17	Treated corrosion	1871	93,671	5,289	0,546	< Lod	0,134	0,035	0,237	0,039	< Lod	< Lod	< Lod	< Lod
8	F.14836-8	Composite sculpture(?) Figs 19.24–25 top	Corrosion	1875	93,009	5,187	0,57	< Lod	0,148	< Lod	0,921	< Lod	< Lod	< Lod	< Lod	< Lod
9	F.14836-4	Same Fig. 19.24–25 bottom	Corrosion	1878	92,336	5,583	0,598	0,019	0,14	0,023	1,14	0,059	< Lod	< Lod	< Lod	< Lod
10	F.14836-2	Socketed hoe Fig. 19.11	Treated corrosion	1882	87,142	7,721	0,658	0,15	3,877	0,036	0,267	0,061	< Lod	< Lod	< Lod	< Lod
11	F.14836-15	*Cf.* axle's cap Figs 19.21:4, 19.22:4	Treated corrosion	1885	88,516	10,38	0,465	< Lod	0,089	0,079	0,305	0,067	< Lod	< Lod	< Lod	< Lod
12	F.14836-14	Axles's cap Figs 19.21:3, 19.22:3	Treated corrosion	1892	80,585	10,985	0,351	0,05	7,283	0,05	0,45	< Lod	< Lod	< Lod	< Lod	< Lod
13	F.14836-12	Same Figs 19.21:2, 19 :22:2	Treated corrosion	1893	82,334	15,197	0,658	< Lod	0,807	0,039	0,686	0,038	< Lod	< Lod	< Lod	< Lod
14	F.14836-11	Same Figs 19.21:1, 19.21:1	Treated corrosion	1895	82,648	15,152	0,38	0,022	0,957	< Lod	0,742	< Lod	< Lod	< Lod	< Lod	< Lod
15	F.14836-5	Composite sculpture(?) Fig. 19.26	Treated corrosion	1901	83,354	15,051	0,624	0,04	0,025	0,037	0,741	0,033	< Lod	< Lod	< Lod	< Lod
16	F.14836-3	Fitting component Fig. 19.12	Clean	1904	84,807	14,072	0,464	< Lod	0,095	0,025	0,436	0,028	< Lod	< Lod	< Lod	< Lod

Table 19.1. Chemical composition of the metal objects from the Tel Yarmuth hoard of Egyptian bronzes (Lod = Limit of detection).

No.	Arch No	Object	Surface Condition	Analysis No.	Cu	Sn	As	Sb	Pb	Ni	Fe	Au	Ag	Zn	Bi	Co
1	F.14836-1	Inscribed plaque	Treated corrosion/cleaned	2337 (front)	96,312	2,737	0,375	0,019	0,025	0,021	0,411	< Lod	< Lod	0,028	< Lod	0,022
			Treated corrosion/less cleaned	*2332 (back)*	*94*	*4,137*	*0,674*	*0,021*	*0,041*	*0,017*	*0,895*	*< Lod*	*< Lod*	*0,114*	*< Lod*	*0,014*
3	14823-1	Riveted object	Treated corrosion	1853	92,878	5,625	0,545	0,03	0,456	0,03	0,345	0,051	< Lod	0,038	< Lod	< Lod
			High corrosion	*1855*	*87,994*	*7,981*	*0,743*	*0,034*	*1,141*	*0,032*	*1,733*	*< Lod*	*< Lod*	*0,13*	*< Lod*	*< Lod*
5	F.14836-9	Edgeless sheet	Treated corrosion	1862	94,001	5,059	0,129	< Lod	< Lod	0,031	0,725	< Lod	< Lod	< Lod	< Lod	< Lod
			High corrosion	*1863*	*89,499*	*7,84*	*0,365*	*< Lod*	*< Lod*	*< Lod*	*2,14*	*< Lod*	*< Lod*	*0,062*	*< Lod*	*< Lod*
7	F.14836-7	Edgeless sheet	Treated corrosion	1871	93,671	5,289	0,546	< Lod	0,134	0,035	0,237	0,039	< Lod	< Lod	< Lod	< Lod
			High corrosion	*1872*	*89,767*	*8,174*	*0,52*	*< Lod*	*0,153*	*< Lod*	*1,147*	*0,061*	*< Lod*	*< Lod*	*< Lod*	*< Lod*
12	F.14836-14	Axle's cap	Treated corrosion	1892	80,585	10,985	0,351	0,05	7,283	0,05	0,45	< Lod	< Lod	< Lod	< Lod	< Lod
			Treated corrosion	*1889*	*78,973*	*17,351*	*0,491*	*< Lod*	*1,314*	*< Lod*	*1,562*	*0,029*	*< Lod*	*0,07*	*< Lod*	*< Lod*
			Treated corrosion	*1890*	*79,387*	*12,227*	*0,127*	*0,044*	*6,766*	*0,035*	*1,127*	*0,028*	*< Lod*	*0,069*	*< Lod*	*< Lod*

Table 19.2. Same as Table 19.1, highlighting the cases when significant differences in the corrosion of a single object were detected. Higher surface corrosion is marked in italics.

(marked in italics in **Table 19.2**) and less intensive surface corrosion on the same object, assuming that in the original metal the quantity of iron was stable and, therefore, that any dramatic increase in iron quantities (and maybe the appearance of the zinc traces as well) reflects probably an addition of iron oxide caused by the imbedding into the soil during the corrosion process. **Table 19.2** shows that different states of corrosion, marked mainly by a difference in iron quantity, cause significant variations in the relative amounts of the major alloying element, resulting in a marked increase in tin values, possibly some rise in arsenic content and, sometimes, fluctuations in lead values as well. The results shown in **Table 19.1** represent as much as possible the less corroded surface of the analysed object and as close as possible the probable relative quantities of the original metal, not present anymore on the existing surface, without damaging the preserved original surface.

Taking into consideration the above sampling restrictions, the following protocol of analysis was applied: Each piece was analysed at four to six different points on its surface (with a penetration depth of circa 1 micron) and each point was exposed on an area of 8 mm diameter for 30 to 60 seconds. The amount of X-rays photons of all metal elements was exited mainly in the range between 5 to 35KeV (=K lines of Fe, Co, Ni, Cu, Zn, As, Ag, Sn, Sb and L lines of Au, Pb, Bi). All the retrieved results for each analysis were then normalised to 100 weight percent (Wt per cent), assuming that it reflects pure metal elements only. The analyses dealt only with surface corrosion (that is, mineralisation of the elements of the pure metal) in different intensity and did not measure light elements, such as oxygen and carbon, that are part of the mineralisation of the metallic elements during corrosion, since these elements cannot be detected with the XRF due to their attenuation in air environment.

19.3.2. Results

The major questions regarding the metallurgy of this hoard and its relevancy to the archaeological interpretation were:

1. Does the metal composition of the objects comprising the hoard show a technological homogeneity of the metal (alloys and impurities)?
2. To what stage of the history of metallurgy can we ascribe the metal composition, and does it fit with the proposed origin (Egypt) and dating (13th–early 12th century BCE) of the hoard?
3. Due to the fragmentary state of some metal pieces, could the compositional results imply with a high probability that some of the pieces belonged originally to a same object, or to different objects?
4. Can we develop a proper analytical protocol that would enable us to draw some conclusions about the original composition of the metal by optimising the surface analyses and by minimising the quantitative alteration effect of the corrosion, of which some traces remain on the surface of the object even after cleaning?

The results of the analyses are presented in **Table 19.1**. It appears that all the 16 analysed pieces of metal belong to the same compositional metal "horizon" of copper-base metal

alloyed with tin. The variations in the amount of tin reflect mainly the state of preservation (see **Table 19.2**) and, when analytically "cleaned" as much as possible (see **Table 19.1**), they show distinct groups of different tin alloys (marked by different colours in **Table 19.1**) in accordance to their typology:

- The fragmentary decorated plaque (**Fig. 19.8**; **Table 19.1**, no. 1, coloured in pink) is cast and the decorated front side is polished and well treated after casting. The metal composition of this object fits in general with the rest of the hoard (that is, tin bronze with some arsenic and low lead). The major ratios of elements clearly show that the composition of this item differs from all the other items of the hoard by the relatively very low amount of tin (less than 3Wt per cent) and some traces of cobalt, which is unique to this piece.
- All the metal sheet pieces, including those of the offering table (**Figs 19.14**, **19.16–19.20**), the composite sculpture (**Figs 19.24–19.25**) and the composite riveted object (**Figs 19.27–19.28**; **Table 19.1**, nos 3–9, coloured in green), are made of low tin bronze of no more than 5.6 per cent tin. All these pieces contain a similar amount of arsenic (up to 0.6 per cent) and comparatively low amount of lead (no more than 0.15 per cent). This composition, and especially the relatively low amount of lead, is typical of tin bronzes suitable to be forged and annealed in order to reach their final shape and hardness properties, as opposed to large and thick casts that are usually made of higher amounts of tin and more lead to make the cast easier, and which are usually left as cast without significant hammering.
- The hoe (**Fig. 19.11**; **Table 19.1**, no. 10, coloured in light blue) is made with medium/high range of tin (close to 8 per cent), a similar amount of arsenic (presenting mainly a similar metal source and period material as all the rest) and 4 per cent of lead. This composition makes this object suitable for a more complex cast, and does not affect the additional cold work (hammering and annealing) especially in the blade area.
- Items Nos 11 to 16 in **Table 19.1** (coloured in light orange) are all made of optimal high tin bronze (10–15 per cent), traces of arsenic similar to above, and in most cases, a low amount of lead (less then 1 per cent). Only one object (no. 12) has an unexplained high amount of lead (7 per cent). All these items are thicker than the first group and were probably used for prestige objects that probably were finely shaped by hammering and annealing.

19.3.3. Conclusion

The whole group of metals from the Yarmuth hoard is made of tin bronze with traces of arsenic. This is a common kind of alloy in the Late Bronze Age, when all copper-based metals were mixed with tin and when shipwrecks cargoes like the Uluburun and Cape Geledonia contained copper and tin ox-hide shaped ingots in a 10 to 1 ratio.[64] The presence of traces of arsenic in all object could point to a single source of copper, which could

[64] See Shalev 2007, p. 136 for short summary and references.

well be Egyptian.[65] In that respect, the answers to the first and second questions formulated above are positive: the metal composition of the objects comprising the hoard show indeed a technological homogeneity which agree with the proposed origin (Egypt) and dating (13th–early 12th century BCE) of the hoard.

Among the metal fragments, three major subgroups can be distinguished on the basis of the relative amount of tin. They indicate a direct connection between material, shape and production mode and suggest that some objects have been broken into pieces, for example, the offering table (**Figs 19.14**, **19.16–19.20**), the axle's cap (**Figs 19.21–19.23**) and the composite sculpture (**Figs 19.24–19.25**).

As for the question concerning the suitability of the analytical protocol applied in this study, it appears that surface analyses of metal corrosion can indeed allow the identification with high probability of the original metal using a non-destructive analytical mode.

19.4. Discussion (*B. Brandl and P. de Miroschedji*)

The analysis of the Tel Yarmuth hoard raises three major questions. They concern the nature of the hoard, the origin of the objects it is comprised of and the reason why it was discovered in the lower city of Yarmuth.

19.4.1. The nature of the hoard

19.4.1.1. *Origin and date*

From the fragmentary state of most of its components, it could be concluded *prima facie* that the hoard is actually a random collection of objects gathered by a metallurgist for later recycling of the metal.[66] Such a proposition, however, can be rejected straightaway in view of the homogeneity of the entire group of objects, both in terms of their origin – all are Egyptian – and of their dating. Indeed, with the exclusion of a few objects for which no precise date can be proposed (that is, the supposed fragments of an offering table **Figs 19.14, 19.16–19.20**), all the other objects can be dated:

– either between the late 18th and the early 20th dynasty, that is, between the late 14th and the early 12th century BCE; this is the case for the fragmentary decorated plaque (**Fig. 19.8**), the revetment sheets possibly belonging to composite sculptures (**Figs 19.24–19.25**) and to a riveted stand (**Figs 19.27–19.28**);

[65] The determination of the chemical composition of a metal is insufficient to trace metal ore sources, especially in the Late Bronze Age when the Eastern Mediterranean experienced an intense circulation of copper and tin ingots (Shalev 2007, p. 136). Currently, the only analytical way to try to identify copper sources is by measuring the typical ratios between the different stable lead isotopes – and that will be a good reason for further study of the material.

[66] In antiquity, itinerant merchants used to collect all kinds of bronze objects of various origins in order to sell them to metallurgists, who thus acquired for recycling heteroclite collections of bronze objects of various provenance and periods. For examples of such collections discovered in ancient wrecks off the Carmel coast, see Misch-Brandl *et al.* 1985, p. 10 [No. 6] (Final publication by B. Brandl in preparation).

– or between the 19th and the early 20th Dynasty, that is, between the 13th and the early 12th century BCE, as exemplified by the socketed hoe blade (**Fig. 19.11**), the fitting component which may have supported a Ramesside vessel (**Figs 19.12–19.13**) and the axle's cap of a wheeled furniture (**Figs 19.21–19.23**).

The latter date is actually the one that can be reasonably ascribed to the objects composing the hoard since it is the date during which all of them could have coexisted.

This homogeneity of the hoard in terms of origin and date leads to the conclusion that the entire group had the same provenance, and therefore that it was gathered as a result of a looting.

19.4.1.2. *Function*

This conclusion is further strengthened by another observation: the hoard is also homogeneous from the point of view of the function of its components, since seven items out of eight can be identified as cultic paraphernalia. They are:

- The plaque which decorated a *naos* (**Fig. 19.8**);
- the fitting component which was part of a tripod or tetrapod stand (**Figs 19.12–19.13**);
- the casing of an offering table (**Figs 19.14, 19.16–19.20**);
- the axle's cap of a wheeled furniture which could belong to the moving base of a cultic object (**Figs 19.21–19.23**);
- two items which may have belonged to composite sculptures (**Figs 19.24–19.25**);
- and one item that was identified as a riveted stand (**Figs 19.27–19.28**).

The only item of the hoard that looks *a priori* as an exception is the socketed instrument of **Fig. 19.11**, whose equivalents are usually identified as a hoe, that is, a garden or field implement, or an adze, that is, a carpenter's tool – in both cases as a tool for practical daily use. However, such straightforward identifications do not necessarily apply to all objects of this kind because there are many examples where socketed hoes or adze blades appear to have been used in a cultic context. One of the socketed hoe blades of the longer sub-type excavated at Tell el-Amarna hints to this possibility as it is decorated as part of the casting with double lines along its sides.[67] That this decoration betrays the ceremonial use of this object is suggested by a comparison with several socketed hoe blades (also of the longer sub-type) from several Eastern Mediterranean and Near-Eastern sites which bear cultic inscriptions. A socketed hoe blade found in the Stylianou Hoard from Enkomi in Cyprus bears three Cypro-Minoan syllabic signs.[68] At Ras Shamra-Ugarit, on the Syrian coast, four axes and one socketed hoe blade with cuneiform alphabetic dedicatory inscriptions were found in a hoard of 74 items, including a tripod;[69] all these items bear the inscription *rb khnm* "chief of the priests".[70] One socketed hoe blade from Mari on the Middle Euphrates dating to the Akkad Period is decorated with the divine determinative DINGIR, indicating

[67] Frankfort and Pendlebury 1933, pl. 47:1 [on left].
[68] Karageorghis 1959, p. 338, fig. 2 [center].
[69] Schaeffer 1929, pp. 295–296, pl. 60:1–4; 1956, pp. 259, 265–269, figs 229, 230 [right], 231 and 233:2,5,7,14 and figs 230 [left] and 232:2 – respectively.
[70] Dhorme 1930, pp. 572–573. On this reading see also Bordreuil 1998.

its use in a cultic context.[71] This suggestion is corroborated by the discovery at Tell ed-Der in Babylonia of a Middle Bronze Age (Old Babylonian) socketed hoe blade inscribed with the name of the goddess Gula.[72] Further east at Susa, an Early Dynastic III/Old Akkadian socketed hoe blade of the long type in copper has an Akkadian inscription "*É kiši dim-ma*",[73] which might indicate a temple estate.

On the basis of these examples of socketed hoe blades with a cultic function, it can be reasonably proposed that the exemplar from Yarmuth may have had a similar use, especially since it was found in a hoard in which all the other items had a cultic significance.

This proposition raises the question of the kind of activity for which such tools were used in a cultic context. To answer this question, we must return to the finds from Tell el-Amarna. The above-mentioned decorated socketed hoe blade from that site was published together with two bronze knives with a casted decorated handle.[74] One of these, with a curved handle and described as a saw, has a parallel, also from Amarna, which was identified as a butcher's knife.[75] It is therefore tempting to suggest that the decorated socketed hoe blade was also connected to butchery, more precisely the killing, or at least the paralysing, of a sacrificial animal. This suggestion is supported by several testimonies of the use of axes and hammers to strike a bovine before slitting their throat during sacrificial rituals. This practice in Mycenaean context can be deduced from a passage in the Odyssey.[76] It is well attested in Roman context for severing the spine of the bull before its killing[77] and there are also ethnoarchaeological observations of similar sacrificial rituals performed in Southeast Asia.[78]

According to an alternative suggestion a hoe was used to stab the muscle of a bull's front forelimb during its amputation.[79]

To sum up, the Tel Yarmuth socketed hoe blade did not serve as a hoe or an adze and could well have been a cultic tool used to strike a bull or to stab its foreleg muscle, in the framework of a sacrificial ritual. In this case, it could be concluded that the *entire* hoard of Yarmuth was functionally homogeneous and composed *only* of objects of cultic character.

19.4.2. The provenance of the hoard

This conclusion leads to the assumption that these objects were plundered from an Egyptian temple. Such a temple, however, could not have existed at Yarmuth because the settlement of the final Late Bronze Age or Early Iron 1 (Stratum Acr-VI or Acr-V, respectively) was a small village unlikely to have sheltered an Egyptian temple. Hence, the objects of the Yarmuth hoard necessarily originate from another settlement. The only city in the

[71] Parrot 1955, p. 195, pl. 17:1.
[72] De Meyer 1978, p. 157 [No. 5], pl. 28:8.
[73] Tallon 1987, n° 526, vol. 1: p. 172, vol. 2: p. 54.
[74] Frankfort and Pendlebury 1933, p. 68 [30/457-458], pl. 47:1 [top].
[75] Aldred 1973, p. 214, discussion for object No. 156; Doll 1982, pp. 50–51 [No. 21].
[76] Whittaker 2007, p. 179 and n. 12.
[77] Aldrete 2014.
[78] Goudineau 2013, p. 1414, fig. 12.
[79] Gordon and Schwabe 1998, pp. 463–464.

Shephelah that did possess a temple important enough to receive royal gifts such as the bronze plaque (**Fig. 19.8**) is Tel Lachish, located some 20 km – less than a day's march – to the south of Yarmuth. There the Egyptian temple excavated in Area P is ascribed to Level VI whose period of occupation – 13th–early 12th century BCE[80] –is contemporary with the date ascribed to the Yarmuth hoard.

The city of Level VI was destroyed at the beginning of the 20th Dynasty, or early 12th century BCE. Following this destruction, there was an occupation gap during the Iron I period. The first settlement on top of that destruction was an unfortified Judean settlement of Level V erected during the Iron IIA period, in the 10th or the 9th century BCE. The excavators have observed that several pits – some sealed by plastered floors of the Judean Fort of Level V – had been dug into the destruction debris of the temple. It was also noted that some architectural elements from the temple of Level VI have been later incorporated into walls of Level V.[81] Hence, it is clear that after the destruction of the temple of Level VI, when its remains were still easily accessible and the wealth of its content well remembered among the inhabitants of the area, looting activities took place there in search of valuable objects, especially metallic objects. Since the latter were valued mainly for the metal, they were brutally retrieved from among the debris, and most were broken in the process.

In light of these observations, it can be suggested that the metal items comprising the hoard of Yarmuth originate from the temple of Lachish Level VI and that they were retrieved by a team of local looters sometime during the period of abandonment of Lachish which followed the destruction of this temple and preceded the establishment of the Judean Fort of Level V, that is, sometime during the late 12th–11th century BCE, a time span corresponding to Strata Acr-IV and Acr-III at Tel Yarmuth (**Table 24.1**).

Our hypothesis may be supported by another hoard found at Lachish in Area GE that seems to reflect the same phenomenon. Eight bronze objects were found in Locus 4164 identified by the excavators as the fills of the Level VI assumed gate, sealed by the destructions of the same Level. The hoard includes a fragmentary bronze plaque bearing a cartouche of Ramesses III.[82] The hoard seems to postdate the destruction of Level VI, but the argumentation for this observation deserves a separate discussion.

19.4.3. The hiding of the hoard at Tel Yarmuth

It remains to explain how the hoard came to be hidden in the lower city of Tel Yarmuth.

The fact that none of the items composing the hoard is complete and that most – with the exceptions of the fitting component (**Figs 19.12–19.13**) and the hoe blade (**Fig. 19.11**) – had been fragmented suggests that the original objects were intentionally divided in pieces, presumably in order to distribute equal shares between the looters on the spot of the looting. This is especially clear in the case of the bronze plaque, since much effort was invested

[80] Ussishkin 2004a, pp. 215–281.
[81] Ussishkin 2004b, pp. 774–776.
[82] Ussishkin 2004c, pp. 1584–1588.

to cut it into pieces with a chisel that has left its marks all around the edge of the surviving fragment (see **Fig. 19.8**).

The small dimensions of the folded items (none exceed 20 cm in length) and the way the metal sheets have been tightly folded in order to minimise their size, further indicate the intention to compact the hoard as much as possible in order to fit it into a bag easily carried over some distance. Indeed, the position of the objects when brought to light (see above, § 19.1.3) confirms that they were piled up inside a bag made of some kind of perishable material.

It follows from these observations that the owner of the hoard may have been one of the looters who divided between them the objects retrieved from the ruined Egyptian temple of Lachish Level VI. It can be further suggested that he was an inhabitant of the settlement existing then on the acropolis of Yarmuth, some 500 m uphill from the place where the hoard was hidden.

The date ascribed to the objects of the hoard and that assigned on stratigraphic grounds to the looting that took place in the ruins of the Egyptian temple of Lachish Level VI are consistent with the observations formulated above (§ 19.1.2) concerning the location of the hoard in the lower city of Yarmuth: the hoard was found hidden among the stones of Hillock 4 formed by the ruins of the Early Bronze Age Palace B1, a hillock which existed already in the second half of the second millennium BCE. Hence, the hiding of the hoard took place at Yarmuth after Stratum Acr-V, which is *grosso modo* contemporary with Lachish Level VI, at a time corresponding to that of Stratum Acr-IV (end of 12th century), or Acr-III (11th century), that is, during the Iron IB period. The looter probably hid his share of booty in wait for selling it out to a metallurgist.

ACKNOWLEDGEMENT. The writers are indebted to the following colleagues for their kind collaboration in the preparation of this study: Prof. Orly Goldwasser (Hebrew University of Jerusalem) who made a preliminary study of the inscribed bronze plaque; Mrs Osnat Misch-Brandl assisted in the connections with the Israel Museum's Chemistry Laboratory; Mrs Marina Rassovsky, then Director of the Chemistry Laboratory in the Israel Museum, Jerusalem, who carried out the cleaning, unfolding and restoration of the items composing the hoard. The objects were drawn by the late Daniel Ladiray (then of the Centre de recherche français à Jérusalem) and photographed by Mr Ilan Sztulman. Some later reconstructions were made by Mrs Carmen Hersch under the guidance of Baruch Brandl. The field photographs and the plans are by Pierre de Miroschedji.

REFERENCES

ALDRED, C.
1973 *Akhenaten and Nefertiti*. London: Thames and Hudson.

ALDRETE, G. S.
2014 "Hammers, Axes, Bulls, and Blood: Some Practical Aspects of Roman Animal Sacrifice," *The Journal of Roman Studies* 104: 28–50.

ALLEN, J. P.
2000 *Middle Egyptian: An Introduction to the Language and Culture of Hieroglyph*s. Cambridge: Cambridge University Press.

BOLSHAKOV, A. O.
2001 "Offering Tables," in *The Oxford Encyclopedia of Ancient Egypt*, Vol. 2, edited by D. B. Redford, pp. 572–576. Oxford: Oxford University Press.

BORDREUIL, P.
1998 "Le premier mot de l'herminette découverte à Ras Shamra en 1929: outil ou personnage ?" in *Und Mose schrieb dieses Lied auf. Studien zum Alten Testament und zum Alten Orient. Festschrift für Oswald Loretz zur Vollendung seines 70. Lebensjahres mit Beiträgen von Freunde, Schülern und Kollegen* (Alter Orient und Altes Testament 250), edited by M. Dietrich et I. Kottsieper, pp. 127–132. Münster: Ugarit-Verlag.

BRUNTON, G.
1948 *Matmar: British Museum Expedition to Middle Egypt 1929–1931*. London: B. Quaritch.

CALVERLEY, A. M. and GARDINER, A. H.
1935 *The Temple of King Sethos I at Abydos*. Vol. II. *The Chapels of Amen-Ré, Ré-Harakhti, Ptah, and King Sethos*. London and Chicago: The Egypt Exploration Society and The University of Chicago Press.

CARTER, H.
1933 *The Tomb of Tut-Ankh-Amen: Discovered by the late Earl of Carnarvon and Howard Carter,* Vol. III. London, Toronto, Melbourne, and Sydney: Cassel & Co.

CHEVRIER, H.
1927 "Rapport sur les travaux de Karnak (Novembre 1926 – Mai 1927)," *Annales du Service des Antiquités de l'Égypte* 27: 134–153.

DE MEYER, L.
1978 "Documents épigraphiques paléo-babyloniens provenant des sondages A, B et D," in *Tell ed-Dēr* II, édité par L. De Meyer, pp. 147–184. Leuven: Peeters.

DHORME, P.
1930 "Un nouvel alphabet sémitique," *Revue Biblique* 39: 571–577.

DOLL, S. K.
1982 "The Farm and Barnyard," in *Egypt's Golden Age: The Art of Living in the New Kingdom 1558–1085 B.C.,* edited by E. Brovarski, S. K. Doll and R. E. Freed, pp. 44–51. Boston: Museum of Fine Arts.

ECKMANN, C.
2007 "Konservierung und technologische Erforschung der Figurengruppe von Pepi I, am Ägyptischen Museum in Kairo," in *Begegnung mit der Vergangenheit: 100 Jahre in Ägypten: Deutsches Archäologisches Institut Kairo 1907–2007,* edited by G. Dreyer and D. Polz, pp. 100–113. Mainz: Ph. von Zabern.

EL-SAWI, A.
1979 *Excavations at Tell Basta: Report of Seasons 1967–1971 and Catalogue of Finds*. Prague: Charles University.

ENGELBACH, R. *et al.*
1915 *Riqqeh and Memphis* VI (Publication of the Egyptian Research Account and British School of Archaeology in Egypt 25). London: B. Quaritch.

ERMAN, A. and GRAPOW, H.
1982 *Wörterbuch der Ägyptischen Sprache* 5. Berlin: Akademie-Verlag.

FRANKFORT, H. and PENDLEBURY, J. D. S.
1933 *The City of Akhenaten* II: *The Northern Suburb and the Desert Altars. The Excavations at Tell el-Amarna During the Seasons 1926–1932* (Memoir of the Egypt Exploration Society 40). London: Oxford University Press.

GARDINER, A.
1973 *Egyptian Grammar: Being an Introduction to the Study of Hieroglyphs* (3rd ed., revised). Oxford: The Griffith Institute.

GORDON, A. H. and SCHWABE, C. W.
1998 "'Live flesh' and 'Opening-of-the-Mouth': Biomedical. Ethnological, and Egyptological aspects," in *Proceedings of the Seventh International Congress of Egyptologists,*

Cambridge, 3–9 September 1995 (Orientalia Lovaniensia Analecta 82), edited by C. J. Eyre, pp. 461–469. Leuven: Peeters.

GOUDINEAU, Y.
2013 "Ouvrages circulaires et rituels sacrificiels dans la péninsule indochinoise," *Comptes rendus de l'Académie des Inscriptions et Belles-Lettres,* juillet-octobre 2013: 1397–1417.

HAENY, G.
1981 *Untersuchungen im Totentempel Amenophis' III* (Beiträge zur Ägyptischen Bauforschung und Altertumskunde 11). Wiesbaden: Franz Steiner Verlag.

HANNIG, R.
1997 *Die Sprache der Pharaonen. Großes Handwörterbuch Ägyptisch–Deutsch (2800–950 v. Chr.)* (Kulturgeschichte der antiken Welt 64). Mainz-am-Rhein: Ph. von Zabern.

HEROLD, A.
2004 "Funde und Funktionen – Streitwagentechnologie im Alten Ägypten," in *Rad und Wagen. Der Ursprung einer Innovation: Wagen im Vorderen Orient und Europa* (Beiheft der Archäologische Mitteilungen aus Nordwestdeutschland Nr. 40), edited by M. Fansa and S. Burmeister, pp. 123–142. Mainz-am-Rhein: Ph. von Zabern.
2006 *Streitwagentechnologie in der Ramses-Stadt: Knäufe, Knöpfe und Scheiben aus Stein. Forschungen in der Ramses-Stadt* (Die Grabungen des Pelizaeus-Museums Hildesheim in Qantir – Piramesse, Band 3). Mainz-am-Rhein: Ph. von Zabern.

HÖLZL, R.
2002 *Ägyptische Opfertafeln und Kultbecken: Eine Form- und Funktionsanalyse für das Alte, Mittlere und Neue Reich* (Hildesheimer Ägyptologische Beiträge 45). Hildesheim: Gerstenberg Verlag.

KÁKOSY, L.
1980 "A Memphite Triad," *The Journal of Egyptian Archaeology* 66: 48–53.

KARAGEORGHIS, V.
1959 "Chronique des fouilles et découvertes archéologique à Chypre en 1958," *Bulletin de Correspondance Hellénique* 83: 336–361.

KITCHEN, K. A.
1979 *Ramesside Inscriptions: Historical band Biographical* II. Oxford: Blackwell.
1982 *Ramesside Inscriptions: Historical band Biographical* IV. Oxford: Blackwell.
1983a *Ramesside Inscriptions: Historical band Biographical* V. Oxford: Blackwell.
1983b *Ramesside Inscriptions: Historical band Biographical* VI. Oxford: Blackwell.

LACOVARA, P.
1999 "Catalogue entries: 151. Axe blade, 152. Adze blade," in *Pharaohs of the Sun: Akhenaten – Nefertiti – Tutankhamen,* edited by R. E. Freed, Y. J. Markowitz and S. H. D'Auria, p. 250. Boston-New York-London: Museum of Fine Arts, Boston, and Bulfinch Press.

MIROSCHEDJI, P. de
1990 "The Early Bronze Age Fortification System at Tel Yarmuth, an Interim Statement," *Eretz-Israel* 20 (Ruth Amiran Volume): 48*–61*.
1997 "Tel Yarmut, 1996," *Israel Exploration Journal* 47: 127–136.
2000 "Fouilles de Tel Yarmouth: résultats des 11e, 12e et 13e campagnes de fouilles (1996–1999)," *Comptes rendus de l'Académie des Inscriptions et Belles-Lettres,* janvier–mars 2000: 679–710.
2003 "The Late Early Bronze Age III Palace B1 at Tel Yarmuth: A Descriptive Summary," *Eretz-Israel* 27 (*H. & M. Tadmor Volume*): 153*–170*.
2013 "Fouilles de Tel Yarmouth : résultats des travaux de 2003 à 2009 (14e-18e campagnes)," *Comptes rendus de l'Académie des Inscriptions et Belles-Lettres,* avril-juin 2013: 759–796.

MISCH-BRANDL, O., GALILI, E. and WACHSMANN, S.
1985 "Finds from the Late Canaanite (Bronze) Period," in *From the Depths of the Sea*: *Cargoes of Ancient Wrecks from the Carmel Coast* (The Israel Museum Catalogue No. 263), edited by O. Misch-Brandl, pp. 7–11. Jerusalem: The Israel Museum.

NAVILLE, E.
1895 *The Temple of Deir el Bahari* I (Egypt Exploration Fund Memoir 13). London: B. Quaritch.
1897 *The Temple of Deir el Bahari* II (Egypt Exploration Fund Memoir 14). London: B. Quaritch.
PARROT, A.
1955 "Les fouilles de Mari, dixième campagne (Automne 1954)," *Syria* 32: 185–211.
PETRIE, W. M. F.
1891 *Illahun, Kahun and Gurob 1889–90*. London: D. Nutt.
1897 *Six Temples at Thebes, 1896*. London: B. Quaritch.
1905 *Ehnasya 1904* (Egypt Exploration Fund Memoir 26). London: B. Quaritch.
1917 *Tools and Weapons* (Publication of the Egyptian Research Account and British School of Archaeology in Egypt 30). London: B. Quaritch.
1927 *Objects of Daily Use: With Over 1800 Figures from University College, London* (British School of Archaeology in Egypt 42). London: B. Quaritch.
PETRIE, W. M. F. and BRUNTON, G.
1924 *Sedment* I (Publication of the Egyptian Research Account and British School of Archaeology in Egypt 34). London: B. Quaritch.
PIANKOFF, A. and RAMBOVA, N.
1955 *The Shrines of Tut-Ankh-Amon* (Egyptian Religious Texts and Representations, 2. Bollingen Series XL:2). New York: Pantheon Books.
PUSCH, E. B.
1993 "'Pi-Ramesse-geliebt-von-Amun, Hauptquartier Deiner Streitwagentruppen', Ägypter und Hethiter in der Delta-Residenz der Ramessiden," in *Antike Welt im Pelizaeus-Museum: Die Ägyptische Sammlung,* edited by A. Eggebrecht, pp. 126–143. Mainz-am-Rhein: Ph. von Zabern.
2000 "Doors – Statues – Musical Instruments? Large Scale Bronze Production and Casting at the Delta Residence of the Ramessides, Egypt," in *Studien zur Musikarchäologie* II (Deutches Archäologisches Institut Orient-Abteilung, Orient-Archäologie, Band 7), edited by E. Hickmann, I. Laufs and R. Eichmann, pp. 219–232. Rahden, Westf.: M. Leidorf.
RADWAN, A.
1983 *Die Kupfer- und Bronzegefäße Ägyptens*: *Von den Anfängen bis zum Beginn der Spätzeit* (Prähistorische Bronzefunde, Abteilung II, Band 2). München: C. H. Beck.
REHREN, T. and PUSCH, E. B.
2012 "Alloying and Resource Management in New Kingdom Egypt: the Bronze Industry at Qantir–Pi-Ramesse and Its Relationship to Egyptian Copper Sources," in *Eastern Mediterranean Metallurgy and Metalwork in the Second Millennium BC*, edited by V. Kassianidou and G. Papasavvas, pp. 215–221. Oxford and Oakville: Oxbow Books.
ROEDER, G.
1914 *Naos (Catalogue Général des Antiquités Égyptiennes du Musée du Caire Nr. 70001–70050)*. Leipzig: Breitkopf & Härtel.
RÖSSLER-KÖHLER, U.
1978 "Zur Datierung des Falkenbildes von Hierakonpolis (CGC 14717)," *Mitteilungen des Deutschen Archäologischen Instituts Abteilung Kairo* 34: 117–125.
SCHAEFFER, C. F.-A.
1929 "Les fouilles de Minet-el-Beida et de Ras Shamra (campagne du printemps 1929), Rapport sommaire," *Syria* 10: 285–297.
1956 "Corpus des armes et outils en bronze de Ras Shamra-Ugarit (1ère partie). Soixante-quatorze armes et outils en bronze avec dédicace au Grand-Prêtre d'Ugarit," in *Ugaritica III* (Bibliothèque archéologique et historique, tome 64, Mission archéologique de Ras Shamra tome 8), edited by C. F.-A. Schaeffer, pp. 251–275. Paris: P. Geuthner.

SCHEEL, B.
1989 *Egyptian Metalworking and Tools*. Aylesbury, Bucks: Shire Publications.
SHALEV, S.
2007 "A brief outline of nonferrous archaeometallurgy in Israel," *Israel Journal of Earth Sciences* 56(2–4): 133–138.
SHALEV, S. and NORTHOVER, P.
1988–89 "A Cast Bronze Door Hinge from Tel Lachish: An Archaeometallurgical Study". *Tel Aviv* 15–16: 197–205.
TALLON, F.
1987 *Métallurgie susienne, I, De la fondation de Suse au XVIIIe siècle avant J.-C.*, 2 volumes (*1: Catalogue, 2: Illustrations*), Paris: Éditions des Musées nationaux.
USSISHKIN, D.
2004a "Area P: The Level VI Temple," in *The Renewed Archaeological Excavations at Lachish (1973–1994)*, Vol. I (Tel Aviv University Sonia and Marco Nadler Institute of Archaeology, Monograph Series 22), edited by D. Ussishkin, pp. 215–281. Tel Aviv: Emery and Claire Yass Publications in Archaeology.
2004b "Area PAL: The Judean Palace-Fort," in *The Renewed Archaeological Excavations at Lachish (1973–1994)*, Vol. II (Tel Aviv University Sonia and Marco Nadler Institute of Archaeology, Monograph Series 22), edited by D. Ussishkin, pp. 768–870. Tel Aviv: Emery and Claire Yass Publications in Archaeology.
2004c "A Cache of Bronze Artefacts from Level VI," in *The Renewed Archaeological Excavations at Lachish (1973–1994)*, Vol. III (Tel Aviv University Sonia and Marco Nadler Institute of Archaeology, Monograph Series 22), edited by D. Ussishkin, pp. 1584–1588. Tel Aviv: Emery and Claire Yass Publications in Archaeology.
WAINWRIGHT, G. A.
1912 "Chapter IX: The Work at Meydum," in *The Labyrinth, Gerzeh and Mazghuneh* (Publication of the Egyptian Research Account and British School of Archaeology in Egypt 21), by W. M. F. Petrie, G. A. Wainwright and E. Mackay. London: B. Quaritch.
WEINSTEIN, J. M.
1973 *Foundation Deposits in Ancient Egypt*. PhD Thesis, University of Pennsylvania. Ann Arbor, Michigan and London: University Microfilms International.
WHITTAKER, H.
2007 "Sacrificial Practice and Warfare in Homer and in the Bronze Age," *Aegaeum* 28: 177–183.

Quatrième partie
ÉTUDES DIVERSES

CHAPITRE 20

NOTES ON THE ANIMAL REMAINS FROM THE ACROPOLIS OF TEL YARMUTH

Simon J. M. DAVIS
Laboratório de Arqueociências, DGPC, Lisbon

A comprehensive report on the animal remains from Tel Yarmuth, including the small collection found in the soundings on the acropolis, will be published at a later date.[1] Here is a brief description of some 170 bones identified and recorded from the acropolis.

In **Table 20.1** are the counts of teeth and bones from the acropolis soundings:

Period	Cattle	Sheep/Goat	(Sheep)	(Goat)	Pig	Equid	Fallow deer	Fox	Fish
Roman	3	37	*(5)*	*(6)*	2	–	–	–	–
Iron I	9	39	*(3)*	*(11)*	–	–	2	–	–
LB II	11	24	*(–)*	*(3)*	3	1	–	–	+
EB III	3	36	*(6)*	*(4)*	–	+	–	+	–

Table 20.1. Counts of teeth and bones from the soundings on the Tel Yarmuth acropolis.

The method of recording bones and teeth is described in Davis.[1] With so few animal remains in the acropolis it is not possible to draw many definite conclusions about the animal economy and its change from Bronze Age to Roman times. However, we can say that the animal economy was based primarily upon cattle, sheep, goat and pig. In this respect Yarmuth is little different from most sites in the Levant of the fourth and subsequent millennia BCE.[2] Equids were present too, and some hunting and fishing is attested by the presence of both fallow deer and fish bones. One interesting question of considerable cultural/religious importance is the extent to which pork was consumed. With only five remains of pig in the four periods discussed here at Yarmuth, little can be inferred that is of any relevance.

At Yarmuth (lower city) the percentages of caprines range from 84 per cent in the EB II to approximately 90 per cent in the EB III. In the acropolis this percentage in the Iron Age and Roman deposits is little different. Few caprine bones are easy to identify to species. Exceptions are metacarpals, metatarsals and astragali. Separation of these bones to species indicates that there were probably five sheep to every two goats in the Early Bronze Age at the lower city of Tel Yarmuth. Due to their richer milk and fine wool one might consider the sheep in some respects somewhat superior to the goat – today the Bakhtiari of Persia

[1] Davis, in prep.
[2] See for example Horwitz and Tchernov 1989; Grigson 1996.

consider the goat to be the "sheep of the poor".[3] We might therefore speculate that the high sheep to goat ratio at Yarmuth means that its inhabitants, or the pastoralists in the environs, were relatively wealthy. Note, however, that this ratio appears to have become reversed in the subsequent Iron Age and Roman deposits of the acropolis. This could (the samples are admittedly very small) reflect a decline in the status of Tel Yarmuth and/or general impoverishment of the region.



Fig. 20.1. Deer antler (K.10670-2, Sounding 2, Stratum Acr-V, L.1186 floor).



Fig. 20.2. Fragment of an antler (K.10607-1, Sounding 2, Stratum Acr-IB1, L.1179, floor).

[3] Digard 1981, p. 28.

REFERENCES

DAVIS, S. J. M. (in prep.)
"More Animal Bones from Tel Yarmouth: an Early Bronze Age Site in Israel".

DIGARD, J.-P.
1981 *Techniques des nomades Baxtyari d'Iran*. Cambridge: Cambridge University Press.

GRIGSON, C.
1996 "Plough and Pasture in the Early Economy of the Southern Levant," in *The Archaeology of Society in the Holy Land*, edited by T. E. Levy, pp. 245–268. London: Leicester University Press.

HORWITZ, L. K. and TCHERNOV, E.
1989 "Animal Exploitation in the Early Bronze Age of the Southern Levant: An Overview," in *L'urbanisation de la Palestine à l'âge du Bronze ancien* (Oxford, BAR International Series 527 [ii]), edited by P. de Miroschedji, pp. 279–296. Oxford: BAR.

CHAPITRE 21

MOLLUSC SHELLS FROM THE ACROPOLIS OF TEL YARMUTH

Daniella E. BAR-YOSEF MAYER
The Steinhardt Museum of Natural History and Institute of Archaeology,
Tel Aviv University

The excavations on the acropolis at Yarmuth yielded 49 shells and shell fragments. While this is a very small sample, its description may prove meaningful following additional research in the future.

21.1. MARINE SHELLS

The marine shell species present in the site include (**Table 21.1**):

- *Clanculus pharaonius*, a Red Sea gastropod (snail), usually found perforated and considered to have been used as a bead or decoration.
- *Phalium granulatum*, a common Mediterranean gastropod.
- *Hexaplex trunculus* and *Stramonita haemastoma*, are both common Mediterranean gastropods belonging to the family Muricidae. While similar shells were used in the Purple dye industry, some shells of this family were collected as dead specimens and brought into sites, possibly as a souvenir.
- *Tritia gibbosula*, a very common Mediterranean gastropod, often found with a natural perforation and thought to have been used as a bead or decoration.
- *Glycymeris nummaria* (previously known as *G. violacescens* or *G. insubrica*), the most common bivalve present on the Mediterranean beaches of Israel today.
- *Cerastoderma glaucum*, a common Mediterranean bivalve. It and *G. nummaria* often appear together and many have naturally abraded holes in their umbones.
- *Donax trunculus*, a common Mediterranean bivalve.

Order	Species	EB IIIA	Post EB	LB II	Iron IA	Rom-Byz	Unknown	TOTAL
Gastropods	*Clanculus pharaonis*				1			1
	Phalium granulatum					1		1
	Hexaplex trunculus						1	1
	Stramonita haemastoma					1		1
	Tritia gibbosula				1			1
Bivalves	*Glycymeris insubrica*	2	3	3	19	4	3	34
	Cerastoderma glaucum				1	1	1	3
	Donax trunculus			1				1
Total		**2**	**3**	**4**	**22**	7	**5**	**43**

Table 21.1. Mollusc shells from the Tel Yarmuth acropolis soundings.

Table 21.1 summarises these finds by time period. While some of the shells were complete, many of the bivalves had a natural hole in the umbo and others are fragmentary. The small size of this sample hinders us from reaching major conclusions with regard to the possible use of these shells, however, some comparisons to other assemblages may enhance our understanding of this assemblage. Two specimens, the *C. pharaonis* and *T. gibbosula*, have artificial holes in the body whorl and were probably used as decoration. Both are from Stratum Acr-V dating to Late Bronze III/Iron Age IA. Parallels can be found in Megiddo (*T. gibbosula* in several Iron Age levels), Beth Shean (*T. gibbosula* present in Iron IB), and Lachish (where *T. gibbosula* is scattered in various Late Bronze Age and Iron Age levels, and *C. pharaonis* was found in Level IV).[1] One should also note the presence of *C. pharaonis* at the Iron Age II fortress of Kadesh Barnea. There, it was suggested that this shell may have been collected at a nearby Neolithic site, as this species is very common in PPNB sites in the Negev and the Sinai.[2] While this suggestion is still valid it does not rule out the possibility that such shells may have been traded with populations to the north.

Another noteworthy phenomenon is six of the *G. nummaria* valves from Stratum Acr-V that were all burned and found in locus 1186. All originated in the floor of this locus and seem to support the suggestion that *Glycymeris* valves were collected on the Mediterranean shores as construction material.[3]

21.2. Terrestrial shells

In addition to the marine shells, a few terrestrial shells were collected, and those include:

– *Melanopsis* sp. A very common freshwater gastropod, present in most springs and creeks in Israel.[4] This species is common in archaeological sites and was brought into archaeological sites along with the mud for the construction of mudbricks. Here only one specimen was recovered in Stratum Acr-V (LB III/Iron IA).
– *Levantina caesareana* and *Helix engaddensis* are common local landsnails. They may date to any period between that of the level in which they were found (a total of four shells from Strata Acr-V–IV) and recent times. In any event they are most probably a result of natural deposition and were not deliberately collected and brought to the site by humans.

[1] See Bar-Yosef Mayer 2000a, 2000b, 2004, 2006; Bar-Yosef Mayer and Baruch 2006; and see further references therein.
[2] Bar-Yosef Mayer 2000a.
[3] Bar-Yosef Mayer 2006.
[4] Heller *et al*. 1999.

REFERENCES

BAR-YOSEF MAYER, D. E.

2000a "Mollusc Shells," in *Megiddo III: The 1992–1996 Seasons,* Vol. II (Tel Aviv University Sonia and Marco Nadler Institute of Archaeology Monograph Series No. 18), edited by I. Finkelstein, D. Ussishkin and B. Halpern, pp. 478–486. Tel Aviv: Emery and Claire Yass Publications in Archaeology.

2000b "The Economic Importance of Molluscs in the Levant," in *Archaeozoology of the Near East IV A: Proceedings of the Fourth International Symposium on the Archaeozoology of Southwestern Asia and Adjacent Areas* (ARC Publicatie 32), edited by M. Mashkour, A. M. Choyke, H. Buitenhuis and F. Poplin, pp. 218–227. Groningen: Centre for Archaeological Research and Consultancy.

2004 "Section C: The Mollusc Shells," in *The Renewed Archaeological Excavations at Lachish (1973–1994),* Vol. V (Tel Aviv University Sonia and Marco Nadler Institute of Archaeology Monograph Series No. 22), edited by D. Ussishkin, pp. 2490–2503. Tel Aviv: Emery and Claire Yass Publications in Archaeology.

2006 "Construction and Trade: The Shells from Tel Beth-Shean," in *Excavations at Tel Beth-Shean 1989–1996,* Vol. I, *From the Late Bronze Age IIB to the Medieval Period*, edited by A. Mazar, pp. 711–722. Jerusalem: Israel Exploration Society and The Institute of Archaeology of the Hebrew University of Jerusalem.

BAR-YOSEF MAYER, D. E. and I. BARUCH,

2006 "Mollusc Shells," in *Megiddo IV: The 1998-2002 Seasons,* Vol. II (Tel Aviv University Sonia and Marco Nadler Institute of Archaeology Monograph Series No. 24), edited by I. Finkelstein, D. Ussishkin and B. Halpern, pp. 497–504. Tel Aviv: Emery and Claire Yass Publications in Archaeology.

HELLER, J., SIVAN, N. and MOTRO, U.

1999 "Systematics, Distribution and Hybridization of Melanopsis from the Jordan Valley (Gastropoda: Prosobranchia)," *Journal of Conchology* 36(5): 49–81.

CHAPITRE 22

LES RESTES ARCHÉOBOTANIQUES DE L'ACROPOLE DE TEL YARMOUTH

Linda HERVEUX
Laboratoire Archéorient de Jalès (CNRS, UMR 5133)

Les fouilles réalisées sur l'acropole de Tel Yarmouth ont donné lieu au prélèvement de plusieurs échantillons en vue d'une analyse archéobotanique. En tout, 62 échantillons, qui appartiennent à une large période chronologique (8 niveaux) allant du Bronze ancien IIIA (niveau Acr-VIII, *c.* 2850–2650 av. J.-C.) à la période romaine et byzantine (niveau Acr-I, Ier s. av.–IVe s. ap. J.-C.), ont été analysés.

Les échantillons ont tous été triés sous loupe binoculaire à un grossissement de ×10 afin de récupérer les restes carpologiques. À l'issue de ce tri, un certain nombre de charbons de bois de chaque échantillon a été observé sous microscope à réflexion à des grossissements allant de ×50 à ×500 afin de procéder à leur identification. La détermination des taxons botaniques des charbons s'est effectuée à l'aide d'atlas de détermination[1] et de la collection de référence du laboratoire Archéorient de Jalès (CNRS, UMR 5133).

Cette étude vise à enrichir nos connaissances sur l'économie végétale du site, à travers notamment l'approvisionnement en bois de feu, ainsi que sur le milieu environnant passé et sur son exploitation. La comparaison avec l'étude archéobotanique réalisée dans la ville basse du site sur des niveaux du Bronze ancien[2] permettra en outre d'envisager une approche anthracologique comparative.

22.1. RÉSULTATS

22.1.1. Analyse carpologique

Un total de 117 restes carpologiques a été retrouvé dans les échantillons, appartenant à 5 taxons botaniques. Les résultats bruts sont exposés dans le tableau de dénombrement des taxons carpologiques (**Tableau 22.1**). L'essentiel des restes correspond à des noyaux d'olives, entiers ou fragmentés (*Olea europaea*). Une seule graine de céréale a été découverte, il s'agit de l'amidonnier (*Triticum turgidum* ssp. *dicoccum*). De même, une graine de légumineuse était présente, la gesse, très certainement cultivée (*Lathyrus sativus*). Enfin, deux taxons sauvages étaient présents, la pistache sauvage (*Pistacia*) et l'ivraie (*Lolium temulentum*). Les pistaches sauvages font l'objet d'une cueillette depuis des millénaires et se retrouvent

[1] Schweingruber 1990 ; Vernet *et al.* 2001 ; Fahn *et al.* 1985.
[2] Salavert 2008.

			XIIIe s.	Milieu XIIe s.			Fin XIIe s.			XIe s.		Ier mill. av. n. è.	
		Sondage	ACR 2	ACR 2	ACR 2	ACR 2	ACR 2	ACR 2	ACR 2	ACR 2	ACR 2	ACR 1	
		Carré	BA 116	BA 116	BA 116	BA 116	BA 116	BB 116	BB 116	BB 116	BB 116	AS 116	
		Locus	1173-3	1186-2	1186-1	1186-1	F.1171	1148	1150	1149-2	1149-2	1111	
		N° op.	10806	10683	10659	10621	10664	9656	9653	10888	9649	9551	
		Niveau	Acr-VI	Acr-V	Acr-V	Acr-V	Acr-IV/V	Acr-IV	Acr-IV	Acr-III	Acr-III	Ph. 5	**Total**
Familles	Genres/espèces	Noms vernaculaires											
Oleaceae	*Olea europaea* (entière)	Olive	1							5		1	**7**
	Olea europaea (frgts)			4	32	4	4	37	4	4	13		**102**
	Olea europaea (amandon)							1			2		**3**
Poaceae	*Triticum turgidum* ssp. *dicoccum*	Blé amidonnier								1			**1**
Fabaceae	*Lathyrus sativus*	Gesse						1					**1**
Anacardiaceae	*Pistacia* sp.	Pistache sauvage						1					**1**
Poaceae	*Lolium* cf. *temulentum*	Ivraie						1					**1**
	Coprolithes ovi-caprinés									1			**1**
		Total	**1**	**4**	**32**	**4**	**4**	**41**	**4**	**11**	**15**	**1**	**117**

Tableau 22.1. Dénombrement des restes carpologiques.

fréquemment sur les sites archéologiques au Proche-Orient. Plusieurs espèces de pistachier fournissent ces petits fruits comestibles au Proche-Orient, mais il est probable qu'il s'agit ici du pistachier de Palestine (*Pistacia palaestina*), aussi appelé térébinthe, puisqu'on le retrouve très souvent en association avec le chêne kermès (*Quercus calliprinos*)[3]. L'ivraie est une petite graminée sauvage, mais c'est surtout une plante adventice des cultures de céréales qui peut se révéler toxique du fait de l'infestation de ses grains par un champignon aux propriétés narcotiques. Elle est souvent présente dans les assemblages de céréales à partir de l'âge du Bronze sur la côte levantine[4].

En dehors des restes d'olives, que nous évoquerons par la suite, le très faible nombre de restes de céréales et de légumineuses ne permet pas d'appréhender précisément l'économie agricole du site ou l'alimentation de ses habitants.

22.1.2. Analyse anthracologique

L'analyse anthracologique a permis d'identifier 544 charbons de bois associés à 9 taxons botaniques (Tableaux **Fig. 22.2–22.3**). L'assemblage identifié est dominé par le chêne à feuillage persistant (*Quercus* f.p.) (43,9 %) (**Fig. 22.1**), suivi de l'olivier (*Olea europaea*) (28,3 %) (**Fig. 22.2**) et d'un prunier (*Prunus* sp.) (10,5 %) que nous n'avons pu déterminer plus précisément en raison de leur mauvaise conservation. Cependant, il est probable que la plupart des charbons de *Prunus* sont à associer à l'amandier (*Amygdalus*), retrouvé aussi dans les échantillons (3,5 %). Les autres essences identifiées, le chêne à feuillage caduc (*Quercus* f.c.), le styrax (*Styrax* sp.) et le nerprun ou filaire (*Rhamnus/phillyrea*), présentent des proportions bien moins importantes. Un taxon de gymnosperme est aussi présent : il s'agit du pin (*Pinus cf. halepensis*), certainement à associer au pin d'Alep ou pin de Jérusalem. Cet arbre est spontané sur le pourtour du bassin méditerranéen.

La plupart des échantillons étant issus de sols ou de couches de destruction, il est difficile de savoir si les charbons proviennent du combustible ou s'ils faisaient partie de la construction des maisons ou du mobilier. Néanmoins, on peut considérer que la plupart des charbons correspondent aux restes de combustible utilisé. Ainsi, collectés dans l'environnement proche du site, leur étude est à même d'enrichir nos connaissances sur le paléoenvironnement de Tel Yarmouth.

Dans la présente étude, certains niveaux (niveaux Acr-I, II, VII et VIII) n'ont pas été pris en compte en raison d'un nombre d'échantillons, et donc de charbons analysés, relativement faible et en-deçà de la limite de validité statistique (moins de 50 charbons). C'est pourquoi seuls certains points de l'économie agricole et du paléoenvironnement pourront être abordés ci-dessous, et seulement pour certaines périodes.

[3] Zohary 1972, p. 296.
[4] Herveux 2007.

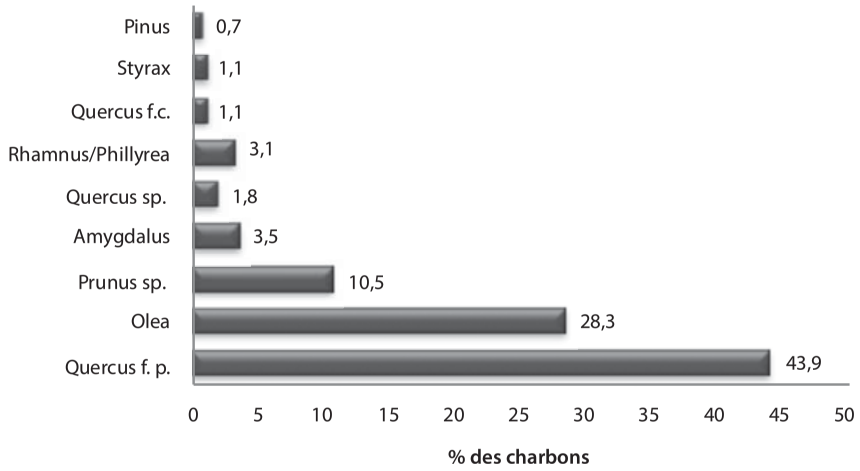


Tableau 22.2. Diagramme anthracologique, tous niveaux confondus.

Niveaux	Acr-VIII		Acr-VII		Acr-VI		Acr-V		Acr-IV		Acr-III		Acr-II		Acr-I		Total	
	N.	%	N.	%	N.	%	N.	%	N.	%	N.	%	N.	%	N.	%	N.	%
Chêne indéterminé					6	*4,3*					4	*1,8*					**10**	***1,8***
Chêne à feuilles caduques					1	*0,7*	3	*3,9*			2	*0,9*					**6**	***1,1***
Chêne à feuilles persistantes					80	*58*	15	*19,5*	28	*53,8*	116	*55*					**239**	***43,9***
Olivier			4		36	*26*	47	61			40	*19*	24	*50*	3	*42,8*	**154**	***28,3***
Nerprun / Filaire					6	*4,3*			3	*5,8*	8	*3,8*					**17**	***3,1***
Genre Prunus					7	*5*			11	*21,2*	19	*9*	20	*41,6*			**57**	***10,5***
Amandier									6	*11,5*	9	*4,3*	4	*8,4*			**19**	***3,5***
Styrax									1	*1,9*	5	*2,4*					**6**	***1,1***
Pin d'Alep / de Jérusalem															4	*57,1*	**4**	***0,7***
Indéterminables	7				2		12	*15,6*	3	*5,8*	8	*3,8*					**32**	***5,9***
Total	7	/	4	/	138	*100*	77	*100*	52	*100*	211	*100*	48	*100*	7		**544**	*99,9*

Tableau 22.3. Dénombrement des restes anthracologiques, par niveaux.

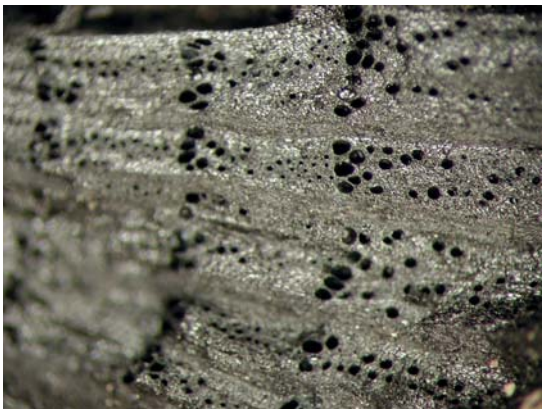


Fig. 22.1. Photo d'un charbon de chêne à feuillage caduc (*Quercus* f.c.). Coupe transversale, ×50. (Cliché L. Herveux).

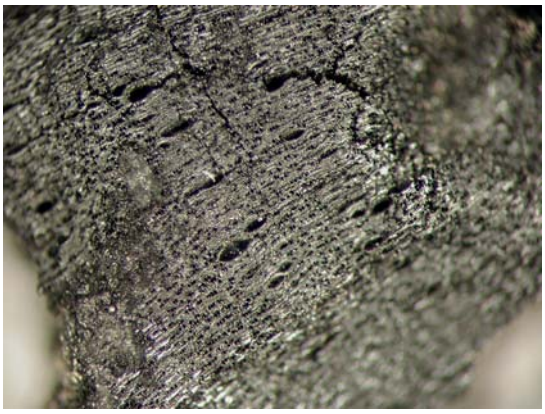


Fig. 22.2. Photo d'un charbon d'olivier (*Olea europaea*). Coupe transversale, ×50 (Cliché L. Herveux).

22.2. Discussion

22.2.1. Paléoenvironnement

L'assemblage total de charbons de bois, composé du chêne persistant en majorité, implique la présence d'une zone de forêt et de maquis proche du site. La forêt et le maquis méditerranéen se développent entre 300 et 1200 m d'altitude. Outre le chêne persistant, les autres espèces identifiées dans l'assemblage – le nerprun, la filaire, l'amandier et le Styrax – appartiennent à cette formation végétale que l'on peut observer de nos jours dans les monts de Judée à l'est du site.

Il n'est pas possible de connaître par les analyses anthracologiques l'espèce précise des deux chênes découverts dans les échantillons. Mais la végétation actuelle permet de proposer des hypothèses. Plusieurs espèces de chêne se retrouvent communément dans la végétation actuelle en Israël. D'une part, les chênes à feuillage caduc, le chêne vélani ou chêne de Thabor (*Quercus ithaburensis*) et le chêne de Boissier (*Quercus boissieri*). D'autre part, le chêne Kermès (*Quercus calliprinos*), au feuillage persistant, qui est sans doute à associer au chêne persistant de notre assemblage (*Quercus* f.p.). Dans la végétation méditerranéenne actuelle en Israël, ce chêne est l'espèce persistante la plus répandue[5]. De fait, les résultats des études précédentes menées sur les charbons de bois de Tel Yarmouth faisaient déjà apparaître un pourcentage de restes de chêne persistant relativement important[6].

Le styrax (*Styrax*) est un genre d'arbres ou d'arbustes poussant le plus souvent en Extrême-Orient, appartenant à la famille des Styracaceae et comportant diverses espèces, quelques-unes très appréciées en pharmacie pour leur baume. L'arbre est également appelé « aliboufier », en particulier lorsqu'il s'agit de l'espèce *Styrax officinalis*. Le baume ou résine se nomme « storax » ou « benjoin » selon les espèces, le premier de ces deux termes étant aujourd'hui inusité. C'est une essence caducifoliée qui appartient au maquis ou aux forêts

[5] Liphschitz 2007, p. 25.
[6] Liphschitz 2007, p. 44 ; Salavert 2008, p. 56.



Fig. 22.3. Planche herbier de l'aliboufier (*Styrax officinalis*) (G. Pabst, *Köhler's Medicinal-Pflanzen*, Tf. 113, 1887).

mixtes méditerranéennes en association avec le chêne de Thabor (**Fig. 22.3**)[7]. D'un point de vue archéobotanique, les restes de cet arbre sont rares. Seuls les sites de Tel Yarmouth (niveaux du Bronze ancien)[8] et de Tell Ta'anach (niveau du Bronze moyen)[9] ont livré des restes de cet arbre. À Tel Yarmouth, la présente étude révèle sa présence dans les niveaux du Fer I.

[7] Liphschitz 2007, p. 30.
[8] Salavert 2008, p. 56.
[9] Liphschitz 2007, p. 38.

Le nerprun (*Rhamnus*) et la filaire (*Phillyrea*) sont des essences communes de la végétation méditerranéenne. Ils appartiennent à l'association *ceratonio-pistacietum lentisci* actuellement présente dans la région[10].

Les charbons de bois de *Prunus* identifiés sont peut-être à associer à *Prunus ursina*, la seule espèce qui pousse actuellement en Israël. Cependant, c'est un arbre de maquis rare que l'on retrouve avec *Quercus boissieri* en Galilée dans des conditions plus humides et plus fraîches que les conditions actuelles autour du tell[11]. La très faible proportion de chêne à feuillage caduc (*Quercus* f.c.) dans les échantillons et l'état actuel de la végétation, qui est dominée à 90 % par *Quercus calliprinos*[12], incite plutôt à associer ces restes à l'amandier (voir ci-dessus, § 22.1.2).

Enfin, les arbres tels que les oliviers ou les amandiers ont été domestiqués à partir de la végétation spontanée environnante. Leur domestication est attestée au moins depuis le VIe millénaire av. J.-C. au Proche-Orient[13]. Mais les charbons de bois d'amandier peuvent provenir d'espèces sauvages (*Amygdalus korschinskii* ou *A. communis*), qui sont présentes dans la forêt méditerranéenne et le maquis, ou bien d'espèces domestiquées, et donc de cultures locales.

22.2.2. Arboriculture fruitière

Les charbons de bois d'olivier représentent très certainement les déchets de taille des oliveraies utilisés comme combustible. Le bois d'olivier a été de tout temps largement utilisé par l'homme comme bois de feu, et notamment lorsque cet arbre fait l'objet d'une culture. Au cours de la combustion, le bois d'olivier donne peu de flammes, se consume lentement et offre une grosse quantité de braises. C'est un bois de chauffe de qualité modeste (valeur calorifique de 3600 Kcal/Kg), mais il est beaucoup plus utilisé comme bois de cuisson des aliments[14].

Les études anthracologiques menées par A. Salavert[15] et N. Liphschitz[16] sur les niveaux de la ville basse de Tel Yarmouth avaient montré des proportions importantes de restes d'olivier (bois et noyaux), laissant ainsi penser qu'au Bronze ancien II et III l'économie de la ville était particulièrement tournée sur l'oléiculture. Le diagramme anthracologique du Tableau **22.4**, réalisé sur les quatre grandes phases chronologiques étudiées, montre que du Bronze ancien à l'époque perse, malgré une baisse observée au cours du Fer I (XIe s. av. J.-C.), les restes de charbon de bois d'olivier sont toujours présents en abondance. Ceci implique la persistance de l'oléiculture à Tel Yarmouth au moins jusqu'au VIe s. av. J.-C., du moins lorsque le site est occupé. Les résultats de l'étude carpologique soulignent aussi cette persistance, puisque de nombreux restes d'olives ont été retrouvés dans les niveaux Acr-V, IV et III (**Tableau 22.1**). Néanmoins, on observe une diminution significative du Bronze

[10] Zohary 1982.
[11] *Ibid.*
[12] Zohary 1982 ; Liphschitz 1989.
[13] Zohary and Spiegel-Roy 1975 ; Kaniewski *et al.* 2012.
[14] Nefzaoui 1988, p. 156.
[15] Salavert 2008.
[16] Liphschitz 2007, p. 44.

ancien à l'âge du Fer I, les proportions passant de plus de 60% à moins de 20%. Ces résultats pourraient attester d'un déclin de l'oléiculture, qui aurait poussé les habitants du site à se tourner vers une autre source de combustible disponible dans la végétation environnante, comme les chênes.

Malgré le faible nombre de charbons identifiés, on note à nouveau l'importance du bois d'olivier (50%), et surtout de *Prunus* (42%) dans l'assemblage du niveau Acr-II (Fer II – époque perse). Est-ce l'indication d'une reprise de la culture de l'olivier ? Le fort pourcentage de *Prunus* correspond-il aussi à des cultures ? Comme nous l'avons déjà évoqué, les charbons de bois de *Prunus* peuvent être associés soit à des espèces sauvages (*P. ursina, A. korschinskii, A. communis*), soit à des spécimens cultivés. L'amandier, qui est exploité depuis le Néolithique, a pu éventuellement faire l'objet de cultures locales dans les périodes récentes de l'occupation du site. Ainsi, la proportion élevée de *Prunus* (certainement l'amandier) au niveau Acr-II et l'absence de charbons de chêne sont peut-être le témoignage de la mise en place d'une nouvelle arboriculture fruitière à partir du premier millénaire av. J.-C. Les recherches anthracologiques effectuées sur plusieurs sites en Israël montrent que les restes d'amandier deviennent fréquents à partir de l'âge du Bronze et surtout de l'âge du Fer. N. Liphschitz évoque d'ailleurs la possibilité de cultures dans les périodes récentes (âge du Fer, époque hellénistique)[17].

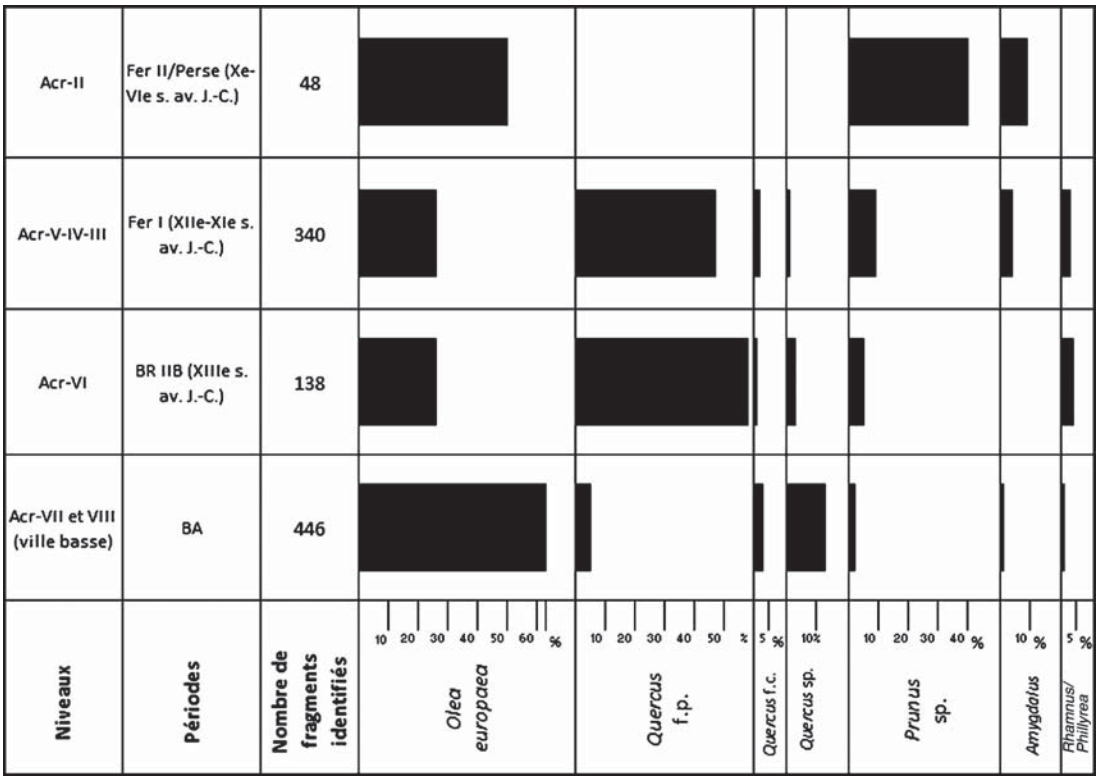


Tableau 22.4. Diagramme anthracologique, du Bronze ancien à l'époque perse (BA : Bronze ancien ; BR : Bronze récent).

[17] Liphschitz 2007, pp. 108–109.

Il convient cependant de nuancer ces conclusions car le faible nombre de charbons identifiés au niveau Acr–II (48 charbons) est en dessous de la limite de validité statistique. Par ailleurs, les découvertes archéologiques à ce niveau, peut-être incomplètes, ne reflètent pas une occupation importante du site à cette époque (voir ci-dessus, § 3.8). Il serait intéressant d'obtenir des données supplémentaires pour cette période chronologique.

22.3. Conclusion

La présente étude archéobotanique a fourni des données intéressantes sur l'économie agricole et le paléoenvironnement du site de Tel Yarmouth. L'analyse anthracologique des niveaux du Bronze ancien confirme l'importance de l'olivier dans l'économie agricole et indique la persistance de l'oléiculture du Bronze ancien jusqu'au Fer II et l'époque perse. Cependant, la diminution des charbons de bois d'olivier et l'augmentation de ceux de bois de chêne trahit peut-être une baisse de l'oléiculture au cours des XIIIe et XIe s. av. J.-C. En effet, au Bronze ancien l'approvisionnement en combustible s'effectuait essentiellement au sein des oliveraies, qui devaient former une grande partie du territoire agricole. Par la suite, le bois de feu est collecté principalement dans l'environnement naturel du site. Cet environnement semble, selon les données anthracologiques, consister en une forêt ou un maquis typiquement méditerranéens où le chêne persistant, certainement le chêne Kermès (*Q. calliprinos*), est dominant.

Références

Fahn, A., Werker, E. and Baas, P.
1986 *Wood Anatomy and Identification of Trees and Shrubs from Israel and Adjacent Regions*. Jerusalem : The Israel Academy of Sciences and Humanities.

Herveux, L.
2007 *Le phénomène agricole à l'âge du Bronze au Proche-Orient (3000-1200 av. J.C.)*, Thèse de doctorat Université Paris I, non publié.

Kaniewski, D., Van Campo, E., Boiy T., Terral, J.-F., Khadari, B. and Besnard, G.
2012 "Primary domestication and early uses of the emblematic olive tree: palaeobotanical, historical and molecular evidence from the Middle East," *Biological Reviews* 87 : 885–899.

Liphschitz, N.
1989 "Plant economy and diet in the Early Bronze Age in Israel: a summary of present research," in *L'urbanisation de la Palestine à l'âge du Bronze ancien* (BAR International series 527 [ii]), edited by P. de Miroschedji, pp. 269–277. Oxford : BAR.
2007 *Timber in Ancient Israel, Dendroarchaeology and Dendrochronology* (Tel Aviv University Sonia and Marco Nadler Institute of Archaeology Monograph Series 26). Tel Aviv : Emery and Claire Yass Publications in Archaeology.

Nefzaoui, A.
1988 "Contribution à la rentabilité de l'oléiculture par une valorisation optimale des sous-produits," in *L'économie de l'olivier, options méditerranéennes,* edited by M. Allaya, pp. 153–173. Paris : CIHEAM.

Salavert, A.
2008 "Olive cultivation and oil production in Palestine during the Early Bronze Age (3500–2000 B.C.): the case of Tel Yarmouth, Israel," *Vegetation History and Archaeobotany* 17 (supl. 1) : 53–61.

SCHWEINGRUBER, F. H.
1990 *Anatomy of European Woods*. Stuttgart : Haupt.
VERNET, J.-L., OGUEREAU, P., FIGUEIRAL, R., MACHADO-YANES, C. and UZQUIANO, P.
2001 *Guide d'identification des charbons de bois préhistoriques et récents*. Paris : CNRS.
ZOHARY, M.
1972 *Flora Palestina*. Jerusalem : The Israel Academy of Sciences and Humanities.
1982 *Vegetation of Israel and adjacent areas*. Wiesbaden : Reichert.
ZOHARY, D. and SPIEGEL-ROY, P.
1975 "Beginnings of fruits growing in the Old World," *Science* 187 : 319–327.

CHAPITRE 23

THE RADIOCARBON SAMPLES FROM THE ACROPOLIS OF TEL YARMUTH

Elisabetta BOARETTO
D-REAMS Radiocarbon Dating Laboratory
Weizmann Institute of Science, Rehovot

The Tel Yarmuth acropolis Sounding 2 was excavated during six seasons, exposing a series of levels and contexts from which material was recovered for radiocarbon dating.

A total of ten samples were selected for final radiocarbon dating using either the decay counting method or the accelerator mass spectrometry method. Under the supervision of Dr Israel Carmi four samples were measured by decay counting (RT labelled samples in **Tables 23.1–23.2**) in 1998 and six were measured by Prof. Elisabetta Boaretto by accelerator mass spectrometry (AMS) with the D-REAMS accelerator (RTD labelled samples in **Tables 23.1** and **23.3**) in 2013. All samples were measured at the Radiocarbon Laboratory at the Weizmann Institute of Science (Israel).

23.1. THE SAMPLES

The samples were recovered from floors and from destruction events as identified during the excavation. Samples were wood charred fragments or single seeds and were all botanically identified by Nili Liphschitz.

The archaeological information of the radiocarbon dated samples, their botanical identification and expected age are shown in **Table 23.1**, in which they are ordered according to the stratigraphic sequence, from the youngest (top) to the oldest (bottom).

All samples were pre-treated to remove all contamination. No information could be recovered for the RT samples measured by decay counting beside the ^{14}C age BP (Before Present) and the stable isotope ratio $\delta^{13}C$. All the information about these samples are reported in **Table 23.2** together with the calibrated range for the $\pm 1\sigma$ and $\pm 2\sigma$.

Samples labelled RTD were all short lived (seed or olive pit) and were prepared using the Acid Base Acid pre-treatment procedure to remove all the contamination from the sample prior to the radiocarbon dating. The samples were then prepared for the graphitisation and finally measured by Accelerator Mass Spectrometry method at the D-REAMS radiocarbon dating laboratory. The procedure for the sample preparation is reported in Yizhaq *et al.* 2005 and in Regev *et al.* 2017.

In **Table 23.3**, information about the samples's context, material characteristic, ^{14}C date in year BP and the calibrated range for the $\pm 1\sigma$ and $\pm 2\sigma$ are reported.

The AMS samples (RTD label), although they were charred single seed or olive pit, provided enough material for the AMS measurement. The pre-treatment recovery of the sample or "efficiency percentage" ("Eff. %" in **Table 23.3**) was above 30% for all the samples and the percentage of carbon after pre-treatment ("C %" in **Table 23.3**), was as high as 75% or higher. The high chemical efficiency and carbon percentage indicate a very good state of preservation of the sample material.

Calibrated ranges were obtained using OxCal v4.3.2 Bronk Ramsey (2017) based on Bronk Ramsey 2001 using the IntCal13 atmospheric curve in Reimer *et al.* 2013.

Lab #	Basket No.	Stratum	Locus	Type	Context	Date expected (BCE)
RT-3029	9593	Acr-III	1130	Charcoal	Destruction (beam)	11th cent.
RT-3030	9641	Acr-III	1149-1	Charcoal	Destruction	11th cent.
RT-3031	9716	Acr-III	1171-2	Charcoal	Destruction	11th cent.
RT-3032	10817	Acr-III	1149-1	Charcoal	Mixed	11th cent.
RTD-6998	10888	Acr-III	1149-Floor a	Olive pit	OK : floor	11th cent.
RTD-6697	9649	Acr-III	1149-Floor b	Olive pit	OK : floor	11th cent.
RTD-6702	9653	Acr-IV	1150-Floor a	Olive pit	OK : floor	End 12th cent.
RTD-6999	10621	Acr-V	1186-1	Seed	OK	Mid-12th cent.
RTD-6700	10659	Acr-V	1186-Floor a	Olive pit	OK : floor	Mid-12th cent.
RTD-6701	10683	Acr-V	1186-Floor b	Olive pit	OK : floor	Mid-12th cent.

Table 23.1. Archaeological context, botanical identification and expected age of the samples radiocarbon dated from Sounding 2 on the acropolis of Tel Yarmuth. The order follows the stratigraphic sequence. Samples labelled RT were measured by decay counting method; samples labelled RTD were measured by accelerator mass spectrometry.

Lab #	Field ID.	$\delta^{13}C$ (‰)	^{14}C age year BP	Calibrated range ± 1σ	Calibrated range ± 2σ
RT-3029	Bask. No. 9593 L.1130 Str. Acr-III	-22.2	2980 ± 35	1260 BC (45.1%) 1190 BC 1180 BC (12.8%) 1160 BC 1145 BC (10.3%) 1130 BC	1375 BC (2.1%) 1355 BC 1300 BC (92.8%) 1075 BC 1065 BC (0.6%) 1060 BC
RT-3030	Bask. No. 9641 L.1149-1 Str. Acr-III	-22.5	3125 ± 35	1440 BC (47.0%) 1385 BC 1340 BC (21.2%) 1310 BC	1495 BC (3.1%) 1480 BC 1460 BC (92.3%) 1290 BC
RT-3031	Bask. No. 9716 L.1171-2 Str. Acr-III	-21.7	3020 ± 25	1370 BC (2.7%) 1365 BC 1290 BC (65.5%) 1220 BC	1390 BC (16.7%) 1340 BC 1315 BC (77.9%) 1195 BC 1140 BC (0.9%) 1135 BC
RT-3032	Bask. No. 10817 L.1149-1 Str. Acr-III	-23.5	2910 ± 20	1125 BC (68.2%) 1050 BC	1195 BC (16.2%) 1145 BC 1130 BC (79.2%) 1020 BC

Table 23.2. Wood charcoal samples measured by decay counting method by I. Carmi. For these samples the stable isotope ratio $\delta^{13}C$ was determined by conventional mass spectrometry.

Lab #	Field ID	Type	Eff. %	C %	^{14}C age year BP	Calibrated range ± 1σ	Calibrated range ± 2σ
RTD-6998.1 RTD-6998.2 RTD-6998 combine	Bask. No. 10888, L.1149-floor a Str. Acr-III	Olive pit	66	76.7	2900 ± 40 2880 ± 40 **2890 ± 29**	**1120 BC (68.2%) 1020 BC**	**1195 BC (9.0%) 1140 BC** **1130 BC (86.4%) 980 BC**
RTD-6997	Bask. No. 9649, L.1149-floor b Str. Acr-III	Olive pit	63	80.0	2975 ± 45	1260 BC (68.2%) 1125 BC	1380 BC (4.4%) 1345 BC 1305 BC (91.0%) 1050 BC
RTD-6702	Bask. No. 9653, L.1150, floor a Str. Acr-IV	Olive pit	70	83.6	2775 ±45	980 BC (52.4%) 890 BC 880 BC (15.8%) 845 BC	1025 BC (95.4%) 820 BC
RTD-6999	Bask. No. 10621, L.1186-layer 1 Str. Acr-V	Seed	35	74.6	2985 ± 40	1270 BC (58.0%) 1155 BC 1150 BC (10.2%) 1130 BC	1380 BC (5.3%) 1345 BC 1305 BC (90.1%) 1055 BC
RTD-6700	Bask. No. 10659, L.1186-floor a Str. Acr-V	Olive pit	27	77.0	3010 ± 40	1375 BC (6.9%) 1355 BC 1300 BC (58.9%) 1195 BC 1140 BC (2.3%) 1135 BC	1390 BC (15.7%) 1335 BC 1325 BC (79.7%) 1125 BC
RTD-6701	Bask. No. 10683, L.1186-floor b Str. Acr-V	Olive pit	36	76.4	2855 ±50	1110 BC (4.5%) 1100 BC 1090 BC (54.2%) 970 BC 960 BC (9.5%) 935 BC	1195 BC (6.4%) 1140 BC 1135 BC (89.0%) 900 BC

Table 23.3. Short lived samples measured by AMS by E. Boaretto. Pre-treatment data together with the sample archaeological information, radiocarbon age and calibrated ranges are presented. The samples are ordered according to the stratigraphic sequence.

23.2. DISCUSSSION

The calibrated ranges in year BC are presented in **Fig. 23.1** and are ordered according to the stratigraphic sequence, from the oldest, at the bottom, and the youngest, at the top. Samples of wood charcoal are represented in black, while short lived (seed and olive pit) are shown in green.

According to the archaeological context and stratigraphy:

– Samples from Stratum Acr-III (RT-3029, RT-3030, RT-3031, RT-3032, RTD-6998 and RTD-6997) were expected to date in the 11th century BC;
– The single sample from Stratum Acr-IV (RTD- 6702) was expected to date at the end of 12th century BC;
– Samples from Stratum Acr-V (RTD-6999, RTD- 6700 and RTD- 6701) were expected to date in the middle of the 12th century BC.

In general, there is poor agreement between the archaeological expected age and the calibrated radiocarbon dates. In Stratum Acr-III only two, RT-3032 and RTD-6998, out of six samples are in the expected 11th century BC range. The three charcoal samples, RT-3029, RT-3030 and RT-3031, are older than expected, but it could be due to the so called “old wood effect”, as the possibility exists that the tree had a significant age when it was cut for presumably building purposes in antiquity. Also, the re-use of beam for con-

struction is a possibility that should be considered. The short-lived sample, RTD-6997, could possibly be also in the 11th century BC considering the ±2σ calibrated range.

Stratum Acr-IV is represented by a single sample, RTD-6702, which is definitely much later in the 10th and 9th century BC. This olive pit must be an intrusive sample in the context.

Stratum Acr-V has three samples, of which only one (RTD-6999) is in the middle of the 12th century BC. Samples RTD-6700 and RTD-6701 are respectively too old and too

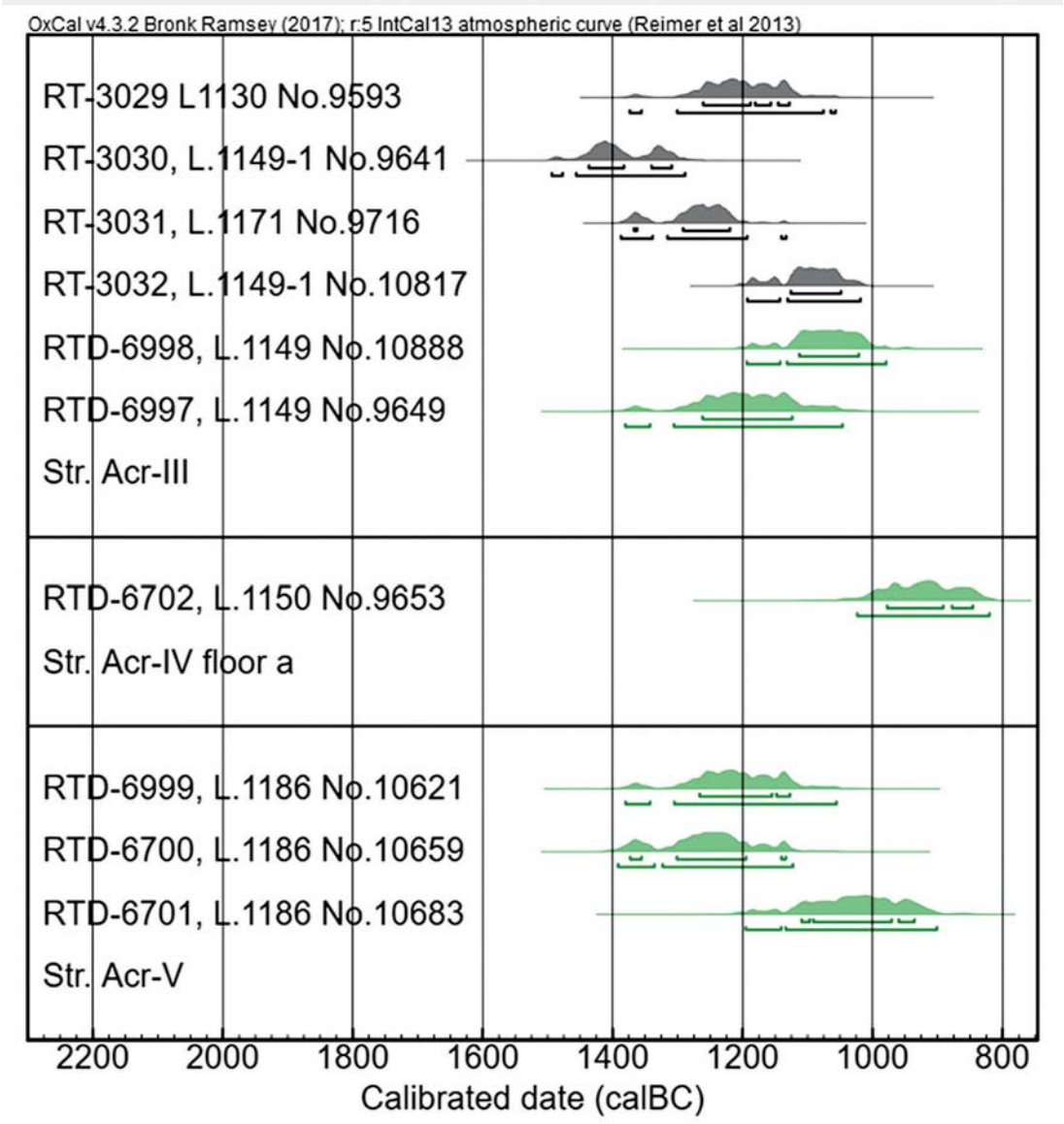


Fig. 23.1. Probability distribution of the calibrated ranges of the dated samples. The order is according to stratigraphy, from the earliest (bottom) to the latest (top). The calibrated ranges for the ±1σ standard deviation (68.2% probability that the right time is included in the interval) and the ±2σ standard deviation (94.5% probability) are indicated below the probability distribution curves as segments. The segment related to ±1σ is the internal one, and the segment related to ±2σ is the external one.

young in comparison to the expected age, although they cover the middle of the 12th century BC if the ±2σ range would be considered.

Based on these set of dates, it would be very difficult to build a chronological frame for the Tel Yarmuth Iron Age acropolis. These dates are not in agreement with their stratigraphic sequence or the expected ages. At large they cover the time frame associated to the cultural material, but it would be difficult to give more precise ranges. If renewed excavation uncovers good contexts with dateable material, then an improvement of the chronology will be possible.

References

Bronk Ramsey, C.
2001 "Development of the radiocarbon calibration program OxCal," *Radiocarbon, 43*(2A): 355–363.

Regev, L., Steier, P., Shachar, Y., Mintz, E., Wild, E. M., Kutschera, W. and Boaretto, E.
2017 "D-REAMS: A new compact AMS for Radiocarbon measurements at the Weizmann Institute of Science, Rehovot, Israel," *Radiocarbon* 59(3): 775–784.

Reimer, P. J., Bard, E., Bayliss, A., Beck, J. W., Blackwell, P. G., Bronk Ramsey, C., Grootes, P. M., Guilderson, T. P., Haflidason, H., Hajdas, I., Hatté, C., Heaton, T. J., Hoffmann, D. L., Hogg, A. G., Hughen, K. A., Kaiser, K. F., Kromer, B., Manning, S. W., Niu, M., Reimer, R. W., Richards, D. A., Scott, E. M., Southon, J. R., Staff, R. A., Turney, C. S. M. and van der Plicht, J.
2013 "IntCal13 and Marine13 Radiocarbon Age Calibration Curves 0-50,000 Years Cal BP," *Radiocarbon* 55(4): 1869–1887.

Yizhaq, M., Mintz, G., Cohen, I., Khalaily, H., Weiner, S. and Boaretto, E.
2005 "Quality Controlled Radiocarbon Dating of Bones and Charcoal from the early Pre-Pottery Neolithic B (PPNB) of Motza (Israel)," *Radiocarbon* 47(2): 193–206.

Chapitre 24

CONCLUSION GÉNÉRALE : SYNTHÈSE CHRONOLOGIQUE, CULTURELLE ET HISTORIQUE

Michaël JASMIN et Pierre de MIROSCHEDJI

L'acropole étant la seule partie du site occupée à toutes les époques où Tel Yarmouth a connu une présence humaine, sa séquence d'occupation reflète celle du site dans son ensemble, acropole et ville basse réunies. Les fouilles permettent ainsi de retracer dans ses grandes lignes l'histoire du site et, au-delà, de la replacer dans son contexte archéologique et historique régionale. Sur ces bases nouvelles, la question de l'identification biblique de Tel Yarmouth peut être réexaminée.

24.1. Histoire de l'occupation de l'acropole de Tel Yarmouth (*M. Jasmin et P. de Miroschedji*)

Des deux sondages creusés sur le flanc sud-ouest de l'acropole, seul le Sondage 2, implanté au sommet de la colline et fouillé jusqu'au rocher, a révélé une séquence stratigraphique complète. Celle-ci sert donc de référence, même s'il faut la compléter, pour les hautes époques, par des informations plus détaillées recueillies dans les fouilles beaucoup plus étendues de la ville basse (voir **Tableaux 1.1**, **2.1** et **3.1**).

Cette séquence stratigraphique présente cependant des lacunes et des perturbations car le Sondage 2 a été implanté sur une pente, de surcroît assez raide, soumise à une intense érosion. Les lacunes sont marquées par des couches d'érosion déposées à des époques où le village de Yarmouth était abandonné, ou bien s'était rétréci et déplacé vers le nord, en sorte qu'il ne couvrait plus que la terrasse supérieure et/ou le versant nord de l'acropole, encore inexploré. Pendant ces époques de contraction, diverses activités poursuivies à la périphérie de l'établissement (creusement de fosses, aménagement de murs de terrasse) ont introduit des perturbations qui compliquent l'interprétation de la stratigraphie. Il semble pourtant, d'après l'étude du mobilier archéologique recueilli *in situ* ou dans des contextes remaniés, que toutes les périodes d'occupation de l'acropole y sont représentées.

La séquence des dépôts stratifiés de l'acropole est représentée sur le **Tableau 3.1** (voir aussi **Figs 24.2–24.3**). Elle indique une occupation au Bronze ancien ; puis, après des siècles d'abandon, une réoccupation au Bronze moyen, suivie d'un nouvel abandon; puis une occupation continue du Bronze récent IIB à la fin du Fer IB ; ensuite une occupation moins importante et intermittente entre le Fer IIA et l'époque romaine ancienne ; enfin une réoccupation importante à l'époque romaine ancienne puis, après une brève interruption (?), à l'époque romaine tardive et byzantine ancienne, qui précède l'abandon définitif du site.

24.1.1. Le Bronze ancien (niveaux Acr-IX–VII)

Au Bronze ancien, l'acropole n'était qu'une petite partie (1,5 hectare) d'un site immense pour cette époque (18 hectares) (**Fig. 1.10**). Elle a connu alors une occupation continue dont témoignent les couches stratifiées des niveaux Acr-IX à Acr-VII (**Tableaux 1.1**, **3.1**). L'absence de tessons du Bronze ancien IB, bien attestés dans la ville basse sur le rocher ou dans des remblais plus récents, n'implique pas nécessairement que la ville haute n'était pas occupée à cette époque car l'érosion a probablement affecté les couches les plus anciennes, surtout à une époque où l'habitat était de faible densité. La séquence stratigraphique du Bronze ancien II–III est de médiocre épaisseur, incomparable avec ce qui a été observé dans la ville basse, où les couches du Bronze atteignent plus de quatre mètres ; ici encore, il faut incriminer la topographie et l'érosion, sans compter les destructions postérieures. Les quelques restes de construction mis au jour aux niveaux Acr-VIII et VII sont ceux d'habitations domestiques installées à l'abri des puissantes fortifications de la ville. La mise au jour d'un glacis probablement associé à la Muraille A et la découverte de la Muraille B autour de l'acropole confirment que l'ensemble du site était fortifié, selon des modalités structurales comparables à celles constatées dans la ville basse, en sorte qu'il est certain que chacune des deux murailles a été édifiée sur toute sa longueur à l'occasion d'un même projet de construction.

La supposition, parfois formulée[1], que l'acropole d'une ville antique concentre les bâtiments les plus prestigieux, temples et palais, est clairement infirmée à Tel Yarmouth, où les constructions les plus monumentales ont été mises au jour dans la partie ouest de la ville basse, qui bénéficiait d'une topographie favorable au développement de grands ensembles architecturaux[2]. L'acropole ne pouvait offrir, au mieux, que 2500 m^2 de terrain dans des conditions topographiques acceptables. Peut-être était-elle couronnée par un bâtiment d'importance, par exemple cultuel, mais on n'en a aucune indication.

Au Bronze ancien II–III, Tel Yarmouth était un établissement majeur, le plus important dans l'ensemble du sud-ouest de la Palestine[3]. Les prospections archéologiques et des fouilles limitées ont révélé quelques petits établissements et des tombes au voisinage du site (**Fig. 1.3**)[4]. Tel Azekah, à 3,8 kilomètres, était occupé au Bronze ancien II(?)–III (**Fig. 24.2**), mais on ignore les caractères du site à cette époque[5]. Le site contemporain le plus proche et le plus important est Tell es-Safi, situé à 16 kilomètres à l'ouest, à la limite de la plaine côtière et de la Shéphélah[6].

24.1.2. Le hiatus Bronze ancien–Bronze moyen

Pas plus sur l'acropole que dans la ville basse il n'y a de témoin d'une occupation du site entre la fin du Bronze ancien III et le courant du Bronze moyen II (**Tableau 3.1** ; **Fig. 24.2**). La stratigraphie des deux sondages confirme ce long hiatus. Cet abandon du site pendant de

[1] Ainsi Ussishkin 2015, pp. 72–74.
[2] Voir Miroschedji 1988, 2000, 2013.
[3] Miroschedji 2006, pp. 70–75.
[4] Dagan 2011, pp. 242–245.
[5] Lipschits *et al.* 2017, pp. 9–10.
[6] Greenfield *et al.* 2017.

longs siècles explique l'érosion qui a affecté les niveaux du Bronze ancien dans le Sondage 2 et l'abondance des tessons du Bronze ancien plus bas sur la pente, à l'emplacement du Sondage 1, en particulier dans la couche 1106 (§ 2.2.5).

Les raisons et les modalités de cet abandon débordent du cadre de cette discussion, mais il importe de souligner ici qu'il n'a pas entraîné une désertion complète de cette région de la Shéphélah centrale : en effet, les recherches récentes ont révélé quelques petits établissements datés de l'époque du Bronze intermédiaire BA–BM, la plupart de la seconde moitié de cette époque[7], ainsi qu'un grand cimetière à Khirbet el-'Alya, près de Tel Yarmouth (**Fig. 1.3**)[8]. On a là un exemple typique où un habitat dispersé apparaît au Bronze intermédiaire sur le territoire d'une cité-état du Bronze ancien abandonnée.

24.1.3. Le Bronze moyen II (niveau Acr-VIB)

Un petit nombre seulement de tessons du Bronze moyen II a pu être isolé dans la partie basse des couches attribuées au niveau Acr-VI (§ 3.4 et chapitre 5). En l'absence de structure associée, rien ne permet d'apprécier la nature de l'établissement de cette époque, qui marque une réoccupation du site après sept à huit siècles d'abandon. Il s'agit apparemment d'une occupation peu importante, peut-être même éphémère. Cette observation concorde avec les résultats des prospections archéologiques et des fouilles conduites en Shéphélah[9] : hormis les trois grands établissements fortifiées qui dominaient alors la région – Tel Beth Shemesh[10], Tel Azekah[11] et Tel Lachish[12] – on ne connaît que deux villages dans les environs de Beth Shemesh (Giv'at Sharett[13] et Teluliot Batashi[14]) et quelques hameaux seulement dans les environs de Tel Yarmouth – Khirbet el-'Alya[15], Socoh[16] et Khirbet Qeiyafa V[17] –, qui n'ont livré chacun que de rares tessons de cette époque (**Figs 1.1**, **1.3**). Comme à Tel Yarmouth, les réoccupations de Tel Beth Shemesh, Tel Azekah et Tel Lachish sont intervenues après une longue période d'abandon depuis la fin du Bronze ancien. Il semble que le repeuplement de la Shéphélah ne s'est réalisé que progressivement au cours du Bronze moyen, en sorte que les grands sites fortifiés ne comportaient sur leur territoire qu'un petit nombre d'établissements dépendants. Tel Yarmouth Acr-VIB, Socoh et Khirbet Qeiyafa V n'étaient probablement alors que de petits villages ou hameaux dans la mouvance de Tel Azekah, où les fouilles ont révélé une cité florissante du Bronze moyen II protégée par d'imposantes fortifications.

[7] Pour un aperçu, voir Dagan 2004, p. 2677 ; 2011, pp. 245–248. Pour le détail des sites, voir Dagan 2010, pp. 102–103 (site n° 118), p. 116 (n° 136), p. 117 (n° 140.1) et p. 202 (n° 248.1) ; Nagorsky 2007 ; Paz 2016 ; Shalev and Dallasheh 2017 (avec références à plusieurs autres sites).

[8] Paz 2014 ; Paz and Radashkovsky 2016.

[9] Dagan 2004, p. 2678 ; 2011, pp. 248–252.

[10] Bunimovitz and Lederman 1993.

[11] Lipschits *et al.* 2017, pp. 16–18.

[12] Ussishkin 2004, pp. 54–57.

[13] Bahat 1993.

[14] Kaplan 1993.

[15] Paz 2016.

[16] Weiss 2017, pp. 54–56 ; De Groot *et al.* 2017, pp. 154–156.

[17] Garfinkel and Ganor 2009, p. 33.

Périodes* Sites	BR IIB (XIIIe s.)	BR III/ Fer IA (milieu XIIe s.)	Fer IB (fin XIIe s.)	Fer IB (XIe s.)	Fer IIA ancien (milieu Xe s.)
Tel Yarmouth	VI	V	IV	III	IIB
Tel Megiddo	VIIB	VIIA	VIB VIA		VB VA-IVB
Tel Qasile	–	–	XII XI X		IX
Tel Gezer	XV	XIV	XIII XII XI X		IX VIII
Tel Miqne/Ekron	VIIIA	VII	VI V IV		III
Tel Batash	VIB	VI	V	*Hiatus*	IVA—B
Tel Beth-Shemesh	IVb	+/7	III / 6–4 ⟶ 4 ? IIa / 3		
Tell es-Safi/Gath	A7/E4	A6/C6–3	A5/E3		A4
Kh. Qeiyafa	–	–	–	– IV –	
Tel Azekah	S2–5a	T2–3a /S2–4	*Hiatus*		?
Tel Lachish	VII	VI	*Hiatus*		V
Tel Beit Mirsim	C_2	B_1	B_2		B_3
Tel ʻEton	B8	B7	B6	B5	B4
Tel Shiloh	–	–	V		–
Izbet Sartah		III	*Hiatus*	II	I
Tel Ashdod	XIV	XIII	XII XI		X
Tel Masos		III	II I		
Tel Beer-Sheba	–	–	IX VIII		VII

* Périodisation suivant Mazar 1990.

Tableau 24.1. Stratigraphie relative des niveaux Acr.-VI à Acr-III.

24.1.4. Le Bronze récent IIB (niveau Acr-VIA)

Tel Yarmouth semble être resté abandonné au Bronze récent I et IIA ; en tout cas, on n'a identifié dans les sondages sur l'acropole aucun tesson de ces époques (**Tableaux 1.1, 3.1** ; **Fig. 24.2**). Le niveau Acr-VIA marque la réoccupation du site au Bronze récent IIB. Ce niveau peut être daté du XIIIe siècle. L'établissement était probablement concentré sur le sommet de l'acropole et sur ses versants nord et ouest, car aucune structure n'a été repérée sur le versant sud-ouest à l'emplacement du Sondage 2, qui correspond alors à un espace ouvert situé en bordure du village, à en juger du moins par l'horizontalité des couches archéologiques (*cf.* **Figs 3.4** et **3.6**). Selon toute apparence, il s'agissait donc alors d'un village de dimensions modestes, peut-être moins d'un hectare.

Celui-ci était inséré dans un réseau d'établissements du Bronze récent II en Shéphélah (**Tableau 24.1**)[18]. Les résultats des prospections et des fouilles menées depuis la décennie 1990 dans les environs de Ramat Beth Shemesh permettent d'en esquisser l'organisation générale[19]. Trois cités-états dominaient alors la Shéphélah (Tel Beth Shemesh au nord, Tel Azekah au centre et Tel Lachish au sud) et trois autres s'échelonnaient sur sa bordure occidentale (Tel Gezer, Tell es-Safi/Gath et *Mu'rashti*, dont la localisation demeure incertaine)

[18] Pour une vue générale, voir Rainey 1983, pp. 3–4 ; Jasmin 2006a, 2006b ; Na'aman 2011.

[19] Les observations initiales de Dagan (2004, pp. 2679–2680 ; 2011, pp. 252–254) sont à nuancer à la lumière des fouilles récentes : voir désormais Paz and Birkenfeld 2017.

(**Fig. 1.1**). Sauf Tel Azekah, elles sont toutes mentionnées dans les lettres d'el-Amarna (milieu du XIVe siècle, soit le Bronze récent IIA) comme activement engagées dans les vicissitudes politiques locales[20]. Les prospections archéologiques suggèrent que les sites de la Shéphélah centrale étaient répartis au Bronze récent IIB autour de deux pôles, Tel Beth Shemesh au nord et Tel Azekah au sud (**Fig. 1.3**). Les sites les plus nombreux (une dizaine) sont distribués de part et d'autre du nahal Yarmouth[21], mais cette densité reflète probablement celle des prospections et des fouilles de sauvetage récentes, qui ont porté davantage sur les environs immédiats de Ramat Beth Shemesh.

Il est vraisemblable que le modeste village de Tel Yarmouth et les sites voisins de Khallat el-Himara et Khirbet el-'Alya étaient alors sous la dépendance culturelle et politique d'une cité dominante, en l'occurrence Tel Azekah, distant de seulement 3,8 km de Yarmouth (**Figs 1.3**, **24.1**). Cette dernière a connu au Bronze récent IIB et au Bronze récent III/Fer IA le sommet de sa prospérité[22], en sorte que l'on peut supposer que la vallée de la Elah et ses environs faisaient alors partie de son territoire (**Fig. 24.2**). Cette supposition ne préjuge pas du statut de Tel Azekah par rapport à Tell es-Safi/Gath, dont le rôle dominant au XIVe siècle dans la Shéphélah et la Plaine côtière se dégage clairement des tablettes d'el-Amarna[23], mais il n'est pas sûr que cette dernière contrôlât la vallée de la Elah au Bronze récent IIB. La domination locale de Tel Azekah à cette époque pourrait expliquer la présence à Tel Yarmouth Acr-VI de poteries d'importations chypriotes de type *White-Slip II* et *Base-Ring II*, ainsi que de poteries de type Mycénien IIIB (§ 7.2). Ces vases ont certes pu être importés directement d'un établissement côtier, mais il est possible aussi qu'ils l'ont été via Tel Azekah, auquel sa richesse permettait de rayonner au loin et de bénéficier d'importations nombreuses. Ainsi, même un village modeste et relativement isolé comme l'était alors Tel Yarmouth avait accès au XIIIe siècle à des importations de céramiques fines. Celles-ci, toutefois, restaient exceptionnelles puisqu'elles représentent moins de 1 % du total de la céramique exhumée au niveau Acr-VI.

24.1.5. Le Fer I (niveaux Acr-V à Acr-III)

Les observations stratigraphiques n'indiquent aucune rupture lors de la transition du niveau Acr-VIA au niveau Acr-V. Celui-ci inaugure le Fer I ainsi qu'une longue période de prospérité qui s'est prolongée jusqu'à la fin du niveau Acr-III.

[20] Voir Na'aman 2011. Tel Beth Shemesh ne serait mentionné qu'indirectement dans les lettres EA 275–276 : *ibid.*, p. 283 ; Goren *et al.* 2004, p. 277. L'identification de Tell es-Safi avec la Gath des tablettes d'el-Amarna est quasi certaine, mais elle n'est pas pour autant confirmée par les fouilles récentes : voir Goren *et al.* 2004, p. 279 ; Maeir 2012, p. 16. En ce qui concerne l'identification de *Yaramu* (EA 333) avec Tel Yarmouth proposée par Albright (1942, p. 36, n. 30), voir nos remarques ci-dessous, § 24.2.

[21] Selon Paz and Birkenfeld 2017, p. 234, le nahal Yarmouth marquerait la frontière entre les territoires des cités-états de Tel Beth Shemesh et Tel Azekah.

[22] Lipschits *et al.* 2017, pp. 10–13.

[23] Goren *et al.* 2004, p. 279 ; Na'aman 2011.

24.1.5.1. *Caractères généraux de l'époque du Fer I à Tel Yarmouth*

Les résultats des fouilles permettent de mettre en évidence quelques aspects saillants de l'évolution culturelle de Tel Yarmouth pendant ces quelques siècles. L'observation majeure a trait à la continuité culturelle, et donc probablement ethnique, qui caractérisent l'évolution du site du niveau Acr-V au niveau Acr-III – et même avec l'époque précédente puisque la transition d'une époque à l'autre s'est effectuée sans heurt. On peut donc avancer l'hypothèse que le site était habité par une population cananéenne n'ayant pas varié dans sa composition ni, semble-t-il, dans ses pratiques culturelles depuis le Bronze récent. Du moins n'est-il pas possible de distinguer dans la culture matérielle des aspects radicalement nouveaux susceptibles de démentir cette conclusion. Mais celle-ci n'implique pas un immobilisme culturel car l'analyse de la poterie permet d'enregistrer des changements significatifs.

24.1.5.1.1. Les céramiques de tradition locale

L'évolution du traitement des surfaces des poteries est un aspect remarquable des modalités de la transition du Bronze récent au Fer I en Shéphélah centrale. Les traditions cananéennes locales concernant les engobes et les décors peints demeurent vivaces, comme en témoigne, par exemple, la persistance du motif du palmier, si populaire au Bronze récent et encore attesté au XIe siècle au niveau Acr-III. L'usage d'un engobe beige et celui de motifs peints traditionnels du Bronze récent ne sont tombés en désuétude que lentement au cours du Fer I. Leur remplacement par un engobe rouge lustré (*Red slip hand burnished*) recouvrant l'ensemble du vase, et non plus seulement le bord, s'est effectué graduellement pendant cette période. Ces engobes rouges lustrés sont encore rares à Tel Yarmouth au Fer I (**Figs 8.6:2**, **8.8:5**, **10.17:3**, **10.20:4,12**), comme aussi sur la plupart des sites contemporains, et ils ne deviendront fréquents qu'à partir du Xe siècle[24].

24.1.5.1.2. Les céramiques importées

La présence de poteries importées d'origines chypriote, mycénienne et syrienne au niveau Acr-VIA montre que Tel Yarmouth bénéficiait alors, même indirectement, du commerce international qui distribuait ses produits très largement dans l'ensemble du domaine levantin, et particulièrement parmi les cités-états qui se partageaient alors le sud de Canaan[25].

Ces poteries importées ont disparu de l'assemblage céramique dès le niveau Acr-V (Bronze récent III/Fer IA). Dès lors, on observe un répertoire de formes plus limité et un appauvrissement de la qualité de la production céramique : formes et catégories de poteries sont toutes de fabrication locale, d'une qualité assez commune, avec peu ou pas de céramiques fines. La poterie du niveau Acr-V illustre cette tendance générale qui affecte aussi à la même époque plusieurs sites de la Shéphélah (Tel Beth Shemesh, Tel Azekah, Tell Beit Mirsim).

La disparition des poteries importées au niveau Acr-V résulte d'une cessation des circuits d'échanges interrégionaux et internationaux, une situation nouvelle en Palestine, inconnue

[24] Mazar 1998 ; Mazar and Panitz-Cohen 2001, pp. 149–150 ; Bunimovitz and Lederman 2016, pp. 205–206.
[25] Leonard 1994 ; Killebrew 2008.

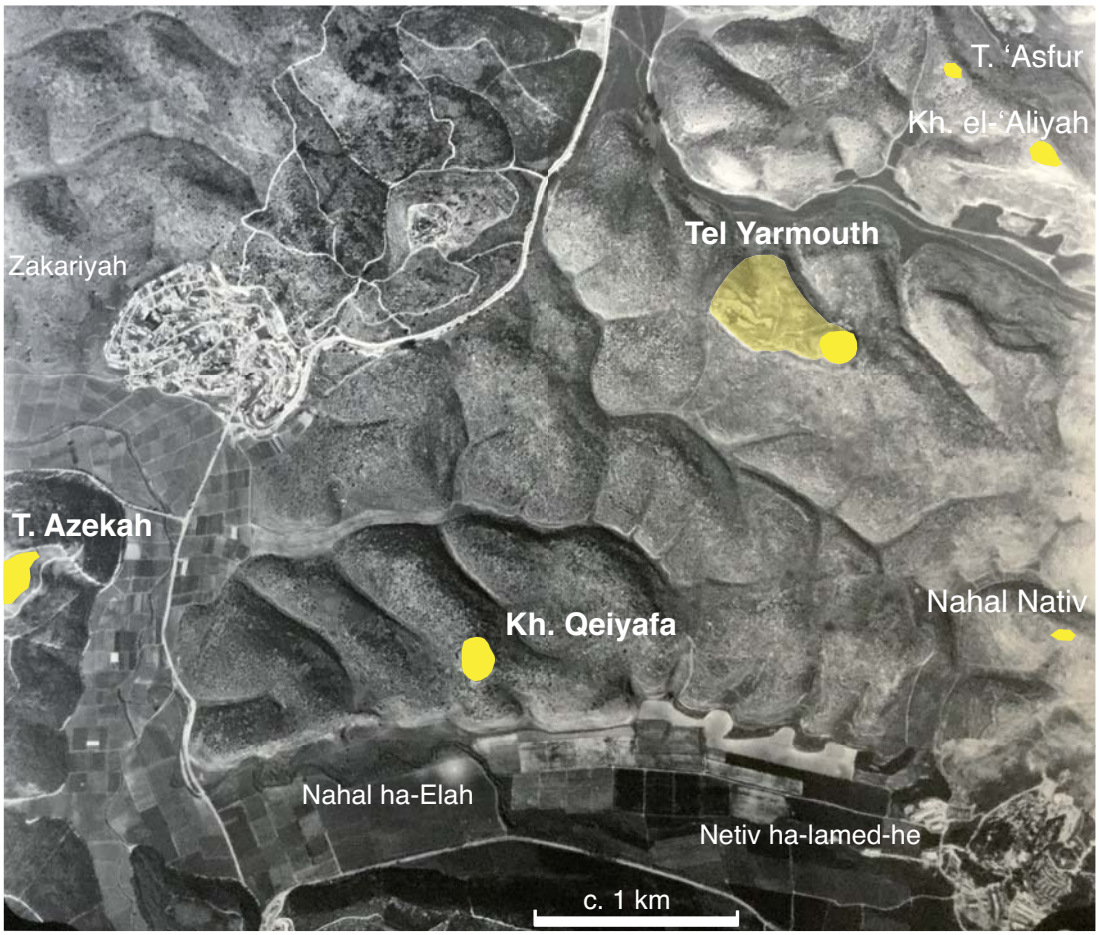


Fig. 24.1. Tel Yarmouth et les principaux sites voisins de l'âge de Fer (photo aérienne de 1977).

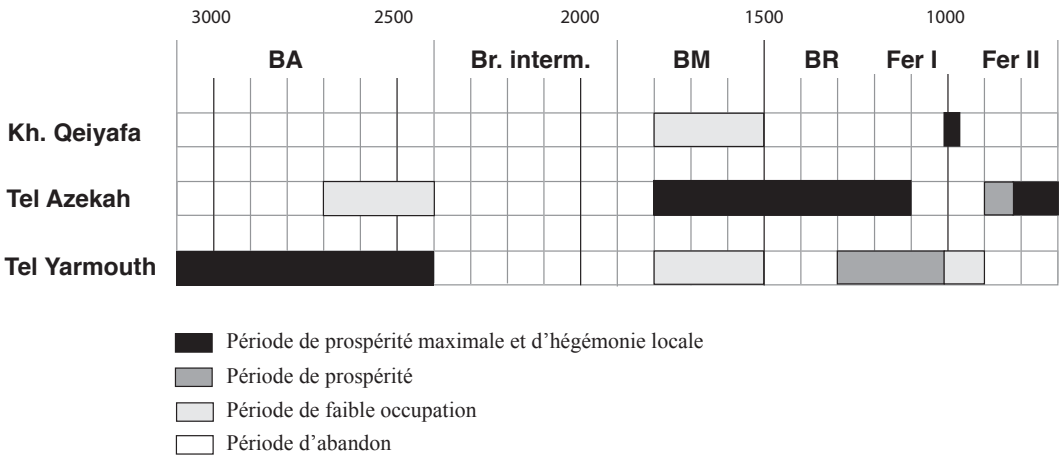


Fig. 24.2. Tel Yarmouth et les cités-états de la Shéphélah centrale du Bronze ancien à la fin du Fer IIB.

depuis des siècles. En Shéphélah et dans la plaine côtière, elle signale un profond changement politique et économique provoqué par l'effondrement du système des cités-états qui avait prévalu au Bronze récent sous l'égide de l'Égypte et qui a pris fin avec le retrait égyptien de Canaan, la destruction subséquente de Lachish VI et des grands sites contemporains, notamment Tel Azekah, puis avec la mise en place d'un nouvel ordre politique sous l'impulsion d'une élite philistine d'origine égéenne[26]. Cette situation nouvelle a entraîné en Shéphélah, vers le milieu du XIIe siècle, un fractionnement politique, un retour à un mode de vie exclusivement rural, une contraction des échanges et un repli sur soi qui se manifestent par une culture matérielle solidement ancrée dans les traditions cananéennes locales. Dans un premier temps, *grosso modo* la seconde moitié du XIIe siècle, l'emprise philistine est restée circonscrite à la plaine côtière, autour de cinq villes majeures (la « pentapole philistine : voir **Fig. 24.4**), en sorte que les poteries de cette phase initiale, dite « *Philistine 1* », ne se rencontrent ni à Tel Yarmouth Acr-V ni sur les autres sites de la Shéphélah (Tel Beth Shemesh, Tel Azekah) ; toutefois, le niveau Acr-V a livré une cruche-marmite (**Fig. 8.9:10**) qui implique peut-être dès cette époque un contact avec le territoire philistin.

Cet intermède d'isolement culturel a été de courte durée. Dès le niveau A-IV, qui marque le commencement du Fer IB et la consolidation, puis l'expansion des cités philistines dans la Plaine côtière, on assiste à une reprise des échanges interrégionaux avec l'apparition de la céramique philistine, représentée d'abord dans sa variété bichrome dite « *Philistine 2* » (niveaux Acr-IV et III), puis dans sa variété tardive dite « *Ashdod Ware* » (niveau Acr-IIB). La répartition de la céramique philistine bichrome permet de cerner le statut culturel de Tel Yarmouth au Fer IB et au début du Fer IIA (**Fig. 24.4**)[27]. Depuis le cœur de sa production en Philistie (Plaine côtière au sud de la rivière Yarqon), cette poterie a été diffusée au Fer IB au Néguev septentrional, en Shéphélah, en Judée, au nord de la Plaine côtière, et jusqu'à la plaine d'Esdrelon et la haute vallée du Jourdain à la faveur d'un commerce interrégional[28]. Sa présence à Tel Yarmouth et sur au moins deux sites proches[29] n'est donc pas singulière, d'autant qu'ils sont situés à seulement 12 km à vol d'oiseau de Tell es-Safi/Gath, l'une des cités de la pentapole philistine qui, au Fer IB, à l'époque du niveau Acr-III, avait atteint le zénith de sa prospérité[30]. Mais à Tel Yarmouth et sur les sites contemporains de la Shéphélah, la poterie bichrome philistine est très minoritaire. De fait, S. Bunimovitz et Z. Lederman ont montré que sa fréquence décroît sensiblement d'ouest en est[31] : elle représente entre 24 et 47% des assemblages de poterie sur les sites de Philistie proprement dite (Qasile, Ashdod, Ashkelon, Miqne, Batash), de 5,3 à 3% sur les sites situés à sa périphérie (Beth Shemesh, Gezer, Aphek), et nettement moins de 1% sur les sites de la Shéphélah ;

[26] Sur ces bouleversements et leur contexte historique, voir Dothan 1982, pp. 1–24 ; Killebrew 2005, pp. 21–50 ; 2014. Sur les questions controversées de chronologie absolue, voir Killebrew 2008, pp. 61–65.

[27] Wood 1990, p. 115, fig. 17 ; Killebrew 2005 ; Kang 2013, pp. 14–15 (pour l'« *Ashdod Ware* »).

[28] Dothan 1982, p. 26 ; Faust 2006, p. 208, fig. 19.4.

[29] Quelques tessons en céramique bichrome philistine ont été découverts à Nahal Nativ, à 1,8 km au sud-est de l'acropole de Tel Yarmouth (S. Kleiman, communication personnelle). Une tombe de Khirbet el-'Alya a livré des bols et cratères en céramique « Philistine 3 » (« *Philistine debased* ») et un cratère en « *Ashdod Ware* » : voir Dagan 2010, figs 247.3:21–22, 247.4:7,10–11. Pour la localisation de ces sites, voir **Figs 1.3** et **24.1**.

[30] Uziel and Maeir 2005, pp. 62–67 ; Maeir and Uziel 2007, pp. 34, 37 ; Maeir 2012, pp. 26–43 ; 2017c ; Lehmann and Niemann 2014, pp. 85–88.

[31] Bunimovitz and Lederman 2011, pp. 42–44 ; 2016, pp. 206–208.

enfin, plus à l'est, elle est pratiquement absente dans les établissements de la montagne de Judée – mais avec de notables exceptions puisqu'un atelier de production de poterie « *Philistine 2* » existait à Tell en-Nasbeh ou ses environs[32], preuve que les relations entre le haut et le bas pays étaient plus complexes que ne le laissent penser la dichotomie observée dans la distribution régionale de cette catégorie de céramique[33]. Au vu d'une telle répartition, il ressort, d'une part, que Tel Yarmouth est le site de Shéphélah le plus à l'est ayant livré de la céramique bichrome « *Philistine 2* » ; d'autre part, qu'il était situé dans une zone intermédiaire entre les territoires philistins de la plaine côtière à l'ouest, et les territoires israélites des monts de Judée à l'est.

24.1.5.1.3. Shéphélah centrale, Philistie et monts de Judée

Dans cette zone intermédiaire, la tradition culturelle cananéenne est demeurée dominante et vivace au Fer IB, distincte (malgré quelques similitudes) de celle des établissements rustiques des hautes collines de Judée et de celle des centres urbains de Philistie. Bien que traversée par la vallée de la Elah, axe de communication majeur entre la Philistie et la Judée, elle est restée au XIe siècle politiquement très décentralisée et probablement autonome par rapport à ses deux voisins (**Fig. 24.4**, et voir ci-dessous, § 24.1.5.5.4). Elle s'inscrivait cependant dans la sphère d'influence philistine qui, à cette époque, s'exerçait jusqu'à la limite séparant la haute Shéphélah des monts de Judée. La relative rareté des poteries philistines à Tel Yarmouth et le caractère encore essentiellement cananéen et rural de sa culture matérielle suggèrent que les poteries philistines y sont parvenues en résultat d'échanges. En somme, leur présence dans un petit village comme l'était alors Tel Yarmouth témoignent moins d'une expansion politique et territoriale de la Philistie que du dynamisme commercial de cette dernière et surtout de l'influence de ses modèles culturels, qui ont permis la renaissance d'un réseau dense d'échanges interrégionaux étendu jusqu'aux confins de la Judée, mais guère au-delà. C'est pourquoi la fréquence des poteries bichromes philistines diminue plus on s'éloigne vers l'est des centres de production dans la plaine philistine. Ces contacts économiques étaient d'ailleurs comparables, à bien des égards, à ceux qui prévalaient au Bronze récent : les échanges suivaient la même direction, de la plaine côtière vers l'intérieur des terres, les catégories de formes de poterie concernées – bols, cratères et cruches – étaient les mêmes, et il s'agissait encore de céramiques « luxueuses » qui, comme au Bronze récent, étaient parfois incorporées dans le mobilier funéraire. Pour expliquer leur vogue et leur large distribution, on a proposé, avec vraisemblance, de les rattacher à des pratiques philistines de festin que les élites des établissements ruraux de la Shéphélah se seraient efforcés d'imiter[34].

Bien que Tel Yarmouth eût un accès facile à la région des hautes collines, son corpus céramique ne présente pas d'influence judéenne évidente. Reflet d'une organisation sociale

[32] Voir Gunneweg *et al.* 1994. Des poteries philistines ont été recueillies sur les sites judéens de Beth-Zur (Khirbet et-Tubeiqeh), Tell en-Nasbeh et Bethel : voir Dothan 1982, pp. 44, 54.

[33] *Contra* Faust 2006, pp. 41–48, 205–211 ; 2016, pp. 165–166 ; 2017a, pp. 174–175 ; Faust and Lev-Tov 2011, pp. 21–23. Pour une critique des conclusions de Faust, voir Maeir *et al.* 2013 ; Maeir 2017a, pp. 153–157.

[34] Killebrew and Lev-Tov 2008 ; Koch 2017, p. 190 (avec références).

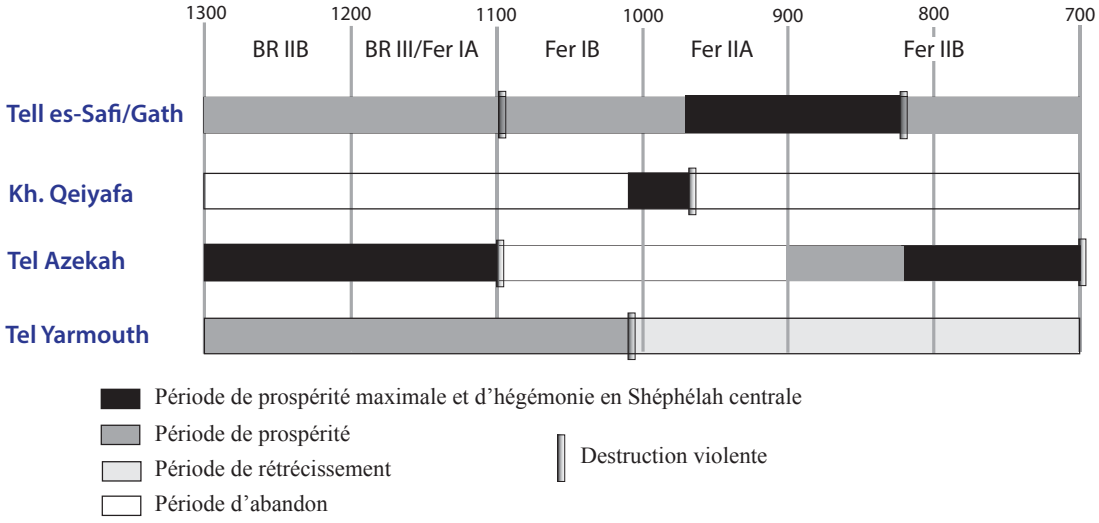


Fig. 24.3. Tel Yarmouth et les cités-états hégémoniques en Shéphélah centrale du Bronze récent IIB à la fin du Fer IIB.

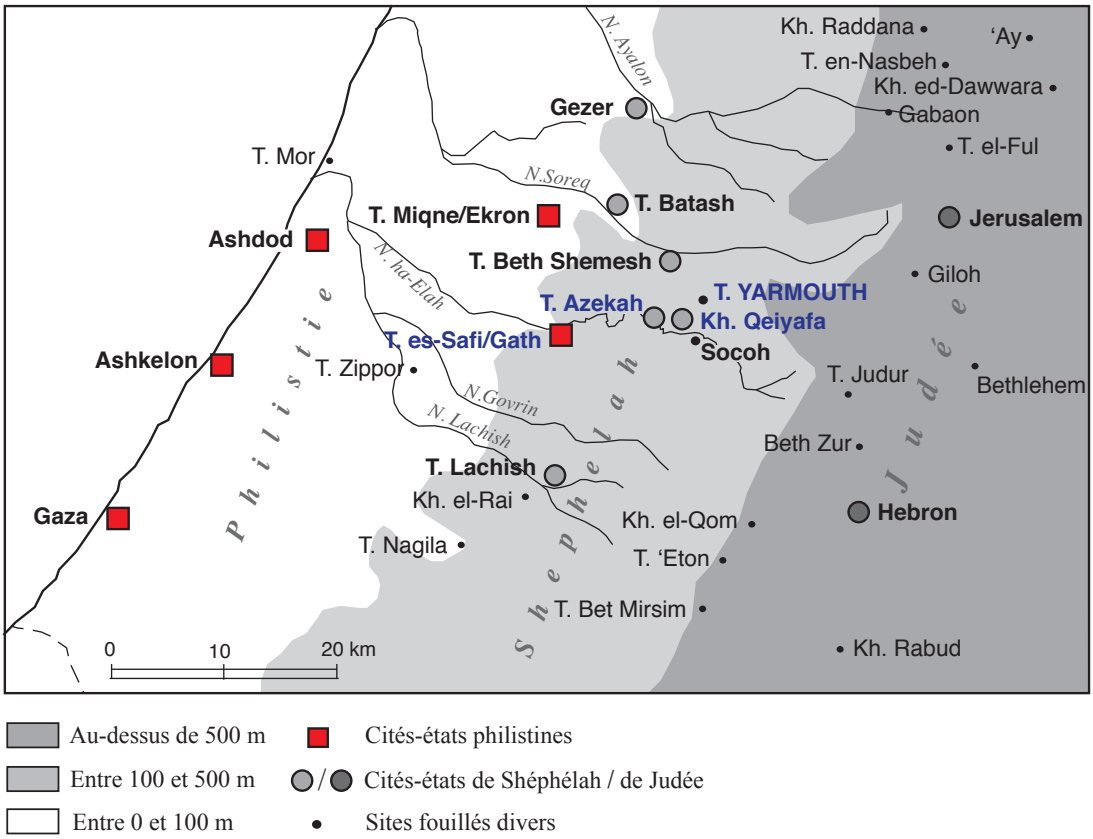


Fig. 24.4. Carte des sites du Fer I au sud-ouest d'Israël.

et économique particulière, orientée vers un mode de vie agricole et pastorale, et donc différente de celle des cités-états de la Plaine côtière[35], la poterie des établissements israélites constitue un répertoire cananéen appauvri, où dominent les marmites et les jarres de stockage. Ces formes s'inscrivent entièrement dans la tradition cananéenne, et c'est pourquoi les jarres de stockage « à collier » (« *collared-rim jars* »), longtemps perçues à tort comme l'expression ethnique et culturelle de ces établissements[36], peuvent se trouver dans n'importe quel autre site en Palestine, israélite ou cananéen, y compris à Tel Yarmouth, où elles demeurent cependant exceptionnelles (**Fig. 9.7:10**).

C'est sur le fond de ces observations générales qu'il convient d'apprécier le détail des transformations de Tel Yarmouth au Fer I.

24.1.5.2. *Le niveau Acr-V*

Le passage du niveau Acr-VIA au niveau Acr-V est marqué, on l'a vu, par une continuité dans la stratigraphie et dans le mobilier archéologique, sauf la disparition des poteries chypriotes ou mycéniennes importées. S'agissant d'un village, cette continuité d'occupation est remarquable. Le changement par rapport au niveau précédent est cependant sensible puisque l'on constate qu'à partir du niveau Acr-V, pour la première fois depuis la fin du Bronze ancien, des habitations domestiques ont été construites sur le versant sud-ouest de l'acropole, où elles s'étageaient sur une série de petites terrasses. Il est vraisemblable que la totalité de la colline était occupée désormais, et non plus seulement sa partie sommitale. Ce village agrandi de Tel Yarmouth a pu couvrir une superficie de l'ordre d'un hectare ou davantage. Il a poursuivi une existence paisible pendant toute la durée du Fer I jusqu'à la destruction du niveau Acr-III vers la fin du XIe siècle.

Les prospections archéologiques ont révélé peu de sites au voisinage de Tel Yarmouth, d'autant moins que les ramassages de tessons en surface ne permettent pas toujours de distinguer clairement entre le Bronze récent III/Fer IA et l'époque suivante du Fer IB. Outre les sites majeurs de Tel Beth Shemesh et de Tel Azekah (**Tableau 24.1**), on peut citer les petits établissements de Khirbet Badd al-Banat et Nahal Nativ, situés à moins de 2 km au sud-est de l'acropole (**Figs 1.3, 24.1**)[37]. Tel Yarmouth est probablement demeurée dans l'ombre de Tel Azekah (**Fig. 24.3**), dont la période de prospérité s'est maintenue intacte jusqu'à la fin du Bronze récent III/Fer IA, quand la ville a subi une destruction brutale et massive[38], à peu près contemporaine de celle de Lachish VI[39] et d'autres sites contemporains (Tel Goded, Tel Zayit, Tel Burna, Tel Harasim)[40]. Ces villes sont ensuite restées désertées pendant toute la durée du Fer IB.

Leur destruction marque ainsi un tournant dans l'histoire du peuplement de la Shéphélah dans le dernier quart du IIe millénaire et la véritable transition dans cette région entre le

[35] Faust 2006.
[36] Finkelstein 1988, pp. 275–285 ; Faust 2006, pp. 191–205.
[37] Tal *et al.*, à paraître.
[38] Lipschits *et al.* 2017, pp. 11–13.
[39] Ussishkin 2004, pp. 69–73.
[40] Jasmin 2000, 2003, 2006a ; Faust 2017b, p. 23.

Bronze récent et le Fer I[41]. Quelques sites de la Shéphélah ont cependant survécu à ces événements violents ; c'est le cas de Tel Beth Shemesh[42], de Tell Beit Mirsim[43], de Tel 'Eton[44], et c'est aussi celui de Tel Yarmouth. Il est remarquable que la destruction de Tel Azekah ne l'ait pas affecté, malgré la grande proximité des deux sites : la transition du niveau Acr-V au niveau Acr-IV s'y est déroulée sans heurt, avec une continuité culturelle marquée. Cette différence de sort implique que l'emprise politique d'une cité sur les villages alentours n'était pas si étroite pour qu'ils aient tous partagé le même destin en cas de conflit ; la destruction d'une ville n'était pas nécessairement accompagnée par celle des villages dépendants.

24.1.5.3. *Le niveau Acr-IV*

Le dégagement des vestiges du niveau Acr-IV ne permet guère de préciser les caractères de l'occupation au commencement du Fer IB. La fonction exacte des deux structures circulaires mises au jour en BC 116 demeure incertaine. Le mobilier céramique n'est pas non plus très abondant. Sur fond de continuité culturelle marquée, le fait nouveau le plus significatif est l'apparition à ce niveau de la poterie bichrome philistine (« *Philistine 2* »), qui signale le rétablissement d'échanges inter-régionaux entre la Shéphélah centrale et la Plaine côtière. C'est une conséquence d'une situation géopolitique nouvelle, apparue après la destruction vers la fin du XIIe siècle de la plupart des sites de la Shéphélah, en particulier Tel Lachish VI et Tel Azekah T3a/S4 (**Tableaux 24.1 ; Figs 24.2–24.3**), et la consolidation de la domination philistine à l'ensemble de la Plaine côtière au sud de la rivière Yarqon, jusqu'en bordure de la Shéphélah (**Fig. 24.4**). Elle a coïncidé avec le développement de Tel Miqne/Ekron et de Tell es-Safi/Gath, devenus de grandes cités-états philistines[45]. Tell es-Safi/Gath, en particulier, a connu alors une croissance rapide, atteignant une superficie d'une cinquantaine d'hectares à la fin du Fer IB[46]. Il est raisonnable de supposer qu'une cité-état aussi puissante a étendu son influence jusqu'à la vallée de la Elah, distante d'une douzaine de kilomètres à vol d'oiseau et tombée en déshérence politique après la disparition de Tel Azekah (**Fig. 24.2**).

Mais il serait erroné d'en conclure que celle-ci exerçait son influence de manière exclusive. En effet, sur les onze tessons en céramique bichrome philistine des niveaux Acr-IV et Acr-III qui ont été analysés (voir Appendice 1 et §§ 9.2.3 et 10.2.3), huit sont originaires de la Shéphélah, et trois proviennent du sud-ouest de la Plaine côtière, dans les environs de Gaza et d'Ashkelon, ce qui implique que Tel Yarmouth avait des sources d'approvisionnement en poteries bichromes philistines qui ne passaient pas nécessairement par Tell es-Safi/Gath. Si un village comme Tel Yarmouth pouvait entretenir ses propres réseaux d'échanges, c'est probablement qu'il bénéficiait d'une certaine autonomie, du moins dans la gestion de ses relations interrégionales.

[41] Ussishkin 2004, pp. 74–75 ; Mazar 1990, pp. 290–291, 296.
[42] Bunimovitz and Lederman 1993, p. 250.
[43] Niveau B1 : Greenberg 1987 ; 1993, p. 179.
[44] Faust *et al.* 2014 ; Faust and Katz 2015 ; Faust 2017b.
[45] Finkelstein 1996, 2000.
[46] Maeir and Uziel 2007, pp. 34, 37 ; Uziel and Maier 2005, pp. 62–67.

24.1.5.4. *Le niveau Acr-III*

La situation de Tel Yarmouth est demeurée essentiellement la même au niveau Acr-III, qui couvre une grande partie XIe siècle (**Tableau 24.1**, **Figs 24.2–24.3**). Les vestiges mis au jour sont ceux d'un village prospère qui occupait certainement la totalité de l'acropole et de ses versants. La céramique bichrome philistine (« *Philistine 2* ») y est bien représentée, compte tenu de la faible superficie des fouilles, et l'ensemble de la culture matérielle poursuit une tradition cananéenne qui remonte au Bronze récent, au point que la poterie de tradition locale de Tel Yarmouth est alors très comparable à celle des grands sites voisins, dont Tell es-Safi/Gath A5 et Tel Beth-Shemesh 6–5.

Y. Dagan a signalé la rareté dans la Shéphélah des sites du Fer IB contemporains des niveaux Acr-IV et Acr-III[47]. Aux environs de Tel Yarmouth, une occupation de cette période a été identifiée à Nahal Nativ, un petit site situé à 1,7 km au sud-est de l'acropole[48] et une tombe du site voisin de Khirbet el-'Alya, sur le bord nord du nahal Yarmouth, renfermait un mobiliser funéraire datant de la fin du Fer IA et du début du Fer IIA[49] (**Figs 1.3** et **24.1**). Ces deux sites ont livré aussi quelques tessons de céramique bichrome philistine (« *Philistine 2* »). On a déjà signalé ci-dessus que cette catégorie de céramique est relativement rare sur les sites contemporains de la Shéphélah intérieure, tels que Tel 'Eton[50], Tell Beit Mirsim[51], Khirbet el-Rai[52] et dans une grotte sur la pente de Tel Lachish[53] ; en revanche, elle est bien représentée à Tel Beth-Shemesh, sans doute en raison de sa proximité avec Tel Batash et le territoire philistin[54].

L'occupation du niveau Acr-III s'est achevée, probablement vers la fin du XIe siècle, voire même au tout début du siècle suivant (ci-dessous, § 24.1.5.5.2), par une destruction complète et violente : chaque pièce fouillée comportait plus d'un mètre de débris composés d'épaisses couches de cendres, de poutres carbonisées et de murs effondrés sur des poteries écrasées (§ 3.7). On ignore si cet incendie catastrophique a affecté l'ensemble du site ou bien seulement le versant sud-ouest de l'acropole où est implanté le Sondage 2. La première hypothèse est la plus probable car on constate que ce versant de l'acropole est resté ensuite inhabité jusqu'à l'époque romaine : après la destruction des maisons du niveau Acr-III, seuls des murs de terrasse ont été construits dans cette zone, avant sa réoccupation par des habitations domestiques au niveau Acr-IB. En admettant que Tel Yarmouth n'a pas été abandonnée après le niveau Acr-III, il est clair que l'occupation du site a été très réduite durant le Fer II (niveau Acr-IIB), en sorte qu'il faut considérer la destruction intervenue à la fin du niveau Acr-III comme un événement traumatique important qui a eu des effets durables.

[47] Dagan 2004, p. 2680.
[48] Tal *et al.*, à paraître.
[49] Dagan 2010, pp. 196–201, fig. 247.4:11.
[50] Edelstein and Aurant 1993 ; Faust 2015.
[51] Dothan 1982, pp. 43–44 ; Greenberg 1987, fig. 7:5.
[52] Garfinkel and Ganor 2017, fig. 10.
[53] Ussishkin 2004, pp. 72–73.
[54] Bunimovitz and Lederman 2011, pp. 42–44 ; 2016, pp. 206–211.

24.1.5.5. *Excursus : Tel Yarmouth et Khirbet Qeiyafa*

Est-il possible de désigner les responsables de la destruction de l'établissement du niveau Acr-III ? Jusqu'à récemment, il aurait été tentant d'y voir un dommage collatéral de la lutte entre les Philistins et les Israélites, souvent évoquée dans la Bible (*cf.* Jg 13–16) et censée s'être prolongée tout au long des XIe-Xe siècles, les Philistins – en l'occurrence Tell es-Safi/Gath, alors au sommet de sa puissance[55] – s'efforçant d'étendre leur contrôle vers l'est, en direction des hautes collines de Judée, et les Israélites cherchant à étendre leur influence vers le bas pays, en direction du territoire philistin, la vallée de la Elah, où la tradition situe le combat de David et Goliath, étant le théâtre de cet affrontement[56]. Mais une telle interprétation n'a plus lieu d'être aujourd'hui, d'une part parce que des recherches récentes tendent à montrer que les récits bibliques concernant l'affrontement philistino-judéen sont des élaborations postérieures et que l'expansion judéenne en Shéphélah n'est guère antérieure au IXe siècle[57] ; d'autre part, et surtout, parce que les fouilles récentes du site voisin de Khirbet Qeiyafa ont radicalement changé les termes de cette problématique.

24.1.5.5.1. Les fouilles de Khirbet Qeiyafa

Khirbet Qeiyafa est un site de 2,3 hectares situé en bordure nord de la vallée de la Elah (**Figs 1.3–1.4, 24.1**), fouillé de 2007 à 2013[58]. Faisant suite après des siècles d'abandon à un hameau du Bronze moyen, l'établissement du niveau IV résulte de la fondation *ex nihilo* d'une ville fortifiée construite d'un coup, selon un plan d'ensemble bien structuré, avec une fortification à casemates, deux portes de ville à double chambres intérieures et une ceinture d'habitations disposées le long de la muraille autour d'un vaste espace vide, sauf un bâtiment public installé au point culminant du site. Cet établissement entièrement nouveau par sa conception et son organisation a eu une brève existence, évaluée par les fouilleurs à quelques décennies seulement et datée par le ^{14}C entre *c.*1021/994 (construction du site) et *c.*1006/961 avant notre ère (destruction)[59], soit, *grosso modo*, dans la première moitié du Xe siècle. Les observations archéologiques ne permettent pas de déterminer avec certitude si le site a été abandonné ou détruit, hypothèse considérée pourtant comme la plus vraisemblable[60]. En chronologie relative, la datation de cet établissement est disputée, entre la fin

[55] Références ci-dessus, n. 30.

[56] Voir Dothan 1982, pp. 13–16, et, plus récemment, Faust 2016, pp. 168–171 ; 2017b, pp. 27–28. Sur les références bibliques concernant spécifiquement la vallée de la Elah, voir Adams 2009, pp. 49–52.

[57] Finkelstein 2002, p. 111 ; 2003, pp. 79–81 ; Sergi 2013, pp. 227–230, 239–241 ; Lehmann and Niemann 2014, pp. 88–90 ; Niemann 2016 ; 2017, pp. 251–257 ; Na'aman 2017, pp. 4–8, 12–16 ; Maeir 2017b, pp. 62, 65–67 ; Maeir and Hitchcock 2017, pp. 252–259. Pour une datation un peu plus haute (*c.* 900), voir Herzog and Singer-Avitz 2004, pp. 229–236.

[58] La bibliographie des fouilles de Khirbet Qeiyafa est considérable, mais en grande partie répétitive. Pour des présentations complètes avec bibliographies antérieures, voir Garfinkel and Ganor 2009 ; Garfinkel *et al.* 2014 ; Garfinkel *et al.* 2016 ; Garfinkel 2017.

[59] Garfinkel *et al.* 2015 ; Garfinkel 2017, pp. 28–30 ; Garfinkel *et al.* 2016, pp. 148–154 ; Katz and Faust 2014, pp. 121–122 (fin XIe–980/960). *Contra* : Finkelstein and Piasetzky 2015 (1010–936); Gilboa and Waiman-Barak 2014, p. 398 (milieu du Xe s. *au plus tôt* en chronologie haute, *c.*920 en chronologie basse) ; Fantalkin and Finkelstein 2017.

[60] Garfinkel *et al.* 2016, pp. 94–96.

du Fer IB et le début du Fer IIA, mais son caractère transitionnel est admis[61], de même qu'un consensus s'est établi pour rattacher exclusivement au début du Fer IIA quelques catégories de poterie particulières importées au niveau IV[62], en sorte que les fouilleurs le datent d'une phase initiale du Fer IIA[63]. L'essentiel du débat porte sur l'attribution culturelle et l'interprétation archéologique et historique de Khirbet Qeiyafa : les fouilleurs considèrent Khirbet Qeiyafa IV comme un établissement *judéen* du début du Xe siècle (Fer IIA), témoin d'une expansion du premier royaume de Juda en direction de la Shéphélah, et donc comme l'expression politique du processus d'étatisation du royaume de Juda dès l'époque du roi David[64]. Cette interprétation s'appuie sur la nature et le caractère monumental des vestiges architecturaux découverts et sur la présence d'un ensemble de marqueurs culturels considérés comme spécifiquement judéens[65]. Comme elle a d'importantes implications en termes d'archéologie, de chronologie et d'histoire bibliques, cette interprétation a suscité une vigoureuse controverse[66].

24.1.5.5.2. Tel Yarmouth *vs*. Khirbet Qeiyafa

Dans aucune discussion relative à Khirbet Qeiyafa l'existence de Tel Yarmouth n'a été mentionnée, malgré la proximité topographique, chronologique et culturelle des deux sites[67]. Distants de seulement 2,3 km, ils sont à vue d'œil l'un de l'autre (**Figs 1.3–1.4, 24.1**), Yarmouth occupant une position topographique dominante (405 m, contre 328 m pour Khirbet Qeiyafa). Au point de vue chronologique et culturelle, la poterie de Khirbet Qeiyafa IV et de Tel Yarmouth Acr-III sont l'une et l'autre de tradition purement cananéenne et présentent de nombreuses similitudes : pratiquement tous les types de poterie de Tel Yarmouth Acr-III sont attestés à Khirbet Qeiyafa IV, ce qui montre que l'assemblage céramique de ce dernier s'inscrit sans équivoque dans la tradition du Fer IB de la Shéphélah. Toutefois, quelques formes de poterie de Khirbet Qeiyafa IV n'existent pas à Tel Yarmouth Acr-III. Ces différences peuvent être expliquées de deux manières, d'ailleurs complémentaires. D'une part, par le fait que Khirbet Qeiyafa est un établissement plus important, fortifié et de caractère « urbain », qui a été dégagé sur des superficies incomparablement plus étendues en sorte qu'il a livré un répertoire de formes plus varié. D'autre part, et surtout, par le fait que l'occupation de Khirbet Qeiyafa IV est apparemment un peu plus récente que celle de Tel Yarmouth Acr-III, ce que confirment par ailleurs la présence de poteries locales ou

[61] Kang and Garfinkel 2009a, pp. 138–145 ; Garfinkel and Kang 2011 ; Kang 2015 ; Singer-Avitz 2010, 2016 ; Garfinkel 2017, p. 30.

[62] Pour l'« *Ashdod Ware* », voir Kang and Garfinkel 2009b ; Kang 2013. Pour les autres vases importés, voir Gilboa and Waiman-Barak 2014 ; Cohen-Weinberger and Panitz-Cohen 2014.

[63] Sur la chronologie du Fer IIA, voir Herzog and Singer-Avitz 2004 (*deux* phases correspondant respectivement au Xe et au IXe s.) ; Garfinkel *et al.* 2016, pp. 202–204 (*trois* phases : fin XIe–début Xe s. [= Khirbet Qeiyafa IV] ; deuxième moitié du Xe–début du IXe s. ; milieu à fin IXe s.).

[64] Garfinkel *et al.* 2016, pp. 224–236 ; Garfinkel 2017, pp. 44–47.

[65] On en trouvera la liste dans Garfinkel 2017, pp. 42–44 ; Garfinkel *et al.* 2016, pp. 199–217.

[66] Pour des exposés critiques, voir Na'aman 2010, 2017 ; Finkelstein and Fantalkin 2012 ; Fantalkin and Finkelstein 2017 ; Lehmann and Niemann 2014 ; Niemann 2017. Des positions plus nuancées ont été exprimées par Maeir 2012, pp. 22–25 ; Mazar 2010, pp. 49–50 ; 2014, pp. 361–364.

[67] Tel Yarmouth n'apparaît sur *aucune* carte destinée à montrer l'environnement archéologique de Khirbet Qeiyafa publiée par Y. Garfinkel et collaborateurs, ni dans Finkelstein and Piasetsky 2015, fig. 1.

importées caractéristiques de la première phase du Fer IIA (Xe siècle)[68]. De fait, des poteries datables du Fer IIA n'apparaissent à Tel Yarmouth qu'au niveau Acr-IIB (§§ 11.1.1, 24.1.6.1). Ce décalage chronologique est bien perceptible dans le cas de la céramique philistine, présente sur les deux sites, mais dans des variétés différentes : à Tel Yarmouth, la céramique bichrome (« *Philistine 2* ») du Fer IB est en usage au niveau Acr-III et la céramique rouge peinte (« *Ashdod Ware* ») du Fer IIA n'est attestée qu'au niveau Acr-IIB (§ 11.1.2) ; à Khirbet Qeiyafa IV, il n'y a pas de céramique bichrome « *Philistine 2* », car celle-ci n'est alors plus en usage, et seule la céramique dite « *Ashdod Ware* » est présente[69].

De ces comparaisons typologiques, on peut conclure que le niveau Acr-III de Tel Yarmouth précède *immédiatement* la fondation de Khirbet Qeiyafa IV tandis que l'occupation du niveau Acr-IIB pourrait être contemporaine de celle de Khirbet Qeiyafa IV (**Tableau 24.1**, **Figs 24.2–24.3**).

24.1.5.5.3. Khirbet Qeiyafa judéenne ?

Une autre conclusion se dégage de ces comparaisons typologiques : la culture matérielle de Khirbet Qeiyafa IV est manifestement cananéenne et caractéristique de la Shéphélah centrale depuis le Bronze récent et pendant toute la durée du Fer I[70] ; elle apparaît sans solution de continuité au terme d'une évolution culturelle multi-séculaire *locale* dont on peut suivre le développement à travers *quatre* niveaux successifs aussi bien sur l'acropole de Yarmouth (niveaux Acr-VI à III) que sur le site proche de Tel Beth Shemesh (niveaux IVb–4) (**Tableau 24.1**)[71]. Par ailleurs, son mobilier archéologique ne montre guère d'affinités avec celui des sites judéens contemporains et témoigne à l'inverse de relations d'échanges continues avec les territoires philistins, qu'il s'agisse de poteries importées ou de la métallurgie du fer[72]. Aussi le caractère prétendument « judéen » de Khirbet Qeiyafa IV et son affiliation avec le royaume de David ne peuvent-ils être soutenus qu'en privilégiant une interprétation littérale et désormais contestée de la narration biblique et en faisant valoir, à l'appui de celle-ci, une série d'aspects singuliers du site considérés comme typiquement judéens[73]. Or chacun d'eux a fait l'objet de commentaires critiques ou de réfutations à partir d'arguments archéologiques, chronologiques ou historiques qu'il n'y a pas lieu de reprendre ici dans le détail, et qui mettent en doute la réalité même d'un royaume davidien au Xe siècle[74]. Au

[68] Voir ci-dessus, n. 62–63.

[69] Kang and Garfinkel 2009b ; Kang 2013, 2015.

[70] Voir déjà Singer-Avitz 2010, 2016.

[71] Bunimovitz and Lederman (2016, p. 214 et n. 13) ont souligné la continuité culturelle à Tel Beth Shemesh du Bronze récent II (niveau IVb des fouilles Grant-Wright) au début du Fer IIA (niveau 4 des fouilles Bunimovitz-Lederman) et la contemporanéité de Tel Beth Shemesh 4 et de Khirbet Qeiyafa IV.

[72] Pour les céramiques importées, voir ci-dessus, n. 62. Les analyses pétrographiques montrent que l'« *Ashdod Ware* » de Khirbet Qeiyafa IV a été importée du territoire philistin, probablement du sud-ouest de la plaine côtière (Ben-Shlomo 2009), ce qui était déjà le cas pour une partie de la céramique bichrome philistine recueillie aux niveaux Acr-IV–III de Tel Yarmouth (voir Appendice 1 et §§ 9.2.3 et 10.2.3) ; cette similitude suggère que les réseaux d'échanges établis localement au Fer IB ont été maintenus par les habitants de Khirbet Qeiyafa IV. Pour la métallurgie du fer, voir Niemann 2017, p. 247, n. 3 ; Eliyahu-Behar and Workman 2018.

[73] Références ci-dessus, n. 65.

[74] Références ci-dessus, n. 66. Sur le statut urbain de sa capitale Jérusalem au Xe siècle, voir Bunimovitz and Lederman 2016, pp. 281–282 (avec références) ; Na'aman 2017, pp. 3, 12, 14–15 (point de vue minimaliste) ;

total, l'hypothèse judéenne apparaît très incertaine car elle ne repose guère, en dernière analyse, que sur la nature et le caractère monumental, exceptionnels à une date aussi ancienne, des fortifications et de l'aménagement intérieur du site, qui plaident *a priori* en faveur d'une affiliation culturelle de Khirbet Qeiyafa IV avec la montagne judéenne et qui la désignent comme précurseur d'une tradition judéenne à venir[75]. Mais cet argument non plus n'est pas décisif car d'autres sites fortifiés du Fer I et du Fer IIA dans la montagne judéenne et en Shéphélah ont pu servir de modèle aux constructeurs de Khirbet Qeiyafa IV[76], d'autant que les fortifications et l'organisation interne du site témoignent d'un savoir-faire architectural déjà constitué qui n'a pu être mis en œuvre que par des architectes bénéficiant d'expériences antérieures.

D'autres observations rendent difficilement crédible l'hypothèse de la fondation de Khirbet Qeiyafa IV à la faveur d'une expansion judéenne, et plus précisément davidienne, dès les environs de 1000 avant notre ère. Les datations ^{14}C situent la fondation du site avant le règne supposé du roi David, ou du moins à son tout début, comme si la nouvelle entité politique judéenne avait eu d'emblée les moyens d'une telle entreprise. Par ailleurs, la construction *ex nihilo* de Khirbet Qeiyafa IV, dans un laps de temps que l'on suppose très court et au prix d'un labeur considérable, implique la mobilisation d'une main d'œuvre nombreuse[77]. Y Garfinkel suppose qu'elle a été rassemblée à la suite d'une conscription opérée dans l'ensemble de la Judée unifiée sous administration royale davidienne[78]. Or le peuplement du site, évalué à quelque 500 habitants[79], a forcément été assuré par une population locale puisque la culture matérielle de Khirbet Qeiyafa IV est semblable à celle des établissements cananéens autochtones de la Shéphélah centrale du Fer IB et du début du Fer IIA, et sensiblement différente de celle des établissements judéens contemporains[80]. Enfin, le scénario proposé par Y. Garfinkel et ses collaborateur suppose nécessairement une présence judéenne déjà bien implantée en Shéphélah centrale *avant* la fondation de Khirbet Qeiyafa, ce qui n'est pas confirmé par l'archéologie, ni à Tel Yarmouth ni sur les autres sites locaux de la fin du Fer IB, et ce qui ferait remonter la constitution d'un royaume judéen jusque vers le milieu du XIe siècle – une hypothèse que même les plus ardents défenseurs de la narration biblique davidienne hésiteraient à soutenir[81].

Niemann 2017, pp. 249–251 (*idem*) ; Maeir 2017b, pp. 62, 65–67 (point de vue modéré) ; Mazar 2010, pp. 34–49 ; 2014, pp. 361–364 (*idem*).

[75] Finkelstein and Fantalkin 2012, pp. 51–52, 57.

[76] Voir Finkelstein and Fantalkin 2012, pp. 42–43 ; Lehmann and Niemann 2014, p. 78 ; Na'aman 2010, pp. 509–511 ; 2017, pp. 25–26 ; Niemann 2017, pp. 9, 26. Les sites en question sont principalement en Judée : Khirbet ed-Dawwara (Finkelstein 1990 ; Na'aman 2012) ; et en Shéphélah : Tell Beit Mirsim (Greenberg 1993), Khirbet el-Qom (Holladay 1971) et Khirbet el-Rai (Garfinkel and Ganor 2017).

[77] Sur l'ampleur des travaux effectués, voir Keimer 2014 ; Keimer *et al*. 2015 ; Garfinkel *et al.* 2016, pp. 68–72.

[78] Garfinkel *et al.* 2016, p. 233 ; Garfinkel 2017, pp. 45–46.

[79] Y. Garfinkel, communication personnelle. Une centaine de familles selon Garfinkel *et al.* 2016, p. 233.

[80] Sur la différence entre la culture matérielle de la Shéphélah au Fer I et celle de la Judée contemporaine, voir Bunimovitz and Lederman 2016, p. 215.

[81] Voir déjà Na'aman 2010, pp. 508–509.

À ce scénario improbable d'une expansion judéenne en Shéphélah à une date aussi ancienne, on peut substituer un scénario alternatif, qui prend en compte les derniers acquis de la critique biblique et des recherches archéologiques. Il suppose que les fondateurs de Khirbet Qeiyafa IV étaient des autochtones obéissant à des contraintes géopolitiques locales.

24.1.5.5.4. Tel Yarmouth et Khirbet Qeiyafa dans leur contexte archéologique et historique

Pour apprécier le contexte archéologique et historique qui a vu l'émergence, puis la disparition de Khirbet Qeiyafa et les aléas de l'existence de Tel Yarmouth du XIIIe au IXe siècle, il faut remonter jusqu'au Bronze récent et suivre les étapes successives des changements géopolitiques qui se sont produits en Shéphélah centrale au cours de ces quelques siècles (**Tableaux 24.1–2** ; **Figs 24.1–24.4**).

Au XIIIe siècle avant notre ère, sur l'horizon du Bronze récent IIB (Yarmouth Acr-VIA), le sud-ouest de Canaan (Shéphélah et sud de la plaine côtière) est partagé en plusieurs cités-états sous l'égide des Égyptiens. Les cités dominantes sont alors Lachish, Tell es-Safi/Gath et Gézer, à l'ombre desquels se développent des cités secondaires (Tel 'Eton, Tel Azekah, Tel Beth Shemesh, Tel Batash). En Shéphélah centrale, le principal centre politique était Tel Azekah[82], dont Tel Yarmouth dépendait probablement.

Cet équilibre régional a été rompu dès le début du XIIe siècle (Bronze récent III/Fer IA, Yarmouth Acr-V), d'abord avec l'installation d'immigrants philistins sur des sites côtiers[83], puis, à partir du milieu du siècle, avec l'instabilité générale qui a suivi le retrait des Égyptiens et provoqué *in fine*, à la fois l'effondrement du système de cités-états et l'expansion philistine jusqu'en bordure de la Shéphélah. La fin du siècle est ainsi marquée par des destructions nombreuses, dont celles de Lachish VI et d'Azekah, qui resteront longtemps abandonnés[84].

Dès lors, entre la fin du XIIe et celle du XIe siècle (Fer IB, Yarmouth Acr-IV–III), la Shéphélah centrale s'est trouvée en situation de déshérence politique, tandis que les nouvelles cités-états philistines consolidaient leur pouvoir dans la plaine côtière. Tell es-Safi/Gath, la nouvelle puissance régionale émergente en bordure de la Shéphélah centrale, aurait pu ambitionner dès cette époque d'étendre sa domination sur la vallée de la Elah et ses alentours, qui constituaient son hinterland potentiel (voir ci-dessus, § 24.1.5.3) ; mais ses velléités d'expansion étaient neutralisées par la grande cité voisine de Tel Miqne/Ekron (niveaux V et IV), alors au faîte de sa puissance[85]. Dans cette conjoncture, les habitants autochtones de la Shéphélah centrale ont pu sauvegarder, pendant un laps de temps relativement long,

[82] Lipschits *et al.* 2017 ; Kleiman *et al.* 2016.

[83] Sur la chronologie de l'installation puis de l'expansion philistine dans la plaine côtière, voir Killebrew 2008, 2013 ; Master *et al.* 2011 ; Zukerman *et al.* 2016 ; Kleiman *et al.* 2016. Pour une opinion divergente, voir Ussishkin 2004, pp. 72–75.

[84] Ussishkin 2004, pp. 69–73 ; Lipschits *et al.* 2017, pp. 10–13 ; Kleiman *et al.* 2016.

[85] Sur Tel Miqne, voir Dothan and Gitin 2008 ; Gitin 2010, pp. 335–346. Sur les relations entre Tell es-Safi/Gath et Tel Miqne/Ekron estimée d'après l'évolution antagonique de leurs superficies respectives, voir Maeir and Uziel 2007. Les résultats des dernières campagnes de fouilles (2017–2018) à Tell es-Safi/Gath modifient sensiblement les conclusions des auteurs pour ce qui concerne le Fer IB puisqu'il s'avère que la ville basse était fortifiée dès cette époque, en sorte que la superficie du site était peut-être équivalente, voire même supérieure, à celle de Tel Miqne (*c.* 20 hectares) ; voir provisoirement Dagan *et al.* 2018 ; Welch 2018.

environ un siècle (niveaux Acr-IV–III), un degré d'autonomie suffisant pour se réorganiser politiquement. On présume que c'est après la destruction de Tel Miqne/Ekron à la fin du XIe siècle qu'ils ont résolu de faire renaître un centre politique régional autonome en fondant l'établissement fortifié de Khirbet Qeiyafa, destiné à s'opposer aux ambitions territoriales de Tell es-Safi/Gath, désormais libérée de toute entrave et plus puissante que jamais. La fondation de cette nouvelle cité marque ainsi le point culminant de l'existence d'une « enclave cananéenne » en haute Shéphélah entre la fin du XIIe et celle du XIe siècle, mais il ne s'agit nullement d'un phénomène ethnique – un prétendu souci de la population locale d'affirmer une « identité cananéenne » face à la montée en puissance de groupes « ethniques » philistins à l'ouest et judéens à l'est. Il s'agit, au contraire, d'un phénomène *politique*, découlant d'une conjoncture géopolitique locale particulière et transitoire[86]. L'émergence de Khirbet Qeiyafa à la fin du Fer IB doit être comprise dans la longue durée de l'histoire locale car un centre politique majeur a existé presque continûment dans cette région de la Shéphélah centrale depuis le Bronze ancien jusqu'à la fin de l'âge du Fer : Tel Yarmouth au Bronze ancien ; Tel Azekah au Bronze moyen et récent ; Khirbet Qeiyafa au début du Fer IIA ; Tel Azekah à nouveau au Fer IIB (**Figs 24.1–24.2**). Il est significatif qu'une pesanteur historique du même ordre s'est manifestée dans les environs de Tel Lachish avec la fondation du site fortifié de Khirbet el-Rai, intervenue dans le courant du Fer IB, peu de temps, semble-t-il, après la destruction de Lachish VI[87] ; dans un contexte régional différent, la fondation de Khirbet Qeiyafah s'est produite plus d'un siècle après la destruction de Tel Azekah, mais elle répondait au même besoin de constituer un centre politique local.

Pour fonder Khirbet Qeiyafa, il fallait nécessairement rassembler, de gré ou de force, les habitants de plusieurs villages voisins. Aussi peut-on supposer que la fondation du nouvel établissement a été le résultat d'un processus de synœcisme volontaire ou forcé. Dans le cas de Tel Yarmouth Acr-III, c'est la force qui semble avoir prévalu pour obliger les habitants du niveau Acr-III à se joindre à l'entreprise commune : le village a été violemment détruit, ses habitants probablement réquisitionnés pour construire le nouvel établissement, puis pour contribuer à son peuplement ; toutefois quelques-uns sont peut-être demeurés sur place à l'époque du niveau Acr-IIB, survivant dans un village désormais réduit aux dimensions d'un modeste hameau. D'autres établissements des environs de Yarmouth ont sans doute participé, volontairement ou non, à l'œuvre collective. Actuellement, on ne connaît avec certitude qu'un seul établissement du Fer IB, contemporain de Yarmouth Acr-III : il s'agit de Nahal Nativ (**Fig. 24.1**), qui semble avoir été aussi abandonné (ou détruit ?) lors

[86] La distinction opérée ici entre phénomène ethnique et phénomène politique est essentielle. Les fouilleurs de Tel Beth Shemesh (Bunimovitz and Lederman 2011, pp. 45–47) et de Tel 'Eton (Faust and Katz 2011 ; Faust 2013, pp. 178, 185) ont développé séparément, à partir d'arguments distincts mais dans une même perspective ethnique, la notion d'une « enclave cananéenne » en Shéphélah au Fer I. Les critiques dont elle a fait l'objet (Maeir and Hitchcock 2016 ; 2017, pp. 153–157 ; Maeir 2017c, pp. 134–139 ; Lehmann and Niemann 2014, pp. 80–85) ont été uniquement dirigées contre l'interprétation ethnique de cette notion. Elles ne s'appliquent pas à son interprétation politique, qui avait déjà été formulée par Na'aman (2010, pp. 514, 517 ; 2017, p. 27 et n. 36) et, plus succinctement, par Niemann (2017, p. 256).

[87] Garfinkel and Ganor 2017.

de la fondation de Khirbet Qeiyafa, peut-être en même temps que Yarmouth Acr-III[88]. Des fouilles sur d'autres établissements voisins et contemporains de Tel Yarmouth Acr-III, tels que Khirbet el-'Alya[89], pourraient vérifier cette hypothèse en confirmant s'ils ont connu ou non à la fin du Fer IB, comme Tel Yarmouth et Nahal Nativ, une interruption ou une contraction de leur peuplement consécutive à la fondation de Khirbet Qeiyafa.

La fondation de Khirbet Qeiyafa fut une entreprise éphémère : à peine deux générations plus tard, vers le milieu du Xe siècle, le site a été détruit, ou abandonné par la force. Cette destruction marque la disparition de l'« enclave cananéenne » du Fer IB de Shéphélah centrale. Elle est généralement imputée à Tell es-Safi/Gath qui, de fait, était la plus susceptible d'être affectée dans ses intérêts par l'existence de Khirbet Qeiyafa puisque celle-ci bloquait son expansion vers l'est[90]. Dès lors, Tell es-Safi/Gath a connu un développement sans précédent. Avec une superficie de 50 hectares, elle est devenue la principale puissance au sud de Canaan, imposant sa domination sur toute la Shéphélah[91] (**Fig. 24-3**). Comme dans le même temps le royaume de Juda avait pris le contrôle de l'ensemble des hautes collines de Judée, les deux entités politiques, Juda et Tell es-Safi/Gath, se sont trouvées dès lors face à face, en contact direct. C'est dans ce contexte historique que l'on peut situer avec le plus de vraisemblance les cycles narratifs bibliques de Saül et de David et l'évocation des luttes entre Juda et la Philistie, notamment le duel légendaire opposant David à Goliath de Gath dans la vallée de la Elah[92]. À cette époque, le village de Tel Yarmouth était probablement abandonné.

La domination régionale de Tell es-Safi/Gath a duré plus d'un siècle, jusqu'à sa destruction par Hazaël vers 830[93]. Alors seulement la voie était libre pour l'expansion du royaume de Juda, à la fois vers l'est (la Shéphélah) et le sud (le Néguev)[94]. Tel Azekah est alors redevenu le centre politique local[95], mais cette fois sous l'égide de la Judée, dont la domination s'étendait désormais à l'ensemble de la Shéphélah (**Fig. 24.3**).

24.1.6. Du Fer II à l'époque perse (niveau Acr-II)

La destruction du niveau Acr-III et la fondation subséquente de Khirbet Qeiyafa IV marquent une rupture profonde dans l'occupation de l'acropole de Tel Yarmouth. L'occupation du site s'est fortement contractée et s'est réduite à partir du Xe siècle et jusqu'à l'époque romaine à la partie sommitale de la colline – et peut-être aussi à son versant nord et nord-ouest, encore inexploré. Sur le versant sud-ouest où est implanté le Sondage 2, il n'y

[88] Tal *et al.*, à paraître.

[89] Seules deux tombes dépendantes de ce site ont été fouillées, avec un mobilier du Fer IB/début du Fer IIA : voir Dagan 2010, pp. 195–201; le site lui-même n'a pas été fouillé.

[90] Na'aman 2010, pp. 514–517 ; 2017 ; Lehmann and Neimann 2014, pp. 85–86 ; Neimann 2017, p. 257 ; Maeir 2017b, pp. 66–67.

[91] Références ci-dessus, n. 30.

[92] Maeir and Uziel 2007, p. 34 ; Maeir and Hitchcock 2017, pp. 256–259 ; Na'aman 2010, pp. 514–517 ; 2017, pp. 4–8, 9 ; Sergi 2013, pp. 227–230, 239–241.

[93] Maeir 2012, pp. 43–49. *Contra* : Garfinkel *et al.* 2016, pp. 113–114.

[94] Voir Na'aman 2010, p. 516 ; Sergi 2013 ; Lehmann and Niemann 2014, pp. 88–90 ; Maeir and Hitchcock 2017, pp. 253–255.

[95] Lipschits *et al.* 2017, p. 7.

Périodes * Sites	**Fer IIA ancien (milieu Xe s. ?)**	**Fer IIA récent (IXe s.)**	**Fer IIB (VIIIe s.)**	**Fer IIC – Babylonien (VIIe–VIe s.)**	**Période Perse (Ve-IVe s.)**
Tel Yarmouth	**IIB** → (L.2320)			**IIA** (L.1119/1140) ?	
Tel Megiddo	VB	VA-IVB	IVA – III	II	I
Tel Qasile	IX1-2	VIII	VII	–	VI
Tel Gezer	IX-VIII	VII	VI	V	IV
Tel Miqne	IV	III	II	IC-IB-IA	–
Tel Batash	IVA-B	*Hiatus ?*	IIIA-B	II – IIA	I
Tel Beth-Shemesh	4 ? IIa–IIb / 3		IIc / 2	1	–
Tell es-Safi/Gath	A4	A3/E2	A2	–	F6
Kh. Qeiyafa	IV	–	–	–	III
Tel Azekah	?	T2–2b	S1–4	?	S1–2 / W1–3
Tel Lachish	V	IV	III	II	I (Phase 1)
Tel Beit Mirsim	B_3	A_2		A_1	–
Tel ʻEton	B4		A4-3 / B3	–	A2 / B2
Tel Ashdod	X	IX	VIII/VII	VI	V
Tel Arad	XII	XI	X-IX-VIII	VII-VI	V
Tel Beer-Sheba	VII	VI – V – IV	III – II	I	H_3
Tel ʻIra	–	VIII	VII	VI	V

* Périodisation suivant Mazar 1990.

Tableau 24.2. Stratigraphie relative du niveau Acr.-II.

a pas de construction attribuable au Fer II, à moins d'admettre, comme le propose M. Jasmin (§ 3.8.1.3), que les deux gros murs M.2316 et M.2317 se rattachent à un complexe fortifié installé sur la sommet de l'acropole au Fer IIA ; au contraire, P. de Miroschedji date cette grande construction de l'époque perse (niveau Acr-IIA) et considère que les couches attribuées au niveau Acr-IIB sont en fait des couches de remblai constituées de terres rassemblées au voisinage de l'établissement sommital du Fer IB et du début du Fer IIA (§ 3.8.3).

24.1.6.1. *Niveau Acr-IIB*

Dans tous les cas, le mobilier attribué au niveau Acr-IIB ne provient pas de contextes stratigraphiques assurés, en sorte qu'on ne possède pas d'assemblages de poterie fiables et cohérents pour documenter le Fer II. Les comparaisons avec d'autres assemblages céramiques régionaux permettent cependant de distinguer deux horizons chronologiques successifs :

– Une bonne partie de la poterie du locus 2320 relève de la fin du Fer IB et du début du Fer IIA, soit du Xe siècle. Elle présente des affinités avec celle de Tel Batash IVB[96], de la tombe de Khirbet el-ʻAlya, et surtout de Khirbet Qeiyafa IV (**Tableau 24.2**, **Fig. 24.3**).

[96] Mazar and Panitz-Cohen 2001.

L'occurrence de poteries philistines tardives (« *Philistine 3* » et « *Ashdod Ware* ») au niveau Acr-IIB et à Khirbet Qeiyafa IV suggère que les deux sites ont pu être occupés simultanément, mais cela demeure incertain car il est possible que la céramique dite « *Ashdod Ware* » soit apparue dès la fin du Fer IB[97].

– Vu la rareté des tessons susceptibles d'être attribués au Fer IIA récent et au Fer IIB, il est possible que le site a été abandonné en tout ou en partie vers la fin du Xe et au IXe–VIIIe siècles, à l'époque de la domination de Tell es-Safi/Gath, puis de l'expansion judéenne. En raison de sa situation en bordure de la vallée de la Elah, Tel Yarmouth s'est trouvé alors au cœur des affrontements entre Philistins et Israélites, et cette instabilité régionale explique peut-être que le village de Yarmouth n'a pas retrouvé son ancienne prospérité. Il n'y a pas d'indice clair d'une occupation du versant sud-ouest de l'acropole au VIIIe siècle, pendant l'âge d'or du royaume de Juda, qui s'est pourtant manifesté en Shéphélah par une augmentation sans précédent du nombre des sites[98]. Il faut attendre le VIIe siècle pour trouver des témoins d'une réoccupation de l'acropole.

24.1.6.2. *Niveau Acr-IIA*

Le Fer IIC s'inscrit entre deux événements dramatiques marqués par des destructions considérables, la campagne de Sennacherib en 701 et celle de Nabuchodonosor en 587/86. Pratiquement tous les sites majeurs de Shéphélah ont été affectés et plusieurs sont restés désertés au VIIe siècle (Tel Azekah, Tell es-Safi, Tel 'Eton) ou au VIe siècle (Tel Beth Shemesh, Tell Beit Mirsim)[99] (**Tableau 24.2**). En Shéphélah centrale, aux environs de Tel Yarmouth, on constate à cette époque une diminution sensible du nombre des établissements ruraux[100]. De fait, sur l'acropole de Tel Yarmouth, les tessons datables du Fer IIC et de l'époque babylonienne sont rares dans les couches attribuées au niveau Acr-IIA, dans lesquelles on peut signaler notamment une jarre sans col d'un type caractéristique du VIIe siècle (**Fig. 11.8:9**). Il est donc vraisemblable que le site a été réoccupé à cette époque.

Pour l'époque perse, l'occupation du site est raisonnablement bien établie. Si l'on admet que la grande construction dont on a repéré le mur d'enceinte en BA 116 date bien de l'époque perse, comme le suggèrent la poterie et la fibule qui lui sont associées (§§ 11.2–3, 14.1.1.4), Tel Yarmouth prend place parmi les sites de la Shéphélah qui, comme Tel Lachish, Tel 'Eton et plusieurs autres dans les monts de Judée, ont vu se développer sur leur sommet une installation agricole fortifiée où les Judéens ont pu s'installer à leur retour de l'exil babylonien (voir §§ 3.8.3 et 24.2.2.1) (**Tableau 24.2**). Les prospections archéologiques et les fouilles de sauvetage récentes ont confirmé que la région de Ramat Shemesh a bénéficié d'un regain de peuplement à l'époque perse, avec de grands établissements à Tel Zanoah et Tel Azekah, et des villages ou hameaux à leur voisinage, notamment à Khirbet

[97] Kang 2013, p. 9.
[98] Rainey 1983, pp. 6–16 ; Dagan 2004, pp. 2680–2681 ; 2011, pp. 258–261.
[99] Rainey 1983, pp. 16–17 ; Mazar and Panitz-Cohen 2001, p. 280 ; Finkelstein and Na'aman 2004, pp. 66–67, 71–75 ; Na'aman 1993, pp. 112–114.
[100] Dagan 2004, p. 2682 ; 2011, pp. 261–262.

Shumeila et à Khirbet el-Keik, situés à moins de deux kilomètres à l'est de l'acropole de Yarmouth[101], ainsi que, vers la fin de la période, à Khirbet Qeiyafa[102] et à Tel Socoh[103] (**Fig. 1.3**).

24.1.7. De l'époque hellénistique à l'époque romano-byzantine (niveau Acr-I)

24.1.7.1. *L'époque hellénistique (niveau Acr-IC)*

Le versant sud-ouest de l'acropole est resté inhabité jusqu'à l'époque romaine ancienne (niveau Acr-IB). Aucun sol ni reste de construction ne peut être rattaché à l'époque hellénistique à laquelle correspondraient, dans l'interprétation de la stratigraphie proposée au § 3.9.1, une grande fosse (F.1174) et une couche d'érosion qui constituent le niveau Acr-IC, intercalé chronologiquement entre l'époque perse (niveau Acr-IIA) et l'époque romaine ancienne (niveau Acr-IB). L'occupation du site à l'époque hellénistique est cependant vraisemblable, bien qu'elle se déduise d'observations ténues : quelques tessons de datation incertaine recueillis dans une couche superficielle du Sondage 1 (**Fig. 12.1**), et surtout une anse de jarre estampillée d'un sceau à pentagramme portant les lettres *yršlm* que N. Richardson a ramassée en surface sur l'acropole en 1966[104]. La datation qu'il en avait proposé (troisième quart du IIIe siècle avant notre ère) doit être révisée aujourd'hui car les fouilles récentes de Jérusalem, et surtout celles de Ramat Rahel, ont montré que l'utilisation de ce type de sceau date du commencement de l'époque hasmonéenne, soit de l'époque hellénistique récente (167–37) [105]. Une autre anse estampillée du même type a été ramassée en surface sur le versant sud de la colline de Beit Jimal, de l'autre côté du nahal Yarmouth, face à Tel Yarmouth[106]. D'autres établissements voisins ont été identifiés par des prospections archéologiques ou des fouilles, notamment à Khirbet Qeiyafa IIe[107], à Socoh[108], à Khirbet Fattir, à Khirbet el-Keik et à Tel Zanoah[109] (**Fig. 1.3**). En revanche, on ignore si Tel Yarmouth était occupé juste auparavant, pendant l'époque hellénistique ancienne (332–167), quand Khirbet Qeiyafa a été réoccupée et entourée d'un nouveau mur d'enceinte[110].

24.1.7.2. *Le village d'époque hérodienne/romaine ancienne (niveau Acr-IB)*

Il est vraisemblable que l'établissement hasmonéen a poursuivi son existence sans solution de continuité jusqu'à l'époque hérodienne/romaine ancienne (37 av.–70/132 ap. J.-C.). Celle-ci est marquée par un renouveau du village de Yarmouth, qui semble avoir atteint à

[101] Dagan 2011, pp. 263–265. Kogan-Zehavi 2014.
[102] Garfinkel 2017, p. 8 ; Sandhaus and Kreimerman 2015.
[103] Weiss 2017, pp. 85–88.
[104] Richardson 1968. Sur cette catégorie d'anses de jarre estampillées, voir Bocher and Lipschits 2014.
[105] Bocher and Lipschits 2014, pp. 103–104.
[106] Farhi 2001.
[107] Garfinkel and Ganor 2009, p. 33.
[108] Weiss 2017, pp. 89–90.
[109] Dagan 2011, p. 265–266.
[110] Garfinkel and Ganor 2009.

cette époque (niveau Acr-IB) son extension maximale : la présence d'habitations domestiques installées sur des terrasses étagées en AZ 116 implique que l'établissement romain couvrait désormais l'ensemble de la colline – et cela pour la première fois depuis le Fer IB. L'orientation des habitations est proche de celle des constructions du niveau Acr-II. Elles ont été édifiées à la suite d'un important travail d'aménagement de la pente, recreusée sur une profondeur de plus de deux mètres pour établir des terrasses étagées. Il est tentant d'attribuer à ce village hérodien une partie, sinon la totalité, des citernes creusées sur l'acropole. En considération de la dispersion de ces citernes vers le sud-est (voir **Fig. 1.12**), il est donc possible que l'établissement s'étendait au-delà de la colline, avec une superficie doublée, bien supérieure à celle de tous les villages qui l'avaient précédé depuis le Bronze récent ; toutefois, la datation précise de ces citernes excentrées est indéterminée et certaines pourraient ne dater que de l'établissement romano-byzantin du niveau suivant (Acr-IA). La découverte d'une monnaie d'Hérode le Grand dans la ville basse par A. Ben-Tor[111] rappelle par ailleurs qu'une partie au moins des terrasses agricoles qui couvrent aujourd'hui la ville basse pourrait dater de cette époque (**Figs 1.4–1.5, 1.9**).

Cette prospérité nouvelle du village de Yarmouth correspond à celle de la région, qui a connu à cette époque un habitat très dense de villages, hameaux et fermes isolées, notamment autour de Tel Asfur[112] et surtout au voisinage de Beit Natif (Tappuah), qui était alors la principale agglomération de cette zone[113] (**Fig. 1.3**).

La proximité de deux tombes d'un type caractéristique (ci-dessus, § 3.9.4.3 et **Figs. 1.12**, **3.76–3.77**) permet de supposer que le peuplement du village était juif. L'existence de tombes à *kokhim* et de bains rituels (*miqvaot*) dans plusieurs établissements des environs de Tel Yarmouth suggèrent d'ailleurs que le peuplement de la région était alors majoritairement juif[114]. De fait, la violente répression qui a suivi la révolte de Bar-Kokhba (132–135) a entraîné l'abandon de très nombreux établissements de la Shéphélah, où la présence autochtone juive a été pratiquement éradiquée, au moins jusqu'au début du IIIe siècle[115]. C'est probablement dans ce contexte que l'on peut situer la désertion du grand village romain de Yarmouth Acr-IB : les habitations de ce niveau construites sur la pente sud-ouest de l'Acropole ont été arasées, et la citerne volontairement désaffectée (§ 3.9.2.2).

[111] Ben-Tor 1975, p. 74.

[112] Dagan 2010, p. 112–114, site n° 132.

[113] Voir Dagan 2011, pp. 266–268, qui signale cependant qu'il est difficile de distinguer à partir de ramassages de surface entre la poterie de l'époque romaine ancienne (37 av.–132 ap. J.-C.) et celle de l'époque romaine récente (132–324). Pour les résultats des fouilles du site romain ancien de Horvat el-Keik, voir Kogan-Zehavi 2010.

[114] Pour une liste partielle des tombes à *kokhim* et des *miqvaot* aux environs de Tel Yarmouth, voir Dagan 2011, p. 268 ; ajouter German 2017, Storchan 2017, Eirikh-Rose 2017 (site 41). Signalons en outre les deux *miqvaot* sous les ruines de l'église byzantine de Beit Jimal et une tombe à *kokhim* découverte au voisinage : Di Segni and Gibson 2007, pp. 133–134.

[115] La Shéphélah relevait du territoire de Jérusalem, d'où les Juifs furent bannis après 135. Mais quelques groupes purent y retourner à partir de 200 à la suite de la fondation d'Eleutheropolis (Bet Guvrin) à laquelle furent rattachées la Shéphélah centrale et méridionale : voir Lichtenberger 2016, p. 3.

24.1.7.3. *Le village romano-byzantin (Iermochos) (Acr-IA)*

L'occupation postérieure à l'époque romaine ancienne est marquée sur la pente sud-ouest par une succession de murs de terrasse qui recouvrent les vestiges des habitations hérodiennes du niveau Acr-IB (§ 3.9.3). Attribués au niveau IA2–1, ils impliquent que ce versant de l'acropole n'était plus habité. Moins étendu qu'auparavant, le village qui leur est associé recouvrait la partie sommitale de la colline et son versant nord, où l'on observe aujourd'hui en surface de nombreux restes de construction (§ 3.9.4.1). Ces ruines sont vraisemblablement celles du village de *Iermochos* mentionné par Eusèbe de Césarée. La présence de citernes à la périphérie méridionale de l'acropole implique que le village d'époque hérodienne comme son successeur d'époque romano-byzantine ont pu s'étendre dans cette direction, bien qu'il n'en subsiste dans cette zone aucun autre vestige visible en surface. Quant aux murs de terrasse agricole qui couvrent la ville basse, leur réfection, sinon leur construction, datent de cette époque, à en juger du moins par les tessons qui leur sont associés dans les divers chantiers fouillés[116].

Le village de Yarmouth/*Iermochos* dépendait alors d'Eleutheropolis (Bet Govrin), dont le territoire s'étendait jusqu'à Eshtaol[117]. Au temps d'Eusèbe (fin IIIe–début IVe siècle) et au-delà, cette région a connu l'apogée de son peuplement, représenté aux environs de Tel Yarmouth par une ville (Beit Natif, ancienne Bethletepha) et des dizaines de villages et de fermes isolées, grottes d'habitation, installations agricoles ou « industrielles » (citernes, pressoirs à huile ou à vin, *columbaria*, carrières à chaux)[118]. Les ruines d'une dizaine d'églises au voisinage du site trahissent l'importance du peuplement chrétien à partir de cette époque[119]. La transition du niveau Acr-IB au niveau Acr-IA marque en somme le basculement du peuplement juif au peuplement chrétien dans cette région de la Shéphélah dans le courant des IIIe–IVe siècles[120]. Cette forte présence chrétienne dès l'époque byzantine ancienne a d'ailleurs laissé son empreinte dans la toponymie locale : Beit Jimal, à 1,8 km au nord de Tel Yarmouth, évoque Gamaliel, membre pharisien éminent du Sanhédrin de Jérusalem (Act 5:34), et le wadi en-Nabi Bulus (nahal Yarmouth), au pied du tell, rappelle l'apôtre Paul, disciple de Gamaliel (Act 22:3). L'invention des reliques du protomartyr Étienne à Beit Jimal en 425 est à l'origine d'une grande l'église byzantine, qui fut reconstruite à la fin du XIXe siècle par les Pères Salésiens[121].

[116] Sur la datation de ces murs de terrasse observés sur de nombreux sites des environs de Tel Yarmouth, voir les remarques de Dagan 2011, p. 276.

[117] Beyer 1931 ; Di Segni and Gibson 2007, p. 135.

[118] Voir Dagan 2011, pp. 274–276, qui a recensé 419 sites avec de la poterie byzantine. Rappelons cependant (Chap. 12, n. 1) que la distinction entre l'époque romaine récente (« *Late Roman* ») et l'époque byzantine ancienne est délicate, *a fortiori* quand il s'agit de tessons ramassés en surface.

[119] Dagan 2011, p. 275 ; Betzer 2012. Voir aussi Strus and Gibson 2005.

[120] Sur les modalités de ce changement vues de Beit Natif, voir Lichtenberger 2016, pp. 1–4, 275–276. Sur l'expansion du christianisme en Judée à cette époque, voir Abel 1967, pp. 193–194.

[121] Lagrange 1894, pp. 41–59 ; Di Segni 2007, p. 385. D'après Di Segni and Gibson (2007, pp. 136–137), il faudrait renoncer à identifier Beit Jimal avec Caphar Gamala, qui serait en réalité Jemmala, à 25 kilomètres au nord-ouest de Jérusalem.

24.2. Tel Yarmouth et la bible *(P. de Miroschedji)*

Le nom de Yarmouth se rattache apparemment à un fond linguistique très ancien, peut-être pré-sémitique, bien attesté au Proche-Orient ancien où les toponymes basés sur le radical *yar-*, qui semble évoquer l'idée d'eau courante ou de source, apparaît dans des noms de cours d'eau – tels que *Yar*den, *Yar*qon, *Ya(r)*bboq, etc. – et dans des noms de ville ou de région – tels que *Yar*imuta, ville ou région attestée dans les lettres d'el-Amarna[122]. Une tablette découverte à Tel Hesi et rattachée au groupe des lettres d'el-Amarna (EA 333) mentionne un établissement appelé *Yarami/Yaramu*[123], que W. F. Albright avait proposé d'identifier avec la Yarmouth biblique[124]. En admettant que le rapprochement des deux toponymes soit philologiquement fondé[125], leur identification est très improbable, d'une part parce que la tablette évoque plutôt un site de la Shéphélah méridionale au voisinage de Lachish et de Tel Hesi[126], d'autre part, et surtout, parce que les fouilles de l'acropole de Tel Yarmouth n'ont pas révélé une occupation du site au XIVe siècle.

S'agissant de la Yarmouth biblique *stricto sensu*, les discussions ont été longtemps influencées par le fait que les prospections de surface n'avaient pas identifié une occupation du site à l'époque du Bronze récent, en sorte qu'il était possible de formuler des hypothèses contradictoires sur l'historicité des références bibliques, la localisation de la Yarmouth biblique, ou le déplacement éventuel de ce toponyme[127]. Les résultats des fouilles sur l'acropole de Tel Yarmouth, qui confirment l'occupation du site au Bronze récent (niveau Acr-VI) et au Fer IA (niveau Acr-V), ainsi qu'aux époques perse (niveau Acr-IIA) et romaine (niveau Acr-IB–A), permettent de reconsidérer sur des bases désormais mieux assurées la question de l'identification biblique de Tel Yarmouth. Pour procéder à cette enquête, le plus simple est de partir des toponymes modernes pour essayer de retrouver, par équivalences successives en remontant le temps, les toponymes bibliques et leurs contextes historiques et textuels.

24.2.1. La permanence du toponyme

Le nom hébraïque actuel de Tel Yarmouth est fondé sur l'identification du site biblique de Yarmouth avec le toponyme moderne de Khirbet el-Yarmouk, qui *stricto sensu* désigne uniquement l'acropole, à l'exclusion de la ville basse (§ 1.2.1). Cette identification fut proposée pour la première fois en 1838 par E. Robinson et E. Smith[128] à partir du témoignage de l'*Onomasticon* d'Eusèbe de Césarée[129]. En fait, Eusèbe mentionne deux établissements distincts avec un nom comparable : en 106,9, il cite *Ierimuth* (transcrit *Iarimuth* par Jérôme)

[122] Nodet 1988, pp. 100–102.
[123] Albright 1942 ; 1969, p. 490 ; Na'aman 2011, p. 293.
[124] Albright 1942, p. 6, n. 30.
[125] Voir les réserves de Rainey 1983, p. 4 ; Rainey and Notley 2006, p. 86.
[126] Na'aman 2011, pp. 292–295.
[127] Ainsi Ben-Tor 1975, p. 75 ; Hayes and Miller 1977, p. 256 ; Nodet 1988, pp. 99, 103 ; Finkelstein 1988, p. 297 ; Na'aman 1994, p. 223.
[128] Robinson and Smith 1841, p. 344.
[129] Voir Thomsen 1907, pp. 71–72, désormais remplacé par Freeman-Grenville *et al.* 2003, pp. 61–62 et par Notley and Safrai 2005, pp. 102–105, 182.

avec renvoi à Jos 12:11, en précisant que le site se trouve à 4 milles romains d'Eleutheropolis (Beth Govrin) près du village d'Eshtaol ; et en 106,24 il indique que *Ierimuth* de Jos 15:35 correspond au village de *Iermochos* (transcrit *Iermucha* par Jérôme) à 10 milles romains sur la route d'Aelia (Jérusalem)[130]. Ces deux notices sont contradictoires puisqu'elles se réfèrent respectivement à Jos 12:11 et à Jos 15:35 comme s'il s'agissait de deux sites distincts, alors que le livre de Josué fait clairement référence à un seul et même site qui, en Jos 15:35, est associé à Adullam, Socoh et Azekah, localités effectivement voisines du village de *Iermochos*/Khirbet el-Yarmouk (**Fig. 1.3**). Par ailleurs, si ce dernier se trouve bien à environ 10 milles romains d'Eleutheropolis et près de la route romaine d'Aelia (Jérusalem), en revanche Eshtaol en est davantage éloignée ; c'est pourquoi Procope de Gaza a corrigé les 4 milles d'Eusèbe en 14 milles[131], qui correspondent mieux à la réalité, mais même cette correction n'est pas satisfaisante puisque la notice d'*On.* 88,8 situe Eshtaol à 10 milles d'Eleutheropolis (ce qui est inexact), sur la route de Nicopolis (Emmaüs) (ce qui est juste)[132].

Dans les discussions ultérieures, ces incohérences d'Eusèbe ont été escamotées ou bien résolues de façon contestable. Ainsi, P. Thomsen[133], suivi notamment par F.-M. Abel[134] et A. Ben-Tor[135], puis récemment par R. L. Chapman III[136] et par S. R. Notley et Z. Safrai[137], ont conclu que la *Ierimuth* d'*On.* 106,9 devrait plutôt être identifiée avec Khirbet el-Marmita, un site d'époque romaine et byzantine situé au sud-est d'Eshtaol à une distance de 7,5 km (**Fig. 1.3**), le toponyme *Ierimuth*/Yarmouth ayant été transféré de son emplacement originel vers le nord quand le nom a été changé en *Iermochos*/Yarmouk. En fait, l'occupation de Khirbet el-Marmita ne semble pas être antérieure au Ier siècle de notre ère[138], et on ne voit guère de rapport entre les noms de *Ierimuth* et Marmita, ni sur quoi se fonde cette supposition d'un déplacement du toponyme, sinon sur cette notice d'*On.* 106,9 qui est manifestement corrompue ou fautive. Les incohérences relevées dans les notices d'Eusèbe rendent suspectes la première mention du site en *On*. 106,9 et incitent à ne retenir que celle qui paraît la plus plausible, en l'occurrence la seconde (*On.* 106,24). Aussi V. Guérin a-t-il conclu avec raison que « dans ces deux cas, il s'agit, selon toute apparence, de la même ville, c'est-à-dire de l'Iarmouth biblique.(…). Le second passage (me) paraît donc le seul admissible »[139].

[130] Sur ces deux notices d'Eusèbe, voir Nodet 1988, pp. 98–99.

[131] Nodet 1988, p. 98, n. 3.

[132] En venant d'Eleutheropolis, la route romaine d'Aelia bifurquait à l'endroit où elle atteignait la vallée de la Elah, à 3,6 km au sud-ouest de Tel Yarmouth (**Fig. 1.2**) : la branche principale suivait la vallée de la Elah (Wadi es-Sunt) vers l'est, puis s'élevait vers le nord-est en direction d'Aelia, tandis qu'une voie secondaire poursuivait vers le nord en direction de Nicopolis en suivant à peu près le tracé actuel de la route n°38 (voir Roll 1983, carte p. 139, et *cf.* Abel 1967, p. 226 [V]). Une autre route secondaire vers Nicopolis bifurquait de la route d'Aelia à la hauteur de Beit Natif pour suivre le nahal Zanoah (wadi en-Najil) : voir **Fig. 1.2** et Dagan 2011, pp. 270–273. Ces routes romaines sont suivies encore en partie par les routes modernes illustrées sur la carte de la **Fig. 1.3**.

[133] Thomsen 1907, p. 71.

[134] Abel 1967, p. 356.

[135] Ben-Tor 1975, p. 75.

[136] Freeman-Grenville *et al.* 2003, p. 138.

[137] Notley and Safrai 2005, pp. 102–105, 182.

[138] Sur les résultats des fouilles de sauvetage, voir Gershuny 2006 ; Billig 2011 ; Govrin and Shavi, s.d.

[139] Guérin 1869, p. 374. Robinson et Smith (1841, p. 344, n. 1) avaient déjà exprimé la même opinion. Pour une discussion plus détaillée, qui aboutit à la même conclusion, voir Nodet 1988, p. 98, n. 4.

Cette conclusion laisse toutefois inexpliquée la transformation du toponyme *Ierimuth*/Yarmouth en *Iermochos*/Yarmouk, qui s'est vraisemblablement opérée entre l'époque hellénistique et le début de l'époque byzantine, peut-être lors de la refondation du village romano-byzantin du niveau Acr-IA (§ 24.1.7.3)[140]. Mais ce dernier toponyme étant conservé dans celui de la Khirbet el-Yarmouk moderne, dont la localisation est conforme à ce que suggère Jos 15:35 pour *Ierimuth*/Yarmouth, la double équation *Iermochos* /*Iermucha* = Khirbet el-Yarmouk = Yarmouth de la Bible proposée initialement par E. Robinson et E. Smith s'est rapidement imposée : elle a été reprise dès 1850 par J. Schwartz[141], puis par C. W. M. Van de Velde en 1852[142], T. Tobler en 1857[143], V. Guérin en 1863[144], C. R. Conder et H. H. Kitchener en 1875[145], etc., et, au XXe siècle, entre autres, par R. Tonneau[146], J. Garstang[147], W. F. Albright[148], F.-M. Abel[149], Y. Aharoni[150], M. Avi-Yonah[151], etc., en sorte qu'elle n'est plus contestée aujourd'hui. De fait, elle est confortée par l'archéologie, les vestiges du village de *Iermochos* /*Iermucha* étant représentés par ceux identifiés au niveau Acr-IA de nos fouilles.

E. Robinson et E. Smith n'avaient pas visité le site : c'est un informateur du village de Beit Natif qui leur avait désigné de loin une colline qu'il avait appelée Khirbet el-Yarmouk, la plus élevée dans le paysage environnant[152]. C. W. M. Van de Velde non plus n'avait pas visité le site, mais il s'en était approché davantage puisqu'il avait, semble-t-il, parcouru le wadi en-Nabi Bulus (nahal Yarmouth) en 1852 et qu'il était donc passé au pied du tell. Or son informateur local avait désigné le site sous un autre nom : « Tell-Ermûd »[153] ou « Tell 'Armuth »[154]. Van de Velde est le seul voyageur à faire état de ce toponyme, au lieu de la Khirbet el-Yarmouk de Robinson et Smith, dont il connaissait pourtant le récit de voyage[155]. Les voyageurs suivants, notamment T. Tobler, le premier a avoir examiné l'acropole en 1857, puis V. Guérin en 1863 et leurs successeurs au XIXe et au XXe siècle (voir § 1.2.1), ont suivi Robinson et Smith et ignoré Van de Velde, en sorte que le nom de Khirbet el-Yarmouk s'est imposé. C'est sous ce nom que le site a été enregistré sur la carte du *Survey of Western Palestine* (**Fig. 1.2**), puis sur les cartes ultérieures, et cela jusqu'à l'hébraïsation du

[140] On ne retiendra pas la suggestion d'Albright (1942, p. 36, n. 30), reprise par Aharoni (1967, p. 110), selon laquelle le changement de la consonne finale « may be due to a popular etymology connecting it with the name of the river Yarmûk, Greek Iermochos ».
[141] Schwartz 1850, p. 85.
[142] Van de Velde 1854, p. 193 ; 1858, pp. 115–116.
[143] Tobler 1859, p. 121.
[144] Guérin 1869, pp. 371–374.
[145] Conder and Kitchener 1883, pp. 6, 165.
[146] Tonneau 1929, p. 426.
[147] Garstang 1931, pp. 171–172.
[148] Albright 1942, pp. 36–37 et n. 30.
[149] Abel 1967, p. 356.
[150] Aharoni 1967, pp. 195, 299, 356, 379.
[151] Avi-Yonah 1935, p. 21 ; 1976, p. 68.
[152] Robinson and Smith 1841, pp. 343–344. L'itinéraire des deux voyageurs est illustré sur la carte établie par H. Kiepert (voir ci-dessus, § 1.2.1, n. 15).
[153] Van de Velde 1854, p. 193.
[154] Van de Velde 1858, pp. 115–116, 324.
[155] *Cf.* Van de Velde 1854, p. 193, note.

nom, Tel Yarmouth, introduit sur les cartes d'Israël établies après 1950[156]. Pourtant, il n'y a guère de raison de mettre en doute le témoignage de Van de Velde, qui implique que le nom de Yarmouth a été conservé sous une forme altérée jusqu'au moins le milieu du XIXe siècle et qu'il était connu localement en même temps que celui de Khirbet el-Yarmuk. Un autre témoignage est susceptible de conforter celui de Van de Velde car il suggère que le nom de « Armouth/Armoth » a pu être en usage aussi au Moyen-Âge : en effet, dans un cartulaire du XIIe siècle qui transcrit la donation au Saint-Sépulcre par Godefroy de Bouillon de plusieurs villages, on relève le nom d'« Armotia » cité parmi des toponymes dont la localisation aux environs de Tel Yarmouth est avérée[157]. Toutefois, ce témoignage demeure incertain car il n'y a pas de preuve archéologique d'une occupation de Tel Yarmouth à l'époque médiévale, sauf à admettre que le toponyme s'était reporté au XIIe siècle sur une localité voisine.

En considération de l'ancienneté de l'identification de ces toponymes avec la Yarmouth biblique, qui remonterait à la seconde moitié du IIIe siècle de notre ère[158], et de la persistance du toponyme dans les traditions locales jusqu'au XIXe siècle, on peut tenir pour raisonnablement établie l'équivalence Yarmouth de la Bible = *Ierimuth*/*Iermochos*/Khirbet el-Yarmouk/Tel Yarmouth. Toutefois, cette conclusion n'implique pas pour autant l'historicité des données bibliques concernant Yarmouth.

24.2.2. Les mentions bibliques de Yarmouth

Dans la Bible, il y a deux Yarmouth : Yarmouth d'Issachar, une ville lévitique (Jos 21:29)[159], et Yarmouth de Juda. Cette dernière, la seule qui nous intéresse ici, y est mentionnée dans deux contextes distincts : 1°) dans le livre de Josué, dans le cadre d'un épisode de la conquête de Canaan par les Israélites sous la conduite de Josué : voir Jos 10:3,5,23 (avec le récapitulatif de Jos 12:11) et Jos 15:35 (dans la liste des villes de la Shéphélah attribuées à la tribu de Juda) ; et 2°) dans le livre de Néhémie, où Yarmouth figure dans une liste d'établissements où des Judéens se sont installés après leur retour de l'exil babylonien (Ne 11:29). Ces mentions bibliques de Yarmouth sont très différentes entre elles. D'abord d'un point de vue contextuel, puisque la première (Jos 10) apparaît dans le cadre d'un récit dans lequel Yarmouth et son roi Piréam participent à une coalition de cinq villes cananéennes (Jérusalem, Hébron, Yarmouth, Lachish et Eglon) contre Josué et les Gabaonites, alors que les autres mentions figurent dans des listes à caractère « administratif »[160]. Ensuite d'un point de vue

[156] Sur le processus d'hébraïsation des toponymes arabes, voir Azaryahu and Golan 2001.

[157] Voir Rozière 1849, pp. 30, 55, 98 ; Tobler 1859, pp. 121, 181. L'identification des toponymes énumérés dans ce cartulaire est incertaine, mais quelques-uns se trouvaient sûrement dans les environs de Yarmouth : ainsi « Aineseins/Aessens » = Ain Shems/Beth Shemesh ; « Sarah » = Saraa/Tsarea/Zorah (voir Freeman-Grenville *et al.* 2003, p. 155); « Zenu » = Zanu/Zanua/Zanoah (voir *ibid.,* p. 162 ; Abel 1967, p. 489) ; « Beitfuteir » = ʿAin Fattir ? Malheureusement, les transcriptions aléatoires de quelques toponymes arabes proposés par Tobler (*ibid.*) en équivalence de ceux mentionnés dans le cartulaire ne permettent guère leur identification sur la carte du *Survey of Western Palestine* (**Fig. 1.3**).

[158] D'après Taylor (2013, p. 224), la rédaction finale de l'*Onomasticon* d'Eusèbe date de la fin de 324 ou du début de 325, mais Eusèbe aurait utilisé une source du début du règne de Dioclétien (284), qui refléterait elle-même une situation de la Palestine bien plus ancienne, remontant à la décennie 230.

[159] Manor 1992.

[160] Sur ce caractère « administratif » de la liste de Jos 15:35, voir Rainey 1983, pp. 6–7.

chronologique : le récit de Jos 10 implique une ville cananéenne puissante à la fin du Bronze récent, conquise à la faveur d'une campagne militaire qui a permis aux Israélites de subjuguer l'ensemble de la Shéphélah ; tandis que les listes de Jos 15:35 et de Ne 11:29 signalent simplement l'existence en Shéphélah d'un établissement du nom de Yarmouth.

24.2.2.1. *Dans le livre de Néhémie*

Arrêtons-nous d'abord sur la mention du site dans Ne 11:29. Le livre de Néhémie comporte plusieurs listes d'établissements, notamment ceux où les émigrés judéens se sont installés au retour de l'exil babylonien[161] ; la critique biblique, tout en reconnaissant les remaniements qui ont abouti au texte reçu, s'accorde à dater ces listes du IVe siècle[162]. Celle dans laquelle Yarmouth est mentionnée remonte donc à l'époque perse, quand l'archéologie confirme que le site était effectivement occupé (niveau Acr-IIA). Or les vestiges repérés dans les fouilles peuvent être interprétés comme appartenant à une grande construction couronnant l'acropole, à l'instar d'autres sites contemporains édifiés alors sur des sommets de colline, particulièrement en Judée et en Shéphélah (§§ 3.8.3 et 24.1.6.2). A. Faust a montré qu'il s'agit principalement d'établissements agricoles (« *agricultural estates* ») installés dans une région jusqu'alors largement sous-peuplée, soit par de riches propriétaires, soit par une communauté, notamment des Judéens rapatriés après l'exil babylonien[163]. Le livre de Néhémie 11:25–30 rapporte en effet leur installation dans diverses petites localités de la Shéphélah, dont Yarmouth, mais aussi Azekah et Lachish, où l'occupation d'époque perse est établie par l'archéologie[164]. En somme, il y a une concordance entre la mention de Yarmouth dans Ne 11:29 et les données de l'archéologie sur l'acropole de Tel Yarmouth.

2.4.2.2.2. *Dans le livre de Josué*

À la lumière de ce qui précède, l'équation Tel Yarmouth/Khirbet el-Yarmouk = Yarmouth de la Bible paraît donc raisonnablement établie, au moins pour l'époque perse. Or ce constat, qui vaut pour le livre de Néhémie, vaut aussi pour celui de Josué. La critique biblique a établi la complexité de la composition littéraire du livre de Josué, qui amalgame des narrations distinctes et plusieurs couches rédactionnelles. Elle est très postérieure aux événements qu'elle prétend relater puisqu'on s'accorde à dater la partie la plus ancienne (Jos 1–12) du VIIe siècle, sous Josias, et une révision des listes (dont Jos 15) aux Ve-IVe siècles, avec encore des ajouts aux IIIe-IIe siècles[165]. En somme, la rédaction des passages où il est

[161] Stern 2001, pp. 428–431 ; Lipschits 2005, pp. 154–158.

[162] Klein 1992, p. 732. Pour une datation à l'époque hasmonéenne, voir Finkelstein 2008.

[163] Faust 2018, spéc. pp. 49–53.

[164] Pour Azekah, voir Lipschits *et al.* 2017, p. 19. Pour Lachish, voir Ussishkin 2004, pp. 95–97. Lipschits (2005, p. 155) souligne que la liste de Ne 11:25–36 est « of a pronounced literary and ideological nature, closely related to the list of cities in the book of Joshua. » Son historicité pourrait donc être mise en doute, mais elle est cependant confirmée par l'archéologie dans les cas de Yarmouth, Azekah et Lachish.

[165] Pour un état de la question sur la critique textuelle du livre de Josué en général, voir Römer 2009, pp. 335–338. Sur Jos 10: voir de Vaux 1971, pp. 576–582 ; Na'aman 1994, pp. 251–255 ; Van Seters 1997, pp. 329–333 ; Langlois 2011, pp. 187–237. Pour une datation des listes de Jos 15 au VIIIe siècle, voir Na'aman 1991, pp. 13–16.

question de Yarmouth (Jos 10, 12, 15) date du temps où l'existence d'un village d'époque perse à Tel Yarmouth est avérée par les fouilles archéologiques. C'est une indication supplémentaire que le toponyme biblique de Yarmouth s'appliquait bien à l'acropole de Tel Yarmouth à l'époque perse.

Mais cette conclusion ne préjuge en rien de la réalité historique du récit qui met en scène Yarmouth et son roi Piréam dans le récit de la « conquête » par Josué des villes du sud. Les fouilles ayant montré qu'à l'époque supposée de cette « conquête » – soit à la fin du Bronze récent II et au début du Fer I, correspondant aux niveaux Acr-VIA et Acr-V du Sondage 2 de l'acropole – Tel Yarmouth n'était qu'un modeste village, il est tout à fait exclu d'y reconnaître une ville puissante avec un roi cananéen engagé dans une grande coalition destinée à repousser les Israélites. Puisque la Yarmouth du livre de Josué est très probablement la même que la Yarmouth d'époque perse du livre de Néhémie, la seule question qui demeure est la suivante : pourquoi les traditions légendaires relatives à la « conquête » de Josué ont-elles introduit Yarmouth dans un récit composite où elle n'avait a priori rien à faire ?

La réponse à cette question est à chercher dans le caractère étiologique de plusieurs récits qui forment la trame du livre de Josué, particulièrement aux chapitres 2 à 10, et notamment dans celui de la destruction de Jéricho (Jos 6) et de ʻAi (Jos 8)[166]. Le cas de ʻAi (« la ruine »)



Fig. 24.5. Tel Yarmouth, la Porte E de la ville du Bronze ancien (voir **Fig. 1.10**) : état des lieux en 1981, après la deuxième campagne de fouilles. Les structures sont encore à demi-ensevelies, à peu près telles qu'elles devaient apparaître à la fin de l'âge du Fer ou à l'époque perse.

[166] Depuis les travaux anciens de A. Alt et M. Noth, le caractère étiologique de ces récits est bien établi et confirmé par les résultats négatifs des fouilles archéologiques : voir de Vaux 1971, pp. 563–570 ; Hayes and Miller 1977, pp. 252–262 ; Na'aman 1994 ; Liverani 2008, pp. 391–394 ; Finkelstein 1988, pp. 295–314 ; Finkelstein and Silberman 2001, pp. 72–96.

est à cet égard exemplaire : ville abandonnée depuis la fin du Bronze ancien III, oubliée de la mémoire des hommes, ses vestiges alors bien visibles appelaient une explication ; à qui d'autre attribuer l'anéantissement de 'Ai sinon au héros légendaire Josué, que la tradition désignait comme le destructeur de villes cananéennes par excellence ? La même explication vaut évidemment pour Yarmouth : les restes des fortifications du Bronze ancien II–III, marquées par une maçonnerie cyclopéenne encore apparente il y a 2500 ans (**Fig. 24.5**) sur une longueur de près de deux kilomètres autour d'un site de dix-huit hectares (**Fig. 1.10**), évoquaient une ville puissante, à l'instar de Jérusalem, Hébron, Lachish et Eglon (Tell el-Hesi), les autres cités-états censées s'être coalisées avec elle contre les Israélites. Qui, sinon Josué, pouvait avoir anéanti Yarmouth et ces villes mortes dont les vestiges, encore si présents dans le paysage, rappelaient des destructions violentes et apparemment simultanées ? Le récit étiologique de Jos 10 trouve ainsi son origine dans ces paysages de ruines que les habitants de la Shéphélah pouvaient voir autour d'eux à l'époque perse.

Références

Abel, F.-M.
1967 *Géographie de la Palestine,* Tome II, *Géographie politique, les villes.* 3e éd. Paris : Gabalda.

Adams, D. L.
2009 "Between Socoh and Azekah: The Role of the Elah Valley in Biblical History and the Identification of Khirbet Qeiyafa," in *Khirbet Qeiyafa,* Vol. 1, *Excavation report 2007–2008*, edited by Y. Garfinkel and S. Ganor, pp. 47–66. Jerusalem : Israel Exploration Society and Institute of Archaeology, The Hebrew University of Jerusalem.

Aharoni, Y.
1967 *The Land of the Bible, A Historical Geography*. London : Burns and Oates.

Albright, W. F.
1942 "A Case of Lèse Majesté in Pre-Israelite Lachish, With Some Remarks on the Israelite Conquest," *Bulletin of the American Schools of Oriental Research* 87 : 32–38.
1969 "Akkadian Letters," in *Ancient Near Eastern Text Relating to the Old Testament*, edited by J. B. Pritchard, pp. 482–490. Princeton : Princeton University Press.

Avi-Yonah, M.
1935 "Map of Roman Palestine," *Quarterly of the Department of Antiquities of Palestine* V : 139–193.
1976 *Gazetteer of Roman Palestine* (Qedem 5, Monographs of the Institute of Archeology). Jerusalem : The Hebrew University of Jerusalem.

Azaryahu, M. and Golan, A.
2001 "(Re)naming the Landscape: The Formation of the Hebrew Map of Israel 1949–1960," *Journal of Historical Geography* 27 : 178–195.

Bahat, D.
1993 "Giv'at Sharett," in *The New Encyclopedia of Archaeological Excavations in the Holy Land*, Vol. 1, edited by E. Stern, pp. 253–254. Jerusalem : The Israel Exploration Society and Carta.

Ben-Shlomo, D.
2009 "Petrographic Analysis of Iron Age Pottery," in *Khirbet Qeiyafa,* Vol. 1, *Excavation report 2007–2008*, edited by Y. Garfinkel and S. Ganor, pp. 161–173. Jerusalem : Israel Exploration Society and Institute of Archaeology, The Hebrew University of Jerusalem.

BEN-TOR, A.
1975 "The First Season of Excavations at Tell Yarmuth, 1970," *Qedem, Monographs of the Institute of Archeology, Jerusalem : The Hebrew University of Jerusalem* 1, pp. 55–87.
BETZER, P.
2012 "Bet Shemesh (West), Survey," *Hadashot Arckheologiyot* 124 (http://www.hadashot-esi.org.il/reports_list_eng.aspx).
BEYER, G.
1931 "Das Stadtgebiet von Eleutheropolis im 4. Jahrhundert n. Chr. und seine Grenznachbarn," *Zeitschrift des Deutschen Palästina-Vereins* 54 : 209–271.
BILLIG, Y.
2011 "Khirbat Marmita, Final Report," *Hadashot Arkheologiyot* 123 (http://www.hadashot-esi.org.il/reports_list_eng.aspx).
BOCHER, E. and LIPSCHITS, O.
2014 "The *yršlm* Stamp Impressions on Jar Handles: Distribution, Chronology, Iconography and Function," *Tel Aviv* 40(1) : 99–116.
BUNIMOVITZ, S. and LEDERMAN, Z.
1993 "Beth-Shemesh," in *The New Encyclopedia of Archaeological Excavations in the Holy Land*, Vol. 1, edited by E. Stern, pp. 249–253. Jerusalem : The Israel Exploration Society and Carta.
2011 "Canaanite Resistance: The Philistines and Beth Shemesh – A Case Study from Iron Age I," *Bulletin of the American Schools of Oriental Research* 364 : 37–51.
2016 "A Peasant Community on the Philistine Border, Levels 6–4: Iron I ca. 1150–950 BCE," in *Tel Beth-Shemesh, A Border Community in Judah, Renewed Excavations 1990–2000: The Iron Age*. Vol. 1 (Tel Aviv University Sonia and Marco Nadler Institute of Archaeology Monograph Series No. 34), edited by S. Bunimovitz and Z. Lederman, pp. 159–245. Tel Aviv : Emery and Claire Yass Publications in Archaeology.
COHEN-WEINBERGER, A. and PANITZ-COHEN, N.
2014 "The Black Juglets," in *Khirbet Qeiyafa,* Vol. 2, *Excavation report 2009–2013: Stratigraphy and Architecture (Areas B, C, D, E)*, edited by Y. Garfinkel, S. Ganor and M. G. Hasel, pp. 403–414. Jerusalem : Israel Exploration Society and Institute of Archaeology, The Hebrew University of Jerusalem.
CONDER, C. R. and KITCHENER, H. H.
1883 *The Survey of Western Palestine. Memoirs on the Topography, Orography, Hydrography and Archaeology. III. Judaea*. London : The Committee of the Palestine Exploration Fund.
DAGAN, Y.
2004 "Results of the Survey ; Settlement Pattern in the Lachish Region," in *The Renewed Excavations at Lachish (1973–1994)*. Vol. V (Tel Aviv University Sonia and Marco Nadler Institute of Archaeology Monograph Series No. 22), edited by D. Ussishkin, pp. 2672–2690. Tel Aviv : Emery and Claire Yass Publications in Archaeology.
2010 *The Ramat Bet Shemesh Regional Project: The Gazetteer* (IAA Reports No. 46). Jerusalem : Israel Antiquities Authority.
2011 *The Ramat Bet Shemesh Regional Project: Landscapes of Settlement: From the Paleolithic to the Ottoman Periods* (IAA Reports No. 47). Jerusalem : Israel Antiquities Authority.
DAGAN, A., ENIUKHINA, M. and MAEIR, A. M.
2018 "Excavations in Area D of the Lower City: Philistine Cultic Remains and Other Finds," *Near Eastern Archaeology* 81(1) : 28–33.
DE GROOT, A., NAGORSKY, A. and LEWIS, R.
2017 "Looted Burial Caves," in *Socoh of the Judean Shephelah, The 2010 Survey*, edited by M. G. Hasel, Y. Garfinkel and S. Weiss, pp. 143–177. Jerusalem : Southern Adventist University and The Hebrew University of Jerusalem.
DI SEGNI, L.
2007 "On the Development of Christian Cult Sites in Tombs of the Second Temple Period," *ARAM* 18–19 (2006–2007) : 381–401.

DI SEGNI, L. and GIBSON, S.
2007 "Greek Inscriptions from Khirbet el-Jiljil and Beit Jimal and the Identification of Caphar Gamala," *Bulletin of the Anglo-Israel Archaeological Society* 25 : 117–145.
DOTHAN, T.
1982 *The Philistines and Their Material Culture*. New-Haven : Yale University Press.
DOTHAN, T. and GITIN, S.
2008 "Miqne, Tel (Ekron). An Update to Volume 3," in *The New Encyclopedia of Archaeological Excavations in the Holy Land,* V. *Supplementary Volume*, edited by E. Stern, pp. 1051–1059. Jerusalem : Israel Exploration Society.
EDELSTEIN, G. and AURANT, S.
1993 "The 'Philistine' Tomb at Tell 'Eitun," *'Atiqot* XXI : 23–41.
EIRIKH-ROSE, A.
2017 "Bet Shemesh, Ramat Bet Shemesh D1," *Hadashot Arkheologiyot* 129 (http://www.hadashot-esi.org.il/reports_list_eng.aspx).
ELIYAHU-BEHAR, A. and WORKMAN, V.
2018 "Iron Age Metal Production at Tell eṣ-Ṣafi/Gath," *Near Eastern Archaeology* 81(1) : 34–36.
FANTALKIN, A. and FINKELSTEIN, I.
2017 "The Date of Abandonment and Territorial Affiliation of Khirbet Qeiyafa: An Update," *Tel Aviv* 44(1) : 53–60.
FARHI, Y.
2001 "A Stamped Handle from Naḥal Yarmut," *Hadashot Arkheologiyot* 113 : 124*–125* (http://www.hadashot-esi.org.il/reports_list_eng.aspx).
FAUST, A.
2006 *Israel's Ethnogenesis : Settlement, Interaction, Expansion and Resistance*. London : Equinox.
2013 "From Regional Power to Peaceful Neighbour: Philistia in the Iron I–II Transition," *Israel Exploration Journal* 63 : 174–204.
2015 "The 'Philistine Tomb' at Tel 'Eton. Culture, Contact, Colonialism, and Local Responses in Iron Age Shephelah, Israel," *Journal of Archaeological Research* 71 : 195–230.
2016 "The Emergence of Israel and Theories of Ethnogenesis," in *The Wiley Blackwell Companion to Ancient Israel*, edited by S. Niditch, pp. 155–173. Chichester : Wiley-Blackwell.
2017a "An All-Israelite Identitiy: Historical Reality or Biblical Myth?" in *The Wide Lens in Archaeology, Honoring Brian Hesse's Contributions to Anthropologiocal Archaeology*, edited by J. Lev-Tov, P. Hesse and A. Gilbert, pp. 169–190. Atlanta, GA : Lockwood Press.
2017b "Tel 'Eton Excavations and the History of the Shephelah during the Iron Age", in *Le-ma'an Ziony : Essays in Honor of Ziony Zevit*, edited by F. E. Greenspahn and G. A. Rendsburg, pp. 21–43. Eugene, Oregon : Cascade Books.
2018 "Forts or agricultural estates? Persian period settlement in the territories of the former kingdom of Judah," *Palestine Exploration Quarterly* 150 : 34–59.
FAUST, A. and KATZ, H.
2011 "Philistines, Israelites and Canaanites in the Southern Trough Valley during the Iron Age I," *Egypt and the Levant* 21 : 231–247.
2015 "A Canaanite Town, a Judahite Center, and a Persian Period Fort: Excavating Over Two Thousand Years of History at Tel 'Eton," *Near Eastern Archaeology* 78 : 88–102.
FAUST, A., KATZ, H., BEN-SHLOMO, D., SAPIR, Y. and EYALL, P.
2014 "*Tēl 'Ēṭōn/Tell 'Ēṭūn* and Its Interregional Contacts from the Late Bronze Age to the Persian-Hellenistic Period: Between Highlands and Lowlands," *Zeitschrift des Deutschen Palästina-Vereins* 130 : 43–76.
FAUST, A. and LEV-TOV, J.
2011 "The Constitution of Philistine Identity: Ethnic Dynamics in Twelfth to Tenth Century Philistia," *Oxford Journal of Archaeology* 30 : 13–31.

FINKELSTEIN, I.
1988 *The Archaeology of Israelite Settlement*. Jerusalem : Israel Exploration Society.
1990 "Excavations at Khirbet ed-Dawwara: an Iron Age Site Northeast of Jerusalem," *Tel Aviv* 17 : 163–208.
1996 "The Philistine Countryside," *Israel Exploration Journal* 46 : 225–242.
2000 "The Philistine Settlements: When, Where and How Many?" in *The Sea People and Their World: A Reassessment* (University Museum Monograph 108, University Museum Symposium Series 11), edited by E. D. Oren, pp. 159–180. Philadelphia : University Museum.
2002 "The Campaign of Sheshonq I to Palestine. A Guide to the 10th Century BCE Polity," *Zeitschrift des Deutschen Palästina-Vereins* 118 : 109–135.
2003 "City-States to States: Polity Dynamics in the 10th–9th Centuries B.C.E," in *Symbiosis, Symbolism, and the Power of the Past*, edited by W. G. Dever and S. Gitin, pp. 75–83. Winona Lake, IN : Eisenbrauns.
2008 "Archaeology and the List of Returnees in the Books of Ezra and Nehemiah," *Palestine Exploration Quaterly* 140 : 1–10.
FINKESTEIN, I. and FANTALKIN, A.
2012 "Khirbet Qeiyafa: An Unsensational Archaeological and Historical Interpretation," *Tel Aviv* 39 : 38–63.
FINKELSTEIN, I. and NA'AMAN, N.
2004 "The Judahite Shephelah in the Late 8th and Early 7th Centuries BCE," *Tel Aviv* 31 : 60–79.
FINKELSTEIN, I. and PIASETZKY, E.
2015 "Radiocarbon Dating Khirbet Qeiyafa and the Iron I–IIA Phases in the Shephelah: Methodological Comments and a Bayesian Model," *Radiocarbon* 57(5) : 891–907.
FINKELSTEIN, I. and SILBERMAN, N.
2001 *The Bible Unearthed, Archaeology's New Vision of Ancient Israel and the Origins of Its Sacred Texts.* New York : The Free Press.
FREEMAN-GRENVILLE, G. S. P., CHAPMAN III, R. L. and TAYLOR, J. E.
2003 *The Onomasticon by Eusebius of Caesarea. Palestine in the Fourth Century.* Jerusalem : Carta.
GARFINKEL, Y.
2017 "Khirbet Qeiyafa in the Shephelah: Data and Interpretations," in *Khirbet Qeiyafa in the Shephelah, Papers Presented at a Colloquium of the Swiss Society for Ancient Near Eastern Studies Held at the University of Bern, September 6, 2014* (Orbis Biblicus et Orientalis 282), edited by S. Schroer and S. Münger, pp. 5–59. Fribourg CH : Academic Press.
GARFINKEL, Y. and GANOR, S.
2009 *Khirbet Qeiyafa,* Vol. 1, *Excavation Report 2007–2008*. Jerusalem : Israel Exploration Society and Institute of Archaeology, The Hebrew University of Jerusalem.
2017 "Khirbet el-Rai: an Iron Age Site in Judean Shephelah," *New Studies on Jerusalem* 22 : 53–66 (en hébreu).
GARFINKEL, Y., GANOR, S. and HASEL, M., eds.
2014 *Khirbet Qeiyafa,* Vol. 2, *Excavation Report 2009–2013: Stratigraphy and Architecture (Areas B, C, D, E)*, edited by Y. Garfinkel, S. Ganor and M. G. Hasel. Jerusalem : Israel Exploration Society and Institute of Archaeology, The Hebrew University of Jerusalem.
GARFINKEL, Y. and KANG, H.-G.
2011 "The Relative and Absolute Chronology of Khirbet Qeiyafa: Very Late Iron Age I or Very Early Iron Age IIA?" *Israel Exploration Journal* 61(2) : 171–183.
GARFINKEL, Y., KREIMERMAN, I. and ZILBERG, P.
2016 *Debating Khirbet Qeiyafa: A Fortified City in Judah from the Time of King David.* Jerusalem: Israel Exploration Society.

GARFINKEL, Y., STREIT, K., GANOR, S. and REIMER, P. J.
2015 "King David's City at Khirbet Qeiyafa: Results of the Second Radiocarbon Dating Project," *Radiocarbon* 57(5) : 1–10.
GARSTANG, J.
1931 *Joshua, Judges : The Foundations of Bible History*. London : Constable & Co.
GERMAN, N.
2017 "Bet Shemesh, Ramat Bet Shemesh," *Hadashot Arkheologiyot* 129 (http://www.hadashot-esi.org.il/reports_list_eng.aspx).
GERSHUNY, L.
2006 "Excavations at Khirbat Marmita," *'Atiqot* 53 : 139–178.
GILBOA, A. and WAIMAN-BARAK, P.
2014 "Cypriot Ceramic Imports at Khirbet Qeiyafa: Provenience, Chronology and Significance," in *Khirbet Qeiyafa,* Vol. 2, *Excavation report 2009–2013 : Stratigraphy and Architecture (Areas B, C, D, E)*, edited by Y. Garfinkel, S. Ganor and M. G. Hasel, pp. 391–402. Jerusalem : Israel Exploration Society and Institute of Archaeology, The Hebrew University of Jerusalem.
GITIN, S.
2010 "Philistines in the Books of Kings," in *The Books of Kings, Sources, Composition, Historiography and Reception* (Supplements to Vetus Testamentum, vol. 129), edited by A. Lemaire and B. Halpern, pp. 301–364. Leiden and Boston : Brill.
GOREN, Y., FINKESLTEIN, I. and NA'AMAN, N.
2004 *Inscribed in Clay, Provenance Study of the Amarna Letters and Other Near Eastern Texts* (Tel Aviv University Sonia and Marco Nadler Institute of Archaeology Monograph Series No. 23). Tel Aviv : Emery and Claire Yass Publications in Archaeology.
GOVRIN, Y. and SHAVI, T.
s.d. "Excavations at Khirbat Marmita (Hartuv Quarry) – 2008, Roman and Byzantine Remains," *Nelson Glueck School of Biblical Archaeology Excavations Reports, Contract Archaeology* (http://ngsba.org/en/contract-archaeology/our-salvage-projects/hartuv).
GREENBERG, R.
1987 "New Light on the Early Iron Age at Tell Beit Mirsim," *Bulletin of the American Schools of Oriental Research* 265 : 55–80.
1993 "Beit Mirsim, Tell," in *The New Encyclopedia of Archaeological Excavations in the Holy Land*, Vol. 1, edited by E. Stern, pp. 177–180. Jerusalem : The Israel Exploration Society and Carta.
GREENFIELD, H. J., SHAI, I. and MAEIR, A. M.
2017 "The Early Bronze Age at Tell eṣ-Ṣafi/Gath," *Near Eastern Archaeology* 80(4) : 247–254.
GUÉRIN, V.
1869 *Description géographique, historique et archéologique de la Palestine, Judée,* Tome deuxième. Paris : Imprimerie nationale.
GUNNEWEG, J., ASARO, F., MICHEL, H. V. and PERLMAN, I.
1994 "Interregional Contacts between Tell en-Nasbeh and Littoral Philistine Centers in Canaan during Early Iron Age I," *Archaeometry* 36 : 227–239.
HAYES, J. H. and MILLER, M. J.
1977 *Israelite and Judean History*. London : SCM Press.
HERZOG, Z. and SINGER-AVITZ, L.
2004 "Redefining the Centre: The Emergence of the State of Judah," *Tel Aviv* 31 : 209–244.
HOLLADAY, J. S.
1971 "Notes and News : Khirbet el-Qom," *Israel Exploration Journal* 21 : 175–177.
JASMIN, M.
2000 "Les fouilles de l'acropole de Tel Yarmouth : la transition de l'âge du Bronze à l'âge du Fer," in *Proceedings of the First International Congress on the Archaeology of the Ancient Near East/Rome, May 18th-23rd 1998*, edited by P. Matthiae, A. Enea, L. Peyronel and F. Pinnock, pp. 685–697. Roma : Herder.

2003 "La transition du Bronze récent II au Fer I dans le sud de la Palestine : étude des processus," in *Proceedings of the Second International Congress on the Archaeology of the Ancient Near East*, *Copenhagen, 2000*, edited by I. Thuesen, pp. 689–697. Winona Lake, IN : Eisenbrauns.

2006a *L'étude de la transition du Bronze récent II au Fer I en Palestine méridionale* (BAR International Series no. 1495). Oxford : Archaeopress.

2006b "The Political Organization of the City-States in Southwestern Palestine in the Late Bronze Age IIB (13th century B.C.)," in "*I will speak the riddle of ancient times*" *(Ps 78:2b), Archaeological and Historical Studies in Honor of Amihai Mazar on the Occasion of his Sixtieth Birthday*, edited by A. Maeir and P. de Miroschedji, pp. 161–191. Winona Lake, IN : Eisenbrauns.

KANG, H.-G.

2013 "Ashdod Ware Found at Khirbet Qeiyafa and Its Implications for Understanding the Tradition of Philistine Decorated Pottery," *Mediterranean Review* 6 : 1–31.

2015 "The Dating of the Pottery Assemblage of Khirbet Qeiyafa: An Archaeological, Quantitative and Typological Discussion," *Israel Exploration Journal* 65 : 37–49.

KANG, H.-G. and GARFINKEL, Y.

2009a "The Early Iron Age IIA Pottery," in *Khirbet Qeiyafa,* Vol. 1. *Excavation Report 2007–2008,* edited by Y. Garfinkel and S. Ganor, pp. 119–149. Jerusalem: Israel Exploration Society and Institute of Archaeology, The Hebrew University of Jerusalem.

2009b "Ashdod Ware I: Middle Philistine Decorated Ware," , in *ibid.*, pp. 151–160.

KAPLAN, J.

1993 "Batash, Teluliyot," in *The New Encyclopedia of Archaeological Excavations in the Holy Land*, Vol. 1, edited by E. Stern, p. 158. Jerusalem : The Israel Exploration Society and Carta.

KATZ, H. and FAUST, A.

2014 "The Chronology of the Iron Age IIA in Judah in the Light of Tel 'Eton Tomb C3 and Other Assemblages," *Bulletin of the American Schools of Oriental Research* 371 : 103–127.

KEIMER, H. G.

2014 "Iron Age Stone Quarries," in *Khirbet Qeiyafa,* Vol. 2, *Excavation Report 2009–2013: Stratigraphy and Architecture (Areas B, C, D, E)*, edited by Y. Garfinkel, S. Ganor and M. G. Hasel, pp. 333–345. Jerusalem : Israel Exploration Society and Institute of Archaeology, The Hebrew University of Jerusalem.

KEIMER, K. H., KREIMERMAN, I. and GARFINKEL, Y.

2015 "From Quarry to Completion, *Ḫirbet Qēyafa* as a Case Study in the Building of Ancient Near Eastern Settlements," *Zeitschrift des Deutschen Palästina-Vereins* 131 : 109–128.

KILLEBREW, A. E.

2005 *Biblical Peoples and Ethnicity. An Archaeological Study of Egyptians, Canaanites, Philistines and Early Israel 1300–1100 BCE* (Society of Biblical Literature, Archaeology and Biblical Studies no. 9). Atlanta : Society of Biblical Literature.

2008 "Aegean-Style Pottery and Associated Assemblages in the Southern Levant: Chronological Implications Regarding the Transition from the Late Bronze II to Iron I and the Appearance of the Philistines," in *Israel in Transition: From Late Bronze II to Iron IIA (c. 1250–850 B.C.E.).* Vol. 1: *The Archaeology* (Library of Hebrew Bible/Old Testament Studies 491; European Seminar in Historical Methodology 7), edited by L. L. Grabbe, pp. 54–71. New York: T & T Clark.

2013 "Early Philistine Pottery Technology at Tel Miqne-Ekron: Implications for the Late Bronze–Early Iron Age Transition in the Eastern Mediterranean," in *The Philistines and Other "Sea Peoples" in Text and Archaeology* (Archaeology and Bible Studies No. 15), edited by A. E. Killebrew and G. Lehmann, pp. 77–129. Atlanta, GA : Society of Biblical Literature.

2014 "Introduction to the Levant during the Transitional Late Bronze Age/Iron Age I periods," in *The Oxford Handbook of the Archaeology of the Levant, c.8000–332 BCE*, edited by M. L. Steiner and A. E. Killebrew, pp. 595–606. Oxford : University Press.

KILLEBREW, A. E. and LEV-TOV, J.
2008 "Early Iron Age Feasting and Cuisine: An Indicator of Philistine-Aegean Connectivity?" in *DAIS—The Aegean Feast: Proceedings of the 12th International Aegean Conference, University of Melbourne, Centre for Classics and Archaeology, 25–29 March 2008* (Aegaeum 29), edited by L. A. Hitchcock, R. Laffineur, and J. Crowley, pp. 339–346. Liège : Université de Liège, Histoire de l'art et archéologie de la Grèce antique / Austin, TX : University of Texas at Austin, Program in Aegean Scripts and Prehistory.

KLEIMAN, S., GADOT, Y. and LIPSCHITS, O.
2016 "A Snapshot of the Destruction Layer of *Tell Zakarīye*/Azekah Seen Against the Backdrop of the Final Days of the Late Bronze Age," *Zeitschrift des Deutschen Palästina-Vereins* 132(2) : 105–133.

KLEIN, R. W.
1992 "Books of Ezra-Nehemiah," in *The Anchor Bible Dictionary*, Vol. 2, edited by D. N. Freedman, pp. 731–742. New York : Doubleday.

KOCH, I.
2017 "Settlements and Interactions in the Shephelah during the Late Second through Early First Millennia BCE," in *The Shephelah during the Iron Age, Recent Archaeological Studies,* edited by O. Lipschits and A. M. Maeir, pp. 181–207. Winona Lake, IN : Eisenbrauns.

KOGAN-ZEHAVI, E.
2010 "Horvat el-Keik, A Jewish Settlement of the Second Temple Period at Ramat Beth Shemesh," in *New Studies in the Archaeology of Jerusalem and its Region: Collected Papers* IV, edited by D. Amit, O. Peleg-Barkat and D. Ben-Ami, pp. 180–185. Jerusalem : Israel Antiquities Authority (en hébreu).
2014 "The Rural Settlement in the Judean Foothills in the Persian and Early Hellenistic Periods, in Light of the Excavations in Ramat Bet Shemesh," in *New Studies in the Archaeology of Jerusalem and its Region: Collected Papers VIII,* edited by G. D. Stiebel, O. Peleg-Barkat, D. Ben-Ami and Y. Gadot, pp. 120–133. Jerusalem : Israel Antiquities Authority (en hébreu).

LAGRANGE, M.-J.
1894 *Saint Étienne et son sanctuaire à Jérusalem*. Paris : Picard.

LANGLOIS, M.
2011 *Le texte de Josué 10 : approche philologique, épigraphique et diachronique* (Orbis Biblicus et Orientalis 252). Fribourg : Academic Press / Göttingen : Vandenhoeck & Ruprecht.

LEHMANN, G. and NIEMANN, H. M.
2014 "When Did the Shephelah Become Judahite?" *Tel Aviv* 41(1) : 77–94.

LEONARD JR., A.
1994 *Late Bronze Age Aegean Pottery from Syria-Palestine* (Studies in Mediterranean Archaeology 64). Jonsered : P. Åströms.

LICHTENBERGER, A.
2016 *Terrakotten aus Beit Nattif, eine Untersuchung zur religiösen Alltagspraxis im spätantiken Judäa*. Turnhout : Brepols.

LIPSCHITS, O.
2005 *The Fall and Rise of Jersualem, Judah under Babylonian Rule*. Winona Lake, IN : Eisenbrauns.

LIPSCHITS, O., GADOT, Y. and OEMING, M.
2017 "Four Seasons of Excavations at Tel Azekah: The Expected and (Especially) Unexpected Results," in *The Shephelah during the Iron Age, Recent Archaeological Discoveries,* edited by O. Lipschits and A. M. Maeir, pp. 1–25. Winona Lake, IN : Eisenbrauns.

LIVERANI, M.
2008 *La Bible et l'invention de l'histoire, histoire ancienne d'Israël*. Paris : Bayard.

MAEIR, A. M.
2012 "The Tell eṣ-Ṣafi/Gath Archaeological Project 1996–2010: Introduction, Overview and Synopsis of Results," in *Tell eṣ-Ṣafi/Gath I: Report on the 1996–2005 Seasons* (Ägypten und Altes Testament 69), edited by A. M. Maeir, pp. 1–88. Wiesbaden : Harrassowitz.
2017a "The Appearance, Formation and Transformation of Philistine Culture: New Perspectives and New Finds," in *The Sea Peoples Up-To-Date: New Research on the Migration of Peoples in the 12th Century BCE* (Contributions to the Chronology of the Eastern Mediterranean XX), edited by P. Fischer and T. Bürge, pp. 149–162. Vienna : Austrian Academy of Sciences.
2017b "Khirbet Qeiyafa in Its Regional Context: A View From Philistine Gath," in *Khirbet Qeiyafa in the Shephelah, Papers Presented at a Colloquium of the Swiss Society for Ancient Near Eastern Studies Held at the University of Bern, September 6, 2014* (Orbis Biblicus et Orientalis 282), edited by S. Schroer and S. Münger, pp. 61–71. Fribourg CH : Academic Press.
2017c "Philistine Gath after 20 Years: Regional perspectives on the Iron Age at Tell eṣ-Ṣafi/Gath," in *The Shephelah during the Iron Age, Recent Archaeological Studies,* edited by O. Lipschits and A. M. Maeir, pp. 133–154. Winona Lake, IN : Eisenbrauns.
MAEIR, A. M. and HITCHCOCK, L. A.
2016 "'And the Canaanite Was Then in the Land'? A Critical View on the 'Canaanite Enclave' in Iron I," in *Alphabets, Texts and Artefacts in the Ancient Near East: Studies Presented to Benjamin Sass*, edited by I. Finkelstein, C. Robin and T. Römer, pp. 209–226. Paris : Van Dieren.
2017 "Rethinking the Philistines: A 2017 Perspective," in *Rethinking Israel, Studies in the History and Archaeology of Ancient Israel in Honor of Israel Finkelstein*, edited by O. Lipschits, Y. Gadot and M. J. Adams, pp. 247–266. Winona Lake, IN : Eisenbrauns.
MAEIR, A. M., HITCHCOCK, L. A. and HORWITZ, L. K.
2013 "On the Constitution and Transformation of Philistine Identity," *Oxford Journal of Archaeology* 32(1) : 1–38.
MAEIR, A. and UZIEL, J.
2007 "A Tale of Two Tells: A Comparative Perspective on Tel Miqne-Ekron and Tell Es-Safit/Gath in Light of Recent Archaeological Research," in *Up to the Gates of Ekron, Essays on the Archaeology and History of the Eastern Mediterranean in Honor of Seymour Gitin*, edited by A. Ben-Tor, J. P. Dessel, W. G. Dever, A. Mazar and J. Aviram, pp. 29–42. Jerusalem : The W. F. Albright Institute of Archaeological Research and the Israel Exploration Society.
MANOR, W. D.
1992 "Jarmuth," in *The Anchor Bible Dictionary*, Vol. 3, edited by D. N. Freedman, pp. 644–645. New York : Doubleday.
MASTER, D. M., STAGER, L. E. and YASUR-LANDAU, A.
2011 "Chronological Observations at the Dawn of the Iron Age in Ashkelon," *Egypt and the Levant* 21 : 261–280.
MAZAR, A.
1990 *The Archaeology of the Land of the Bible, 10,000 – 586 B.C.E.* New York : Doubleday.
1998 "On the Appearance of Red Slip in the Iron Age I Period in Israel," in *Mediterranean Peoples in Transition, Thirteenth to Early Tenth Centuries BCE*, edited by S. Gitin, A. Mazar and E. Stern, pp. 368–378. Jerusalem : Israel Exploration Society.
2010 "Archaeology and the Biblical Narrative ; The Case of the United Monarchy," in *One God, One Cult, One Nation, Archaeology and Biblical Perspectives* (Beihefte zur Zeitschrift für die alttestamentliche Wissenschaft 405), edited by R. G. Kratz and H. Spieckermann, in collaboration with B. Corzilius and T. Pilger, pp. 29–58. Berlin and New York : de Gruyter.

2014 "Archaeology and the Bible: Reflections on Historical Memory in the Deuteronomic History," in *Congress Volume Munich 2013* (Supplements to Vetus Testamentum 163), edited by C. M. Maier, pp. 347–369. Leiden : Brill.

MAZAR, A. and PANITZ-COHEN, N.

2001 *Timnah (Tel Batash) II. The Finds from the First Millennium BCE* (Qedem 42). 2 volumes. Jerusalem : The Hebrew University of Jerusalem.

MIROSCHEDJI, P. de

1988 *Yarmouth 1, Rapport sur les trois premières campagnes de fouilles à Tel Yarmouth (Israel), 1980-1982*. Paris : Éditions Recherche sur les Civilisations.

2000 "Fouilles de Tel Yarmouth : résultats des 11e, 12e et 13e campagnes de fouilles (1996–1999)," *Comptes rendus de l'Académie des Inscriptions et Belles-Lettres* 2000 : 679–710.

2006 "At the Dawn of History: Socio-Political Developments in Southwestern Palestine in the Early Bronze Age III," in *"I will speak the riddle of ancient times" (Ps. 78:2b): Archaeological and Historical Studies in Honor of Amihai Mazar on the Occasion of His Sixtieth Birthday*, edited by A. Maeir and P. de Miroschedji, pp. 55–78. Winona Lake, IN : Eisenbrauns.

2013 "Fouilles de Tel Yarmouth : résultats des travaux de 2003 à 2009 (14e–18e campagnes)," *Comptes rendus de l'Académie des Inscriptions et Belles-Lettres* 2013 : 759–796.

NA'AMAN, N.

1991 "The Kingdom of Judah under Josias," *Tel Aviv* 18 : 3–71.

1993 "Population Changes in Palestine following Assyrian Deportations," *Tel Aviv* 20 : 104–124.

1994 "The 'Conquest of Canaan' in the Book of Joshua and in History," in *From Nomadism to Monarchy*, edited by I. Finkelstein. and N. Na'aman, pp. 218–281. Jerusalem : Israel Exploration Society.

2010 "Kh. Qeiyafa in Context," *Ugarit-Forschungen* 42 : 497–526.

2011 "The Shephelah according to the Amarna Letters," in *The Fire Signals of Lachish, Studies in the Archaeology and History of Israel in the Late Bronze Age, Iron Age, and Persian Period in Honor of David Ussishkin*, edited by I. Finkestein and N. Na'aman, pp. 281–299. Winona Lake, IN : Eisenbrauns.

2012 "*Ḫirbet ed-Dawwāra* – a Philistine Stronghold on the Benjamin Desert Fringe," *Zeitschrift des Deutschen Palästina-Vereins* 128 : 1–9.

2017 "Was Khirbet Qeiyafa a Judahite City ? The Case against It," *Journal of Hebrew Scriptures* 17, Article 17.

NAGORSKY, A.

2007 "Khirbat el-Mas'ud," *Hadashot Arkheologiyot* 119 : 524–528 (http://www.hadashot-esi.org.il/reports_list_eng.aspx).

NIEMANN, H. M.

2016 "Juda und Jerusalem, Überlegungen zum Verhältnis von Stamm und Stadt und zur Rolle Jerusalems in Juda," *Ugarit-Forschungen* 47 : 147–190.

2017 "Comments and Questions about the Interpretation of Khirbet Qeiyafa: Talking with Yosef Garfinkel," *Zeitschrift für Altorientalische und Biblische Rechtsgeschichte* 23 : 245–262.

NODET, E.

1988 "Le nom de Yarmouth," in *Yarmouth 1, Rapport sur les trois premières campagnes de fouilles à Tel Yarmouth (Israel), 1980–1982*, édité par P. de Miroschedji, pp. 97–104. Paris : Éditions Recherche sur les Civilisations.

NOTLEY, S. R. and SAFRAI, Z.

2005 *Eusebius* Onomasticon*, The Place Names of Divine Scripture, A Triglott Edition with Notes and Commentaries*. Leiden and Boston : Brill.

PAZ, Y.

2014 "A Modified Landscape as a Likely Arena of Social Differentiation and Identity at a Late Third Millennium BC Cemetery, Ramat Beth Shemesh, Israel," *Time and Mind* 3 : 1–9.

2016 "Nahal Ha-'Ela," *Hadashot Arkheologiyot* 128 (http://www.hadashot-esi.org.il/reports_list_eng.aspx).

PAZ, Y. and BIRKENFELD, M.
2017 "Reconstructing Socio-Political Urban-Rural Interactions using Viewshed Analysis: The Late Bronze Age at Ramat Beth Shemesh, Israel," *Journal of Landscape Ecology* 10(3) : 230–244.

PAZ, Y. and RADASHKOVSKY, I.
2016 "Beth Shemesh, Ramat Beth Shemesh," *Hadashot Arkheologiyot* 128 (http://www.hadashot-esi.org.il/reports_list_eng.aspx).

RAINEY, A. F.
1983 "The Biblical Shephelah of Judah," *Bulletin of the American Schools of Oriental Research* 251 : 1–22.

RAINEY, A. F. and NOTLEY, R. S.
2006 *The Sacred Bridge. Carta's Atlas of the Biblical World*. Jerusalm : Carta.

RICHARDSON, H. N.
1968 "A Stamped Handle from Khirbet Yarmuk," *Bulletin of the American Schools of Oriental Research* 192 : 2–16.

ROBINSON, E. and SMITH, E.
1841 *Biblical Researches in Palestine, Mount Sinai and Arabia Petræa. A Journal of Travels in the Year 1838,* Volume II. Boston : Crocker and Brewster.

ROLL, I.
1983 "The Roman Road System in Judea," *The Jerusalem Cathedra: Studies in the History, Archaeology, Geography and Ethnography of the Land of Israel* 3 : 136–161.

RÖMER, T.
2009 "Josué," in *Introduction à l'Ancien Testament*, édité par T. Römer, J.-D. Macchi et C. Nihan, pp. 332–344. Genève : Labor et Fidès.

ROZIÈRE, E. de
1849 *Cartulaire de l'église du Saint Sépulcre de Jérusalem publié d'après les manuscrits du Vatican.* Paris : Imprimerie nationale.

SANDHAUS, D. and KREIMERMAN, I.
2015 "The Late 4th/3rd Century BCE Transition in the Judean Hinterland in Light of the Pottery of Khirbet Qeiyafa," *Tel Aviv* 42 : 251–271.

SCHWARTZ, J.
1850 *Descriptive Geography and Brief Historical Sketch of Palestine*. Philadelphia : Hart.

SERGI, O.
2013 "Judah's Expansion in Historical Context", *Tel Aviv* 40 : 226–246.

SHALEV, O. and DALLASHEH, S.
2017 "Khirbat el-'Alya," *Hadashot Arkheologiyot* 129 (http://www.hadashot-esi.org.il/reports_list_eng.aspx).

SINGER-AVITZ, L.
2010 "The Relative Chronology of Khirbet Qeiyafa," *Tel Aviv* 37 : 79–83.
2016 "Khirbet Qeiyafa: Late Iron Age I in Spite of It All – Once Again," *Israel Exploration Journal* 66 : 232–244.

STERN, E.
2001 *Archaeology of the Land of the Bible,* Vol. II, *The Assyrian, Babylonian, and Persian Periods (732–332 B.C.E.)*. New York, London, Toronto, Sydney, Auckland : Doubleday.

STORCHAN, B.
2017 "Beth Shemesh, Ramat Beth Shemesh, Khirbet Shumeila," *Hadashot Archaeologiyot* 129 (http://www.hadashot-esi.org.il/reports_list_eng.aspx).

STRUS, A. and GIBSON, S.
2005 "New Excavations at Khirbet el-Jiljil (Beit Gemal) near Beth Shemesh," *Bulletin of the Anglo-Israel Archaeological Society* 23 : 28–89.

TAL, S., STORCHAN, B., KISILEVITZ, S. and KLEIMAN, S.
À paraître "Closing the Gap. New Light on the Rural Settlement in the Shephelah during the Transition Between the Late Bronze and the Iron Age," in *New Studies in the Archaeology of Jerusalem and its Region* XII. Jerusalem.

TAYLOR, J. E.
2013 "Review of 'Notley, R. Steven and Safrai, Ze'ev: *Eusebius, Onomasticon: the Place-Names of Divine Scripture, …*' ," *Palestine Exploration Quarterly* 139(3) : 223–225.

THOMSEN, P.
1907 *Loca Sancta – Verzeichnis der im 1. bis 6. Jahrhundert n. Chr. erwähnten Ortschaften Palästinas.* Halle : R. Haupt (reéd. Hildesheim, 1966).

TOBLER, T.
1859 *Titus Toblers Dritte Wanderung nach Palästina im Jahre 1857. Ritt durch Philistäa, Fussreisen im Gebirge Judäas und Nachlese in Jerusalem*. Gotha : J. Perthes.

TONNEAU, R.
1929 "Chronique : Caravane biblique au pays de Samson," *Revue biblique* 38 : 421–431.

USSISHKIN, D.
2004 "Synopsis of the Stratigraphical, Chronological and Historical Issues," in *The Renewed Excavations at Lachish (1973–1994)*. Vol. I (Tel Aviv University Sonia and Marco Nadler Institute of Archaeology Monograph Series No. 22), edited by D. Ussishkin, pp. 50–119. Tel Aviv : Emery and Claire Yass Publications in Archaeology.
2015 "The Sacred Area of Early Bronze Megiddo: History and Interpretation," *Bulletin of the American Schools of Oriental Research* 373 : 69–104.

UZIEL, J. and MAIER, A.
2005 "Scratching the Surface at Gath: Implications of the Tell eṣ-Ṣafi/Gath Surface Survey," *Tel Aviv* 32 : 50–75.

VAN DE VELDE, C. W. M.
1854 *Narrative of a Journey Through Syria and Palestine in 1851 and 1852*. Volume II. Edinburgh, London : Blackwood & Sons.
1858 *Memoir to Accompany the Map of the Holy Land*. Gotha : J. Perthes.

VAN SETERS, J.
1997 *In Search of History, Historiography in the Ancient World and the Origins of the Biblical History*. Winona Lake, IN : Eisenbrauns.

VAUX, R. de
1971 *Histoire ancienne d'Israël, des origines à l'installation en Canaan*. Paris : Gabalda.

WEISS, S.
2017 "Ceramic Typology, Distribution and Chronology," in *Socoh of the Judean Shephelah, The 2010 Survey*, edited by M. G. Hasel, Y. Garfinkel and S. Weiss, pp. 51–141. Jerusalem : Southern Adventist University and The Hebrew University of Jerusalem.

WELCH, E. L.
2018 "Expanding the Lower City, Area K at Tell eṣ-Ṣafi/Gath," *Near Eastern Archaeology* 81(1) : 45–47.

WOOD, B. G.
1990 *The Sociology of Pottery in Ancient Palestine: the Ceramic Industry and the Diffusion of Ceramic Style in the Bronze and Iron Ages* (Journal for the Study of the Old Testament, Supplement Series 103 ; JSOT/ASOR Monographs 4). Sheffield : Sheffield Academic Press.

ZUKERMAN, A., DOTHAN, T. and GITIN, S.
2016 "A Stratigraphic and Chronological Analysis of the Iron Age I Pottery of Strata VII–IV," in *Tel Miqne–Ekron Excavations 1985–1988, 1990, 1992–1995, Field IV Lower–The Elite Zone.* Part 1. *The Iron Age I Early Philistine City*, by T. Dothan, Y. Garfinkel and S. Gitin, pp. 417–439. Winona Lake, IN : Eisenbrauns.

Appendices

APPENDICE 1

PETROGRAPHIC STUDY OF PHILISTINE WARE SHERDS FROM THE ACROPOLIS OF TEL YARMUTH

Yuval GOREN
Ben-Gurion University of the Negev

Petrographic study was conducted on a selection of thirteen sherds of Philistine Ware from the excavations in the Iron Age I strata at the acropolis of Tel Yarmuth, with the aim of studying their provenance. Six sherds originate from Stratum Acr-IV, dated to the early Iron IB (end of the twelfth–beginning of the eleventh century BCE), five sherds were found in Stratum Acr-III, dated to later Iron IB (eleventh to beginning of tenth century BCE), and two sherds were ascribed to Stratum IIB, a mixed fill dated to the early Iron IIA (first half of the tenth century) (See **Table 1**). The typology of these vessels is presented elsewhere in this volume (see §§ 9.2, 10.2 and 11.1.2). Most of these sherds belong to the Philistine Bichrome (*Philistine 2*), and two sherds only may belong to a later version of this ware.

METHOD

Samples were taken from the vessel fragments perpendicular to the vessels' walls to create cross-sections. The samples were ground flat using a Metacon grinding machine. Crumbly samples were first impregnated with Polymer G Epusil 520© epoxy resin of high viscosity and left to cure for 24 hours, in order to facilitate their subsequent grinding. After setting, the samples were mounted onto microscope carrying glasses using the same resin, then used for the creation of petrographic thin sections following the standard procedure. These thin-sections were then examined under a polarising microscope (Motic BA300POL) at magnifications ranging between 40×–400×, using Plain Polarised Light (PPL) and Crossed Polarised Light (XPL). The thin-sections were examined for the type of inclusions added to the paste, as well as for the type of matrix (groundmass) from which the paste was made. The observation procedure followed the protocol summarised by Goren in 2004.[1]

RESULTS

The results of this study are summarised in **Table 1**. Three major petrographic groups were observed in the examined lot:

Group Loess and Coastal Sand (Fig. 1)[2]

This group has been discussed extensively in the past.[3] The matrix is silty (~5 %–10 %), carbonatic, yellowish-tan in PPL, optically active. The silt is essentially of quartz, but also contains recognisable quantities of accessory "heavy minerals", including mainly hornblende, augite, zircon, plagioclase, microcline and mica. Opaques are relatively common (2 %–3 %), sizing between few micrometers and about 60 μm. The inclusions are dominated by rounded to subrounded quartz, up to ca. 400 μm occasionally with undulose extinction, sometimes polycrystalline. Limestone is secondary and rare.

[1] See Goren *et al.* 2004, pp. 15–22.
[2] All photos were taken under crossed polarisers.
[3] Goren *et al.* 2004, pp. 112–113.

Reg. No.	Type	Class	Stratum	Locus	Figure	Petrographic Group
9555-28	Flask	Philistine 2	IV	1150	Fig. 9.8:5	Loess and Calcareous Sand
9639-7	Krater	Philistine 2	IV	1148	Fig. 9.7:8	Loess and Calcareous Sand
9642-1	Bowl	Philistine 2	IV	1148	Fig. 9.7:3	Terra Rossa
9651-1	Krater	Philistine 2	IV	1148-1	Fig. 9.7:7	Loess and Coastal Sand
9653-1	Krater	Philistine 2	IV	1150	Fig. 9.8:6	Loess and Calcareous Sand
9659-1	Bowl	Philistine 2	IV	1148	Fig. 9.7:2	Loess and Calcareous Sand
9608-3b	Bowl	Philistine 2	III	1130-a	Fig. 10.17:12	Loess and Coastal Sand
9618-8	Krater?	Philistine 2	III	1136	Fig. 10.12:9	Loess and Coastal Sand
9641-2	Krater	Philistine 2	III	1149-1	Fig. 10.12:8	Terra Rossa
9712-25	Jug?	Philistine 2	III	1171-a	Fig. 10.20:15	Terra Rossa
9716-2	Jug?	Philistine 2	III	1171-2	Fig. 10.20:14	Loess and Calcareous Sand
10808-1	Bowl	Philistine 3?	IIB	2320-1	Fig. 11.7:2	Loess and Calcareous Sand
10831-1	Jug	Philistine 3?	IIB	2320-2	Fig. 11.7:6	Loess and Calcareous Sand

Table 1. Summary of the results.

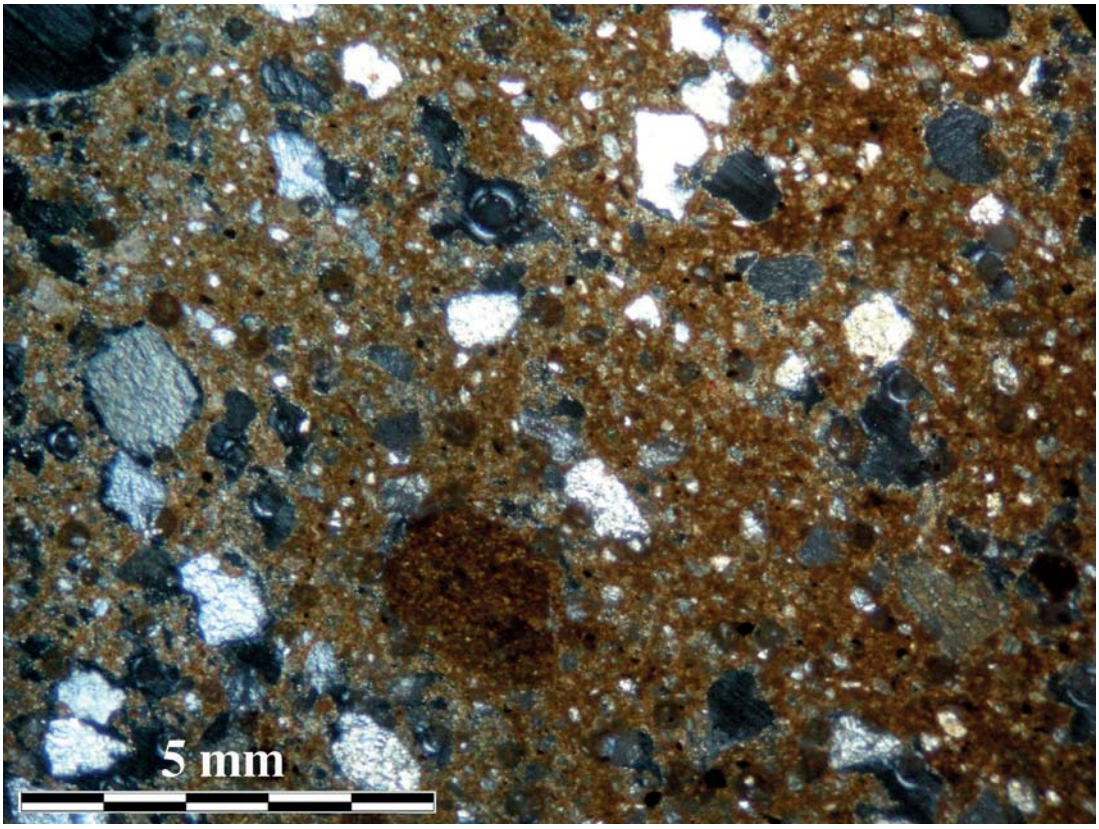


Fig. 1. Group Loess and Coastal Sand (Krater[?] 9618-8, see **Fig. 10.12:9**).

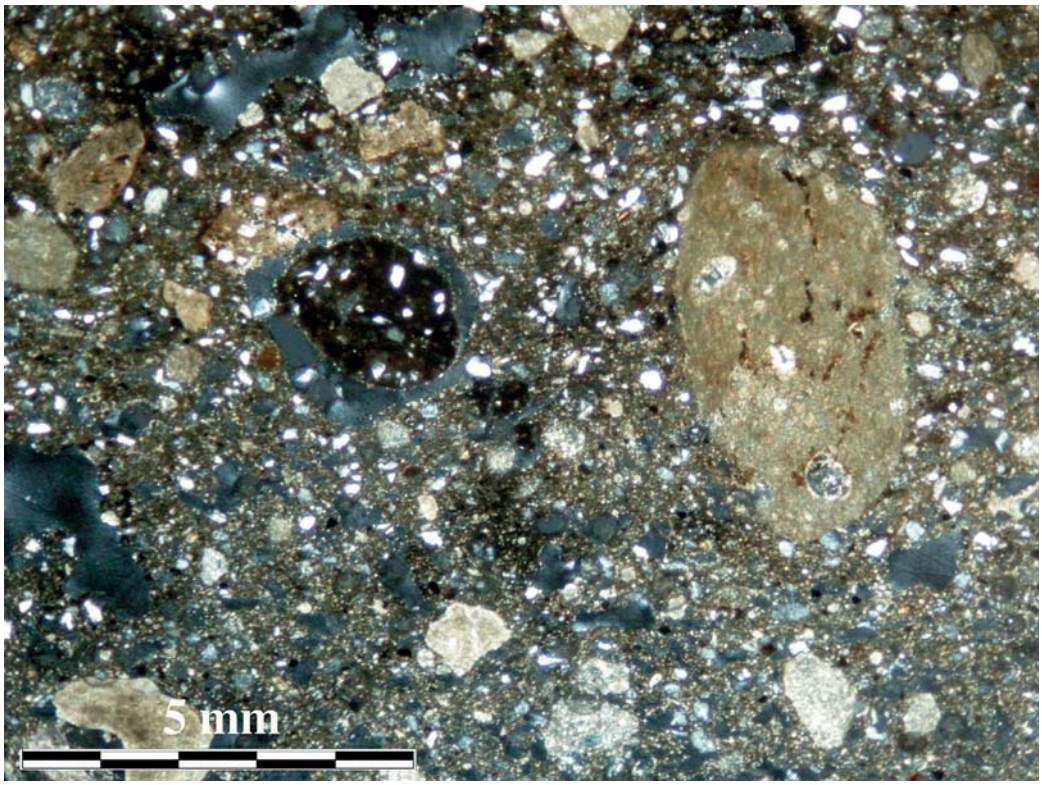


Fig. 2. Group Loess and Calcareous Sand (Krater 9653-1, see **Fig. 9.8:6**).

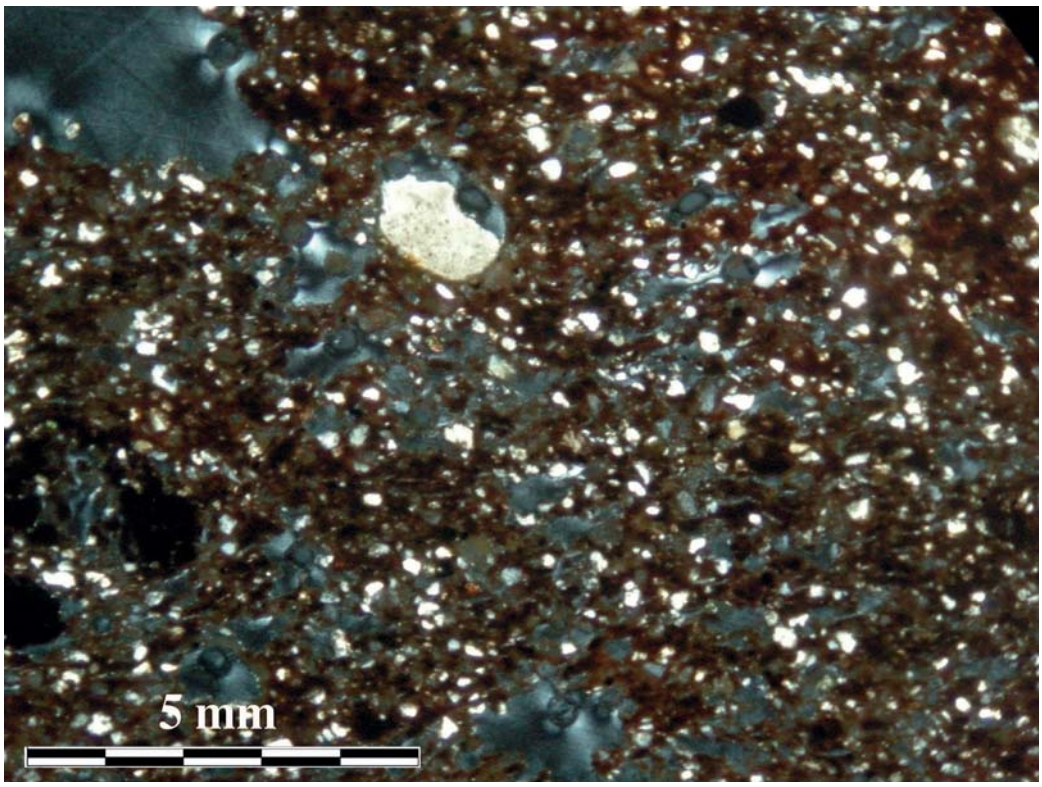


Fig. 3. Group Terra Rossa, (Jug[?] 9712-25, see **Fig.10.20:15**).

Based on a bulk of published data the matrix is readily identified as loess soil. In the Levant loess soil occurs mainly in the northern Negev and the southern Shephelah. Loess-made pottery had been produced in the region boxed between Lachish (or slightly to its north), Ashkelon, Gaza and Beer-Sheva. This is true to any of the periods between the Pottery Neolithic and Medieval times. The use of loess with inclusions in which limestone is the dominant component is prevalent mainly at sites northeast of the Beer Sheva Valley, whereas in the southern Shephelah chalk sand is commonly the dominant or even sole non-plastic component. In the northwestern Negev sites quartz is the major constituent with secondary fine sand-sized grains of mainly hornblende, zircon, feldspar, augite and mica. These indicate a littoral origin, in the area of Gaza or Ashkelon.

Group Loess and Calcareous Sand (Fig. 2)

This group is characterised by loess matrix, as described in the previous group, with clay concentrations, deep brown in PPL, appearing as rounded, fine bodies sizing between 10 μm to 1 mm. Many of these spheres are surrounded by voids, created by the shrinkage of the clay sphere that was higher than that of the matrix. The inclusions are dominated by rounded calcareous rock fragments including predominantly chalk and *nari* of Paleogene Age. Exposures of Paleogene rock formations appear in the Shephelah area, south of the Ayalon Valley. Hence, the vessels that are related to this group were produced in the Shephelah area.[4]

Group Terra Rossa (Fig. 3)

This group is characterised by a non-calcareous, ferruginous matrix, nearly opaque, with ~10 % silt-sized quartz grains, as well as accessory zircon, hornblende, and feldspars. Few sand-sized non-plastic inclusions include limestone grains of up to ~200 μm. This raw material is derived of ferruginous soil. Several types of ferruginous soils appear in the Judaean Mountains, Shephelah, and the Coastal Plain regions, such as Brown-Red Mediterranean terra rossa soil, which formed in the Judaean Mountains and the eastern Shephelah; red sandy clay loam known as hamra soils, which developed in the Coastal Plain; and grumusols (vertisols) and quartzitic paleosols, which characterise the Coastal Plain and the Shephelah valleys.[5] With the lack of characteristic coarser non-plastics and regarding the typology of the vessels (being of a southwestern Levantine ware), the general origin for this group may be tentatively suggested to be in the upper Shephelah or the Central Hill Country of Israel.

References

Cohen-Weinberger, A., Szanton, N. and Uziel, J.
2017 "Ethnofabrics: Petrographic Analysis as a Tool for Illuminating Cultural Interactions and Trade Relations between Judah and Philistia during the Iron Age II," *Bulletin of the American Schools of Oriental Research* 377: 1-20.

Goren, Y., Finkelstein, I. and Na'aman, N.
2004 *Inscribed in Clay, Provenance Study of the Amarna Tablets and Other Near Eastern Texts* (Tel Aviv University Sonia and Marco Nadler Institute of Archaeology Monograph Series No. 23). Tel Aviv: Emery and Claire Yass Publications in Archaeology.

[4] This group corresponds to Group B of Cohen-Weinberger *et al.* 2017.
[5] Cohen-Weinberger *et al.* 2017.

APPENDICE 2

LISTE DES LOCI

1.1. LOCI DU SONDAGE 1

Type et N°		Phase	Carré	Description	L. sus-jacent	L. sous-jacent	Plan	Coupes
L	**1101**	Acr-6	AS-AT 116	Terre de surface au nord-est du mur de terrasse M.1102.	/	L.1105		**Fig. 2.1.**
M	**1102**	Acr-6	AS 116	Mur de terrasse séparant L.1101 (au nord-est) de L.1103 (au sud-ouest).	/	L.1106	**Fig. 2.2.**	**Fig. 2.1.**
L	**1103**	Acr-6	AS 116	Terre de surface au sud-ouest du mur de terrasse M.1102.	/	L.1107	**Fig. 2.2.**	**Fig. 2.1.**
M	**1104**	Acr-6	AS 116	Mur de terrasse dans la terre de surface L.1101.	/	L.1105	**Fig. 2.2.**	**Fig. 2.1.**
L	**1105**	Acr-6	AS 116	Espace limité au sud-ouest par M.1104.	L.1101, M.1104	L.1106	**Fig. 2.2.**	**Fig. 2.1.**
L	**1106**	Acr-5	AS 116	Espace limité au sud-ouest par M.1102.	L.1105, M.1102	L.1109		**Fig. 2.1.**
L	**1107**	Acr-5	AR 116	Espace limité au nord-est par M.1102.	L.1103	M.1108, L.1112		**Fig. 2.1.**
M	**1108**	Acr-3	AS 116	Rempart du Bronze ancien construit en appareil cyclopéen, séparant L.1112 et L.1129 au sud-ouest, de L.1110, L.1111, L.1115 et L.1121 au nord-est.	L.1107	/	**Fig. 2.2.**	**Fig. 2.1.**
L	**1109**	Acr-4	AS 116	Espace sur le sol chaulé 1110.	L.1106	L.1110		**Fig. 2.1.**
L	**1110**	Acr-4	AS 116	Sol chaulé de 10 à 30 cm d'épaisseur, limité au sud-ouest par le rempart M.1108.	L.1109	L.1111	**Fig. 2.2.**	**Fig. 2.1.**
L	**1111**	Acr-4	AS 116	Espace limité au sud-ouest par le rempart M.1108.	L.1110	L.1115		**Fig. 2.1.**
L	**1112**	Acr-5	AR 116	Espace limité au nord-est par le rempart M.1108.	L.1107	L.1129	**Fig. 2.2.**	**Fig. 2.1.**
L	**1115**	Acr-4	AS 116	Sol chaulé de c. 20 cm d'épaisseur, limité au sud-ouest par le rempart M.1108.	L.1111	M.1120, L.1121	**Fig. 2.2.**	**Fig. 2.1.**
M	**1120**	Acr-2	AS 116	Mur bordé par L.1121 (à l'ouest).	L.1115	L.1123	**Fig. 2.2.**	**Fig. 2.1.**
L	**1121**	Acr-2	AS 116	Espace limité à l'est par M.1120, au sud par le rempart M.1108.	L.1115	L.1123		**Fig. 2.1.**
L	**1123**	Acr-1	AS 116	Glacis sous L.1121 et reposant sur le sol chaulé 1124. *Stratigraphie :* – Couche 1123-1. – Couche 1123-2.	L.1121	L.1124	**Fig. 2.2.**	**Fig. 2.1.**
L	**1124**	Acr-1	AS 116	Sol chaulé au-dessus du rocher. Correspond probablement au sol 1131 au pied du rempart M.1108 en AR 116.	L.1123	/		**Fig. 2.1.**
L	**1129**	Acr-4–5	AR 116	Espace limité au nord-est par le rempart M.1108.	L.1112	L.1131	**Fig. 2.2.**	**Fig. 2.1.**
L	**1131**	Acr-1 ?	AR 116	Sol chaulé au pied du rempart 1108. Passe sous ce dernier et se relie probablement au sol chaulé 1124 en AS 116.	L.1129	/	**Fig. 2.2.**	**Fig. 2.1.**

1.2. LOCI DU SONDAGE 2

Type et N°		Niveau	Carré	Description	L. sus-jacent	L. sous-jacent	Plan	Coupes
L	**1113**	Acr-IA1	BB-BC 116	Terre de surface sur l'ensemble du Sondage 2.	/		**Fig. 3.65.**	**Figs 3.4, 3.6.**
S	**1114**	Surface	BB 116	Trou de combattant (guerre de 1948) creusé dans la terre de surface.	/	L.1117	/	/
L	**1116**	Acr-1A	BB 116	Éboulis de pierres. Locus supprimé, confondu avec L.1117A.	L.1113	L.1117B		
L	**1117A**	Acr-IA	BB 116	Espace limité au nord-est par M.1118A, au sud-ouest par M.1158. Correspond à L.2318 en BC 116.	L.1113	L.1117B	**Fig. 3.65.**	**Figs 3.4, 3.6.**
L	**1117B**	Acr-IC1	BB 116	Espace limité au nord-est par M.1118A, au sud-ouest par M.1183.	L.1113	L.1119, F.1174	**Fig. 3.59.**	**Figs 3.4, 3.6.**
M	**1118A**	Acr-IA2	BB-BC 116	Mur de terrasse construit directement sur M.1118B.	L.1117A	M.1118B	**Fig. 3.65.**	**Figs 3.4, 3.6, 3.11.**
M	**1118B**	Acr-IIA	BB-BC 116	Mur de terrasse situé immédiatement sous M.1118A, séparant L.1122 + L.1127 (= L.2320-1+2) au nord-est de L.1119/ L.1140 au sud-ouest. Associé au sol L.1140-a	M.1118A	L.1142 – L.1149	**Fig. 3.53.**	**Figs 3.4, 3.6, 3.11.**
L	**1119**	Acr-IIA	BB 116	Espace limité au nord-est par M.1118B.	L.1117B	L.1140	**Fig. 3.53.**	**Figs 3.4, 3.6, 3.11.**
L	**1122**	Acr-IIB	BB-BC 116	Espace limité au nord-est par M.2316 et au sud-ouest par M.1118A. Correspond à L.2320-1.	L.2318	L.1127 = L.2320-2,		**Figs 3.4, 3.6.**
M	**1125**	Acr-IIA	BB 116	Muret bordant au nord-ouest le sol chaulé de L.1140.	L.1119	L.1149	**Fig. 3.53.**	**Fig. 3.11.**
L	**1126**	Acr-III	BB 116	Espace limité au nord-est par M.1118B et au sud-est par M.2325. Correspond à la couche de destruction de L.1136/1149.	L.1119	L.1136, L.1149		
L	**1127**	Acr-IIB	BC 116	Espace limité au nord-est par M.2316, au sud-ouest par M.1118B. Correspond à L.2320-2.	L.1122 = L.2320-1	L.1130, L.1139, L.2329		**Figs 3.4, 3.6.**
S	**1128**	Acr-IIB	BC 116	Structure composée de chaux et de pierres, en L.1127, contre M.1118B. Locus supprimé, confondu avec L.1127.	L.1122 = L.2320-1	L.1130	/	/
L	**1130**	Acr-III	BC 116	Espace limité au sud-ouest par M.1118B, au sud-est par M.1138. *Stratigraphie* : – Couche 1130-1. – Sol 1130-a : 402,69.	L.1127	L.1148	**Fig. 3.40.**	**Fig. 3.6.**
	1132	/	BC 116	Locus supprimé.	/	/	/	
M	**1133**	Acr-III	BB 116	Mur séparant L.1136 (au nord-ouest) de L.1149 (au sud-est).	L.1126	L.1150	**Fig. 3.40.**	
L	**1134**	Acr-III	BB 116	Espace limité au sud-est par M.1133. Locus supprimé, confondu avec L.1149.	L.1140	L.1150		
L	**1135**	Acr-III	BB 116	Espace limité au nord-est par M.1137, au sud-est par M.1133, au sud-ouest par M.1163.	L.1126, L.1119	L.2338, L.2309A	**Fig. 3.40.**	**Fig. 3.6.**
L	**1136**	Acr-III	BB 116	Espace limité au sud-est par M.1133, au sud-ouest par M.1137.	L.1119	L.2338	**Fig. 3.40.**	**Figs 3.6, 3.11.**
M	**1137**	Acr-III	BB 116	Mur séparant L.1136 (au nord-est) de L.1135 (au sud-ouest), relié à M.1133.	L.1126, L.1119	L.2338	**Fig. 3.40.**	**Fig. 3.6.**

Type et N°		Niveau	Carré	Description	L. sus-jacent	L. sous-jacent	Plan	Coupes
M	**1138**	Acr-III	BB-BC 116	Mur séparant L.1130 et L.2334 (au nord-ouest) de L.1139 (au sud-est).	L.1127 = L.2320-2	/	**Fig. 3.40.**	
L	**1139**	Acr-III	BC 116	Espace limité au nord-ouest par M.1138, au nord-est par M.2328, au sud-ouest par M.1141.	L.1127 = L.2320-2	/	**Fig. 3.40.**	**Fig. 3.4.**
L	**1140**	Acr-IIA	BB 116	Sol chaulé limité au nord-est par M.1118B et lié à sa base. Sol 1140-a : 402,40.	L.1119	L.1149	**Fig. 3.53.**	**Fig. 3.4.**
M	**1141**	Acr-III	BB 116	Mur relié à M.1138, séparant L.1139 (au nord-est) de L.1142 (au sud-ouest).	L.1127 = L.2320-2	/	**Fig. 3.40.**	**Fig. 3.4.**
L	**1142**	Acr-III	BC 116	Locus supprimé, confondu avec L.1149.	M.1118B, L.1140	L.1150	**Fig. 3.40.**	**Fig. 3.4.**
L	**1143**	Acr-III	BB 116	Espace homologue de L.1149 en BB 116. Locus supprimé, confondu avec L.1149.	M.1118B, L.1140	L.1150	/	
M	**1144**	Acr-III	BB 116	Mur séparant L.1149 (au nord-est) de L.1145 (au sud-ouest).	L.1119	L.1150	**Fig. 3.40.**	**Fig. 3.4.**
L	**1145**	Acr-III	BB 116	Espace limité au nord-est par M.1144, au nord-ouest par M.1133. Entamé par la fosse F.1174.	L.1119	L.1150, F.1174	**Fig. 3.40.**	
L	**1146**	Acr-IV	BC 116	Locus supprimé: confondu avec L.1148.	L.1130	/	/	
L	**1147**	Acr-III	BB 116	Locus supprimé: confondu avec L.1149.	M.1118B, L.1140	L.1150	/	
L	**1148**	Acr-IV	BC 116	Espace limité au sud-ouest par M.1154, au sud-est par S.1155 et S.1156.	L.1130	/	**Fig. 3.33.**	**Fig. 3.6.**
L	**1149**	Acr-III	BB 116	Espace limité au nord-ouest par M.1133, au nord-est par M.1141 et M.2321, au sud-ouest par M.1144. *Stratigraphie* : – Couche 1149-1. – Sol 1149-a : 401,80/70. – Couche 1149-2. – Sol 1149-b : 401,50.	M.1118B, L.1140	L.1150	**Fig. 3.40.**	**Figs 3.4, 3.11.**
L	**1150**	Acr-IV	BB 116	Espace limité au nord-ouest par M.2333, au nord-est par M.2341. Traversé par la fosse S.1174. *Stratigraphie* : – Couche 1150-1. – Sol 1150-a : 401,13.	L.1149	L.1153	**Fig. 3.33.**	**Figs 3.4, 3.11.**
M	**1151**	Acr-VA	BB 116	Mur séparant L.1152 (au nord-est) de L.1153 (au sud-ouest).	L.1149	/	**Fig. 3.28.**	**Figs 3.4, 3.6, 3.11.**
L	**1152**	Acr-VA	BB 116	Espace limité au sud-ouest par M.1151. *Stratigraphie :* – Couche 1152-1. – Sol 1152-a : 400,96.	L.1150	/	**Fig. 3.28.**	**Fig. 3.4.**
L	**1153**	Acr-VA	BB 116	Espace limité au nord-est par M.1151. Traversé par la fosse S.1174. *Stratigraphie* : – Couche 1153-1. – Sol 1153-a : 400,60 / 400,85.	L.1150	L.1173	**Fig. 3.28.**	**Fig. 3.4.**
M	**1154**	Acr-IV	BC 116	Mur bordé par L.1148 (au nord-est) et par la fosse du four S.1156.	L.1130	/	**Fig. 3.33.**	**Fig. 3.6.**
S	**1155**	Acr-IV	BC 116	Cavité circulaire de four, reliée à S.1156.	L.1130	/	**Fig. 3.33.**	

Type et N°		Niveau	Carré	Description	L. sus-jacent	L. sous-jacent	Plan	Coupes
S	**1156**	Acr-IV	BC 116	Cavité circulaire de four, reliée à S.1155.	L.1130	/	**Fig. 3.33.**	
M	**1157**	Acr-IA1	BA 116	Mur de terrasse associé à la terre de surface L.1113.	L.1113	L.1117A	**Fig. 3.65.**	
M	**1158**	Acr-IA1	BA 116	Mur de terrasse associé à la terre de surface L.1113.	L.1113	L.1117B	**Fig. 3.65.**	**Figs 3.4, 3.6.**
M	**1159**	Acr-IA1	BA 116	Muret de soutènement associé à la terre de surface L.1113.	L.1113	L.1182	**Fig. 3.65.**	**Fig. 3.4.**
M	**1160**	Acr-IA1	BA 116	Muret de soutènement associé à la terre de surface L.1113.	L.1113	L..1182	**Fig. 3.65.**	**Fig. 3.4.**
F	**1161**	Acr-IC ?	BA 116	Locus supprimé. Confondu avec la fosse F.1174.	L.1117	L.1173		
L	**1162**	Acr-IIA	BA 116	Locus supprimé, confondu avec L.1119.	L.1117B	L.1140	/	
M	**1163**	Acr-III	BA 116	Mur relié à M.1133, séparant L.1135 (au nord-est) de L.1165 (au sud-ouest).	L.1117B/ L.1119	L.2309A	**Fig. 3.40.**	
M	**1164**	Acr-IA1	BA 116	Locus supprimé (correspond à M.1160).	L.1113	L.1182	/	
L	**1165**	Acr-III	BA 116	Espace limité au nord-est par M.1163, au sud-est par M.1133, au sud-ouest par M.1183.	L.1117B	L.2309A	**Fig. 3.40.**	**Fig. 3.6.**
L	**1166**	Acr-III	BA 116	Espace limité au nord-ouest par M.1133, au nord-est par M.1144, au sud-ouest par S.1169. *Stratigraphie* : – Couche 1166-1. – Sol 1166-a : 401,47. – Couche 1166-2. – Sol 1166-b : 401,24. – Couche 1166-3.	L.1117B	L.1171	**Fig. 3.40.**	
M	**1167A1**	Acr-IA2	BA 116	Mur de terrasse bordé par L.1117 (au nord-est).	L.1113	M.1167B	**Fig. 3.65.**	**Figs 3.4, 3.6, 3.9.**
M	**1167A2**	Acr-IA3	BA 116	Mur de terrasse sous M.1167A1.	M.1167A1	M.1167B	**Fig. 3.65.**	**Figs 3.6, 3.9.**
M	**1167B**	Acr-IB	BA 116	Mur de terrasse recoupant L.1173 (au nord-est), bordé par L.1179 (au sud-ouest).	M.1167A2	L.1191	**Fig. 3.59.**	**Figs 3.4, 3.6, 3.9.**
L	**1168**	Acr-IA3	BA 116	Locus supprimé, confondu avec L.1182.	L.1113	L.1117A		
L	**1169**		BA 116	Locus supprimé.				
L	**1170**		BA 116	Locus supprimé.				
L	**1171**	Acr-III	BA 116	Espace limité au nord-ouest par M.1133, au nord-est par M.1144, au sud-ouest par M.1167. Traversé par la fosse S.1174. *Stratigraphie* : – Couche 1171-1. – Sol 1171-a : 401,09. – Couche 1171-2. – Sol 1171-b : 400,82.	L.1166	L.1173	**Fig. 3.40.**	
M	**1172**	Acr-III	BA 116	Mur bordant L.1171 (au sud-ouest), recoupé par la fosse S.1174 (au nord-est).	L.1117B	L.1173	**Fig. 3.40.**	
L	**1173**	Acr-VII–VI	BA 116	Espace délimité par des coupes et des bermes, recoupé au sud-ouest par la tranchée de fondation S.2325 de M.1167. Traversé par la fosse S.1174. N° faisant également référence au sondage 1173.	L.1153	Rocher	**Figs 3.13, 3.21.**	**Figs 3.4, 3.11.**

Type et N°		Niveau	Carré	Description	L. sus-jacent	L. sous-jacent	Plan	Coupes
				Stratigraphie : – Couche 1173-1. – Surface 1173-a : 400,50. – Couche 1173-2. – Surface 1173-b : 400,40. – Couche 1173-3. – Surface 1173-c : 400,00. – Couche 1173-4. – Couche 1173-5.				
F	**1174**	Acr-IC2	BA-BB 116	Fosse recoupant L.1153, L.1171, M.1172 et L.1173.	L.1117B	L.1173	**Fig. 3.59.**	
L	**1175**	Acr-IA2	AZ 116	Espace situé sous la terre de surface, limité au nord-est par M.1176 et M.1185. *Stratigraphie* : – Couche 1175-1. – Surface 1175-a : 400,00. – Couche 1175-2. – Surface 1175-b : 399,69. – Couche 1175-3.	L.1113	L.1179, L.1180	**Fig. 3.65.**	**Figs 3.4, 3.6.**
M	**1176**	Acr-IA2	AZ 116	Mur de terrasse bordé par L.1175 (au sud-ouest), rejoignant M.1167.	L.1113	M.1179	**Fig. 3.65.**	**Figs 3.4, 3.6.**
M	**1177**	Acr-IA3	AZ 116	Mur de terrasse. Locus supprimé : confondu avec M.1185.	L.1113	M.1179		
M	**1178**	Acr-IB	AZ 116	Mur séparant L.1179 (au nord-est) de L.1180 (au sud-ouest). *Stratigraphie* : – M.1178 A : niveau IB1. – M.1178 B : niveau IB2. – M.1178 C : niveau I, VII ?	L.1179	M.1178B-rocher	**Fig. 3.59.**	**Figs 3.4, 3.6.**
L	**1179**	Acr-IB	AZ 116	Espace limité au nord-ouest par M.1167, au nord-est par M.1178, au sud-ouest par M.1178. *Stratigraphie :* – Couche 1179-1. – Sol 1179-a : 399,35.	L.1175	L.1191	**Fig. 3.59.**	**Figs 3.4, 3.6, 3.9.**
L	**1180**	Acr-IB	AZ 116	Espace limité au nord-est par M.1178.	L.1175	L.1194, L.1195	**Fig. 3.59.**	**Figs 3.4, 3.6.**
M	**1181**	Acr-IB	AZ 116	Alignement de pierres reposant sur le sol 1175-b.	L.1175	L.1179	/	
L	**1182**	Acr-IA3	BA 116	Espace limité au nord-est par M.1183, au sud-ouest par M.1167 et contenant de grosses pierres éboulées reposant sur le sol chaulé 1182-a. *Stratigraphie :* – Couche 1182-1. – Sol chaulé 1182-a : 401,01.	L.1113	L.1117A	**Fig. 3.65.**	**Figs 3.4, 3.6.**
M	**1183**	Acr-IA3	BA 116	Muret de terrasse séparant L.1117B (au nord-est) de L.1182 (au sud-ouest).	L.1117A	F.1174	**Fig. 3.65.**	**Fig. 3.6.**
M	**1184**	Acr-VB	BA 116	Mur séparant L.1186 (au nord-ouest) de L.1153 (au sud-est).	L.1182	L.2314	**Fig. 3.28.**	
M	**1185**	Acr-IA3	AZ 116	Mur de terrasse bordé par L.1175 (au sud-ouest), ultérieurement recouvert par M.1176.	M.1176	L.1179	**Fig. 3.65.**	

Type et N°		Niveau	Carré	Description	L. sus-jacent	L. sous-jacent	Plan	Coupes
L	**1186**	Acr-VA	BA 116	Espace limité au nord-est par M.1189, au sud-est par M.1184, au sud-ouest par M.2305. *Stratigraphie :* – Couche 1186-1. – Sol 1186-a : 400,02.	L.1182	L.2310	**Fig. 3.28.**	**Fig. 3.6.**
M	**1187**	Acr-IB	AZ 116	Mur bordé par L.1179 (au sud-est), relié à M.1167 et M.1178.	L.1179	S.2304, M.2306	**Fig. 3.59.**	**Figs 3.6, 3.9.**
M	**1188**	Acr-IA3	AZ 116	Mur de terrasse s'appuyant contre M.1167A et reposant sur M.1187.	M.1117A	M.1187	**Fig. 3.65.**	**Fig. 3.6.**
M	**1189**	Acr-VB	BA 116	Mur séparant L.2309 (au nord-est) de L.1186 (au sud-ouest).	L.1165	L.2314	**Fig. 3.28.**	**Fig. 3.6.**
F	**1190**	Acr-IC2	AZ 116	Fosse à la base de M.1167, recoupant les couches 1191-1 et 1198-1 à 3.	L.1179	L.1191, L.1198	**Fig. 3.59.**	**Fig. 3.9.**
L	**1191**	Acr-VII	AZ 116	Espace limité au nord-ouest par M.1187, au nord-est par M.1167, au sud-ouest par M.1178. *Stratigraphie :* – Couche 1191-1. – Sol 1191-a : 398,75 / 399,10. – Couche 1191-2. – Sol 1191-b : 398,98.	L.1179	L.1198	**Fig. 3.13.**	**Figs 3.4, 3.9.**
Tr.	**1192**	Acr-IB	BA 116	Tranchée de fondation de M.1167.	L.1117A	L.1173	**Fig. 3.59.**	**Figs 3.4, 3.6.**
M	**1193**	Acr-IB	AZ 116	Margelle de la citerne S.2301. Associée au sol L.1180-a.	L.1175	Rocher	**Fig. 3.59.**	**Fig. 3.6.**
L	**1194**	Acr-IB ?	AZ 116	Espace limité au nord-ouest par la citerne S.2301 et au nord-est par M.1178.	L.1180	L.2302, L.2303	**Fig. 3.59.**	**Fig. 3.4.**
L	**1195**	Acr-IB	AZ 116	Espace délimité par la margelle M.1193 de la citerne S.2301.	L.1175	S.2301	**Fig. 3.59.**	
M	**1196**	Acr-VIII	AZ 116	Mur séparant L.1198 (au nord) de L.1197 (au sud), relié à M.1199.	L.1191	L.1998-4 & 5, L.2315	**Fig. 3.13.**	**Figs 3.4, 3.9.**
L	**1197**	Acr-VIII	AZ 116	Espace limité au nord-ouest par M.1196, au sud-ouest par M.1199. *Stratigraphie :* – Couche 1197-1. – Surface 1197-a : 398,01.	L.1191	/	**Fig. 3.13.**	**Figs 3.4, 3.9.**
L	**1198**	Acr-VIII Acr-IX	AZ 116	Espace limité au nord par M.2306, au sud par M.1196, au sud-ouest par M.1178. *Stratigraphie :* – Couche 1198-1. – Sol 1198-a : 398,64 / 398,84. – Couche 1198-2. – Sol 1198-b : 398,44 / 398,70. – Couche 1198-3. – Sol 1198-c : 398,33 / 398,54. – Couche 1198-4. – Sol 1198-d : 398,20. – Couche 1198-5. – Sol 1198-e : 398,00. – Couche 1198-6 = L.2315-1.	L.1191	L.2315	**Fig. 3.13.**	**Fig. 3.9.**
M	**1199**	Acr-VIII	AZ 116	Mur bordé par L.1197 (au nord-est), venant sous M.1178 (au sud-ouest) et relié à M.1196.	M.1178? L.1191	/	**Fig. 3.13.**	**Fig. 3.4.**

Type et N°		Niveau	Carré	Description	L. sus-jacent	L. sous-jacent	Plan	Coupes
S	**2301**	Acr-IB	AZ 116	Citerne creusée dans le rocher.	L.1175	Rocher	**Fig. 3.59.**	**Fig. 3.6.**
Tr.	**2302**	Acr-IB	AZ 116	Tranchée de fondation de la margelle M.1193 de la citerne S.2301.	L.1175	/		
L	**2303**	Acr-IB ?	AZ 116	Espace limité au nord-est par M.1178.	L.1194	Rocher	*cf.* **Fig. 3.59.**	**Fig. 3.4.**
L	**2304**	Acr-VIII	AZ 116	Amas de pierres sur lequel repose M.1187. Locus supprimé, confondu avec L.1198, couches 1 à 3.	M.1187	L.1198	/	
M	**2305**	Acr-VB	BA 116	Mur séparant L.2310 (au nord-est) de L.2307 (au sud-ouest).	L.1186	L.2314	**Fig. 3.28.**	
M	**2306**	Acr-VIII	AZ 116	Mur limitant L.1198 au nord-ouest, entamé par la fosse F.1190 et surmonté par S.2304.	M.1187	L.1998-4 & 5, L.2315	**Fig. 3.13.**	**Figs 3.6, 3.9.**
L	**2307**	Acr-V	BA 116	Espace limité au nord-est par 2305, au sud-est par M.1184, recoupé au sud-ouest par M.1167. *Stratigraphie* : – Couche 2307-1. – Couche 2307-2. – Surface 2307-b : 399,89. – Couche 2307-3.	L.1186	L.2314	**Fig. 3.28.**	
L	**2308**	Acr-VI	BA 116	Locus supprimé, confondu avec L.1173.	L.1171	/		
L	**2309A**	Acr-V	BA-BB 116	Espace limité au nord-est par M.1151, au sud-ouest par M.1189. *Stratigraphie :* – Couche 2309-1. – Sol 2309-a : 400,58.	L.1135, L.1165	L.2309B	**Fig. 3.28.**	**Fig. 3.6.**
	2309B	Acr-VIA		– Couche 2309-2. – Sol 2309-b : 400,08. – Couche 2309-3.	L.2309A	L.2314	**Fig. 3.21.**	**Fig. 3.6.**
L	**2310**	Acr-VB	BA 116	Espace limité au nord-est par M.1189, au sud-est par M.1184, au sud-ouest par M.2305. *Stratigraphie* : – Couche 2310-1. – Sol 2310-a : 399,78.	L.1186	L.2314	**Fig. 3.28.**	**Fig. 3.6.**
S	**2311**	Acr-VIII/IX?	BA-BB 116	Structure constituée de pierres reposant sur le rocher.	L.1173	Rocher	**Fig. 3.13.**	
L	**2312**	Acr-VA	BA 116	Espace au sud-est de M.1184.	L.1153	L.1173	**Fig. 3.28.**	**Fig. 3.4.**
S	**2313**	Acr-VB	BA 116	Four à pain circulaire (*tabūn*) dans L.2310.	L.1186	L.2314	**Fig. 3.28.**	**Fig. 3.6.**
L	**2314**	Acr-VIA	BA 116	Espace situé sous L.2310. *Stratigraphie :* – Couche 2314-1. – Sol 2314-a : 399,48. – Couche 2314-2.	L.2310	/	**Fig. 3.21.**	**Fig. 3.6.**
L	**2315**	Acr-IX	AZ 116	Espace délimité par les coupes du sondage. *Stratigraphie* : – Couche 2315-1 (= L.1198-6). – Surface 2315-a : 397,82. – Couche 2315-2.	L.1198	Rocher	**Fig. 3.13.**	**Figs 3.4, 3.6, 3.9.**
M	**2316**	Acr-IIB	BD 116	Mur séparant L.2319 (au nord-est) de L.2320 (au sud-ouest), relié à M.2317.	L.1113	L.2329–2332, L.2331–2340	**Fig. 3.53.**	**Figs 3.4, 3.6.**

Type et N°		Niveau	Carré	Description	L. sus-jacent	L. sous-jacent	Plan	Coupes
M	**2317**	Acr-IIB	BD 116	Mur bordé par L.2319 (au nord-est), relié à M.2316.	L.1113	L.2329–2332	**Fig. 3.53.**	**Fig. 3.4.**
L	**2318**	Acr-IA2–3	BC 116	Espace situé sous la terre de surface, limité au nord-est par M.2326, au sud-ouest par M.1118A. Correspond à L.1117A en BA–BB 116. *Stratigraphie* : – Couche 2318-1. – Surface 2318-a, marquant le sommet de L.2320-1 : 404,74.	L.1113	L.1122 = L.2320-1	**Fig. 3.65.**	**Figs 3.4, 3.6.**
L	**2319**	Acr-IIB	BD 116	Espace situé sous la terre de surface, limité au sud-est par M.2317, au sud-ouest par M.2316.	L.1113	L.2331, L.2332	**Fig. 3.53.**	**Figs 3.4, 3.6.**
L	**2320**	Acr-IIB	BC 116	Espace limité au nord-est par M.2316, au sud-ouest par M.1118B. *Stratigraphie* : – Couche 2320-1 = L.1122. – Couche 2320-2 : L.1127.	L.2318	L.1139, L.2329, L.2334, L.2339, L.2340	**Fig. 3.53.**	**Figs 3.4, 3.6.**
M	**2321**	Acr-III	BB 116	Mur séparant L.1130 (au nord-est) de L.1149 (au sud-ouest), et lié à M.1138 et à M.2323.	M.1127 = L.2320-2	M.2341	**Fig. 3.40.**	
M	**2322**	Acr-III	BC 116	Mur séparant L.2334 (au nord-est) de L.2324 (au sud-ouest).	M.1127 = L.2320-2	/	**Fig. 3.40.**	**Fig. 3.6.**
M	**2323**	Acr-III	BB 116	Mur séparant L.1136 (au nord-ouest) de L.1149 (au sud-est), situé sous M.1118B et lié à M.2321.	M.1118B, L.1119	M.2341	**Fig. 3.40.**	**Fig. 3.11.**
L	**2324**	Acr-III	BC 116	Locus supprimé, confondu avec L.2334.	L.1127 = L.2320-2	/		
Tr.	**2325**	Acr-IA3	AZ-BA 116	Tranchée de fondation de M.1167B.	L.1113	/	**Fig. 3.65.**	**Fig. 3.4.**
M	**2326**	Acr-IA2	BC-BD 116	Mur de terrasse appuyé contre la face sud-ouest de M.2316.	L.1113	L.2318	**Fig. 3.65.**	**Figs 3.4, 3.6.**
S	**2327**	Acr-IV	BC 116	Structure englobant les cavités circulaires S.1155 et S.1156.	L.1130	/	**Fig. 3.33.**	**Fig. 3.6.**
M	**2328**	Acr-III	BC 116	Mur séparant L.2329 (au nord-est) de L.1139 (au sud-ouest).	L.1127 = L.2320-2	/	**Fig. 3.40.**	**Fig. 3.4.**
L	**2329**	Acr-III	BC 116	Espace limité au nord-ouest par M.1138, au nord-est par M.2336, au sud-ouest par M.2328.	L.1127 = L.2320-2	/	**Fig. 3.40.**	**Fig. 3.4.**
M	**2330**	Acr-III	BD 116	Mur séparant L.2331 (au nord-ouest) de L.2332 (au sud-est).	L.2319	/	**Fig. 3.40.**	
L	**2331**	Acr-III	BD 116	Espace limité au sud-est par M.2330.	L.2319	/	**Fig. 3.40.**	**Fig. 3.6.**
L	**2332**	Acr-III	BD 116	Espace limité au nord-ouest par M.2330.	L.2319	/	**Fig. 3.40.**	**Fig. 3.4.**
M	**2333**	Acr-IV	BB 116	Mur séparant L.2338 (au nord-ouest) de L.1150 (au sud-est).	M.2123, L.1149-2	L.1152	**Fig. 3.33.**	**Fig. 3.11.**
L	**2334**	Acr-III	BC 116	Espace limité au nord par M.2335, à l'est par M.1138, vers l'ouest par M.2322. *Stratigraphie :* – Couche 2334-1. – Sol 2334-a : 402,85.	L.1127 = L.2320-2	/	**Fig. 3.40.**	**Fig. 3.6.**
M	**2335**	Acr-III	BC 116	Mur séparant L.2239 (au nord-est) de L.2334 (au sud-ouest) et lié à M.1138.	L.1127 = L.2320-2	/	**Fig. 3.40.**	**Fig. 3.6.**

Type et N°		Niveau	Carré	Description	L. sus-jacent	L. sous-jacent	Plan	Coupes
M	**2336**	Acr-III	BC 116	Mur séparant L.2340 (au nord-est) de L.2329 (au sud-ouest) et lié à M.1138.	L.1127 = L.2320-2	/	**Fig. 3.40.**	
M	**2337**	Acr-III	BB 116	Mur visible dans la coupe sud-est.	L.1140	L.1150	**Fig. 3.40.**	**Fig. 3.4.**
L	**2338**	Acr-IV	BB 116	Espace limité au sud-est par M.2333. *Stratigraphie :* – Couche 2338-1. – Sol 2338-a : 401,23. – Couche 2338-2.	L.1136	/	**Fig. 3.33.**	**Figs 3.6, 3.11.**
L	**2339**	Acr-III	BC-BD 116	Espace limité à l'est par M.1138, au sud par M.2335.	L.1127 = L.2320-2	/	**Fig. 3.40.**	**Fig. 3.6.**
L	**2340**	Acr-III	BC-BD 116	Espace limité à l'ouest par M.1138, au sud par M.2336.	L.1127 = L.2320-2	/	**Fig. 3.40.**	
M	**2341**	Acr-IV	BB 116	Mur limitant L.1150 au sud-ouest.	L.1149	/	**Fig. 3.33.**	**Fig. 3.4.**
	2342	/	BB 116	Locus supprimé.				
L	**2343**	Acr-IV	BB 116	Locus supprimé. Confondu avec L.1150.	L.1149	L.1153		
L	**2344**	Acr-IV	BB 116	Locus supprimé. Confondu avec L.1150.	L.1149	L.1153		

Appendice 3

LISTE DU MOBILIER ARCHÉOLOGIQUE ILLUSTRÉ

SONDAGE 1

Locus : Type et N°		Phase	Poterie	Autres objets
L	1101	Acr-6	**Figs 12.1–12.2.**	
L	1103	Acr-6	**Fig. 9.5**:1,4.	
L	1105	Acr-6	**Fig. 9.5**:2–3.	
L	1106	Acr-5	**Fig. 4.4**:1–9.	**Figs 14.2**:1 ; **15.1** ; **15.6**:1.
L	1109	Acr-4	**Fig. 4.4**:10–18.	**Figs 15.6**:1; **17.1.**
L	1110	Acr-4	**Fig. 4.3**:1–4.	
S	1111	Acr-4	**Fig. 4.3**:5–9.	
L	1112	Acr-5		**Fig. 17.2.**
L	1123	Acr-1	**Figs 4.1**; **4.3**:10.	
L	1129	Acr-4–5		**Fig. 17.2.**
L	1131	Acr-1 ?	**Fig. 4.3**:11.	

SONDAGE 2

Locus : Type et N°		Niveau	Poterie	Autres objets
L	1117A	Acr-IA3		**Figs 15.3**:7 ; **15.9**:3.
L	1117B	Acr-IC1		*cf.* **Fig. 14.1:3.**
L	1119	Acr-IIA	**Fig. 11.8.**	**Figs 14.1**:6 ; **15.3**:1 ; **16.1.**
L	1122	Acr-IIB	Voir L.2320-1.	**Fig. 15.9**:3.
L	1126	Acr-III		**Fig. 15.9**:2.
L	1127	Acr-IIB	Voir L.2320-2.	
L	1130	Acr-III	**Figs 10.17–10.19.**	
L	1136	Acr-III		*cf.* **Fig. 14.1**:3.
L	1139	Acr-III	**Fig. 10.17**:8.	**Fig. 14.2**:4.
L	1140	Acr-IIA	**Fig. 11.8**:12.	**Figs 15.9**:6-7.
L	1147 = L.1149	Acr-III	**Fig. 10.12**:1.	
L	1148	Acr-IV	**Figs 9.6–9.7**:1–8.	**Figs 14.1**:2,5 ; **15.3**:2 ; **15.8**:3.
L	1149	Acr-III	**Figs 10.12–10.16.**	**Figs 13.1**:9-10 ; **14.1**:4.
L	1150	Acr-IV	**Fig. 9.8.**	**Figs 15.5**:3 ; **15.12**:1.
L	1152	Acr-VA	**Fig. 8.12**:1.	**Fig. 15.7**:1.
L	1153	Acr-VA	**Figs 8.12**:2–11 ; **8.13.**	**Figs 13.1**:3 ; **15.8**:6.
F	1161	Acr-IC?	**Fig. 11.7**:5.	
L	1166	Acr-III	**Fig. 10.22.**	**Fig. 14.1**:1.
L	1171	Acr-III	**Figs 10.20–10.21.**	**Figs 15.3**:4 ; **15.8**:4–5.

Locus : Type et N°		Niveau	Poterie	Autres objets
L	1173-1+2 (BR II)	Acr-VIA	**Figs 7.6–7.7** ; **7.8**:1–8.	**Figs 13.1**:4,6 ; **15.8**:1.
L	1173-2–4 (BM II)	Acr-VIB	**Fig. 5.1.**	
L	1173-4+5 (BA)	Acr-VII	**Figs 4.10–4.11** ; **5.1**:5.	
F	1174	Acr-IC2	*Cf.* **Fig. 7.8.**	**Fig. 15.9**:4.
L	1175	Acr-IA2	**Fig. 12.3**:1–6.	
M	1176	Acr-IA2		**Figs 15.5**:2 ; **15.7**:4.
M	1177	Acr-IA2		**Figs 15.5**:2 ; **15.7**:4.
L	1179	Acr-IB	**Figs 7.7**:17 ; **12.3**:7–9.	**Figs 15.10**:3 ; **15.11**:2 ; **15.12**:2 ; **20.2.**
L	1180	Acr-IB	**Figs 7.7**:18 ; **12.3**:10–16.	**Fig. 14.2** :2–3.
M	1184	Acr-VB		**Fig. 18.1.**
L	1186	Acr-VA	**Figs 8.6**:1–5 ; **8.7–8.9.**	**Figs 13.1**:2 ; **15.3**:8–9 ; **15.10**:2 ; **20.1.**
F	1190	Acr-IC		**Fig. 15.12**:3.
L	1191	Acr-VII	**Fig. 4.9** ; 7.7:19.	
L	1197	Acr-VIII	**Fig. 4.8.**	**Figs 15.10**:1,4.
L	1198-1 à 3 (BA III)	Acr-VIII	**Fig. 4.7**:1–14,16.	**Fig 15.2.**
	1198-4+5 (BA II)	Acr-IX	**Fig. 4.6.**	**Fig.15.4.**
L	2304 = L.1198-1 à 3	Acr-VIII	**Fig. 4.7**:15.	
L	2309A	Acr-V	**Fig. 8.10.**	
L	2309B	Acr-VIB–A	**Figs 5.2**:1–4 ; 7.4–7.5.	**Fig. 13.1**:7.
L	2310	Acr-VB	**Fig. 8.6**:6–11.	**Figs 15.7**:2 ; **15.9**:1.
L	2312	Acr-VA	**Fig. 8.11.**	
L	2314	Acr-VIB	**Figs 5.2**:5–7 ; **7.3.**	**Fig. 15.3**:6.
L	2315	Acr-IX	**Fig. 4.5.**	
L	2319	Acr-IIB		**Fig. 13.1**:8.
L	2320-1 (= L.1122)	Acr-IIB	**Figs 11.5–11.6** ; **11.7**:2–3.	**Figs 13.1**:5 ; **15.3**:3,5 ; **15.9**:5 ; **15.11**:1.
L	2320-2 (= L.1127)	Acr-IIB	**Figs 11.3–11.4** ; **11.7**:1,4,6–7.	**Figs 15.5**:1 ; **15.11**:3.
L	2334	Acr-III	**Fig. 10.19**:8.	
L	2338	Acr-IV	**Fig. 9.7**:9–10.	**Figs 15.7**:3 ; **15.10**:5.
L	2344 (= L.1150)	Acr-IV	**Fig. 9.8**:8–9.	

FINAL REPORT ON THE EXCAVATIONS OF THE TEL YARMUTH ACROPOLIS, ISRAEL

ENGLISH SUMMARY*

1. General Introduction

1.1. The Site

1.1.1. *Situation*

Tel Yarmuth is located at a distance of 34 km inland from the coast of the Mediterranean Sea and 25 km south-southwest from Jerusalem, in a region of low hills called in the Bible the Judean Shephelah, or lowland of Judea (**Fig. 1.1**). It is a fertile region connecting, by transversal and longitudinal roads, the Coastal Plain, the Judean Hills, the northern and the southern Shephelah (**Figs 1.2–1.7**).

The area around Tel Yarmuth has witnessed since 1989 until this day large scale campaigns of surveys and salvage excavations conducted by the Israel Antiquities Authority in the framework of the urban project of Ramat Beth Shemesh. This new settlement – a satellite of the town of Beth Shemesh – has already expanded to the eastern fringe of the site and will ultimately cover the hills to the south and the west of it. Consequently, this region of the Shephelah is now archaeologically one of the best documented in Israel, with an archaeological map showing a dense network of sites from the Chalcolithic to modern times (**Fig. 1.3**). For the Bronze and Iron Ages, the main sites are Tel Beth Shemesh, Tel Zanoah and Khirtbet el-'Alya to the north of the site and Tel Azekah, Khirbet Qeiyafa and Tel Socoh to the south. Tell es-Safi is only 12 km to the west, on the border of the Coastal Plain.

1.1.2. *Topography*

Tel Yarmuth covers nearly 18 ha and is one of the largest archaeological sites of the inner Shephelah. Triangular in shape, with a maximal length of 640 m and width of 400 m, it is comprised of two distinct topographical units, the upper city or acropolis, which occupies the apex of the triangle, and the lower city (**Figs 1.8–1.10**). The acropolis culminates at 405 m, more than 100 m above the lowest point of the lower city. It is composed of two successive terraces (**Figs 1.11–1.14**): a lower terrace, oval in shape, is bordered by the contour line of 395 m and covers *c.*1.5 ha; and an upper terrace, rectangular in shape, delimited by the contour line of 404 m.

* This summary focuses on chapters 1–3 and 24.

1.2. The Acropolis of Yarmuth

1.2.1. *Early researches*

Thanks to the topographic information given in the *Onomasticon* of Eusebius of Caesarea (*On*. 106,9 and 24), the approximate location of Yarmuth has been registered on the earliest maps of the Holy Land compiled during the Renaissance. Its exact location was identified by E. Robinson and E. Smith in 1838, who mentioned the site as Khirbet el-Yarmuk, a toponym which designates *only* the acropolis and became henceforth canonical on geographical maps. The first visitor to the acropolis was T. Tobler in 1857, who left a remarkably detailed description of its surface remains, followed by V. Guérin in 1863, who reiterated Robinson and Smith's identification of the site with Eusebius' *Iermocho*s, and hence with biblical Yarmuth.

The site was then regularly visited by several generations of scholars who knew only the acropolis, the Khirbet el-Yarmuk *stricto sensu*, and were not aware of the existence of the lower city. The latter was identified only in 1960 during a surface survey conducted by A. Druks. Following this discovery, a season of excavations was conducted in 1970 by A. Ben-Tor on behalf of the Hebrew University of Jerusalem. These first excavations concerned only the lower city but, thanks to sherd collections on the acropolis, the sequence of occupation of the entire site was established in broad lines. It showed that after the total abandonment at the end of the EB III, the lower city was never resettled; reoccupation of the site took place only on the acropolis. However, the sequence of occupation of the upper city could not be established in detail. In particular, Ben-Tor's surface collection failed to reveal an occupation dating to the LB II, the supposed period of Joshua's "conquest". It was clear that the issue of the site's biblical identification could not be solved without systematic excavations.

Excavations at Yarmuth were renewed in 1980 under the direction of P. de Miroschedji on behalf of the Centre de recherche français à Jérusalem (CNRS and Ministère des Affaires étrangères), in the framework of a research program focused on the Early Bronze Age. They concentrated therefore on the lower city. However, it was decided in 1986 to extend the excavations to the acropolis in order to establish the post-Early Bronze Age sequence of occupation of the site.

1.2.2. *The surface survey in 1986*

Prior to these excavations, a systematic survey of the upper city was conducted by A. Lemaire in 1986. It resulted in a host of detailed observations on the remains (buildings, cisterns, caves, a quarry, tombs) visible on the surface of the hill and its immediate vicinity (**Figs 1.11–1.19**), confirming the presence of the ruins of a Late Roman-Early Byzantine settlement probably to be identified with the village of *Iermochos* mentioned by Eusebius. The presence of thick walls surrounding the two superimposed terraces forming the acropolis was also noticed. They determined the location of two excavated soundings.

1.3. The Excavations on the Acropolis

Leaving aside the northeastern part of the acropolis, where the remains of the Late Roman-Early Byzantine village are concentrated, the soundings were implanted on the southwestern

slope, respectively on the edge of the lower terrace (Sounding 1) and of the upper terrace (Sounding 2) (**Figs 1.11–1.13**). They were situated along the same line in order to provide a comprehensive section of the topography and the stratigraphy of that side of the hill from bedrock to surface (**Fig. 1.20**; **Table 1.1**):

– Sounding 1 was implanted in squares AR–AS 116 and excavated under the supervision of André Lemaire in 1986 and 1987. It reached eventually 27 sq. m and reached bedrock at a depth of 5.5 m below the surface.

– Sounding 2 covers five squares, that is, nearly 100 sq m. It was excavated in 1987, 1989 and 1990 under the supervision of André Lemaire and, after five years of interruption, in 1996 and 1997 by Michaël Jasmin. The maximum thickness of the archaeological strata is here 6.70 m above bedrock. The slope in squares AZ–BA 116 is especially steep, with a difference in level of 5 m on a distance of 10 m.

2. Sounding 1

The initial goal of the sounding was to verify whether the steep slope encircling the lower terrace corresponds to a fortification wall, presumably of the Iron Age. The excavation did indeed recover a city wall (M.1108), but dating to the Early Bronze Age.

2.1. Stratigraphic sequence

The excavations did not encounter occupation strata *stricto sensu*, but rather phases of construction and use, labeled Phase Acr-1 to Acr-6 (in arabic numerals, in order to distinguish them from the occupation strata identified in Sounding 2), from bottom to top (**Figs 2.1–2.2**; **Table 2.1**). Phases Acr-1 to Acr-4 correspond to well-stratified layers dating to the EB II–III, earlier than and contemporary with Wall 1008. Phase Acr-5 marks a long period of erosion and yielded sherds dating from the LB IIB to the Persian period. Phase Acr-6 dates mostly to the early centuries of our era, when terrace walls were built on the periphery of the Late Roman–Early Byzantine settlement.

2.2. The Phases

– Phase Acr-1 is marked by the establishment of a glacis represented by several layers of *terra rossa*, *huwwar* and small stones (L.1124 + 1123). It was probably associated with a fortification wall located uphill, outside of the sounding limits. These layers were practically sterile, except for a few EB II sherds (**Fig. 4:1–3**).
– Phase Acr-2 represents a second stage of the glacis (L.1121).
– Phase Acr-3 witnessed the construction of a fortification wall (M.1008) with cyclopean masonry on the outer face, which cuts partly through the earlier glacis (**Figs 2.3–2.6**). Some remains of this wall can be traced on the surface to the southeast, and especially to the north of the acropolis (**Fig. 1.17**).
– Phase Acr-4 corresponds to the use of Wall 1008, marked by a succession of layers and floors (**Figs 2.7–2.9**). The earliest (L.1115) dates to the EB II–III, while the others

(L.1111–1109) have yielded sherds dating to the EB IIIA (**Figs 4.3:1–9**, **4.4:10–18**), as well as a basalt bowl (**Fig. 15.6:1**) and a fragment of an Egyptian offering table (**Fig. 17.1**).
– Phase Acr-5 corresponds to a period of abandonment of the site: L.1106 is an erosional layer which contained a large amount of EB IIIA pottery (**Fig. 4.4:1–9**), and only 2 per cent of later sherds (LB, Iron Age I and Persian) found close to its top.
– Phase Acr-6 is marked by the installation of several terrace walls associated with late fills, in which Iron Age IB (**Fig. 9.5**), Hellenistic (**Fig. 12.1**) and mostly Roman sherds (**Fig. 12.2**) were found.

2.3. Interpretation of the sequence

The most important discovery made in Sounding 1 concerns the Early Bronze Age fortifications. Wall 1108 presents the same characteristics as Wall B in areas A and D of the lower city (**Fig. 2.10**). Thus, this wall encircled the entire site, lower and upper city together. It also cuts into an earlier glacis which, in the lower city, is associated with Wall A, the first city-wall. It is therefore assumed that Wall A exists also on the acropolis, but is yet unexcavated uphill from Sounding 1.

3. Sounding 2

The goal of the sounding was to obtain, by means of a stratigraphic step trench implanted on the edge of the upper terrace, a general view of the sequence of occupation of the upper city (**Figs 3.1–3.2**).

3.1. Preliminary remarks

The stratigraphy of Sounding 1 is illustrated by several sections (see **Fig. 3.3**), both longitudinal (**Figs 3.4–3.5**, **3.6–3.8 ; Dépliants 1–2**) and transversal (**Figs 3.9–3.10**, **3.11–3.12**). They show the succession of nine archaeological strata, labeled in roman numerals from top to bottom Acr-I to Acr-IX, from the Romano-Byzantine period on the surface to the EB II on bedrock. Because of the location of the sounding on a steep slope, the preservation of the architectural remains is generally poor due to the intense erosion (especially during periods of abandonment), the establishment of late terrace walls and the presence of large and deep pits.

Being the most complete, the southeastern longitudinal section (**Fig. 3.4 ; Dépliant 1**) has been chosen as the section of reference for the illustration of the stratigraphy and structures of Strata Acr-IX to Acr-I.

3.2. Stratigraphic sequence

The stratigraphic sequence shows four major phases of occupation separated or not by interruptions (**Table 3.1**):
– Strata Acr-IX to Acr-VII: These three strata date to the EB II–III and represent a continuous occupation, contemporary with Phases Acr-1 to 4 in Sounding 1 and with the

Early Bronze Age strata in the lower city (**Tables 1.1**, **2.1**). Tel Yarmuth was then abandoned until the reoccupation of the acropolis in the MB II.

– Strata Acr-VI to Acr-III: Omitting the comparatively few MB II sherds ascribed to Stratum Acr-VIB, these four strata date to the last third of the second millennium BCE. They illustrate a continuous occupation over three archaeological periods: the LB IIB (13th cent.: Stratum Acr-VIA); the LB III/Iron IA (mid-12th cent.: Stratum Acr-V) and the Iron IB (end of 12th cent.: Stratum Acr-IV; 11th cent.: Stratum Acr-III).
– Stratum Acr-II: From Iron IIA to Persian period.
– Stratum Acr-I: Hellenistic to Roman period.

The site seems to have been deserted twice – between the EB III and the MB II, and between the MB II and the LB IIB – and to have been sparsely occupied during the MB II, Iron IIA–B and the Hellenistic period.

3.3. Strata Acr-IX to Acr-VII (EB II–III)

Evidence of the Early Bronze Age settlement was brought to light in square AZ 116 in reliable stratigraphic conditions (**Figs 3.13**, **3.14–3.19**):

– Stratum Acr-IX marks the earliest occupation immediately above bedrock. It is represented by four layers and three floors (L.2315, L.1998-4–5) with no architectural remains. Given the small size of the exposure, the pottery is fairly abundant and dates to the EB II (**Figs 4.5–4.6**).
– The first building remains appear in Stratum Acr-VIII. The walls have foundation trenches and one of them is built with a single row of stones, an unusual feature for this period. The corresponding floors (L.1198-b and a) have yielded abundant pottery dated to the EB IIIA (**Figs 4.7–4.8**), together with a fragment of a figurine or of a votive bed (**Fig. 15.2**).
– No building remains are connected with Stratum Acr-VII, which was partly erased by the Early Roman installation of Stratum Acr-IB. Stratum Acr-VII is represented by two floors (L.1191-a and b) above the walls of the preceding strata. They were associated with fragments of a *tabūn* (**Fig. 3.20**) and abundant pottery of EB IIIB date (**Fig. 4.9**).

In squares BA–BB 116, no *in situ* Early Bronze Age occupation was found, although the pottery of that period is abundant, mixed with MB II and LB IIB sherds, in the bottom layers of L.1173. This pottery is mostly of EB IIIB date (**Figs 4.10–4.11**).

3.4. Stratum Acr-VI (MB II and LB IIB)

A sounding (L.1173) excavated in squares BA–BB 116 on a depth of 2.0 m to 2.4 m from Stratum Acr-V down to bedrock did not encounter any building remains (**Figs 3.21**, **3.22–3.27**). The five layers of this locus all contained a mixture of Early, Middle and Late Bronze Age sherds, although the bottom layers (1173-5 and 4) held mostly EB III and some MB II sherds and the top layers (1173-3 to 1) almost exclusively LB IIB sherds. Since no objective stratigraphic distinction could be made between the pottery of these three periods, the EB III pottery has been ascribed empirically to Stratum Acr-VII, the MB II pottery to

a "Stratum" Acr-VIB and the LB IIB pottery to a "Stratum" Acr-VIA. This odd stratigraphic situation is probably to be explained by the fact that the site lay deserted, and eroded, between the Early and the Middle Bronze Age; that it was only sparsely settled in the MB II; and that in the LB II, this area was probably at the periphery of the main settlement.

The pottery ascribed to Stratum VIB and testifying to a MB II occupation is meager but typical of the period (**Figs 5.1–5.2**). That ascribed to Stratum VIA is quite abundant and characteristic of the LB IIB (**Figs 7.3–7.8**). It includes imported Cypriot (**Figs 7.3:5, 7.7:17–18**) and Mycenaean IIIB wares (**Figs 7.5:6,16–17, 7.7:14**).

3.5. Stratum Acr-V (LB III/Iron IA)

The earliest building remains of this stratum rest directly on top of the last surface of Stratum Acr-VI. The walls are all built with one single row of stones, as those of the following Strata Acr-IV and III, and with the same orientation. They are erected on two levels separated by wall 1189 (**Figs 3.28, 3.29–3.32**). Two sub-strata were distinguished, VB and VA. Stratum Acr-VB is represented by an open space (L.2309A) and two rooms, L.2307 and L.2310, the latter containing a *tabūn* (**Figs 3.29–3.31**). New floors and the construction of wall 1151 mark Stratum Acr-VA. The associated L.1186 has yielded a Late Ramesside scarab (**Fig. 18.1**) and abundant pottery of LB III/Iron IA date (**Figs 8.6–8.13**). There is no imported ware, although a cooking-jug of Philistine appearance is worth mentioning (**Fig. 8.9:10**).

3.6. Stratum Acr-IV (Iron IB)

Stratigraphy suggests a smooth transition from Stratum Acr-V to Acr-IV, whose building remains appeared in squares BB–BC 116 (**Figs 3.33, 3.34–3.39**). They are distributed on both sides of a transversal wall (1154/2341) separating two levels. In the lower level (square BB 116), the debris above floor 1150-a was not more than 0.30 m thick. In the upper level (square BC 116) an enigmatic structure (2327) was found, possibly a kiln of some sort, limited by a semi-circular wall and containing two rounded cavities set side by side. The pottery associated with this structure and with L.1150 is typical of the early Iron IB period (**Figs 9.6–9.8**) and marks the appearance of Philistine Bichrome Ware (Philistine 2) (**Fig. 9.7:1–8**). Noteworthy from this stratum is also a fragmentary toggle-pin (**Fig. 14.1:5**).

3.7. Stratum Acr-III (Iron IB)

In direct stratigraphic succession with the preceding stratum, Stratum Acr-III has revealed the best preserved and coherent building remains excavated in Sounding 2 (**Figs 3.40, 3.41–3.52**). Given the small size of the excavation, no complete building plan was uncovered. The building remains are those of domestic houses erected on a slope with several terraces. Two long longitudinal walls (1138, 1133) follow the slope and are linked to a series of transversal walls which act as small terrace walls, isolating several spaces.

The occupation of this stratum ended with a violent conflagration marked by a one-metre-thick destruction layer. Consequently, abundant archaeological material was recovered *in situ*, including 25 storage jars, bowls, craters, cooking pots, jugs, juglets and lamps (**Figs 3.43–3.47**, **3.50–3.52**), which represents a comprehensive assemblage of late Iron IB vessels (**Figs 10.12–10.22**), including Philistine Bichrome Ware (Philistine 2) (**Figs 10.12:8–9, 11**; **10.13:5**; **10.17:12**; **10.20:14–15**). Another fragmentary toggle-pin also came from this stratum (**Fig. 14.1:4**).

A hoard of Ramesside Egyptian bronzes discovered in the lower city was probably hidden there at the time of Strata Acr-IV/III (see chapter 19) and is for this reason incorporated into this report. It comes most probably from the looting of an Egyptian temple following the destruction of Lachish Level VI – a city contemporary with Stratum Acr-V (see **Table 24.1**).

3.8. Stratum Acr-II (Iron II to Persian)

The remains ascribed to Stratum Acr-II were brought to light only in squares BB–BD 116 (**Figs 3.53**, **3.54–3.58**). Two substrata were distinguished, Acr-IIB and Acr-IIA. The former is represented by two thick perpendicular walls uncovered in the uppermost square BD 116. Built over the leveled remains of the preceding stratum and 1.7 m high, they are the foundations of a large fortress-like building which covered the top of the hill. There are no associated floors preserved, only layers of fill inside (L.2319) and outside (L.2320). The pottery from L.2320 dates mainly to the Iron IB and IIA (**Figs 11.3–11.7**) and includes the Late Philistine Ashdod Ware (**Fig. 11.7:7**). Stratum Acr-IIA is represented in square BB 116 by a thick terrace wall (M.1118A) associated with a plastered floor (L.1140) and a later layer of fill (L.1119). Both have yielded Iron Age IIC and Persian pottery (**Fig. 11.8**), in addition to a Persian fibula (**Fig. 14.1:6**) and a stamp seal in steatite (**Fig. 16.1**).

One of us (M. J.) interprets Stratum Acr-IIB as corresponding to the remains of an Iron Age II fortress-like construction, with wall 1118A as a later addition. The other (P. de M.) sees only one stratum dated to the Iron Age IIC – Persian period consisting of a fortress-like building with an external terrace wall, L.2320 being a fill containing mixed material.

3.9. Stratum Acr-I (Hellenistic, Early Roman, Late Roman–Early Byzantine)

Three sub-strata, IC to IA, were distinguished among the remains of the latest phases of occupation. Deep pits (F.1174, F.1190) and a subsequent erosion (L.1117B) are ascribed to Stratum Acr-IC and could date to the Hellenistic period. Stratum Acr-IB was isolated in square AZ 116, where a deep terrace wall (M.1167B) has cut through all preceding strata down to the top of the Early Bronze Age Stratum Acr-VII (**Figs 3.4**, **3.6**, **3.9**), in order to create a terrace on which a Roman house, with an attached cistern, was established (**Figs 3.59**, **3.60–3.64**). The associated pottery is Early Roman (**Fig. 12.3:7–16**).

To the last stratum, Acr-IA, are ascribed a series of terrace walls built in succession along the slope (**Figs 3.65**, **3.66–3.71**; pottery on **Fig. 12.3:1–6**). They were located at the periphery of the latest village of Yarmuth which occupied the top of the hill and its northern and northeastern slopes (**Figs 1.11–1.19**, **3.72–3.77**). The site was subsequently abandoned and never resettled.

24. General conclusion: Chronological, Cultural and Historical Syntheses

Being the only part of the site occupied during all periods when a human presence is attested at Tel Yarmuth, the sequence of occupation of the acropolis reflects that of the site in general, lower and upper city together. Hence, the results of the excavations allow the main lines of the history of occupation of the site to be traced and contribute to clarify its archaeological, historical and biblical contexts.

24.1. History of Occupation of the Acropolis of Yarmuth

The sequences of stratified deposits identified in the acropolis Sounding 2 are represented in **Tables 1.1**, **3.1**, **24.1–24.2** and in **Figs 24.2–24.3**.

24.1.1 to 24.1.4. *From the Early Bronze Age (Strata Acr-IX to Acr-VII) to the Late Bronze Age IIB (Stratum Acr-VIA)*

During the Early Bronze Age, the acropolis was only a small part (1.5 ha) of a huge site (18 ha), one of the major city-states in the southern Levant. It has witnessed a continuous occupation in the EB II–III. The absence of sherds dated to the EB IB, a period well attested in the lower city, does not necessarily imply that the upper city was then unoccupied since erosion may have erased its remains. A major discovery in Sounding 1 is that of the Early Bronze Age fortifications which encircled the entire settlement.

The excavations of both the acropolis and the lower city testify that the site was entirely abandoned during the Early Bronze-Middle Bronze Age period. However, this abandonment did not affect the surrounding area since several small sites dated to that period are known in the vicinity of Tel Yarmuth, in addition to a cemetery excavated at Khirbet el-'Alya.

A few sherds found in erosional layers indicate with certitude that Tel Yarmuth was reoccupied in the MB II, but nothing is known about the nature and extent of this settlement. It was probably small and perhaps ephemeral, as in other nearby hamlets (Khirbet el-'Alya, Socoh, Khirbet Qeiyafa) existing then in the shadow of Tel Azekah (**Figs 24.1–24.2**).

Tel Yarmuth seems to have been deserted in the LB I and LB IIA periods. Stratum Acr-VIA marks the reoccupation of the site which was then incorporated in the network of LB IIB settlements of the Shephelah (**Table 24.1**). Together with some other nearby settlements (Khallat el-Himara, Khirbet el-'Alya), it was probably under the domination of Tel Azekah (**Figs 24.1–24.3**) and was therefore in contact with the Coastal Plain from where Cypriot and Mycenaean wares were imported.

24.1.5. *The Iron I (Strata Acr-V to Acr-III)*

There is a smooth stratigraphic transition from Stratum Acr-VIA to Stratum Acr-V, which inaugurates the Iron Age I and a long period of prosperity which appears to have lasted until the end of Stratum Acr-III.

24.1.5.1. Character of the Iron Age I period at Tel Yarmuth

Cultural, and probaby also ethnic, continuity characterize the evolution of the site during this lapse of time. The persistence of Canaanite traditions in the treatment of pottery surfaces, notably buff slips and painted decorative motifs, is noteworthy. Red slip hand burnishing makes only a timid appearance during this period (**Figs 8.6:2**, **8.8:5**, **10.17:3**, **10.20:4,12**).

Imported ware disappears in Stratum Acr-V, whose pottery exhibits an impoverished and distinctly local character. As the Philistine domination was then limited to coastal sites, no Philistine Monochrome Ware (Philistine 1) is found, either at Yarmuth nor at the other Shephelahite sites, although the presence of a cooking-jug (**Fig. 8.9:10**) may possibly suggest early contacts with the Philistine territory. Exchanges with the Coastal Plain were re-established at the time of Stratum Acr-IV, which marks the introduction of Philistine Bichrome Ware (Philistine 2). The latter appears also in Stratum Acr-III in quantities which may be considered as significant given the small size of the exposure in Sounding 2.

Throughout the Iron IB period, the Canaanite cultural tradition remained dominant in this area of the central Shephelah, which preserved its cultural, and probably also political autonomy vis-à-vis the Judean hills and the Coastal Plain. Hence its ceramic corpus does not present any clear Judean influence, and the presence of Philistine pottery results more probably from trade rather than from some sort of political domination.

24.1.5.2. Stratum Acr-V (LB III/Iron IA)

With Stratum Acr-V, for the first time since the Early Bronze Age, dwellings were built on the southwestern slope of the acropolis, suggesting that the entire hill was then occupied, and not only its summit. Tel Yarmuth, together with two nearby settlements (Khirbet Badd al-Banat and Nahal Nativ) thrived in the shadow of Tel Azekah (**Figs 1.3**, **24.1**, **24.4**), whose prosperity lasted until the end of the LB III/Iron IA period, when it was thoroughly and brutally destroyed more or less at the same time as Lachish VI and other contemporary sites of the Shephelah (**Table 24.1**; **Figs 24.2–24.3**). This event marked a turning point in the history of the Shephelah for most of the destroyed sites remained abandoned during the Iron IB. However, a few sites were unaffected by this violent event, such as Tel Beth Shemesh, Tell Beit Mirsim, Tel ʻEton, and also Tel Yarmuth, where curiously enough given its proximity to Tel Azekah, the transition from Strata Acr-V to Acr-IV took place without disturbance.

24.1.5.3. Stratum Acr-IV (Iron IB early)

It is difficult to ascertain the character of the settlement of this stratum due to the limited scope of the excavations. On a backdrop of cultural continuity, the main innovation of this stratum is, as already mentioned, the appearance of the Philistine Bichrome Ware (Philistine 2). Petrographic analyses indicate that these vessels originate from various sources in the Southern Shephelah and the southern Coastal Plain, suggesting that Tel Yarmuth preserved a certain degree of autonomy, at least in the management of its interregional exchanges.

24.1.5.4. Stratum Acr-III (Iron IB late)

During Stratum Acr-III Yarmuth was a prosperous village extending over the totality of the acropolis and its slopes. Contemporary occupations were identified at the neighbouring sites of Khirbet el-'Alya and Nahal Nativ. It came to an end, around 1000 BCE or slightly thereafter, with a violent destruction, which was clearly a traumatic event with long-lasting effect since this part of the acropolis remained subsequently devoid of dwellings until the Early Roman period.

24.1.5.5. Excursus: Tel Yarmuth and Khirbet Qeiyafa

The recent excavations at Khirtbet Qeiyafa may contribute to shed light on the historical context in which the destruction of Yarmuth Acr-III took place.

Khirbet Qeiyafa is a 2.3 ha site located on the northern edge of the Elah valley and excavated between 2007 and 2013. The settlement of Stratum IV represents the *ex-nihilo* foundation of a well-planned fortified settlement surrounded by a casemate wall, with two double-chambered city-gates and a girdle of dwellings arranged along the inner face of the fortification. It had a very brief existence within the first half of the 10th century (early Iron IIA), and is considered by the excavators as a Judean settlement bearing testimony of the earliest westward expansion of the kingdom of Juda under King David. This interpretation has given rise to a fierce debate.

In all discussions concerning Khirbet Qeiyafa, the existence of Tel Yarmuth has been ignored, although the two sites are only 2.3 kms apart and show a remarkable cultural and chronological proximity: almost all pottery types of Yarmuth Acr-III are attested at Khirbet Qeiyafa IV, except for the Philistine Bichrome Ware (Philistine 2); reciprocally, some pottery types of Khirbet Qeiyafa IV are absent at Yarmuth Stratum Acr-III but do appear in Stratum Acr-IIB – for example, the Late Philistine Ashdod Ware. It is therefore apparent that the settlement of Yarmuth Acr-III precedes immediately that of Khirbet Qeiyafa IV, and that the latter may be contemporary with that of Yarmuth Acr-IIB (see **Table 24.1**).

The comparison between the two sites underlines the similarity of their material culture which is not Judean, but clearly Canaanite, in continuity with a cultural tradition attested in the central Shephelah without interruption from the LB II to the Iron IB period (**Table 24.1**). Therefore, the affiliation of Khirbet Qeiyafa with the kingdom of David can be supported only by favouring a literal interpretation of the biblical narratives and the supposed Judean character of some singular aspects of the site. All in all, the Judean hypothesis is most uncertain and rests solely on the monumental fortifications and the peculiar organization of the site, which seems to herald a Judean tradition of urban layout. But even this argument is unconvincing given our incomplete knowledge of late Iron IB–early Iron IIA architecture in the Shephelah. Besides, the Canaanite character of the material culture clearly indicates that the large workforce necessary for the construction and the subsequent peopling of the site was local, not Judean. Therefore, another scenario should be preferred to that of an early Judean expansion in the Shephelah under King David. It is based on the

assumption that the founders of Khirbet Qeiyafa were autochthonous inhabitants of the central Shephelah who reacted to local geopolitical constraints.

The Egyptian retreat in the middle of the 12th century, the subsequent collapse of the city-states system and the expansion of the Philistines all over the Coastal Plain up to the border of the Shephelah led to a period of instability which culminated at the end of the century with widespread destructions, including that of Tel Lachish VI and Tel Azekah. Consequently, the area of the Elah valley in the central Shephelah reverted, between the end of the 12th and the end of the 11th century (Yarmuth Strata Acr-IV–III), to a situation of political vacuum and de facto autonomy, while on its borders the power and territorial ambitions of the Philistine city of Tell es-Safi/Gath was rising. It is presumably to counter this threat that the local inhabitants decided *in fine* to unite themselves and to re-establish a political centre. The foundation of Khirbet Qeiyafa thus marked the culmination of the existence of an 11th-century "Canaanite enclave" in the central Shephelah, but the latter was a political phenomenon, not an ethnic one as is sometimes assumed. As a major political centre had existed in this area from the Early Bronze Age (**Figs 24.1–24.2**), the emergence of Khirbet Qeiyafa is best understood in the *longue durée* of the local history.

Since it could be achieved only by bringing together the inhabitants of several nearby settlements, the foundation of Khirbet Qeiyafa was the result of a process of voluntary or forced synoecism. This process may have resulted in the destruction of Tel Yarmuth Acr-III, in order to force its population to participate in the collective effort. In any case, the foundation of Khirbet Qeiyafa was an ephemeral enterprise: around the middle of the 10th century, the settlement was abandoned or destroyed, probably by Tell es-Safi/Gath. This led to the disappearance of the "Canaanite enclave" of the central Shephelah and brought face to face the Philistines and the Judeans, who from then on were engaged in the protracted warfare evoked in the biblical narrative cycles of Saul and David.

24.1.6. *From Iron Age II to the Persian period (Stratum Acr-II)*

Following the destruction of Stratum Acr-III, the settlement was probably reduced to the summit of the acropolis. On the southwestern slope, there is no Iron II construction, unless the two thick walls 2316 and 2317 are dated to the Iron IIA, as proposed by M. Jasmin. On the contrary, P. de Miroschedji dates this construction to the Iron IIC or the Persian period and considers that L.2320 is actually a fill containing late Iron IB and early Iron IIA material, which are indirect testimony of an occupation confined to the summit of the hill at the time of Tel Batash IV, Khirbet Qeiyafa IV and the Iron Age tomb of Khirbet el-'Alya (**Table 24.2**; **Fig. 24.3**). The rarity of late Iron IIA and Iron IIB sherds suggests that the site may have been partly or completely abandoned during the late 10th–8th century BCE.

After the campaign of Sennacherib in 701, the Shephelah experienced a demographic depression. Few Iron IIC sherds were brought to light in the layers ascribed to Stratum Acr-IIA, when the summit of the acropolis was apparently crowned by a fortified agricultural estate(?) in which Babylonian returnees may have settled during the Persian period.

24.1.7. *From the Hellenistic to the Late Roman–Early Byzantine period (Stratum Acr-I)*

The southwestern slope of the acropolis remained unoccupied until the Early Roman period. Despite the rarity of bona fide Hellenistic sherds, an occupation of the site during that period (Stratum Acr-IC) is likely in view of an early Hasmonean *yršlm* jar handle picked up on the surface by N. Richardson in 1966. Several other contemporary settlements are also known in the vicinity of Tel Yarmuth. But the southwestern slope of the acropolis remained unoccupied.

This presumably small Hellenistic settlement may have continued its existence without interruption into the Early Roman period, when the acropolis witnessed a marked renewal of its settlement, now extending downslope on terraces cutting deeply into earlier strata and supporting domestic dwellings (Stratum Acr-IB). The dispersion of cisterns on the hill and its immediate surroundings (**Fig. 1.12**), where tombs were also located (**Figs 3.76–3.77**), even suggests that the village reached an unprecedented size. At least part of the agricultural terraces covering the lower city (**Figs 1.4–1.5, 1.9**) may date to this period, as suggested by the associated pottery and a coin of Herod the Great. This was a period of great prosperity in the Shephelah, marked by a dense network of Jewish settlements, especially around Beit Natif (Tappuah), which was then the main town in this area.

This situation lasted until the uprising of Bar-Kokhba (132–135), when the local Jewish presence was eradicated until the beginning of the 3rd century. The Early Roman village was obliterated by a series of terrace walls belonging to the next settlement (Stratum Acr-IA), which covered the top of the acropolis and its northern and northeastern slopes. This settlement corresponds to the Late Roman–Early Byzantine village of *Iermochos* mentioned by Eusebius of Caesarea. By then, it seems that the numerous population of this area had become mostly Christian.

24.2. Yarmuth and the Bible

The name Yarmuth derives apparently from an old, perhaps pre-Semitic linguistic background where toponyms based on the radical *yar-* allude to flowing waters (*cf. Yar*den, *Yar*qon, *Ya(r)*bboq, etc.). Since the settlement of *Yarami/Yaramu* appearing in a tablet of Tel Hesi certainly does not refer to Tel Yarmuth, the earliest mentions of that name are to be found in the Book of Joshua. The question of the identification of this biblical Yarmuth has long been hindered by the fact that surface surveys had failed to establish a Late Bronze Age occupation at Tel Yarmuth, giving rise to several contradictory propositions. Since the excavations have confirmed the existence of LB IIB and the LB III/Iron IA strata, this question may be re-examined afresh. To lead this enquiry, it is best to proceed from the most recent to the earliest mentions of the toponym.

24.2.1. *The Permanence of a Toponym*

The modern Hebraic name of Tel Yarmuth is based on the identification of the biblical site of Yarmuth with the modern toponym Khirbet el-Yarmuk, which designates the

acropolis *stricto sensu* (§ 1.2.1). This identification was proposed for the first time by E. Robinson and E. Smith in 1838 on the basis of the testimony of Eusebius' *Onomasticon*. In fact, Eusebius mentions two settlements with the same name, *Ierimuth* in *On*. 106,9, and *Iermochos* in *On*. 106,24, which he equates with those mentioned, respectively, in Josh 12:11 and 15:35. Although most commentators have deduced from these entries that two sites with the same name had existed, the toponym having "migrated" from one location to another, this is somewhat doubtful because the topographic information given in these entries is not coherent. The location hinted at in *On*. 106,24 being the most plausible, the double equation *Iermochos* = Khirbet el-Yarmuk = biblical Yarmuth has been generally accepted.

Robinson and Smith – who had not visited the site which was shown to them from a distance – had received its name from a local informer. Traveling near the tell fourteen years later, C. W. M. Van de Velde was given another name by the locals: "Tell-Ermûd" or "Tell 'Armuth", suggesting that the toponym Yarmuth had survived until the 19th century. This testimony echoes the mention of a village called "Armotia" in a 12th-century cartulary listing the donation by Godfrey of Bouillon to the church of the Holy Sepulchre of several villages located in the area of Tel Yarmuth/Tel Beth Shemesh. Nevertheless, Van de Velde's testimony was ignored and the name Khirbet el-Yarmuk became embedded in cartographic tradition. Hence the equivalence Biblical Yarmuth = *Ierimuth*/*Iermochos*/Khirbet el-Yarmuk/Tel Yarmuth may be considered as reasonably well established. However, this conclusion does not imply the historicity of the biblical data concerning Yarmuth.

24.2.2. *The Biblical Mentions of Yarmuth*

Yarmuth of Juda is mentioned in two distinct contexts:

– In the Book of Joshua: in Josh 10:3,5,23 (with the summary of Josh 12:11) in the framework of the story of the coalition of five cities, including Yarmuth and its king, Piream, against Joshua and the Gabaonites; and in Josh 15:35 in the list of towns of the Shephelah attributed to the tribe of Juda.
– In the Book of Nehemiah: in Neh 11:29 in a list of settlements in which Judean returnees from the Babylonian exile had settled.

Concerning the Book of Nehemiah, there is a consensus among biblical scholars to date the list in which the name of Yarmuth appears to the fourth century, that is, to the Persian period, when the excavations confirm that the acropolis was occupied (Stratum Acr-IIA), and that it was probably crowned by a kind of fortified farmstead in which returnees from the Babylonian exile could have indeed settled. This concordance between the mention of Neh 11:29 and the archaeological data tends to confirm the validity for the Persian period of the equation Biblical Yarmuth = Tel Yarmuth.

This conclusion applies to the Book of Joshua as well. Biblical scholarship has established that the latter combines several narrative layers, the oldest (Josh 1–12) dating to the 7th century, with a revision of the lists (including Josh 15) in the 5th-4th century, and additions in the Hellenistic period. In other words, the redaction of the passages where Yarmuth is mentioned dates to the time when archaeology indicates that the Late Iron Age and the Persian period settlement of Yarmuth was in existence.

But this conclusion tells nothing about the historical reality of the narrative involving Yarmuth and King Piream during the assumed "conquest" by Joshua of the southern cities. The fact that Yarmuth was at the time of Strata Acr-VIA and Acr-V a modest village precludes its identification as a royal city engaged in a coalition with four other Canaanite "royal" polities. Since Yarmuth of the Book of Joshua is most probably the same as Yarmuth of the Book of Nehemiah, the only remaining question is why the legendary narratives of Joshua's "conquest" have included Yarmuth in the framework of a story in which it had clearly nothing to do?

The answer to this question lies in the aetiological character of several narratives of the Book of Joshua, particularly in chapters 2 to 10, and notably in the stories of the destruction of Jericho (Josh 6) and ʻAi (Josh 8). The case of ʻAi is enlightening, since the city had lain in ruins since the Early Bronze Age and could not have been "conquered" by Joshua. The same explanation applies to Yarmuth: the ruins of this huge site of 18 ha (**Fig. 1.10**), surrounded by cyclopean fortifications then still apparent (**Fig. 24.5**), evoked a powerful city, reminiscent of Jerusalem, Hebron, Lachish and Eglon (Tell el-Hesi). These ruins called for an explanation: who else, if not Joshua, the destroyer of Canaanite cities *par excellence*, could have annihilated Yarmuth and these other cities? Hence it appears that the aetiological narrative of Josh 10 finds its source in the landscape of ruins that the inhabitants of the Shephelah could see around them in the Persian period, and not in a doubtful military campaign which, in any case, could not have involved Yarmuth.

ANCIENT NEAR EASTERN STUDIES

(FORMERLY ABR-NAHRAIN)

Supplement Series

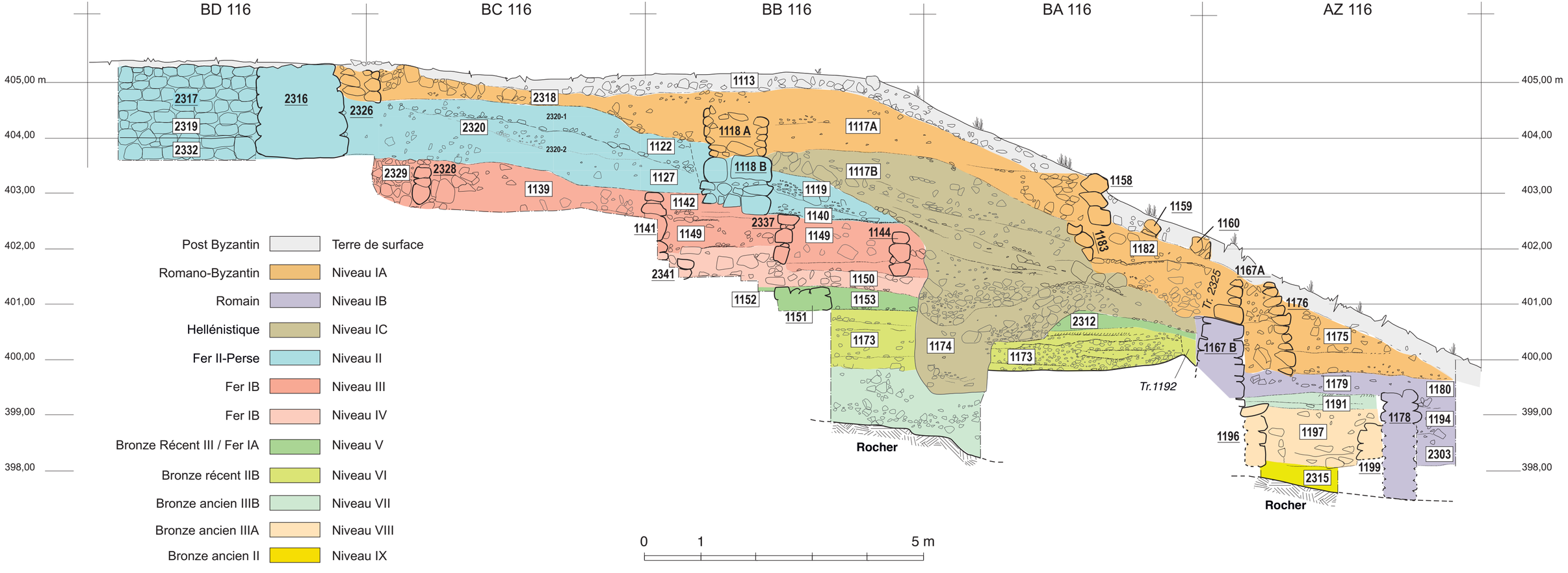
Series Editors: Andrew Jamieson & Claudia Sagona

1. **Mayer L.A.,** *Bibliography of the Samaritans*, 1964, 50 p. 30 EURO
2. **Bunnens G.,** *Tell Ahmar, 1988 Season*, 1990, 151 p. 38 EURO
3. **Muraoka T.,** *Studies in Qumran Aramaic*, 1992, 167 p. 45 EURO
4. **Muraoka T.,** *Studies in Ancient Hebrew Semantics*, 1995, VIII — 107 p. 35 EURO
5. **Bunnens G.,** *Cultural Interaction in the Ancient Near East. Papers Read at a Symposium Held at the University of Melbourne, Department of Classics and Archaeology (29-30 September 1994)*, 1996, VIII — 155 p. 40 EURO
6. **Muraoka T.,** *Semantics of Ancient Hebrew*, 1998, 151 p. 35 EURO
7. **Bunnens G.,** *Essays on Syria in the Iron Age*, 2000, X — 557 p. 105 EURO
8. **Adamthwaite M.R.,** *Late Hittite Emar. The Chronology, Synchronisms and Socio-Political Aspects of a Late Bronze Age Fortress Town*, 2001, XXIV — 294 p. 70 EURO
9. **Sagona C.,** *The Archaeology of Punic Malta*, 2002, XIV — 1165 p. 160 EURO
10. **Sagona C.,** *Punic Antiquities of Malta and Other Ancient Artefacts Held in Ecclesiastic and Private Collections*, 2003, XXII — 374 p. 105 EURO
11. **Hopkins L.,** *Archaeology at the North-East Anatolian Frontier, VI. An Ethno-archaeological Study of Sos Höyük and Yigittasi Village*, 2003, XXVII — 184 p. 90 EURO
12. **Sagona A.,** *A View from the Highlands: Archaeological Studies in Honour of Charles Burney*, 2004, XX — 743 p. 120 EURO
13. **McConchie M.,** *Archaeology at the North-East Anatolian Frontier, V. Iron Technology and Iron-making Communities of the First Millennium BC*, 2004, XXIV — 393 p. 90 EURO
14. **Sagona A., Sagona C.,** *Archaeology at the North-East Anatolian Frontier, I. An Historical Geography and a Field Survey of the Bayburt Province*, 2004, XXIV — 600 p. 110 EURO
15. **Çilingiroğlu A., Derin Z., Abay E., Sağlamtimur H., Kayan İ.,** *Ulucak Höyük. Excavations Conducted between 1995 and 2002*, 2004, XII — 162 p. 60 EURO
16. **Payne M.,** *Urartian Measures of Volume*, 2005, XX — 387 p. 95 EURO
17. **Stoop-van Paridon P.W.T.,** *The Song of Songs. A Philological Analysis of the the Hebrew Book* שיר השירים, 2005, XVI — 540 p. 90 EURO

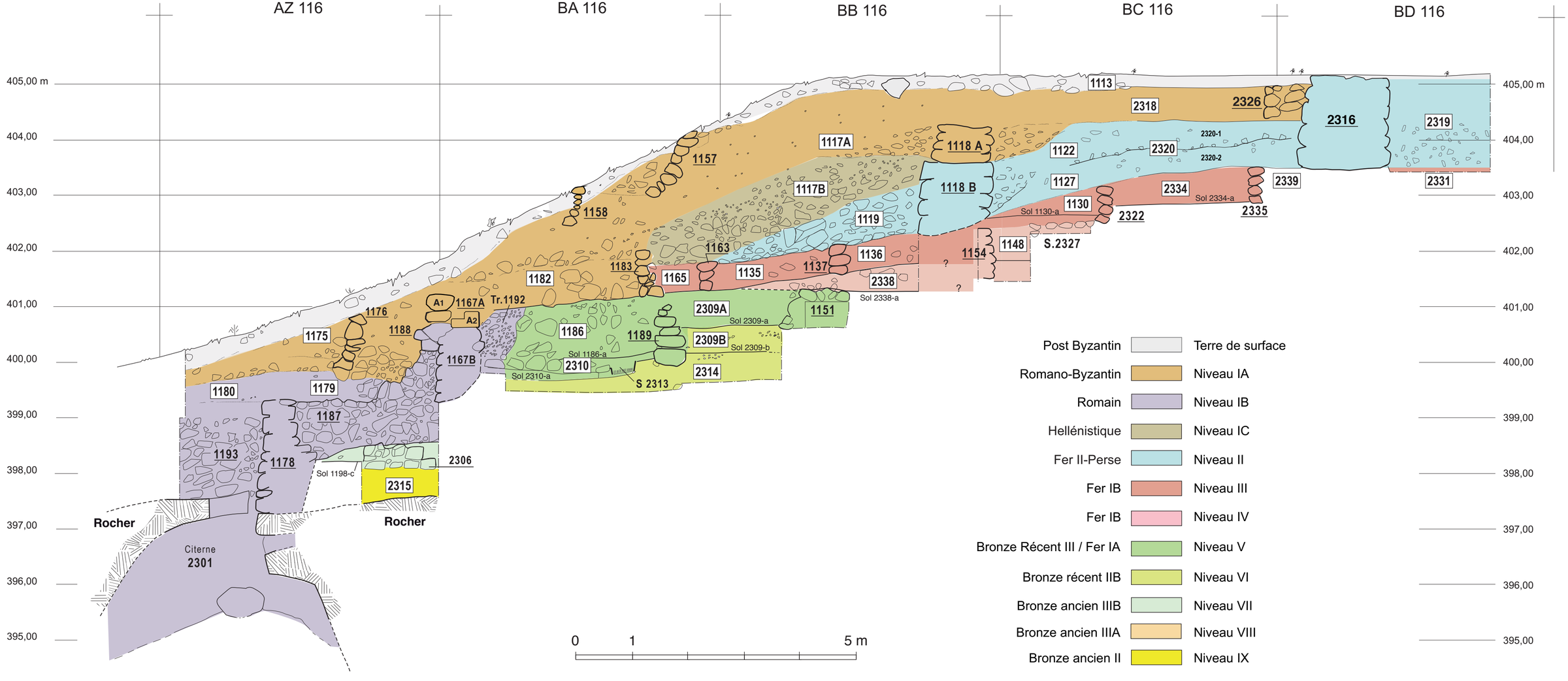
18. **Sagona C., Vella Gregory I., Bugeja A.,** *Punic Antiquities of Malta and Other Ancient Artefacts Held in Private Collections*, 2, 2006, XXII — 276 p. 77 EURO
19. **Sagona A., Abramishvili M.,** *Archaeology in Southern Caucasus: Perspectives from Georgia*, 2008, VIII — 477 p. 94 EURO
20. **Çilingiroğlu A., Sagona A.,** *Anatolian Iron Ages 6: The Proceedings of the Sixth Anatolian Iron Ages Colloquium Held at Eskişêhir, 16-20 August 2004*, 2007, X — 348 p. 85 EURO
21. **Azize J., Weeks N.,** *Gilgameš and the World of Assyria. Proceedings of the Conference Held at the Mandelbaum House, The University of Sydney, 21-23 July 2004*, 2007, VIII — 240 p. 84 EURO
22. **Wightman G.,** *Sacred Spaces. Religious Architecture in the Ancient World*, 2007, XX — 1156 p. 120 EURO
23. **Aitken J.K.,** *The Semantics of Blessing and Cursing in Ancient Hebrew*, 2007, XVI — 306 p. 85 EURO
24. **Steiner M., van der Steen E.J.,** *Sacred and Sweet. Studies on the Material Culture of Tell Deir ʿAlla and Tell Abu Sarbut*, 2008, VIII — 286 p. 85 EURO
25. **Yagodin V.N., Betts A.V.G., Blau S.,** *Ancient Nomads of the Aralo-Caspian Region. The Duana Archaeological Complex*, 2007, VIII — 138 p. 65 EURO
26. **McGeough K.,** *Exchange Relationships at Ugarit*, 2007, XVIII — 438 p. 95 EURO
27. **Rubinson K.S., Sagona A.,** *Ceramics in Transitions. Chalcolithic Through Iron Age in the Highlands of the Southern Caucasus and Anatolia*, 2008, VI — 364 p. 90 EURO
28. **Sagona C.,** *Beyond the Homeland: Markers in Phoenician Chronology*, 2008, VIII — 655 p. 98 EURO
29. **Bienkowski P.,** *Studies on Iron Age Moab and Neighbouring Areas in Honour of Michèle Daviau*, 2009, XIV — 273 p. 87 EURO
30. **Kuty R.J.,** *Studies in the Syntax of Targums Jonathan to Samuel*, 2010, XIV — 285 p. 85 EURO
31. **Redford S., Ergin N.,** *Perceptions of the Past in the Turkish Republic: Classical and Byzantine Periods*, 2010, X — 236 p. 79 EURO
32. **McGeough K., Smith M.S.,** *Ugaritic Economic Tablets. Text, Translation and Notes*, 2011, XXVI — 625 p. 98 EURO
33. **Hartley J.E.,** *The Semantics of Ancient Hebrew Colour Lexemes*, 2010, XVI — 247 p. 78 EURO
34. **Connor S.E.,** *A Promethean Legacy: Late Quaternary Vegetation History of Southern Georgia, the Caucasus*, 2011, XII — 419 p. 94 EURO
35. **Jamieson A.,** *Tell Ahmar III. Neo-Assyrian Pottery from Area C*, 2012, XVIII — 385 p. 105 EURO
36. **Sagona C.,** *Ceramics of the Phoenician-Punic World: Collected Essays*, 2011, X — 450 p. 95 EURO

37. **Ergin N.,** *Bathing Culture of Anatolian Civilizations: Architecture, History, and Imagination*, 2011, X — 329 p. 84 EURO
38. **Muraoka T.,** *A Grammar of Qumran Aramaic,* 2011, XLVI — 285 p. 70 EURO
39. **Çilingiroğlu A., Sagona A.,** *Anatolian Iron Ages 7: The Proceedings of the Seventh Anatolian Iron Ages Colloquium Held at Edirne, 19-24 April 2010*, 2012, X — 332 p. 87 EURO
40. **Redford S., Ergin N.,** *Cities and Citadels in Turkey: From the Iron Age to the Seljuks,* 2013, X — 346 p. 86 EURO
41. **Summers G.D.,** *Yanik Tepe, Northwestern Iran. The Early Trans-Caucasian Period. Stratigraphy and Architecture,* 2013, XXXII — 217 p. 89 EURO
42. **Yener K.A.,** *Across the Border. Late Bronze-Iron Age Relations between Syria and Anatolia,* 2013, VIII — 542 p. 98 EURO
43. **Pappa E.,** *Early Iron Age Exchange in the West: Phoenicians in the Mediterranean and the Atlantic,* 2013, XX — 373 p. 98 EURO
44. **De Cupere B., Linseele V., Hamilton-Dyer S.,** *Archaeozoology of the Near East X: Proceedings of the Tenth International Symposium on the Archaeozoology of South-Western Asia and Adjacent Areas,* 2013, X — 420 p. 105 EURO
45. **Tebes J.M.,** *Unearthing the Wilderness. Studies in the History and Archaeology of the Negev and Edom in the Iron Age,* 2014, X — 306 p. 90 EURO
46. **Kennedy M.,** *The Late Third Millennium BCE in the Upper Orontes Valley, Syria. Ceramics, Chronology and Cultural Connections*, 2015, XXII — 495 p. 110 EURO
47. **Magdalino P., Ergin N.,** *Istanbul and Water*, 2015, X — 274 p. 95 EURO
48. **Bonanno A., Vella N.C.,** *Tas-Silġ, Marsaxlokk (Malta) I. Archaeological Excavations Conducted by the University of Malta, 1996-2005*, 2015, XXXII — 496 p. 105 EURO
49. **Bonanno A., Vella N.C.,** *Tas-Silġ, Marsaxlokk (Malta) II. Archaeological Excavations Conducted by the University of Malta, 1996-2005*, 2015, XXXII — 666 p. 120 EURO
50. **Mizzi D., Vella N.C., Zammit M.R.,** *"What Mean these Stones?" (Joshua 4:6, 21). Essays on Texts, Philology, and Archaeology in Honour of Anthony J. Frendo*, 2017, VI — 286 p. 115 EURO
51. **Thys-Şenocak, L.**, *Of Vines and Wines. The Production and Consumption of Wine in Anatolian Civilizations through the Ages*, 2017, VIII — 235 p. 98 EURO
52. **Muraoka T.**, *Jacob of Serugh's Hexaemeron*, 2018, XVI — 229 p. 98 EURO
53. **Verduci J.A.**, *Metal Jewellery of the Southern Levant and its Western Neighbours. Cross-Cultural Influences in the Early Iron Age Eastern Mediterranean*, 2018, XVIII — 435 p. 130 EURO
54. **Vella N.C., Frendo A.J., Vella H.C.R.**, *The Lure of the Antique. Essays on Malta and Mediterranean Archaeology in Honour of Anthony Bonanno*, 2018, VIII — 391 p. 110 EURO
55. **Yener K.A., Ingman T.**, *Alalakh and its Neighbours*, 2020, VIII — 481 p. 120 EURO

PRINTED ON PERMANENT PAPER • IMPRIME SUR PAPIER PERMANENT • GEDRUKT OP DUURZAAM PAPIER - ISO 9706
N.V. PEETERS S.A., WAROTSTRAAT 50, B-3020 HERENT



Dépliant 1. Sondage 2, coupe longitudinale sud-est (A–A').



Dépliant 2. Sondage 2, coupe longitudinale nord-ouest (B–B').